

**This book is with  
tight  
Binding**













Alle Rechte, insbesondere das der  
Übersetzung in fremde Sprachen, vorbehalten.

## Vorwort.

Die vorliegende zweite Auflage der synchronen Wechselstrommaschinen erscheint leider ein Jahr nach dem Tode des Geh. Hofrats Prof. Dr.-Ing. E. Arnold. Das Manuskript dieses Bandes der Wechselstromtechnik wurde noch vom Geh. Hofrat Arnold und unter seiner Leitung ausgearbeitet und war bei seinem Ableben fast vollständig druckfertig.

Seit dem Erscheinen der ersten Auflage ist der Fortschritt auf dem Gebiete der Synchronmaschinen ein stetiger gewesen; er ist ohne bedeutende Umwälzungen vor sich gegangen.

Mit um so mehr Fleiß wurde an dem weiteren Ausbau der Theorie gearbeitet, die viel zur vollständigeren Klarung der komplizierten physikalischen Vorgänge und Erscheinungen in Wechselstrommaschinen beigetragen hat, so daß eine genauere Übereinstimmung zwischen gerechneten und gemessenen Größen möglich wurde.

Die Einteilung des Stoffes brauchte daher nicht wesentlich geändert zu werden; es war aber nötig, viele Abschnitte zu ergänzen und einige neue hinzuzufügen.

So erschien eine ausführliche Behandlung der Ankerrückwirkung der Einphasenmaschinen erwünscht, was an Hand der Zerlegung des inversen Drehfeldes in zwei Wechselfelder, ein Längsfeld und ein Querfeld, möglich wurde.

Wegen der immer zunehmenden Bedeutung der Turbogeneratoren war eine genaue Behandlung der Vollpolmaschinen geboten. Dementsprechend sind in einem besonderen Kapitel die Ankerrückwirkung, die Spannungsänderung und die Feldamperewindungen dieser Maschinen analytisch und graphisch ausführlich verfolgt, und in dem Kapitel über Vorausberechnung ist den Turborotoren ein besonderer Abschnitt gewidmet. Auch wurde ein ausgeführter größerer Turbogenerator mit Vollpolen durchgerechnet, und bei der Behandlung der konstruktiven Ausführung der Wechselstrommaschinen die Konstruktion der Turbogeneratoren entsprechend berücksichtigt.

.

Die Compoundierungsanordnungen wurden systematisch zusammengestellt; in vielen Fällen konnte eine wesentlich kürzere Darstellung gewählt werden, als in der ersten Auflage, weil die Compoundierungsanordnungen den damals an sie gestellten Erwartungen, die Herstellung von billigeren Generatoren mit großer Ankerbelastung zu ermöglichen, nicht entsprochen haben. Da die Erfahrung gezeigt hat, daß die elektromechanischen Regulatoren im allgemeinen eine befriedigende Lösung des Problemcs bieten, schien es wünschenswert, in dem Kapitel über selbsttätige Regulierung der Wechselstrommaschinen die elektromechanischen Regulatoren aufzunehmen, was durch die freundliche Mitarbeit des Herrn Prof. Dr. A. Schwaiger möglich wurde.

Eine Erweiterung erfuhr auch das Kapitel über Pendelerscheinungen, besonders hinsichtlich der Berechnung des Drehmoments der Dämpferwicklungen und der Untersuchung der freien Schwingungen der Maschinen im Parallelbetrieb.

Schon im Vorwort der zweiten Auflage des dritten Bandes wurde auf die starken mechanischen Beanspruchungen der Wicklungen bei plötzlichen Stromstoßen und Kurzschlüssen hingewiesen. Ein neues Kapitel über Kurzschlußerscheinungen der synchronen Wechselstrommaschinen wurde nötig, in dem die physikalischen Vorgänge bei plötzlichen Kurzschlüssen ausführlich erläutert und die Wicklungsbeanspruchungen zahlenmäßig verfolgt sind.

Bei der Behandlung der Verluste und des Wirkungsgrades von Wechselstrommaschinen fanden die Lagerströme entsprechende Berücksichtigung.

Einen großen Fortschritt weisen die Einankerumformer seit dem Erscheinen der ersten Auflage dieses Bandes auf; den Erfahrungen des modernen Maschinenbaues mit raschlaufenden Maschinen mit hohen Umfangsgeschwindigkeiten ist es zu verdanken, daß auch die Ausführung hochperiodiger Einankerumformer mit verhältnismäßig kleiner Polzahl und entsprechend hoher Tourenzahl, unter Verwendung von Wendepolen, möglich wurde. Dadurch erlangte das Kommutierungsproblem eine größere Bedeutung; eine ausführliche Behandlung desselben mit besonderer Berücksichtigung der Wendepole wurde daher erforderlich.

Als Neuerung auf dem Gebiete der Umformer ist der Spaltpolumformer zu verzeichnen; er gelangte bis jetzt in Europa nicht zur Ausführung und scheint keine sehr große Zukunft zu haben, so daß eine ausführliche Darstellung nicht gerechtfertigt erschien. Auch die Drehfeldumformer, die keine wesentliche praktische Bedeutung erlangen konnten, sind nur kurz behandelt.

Durch viele Beispiele ausgeführter Maschinen ist die Vorausberechnung und die Konstruktion der synchronen Wechselstromgeneratoren und Motoren und der Einankerumformer besonders für den Anfänger wesentlich erleichtert.

Wir sprechen allen Firmen, sowie Herrn Oberingenieur F. Sieber, die uns wertvolles Material zur Verfügung stellten, unseren besten Dank aus.

Infolge des unerwarteten Ablebens des Herausgebers fiel mir die Überwachung der Fertigstellung des Buches zu, und in dieser Arbeit hat Herr Privatdozent Dr.-Ing. H. S. Hallo mir in dankenswerter Weise zur Seite gestanden. Wegen der Herausgabe des dritten und fünften (Teil II) Bandes der Wechselstromtechnik konnte die Fertigstellung des vorliegenden Bandes erst jetzt erfolgen.

An der Bearbeitung und der Drucklegung der Neuauflage haben im ersten Teile die Herren Dipl.-Ing. M. Liwschitz und Dr.-Ing. W. O. Schumann und im zweiten Teile des Buches Herr Privatdozent Dr.-Ing. H. S. Hallo teilgenommen. Herr Dipl.-Ing. W. Gerhartz überwachte die Fertigstellung der Zeichnungen.

Ich möchte nicht verfehlen, auch an dieser Stelle diesen Herren, die durch ihre wertvolle Mitarbeit das Erscheinen dieses Bandes gefordert haben, meinen verbindlichsten Dank auszusprechen.

Vesterås, im November 1912.

J. L. la Cour.





# Inhaltsverzeichnis.

## Erster Teil.

### Die synchronen Generatoren und Motoren.

#### Erstes Kapitel.

##### Die Ankerrückwirkung.

Seite

1. Einleitung . . . . .	1
2. Allgemeines über die Ankerrückwirkung . . . . .	4
3. Ankerrückwirkung einer Mehrphasenmaschine mit ausgeprägten Polen . . . . .	5
4. Der Ankerstreufuß $\Phi_{s1}$ und die von ihm induzierte EMK $E_{s1}$ . . . . .	8
5. Die magnetomotorische Kraft des Ankerstromes . . . . .	20
6. Zerlegung des synchronen Drehfeldes in ein quer- und ein langsmagnetisierendes Drehfeld . . . . .	27
7. Berechnung des lang- und quermagnetisierenden Kraftflusses $\Phi_{s2}$ und $\Phi_{s3}$ bzw der EMKe $E_{s2}$ und $E_{s3}$ . . . . .	29
8. Ankerrückwirkung der Einphasenmaschine . . . . .	35
9. Analytische Theorie . . . . .	35
10. Zerlegung des inversen Drehfeldes in zwei Wechselfelder . . . . .	40
11. Mittel zur Dämpfung des inversen Drehfeldes . . . . .	46
12. Berechnung der Dämpferwicklung . . . . .	50
13. Effektiver Widerstand der Statorwicklung . . . . .	52

#### Zweites Kapitel.

##### Änderung der Klemmenspannung eines Generators mit der Belastung und mit der Tourenzahl.

14. Spannungsdiagramme einer Wechselstrommaschine . . . . .	55
15. Spannungsabfall und Spannungserhöhung eines Generators mit ausgeprägten Polen . . . . .	55
16. Bestimmung der Spannungsänderungen unter Benutzung der Leerlaufcharakteristik . . . . .	60
17. Bestimmung der Spannungsänderungen ohne Benutzung der Leerlaufcharakteristik . . . . .	60
18. Spannungsänderung eines Generators bei konstanter Erregung, konstantem Belastungsstrom $J$ und veränderlicher Phasenverschiebung $\varphi$ . . . . .	65
19. Änderung der Klemmenspannung mit der Tourenzahl . . . . .	66

#### Drittes Kapitel.

##### Berechnung der Feldamperewindungen einer Maschine mit ausgeprägten Polen.

20. Berechnung der Feldamperewindungen bei Leerlauf Leerlaufcharakteristik . . . . .	72
21. Die Berechnung der Feldstreuung bei Leerlauf . . . . .	87
22. Die Berechnung der Feldamperewindungen bei Belastung . . . . .	94

## Viertes Kapitel

**Ankerrückwirkung, Spannungsänderung und Feldamperewindungen  
von Maschinen mit Vollpolen.**

23. Die Ankerrückwirkung . . . . .	101
24 Änderung der Klemmenspannung mit der Belastung . . . . .	104
25 Feldamperewindungen bei Leerlauf Leerlaufcharakteristik . . . . .	106
26 Feldamperewindungen bei Belastung . . . . .	110

## Fünftes Kapitel.

**Charakteristische Kurven eines Wechselstromgenerators.**

27 Berechnung der äußeren Charakteristik . . . . .	112
28. Kurzschlußcharakteristik . . . . .	119
29 Belastungscharakteristiken . . . . .	120
30 Berechnung der Regulierungskurven . . . . .	121

## Sechstes Kapitel.

**Die Erregung der synchronen Wechselstrommaschinen.**

31 Verschiedene Arten der Erregung . . . . .	125
32 Regulierung der Erregung . . . . .	127

## Siebentes Kapitel.

**Selbsttätige Regulierung der synchronen Wechselstrommaschinen.**

33 Einteilung der Anordnungen zur selbsttätigen Regulierung der synchronen Wechselstrommaschinen . . . . .	129
34 Einteilung der elektromechanischen Regulatoren . . . . .	130
35. Die indirekt (mittelbar) wirkenden Regulatoren . . . . .	131
36. Die direkt wirkenden Regulatoren . . . . .	136
37 Die Schnellregulatoren . . . . .	139
38 Einteilung der Kompoundierungsanordnungen . . . . .	149
39. Der Kompoundtransformator . . . . .	150
40. Kommutatoren zum Gleichrichten des Erregerstromes . . . . .	154
41. Umformer zum Gleichrichten des Erregerstromes . . . . .	155
Freilaufender Umformer . . . . .	155
Mechanisch gekuppelter Umformer . . . . .	156
Freilaufender Umformer mit Sicherung gegen Außertrittfallen . . . . .	157
Drehfeldumformer . . . . .	157
42 Spezielle Erregermaschinen . . . . .	160
Kompoundierungsanordnung von P Boucherot . . . . .	160
Kompoundierungsanordnung von Hutin und Leblanc . . . . .	160
43 Ruhende Einrichtungen zum Gleichrichten des Erregerstromes . . . . .	162
44 Kompoundierung durch Einführung des rückwirkenden Stromes in die Erregermaschine (kompoundierende Erregermaschine) . . . . .	162
45 Besondere Ausbildung der Generatorpole zur Kompoundierung . . . . .	171
Kompoundierung von E. Arnold . . . . .	171
Kompoundierung von M. Walker . . . . .	172
Kompoundierung von A. Heyland . . . . .	173
46 Einrichtungen zur Beeinflussung der Erregermaschine durch den Ankerstrom . . . . .	173
Kompoundierung von Parsons . . . . .	173
Kompoundierung von Crompton . . . . .	174
Kompoundierung von M Seidner . . . . .	174

## Achstes Kapitel.

**Die Arbeitsweise eines Synchronmotors.**

47. Die Synchronmaschine als Motor . . . . .	175
48. Die Arbeitsgleichungen des Synchronmotors . . . . .	177

49	Arbeitsdiagramm des Synchronmotors . . . . .	181
50.	Die synchronisierende Kraft der Synchronmaschine . . . . .	187
51	Einfluß der Impedanz $z_1$ und der Erregung auf die Arbeitsweise des Synchronmotors . . . . .	189
52	Kraftbeitragung mit zwei Synchronmaschinen . . . . .	194

### Neuntes Kapitel

#### Die V-Kurven eines Synchronmotors und seine Anwendung als Phasenregler.

53	Das Stromdiagramm eines Synchronmotors bei konstanter Klemmenspannung und konstantem Drehmoment . . . . .	195
54	Die V-Kurven der Synchronmaschine . . . . .	198
55	Vollständiges Diagramm eines Synchronmotors . . . . .	205
56	Anwendung der Synchronmotoren als Phasenregler . . . . .	206
57	Selbsttätige Phasenregler . . . . .	210

### Zehntes Kapitel

#### Der Einfluß der variablen Reaktanz auf die Arbeitsweise einer Synchronmaschine.

58	Spannungsgleichung und Drehmoment der Synchronmaschine bei Berücksichtigung der variablen Reaktanz . . . . .	214
59.	Einfluß der Variation der Reaktanz auf die Arbeitsweise einer Synchronmaschine . . . . .	219
60.	Einfluß der Variation der Reaktanz auf die V-Kurven . . . . .	225
61	Die Synchronmaschine ohne Felderregung. (Die Reaktionsmaschine)	228

### Elftes Kapitel.

#### Einfluß der Form der EMK-Kurven auf die Arbeitsweise synchroner Maschinen.

62	Die Größe und Leistung der Oberströme im synchronen Betrieb . .	232
63	Einfluß der Oberströme auf den stabilen Gang der Synchronmotoren	234

### Zwölftes Kapitel

#### Das Parallelschalten synchroner Maschinen.

64.	Das Zusammenarbeiten mehrerer Maschinen . . . . .	244
65	Das Parallelschalten von Einphasengeneratoren . . . . .	246
66	Das Parallelschalten von Mehrphasengeneratoren . . . . .	251
67	Methoden zur Einregulierung der Periodenzahl vor der Parallelschaltung . . . . .	257
68.	Parallelschaltung von Maschinen mit selbsttätiger Regulierung . .	258
	I. Regulierung mittels elektromechanischer Regulatoren . .	258
	II. Kompoundierte Generatoren . . . . .	260
69.	Automatische Parallelschaltung und Synchronisierung . . . .	261
70	Das Anlassen von Synchronmotoren . . . . .	270

### Dreizehntes Kapitel

#### Das Parallelarbeiten synchroner Maschinen.

71	Das Parallelarbeiten mehrerer Generatoren . . . . .	274
72.	Einfluß des Ungleichförmigkeitsgrades der Geschwindigkeitsregulatoren auf die Belastungsverteilung parallel geschalteter Generatoren . . . . .	275
73.	Belastungsänderung parallel geschalteter Generatoren . . . . .	279
74.	Stromverteilung parallel geschalteter Generatoren . . . . .	281
75.	Die synchronisierenden Kräfte mehrerer parallel geschalteter Generatoren . . . . .	284

## Vierzehntes Kapitel.

**Pendelerscheinungen parallel geschalteter Synchronmaschinen.  
Einleitendes.**

76. Die Erscheinung des Pendelns und ihre Ursache . . . . .	287
77. Die Ungleichförmigkeit des Tangentialdruckgramms der Kraftmaschine . . . . .	292
78. Der Ungleichförmigkeitsgrad und die Winkelabweichung des Schwungrades . . . . .	295
a) Bestimmung des Ungleichförmigkeitsgrades aus dem Tangentialdruckdiagramm . . . . .	295
b) Berechnung der Winkelabweichung aus der Kurve der Winkelgeschwindigkeit . . . . .	300
79. Synchronisierende Kraft und synchronisierendes Drehmoment der Maschine mit konstanter Klemmenspannung und konstanter Erregung. Die Überlastungsfähigkeit . . . . .	303
80. Synchronisierende Kraft und synchronisierendes Drehmoment zweier parallel geschalteter Maschinen mit konstanter Erregung . . . . .	313
81. Synchronisierende Kraft und synchronisierendes Drehmoment bei Maschinen mit elektromechanischem Regulator . . . . .	316
82. Synchronisierende Kraft und synchronisierendes Drehmoment bei compoundierten Generatoren . . . . .	318
83. Das Drehmoment der Dampferwicklung bei kleinen Schwingungen . . . . .	320
84. Abhängigkeit des Drehmoments der Dampferwicklung von der Anordnung der Dampferstäbe und von den Maschinenkonstanten. Berechnungsbeispiel . . . . .	325
85. Die Käfigwicklung als Dampferwicklung . . . . .	333
86. Abhängigkeit des Drehmomentes einer Käfigwicklung als Dampferwicklung von der Wicklungsanordnung und den Maschinenkonstanten. Berechnungsbeispiel . . . . .	335
87. Die Pendelbewegung eines einzelnen Generators, der nicht parallel geschaltet ist. Ableitung der Differentialgleichung . . . . .	338
88. Die Analogie zwischen der Gleichung der mechanischen Bewegung und der des elektrischen Stromkreises . . . . .	341

## Fünfzehntes Kapitel.

**Pendelerscheinungen parallel geschalteter Synchronmaschinen infolge des ungleichförmigen Antriebsmoments der Kraftmaschinen.****I Die Pendelbewegung einer Maschine, die an ein unendlich starkes Netz angeschlossen ist**

89. Ableitung der Differentialgleichung und ihre Integration . . . . .	350
90. Das Diagramm der Leistungen . . . . .	358
91. Der Einfluß einer Dampferwicklung auf die elektrischen Vorgänge . . . . .	359
92. Der zulässige Ungleichförmigkeitsgrad für die verschiedenen Arten der Kraftmaschinen . . . . .	363
93. Die Änderung der Eigenschwingungszahl einer Maschine . . . . .	366
94. Zusammenfassung der verschiedenen Bedingungen für ein gutes Parallelarbeiten . . . . .	369
95. Fernere Ursachen von Schwingungen. Die Erwärmung durch den Ausgleichstrom. Praktische Beispiele . . . . .	373
96. Freie Schwingungen und Interferenzerscheinungen . . . . .	378

**II Das Pendeln beliebig vieler parallel geschalteter Maschinen.**

97. Differentialgleichung zweier parallel geschalteter Maschinen . . . . .	379
98. Lösung des Problems für $n$ parallel geschaltete Maschinen, ohne Berücksichtigung der Dämpfung. Der allgemeine Resonanzfall . . . . .	384

99. Pendeln von Generatoren und Umformern . . . . .	396
100. Pendelerscheinungen, wenn die $n$ Maschinen gleich sind Einfluß der verschiedenen Kurbelstellungen . . . . .	397
101. Parallelarbeiten zweier beliebiger Generatoren . . . . .	400
102. Beispiel eines praktischen Parallelbetriebs . . . . .	403

### Sechzehntes Kapitel.

#### Stationäre freie Schwingungen parallel geschalteter Wechselstrommaschinen.

103. Das Pendeln einer einzelnen Maschine, herrührend von dem Geschwindigkeitsregulator . . . . .	407
104. Das Pendeln zweier gleicher und von gleichen Kraftmaschinen angetriebenen Generatoren infolge der Geschwindigkeitsregulatoren . . . . .	413
105. Berücksichtigung der elektrischen Dämpfung der Generatoren bei den Regulatorschwingungen . . . . .	418
106. Die Periodenzahl der Regulatorschwingungen, und die Interferenzerscheinungen mit der erzwungenen Schwingung der Kraftmaschine . . . . .	420
107. Freie Schwingungen parallel arbeitender Gasdynamos, verursacht durch Gasschwingungen in der Ansaugleitung . . . . .	423
108. Ein praktisches Beispiel der Gasschwingungen . . . . .	430
109. Freipendelungen zweier parallel geschalteter Wechselstrommaschinen infolge der Änderung der synchronisierenden Kraft während des Pendelvorganges. Berechnung des Ausgleichstromes mit Berücksichtigung der Spannungsschwankungen . . . . .	432
110. Ein praktischer Fall Möglichkeit derselben Erscheinung auf Grund der Ankerhysteresis. Schwierigkeit des Parallelschaltens bei schweren Schwungradern . . . . .	441
111. Freipendelungen an einem unendlich starken Netz infolge der Variation der synchronisierenden Kraft . . . . .	443
a) Unter Annahme der Gültigkeit des Vektordiagramms während der Pendelungen und Berücksichtigung der Änderung der EMK $E$ . . . . .	443
b) Freipendelungen durch den Einfluß des Ohmschen Widerstandes der Maschine . . . . .	445

### Siebzehntes Kapitel.

#### Anwendung von Drosselspulen zur Vermeidung der Pendelerscheinungen.

112. Induktionsfreie Drosselspulen nach Swinburne und E. Kolben . . . . .	447
---	-----

### Achtzehntes Kapitel.

#### Die Kurzschlußerscheinungen der synchronen Wechselstrommaschinen.

113. Die physikalischen Vorgänge bei dem Kurzschluß eines erregten Wechselstromgenerators . . . . .	457
114. Berechnung des Ankerstromes bei Kurzschluß . . . . .	463
115. Berechnung des vorübergehenden Erregerstromes einer Mehrphasenmaschine bei Kurzschluß . . . . .	466
116. Berechnung des vorübergehenden Erregerstromes einer Einphasenmaschine bei Kurzschluß . . . . .	469
117. Der maximale Ankerstrom. Falsches Parallelschalten. Der Stromstoß in der Erregerwicklung. Auftreten von Wirbelströmen . . . . .	472
118. Die mechanische Beanspruchung der Wicklung bei einem plötzlichen Kurzschluß . . . . .	474

## Neunzehntes Kapitel.

**Verluste und Wirkungsgrad einer Wechselstrommaschine.**

119	Verlust durch Hysteresisarbeit . . . . .	478
120.	Verlust durch Wirbelströme, nicht isolierte Ankerbolzen und innere Ankerströme . . . . .	483
a)	Verlust durch Wirbelströme im Ankereisen . . . . .	483
b)	Verluste durch Wirbelströme in den Polen der Feldmagnete . . . . .	487
c)	Wirbelstromverluste im Ankerkupfer . . . . .	489
d)	Verlust durch innere Ankerströme . . . . .	498
e)	Verlust durch nicht isolierte Ankerbolzen . . . . .	499
121.	Berechnung der gesamten Eisenverluste . . . . .	499
122.	Stromwarmeverluste durch den Ankerstrom und den Erregerstrom . . . . .	501
a)	Verluste durch den Ankerstrom . . . . .	501
b)	Verluste durch den Erregerstrom . . . . .	502
123	Mechanische Verluste . . . . .	503
124.	Der Wirkungsgrad einer Wechselstrommaschine und der Einfluß der einzelnen Verluste . . . . .	506
125	Die Lagerströme . . . . .	509

## Zwanzigstes Kapitel

**Erwärmung und Kühlung einer Synchronmaschine.**

126	Allgemeines über die Erwärmung . . . . .	512
127.	Erwärmung der Armatur . . . . .	512
a)	Erwärmung des Armatureisens . . . . .	513
b)	Erwärmung des Armaturkupfers . . . . .	514
128	Erwärmung der Magnetspulen . . . . .	517
129	Kühlung der Synchronmaschinen . . . . .	519

## Einundzwanzigstes Kapitel.

**Vorausberechnung.**

130	Allgemeines über die Vorausberechnung einer Synchronmaschine . . . . .	527
131	Periodenzahl und Umdrehungszahl . . . . .	529
132	Magnetische und elektrische Beanspruchung des Ankers . . . . .	532
133	Berechnung der Hauptabmessungen der Maschine . . . . .	533
134	Berechnung der Eisenlängen $l$ und $l_1$ . . . . .	536
135.	Anordnung und Berechnung der Ankerwicklung . . . . .	536
136.	Berechnung des Querschnittes der Ankerdrähte . . . . .	538
137.	Die Berechnung der Ankernuten . . . . .	540
138	Berechnung der Eisenhöhe des Ankers . . . . .	542
139	Größe des Luftspaltes $\delta$ und Form des Polschuhes . . . . .	542
140	Berechnung der Armatureaktanz . . . . .	544
141	Berechnung des Kraftflusses $\Phi$ . . . . .	544
142.	Entwurf des Magnetsystems einer Maschine mit ausgeprägten Polen . . . . .	545
143	Vorläufige Berechnung des Wicklungsraumes der Erregerwicklung einer Maschine mit ausgeprägten Polen . . . . .	547
144.	Berechnung der Erregung . . . . .	548
145.	Berechnung der Erregerwicklung einer Maschine mit ausgeprägten Polen . . . . .	549
146.	Vorläufige Berechnung der Erregerwicklung und der Rotornuten einer Maschine mit Vollpolen . . . . .	551
147.	Schlußbemerkung . . . . .	552

## Zweiundzwanzigstes Kapitel.

**Beispiele für die Vorausberechnung.**

148.	Berechnung eines 1000 KVA-Dreiphasengenerators für eine Wasserturbine . . . . .	554
149.	Berechnung eines 100 PS-Einphasenmotors . . . . .	574

150	Nachrechnung eines Turbogenerators . . . . .	574
151.	Zusammenstellung der Berechnung einer Synchronmaschine . . . .	587
152	Tabelle über Hauptabmessungen und berechnete Größen ausgeführter Synchronmaschinen . . . . .	596

## Dreißundzwanzigstes Kapitel.

**Experimentelle Untersuchung der synchronen Wechselstrommaschinen.**

153	Aufnahme der charakteristischen Kurven . . . . .	600
a)	Leerlaufcharakteristik . . . . .	600
b)	Kurzschlußcharakteristik . . . . .	601
c)	Belastungscharakteristik . . . . .	602
d)	Außere Charakteristik . . . . .	603
e)	Regelungskurve . . . . .	604
154.	Experimentelle Bestimmung der Streureaktanz $x_1$ und des effektiven Widerstandes der Ankerwicklung $r_a$ . . . . .	605
a)	Mittels Leerlauf- und Kurzschlußcharakteristik . . . . .	605
b)	Mittels Leerlaufcharakteristik und Belastungscharakteristik für rein induktive Belastung . . . . .	605
c)	Die dritte Methode zur experimentellen Bestimmung von $x_1$ . . . .	607
155	Bestimmung des Wirkungsgrades . . . . .	607
a)	Bestimmung des Wirkungsgrades aus der Messung des Leerlauf- und Kurzschlußeffektes . . . . .	607
b)	Bestimmung des Wirkungsgrades durch Messung der Leerlauf- und Stromwärmeverluste nach der Leerlaufmethode . . . .	617
156	Trennung der Eisenverluste . . . . .	620
157	Untersuchung der Temperaturerhöhung . . . . .	622
158.	Beispiel für die vollständige Untersuchung eines Dreiphasengenerators .	627
159	Untersuchung eines Synchronmotors . . . . .	634
160	Experimentelle Bestimmung der Winkelabweichung . . . . .	637
a)	Winkelabweichung einer Maschine gegen vollkommenen Synchronismus . . . . .	637
b)	Winkelabweichung zwischen zwei parallelgeschalteten Maschinen .	642

## Vierundzwanzigstes Kapitel

**Anordnung der Feldmagnete und der Erregerwicklung der synchronen Wechselstrommaschinen.**

161	Anordnung der Feldmagnete und der Erregerwicklung bei langsamlaufenden Maschinen . . . . .	644
162.	Anordnung der Feldmagnete und der Erregerwicklung bei schnelllaufenden Maschinen mit ausgeprägten Polen . . . . .	652
163.	Anordnung der Feldmagnete und der Erregerwicklung bei schnelllaufenden Maschinen mit Vollpolen . . . . .	654

## Fünfundzwanzigstes Kapitel

**Beispiele ausgeführter Konstruktionen.**

164	Langsamlaufende Maschinen . . . . .	660
165	Raschlaufende Maschinen . . . . .	673

**Zweiter Teil.****Die Umformer.**

## Sechszundzwanzigstes Kapitel.

**Einleitung.**

166.	Allgemeines über Umformer . . . . .	683
167.	Umwandlung von Wechselstrom in Gleichstrom . . . . .	684



## Inhaltsverzeichnis.

	Seite
168. Motorgeneratoren . . . . .	686
169. Einankerumformer . . . . .	689
170. Spaltpolumformer . . . . .	692
171. Kaskadenumformer . . . . .	692
172. Periodenumformer . . . . .	694

### Siebenundzwanzigstes Kapitel.

#### Spannungs- und Stromverhältnisse eines Einankerumformers.

173. Spannungsverhältnisse eines Einankerumformers . . . . .	698
174. Die Ankerströme eines Umformers . . . . .	705
175. Die Stromwärmeverluste im Umformeranker . . . . .	712
176. Die Oberströme . . . . .	716

### Achtundzwanzigstes Kapitel.

#### Spannungsabfall und Ankerrückwirkung eines Umformers.

177. Die Pulsation der Gleichspannung eines Umformers . . . . .	718
a) Spannungsschwankungen, herrührend von dem Ohmschen Spannungsabfall in der Ankerwicklung . . . . .	718
b) Spannungsschwankungen, herrührend von den Oberfeldern der Ankerströme . . . . .	720
c) Spannungsschwankungen, herrührend von Oberströmen . . . . .	721
178. Der Spannungsabfall eines Umformers . . . . .	722
179. Der wattlose Strom und die Felderregung eines Umformers . . . . .	723

### Neunundzwanzigstes Kapitel.

#### Die Spannungsregulierung und die charakteristischen Kurven eines Umformers.

180. Spannungsregulierung . . . . .	728
a) Änderung des Übersetzungsverhältnisses des Transformators (Reguliertransformator) . . . . .	729
b) Vorgeschaltete Reaktanz (Kompoundierung) . . . . .	730
c) Induktionsregulatoren (Drehtransformatoren, Potentialregler) . . . . .	734
d) Synchrone Zusatzmaschine . . . . .	736
181. Die Leerlaufcharakteristik . . . . .	737
182. Die äußere Charakteristik . . . . .	737
183. Die Belastungscharakteristik . . . . .	740
184. Die V-Kurven . . . . .	741

### Dreißigstes Kapitel.

#### Die Kommutation.

185. Die Kommutation eines Einankerumformers ohne Wendepole . . . . .	744
186. Die Kommutation eines Einankerumformers mit Wendepolen . . . . .	748

### Einunddreißigstes Kapitel

#### Das Anlassen und Parallelarbeiten von Umformern.

187. Das Anlassen von Umformern . . . . .	755
a) Das Anlassen eines rotierenden Umformers von der Wechselstromseite . . . . .	755
b) Das Anlassen von der Gleichstromseite . . . . .	758
c) Das Anlassen mittels eines Hilfsmotors (Anwurfmotors) . . . . .	760
188. Das Parallelarbeiten von Umformern . . . . .	760
189. Die Pendelerscheinungen . . . . .	762

### Zweiuunddreißigstes Kapitel.

#### Anwendungen des Einankerumformers.

190. Verschiedene Verwendungsarten . . . . .	766
191. Der Einphasen-Einankerumformer . . . . .	768

192. Der umgekehrte Umformer . . . . .	768
193. Der Doppelstromgenerator . . . . .	774
194. Anwendung des Umformers zur Phasen- und Spannungsregulierung bei Arbeitsübertragungen . . . . .	777

### Dreißunddreißigstes Kapitel.

#### Umformer besonderer Konstruktion.

195 Der Spaltpolumformer . . . . .	780
196 Der Drehfeldumformer . . . . .	786
197 Der Umformer (Penchahuteui) von Hutin & Leblanc . . . . .	789
198 Der Drehfeldumformer (Permutator) von Rouge-Faget . . . . .	790

### Vierunddreißigstes Kapitel.

#### Die Untersuchung eines Umformers.

199 Aufnahme der charakteristischen Kurven . . . . .	792
a) Leerlaufcharakteristik . . . . .	792
b) Die äußere Charakteristik . . . . .	793
c) V-Kurven . . . . .	794
200 Bestimmung des Wirkungsgrades . . . . .	795
a) Bestimmung des Wirkungsgrades aus den Leerlaufverlusten und berechneten Kupferverlusten . . . . .	795
b) Bestimmung des Wirkungsgrades nach der direkten Methode . . . . .	796
c) Bestimmung des Wirkungsgrades nach der Zurückarbeitungs- methode . . . . .	796
201. Aufnahme der Feld- und Potentialkurven . . . . .	800
202. Aufnahme der Kurve des inneren Umformerstromes . . . . .	802

### Fünfunddreißigstes Kapitel.

#### Die Vorausberechnung von Umformern.

203 Allgemeines über die Vorausberechnung . . . . .	803
204 Die Wahl der Polzahl . . . . .	804
205 Berechnung der Hauptabmessungen . . . . .	807
206. Dimensionierung des Ankers . . . . .	811
207. Die Berechnung des Kommutators und der Kollektorrings . . . . .	815
208. Die Anlaufzeit $T$ des Ankers . . . . .	817
209. Das Magnetfeld und die Feldwicklungen . . . . .	817
210. Verluste, Wirkungsgrad und Temperaturerhöhungen . . . . .	819

### Sechsenddreißigstes Kapitel.

#### Beispiel und Formular zur Vorausberechnung.

211. Ausführliche Berechnung eines Einankerumformers . . . . .	823
212. Zusammenstellung der Formeln für die Berechnung eines Einanker- umformers . . . . .	843

### Siebenunddreißigstes Kapitel.

#### Beispiele ausgeführter Einankerumformer.

213 Beispiele ausgeführter Einankerumformer . . . . .	846
214 Tabelle über Hauptabmessungen und berechnete Größen ausgeführter Einankerumformer . . . . .	859

### Achtunddreißigstes Kapitel.

#### Die Konstruktion der Umformer.

215. Die Konstruktion der Umformer . . . . .	862
Erklärung der in den Formeln verwendeten Buchstaben . . . . .	873
Namen- und Sachregister . . . . .	883

## Verzeichnis der Tafeln.

Tafel	I.	2500 KVA-Einphasengenerator	Brown, Boveri & Co , Baden, Schweiz.
Tafel	II.	5700 KVA-Dreiphasengenerator.	Brown, Boveri & Co , Baden, Schweiz.
Tafel	III.	420 KVA-Dreiphasenmotor.	Brown, Boveri & Co , Baden, Schweiz
Tafel	IV.	925 KVA-Dreiphasengenerator	Maschinenfabrik Orlikon
Tafel	V.	6250 KVA-Dreiphasengenerator	Siemens-Schuckert-Werke, Berlin.
Tafel	VI.	2800 KVA-Dreiphasenturbogenerator.	Société Alsacienne de Constructions Mécaniques, Belfort
Tafel	VII.	7000 KVA-Dreiphasenturbogenerator.	Brown, Boveri & Co , Baden, Schweiz.
Tafel	VIII.	1000 KVA-Dreiphasenturbogenerator	Siemens-Schuckert-Werke, Berlin.
Tafel	IX.	4000 KVA-Dreiphasenturbogenerator.	British Westinghouse Co.
Tafel	X.	4000 KVA-Dreiphasenturbogenerator.	Ateliers de Constructions électriques de Charleroi
Tafel	XI.	5000 KVA-Dreiphasenturbogenerator.	Ganzsche E.-A.-G., Budapest.
Tafel	XII.	7500 KVA-Dreiphasenturbogenerator.	Allgemeine Elektrizitäts-gesellschaft, Berlin.
Tafel	XIII.	8000 KVA-Zweiphasenturbogenerator	El.-Ges Alsth, Munchen-stein, Basel.
Tafel	XIV.	9330 KVA-Dreiphasenturbogenerator	Maschinenfabrik Orlikon.
Tafel	XV.	300 KW-Einankerumformer.	Elektrotechnische Industrie, Slikkerveer, Holland
Tafel	XVI.	1000 KW-Einankerumformer.	Brown, Boveri & Co , Baden, Schweiz.
Tafel	XVII.	Magnetisierungskurven zur Berechnung der Zahn-AW für Dynamostahl (Rotoren von Turbogeneratoren).	
Tafel	XVIII.	Magnetisierungskurven für Dynamoblech, Dynamostahl, Gußeisen und schwach legiertes Eisenblech.	

---

**Erster Teil.**

**Die synchronen Generatoren und Motoren.**



## Erstes Kapitel.

# Die Ankerrückwirkung.

1. Einleitung — 2. Allgemeines über die Ankerrückwirkung. — 3. Ankerrückwirkung einer Mehrphasenmaschine mit ausgeprägten Polen. — 4. Der Ankerstreufuß  $\Phi_{s1}$  und die von ihm induzierte EMK  $E_{s1}$ . — 5. Die magneto-motorische Kraft des Ankerstromes — 6. Zerlegung des synchronen Drehfeldes in ein quer- und ein langmagnetisierendes Drehfeld. — 7. Berechnung des langs- und quermagnetisierenden Kraftflusses  $\Phi_{s2}$  und  $\Phi_{s3}$  bzw. der EMKe  $E_{s2}$  und  $E_{s3}$ . — 8. Ankerrückwirkung der Einphasenmaschine. — 9. Analytische Theorie. — 10. Zerlegung des inversen Drehfeldes in zwei Wechsel-felder. — 11. Mittel zur Dämpfung des inversen Drehfeldes. — 12. Berechnung der Dämpferwicklung. — 13. Effektiver Widerstand der Statorwicklung.

## 1. Einleitung.

Zu den synchronen Wechselstrommaschinen gehören diejenigen Generatoren, Motoren und Umformer, deren Feldpole durch Gleichstrom erregt werden. Die Lage der Feldpole ist daher in bezug auf die Feldwicklung eine unveränderliche und die Maschine ist an Synchronismus gebunden.

Die Kurvenform der in der Ankerwicklung induzierten EMK ist abhängig von der Gestalt der Pole, der Stärke der Erregung, der Verteilung der Ankerwicklung, der Form, Zahl und Größe der Ankernuten, und der Rückwirkung der Ankerströme auf das Feldsystem.

Man strebt bei den Synchronmaschinen eine sinusförmige Spannungs-kurve an, denn die höheren Harmonischen der Spannung können unter Umständen unangenehme Folgen haben, wie z. B. Resonanz-(Überspannungs-)Erscheinungen in Hochspannungsanlagen, störende Einflüsse auf benachbarte Telefonleitungen, Erschwerung des Parallelbetriebes und Erhöhung der Verluste.

Die Abhängigkeit der Form der EMK-Kurve von der Form der Feldkurve und der Verteilung der Ankerwicklung ist in WT III, Kap. VIII u. IX ausführlich erläutert. Man wird den Polschuh so

zu gestalten suchen, daß die Feldkurve möglichst sinusförmig verläuft, die Wicklung auf mehrere Nuten pro Pol verteilen und die Nutenüberschwingungen durch Anwendung halb oder ganz geschlossener Nuten oder, wie in WT III, S. 230 gezeigt, durch passende Stellung und Form der Pole zu vermeiden suchen.

Die Oberschwingungen, die durch die Ankerruckwirkung in die Spannungskurve hineinkommen und namentlich bei den Einphasen-Synchronmaschinen sich bemerkbar machen, können durch Dampferwicklungen beseitigt werden, wie nachfolgend in Abschnitt 11 gezeigt werden soll.

Nicht nur die Form der EMK-Kurve, sondern auch die Größe des Effektivwertes der induzierten EMK ist von der Form der Feldkurve und von der Verteilung der Wicklung abhängig. Wir haben gefunden (WT III, Gl. 84, S. 197)

$$E = 4 k c w \Phi 10^{-8} = 4 f_B f_w c w \Phi 10^{-8} \text{ Volt} \quad . \quad . \quad (1)$$

Es bedeuten hierin  $f_B = \frac{B_{eff}}{B_{mittel}}$  den Formfaktor der Feldkurve und  $f_w$  den Wicklungsfaktor, der von der Verteilung der Wicklung und der Feldform abhängig ist.

In den meisten praktischen Fällen ist es zulässig, die Feldkurve der unbelasteten Maschine als nahezu sinusförmig anzunehmen<sup>1)</sup>. Es wird dann für die bei Leerlauf induzierte EMK

$$f_B = 1,11$$

und

$$f_{w1} = \frac{\sin q \frac{\alpha}{2}}{q \sin \frac{\alpha}{2}} \quad . \quad . \quad . \quad . \quad . \quad . \quad (2)$$

$q$  ist die pro Pol und Phase bewickelte Zahl der  $Q$  Löcher pro Pol. Bei einer  $m$ -phasigen Lochwicklung ist gewöhnlich  $q = \frac{Q}{m}$ . Setzen wir  $\alpha = \frac{\pi}{Q}$  ein, so wird der Wicklungsfaktor für die Grundharmonische der Feldkurve bei Einphasenwicklungen

$$f_{w1} = \frac{\sin \frac{q}{Q} \frac{\pi}{2}}{q \sin \frac{1}{Q} \frac{\pi}{2}} \quad . \quad . \quad . \quad . \quad . \quad . \quad (3)$$

<sup>1)</sup> Über die allgemeine Methode zur Berechnung von  $f_B$  siehe WT III, Kap. VIII, S. 183 und zur Berechnung von  $f_w$  siehe WT III, Kap. IX, S. 209.  
<sup>2)</sup> Bez. der Berechnung von  $f_{w1}$  siehe WT III, Kap. IX, S. 200.

und bei Mehrphasenwicklungen

$$f_{w1} = \frac{\sin \frac{\pi}{2m}}{q \sin \frac{\pi}{2qm}} \dots \dots \dots (4)$$

Ist die Wicklung gleichmäßig verteilt, so wird, wenn die Breite einer Spulenseite gleich  $S$  ist,

$$f_{w1} = \frac{\sin \frac{S}{\tau} \frac{\pi}{2}}{\frac{S}{\tau} \frac{\pi}{2}}. \quad \dots \dots \dots (5)$$

In den folgenden Tabellen sind nun die Wicklungsfaktoren für die Grundharmonische der Feldkurve für Ein-, Zwei- und Dreiphasenwicklungen zusammengestellt.

### Lochwicklungen.

Einphasige			Zweiphasige		Dreiphasige	
$Q$	$q$	$f_{w1}$	$q$	$f_{w1}$	$q$	$f_{w1}$
4	3	0,804	2	0,924	2	0,966
5	4	0,766	3	0,910	3	0,960
6	4	0,833	4	0,906	4	0,958
7	5	0,810	5	0,904	5	0,957
8	6	0,794	6	0,903	6	0,957

### Verteilte Wicklungen.

Einphasige		Zweiphasige		Dreiphasige	
$\frac{S}{\tau}$	$f_{n1}$	$\frac{S}{\tau}$	$f_{n1}$	$\frac{S}{\tau}$	$f_{n1}$
0,7	0,810	$1\frac{1}{2}$	0,901	$\frac{1}{3}$	0,956
0,8	0,756	—	—	$\frac{2}{3}$	0,830
0,9	0,699	—	—	—	—
1,0	0,636	—	—	—	—

Kennen wir noch den Kraftfluß  $\Phi$ , der die Fläche einer Windung, deren Weite  $y$  gleich der Polteilung ist, durchsetzt, so können wir mit obigen Angaben die im Anker induzierte EMK aus Formel 1 berechnen.

Für die unbelastete Maschine (Ankerstromkreis offen) läßt sich die Feldkurve, und aus dieser der Kraftfluß  $\Phi$  in einfacher Weise finden, wie im Abschnitt 20 näher gezeigt wird. Komplizierter sind



die Verhältnisse bei der belasteten Maschine. Das induzierende Feld wird jetzt von den Feld- und Ankeramperewindungen gemeinsam erzeugt.

Die Ankerrückwirkung ist abhängig von der Größe der Belastung und von der Phasenverschiebung zwischen Strom und induzierter EMK, sie ändert die Stärke und die Form der Magnetfelder. Wir wollen uns daher zunächst mit der Ankerrückwirkung befassen.

## 2. Allgemeines über die Ankerrückwirkung.

Bis jetzt haben wir die Felder und die physikalischen Vorgänge eines Wechselstromgenerators bei stromloser Armatur untersucht. Wir wollen nun voraussetzen, die Maschine sei belastet, so daß ein Strom die Armaturwicklung durchfließt. Dieser Strom erzeugt wie jeder andere Strom ein magnetisches Feld, das in diesem Falle ein Wechsel- oder Drehfeld ist. Dieses Feld wirkt auf die Armaturwicklung induzierend zurück, ferner induziert es Wirbelströme in den massiven Metallteilen der Maschine und bei der Einphasenmaschine noch Ströme von höherer Periodenzahl in der Erregerwicklung. Alle diese Wirkungen kann man mit dem Namen „Ankerrückwirkung“ bezeichnen, während die vom Armaturfelde auf die Armaturwicklung selbst ausgeübte induzierende Wirkung nichts anderes ist als Selbstinduktion.

Die Ankerrückwirkung und der Ohmsche Widerstand der Armaturwicklung bewirken, daß die Spannung an den Klemmen des Generators bei Belastung niedriger wird als bei Leerlauf, wenn die Erregung unverändert gelassen wird. Den Abfall der Klemmenspannung dividiert durch die Spannung bei Leerlauf, multipliziert mit 100, heißt man den prozentualen Spannungsabfall.

Umgekehrt kann man den Vorgang betrachten, der eintritt, wenn die Belastung der Maschine bei normaler Klemmenspannung abgeschaltet und die Armatur stromlos wird. Läßt man auch in diesem Falle die Erregung unverändert, so steigt die Klemmenspannung, und die Spannungserhöhung dividiert durch die normale Spannung, multipliziert mit 100, heißt man die prozentuale Spannungserhöhung.

Läßt man eine bekannte EMK  $e$  auf irgendeine beliebig geschlossene Leitung wirken, so erzeugt diese in dem Kreise einen Strom  $i$ , dessen Stärke von der Art des Kreises abhängig ist. Die Eigenschaften des Kreises können im allgemeinen durch einen effektiven Widerstand  $r$  und eine effektive Reaktanz  $x$  (bezogen auf die Grundwelle) ausgedrückt werden, seien diese nun herrührend

von Ohmschen Widerständen, Selbstinduktion oder gegenseitiger Induktion zwischen dem betrachteten Stromkreis und benachbarten metallischen Leitern oder herrührend von Kapazitäten.

Wie und wo man in die Leitung die bekannte EMK einführt oder erzeugt, hat keinen Einfluß auf die Lösung der Aufgabe, solange  $e$  unabhängig von dem effektiven Widerstand und der effektiven Reaktanz der Leitung ist, und dies ist in der Tat der Fall bei der in einem Wechselstromgenerator bei konstanter Erregung und konstanter Tourenzahl induzierten EMK  $e$ . — Umgekehrt sind aber der effektive Widerstand  $r_a$  und die Reaktanz  $x_a$  der Wicklung eines Wechselstromgenerators nicht unabhängig von der Größe der induzierten EMK  $e$  oder richtiger gesagt von der Erregerstromstärke  $i_e$ ; denn diese ändert die magnetische Permeabilität der Eisenteile des Generators. Dieser Einfluß auf  $r_a$  und  $x_a$  muß berücksichtigt werden.

Wir wollen daher die Wirkungen, die die von der Feld- und Ankerwicklung erzeugten Felder ausüben und wie sie sich gegenseitig beeinflussen, untersuchen und beginnen, als dem einfachsten Fall, mit der Mehrphasenmaschine.

### 3. Ankerrückwirkung einer Mehrphasenmaschine mit ausgeprägten Polen.

Wir betrachten eine Dreiphasenmaschine. Der in der Ankerwicklung fließende Strom erzeugt ein Drehfeld, das sich mit der synchronen Geschwindigkeit längs der Ankerwicklung bewegt. Relativ zu den Feldpolen ist dieses Feld in Ruhe. Es übt daher auf den Erregerstromkreis keine induzierende Wirkung aus, dagegen induziert es in der Ankerwicklung EMKe der Selbstinduktion.

Wir haben schon früher die vom primären Kraftfluß in der Ankerwicklung induzierte EMK berechnet und gefunden

$$E = 4kcw\Phi 10^{-8}.$$

Analog kann man für die vom Ankerfelde selbst induzierte EMK

$$E_s = Jx_a = 4k_s cw\Phi_s 10^{-8}$$

schreiben. Die Größe von  $k_s$  und  $\Phi_s$  ist aber schwieriger zu ermitteln. Der Kraftfluß  $\Phi_s$  verläuft in Räumen mit verschiedenen magnetischen Leitfähigkeiten, weshalb es, um die Rechnung zu erleichtern, zweckmäßig erscheint,  $\Phi_s$  und  $E_s$  in mehrere Teile zu zerlegen, je nach den Räumen, in denen die einzelnen Flüsse verlaufen.

Wir wollen folgende vom Ankerstrom erzeugte Kraftflüsse unterscheiden:

1. den Kraftfluß  $\Phi_{s1}$ , der durch die Nut selbst, zwischen den Köpfen der Ankerzähne durch die Luft und um die Spulenköpfe verläuft. Die von diesem Streufluß induzierte EMK sei  $E_{s1}$ ;
2. den Kraftfluß  $\Phi_{s2}$ , der den Luftspalt  $\delta$  zweier benachbarter Pole durchsetzt und mit den Erregerwindungen verschlungen ist. Dieser wird als längsmagnetisierender Kraftfluß bezeichnet und induziert die EMK  $E_{s2}$  in der Ankerwicklung;
3. den Kraftfluß  $\Phi_{s3}$ , der den Luftspalt  $\delta$  eines Poles zweimal und das Eisen der Polschuhe durchsetzt, ohne mit den Erregerwindungen verschlungen zu sein. Dieser wird als quermagnetisierender Kraftfluß bezeichnet und induziert in der Ankerwicklung die EMK  $E_{s3}$ .

Um die Bedeutung der Größen  $\Phi_{s2}$  und  $\Phi_{s3}$  bzw.  $E_{s2}$  und  $E_{s3}$  näher zu zeigen, wollen wir folgende drei Fälle untersuchen.

**1. Fall.** Der Ankerstrom ist in Phase mit der vom primären Kraftfluß induzierten EMK. In diesem Falle erreichen EMK und Strom ihren größten Wert, wenn die Spulenseite unter der Mitte des Poles liegt; diesem Moment entsprechen die Fig. 1 und 2, in denen nur die Wicklung einer Phase eingezeichnet ist. Da die Amplitude der MMK-Kurve in der Mitte derjenigen Statorphase auftritt, die in dem entsprechenden Moment das Strommaximum führt (vgl. WT. III, Fig. 278), so wird in den Fig. 1 und 2 die

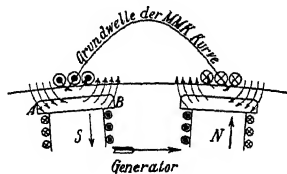


Fig. 1.

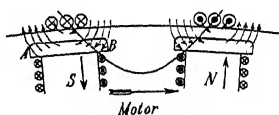


Fig. 2.

Amplitude der MMK-Kurve gerade über der Mitte der Polhälfte liegen. Betrachten wir nun den Verlauf der Kraftlinien in der Fig. 1, so sehen wir, daß die Stärkung der Induktion der Polhälfte A gleich der Schwächung der Induktion der Hälfte B ist, so daß für diesen Fall der resultierende Kraftfluß derselbe ist wie bei Leerlauf, kleine Sättigung der Polschuhe vorausgesetzt. Bei einem Motor ist das Umgekehrte der Fall. Wir erhalten die Verhältnisse im Motor (Fig. 2), wenn wir den Generatorstrom (Fig. 1) umkehren, da im Motor der Strom der induzierten EMK entgegengerichtet ist. Wie aus Fig. 2 ersichtlich ist, findet hier auf der Eintrittsseite B der Pole eine Stärkung des Feldes, auf der Austrittsseite A eine Schwächung statt.

Außer den Linien des Streuflusses  $\Phi_{s1}$  sind in diesem Falle nur noch solche vorhanden, die den Luftspalt eines Poles zweimal und nur das Eisen der Polschuhe durchsetzen, ohne mit den Erregerwindungen verschlungen zu sein, das sind die Linien des Flusses  $\Phi_{s3}$ . Ist also der Strom in Phase mit der induzierten EMK, so tritt außer dem Flusse  $\Phi_{s1}$  nur noch der Fluß  $\Phi_{s3}$  auf, der hier dieselbe Wirkung auf die Pole ausübt, wie die quermagnetisierenden AW bei der Gleichstrommaschine.

**2. Fall.** Der Ankerstrom ist gegen die induzierte EMK um  $90^\circ$  verzögert. In diesem Falle (Fig. 3 und 4) erreicht der Strom seinen maximalen Wert, wenn die Spulenseiten in den Pollucken liegen; die Amplitude der MMK-Kurve tritt somit über der Polmitte auf. Außer den Linien des Streuflusses  $\Phi_{s1}$  sind hier nur noch solche vorhanden, die den Luftspalt zweier benachbarter Pole durchsetzen und mit den Erregerwindungen verschlungen sind, also Linien des Flusses  $\Phi_{s2}$ , des längsmagnetisierenden Flusses.

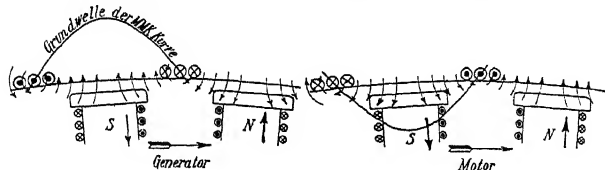


Fig. 3.

Fig. 4.

Vergleichen wir Fig. 3, die sich auf den Generator bezieht, mit Fig. 4, die die Verhältnisse im Motor darstellt, so folgt, daß bei Phasennacheilung des Stromes der Erregerfluß im Generator geschwächt, im Motor gestärkt wird.

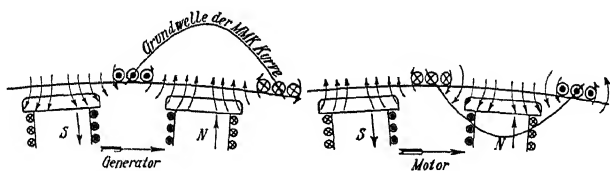


Fig. 5.

Fig. 6.

**3. Fall.** Der Ankerstrom eilt der induzierten EMK um  $90^\circ$  vor (Fig. 5 und 6). Auch in diesem Falle erreicht der Strom seinen höchsten Wert, wenn die Spulenseiten über den Polmitten liegen. Außer dem Streufluß  $\Phi_{s1}$  sind nur noch die Linien des Flusses  $\Phi_{s2}$  vorhanden; die Wirkung ist eine reine längsmagnetisierende, aber, wie aus den Fig. 5 und 6 ersichtlich, eine umgekehrte wie im Falle 2. Ein phasenvoreilender Strom verstärkt das Erregerfeld im Generator, und schwächt dieses im Motor.

Wir sehen somit, daß die Art der Rückwirkung von der Phasenverschiebung des Stromes gegen die induzierte EMK, von dem inneren Phasenverschiebungswinkel  $\psi$ , abhängig ist.

In der folgenden Tabelle sind die Resultate, die sich ergeben, zusammengestellt.

Das Erregerfeld wird		
bei Phasengleichheit	im Generator an der Eintrittsseite der Pole geschwächt und an der Austrittsseite verstärkt	im Motor an der Eintrittsseite der Pole verstärkt und an der Austrittsseite geschwächt
bei Phasennacheilung	im Generator geschwächt	im Motor verstärkt
und bei Phasenvoreilung	im Generator verstärkt	im Motor geschwächt

Ist die Phasenverschiebung eine von  $90^\circ$  abweichende, was fast immer der Fall ist, so können wir die Ankerrückwirkung doch auf die besprochenen Fälle zurückführen, indem wir den Strom in eine Wattkomponente, die mit der induzierten EMK in Phase ist, und in eine wattlose Komponente, die um  $90^\circ$  verfrüht oder verzögert ist, zerlegen und die Rückwirkung dieser Komponenten für sich betrachten. Der Wattstrom ergibt eine quermagnetisierende, der wattlose Strom eine längsmagnetisierende Wirkung. Die resultierende Rückwirkung ergibt sich dann durch Übereinanderlagerung der beiden Komponenten. Wir werden darauf näher eingehen bei der Berechnung der EMKe  $E_{s2}$  bzw.  $E_{s3}$ .

#### 4. Der Ankerstreufuß $\Phi_{s1}$ und die von ihm induzierte EMK $E_{s1}$ .

Gemäß der Definition des Kraftflusses  $\Phi_{s1}$  sind bei dessen Berechnung nur solche Kraftlinien in Betracht zu ziehen, die nicht in das Eisen des Feldsystems eintreten.

Zur Bestimmung von  $E_{s1}$  müssen wir die Summe aller Verkettungen der Linien des Flusses  $\Phi_{s1}$  mit der Wicklung bilden. Es ist dann

$$E_{s1} = 2\pi c J \sum (w_x \Phi_x) 10^{-8} = J x_{s1},$$

wo  $\Phi_x$  den von einem Ampere erzeugten mit  $w_x$  Windungen verketteten Kraftfluß bedeutet.

Die Reaktanz

$$x_{s1} = 2\pi c \sum (w_x \Phi_x) 10^{-8}$$

kann man als Streureaktanz bezeichnen.

Wir setzen:

$s_n$  = Drahtzahl pro Loch in Serie,  
 $q$  = Lochzahl pro Pol und Phase.  
 $p$  = Polpaarzahl,  
 $w = pq s_n$  = Windungen in Serie pro Phase,

Wir haben  $2pq$  Spulenseiten pro Phase von je  $s_n$  Drähten in Serie pro Nut.

Eine Kraftlinie umschließt im allgemeinen nicht alle  $s_n$  Drähte einer Nut, sondern nur  $s_x$ . Es wird somit:

$$w_x = pq s_x \quad \text{und} \quad \Phi_x = 2 l_x \lambda'_x s_x$$

wenn  $2l_x$  = Länge einer Windung in Zentimetern, für die  $\lambda'_x$  berechnet wird,  $\lambda'_x$  = Leitfähigkeit des die Drähte der Spule umgebenden magnetischen Kreises pro Zentimeter Länge der Windung.

Die Streureaktanz ist:

$$\begin{aligned} x_{s1} &= 4 \pi c p q \sum (s_x^2 l_x \lambda'_x) 10^{-8} = 4 \pi c p q s_n^2 \sum \left[ \left( \frac{s_x}{s_n} \right)^2 l_x \lambda'_x \right] 10^{-8} \\ &= 4 \pi c p q s_n^2 \sum (l_x \lambda_x) 10^{-8}, \end{aligned}$$

wo  $\lambda_x = \left( \frac{s_x}{s_n} \right)^2 \lambda'_x$  die Leitfähigkeit eines gedachten Flusses ist, der sämtliche Drahte einer Nut umschließt, und dieselbe Krafttröhrenverkeftungszahl ergibt wie der wirkliche Streufuß. Wir bezeichnen diese Leitfähigkeit  $\lambda_x$  als äquivalente Leitfähigkeit.

Da  $p q s_n = w$  gleich der Windungszahl in Serie einer Phase, ist

$$x_{s1} = \frac{12,5 c w^2}{p q} \sum (l_x \lambda_x) 10^{-8} \text{ Ohm} . . . . (6)$$

Die Summe  $\sum (l_x \lambda_x)$  rechnet man am bequemsten, wenn man das Gesetz der Superposition anwendet, was hier zulässig ist, weil der größte Teil des magnetischen Widerstandes in der Luft liegt. — Liegen die Drähte in Nuten, was jetzt allgemein der Fall ist, so unterscheiden wir:

- A. den Kraftfluß, der jede einzelne Nut durchsetzt. Die äquivalente Leitfähigkeit dieses Flusses bezeichnen wir mit  $\lambda_n$ , die zugehörige Länge ist  $l_x = l_i$ ;
- B. den Kraftfluß, der von einem Zahnkopf zu einem anderen durch die Luft verläuft und eine oder mehrere Nuten umschlingt. Die äquivalente Leitfähigkeit dieses Flusses wird mit  $\lambda_k$  bezeichnet. Die zugehörige Länge ist  $l_x = l_i$ ;
- C. den Kraftfluß, der um die Stirnverbindungen (Spulenköpfe) verläuft und dessen äquivalente Leitfähigkeit mit  $\lambda_s$  bezeichnet wird. Die Länge des Spulenkopfes sei  $l_s$ .

Die Summe  $\Sigma(l_x \lambda_x)$  ist über eine halbe Spulenlänge zu bilden. Es ist also

$$\Sigma(l_x \lambda_x) = l_n \lambda_n + l_k \lambda_k + l_s \lambda_s.$$

Bezüglich des Flusses, der durch die Nut verläuft, ist zu bemerken: Ist die Nut schmal und nicht viel weiter als die Spule breit ist, so werden die Kraftlinien quer über die Nut verlaufen und senkrecht auf den Nutenwänden stehen. Ist dagegen die Spule viel schmaler als die Nut, wie es bei Hochspannungsmaschinen der Fall sein kann, so wird der Verlauf der Kraftlinien nicht so einfach sein, und man hat nur einen Ausweg, nämlich mehrere Kraftlinienbilder aufzuzeichnen und dasjenige als das richtigste anzusehen, das die größte magnetische Leitfähigkeit besitzt, d. h. das, das die größte Reaktanz ergibt. Dieser Ausweg ist aber hier so kompliziert und unpraktisch, daß wir von diesem von vornherein absehen und bei den weiten Nuten denselben Kraftlinienverlauf wie bei den schmalen annehmen. Er halt man aus diesem Grunde zu kleine Werte für  $x_{s1}$ , so wird man aus anderen Gründen (Vernachlässigung der Schirmwirkungen und der Skin-effekte) zu viel rechnen.

Weniger sicher ist die Bestimmung des Kraftflusses, der von einem Zahnkopfe zu einem anderen durch die Luft verläuft, dementsprechend ist auch die Bestimmung der Kraftlinienverkettungen und der Leitfähigkeit  $\lambda_k$ , die diesem Teile von  $\Phi_{s1}$  entsprechen, unsicher. Denken wir uns z. B. eine Wicklung mit 3 Lochern pro Pol und Phase. Ist nun der Strom in Phase mit der vom Erregerfelde induzierten EMK, so werden diese 3 Nuten im Momente des Auftretens des Strommaximums gerade über dem Pol liegen. Jede der 3 Nuten wird einen Zahnkopfstreufuß ausbilden und, da der Luftspalt fast immer kleiner ist als die Nutenteilung, wird der Zahnkopfstreufuß einer Nut nur mit den Leitern seiner eigenen Nut verschlungen und mit den  $s_n$  Leitern irgendeiner anderen Nut nicht verkettet sein. Anders verhält sich die Sache, wenn wir reinen wattlosen Strom annehmen ( $\psi = 90^\circ$ ). In diesem Falle liegen im Momente des Auftretens des Strommaximums die Spulen-seiten in den Pollücken. Die Zahnkopfstreulinien werden an Zahl größer, und die Verkettung ist in diesem Falle nicht nur mit der eigenen Nut, sondern auch mit benachbarten Nuten möglich. Die Zahl der Kraftlinienverkettungen ist dabei im allgemeinen nicht für alle Nuten dieselbe, dementsprechend ändert sich auch  $\lambda_k$  von Nut zu Nut.

Wir wollen zur Bestimmung dieses Teiles von  $x_{s1}$  mit denjenigen Kraftlinienverkettungen rechnen, die dem zweiten Falle ( $\psi = 90^\circ$ ) entsprechen, wobei wir für  $\lambda_k$  einen Mittelwert aus den





wo

$$\lambda_n' = 0,4 \pi \frac{r}{3 r_3}$$

die äquivalente magnetische Leitfähigkeit pro cm Länge für den Kraftfluß, der die Spulenseite durchsetzt, bedeutet.

Für Röhren, die alle  $s_n$  Drähte umschlingen, findet man leicht die magnetische Leitfähigkeit; sie ist gleich

$$\lambda_n'' = 0,4 \pi \left( \frac{r_5}{r_3} + \frac{2 r_6}{r_1 + r_3} + \frac{r_4}{r_1} \right),$$

woraus folgt, daß die totale äquivalente Leitfähigkeit  $\lambda_n$  der Nut für 1 cm Länge gleich ist

$$\lambda_n = 1,25 \left( \frac{r}{3 r_3} + \frac{r_5}{r_3} + \frac{2 r_6}{r_1 + r_3} + \frac{r_4}{r_1} \right). \quad (7)$$

Für die in Fig. 7b dargestellte Nutenform ergibt sich analog

$$\lambda_n = 1,25 \left( \frac{r}{3 r_3} + \frac{r_5}{r_3} + \frac{r_7}{r_8} + \frac{2 r_6}{r_1 + r_8} + \frac{r_4}{r_1} \right). \quad (7a)$$

Für die offene Nut wird  $r_1$  gleich  $r_3$ .

Ist die Form der Nut oval, wie in Fig. 8 gezeigt, so kann diese durch die punktiert gezeichnete ersetzt werden, auf die die Formel 7 angewandt werden kann.

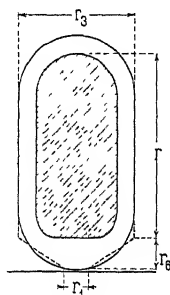


Fig. 8.

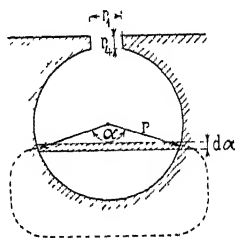


Fig. 9

Hat die Nut Kreisform, wie in Fig. 9, so erhalten wir den folgenden Ausdruck für  $\lambda_n$ , wenn wir die Annahme machen, daß die Drähte die Nut vollständig ausfüllen. Es ist für eine Kraftrohre, die quer über die Nut verläuft,

$$s_n = \frac{s_n}{\pi r^2} \left( \frac{\alpha r^2}{2} - \frac{r^2 \sin \alpha}{2} \right) = \frac{s_n}{2 \pi} (\alpha - \sin \alpha)$$

und die Leitfähigkeit

$$\lambda_x \lambda_x' = 0,4 \pi \frac{d \left( -r \cos \frac{\alpha}{2} \right)}{2 r \sin \frac{\alpha}{2}} = 0,4 \pi \frac{l_x d \alpha}{4},$$

also

$$\left(\frac{s_x}{s_n}\right)^2 l_x \lambda'_x = \frac{1}{4\pi^2} (\alpha - \sin \alpha)^2 0,4\pi \frac{l_x d\alpha}{4}$$

und

$$\Sigma \left[ \left(\frac{s_x}{s_n}\right)^2 l_x \lambda'_x \right] = l_x \frac{0,4\pi}{16\pi^2} \int_{\alpha=0}^{\alpha=2\pi} (\alpha - \sin \alpha)^2 d\alpha$$

oder

$$\begin{aligned} \lambda'_n &= \frac{0,4\pi}{16\pi^2} \int_{\alpha=0}^{\alpha=2\pi} (\alpha - \sin \alpha)^2 d\alpha \\ &= \frac{0,4\pi}{16\pi^2} \left( \frac{8\pi^3}{3} + 4\pi + \pi \right) = 0,4\pi \cdot 0,623. \end{aligned}$$

Es wird somit für runde Nuten

$$\lambda_n = 1,25 \left( 0,623 + \frac{r_4}{r_1} \right) \quad . \quad . \quad . \quad . \quad . \quad (8)$$

Füllen die Drähte wie bei Hochspannungsmaschinen die Nut nicht vollständig aus, so wird  $\lambda_n$  ein wenig größer.

b) Die Leitfähigkeit  $\lambda_k$  zwischen den Zahnköpfen.

Um  $\lambda_k$  für einen Anker mit einer Nut pro Pol und Phase zu berechnen, nehmen wir den Kraftlinienverlauf wie in Fig. 10 an und finden, wenn wir annehmen, der Polbogen  $b$  bedecke  $\frac{2}{3}$  der Polteilung, da die Nutenteilung  $t_1$  in unserem Fall  $\frac{1}{3}\tau$  oder gleich  $\tau - b$  ist

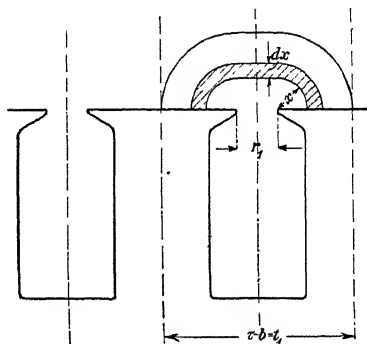


Fig. 10.

$$\begin{aligned} x &= \frac{\tau - b}{2} \\ \lambda_k &= 0,4\pi \int_{x=0}^{\tau - b} \frac{dx}{r_1 + \pi x} = 0,4 \cdot 2,3 \log \left( 1 + \frac{\pi(\tau - b)}{2r_1} \right), \end{aligned}$$

somit wird annähernd für einen Nutenanker mit  $q = 1$

$$\lambda_k = 0,92 \log \frac{\pi t_1}{2r_1} \quad . \quad . \quad . \quad . \quad . \quad (9)$$

c) Die Leitfähigkeit  $\lambda_s$  der Spulenköpfe.

Um die Leitfähigkeit der Kraftrohren, die die Spulenköpfe umschlingen, abzuschätzen, kann man sich die Spulenköpfe beider Seiten in Fig. 11a so zusammengeschoben denken, daß die Fig. 11b entsteht, und für eine solche Schleife kann der Selbstinduktionskoeffizient annähernd gleich

$$L_s = 0,4 l_s s_n^2 2,3 \left[ \log \frac{\pi l_s}{U_s} - 0,2 \right] 10^{-8}$$

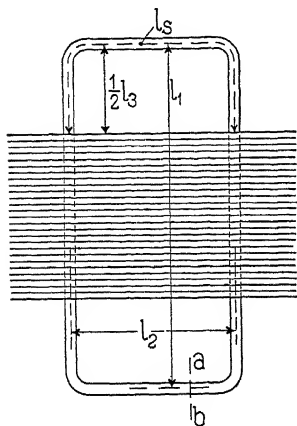


Fig. 11a.

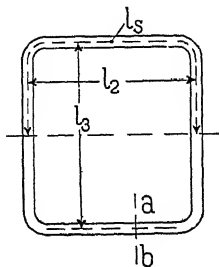


Fig. 11b

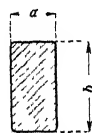


Fig. 11c.

gesetzt werden, wo  $l_s$  gleich der Länge und  $U_s = 2(a+b)$  gleich dem Querschnittsumfange (dessen Seitenlängen  $a$  und  $b$  sind, wobei die Isolation zwischen den Drähten mitgerechnet wird) eines Spulenkopfes ist. Ferner ist

$$L_s = 2 s_n^2 l_s \lambda_s 10^{-8}$$

somit wird (für  $q=1$ )

$$\lambda_s = 0,46 \left[ \log \left( \frac{\pi l_s}{U_s} \right) - 0,2 \right] \cong 0,46 \log \frac{2 l_s}{U_s} \quad . \quad . \quad (10)$$

Bei einer Wellenwicklung kann man dieselbe Formel anwenden; denn die Stirnverbindungen sind im Raume gegenseitig verschoben, was nicht viel ausmachen kann, indem jede Stirnverbindung so gut wie nur auf sich selbst induzierend wirkt.

**2. Fall.** Anker mit mehreren Nuten pro Pol und Phase. Wir gehen ebenso wie im ersten Falle vor und berechnen zuerst

- a) die äquivalente Leitfähigkeit  $\lambda_n$  zwischen den Nutenwänden.

Der Verlauf des Kraftflusses zwischen den Nutenwänden wird durch die Nutenzahl nicht geändert, wie Fig. 12 zeigt. Denn zeichnete man den Kraftlinienweg durch mehrere oder alle Nuten, die zu derselben Spulenseite gehören, so wurde der magnetische Widerstand proportional mit den umschlungenen Amperewindungen zunehmen. Es bleibt also  $\lambda_n$  von der Nutenzahl pro Pol und Phase unabhängig. Das ist aber nicht für  $\lambda_k$  und  $\lambda_s$  zutreffend, die wir deswegen besonders bestimmen müssen.

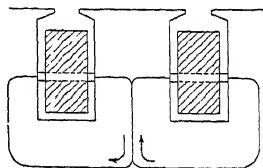


Fig. 12.

Es bleibt also wie früher

$$\lambda_n = 1,25 \left( \frac{r}{3r_3} + \frac{r_5}{r_3} + \frac{2r_6}{r_1 + r_3} + \frac{r_4}{r_1} \right) \dots (7a)$$

und für runde Nuten

$$\lambda_n = 1,25 \left( 0,623 + \frac{r_4}{r_1} \right) \dots \dots \dots (8a)$$

- b) Die äquivalente Leitfähigkeit  $\lambda_k$  zwischen den Zahnköpfen.

Wir betrachten ein Beispiel mit 3 Nuten pro Pol und Phase ( $q=3$ ). Bei normalen Verhältnissen, bei denen der Polbogen etwa  $\frac{2}{3}$  der Polteilung beträgt ( $b \cong \frac{2}{3} \tau$ ) wird somit die Polücke 3 Nutenteilungen einnehmen. Für die Bestimmung des mittleren  $\lambda_k$  ist die Summe sämtlicher Kraftlinienverkettungen zu bilden, wobei nur solche Linien in Betracht kommen, die ausschließlich durch die Luft verlaufen. Es ist allgemein

$$\Sigma(w_x \Phi_x) = \Sigma(2pq l_x s_x^2 \lambda'_x).$$

Bestimmen wir also die Summe derjenigen Kraftrohrenverkettungen, die für die Berechnung von  $\lambda_k$  in Betracht kommen, pro Pol und pro Zentimeter Länge des Ankereisens, so ist diese Summe gleich

$$\Sigma(q s_x^2 \lambda'_k) = q s_n^2 \lambda_k.$$

Wie aus Fig. 13 ersichtlich, erzeugen die Drähte der Nut 1 und 3 nur solche Kraftlinien, die mit 1 bzw. 3 verkettet sind; dagegen erzeugt die Nut 2 auch

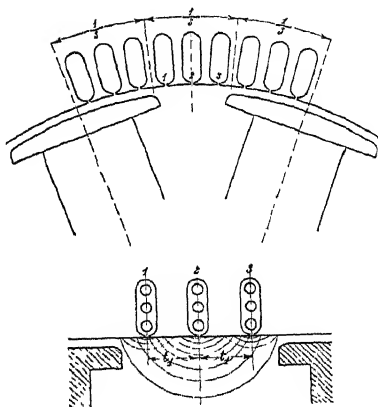


Fig. 13.

solche Linien, die mit 1 und 3 verkettet sind. Ein Strom von 1 Ampere, der in den Drahten der Nut 1 und 3 fließt, erzeugt einen Kraftfluß pro Zentimeter Länge

$$\Phi_x = 0,4 \pi s_n \int_{x=0}^{x=\frac{t_1}{2}} \frac{dx}{r_1 + \pi x} = 0,4 \cdot 2,3 s_n \log \left( 1 + \frac{\pi t_1}{2 r_1} \right) \cong 0,92 s_n \log \frac{\pi t_1}{2 r_1},$$

der  $s_n$  Drähte umschlingt. Dagegen erzeugt ein Strom von 1 Ampere, der in den Drahten der Nut 2 fließt, den Kraftfluß

$$\Phi_x \cong 0,92 s_n \log \frac{\pi t_1}{r_1},$$

der mit  $s_n$  Drähten verkettet ist und einen Kraftfluß

$$\Phi_x = 0,4 \pi s_n \int_{x=0}^{x=\frac{t_1}{2}} \frac{dx}{r_1 + \pi(t_1 + x)} = 0,4 s_n 2,3 \log \left( 1 + \frac{\pi \frac{t_1}{2}}{r_1 + \pi t_1} \right),$$

der mit  $3 s_n$  Drahten verkettet ist. Setzt man näherungsweise

$$r_1 + \pi t_1 \cong \pi t_1 \quad \text{und} \quad \log \frac{\pi t_1}{r_1} = \log \frac{\pi t_1}{2 r_1} + \log 2,$$

so ergibt sich als Summe der Krafttröhrenverkettungen

$$q s_n^2 \lambda_k = 0,92 s_n^2 \left( 3 \log \frac{\pi t_1}{2 r_1} + \log 2 + 3 \log 1,5 \right).$$

In dieser Weise erhalten wir nun folgende Tabelle für die Leitfähigkeit der Zahnköpfe:

$$\left. \begin{array}{ll} q=1 & \lambda_k = 0,92 \log \frac{\pi t_1}{2 r_1} \\ q=2 & \lambda_k = 0,92 \log \frac{\pi t_1}{2 r_1} \\ q=3 & \lambda_k = 0,92 \log \frac{\pi t_1}{2 r_1} + 0,275 \\ q=4 & \lambda_k = 0,92 \log \frac{\pi t_1}{2 r_1} + 0,415 \\ q=5 & \lambda_k = 0,92 \log \frac{\pi t_1}{2 r_1} + 0,670 \\ q=6 & \lambda_k = 0,92 \log \frac{\pi t_1}{2 r_1} + 0,840 \\ q=7 & \lambda_k = 0,92 \log \frac{\pi t_1}{2 r_1} + 1,080 \\ q=8 & \lambda_k = 0,92 \log \frac{\pi t_1}{2 r_1} + 1,270 \end{array} \right\} \dots (11)$$

Für ein- und zweiphasige Wicklungen, bei denen jede Phase mehr als  $\frac{1}{3}$  der Polteilung bedeckt, ergeben die Formeln etwas zu große Werte für  $\lambda_k$ , dürfen aber doch benutzt werden.

c) Die Leitfähigkeit  $\lambda_s$  der Spulenköpfe.

Man kann setzen:

$$\lambda_s = 0,46 q \log \frac{2l_s}{U_s} \dots \dots \dots (12)$$

wenn die Leiter der  $q$  Nuten zu einem einzigen Spulenkopf zusammengefaßt sind.  $U_s = 2(a + b)$  (Fig. 14) ist der Umfang aller  $qs_n$  Drahte (Isolation und Luftraum zwischen den Drähten mitgerechnet).

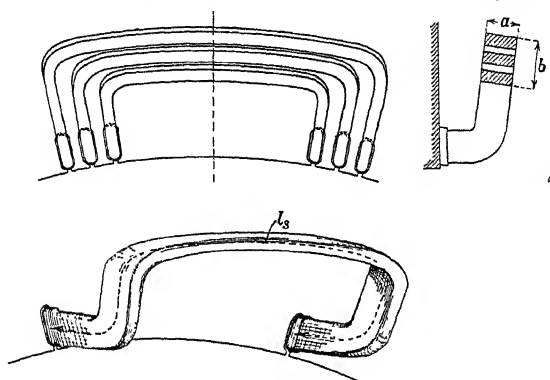


Fig. 14.

Sind die  $qs_n$  Leiter derselben Phase nicht zu einem einzigen Spulenkopf zusammengefaßt, sondern auf zwei nach entgegengesetzten Richtungen verlaufenden Spulenköpfe verteilt, so gilt, nach Versuchen von Ingenieur Rezelman<sup>1)</sup>

$$\lambda_s = 0,46 q_s \left( \log \frac{2l_s}{U_s} + A \right) \dots \dots \dots (12a)$$

wo  $q_s$  die Anzahl der dicht nebeneinander liegenden Spulenköpfe derselben Phase ist.

$A$  ist eine Konstante und im Mittel gleich 0,3. Da sich in diesem Falle für  $q_s$  und dementsprechend für  $U_s$  zwei, und wenn die zwei Spulenköpfe ungleiche Drahtzahl haben, drei verschiedene Werte ergeben (für den Teil des Spulenkopfes, der in die Verlängerung der Nut fällt, ist  $q_s = q$ ), so ergeben sich auch drei verschiedene Werte für  $\lambda_s$ . Für  $l_s$  ist aber jedesmal derselbe Wert einzusetzen. Man kann einen Mittelwert für  $\lambda_s$  nehmen.

<sup>1)</sup> Analyse de la réactance. Lum. El. 1910, NN. 22 et 23.

Außerdem macht sich in diesem Falle, also für  $q_s < q$ , die gegenseitige Induktion der benachbarten Phasen bemerkbar; infolge dieser wird  $\lambda_s$  um 25–50% erhöht. Für den ersten Fall ist die gegenseitige Induktion sehr klein.

Zusammenfassung. Wir kennen nun

$$\Sigma(l_x \lambda_x) = l_i \lambda_n + l_i \lambda_k + l_s \lambda_s$$

und

$$x_{s1} = \frac{12,5 c w^2}{p q} \Sigma(l_x \lambda_x) 10^{-8} \dots \dots (6a)$$

Hieraus sieht man, daß bei gegebener Windungszahl  $w$  pro Phase die Reaktanz des Streuflusses um so kleiner wird, je größer man die Nutenzahl  $q$  pro Pol und Phase wählt. Dies gilt zwar nur bis zu einem gewissen Grade; denn bei gegebener Nutentiefe, die bei modernen Maschinen nicht stark variiert, wächst  $\lambda_n$  mit der Nutenzahl  $q$ .

In den Fällen, wo Spulenseiten von zwei Phasen in derselben Nut untergebracht sind, wie es z. B. bei der Dreiphasenzackenarmatur mit  $y = \frac{2}{3}\tau$  oder bei der unveränderten Gleichstromwicklung, die zur Abgabe von Dreiphasenstrom benutzt wird, der Fall ist, ist der Einfluß der anderen Phasen bedeutend und der oben angegebene Ausdruck für die Reaktanz ist mit 1,5 zu multiplizieren.

Um die Reaktanzspannung  $E_{s1}$  in Beziehung zu den Abmessungen der Maschine zu bringen, formen wir den Ausdruck für  $E_{s1}$  etwas um. Bedeutet  $m$  die Phasenzahl und denkt man sich die Armaturwicklung durch eine gleichmäßig verteilte Kupferschicht ersetzt, die dasselbe totale Stromvolumen wie die ursprüngliche Armaturwicklung besitzt, so wird das Stromvolumen pro Zentimeter Umfang der Armatur

$$AS = \frac{2mJw}{\pi D}.$$

Diese Größe heißt man die lineare Belastung oder die spezifische Stromdichte pro Zentimeter Umfang des Ankers.

Es ist ferner die Periodenzahl

$$c = \frac{pn}{60},$$

so daß

$$\begin{aligned} Jx_{s1} &= \frac{4\pi c w^2 J}{p q} \Sigma(l_x \lambda_x) 10^{-8} \\ &= \frac{2\pi w AS \pi D p n}{60 p q m} \Sigma(l_x \lambda_x) 10^{-8}. \end{aligned}$$

Führen wir ferner die Umfangsgeschwindigkeit

$$v = \frac{\pi D n}{60 \cdot 100} \text{ m/sek}$$

ein, so wird

$$J x_{s1} = 2 w v A S \frac{\pi \Sigma (l_x \lambda_x)}{m q} 10^{-6} \text{ Volt} \dots (13)$$

Wie hieraus ersichtlich, ist die Reaktanzspannung direkt proportional der spezifischen Stromdichte  $AS$ . Damit diese Spannung nicht zu groß ausfällt, darf man beim Entwurf einer Maschine  $AS$  nicht zu groß annehmen.

Erhöhung der Reaktanz durch die Stege geschlossener Nuten. Hat man ganz geschlossene Nuten, so muß der Kraftfluß durch den Steg der Nut noch berücksichtigt werden, und zwar anders als die bis jetzt behandelten Flüsse, weil der Steg schon bei ganz kleinen Stromstärken ganz gesättigt und sein Kraftfluß daher unabhängig von der Belastung des Ankers ist. In dem Steg wird sich schon bei kleiner Stromstärke eine große Sättigung einstellen. Nehmen wir diese zu 22500 an, so wird dieser Kraftfluß eine EMK

$$E'_s = \frac{4,44 c w}{10^8} 22500 l 2 \delta' = \frac{2 c w}{10^3} l \delta' \text{ Volt} \dots (14)$$

induzieren, wo  $\delta'$  die Stärke des Steges in Zentimetern bedeutet, die bei guten Maschinen nicht 0,05 bis 0,1 cm überschreiten darf, so daß die Aufschlitzung der Nuten die Selbstinduktion nur um 5 bis 10% verkleinern würde.

Die gesamte Spannung der Streureaktanz wird nun für beliebige Stromstärken  $E_s = J x_{s1} + E'_s$ ; für  $J = 0$  wird auch  $E'_s = 0$ .

Die große Induktion in den Stegen bewirkt, daß auch Kraftlinien sich durch die Luft schließen. Um  $\lambda_k$  bei ganz geschlossenen Nuten zu berechnen, setzt man deswegen, ungefähr wie die Fig. 8 zeigt,  $r_1$  gleich dem Teil des Nutensteiges, der stark gesättigt ist.

Die große Induktion in den Stegen bewirkt ferner bei Phasengleichheit zwischen Strom und induzierter EMK, daß die Leitfähigkeit des Luftspaltes für den Hauptkraftfluß bei Belastung kleiner ist als bei Leerlauf. Aus dem Grunde bemerkt man bei Maschinen mit geschlossenen Nuten bei Übergang von Leerlauf zu einer kleinen Belastung einen verhältnismäßig großen Spannungsabfall.

Die experimentelle Bestimmung der Streureaktanz  $x_{s1}$  ist im Kap. XXIII behandelt.



## 5. Die magnetomotorische Kraft des Ankerstromes.

Wie wir schon oben gesehen haben, ist zur Bestimmung von  $\Phi_{s2}$  und  $\Phi_{s3}$  bzw. der von ihnen induzierten EMKe  $E_{s2}$  und  $E_{s3}$  eine Zerlegung des Ankerfeldes in 2 Komponenten notwendig, von denen die eine der Wattkomponente, die andere der wattlosen Komponente des Stromes entspricht. Wir müssen also zunächst die Form und Größe des Ankerfeldes kennen.

Zu dem Zwecke bestimmen wir zunächst die MMK-Kurve der Ankerwicklung.

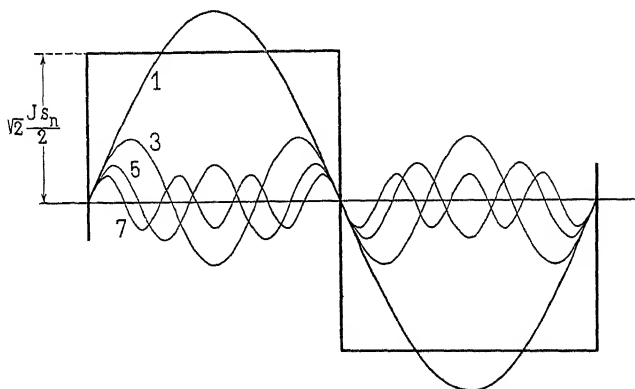


Fig. 15. MMK einer Einphasen-Einlochwicklung.

Ist der Anker für die Erzeugung eines Mehrphasenstromes ausgeführt, so erzeugt jede der  $m$  Phasen eine Wechsel-MMK. Die Größe dieser MMK bestimmen wir am besten, wenn wir von der Einphasen-Einlochwicklung ausgehen. In Fig. 15 ist die MMK einer solchen Wicklung als Funktion der am Ankerumfang gemessenen Länge aufgetragen. Unter der Annahme, daß die Ankerströme von Sinusform sind, ergibt sich für die maximale Höhe dieser rechteckigen MMK-Kurve  $\sqrt{2} J \frac{s_n}{2}$ . Dieser Wert entspricht der MMK eines halben magnetischen Kreises, bzw. eines Luftspaltes. Da der Strom sich zeitlich nach dem Sinusgesetz ändert, so ändert sich auch die Höhe des Rechteckes zeitlich nach dem Sinusgesetz; dies ergibt ein Wechselfeld. Die rechteckige Kurve von der Höhe  $\sqrt{2} J \frac{s_n}{2}$  lösen wir in ihre Harmonischen auf (Blondel L'Eclairage Electrique 1895).

Die Grundwelle dieser MMK-Kurve hat eine Amplitude von  $\sqrt{2} \frac{J s_n}{2} \frac{4}{\pi} = 0,9 J s_n$  (siehe WT III, S. 235); sie erzeugt

ein sinusförmiges Wechselfeld von derselben Polzahl wie das Magnetfeld.

Über das Grundfeld lagern sich Oberfelder, die von den höheren Harmonischen der MMK-Kurve herrühren. Diese Oberfelder sind auch alle Wechselfelder, und sind in Fig. 15 mit dem Grundfelde zusammen aufgezeichnet. Das  $\nu$ te Oberfeld hat eine  $\nu$  mal kleinere Amplitude und eine  $\nu$  mal größere Polzahl als das Grundfeld. Die dritte Harmonische der MMK-Kurve hat die Amplitude  $\frac{1}{3} 0,9 J s_n$ , die fünfte Harmonische die Amplitude  $\frac{1}{5} 0,9 J s_n$  usw.

Ist die Wicklung eine einphasige Mehrlochwicklung oder verteilte Wicklung, so ist die Form der MMK-Kurve nicht mehr rechteckig, sondern zackig. Es wäre nun möglich, direkt die Amplituden der einzelnen Harmonischen durch Auflösung dieser MMK-Kurve für verschiedene Momente und Mittelwertsbildung zu bestimmen. Es ist aber bequemer mit den einzelnen Harmonischen der Einlochwicklung zu rechnen. Für eine Wicklung mit  $q$  Löchern pro Pol und Phase haben wir dann  $q$  um einen elektrischen Winkel, der der Nutenteilung entspricht, verschobene Sinuskurven zu summieren. Die Amplitude irgendeiner Harmonischen der resultierenden MMK-Kurve ergibt sich somit gleich der Amplitude derselben Harmonischen der Einlochwicklung mal  $q f_{w\nu}$ , wo  $f_{w\nu}$  der Wicklungsfaktor dieser Harmonischen ist.

Es ist allgemein für sinusförmige Kurven

$$f_{w\nu} = \frac{\sin\left(q\nu\frac{\alpha}{2}\right)}{q \sin\left(\nu\frac{\alpha}{2}\right)} \cdot \cdot \cdot \cdot \cdot \quad (15)$$

wo  $\alpha$  den Lochabstand in elektrischen Graden bedeutet.

Die Amplitude der Grundwelle der MMK-Kurve einer einphasigen Mehrlochwicklung ist somit

$$0,9 J s_n f_{w1} q.$$

Wenn wir nun zur Betrachtung der Mehrphasenmaschine übergehen, so ist es ohne weiteres klar, daß jede der  $m$  Phasen sich wie die einphasige Maschine verhält. Es erzeugt somit jede der  $m$  Phasen ein Wechselfeld mit der Amplitude der Grundwelle der MMK-Kurve gleich

$$0,9 J s_n f_{w1} q.$$

Die  $m$  Wechselfelder sind räumlich und zeitlich um  $\frac{1}{m}$  Periode gegeneinander verschoben. Jedes dieser Wechselfelder können wir uns nun in zwei sich in entgegengesetzter Richtung bewegende

Drehfelder zerlegt denken, in ein gleichsinnig mit den Polen rotierendes synchrones Drehfeld, und ein entgegengesetzt rotierendes inverses Drehfeld.

Wie in WT III ausführlich erläutert wurde, heben sich bei der  $m$ -Phasenmaschine die inversen Drehfelder gegenseitig auf. Es bleiben nur die bestehen, die synchron mit dem Magnet-system rotieren. Das folgt auch aus dem Lenzschen Gesetze: die vom Magnetfelde induzierten Strome müssen so gerichtet sein, daß sie der erregenden Kraft möglichst entgegenwirken, und dies ist dann der Fall, wenn Ankerfeld und Magnetfeld einander gegenüber stillstehen. Diese  $m$  synchronen Drehfelder, mit einer Amplitude gleich der Hälfte der Amplitude der Grundwelle des Wechselfeldes, haben somit gegenüber dem Magnetsystem die gleiche Lage, die, wie aus den Fig. 1 bis 6 hervorgeht, lediglich von dem inneren Phasenverschiebungswinkel  $\psi$  abhängig ist.

Als Resultierende der  $m$  Wechselfelder erhält man also ein synchrones Drehfeld, dessen Amplitude der MMK pro Pol gleich  $\frac{m}{2}$  mal der Amplitude der MMK einer Phase ist, also

$$A = \frac{m}{2} 0,9 J s_n f_{w1} q = 0,45 f_{w1} q s_n m J \quad . \quad . \quad (16)$$

Zu dem gleichen Ergebnis gelangt man, wenn man die zeitlichen Werte der MMKe der  $m$  Phasen nach ihrer räumlichen Rich-

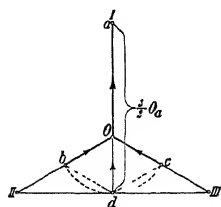


Fig. 16.

tung anträgt und zusammensetzt, wie es Fig. 16 für eine Dreiphasenwicklung zeigt. In dem betrachteten Momente ist die MMK der Phase I im Maximum und gleich  $\vec{Oa}$ ; die MMKe  $\vec{Oc}$  und  $\vec{Ob}$  der Phasen II und III sind gleich der Projektion ihrer Amplituden auf die Zeitlinie  $\vec{Oa}$  und gleich  $\vec{Od}$ . Betrachten wir nun  $\vec{Oa}$  als die Raumachse der Phase I, so ist die räumliche Lage der MMKe der

Phasen II und III  $\vec{bO}$  und  $\vec{cO}$ . Ihre Resultante in der Achse  $\vec{Oa}$  ist  $\vec{dO}$  gleich  $\frac{1}{2} \vec{Oa}$  und die gesamte MMK aller drei Phasen wird  $\vec{da} = \frac{3}{2} \vec{Oa}$ .

Wir haben bis jetzt nur die Grundwellen der MMK-Kurven berücksichtigt. Sie ergeben ein Drehfeld von konstanter Stärke.

Wenn wir auch die Oberfelder in Betracht ziehen, die von den höheren Harmonischen der MMK-Kurve (Fig. 15) erzeugt werden, also von der räumlichen Verteilung der Wicklung abhängen, so ergibt sich, daß das Drehfeld pulsiert. An der Hand eines Beispiels können wir das leicht feststellen.

Wir betrachten einen Dreiphasenanker und denken uns zuerst der Armaturoberfläche  $A$  eine ununterbrochene volle Eisenfläche  $B$  gegenübergestellt (Fig. 17) und setzen voraus, daß die Windungen des Ankers gleichmäßig am Umfange verteilt sind, so daß jede Spulenseite  $\frac{1}{3}$  der Polteilung bedeckt. Machen wir ferner wieder die in diesem Falle zulässige Annahme, daß der Eisenwiderstand dem Luftwiderstande gegenüber vernachlässigt werden kann, so wird die Form des Ankerfeldes allein von der Form der MMK der Ankerwicklung abhängen. Ferner nehmen wir wieder an, daß der Ankerstrom Sinusform hat. Es erzeugt dann der Strom jeder einzelnen Phase ein Wechselfeld von der Form der Fig. 17, dessen Ordinaten nach dem Sinusgesetz variieren.

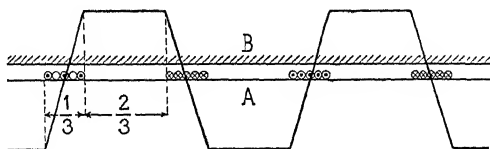


Fig. 17. MMK einer verteilten Einphasenwicklung

Superponiert man die Felder der einzelnen Phasen für verschiedene Zeitmomente, indem man die Stromrichtung berücksichtigt, so erhält man die in Fig. 18 dargestellten resultierenden Ankerfelder (s. WT III, S. 252). Aus diesen geht hervor, daß das Ankerfeld einer Mehrphasenmaschine seine Größe und Form während einer Periode ändert.

Diese Änderung ist aber nicht groß und rührt, wie oben bemerkt, von den Oberfeldern her.

Diese Oberfelder bewegen sich relativ zum Magnetfelde und werden, wenn sie von vornherein nicht verschwindend klein sind, von den Wechselströmen, die sie in den Polschuhen und den Erregerspulen induzieren, beinahe vollständig vernichtet. Wir werden diese Felder deshalb späterhin vernachlässigen.

In einer Dreiphasenmaschine heben sich die dritten Oberfelder auf. Die funften Oberfelder dagegen liefern ein resultierendes Drehfeld mit  $10p$  Polen und einer maximalen MMK  $\frac{m}{5} 0,45 f_{w5} J_{s_n} q$  pro Pol (WT III, S. 269). Dieses rotiert in entgegengesetztem Sinne wie das Magnetsystem. Die siebenten Oberfelder erzeugen ein resultierendes Drehfeld von derselben Drehrichtung wie das Magnetsystem.

Da sowohl das Grundfeld wie auch die Oberfelder von demselben sinusförmigen Dreiphasenstrom erzeugt werden, haben sie die gleiche Periodenzahl. Beide bewegen sich während einer

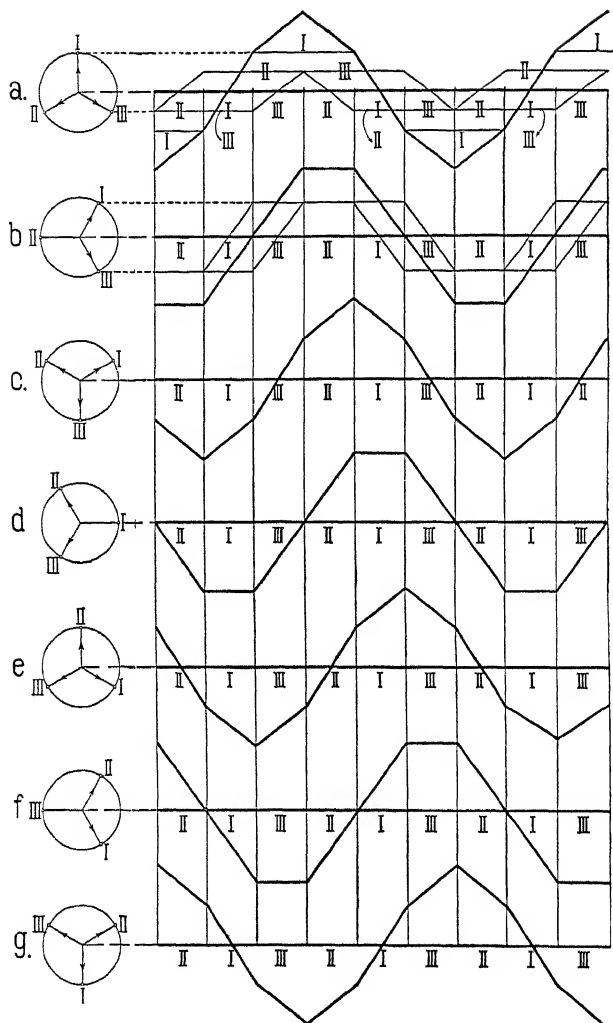


















Fig. 18. Ankerfelder einer verteilten Dreiphasenwicklung ( $S = \frac{1}{3} \tau$ ) für sieben Zeitmomente innerhalb einer halben Periode.


Periode des Stromes um eine doppelte Polteilung. Da jedoch die Polteilung des  $\nu$ ten Oberfeldes gleich  $\frac{1}{\nu}$ tel der Polteilung des Grundfeldes ist, so verschiebt sich dabei das  $\nu$ te Oberfeld mit  $\frac{1}{\nu}$ tel der Geschwindigkeit des Grundfeldes (WT III, Fig. 274). Die Umfangsgeschwindigkeit des  $\nu$ ten Oberfeldes ist also  $\frac{1}{\nu}$  derjenigen des

Grundfeldes. Relativ zum Magnetsystem rotieren somit die Drehfelder der fünf- und siebenfachen Polzahl mit Geschwindigkeiten, die den Periodenzahlen  $c + \frac{c}{5} = \frac{6}{5}c$  und  $c - \frac{c}{7} = \frac{6}{7}c$  entsprechen.

Wenn der Ankerstrom nicht sinusförmig ist, so wird das Ankerfeld zeitlich noch stärker schwanken als unter Annahme eines sinusförmigen Stromes. Jeder Oberstrom  $n$ ter Ordnung erzeugt nämlich wie der Grundstrom ein Grundfeld  $n$ ter Ordnung und außerdem eine Reihe von Oberfeldern  $n\nu$ facher Ordnung. Das Grundfeld des  $n$ ten Oberstromes rotiert aber nicht synchron, sondern mit der  $n$ fachen Geschwindigkeit des Magnetfeldes. Es wird aus diesem Grunde das  $\nu$ te Oberfeld des  $n$ ten Oberstromes, das mit  $\frac{n}{\nu}$ -facher Geschwindigkeit rotiert, für  $n=\nu$  mit dem Magnetfelde synchron laufen und deswegen alle anderen Felder des  $n$ ten Oberstromes überwiegen; die übrigen Felder werden durch die Wirbelströme in dem Feldmagnetsystem abgeschwächt.

### Dreiphasensystem. Sternschaltung. Drei Leiter.

Periodenzahl		$c$	$3c$	$5c$	$7c$	$9c$	$11c$
Wellenlänge	Feldharmonische	Strom harmonische					
		$n=1$	3	5	7	9	11
$\tau$	$\nu=1$						
$\tau/3$	$\nu=3$						
$\tau/5$	$\nu=5$						
$\tau/7$	$\nu=7$						
$\tau/9$	$\nu=9$						
$\tau/11$	$\nu=11$						

 Synchrone Drehfelder

Art und Drehsinn der Felder eines Dreiphasensystems.  
 $n$  = Ordnung der Oberströme,  $\nu$  = Ordnung der Oberfelder.

Für einen bestimmten Fall kann man die Art und den Drehsinn der Felder übersichtlich in einer Tabelle zusammenstellen. Die vorstehende Tabelle stellt die Verhältnisse dar für eine dreiphasige Ankerwicklung mit Sternschaltung ohne Mittelleiter. Die

Stromkurve kann somit keine Harmonischen enthalten von der Ordnung  $n=3a$ , wo  $a$  eine ganze Zahl ist und die Feldharmonischen von der Ordnung  $\nu=3a$  heben sich gegenseitig auf, wir bekommen daher nur Drehfelder von der Ordnung 1, 5, 7, 11 usw.

Der Drehsinn der Felder ist in der Tabelle durch Pfeile angedeutet. Für die synchronen Drehfelder ist  $n=\nu$ , die ihnen entsprechenden Kreisflächen sind schraffiert.

Für die Ankerrückwirkung kommen alle Drehfelder, die nicht synchron mit dem Polrad umlaufen, nicht in Betracht. Ware die Magnetisierungskurve eine Gerade, so würden diese Felder sich einfach über die synchronen Felder lagern und durch die Wirbelströme, die sie in den Eisenteilen der Maschine induzieren, stark gedämpft werden.

Von den synchronen Drehfeldern ist nur das Grundfeld ( $n=1$ ,  $\nu=1$ ) von Bedeutung, denn schon das in der Ordnung nächstfolgende fünfte Oberfeld der fünften Stromharmonischen kann in allen praktischen Fällen nur gering sein. — Wir brauchen somit für die Ankerrückwirkung nur das Grundfeld der Grundwelle des Ankerstromes zu berücksichtigen.

Haben wir eine Ankerwicklung mit Sternschaltung und Mittelleiter oder mit Dreieckschaltung, so können Oberströme von der Ordnung  $3a$ , also von der Periodenzahl  $3ac$ , auftreten. Im ersten Falle schließen sie sich über das äußere Netz, und da sie gleichphasig sind, lagert sich ein Einphasenstrom über den Mehrphasenstrom. Der Mittelleiter des Dreiphasensystems ist als der eine Außenleiter und die anderen drei Leiter sind als der zweite Außenleiter des Einphasenstromes anzusehen. Bei Dreieckschaltung ist das Einphasensystem kurzgeschlossen und es kann ein Strom von  $3a$ facher Periodenzahl nur in der Ankerwicklung allein als innerer Strom fließen.

Ein einphasiger Oberstrom kann kein Drehfeld erzeugen; das ihm entsprechende rückwirkende Ankerfeld ist ein Wechselfeld. Durch die in den Polen und der Feldwicklung induzierten Ströme wird es stark gedämpft; außerdem muß die Polform so entworfen und die Verteilung der Ankerwicklung derart gewählt sein, daß die Oberströme nur einen kleinen Einfluß erlangen. Die Dreieckschaltung, bei der der Einfluß der Oberströme  $3a$ facher Ordnung unter sonst gleichen Verhältnissen, am größten wird, ist, wenn möglich, bei Synchronmaschinen zu vermeiden.

## 6. Zerlegung des synchronen Drehfeldes in ein quer- und ein längsmagnetisierendes Drehfeld.

In einer Wechselstrommaschine mit ausgeprägten Polen ist die der Armaturoberfläche gegenüberstehende Fläche des Magnetsystems durch die Lucken zwischen den Polschuhen unterbrochen, und dadurch kommen nicht alle Amperewindungen der Armatur im gleichen Maße zur Wirkung. Ein Teil der Ankeramperewindungen bewirkt einen längsmagnetisierenden Kraftfluß, der mit den Erreger-  
spulen verkettet und somit gezwungen ist, sich durch das Joch zu schließen. Der magnetische Widerstand dieses Kreises ist größer als der der Luftspalte allein, und er hängt von der Sättigung der Magnetpole ab. Der übrige Teil der Ankeramperewindungen erzeugt einen quermagnetisierenden Kraftfluß, dessen magnetischer Kreis seinen Widerstand hauptsächlich im Luftspalt hat (s. Fig. 19). Deswegen ist es, wie wir schon oben bemerkt haben, für die Rechnung bequemer, das synchrone Drehfeld in zwei Teile zu zerlegen, in den längsmagnetisierenden Kraftfluß  $\Phi_{s2}$  und in den quermagnetisierenden  $\Phi_{s3}$ . Jeder wird durch eine bestimmte Anzahl Amperewindungen erzeugt. Man lost deswegen die synchrone Grundwelle der magnetomotorischen Kraftkurve in zwei Sinuskurven auf, wovon die eine ihren Maximalwert unter der Mitte des Polschuhes und die andere in der Mitte der Pollücke hat; beide sind somit um  $90^\circ$  gegeneinander verschoben.

Um die Amplituden dieser zwei Sinuswellen zu bestimmen, muß man die Lage der totalen magnetomotorischen Kraftkurve den Polschuhen gegenüber kennen.

Wie wir auf Seite 6 gesehen haben, liegt bei Phasengleichheit zwischen der vom Magnetfelde induzierten EMK und dem Ankerstrom ( $\psi = 0$ ) die Amplitude der Grundwelle der MMK-Kurve des Ankerstromes über der Pollücke und der Ankerfluß ist ein quermagnetisierender Fluß. Beträgt die Phasenverschiebung zwischen induzierter EMK und Ankerstrom  $90^\circ$ , so liegt die Amplitude der MMK-Kurve über der Polmitte und der Ankerfluß ist ein längsmagnetisierender Fluß. Bei Phasennacheilung des Stromes in Generatoren und bei Phasenvoreilung des Stromes in Motoren wirken die längsmagnetisierenden Amperewin-

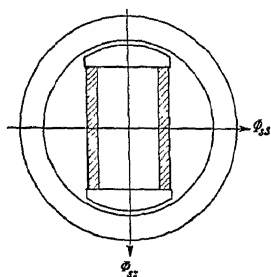


Fig. 19. Zerlegung des synchronen Drehfeldes in ein quer- und in ein längsmagnetisierendes Drehfeld.



dungen des Ankerstromes schwächend auf das Erregerfeld; bei Phasenvoreilung in Generatoren und bei Phasennacheilung in Motoren dagegen stärkend.

Hat man allgemein eine Phasenverschiebung  $\psi$  des Stromes gegen die vom Magnetfelde induzierte EMK, so ist die Amplitude der MMK-Kurve des synchronen Drehfeldes um den Winkel  $\psi$  gegen die Mitte der Polteilung verschoben, wie Fig. 20 zeigt, wobei der Polteilung  $\tau$  ein Winkel von  $180^\circ$  entspricht.

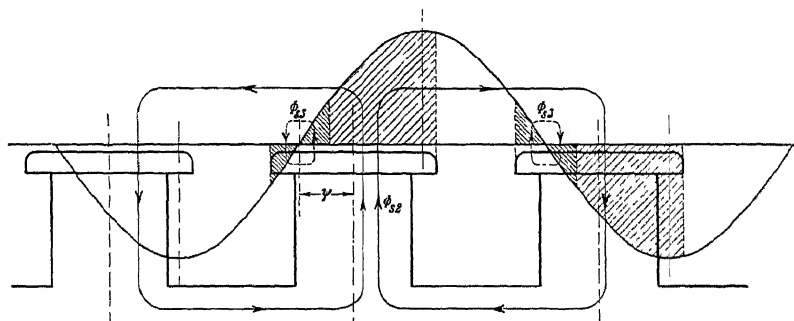


Fig. 20.

Um die Rückwirkung des Stromes  $J$  mit der Phasenverschiebung  $\psi$  zu bestimmen, zerlegen wir den Strom in die Wattkomponente  $J \cos \psi$  und die wattlose Komponente  $J \sin \psi$ . Die erste wirkt quermagnetisierend, die letztere längsmagnetisierend. Es werden daher die maximalen längsmagnetisierenden Amperewindungen pro Pol gleich

$$0,45 f_{w1} m J_{s_n} q \sin \psi = A \sin \psi \dots \dots (17)$$

und die maximalen quermagnetisierenden Amperewindungen gleich

$$0,45 f_{w1} m J_{s_n} q \cos \psi = A \cos \psi \dots \dots (18)$$

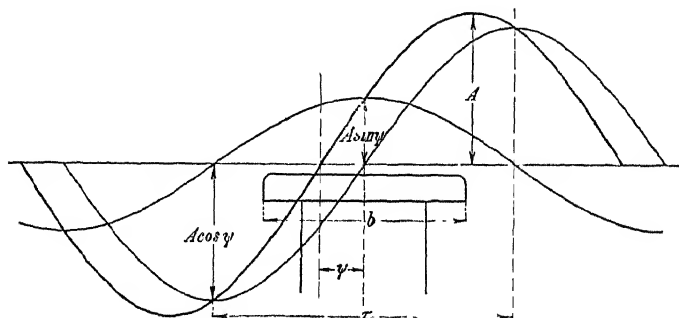


Fig. 21. Zerlegung der MMK-Kurve des Ankerstromes in die längs- und quermagnetisierenden AW.

Diese Werte stellen die Amplituden der Sinuskurven dar, in die die Anker-MMK (Fig. 21) nun zerlegt worden ist.

Sind die Polschuhe schräg gestellt, so sind diese Amplituden noch mit dem Polschuhfaktor  $f_p$  zu multiplizieren (WT III, S. 208).

## 7. Berechnung des längs- und quermagnetisierenden Kraftflusses $\Phi_{s2}$ und $\Phi_{s3}$ bzw. der EMKe $E_{s2}$ und $E_{s3}$ .

a) Der langsmagnetisierende Kraftfluß  $\Phi_{s2}$ . Infolge des Einflusses der Pollucken werden die Kraftflüsse  $\Phi_{s2}$  und  $\Phi_{s3}$  nicht in derselben Weise längs des Ankerumfangs verteilt sein, wie die sie erzeugenden Amperewindungen. Der Einfluß der Pollucke auf den Kraftfluß  $\Phi_{s2}$ , der seine Amplitude über der Polmitte hat, ist klein. Als wirksamen Teil des Kraftflusses  $\Phi_{s2}$  haben wir den Teil desselben, der über dem Pol liegt, von der Breite  $\alpha_i \tau$  zu betrachten. Von den sinusförmig verteilten längsmagnetisierenden Amperewindungen mit der Amplitude  $A \sin \psi$  pro Pol kommt somit auch nur der Teil  $olmn$  (Fig. 22) in Betracht. Wir wollen mit der Grundwelle des wirksamen Teiles des längsmagnetisierenden Kraftflusses rechnen, und zerlegen deswegen den entsprechenden Teil  $olmn$  der MMK-Kurve mit der Amplitude  $A \sin \psi$  in die Harmonischen und berücksichtigen von diesen nun die Grundwelle.

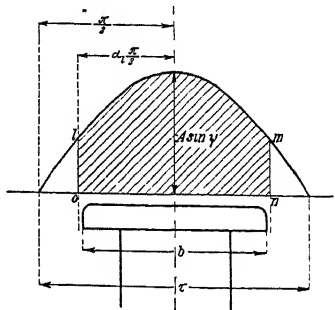


Fig. 22.

Nach den Formeln Seite 223 WT I wird die Amplitude der Grundwelle gleich

$$b_n = \frac{1}{\pi} \int_0^{\pi} [f(x) - f(-x)] \sin x dx.$$

Denken wir uns ein Achsenkreuz mit dem Koordinatenanfangspunkt in die Mitte der Pollucke gelegt, so sind die längsmagnetisierenden Amperewindungen nach dem Gesetz

$$A \sin \psi \sin x$$

verteilt. Von  $x=0$  bis  $x=(1-\alpha_i)\frac{\pi}{2}$  bzw. von  $x=(1+\alpha_i)\frac{\pi}{2}$  bis  $x=\pi$  sind  $f(x)$  und  $f(-x)$  gleich Null. Von  $x=(1-\alpha_i)\frac{\pi}{2}$



$$a_n = A \cos \psi \left( \frac{2}{\pi} \int_{z=0}^{\frac{(1-\alpha_i)\pi}{2}} \frac{1}{6} \cos x \, dx + \frac{2}{\pi} \int_{z=(1-\alpha_i)\frac{\pi}{2}}^{\frac{(1+\alpha_i)\pi}{2}} \cos^2 x \, dx - \frac{2}{\pi} \int_{x=(1+\alpha_i)\frac{\pi}{2}}^{\pi} \frac{1}{6} \cos x \, dx \right)$$

$$= A \cos \psi \frac{\alpha_i \pi - \sin \alpha_i \pi + \frac{2}{3} \cos \frac{\alpha_i \pi}{2}}{\pi}$$

und für alle  $2p$  Pole

$$a_n = 2p A \cos \psi \frac{\alpha_i \pi - \sin \alpha_i \pi + \frac{2}{3} \cos \frac{\alpha_i \pi}{2}}{\pi} \quad . \quad . \quad (20)$$

Da zur Bestimmung der EMKe  $E_{s2}$  und  $E_{s3}$  die Leerlaufcharakteristik benutzt werden soll, so wollen wir die eben gefundenen Grundwellen der wirksamen langs- und quermagnetisierenden Amperewindungen auf die Grundwelle der MMK-Kurve der Hauptpole beziehen<sup>1)</sup>. Für die Amplitude derselben ergibt sich

$$b_n = \frac{1}{\pi} \int_{(1-\alpha_i)\frac{\pi}{2}}^{(1+\alpha_i)\frac{\pi}{2}} 2 A W_i \sin x \, dx$$

$$b_n = \frac{4}{\pi} A W_i \sin \frac{\alpha_i \pi}{2} \quad . \quad . \quad . \quad (21)$$

Werden also  $E_{s2}$  und  $E_{s3}$  mit Hilfe der Leerlaufcharakteristik bestimmt, wobei als Abszissenwerte  $A W_i$  aufgetragen wird, so haben wir als längsmagnetisierende Amperewindungen einzuführen

$$A W_e = 2p A \sin \psi \frac{\pi \alpha_i + \sin \pi \alpha_i}{4 \sin \alpha_i \frac{\pi}{2}}$$

$$= 0,9 f_{w1} m J s_n p q \sin \psi \frac{\pi \alpha_i + \sin \pi \alpha_i}{4 \sin \alpha_i \frac{\pi}{2}}$$

oder

$$A W_e = k_0 f_{w1} m w J \sin \psi \quad . \quad . \quad . \quad (22)$$

wo

$$k_0 = 0,9 \frac{\pi \alpha_i + \sin \pi \alpha_i}{4 \sin \alpha_i \frac{\pi}{2}} \quad . \quad . \quad . \quad (23)$$

<sup>1)</sup> Vgl. Schouten, ETZ 1910, S. 877; J. Sumec, ETZ 1911, S. 79.



eilungswinkel und nach rechts, wenn  $\psi$  ein Phasenvoreilungswinkel ist. Es ist dann

$$E_{s2} = \overline{CD} \quad \text{bzw.} \quad E_{s2} = \overline{C_1 D_1}.$$

Man sieht direkt aus der Fig. 24, daß  $E_{s2}$  um so größer wird, je weniger die Maschine gesättigt ist. Bei kleinen Erregungen, wie z. B. bei Kurzschluß der Ankerwicklung, kann  $E_{s2}$  bei demselben  $AW_q$  leicht bis 5 mal größer werden als bei Belastung.

2. Das Feld des Kraftflusses  $\Phi_{s3}$  ist gegen das Magnetfeld um  $90^\circ$  verschoben. Die EMK  $E_{s3}$ , die von  $\Phi_{s3}$  induziert wird, ist deswegen um  $90^\circ$  gegen die vom Magnetfelde induzierte EMK verschoben. Hieraus folgt, daß  $E_{s3}$  keinen großen Einfluß auf den Spannungsabfall haben kann.

Der magnetische Kreis des Querflusses hat seinen Widerstand hauptsächlich im Luftspalte. Man kann deswegen den unteren Teil der Leerlaufcharakteristik zur Bestimmung der EMK  $E_{s3}$  benutzen. Trägt man vom Anfangspunkte 0 (Fig. 24)  $AW_q = \overline{OP}$  ab, so wird

$$\overline{PQ} = E_{s3}$$

sein.

Liegt die Leerlaufcharakteristik nicht vor, so kann  $E_{s3}$  wieder unter Vernachlässigung des Widerstandes des Eisens wie folgt berechnet werden.

Für die Amplitude der Grundwelle der wirksamen quermagnetisierenden Amperewindungen für alle  $2p$  Pole haben wir oben, Gl. 20, gefunden

$$AW_q' = A \cos \psi \frac{\alpha_i \pi - \sin \alpha_i \pi + \frac{2}{3} \cos \alpha_i \frac{\pi}{2}}{\pi} 2p$$

oder

$$AW_q' = k_q' f_{w1} m J w \cos \psi \quad . \quad . \quad . \quad (26)$$

worin

$$k_q' = 0,9 \frac{\alpha_i \pi - \sin \alpha_i \pi + \frac{2}{3} \cos \alpha_i \frac{\pi}{2}}{\pi} \quad . \quad . \quad . \quad (27)$$

Der Querfluß pro Pol wird somit

$$\Phi_q = \frac{1}{2p} \frac{2}{\pi} k_q' f_{w1} w m J \cos \psi \frac{\tau l_i}{0,8 \delta k_1}$$

und die EMK  $E_{s3}$

$$\begin{aligned} E_{s3} &= 4,44 f_{w1} c w \Phi_q 10^{-8} \\ &= 1,77 k_q' c (f_{w1} w)^2 m J \cos \psi \frac{\tau l_i}{\delta k_1 p} 10^{-8} \text{ Volt} \quad . \quad . \quad (28) \end{aligned}$$

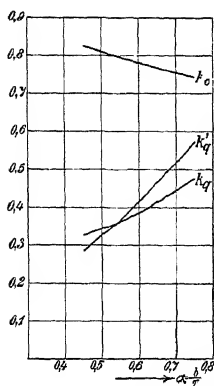


Fig. 25.

Die nach dieser Formel berechneten Werte von  $E_{s3}$  werden etwas größer sein, als die entsprechend den  $AW_q$  aus der Leerlaufcharakteristik entnommenen. Der Unterschied wird um so größer sein, je stärker die Maschine gesättigt ist.

In der folgenden Tabelle sind einige Werte von  $k_0$ ,  $k_q$  und  $k'_q$  angegeben, die nach den obigen Formeln berechnet worden sind. Die Zwischenwerte können den Kurven Fig. 25 entnommen werden.

Werte von  $k_0$ ,  $k_q$  und  $k'_q$  für verschiedene Verhältnisse  $\frac{\text{Polbogen}}{\text{Polteilung}}$

$\alpha = \frac{b}{\tau}$	0,750	0,700	0,650	0,600	0,550	0,500	0,450
$\alpha_1$	0,773	0,723	0,682	0,635	0,587	0,536	0,486
$k_0 = 0,9 \frac{\pi \alpha_1 + \sin \pi \alpha_1}{4 \sin \alpha_1 \frac{\pi}{2}}$	0,741	0,753	0,765	0,780	0,794	0,810	0,825
$k_q = 0,9 \frac{\pi \alpha_1 - \sin \pi \alpha_1 + \frac{3}{2} \cos \alpha_1 \frac{\pi}{2}}{4 \sin \alpha_1 \frac{\pi}{2}}$	0,479	0,446	0,415	0,387	0,363	0,342	0,328
$k'_q = 0,9 \frac{\pi \alpha_1 - \sin \pi \alpha_1 + \frac{3}{2} \cos \alpha_1 \frac{\pi}{2}}{\pi}$	0,571	0,516	0,464	0,412	0,367	0,325	0,289
$k_q/k_0$	0,646	0,593	0,542	0,496	0,457	0,422	0,398
$k_0/k_q$	1,545	1,685	1,845	2,100	2,190	2,370	2,510

Die Werte von  $\alpha_1$  für verschiedene Verhältnisse  $\frac{b}{\tau}$  und  $\frac{\delta}{b}$  sind

in WT III, S. 216 ff. angegeben; hier ist  $\frac{\delta}{b} = \frac{1}{25}$  gewählt worden.

Wie aus der Tabelle ersichtlich, ist der Faktor  $k_q$  viel kleiner als der Faktor  $k_0$ . In der Abweichung dieses Verhältnisses von der Einheit stellt sich die Variation des Selbstinduktionskoeffizienten der Ankerwicklung dar. Wie wir später sehen werden, gibt diese Variation von  $L$  Anlaß zur Induktion von EMKen höherer Periodenzahl in der Ankerwicklung. Solche EMKe sind z. B. die, die von den von uns vernachlässigten Oberfeldern des Querflusses (vgl. Fig. 23) induziert werden.

## 8. Ankerrückwirkung der Einphasenmaschine.

Wie wir fruher gesehen haben, ist das Ankerfeld einer Einphasenmaschine ein Wechselfeld, das sich bei sinusförmigem Ankerstrom aus einem Grundwechselfeld und kleinen Oberfeldern von drei-, funf- und siebenfacher Polzahl zusammensetzt (s. Fig. 15). Wie bei der Mehrphasenmaschine haben wir auch hier nur das Grundfeld zu betrachten. Diesem Wechselfelde entspricht die Grundwelle der MMK-Kurve, deren Amplitude pro Pol

$$0,9 f_{w1} q s_n J$$

ist. Dieses Wechselfeld zerlegen wir nun in zwei Drehfelder, das synchrone und das inverse. Jedem dieser beiden Drehfelder wird somit eine maximale MMK gleich

$$A = 0,45 f_{w1} q s_n J \dots \dots \dots (29)$$

pro Pol entsprechen.

Bezüglich des synchronen Drehfeldes bzw. der synchronen MMK-Welle gilt alles, was eben vom Drehfelde der Mehrphasenmaschine gesagt wurde. Es steht in bezug auf die Pole still, seine Lage gegenüber den Polen ist durch den inneren Phasenverschiebungswinkel  $\psi$  bestimmt. Seine Rückwirkung läßt sich, wie früher gezeigt, durch Zerlegung des Stromes in eine Watt- und eine wattlose Komponente mit genügender Genauigkeit bestimmen.

Das inverse Drehfeld tritt hier als eine neue Erscheinung auf, die Komplikationen in dem Arbeiten der Einphasenmaschine hervorruft. Die Wirkung dieses Drehfeldes muß daher besonders untersucht werden. Wie von vornherein zu sehen ist, kann es sich dabei nur um eine qualitative, nicht aber um eine quantitative Untersuchung handeln, denn das inverse Drehfeld rotiert relativ zu den Polen mit der doppeltsynchronen Geschwindigkeit und erzeugt daher in dem Magnetsystem, besonders bei massiven Polschuhen, starke Wirbelströme und in der Feldwicklung Wechselströme, die auf das erzeugende Feld dämpfend zurückwirken. Diese dämpfende Wirkung der Wirbelströme läßt sich aber nicht berechnen.

## 9. Analytische Theorie.

Vom Erregerstrom  $i_e$  bzw. vom Erregerfeld wird in der Ankerwicklung die EMK

$$e = - \frac{d(mi_e)}{dt} = \sqrt{2} E \sin \omega t$$



induziert, wo  $m = M \cos \omega t$  den gegenseitigen Induktionskoeffizienten der Anker- und Erregerwicklung bedeutet. Der Einfachheit halber vernachlässigen wir hier die Glieder höherer Ordnung. Bei Belastung der Maschine erzeugt diese sinusförmige EMK  $e$  in der Ankerwicklung einen Wechselstrom

$$i = \sqrt{2} J \sin(\omega t - \psi),$$

wo  $\psi$  der Winkel ist, um den der Strom  $i$  der induzierten EMK  $e$  nacheilt. Dieser Strom induziert in den Magnetspulen die EMK

$$\begin{aligned} e' &= -\frac{d(mi)}{dt} = -\frac{d}{dt} \sqrt{2} MJ \cos \omega t \sin(\omega t - \psi) \\ &= -\frac{d}{dt} \frac{\sqrt{2} MJ}{2} [\sin(2\omega t - \psi) - \sin \psi] \\ &= -\sqrt{2} \omega MJ \cos(2\omega t - \psi) = \sqrt{2} \omega MJ \cos(2\omega t + \pi - \psi), \end{aligned}$$

welche mit der doppelten Periodenzahl des Ankerstromes pulsiert.

Diese EMK erzeugt in dem Erregerstromkreis die Stromstärke

$$i' = \sqrt{2} J' \cos(2\omega t + \pi - \psi - \psi_e),$$

wo  $\psi_e$  der Winkel ist, um den der Strom  $i'$  der EMK  $e'$  nacheilt.

Die Stromstärke  $i'$  induziert wieder in der Ankerwicklung

$$\begin{aligned} e'' &= -\frac{d(mi')}{dt} = -\frac{d}{dt} \sqrt{2} MJ' \cos(2\omega t + \pi - \psi - \psi_e) \cos \omega t \\ &= -\frac{d}{dt} \frac{\sqrt{2} MJ'}{2} [\cos(\omega t + \pi - \psi - \psi_e) + \cos(3\omega t + \pi - \psi - \psi_e)] \\ &= \frac{\sqrt{2} \omega J' M}{2} [\sin(\omega t + \pi - \psi - \psi_e) + 3 \sin(3\omega t + \pi - \psi - \psi_e)], \end{aligned}$$

also eine EMK von einfacher und eine von dreifacher Periodenzahl des Grundstromes. Diese dritte Oberwelle der Spannung erzeugt in dem Ankerstromkreis einen Oberstrom von dreifacher Periodenzahl, der wieder einen Strom vierfacher Periodenzahl in dem Erregerstromkreis induziert usw. Wir erhalten somit folgendes Resultat:

1. Die Feldmagnete induzieren im Anker einen Strom von der Periodenzahl  $c$ .
2. Das Ankerfeld von der Periodenzahl  $c$  induziert in den Feldspulen einen Strom von der Periodenzahl  $2c$ , der ein pulsierendes Feld erzeugt.
3. Das pulsierende Feld von der Periodenzahl  $2c$  induziert im Anker Strome von der Periodenzahl  $c$  und  $3c$ .

4. Das Ankerfeld von der Periodenzahl  $3c$  induziert in den Feldspulen einen Strom von der Periodenzahl  $4c$ , der ein zweites pulsierendes Feld erzeugt.
5. Das zweite pulsierende Feld von der Periodenzahl  $4c$  induziert im Anker Strome von der Periodenzahl  $3c$  und  $5c$  usf.

Hieraus geht folgendes hervor:

Selbst wenn bei Leerlauf einer Einphasenmaschine die EMK sinusförmig ist, so werden doch bei Belastung sowohl in der Ankerwicklung wie in der Erregerwicklung Strome von höherer Periodenzahl entstehen.

Die Felder von höherer als zweifacher Periodenzahl werden jedoch nahezu vollständig abgedampft, und auch das Feld zweifacher Periodenzahl wird stark geschwächt.

Wir wollen daher im weiteren nur noch den Strom von zweifacher Periodenzahl in der Erregerwicklung und die Spannungen von dreifacher Periodenzahl in der Ankerwicklung berücksichtigen.

Außer der EMK  $e''$ , die vom Ankerstrom indirekt in der Ankerwicklung induziert wird, induziert der Ankerstrom in der Ankerwicklung noch EMKe der Selbstinduktion

$$e_s = - \frac{d(Li)}{dt}.$$

Bei einer Maschine mit ausgeprägten Polen ist der Selbstinduktionskoeffizient  $L$  nicht konstant. In gewissen Fällen hat

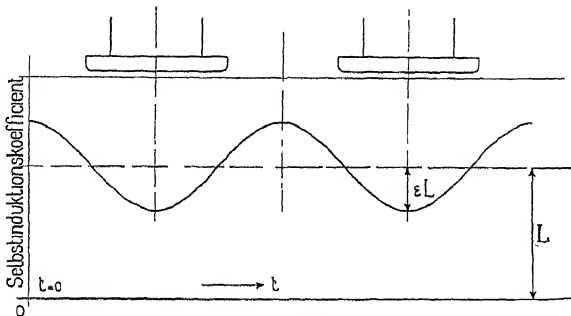


Fig. 26.

dieser für eine Windung seinen größten Wert, wenn deren Leiter unter der Polmitte liegen, und seinen minimalen Wert, wenn deren Leiter über den Pollucken liegen. Es kann aber auch das Umgekehrte der Fall sein; dies hängt von der Sättigung der Maschine ab. Da ferner für jede Periode des Stromes die Leiter der Windung zweimal die Pollücke bzw. die Pole vorbeigehen müssen, so

kann der variable Selbstinduktionskoeffizient  $l$  angenähert gesetzt werden

$$l = L(1 + \varepsilon \cos 2\omega t)$$

und im zweiten Falle

$$l = L(1 - \varepsilon \cos 2\omega t).$$

Wir haben hierdurch die Annahme gemacht, daß der Selbstinduktionskoeffizient nach einer Sinuskurve doppelter Periodenzahl variiert

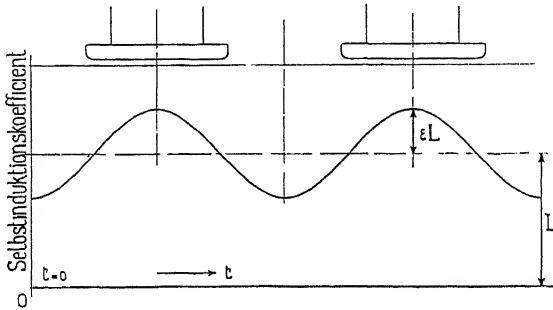


Fig. 27.

Der erste Fall ist in Fig. 26, der zweite in Fig. 27 dargestellt. Es wird nun die EMK der Selbstinduktion

$$\begin{aligned} e_s &= -\frac{d(li)}{dt} = -\frac{d}{dt} \sqrt{2} L J (1 \pm \varepsilon \cos 2\omega t) \sin(\omega t - \psi) \\ &= -\frac{d}{dt} \sqrt{2} L J \left\{ \sin(\omega t - \psi) \mp \frac{\varepsilon}{2} \sin(\omega t + \psi) \pm \frac{\varepsilon}{2} \sin(3\omega t - \psi) \right\} \\ &= \sqrt{2} \omega L J \left\{ \sin\left(\omega t - \psi - \frac{\pi}{2}\right) \pm \frac{\varepsilon}{2} \sin\left(\omega t + \psi + \frac{\pi}{2}\right) \right. \\ &\quad \left. \pm \frac{3\varepsilon}{2} \sin\left(3\omega t - \psi - \frac{\pi}{2}\right) \right\}. \end{aligned}$$

Wir sehen somit, daß die Variation des Selbstinduktionskoeffizienten EMKe von höherer Periodenzahl in der Ankerwicklung verursacht. Bei einer Maschine mit verteiltem Eisen ist  $l$  fast konstant und diese dritte Harmonische verschwindet. Auch bei der Mehrphasenmaschine entstehen höhere Harmonischen infolge der Variation von  $l$ ; das sind z. B. die, die wir bei der Behandlung des Querfeldes vernachlässigt haben.

Wir wollen nun an Hand eines Diagramms untersuchen, wie sich in der Ankerwicklung die eben berechneten EMKe der Selbstinduktion von der Periodenzahl  $c$  und  $3c$  zu den EMKen von einfacher und dreifacher Periodenzahl, die vom Wechselstrom zwei-

facher Periodenzahl in der Erregerwicklung herrühren, gegenseitig verhalten.

Wir betrachten zunächst die EMKe von einfacher Periodenzahl.

In das Diagramm Fig. 28 tragen wir zunächst die Effektivwerte der beiden ersten Glieder der Gleichung für  $e_s$  auf:  $\omega L J$  und  $\frac{\varepsilon}{2} \omega L J$ .

Wir erhalten dann die resultierende EMK der Selbstinduktion in der Ankerwicklung gleich  $E_s'$ , die dem Strom um etwas mehr als  $90^\circ$  nach-eilt, solange  $\psi$  positiv ist.

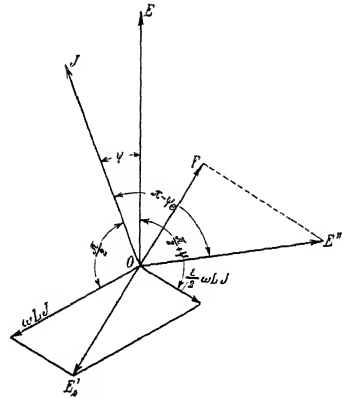


Fig. 28.

Vom Strome zweifacher Periodenzahl in der Erregerwicklung  $i'$  wird in der Ankerwicklung induziert

$$e'' = \frac{\sqrt{2} \omega J' M}{2} [\sin(\omega t + \pi - \psi - \psi_e) + 3 \sin(3\omega t + \pi - \psi - \psi_e)].$$

Nehmen wir an, daß der Phasenverschiebungswinkel  $\psi_e$  zwischen  $e'$  und  $i'$  nicht  $90^\circ$ , sondern wegen des Stromwärmeverlustes im Erregerstromkreis etwas weniger ausmacht, so wird  $(\pi - \psi_e) > 90^\circ$  und die Grundwelle der EMK  $e''$  wird dem Strome  $i$  um etwas mehr wie  $90^\circ$  voreilen. Tragen wir den Effektivwert der Grundharmonischen von  $e''$  gleich  $\frac{\omega J' M}{2} = E''$  in das Diagramm ein und zerlegen wir  $E''$  in zwei Komponenten: in der Richtung von  $E_s'$  und senkrecht dazu, so sehen wir, daß durch die erste Komponente  $\overline{OF}$  von  $E''$   $E_s'$  geschwächt wird.

Vergleichen wir nun die EMKe von dreifacher Periodenzahl.

Die dritte Oberwelle von  $e_s$  ist

$$\frac{3}{2} \varepsilon \sqrt{2} \omega L J \sin\left(3\omega t - \psi - \frac{\pi}{2}\right)$$

und diejenige von  $e''$

$$3\sqrt{2} E'' \sin(3\omega t - \psi + \pi - \psi_e).$$

Da  $\pi - \psi_e$  fast gleich  $90^\circ$  ist, so sind diese beiden EMKe dreifacher Periodenzahl einander fast entgegengesetzt gerichtet.

Somit wird auch die EMK dreifacher Periodenzahl, die von der Variation des Selbstinduktionskoeffizienten herrührt, von einer

EMK derselben Periodenzahl, die vom Strom zweifacher Periodenzahl in der Erregerwicklung herrührt, gedampft.

Wir erhalten folgendes Resultat:

Der Wechselstrom von zweifacher Periodenzahl, der in den Erregerspulen induziert wird, wirkt auf das Ankerfeld dampfend zurück.

Die über die Erregerquelle geschlossene Erregerwicklung verhält sich gegenüber dem Ankerfeld wie die sekundäre Wicklung eines Transformators im Kurzschluß: sie dampft das sie induzierende Feld.

Wie aber ohne weiteres einzusehen ist, wird die Erregerwicklung nicht imstande sein das inverse Feld vollkommen zu vernichten, denn die Erregerwicklung ist einachsig, ein Drehfeld hat dagegen mindestens zwei Achsen und kann daher nur dann fast vollständig abgedampft werden, wenn wir mindestens zwei kurzgeschlossene Achsen haben.

Das wird noch klarer, wenn wir das inverse Feld für sich betrachten und nicht den gesamten Ankerstrom, wie wir es bis jetzt gemacht haben; das soll im folgenden geschehen.

## 10. Zerlegung des inversen Drehfeldes in zwei Wechselfelder.

Wir wollen nun das inverse Feld für sich betrachten. Diesem entspricht eine maximale MMK

$$A = 0,45 f_{u1} q s_n J$$

pro Pol und es rotiert mit der doppelt synchronen Geschwindigkeit gegenüber den Polen. Wir können nun das inverse Drehfeld aus zwei Wechselfeldern entstanden denken, die zeitlich und räumlich um  $90^\circ$  gegeneinander verschoben sind und die in bezug auf die Pole stillstehen<sup>1)</sup>. Da das inverse Drehfeld sich relativ zu den Polen mit der doppelt synchronen Periodenzahl bewegt, so werden diese beiden Wechselfelder auch mit der Periodenzahl  $2c$  pulsieren müssen. Entsprechend einer räumlichen Verschiebung um  $90$  elektrische Grad wird eines der beiden Wechselfelder in der Achse der Pole das andere senkrecht dazu in der Polücke schwingen. Das erste wollen wir das inverse Längsfeld und das andere das inverse Querfeld nennen. Im zweipoligen Schema sind es also zwei um  $90^\circ$  räumlich verschobene Wellen.

Bevor wir weiter gehen, wollen wir feststellen, daß ein Wechselfeld von der Periodenzahl  $2c$ , das gegenüber der

<sup>1)</sup> S. z. B. Wengner, Theor. und exper. Untersuchungen an der synchronen Einphasenmaschine (Doktor-Dissertation).

Ankerwicklung mit der Periodenzahl  $c$  rotiert, in der Ankerwicklung eine EMK von der Periodenzahl  $c$  und eine EMK von der Periodenzahl  $3c$  induziert. Dieser Fall tritt ein, wenn z. B. in der Feldwicklung ein Wechselstrom von der Periodenzahl  $2c$  fließt und die Pole mit einer der Periodenzahl  $c$  entsprechenden Geschwindigkeit rotieren, wie in Fig. 29 angedeutet ist.

Wir können das Wechselfeld in zwei Drehfelder I und II zerlegen, deren konstante Amplituden gleich der halben Amplitude des Wechselfeldes sind und die mit der Geschwindigkeit  $2c$  relativ zu den Polen rotieren, das eine nach links, das andere nach rechts. Rotieren die Pole nach rechts, so hat das erste Drehfeld die absolute Geschwindigkeit  $2c - c = c$  und das zweite die Geschwindigkeit  $2c + c = 3c$  relativ zu der Ankerwicklung, wir erhalten somit, wie oben angegeben, eine EMK von der Periodenzahl  $c$  und eine EMK von der Periodenzahl  $3c$ .

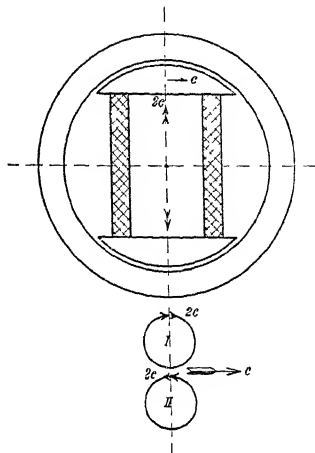
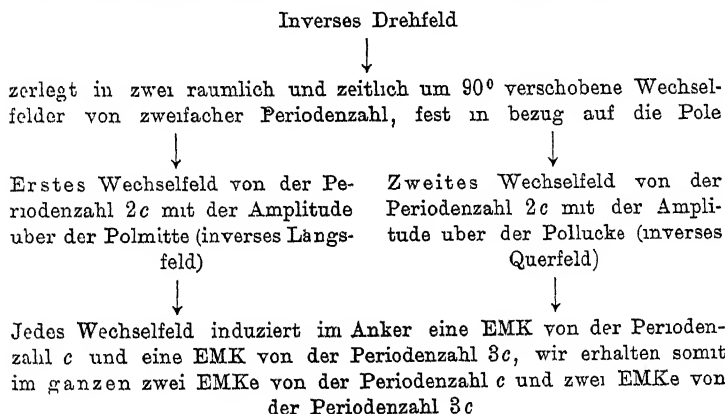


Fig. 29.

Wir wollen nun der Reihe nach die vom inversen Drehfelde bzw. von den äquivalenten beiden Wechselfeldern von der Periodenzahl  $2c$  in der Ankerwicklung und in der Erregerwicklung induzierten EMKe betrachten.

- a) Die vom inversen Drehfelde in der Ankerwicklung induzierten EMKe.

Die Wirkung läßt sich schematisch wie folgt darstellen:



Es laßt sich analytisch leicht beweisen, daß die beiden EMKe von einfacher Periodenzahl sich unterstützen und die EMKe von dreifacher Periodenzahl einander entgegenwirken. Bei Maschinen mit ausgeprägten Polen sind infolge der Ungleichheit der Selbstinduktionskoeffizienten des inversen Langsfeldes und des inversen Querfeldes die EMKe dreifacher Periodenzahl ungleich und es bleibt in der Ankerwicklung eine EMK dieser Periodenzahl bestehen, bei Maschinen mit Vollpolen heben sich dagegen die EMKe dreifacher Periodenzahl vollständig auf. Die Richtigkeit des Gesagten geht auch aus der Überlegung hervor, daß vom Ankerfeld einfacher Periodenzahl, durch dessen Zerlegung wir das inverse Drehfeld erhielten, bei gleicher Beschaffenheit des Rotors in bezug auf beide Achsen, eine EMK dreifacher Periodenzahl nicht induziert werden kann.

- b) Die vom inversen Drehfelde in der Erregerwicklung induzierten EMKe.

Die beiden Wechselfelder von zweifacher Periodenzahl werden in den Erregerwindungen EMKe von derselben Periodenzahl erzeugen, da sie in bezug auf die Pole feststehen. In einer Maschine mit ausgeprägten Polen kann nur das inverse Langsfeld zur Wirkung kommen, denn der inverse Querfluß kann nicht mit den Er-

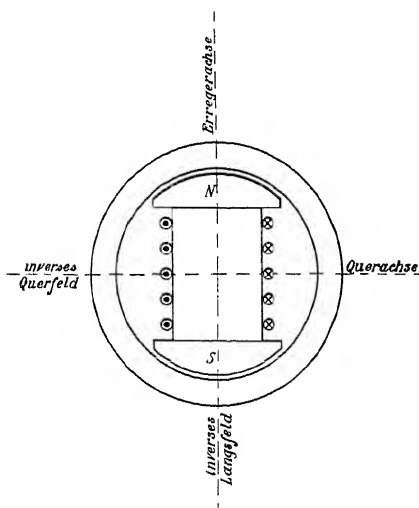


Fig. 30.

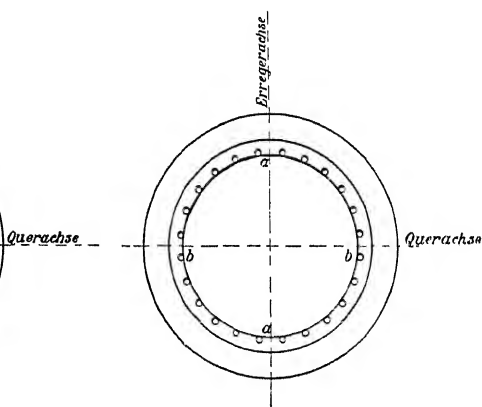
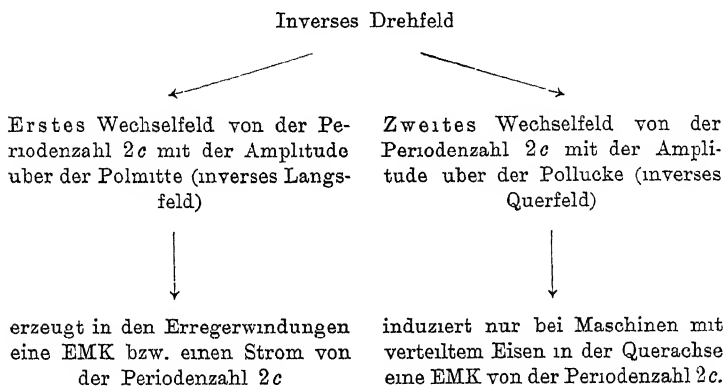


Fig. 31.

regerwindungen verkettet sein (Fig. 30). Verwendet man bei einer Maschine mit Vollpolen als Erregerwicklung eine verteilte Wicklung (Fig. 31), so wirkt auch das inverse Querfeld induzierend und es

entsteht somit auch in der Querachse zwischen  $bb$  eine EMK von zweifacher Periodenzahl.

Schematisch dargestellt ergibt sich:



Die Wechsel-EMK zweifacher Periodenzahl, die vom inversen Längsfelde herrührt, lagert sich nun über die Gleichspannung  $e_e$  der Erregerespulen. Wir erhalten somit an den Klemmen der Erregerwicklung eine aus der Gleich- und Wechselspannung resultierende Spannung, die man wegen ihrer Form (Fig. 32a) auch Wellenspannung heißen kann; ihren Effektivwert bezeichnen wir mit  $E_w$ .

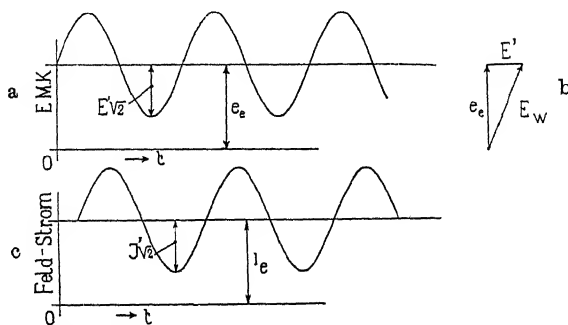


Fig 32. Wellenspannung und Wellenstrom im Erregerkreis einer Einphasenmaschine.

Der Momentanwert der Wechsel-EMK zweifacher Periodenzahl kann gleich

$$e' = \sqrt{2} E' \sin 2\omega t$$

gesetzt werden. Es wird dann



$$\begin{aligned}
 E_w^2 &= \frac{1}{T} \int_0^T (e_e + e)^2 dt = \frac{1}{T} \int_0^T (e_e + \sqrt{2} E' \sin 2\omega t)^2 dt \\
 &= \frac{1}{T} \int_0^T (e_e^2 + 2\sqrt{2} e_e E' \sin 2\omega t + 2E'^2 \sin^2 2\omega t) dt = e_e^2 + E'^2,
 \end{aligned}$$

also

$$E_w = \sqrt{e_e^2 + E'^2} \quad . \quad . \quad . \quad . \quad . \quad . \quad (30)$$

Den Effektivwert einer Wellenspannung erhält man also durch geometrische Zusammensetzung der Gleichspannung mit dem Effektivwert der Wechsellspannung unter  $90^\circ$  (Fig. 32b)

In dem Erregerstromkreis wird unter dem Einfluß der Wellenspannung  $E_w$  ein Wellenstrom fließen, dessen Effektivwert  $J_w$  sich durch geometrische Zusammensetzung des Gleichstromes  $i_e$  und des Effektivwertes  $J'$  des Wechselstromes ergibt. Es wird somit

$$J_w = \sqrt{i_e^2 + J'^2} \quad . \quad . \quad . \quad . \quad . \quad . \quad (31)$$

Der Wechselstrom, der sich über den Gleichstrom lagert (Fig. 32c) ändert die Stärke des Gleichstromes, der von der konstanten Gleichspannung erzeugt wird, nicht. Also bleibt auch die vom Erregerstrom  $i_e$  im Anker induzierte EMK  $e$  bei konstanter Tourenzahl unverändert.

Schalten wir in den Erregerkreis ein Drehspulen- und ein Hitzdrahtinstrument hintereinander, so können wir den Einfluß des Wechselstromes von zweifacher Periodenzahl beobachten: am ersten Amperemeter werden wir die Größe des Gleichstromes, am zweiten den effektiven Wert des Gesamtstromes ablesen können.

c) Rückwirkung der vom inversen Drehfelde in der Erregerwicklung induzierten Strome zweifacher Periodenzahl auf die Ankerwicklung.

Der Wechselstrom von doppelter Periodenzahl der Erregerwicklung wird ein Wechselfeld von zweifacher Periodenzahl erzeugen, dessen Achse mit der Achse des inversen Längsfeldes zusammenfällt. Wie ohne weiteres zu erkennen ist, wird dieses Wechselfeld um fast  $180^\circ$  gegen das inverse Längsfeld verschoben sein, denn die Wechsel-EMK zweifacher Periodenzahl der Erregerwicklung ist vom inversen Längsfelde induziert, sie eilt somit dem letzten um  $90^\circ$  nach; da weiter  $\psi_e$  ca.  $90^\circ$  beträgt, wird der Wechselstrom zweifacher Periodenzahl gegenüber der ihn erzeugenden EMK wieder um ungefähr  $90^\circ$  verschoben sein. Wir können daraus so-

fort den Schluß ziehen, daß das Wechselfeld von zweifacher Periodenzahl auf das inverse Längsfeld dämpfend wirkt. Es werden also die von diesem Feld induzierten EMKe einfacher und dreifacher Periodenzahl fast vollständig verschwinden.

Ganz anders liegen die Bedingungen für das inverse Querfeld. Auf das inverse Querfeld übt die Erregerwicklung keine dämpfende Wirkung aus.

Es war das vorauszusehen, denn die Erregerwicklung, die einachsiger ist, kann nur den Teil des inversen Drehfeldes dämpfen, dessen Achse mit der Achse der Erregerwicklung zusammenfällt.

**Zusammenfassung.** Die vom inversen Längsfelde in der Ankerwicklung induzierten EMKe einfacher und dreifacher Periodenzahl werden von entgegengesetzt gerichteten EMKen einfacher und dreifacher Periodenzahl, die von dem Strome zweifacher Periodenzahl der Erregerwicklung in der Ankerwicklung induziert werden, aufgehoben; mit anderen Worten: das inverse Längsfeld wird durch die über die Erregerquelle geschlossene Erregerwicklung abgedämpft.

Das inverse Querfeld bleibt von der Erregerwicklung unberührt, weil ihre Achsen gegeneinander um 90 elektrische Grad verschoben sind.

Auf den Spannungsabfall und, da eine dritte Harmonische auftritt, auf die Form der Spannungskurve wird sich somit außer dem synchronen Drehfelde nur noch das inverse Querfeld bemerkbar machen.

Bei Maschinen mit ausgeprägten Polen oder solchen Maschinen mit verteilttem Eisen, die eine konzentrierte Erregerwicklung nach der Art der ersten erhalten, übt das inverse Querfeld keine Wirkung auf die Erregerwicklung aus.

Ist dagegen die Erregerwicklung gleichmäßig verteilt, z. B. wie bei Vollpolen eine Trommelwicklung, so wird das inverse Querfeld nicht nur in der Ankerwicklung, sondern auch in der Erregerwicklung EMKe induzieren. In der Ankerwicklung werden es EMKe von einfacher und dreifacher Periodenzahl sein, in der Erregerwicklung von zweifacher Periodenzahl. Diese EMKe zweifacher Periodenzahl, die in der Querachse (zwischen den Punkten  $bb$ , Fig. 31) auftreten, können so lange keinen Strom erzeugen, als die Punkte  $bb$  nicht miteinander verbunden sind, und es wird in diesem Falle in der Querachse auch bei gleichmäßig verteilter Erregerwicklung keine Dämpfung vorhanden sein und es wird eine Deformation der EMK-Kurve des Ankers auftreten.

## 11. Mittel zur Dämpfung des inversen Drehfeldes.

Wir haben gesehen, daß das inverse Drehfeld teilweise abgedämpft wird, einmal durch die Wirbelströme, das andere Mal durch Ströme doppelter Periodenzahl der Erregerwicklung.

Macht man die Pole massiv, so kann der Einfluß der Wirbelströme sehr bedeutend und somit eine sehr starke Dämpfung erzielt werden. Das ist aber nicht immer zulässig. Abgesehen davon, daß die Wirbelströme Verluste verursachen und dadurch den Wirkungsgrad der Einphasenmaschine herabsetzen, können sie auch zu einer übermäßigen Erwärmung der Pole führen, besonders bei schnelllaufenden Maschinen.

Der Erregerkreis übt eine um so stärkere dämpfende Wirkung aus, je größer der Strom zweifacher Periodenzahl ist. Diese Ströme können aber die Kommutierungsverhältnisse der Erregermaschine verschlechtern. Andererseits besteht die Gefahr, daß im Falle eines plötzlichen Kurzschlusses oder einer Unterbrechung des Erregerkreises die EMK zweifacher Periodenzahl an den Erregerklemmen zu hohe Werte annimmt (sie kann den 20 bis 30 fachen Wert der normalen Erregerspannung erreichen) und zu einem Durchschlag der Isolation der Erregerwicklung führen.

Wir sehen somit, daß unter Umständen, insbesondere bei schnelllaufenden Maschinen wie Turbogeneratoren, es nicht zulässig ist, von der dämpfenden Wirkung der Wirbelströme und der Ströme zweifacher Periodenzahl in der Erregerwicklung Gebrauch zu machen, um so mehr, da ein Teil des inversen Drehfeldes (das inverse Querfeld) doch bestehen bleibt und auf den Spannungsabfall und die Form der Spannungskurve seine Wirkung ausübt.

Man greift daher sehr oft zu künstlichen Mitteln, die wir in drei Gruppen einteilen können:

I. Mittel, die den Zweck haben, das inverse Längsfeld abzdämpfen. Sie beseitigen somit die Gefahr eines Durchschlages der Erregerwicklung, vermindern die Wirbelströme und die Erwärmung der Pole. Das inverse Querfeld bleibt ungedämpft. Diese Mittel werden bei Maschinen mit ausgeprägten Polen angewandt.

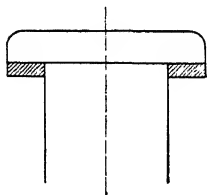


Fig. 33.

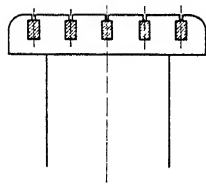


Fig. 34.

Zu dieser Gruppe gehören: kräftige Ringe, die um die Pole herumgelegt werden und so einen Kurzschlußkreis bilden (Fig. 33); Kupferstäbe, die in Polnuten untergebracht sind und gruppenweise (pro Pol) kurzge-

geschlossen sind (Fig. 34); Spulenrahmen aus starkem Kupferblech; Kupferplatten auf den Polen.

II. Die Erregerwicklung behält ihre Eigenschaft als Dämpferwicklung für das inverse Längsfeld; in der Querachse wird ein Kurzschluß hergestellt zur Abdämpfung des inversen Querfeldes. Die Gefahr eines Durchschlages der Erregerwicklung ist nicht beseitigt, die Erwärmung ist vermindert.

Diese Art der Dämpfung kann bei Maschinen mit verteilter Erregerwicklung angewandt werden.

Die Möglichkeit einer Dämpfung nach dieser Art ist zunächst von Lattour<sup>1)</sup> (1904), unabhängig davon von Rezelman<sup>2)</sup> und dann von Prof. Pichelmayer<sup>3)</sup> angegeben worden

Man verwendet als Magnetråd eine Trommel, die mit einer gewöhnlichen Gleichstromwicklung bedeckt ist (Fig. 35). Die Punkte  $aa$  sind über die Erregerquelle geschlossen. Die Punkte  $bb$  in der Querachse sind äquipotentielle Punkte und können miteinander verbunden werden. Die EMKe zweifacher Periodenzahl, die vom inversen Querfelde in der oberen und unteren Hälfte der Erregerwicklung induziert werden und sich sonst das Gleichgewicht halten, können jetzt Ströme zweifacher Periodenzahl in der Erregerwicklung erzeugen. Diese Ströme in der Achse  $bb$  werden das inverse Querfeld genau in derselben Weise abdämpfen, wie die Ströme zweifacher Periodenzahl in der Achse  $aa$  das inverse Längsfeld dämpfen.

Außer dem Gleichstrom  $i_0$  und dem Strome zweifacher Periodenzahl  $J'$ , der vom inversen Längsfelde induziert wird, wird in der Erregerwicklung jetzt noch ein weiterer Strom  $J''$  zweifacher Perioden-

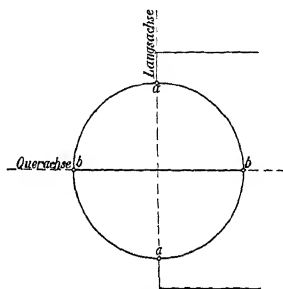


Fig. 35.

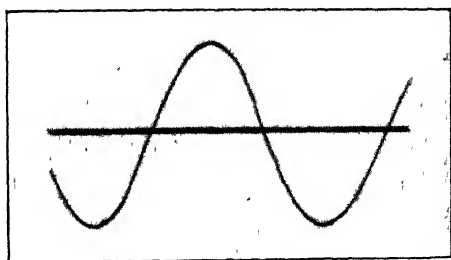


Fig. 36.

<sup>1)</sup> Amer. Pat. Nr. 787302.

<sup>2)</sup> Vorgänge in Ein- und Mehrphasengen. Sammlung elektrot. Vortr. Bd. VIII.

<sup>3)</sup> ETZ 1910, S. 162.

zahl, vom inversen Querfelde herrührend, fließen. Da das inverse Querfeld gegenüber dem inversen Langsfeld um  $90^\circ$  zeitlich ver-

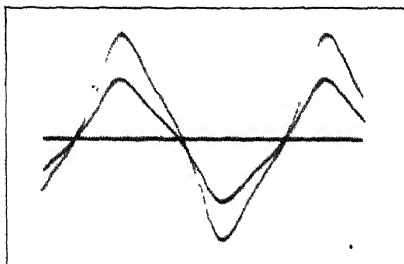


Fig. 37.

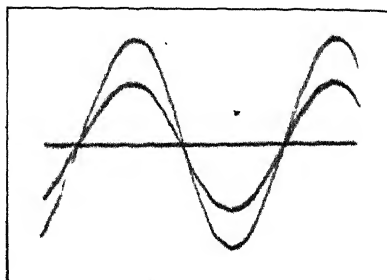


Fig. 38.

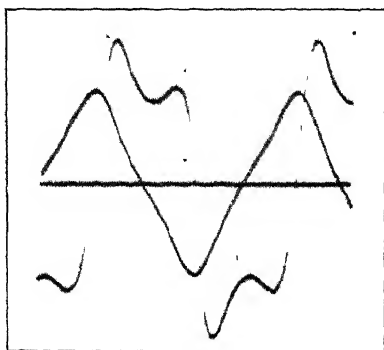


Fig. 39

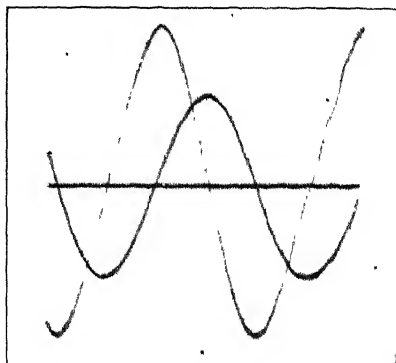


Fig. 40.

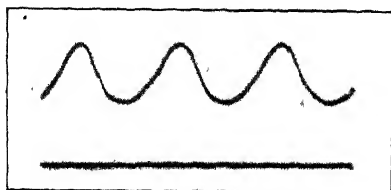


Fig 41

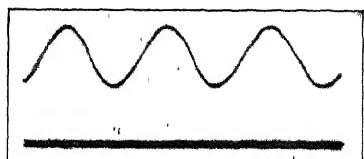


Fig. 42

schoben ist, so wird  $J''$  um  $90^\circ$  gegenüber  $J'$  verschoben sein. Der resultierende Strom in der Erregerwicklung wird somit

$$J_w = \sqrt{i_e^2 + J'^2 + J''^2} \quad . \quad . \quad . \quad (32)$$

Versuche an einer solchen Maschine sind von Pichelmayer<sup>1)</sup>

<sup>1)</sup> ETZ 1910, S 162.

ausgeführt worden. Fig. 36 stellt die Spannungskurve des Generators bei Leerlauf dar. In Fig. 37 sind die Strom- und Spannungskurven bei induktionsfreier Belastung und offenem Querkreis dargestellt. Der Einfluß der dritten Harmonischen macht sich hier schon bemerkbar. Fig. 38 entspricht derselben Belastung bei geschlossenem Querkreis. Fig. 39 enthält die Strom- und Spannungskurven bei induktiver Belastung und offenem Querkreis; Fig. 40 dasselbe bei geschlossenem Querkreis. Es war zu erwarten, daß sich das Schließen und Öffnen des Querkreises auch im Spannungsabfall bemerkbar machte, nicht nur in der Form der Spannungskurve. Tatsächlich ergab sich bei Vollast eine Spannungssteigerung von ca. 5%, wenn der Querkreis geschlossen wurde. Auch die Kurzschlußcharakteristik war bei geschlossenem Querkreis durchweg um 15% höher als bei offenem Querkreis. Fig. 41 und 42 stellen den Erregerstrom bei offenem und geschlossenem Querkreis dar.

III. Eine besondere Wicklung, Dämpferwicklung, wird am Magnetkörper eingebaut; diese hat mehrere Kurzschlußachsen und dämpft sowohl das inverse Langfeld wie das inverse Querfeld ab. Die Gefahr eines Durchschlages ist beseitigt, die Wirbelströme sind stark vermindert.

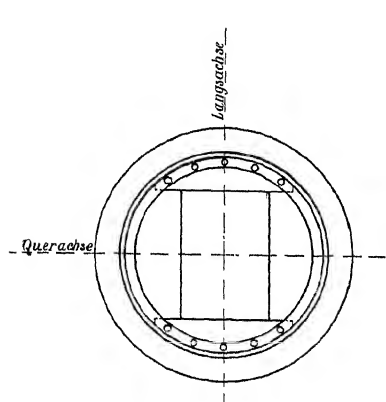


Fig. 43.

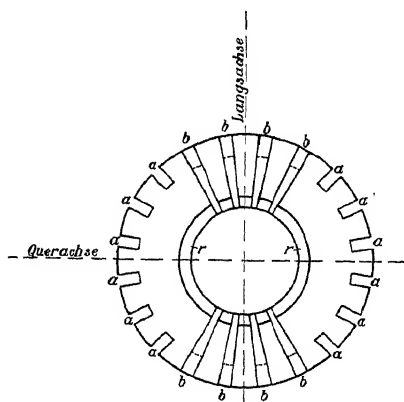


Fig. 44.

Diese Art der Dämpferwicklung (Amortisseur) ist von Hutin und Leblanc angegeben worden.

Bei Maschinen mit ausgeprägten Polen werden zur Unterbringung der Dämpferwicklung in den Polschuhen Nuten angebracht; in diese werden die Stäbe eingelegt und an beiden Enden durch zwei Kupferringe miteinander verbunden (Fig. 43). Die Stäbe, die zu

einem Pol gehören, bilden Kurzschlußkreise für das inverse Langsfeld; die Stäbe, die zu verschiedenen Polen gehören, bilden Kurzschlußkreise für das inverse Querfeld.

Eine Anordnung der Dampferwicklung bei einer Maschine mit verteilttem Eisen und in Nuten liegender Erregerwicklung, wie sie bei Turbogeneratoren ausgeführt wird, zeigt Fig. 44. In den Nuten  $a$  ist die Erregerwicklung untergebracht. In dem großen Zahne, dem eigentlichen Pole, sind weitere Nuten  $b$  vorhanden, die die Dampferstäbe aufnehmen, die auf beiden Seiten nach innen abgebogen und durch einen Ring  $r$  oder durch die massiven Endplatten des Rotors verbunden werden.

Eine Einphasenmaschine mit Dämpferwicklung ist ihren Arbeiten nach einer Mehrphasenmaschine gleichwertig. Außer der Abdampfung des inversen Drehfeldes leistet eine solche Dampferwicklung wichtige Dienste bei dem Parallelarbeiten von Generatoren, indem sie die Schwingungen, die infolge der Leistungspendelungen der Kraftmaschinen auftreten, abdämpft. Diese Wirkung der Dampferwicklung wird in einem der folgenden Abschnitte ausführlich behandelt werden.

Es ist ohne weiteres klar, daß das inverse Drehfeld nicht vollkommen abgedämpft werden kann; es muß immer noch ein kleiner Restfluß bleiben, dessen Größe von der Impedanz der Dämpferkreise abhängig ist.

Zu den sonstigen Kupferverlusten werden noch die Stromwärmeverluste in der Dämpferwicklung hinzukommen. Diese sind aber bedeutend kleiner, als wenn die Dämpfung des inversen Drehfeldes den Wirbelströmen überlassen wird.

Durch den Einbau eines Dämpferkäfigs wird der Wirkungsgrad der Einphasenmaschine um einige Prozent erhöht und die Erwärmung der Pole wird heruntergesetzt. Um den Einfluß des inversen Drehfeldes zu berücksichtigen, ist der nach Gl. 6 a berechnete Wert der Streureaktanz  $x_{s1}$  um etwa 20% zu erhöhen.

## 12. Berechnung der Dämpferwicklung.

Für die Größe des Querschnittes der Dämpferstäbe ist die Größe des Dämpferstromes maßgebend. Wie wir aus den Fig. 43 und 44 gesehen haben, werden die Dämpferstäbe gleichzeitig vom inversen Langs- und inversen Querfelde beeinflusst. Um die Größe der Ströme in den Dämpferstäben zu berechnen, waren die vom inversen Langs- und inversen Querfelde induzierten EMKe einzeln zu betrachten und, unter Berücksichtigung der Selbstinduktion jeder Masche und der gegenseitigen Induktion der einzelnen Maschen aufeinander, die Ströme in den einzelnen Stäben zu bestimmen. Die

Strome, die von dem einen Wechselfelde herrühren, waren dann mit den Strömen, die von dem zweiten Wechselfelde herrühren, zu superponieren. Es ist aber nicht zweckmäßig, diesen genauen Weg einzuschlagen, denn tatsächlich nimmt auch die Erregerwicklung an der Dämpfung des inversen Langsfeldes teil, — in welchem Maße läßt sich aber nicht sagen; auch die Wirbelströme werden eine Wirkung haben. Wir rechnen daher angenähert, wie folgt.

Bei Maschinen mit verteiltem Feldeisen und einer Kafigwicklung als Dämpferwicklung rechnen wir mit dem inversen Drehfelde, dem eine maximale MMK pro Pol

$$A = 0,45 f_{w1} J s_n q$$

entspricht. Diese ist gleich der halben MMK des Wechselfeldes.

Rechnen wir mit Effektivwerten und mit der gesamten MMK, nicht nur mit der Grundwelle, so ist die MMK für alle  $2p$  Pole gleich  $\frac{1}{2} f_w J w_1$ . Die MMK der Kafigwicklung ist gleich  $p J_d \frac{N_d}{p} \cdot 1 \cdot \frac{1}{2}$ , also

$$J w_1 f_w = J_d N_d \quad . \quad . \quad . \quad . \quad . \quad . \quad (33a)$$

wobei

$f_w$  den Wicklungsfaktor der Statorwicklung

und

$N_d$  die gesamte Stabzahl der Dämpferwicklung, die auf  $2p$  Pole mit  $\frac{N_d}{2p}$  Löchern pro Pol verteilt ist, bedeutet.

Bei Maschinen mit ausgeprägten Polen und pro Pol verbundenen Stäben rechnet man besser mit dem Ankerwechselfelde selbst und setzt:

$$J 2 w_1 f_w = J_d N_d f_{wd} \quad . \quad . \quad . \quad . \quad . \quad . \quad (33b)$$

wo jetzt

$J_d$  ein Mittelwert ist aus den Effektivwerten der Ströme, die in verschiedenen Stäben der Dampferwicklung auftreten, und

$f_{wd}$  der Wicklungsfaktor der einachsigen gedachten Dämpferwicklung.

Die Formeln 33a und b gestatten den Querschnitt der Dämpferstäbe nach Annahme der Stromdichte zu berechnen. Der Querschnitt der Seitenringe ist stärker zu nehmen, da sich die Ströme mehrerer Stäbe im Ringe addieren.



### 13. Effektiver Widerstand der Statorwicklung.

Wir haben bis jetzt den Einfluß der Selbstinduktion auf den Spannungsabfall untersucht und die Spannungskomponenten  $E_{s1}$ ,  $E_{s2}$  und  $E_{s3}$  berechnet. Es bleibt noch übrig den effektiven Widerstand der Statorwicklung zu bestimmen, denn dieser verursacht einen Spannungsabfall  $Jr_a$ , in Phase mit dem Strom

Auf die Größe des effektiven Widerstandes haben verschiedene Erscheinungen Einfluß. Wir wollen die Wirkung der Wirbelströme untersuchen.

Wir betrachten einen Wirbelstromfaden allein, der in bezug auf die Ankerwicklung den gegenseitigen Induktionskoeffizienten  $M_w$  hat. Es wird dann in diesem Wirbelstromkreis die EMK

$$e_w = - \frac{d(M_w i)}{dt}$$

induziert.

Setzen wir den Ankerstrom wie früher

$$i = \sqrt{2} J \sin(\omega t - \psi),$$

so wird

$$\begin{aligned} e_w &= - \frac{d}{dt} \sqrt{2} M_w J \sin(\omega t - \psi) \\ &= \sqrt{2} \omega M_w J \sin\left(\omega t - \psi - \frac{\pi}{2}\right). \end{aligned}$$

Diese EMK erzeugt einen Wirbelstrom

$$i_w = \sqrt{2} J_w \sin\left(\omega t - \psi - \frac{\pi}{2} - \psi_w\right),$$

der wieder in der Ankerwicklung eine EMK

$$e'' = - \frac{d(M_w i_w)}{dt}$$

$$e'' = \sqrt{2} \omega M_w J_w \sin(\omega t - \psi - \psi_w - \pi)$$

induziert, wo  $\psi_w$  der Winkel ist, um den der Wirbelstrom  $i_w$  der ihn erzeugenden EMK  $e_w$  nacheilt (Fig. 45). Wegen des Stromwärmeverlustes des Wirbelstromes ist  $\psi_w < 90^\circ$  und somit  $2\pi - (\pi + \psi_w) > 90^\circ$ , so daß die vom Wirbelstrom in der Ankerwicklung induzierte EMK  $E''$  dem Ankerstrom um etwas mehr wie  $90^\circ$  voreilt. Wir stellen diese Größen in einem Diagramm zusammen (Fig. 45), das vollkommen identisch mit dem Diagramm Fig. 28 ist, wo wir den Einfluß der Strome doppelter Periodenzahl der Erregerwicklung auf die Ankerwicklung untersuchten.  $E_s'$  ist wie früher die resultierende EMK der Selbstinduktion in der Ankerwicklung, die gleich

$\omega LJ$  wird, wenn wir eine Maschine mit Vollpolen haben, d. h. wenn  $L$  als konstant angesehen werden kann. Wie aus dem Diagramm ersichtlich, wirkt die Komponente von  $E''' \overline{OG}$  erhöhend auf den Spannungsabfall durch Vergrößerung des effektiven Widerstandes. Wie zu erwarten war, hat  $E'''$  auch eine Komponente, die  $E_s'$  entgegenwirkt; das ist nichts anderes, als die mehrfach erwähnte Dämpfung des Ankerfeldes durch die Wirbelströme. Betrachten wir das Diagramm Fig. 28, so sehen wir, daß auch die Ströme zweifacher Periodenzahl in der Erregerwicklung außer der Komponente  $\overline{OF}$ , die das Ankerfeld dämpft, eine weitere Komponente haben, die den effektiven Widerstand erhöht.

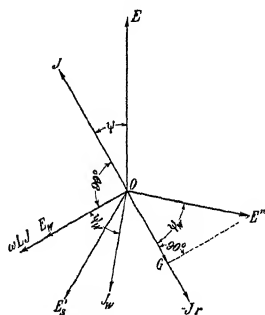


Fig 45

Wirbelströme entstehen nicht nur in den massiven Eisenteilen, sondern auch in den massiven Ankerleitern selbst.

Ist ein Leiter vom kreisförmigen Querschnitt in der Luft gelagert, so findet man den effektiven Widerstand desselben gleich

$$r_w = r_g (1 + 7,0 d^4 c^2 10^{-7})$$

wo  $r_g$  gleich ist dem Widerstand des Leiters für Gleichstrom und  $d$  gleich dem Durchmesser des Drahtes in Zentimetern.

Sind die Leiter in Eisen eingebettet, so tritt eine größere Selbstinduktion auf, und die Linien verlaufen in dem stromführenden Leiter ganz anders, als bei der Ableitung der obigen Formel angenommen wurde. In einem Leiter, der in einer Nut gelagert ist, bekommt man in dem Teil des Leiters, der am tiefsten in der Nut liegt, die kleinste Stromdichte. Diese sogenannte Oberflächenwirkung (Skin-Effekt) bewirkt, daß der Selbstinduktionskoeffizient des Leiters sinkt.

Fassen wir alles, was auf den Spannungsabfall, der vom effektiven Widerstande herrührt, einen Einfluß hat, zusammen, so sind es:

1. Ohmscher Widerstand  $r_g$ ,
2. Wechselströme doppelter Periodenzahl im Erregerstromkreis,
3. Wirbelströme in den massiven Metallteilen des Feldsystems,
4. Wirbelströme in den massiven Metallteilen des Ankers,
5. Schwankung des Selbstinduktionskoeffizienten der Ankerwicklung,
6. Wirbelströme in den massiven Ankerleitern.

Wie daraus ersichtlich, wird bei der Einphasenmaschine ohne künstliche Dämpfung nicht nur der Spannungsabfall, der von der Selbstinduktion herrührt, größer sein als bei einer Mehrphasenmaschine, weil auf den Spannungsabfall außer dem synchronen Drehfeld noch das inverse Querfeld einen Einfluß hat, sondern auch der Spannungsabfall, der vom effektiven Widerstande herrührt, ist bei der Einphasenmaschine größer, als bei einer Mehrphasenmaschine.

Für den effektiven Widerstand der Ankerwicklung kann man setzen:

$$\text{und} \quad \left. \begin{array}{l} r_a = (1,5 \text{ bis } 2,5) r_g \text{ bei Einphasenmaschinen} \\ r_a = (1,3 \text{ bis } 2,0) r_g \text{ bei Mehrphasenmaschinen} \end{array} \right\} . \quad (34)$$


---

## Zweites Kapitel.

# Änderung der Klemmenspannung eines Generators mit der Belastung und mit der Tourenzahl.

14 Spannungsdiagramme einer Wechselstrommaschine. — 15 Spannungsabfall und Spannungserhöhung eines Generators mit ausgeprägten Polen — 16. Bestimmung der Spannungsänderungen unter Benutzung der Leerlaufcharakteristik. — 17 Bestimmung der Spannungsänderungen ohne Benutzung der Leerlaufcharakteristik. — 18. Spannungsänderung eines Generators bei konstanter Erregung, konstantem Belastungsstrom  $J$  und veränderlicher Phasenverschiebung  $\varphi$ . — 19 Änderung der Klemmenspannung mit der Tourenzahl.

### 14. Spannungsdiagramme einer Wechselstrommaschine.<sup>1)</sup>

Das einfachste Spannungsdiagramm einer Wechselstrommaschine stellt Fig. 46 dar. Außer der von den Feldmagneten in der Ankerwicklung induzierten EMK  $E$ , gegenüber welcher der Strom  $J$  um den Winkel  $\psi$  verzögert sei, haben wir eine Reaktanzspannung  $Jx_a$  senkrecht zum Strome  $J$  und eine Komponente  $Jr_a$  in Phase mit dem Strome, herrührend vom Spannungsverluste im effektiven Widerstande der Ankerwicklung. Als Resultante erhalten wir die Klemmenspannung  $P$  mit der Phasenverschiebung  $\varphi$ .

Bei der Aufzeichnung eines solchen Diagramms nimmt man gewöhnlich an, daß alle Ströme und Spannungen Sinusform haben, indem man die wirklichen Formen durch sinusförmige von demselben Effektivwert

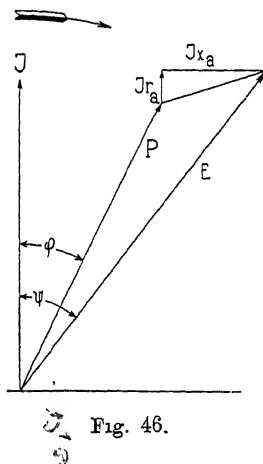


Fig. 46.

<sup>1)</sup> Die nachfolgenden Diagramme sind oft, auch wenn sie aufeinander Bezug haben, in verschiedenem Maßstab oder ohne bestimmten Maßstab für die Spannungen gezeichnet, um möglichst deutliche Figuren zu erhalten.



recht zu  $E$  angetragen wird. Die vom Streufluß  $\Phi_{s1}$  induzierte EMK  $E_{s1} = \overline{CB}$  ist senkrecht und die Widerstandsspannung  $Jr_a = \overline{BA}$  parallel zum Stromvektor  $OJ$ .

Als Resultante erhalten wir die Klemmenspannung  $\overline{OA} = P$ .

Die bei Belastung des Ankers vom resultierenden Felde wirklich induzierte EMK ist gleich  $\overline{OC}$ . Die EMK  $\overline{OE} = E$ , von der wir ausgegangen sind, würde im Anker dann induziert werden, wenn wir die Maschine entlasteten, ohne die Erregung zu ändern, also bei Leerlauf, für den  $P = E$  wird.

Für die Berechnung der Sättigungen des Eisens bei Belastung und der Eisenverluste durch Hysteresis und Wirbelströme ist die EMK  $\overline{OC}$  maßgebend.

Die Richtungen, in denen die induzierten EMKe im Vektordiagramm einzutragen sind, ergeben sich auch aus der Lage und Richtung der zugehörigen Kraftflüsse. Bekanntlich ist jede EMK gegen den sie induzierenden Kraftfluß um  $90^\circ$  verzögert. Die EMK  $E$  ist daher um  $90^\circ$  gegen das bei Leerlauf existierende Erregerfeld  $\Phi$  verzögert (Fig. 47).

Zerlegt man den Ankerstrom in zwei Komponenten, einen Wattstrom  $J_w = J \cos \psi$  in Phase mit der induzierten EMK und einen wattlosen Strom  $J_{wl} = J \sin \psi$ , so sieht man, daß das quermagnetisierende Feld  $\Phi_{s3}$  in Phase mit dem Wattstrom  $J_w$  und das langsmagnetisierende Feld in Phase mit dem wattlosen Strom  $J_{wl}$  ist. Das Feld  $\Phi_{s1}$  hat mit  $J$  gleiche Phase.

Die von diesen Feldern induzierten EMKe sind in Fig. 47 mit  $-E_{s1}$ ,  $-E_{s2}$ ,  $-E_{s3}$  bezeichnet und ihre Richtung ist nebst derjenigen von  $Jr_a$  von  $O$  aus angegeben. Die induzierte Spannung  $E$  hat allen diesen Komponenten und der Klemmenspannung  $P$  das Gleichgewicht zu halten. Wir finden daher  $E$ , wenn wir zu  $\overline{OA}$  die genannten Komponenten geometrisch mit entgegengesetzter Richtung addieren, wodurch das gezeichnete Diagramm, Fig. 47, entsteht.

Infolge der vorgenommenen Zerlegung des Stromes können wir sagen: Der Querfluß  $\Phi_{s3}$  wird vom Wattstrom  $J_w$  und der langsmagnetisierende Fluß  $\Phi_{s2}$  vom wattlosen Strom  $J_{wl}$  erzeugt.

Aus der Fig. 47 folgt

$$\frac{J_{wl}}{J_w} = \operatorname{tg} \psi.$$

Da die magnetischen Widerstände für die Kraftflüsse  $\Phi_{s2}$  und  $\Phi_{s3}$  im allgemeinen sehr verschieden sind, wird im allgemeinen

$$\frac{\Phi_{s2}}{\Phi_{s3}} \gg \operatorname{tg} \psi \text{ sein.}$$

Nun ist  $E_{s2} = 4 f_B f_{w1} c w \Phi_{s2} 10^{-8}$  Volt

und  $E_{s3} = 4 f_B f_{w1} c w \Phi_{s3} 10^{-8}$  Volt.

Es muß daher im allgemeinen auch

$$\frac{E_{s2}}{E_{s3}} \geq \operatorname{tg} \psi$$

sein und die resultierende EMK  $E_{sr}$  der beiden EMKe  $E_{s2}$  und  $E_{s3}$  wird daher im allgemeinen nicht senkrecht auf dem Stromvektor  $\vec{OJ}$  (Fig. 47) stehen. Ist, wie in Fig. 47,  $E_{s2} > E_{s3} \operatorname{tg} \psi$ , so erhält man eine kleinere Klemmenspannung als für  $E_{s2} = E_{s3} \operatorname{tg} \psi$ ; denn die Resultierende  $E_{sr}$  besitzt eine Spannungskomponente, die die Widerstandsspannung  $Jr_a$  vergrößert. Ist  $E_{s2} < E_{s3} \operatorname{tg} \psi$ , so ist das Umgekehrte der Fall. Man erhält eine größere Klemmenspannung und der effektive Widerstand erscheint verkleinert. Diese scheinbare Vergrößerung und Verkleinerung des effektiven Widerstandes wegen der Variation des Selbstinduktionskoeffizienten haben wir früher erläutert.  $E_{s2} > E_{s3} \operatorname{tg} \psi$  sagt aus, daß der Selbstinduktionskoeffizient einer Windung am größten ist, wenn deren Leiter zwischen den Polen liegen.  $E_{s2} < E_{s3} \operatorname{tg} \psi$  tritt dagegen ein, wenn der Selbstinduktionskoeffizient einer Windung am größten ist, wenn sich deren Leiter unter den Polen befinden.

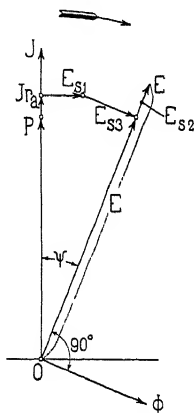


Fig. 48 Spannungsdiagramm eines Wechselstromgenerators bei Phasengleichheit.

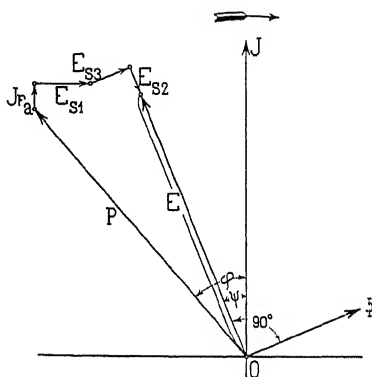


Fig. 49. Spannungsdiagramm eines Wechselstromgenerators bei Phasenverteilung.

Hat die Komponente  $\overline{GF}$  von  $E_{sr}$  (Fig. 47), die in Phase mit  $J$  ist, im Diagramm mit  $J$  gleiche Richtung<sup>1)</sup>, so wirkt sie motorisch,

<sup>1)</sup> In Wirklichkeit entgegengesetzte Richtung, denn wir haben für  $E_{sr}$  die Richtung genommen, bei der sie der induzierten EMK  $E_{sr}$  das Gleichgewicht hält.

d. h. ein entsprechender Teil der elektrischen Energie wird wieder in mechanische Energie umgesetzt und vergrößert scheinbar den effektiven Widerstand des Ankers. Ist dagegen die Wattkomponente von  $E_{sr}$  zu  $J$  entgegengesetzt gerichtet, so wirkt sie generatorisch und verkleinert daher scheinbar den effektiven Widerstand des Ankers. Diese scheinbare Vergrößerung oder Verkleinerung des effektiven Widerstandes hat auf den Wirkungsgrad keinen Einfluß.

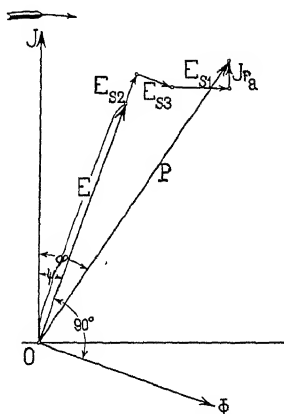


Fig. 50. Spannungsdiagramm eines Wechselstrommotors für Phasennachteilung

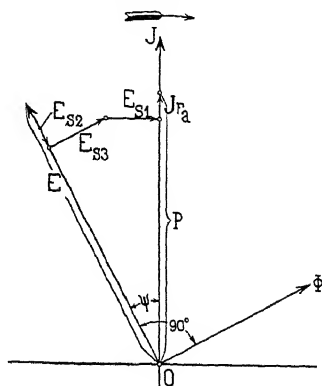


Fig. 51. Spannungsdiagramm eines Wechselstrommotors für Phasengleichheit.

In ähnlicher Weise ergeben sich nun die Spannungsdiagramme eines Generators bei Phasengleichheit von  $J$  und  $P$  ( $\varphi = 0$ ) und bei Phasenvoreilung ( $\varphi$  negativ). Diese Diagramme sind in den Fig. 48 und 49 dargestellt.

Für einen Motor, wo der Strom gegen die vom Erregerfelde induzierte EMK fließt, wo wir einen von der Klemmenspannung erzeugten Strom als positiv betrachten, erhält man die Spannungsdiagramme in ähnlicher Weise. Fig. 50 stellt es für Phasennachteilung, wo  $\varphi$  positiv ist, Fig. 51 für Phasengleichheit,  $\varphi = 0$  und Fig. 52 für Phasenvoreilung, wo  $\varphi$  negativ ist, dar. Die Klemmenspannung  $P$  ist bei einem Motor gleich der Resultante aller Spannungskomponenten, ist aber entgegengesetzt zu ihr gerichtet.

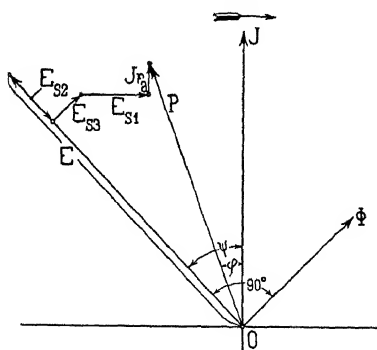


Fig. 52. Spannungsdiagramm eines Wechselstrommotors für Phasenvoreilung.



Aus diesen Diagrammen geht deutlich hervor, daß, wenn der Strom der induzierten EMK um den Winkel  $\psi$  nacheilt, die induzierte EMK im Generator größer und im Motor kleiner als die Klemmenspannung wird, und daß der Phasenverschiebungswinkel  $\varphi$  an den Klemmen der Maschine beim Generator kleiner und beim Motor größer ist als der innere Phasenverschiebungswinkel  $\psi$ . Eilt der Strom dagegen der induzierten EMK um einen großen Winkel voraus, so wird die induzierte EMK im Generator kleiner und im Motor größer sein als die Klemmenspannung. Ferner wird in diesem Falle beim Generator der äußere Phasenverschiebungswinkel  $\varphi$  groß und beim Motor kleiner als der innere Phasenverschiebungswinkel.

## 15. Spannungsabfall und Spannungserhöhung eines Generators mit ausgeprägten Polen.

Die Änderung der Klemmenspannung  $P$  eines Generators zwischen Leerlauf und Belastung oder zwischen Belastung und Leerlauf bei konstanter Umdrehungszahl und konstanter Erregung dividiert durch die Klemmenspannung, von der man ausgeht, und multipliziert mit 100 heißt man die prozentuale Spannungsänderung.

Gehen wir von der normalen Klemmenspannung  $P_0$  einer Phase bei Leerlauf aus, und sinkt die Klemmenspannung mit zunehmender Belastung auf den Wert  $P$ , so ist der prozentuale Spannungsabfall gleich

$$\varepsilon\%_0 = \frac{P_0 - P}{P_0} 100 \quad . . . . . (35)$$

Regulieren wir dagegen die Erregung auf die normale Klemmenspannung  $P$  bei Belastung ein und entlasten die Maschine, so steigt die Klemmenspannung auf  $P_0$  und die prozentuale Spannungserhöhung wird

$$\varepsilon\%_0 = \frac{P_0 - P}{P} 100 \quad . . . . . (36)$$

Wir wollen nun für einen bestimmten Belastungsfall, also für einen gegebenen Strom  $J$  und gegebene äußere Phasenverschiebung  $\varphi$ , die Spannungserhöhung bzw. den Spannungsabfall bestimmen.

## 16. Bestimmung der Spannungsänderungen unter Benutzung der Leerlaufcharakteristik.

1. Bestimmung der Spannungserhöhung. Wir tragen wie früher die Stromstärke  $J$  in der Richtung der Ordinatenachse (Fig. 53) und die Klemmenspannung  $P$  unter dem Winkel  $\varphi$  zur

Ordinatenachse ab und berechnen  $Jr_a$  und  $E_{s1} = Jx_{s1}$  mit Hilfe der Formeln Gl. 34, S. 54 und Gl. 6a, S. 18. Diese Werte werden in das Diagramm eingetragen und man erhält die EMK  $\overline{OC}$ . Das ist die EMK, die vom resultierenden Felde in Wirklichkeit induziert wird. Um nun die bei Entlastung der Maschine, also bei Leerlauf, vom Erregerfelde in der Ankerwicklung induzierte EMK  $E$  bestimmen zu können, ist die Kenntnis des Winkels  $\psi$  notwendig, wie aus Fig. 47 ersichtlich. Es kann<sup>1)</sup>  $\psi$  wie folgt bestimmt werden.

Im vollständigen Diagramm (Fig. 53) bilden  $\overline{CD} = E_{s3}$  und  $\overline{OD}$  miteinander einen Winkel von  $90^\circ$ . Der Punkt  $D$  liegt somit auf einem Kreise über  $\overline{OC}$  als Durchmesser. Verlängern wir  $\overline{BC}$  und  $\overline{OD}$  bis  $F$ , so ist der Winkel  $DCF = \psi$  und

$$\overline{OF} = \frac{E_{s3}}{\cos \psi}.$$

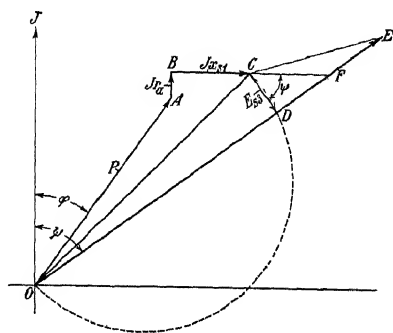


Fig. 53.

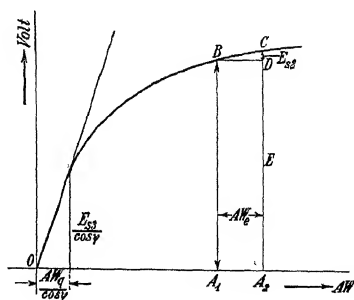


Fig. 54.

Da der magnetische Kreis des Querflusses seinen Widerstand hauptsächlich im Luftspalte hat, so können wir  $\frac{E_{s3}}{\cos \psi}$  bestimmen, indem wir

$$\frac{AW_g}{\cos \psi} = k_q f_{w1} m J w$$

in den unteren Teil der Leerlaufcharakteristik (Fig. 54) eintragen. Ist der Strom gegeben, so ist somit  $\overline{CF}$  der Größe und Richtung nach bekannt und es kann der Winkel  $\psi$  bestimmt werden, indem wir  $F$  mit  $O$  verbinden. Schlagen wir ferner über  $\overline{OC}$  als Durchmesser einen Kreis, so ist auch  $\overline{OD}$  bestimmt.

<sup>1)</sup> Nach Henderson und Nicholson, „Armature reaction in alternators“. Institution of Electrical Engineers 1904.

Wir tragen nun die Spannung  $\overline{OD} = A_1 B$  in die Leerlaufcharakteristik (Fig. 54) ein und machen

$$\overline{BD} = A W_e = k_0 f_{w1} m J w \sin \psi;$$

man erhält so den Wert  $E_{s2} = \overline{CD}$ , den man in dem Vektordiagramm gleich  $\overline{DE}$  macht.

Entlastet man die Maschine, so werden die Feldamperewindungen  $\overline{OA_2}$  (Fig. 54) die EMK  $\overline{A_2 C} = \overline{OE}$  (Fig. 53) induzieren, und wir erhalten die prozentuale Spannungserhöhung

$$\varepsilon \% = \frac{\overline{OE} - \overline{OA}}{\overline{OA}} 100.$$

In dieser Weise kann man die Belastungscharakteristik  $P = f(AW)$ , oder was dasselbe ist,  $P = f(E)$  für jeden gegebenen Strom und äußeren Leistungsfaktor  $\cos \varphi$  berechnen. Man nimmt verschiedene  $P$  an und bestimmt die zugehörigen Werte von  $E$ .

2. Bestimmung des Spannungsabfalles Es sind gegeben  $E = P_0$ , der Strom  $J$  und  $\cos \varphi$ . Wir setzen zunächst näherungsweise (Fig. 53)

$$OE = P_0 \simeq OF,$$

was der Annahme einer konstanten Reaktanz entspricht.

Unter dieser Annahme ergibt sich die Klemmenspannung  $P$  nach Fig. 55 wie folgt. Wir schlagen mit  $OF = P_0$  als Radius um  $O$  einen Kreis und von irgendeinem Punkt  $A'$  der Linie  $OA$ , deren Richtung durch den Winkel  $\varphi$  bestimmt ist, tragen wir in Richtung von  $J$

$$\overline{A'B'} = J r_a$$

und senkrecht dazu

$$\overline{B'F'} = J x_{s1} + E_{s'} + \frac{E_{s3}}{\cos \psi},$$

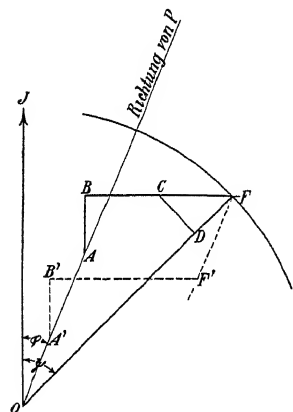


Fig. 55.

an. Die Parallele zu  $\overline{OA}$  durch den Endpunkt  $F'$  schneidet den Kreis in  $F$ . Konstruieren wir, von  $F$  ausgehend, den Linienzug  $\overline{FBA} \parallel \overline{F'B'A'}$ , so ist  $\overline{OA}$  die gesuchte Klemmenspannung. Wir können nun mit dieser Klemmenspannung nach 1. rückwärts  $E$  bestimmen und in dieser Weise die Genauigkeit der Rechnung kontrollieren bzw. vergrößern.

Von den verschiedenen Teilen des Linienzuges  $A'B'F'$  bzw.

$\overline{ABF}$  können  $Jr_a$  und  $Jx_{s1} + E'_s$  direkt berechnet werden. Zur Bestimmung von  $\frac{E_{s3}}{\cos \psi}$  berechnet man zunächst

$$\frac{AW_q}{\cos \psi} = k_q f_{w1} m J w$$

und trägt diesen Wert in die Leerlaufcharakteristik ein (Fig. 54). Der prozentuale Spannungsabfall wird

$$\varepsilon \% = \frac{\overline{OE} - \overline{OA}}{\overline{OE}} 100.$$

Da bei derselben Klemmenspannung  $P$  bei Belastung eine größere Erregung erforderlich ist als bei Leerlauf und der Punkt  $A_1$  bei Vollasterregung in Fig. 54 weiter rechts liegt als bei der Leerlauf-erregung, ist der prozentuale Spannungsabfall größer als die prozentuale Spannungserhöhung.

Die Bestimmung der Spannungsänderungen unter Benutzung der Leerlaufcharakteristik kann auch rechnerisch nach den im weiteren angegebenen Formeln erfolgen.

## 17. Bestimmung der Spannungsänderungen ohne Benutzung der Leerlaufcharakteristik.

1 Bestimmung der Spannungserhöhung. In Fig. 56 ist dasselbe Diagramm wie in Fig. 53 dargestellt. Wie ersichtlich, ist

$$\begin{aligned} \operatorname{tg} \psi &= \frac{\overline{GB} + \overline{BC} + \overline{CF}}{\overline{GO}} \\ \operatorname{tg} \psi &= \frac{P \sin \varphi + Jx_{s1} + E'_s + \frac{E_{s3}}{\cos \psi}}{P \cos \varphi + Jr_a} \quad . \quad . \quad (37) \end{aligned}$$

Alle Glieder dieser Formel können direkt berechnet werden. Die Berechnung von  $E_{s3}$  aus den Daten der Maschine ist in Gl. 28, S. 33 angegeben. Es ist

$$\frac{E_{s3}}{\cos \psi} = 1,77 k_q' c (f_{w1} w)^2 m J \frac{\tau l_i}{\delta k_1 p} 10^{-8} \text{ Volt.}$$

Die Werte  $k_q'$  können der Kurve Fig. 25 entnommen werden. Da nun  $\psi$  bekannt ist, kann man  $\Theta = \psi - \varphi$  berechnen.

Aus der Fig. 56 folgt weiter:

$$\begin{aligned} \overline{OF} &= \overline{OK} + \overline{KN} + \overline{ND} + \overline{DF} \\ \overline{OF} &= P \cos \Theta + Jr_a \cos \psi + (Jx_{s1} + E'_s) \sin \psi + E_{s3} \operatorname{tg} \psi \quad (38) \end{aligned}$$

Setzen wir wieder näherungsweise

$$\overline{OF} \cong E,$$

so läßt sich angenähert die EMK  $E$  und somit auch die prozentuale Spannungserhöhung berechnen.

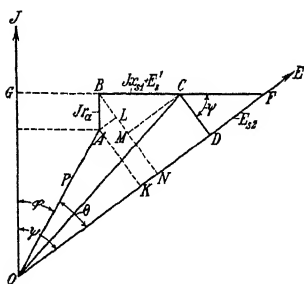


Fig. 56.

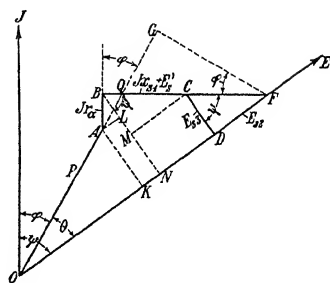


Fig. 57.

2. Bestimmung des Spannungsabfalles. Im Diagramm (Fig. 57) verlängern wir  $\overline{OA}$  bis  $Q$ . Es ist dann

$$\overline{QF} = \overline{BC} - \overline{BQ} + \overline{CF} = Jx_{s1} + E_s' - Jr_a \operatorname{tg} \varphi + \frac{E_{s3}}{\cos \psi}.$$

Betrachten wir das Dreieck  $OQF$ , so sind jetzt die Seiten  $\overline{OF} \cong P_0$  und  $\overline{QF}$  und auch der Winkel  $\angle OQF = 90^\circ + \varphi$  bekannt. Es wird somit

$$\sin \Theta = \frac{\overline{GF}}{\overline{OF}} = \frac{\overline{QF} \cos \varphi}{\overline{OF}}.$$

Da  $\Theta$  klein ist, dürfen wir den Sinus durch den Winkel ersetzen. Hieraus folgt

$$\Theta \cong \frac{180}{\pi} \cos \varphi \frac{Jx_{s1} + E_s' - Jr_a \operatorname{tg} \varphi + \frac{E_{s3}}{\cos \psi}}{P_0} \quad . \quad (39)$$

Da der Winkel  $\varphi$  gegeben ist, ist auch

$$\psi = \varphi + \Theta$$

bekannt. Projizieren wir (Fig. 57) den Linienzug  $\overline{OABCF}$  auf  $\overline{OF}$ , so folgt

$$P \cos \Theta = \overline{OF} - (\overline{FN} + \overline{NK}),$$

oder

$$P \cos \Theta \cong P_0 - \left[ \left( \frac{E_{s3}}{\cos \psi} + Jx_{s1} + E_s' \right) \sin \psi + Jr_a \cos \psi \right] \quad (40)$$

Daraus läßt sich  $P$  berechnen. Diese analytische Berechnung gilt streng nur für Maschinen mit konstanter Reaktanz.

# 18. Spannungsänderung eines Generators bei konstanter Erregung, konstantem Belastungsstrom $J$ und veränderlicher Phasenverschiebung $\varphi$ .

Dieser Fall ist in Fig 58 und 59 veranschaulicht.

Um diese Kurven zu bestimmen, nimmt man verschiedene

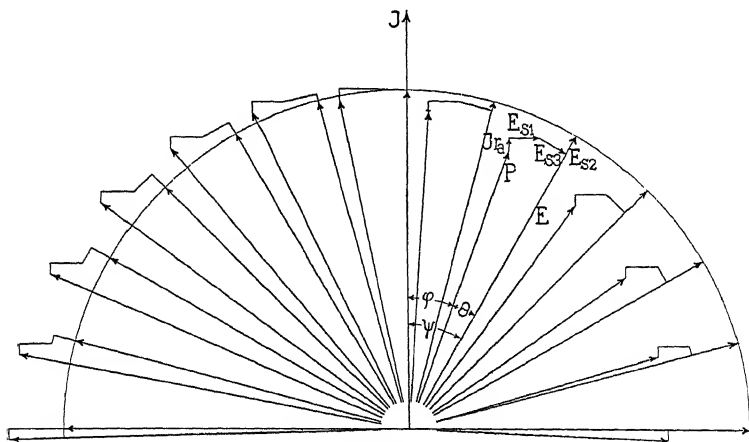


Fig. 58.

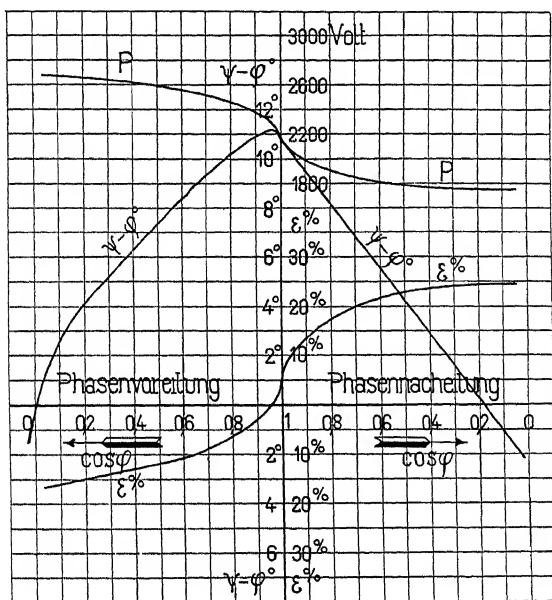


Fig. 59.

innere Phasenverschiebungswinkel  $\psi$  an und berechnet zunächst das zugehörige

$$AW_e = k_0 f_{w1} m J w \sin \psi$$

und

$$AW_g = k_g f_{w1} m J w \cos \psi.$$

Mit diesen beiden Werten geht man in die Leerlaufcharakteristik (Fig. 24) und entnimmt ihr die entsprechenden EMKe  $E_{s2}$  und  $E_{s3}$ , wobei  $AW_e$  nach links oder nach rechts abzutragen ist, je nachdem  $\psi$  ein Phasennacheilungs- oder ein Phasenvoreilungswinkel ist.  $E_{s1}$  und  $Jr_a$  werden mit Hilfe der Formeln 6a (S. 18) und 34 berechnet. Man kann nun das Spannungsdiagramm für jeden Winkel  $\psi$  aufzeichnen und ihm die Werte der Klemmenspannung  $P$  und des äußeren Phasenverschiebungswinkels  $\varphi$  entnehmen (Fig. 58).

## 19. Änderung der Klemmenspannung mit der Tourenzahl.

Wir haben im vorigen Abschnitt die Änderung der Klemmenspannung eines Generators beim Übergang von Leerlauf zur Belastung, die von der Selbstinduktion und dem effektiven Widerstande der Ankerwicklung herrührt, untersucht. Es wurde dabei angenommen, daß die Tourenzahl konstant bleibt. Tatsächlich nimmt aber die Tourenzahl mit zunehmender Belastung ab und das wird zu einer weiteren Änderung der Klemmenspannung Anlaß geben. Wir wollen nun untersuchen, welchen Einfluß auf die Klemmenspannung eine Variation der Tourenzahl hat, unabhängig davon, ob diese von einer Änderung der Belastung oder von irgendeiner anderen Ursache hervorgerufen ist.

Wir betrachten zunächst einen Generator im Leerlauf.

Nach der Formel

$$E = 4 k c w \Phi 10^{-8} \text{ Volt}$$

ist dann, bei einer gegebenen Maschine, die Klemmenspannung nur vom Kraftflusse, also vom Erregerstrom, und von der Tourenzahl  $n = \frac{60c}{p}$  abhängig.

Ist der Erregerstrom von der Tourenzahl vollkommen unabhängig, so ändert sich  $E$  linear mit der Tourenzahl, d. h. ändert sich die Tourenzahl um ein Prozent, so ändert sich auch die Spannung um ein Prozent. Anders ist es aber, wenn auch die Erregung des Generators von der jeweiligen Tourenzahl abhängig ist, wie es z. B. der Fall ist, wenn die Erregermaschine auf einer Welle mit dem Generator angeordnet ist oder auf irgendeine Weise vom

Generator aus angetrieben wird. Die lineare Beziehung zwischen Spannung und Tourenzahl besteht dann nicht mehr.

Wir definieren nach Boucherot<sup>1)</sup>

$$\varepsilon_t = \frac{\frac{dP}{P}}{\frac{dn}{n}} \quad . . . . . (41)$$

Es ist  $\varepsilon_t$  das Verhältnis der prozentualen Änderung der Klemmenspannung zu der entsprechenden prozentualen Änderung der Tourenzahl

Für einen Generator, dessen Erregung von seiner Tourenzahl unabhängig ist, ist  $\varepsilon_t$  bei Leerlauf gleich 1. Bei Belastung ergibt sich für einen solchen Generator  $\varepsilon_t$  wie folgt.

Nach Fig. 57 ist für eine Tourenzahl  $n_1$  die Klemmenspannung des Generators durch die Beziehung

$$P_1 \cos \Theta = E - E_{s_2} - J x_{s_1} \sin \psi - J r_a \cos \psi$$

gegeben. Für eine andere Tourenzahl  $n$  gilt

$$P \cos \Theta = (E - E_{s_2} - J x_{s_1} \sin \psi) \frac{n}{n_1} - J r_a \cos \psi ;$$

es wird somit

$$dP = P - P_1 = \frac{1}{\cos \Theta} (E - E_{s_2} - J x_{s_1} \sin \psi) \frac{dn}{n_1}$$

und

$$\varepsilon_t = 1 + \frac{J r_a \cos \psi}{P_1 \cos \Theta},$$

also wieder fast gleich 1. Man darf also annehmen, daß auch bei Belastung die Klemmenspannung sich proportional mit der Tourenzahl ändert und allgemein setzen

$$P = P_1 \frac{n}{n_1} = F(J_e) \frac{n}{n_1} \quad . . . . . (42)$$

wobei  $P_1$  die zu  $n_1$  zugehörige Klemmenspannung bedeutet.  $P_1 = F(J_e)$  ist die Gleichung der Leerlaufcharakteristik des Generators oder irgendeiner Belastungscharakteristik bei der Tourenzahl  $n_1$ .

Wir wollen nun den Fall betrachten, bei dem die Erregung des Generators von seiner Tourenzahl abhängt, und nehmen der Einfachheit halber an, daß die Erregermaschine dieselbe Tourenzahl wie der Generator hat; sonst besteht zwischen den Tourenzahlen des Generators und Erregermaschine ein konstantes Ver-

<sup>1)</sup> La Revue électrique 1904, Bd. II.



haltnis. Fig. 60 stellt die Abhängigkeit der Klemmenspannung der Erregermaschine von ihrem Erregerstrom dar, und zwar bei einer Tourenzahl  $n_1$  und konstantem äußeren Widerstande  $R$ . Dieser setzt sich zusammen aus dem Widerstande der Erregerwicklung des Generators und dem Regulierungswiderstande. Für eine Tourenzahl  $n$  kann man für die belastete Erregermaschine gemäß früherem setzen

$$p = f(i_e) \frac{n}{n_1},$$

wobei  $i_e$  den Erregerstrom der Erregermaschine bedeutet.

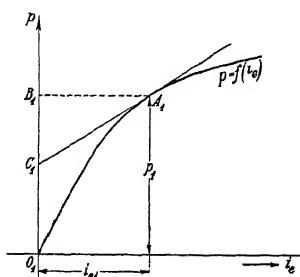


Fig. 60.

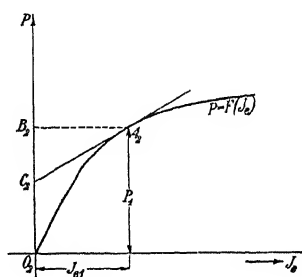


Fig. 61.

Es ist auch

$$p = i_e r;$$

für eine Nebenschlußmaschine ist  $r$  gleich dem Widerstande des Erregerkreises.

Der Generator sei zunächst unbelastet. Fig. 61 stellt die Leerlaufcharakteristik des Generators für die Tourenzahl  $n_1$  dar. Für eine Tourenzahl  $n$  ist die Generatorklemmenspannung

$$P = F(J_e) \frac{n}{n_1}.$$

Aus den Gleichungen  $p = f(i_e) \frac{n}{n_1}$  und  $p = i_e r$  folgt für die Erregermaschine

$$\frac{dp}{dn} = \frac{f(i_e)}{n_1} + \frac{n}{n_1} \frac{f'(i_e)}{r} \frac{dp}{dn},$$

somit

$$\frac{dp}{dn} = \frac{1}{n_1} \frac{f(i_e)}{1 - \frac{f'(i_e)}{r} \frac{n}{n_1}}$$

und für  $n = n_1$  wird

$$\varepsilon_{t1} = \frac{\frac{dp}{p_1}}{\frac{dn}{n_1}} = \frac{dp}{dn} \frac{n_1}{p_1}$$

oder

$$\varepsilon_{t1} = \frac{f(i_{e1})}{p_1 - i_{e1} f'(i_{e1})} \quad \dots \quad (43)$$

Wie aus der Fig. 60 ersichtlich, ist somit

$$\varepsilon_{t1} = \frac{\overline{O_1 B_1}}{\overline{O_1 B_1} - \overline{B_1 C_1}} = \frac{\overline{O_1 B_1}}{\overline{O_1 C_1}}.$$

In derselben Weise erhalten wir für den Generator, wenn wir berücksichtigen, daß

$$p = J_e R$$

ist, aus der Gleichung für  $P$

$$\frac{dP}{dn} = \frac{F(J_e)}{n_1} + \frac{n}{n_1} \frac{F'(J_e)}{R} \frac{dp}{dn}.$$

Setzen wir den Wert für  $\frac{dp}{dn}$  in diese Gleichung ein, so wird

$$\frac{dP}{dn} = \frac{F(J_e)}{n_1} + \frac{n}{n_1} \frac{F'(J_e)}{R} \frac{1}{1 - \frac{f'(i_e)}{r} \frac{n}{n_1}} \frac{f(i_e)}{n_1}$$

und für  $n = n_1$  folgt

$$\begin{aligned} \varepsilon_t &= \frac{\frac{dP}{P_1}}{\frac{dn}{n_1}} = \frac{F(J_{e1})}{P_1} + \frac{F'(J_{e1})}{R} \frac{f(i_{e1})}{P_1 - f'(i_{e1}) \frac{P_1}{r}} \\ &= 1 + \frac{\overline{B_2 C_2}}{p_1} \frac{\overline{O_1 B_1}}{\overline{O_2 B_2} - \overline{B_1 C_1} \frac{\overline{O_2 B_2}}{p_1}} \\ &= 1 + \frac{\overline{O_1 B_1}}{\overline{O_1 C_1}} \frac{\overline{B_2 C_2}}{\overline{O_2 B_2}}. \end{aligned}$$

Es ist

$$\frac{\overline{O_1 B_1}}{\overline{O_1 C_1}} = \varepsilon_{t1}$$

und ebenso

$$\frac{\overline{O_2 B_2}}{\overline{O_2 C_2}} = \varepsilon_{t2};$$

daraus folgt

$$\varepsilon_t = 1 + \varepsilon_{t1} \left( 1 - \frac{1}{\varepsilon_{t2}} \right) \quad . . . . . (44)$$

Die prozentuale Änderung der Klemmenspannung des Generators bei einer Änderung der Tourenzahl um ein Prozent ist somit von

$$\varepsilon_{t1} = \frac{\overline{O_1 B_1}}{\overline{O_1 C_1}} \quad \text{und} \quad \varepsilon_{t2} = \frac{\overline{O_2 B_2}}{\overline{O_2 C_2}}$$

abhängig, also sowohl von der Charakteristik der Erregermaschine wie von der Charakteristik des Generators. Der kleinste Wert, den  $\varepsilon_t$  erreichen kann, ist 1. Man wird diesen Wert auch anstreben, denn ist  $\varepsilon_t$  groß, so addiert sich z. B. beim Übergang von Leerlauf zur Belastung dieser Spannungsabfall zum Spannungsabfall, der vom Belastungsstrom herrührt. Eine Maschine mit einem großen  $\varepsilon_t$  ist einer solchen gleichwertig, die einen großen Abfall infolge der Ankerrückwirkung hat und ein kleines  $\varepsilon_t$ .

Wie aus der Gl. 44 folgt, wird  $\varepsilon_t = 1$ , wenn  $\varepsilon_{t2} = \frac{\overline{O_2 B_2}}{\overline{O_2 C_2}} = 1$  wird. Das trifft aber nur dann annähernd zu, wenn der Generator sehr stark gesättigt ist. Eine starke Sättigung ist aber mit großen Erregerverlusten verbunden. Man soll sich nach Boucherot mit  $\varepsilon_t \cong 2$  begnügen; die Erregerverluste werden bei einem solchen Wert für  $\varepsilon_t$  nicht zu groß sein. Man wird also ein kleines  $\varepsilon_{t2}$  und ebenso ein kleines  $\varepsilon_{t1} = \frac{\overline{O_1 B_1}}{\overline{O_1 C_1}}$  anstreben, d. h. man wird die Erregermaschine und den Generator genügend sättigen. Für  $\varepsilon_{t1} = 2$  und  $\varepsilon_{t2} = 2$  wird  $\varepsilon_t = 2$ . Es ist aber nicht zulässig für die normalen Betriebsverhältnisse für  $\varepsilon_t$  einen höheren Wert, z. B. 3 oder 4, zuzulassen, denn  $\varepsilon_t$  kann dann sehr große Werte annehmen, sogar

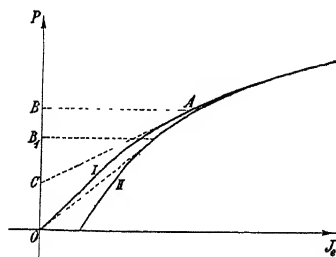


Fig. 62.

unendlich werden, wenn aus irgendeinem Grunde die Spannung kleiner oder für dieselbe Spannung die Tourenzahl größer genommen wird.

Wie aus dem Vorigen ersichtlich ist, ist für  $\varepsilon_t$  die Charakteristik des Generators maßgebend. Es ist also die Größe von  $\varepsilon_t$  zu bestimmen nicht nur für die Leerlaufcharakteristik, sondern auch für verschiedene Belastungscharakteristiken. In Fig. 62

stellt die Kurve I die Belastungscharakteristik des Generators bei konstantem äußerem Widerstande und Kurve II die Belastungs-

charakteristik bei konstantem Belastungsstrom und konstantem Leistungsfaktor dar. Für die Kurve I ebenso wie für die Leerlaufcharakteristik ist

$$\varepsilon_{t2} = \frac{\overline{OB}}{\overline{OC}}$$

positiv für höhere Werte der Spannung und gleich  $\pm \infty$  für niedrige Werte der Spannung. Für die Kurve II ist  $\varepsilon_{t2}$  positiv für hohe Spannungen, wird gleich  $\pm \infty$  bei einer mittleren Spannung gleich  $OB_1$  und wird dann negativ. Nehmen wir für eine gesättigte Erregermaschine  $\varepsilon_{t1} = 2$  an, so wird in diesem Falle für die Leerlaufcharakteristik und Belastungscharakteristik I  $\varepsilon_t$  zwischen 1 und 3 variieren, dagegen für die Belastungscharakteristik II kann  $\varepsilon_t$  beliebig große Werte annehmen.

Es folgt daraus, daß  $\varepsilon_t$  für die verschiedenen Zustände, die für den Generator in Betracht kommen, zu bestimmen ist. Für den ungünstigsten Belastungsfall soll  $\varepsilon_t$  nicht größer als 2 sein.

## Drittes Kapitel.

# Berechnung der Feldamperewindungen einer Maschine mit ausgeprägten Polen.

20. Berechnung der Feldamperewindungen bei Leerlauf Leerlaufcharakteristik.  
— 21. Die Berechnung der Feldstreuung bei Leerlauf. — 22 Die Berechnung der Feldamperewindungen bei Belastung.

### 20. Berechnung der Feldamperewindungen bei Leerlauf. Leerlaufcharakteristik.

Die Feldmagnete, die Luftzwischenräume  $\delta$  zwischen den Polen und dem Ankereisen und das Armatureisen bilden bei jeder Dynamomaschine einen einfachen oder mehrfachen magnetischen Kreis.

Ist die Armatur stromlos, so ist die Größe der magnetischen Strömung  $\Phi_a$  durch den Ankerkern durch die Größe der pro Phase zu induzierenden EMK  $E$  nach der Gleichung

$$\Phi_a = \frac{E 10^8}{4 k c w} = \frac{E 10^8}{4 f_B f_w c w} \cdot \cdot \cdot \cdot \cdot (45)$$

bestimmt. Diesem Kraftfluß entspricht eine bestimmte Amperewindungszahl auf den Feldmagneten. Um diese zu bestimmen, gehen wir von dem Fundamentalgesetz aus, das die Abhängigkeit zwischen den elektrischen Strömen und magnetischen Feldstärken ausdrückt. Bildet man das Linienintegral der magnetischen Kraft  $H$  längs einer geschlossenen Kurve  $C$ , so ist dieses proportional den von der betrachteten Kurve umschlungenen Amperewindungen, und gewöhnlich schreibt man

$$\int_C H dl = 0,4 \pi i w,$$

wo  $H$  und  $l$  in absoluten Einheiten und  $i$  in Ampere gemessen sind.

Wir erstrecken dieses Integral über die Kurve, die durch die Schwerpunkte der Querschnitte des magnetischen Kreises verläuft.

$i w$  stellt dann die Amperewindungen derjenigen Feldmagnetspulen dar, die diese Kurve durchsetzt, oder die Amperewindungen pro magnetischen Kreis. Wir werden diese fernerhin mit  $AW_{k0}$  bezeichnen. Bei den gewöhnlichen Radialpoltypen (Fig. 63) umschlingt die Kurve zwei Magnetspulen

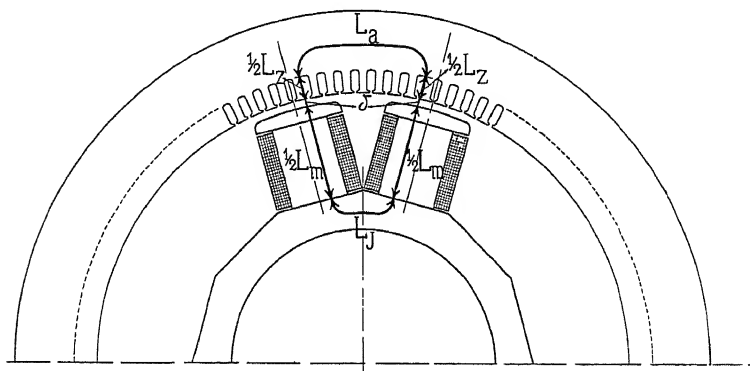


Fig. 63.

Der magnetische Kreis kann stets in mehrere Teile zerlegt werden, von denen jeder über seine ganze Länge beinahe konstanten Querschnitt und eine konstante magnetische Kraft  $H$  hat. Das Integral kann daher durch eine Summe ersetzt werden und es wird

$$AW_{k0} = iw = 0,8 \int_C H dl = 0,8 H_1 L_1 + 0,8 H_2 L_2 + \dots$$

Da

$$H_x = \frac{B_x}{\mu_x} = \frac{\Phi_x}{Q_x \mu_x},$$

wenn  $Q_x$  den Querschnitt des magnetischen Kreises in qcm für die betreffende Länge  $L$  und  $\mu_x$  die Permeabilität bezeichnet, wird

$$AW_{k0} = \frac{0,8 L_1}{\mu_1} \frac{\Phi_1}{Q_1} + \frac{0,8 L_2}{\mu_2} \frac{\Phi_2}{Q_2} + \dots \quad (46)$$

$AW_{k0} = iw$  ist die magnetomotorische Kraft des magnetischen Kreises.

Der Bequemlichkeit halber setzen wir im folgenden

$$0,8 H_x = \frac{0,8 \Phi_x}{\mu_x Q_x} = aw_x,$$

wobei  $aw_x$  die Amperewindungen pro Zentimeter Länge bezeichnet. Also wird

$$AW_{k0} = aw_1 L_1 + aw_2 L_2 + \dots \quad (47)$$

Um die Amperewindungen  $AW_{k_0}$  zu berechnen, geht man in folgender Weise vor: Man bestimmt für die verschiedenen Teile des magnetischen Kreises die Induktion  $B_i = \frac{\Phi_x}{Q_x}$ . Aus der Magnetisierungskurve des betreffenden Materials, die die Abhängigkeit der Werte  $H$  oder  $aw$  von der Induktion  $B$  darstellt, entnimmt man dann die diesem  $B_x$  entsprechende Amperewindungszahl  $aw_x$  pro Zentimeter. Die Summe  $\Sigma(aw_x L_x)$  ergibt die Amperewindungen  $AW_{k_0}$  pro Kreis.

Die Magnetisierungskurven der betreffenden Eisensorten können nur experimentell ermittelt werden. Für uns ist es am bequemsten, wenn die Werte  $aw = 0,8 H$  als Abszissen und die zugehörigen Werte  $B$  als Ordinaten aufgetragen werden.

Um  $AW_{k_0}$  für irgendeine gewünschte EMK  $E$  berechnen zu können, müssen somit bekannt sein:

1. die Eisendimensionen der Feldmagnete und der Armatur;
2. die magnetischen Eigenschaften bzw. die Magnetisierungskurven der verwendeten Eisensorten.

Auf der Tafel XVIII am Ende des Buches sind die Magnetisierungskurven für Dynamoblech, schwach legiertes Eisenblech, Gußeisen und Stahlguß nach Untersuchungen der Bismarckhütte, der Maschinenfabrik Oerlikon und von Gumlich dargestellt. — Um für alle Werte der Induktionen die Werte  $aw$  genauer ablesen zu können, sind vier Maßstäbe benutzt.

Die Genauigkeit der Berechnung von  $AW_{k_0}$  hängt wesentlich von der Richtigkeit der für die Berechnung verwendeten Magnetisierungskurven ab. Erfahrungsgemäß können die magnetischen Eigenschaften ein und derselben Eisensorte z. B. von weichem Stahlguß oder Gußeisen, erheblich voneinander abweichen, und sogar Stücke, die derselben Lieferung angehören, also denselben Fabrikationsgang durchgemacht haben, zeigen oft erhebliche Unterschiede.

Um ein genaues Resultat mit Sicherheit zu erreichen, wäre es daher erforderlich, das zu verwendende Material vor der Berechnung zu prüfen. Das ist aber schon aus dem einfachen Grunde nicht ausführbar, weil die Berechnung der Maschine erfolgen muß, bevor es möglich ist, das Material etwa mit Ausnahme des Eisenbleches zu prüfen.

Der Konstrukteur muß daher bei der Vorausberechnung für die Eisensorten diejenige Permeabilität voraussetzen, die er erfahrungsgemäß erwarten darf. Im allgemeinen wird damit eine befriedigende Genauigkeit erreicht.

Wie aus Gl. 47 ersichtlich ist, muß der Kraftfluß  $\Phi_x$  für jeden Querschnitt  $Q_x$  des magnetischen Kreises bekannt sein. In einer

Dynamomaschine tritt nun nicht der ganze Kraftfluß des Feldsystems in die Armatur ein, sondern ein erheblicher Teil nimmt seinen Weg durch die Luft direkt von einem Pole zum andern. Man bezeichnet diesen Teil des Kraftflusses als magnetischen Streufluß.

Ist  $\Phi_s$  dieser Streufluß und  $\Phi_a$  der Kraftfluß, der pro Pol in das Ankereisen eintritt, so wird der totale Kraftfluß pro Pol

$$\Phi_m = \Phi_a + \Phi_s.$$

Das Verhältniß

$$\frac{\Phi_m}{\Phi_a} = 1 + \frac{\Phi_s}{\Phi_a} = \sigma \quad . . . . . (48)$$

heißt der Streukoeffizient. Es ist immer  $\sigma > 1$ .

Der Streukoeffizient  $\sigma$  ist nicht nur abhängig von der Form und der Entfernung der streuenden Polflächen, sondern auch von ihrer magnetischen Potentialdifferenz. Diese muß daher zuerst bestimmt werden; sie ist gleich den Amperewindungen für die Luftzwischenräume und das Armatureisen.

Die Berechnung der Amperewindungen  $AW_{k0}$  wollen wir nur für denjenigen Kraftlinienweg, der die Schwerpunkte der Querschnitte verbindet und den wir den mittleren Kraftlinienweg nennen, durchführen. In den Figuren ist dieser Weg durch eine dick gezogene Linie angedeutet.

Tatsächlich verteilt sich der Kraftfluß nicht gleichmäßig über die Querschnitte des magnetischen Kreises.

Da man jedoch in den meisten Fällen weder die Permeabilität  $\mu$  des Materials noch die Streuung genau kennt, so hat es keinen Zweck, hier wegen Berichtigung eines kleinen Fehlers umständliche Rechnungen auszuführen.

Der Kraftfluß  $\Phi_a$  bedingt eine gewisse Induktion in den einzelnen Punkten des magnetischen Kreises, und von dieser Induktion ausgehend kann  $AW_{k0}$  berechnet werden. Man kann aber nicht umgekehrt von  $AW_{k0}$  ausgehen und  $\Phi_a$  berechnen, weil  $AW_{k0}$  ein Linienintegral ist und nicht von vornherein in die einzelnen Beträge zerlegt werden kann, die auf die einzelnen Teile des magnetischen Kreislaufes fallen. Wir bezeichnen für einen vollständigen magnetischen Kreis:

	die Kraftlinienlänge	den Querschnitt	die Amperewindungszahl
Für den Luftraum	mit $2\delta$	$Q_l$	$AW_l$
„ die Zähne	„ $L_z = 2l_z$	$Q_z$	$AW_z$
„ den Ankernkern	„ $L_a$	$Q_a$	$AW_a$
„ den Magnetkern	„ $L_m = 2l_m$	$Q_m$	$AW_m$
„ das Joch	„ $L_j$	$Q_j$	$AW_j$



Wir haben somit gesehen, wie man die zu einer bestimmten EMK  $E$  pro Phase zugehörigen Amperewindungen berechnen kann. Man berechnet zunächst den zu  $E$  zugehörigen Wert der magnetischen Strömung  $\Phi_a$  und bestimmt die magnetomotorische Kraft, die diese Strömung  $\Phi_a$  hervorruft.

Führt man dieselbe Rechnung für verschiedene Werte von  $E$  durch, indem man konstante Tourenzahl annimmt, so erhält man eine Kurve, die die Abhängigkeit des Kraftflusses  $\Phi_a$  bzw. der pro Phase induzierten EMK  $E$  von den Magnetamperewindungen darstellt. Diese Kurve ist die Magnetisierungskurve der Maschine, denn sie stellt auch die Abhängigkeit der Induktionen in den verschiedenen Teilen der Maschine von den Magnetamperewindungen dar. Man nennt diese Kurve auch die Leerlaufcharakteristik; sie ergibt bei Leerlauf und konstanter Tourenzahl die induzierte EMK  $E$  als Funktion der Erregung.

Wir wollen nun die einzelnen Summanden von  $\mathcal{A}W_{k_0}$  berechnen.

**Berechnung der Amperewindungen  $\mathcal{A}W_i$  für den Luftraum  $\delta$ .** Der Kraftfluß  $\Phi_a$  sucht sich beim Übergang vom Polschuh zur Armaturoberfläche über den ganzen Raum zwischen Pol- und Ankereisen zu verbreiten und verteilt sich so über diesen, daß der magnetische Widerstand ein Minimum wird.

Denken wir uns den Raum zwischen Pol- und Ankereisen in Kraftrohren zerlegt und betrachten eine solche Rohre von 1 cm Tiefe senkrecht zur Papierebene, Fig. 64a, so erhalten wir als Induktion  $B_x$  an der Ankeroberfläche für irgendeine Rohre

$$B_x = B_t \frac{\delta b_x}{\delta_x a_x}.$$

Wir können demnach die Werte von  $B_x$  als Funktion des Ankerumfanges auftragen und erhalten so die Feldkurve, Fig. 64b.

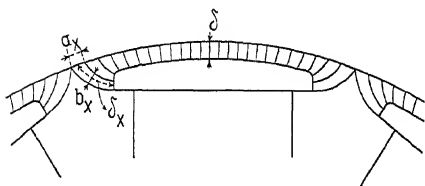


Fig. 64a.

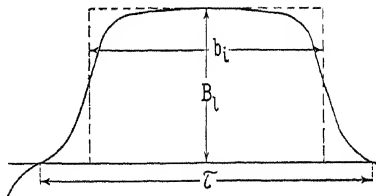


Fig. 64b.

Fig 64a und b. Konstruktion der Feldkurve aus dem Kraftrohrenbilde.

Den Flächeninhalt der Feldkurve setzen wir ebenso wie in WT III S. 181 gleich  $b_t B_t$ , wo  $b_t$  der ideelle Polbogen ist. Wie aus der Fig. 64b ersichtlich, ist  $b_t$  gleich der Länge eines Recht-

eckes, dessen Höhe gleich  $B_i$  und dessen Inhalt gleich dem der Feldkurve ist.

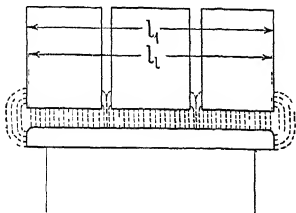


Fig. 65a.

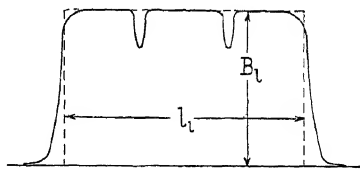


Fig. 65b.

Fig. 65a und b Kraftrohrenbild und Feldkurve in einem Langsschnitt.

Legen wir einen Schnitt durch die Achse der Maschine und die Mitte eines Poles, so können wir, ähnlich wie oben, ein Kraftrohrenbild (Fig. 65a) aufzeichnen, die Induktion  $B_x$  ermitteln und als Funktion der Länge des Ankers auftragen. Ersetzt man die Fläche, die die so erhaltene Kurve einschließt, durch ein Rechteck von der Höhe  $B_i$ , so ergibt sich dessen Länge zu  $l_i$ . Wir bezeichnen  $l_i$  als ideale Ankerlänge.

Es ist somit

$$\Phi_a = B_i l_i b_i \quad \text{oder} \quad B_i = \frac{\Phi_a}{l_i b_i}.$$

Da für Luft  $\mu = 1$  ist, wird

$$H_i = B_i$$

und man erhält für glatte Anker

$$AW_i = 2 \delta 0,8 H_i = 1,6 B_i \delta \quad . \quad . \quad . \quad (49)$$

Für Nutenanker wurden wir nach dieser Formel einen zu kleinen Wert für  $AW_i$  erhalten, da hier eine Kontraktion des Kraftflusses an den Zahnköpfen stattfindet, so daß die Induktion eine Erhöhung erfährt. Wir setzen deswegen

$$AW_i = 1,6 B_i \delta k_1 \quad . \quad . \quad . \quad (50)$$

wo  $k_1$  ein Faktor ist, der die Erhöhung des Luftwiderstandes durch die Nuten berücksichtigen soll.

Der Einfluß der Nuten läßt sich am besten durch ein Kraftlinienbild veranschaulichen.

Wenn wir den magnetischen Widerstand der Zahne als vernachlässigbar gegenüber demjenigen des Luftspaltes ansehen, so ändert sich der Kraftfluß einer Kraftrohre umgekehrt proportional mit dem magnetischen Widerstand der Röhre im Luftspalte.

$k_1$  stellt das Verhältnis der Leitfähigkeit des Luftspaltes für

einen glatten Anker zu derjenigen für einen Nutenanker oder das Verhältnis der maximalen zur mittleren Luftinduktion dar.

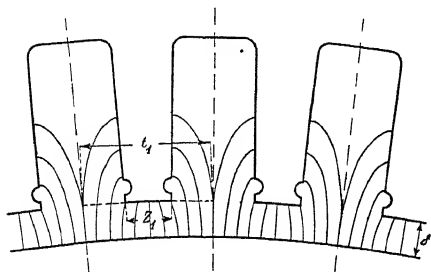


Fig. 66. Kraftrohrenbild zwischen Nutenanker und Polfläche

In die Fig. 66 sind die Kraftrohren zwischen einem Nutenanker und der Polfläche eingezeichnet. Das richtige Bild der Röhren kann man in der Weise erhalten, daß man mehrere Bilder entwirft und die Summe  $\Sigma \left( \frac{Q_x}{0,8 L_x} \right)$  der Leitfähigkeiten aller Kraftrohren jedes Bildes ermittelt.

Da die Verteilung des Kraftflusses immer eine derartige ist, daß die Leitfähigkeit der Rohren ein Maximum wird, so kommt das Kraftrohrenbild mit der größten Leitfähigkeit der richtigen Verteilung am nächsten. Wie man aus dem Aufzeichnen der Bilder für verschiedene Nutendimensionen ersehen kann, ist für die Leitfähigkeit hauptsächlich das Verhältnis  $\frac{t_1 - z_1}{\delta}$  (siehe Fig. 66) maßgebend.

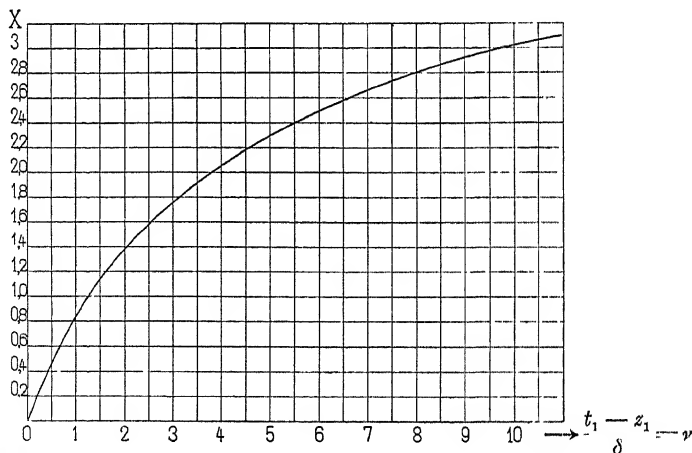


Fig. 67. Kurve zur Bestimmung des Faktors  $k_1$  für die Leitfähigkeit des Luftspaltes bei Zahnankern.

Unter Annahme eines glatten Ankers wäre die Leitfähigkeit des Luftspaltes proportional der Teilung  $t_1$ , während die Leitfähigkeit für einen Nutenanker proportional  $(z_1 + \delta X)$  gesetzt werden kann. Denn je größer der Luftspalt ist, desto kleiner wird der Einfluß der Nuten auf die Leitfähigkeit. Da das Produkt  $\delta X$

als Leitfähigkeit die Dimension einer Länge haben muß, kann der Faktor  $X$  keine Dimension haben und muß eine Funktion von Verhältnissen sein. Für diese können allein die Größen  $z_1$ ,  $t_1$  und  $\delta$  in Betracht kommen. Durch Aufzeichnung der Kraftlinienbilder für verschiedene Nutendimensionen ergab sich, wie oben erwähnt, daß der Faktor  $X$  mit großer Annäherung nur von dem Verhältnis  $\frac{t_1 - z_1}{\delta}$  abhängt, und zwar in der von der Kurve Fig. 67 gezeigten Weise. Wir erhalten

$$k_1 = \frac{t_1}{z_1 + \delta X} \cdot \cdot \cdot \cdot \cdot \quad (51)$$

wo  $X$  eine Funktion von  $\frac{t_1 - z_1}{\delta}$  ist und der Kurve Fig. 67 entnommen werden kann.

Bei der Ableitung dieser Formel wurde keine Rücksicht auf die Formen der Zahnköpfe, der Tiefe der Nuten und der Sättigung der Zähne genommen. Alle diese Einflüsse lassen sich kaum rechnerisch berücksichtigen. Der geübte Berechner wird aber bald mit Hilfe der Erfahrung den Einfluß dieser Größen auf den Faktor  $k_1$  schätzen können.

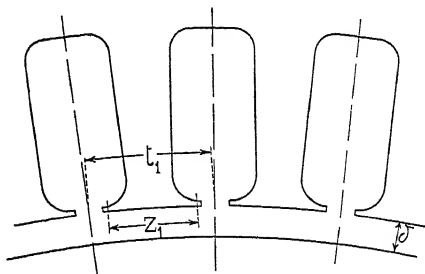


Fig. 68.

Bei dem in Fig. 68 dargestellten Zahnkopf kann man zweckmäßig  $z_1$  so schätzen, wie in der Figur gezeigt ist. Bei hohen Zahnsättigungen kann  $k_1$  etwas kleiner gewählt werden, weil infolge des magnetischen Widerstandes der Zähne der Kraftfluß durch den Nutenraum größer wird.

**Berechnung von  $b_i$  und  $l_i$ .** Für die Berechnung von  $B_i$  müssen  $b_i$  und  $l_i$  bekannt sein; es ist nach WT III Gl. 59, S. 182

$$b_i = b_{i,n} + 2 \delta k_1 k_z \left( \frac{b_1}{\delta_1} + \frac{b_2}{\delta_2} + \dots \right) \cdot \cdot \cdot \quad (52)$$

wo

$$k_z = \frac{AW_i + AW_z + AW_a}{AW_l} = 1 + \frac{AW_z + AW_a}{1,6 k_1 B_l \delta}.$$

Die ideelle Ankerlänge  $l_i$  setzt sich aus der Eisenlänge  $l$  und einer zusätzlichen Länge, die der Vergrößerung des Kraftflusses durch die seitlichen Flächen des Ankers und der

Luftschlitze Rechnung trägt, zusammen. Der Einfluß der Luftschlitze wird ebenso ermittelt wie derjenige der Nuten bei den Nutenankern. Ist allgemein (Fig. 69)  $n_s$  die Zahl der Schlitze, so ist

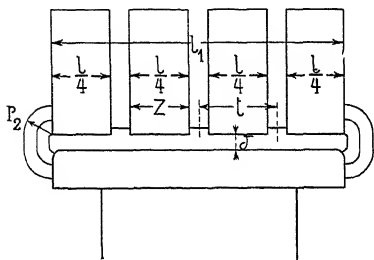


Fig. 69

und

$$t - z = \frac{l_1 - l}{n_s}$$

$$\frac{t - z}{\delta} = \frac{l_1 - l}{n_s \delta}.$$

Den diesem Verhältnis entsprechenden Faktor  $\lambda'$  entnehmen wir der Kurve Fig. 67, und berechnen den Faktor  $k_1'$  (Gl. 51).

Es ergibt sich dann daraus die ideelle Ankerlänge zu

$$l_a = \frac{l_1 + z(k_1' - 1)}{k_1'} + l_x \dots \dots \dots (53)$$

wo  $l_x$  den Einfluß der Flankenstreuung berücksichtigt.

Der Flankenstreuung auf beiden Seiten des Ankers Fig. 69 entspricht die Leitfähigkeit

$$2 \frac{2,3}{0,8 \pi} b_1 \log \left( \frac{\pi r_2 + \delta}{\delta} \right) = \frac{b_1 l_x}{0,8 \delta}.$$

Es folgt also

$$l_x = \frac{4,6}{\pi} \delta \log \left( \frac{\pi r_2 + \delta}{\delta} \right).$$

Die in dieser Weise berechnete ideelle Ankerfläche ist etwas zu groß, weil die Wirbelströme, die in den äußersten Blechen von den seitlichen Streuflüssen induziert werden, diese Flüsse abdämpfen. Diese dämpfende Wirkung ist in den obigen Rechnungen nicht berücksichtigt worden.

Bei Maschinen mit großem Luftspalt, wie Turbogeneratoren, kann man  $l_a \cong l_1$  setzen.

### Berechnung der Amperewindungen ( $AW_z$ ) für die Zähne.

a) Die maximale Induktion ist kleiner als ca. 18000 bzw. die maximale AW-Zahl für 1 cm Zahnlänge ist kleiner als ca. 100. In diesem Falle vernachlässigen wir den Kraftfluß, der durch den Nutenraum geht und setzen voraus, daß der ganze Kraftfluß durch das Eisen der Zähne verläuft. Für irgendeinen Zahnquerschnitt mit der Teilung  $t$  und der Breite  $z$  (Fig. 70) finden wir die Induktion  $B_z$  aus

$$B_z l z k_2 \frac{b_i}{t_1} = \Phi_a,$$

wo  $t_1$  die Zahnteilung am Umfange und  $\frac{b_i}{t_1}$  die Zahl der Zähne für den Polbogen  $b_i$  bedeutet.

Also

$$B_z = \frac{t_1 \Phi_a}{k_2 z l b_i} \quad . \quad . \quad . \quad . \quad . \quad . \quad (54)$$

$k_2$  ist ein Faktor, der die Isolation zwischen den Blechen berücksichtigt. Er liegt meistens zwischen 0,88 und 0,92.

Es wird somit

$$B_{zmax} = \frac{t_1 \Phi_a}{k_2 z_1 l b_i} \quad B_{zmin} = \frac{t_1 \Phi_a}{k_2 z_2 l b_i}.$$

Zu diesen Induktionen werden die entsprechenden Amperewindungszahlen pro Zentimeter  $aw_{zmax}$  und  $aw_{zmin}$  aus der Magnetisierungskurve bestimmt. Es ist

$$AW_z = \frac{1}{2} L_z (aw_{zmax} + aw_{zmin}) \quad . \quad . \quad . \quad (55)$$

Sind die Nuten teilweise oder ganz geschlossen (Fig. 70), so darf man die für die Höhe  $L_z'$  notwendigen Amperewindungen vernachlässigen oder man muß sie besonders berechnen.

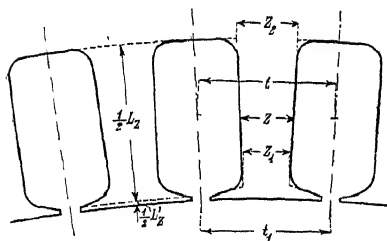


Fig. 70.

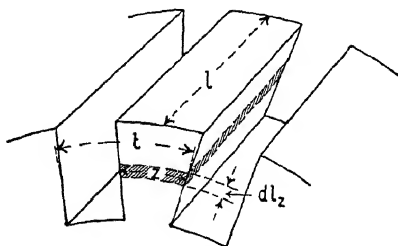


Fig. 71.

b) Die maximale Induktion ist größer als ca. 18000 bzw. die maximale AW-Zahl für 1 cm Zahnlänge ist größer als ca. 100.

Der Nutenraum und der Zahn sind magnetisch parallel geschaltet; man muß daher bei großen Induktionen die Leitfähigkeit des Luftraumes berücksichtigen, denn sonst bekommt man die Induktion  $B_z$  in den Zähnen und die zugehörigen  $AW_z$  zu groß.

Man denkt sich (Fig. 71) einen zylindrischen Schnitt durch die Zähne gelegt und kann nun  $B_z$  und  $AW_z$  für irgendeine Stelle dieses Schnittes in folgender, zuerst von Parshall und Hobart (Engineering Bd. 66, S. 130) angegebenen Weise bestimmen.

Durch die Zylinderfläche gehen Kraftflüsse, die teils im Eisen und teils in der Luft verlaufen; es ist

$$\text{Totaler Kraftfluß} = \text{Eisenkraftfluß} + \text{Luftkraftfluß}.$$

Für jeden Zahnquerschnitt unterscheiden wir nun die ideale Induktion

$$B_{z\text{ideell}} = \frac{l_1 \Phi_a}{k_2 z l b_i},$$

die wir unter der Voraussetzung erhalten, daß alle Linien durch das Eisen der Zähne und keine durch die Nutenräume gehen, und die wirkliche Induktion

$$B_{zwirkl},$$

die wir erhalten, wenn der Kraftfluß durch die Nuten, die Luftschlitze und den von der Isolation erfüllten Raum in Rechnung gezogen wird.

$$B_{z\text{ideell}} = \frac{\text{Totaler Kraftfluß}}{\text{Eisenquerschnitt}}$$

$$= \frac{\text{Eisenkraftfluß}}{\text{Eisenquerschnitt}} + \frac{\text{Luftkraftfluß}}{\text{Luftquerschnitt}} \cdot \frac{\text{Luftquerschnitt}}{\text{Eisenquerschnitt}}$$

$$B_{z\text{ideell}} = B_{zwirkl} + H_{w\text{wirkl}} k_3$$

oder

$$B_{zw} = B_{zi} - k_3 H_w \quad . \quad . \quad . \quad . \quad . \quad (56)$$

wo

$$k_3 = \frac{\text{Luftquerschnitt}}{\text{Eisenquerschnitt}} = \frac{l_1 t - l k_2 z}{l k_2 z} = \frac{l_1 t}{l k_2 z} - 1,$$

$l$  = Eisenlänge des Ankers ohne Luftschlitze,

$l_1$  = " " " mit Luftschlitzen,

$t$  = Zahnteilung an der betrachteten Stelle,

$z$  = Zahnbreite " " "

$100(1 - k_2)$  = Isolation zwischen den Blechen in %.

Im Mittel ist  $k_2 = 0,9$ .

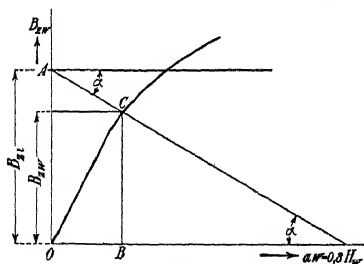


Fig. 72.

Der Zusammenhang zwischen  $B_{zw}$  und  $H_w$  ist durch die Magnetisierungskurve des betreffenden Zahnmaterials gegeben, und zwar haben wir  $B_{zw}$  als Ordinate und  $0,8 H_w = a_w$  als Abszisse (Fig. 72). Schreiben wir

$$B_{zw} = B_{zi} - \frac{k_3}{0,8} (0,8 H_w),$$

so stellt diese Gleichung eine gerade Linie dar, die die Ordinatenachse in einer Höhe gleich  $B_{zi}$  schneidet und mit der Abszissenachse einen Winkel  $\alpha$  bildet, dessen trigonometrische Tangente

$$\operatorname{tg} \alpha = \frac{k_3}{0,8}$$

ist. Sind die Maßstäbe für  $B$  und  $0,8 H_w$  verschieden, so ist

$$\operatorname{tg} \alpha = \frac{k_3}{0,8} \frac{m_{(0,8 H)}}{m_B}.$$

Die gesuchte Induktion  $B_{zw}$  muß gleichzeitig auf dieser Geraden und auf der Magnetisierungskurve liegen, ist also durch den Schnittpunkt dieser beiden bestimmt

Will man also für irgendeinen Zahnquerschnitt mit der Teilung  $t$  und der Breite  $z$   $B_{zw}$  finden, so berechnet man zunächst für diesen Querschnitt die ideelle Zahninduktion  $B_{zi}$  und den Faktor  $\frac{k_3}{0,8}$ . Macht man (Fig. 72) auf der Ordinatenachse  $\overline{OA} = B_{zi}$  und zieht von  $A$  aus eine Linie  $\overline{AC}$ , die mit der Horizontalen durch  $A$  den Winkel  $\alpha$  bildet, so ist  $\overline{BC} = B_{zw}$  für diesen Querschnitt und  $\overline{OB} = a w_z$ , die zu der gefundenen wirklichen Zahninduktion zugehörigen Amperewindungen. Diese Rechnungsweise ist von F. Blanc<sup>1)</sup> angegeben worden.

In der Praxis kommt es vor, daß für eine große Zahl von Maschinen eine bestimmte Blechsorte benutzt wird. Da man es somit immer mit der gleichen Magnetisierungskurve zu tun hat, kann zweckmäßiger, wie folgt, verfahren werden. Man nimmt einen bestimmten Wert für  $k_3$  an und berechnet mit diesem das zu jedem Punkte der Magnetisierungskurve  $B_{zw} = f(0,8 H_w)$  gehörige  $B_{zi}$ . Ist in Fig. 73 Kurve I die Magnetisierungskurve des Ankerbleches, so finden wir die Abszissenwerte  $B_{zi}$  aus

$$B_{zi} = B_{zw} + k_3 H_w = B_{zw} + k_3 \frac{\overline{dc}}{0,8} = \overline{db}$$

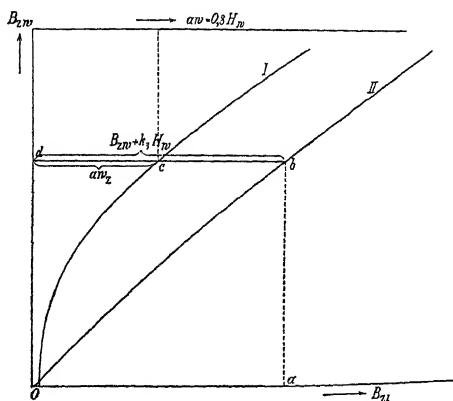


Fig. 73

<sup>1)</sup> ETZ 1909, Heft 1.



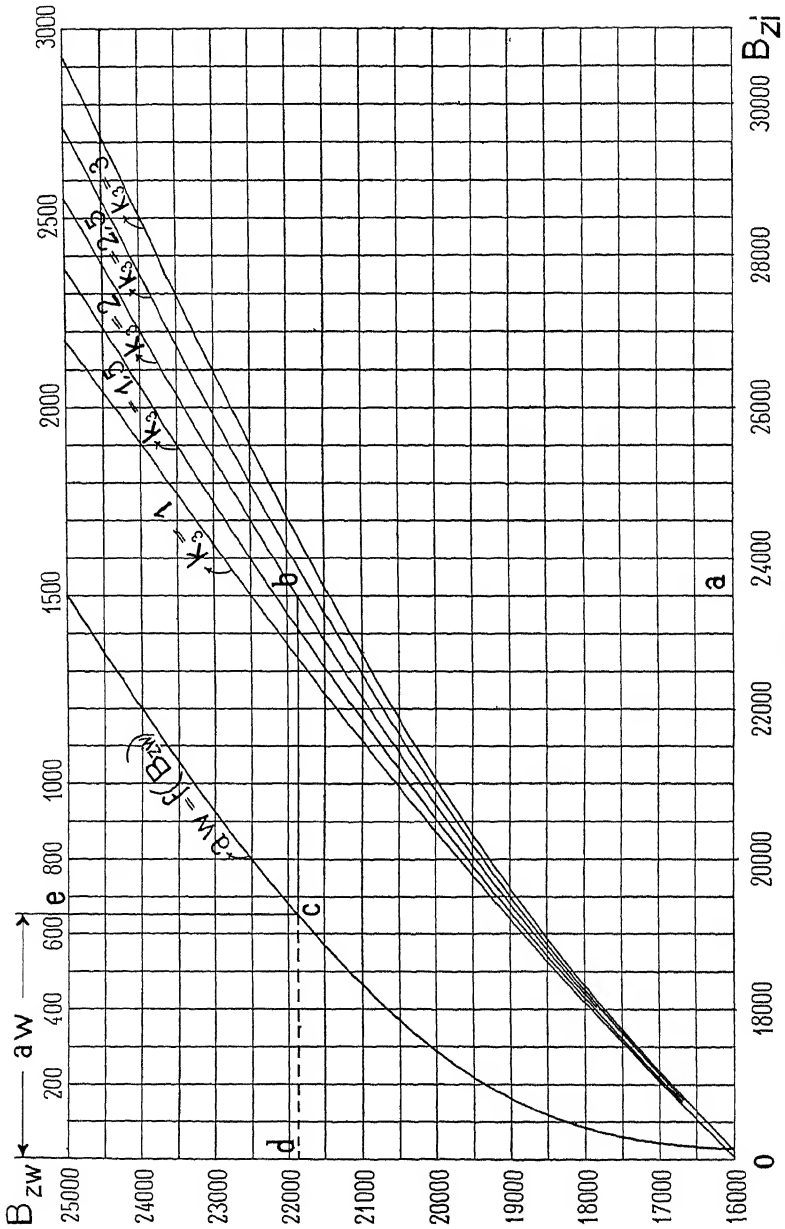


Fig. 74.

und damit für jeden Wert von  $k_3$  eine besondere Kurve II, die die Beziehung zwischen  $B_{zw}$  und  $B_{zi}$  darstellt. Der Wert  $aw_x = \bar{a}c$  kann der Figur ebenfalls entnommen werden.

In Fig. 74 sind für fünf verschiedene Werte von  $k_3$  die Kurven gezeichnet. Die Kurven entsprechen einem Eisenblech von hoher Permeabilität, wie solche bei hohen Zahnsättigungen verwendet werden sollen. Für Blechsarten von erheblich anderer Permeabilität müssen die Kurven neu berechnet werden.

Will man nun für irgendeinen Zahnquerschnitt  $B_{zw}$  finden, so berechnet man zunächst  $B_{zi}$  und  $k_3$ ; macht man in Fig. 74  $oa = B_{zi}$ , so findet man durch den Linienzug  $abcd$  den zu diesem  $k_3$  und  $B_{zi} = oa$  gehörigen Wert  $B_{zw} = od$  und  $aw_z = cd$ .

Will man  $AW_z$  genau ermitteln, so teilt man die Zahnhöhe  $\frac{1}{2}L_z$  in etwa drei Teile und ermittelt für jeden Teilpunkt zunächst die ideelle Sättigung. Es ist

$$B_{zmin} = \frac{t_1 \Phi_a}{k_2 z_2 l b_1}; \quad B_{zmit} = \frac{t_1 \Phi_a}{k_2 z_m l b_1}; \quad B_{zmax} = \frac{t_1 \Phi_a}{k_2 z_1 l b_1}.$$

Aus Fig. 74 findet man die zugehörigen Werte von  $B_{zw}$  und  $aw_z$ . Letztere trägt man nach Fig. 75 auf, es ist dann die schraffierte Fläche gleich

$$0,8 \int_0^{\frac{1}{2}L_z} H dl = \frac{1}{2} L_z aw_z$$

und

$$AW_z = L_z aw_z$$

gleich dem doppelten Flächeninhalt.

In fast allen Fällen genügt es, um die Fläche oder die mittlere Ordinate zu bestimmen, den Satz von Simpson anzuwenden, da die Kurve parabelförmig ist. Bestimmt man z. B.  $aw_z$  für Zahnkopf, Zahnmitte und Zahnfuß, so wird

$$AW_z = L_z \frac{aw_{zmax} + 4aw_{zmit} + aw_{zmin}}{6}. \quad (57)$$

**Berechnung der Amperewindungen  $AW_a$  für den Ankerkern.** Durch das Armatureisen unter den Zähnen geht die Hälfte des Kraftflusses  $\Phi_a$ . Ist die Eisenhöhe der Armatur gleich  $h$ , die Eisenlänge gleich  $l$  und somit der effektive Eisenquerschnitt des Armaturkernes gleich

$$Q_a = l h k_2,$$

so wird die maximale Induktion im Armaturkern

$$B_a = \frac{\Phi_a}{2 l h k_2};$$

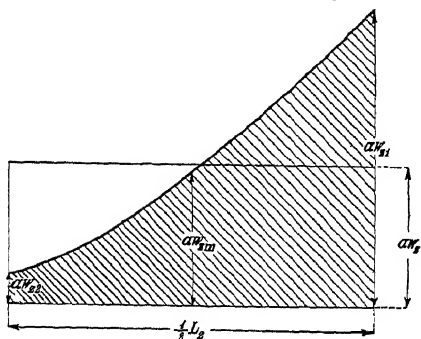


Fig. 75.

zu dieser Induktion wird die entsprechende Amperewindungszahl pro Zentimeter  $aw_a$  aus der Magnetisierungskurve bestimmt.

$$AW_a = aw_a L_a \quad . \quad . \quad . \quad . \quad . \quad (58)$$

**Berechnung der Amperewindungen  $AW_m$  und  $AW_j$  für die Feldmagnete und das Joch.** Der in die Armatur pro Pol eintretende Kraftfluß  $\Phi_a$  ist nur ein Teil des Kraftflusses der Feldmagnete, da zwischen den Polflächen magnetische Streuung vorhanden ist. — Der Kraftfluß des Feldmagneten hat an der Stelle, wo die Polkerne an das Joch ansetzen, sein Maximum; er ist gleich  $\Phi_m$ . Dann heißt  $\frac{\Phi_m}{\Phi_a} = \sigma$  der Streukoeffizient, dessen Berechnung später gezeigt werden soll.

Da die Streulinien seitlich austreten, nimmt  $\Phi_m$  im Magnetkerne gegen den Anker zu ab; wir dürfen aber ohne einen wesentlichen Fehler zu begehen  $\Phi_m$  als konstant ansehen. Auch wollen wir die Abnahme der Induktion im Polschuhe, da der betreffende Weg nur klein ist, nicht berücksichtigen. Es ist nun

$$\begin{aligned} \Phi_m &= \sigma \Phi_a \\ B_m &= \frac{\Phi_m}{Q_m} = \frac{\Phi_a \sigma}{Q_m}. \end{aligned}$$

Man sucht in der Magnetisierungskurve das zu  $B_m$  gehörige  $aw_m$  und erhält dann

$$AW_m = aw_m L_m \quad . \quad . \quad . \quad . \quad (59)$$

Bei den gewöhnlichen Radialpoltypen teilt sich das Joch nach zwei Seiten, wie in Fig. 63 gezeigt, und deswegen ist

$$\Phi_j = \frac{\sigma \Phi_a}{2}, \text{ also } B_j = \frac{\sigma \Phi_a}{2 Q_j}.$$

Wir suchen nun wiederum in der Magnetisierungskurve, die dem Materiale des Joches entspricht, das zum Werte  $B_j$  gehörige  $aw_j$  und erhalten

$$AW_j = aw_j L_j \quad . \quad . \quad . \quad . \quad (60)$$

Nachdem die Berechnung der erforderlichen Amperewindungen für die einzelnen Teile des magnetischen Kreises bekannt ist, kann die totale Amperewindungszahl für den angenommenen Kraftfluß  $\Phi_a$  oder die angenommene EMK  $E$  berechnet werden. Diese Berechnung ist unter der Voraussetzung einer stromlosen Armatur durchgeführt; deswegen heißen wir die totalen Amperewindungen pro Kreis  $AW_{k0}$  und haben

$$AW_{k0} = AW_l + AW_z + AW_a + AW_m + AW_j \quad . \quad . \quad . \quad (61)$$

$$AW_{k0} = 1,6 B_l \delta k_1 + aw_z L_z + aw_a L_a + aw_m L_m + aw_j L_j \quad (61a)$$

Für jeden Wert von  $\Phi_a$  oder  $E$  ist dieselbe Rechnung durchzuführen; diese geschieht deswegen am besten tabellarisch.

Die Eintragung der zusammengehörigen Werte von  $E$  oder  $\Phi_a$  und  $AW_{k0}$  in Fig. 76 ergibt dann die gesuchte Magnetisierungskurve der Maschine oder die Leerlaufcharakteristik.

Bei einer genauen Vorausberechnung der Leerlaufcharakteristik mußte man nicht allein mit einer Änderung der magnetischen Widerstände des Eisens, sondern auch mit der Änderung des magnetischen Widerstandes des Luftspaltes rechnen, weil die Feldkurve ihre Form mit der Erregung ändert. Die dadurch entstehende Zunahme des magnetischen Widerstandes des Luftspaltes wäre jedoch schwierig zu bestimmen, wir verzichten daher auf deren Berücksichtigung.

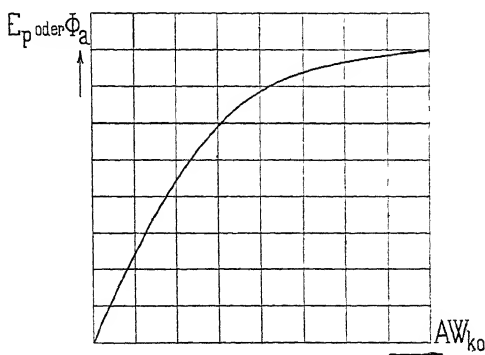


Fig. 76. Magnetisierungskurve oder Leerlaufcharakteristik.

## 21. Die Berechnung der Feldstreuung bei Leerlauf.

Für die Vorausberechnung einer Maschine ist die Kenntnis des Streukoeffizienten  $\sigma$  notwendig. Nach Gl. 48 Seite 75 ist

$$\sigma = \frac{\Phi_m}{\Phi_a} = \frac{\Phi_a + \Phi_s}{\Phi_a} = 1 + \frac{\Phi_s}{\Phi_a}.$$

Der Streukoeffizient ist abhängig von der Anordnung und Form der Feldmagnete, von der Sättigung des Eisens und vom Luftzwischenraum  $\delta$ . Eine ungünstige Anordnung der Lager, der Riemenscheibe und Fundamentplatte, die die magnetische Leitfähigkeit zwischen den streuenden Flächen vergrößert, erhöht den Wert von  $\sigma$ .

Der Streukoeffizient  $\sigma$  läßt sich für einfachere Formen der Feldmagnete mit genügender Genauigkeit berechnen.

Wenn wir runde Pole haben, so reduzieren wir sie auf quadratische mit demselben Querschnitt.

$$\begin{aligned} d_m &= \text{Durchmesser des runden Magnetkerns,} \\ d_q &= \text{Seite des Quadrats.} \end{aligned}$$



1. den Streufluß  $\Phi_1$  zwischen den inneren Flächen des Polschuhs,
2. den Streufluß  $\Phi_2$  zwischen den äußeren Flächen des Polschuhs (vorn und hinten),
3. den Streufluß  $\Phi_3$  zwischen den inneren Flächen des Polkernes,
4. den Streufluß  $\Phi_4$  zwischen den äußeren Flächen des Polkernes (vorn und hinten).

Jeder Streufluß ist gleich dem Produkte aus der magnetischen Potentialdifferenz und der magnetischen Leitfähigkeit zwischen den betreffenden Streuflächen.

Zwischen den Polschuhen besteht die Potentialdifferenz

$$\Delta P = (\Delta W_l + \Delta W_z + \Delta W_a).$$

Es wird nun

1. Der Streufluß zwischen den inneren Flächen der Polschuhe

$$\Phi_1 = \Delta P \frac{l_p h_p}{0,8 L_3} = \frac{\Delta P l_p h_p}{0,8 (\tau_1 - b_p)}.$$

Sind die Polspitzen stark gesättigt, so wird diese Streuung kleiner; dies kann berücksichtigt werden, indem man von  $\Delta P$   $\Delta W_p$  subtrahiert, wenn  $\Delta W_p$  die in den zwei Polspitzen verbrauchten Amperewindungen bezeichnet.

2. Der Streufluß zwischen den äußeren Flächen der Polschuhe.

Die Streuung zwischen den äußeren Polschuhflächen wird, wenn man die Kraftlinien in Kreisbogen vom Radius  $y$  und auf der Strecke  $L_3$  geradlinig verlaufend denkt (s. Fig. 78):

$$\Phi_2 = 2 \int_{y=0}^{y=\frac{b_p}{2}} \frac{\Delta P h_p}{0,8 (L_3 + \pi y)} dy = 2 \Delta P h_p \frac{2,3}{0,8 \pi} \log \left( 1 + \frac{\pi}{2} \frac{b_p}{L_3} \right).$$

Indem wir  $\frac{2,3}{0,8 \pi} = 1$  setzen, erhalten wir

$$\Phi_2 = \Delta P h_p 2 \log \left( 1 + \frac{\pi}{2} \frac{b_p}{\tau_1 - b_p} \right).$$

Wenn  $h_p$  längs der ganzen äußeren Polschuhfläche nicht konstant ist, so muß ein mittlerer Wert eingesetzt werden.

3. Der Streufluß zwischen den inneren Flächen des Polkernes.

Bei Berechnung der Streuung der Kernflächen ist zu beachten, daß die magnetische Potentialdifferenz langs der Erregerspule proportional mit der Höhe  $h_m$  von  $O$  bis  $\Delta P$  zunimmt; die MMKe, die auf die einzelnen Rohren wirken, sind also verschieden. Ist die Wicklung langs des Poles gleichmäßig verteilt, so kann man die MMKe, wie in Fig. 77, durch eine geneigte Linie  $\overline{OA}$  darstellen. Da in diesem Falle die Kerne einander fast parallel sind, so kann man mit einem Mittelwert gleich  $\frac{1}{2}\Delta P$  rechnen. Es ist somit

$$\Phi_3 = \frac{\frac{1}{2}\Delta P d_q h_m}{0,8(L_1 + L_2)} = \frac{\Delta P d_q h_m}{0,8(L_1 + L_2)} = \frac{\Delta P d_q h_m}{0,8(\tau_1 + \tau_2 - 2d_q)}.$$

#### 4. Der Streufluß zwischen den äußeren Kernflächen.

Für zwei äußere Kernflächen folgt für eine mittlere magnetische Potentialdifferenz  $\frac{1}{2}\Delta P$  ähnlich wie bei  $\Phi_2$

$$\Phi_4 = \frac{2\Delta P}{2} h_m \frac{2,3}{0,8\pi} \log\left(1 + \pi \frac{d_q}{L_1 + L_2}\right)$$

$$\Phi_4 = \Delta P h_m \log\left(1 + \frac{\pi d_q}{\tau_1 + \tau_2 - 2d_q}\right).$$

Nun ist für beide Seiten des Poles

$$\Phi_s = 2(\Phi_1 + \Phi_2 + \Phi_3 + \Phi_4)$$

$$\begin{aligned} \Phi_s = 2\Delta P \left[ \frac{l_p h_p}{0,8(\tau_1 - b_p)} + 2h_p \log\left(1 + \frac{\pi}{2} \frac{b_p}{\tau_1 - b_p}\right) \right. \\ \left. + \frac{d_q h_m}{0,8(\tau_1 + \tau_2 - 2d_q)} + h_m \log\left(1 + \frac{\pi d_q}{\tau_1 + \tau_2 - 2d_q}\right) \right]. \end{aligned}$$

Hieraus ergibt sich die Summe der Leitfähigkeiten zwischen den Polschuhflächen

$$\Sigma \lambda_p = \frac{l_p h_p}{0,8(\tau_1 - b_p)} + 2h_p \log\left(1 + \frac{\pi}{2} \frac{b_p}{\tau_1 - b_p}\right)$$

und diejenige der äquivalenten Leitfähigkeiten zwischen den Kernflächen

$$\Sigma \lambda_m = \frac{d_q h_m}{0,8(\tau_1 + \tau_2 - 2d_q)} + h_m \log\left(1 + \frac{\pi d_q}{\tau_1 + \tau_2 - 2d_q}\right).$$

Durch Einsetzen des Wertes  $\Phi_s$  in die Gleichung für  $\sigma$  erhält man als Streukoeffizient bei stromlosem Anker

$$\sigma = 1 + \frac{2(AW_l + AW_z + AW_a)}{\Phi_a} (\Sigma \lambda_p + \Sigma \lambda_m). \quad (62)$$

Wenn der Querschnitt der Pole rechteckförmig ist und  $l_m$  die Länge der Seiten in der Richtung der Achse bedeutet und  $d_q$  die Länge der anderen Seite, so wird

$$\Phi_s = \frac{\Delta P l_m h_m}{0,8 (\tau_1 + \tau_2 - 2 d_q)}.$$

Bei Maschinen mit geringer Polzahl sind die Polflächen, wie Fig. 79 zeigt, stark gegeneinander geneigt. In diesem Falle müssen die Werte von  $\Sigma \lambda_p$  und  $\Sigma \lambda_m$  in anderer Weise ermittelt werden.

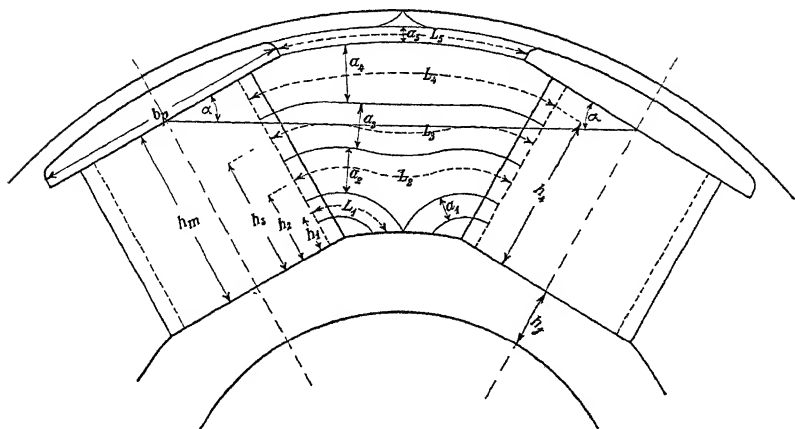


Fig. 79.

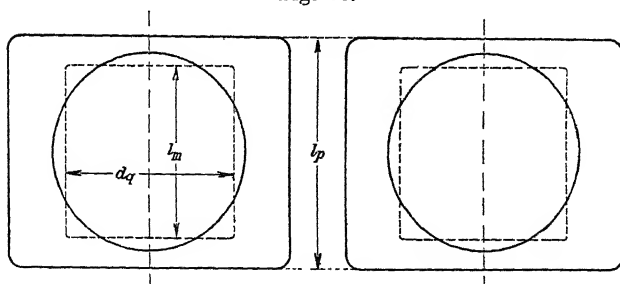


Fig. 80.

Fig 79 und 80 Berechnung des Streukoeffizienten für stark geneigte Pole.

Man entwirft zu diesem Zwecke nach bestem Ermessen ein Krafttröhrenbild, wobei es auf sehr große Genauigkeit nicht ankommt. Diejenigen Linien, für welche der Weg  $\frac{1}{2} L_2$  größer wird als  $L_1$  (Fig. 79 und 80), werden direkt zum Joche übertreten. Auch auf den Seitenflächen der Pole wird dies der Fall sein. Hier streuen die Flüsse nicht nur in der Richtung der Achse des Magnetkerns, sondern auch seitlich, in der Richtung von  $L_1$  zum Joche über.



Der gesamte Streufluß setzt sich für diesen Fall zusammen aus dem Fluß  $\Phi_1$ , zwischen den inneren, dem Fluß  $\Phi_2$  zwischen den äußeren Flächen der Polschuhe, dem Fluß  $\Phi_3$  zwischen den inneren, dem Fluß  $\Phi_4$  zwischen den äußeren Flächen der Polkerne, ferner dem Fluß  $\Phi_5$  zwischen dem Joch und den inneren und dem Fluß  $\Phi_6$  zwischen dem Joch und den äußeren Flächen der Magnetkerne.

Man kann mit genügender Genauigkeit den Verlauf der Kraftrohren, wie in Fig. 79 angedeutet, annehmen. Berücksichtigt man auch in diesem Falle, daß die magnetische Potentialdifferenz langs der Erregerspule proportional mit der Höhe  $h_m$  von  $O$  bis  $\Delta P$  zunimmt, so wird

$$\sigma = 1 + \frac{2(AW_l + AW_z + AW_a)}{\Phi_a} (\Sigma \lambda_p + \Sigma \lambda_m + \Sigma \lambda_j). \quad (63)$$

Es ist dabei die Summe der Leitfähigkeiten zwischen den Polflächen:

$$\Sigma \lambda_p = \frac{a_5 l_p}{0,8 L_5} + 2 h_p \log \left( 1 + \frac{\pi}{2} \frac{b_p \cos \alpha}{L_5} \right);$$

diejenige zwischen den Kernflächen:

$$\begin{aligned} \Sigma \lambda_m = & \frac{l_m}{0,8 h_m} \left( \frac{h_2 a_2}{L_2} + \frac{h_3 a_3}{L_3} + \frac{h_4 a_4}{L_4} \right) + \frac{2}{h_m} \left[ h_2 a_2 \log \left( 1 + \frac{\pi}{2} \frac{d_q \cos \alpha}{L_2} \right) \right. \\ & \left. + h_3 a_3 \log \left( 1 + \frac{\pi}{2} \frac{d_q \cos \alpha}{L_3} \right) + h_4 a_4 \log \left( 1 + \frac{\pi}{2} \frac{d_q \cos \alpha}{L_4} \right) \right] \end{aligned}$$

und die Leitfähigkeit zwischen dem Joche und den Kernflächen

$$\Sigma \lambda_j = \frac{h_1}{h_m} \frac{a_1 l_m}{0,8 L_1} + \frac{d_q}{0,8 \pi} \frac{180}{\alpha} \left( \frac{\sqrt{b_1^2 + h_j^2}}{h_m} \right).$$

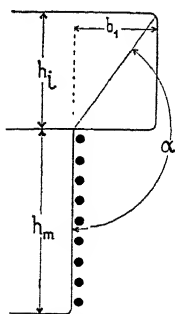


Fig. 81.

Ergibt die Rechnung für die Klammergröße des Ausdruckes für  $\Sigma \lambda_j$  einen Wert, der höher als 1 ist, so ist doch nur 1 einzusetzen. Die einzelnen Bezeichnungen sind aus den Fig. 79, 80 und 81 ersichtlich.

Wie aus der Formel für  $\sigma$  ersichtlich, ist  $\sigma$  abhängig von der Erregung und daher auch von der Belastung der Maschine. Solange die Magnetisierungskurve der Luft, der Zähne und des Ankers geradlinig verläuft, nimmt der Streufluß proportional mit  $\Phi$  zu, und  $\sigma$  bleibt konstant. Sobald jedoch die Kurve abbiegt, wächst die prozentuale

Streuung.  $\sigma$  ist also abhängig von der Sättigung des Anker eisens. Bei der Berechnung der Querschnitte der Feldmagnete ist

es notwendig, daß der Streuungskoeffizient zunächst angenommen wird, da dieser erst ermittelt werden kann, wenn die Dimensionen der Maschine bekannt sind. Zeigen sich große Differenzen zwischen dem angenommenen Wert von  $\sigma$  und dem nachtraglich ermittelten, so müssen die Dimensionen der Feldmagnete dementsprechend abgeändert werden.

#### Angenäherte Vorausberechnung von $\sigma$ .

Wir setzen (analog WT III, S. 182)

$$AW_l + AW_z + AW_a = k_z AW_l.$$

$k_z$  ist eine Größe, die von der Sättigung des Armatureisens abhängt. Für normale Maschinen ist

$$k_z = 1,1 \text{ bis } 1,3.$$

Bei hoher Sättigung kann  $k_z$  auch den Wert 1,4 bis 1,5 erreichen. Nach Früherem ist

$$AW_l = 1,6 k_1 B_l \delta.$$

$$2 \frac{AW_l + AW_z + AW_a}{\Phi_a} = 2 \frac{k_z AW_l}{\Phi_a} = \frac{2 \cdot 1,6 k_z k_1 B_l \delta}{\Phi_a}.$$

Für  $\Phi_a = B_l b_l l_i$  gesetzt gibt

$$2 \frac{AW_l + AW_z + AW_a}{\Phi_a} = \frac{3,2 k_z k_1 \delta}{b_l l_i}.$$

In die Formel für  $\sigma$  eingesetzt

$$\sigma = 1 + \frac{3,2 k_z k_1 \delta}{b_l l_i} (\Sigma \lambda_p + \Sigma \lambda_m + \Sigma \lambda_j) \quad . \quad . \quad (64)$$

Setzen wir für  $k_1 = 1,2$  und für  $k_z = 1,3$ , so erhalten wir

$$\sigma = 1 + \frac{5 \delta}{b_l l_i} (\Sigma \lambda_p + \Sigma \lambda_m + \Sigma \lambda_j) \quad . \quad . \quad . \quad (65)$$

Sind die Magnetkerne wenig gegeneinander geneigt, so ist  $\Sigma \lambda_j = 0$  zu setzen und für  $\Sigma \lambda_p$  und  $\Sigma \lambda_m$  die auf S. 90 angegebenen Größen zu rechnen; sind dagegen die Pole stark gegeneinander geneigt, so gelten für  $\Sigma \lambda_p$ ,  $\Sigma \lambda_m$  und  $\Sigma \lambda_j$  die auf S. 91 angegebenen Ausdrücke.

Mit Hilfe der Formel 65 können wir den Streuungskoeffizienten einer Maschine angenähert bestimmen, ohne die Amperewindungen berechnet zu haben.

Werte von  $\sigma$ . Die erfahrungsgemäßen Werte des Streuungskoeffizienten  $\sigma$  liegen für Maschinen mit runden oder rechteckigen Polkernen, deren Länge in der Achsenrichtung nicht größer als

1,5 bis 2 mal ihrer Breite ist, und bei mäßigen Polschuhhöhen etwa zwischen

$$\sigma = 1,15 \text{ bis } 1,25.$$

Sind die Polschuhe und Polkerne hoch und ist die axiale Länge größer als die 1,5 bis 2 fache Breite, so steigt der Streuungskoeffizient auf  $\sigma = 1,25$  bis 1,35.

Diese Werte können bei der Berechnung einer Maschine benutzt werden. Für abnormale Verhältnisse ist es ratsam,  $\sigma$  zu berechnen.

## 22. Die Berechnung der Feldamperewindungen bei Belastung.

Bei der Vorausberechnung von Wechselstrommaschinen ist es von Wichtigkeit, die Feldamperewindungen bei Belastung in möglichst einfacher Weise genau berechnen zu können. Was die Generatoren anbetrifft, so sind diese gewöhnlich so zu entwerfen, daß sie bei normaler Stromstärke und gegebener Phasenverschiebung, z. B.  $\cos \varphi = 0,8$ , noch ein wenig mehr wie die normale Spannung geben können. Die Synchronmotoren arbeiten in vielen Fällen bei Phasengleichheit zwischen Strom und Spannung; in anderen Fällen dagegen müssen sie außer der mechanischen Leistung noch wattlose Ströme ins Netz liefern. Es ist deswegen in diesem Falle die große Erregung, die überhaupt nötig ist, zu ermitteln.

Es ist zunächst zu bemerken, daß die bisherige Bestimmung von  $E_{s2}$  nicht ganz richtig ist, weil noch eine Nebenerscheinung hinzukommt, die jedoch keine große Bedeutung hat.

Wenn man eine Maschine belastet und die Erregerampere-windungen unverändert läßt, so werden die entmagnetisierenden Amperewindungen  $AW_e$  das Feld schwächen. Da die Amperewindungszahl der Erregerspulen konstant geblieben ist, so bleibt das Streufeld fast unverändert, während das Hauptfeld abnimmt.

Der Streuungskoeffizient, der gleich  $\frac{\text{Hauptfeld} + \text{Streufeld}}{\text{Hauptfeld}} = 1 + \frac{\Phi_s}{\Phi_a}$

ist, wird daher bei Belastung größer als bei Leerlauf, und weil das Hauptfeld abgenommen hat, wird die der Leerlaufcharakteristik für eine AW-Zahl  $AW_t - AW_e$  entnommene EMK größer als in Wirklichkeit; d. h. es wird  $E_{s2}$  durch die vermehrte Streuung ein wenig vergrößert.

Belastet man die Maschine und hält die Klemmenspannung konstant, so müssen wegen der entmagnetisierenden Amperewindungen die Feldamperewindungen erhöht werden, wodurch die Feldstreuung vermehrt wird. Es wird somit auch in diesem Falle  $E_{s2}$  ein wenig größer ausfallen, als es sich aus der Leerlaufcharakteristik

ergibt. Die durch die vermehrte Feldstreuung bedingte Korrektur von  $E_{s2}$  ist jedoch sehr klein.

Es war der Streuungskoeffizient bei Leerlauf

$$\sigma = 1 + \frac{2(AW_l + AW_z + AW_a)}{\Phi_a} \Sigma(\lambda_p + \lambda_m + \lambda_j).$$

Die Vermehrung der Streuung wird durch die bei Belastung auftretenden entmagnetisierenden  $AW = \frac{1}{p} AW_e$  pro Kreis hervorgerufen, denn diese erhöhen die magnetische Potentialdifferenz zwischen den Streuflächen. Man erhält somit bei Belastung

$$\sigma_b = 1 + \frac{2(AW_l + AW_z + AW_a + \frac{1}{p} AW_e)}{\Phi_{a,b}} \Sigma(\lambda_p + \lambda_m + \lambda_j) \quad (66)$$

wo für  $\Phi_{a,b}$  der Kraftfluß im Anker bei Belastung zu setzen ist.

Die Größenordnung der vermehrten Streuung wird aus folgender Überlegung sichtbar.

Das Verhältnis

$$\frac{AW_l + AW_z + AW_a + \frac{1}{p} AW_e}{AW_l + AW_z + AW_a}$$

schwankt bei modernen Maschinen und  $\cos \psi = 0,7$  um 1,3 herum. Nehmen wir für den Streukoeffizienten bei Leerlauf den hohen Wert  $\sigma = 1,3$  an, so wird er bei dieser stark induktiven Belastung

$$\sigma_b = 1 + 0,3 \cdot 1,3 = 1,39.$$

Bei diesen ungünstigen Annahmen wird also der Streuungskoeffizient nur 7% größer als bei Leerlauf. Berücksichtigt man noch, daß infolge der Streuung nur die Magnet- und Joch-Amperewindungen vergrößert werden müssen, so folgt, daß bei schwach gesättigten Maschinen der Einfluß der vermehrten Streuung vernachlässigt werden darf. Wir werden im weiteren angeben, wie man bei stark gesättigten Maschinen die vermehrte Streuung berücksichtigen kann.

Die Feldamperewindungen bei Belastung bestimmt man nun wie folgt.

a) Generator. Es sollen die erforderlichen Amperewindungen bestimmt werden, um bei gegebener Stromstärke  $J$  und Phasenverschiebung  $\varphi$  die verlangte Klemmenspannung  $P$  zu erhalten. Man berechnet zunächst  $Jr_a$  und  $Jx_{s1}$ . Mit Hilfe der Leerlaufcharakteristik (Fig. 54) oder nach Gl. 28 bestimmt man  $\frac{E_{s3}}{\cos \psi}$ . Man kann

nun entweder graphisch nach Fig. 53 oder analytisch nach der Gl. 37

$$\operatorname{tg} \psi = \frac{\pm P \sin \varphi + \left( Jx_{s1} + \frac{E_{s3}}{\cos \psi} \right)}{P \cos \varphi + Jr_a}$$

den Winkel  $\psi$  bestimmen. Wird  $\psi$  graphisch nach Fig. 53 bestimmt, so erhält man zu gleicher Zeit die Spannung  $\overline{OD}$  (Fig. 82); sonst kann  $\overline{OD}$  nach Fig. 56

$$\overline{OD} = P \cos \Theta + Jr_a \cos \psi \pm Jx_{s1} \sin \psi$$

berechnet werden. Es ist in der Gleichung für  $\operatorname{tg} \psi$  und  $\overline{OD}$  das obere Vorzeichen zu wählen, wenn  $\varphi$  bzw.  $\psi$  Phasenverspatungswinkel und das untere, wenn  $\varphi$  bzw.  $\psi$  Phasenvoreilungswinkel sind. Man berechnet weiter

$$AW_e = k_0 f_{w1} m Jw \sin \psi.$$

Macht man in Fig. 83  $\overline{A_1 B} = \overline{OD}$  und  $\overline{A_1 A_2} = AW_e$ , so ist  $\overline{A_2 C} = E$  und  $\overline{OA_2}$  stellt die Amperewindungen bei Belastung dar.

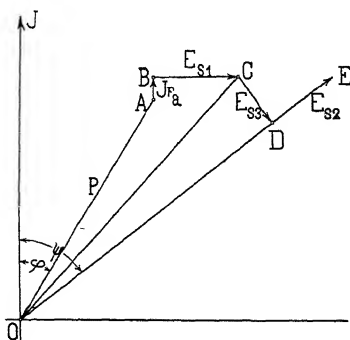


Fig. 82.

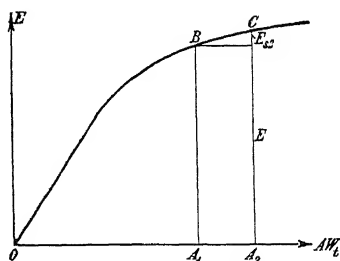


Fig. 83.

Es bleibt noch übrig, die Luft- und Zahninduktion nachzukontrollieren. Für diese ist eigentlich die Spannung  $E_p = \overline{OC}$  maßgebend; sie können aber auch mit genügender Genauigkeit aus der Spannung  $\overline{OD}$  berechnet werden.

b) Motor. Die Feldamperewindungen eines Motors ergeben sich in ähnlicher Weise.

Man berechnet zuerst den Wattstrom  $J_w$  des Motors; dieser ist gleich

$$J_w = \frac{736 PS}{\eta m P},$$

wo  $PS$  die Belastung in Pferdestärken,  $\eta$  den Wirkungsgrad,  $m$  die Phasenzahl und  $P$  die Phasenspannung bedeutet.

Alsdann ermittelt man den wattlosen Strom  $J_{wl}$ , den der Motor ins Netz liefern soll. Es ist dann der totale vom Motor aufgenommene Strom

$$J = \sqrt{J_w^2 + J_{wl}^2}$$

und der Phasenverschiebungswinkel

$$\varphi = \arctg \left( \frac{J_{wl}}{J_w} \right).$$

Man berechnet nun nach den Formeln 34 S. 54 und 6a S. 18  $Jr_a$  und  $Jx_{s1}$  und bestimmt aus der Leerlaufcharakteristik oder nach der Gl. 28  $\frac{E_{s3}}{\cos \psi}$ . Den Winkel  $\psi$  kann man wieder entweder analytisch oder graphisch bestimmen. Für einen Motor ist

$$\operatorname{tg} \psi = \frac{\pm P \sin \varphi - \left( Jx_{s1} + \frac{E_{s3}}{\cos \psi} \right)}{P \cos \varphi + Jr_a},$$

wobei das obere Vorzeichen zu nehmen ist, wenn  $\varphi$  ein Verspaltungswinkel und das untere, wenn  $\varphi$  ein Voreilungswinkel ist.

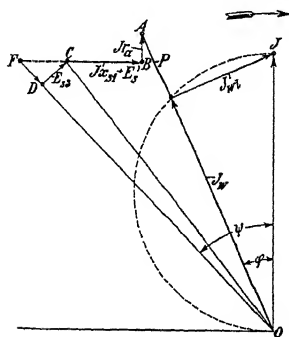


Fig. 84.

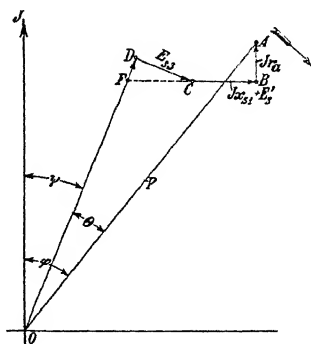


Fig. 85.

Graphisch findet man  $\psi$  aus Fig. 84, die sich auf einen übererregten, oder Fig. 85, die sich auf einen untererregten Motor bezieht. Man trägt in den über  $J$  beschriebenen Halbkreis  $J_w$  und  $J_{wl}$  ein. Der Vektor  $P$  fällt mit  $J_w$  zusammen; von diesem subtrahiert man die Spannungsabfälle  $Jr_a$  und  $Jx_{s1} + E_s'$ . Trägt man in die Verlängerung von  $Jx_{s1}$  die Spannung  $\frac{E_{s3}}{\cos \psi}$  auf, so kann man den Punkt  $F$  und den Winkel  $\psi$  bestimmen.

Man erhält durch dieselbe Konstruktion auch die Spannung  $\overline{OD}$ . Man kann  $\overline{OD}$  auch bestimmen aus der Beziehung

$$\overline{OD} = (P \cos \Theta - Jr_a \cos \psi) \mp Jx_{s1} \sin \psi,$$

wobei das obere Vorzeichen zu nehmen ist, wenn  $J$  der EMK  $E$  nachteilt, und das untere Vorzeichen, wenn  $J$  voreilt. Es ist in dieser Gleichung

$$\Theta = \varphi - \psi;$$

$\varphi$  und  $\psi$  sind mit den richtigen Vorzeichen einzusetzen. Berechnet man nun

$$AW_e = k_0 f_{w1} m J w \sin \psi,$$

so ergeben sich aus der Leerlaufcharakteristik die EMK  $E$  und die zugehörigen Erregeramperewindungen  $AW_i$  (Fig. 83).

Berücksichtigung der vermehrten Streuung. Soll die vermehrte Streuung berücksichtigt werden, so hat man wie folgt zu verfahren. Man bestimmt zunächst in derselben Weise wie oben die Größen  $Jr_a$ ,  $Jx_{s1}$  und  $\frac{E_{s3}}{\cos \psi}$  und ermittelt daraus den Winkel  $\psi$  bzw. die entmagnetisierenden Amperewindungen

$$AW_e = k_0 f_{w1} m J w \sin \psi$$

und die EMK  $\overline{OD}$  (Fig. 53).

Wie aus den Gl. 63 und 66 folgt, kann man für den Streuungskoeffizienten bei Belastung  $\sigma_b$  mit genügender Genauigkeit setzen:

$$\sigma_b = \sigma + \frac{2 \frac{AW_e}{p}}{\Phi_{a,b}} \Sigma (\lambda_p + \lambda_m + \lambda_j) \quad . \quad . \quad (67)$$

wo  $\sigma$  den Streuungskoeffizienten bei Leerlauf bedeutet. Dieser Wert von  $\sigma_b$  ist etwas kleiner als der, der sich aus Gl. 66 ergibt. Soll nun der Einfluß der zusätzlichen Streuung aufgehoben werden, so müssen die Amperewindungen für die Magnete und für das Joch um einen kleinen Betrag erhöht werden. Bestimmen wir die bei Belastung nötigen Amperewindungen, indem wir wie früher die EMK  $\overline{OD}$  in die Leerlaufcharakteristik eintragen (Fig. 83), so bleibt der Einfluß der zusätzlichen Streuung unberücksichtigt und die sich auf diese Weise ergebenden Feldamperewindungen werden etwas zu klein sein. Hätten wir in die Leerlaufcharakteristik statt  $\overline{OD}$  die EMK  $\overline{OD} \frac{\sigma_b}{\sigma}$  eingetragen, so wären dadurch nicht nur die Amperewindungen für die Magnete und das Joch, sondern auch diejenigen für den Luftspalt und den Anker erhöht worden. Man muß daher von dem der EMK  $\overline{OD} \frac{\sigma_b}{\sigma}$  entsprechenden Punkte  $B'$  der Leerlaufcharakteristik (Fig. 86) eine Parallele zur Charakteristik für den

Luftspalt und Anker ziehen; der Schnittpunkt dieser mit der Parallelen zur Abszissenachse vom Punkte  $B$ , der der EMK  $\overline{OD}$  entspricht, ergibt die zur Induktion der EMK  $\overline{OD}$  bei den wirklichen Streuungsverhältnissen nötigen Amperewindungen  $\overline{OA_1'}$  (Fig. 86)<sup>1)</sup>  $\overline{A_1A_1'}$  stellt die durch die vermehrte Streuung bedingte Erhöhung der Feldamperewindungen dar. Als Charakteristik für den Luftspalt und den Anker ist somit die Verlängerung des geradlinigen Teiles der Leerlaufcharakteristik angenommen, was einen etwas zu hohen Wert für die Amperewindungen ergibt. Dieser Fehler wird aber durch die Annahme eines etwas zu kleinen Streuinduktionskoeffizienten  $\sigma_b$  nach Gl. 67 behoben.

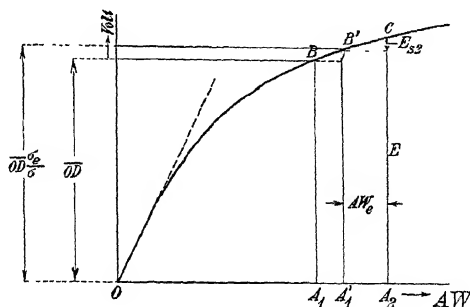


Fig. 86 Berücksichtigung der vermehrten Streuung bei Bestimmung der  $AW$  bei Belastung.

Addiert man zu den Amperewindungen  $\overline{OA_1'}$  die entmagnetisierenden Amperewindungen

$$AW_e = k_0 f_{w1} w m J \sin \psi,$$

so erhält man die gesuchten totalen Feldamperewindungen bei Belastung  $AW_t = \overline{OA_2}$  (Fig. 86).

<sup>1)</sup> Vgl. J. Sumec, ETZ 1911, S. 77.



## Viertes Kapitel.

### Ankerrückwirkung, Spannungsänderung und Feldamperewindungen von Maschinen mit Vollpolen.

23. Ankerrückwirkung. — 24. Änderung der Klemmenspannung mit der Belastung. — 25. Feldamperewindungen bei Leerlauf. Leerlaufcharakteristik. — 26. Feldamperewindungen bei Belastung.

Bis jetzt haben wir unsere Betrachtungen hauptsächlich auf Wechselstrommaschinen mit körperlichen Polen beschränkt; Fig. 87

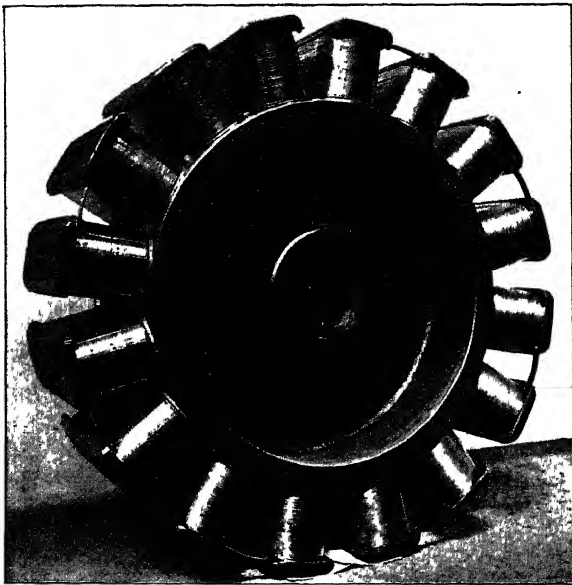


Fig. 87. Magnetrad einer Maschine mit ausgeprägten Polen.  
2600 PS, 3600 bis 4800 Volt, 315 Umdr 1 d. Min.

zeigt ein Polrad einer solchen Maschine. Bei schnelllaufenden Maschinen wird das Feldeisen meistens verteilt. Der zylindrische Rotorkörper erhält Nuten, in denen die Erregerwicklung untergebracht wird. In den meisten Fällen wird die Erregerwicklung

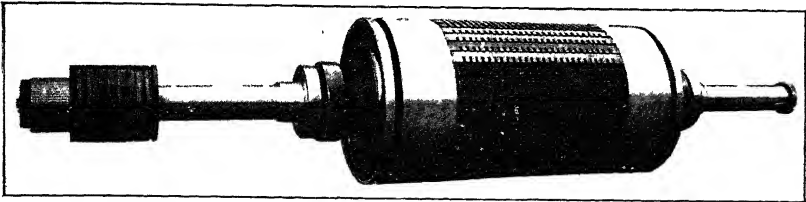


Fig 88. Rotor eines Turbogenerators mit „großem Zahn“

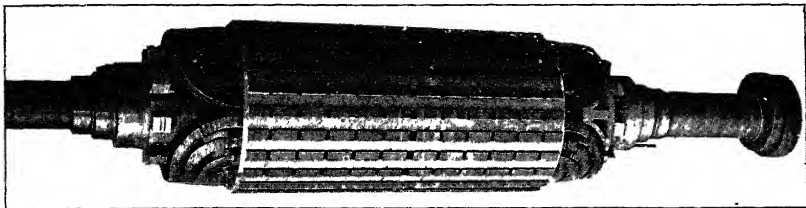


Fig 89 Rotor eines Turbogenerators. 2150 KVA, 5300 Volt.

nur auf  $\frac{2}{3}$  der Nuten pro Pol verteilt. Der übrig bleibende Teil, der den eigentlichen Pol bildet, erhält entweder keine Nuten (Fig. 88) oder solche, die unbewickelt bleiben (Fig. 89). Wir wollen die Vollpolmaschine im folgenden kurz behandeln.

### 23. Ankerrückwirkung.

Das Charakteristische der Maschine mit körperlichen Polen, die Variation des Selbstinduktionskoeffizienten der Ankerwicklung, tritt jetzt fast nicht mehr auf. Dadurch, daß bei der Vollpolmaschine auch die Pollücke mit Eisen ausgefüllt ist, wird die magnetische Leitfähigkeit für den längsmagnetisierenden Kraftfluß  $\Phi_{s2}$  und den quermagnetisierenden Kraftfluß  $\Phi_{s3}$  fast dieselbe. Der Kraftfluß  $\Phi_{s3}$  wird seinen Widerstand nicht nur im Luftspalte, sondern auch im Eisen haben. Es genügt somit eine Zerlegung des vom Ankerstromes erzeugten Kraftflusses  $\Phi_s$  in zwei Teile, den Streufluß  $\Phi_{s1}$  und den Kraftfluß  $\Phi_{s2}$ ; in dem letzteren sind dann  $\Phi_{s2}$  und  $\Phi_{s3}$  zusammengefaßt.

Die vom Streuflusse induzierte EMK  $E_{s1}$  setzen wir wie früher gleich  $Jx_{s1}$ , wo

$$x_{s1} = \frac{12,5 c w^2}{p q} (l_2 \lambda_n + l_2 \lambda_k + l_s \lambda_s) 10^{-8};$$

hierin ist:

$$\lambda_n = 0,4 \pi \left( \frac{r}{3 r_3} + \frac{r_5}{r_3} + \frac{2 r_6}{r_1 + r_3} + \frac{r_4}{r_7} \right) \quad \dots \quad (68)$$

$$\left. \begin{aligned} \lambda_k &= 1,25 \frac{z_1 r - r_{1s}}{6 \delta} \text{ (s. Fig. 97)} \\ \lambda_s &= 0,92 \log \frac{\pi t_1}{2 r_1}, \end{aligned} \right\} \quad \dots \quad (69)$$

bzw.

wenn die Rotorkeile aus leitendem Material sind.

$$\lambda_s = 0,46 q_s \log \left( \frac{2 l_s}{U_s} + A \right) \quad \dots \quad (70)$$

Für die Werte von  $q_s$  und  $A$  wird auf S. 17 verwiesen.

Die dem Kraftfluße  $\Phi_{sr}$  entsprechende Amplitude der Grundwelle der MMK-Kurve für alle  $2p$  Pole ist

$$AW_r = 0,9 f_{wl} w m J \quad \dots \quad (71)$$

Sie ist in Phase mit dem Ankerstrom  $J$ . Denken wir uns auch die MMK-Kurve der Erregerwicklung in ihre Harmonischen zerlegt und rechnen nur mit der Grundwelle  $AW_t$ , so eilt  $AW_t$  der vom Erregerfelde induzierten EMK  $E$  um  $90^\circ$  vor. Da  $J$  gegen  $E$  um  $\psi$  verschoben ist, ist  $AW_r$  um  $90 + \psi$  gegenüber  $AW_t$  im Sinne der Nacheilung verschoben (vgl. Fig. 92). Die MMK  $AW_r' = -AW_r$ , die zur Überwindung der rückwirkenden MMK des Ankerstromes nötig ist, muß somit gegenüber  $AW_t$  um  $180 - (90 + \psi) = 90 - \psi$  voreilen.

Wir haben es hier also mit zwei Sinuswellen zu tun, die um einen bestimmten Winkel gegeneinander verschoben sind. Man darf sie ebenso wie bei einem Transformator vektoriell addieren. Eine Zerlegung in  $E_{s2}$  und  $E_{s3}$  wäre unzuweckmäßig, da zur Bestimmung von  $E_{s3}$  der untere Teil der Leerlaufcharakteristik nicht mehr benutzt werden darf. Andererseits wäre es zu ungenau,  $AW_r$  in die Leerlaufcharakteristik einzutragen, wie früher z. B.  $AW_e$ .

Wir wollen nun die Grundwelle der MMK-Kurve der Erregerwicklung berechnen.

Ist die Erregerwicklung über die ganze Polteilung gleichmäßig verteilt, so ergibt sich die MMK-Kurve Fig. 90; ist sie nur über  $\frac{2}{3}$  der Polteilung verteilt, so hat die MMK-Kurve die Gestalt der

Fig. 91 Zerlegt man diese Kurven in ihre Harmonischen, so ergibt sich, analog wie WT III, S. 245ff, die maximale MMK der Grundwelle pro Pol zu

$$\frac{4}{\pi} f_{w1} \frac{i_e s_e q_e}{2} = \frac{2}{\pi} f_{w1} i_e s_e q_e,$$

wo  $i_e$  den Erregergleichstrom,  $s_e$  die Drahtzahl pro Nut und  $q_e$  die bewickelten Nuten pro Pol bedeuten.

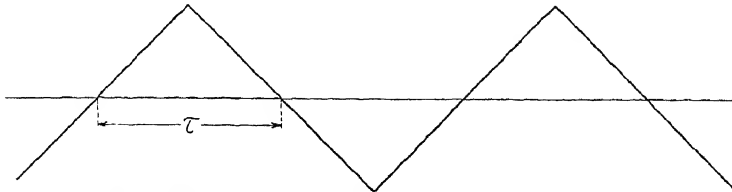


Fig. 90. MMK einer gleichmäßig verteilten Erregerwicklung

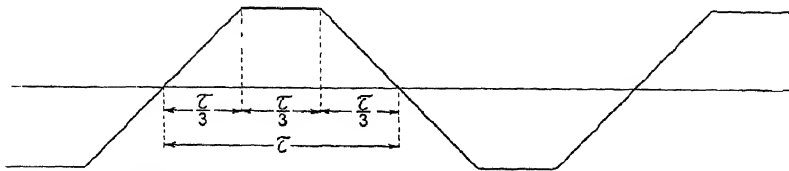


Fig. 91. MMK einer über  $\frac{2}{3}$  der Polteilung verteilten Erregerwicklung.

Die Grundwelle der MMK-Kurve erzeugt das Grundfeld, über das sich kleine Oberfelder von drei-, fünf- und siebenfacher Polzahl lagern. Das  $\nu$ te Oberfeld wird von einer maximalen MMK  $\frac{0,637}{\nu} f_{w\nu} i_e s_e q_e$  erzeugt. Um die Oberfelder möglichst klein zu

machen, verteilt man zweckmäßig die Erregerwicklung über ca.  $\frac{2}{3}$  der Polteilung; denn in diesem Falle wird  $f_{w3} = 0$  und das nächste Oberfeld, das fünfte, wird von einer maximalen MMK

$$\frac{0,637}{5} 0,165 i_e s_e q_e$$

erzeugt, während die maximale MMK des Grundfeldes pro Pol gleich  $0,637 \cdot 0,88 i_e s_e q_e$  ist, d. h. 25 mal größer als die des fünften Oberfeldes. Man kann somit im allgemeinen die Oberfelder vernachlässigen und erhält als maximale MMK des sinusförmigen Erregerfeldes pro magnetischen Kreis

$$AW_k = 2 \cdot 0,637 f_{w1} i_e s_e q_e = 1,27 f_{w1} i_e s_e q_e \quad . \quad (72)$$

und total

$$AW_t = 1,27 f_{w1} i_e s_e q_e p = 1,27 f_{w1} i_e w_e \dots (73)$$

wo  $w_e$  die in Serie geschaltete Windungszahl des Erregerstromkreises bedeutet.

Die resultierende MMK ist gleich der geometrischen Differenz zwischen  $AW_t$  und  $AW_r'$  (Fig. 92).

Das oben Gesagte gilt für die Dreiphasenmaschine und für das synchrone Drehfeld der Einphasenmaschine. Auf die Wirkung des inversen Drehfeldes bei der Einphasenmaschine mit Vollpolen haben wir im Kap. I hingewiesen.

Den Spannungsabfall, der vom effektiven Widerstande der Ankerwicklung  $r_a$  herrührt, berücksichtigen wir in derselben Weise wie bei der Maschine mit ausgeprägten Polen.

Man kann setzen

$$\left. \begin{array}{l} \text{für die Dreiphasenmaschine} \\ r_a = (1,2 \text{ bis } 1,5) r_g \\ \text{und für die Einphasenmaschine} \\ r_a = (1,4 \text{ bis } 2,0) r_g \end{array} \right\} \dots \dots \dots (74)$$

## 24. Änderung der Klemmenspannung mit der Belastung.

In Fig. 92 ist das Spannungsdiagramm einer Vollpolmaschine bei Phasennacheilung des Stromes dargestellt. Die geometrische Differenz zwischen  $AW_t$  und  $AW_r'$  ergibt die resultierende MMK  $AW_t'$  bzw. den resultierenden Kraftfluß. Die pro Phase induzierte EMK

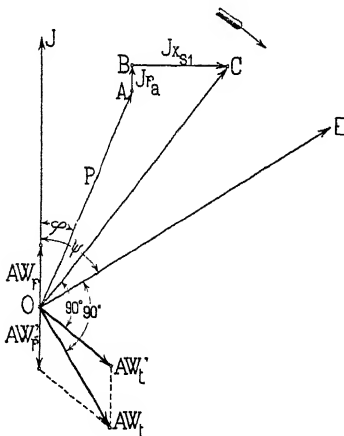


Fig. 92. Spannungs- und AW-Diagramm einer Maschine mit Vollpolen bei nach-eilendem Strom.

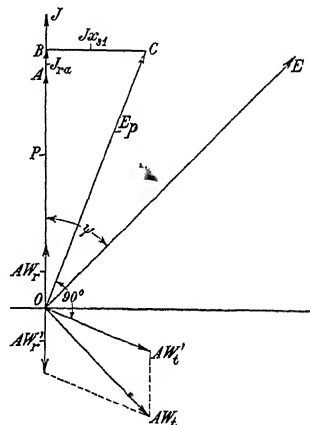


Fig. 93. Spannungsdiagramm einer Maschine mit Vollpolen bei induktionsfreier Belastung



$E = \overline{A_2 D}$  entnehmen. Es ist die prozentuale Spannungserhöhung

$$\varepsilon^0/\% = \frac{E - P}{P} 100.$$

b) Bestimmung des Spannungsabfalles (Fig. 96).

Gegeben sind  $E$ ,  $J$  und  $\cos \varphi$ . Wir begehen einen minimalen Fehler, wenn wir annehmen, daß der Winkel zwischen  $\overline{OC}$  und  $J$  (Fig. 92, 93, 94) annähernd derselbe ist, wie zwischen  $P = \overline{OA}$  und  $J$ . Wir setzen ihn gleich  $1,05 \varphi$  bei Phasennacheilung bzw.  $0,95 \varphi$  bei Phasenvoreilung des Stromes. In einem maßstablich aufgezeichneten Diagramm wird das sehr annähernd zutreffen, da  $Jr_a$  und  $Jx_{s1}$  nur wenige Prozente von  $P$  ausmachen.

Wir bestimmen nun den Spannungsabfall wie folgt. Wir machen in der Leerlaufcharakteristik  $\overline{A_2 D} = E$ , dann ist  $\overline{OA_2}$  gleich den Erreger-AW  $\overline{AW_t}$  (Fig. 95). Mit  $\overline{AW_t} = \overline{OL}$  (Fig. 96) schlagen wir von  $O$  aus einen Kreis. Da  $\overline{AW_t'}$  senkrecht auf  $\overline{E_p} = \overline{OC}$  steht und  $\overline{OC}$  nach unserer Annahme mit  $J$  den Winkel  $1,05 \varphi$  einschließt, so können wir die Richtung von  $\overline{AW_t'}$  bestimmen, indem wir eine Senkrechte zu  $\overline{OC}$  ziehen. Wir berechnen nun  $\overline{AW_r'} = \overline{OK}$

$$\overline{AW_r'} = 0,9 f_{w1} w m J$$

und ziehen durch  $k$  eine Parallele zu  $\overline{AW_t'}$  und finden Punkt  $L$ .  $\overline{OM}$  ist dann gleich  $\overline{AW_t'}$  der Größe und Richtung nach. Machen wir in der Fig. 95  $\overline{OA_1} = \overline{AW_t'}$ , so ist  $\overline{A_1 C} = \overline{E_p}$  der Größe nach. Wir berechnen jetzt  $Jr_a$  und  $Jx_{s1}$  und subtrahieren diese geometrisch von  $\overline{OC} = \overline{E_p}$ . Es ist dann  $\overline{OA} = P$  und der prozentuale Spannungsabfall

$$\varepsilon^0/\% = \frac{E - P}{E} 100.$$

## 25. Feldamperewindungen bei Leerlauf. Leerlaufcharakteristik.

Wir wollen zwei Fälle unterscheiden.

a) Der unbewickelte Teil der Polteilung erhält keine Nuten und bildet also einen breiten Zahn (Fig. 88).

Um die Leerlaufcharakteristik für diesen Fall zu berechnen, verfahren wir wie folgt. Wir berechnen zunächst zwei Übertrittscharakteristiken, d. h.

$$B_t = f(\overline{AW_{rr}} + \overline{AW_t} + \overline{AW_{zs}}),$$

eine für den breiten Zahn und eine für die schmalen Zähne. Wir nehmen also verschiedene Werte für  $B_i$  an und berechnen erstens

$$AW_i = 1,6 k_1 \delta B_i.$$

Der breite Zahn verhält sich gegenüber den Statorzähnen ähnlich wie ein ausgeprägter Pol. Wir können somit für ihn  $k_1$  in derselben Weise finden, wie für eine Maschine mit ausgeprägten Polen (S. 79). Komplizierter liegen die Verhältnisse für die schmalen Zähne. Um für diese  $k_1$  zu berechnen, denken wir uns (Fig. 97) durch den Luftspalt eine mit der Stator- und Rotoroberfläche konzentrische Zylinderfläche gelegt und berechnen die Leitfähigkeit zwischen dieser Zylinderfläche und den Oberflächen von Stator und Rotor<sup>1)</sup>. Die Abstände  $\delta_s$  und  $\delta_r$  berechnen wir in der Weise, daß

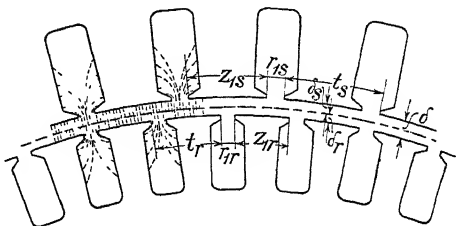


Fig 97.

$$\frac{r_{1s}}{\delta_s} = \frac{r_{1r}}{\delta_r} = \frac{r_{1s} + r_{1r}}{\delta} = \nu,$$

also

$$\delta_s = \frac{r_{1s} \delta}{r_{1s} + r_{1r}} \quad \delta_r = \frac{r_{1r} \delta}{r_{1s} + r_{1r}}$$

gesetzt wird. Für die Luftstrecken  $\delta_s$  und  $\delta_r$  berechnen wir nun mit Bezug auf die zwischengelegte Zylinderfläche in derselben Weise, wie auf S. 79 gegenüber der Fläche des ausgeprägten Poles, die Werte

$$k_s = \frac{t_s}{z_{1s} + X \delta_s} \quad \text{und} \quad k_r = \frac{t_r}{z_{1r} + X \delta_r}.$$

Hierin ist  $X$  der Kurve Fig. 67 für den Abszissenwert

$$\nu = \frac{r_{1s} + r_{1r}}{\delta}$$

zu entnehmen. Es ist dies die gleiche Kurve  $X$ , die sich für Maschinen mit körperlichen Polen als Funktion von  $\frac{t_1 - z_1}{\delta}$  ergab.

Wir können nun durch Hintereinanderschalten der beiden Strecken  $\delta_s$  und  $\delta_r$  den Faktor  $k_1$  berechnen, denn es ist der magnetische Widerstand des ganzen Luftspaltes

<sup>1)</sup> Siehe WT V. 1, S. 42



$$\frac{0,8 \delta k_1}{\tau l} = \frac{0,8 \delta_s k_s}{\tau l} + \frac{0,8 \delta_r k_r}{\tau l},$$

also

$$k_1 = \frac{\delta_s k_s + \delta_r k_r}{\delta} \quad . . . . . (75)$$

Wir sehen, daß die Formeln für  $k_s$  und  $k_r$  ein Spezialfall der Formel 75 sind, denn setzen wir z. B.  $r_{1s} = 0$ , so wird  $\delta_s = 0$ ,  $\delta_r = \delta$  und somit  $k_1 = k_r$ , was ja erforderlich ist.

Der Wert von  $k_1$  für die schmalen Zähne wird bedeutend größer als derjenige für den großen Zahn, denn der Luftwiderstand für die schmalen Zähne ist größer.

Man berechnet weiter die zu jedem Werte von  $B_i$  gehörigen  $AW_{zr}$  bzw.  $AW_{zs}$ .

Es ist

$$B_{z1} = B_i \frac{t_1 l_1}{z k_2 l};$$

im allgemeinen werden  $t_1$ ,  $z$ ,  $l$  und  $k_2$  für den Statorzahn, den schmalen und breiten Rotorzahn verschieden sein. Nach einer der

auf S. 80—85 angegebenen Methoden bestimmt man die zugehörigen  $B_{z1}$  bzw.  $aw_z$  und berechnet für den schmalen bzw. breiten Rotorzahn

$$AW_{zr} = L_{zr} aw_z,$$

und

$$AW_{zs} = L_{zs} aw_z.$$

Es sind die  $AW_{zr}$  ebenso wie die  $AW_i$  für den breiten und schmalen Rotorzahn verschieden.

In Fig. 98 sind die Übertrittscharakteristiken dargestellt. Man trägt am zweckmäßigsten

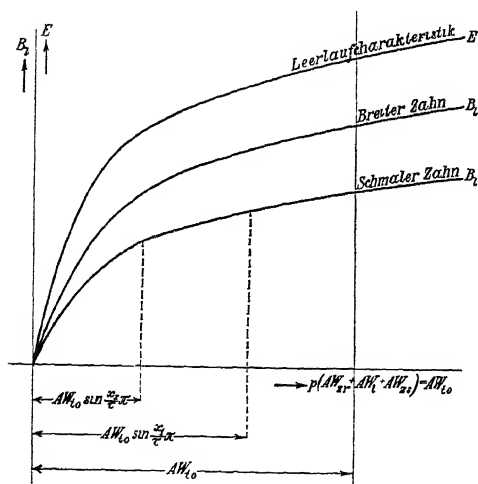


Fig. 98. Übertrittscharakteristiken einer Vollpolmaschine.

$$B_i = f[p(AW_{zr} + AW_i + AW_{zs})]$$

auf.

Vernachlässigen wir den magnetischen Widerstand des Stator- und Rotorkernes, was zulässig ist, so können wir mit Hilfe dieser beiden Übertrittscharakteristiken, die jetzt  $B_i$  als Funktion von  $AW_{t0}$  darstellen, die Magnetisierungskurve der Maschine



kommende Teilung des betreffenden Zahnes ist, und mit Hilfe der gefundenen  $B_z$  kann man dann die aus den einzelnen Rotorzähnen austretenden Kraftflüsse bestimmen. Summiert man die Kraftflüsse, die aus den Zähnen nur eines Poles austreten, so ergibt sich der Kraftfluß pro Pol  $\Phi_a$ .

Es ist weiter

$$E_p = 4 f_B f_w c w \Phi_a 10^{-8} \text{ Volt.}$$

Infolge der Zahnsättigung wird die Feldkurve von der Sinusform abweichen, obwohl die MMK-Kurve als sinusförmig angenommen ist. Wir können uns diese Feldkurve in eine Grundharmonische aufgelöst denken, über die sich eine dritte Harmonische lagert; auf die verkettete Spannung hat aber diese letzte keinen Einfluß. Wir können daher setzen

$$f_B = 1,11 \quad \text{und} \quad f_w = f_{w1}.$$

Führen wir diese Rechnung für mehrere  $AW_{t0}$  durch und tragen die gefundenen  $E_p$  als Funktion von  $AW_{t0}$  auf, so erhalten wir die gesuchte Leerlaufcharakteristik der Maschine (Fig. 98). Damit die Spannungsänderungen beim Übergang von Leerlauf zur Belastung und umgekehrt nicht zu groß werden, soll der den normalen Verhältnissen entsprechende Teil der Leerlaufcharakteristik nicht unter dem Knie liegen. Man wird aus diesem Grunde eine hohe Zahnsättigung im Rotor wählen. Wird die Maschine mit einer selbsttätigen Regulierung versehen, so können die Sättigungen des ganzen magnetischen Kreises klein gewählt werden.

b) Der Rotor erhält Nuten längs des ganzen Umfangs und nur  $\frac{2}{3}$  der Nuten pro Pol werden bewickelt (Fig. 89). In diesem Falle ist die magnetische Leitfähigkeit längs des ganzen Rotorumfanges die gleiche. Man braucht also nur eine Übertrittscharakteristik zu berechnen. Mit dieser führt man dann die Rechnung in derselben Weise durch wie unter Fall a).

Es ist in diesem Falle auch möglich, die Rechnung so durchzuführen, wie bei einer Asynchronmaschine.<sup>1)</sup>

## 26. Feldamperewindungen bei Belastung.

Um die Feldamperewindungen, die bei einem gegebenen  $J$  und  $\cos \varphi$  die nötige Klemmenspannung  $P$  erzeugen sollen, zu bestimmen, verfährt man in ähnlicher Weise, wie bei der Bestimmung der Spannungserhöhung. Man berechnet zunächst  $Jr_a$  und  $Jx_{s1}$ . Im Diagramm Fig. 100 addiert man zu  $\overline{OA} = P$  geometrisch  $Jr_a$  und  $Jx_{s1}$ .

<sup>1)</sup> Siehe WT Bd. V. 1, S. 36.

Die Resultierende  $\overline{OC}$  ist die pro Phase wirklich induzierte EMK  $E_p$ . Macht man in der Leerlaufcharakteristik Fig. 101  $\overline{A_1C} = \overline{OC}$ , so stellt  $\overline{OA_1}$  die wirksamen Amperewindungen  $AW'_t$  dar. Man trägt  $AW'_t$

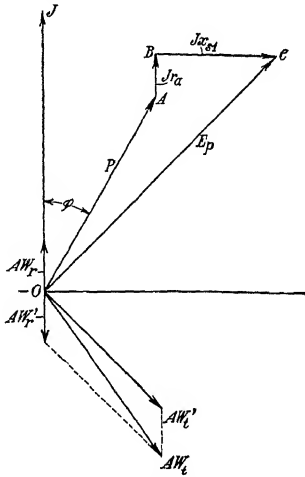


Fig. 100. Bestimmung der Feld-AW einer Vollpolmaschine bei Belastung.

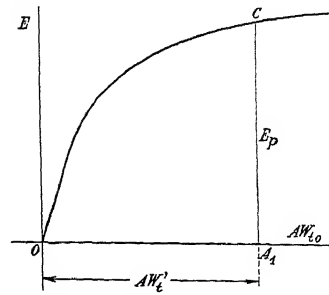


Fig. 101

in das Diagramm Fig. 100 ein, senkrecht zu  $\overline{OC} = E_p$ . Die gesuchten Feldamperewindungen bei Belastung  $AW'_t$  erhält man, wenn man die geometrische Summe aus  $AW'_t$  und

$$AW'_r = 0,9 f_{w1} m J w$$

bildet.

## Fünftes Kapitel.

# Charakteristische Kurven eines Wechselstrom- generators.

27. Berechnung der äußeren Charakteristik. — 28 Kurzschlußcharakteristik.  
29 Belastungscharakteristiken. — 30 Berechnung der Regulierungskurven.

Die Berechnung der Leerlaufcharakteristik einer Maschine mit ausgeprägten Polen bzw. einer Vollpolmaschine ist in den Kap. III und IV angegeben worden.

### 27. Berechnung der äußeren Charakteristik.

Die Kurve, die bei konstanter Erregung und konstanter Tourenzahl die Abhängigkeit der Klemmenspannung  $P$  vom Belastungsstrom darstellt, bezeichnet man als äußere Charakteristik. Man kann sie berechnen, indem man entweder vom Leerlaufzustande ausgeht und sich die Maschine allmählich belastet denkt oder vom Belastungszustand und die Maschine allmählich entlastet denkt. In Fig. 102 sind die äußeren Charakteristiken für Phasengleichheit und Phasennacheilung des Stromes gegenüber der Klemmenspannung aufgezeichnet. Der Spannungsabfall nimmt nicht proportional mit  $J$ , sondern

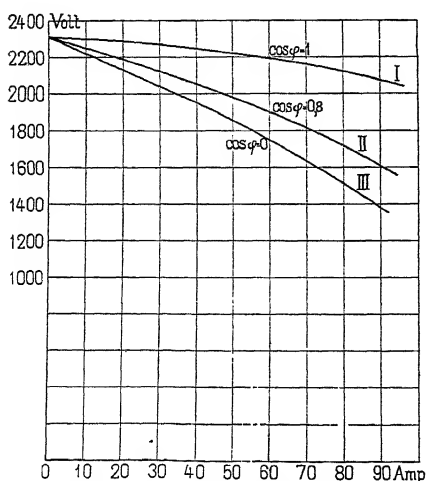


Fig. 102. Äußere Charakteristiken einer Synchronmaschine.

rascher zu, d. h. die Kurven kehren ihre konkave Seite gegen die Abszissenachse.

### a) Genaue graphische Berechnung der äußeren Charakteristik.

Wir wollen zunächst die äußere Charakteristik beim Belasten der Maschine berechnen. Die Leerlaufcharakteristik wird hierbei als bekannt vorausgesetzt.

Der Leistungsfaktor  $\cos \varphi$  wird für jede Kurve konstant gehalten; man berechnet gewöhnlich die äußere Charakteristik für verschiedene Leistungsfaktoren, z. B.  $\cos \varphi = 1, 0,8$  und  $0$ .

Zur Berechnung der den einzelnen Belastungsströmen  $J$  entsprechenden Klemmenspannungen  $P$  haben wir in derselben Weise zu verfahren, wie bei Bestimmung des Spannungsabfalles S. 62.

Wir berechnen zunächst für verschiedene Ströme die Größen  $Jr_a, Jx_{s1} + E'_s$  und für einen, z. B. den normalen Strom

$$\frac{AW_g}{\cos \psi} = k_q f_{w1} w m J.$$

Der Leerlaufcharakteristik entnimmt man dann für diesen Strom den Wert  $\frac{E_{s3}}{\cos \psi}$  (Fig. 54) und die zum konstanten Erregerstrom gehörige konstante EMK  $E = P_0$ .

Da die Leerlaufcharakteristik auf ihrem unteren Teile geradlinig verläuft, ist

$$\frac{E_{s3}}{J \cos \psi} = x_{s3}$$

eine konstante Größe und wir können für die verschiedenen Ströme  $\frac{E_{s3}}{\cos \psi} = Jx_{s3}$  berechnen.

Die zu irgend einem Belastungsstrom  $J$  zugehörige Klemmenspannung ergibt sich nun wie folgt (Fig. 55). Wir schlagen mit  $\overline{OF} = P_0$  als Radius um  $O$  einen Kreis und von irgend einem Punkte  $A'$  der Linie  $\overline{OA}$ , deren Richtung durch den Winkel  $\varphi$  bestimmt ist, tragen wir in Richtung von  $J$   $\overline{A'B'} = Jr_a$  und senkrecht dazu  $\overline{B'F'} = Jx_{s1} + E'_s + \frac{E_{s3}}{\cos \psi}$  an. Die Parallele zu  $\overline{OA}$  durch den Endpunkt  $F'$  schneidet den Kreis in  $F$ . Konstruieren wir von  $F$  ausgehend einen zum Linienzug  $\overline{F'B'A'}$  parallelen Linienzug  $\overline{FBA}$ , so ist  $\overline{OA}$  die gesuchte Klemmenspannung. Mittels der so gefundenen Klemmenspannung und der Leerlaufcharakteristik kann man rückwärts  $E = P_0$  bestimmen und durch nochmalige Rechnung genauer die Klemmenspannung ermitteln.

Für jede Belastung ist diese Konstruktion zu wiederholen. In dieser Weise wurden z. B. bei verschiedenen Belastungen und  $\cos \varphi = 0,8$  die Klemmenspannungen ermittelt und als Funktion der Belastungsstromstärke aufgetragen; die dadurch entstandene Kurve II (Fig. 102) ist die äußere Charakteristik für  $\cos \varphi = 0,8$ . Bei induktionsfreier Belastung, d. h.  $\cos \varphi = 1$ , und bei rein induktiver Belastung, d. h.  $\cos \varphi = 0$ , erhält man in gleicher Weise die Kurve I bzw. Kurve III. Diese Methode ist umständlich, und da für viele Zwecke eine angenäherte Methode ausreicht, soll im folgenden eine solche angegeben werden.

### b) Angenäherte graphische Berechnung der äußeren Charakteristik.

Für die EMK  $\overline{OD}$  (Fig. 55) folgt aus Fig. 56 S. 64

$$\overline{OD} = P \cos \Theta + Jr_a \cos \psi + (Jx_{s1} + E_s') \sin \psi.$$

Wir können mit großer Annäherung setzen

$$\overline{OD} = P + J(r_a \cos \varphi + x_{s1} \sin \varphi)$$

oder, da  $\overline{OD} = E - E_{s2}$

$$P = E - E_{s2} - J(r_a \cos \varphi + x_{s1} \sin \varphi) \quad . \quad . \quad (76)$$

Zur Bestimmung von  $E_{s2}$  müssen wir  $AW_e$  kennen. Wir berechnen zunächst für den Normalstrom nach Gl. 39, S. 64

$$\psi = \varphi + \Theta = \varphi + \frac{180}{\pi} \cos \varphi \frac{Jx_{s1} + E_s' - Jr_a \operatorname{tg} \varphi + \frac{E_{s3}}{\cos \psi}}{E}$$

und daraus

$$AW_e = k_0 f_{w1} m v J \sin \psi.$$

$\frac{E_{s3}}{\cos \psi}$  ebenso wie  $E$  entnimmt man der Leerlaufcharakteristik

entsprechend den Abszissen  $\frac{AW_a}{\cos \psi}$  und  $i_e w_e$ , wobei  $i_e$  den konstanten Erregerstrom bedeutet. Um nun  $P$  für verschiedene Belastungen zu bestimmen, trägt man in der Leerlaufcharakteristik (Fig. 103) die konstanten Erregeramperewindungen gleich  $\overline{OP}$  ab und subtrahiert davon die entmagnetisierenden Amperewindungen  $AW_e = \overline{PQ}$ .  $\overline{PA}$  ist die Klemmenspannung bei Leerlauf, d. h. die induzierte EMK  $E$ .  $\overline{AB}$  ist die EMK  $E_{s2}$ . Subtrahieren wir nun von

$$\overline{PB} = \overline{QD} = E - E_{s2}$$

den dem Strome  $J$  proportionalen Spannungsabfall

$$\overline{BC} = J(r_a \cos \varphi + x_{s1} \sin \varphi),$$

so erhalten wir die Klemmenspannung  $\overline{PC}$ , die dem Strome  $J$  entspricht. Indem wir  $\overline{PC}$  als Funktion von  $J$  links von der Ordinatenachse auftragen, erhalten wir einen Punkt  $F$  der äußeren Charakteristik.

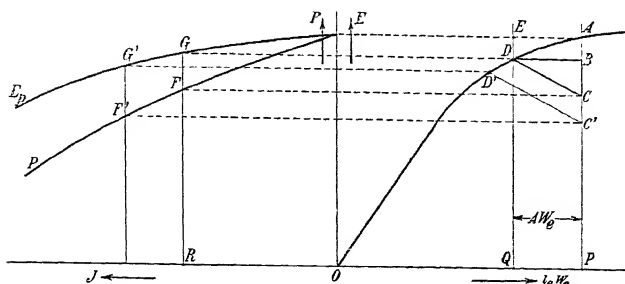


Fig. 103. Angenäherte graphische Berechnung der äußeren Charakteristik.

Um diese Konstruktion für weitere Punkte möglichst einfach zu gestalten, nehmen wir an, daß sich  $\overline{AW_e}$  und die Spannungskomponente  $\overline{BC}$  proportional mit dem Belastungsstrom ändern. Dies ist nicht ganz richtig; denn der innere Phasenverschiebungswinkel  $\psi$  ändert sich mit der Belastung. Derselbe ist bei kleineren Belastungen kleiner und bei Überlastungen größer als der angenommene Wert, der mit dem bei Normallast übereinstimmt. Die durch diese kleine Ungenauigkeit entstehenden Fehler sind jedoch nicht groß und können bei diesem einfachen Verfahren vernachlässigt werden. Da die Änderung von  $\overline{BC}$  und  $\overline{BD}$  proportional mit dem Belastungsstrom  $J$  vor sich geht, so variiert auch  $\overline{CD}$  proportional mit  $J$ , infolgedessen verschiebt sich beim Verändern des Belastungsstromes die Gerade  $\overline{CD}$  parallel zu sich selbst. Wir erhalten nun einen weiteren Punkt der äußeren Charakteristik, indem wir auf der Leerlaufcharakteristik einen beliebigen Punkt, z. B.  $D'$ , annehmen, durch ihn eine Parallele zu  $\overline{DC}$  ziehen und sie zum Schnitt mit der Geraden  $\overline{PA}$  bringen. Wegen der Proportionalität von  $\overline{CD'}$  mit dem Belastungsstrom  $J$  können wir die  $\overline{CD'}$  entsprechende Stromstärke rechnerisch oder graphisch leicht bestimmen; sie sei  $J'$ .  $\overline{PC'}$  stellt die Klemmenspannung dar, die dem Belastungsstrom  $J'$  entspricht.

Wir tragen nun links von der Ordinatenachse die Klemmenspannung als Funktion von  $J'$  ab und erhalten so den Punkt  $F'$  der äußeren Charakteristik. Auf diese Weise können wir beliebige viele Punkte der äußeren Charakteristik bestimmen.

Wenn man ferner durch den Punkt  $D$  eine Parallele zur Abszissenachse zieht und diese mit  $\overline{RF}$  zum Schnitte bringt, so



bekommen wir den Punkt  $G$  der Kurve der induzierten EMK  $\overline{OD} \cong \overline{OC} = E_p$  (Fig. 65). Diese vereinfachte Konstruktion der äußeren Charakteristik stimmt vollständig mit derjenigen einer fremderregten Gleichstrommaschine überein<sup>1)</sup>.

Wünscht man die äußere Charakteristik beim Entlasten der Maschine zu konstruieren, so bestimmt man zuerst die Erregung, die nötig ist, um bei Belastung die normale Klemmenspannung zu erhalten, von der wir ausgehen werden. Kennt man diese Felderregung, die konstant gehalten wird, so ist der Punkt  $A$  der Leerlaufcharakteristik (Fig. 103) bekannt und es kann nun die äußere Charakteristik in derselben Weise wie oben bestimmt werden. Die äußere Charakteristik beim Entlasten entspricht einer größeren Sättigung des Magnetsystems als die, die beim Belasten der Maschine aufgenommen wird. Deshalb erhält man auch stets eine kleinere Spannungsvariation durch Entlasten als durch Belasten einer Maschine, wenn man in beiden Fällen von derselben Spannung ausgeht; d. h. die Spannungserhöhung ist stets kleiner als der Spannungsabfall.

c) Analytische Berechnung der äußeren Charakteristik unter Annahme einer konstanten Reaktanz.

In Fig. 104 ist das Spannungsdiagramm für diesen Fall aufgetragen. Aus diesem folgt

$$\begin{aligned} E^2 &= (P \cos \varphi + Jr_a)^2 + (P \sin \varphi + Jx_a)^2 \\ &= P^2 + J^2 z_a^2 + 2PJ(r_a \cos \varphi + x_a \sin \varphi), \end{aligned}$$

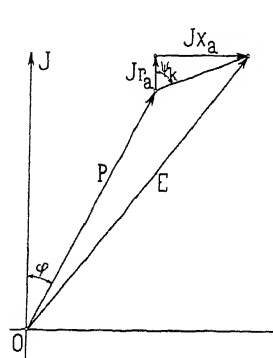


Fig. 104. Spannungsdiagramm einer Maschine mit konstanter Reaktanz.

wo  $z_a = \sqrt{r_a^2 + x_a^2}$  die konstante innere Impedanz des Generators bedeutet.

Hieraus folgt, daß die Klemmenspannung  $P$  als Funktion der Stromstärke  $J$  aufgetragen einen Teil einer Ellipse liefert. Anstatt nun die Werte  $P$  und  $J$  direkt aufzutragen, trägt man nach Ölschlager die Werte  $\frac{P}{E}$  und  $\frac{J}{J_k}$ , d. h. die Klemmenspannung dividiert durch die Leerlaufspannung und die Stromstärke dividiert durch die Kurzschlußstromstärke  $J_k$  auf. — Bei Division beider Seiten der obigen Gleichung durch  $E^2$  erhält man

<sup>1)</sup> Siehe E. Arnold, „Die Gleichstrommaschine“, Bd. I.

$$1 = \left(\frac{P}{E}\right)^2 + \frac{J^2 z_a^2}{E^2} + 2 \frac{P}{E} \frac{J}{E} (r_a \cos \varphi + x_a \sin \varphi).$$

Da die Kurzschlußstromstärke  $J_k = \frac{E}{z_a}$  und  $r_a = z_a \cos \psi_k$  und  $x_a = z_a \sin \psi_k$  ist, geht die Gleichung über in

$$1 = \left(\frac{P}{E}\right)^2 + 2 \left(\frac{P}{E}\right) \left(\frac{J}{J_k}\right) \cos(\psi_k - \varphi) + \left(\frac{J}{J_k}\right)^2 \quad . \quad . \quad (77)$$

Diese stellt eine Schar von Ellipsen dar, die unter der obigen Annahme für alle Maschinen Gültigkeit haben.

Die Hauptachsen sämtlicher Ellipsen sind um  $45^\circ$  gegen die Achsen des Koordinatensystems gedreht.

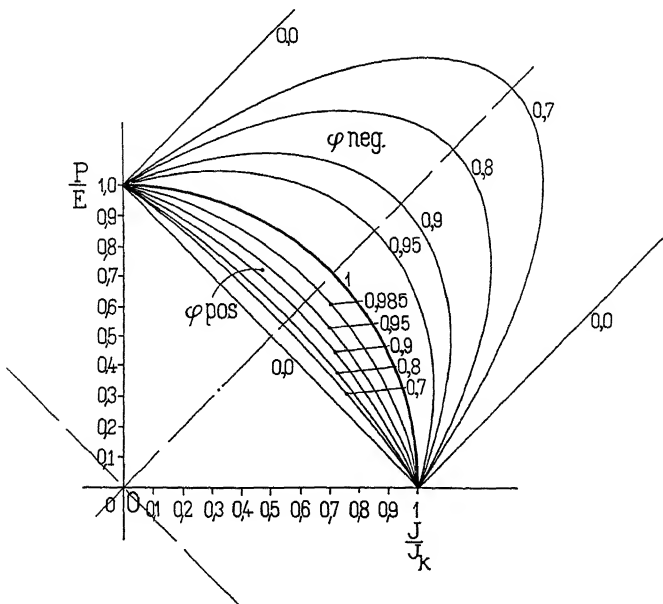


Fig. 105. Olschlagersche Ellipsen. Äußere Charakteristiken einer Synchronmaschine unter Annahme einer konstanten Reaktanz.

Der Phasenverschiebungswinkel  $\psi_k$  bei Kurzschluß liegt gewöhnlich zwischen  $80^\circ$  und  $90^\circ$ . Einige dieser Ellipsen sind in Fig. 105 dargestellt, und zwar erhalten wir für die Werte

$$a) \cos(\varphi + \frac{\pi}{2} - \psi_k) = 1 \text{ oder } -\varphi = \frac{\pi}{2} - \psi_k \text{ einen Kreisbogen.}$$

In diesem Falle ist somit  $\varphi$  ein kleiner negativer Winkel, d. h.  $J$  ist gegen  $P$  voreilend.

$$\begin{array}{ll}
 \text{b) } \varphi \text{ positiv und } \cos\left(\varphi + \frac{\pi}{2} - \psi_k\right) = 0,985 & \left. \begin{array}{l} \\ \\ \\ \\ \end{array} \right\} (\varphi \cong 0) \\
 & \begin{array}{l} 0,95 \\ 0,90 \\ 0,80 \\ 0,70 \\ 0,00 \end{array} \left. \begin{array}{l} \\ \\ \\ \\ \end{array} \right\} \begin{array}{l} \text{innere Ellipsen} \\ \\ \\ \text{gerade Linie} \end{array} \\
 \\
 \text{c) } \varphi \text{ negativ und } \cos\left(\varphi + \frac{\pi}{2} - \psi_k\right) = 0,95 & \left. \begin{array}{l} \\ \\ \\ \end{array} \right\} \\
 & \begin{array}{l} 0,90 \\ 0,80 \\ 0,70 \\ 0,00 \end{array} \left. \begin{array}{l} \\ \\ \\ \end{array} \right\} \begin{array}{l} \text{äußere Ellipsen} \\ \\ \text{zwei gerade Linien.} \end{array}
 \end{array}$$

Die Kurven zeigen, daß die Spannungsänderung in der Nähe des Wertes  $\cos\left(\varphi + \frac{\pi}{2} - \psi_k\right) = 1$  schon bei kleinen Änderungen dieses Wertes groß sind.

Ist die innere Impedanz  $z_a$  eines Generators sehr klein gegenüber derjenigen des Belastungsstromkreises, so wird der Kurzschlußstrom  $J_k$  viel größer als der normale Belastungsstrom. In diesem Falle wird die Spannung  $P$  nicht stark von der EMK  $E$  abweichen, d. h. eine Maschine mit verhältnismäßig kleiner innerer Impedanz oder großem Kurzschlußstrom arbeitet bei konstanter Felderregung mit beinahe konstanter Klemmenspannung.

Ist dagegen die synchrone Reaktanz  $x_a$  sehr groß gegenüber dem äußeren Widerstande, so wird der Strom  $J$  fast konstant. Bei induktionsfreier Belastung mit dem Widerstande  $r$  wird in diesem Falle die Klemmenspannung

$$P = Jr = \frac{Er}{\sqrt{(r_a + r)^2 + x_a^2}} \cong \frac{E}{x_a} r,$$

d. h. angenähert proportional dem Widerstande der äußeren Belastung. Derartige Maschinen wurden früher von Jablotschkoff und Gramme zur Speisung von Bogenlampen angewandt, weil man bei Serieschaltung von Bogenlampen auf konstanten Strom regulieren muß.

Alle modernen Generatoren dagegen werden mit kleiner innerer Impedanz gebaut, da die Stromverbraucher parallel geschaltet werden und deswegen die Spannung an den Klemmen möglichst konstant zu halten ist.

## 28. Kurzschlußcharakteristik.

Die Kurzschlußcharakteristik stellt den Ankerstrom  $J$  als Funktion des Erregerstromes  $i_e$  oder der Feld-AW  $i_e w_e$  bei kurzgeschlossenen Ankerklemmen und konstanter Tourenzahl dar.

Man erhält hierbei das Spannungsdiagramm Fig. 106. Die Klemmenspannung  $P$  ist gleich Null. Die in der Ankerwicklung induzierte EMK  $\overline{OC} = Jz_k$  wird gleich der Resultierenden der beiden Spannungskomponenten  $Jr_a$  und  $Jx_{s1}$ .

Der innere Phasenverschiebungswinkel  $\psi_k$  ist infolge der stark induktiven Belastung bei Kurzschluß nahezu gleich  $90^\circ$ . Man kann daher  $\cos \psi_k \cong 0$  und  $\sin \psi_k \cong 1$  setzen, d. h. man hat bei Kurzschluß fast kein quermagnetisierendes, sondern hauptsächlich ein entmagnetisierendes Feld, und das obige Kurzschlußdiagramm kann mit genügender Genauigkeit durch das in Fig. 107 dargestellte, wo  $E_{s3} = 0$ , ersetzt werden.

Um die zur Erzeugung des Kurzschlußstromes  $J$  nötige Felderregung zu ermitteln, trägt man  $\overline{OC}$  aus Fig. 107 in die Leerlaufcharakteristik, Fig. 108, gleich  $\overline{A_1 B_1} = Jz_k$  ein, und macht

$$AW_e = k_0 f_{w1} m w J \sin \psi_k = \overline{A_1 C_1},$$

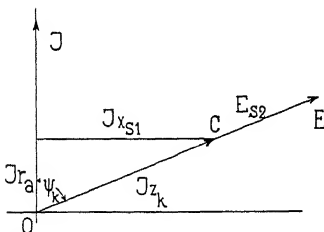


Fig. 107. Kurzschlußdiagramm.

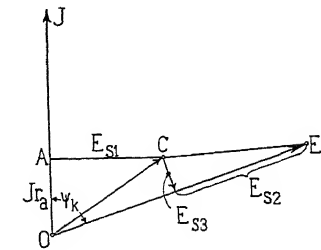


Fig. 106 Spannungsdiagramm der Synchronmaschine bei Kurzschluß.

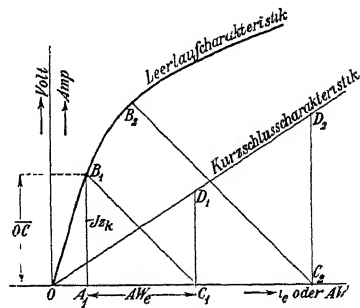


Fig. 108. Ermittlung der Kurzschlußcharakteristik.

$\overline{OC_1}$  ist dann die nötige Felderregung zur Erzeugung des Kurzschlußstromes  $J$ . Trägt man im Punkte  $C_1$  den Kurzschlußstrom als Ordinate  $\overline{C_1 D_1}$  auf, so hat man einen Punkt der Kurzschlußcharakteristik.

Da die Kurzschlußimpedanz  $z_k$  eine konstante Größe und  $\psi_k$  auch konstant ist, sind die Winkel des Dreiecks  $A_1 B_1 C_1$  von der Stromstärke  $J$  unabhängig und die Strecke  $\overline{B_1 C_1}$  ist ihr proportional. Wir erhalten somit einen weiteren Punkt der Kurzschlußcharakteristik, wenn wir irgendein  $i_e$  (oder  $AW$ ) annehmen, z. B.  $\overline{OC_2}$  und von  $C_2$  aus eine Parallele zu  $\overline{B_1 C_1}$  bis zum Schnitt mit der Leerlaufcharakteristik ziehen. Der zu den  $AW$   $\overline{OC_2}$  zugehörige Kurzschlußstrom ist dann gleich

$$\overline{C_2 D_2} = \overline{C_1 D_1} \frac{\overline{C_2 B_2}}{\overline{C_1 B_1}}.$$

Verbindet man alle Punkte  $D$ , so erhält man eine fast geradlinige Kurve durch den Koordinatenanfangspunkt.

## 29. Belastungscharakteristiken.

Häufig berechnet man noch die Belastungscharakteristik der Generatoren bei verschiedenen Leistungsfaktoren; diese Kurven

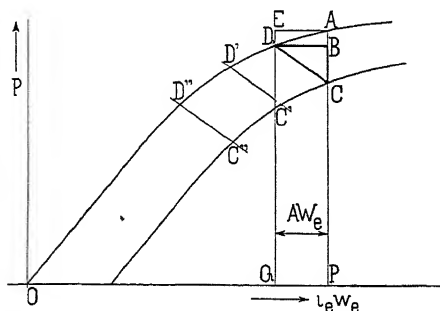


Fig. 109. Belastungscharakteristik.

haben aber wenig praktische Bedeutung. Die Belastungscharakteristik stellt die Klemmenspannung der Maschine als Funktion des Erregerstromes bei konstanter Ankerstromstärke und konstantem Leistungsfaktor dar. Wenn es nicht auf große Genauigkeit ankommt, kann die Konstruktion in der Weise vereinfacht werden, daß man (s. Fig. 109) die

entmagnetisierenden Ampereumwindungen

$$AW_e = k_0 f_{w1} m w J \sin \varphi = \overline{AE}$$

direkt von den gegebenen Feldampereumwindungen  $\overline{OP}$  subtrahiert und die den resultierenden Ampereumwindungen  $\overline{OQ}$  entsprechende EMK  $\overline{QD} = \overline{PB}$  um die Spannungskomponente  $\overline{BC} = J(r_a \cos \varphi + x_{s1} \sin \varphi)$  verkleinert, wodurch sich nach Gl. 76 die Klemmenspannung  $\overline{PC} = P$  ergibt.

Machen wir nun ferner die Annahme, daß die Spannungskomponente  $\overline{BC}$  und die entmagnetisierenden Ampereumwindungen  $AW_e$  bei derselben Stromstärke konstant sind, was bei den größeren Spannungen angenähert der Fall ist, so wird das Dreieck  $BCD$

unabhängig von der Felderregung. Wir verschieben nun das Dreieck  $BCD$  so parallel zu sich selbst, daß der Punkt  $D$  sich auf der Leerlaufcharakteristik bewegt. Dann beschreibt der Punkt  $C$  die gesuchte Belastungscharakteristik. Dieselbe stimmt mit der wirklichen, auf dem unteren Teil nicht genau überein, weil  $\overline{BC}$  und  $AW_e$  hier nicht konstant sind.

Besonders interessant ist die Belastungscharakteristik bei  $\cos \psi = 0$ ; denn in dem Falle wird die Spannungskomponente  $\overline{BC} = Jx_{s1} = \text{konstant}$  und  $AW_e = k_0 f_{w1} m J w = \text{konstant}$  und somit das Dreieck  $BCD$  vollständig unabhängig von der Spannung. Die Bedeutung dieser Kurve ebenso wie der Kurzschlußcharakteristik zur experimentellen Bestimmung der Reaktanz  $x_{s1}$  werden wir im Kapitel XXIII ersehen.

### 30. Berechnung der Regulierungskurven.

Bei der Vorausberechnung einer Maschine hat ferner die Regulierungskurve Interesse, wenn man die Spannung der Maschine automatisch regulieren will. Diese Kurve stellt die Erregerstromstärke als Funktion der Ankerstromstärke dar bei Konstanthaltung der Klemmenspannung, des Leistungsfaktors und der Tourenzahl.

Berechnet man z. B. bei  $\cos \varphi = 0,8$  und für verschiedene Stromstärken die Feldamperewindungen, die nötig sind, um die konstante Klemmenspannung zu liefern, und trägt den Erregerstrom als Funktion des Ankerstromes auf, so erhält man die Kurve III (Fig. 110). In derselben Weise ergeben sich die Regulierungskurven I und II bei induktionsfreier und induktiver Belastung.

Da die Sättigung der Maschine sich von Leerlauf bis Belastung wenig ändert, so kann der Erregerstrom bei Belastung  $i_{eb}$  wie folgt ausgedrückt werden:

$$i_{eb} = i_{e0} + i_w + i_{wl} \dots \dots \dots (78)$$

$i_{e0}$  ist der Erregerstrom bei Leerlauf,  $i_w$  die von dem Wattstrom  $J \cos \varphi$  und  $i_{wl}$  die von dem wattlosen Strome  $J \sin \varphi$  bedingte Er-

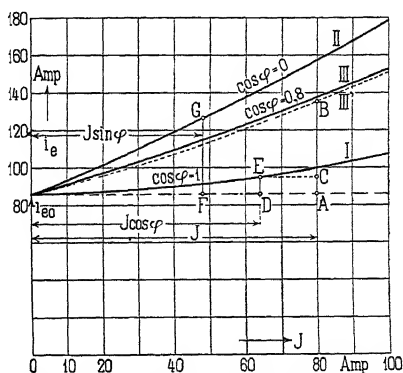


Fig. 110. Regulierungskurven eines Generators.

regungserhöhung.  $i_w$  und  $i_{wl}$  ergeben sich direkt aus den Kurven I und II der Fig. 110.

Addieren wir für irgend einen Leistungsfaktor diese beiden Ströme zu dem Leerlaufstrom, so erhalten wir den totalen Erregerstrom. Dies ist für  $\cos \varphi = 0,8$  geschehen. Um die Erregung für den Strom  $J$  zu finden, entnimmt man aus Kurve I die zusätzliche Erregung  $i_w = \overline{ED} = \overline{AC}$  für den Wattstrom  $J \cos \varphi$  und aus Kurve II die zusätzliche Erregung  $i_{wl} = \overline{FG} = \overline{CB}$  für den wattlosen Strom  $J \sin \varphi$  und addiert sie zum Erregerstrom bei Leerlauf. Die in dieser Weise erhaltene Kurve III' stimmt mit der graphisch ermittelten Kurve III gut überein.

Es läßt sich auch die Erregerstromstärke als Funktion des Ankerstromes analytisch ausdrücken. Für die EMK  $\overline{OD}$  haben wir auf S. 114 den folgenden Ausdruck abgeleitet (vgl. Fig. 56)

$$\overline{OD} = P \cos \Theta + J r_a \cos \psi + J x_{s1} \sin \psi.$$

Arbeiten wir auf dem unteren geradlinigen Teil der Leerlaufcharakteristik, wo der Erregerstrom der EMK proportional ist, so wird

$$i_e' = a \overline{OD} = a (P \cos \Theta + J r_a \cos \psi + J x_{s1} \sin \psi).$$

Wegen der entmagnetisierenden Amperewindungen

$$AW_e = k_0 f_{w1} m w J \sin \psi$$

ist der Erregerstrom  $i_e'$  noch um  $i_e''$  zu erhöhen; es ist

$$i_e'' = \frac{AW_e}{w_e} = b J \sin \psi.$$

Ferner bedingt die vermehrte Streuung auch eine Erhöhung oder Erreger  $AW$ , sie kann jedoch bei wenig gesättigten Maschinen vernachlässigt werden.

Der totale Erregerstrom bei Belastung wird somit gleich

$$i_{eb} = i_e' + i_e'' = a \left[ P \cos \Theta + J r_a \cos \psi + \left( x_{s1} + \frac{b}{a} \right) J \sin \psi \right].$$

In dem letzten Gliede dieses Ausdruckes muß  $\frac{b}{a}$  die Dim. einer Reaktanz haben; und zwar stellt  $x_{s1} + \frac{b}{a}$  die gesamte Reaktanz der Maschine dar. Es folgt daraus

$$\frac{x_{s1} + \frac{b}{a}}{r_a} = \operatorname{tg} \psi_k.$$

$Jr_a$  und  $J\left(x_{s1} + \frac{b}{a}\right)$  bilden miteinander einen Winkel von  $90^\circ$ .

Man kann somit, wie aus Fig. 111 ersichtlich, die zwei letzten Glieder des obigen Ausdruckes durch ein Glied ersetzen, indem man statt der Katheten die Hypotenuse einführt. Es wird

$$i_{eb} = a \overline{OE}$$

oder

$$i_{eb} = aP \cos \Theta + AJ \sin(\psi + \alpha) \quad (79)$$

wo

$$A = \sqrt{(ar_a)^2 + (ax_{s1} + b)^2}$$

und

$$\operatorname{tg} \alpha = \operatorname{tg} \left( \frac{\pi}{2} - \psi_k \right) = \frac{ar_a}{ax_{s1} + b}.$$

Die Konstanten  $a$  und  $A$  kann man wie folgt bestimmen.

Bezeichnet

$i_{e0}$  den Erregerstrom, der bei Leerlauf die EMK  $P_0$  induziert, und

$i_{ek}$  den Erregerstrom, der dem Kurzschlußstrom  $J_k$  entspricht,

so ergibt sich aus der obigen Gleichung

1. bei Leerlauf, wo  $J=0$  und  $\Theta \cong 0$  ist

$$i_{e0} = aP_0 \quad \text{oder} \quad a = \frac{i_{e0}}{P_0}$$

und

2. bei Kurzschluß, wo  $J=J_k$ ,  $P=0$ ,  $\psi=\psi_k$  und  $\alpha = \frac{\pi}{2} - \psi_k$  ist

$$i_{ek} = AJ_k \sin(\psi_k + \alpha) = AJ_k \quad \text{oder} \quad A = \frac{i_{ek}}{J_k}.$$

Es ist somit für eine schwachgesättigte Maschine

$$i_{eb} = i_{e0} \frac{P}{P_0} \cos \Theta + i_{ek} \frac{J}{J_k} \sin \left( \psi + \frac{\pi}{2} - \psi_k \right) \quad (80)$$

Diese Formel ist auch ohne weiteres verständlich, wenn man bedenkt, daß der Belastungszustand einer Maschine sich aus dem Leerlauf- und Kurzschlußzustand durch Superposition ableiten läßt.

Ist die Maschine stark gesättigt, so erhält man für den Erregerstrom mit großer Annäherung eine Formel analog der obigen

$$i_{eb} = aP \cos \Theta + BJ \sin(\psi + \beta) \quad (81)$$

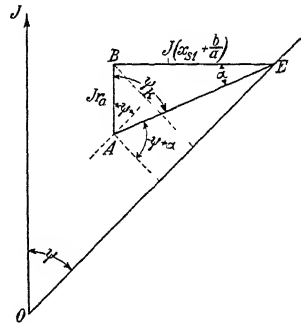


Fig. 111.



wo

$$a = \frac{i_e 0}{P_0}$$

und

$$B = \sqrt{(dr_a)^2 + (ex_{s1} + f)^2}$$

$$\operatorname{tg} \beta = \frac{dr_a}{ex_{s1} + f}.$$

In diesen Formeln sind  $d$  und  $e$  zwei  $a$  entsprechende Größen; es ist

$$d < a < e,$$

ferner ist

$$fJ \sin \psi = \frac{AW_e + \Delta AW}{w_e},$$

wo  $\Delta AW$  die wegen der vermehrten Steuerung bedingte Erhöhung der Erregeramperewindungen bedeutet. Wie aus der obigen Formel ersichtlich, ist der Erregerstrom bei Belastung nur abhängig von der Spannung, dem Strome und den Phasenverschiebungswinkeln  $\Theta$  und  $\psi$  bei Belastung.

Wünscht man, daß die Spannung an den Generatorklemmen mit der Belastung steigen soll, so kann dies durch eine Erhöhung des Erregerstromes geschehen. Eine derartige Spannungserhöhung mit der Belastung geschieht gewöhnlich, um die Spannung an einem entfernten Punkte konstant zu halten. Bei der Berechnung der Konstanten  $a$  und  $B$  der Formel sind in diesem Falle nicht allein der Widerstand  $r_a$  und die Reaktanz  $x_{s1}$  des Generators in Betracht zu ziehen, sondern auch die der Leitungen ( $r_l$  und  $x_l$ ), die den Generator mit dem Punkte verbinden, an dem die Spannung konstant gehalten werden soll. In den obigen Formeln ist dann überall  $r_a + r_l = r_1$  und  $x_{s1} + x_l = x_1$  statt  $r_a$  und  $x_{s1}$  einzuführen.

---

## Sechstes Kapitel.

# Die Erregung der synchronen Wechselstrommaschinen.

31. Verschiedene Arten der Erregung — 32. Regulierung der Erregung.

### 31. Verschiedene Arten der Erregung.

Die Erregung der synchronen Wechselstrommaschinen kann Fremderregung oder Selbsterregung sein.

a) **Fremderregung.** Der für die Erregung notwendige Gleichstrom wird einem etwa vorhandenen Gleichstromnetz oder besonderen Erregermaschinen entnommen; manchmal sind außerdem Akkumulatoren vorhanden.

Als Erregermaschinen werden hauptsächlich Nebenschlußmaschinen verwendet.

In vielen Fällen hat jeder Generator seine eigene Erregermaschine, die durch die gleiche Kraftmaschine angetrieben wird wie der Hauptgenerator und im allgemeinen direkt auf die Generatorwelle aufgesetzt ist. Man erhält so eine mechanisch gute Anordnung, dagegen bei langsam laufenden Generatoren auch langsam laufende und teure Erregermaschinen mit kleinem Wirkungsgrad.

Der Antrieb von Generator und Erregermaschine durch die gleiche Kraftmaschine hat den Nachteil, daß bei zunehmender Belastung die Tourenzahl und infolge davon auch die Erregerspannung sinkt. Ferner ist beim Anlassen der Maschine keine Erregung vorhanden. Wenn daher an einen Wechselstromgenerator Synchronmotoren oder große asynchrone Motoren ohne besondere Anlaßapparate angeschlossen sind, die gleichzeitig mit dem Generator anlaufen sollen, ist mindestens für die Anlaßperiode eine besondere unabhängige Gleichstromquelle vorzusehen. In größeren Zentralen, namentlich in solchen mit Turbinenantrieb, findet man häufig, daß für die Erregerdynamos besondere Kraftmaschinen aufgestellt

sind und sämtliche Generatoren von den gleichen Maschinen erregt werden.

Der Antrieb der Erregermaschinen durch Synchron- oder Asynchronmotoren ist in seiner Wirkungsweise dem Antrieb durch mechanische Kupplung mit dem Hauptmotor gleich, indem die Tourenzahl bei wachsender Belastung sinkt. Hier ist dann für das Inbetriebsetzen der ersten Maschine einer Zentrale gewöhnlich eine Akkumulatorenbatterie vorhanden, die während des Anlaufens den Erregerstrom liefert.

**b) Selbsterregung.** Die Selbsterregung der synchronen Wechselstrommaschinen wird mittels kommutiertem Wechselstrom bewirkt.

Wünscht man eine kleine Wechselstrommaschine mit Selbsterregung zu versehen, so wählt man am einfachsten die Außenpoltype und nimmt mittels eines gewöhnlichen Kommutators von einer auf dem Anker untergebrachten neben der Wechselstromwicklung liegenden Gleichstromwicklung den Erregerstrom ab.

In größeren Maschinen kann die Kommutation des Wechselstromes durch einen synchronlaufenden Kommutator oder durch rotierende Umformer oder mittels ruhender Gleichrichter erfolgen.

Von jeher ist man bestrebt gewesen, die synchronen Wechselstrommaschinen selbsterregend zu machen. Dies ist ganz erklärlich; denn in der ersten Zeit, wo Dynamomaschinen gebaut wurden, waren die Anlagen klein und die Notwendigkeit einer Erregermaschine mit Schalttafel verteuerte die sonst billigen Wechselstromanlagen. Heutzutage, wo hauptsächlich Wechselstrommaschinen bei großen Anlagen in Frage kommen, spielen die Kosten der Erregeraggregate eine untergeordnete Rolle. Da ferner auch gemischter Betrieb mit Gleichstrom und Mehrphasenstrom vielfach vorkommt, fühlt man heute die Fremderregung der Wechselstrommaschinen nicht mehr als eine Komplikation, sondern eher die Selbsterregung.

Für sich allein angewandt hat die Selbsterregung einen größeren Spannungsabfall zur Folge als es bei der Fremderregung sonst der Fall wäre.

So ist z. B. die Selbsterregung mit rotierendem Umformer in ihrer Wirkungsweise der Gleichstromnebenschlußmaschine ähnlich, indem der Erregerstrom mit der Spannung ebenfalls sinkt, so daß der Spannungsabfall noch vergrößert wird.

Auch für den Fall einer besonders angeordneten Hilfswicklung gilt dasselbe. Wird eine derartige Maschine induktiv belastet, so wird das Feld vom Hauptstrom geschwächt; dadurch sinkt die Erregerspannung und das Feld wird noch schwächer. Man erhält deswegen bei selbsterregten Wechselstrommaschinen einen potenzierten Spannungsabfall.

Was die selbsterregten Synchronmotoren anbelangt, so sind diese wegen des größeren Spannungsabfalls, den sie im Netze verursachen, weniger überlastungsfähig als fremderregte Synchronmotoren. Aus allen diesen Gründen wird heutzutage fast nur dann Selbsterregung angewandt, wenn gleichzeitig mittels Kompoundierung eine automatisch wirkende Spannungsregulierung der Maschine beabsichtigt ist.

## 32. Regulierung der Erregung.

Es wird heutzutage verlangt, daß die Klemmenspannung der Generatoren möglichst konstant sei. Die mit der Änderung der Belastung auftretende, von der Selbstinduktion und dem effektiven Widerstande der Ankerwicklung herrührende Spannungsänderung muß somit durch Änderung der Erregung ausgeglichen werden.

Bei Fremderregung wird die Erregung des Wechselstromgenerators dadurch reguliert, daß man entweder den Widerstand des Erregerkreises oder die Spannung der Erregermaschine verändert. Beide Methoden werden auch gleichzeitig angewandt, indem man die Änderung der Erregerspannung zur gröberen und die des Widerstandes zur feineren Regulierung benutzt.

Die Regulierung der Erregung durch Vorschaltwiderstände kommt vor allem stets dann allein in Betracht, wenn für die Erregung Hauptschlußmaschinen oder Akkumulatoren verwendet werden und wenn mehrere Generatoren von der gleichen Stromquelle oder von Sammelschienen aus erregt werden.

Die Regulierung durch Änderung der Erregerspannung ist allgemein gebräuchlich, wenn jeder Generator seine eigene Erregermaschine (mit Nebenschlußerregung) besitzt. Man legt den Regulierwiderstand in den Nebenschluß der Erregermaschine und bekommt daher nur kleine Stromstärken im Regulierkreis. Damit die Erregermaschine bei genügender Sättigung, d. h. stabil arbeitet, wird es oft nötig, auch in den Hauptstromkreis bzw. in den Erregerkreis der Wechselstrommaschine einen Widerstand einzuschalten.

Die Regulierung erfolgt entweder von Hand oder automatisch.

Die Handregulierung hat den großen Nachteil, daß die Spannung vom Schalttafelwärter erst reguliert werden kann, nachdem das Voltmeter die Schwankung angezeigt hat. Damit die momentanen Spannungsänderungen nicht zu groß werden, macht diese Methode Generatoren mit kleinen Spannungsänderungen und Antriebsmaschinen mit kleinem Tourenabfall nötig.

Um die Spannungsänderung klein zu halten, werden Wechselstromgeneratoren gewöhnlich mit einem relativ starken magnetischen

Felde und mit schwacher Ankerrückwirkung ( $AS$  klein) gebaut. Außerdem wird das Feldeisen stark gesättigt, so daß bei konstanter Klemmenspannung der Erregerstrom bei Vollast und  $\cos \varphi = 0,8$  nur etwa das 1,3 bis 1,6fache des Erregerstromes bei Leerlauf beträgt. Die starke Sättigung hat eine Zunahme der Erregerverluste zur Folge. Da außerdem der Anker nicht voll ausgenutzt werden kann, werden solche Maschinen teuer und haben einen kleineren Wirkungsgrad als Maschinen mit großen Spannungsänderungen. Durch diese sogenannte inherente Regulierungsmethode läßt sich aber die Spannungserhöhung nicht unter etwa 14 bis 18%, herunterdrücken, bei einem Leistungsfaktor von etwa 0,8. Deswegen sind in Betrieben mit sog. konstanten Spannungen Spannungsschwankungen von 3 bis 6% etwas Gewöhnliches, es kommen vielfach sogar erheblich größere Änderungen vor. Die Größe und Art des Betriebes angeschlossener Motoren ist hierbei von großem Einfluß.

Ein weiterer Nachteil der inherenten Regulierungsmethode bzw. der Generatoren mit kleinem  $AS$ , also kleiner Impedanz, besteht darin, daß Maschinen mit kleiner Impedanz große Kurzschlußströme ergeben, so daß die mechanische Beanspruchung der Maschine und der Ankerwicklung bei Kurzschlüssen gefährlich werden kann. Aus ökonomischen und betriebstechnischen Gründen ist somit eine automatische Spannungsregulierung sehr erwünscht.

Die automatische Spannungsregulierung gestattet, den Erregerstrom zwischen Leerlauf und Vollast auf das  $2\frac{1}{2}$  bis 3fache und noch höher zu steigern. Man darf daher automatisch regulierte Generatoren, konstante Erregung vorausgesetzt, für einen großen Spannungsabfall bauen. Man ist somit nicht mehr an eine hohe Sättigung des Feldsystems und kleine lineare Ankerbelastung ( $AS$ ) gebunden. Das ist besonders wichtig für Turbogeneratoren.

Infolge der gedungenen Bauart dieser Maschinen ist der für die Feldwicklung zur Verfügung stehende Platz nicht groß, außerdem sind wegen der kleineren Abkühlungsflächen die Abkühlungsverhältnisse schlechter.

Was die selbsterregten Wechselstrommaschinen anbetrifft, so werden diese aus früher angegebenen Gründen fast immer mit einer Compoundierung versehen.

Die verschiedenen Arten der selbsttätigen Regulierung und Compoundierung werden im nächsten Kapitel behandelt.

---

## Siebentes Kapitel.

### Selbsttätige Regulierung der synchronen Wechselstrommaschinen.

33 Einteilung der Anordnungen zur selbsttätigen Regulierung der synchronen Wechselstrommaschinen. — 34. Einteilung der elektromechanischen Regulatoren — 35. Die indirekt (mittelbar) wirkenden Regulatoren. — 36. Die direkt wirkenden Regulatoren. — 37. Die Schnellregulatoren. — 38. Einteilung der Compoundierungsanordnungen. — 39. Der Compoundtransformator. — 40. Kommutatoren zum Gleichrichten des Erregerstromes — 41. Umformer zum Gleichrichten des Erregerstromes — 42 Spezielle Erregermaschinen. — 43. Ruhende Einrichtungen zum Gleichrichten des Erregerstromes. — 44. Compoundierung durch Einführung des ruckwirkenden Stromes in die Erregermaschine (compoundierende Erregermaschine). — 45 Besondere Ausbildung der Generatorpole zur Compoundierung. — 46. Einrichtungen zur Beeinflussung der Erregermaschine durch den Ankerstrom.

#### 33. Einteilung der Anordnungen zur selbsttätigen Regulierung der synchronen Wechselstrommaschinen.

Wir haben im vorigen Kapitel gesehen, daß eine richtig funktionierende selbsttätige Spannungsregulierung aus wirtschaftlichen und betriebstechnischen Gründen sehr erwünscht ist. In der Tat bürgert sich heutzutage die selbsttätige Spannungsregulierung mehr und mehr ein.

Die verschiedenen Arten der automatischen Spannungsregulierung können wir in zwei Hauptgruppen einteilen:

- I. Elektromechanische Regulatoren und
- II. Compoundierungen.

Ein elektromechanischer Regulator besteht im Wesen aus einem Mechanismus, der bei normaler Spannung im Gleichgewicht ist, bei Spannungsänderungen jedoch aus dem Gleichgewicht kommt und durch die dabei freiwerdende Kraft (Verstellkraft des Regu-

lators) auf die Erregung des zu regulierenden Generators im geeigneten Sinne einwirkt.

Die Beeinflussung des Gleichgewichts des Mechanismus kann z. B. mit Hilfe eines Solenoides mit Eisenkern und die Einwirkung auf die Erregung des Generators z. B. durch Verstellen eines in den Erregerkreis geschalteten Regulierwiderstandes erfolgen.

Im Gegensatz hierzu besitzen die Regulieranordnungen, die man Kompoundierungen nennt, keinen Reguliermechanismus; die Regulierung erfolgt hier, je nach dem System, durch die Wirkung von Wicklungen, durch Benutzung der Ankerrückwirkung, durch geeignete Erregermaschinen (Umformer) oder Transformatoren.

Die Forderungen, die an eine gute Regulierung gestellt werden, sind eine exakte und rasche Ausregulierung der auftretenden Spannungsschwankungen. Außerdem soll die Regulieranordnung ansprechen bei allen Spannungsänderungen, gleichgültig ob sie von Änderungen der Belastung, des Stromes, der Tourenzahl oder der Erwärmung des Generators herrühren.

Es sollen nun im folgenden die Einrichtung, Arbeitsweise und Theorie der einzelnen Reguliersysteme kurz erläutert werden.

### 34. Einteilung der elektromechanischen Regulatoren.

Die elektromechanischen Regulatoren kann man, genau wie die Regulatoren der Wärme- und Wasserkraftmaschinen einteilen, in

- A. unmittelbar (direkt) wirkende und
- B. mittelbar (indirekt) wirkende

Regulatoren<sup>1)</sup>.

Dabei versteht man unter unmittelbar (direkt) wirkenden Regulatoren solche, die beständig mit dem Regulierwerk (hier Regulierwiderstand) verbunden sind und dieses (bei Spannungsänderung) mit der Kraft  $W$  (Verstellkraft) verstellen<sup>2)</sup>.

Mittelbar (indirekt) wirkende Regulatoren sind solche, die nur an den Hubgrenzen mittels der Kraft  $W$  (Verstellkraft) eine Hilfskraft (Servomotor) mit der Regelungsvorrichtung kuppeln<sup>2)</sup>. Wenn der Servomotor ein Elektromotor ist, dann ist die Kraft  $W$  der Kontaktdruck zum Einschalten des Motors.

Wegen der einfacheren Wirkungsweise sollen im folgenden zunächst die mittelbar wirkenden Regulatoren besprochen werden.

<sup>1)</sup> Siehe Dr.-Ing. A. Schwaiger, „Das Regulierproblem in der Elektrotechnik“, Teubner 1909.

<sup>2)</sup> Siehe „Hütte“, 20. Aufl., Bd. I, S. 906. Das in Klammern Stehende ist vom Verfasser zu der in der „Hütte“ l. c. stehenden Definition hinzugefügt.

### 35. Die indirekt (mittelbar) wirkenden Regulatoren.

Die Regulierungsanordnung mit einem indirekt wirkenden Regulator ist im Prinzip in Fig. 112 dargestellt.

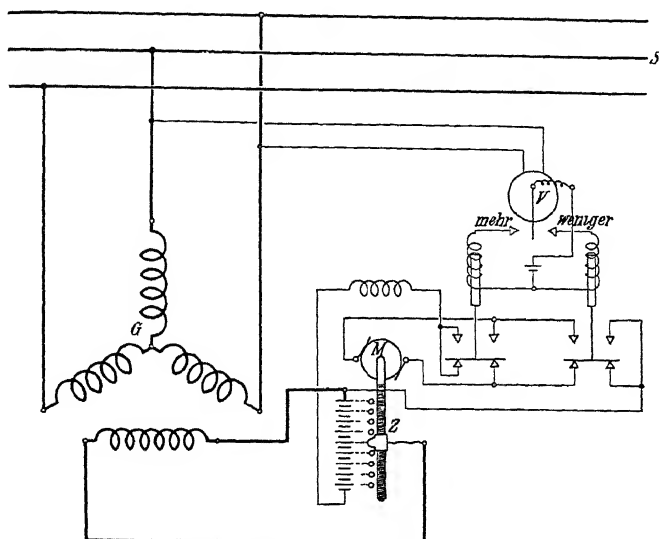


Fig 112. Prinzipielle Anordnung eines indirekt wirkenden Regulators.

Ein Generator *G* arbeitet auf die Sammelschienen *S*, deren Spannung konstant zu halten ist. Der Erregerstrom möge von einer Akkumulatorenbatterie geliefert werden, so daß er durch Zu- und Abschalten von einzelnen Zellen reguliert werden kann. Das Zu- und Abschalten der Zellen erfolgt durch einen Zellschalter *Z*, der von einem Motor *M* für Rechts- und Linkslauf angetrieben wird. Der Motor *M*, der sogenannte Servomotor, wird von einem Spannungsrelais *V*, das die Funktion des Regulators ausübt, eingeschaltet.

Das Spannungsrelais *V* ist nach Art eines Voltmeters gebaut und wird deshalb auch Kontaktvoltmeter genannt. Bei normaler Spannung schwebt der Zeiger des Relais frei in der Mitte zwischen zwei Anschlägen. Sinkt z. B. die Netzspannung, so legt sich der Zeiger an den einen Anschlag (Kontakt) und schaltet dabei den Motor so ein, daß dieser den Zellschalter mit einer bestimmten konstanten Geschwindigkeit *v* im Sinne der Vergrößerung der Erregung verstellt. Dadurch steigt die Klemmenspannung des Generators wieder an. Erreicht sie den Normalwert, so verläßt der Zeiger wieder den Anschlag, der Kontakt wird dadurch geöffnet und der Motor *M* bleibt wieder stehen.



Diese Anordnung ist eine indirekte Regulierung; denn der Regulator schaltet nur an den Hubgrenzen den Servomotor ein.

Wir sehen, daß die Lage des Regulators unabhängig von der jeweiligen Last ist; denn die Kontaktzunge muß im Ruhezustand zwischen den Kontakten frei schweben.

Anstatt des Servomotors kann zum Antrieb ein mit konstanter Tourenzahl laufender Motor angewendet werden, der durch eine elektromagnetische Kupplung oder durch ein Klinkwerk je nach der Lage der Kontaktzunge den Zellschalter im gewünschten Sinne verstellt

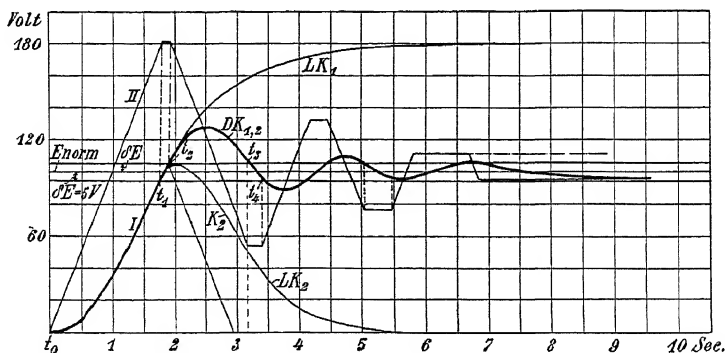


Fig. 113 Regulervorgang eines indirekt wirkenden Regulators  
Unempfindlichkeitsgrad  $\delta = \pm 5\%$ , Reguliergeschwindigkeit.  $v = \frac{100}{100}$  100 Volt/Sek.; Zeitkonstante des Erregerkreises  $T = 1$  Sek.

Die Tourenzahl des Servomotors und damit die Geschwindigkeit des Steuerorgans, in unserem Beispiele des Zellschalters, wird gewöhnlich ein für allemal eingestellt, so daß der Motor ganz unabhängig von der Größe der Spannungsschwankungen stets gleich schnell läuft. Je größer also die Spannungsänderung des Generators ist, desto länger dauert es, bis die normale Spannung wieder herrscht, da der Zellschalter weiter verschoben werden muß, als bei kleinen Spannungsänderungen.

Wir wollen nun die Vorgänge im Erregerstromkreise des Generators während eines Regulierprozesses an Hand der Fig. 113 verfolgen.

Wir nehmen an, daß nur ein Generator auf die Sammelschienen  $S$  (Fig. 112) arbeite, und daß die Spannung der Sammelschienen 100 Volt betragen soll. Es sei verlangt, daß diese Spannung mit Hilfe eines Regulators nach Fig. 112 auf 100 Volt  $\pm 5\%$  gehalten werde; auf Schwankungen von  $\pm 5\%$  braucht der Regulator, d. i.

das Kontaktvoltmeter, nicht zu reagieren. Es kann also ein Kontaktvoltmeter mit einem „Unempfindlichkeitsgrad“ von  $\delta = \pm 5\%$  verwendet werden, d. h. die oben erwähnten Anschläge (Kontakte) müssen am Kontaktvoltmeter da angebracht werden, wo auf der Skala des Voltmeters 95 Volt und 105 Volt stehen würde.

Wir nehmen weiter an, die Spannung des Generators sei zu Beginn des Reguliervorganges 0 Volt. Die Geschwindigkeit  $v$  des vom Kontaktvoltmeter gesteuerten Hilfsmotors<sup>1)</sup> sei so gewählt, daß der Zellschalter die Maschinenspannung um 100 Volt in der Sek. gleich  $100\%$  der Normalspannung in der Sek. erhöhen konnte, wenn sich in den Magneten des Generators stets sofort der Strom einstellen wurde, der nach dem Ohmschen Gesetz ( $R$  = Widerstand der Magnetwicklung) der jeweiligen Stellung des Zellschalters (Erregerspannung) entspricht.

Tatsächlich stellt sich jedoch dieser Erregerstrom nicht sofort ein wegen der Selbstinduktion der Magnete.

Wir nehmen nun an, daß der Selbstinduktionskoeffizient  $L$  der Magnete des Generators konstant, also unabhängig vom Erregerstrom sei, so daß den Magneten eine Zeitkonstante  $T$  (angenommen zu 1 Sek.) zugeschrieben werden kann. Danach ist die Klemmenspannung des Generators proportional dem Erregerstrom.

Da die Spannung zu Beginn des Reguliervorganges gleich Null ist, liegt die Zunge des Kontaktvoltmeters (Fig. 112) an dem Anschlag, der bei 95 Volt der Skala angebracht ist („Mehr Spannung“). Der Servomotor ist dadurch eingeschaltet und läuft in dem Sinne, daß mehr Zellen zugeschaltet werden. Infolgedessen wächst die Spannung an der Erregerwicklung proportional mit der Zellschalterstellung. Wenn die Magnete keine Trägheit besäßen, wurde auch der Erregerstrom und damit die Generatorspannung proportional mit der Zellschalterstellung anwachsen. Die Kurve für die Regulatorbewegung, die wegen der gleichförmigen Geschwindigkeit des Servomotors eine Gerade ist (Kurve II Fig. 113), würde also in diesem Falle auch das Anwachsen der Generatorspannung angeben. Tatsächlich wachsen jedoch der Erregerstrom und damit die Generatorspannung wegen der Trägheit der Magnete langsamer an, als die Erregerspannung, und zwar so, wie die Kurve I für die Klemmenspannung von  $t=t_0$  bis  $t=t_1$  in Fig. 113 zeigt. Die Kontaktzunge bleibt nun an dem 95 Volt-Anschlag so lange liegen, bis eine Spannung von 95 Volt am Generator herrscht. Dies ist der Fall zur Zeit  $t=t_1$  ( $=1,785$  Sek.).

---

<sup>1)</sup> Die Geschwindigkeit  $v$  soll durch die Spannungsänderung pro Sek. in Prozenten der Normalspannung gemessen werden.

Die Kontaktzunge verläßt in diesem Augenblick den Anschlag „Mehr Spannung!“, der Servomotor bleibt stehen und somit auch der Zellschalter. Die Stellung des Zellschalters ist 181 Volt. Würde der Zellschalter in dieser Stellung lange genug verharren, so müßte die Generatorspannung auch auf diesen Wert anwachsen, und zwar nach einer Exponentialfunktion<sup>1)</sup> mit dem Endwert 181 Volt. Eine Zeitlang wächst auch die Spannung nach dieser Kurve an, und zwar so lange, bis der Wert 105 Volt erreicht ist. In diesem Augenblick ( $t_2$ ) legt sich die Kontaktzunge an den Anschlag 105 Volt („Weniger Spannung!“). Dadurch wird der Zellschalter nach rückwärts verschoben.

Von diesem Augenblicke an können wir uns den Verlauf des Erregerstromes, also auch der Klemmenspannung des Generators nach der Differenzkurve zweier Kurven vorstellen. Eine dieser beiden ist die früher erwähnte Exponentialkurve  $LK_1$  und die andere  $K_2$  wird jetzt durch die Rückwärtsbewegung des Zellschalters eingeleitet. Die Klemmenspannung des Generators verläuft somit nach der Differenzkurve  $DK_{1,2}$  bis zur Zeit  $t = t_2$ . In diesem Momente herrscht die Spannung 105 Volt, die Kontaktzunge verläßt den Anschlag „Weniger Spannung!“ und der Servomotor bleibt stehen. Die Regulatorstellung ist dabei 54 Volt. Die Klemmenspannung sucht diesen Wert zu erreichen. In dem Augenblick jedoch, wo sie auf den Wert 95 Volt sinkt, legt sich die Kontaktzunge auf den Anschlag 95 Volt („Mehr Spannung!“), schaltet den Servomotor ein und die Spannung verläuft wieder nach einer Differenzkurve usw.

Das ganze Spiel dauert so lange, bis die Regulatorstellung und die Generatorspannung gleich sind und innerhalb 95 Volt und 105 Volt liegen.

Wie aus dem Diagramm Fig. 113 ersichtlich, pendelt der Regulator, somit auch der Zellschalter und die Spannung, eine gewisse Zeit um die neue Ruhelage. Die Zahl und die Amplituden dieser Schwingungen sind um so größer, 1. je größer die Zeitkonstante der Magnete, 2. je größer die Reguliergeschwindigkeit und 3. je kleiner der Unempfindlichkeitsgrad des Regulators ist, wie man sich nach dem Bisherigen leicht überzeugen kann. In Fig. 114 z. B. ist das Regulierdiagramm für dieselben Verhältnisse wie in Fig. 113 angegeben, nur ist die Reguliergeschwindigkeit viel kleiner gewählt.

Es gibt eine bestimmte Reguliergeschwindigkeit, bei der überhaupt kein Pendeln mehr auftritt. Nach Schwaiger<sup>2)</sup> ist diese „kritische“ Reguliergeschwindigkeit  $v_k$

<sup>1)</sup> Arnold, Wechselstromtechnik, Bd. I, S. 616.

<sup>2)</sup> „Das Regulierproblem in der Elektrotechnik.“

$$v_k = \frac{2\delta}{T}$$

( $v_k$  gemessen in Prozent der Normalspannung pro Sek.).

Bei gleichem Unempfindlichkeitsgrad  $\delta$  muß der Regulator um so langsamer laufen, je größer die Zeitkonstante ist. Der Unempfindlichkeitsgrad  $\delta$  darf nicht gleich Null gewählt werden. Zeichnet man den Regulierungsprozeß, für  $\delta = 0$ , so findet man, daß die Pendelungen niemals erloschen.

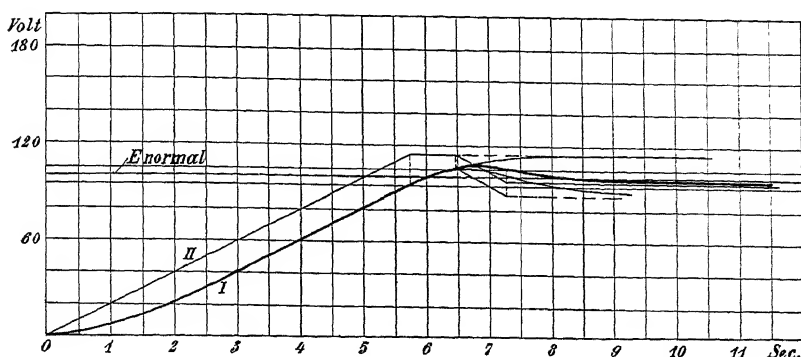


Fig. 114. Unempfindlichkeit  $\delta = \pm 5\%$ ; Reguliergeschwindigkeit.  $\frac{20}{100}$  100 Volt/Sek.; Zeitkonstante des Erregerkreises  $T = 1$  Sek.

Da die Pendelungen der Spannung sehr lästig sind, muß man zur Vermeidung derselben den Servomotor mit einer Geschwindigkeit  $v$  laufen lassen, die kleiner oder höchstens gleich der kritischen  $v_k$  ist.

In vielen Fällen muß jedoch eine bestimmte Mindestreguliergeschwindigkeit gefordert werden, die größer als  $v_k$  ist. Um in solchen Fällen ein Pendeln zu vermeiden, rustet man den Regulator mit einer „Ruckstellvorrichtung“, auch „Ruckführung“ genannt, aus.

Das Prinzip der Rückführung besteht darin, daß die Beendigung des Regulierungsvorganges nicht vom Regulator (Kontaktvoltmeter) besorgt wird, sondern von dem Steuerorgan (Zellenschalter, Regulierwiderstand). Das Steuerorgan beschließt also die Regulierung in dem Moment, wo es die richtige neue Stellung hat, indem es die ganze Regulierungsvorrichtung in ihre Ruhelage zurückführt.

Die bekanntesten indirekt wirkenden trägen Regulatoren sind die

a) von S. & H., der A. E.-G. und der M.-F. Oerlikon mit elektromagnetischer Kupplung,

b) der E.-A.-G. vorm. Schuckert & Co., von S. & H. und von Thury<sup>1)</sup> mit Antrieb mittels Klinkwerk,

c) der Siemens-Schuckertwerke mit Antrieb mittels Servomotor.

Es muß noch erwähnt werden, daß statt der Regulierung durch Zu- und Abschalten von Zellen in der Praxis immer die Widerstandsregulierung benutzt wird. Die im Obigen angestellten Betrachtungen gelten aber im großen und ganzen auch für die Widerstandsregulierung<sup>2)</sup>.

### 36. Die direkt wirkenden Regulatoren.

Die Regulierungsanordnung mit einem direkt wirkenden Regulator ist im Prinzip in Fig. 115 dargestellt.

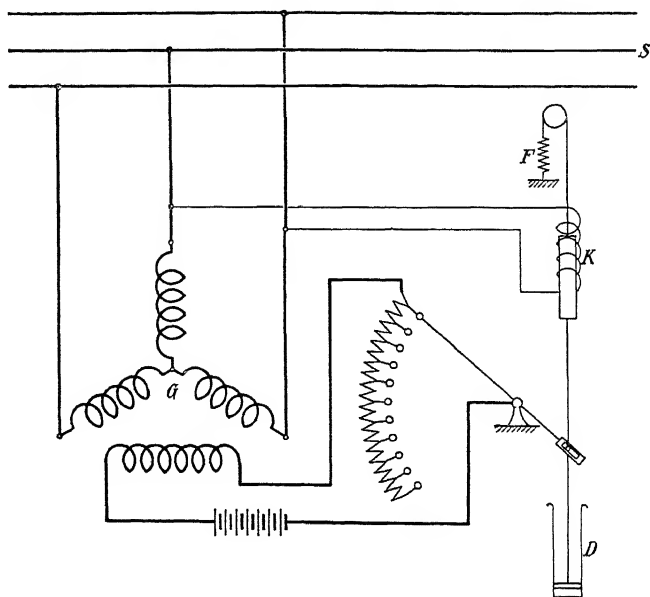


Fig. 115. Direkt wirkender Regulator.

Der Regulator besteht aus einem Solenoid, das von der konstant zu haltenden Spannung gespeist wird und eine bestimmte Zugkraft  $P$  auf einen Eisenkern  $K$  ausübt. Der Kern trägt ein Gestänge, mit dem die Widerstandskurbel und der Kolben eines

<sup>1)</sup> ETZ 1905, S. 824; Elektrische Bahnen und Betriebe 1906, S. 641; ETZ 1909, S. 872.

<sup>2)</sup> Schwaiger, Das Regulierproblem, S. 62 u. ff.

Ölkataraktes  $D$  gekuppelt sind. Das Gewicht des Gestanges samt Zubehör ist durch eine Feder  $F$  oder durch ein Gegengewicht ausbalanciert. Das Kerngewicht wird entweder durch die Zugkraft  $P$  oder teilweise auch durch die Federkraft ausbalanciert.

Tritt eine Spannungsänderung ein, so ändert sich die Zugkraft des Solenoids auf den Eisenkern. Infolgedessen wird das Gleichgewicht des Regulators gestört, der Kern  $K$  gerät in Bewegung und verstellt die Widerstandskurbel.

Daß diese Regulieranordnung eine unmittelbar (direkt) wirkende ist, folgt aus der Definition (S. 130); denn der Regulator ist ständig mit dem Regulierwerk (Widerstand) verbunden und verstellt dieses bei Spannungsänderungen mit der Kraft  $W$  (Verstellkraft).

Wir sehen, daß im Gegensatz zur Anordnung mit einem mittelbar wirkenden Regulator hier der Regulator bei jeder Belastung resp. jedem Strome des Generators eine ganz bestimmte Stellung hat.

Bezüglich des Reguliervorganges ist hier folgendes zu bemerken:

Die Erfahrung hat gezeigt, daß diese Regulieranordnungen unter Umständen zum Pendeln neigen.

Man kann den Reguliervorgang analytisch verfolgen<sup>1)</sup>. Das Integral der Differentialgleichung für den Reguliervorgang gibt an, unter welchen Bedingungen Pendelungen auftreten und unter welchen der Reguliervorgang „stabil“ ist, d. h. die Pendelungen des Regulators und der Spannung mit der Zeit abklingen. Ohne auf diese analytischen Untersuchungen näher einzugehen, können wir aus unseren früheren Betrachtungen folgendes erkennen: Wir haben bei den indirekt wirkenden Regulatoren gesehen, daß die Pendelungen unter sonst gleichen Verhältnissen mit zunehmender Reguliergeschwindigkeit (Geschwindigkeit des Servomotors) an Amplitude und Zahl zunehmen. Wenn man die Reguliergeschwindigkeit klein genug machte ( $\leq v_k$ ), so traten überhaupt keine Pendelungen auf.

Ähnliche Erscheinungen kann man auch beim direkt wirkenden Regulator erwarten. Je rascher der Hebel des Regulierwiderstandes sich bewegt, um so größer muß die Gefahr des Pendelns sein. Diese Vermutung wird durch die Theorie und Erfahrung bestätigt. Man muß deshalb die Bewegungen des Regulators verlangsamen, was mit Hilfe einer „Dämpfung“ (Ölkatarakt) erfolgen kann.

Die Dämpfung hat aber auch noch einen anderen Zweck, nämlich den, ein Zuweitgehen des Regulators infolge der Massenträgheit desselben zu verhindern.

---

<sup>1)</sup> Schwaiger, Das Regulierproblem usw., S. 19 u. ff.

Man kann analytisch den Nachweis erbringen, daß es unmöglich ist, einen stabil arbeitenden direkt wirkenden Regulator ohne eine Dampfung zu bauen.

Die bekanntesten direkt wirkenden Regulatoren sind die von Ganz & Co., Voigt & Haeffner, Blathy und Dick<sup>1)</sup>, ferner die Regulatoren nach Tirrill, Schwaiger (S. S. W.) und Brown-Boveri.

**Dick-Regulator.** Dieser Regulator besteht im wesentlichen aus (Fig. 116) einem zylindrischen Gefäß, auch Kontaktgefäß genannt, das aus einer Anzahl von Eisenblechscheiben mit zwischengelegter Isolation aufgebaut ist und zur Aufnahme eines bestimmten Quantum Quecksilber dient. Die einzelnen Blechscheiben führen zu den Stufen eines Regulierwiderstandes. In das Kontaktgefäß taucht ein zylindrischer Körper aus Isoliermaterial ein, der mit einem Eisenkern verbunden ist. Auf diesen Eisenkern wirkt nun das Solenoid, das von der konstant zu haltenden Spannung gespeist wird. Sinkt die Klemmenspannung, so bewegt sich der Eisen-

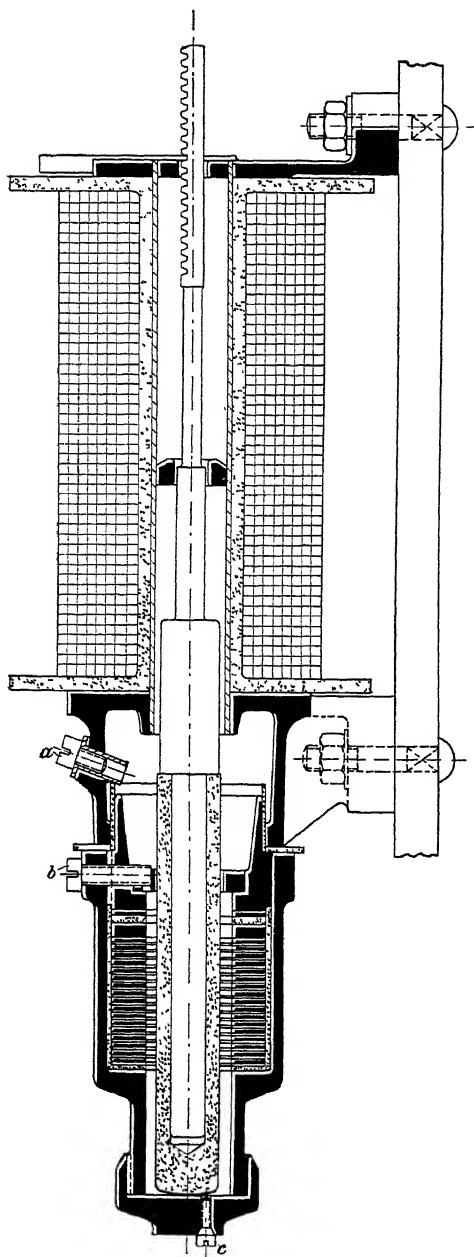


Fig. 116 Dick-Regulator.

<sup>1)</sup> Emil Dick, „Neuer selbsttatiger Spannungsregler“, ETZ 1900, S. 80. — Natalis, „Die selbsttatige Regulierung der elektrischen Generatoren“. Dissertation 1908.

kern nach abwärts; der damit gekuppelte zylindrische Körper verdrängt mehr Quecksilber und das Niveau des Quecksilbers wird gehoben; dadurch wird die Zahl der kurzgeschlossenen Widerstandsstufen größer. Um den veränderlichen Auftrieb des Quecksilbers auszugleichen, wird das Solenoid konisch oder treppenförmig gestaltet. Eine Dämpfung wird dadurch erreicht, daß man das obere Ende des Eisenkernes mit einem Dämpferkolben versieht.

Der Dick-Regulator ist gegen Erschütterungen verhältnismäßig unempfindlich, da der Eisenkern zum größten Teil durch den Auftrieb des Quecksilbers gehalten wird; der Apparat wird daher mit großem Erfolg bei der elektrischen Zugbeleuchtung benutzt.

Nach den für die elektromechanischen Regulatoren nötigen Einrichtungen, die wir bis jetzt kennen gelernt haben, konnte man, wie bereits früher erwähnt, vermuten, daß sich bei ihnen der Regulierungsvorgang langsamer abspielt als bei Kompoundierungen, bei denen keine Massenträgheit und Dämpfung einer raschen Regulierung im Wege steht. Das ist bei vielen Regulatortypen auch der Fall, besonders bei denen, die man in der Praxis „träge Regulatoren“ nennt. Andererseits gibt es aber elektromechanische Regulatoren, die rascher regulieren als eine Kompoundierung, nämlich die sog. „Schnellregulatoren“.

Welche Regulatoren nun als „träge“ und welche als „Schnellregulatoren“ zu bezeichnen sind, darüber kann man verschiedener Ansicht sein. Auch der oben angeführte Vergleich mit den Kompoundierungen ist kein eindeutiges Kriterium, da es unter den Kompoundierungen selbst wieder verschieden schnell wirkende gibt.

Es sollen deshalb bei den einzelnen Regulatoren die von den betreffenden Firmen oder den Erfindern gewählten Bezeichnungen beibehalten werden.

So gelten im allgemeinen sämtliche indirekt wirkende Regulatoren als träge Regulatoren.

Von den direkt wirkenden gilt der Dicksche Regulator als Zwischenstufe zwischen trägen und Schnellregulatoren, während die im folgenden beschriebenen Regulatoren allgemein als „Schnellregulatoren“ bezeichnet werden.

### 37. Die Schnellregulatoren.

Das langsame Regulieren vieler elektromechanischer Regulatoren ist, wie wir oben gesehen haben, durch die magnetische und mechanische Trägheit bedingt. Damit ein Regulator schnell regulieren kann, muß er besondere Einrichtungen zur Überwindung dieser zwei Trägheiten besitzen.



Bei dem Schnellregulator von Brown, Boveri & Co. wird die schädliche Wirkung der magnetischen Trägheit dadurch verringert, daß man im ersten Augenblick den Erregerwiderstand sprunghaft ändert und dann das Ende des Regulierprozesses sich langsamer abspielen läßt.

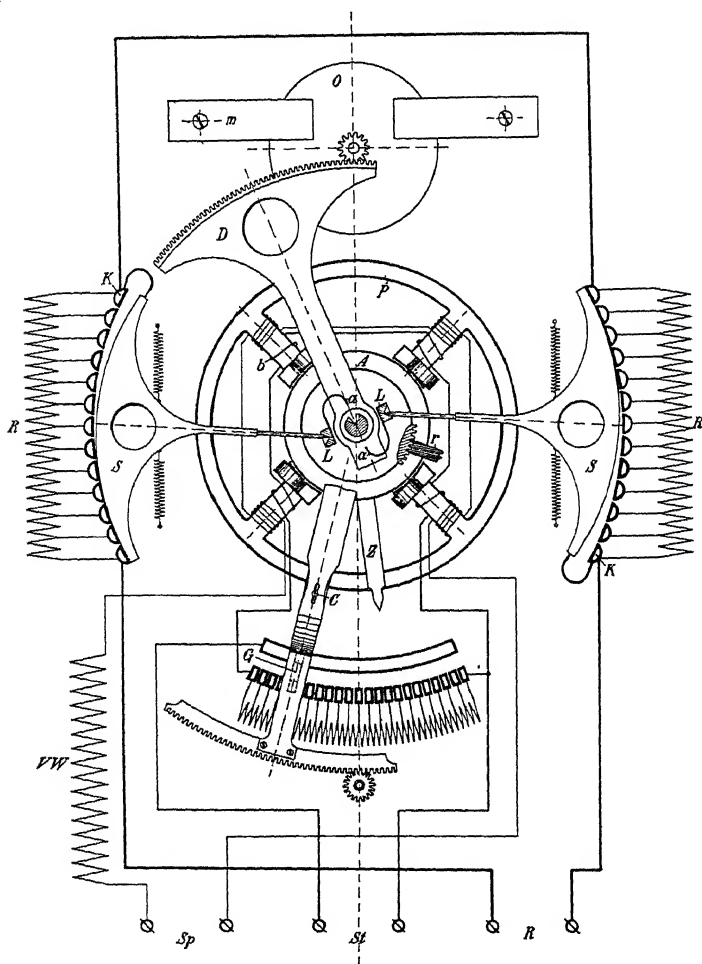


Fig 117. Schnellregulator von Brown, Boveri & Co.

Der schädliche Einfluß der mechanischen Trägheit wird durch Verringerung der Massen und der zurückzulegenden Wege des Regulators nach Möglichkeit beseitigt.

Die Einrichtungen dieses Regulators sind aus Fig. 117 und 118 zu erkennen. Die konstant zu haltende Spannung speist die Mag-

nete des Polrades  $P$ . Infolge der Wirkung der auf den Polen angebrachten Kurzschlußringe entsteht ein Drehfeld, das auf einen Aluminium-Anker  $A$  ein von der jeweiligen Klemmenspannung abhängiges Drehmoment ausübt. Diesem wirkt das Drehmoment der Feder  $F$  (Fig. 118) entgegen. Da die Spannkraft der Feder  $F$  mit zunehmender Verdrehung ansteigt, so wird sie durch die Zusatzfeder  $f$  so korrigiert, das ihr Drehmoment in jeder Stellung konstant ist und gleich demjenigen, das die konstante Klemmenspannung auf den Anker  $A$  in jeder Stellung ausübt. Mittels der Mikrometerschraube  $r$  kann die Federkraft für eine bestimmte konstante Spannung einreguliert werden.

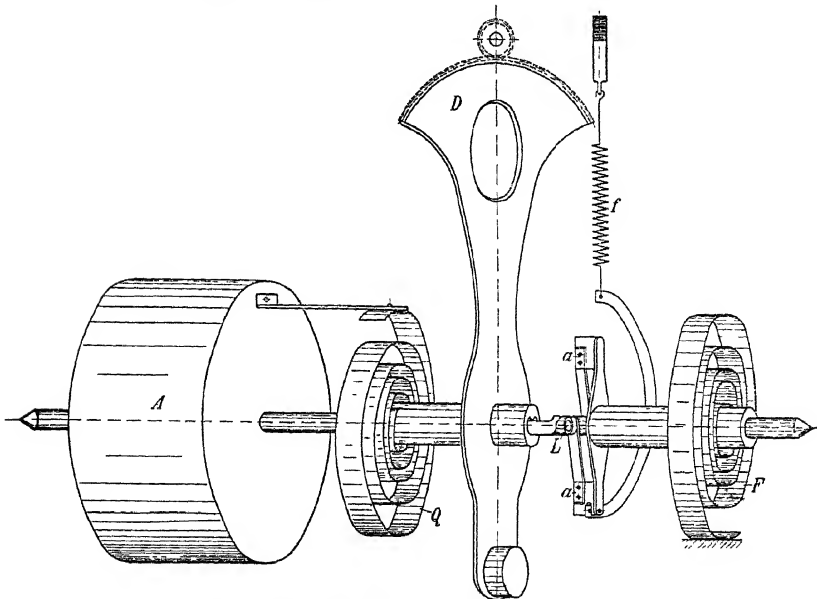


Fig. 118. Schnellregulator von Brown, Boveri & Co.

Tritt eine Spannungsänderung ein, so verdreht sich der Anker wegen der dadurch frei werdenden Kraft  $W$  (Verstellkraft) und somit auch die in Spitzenlagern  $L$  angeordneten nachgiebig aufgehängten Schaltsektoren  $S$ , die sich auf den im Kreise um die Ankerachse angeordneten Kontakten  $K$  der Widerstandsstufen  $R$  abwalzen können und so das Aus- und Einschalten von Widerständen im Erregerkreis bewirken.

Um eine Überregulierung und das damit verbundene Pendeln des Regulators und der Klemmenspannung zu vermeiden, ist eine Dämpfungsvorrichtung angebracht. Diese besteht aus der Aluminiumscheibe  $O$ , die sich zwischen den permanenten Magneten  $m$  drehen

kann. Durch die induzierten Wirbelströme wird die Bewegung der Scheibe  $O$  gedämpft (Wirbelstrombremse). Die Kupplung des Ankers  $A$  mit der Dämpfung ist nicht starr, sondern erfolgt mittels der Feder  $Q$  des Dämpfersektors  $D$  und Zahngetriebe. Im Gleichgewichtszustande ist die Feder  $Q$  ungespannt, wird aber, sobald eine Netzspannungsänderung eintritt, je nach der Größe und Richtung dieser Änderung in dem einen oder anderen Sinne gespannt und zieht auf diese Weise die Dämpfung nach. Dadurch wird erreicht, daß sich der Anker und die Schaltsektoren im ersten Augenblicke bei Spannungsänderungen rasch bewegen können, was nicht möglich wäre, wenn sie mit der Dämpfung starr gekuppelt wären; der Erregerwiderstand wird also im ersten Augenblicke beträchtlich geändert.

Ist erwünscht, daß die Spannung in fernliegenden Punkten (Speisepunkten) konstant sein soll, so kompondiert man den Schnellregulator. Mit zunehmender Belastung wird also die zu regulierende Spannung zunehmen. Die Einstellung der Kompoundierung geschieht durch Verstellen des Gleitkontaktes  $G$ , wodurch zu der vom Stromtransformator  $St$  gespeisten Magnetwicklung  $b$  mehr oder weniger Widerstand parallel geschaltet wird. Jedem konstanten Drehmomente des Federsystems  $F-f$  entspricht eine bestimmte konstante Klemmenspannung des Generators. Soll nun die Klemmenspannung mit wachsender Belastung zunehmen, so muß das Drehmoment des Federsystems  $F-f$  mit steigender Belastung anwachsen, d. h. das vom Strome des Stromtransformators ausgeübte Drehmoment muß mit demjenigen des Federsystems gleichsinnig sein. Die vom Stromtransformator gespeiste Magnetwicklung  $b$  wird also auf den Anker ein entgegengesetztes Drehmoment ausüben, als die von der Spannung gespeiste Magnetwicklung  $a$ .

Durch Anbringen einer von einem Stromtransformator gespeisten Wicklung läßt sich mit allen Regulatoren eine Kompoundierung des Generators erreichen.

**Tirrillregulator<sup>1)</sup>.** Fig. 119 zeigt die systematische Anordnung und die Hauptteile des Apparates. Ein Generator  $G$  arbeitet auf die Sammelschienen  $S$ , deren Spannung konstant zu halten ist. Die Erregerwicklung des Generators  $G$  wird von einer Erregermaschine  $E$  gespeist, die selbst eigen oder fremd erregt sein kann. In der Figur ist Fremderregung angenommen. Im Erregerkreis der Er-

<sup>1)</sup> Dr. G. Grossmann, „Über den selbsttätigen Spannungsregler, System Tirrill“, ETZ 1907, S. 1202; Dr.-Ing. A. Schwaiger, „Das Regulierungsproblem in der Elektrotechnik“, Teubner, 1909; Ders., E. und M. 1908, S. 421; M. Seidner, ETZ 1909, S. 1238.

regermaschine liegt ein Widerstand  $R$ , der vom Regulator abwechselnd kurzgeschlossen und wieder eingeschaltet werden kann.

Der Regulator besteht aus zwei Kontakthebeln  $f$  und  $g$ , die in  $O$  bzw.  $O'$  drehbar gelagert sind. Der Hebel  $f$  wird von der Spule  $b$ , die an der Ankerspannung der Erregermaschine liegt, beeinflusst, der Hebel  $g$  von einer Spule  $c$ , die an der konstant zu haltenden Netzspannung liegt. Jeder der beiden Hebel trägt einen Kontakt  $v$ ,  $w$ , durch die der Widerstand  $R$  kurzgeschlossen wird, wenn sich die beiden Hebel berühren.

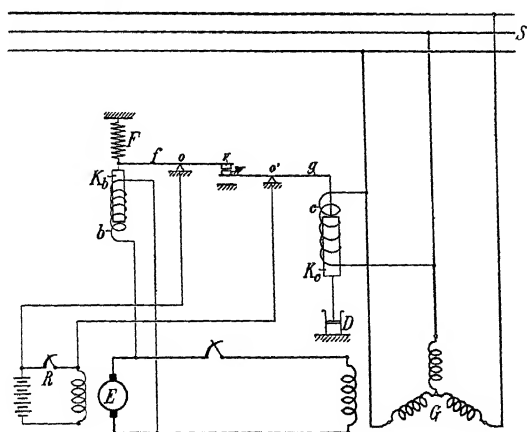


Fig. 119. Tirrillregulator.

Die Zugkraft  $P_b$  der Spule  $b$  auf den Kern  $K_b$  ist durch eine Feder  $F$  und die der Spule  $c$  ( $P_c$ ) durch das Gewicht des Kernes  $K_c$  ausbalanciert. Die Bewegungen des Hebels  $g$  sind durch den Olkatarakt  $D$  gedampft.

Es soll nun zunächst die Bedeutung des Hebels  $f$  klargestellt werden. Es bezeichne  $x=0$  die Lage des Kernes  $K_b$  und damit des Hebels  $f$ , in der die Feder  $F$  gerade die Spannung Null besitzt. Die Zugkraft  $P_F$  der Feder  $F$  als Funktion von  $x$  ist dann:  $P_F = k_1 x$ ;  $k_1$  ist eine Konstante.

Die Zugkraft  $P_b$  der Spule  $b$  auf den Kern  $K_b$  in einer bestimmten Lage  $x$  ist eine Funktion der Spannung  $E$ , an der die Spule liegt, und zwar ist:  $P_b = k_2 E^2$ , wobei  $k_2$  eine Konstante ist.

Es muß jetzt noch angegeben werden, nach welchem Gesetz sich die Zugkraft  $P_b$  bei konstanter Spannung  $E$  mit der Lage  $x$  des Kernes  $K_b$  ändert. Es werde angenommen, daß  $\frac{\partial P_b}{\partial x} = 0$  ist, d. h. daß die Zugkraft  $P_b$  unabhängig von  $x$  ist, wenn  $E$  konstant ist. Das

ist eine mögliche, aber keine notwendige Forderung. Jedenfalls erleichtert diese Annahme die Vorstellung über die Vorgänge.

Wenn nun die Spannung  $E$  verschiedene Werte annimmt (auf welche Weise diese verschiedenen Werte der Spannung  $E$  zustande kommen, ist vorläufig gleichgültig), dann nimmt der Kern  $K_b$  und der Hebel  $f$  ebenfalls verschiedene Lagen  $x$  ein, und zwar gehört zu jedem  $E_1, E_2 \dots E_n$  ein ganz bestimmtes  $x_1, x_2 \dots x_n$ .

Wenn die Forderung  $\frac{\partial P_b}{\partial x} = 0$  nicht erfüllt wäre, dann wäre der Fall möglich, daß der Kern  $K_b$  bei gleichbleibender Spannung  $E$  in mehreren Lagen  $x$  im Gleichgewichte bleibt.

Es muß nunmehr gezeigt werden, wie die Werte  $E_1, E_2 \dots E_n$  der Spannung  $E$  zustande kommen.

Es werde angenommen, daß der Hebel  $g$  in einer beliebigen Lage festgehalten wird. Diese Lage sei folgendermaßen definiert: Wenn der Hebel  $f$  so weit gedreht wird, daß sich die Kontakte beider Hebel berühren, dann nehme der Kern  $K_b$  z. B. die Lage  $x_1$  ein.

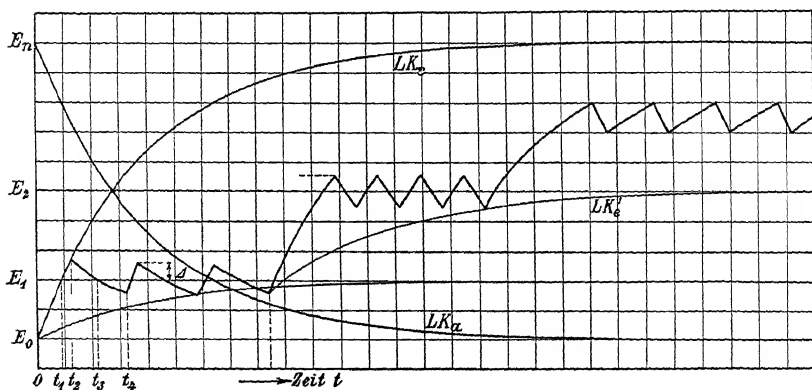


Fig. 120. Reguliervorgang beim Tirrillregulator.

Es ist nun zu überlegen, was geschieht, wenn die Erregermaschine erregt und der Apparat sich selbst überlassen wird.

Wenn der Hebel  $f$  nicht die Stellung  $x_1$  einnimmt, sondern z. B. die Lage  $x_2, x_3 \dots x_n$  hat, dann berühren sich offenbar die beiden Hebel nicht und die Kontakte sind geöffnet. Der Widerstand  $R$  ist also eingeschaltet und es herrscht infolgedessen die Spannung  $E_0$  (s. Fig. 120). Diese Spannung  $E_0$  ist die niedrigste, die auftreten kann.

Um den Hebel  $f$  in einer der Lagen  $x_2, x_3 \dots x_n$  festzuhalten, wäre bekanntlich eine Spannung  $E_2, E_3 \dots E_n$  nötig, die größer ist als

$E_0$ . Daraus erkennt man, daß der Hebel  $f$  keine der Lagen  $x_2, x_3 \dots x_n$  einnehmen oder beibehalten kann, daß er vielmehr unter dem Übergewicht der Feder  $F$  so lange im Uhrzeigersinn gedreht wird, bis er auf den Hebel  $g$  stößt, wodurch die Kontakte  $v, w$  den Widerstand  $R$  kurzschließen.

Das sei zur Zeit  $t=0$  der Fall. Die Spannung  $E$  wächst also von diesem Augenblicke an nach einem Gesetze an, das durch die Exponentialkurve  $LK_e$  dargestellt ist. Der Endwert, dem die Spannung  $E$  zustrebt, sei  $E_n$ .

Zur Zeit  $t_1$  erreicht die Spannung  $E$  den Wert  $E_1$  und da der Hebel  $f$  bekanntlich die Stellung  $x_1$  hat, herrscht in diesem Augenblick Gleichgewicht am Hebel  $f$ .

Die Spannung  $E$  behält aber den Wert  $E_1$  nicht bei, sondern wächst noch weiter. Infolgedessen überwiegt von der Zeit  $t_1$  an die Zugkraft  $P_b$  die Federspannung. Der Hebel  $f$  verläßt unter dem Einfluß dieses Übergewichts den Hebel  $g$ , wodurch der Widerstand  $R$  eingeschaltet wird.

Das ist zur Zeit  $t_2$  der Fall; die Spannung hat dabei den Wert  $E_1 + \Delta$ . Es ist ja klar, daß ein Überschuß  $\Delta$  an Spannung notwendig ist, um den Hebel  $f$  in Bewegung zu setzen, weil die Massen des Hebels samt Zubehör beschleunigt werden müssen.

Von der Zeit  $t_2$  an fällt die Spannung nach dem zugehörigen Stück der Exponentialkurve  $LK_a$  ab.

Zur Zeit  $t_3$  ist  $E$  wieder gleich  $E_1$ . Die Spannung fällt aber noch weiter ab, da sie dem Werte  $E_0$  zustrebt. Dadurch gewinnt die Feder  $F$  wieder das Übergewicht und bringt den Hebel  $f$  zur Berührung mit Hebel  $g$ . Das ist zur Zeit  $t_4$  der Fall. Die Spannung  $E$  hat dabei den Wert  $E_1 - \Delta$ . Der Widerstand  $R$  wird kurzgeschlossen, die Spannung wächst an und es beginnt das eben beschriebene Spiel von neuem.

Man sieht also, daß der Hebel  $f$  ähnlich wie der Hammer eines Selbstunterbrechers schwingt, während die Spannung  $E$  um den Mittelwert  $E_1$  pulsiert. Die mittleren Kräfte am Hebel  $f$  sind im Gleichgewicht, der Hebel  $f$  äußert also keinen Druck auf den Hebel  $g$ , abgesehen vom Kontaktdruck, der sehr klein sein kann.

Es ist leicht einzusehen, daß die Spannung  $E_1$  durch das Verhältnis der Kurzschlußdauer zur Einschaltdauer des Widerstands  $R$  bedingt ist.

Bringt man den Hebel  $g$  in eine andere Lage  $x_2$ , so muß sich nach ähnlichen Überlegungen eine mittlere Spannung  $E_2$  einstellen (s. Fig. 120). Man erkennt, daß das eben erwähnte Verhältnis zugenommen hat. Außerdem hat sich auch die Zahl der Pulsationen pro Sekunde geändert, wie man leicht nachzählen kann.

Zeichnet man nun diese Zickzackkurven für mehrere Werte  $E_1, 2 \dots n$  auf, so findet man, daß das Verhältnis (auch Takt oder Puls genannt)

$$\frac{\text{Kurzschlußdauer des Widerstandes}}{\text{Einschaltdauer des Widerstandes}}$$

mit wachsendem  $E$  zunimmt.

Die Zahl der Pulse pro Sekunde ist bei der gleichen Spannung  $E$  von der Zeitkonstante  $T$  der Magnete und dem Unempfindlichkeitsgrad  $\delta$  (Masse, Reibung) des Hebels  $f$  abhängig, und zwar wächst die Pulszahl mit abnehmendem  $T$  und  $\delta$ .

Praktisch schwankt die Pulszahl über dem ganzen Regulierbereich etwa zwischen  $0 \sim 6$  pro Sekunde.

An der pulsierenden Spannung der Erregermaschine liegt nach der Schaltung (Fig. 119) auch die Erregerwicklung des Generators  $G$ . Der Erregerstrom muß infolgedessen auch pulsieren bzw. den Charakter eines Wellenstromes zeigen und damit die Generatorspannung  $E_N$ . Es hat sich aber gezeigt, daß die Amplitude des Wellenstromes wegen der dampfenden Wirkung der Induktivität der Magnete des Generators  $G$  so klein ist, daß man praktisch an der Netzspannung  $E_N$  eine Pulsation nicht mehr konstatieren kann.

Nunmehr ist die Bedeutung des Hebels  $g$  zu erklären. Der Hebel  $g$  wird, wie schon erwähnt, von der Spule  $c$  beeinflusst, die an der konstant zu haltenden Netzspannung  $E_N$  liegt. Für die Zugkraft  $P_c$  dieser Spule auf den Kern  $K_c$  gilt die notwendige Bedingung  $\frac{\partial P_c}{\partial x} = 0$ , d. h. bei gleichbleibender Spannung  $E_N$  ist die Zugkraft  $P_c$  unabhängig von der Lage des Kernes in der Spule.

Da verlangt wird, daß der Regulator bei jeder Belastung des Generators auf gleiche Spannung reguliert, muß die die Zugkraft  $P_c$  ausbalancierende Zugkraft in jeder Lage konstant sein, d. h. es darf keine Feder zur Ausbalancierung verwendet werden, sondern ein Gewicht. Nach der Fig. 119 ist das Gewicht des Kernes  $K_c$  selbst benutzt.

Betrachtet man den Hebel  $g$  für sich allein, dann erkennt man, daß sich bei sinkender Netzspannung der Hebel  $g$  im Uhrzeigersinn dreht, und zwar auch schon bei einer kleinen Abweichung von  $E_n$  bis zum Anschlag, der den Hub begrenzt. Und umgekehrt: Wenn die Netzspannung auch nur um einen kleinen Betrag den Wert  $E_n$  übersteigt, dreht sich der Hebel an den anderen Anschlag. Der Hebel  $g$  ist also nur bei der Spannung  $E_n$  im Gleichgewicht, und zwar dann in jeder Lage.

Es soll nunmehr der Apparat in seiner Gesamtheit betrachtet werden.

Die Netzspannung sei normal, der Mittelwert der Erregerspannung sei  $E_1$ , der Hebel  $f$  vollführe die bekannten Vibrationen auf dem Hebel  $g$  und das ganze System habe die Lage  $\alpha_1$ .

Wenn nun die Netzspannung aus irgend einem Grunde sinkt, dann nimmt auch die Zugkraft  $P_c$  ab, so daß das Kerngewicht überwiegt und den Hebel  $c$  im Uhrzeigersinne dreht.

Dadurch wird auch der Hebel  $f$  mitgenommen, und weil die Kontakte nun zur dauernden Berührung kommen, wird der Widerstand  $R$  kurzgeschlossen, was ein Ansteigen der Erregerspannung  $E$  und damit der Netzspannung  $E_N$  zur Folge hat.

Sobald die Netzspannung  $E_N$  ihren normalen Wert wieder angenommen hat, ist der Hebel  $g$  wieder im Gleichgewicht und bleibt stehen.

Sobald aber der Hebel  $g$  stehen bleibt, beginnt der Hebel  $f$  sofort wieder sein vibrierendes Spiel. Dabei herrscht z. B. die Erregerspannung  $E_2$ , die so groß sei, daß sie gerade den Spannungsabfall kompensieren kann. Das ganze System hat dabei die Lage  $\alpha_2$  und ist wieder im Gleichgewicht.

Ist eine Spannungserhöhung auszuregulieren, so geht der Vorgang im entgegengesetzten Sinne vor sich.

Damit ist gezeigt, daß der Apparat in allen Lagen im Gleichgewichte sein kann.

Es ist noch zu erwähnen, inwiefern diese Anordnung tatsächlich eine Schnellregulierung in dem zu Anfange definierten Sinne darstellt.

1. Es geht aus dem Vorhergehenden hervor, daß der Hebel  $g$  nur einen minimalen Weg zurückzulegen braucht, damit sofort der ganze Widerstand  $R$  kurzgeschlossen wird. Denn sobald sich Hebel  $g$  nur minimal im Uhrzeigersinn dreht, trifft er sofort den Hebel  $f$ , der bisher schon auf ihm vibriert hat, wodurch sofort ein nach Bedarf langes Schließen der Kontakte bewirkt wird. Wie sich die beiden Hebel schließlich weiter bewegen ist vorläufig gleichgültig, wenn sie nur in Berührung bleiben.

2. Aus Fig 120 ist der Übergang vom Werte  $E_1 - A$  auf  $E_2$  ersichtlich. Würde man die Erregerspannung der Erregermaschine gerade um so viel erhöhen, daß sich die Spannung  $E_2$  einstellt, dann würde die Spannung  $E$  etwa nach der Kurve  $LK'_e$  anwachsen. Man sieht schon, um wie viel schneller sich bei der getroffenen Einrichtung die Spannung  $E_2$  einstellt.



**Schwaiger-(Siemens-Schuckertwerke-)Regulator<sup>1)</sup>.** Dieser ist in Fig. 121 schematisch dargestellt.

Vom Tirrillregulator unterscheidet er sich hauptsächlich dadurch, daß er nur einen einzigen beweglichen Kontakt besitzt, während der Gegenkontakt feststeht.

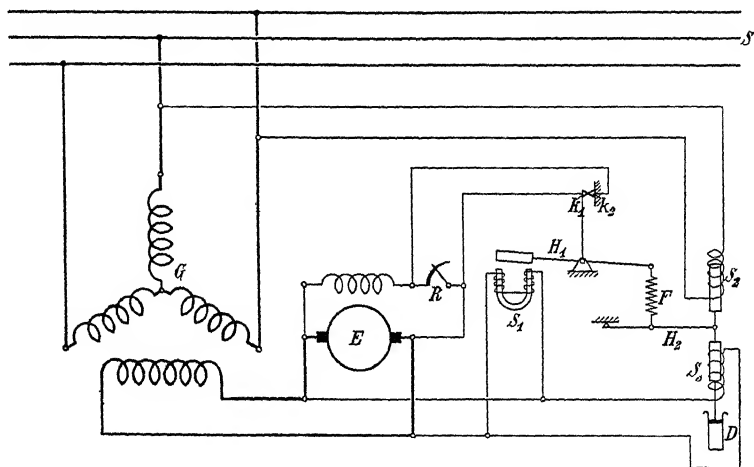


Fig. 121. Schwaiger-(Siemens-Schuckertwerke-)Regulator

Der Hebel  $H_1$  ist hier dreiarstig und trägt den beweglichen Kontakt  $k_1$ . Der Anker des Magneten  $S_1$  vibriert und bewirkt das Kurzschließen und Einschalten des Regulierwiderstandes  $R$ . Die Feder  $F$  spielt hier dieselbe Rolle wie beim Tirrillregulator. Der frühere feste Punkt der Feder ist am Hebel  $H_2$  angebracht. Tritt eine Spannungsschwankung ein, so ändert der Hebel  $H_2$  seine Lage; damit ändert sich auch die Federspannung. Wie wir früher gesehen haben, kommt es nur auf diese letztere an. Die mittleren Zugkräfte der Spulen  $S_1$  und  $S_2$  sind einander gleich. Die Schwingungen des Hebelarmes  $H_1$  übertragen sich jedoch nicht auf den Arm  $H_2$  und die Kerne der Spulen  $S_2$  und  $S_3$ , da an dem Arm  $H_2$  eine Dämpfung angebracht ist.

Die neueste (von Dipl.-Ing. F. Netzsch angegebene) Ausführung des Schwaiger-Regulators ist in Fig. 122 dargestellt. Die beiden Spulen  $S_1$  und  $S_2$  sind zu einer einzigen vereinigt, ebenso die beiden Kerne.

<sup>1)</sup> Fr. Natalis, „Die selbsttätige Regulierung der elektrischen Maschinen“. Dissertation.

Diese Anordnung besitzt der ersteren gegenüber den Vorteil, daß die Ausbalancierung zwischen den Zugkräften der Spulen  $S_1$  und  $S_2$  wegfällt.

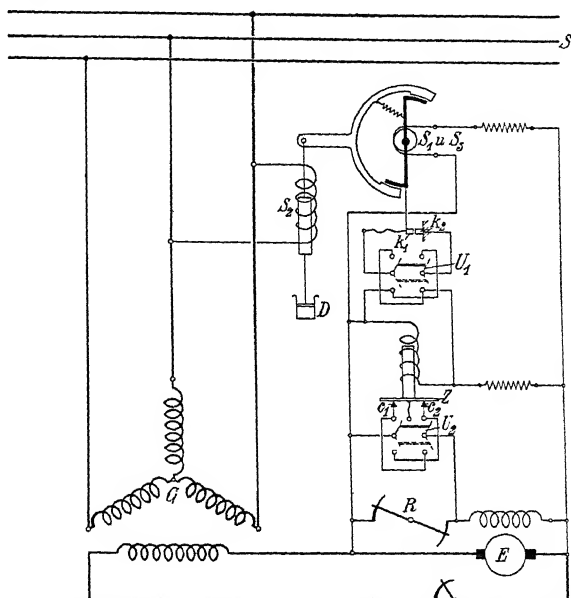


Fig. 122. Schnellregulator der S.S.W. nach Dipl.-Ing. F. Netzs.

Sowohl bei dem Regulator der S. S. W. wie bei dem Tirrill-Regulator ist die Anordnung so gewählt, daß die Kontakte  $k_1$  und  $k_2$  ( $v$  und  $w$  in Fig. 119) zunächst auf ein Zwischenrelais  $Z$  einwirken und erst dieses das Kurzschließen und Einschalten des Regulierwiderstandes  $R$  bewirkt. Die Kontakte des Zwischenrelais  $C_1$  und  $C_2$  sind kräftiger ausgebildet, da sie die Energie des Erregerkreises ein- und auszuschalten haben. Parallel zu den Kontakten  $C_1$  und  $C_2$  werden gewöhnlich Kondensatoren gelegt, um das Auftreten schädlicher Funken zu verhindern. Mittels der Umschalter  $U_1$  und  $U_2$  kann man die Stromrichtung an den Kontakten  $k_1$  und  $k_2$  bzw.  $C_1$  und  $C_2$  ändern; dadurch wird eine ungleichmäßige Abnutzung der Kontaktstellen verhindert.

### 38. Einteilung der Kompoundierungsanordnungen.

Die verschiedenen Kompoundierungsanordnungen teilen wir in drei Hauptgruppen ein, die folgenderweise charakterisiert werden können:

A. Die Kompoundierung ist mit Selbsterregung vereinigt. Der

für die Selbsterregung und Kompoundierung nötige Strom wird mittels Transformatoren dem Generator entnommen und umgeformt.

Die Umformung in Gleichstrom kann geschehen

- a) mittels synchron rotierenden Kommutators,
- b) mittels rotierender Umformer,
- c) durch Anwendung spezieller Erregermaschinen (Boucherot, Hutin-Leblanc),
- d) mittels ruhender Gleichrichter.

B. Zur Kompoundierung wird die Ankerruckwirkung selbst benutzt. Dieses Prinzip wurde zuerst von A. Blondel im Jahre 1896 vorgeschlagen. Bei Anwendung dieser Kompoundierungsanordnungen werden die Generatoren von normalen Gleichstrommaschinen erregt. Die Ausnutzung der Ankerruckwirkung geschieht

- a) durch Einführung des transformierten Generatorstromes in die Ankerwicklung der Erregermaschine, oder
- b) durch besondere konstruktive Ausbildung der Generatorpole.

C. Die Kompoundierung wird dadurch erreicht, daß man den transformierten Generatorstrom mittels besonderer elektrischer, magnetischer oder kalorischer Einrichtungen auf die Erregermaschine einwirken läßt.

Wir wollen der Beschreibung der verschiedenen Kompoundierungsanordnungen der Gruppe A einiges über den Serien-Nebenschlußtransformator (Kompoundtransformator), der zur Erzeugung des für die Kompoundierung und Selbsterregung benötigten Wechselstromes dient, vorausschicken.

### 39. Der Kompoundtransformator.

Wir haben gesehen (S. 123), daß der Erregerstrom einer Wechselstrommaschine, um die Klemmenspannung konstant zu halten, nach dem Gesetz

$$i_{eb} = aP \cos \Theta + BJ \sin (\psi + \beta)$$

geändert werden muß. Will man diesen Erregerstrom durch Kommutation von Wechselstrom erhalten, so muß man eine ihm proportionale Wechselspannung erzeugen. Hierzu werden gewöhnlich zwei Transformatoren, ein Nebenschlußtransformator und ein Hauptschlußtransformator benützt. Die Sekundärwicklungen werden gewöhnlich in Serie geschaltet. Damit der Strom in den Sekundärwicklungen nicht durch den Hauptschlußtransformator allein bestimmt sei, wird dieser mit verhältnismäßig großem magne-

tischen Widerstände gebaut; er erhält dadurch gewissermaßen die Eigenschaften eines Spannungstransformators.

In Fig. 123 ist die Schaltung beider Transformatoren für die Kompoundierungsanordnung eines Dreiphasengenerators dargestellt. Die Sammelschienen oder die drei Leitungen des Netzes sind mit  $L$  bezeichnet.  $A_I$ ,  $A_{II}$  und  $A_{III}$  bezeichnen die Ankerwicklung des Dreiphasengenerators  $G$ . Im Hauptschluß mit dieser sind die Primärwicklungen des Hauptschlußtransformators  $HT_I$ ,  $HT_{II}$  und  $HT_{III}$  geschaltet. Parallel zu den Primärwicklungen liegen drei Widerstände  $R_I$ ,  $R_{II}$  und  $R_{III}$  zur Regulierung der Größe und Phase des Primärstromes im Hauptschlußtransformator. In Nebenschluß zu den Sammelschienen werden die Primärwicklungen des Nebenschlußtransformators  $NT_I$ ,  $NT_{II}$  und  $NT_{III}$  gelegt. Die Sekundärwicklungen des Hauptschlußtransformators und die des Nebenschlußtransformators sind hintereinandergeschaltet. Die drei Leitungen  $U$  führen zu einer der später zu besprechenden Anordnungen zur Umformung des Wechselstromes in Gleichstrom.

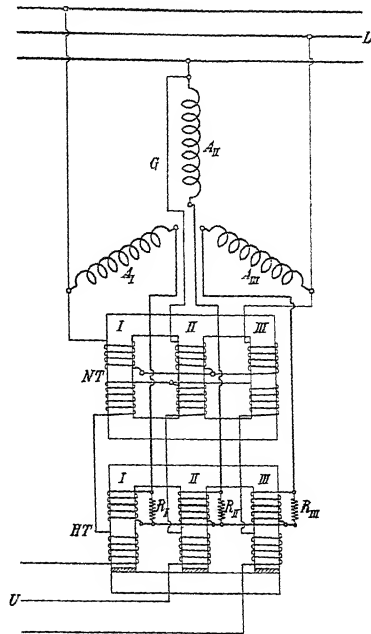


Fig. 123 Haupt- und Nebenschlußtransformator für die Kompoundierungsanordnung eines Dreiphasengenerators.

Die gesamte im Erregerkreise induzierte EMK läßt sich aus Fig. 124 erkennen.  $E$  ist der EMK-Vektor,  $P$  der Vektor der Klemmenspannung und  $J$  der Stromvektor des Generators. Die in den beiden Sekundärwicklungen des Haupt- und Nebenschlußtransformators induzierten EMKe sind  $E_H$  und  $E_N$ .  $E_N$  ist in Phase mit  $P$  und  $E_H$  senkrecht zum Vektor  $J$ . Die Resultierende der beiden Vektoren  $E_N$  und  $E_H$  ist  $\overline{OQ'_e}$ . Es ist nun möglich diese Spannung  $\overline{OQ'_e}$  der-

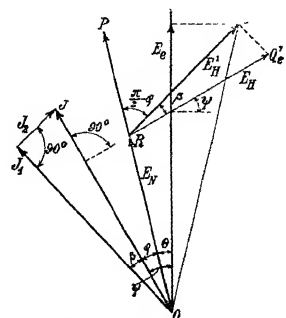


Fig. 124. Spannungsdiagramm des Kompoundtransformators.

art gleichzurichten, daß die Gleichspannung proportional der Projektion des Vektors  $\overline{OQ_e'}$  auf irgendeine feste Achse wird. Wählt man als feste Achse die Richtung des EMK-Vektors  $\overline{OE}$  des Generators, d. h. hier die Ordinatenachse, so wird die gleichgerichtete Erregerspannung proportional der Projektion von  $\overline{OQ_e'}$  auf die Ordinatenachse. Diese Projektion ist gleich der Summe der Projektionen der beiden EMKe  $E_N$  und  $E_H$  auf die Ordinatenachse, also gleich

$$a_1 P \cos \Theta + B_1 J \sin \psi.$$

Schalten wir einen passenden Widerstand parallel zur Primärwicklung des Hauptschlußtransformators, so wird ein Teil  $J_2$  des Hauptstromes durch diesen fließen und der übrige Teil  $J_1$  durch die Primärwicklung. Diese beiden Stromkomponenten stehen fast senkrecht aufeinander, so daß  $J_1$  in der Phase gegen  $J$  verspatet ist. Der Verspätungswinkel  $\beta$  hängt von dem parallel geschalteten Widerstand ab und läßt sich mit diesem regulieren.

Die in der Sekundärwicklung des Hauptschlußtransformators induzierte EMK  $E_H$  dreht sich somit auch um den Winkel  $\beta$  in die Lage  $E'_H$  und wir erhalten (Fig. 124) als Summe der Projektionen der beiden EMKe  $E_N$  und  $E'_H$  auf die Ordinatenachse

$$E_e = a_1 P \cos \Theta + B_1 J \sin (\psi + \beta),$$

d. h. eine EMK, der der erforderliche Erregerstrom  $i_{eb}$  proportional ist. Da die Impedanz des aus den Sekundärwicklungen der beiden Transformatoren und der Magnetwicklung bestehenden Erregerstromkreises konstant ist, so wird diese EMK einen Strom erzeugen, der, nachdem er gleichgerichtet ist, den gewünschten Erregerstrom  $i_{eb}$  liefert.

Anstatt Widerstände  $R$  parallel zu schalten, kann man, um den Strom  $J_1$  in der Phase gegenüber dem totalen Strom  $J$  zu verschieben, auch die Primär- und Sekundärwicklungen des Hauptschlußtransformators auf dem Stator bzw. Rotor eines stillstehenden asynchronen Motors anordnen und durch richtige Einstellung dieser beiden relativ zueinander jeden gewünschten Winkel  $\beta$  erreichen.

Bei Anordnung der Wicklungen auf einem Stator und Rotor ändert man den Widerstand des magnetischen Kreises, indem man den Rotor in axialer Richtung verschiebt.

Statt einen besonderen Nebenschlußtransformator auszuführen, kann man auch eine Hilfswicklung  $H$  auf dem Generator  $G$  anordnen, wie Fig. 125 zeigt. Um auch die Hilfswicklung zu sparen, kann man, wie von P. Boucherot vorgeschlagen, einen Teil der Hauptwicklung als Hilfswicklung benutzen (Fig. 126). Die Anzapfungen werden derart gewählt, daß die Spannung von diesen

Punkten bis zum neutralen Punkt des Generators gleich der erforderlichen Nebenschlußspannung ist

Statt die Sekundärwicklungen des Haupt- und Nebenschlußtransformators in Serie zu schalten und mit einem Gleichrichter zu verbinden, könnte man auch die Sekundärwicklungen der beiden Transformatoren je für sich durch einen Gleichrichter mit zugehöriger Feldwicklung schließen.

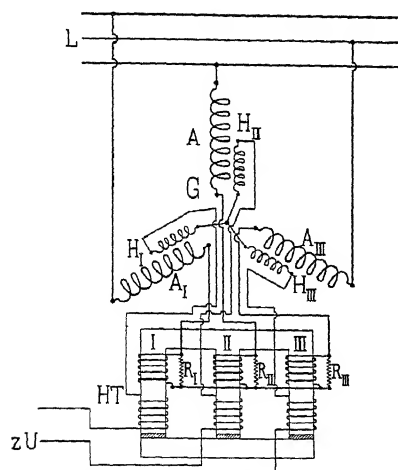


Fig. 125. Kompoundierungsanordnung für einen Dreiphasengenerator mit Hauptschlußtransformator und Hilfswicklung auf der Generatorarmatur.

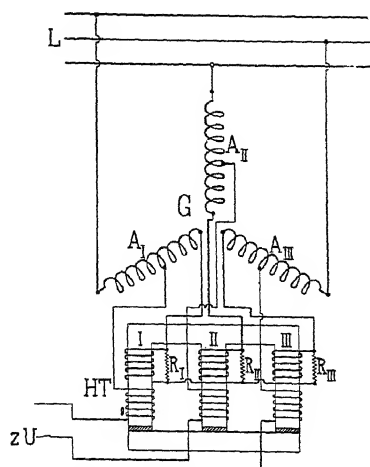


Fig. 126. Kompoundierungsanordnung für einen Dreiphasengenerator mit Hauptschlußtransformator und Abzweigung von der Hauptwicklung.

Diese Anordnung ist aber komplizierter und dürfte deswegen keine Verwendung finden. Unter Umständen kann es dagegen von Vorteil sein, besonders bei bestehenden Anlagen, auf die Feldwicklung außer der von einer fremden Stromquelle erzeugten Spannung auch eine gleichgerichtete und mit dem Belastungsstrom proportionale Spannung einwirken zu lassen. Man braucht in diesem Falle nur einen Hauptschlußtransformator, während der Nebenschlußtransformator durch die fremde Stromquelle ersetzt ist.

Die Einstellung der Kompoundierung erfolgt wie folgt: Bei Leerlauf, wo der EMK-Vektor  $\vec{E}$  und der Spannungsvektor  $\vec{P}$  der Wechselstrommaschine zusammenfallen, darf die Erregerspannung zwischen den Bürsten des Gleichrichters nur von der Amplitude des Vektors  $\vec{OQ}_e$ , der in diesem Falle in  $\vec{OR}$  übergeht (Fig. 124) abhängen. Die Bürsten sind bei Leerlauf deswegen so einzustellen, daß man bei einer und derselben Wechsel-

EMK  $\overline{OQ_e}$  die größtmögliche Spannung an der Gleichstromseite erhält. Werden die Bürsten so eingestellt, so wird die Erregerspannung an der Gleichstromseite bei jeder Belastung proportional der Projektion des Vektors  $\overline{OQ_e}$  auf dem EMK-Vektor des Generators werden. Hierauf wird noch bei Leerlauf die normale Spannung entweder durch passende Wahl des Übersetzungsverhältnisses im Nebenschlußtransformator oder durch Änderung des magnetischen Widerstandes des Hauptschlußtransformators einreguliert. Die Windungszahl der Primärwicklung des Hauptschlußtransformators wird bei rein induktiver Belastung einreguliert. Die zu den Primärwicklungen des Hauptschlußtransformators parallel geschalteten Widerstände  $R_I$ ,  $R_{II}$  und  $R_{III}$  werden dagegen bei möglichst induktionsfreier Belastung eingestellt, weil bei dieser Belastungsart die Widerstände den größten Einfluß auf die Erregerspannung haben.

#### 40. Kommutatoren zum Gleichrichten des Erregerstromes.

Die ersten Gleichrichter dieser Art wurden Anfang der neunziger Jahre für Einphasenmaschinen von der Firma Ganz & Co. ausgeführt. Corsepius<sup>1)</sup> und die General Electric Company haben diese Kompoundierungsmethode auf Mehrphasensysteme übertragen. Im Jahre 1903 gab A. Heyland<sup>2)</sup> eine verbesserte Anordnung an. Er führt seinen Kommutator mit mehreren Lamellen pro Pol und Phase aus und schaltete bei mehrpoligen Maschinen die Wicklungen der einzelnen Pole bzw. der einzelnen Polgruppen parallel<sup>3)</sup>. Dadurch werden bessere Kommutierungsverhältnisse erreicht.

E. F. Alexanderson<sup>4)</sup> erreichte eine befriedigende Kommutierung ohne die Feldwicklung, wie es Heyland tat, zu unterteilen. Fig. 127 zeigt die Anordnung für einen Dreiphasengenerator. Statt eines Spannungstransformators verwendet Alexanderson eine Hilfswicklung  $HW$ , die in den Nuten des Generators untergebracht und mit den Sekundärspulen des Stromtransformators  $HT$  in Reihe geschaltet ist. Die drei anderen Enden der Hilfswicklung sind an drei auf einem zweiteiligen Kommutator schleifende Bürsten angeschlossen. Die Feldwicklung  $GF$  des Generators liegt zwischen beiden Segmenten, ferner ist ein Dreiphasenwiderstand  $R$  als Nebenschluß zwischen  $HW$  und  $HT$  eingeschaltet

<sup>1)</sup> D. R. P. 132439.

<sup>2)</sup> A. Heyland, ETZ 1903, Heft 45; E. Kolben, ETZ 1903, Heft 41.

<sup>3)</sup> A. Heyland, Transactions of the international electrical congress, St. Louis 1904.

<sup>4)</sup> Proc. Amer. Inst. Electr. Eng. 1906, S. 29.

Die Hilfswicklung ist auf dem Anker so angebracht, daß die in ihr induzierten EMKe um  $90^\circ$  den EMKen, die in den entsprechenden Phasen der Ankerwicklung induziert werden, nacheilen. Für induktionsfreie Belastung sind somit die Sekundärströme des Stromtransformators  $HT$  um  $90^\circ$  gegen die Ströme, die von den in den Hilfswicklungen induzierten EMKen herrühren, verschoben. Bei induktiver Belastung nimmt die Phasenverschiebung zwischen diesen Strömen ab, der kommutierte Strom wird daher größer, und zwar um so mehr, je induktiver die Belastung ist; das ist für eine richtige Kompoundierung auch nötig.

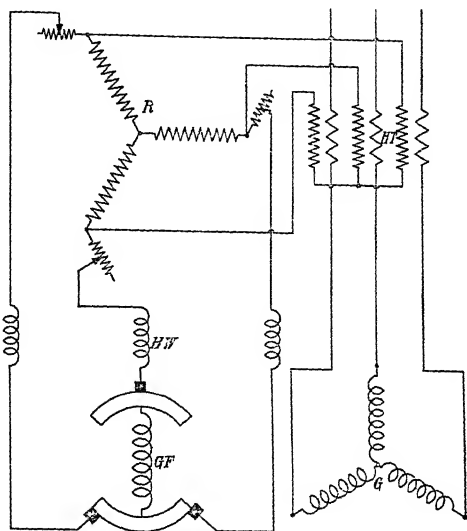


Fig. 127. Kompoundierungsanordnung von Alexanderson.

Die Anordnung ist so gewählt, daß jeweils zwei Bürsten eine gewisse Zeit auf einem und demselben Segment stehen. Dadurch entsteht ein Ausgleichstrom zwischen diesen Bürsten über den Widerstand  $R$ . Stellt man die Bürsten so ein, daß in dem Moment, in dem die Bürste abläuft, der Ausgleichstrom gleich und entgegengesetzt ist dem, den die betreffende Bürste sonst liefern würde, so ist der Gesamtstrom gleich Null und die Kommutation verläuft funkenfrei.

Die Kompoundierungsanordnungen mit rotierendem Kommutator haben keine Verbreitung gefunden. Die funkenfreie Kommutation ist bei diesen Anordnungen labil, d. h. sie ist nur bei einer ganz bestimmten Bürstenstellung möglich. Die Leistungen der Transformatoren und die Verluste in den Widerständen sind groß. Außerdem werden bei vielpoligen Maschinen auch die Kommutatoren groß, besonders bei der Anordnung von Heyland.

#### 41. Umformer zum Gleichrichten des Erregerstromes.

**Freilaufender Umformer.** Führt man dem Umformer eine Wechsellspannung zu, so erhält man zwischen den Kommutatorbürsten eine Gleichspannung, die der Wechsellspannung direkt proportional ist.



Werden nun die Kommutatorbursten durch die Feldwicklungen des Generators und des Umformers, die konstante Widerstände haben, geschlossen, so werden in diesen Wicklungen Ströme fließen, die der Wechselspannung des Umformers proportional sind. Hierbei ist es gleichgültig, ob die Feldwicklungen vom Umformer und Generator in Serie oder parallel geschaltet sind. Der von dem frei rotierenden Umformer aufgenommene Wattstrom ist somit direkt proportional der Spannung der Wechselstromseite, wenn der Belastungswiderstand der Gleichstromseite konstant gehalten wird.

Anders verhält es sich mit dem wattlosen Strom; dieser ist außer von der Wechselspannung auch noch von der Erregung und der Sättigung des Umformers abhängig. Da die Gleichspannung proportional der Wechselspannung ist, ist die Erregung des Umformers auch proportional der Wechselspannung, und da ferner der wattlose Strom gleich

$$J_{wl} \simeq \frac{E - P}{x_2}$$

ist, so ist dieser so lange proportional der Wechselspannung, als die Reaktanz des Umformers  $x_2$  konstant ist. Dies ist der Fall, wenn man auf dem unteren geradlinigen Teil der Charakteristik des Umformers arbeitet, wo derselbe noch nicht gesättigt ist.

Wird der Umformer aus diesem Grunde nicht gesättigt, so nimmt er sowohl einen wattlosen Strom wie einen Wattstrom auf, die beide der Wechselspannung proportional sind. Der Umformer und die beiden Erregerwicklungen lassen sich in diesem Falle als eine konstante Impedanz betrachten und die Erregung der Wechselstrommaschine wird für jede Belastung proportional dem EMK-Vektor  $\overline{OQ_e}$  (Fig. 124). Da sie jedoch theoretisch nur proportional der Projektion von  $\overline{OQ_e}$  auf dem EMK-Vektor sein soll, so wird sie bei einzelnen Belastungen etwas zu groß. Die Differenz zwischen  $\overline{OQ_e}$  und seiner Projektion ist jedoch klein, weil  $\overline{OQ_e}$  selten einen Winkel, der größer als  $15^\circ$  ist, mit dem EMK-Vektor  $\overline{E}$  einschließt. Diese Anordnung zur Kompoundierung, die aus einem Kompoundtransformator und einem frei rotierenden Umformer besteht, ist im deutschen Reichspatent 129552 beschrieben.

Diese Anordnung hat aber den Nachteil, daß der Umformer leicht pendelt und bei Kurzschlüssen im Netz außer Tritt fällt. Ferner muß man zur Inbetriebsetzung einer derartigen Anordnung, wenn keine weitere Wechselstrom- oder Gleichstrom Energiequelle vorhanden ist, den Umformer mit einem Hilfsmotor anlassen.

**Mechanisch gekuppelter Umformer.** Würde man, um das Außertrittfallen zu vermeiden, den Umformer mit dem Generator

mechanisch kuppeln<sup>1)</sup>, so hatte der Vektor der im Umformer induzierten Wechselspannung eine feste Lage relativ zum Vektor  $E$  der Fig. 124, und da die Lage des Vektors  $\vec{OQ}_e$  sich mit der Belastung ändert, so würde  $\vec{OQ}_e$  im allgemeinen nicht mit dem Vektor der im Umformer induzierten EMK zusammenfallen und es mußte daher zwischen Umformer und Generator Energie übertragen werden; der Umformer wurde von dem Generator Ströme aufnehmen, die mit der Wechselspannung des Umformers nicht proportional sind und deswegen eine Kompoundierung unmöglich machen.

**Freilaufender Umformer mit Sicherung gegen Außertrittfallen.** Ordnet man dagegen nach dem Vorschlag der Verfasser den Umformer auf der Generatorwelle  $W$  frei beweglich an, wie in Fig. 128 gezeigt ist (was z. B. mit Kugellagern zwischen Anker und Welle vollkommen erreicht wird), so wird er nur im Falle des Außertrittfallens von dem Keil  $k$  mitgenommen. Dadurch ist die Schwierigkeit des Inbetriebsetzens ebenfalls beseitigt.

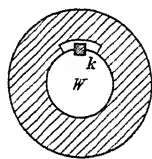


Fig. 128.

**Drehfeldumformer.** Um bei mechanischer Kupplung zwischen Umformer und Generator eine Energieübertragung zwischen den beiden Maschinen zu vermeiden, schlagen die Verfasser zur Umformung des Wechselstromes in Gleichstrom ferner einen Drehfeldumformer vor. Derselbe besteht aus einem gewöhnlichen Umformeranker mit Kommutator, der von einem Statoreisen ohne Gleichstromerregung und ohne körperliche Pole umgeben wird, und der synchron mit der Hauptmaschine von dessen Welle aus mechanisch angetrieben wird. Die Felderregung eines solchen Umformers erfolgt also allein durch wattlose Ströme vom Anker aus. Bei einer derartigen Anordnung macht die Kommutation Schwierigkeit. Wenn man aber geeignete Wicklungen, wie z. B. mehrfach geschlossene Wicklungen, auf dem Anker anwendet, und den Kommutator reichlich dimensioniert, so ist es möglich, eine funkenfreie Kommutation zu erreichen. Durch Anordnung von Dämpferwicklungen auf dem Statoreisen in der Kommutierungszone werden außerdem alle Feldpulsationen, herrührend von inneren Strömen der kurzgeschlossenen Spulen, abgedämpft.

Bei Anwendung eines Drehfeldumformers erhält man die Projektion von  $\vec{OQ}_e$  als umzuformende Wechselspannung.

Ein Drehfeldumformer kann in verschiedener Weise zur Kompoundierung eines Wechselstromgenerators verwendet werden.

<sup>1)</sup> Schweiz. Patent 18484.

1. In Verbindung mit einem Kompoundtransformator In diesem Falle erhält man direkt den erforderlichen Erregerstrom.

2. In Verbindung mit einem Stromtransformator und in Reihe geschaltet mit einer Erregermaschine. — In diesem Falle liefert der Drehfeldumformer von dem erforderlichen Erregerstrom

$$i_{eb} = aP \cos \Theta + BJ \sin(\psi + \beta)$$

nur die Komponente  $BJ \sin(\psi + \beta)$ , während der annähernd konstante Teil  $aP \cos \Theta$  einer besonderen Erregermaschine mit Fremd- oder Doppelschlußerregung, deren Anker mit dem Anker des Drehfeldumformers in Reihe geschaltet ist, entnommen wird. Beide zusammen liefern dann den erforderlichen Erregerstrom  $i_{eb}$ .

3. In Verbindung mit einem Stromtransformator zur Erregung der Erregermaschine. — Ist die Erregerleistung groß, so würde bei obigen Anordnungen der Drehfeldumformer groß ausfallen. In einem solchen Falle kann man den Strom des Drehfeldumformers zur Erregung der Erregermaschine benutzen und erst von letzterer aus den Generator erregen. Die Erregermaschine erhält somit zwei oder drei Feldwicklungen, nämlich außer der genannten Wicklung noch eine Nebenschlußwicklung und ev. noch eine Hauptschlußwicklung.

Einige weitere Anordnungen ergeben sich, wenn wir den Drehfeldumformer (zweipolig gedacht) mit vier um  $90^\circ$  versetzten Bürsten versehen. Nach S. 121 ist nämlich

$$i_{eb} = i_{e0} + i_w + i_{wl}.$$

Der variable Teil des Erregerstromes kann somit als die Summe zweier Ströme betrachtet werden, von denen einer ( $i_w$ ) vom Wattstrom und der andere ( $i_{wl}$ ) vom wattlosen Strom bedingt ist. Es ist nun möglich, diese Ströme  $i_w$  und  $i_{wl}$  einzeln dem Drehfeldumformer zu entnehmen, indem man den Anker des Umformers mit zwei Wicklungen und zwei Kommutatoren versieht, von denen der eine den Strom  $i_w$ , der andere den Strom  $i_{wl}$  liefert, oder indem man, wenn nur eine Ankerwicklung vorhanden ist, zwei um  $90^\circ$  verschobene Bürstenpaare anbringt. Letztere Anordnung ist in Fig. 129 dargestellt. Eine Bürstenachse ist in beiden Fällen senkrecht zum Feld des Wattstromes und die andere Bürstenachse senkrecht zum Feld des wattlosen Stromes. — Um die Kommutation zu unterstützen, können Wendepole angebracht werden. — Es ergeben sich nun folgende weitere Anordnungen:

4. Man schaltet die beiden Anker des Drehfeldumformers mit dem Anker einer Erregermaschine, die den konstanten Strom  $i_{e0}$  liefert, hintereinander in den Erregerkreis des Generators.

5. Man schaltet die beiden Anker des Drehfeldumformers hintereinander und erregt damit das Feld einer Erregermaschine, die außerdem eine Nebenschluß- oder eine Doppelschlußerregung erhält.

6. Wenn der Drehfeldumformer einen Anker mit einfacher Wicklung besitzt, führt jedes Bürstenpaar zu einer besonderen Feldwicklung der Erregermaschine. Dieser Fall ist in Fig. 129 dargestellt.

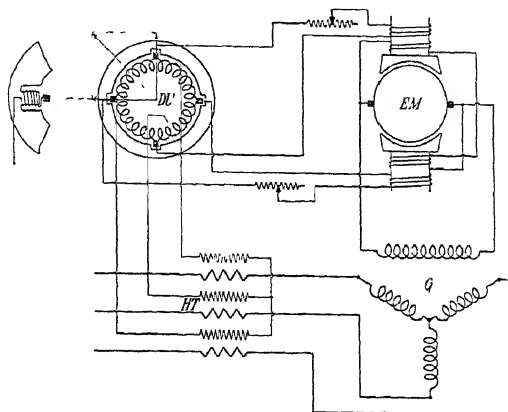


Fig. 129. Drehfeldumformer mit zwei um  $90^\circ$  versetzten Bürstenpaaren.

Wird der Drehfeldumformer mit einer Feldwicklung versehen, so kann in dessen Anker direkt der konstante Teil des Erregerstromes induziert werden. Man gelangt auf diese Weise zu den im Abschnitt 42 beschriebenen Anordnungen, die sich auf die oben angegebenen Arten variieren lassen.

Bei Einphasenmaschinen erzeugt die Wechselspannung im Umformer kein Drehfeld, sondern ein Wechselfeld. Dieses Feld können wir in zwei Drehfelder, ein synchron- und ein inversrotierendes zerlegt denken. Das erste dient zur Erzeugung der Gleichspannung, während das letztere nur zu Feldpulsationen Anlaß gibt. Man schwächt deswegen das inverse Drehfeld so gut wie möglich, was am besten durch eine auf dem Statoreisen angeordnete Kurzschlußwicklung (Amortisseur) geschieht.

Soll die Polzahl des Umformers kleiner als die der Wechselstrommaschine sein, so empfiehlt es sich, als mechanische Kupplung zwischen Wechselstrommaschine und Umformer eine Schnecke mit Schneckenrad, ein Centrator-Getriebe oder ein Grisson-Getriebe anzuwenden. Da durch die mechanische Kupplung nur so viel Leistung als für die Reibungsarbeit des Umformers nötig ist, übertragen wird, so kann sie selbst für größere Übersetzungsverhältnisse ausgeführt werden.

Die Verwendung von zwei freilaufenden Umformern<sup>1)</sup>, wobei dem einen proportional der Klemmenspannung, dem anderen proportional dem Strome des Generators Leistung zugeführt wird, ist wegen der Verteuerung und wegen der Verkleinerung der Betriebssicherheit infolge der Komplikation nicht zu empfehlen.

## 42. Spezielle Erregermaschinen.

**Kompoundierungsanordnung von P. Boucherot.** Der Gleichrichter von Boucherot ist ganz eigenartig ausgebildet. Er wird durch den vom Compoundtransformator gelieferten Strom erregt und besitzt somit als induzierendes Feld ein Wechsel- oder Drehfeld. Der relativ zu diesem Drehfelde mit einer bestimmten Winkelgeschwindigkeit rotierende induzierte Teil besitzt zwei Spulensysteme, bei denen die Windungszahl der einzelnen Spulen in Abhängigkeit von ihrer Lage am Rotorumfang nach einer Sinusfunktion variiert. Von diesen beiden Wicklungen werden immer zwei solche Spulen, in denen EMKe induziert werden, die um  $90^\circ$  gegeneinander verschoben sind, gegeneinander geschaltet und mit zwei benachbarten Lamellen des Kommutators verbunden. Wie Boucherot mathematisch nachgewiesen hat<sup>2)</sup>, ist die Spannung zwischen den Bürsten am Kommutator eine Gleichspannung, die in jedem Momente annähernd gleich

$$a_1 P \cos \Theta + B_1 J \sin (\psi + \beta)$$

ist, somit der Generatorerregestrom

$$i_{eb} = a P \cos \Theta + B J \sin (\psi + \beta)$$

**Kompoundierungsanordnung von Hutin und Leblanc.** Bei dieser Compoundierungsanordnung ist der Compoundtransformator und die Umformungsanordnung in einer besonderen Maschine vereinigt. In Fig. 130 ist die Anordnung schematisch dargestellt. Auf zwei aus lamelliertem Eisen bestehenden Ringen *A* und *B* sind zwei den Primärwicklungen des Compoundtransformators entsprechenden Wicklungen  $S_1$  und  $S_2$  aufgebracht.  $S_1$  entspricht der Primärwicklung des Nebenschlußtransformators und liegt parallel zu den Generatorklemmen,  $S_2$  entspricht der Primärwicklung des Hauptschlußtransformators und wird vom Generatorstrome durchflossen. Die beiden Wicklungen  $S_1$  und  $S_2$  umgibt eine Wicklung  $S_3$ , die wie eine gewöhnliche Gleichstromwicklung mit einem Kommutator

<sup>1)</sup> E. Roth, „L'Eclairage Electrique“ 1906

<sup>2)</sup> Boucherot, Bulletin de la Société intern. des Electriciens, 1902, S 446.

verbunden ist. Die Ringe  $A$  und  $B$  ebenso wie der Kommutator werden synchron mit dem Generator angetrieben. Die Wicklungen  $S_1$  und  $S_2$  erzeugen je ein Drehfeld, die sich zu einem resultierenden Drehfelde zusammensetzen. Wählt man die Drehrichtung des resultierenden Feldes entgegengesetzt derjenigen der Ringe  $A$  und  $B$ , so erhalten wir ein Feld, das im Raume feststeht. Dies entspricht nun in bezug auf die Wicklung  $S_3$  und den Kommutator dem gleichen Falle, der bei einer gewöhnlichen Gleichstrommaschine vorliegt: von einem feststehenden Felde werden in einer Wicklung EMKE induziert, welche Ströme in derselben erzeugen, die ihrerseits wieder am Kommutator gleichgerichtet werden. Verschiebt man die Wicklung  $S_2$  relativ gegenüber der Wicklung  $S_1$  um ein dem Winkel  $\beta$  proportionales Stück, so wird bei jeder Belastung die Gleichspannung der jeweiligen Projektion von  $\overline{OQ_e}$  (Fig. 124) auf die Richtung von  $E$  gleich sein.

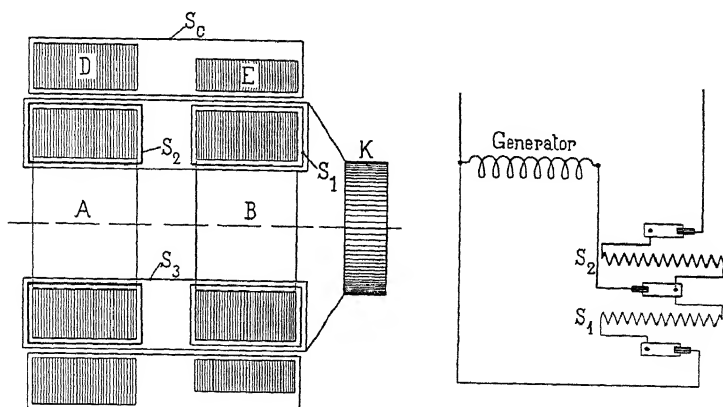


Fig. 130. Schema der Kompoundierungsanordnung von Hutin und Leblanc.

$S_c$  ist eine Kompensationswicklung, die vom Gleichstrom durchflossen wird und das Armaturfeld der Wicklung  $S_3$  aufhebt.

Bei der auf der Pariser Weltausstellung ausgetesteten Maschine (Piguet-Grammont) waren die Wicklungen  $S_1$  und  $S_2$  auf dem ruhenden Teile der Erregermaschine angebracht. Das hat den Vorteil, daß die Ströme den Wicklungen  $S_1$  und  $S_2$  nicht über Schleifringe zugeführt werden brauchen. Andererseits machte diese Anordnung aber Schwierigkeiten in der Umformung der in der Wicklung  $S_3$  fließenden Ströme; die Verbindungen zu dem Kommutator mußten in besonderer Weise ausgeführt werden. Bei rasch laufender Maschine können die Verbindungen am Kommutator wieder normal gewählt werden.

### 43. Ruhende Einrichtungen zum Gleichrichten des Erregerstromes.

Dolivo-Dobrowolsky hat vorgeschlagen, die Eigenschaft der Aluminiumzellen nur gleichgerichteten Strom durchzulassen, zur Umformung des Wechselstromes in Gleichstrom zu verwenden. Der Allgemeinen Elektrizitäts-Gesellschaft ist ein Patent auf diese Anordnung verliehen. Solche Aluminiumzellen sind nur für kleine Leistungen geeignet; der umgeformte Strom wird deswegen nur für die Erregung einer Erregermaschine benutzt.

Sie sind aber nicht genügend betriebssicher für einen so wichtigen Zweck als die Erregung großer Wechselstromanlagen.

Auch Quecksilberdampf-Gleichrichter (nach Cooper-Hewitt) sind für denselben Zweck vorgeschlagen worden<sup>1)</sup>; diese haben dieselben Nachteile wie die Aluminiumzellen.

### 44. Kompoundierung durch Einführung des rückwirkenden Stromes in die Erregermaschine (kompoundierende Erregermaschine).

Die erste praktische Ausführung dieser Art der Kompoundierung, die sich am besten für Mehrphasengeneratoren eignet, jedoch auch bei Einphasengeneratoren verwendbar ist, ist von Danielson<sup>2)</sup> gegeben worden. Danielson führt den Ankerstrom des Generators in eine besondere Wicklung der Erregermaschine so ein, daß ein Strom, der das Feld des Generators schwächt, das Feld der Erregermaschine stärkt. Rice<sup>3)</sup> (General Electric Comp.) und mit einigen Modifikationen auch Ch. P. Steinmetz<sup>4)</sup> und Baum<sup>5)</sup> erreichen dasselbe Ziel dadurch, daß sie den Generatorstrom oder einen ihm proportional transformierten Strom direkt in die Gleichstromarmatur der Erregermaschine einführen. Die Kompoundierungsanordnung von Rice ist in Fig. 131 dargestellt.  $G$  ist der Generator,  $HT$  der Stromtransformator,  $E$  die Erregermaschine, die mit dem vom Kommutator abgenommenen Strom die Magnetwicklung  $G F$  des Generators speist. Die Erregermaschine kann eine fremderregte Maschine, eine Nebenschluß- oder eine Hauptschlußmaschine sein. Um den Spannungsabfall der Erregermaschine selbst

<sup>1)</sup> B. Schafer, ETZ 1900, S. 55.

<sup>2)</sup> ETZ 1899, S. 38 und D. R. P. Nr. 95133.

<sup>3)</sup> El World and Eng. 1899, S. 831 und 1900, S. 19. Amerik. Patent Nr. 595412 vom 14 Dez. 1897

<sup>4)</sup> El. World and Eng. 1901. Amerik. Patent Nr. 660534 vom 23. Okt. 1900.

<sup>5)</sup> Trans. Am. Inst. of Electr. Eng. 1902, S. 511.

aufzuheben, kann ferner bei Fremderregung oder Nebenschlußerregung das Feld noch einige Hauptschlußwindungen erhalten. Die sekundären Spulen des Stromtransformators sind in Stern geschaltet und über drei Schleifringe (die in der Figur nicht eingezeichnet sind) mit der Armaturwicklung der Erregermaschine verbunden. Wird der Generator belastet, so fließt

ein dem Belastungsstrom proportionaler Wechselstrom dem Anker der Erregermaschine zu. Dieser Strom erzeugt in der Erregermaschine ein Drehfeld. Vertauscht man zwei Phasen des Erregerankers gegenüber denselben Phasen des Generatorankers, so dreht sich das Drehfeld in entgegengesetzter Richtung wie der Anker, steht also im Raume still. Die Lage des Drehfeldes den Magnet-

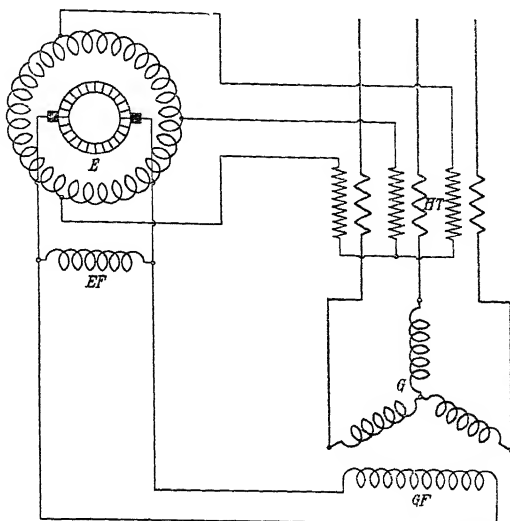


Fig. 131. Compoundierungsanordnung von Rice.

polen gegenüber hängt erstens von dem inneren Phasenverschiebungswinkel  $\psi$  des Belastungsstromes und zweitens von der Lage der Eintrittspunkte des Generatorstromes in den Gleichstromanker ab.

In Fig. 132 sind Generator und Erregermaschine zweipolig und direkt gekuppelt angenommen. Die Ankerwicklung des Generators ist für denjenigen Moment eingezeichnet, für den die EMK der Phase I im Maximum ist. Ist der Generatorstrom in Phase mit der EMK ( $\psi = 0$ ), so ist für denselben Moment auch der Strom der Phase I im Maximum und die Amplitude des Drehfeldes, durch  $\Phi_D$  angedeutet, befindet sich über der Pollücke. Aus der Gleichung

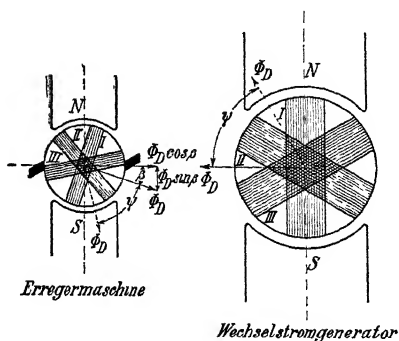


Fig. 132.

$$i_{eb} = a P \cos \Theta + B J \sin (\psi + \beta)$$



folgt, daß für  $\psi = 0$  das vom Ankerstrom in der Erregermaschine erzeugte Drehfeld eine das Erregerfeld stärkende Langskomponente entsprechend  $J \sin \beta$  haben muß. Die gesamte Wicklung des Erregerankers muß daher um den elektrischen Winkel  $\beta$  gegenüber der Wicklung des Generatorankers verdreht sein. Das kann dadurch geschehen, daß man die Eintrittspunkte des Generatorstromes in dem Gleichstromanker um den Winkel  $\beta$  gegenüber den Austrittspunkten des Generatorstromes aus der Ankerwicklung des Wechselstromgenerators verschiebt, und zwar in der Drehrichtung, wenn der Generatoranker, und entgegen der Drehrichtung, wenn das Polrad rotiert. In Fig. 132 ist die Lage des Drehfeldes  $\Phi_D$  im Generator und in der Erregermaschine für  $\psi = 0$  eingezeichnet. Die Pole der Erregermaschine werden entsprechend  $J \sin \beta$  gestärkt. Für irgendeinen Phasenverschiebungswinkel  $\psi$  zwischen Strom und induzierter EMK im Generator, verschiebt sich die Amplitude des Drehfeldes im Generator aus der Mitte der Pollücke in der einen oder der anderen Richtung, je nachdem  $\psi$  positiv oder negativ ist. Die Langskomponente des Drehfeldes in der Erregermaschine wird dann  $J \sin(\psi + \beta)$  entsprechen.

In Fig. 132 ist auch die Lage des Drehfeldes  $\Phi_D$  im Generator und in der Erregermaschine für einen Phasennacheilungswinkel  $\psi$  eingezeichnet. Ist  $(\psi + \beta)$  ein positiver Winkel, d. h. ist der Belastungsstrom des Generators phasenverspätet, so wird das Erregerfeld verstärkt: im anderen Falle wird es geschwächt.

Außer der Längskomponente erzeugt das Drehfeld in der Erregermaschine ein Querfeld, entsprechend  $J \cos(\psi + \beta)$ . Wie aus der Fig. 132 ersichtlich, wirkt das Feld des Gleichstromes diesem Querfelde entgegen. Der Vektor des Querfeldes des zugeführten Wattstromes eilt dem Erregerfelde räumlich um  $90^\circ$  vor, während das Querfeld des erzeugten Gleichstromes dem Erregerfeld um  $90^\circ$  nacheilt.

Die oben beschriebenen Verhältnisse weichen voneinander ab, je nachdem die Erregermaschine fremd erregt ist oder sich selbst erregt.

**a) Die Erregermaschine ist fremderregt.** Wir betrachten den Fall, daß der Erregerstrom der Erregermaschine konstant gehalten wird; dies ist z. B. der Fall, wenn die Erregermaschine von einer fremden Stromquelle konstanter Spannung, z. B. von einer Akkumulatorenbatterie, erregt wird. Es wird dann der Nebenschlußstrom in der Erregermaschine so eingestellt, daß diese bei Leerlauf den richtigen Erregerstrom  $i_{e_0}$  gleich  $aP$  für den Wechselstromgenerator liefert. Zwischen den drei Schleifringen der Erregermaschine, über die der dem Generatorstrom proportionale Strom zugeführt wird, tritt dann bei Leerlauf eine der Gleichspannung  $e_{e_0}$  proportionale

Wechselspannung  $P_{e0} = e_{e0} u_l$  auf.  $u_l$  ist das Übersetzungsverhältnis zwischen Wechsel- und Gleichspannung. Diese Spannung  $P_{e0}$  hat weiter eine ihr proportionale Spannung an den Primärklemmen des Hauptschlußtransformators  $HT$  zur Folge, die sich mit der Generatorspannung geometrisch zu der Klemmenspannung der Maschine zusammensetzt. Ist die Richtung des in die Gleichstrommaschine eingeleiteten Drehfeldes und sind die Eintrittspunkte des Generatorstromes in der oben beschriebenen Weise gewählt, so wird die Erregerspannung, falls die Erregermaschine schwach gesättigt ist, von Leerlauf bis Belastung proportional  $J \sin(\psi + \beta)$  erhöht werden und der Erregerstrom des Wechselstromgenerators wird gleich

$$i_{eb} = aP + BJ \sin(\psi + \beta),$$

wo  $B$  eine Konstante bedeutet, die sich aus den Dimensionen der Erregermaschine und aus dem Übersetzungsverhältnis des Hauptschlußtransformators ergibt. Da der Phasenverschiebungswinkel  $\Theta$  zwischen dem EMK-Vektor und dem Spannungsvektor des Generators ein kleiner Winkel ist, so wird  $\cos \Theta \cong 1$ , und der obige Erregerstrom stimmt mit dem überein, der zur Konstanthaltung der Klemmenspannung nötig ist.

Durch die Erhöhung der Erregerspannung wird auch die Wechselspannung  $P_e$  zwischen den Schleifringen des Erregerankers von Leerlauf bis Belastung erhöht, was wieder eine Änderung der Primärspannung des Hauptschlußtransformators zur Folge hat. Diese Änderung muß bei der Vorausberechnung von den Konstanten  $a$ ,  $B$  und  $\beta$  der Gleichung des Erregerstromes berücksichtigt werden. Wie hieraus ersichtlich, kann also mittels einer in dieser Weise kompondierten Erregermaschine, deren Feld schwach gesättigt und von einer fremden Stromquelle konstanter Spannung erregt wird, eine vollständige Kompondierung von Wechselstrommaschinen erreicht werden.

**b) Die Erregermaschine besitzt Nebenschlußerregung.** Ganz anders und komplizierter liegen die Verhältnisse, wenn die Erregermaschine Nebenschlußerregung besitzt. Dann ändert sich die Felderregung der Erregermaschine mit der Belastung des Generators. In Fig. 133 ist die Belastungscharakteristik der Erregermaschine unter Annahme eines konstanten Belastungswiderstandes dargestellt. Diese Charakteristik, die die Klemmenspannung als Funktion des Nebenschlußstromes  $i_n$  oder der Feldamperewindungen  $i_n w_n$  darstellt und durch Änderung des Nebenschlußwiderstandes erhalten wird, verläuft etwas unterhalb der Leerlaufcharakteristik, und zwar so, daß die Ordinaten der Belastungscharakteristik in

einem fast konstanten Verhältnis  $\gamma$  zu denen der Leerlaufcharakteristik stehen.

Arbeitet man bei Leerlauf bei dem Punkte  $A$  der Belastungscharakteristik, so muß die Erregerspannung als Funktion des Nebenschlußstromes bei konstantem Nebenschlußwiderstande nach der geraden Linie  $\overline{OA}$  verlaufen. Bei irgendeiner Belastung haben wir z. B. die Erregerspannung  $\overline{BC}$ ; diese erzeugt in der Nebenschlußwicklung die Amperewindungen  $i_n w_n = \overline{OB}$ . Der wattlose Strom  $J \sin \psi$  des Generators hat bei dieser Belastung in dem Erregeranker die längsmagnetisierenden Amperewindungen

$$AW_{ee} = k_0 f_{w1} m w_e J \sin(\psi + \beta) = \overline{CD} = \overline{BF}$$

zur Folge. Den resultierenden Amperewindungen  $\overline{OF}$  entspricht die Spannung  $\overline{FE}$  an den Klemmen der Erregermaschine. Es tritt aber außer dem Hauptfelde noch ein Streufeld in der Erregermaschine auf. Dieses wird von dem wattlosen Strome  $J \sin(\psi + \beta)$  erzeugt und induziert in dem Erregeranker eine EMK proportional

$$e_{se} = J \sin(\psi + \beta) x_{se},$$

wo  $x_{se}$  die Streureaktanz der Ankerwicklung der Erregermaschine bedeutet. An den Klemmen der Erregermaschine entspricht dieser EMK eine Spannung

$$p_{se} = \gamma e_{se} = \gamma J \sin(\psi + \beta) x_{se} = \overline{ED}.$$

Es muß die Erregerspannung  $e_e$  also gleich  $\overline{FE} + \overline{ED} = \overline{FD} = \overline{BC}$  sein, wie wir es in der Fig. 133 angenommen haben. Durch die magnetisierende Wirkung des wattlosen Stromes  $J \sin(\psi + \beta)$  hat sich somit die Erregerspannung um  $\overline{GD} = \overline{GE} + \overline{ED}$  erhöht. Von diesen beiden Komponenten ist  $\overline{ED}$  proportional  $J \sin(\psi + \beta)$ . Damit die Kompoundierung eine richtige wird, soll aber die ganze Strecke  $\overline{GD}$  proportional  $J \sin(\psi + \beta)$  sein, was nur möglich ist, wenn auch  $\overline{GE}$  proportional diesem Strome ist. Dies ist der Fall, wenn der Teil  $AE$  der Belastungscharakteristik, auf dem gearbeitet wird, eine gerade Linie ist, die nicht durch den Ursprung geht.

Wie hieraus ersichtlich, muß die Erregermaschine oberhalb des Knies der Magnetisierungskurve arbeiten; ferner soll der obere Teil der Charakteristik möglichst geradlinig verlaufen und doch noch beträchtlich ansteigen. Um eine solche Charakteristik zu erhalten, ist es zweckmäßig, hauptsächlich die Ankerzähne, nicht aber die Magnetkerne und das Joch zu sättigen. Die Nuten dürfen jedoch in diesem Falle nicht zu tief sein, da der obere Teil der Charakteristik sonst zu flach verläuft.

Der Hauptschluß- oder Stromtransformator soll wie ein gewöhnlicher Spannungstransformator ohne Luftspalt ausgeführt werden. Er ist für den vollen Belastungsstrom des Generators und für die volle Spannung der Erregermaschine zu dimensionieren. Er wird somit bedeutend größer als der Hauptschlußtransformator, den wir oben beschrieben haben.

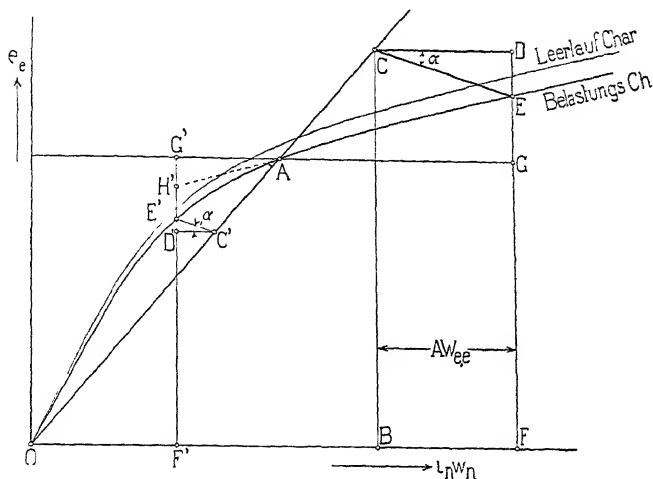


Fig. 133.

Wie aus der Fig. 133 leicht ersichtlich, kompondiert die Anordnung mit Nebenschlußerregung nur bei phasenverzögerten, aber nicht bei phasenverfrühten Strömen. Da die Seiten des Dreiecks  $CDE$  proportional dem wattlosen Strom  $J \sin(\psi + \beta)$  sind, so bildet die Linie  $\overline{CE}$  einen konstanten Winkel  $\alpha$  mit der Abszissenachse. Zieht man deswegen unterhalb  $A$  eine Linie  $\overline{C'E'}$  parallel zu  $\overline{CE}$ , so ist der phasenverfrühte Strom  $J \sin(\psi + \beta)$  proportional  $\overline{D'E'}$ , während dies für  $\overline{G'D'}$  nicht zutrifft. Die Erregerspannung  $\overline{F'D'}$  ist um  $\overline{H'E'}$  kleiner als sie sein sollte. Wird der phasenverfrühte Strom sehr groß, so entmagnetisiert derselbe das Feld der Erregermaschine zuletzt so stark, daß die Erregerspannung ganz verschwindet. Diese Erscheinung beeinträchtigt jedoch die Anwendung dieser Compoundierung wenig, weil Generatoren sehr selten mit phasenverfrühten Strömen belastet werden. Wie hieraus ersichtlich, ist es mittels einer kompondierten Erregermaschine auch dann möglich, eine richtige Compoundierung von Wechselstrommaschinen zu erhalten, wenn die Erregermaschine Nebenschlußerregung und eine passende Charakteristik hat.

Die Erregermaschine kann auch mit Hauptschlußerregung ausgeführt werden. Wir erhalten in diesem Falle dieselbe Konstruktion für die Vorausberechnung der Kompoundierung wie bei Nebenschlußerregung.

Die Kompoundierungsanordnung nach Danielson-Rice wird außer von der General Electric Comp. noch von der Allmänna Svenska E. A und von den Siemens-Schuckert-Werken ausgeführt. Die Siemens-Schuckert-Werke verwenden meistens Erregermaschinen mit Fremderregung. Die Erfahrungen, die die obenerwähnten Firmen mit dieser Kompoundierungsanordnung gemacht haben, sind sehr befriedigend. Ein Nachteil ist, daß die Erregermaschine mittels Zahnradübersetzung von der Generatorwelle angetrieben werden muß, wenn die Polzahl des Generators groß ist. Die Energie, die übertragen werden muß, ändert sich stark mit der Belastung, so daß die Belastungsänderungen Stöße in der Zahnrad- (oder Schneckenrad-) Übersetzung hervorrufen.

Als Beispiel eines nach dieser Methode kompoundierten Generators kann der unten beschriebene Dreiphasen-Turbogenerator der Allmänna Svenska E. A. dienen.

Leistung 2650 KVA.

850 Volt, 1790 Amp., 1500 Touren,  $c = 50$ .

Die Spannungssteigerung bei  $\cos \varphi = 0,8$  darf 10% nicht überschreiten.

#### Hauptdaten:

##### 1. Generator.

Stator: Äußerer Ankerdurchmesser . . . .	1600 mm
Innerer " . . . .	930 "
Ankerlänge + Luftkanäle . . . .	650 + 5 · 10 "
Totale Nutenzahl . . . . .	48
Nutendimension, halboffen, rund $d =$	35 "
1 Stab pro Nut . . . . .	$d = 30$ "

Der Generator ist in Stern geschaltet und alle Stäbe pro Phase liegen in Serie.

Rotor: Ausgeprägte Pole . . . . .	$p = 2$
Polbogen: Polteilung . . . . .	$\alpha = 0,6$
Luftspalt . . . . .	$\delta = 18$ mm
Windungszahl pro Pol . . . . .	80
hochkantgewickelter Kupferband . . . .	1,85/60 mm

##### 2. Kompoundierende Erregermaschine.

Direkt gekuppelt, Nebenschlußerregung,  $\beta = 18$  elektrische Grad.  
45 Volt, 330 Amp. Gleichstrom, 28 Volt zwischen 2 Ringen und 200 Amp. Drehstrom.

Ankerdurchmesser . . . . .	340 mm
Ankerlänge . . . . .	$136 + 2 \cdot 12$ "
Nutenzahl total . . . . .	39
Nutendimension . . . . .	11,5/23,5 mm
Stäbe pro Nut . . . . .	4
$p = a$ . . . . .	2
Lamellenzahl . . . . .	78
Luftspalt $\delta$ . . . . .	2,25 mm
Windungszahl pro Pol . . . . .	360

### 3. Stromtransformator.

Windungszahl pro Phase primär . 1

" " " sekundär 9

Primär und sekundär Sternschaltung.

### Prüfungsergebnisse.

Die Leerlauf- bzw. Kurzschlußcharakteristik des Generators bei 1500 Touren sind in Fig. 134 dargestellt.

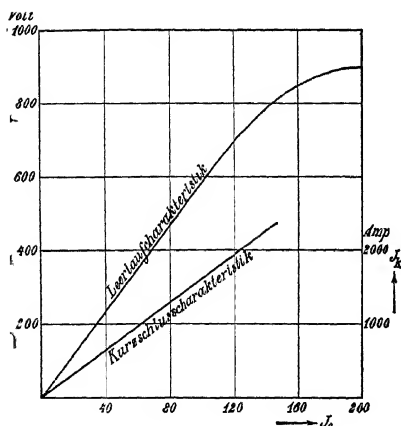


Fig. 134 Leerlauf- und Kurzschlußcharakteristik des 2650 KVA-Turbo-Generators der Allmanna Svenska E. A.

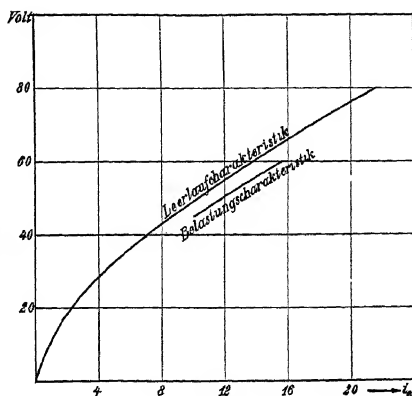


Fig. 135. Leerlauf- und Belastungscharakteristik der compoundierenden Erregermaschine.

Widerstand im warmen Zustande:

Erregerwicklung . . . . .  $0,125 \Omega$

Armaturwicklung pro Phase  $0,00114 \Omega$

Die Leerlauf- bzw. Belastungscharakteristik der Erregermaschine (nur als Gleichstrommaschine) bei 1500 Touren ist in Fig. 135 dargestellt. Widerstände im warmen Zustande: Erregerwicklung  $3,0 \Omega$ , Ankerwicklung (von der Gleichstromseite gemessen)  $0,004 \Omega$ .

Am Stromtransformator wurde bei Leerlauf des Generators gemessen: Spannung sekundär 28 Volt, Strom 32 Amp., Leistung 410 Watt. Der induktive und Ohmsche Spannungsabfall sind zu vernachlässigen.

In normaler Schaltung wurde gemessen:

Volt	Amp	KW	Erregeramp	Tourenzahl
850	1800	1850	350	1500
935	0	0	255	1500

Die Spannungserhöhung beträgt also 10%.

$\cos \varphi$  war aber bei diesem Versuche kleiner als 0,8. Bei  $\cos \varphi = 0,8$  ist also die Spannungserhöhung kleiner. Bei richtig gewähltem Übersetzungsverhältnisse und Winkel  $\beta$  kann man auch eine Überkompoundierung erreichen.

Ist die Erregerleistung groß, so kann man, um eine kleine kompoundierende Erregermaschine zu erhalten, diese zur Erregung einer besonderen Erregermaschine anstatt direkt zur Erregung des Generators verwenden. Die Schnelligkeit der Kompoundierung wird durch diese Anordnung etwas verzögert, weil jetzt die magnetische Trägheit der Erregermaschine zu der magnetischen Trägheit der kompoundierenden Erregermaschine und des Generators hinzutritt

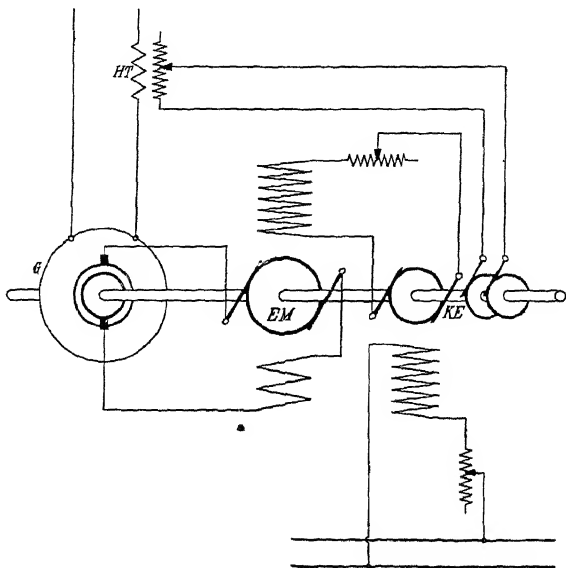


Fig. 136.

In Fig. 136 ist die Schaltung einer solchen Kompoundierung dargestellt, und zwar für einen Einphasengenerator.  $G$  ist der

Generator, *EM* die Erregermaschine, *KE* die compoundierende Erregermaschine, die alle drei auf einer gemeinsamen Welle sitzen. Die compoundierende Erregermaschine hat Fremderregung und der einem regulierbaren Hauptschlußtransformator *HT* entnommene Wechselstrom wird dem Anker über zwei Schleifringe zugeführt. Denkt man sich das pulsierende Wechselfeld des Ankers in zwei Drehfelder zerlegt, so ist das eine relativ zum Feldsystem in Ruhe, während sich das andere mit doppelt synchroner Geschwindigkeit relativ zum Feldsystem bewegt und durch Wirbelströme abgedämpft wird.

Die Lage der Einführungspunkte des Wechselstromes in den Anker der compoundierenden Erregermaschine ist in der oben erklärten Weise zu wählen. Die Einstellung der beiden Felder in der compoundierenden Erregermaschine ist jedoch viel einfacher, wenn man das Magnetsystem dieser Maschine drehbar anordnet, wie es von den Siemens-Schuckert-Werken ausgeführt wird.

#### 45. Besondere Ausbildung der Generatorpole zur Compoundierung.

**Compoundierung von E. Arnold<sup>1)</sup>.** Der vom Wattstrome  $J \cos \psi$  herrührende Kraftfluß  $\Phi_{s3}$  sucht bekanntlich die eine Seite des Generatorpoles zu stärken, die andere zu schwächen. Da infolge der Sättigung die Schwächung größer ist als die Stärkung, so kommt dadurch ein kleiner Spannungsabfall zustande. Sättigt man nun schon im Leerlauf den Teil des Generatorpoles stark, der vom Kraftfluß  $\Phi_{s3}$  geschwächt wird, während der andere Teil nicht gesättigt wird, so wird die Verstärkung des Feldes auf der einen Seite des Poles die Schwächung auf der anderen ganz oder zum Teil aufheben oder überwiegen, so daß bei Belastung ein kleiner Spannungsabfall oder eine Spannungserhöhung eintritt. Dadurch wird nicht nur der vom Wattstrome herrührende Spannungsabfall, sondern auch bis zu einer gewissen Grenze der vom wattlosen Strome herrührende Spannungsabfall aufgehoben. Der Spannungsabfall wird aber hauptsächlich vom wattlosen Strome  $J \sin \psi$  verursacht. Die Anordnung wird daher nur für einen bestimmten Leistungsfaktor richtig compoundieren. Für einen größeren Leistungsfaktor wird Übercompoundierung, für einen kleineren Untercompoundierung eintreten.

Um nur einen Teil eines Poles stark zu sättigen, trennt E. Arnold diesen Teil des Poles durch einen Luftschlitz vom

<sup>1)</sup> D. R. P. 128885 v. 16. Jan 1901.



übrigen Teil und verkleinert den Luftspalt derselben, wie Fig. 137 zeigt. Will man den gleichen Luftspalt über den ganzen Polbogen beibehalten, so muß der stark zu sättigende Teil eine besondere Wicklung  $a-a$  erhalten, so daß nur ein Teil  $b-b$  der Feldspule den ganzen Pol umfaßt (Fig. 138).

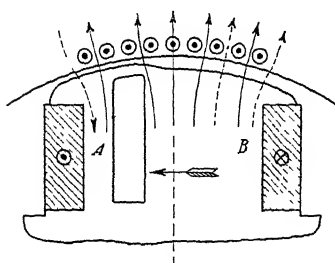


Fig. 137.

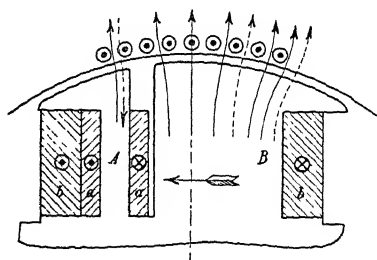


Fig. 138

Fig. 137 und 138. Kompoundierung von E. Arnold.

Die vom Ankerstrom erzeugten rückwirkenden Amperewindungen wirken in Richtung der punktierten Pfeile, die AW der Feldpole in Richtung der ausgezogenen Pfeile. Die Ankerrückwirkung wird daher das Gesamtfeld entweder nur wenig schwächen oder es verstärken.

**Kompoundierung von M. Walker.** Auf dem von E. Arnold angegebenen Prinzip beruht die Kompoundierung von M. Walker. Wie Fig. 139 darstellt, nimmt bei dieser Anordnung der stark gesättigte Teil des Poles den größeren Teil des Polbogens ein, während der schwach gesättigte Teil B außerhalb der Feldspule  $a-a$  liegt.

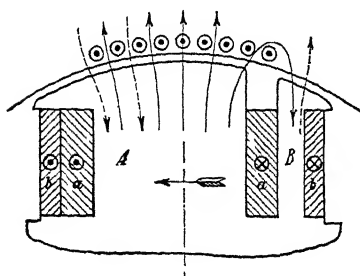


Fig. 139. Kompoundierung von M. Walker.

Ist der Anker stromlos, so kehrt ein Teil des Kraftflusses wieder durch den Teil B zurück, was einer Schwächung des Feldes gleichkommt. Durch eine den ganzen Pol umfassende Spule  $b-b$  kann diese Feldschwächung auf ein gewünschtes Maß und z. B. so

eingestellt werden, daß bei stromlosem Anker der Teil B keinen Kraftfluß führt. Der Ankerstrom wird nun, wie oben angegeben, den gesättigten Teil A nur wenig schwächen, dagegen den Teil B im Sinne des Hauptfeldes verstärken, so daß eine kompoundierende Wirkung erreicht wird.

Für Leistungsfaktoren unter 0,85 ist diese Art der Kompoundierung nicht mehr wirksam genug; sie verhindert aber für größere Leistungsfaktoren den Spannungsabfall in erheblichem Maße und gibt für einen bestimmten Leistungsfaktor eine annähernd genaue Kompoundierung.

**Kompoundierung von A. Heyland<sup>1)</sup>.** Heyland macht den Luftspalt unter den Polen eines Vorzeichens und die Magnetwicklung derselben größer als bei den Polen anderen Vorzeichens, so daß bei Leerlauf die Felder gleich sind. Durch die Ankerrückwirkung werden nun die beiden Polgruppen ungleich beeinflusst; es entsteht ein Streufluß bestimmter Polarität, der über die Welle und die anderen massiven Teile der Maschine in die mit dem Generator gekuppelte Erregermaschine eingeführt wird. Da dieser Streufluß um so größer ist, je größer die entmagnetisierenden Amperewindungen sind, so wird also mit zunehmender Entmagnetisierung die Spannung der Erregermaschine anwachsen und eine Kompoundierung stattfinden. Da aber der Streufluß vielfach durch die massiven Teile der Maschine nebengeschlossen werden kann, bis er an die Pole der Erregermaschine gelangt, so ist diese Methode unsicher.

#### 46. Einrichtungen zur Beeinflussung der Erregermaschine durch den Ankerstrom.

**Kompoundierung von Parsons<sup>2)</sup>.** Das Prinzip dieser Kompoundierung beruht darauf, daß ein von einem Gleichstrome gesättigter Eisenkern einen Wechselfluß hauptsächlich nur in der Richtung durch-

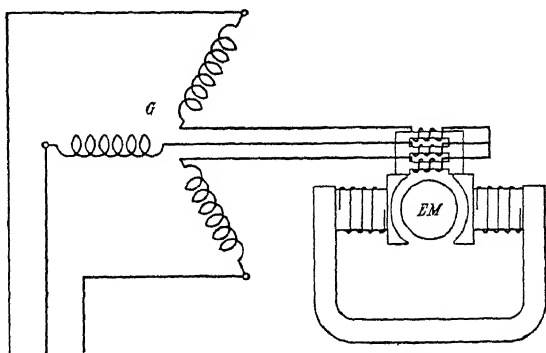


Fig. 140. Kompoundierung von Parsons.

<sup>1)</sup> A. Heyland, „Wechselstrommaschine mit Hilfsfeld zur direkten Kompoundierung der Ankerrückwirkung“, ETZ 1906, S. 1011.

<sup>2)</sup> Parsons' patent compounded alternator, The Electrician Bd. 63, 1909, S. 463.

läßt, die der magnetisierenden Kraft des Gleichstromes entgegengesetzt ist. In Fig. 140 ist die Kompoundierungsanordnung von Parsons dargestellt. Zwischen den Polen der Erregermaschine wird eine aus lamelliertem Eisen angefertigte Brücke angebracht, durch die sich Streukraftlinien schließen. Die Anordnung wird so gewählt, daß der vom Ankerstrom in der Brücke erzeugte Fluß in der Brücke selbst geschlossen ist, ohne durch den Anker oder die Magnete der Erregermaschine seinen Weg zu nehmen. Steigt der rückwirkende Ankerstrom, so wächst das Wechselstromfeld und drückt die Gleichstrom-Streukraftlinien in den Anker zurück, wodurch die Erregerspannung erhöht wird.

**Kompoundierung von Crompton<sup>1)</sup>.** Nach dieser Methode wird nicht der sich über eine Brücke schließende Streufluß, sondern der Hauptkraftfluß der Erregermaschine selbst durch den Wechselstrom beeinflusst. Das hat aber den Nachteil, daß in der Ankerwicklung EMKe der Transformation induziert werden, die einerseits die Kommutation verschlechtern, andererseits den Generator-Kraftfluß pulsierend machen.

**Kompoundierung von M. Seidner<sup>2)</sup>.** Seidner benutzt die Eigenschaft eines Eisenwiderstandes, einen ihn durchfließenden Strom in gewissen Grenzen konstant zu halten unabhängig von der Klemmenspannung. Drückt man auf die Klemmen eines solchen Eisenwiderstandes gleichzeitig Gleich- und Wechselspannung, so wird der aus den Komponenten der beiden Stromarten entstehende resultierende Strom in konstanter Höhe gehalten. Eine Zunahme des Wechselstromes hat dann eine Abnahme des Gleichstromes zur Folge, und umgekehrt. Dies kann in der Weise verwertet werden, daß man die Erregermaschine mit einer entmagnetisierenden Hilfsnebenschlußwicklung versieht, die mit dem Eisenwiderstande hintereinander geschaltet wird. Im Leerlauf hat der durch diese Hilfswicklung fließende Gleichstrom seinen Höchstwert, nimmt aber mit zunehmender Wechselstrombelastung ab, so daß die Erregerspannung zunimmt.

---

<sup>1)</sup> M. Seidner, ETZ 1909, S. 1241.

<sup>2)</sup> M. Seidner, „Ein neues System der Spannungsregelung für Wechselstrom-Generatoren“, ETZ 1908, S. 450.

## Achtes Kapitel.

### Die Arbeitsweise eines Synchronmotors.

47. Die Synchronmaschine als Motor. — 48. Die Arbeitsgleichungen des Synchronmotors. — 49. Das Arbeitsdiagramm der Synchronmaschine — 50. Die synchronisierende Kraft der Synchronmaschine — 51. Einfluß der Impedanz  $z_1$  und der Erregung auf die Arbeitsweise des Synchronmotors. — 52. Kraftübertragung mit zwei Synchronmaschinen.

#### 47. Die Synchronmaschine als Motor.

Die synchrone Wechselstrommaschine kann sowohl als Generator wie als Motor benutzt werden. Die von der Maschine geleistete elektrische Arbeit ist je nach der Richtung des Ankerstromes relativ zu dem Magnetsystem negativ oder positiv. Im ersten Falle arbeitet die Maschine als Motor, im anderen als Generator.

Schickt man einen Mehrphasenstrom durch die Wicklung einer Mehrphasenmaschine, so wird das vom Strome erzeugte Drehfeld mit einer Tourenzahl  $n = \frac{60c}{p}$  relativ zum Anker rotieren. Steht die Armatur still und bringen wir in irgendeiner Weise das Magnetsystem auf die gleiche Tourenzahl  $n$ , so wird das Magnetsystem mitrotieren. Dieses läßt sich am besten in folgender Weise erklären.

Das im stillstehenden Anker erzeugte Drehfeld kann in seiner Wirkung durch einen mit Gleichstrom erregten Magnetkranz ersetzt werden, der mit der gleichen Winkelgeschwindigkeit wie das Drehfeld rotiert. In Fig. 141 sei dies der äußere Ring, während der innere die wirklichen Pole des Magnetrades darstelle. Die Pole entgegengesetzter Polarität ziehen einander an und die der gleichen Polarität stoßen sich gegenseitig ab. Fangt nun der äußere Kranz

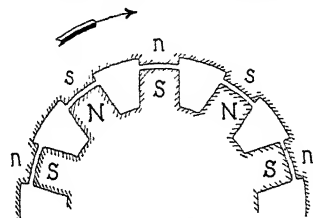


Fig. 141.

langsam an zu rotieren, so werden durch die relative Verschiebung der beiden Magnetsysteme tangential Kräfte entstehen und das Magnetrad wird mitgenommen; denn die Pole des Magnetrades haben das Bestreben, stets dieselbe Lage gegenüber den Polen des gedachten Magnetkranzes, d. h. des Ankers einzunehmen. Die anziehenden und abstoßenden Kräfte zwischen Magnetrad und Magnetkranz können nur ein konstantes und gleichgerichtetes Drehmoment erzeugen, wenn die beiden Felder mit derselben Geschwindigkeit rotieren; bei verschiedener Geschwindigkeit würden nur pulsierende tangential Kräfte entstehen, die sich gegenseitig aufheben. Hieraus folgt, daß die Wechselstrommaschine nur Arbeit als Motor leisten kann, wenn das Magnetrad synchron mit dem Ankerdrehfeld rotiert.

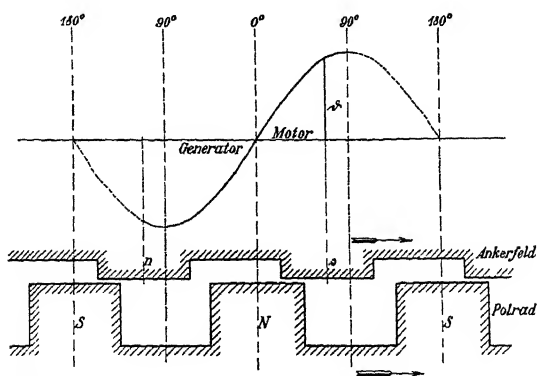


Fig. 142. Drehmoment einer Synchronmaschine in Abhängigkeit von der gegenseitigen Lage der Feld- und Ankerpole.

Hat das Magnetrad kein äußeres Drehmoment zu überwinden, so werden die Pole des Magnetrades sich, wie die Fig. 141 zeigt, gerade gegenüber den Polen entgegengesetzter Polarität des Ankerfeldes einstellen. Hat aber das Magnetrad eine mechanische Arbeit zu leisten, so verschieben sich die beiden Felder gegeneinander, und zwar eilen die Pole des Ankerfeldes denen des Magnetrades vor. Die Größe des ausgeübten Drehmomentes wird bei konstanter Stärke der Pole bis zu einer gewissen Grenze mit zunehmender Verschiebung wachsen, etwa so wie es die Fig. 142 darstellt. Die Ordinaten geben die Größe des Drehmomentes für die jedesmalige Lage der Mitte des Südpoles  $s$  als Abszisse an. In dem Bereich, in dem die Pole des Magnetrades denen des Ankerfeldes von  $0^\circ$  bis  $90^\circ$  nacheilen, arbeitet die Maschine als Motor, und in dem Bereich, wo die Magnetpole den Ankerpolen von  $0^\circ$  bis  $90^\circ$  voreilen, als Generator. In dem übrigen Bereich, in dem man von  $90^\circ$

bis  $180^\circ$  Nach- oder Voreilung hat, ist der Gang unstabil. Denkt man sich z. B. bei Stillstand, daß die Pole gleicher Polarität einander gegenüberstehen, so wird das Magnetrad, wenn keine äußeren Kräfte darauf wirken, sich im labilen Gleichgewicht befinden, das durch jede äußere Kraft gestört werden kann.

In Wirklichkeit liegen die Verhältnisse nicht so einfach, da wir keinen Betrieb mit konstantem Ankerfeld, d. h. konstantem Strom haben, sondern mit konstanter Klemmenspannung. Ferner ändert der Ankerstrom mit der gegenseitigen Lage der Pole seine Größe und Phase. Der stabile Arbeitsbereich der Maschine ist daher für den Motor etwas kleiner und für den Generator etwas größer als  $\frac{\pi}{2}$  (vgl. Fig. 148).

Hat man es mit einem Einphasenmotor zu tun, so läßt die Zerlegung des Wechselfeldes in zwei Drehfelder, von denen das inverse von den Wirbelströmen in dem Magnetsystem fast vernichtet wird, die gleiche Erklärungsweise zu.

#### 48. Die Arbeitsgleichungen des Synchronmotors.

Wir behandeln zuerst den Fall, in welchem der Synchronmotor an ein Netz von konstanter Spannung  $P$  und konstanter Periodenzahl  $c$  angeschlossen ist. Im folgenden beziehen sich alle Schemata und Diagramme auf Einphasen-Synchronmotoren, da die für diese abgeleiteten Formeln und Diagramme auch für jede Phase eines Mehrphasen-Synchronmotors allgemein gültig sind.

Die Leitung, die dem Motor den Strom vom Netz zuführt, hat die Impedanz  $z_l = \sqrt{r_l^2 + x_l^2}$ , die Ankerwicklung des Motors die Impedanz  $z_a = \sqrt{r_a^2 + x_a^2}$ ;  $r_a$  ist der effektive Widerstand und  $x_a$  die effektive sogenannte synchrone<sup>1)</sup> Reaktanz der Wicklung. Diese letztere ist nicht konstant, sondern abhängig von dem inneren Phasenverschiebungswinkel  $\psi$  des Motors, von der Ankerstromstärke  $J$  und der Felderregung. In der Ankerwicklung des Motors wird eine EMK induziert; sie heißt die gegenelektromotorische Kraft des Motors in Bezug auf das Netz und wir bezeichnen sie mit  $(-E)$ , so daß  $+E$  die zur Kompensation erforderliche Komponente der Netzspannung ist.

Wir erhalten somit als äquivalente Schaltung des Motors mit Zuführungsleitungen die in Fig. 143 dargestellte. Dem Stromzweige  $AB$  wird eine Leistung zugeführt, die der elektromagnetischen Leistung des Motors entspricht. Ein kleiner Teil der elektromagnetischen Energie geht durch die Hysteresis- und Wirbelstromverluste im Ankerkörper in Wärme über. Der übrige Teil wird

<sup>1)</sup> s. Abschnitt 58.

in mechanische Energie umgewandelt, die abzüglich der Reibungsverluste als nutzbare Energie von der Welle des Synchronmotors abgegeben wird.

Der Stromzweig  $BC$  hat die Impedanz

$$z_1 = \sqrt{r_1^2 + x_1^2},$$

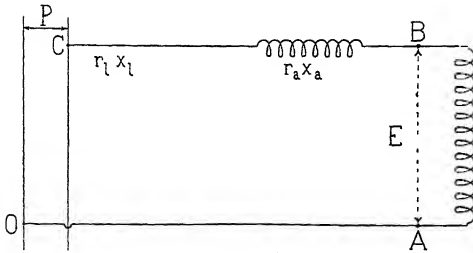


Fig. 143.

wo  $r_1 = r_l + r_a$  abgesehen von dem Einfluß der Temperaturänderung eine konstante Größe ist. Die Reaktanz  $x_1 = x_l + x_a$  ist, wie wir früher gesehen haben, eine variable Größe. Wir nehmen sie vorläufig als konstant an. Den Einfluß der Veränderlich-

keit von  $x_a$  auf die Arbeitsweise der Synchronmaschine werden wir in einem weiteren Kapitel untersuchen.

Wir machen die Annahme, daß die Kurvenform sinusförmig sei, sowohl für die Klemmenspannung  $P$  wie für die EMK  $E$ .

Es bezeichne nun:

$P$  die Spannung des Netzes an den Klemmen der Zuführungsleitungen zum Motor,

$-E$  die im Motor induzierte EMK,

$Jz_1$  die Impedanzspannung der Leitungen und der Ankerwicklung des Motors,

$J$  den dem Motor zugeführten Strom,

$\varphi$  die äußere Phasenverschiebung zwischen  $P$  und  $J$ ,

$\psi$  die innere Phasenverschiebung zwischen  $E$  und  $J$ ,

$\psi_1 = \arctg \frac{x_1}{r_1}$  die Phasenverschiebung zwischen  $P$  und  $J$  für  $E = 0$ ,

$\Theta = \varphi - \psi$  den Winkel zwischen induzierter EMK und Klemmenspannung,

$W_1 = PJ \cos \varphi$  die an den Klemmen der Leitung zugeführte Leistung,

$W_a = W_1 - V_1 = EJ \cos \psi$  die dem Motor zugeführte elektromagnetische Leistung, die die Größe des Drehmomentes bestimmt.

$\frac{\omega}{p}$  die räumliche Winkelgeschwindigkeit,

$W_a = \frac{\omega}{p} \vartheta$  wird oft das Drehmoment in synchronen Watt





Im folgenden wollen wir zunächst betrachten:

1. Das **Arbeitsdiagramm** des Motors, das uns bei gegebener Klemmenspannung  $P$ , Impedanz  $z_1$  und EMK  $E$  die Abhängigkeit der Stromstärke  $J$  von dem Drehmoment  $W_a$  darstellt.

2. Die **V-Kurve**, die uns bei gegebener Klemmenspannung  $P$ , Impedanz  $z_1$  und Drehmoment  $W_a$  die Abhängigkeit der Stromstärke  $J$  von der EMK  $E$  angibt.

Von diesen beiden Arbeitszuständen ausgehend läßt sich das Verhalten des Synchronmotors in allen übrigen Fällen leicht erklären.

Bevor wir aber an die genannten Aufgaben herantreten, wollen wir noch die Formeln für die Leistungen  $W_1$  und  $W_a$  etwas umformen. Aus dem Diagramm (Fig. 145) folgt, daß die dem Stromkreis zugeführte Leistung gleich

$$W_1 = PJ \cos \varphi$$

und daß das Drehmoment in synchronen Watt gleich

$$W_a = EJ \cos \psi$$

ist. Projizieren wir die Seiten des Dreiecks  $\overline{OAC}$  auf eine zu  $\overline{CA}$  unter dem Winkel  $\varphi$  geneigte Gerade  $\overline{XX_1}$ , so erhalten wir

$$Jz_1 \cos \varphi = P \cos \psi_1 - E \cos (\psi_1 \mp \Theta)$$

oder

$$J \cos \varphi = \frac{1}{z_1} [P \cos \psi_1 - E \cos (\psi_1 \mp \Theta)].$$

Das obere negative Vorzeichen für  $\Theta$  bezieht sich auf Generatoren und das untere positive auf Motoren, wenn wir unter  $\Theta$  in beiden Fällen eine positive Zahl verstehen.

In analoger Weise ergibt sich durch Projektion desselben Dreiecks auf eine zu  $\overline{CA}$  unter dem Winkel  $\psi$  geneigte Gerade  $\overline{X_1X_1}$

$$J \cos \psi = \frac{1}{z_1} [P \cos (\psi_1 \pm \Theta) - E \cos \psi_1].$$

Es werden somit die beiden Leistungen

$$W_1 = \frac{P}{z_1} [P \cos \psi_1 - E \cos (\psi_1 \mp \Theta)] \quad . . . \quad (84)$$

$$W_a = \frac{E}{z_1} [P \cos (\psi_1 \pm \Theta) - E \cos \psi_1] \quad . . . \quad (85)$$

welche Ausdrücke nur die beiden Variablen  $E$  und  $\Theta$  enthalten.



Seite  $\overline{OP_0}$  des Dreieckes gibt uns somit den Vektor der Impedanzspannung  $Jz_1$ . Dividieren wir diesen Vektor durch  $z_1$ , so erhalten wir den Stromvektor  $J$ , der um den Winkel  $\psi_1$  gegen  $Jz_1$  verzögert ist. Die Endpunkte der Vektoren  $J$  liegen daher auf einem Kreise  $K$ , dessen Mittelpunkt  $O_1$  auf einer Geraden durch den Nullpunkt unter dem Winkel  $\psi_1 = \arctg \frac{x_1}{r_1}$  zur Ordinatenachse in dem Abstände  $\overline{OO_1} = \frac{\overline{OM_0}}{z_1}$  liegt. Wir haben somit das Dreieck  $OM_0P_0$  um den Winkel  $\psi_1$  um  $O$  zu drehen und dessen Seiten durch  $z_1$  zu dividieren. Der Kreis  $K$  mit dem Radius  $\frac{E}{z_1}$  ist das gesuchte Arbeitsdiagramm des Motors.

Die Ordinaten des Kreises  $K$  geben den Wattstrom und die Abszissen den wattlosen Strom des Motors.

Da  $E$  konstant ist und  $J$  nie gleich Null wird, kann das Drehmoment  $W_a = EJ \cos \psi$  nur gleich Null werden, wenn  $E$  und  $J$  senkrecht aufeinander stehen. Es ist im Stromdiagramm  $\overline{OP} = J$ ,  $\overline{OO_1} = \frac{P}{z_1}$  und  $\overline{O_1P} = \frac{-E}{z_1}$ . Damit  $W_a = 0$  wird, müssen  $E$  und  $Jz_1$  oder  $\overline{O_1P} = \frac{-E}{z_1}$  und  $\overline{OP} = J$  miteinander einen Winkel  $\frac{\pi}{2} \pm \psi_1$  einschließen. Der geometrische Ort für die Punkte, von denen aus die Strecke  $\overline{OO_1}$  unter dem Winkel  $\frac{\pi}{2} \pm \psi_1$  gesehen wird, liegen auf einem Kreis durch die Punkte  $O$  und  $O_1$ , dessen Mittelpunkt  $M$  auf einer Geraden unter dem Winkel  $\psi_1$  zu  $\overline{OO_1}$  liegt, also auf der Ordinatenachse. Der Winkel  $\angle OO_1M$  ist somit auch gleich  $\psi_1$ .

Wir ziehen  $\overline{MQ} \perp \overline{OO_1}$ . Es wird  $\overline{OQ} = \overline{O_1Q} = \frac{P}{2z_1}$  und

$$\overline{OM} = \frac{P}{2z_1} \frac{1}{\cos \psi_1} = \frac{P}{2r_1}.$$

Das war auch zu erwarten, denn in jedem Stromkreis mit vorgeschalteter Impedanz lassen sich, wenn das Stromdiagramm ein Kreis ist, die Diagrammpunkte, für die  $W_1 - V_1 = 0$  ist, dadurch bestimmen, daß man mit einem Radius von  $\frac{P}{2r_1}$  einen Kreis durch den Ursprung schlägt (WT I, S. 82).

Wir bezeichnen hier die Linie  $\overline{AB}$ , die die Kreispunkte  $W_a = 0$  verbindet, als Drehmomentlinie  $\Re_a = 0$ . Sie ist senkrecht zu  $\overline{O_1M}$ , bildet daher mit  $\overline{OO_1}$  den Winkel  $\frac{\pi}{2} - \psi_1$  und mit der Ab-

szissenachse den Winkel  $\pi - 2\psi_1$ . Ein Ordinatenabschnitt zwischen der Drehmomentlinie und dem Kreise  $K$  wird ein Maß für das Drehmoment des Motors. Um dieses zu erhalten, muß man die Abschnitte in Ampere mit  $(P - 2\nu r_1)$  gleich  $P(1 - 2\cos^2\psi_1)$  multiplizieren, wo  $\nu = \frac{P}{z_1} \cos\psi_1$  die Ordinate des Mittelpunktes  $O_1$  bedeutet (s. WT I, S. 81). Man kann aber auch den Abstand des Punktes  $P$  von der Drehmomentlinie  $\mathfrak{B}_a = 0$  (s. Fig. 146) als Maß für das Drehmoment benutzen; denn alle Abstände bilden denselben Winkel mit den Ordinatenabschnitten wie die Drehmomentlinie mit der Abszissenachse. Dieser Winkel ist nach dem Vorhergehenden gleich  $\pi - 2\psi_1$ . Um das Drehmoment  $W_a$  zu erhalten, müssen wir somit den Abstand des Punktes  $P$  von der Drehmomentlinie mit

$$\frac{P - 2\nu r_1}{\cos(\pi - 2\psi_1)} = \frac{P(1 - 2\cos^2\psi_1)}{\cos(\pi - 2\psi_1)} = P$$

d. h. mit der Klemmenspannung multiplizieren.

Da die EMK  $E$  konstant ist, sind die Eisenverluste nur abhängig von dem wattlosen Strom, d. h. von der Abszisse des Punktes  $P$ . Mit zunehmendem aufgenommenem nacheilendem wattlosem Strom, d. h. voreilendem abgegebenem Strom nimmt die Sättigung der Synchronmaschine zu und also auch die Eisenverluste. Es können deswegen die Eisen- und Reibungsverluste  $V_a = E^2 g_a$  angenähert für kleine Winkel  $\Theta$  berücksichtigt werden, indem wir von allen Ordinatenabschnitten zwischen der Drehmomentlinie und dem Kreise  $K$  ein mit der Abszisse des Punktes zunehmendes Stück

$$\frac{V_a}{P - 2\nu r_1} = \frac{V_a}{P(1 - 2\cos^2\psi_1)}$$

subtrahieren. Mit anderen Worten eine gegen die Leistungslinie  $\mathfrak{B}_a = 0$  schwach geneigte Gerade gibt uns die Linie  $\mathfrak{B} = 0$  für die Nutzleistung des Motors.

Die Verlustlinie  $\mathfrak{B}_1 = 0$ , deren Abstände von den Kreispunkten uns ein Maß für die Stromwärmeverluste  $V_1 = J r_1^2$  geben, ist (s. WT I, Fig. 79) parallel der Polare des Ursprunges  $O$  in bezug auf den Stromkreis  $K$  und halbiert den Abstand zwischen  $O$  und der Polare. Wir finden die Linie  $\mathfrak{B}_1 = 0$ , indem wir durch den Schnittpunkt der Linie  $\mathfrak{B}_a = 0$  mit der Abszissenachse  $\mathfrak{B}_1 = 0$  eine senkrechte zu  $\overline{O_1 O}$  ziehen. Sie geht durch den Schnittpunkt  $S_3$  der Geraden  $\mathfrak{B}_1 = 0$  und  $\mathfrak{B}_a = 0$ , denn es ist  $V_1 = 0$ , wenn  $W_1 = 0$  und daher auch  $W_a = 0$  ist.

Wir können nun in einfacher Weise die Wirkungsgrade  $\eta$  und  $\eta_1$  der einzelnen Teile der Arbeitsübertragung bestimmen. Es ist

$$\eta_1 = \frac{W_a}{W_1} \quad \text{oder} \quad \eta_1 \% = \frac{W_a}{W_1} 100$$

$$\eta = \frac{W}{W_1} \quad \text{oder} \quad \eta \% = \frac{W}{W_1} 100.$$

Da das elektrische Güteverhältnis

$$\eta_1 = \frac{W_a}{W_1} = \frac{W_1 - V_1}{W_1}$$

ist, so finden wir es (s. WT I, S. 85) durch Ziehen einer Parallelen (Fig. 146) zur Linie  $\mathfrak{B}_1 = 0$ , d. h. zur Abszissenachse und durch Einteilung des zwischen den Linien  $\mathfrak{B}_1 = 0$  und  $\mathfrak{B}_a = 0$  abgeschnittenen Stückes in 100 gleiche Teile, wie dies in der Figur gezeigt ist

Den Wirkungsgrad

$$\eta = \frac{W}{W_1} = \frac{W_1 - V}{W_1}$$

erhält man in gleicher Weise wie oben durch Ziehen einer Parallelen zur Linie  $\mathfrak{B}_1 = 0$  und durch Einteilung des zwischen den Linien  $\mathfrak{B} = 0$  und  $\mathfrak{B}_1 = 0$  abgeschnittenen Stückes in 100 gleiche Teile, wie dies auch in der Figur gezeigt ist.

Es ist  $V = V_a + V_1 = W_1 - W$ , also ist  $V = 0$  für  $W_1 = 0$  und  $W = 0$ , d. h. es geht die Linie  $\mathfrak{B} = 0$  durch den Schnittpunkt  $S_1$  der Linien  $\mathfrak{B}_1 = 0$  und  $\mathfrak{B} = 0$  und ist, da  $V_a$  einen mit dem wattlosen Strom zunehmenden Verlust darstellt, gegen die Linie  $\mathfrak{B}_1 = 0$  schwach geneigt. In dieser Weise ergeben sich die in der Figur dargestellten Wirkungsgradlinien.

Das Arbeitsdiagramm mit Leistungslinien und Wirkungsgradlinien gibt uns nun vollständig Aufschluß über die Arbeitsweise des Synchronmotors bei konstanter Klemmenspannung und Felderregung.

Wir haben bis jetzt die Verluste durch die Gleichstromerregung im Stromdiagramm vernachlässigt. Dies ist auch am zweckmäßigsten, wenn der Motor von einer fremden Stromquelle, die nicht mit dem Motor gekuppelt ist, erregt wird. Sind die Erregerverluste  $V_e$ , so wird in diesem Falle der Wirkungsgrad

$$\eta' = \frac{W}{W_1 + V_e} = \frac{\frac{W}{W_1}}{1 + \frac{V_e}{W_1}} = \frac{\eta}{1 + \frac{V_e}{W_1}},$$

wo  $\eta$  den dem Diagramm entnommenen Wirkungsgrad bedeutet.

Besitzt der Motor entweder Selbsterregung, indem ein Teil des zugeführten Wechselstromes in Gleichstrom umgeformt wird, oder wird der Erregerstrom von einer auf der Welle des Motors angebrachten Erregermaschine geliefert, so können die Erregerverluste, in denen auch die Verluste in der Erregermaschine selbst begriffen sind, im Kreisdiagramm durch eine Vergrößerung der Konduktanz  $g_a$  berücksichtigt werden. Da diese Verluste unter Annahme konstanter Felderregung ebenso wie die Reibungsverluste des Motors konstant sind, so ergibt dann der dem Diagramm entnommene Wirkungsgrad  $\eta$  den wahren Wirkungsgrad der Arbeitsübertragung.

Bei Leerlauf arbeitet der Motor im Punkte  $C$  auf dem Kreise  $K$ . Belastet man ihn, so steigt der Wattstrom und der Punkt  $P$  verschiebt sich auf dem Kreise  $K$  nach oben. Bei der in Fig. 146 angenommenen Erregung ( $E$ ) liegt der Kreis  $K$  vollständig links von der Ordinatenachse und die Maschine kann somit bei der angenommenen Klemmenspannung und Erregung nur phasenverspatete Ströme vom Netz aufnehmen. Treibt man dagegen die Maschine an, so werden, wenn der Punkt  $P$  mit  $A$  zusammenfällt, die Verluste  $V_a$  gedeckt, und liegt der Punkt  $P$  unterhalb der Abszissenachse, wo der Wattstrom negativ ist, so liefert die Maschine Strom als Generator.

Die Maschine wird als Motor erst dann außer Tritt fallen und stehen bleiben, wenn das von den elektrischen Kräften ausgeübte Drehmoment sein Maximum erreicht hat. Dies ist der Fall, wenn der Punkt  $P$  mit dem Punkte  $R$  zusammenfällt, denn weil  $\overline{O_1 R}$  senkrecht auf der Drehmomentlinie  $\mathfrak{B}_a = 0$  steht, wird  $\overline{R Q}$  der größte Ordinatenabschnitt zwischen der Drehmomentlinie und dem Kreise  $K$ .

Wenn die Wechselstrommaschine als Generator arbeitet, wird die Antriebsmaschine mit ihr nicht durchgehen, solange die von der Wechselstrommaschine verbrauchte Leistung noch steigt; dies ist der Fall bis zu dem zu  $R$  diametralen Punkte  $T$ . In diesem Punkte ist die von der Antriebsmaschine aufgewandte Leistung ein Maximum. Die Linie  $\overline{RT}$  stellt somit die Stabilitätsgrenze der Wechselstrommaschine als Generator und Motor dar. Die Maschine hat einen etwas kleineren Arbeitsbereich als Motor wie als Generator.

Die maximale Leistung des Motors erhält man im Punkte  $R$ , für den  $\Theta = \psi_1$  ist.

Es ist nach Gl. 85 für einen Motor

$$W = W_a - V_a = \frac{E}{z_1} [P \cos(\psi_1 - \Theta) - E \cos \psi_1] - V_a,$$

also

$$\begin{aligned} W_{M, \max} &= \frac{E}{z_1} (P - E \cos \psi_1) - V_a \\ &= \frac{EP}{z_1} - \frac{E^2}{z_1} \cos \psi_1 - V_a \cong \frac{EP}{z_1} - V_a \quad . \quad . \quad (86) \end{aligned}$$

Die maximale elektrische Leistung des Generators erhält man im Punkte  $U$ ; denn der Ordinatenschnitt zwischen  $\Re_1 = 0$  und dem Kreis  $K$  bzw. der Wattstrom des Generators ist hier ein Maximum.

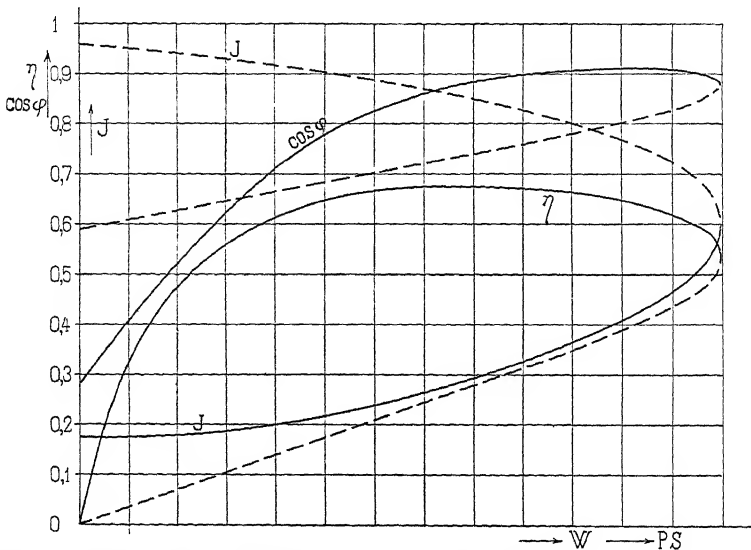


Fig. 147. Stromstärke, Wirkungsgrad und Leistungsfaktor eines Synchronmotors in Abhängigkeit von der Belastung bei konstanter Spannung (entnommen aus Fig. 146)

Es ist nach Gl. 84 für einen Generator

$$W_1 = \frac{P}{z_1} [P \cos \psi_1 - E \cos(\psi_1 - \Theta)].$$

Für den Punkt  $U$ , wo die Maschine als Generator arbeitet, ist nach S. 180  $\Theta$  ebenfalls gleich  $\psi_1$ , also

$$W_{G, \max} = - \left( \frac{PE}{z_1} - \frac{P^2}{z_1} \cos \psi_1 \right) \quad . \quad . \quad . \quad (87)$$

Die maximalen Leistungen der Maschine als Generator und Motor weichen bei gegebener Klemmenspannung und Felderregung dem absoluten Betrage nach um

$$W_{M, \max} - (-W_{G, \max}) = \frac{P^2 - E^2}{z_1} \cos \psi_1 - V_a$$

voneinander ab. Da die EMK fast stets gleich der Klemmenspannung  $P$  und  $\cos \psi_1$  meist sehr klein ist, so leistet die Maschine in beiden Fällen fast dasselbe.

In Fig. 147 sind als Funktion der Belastung die Stromstärke  $J$ , der Wirkungsgrad  $\eta$  und der Leistungsfaktor  $\cos \varphi$ , welche Größen alle dem Diagramm entnommen sind, aufgetragen. Die strichpunktierten Teile der Kurven beziehen sich auf den labilen Zustand. Die Kurven entsprechen der Arbeitsweise der Maschine als Motor; die Kurven für die Arbeitsweise als Generator würden auf der linken Seite der Ordinatenachse einzuzichnen sein, haben jedoch weniger Bedeutung.

## 50. Die synchronisierende Kraft der Synchronmaschine.

Nach Gl. 85 ist das Drehmoment in synchronen Watt

$$W_a = \frac{E}{z_1} [P \cos (\psi_1 \pm \Theta) - E \cos \psi_1].$$

Tragt man  $W_a$  als Funktion von  $\Theta$  in einem Koordinatensystem auf, wobei nach links für den Motor das Minuszeichen, nach rechts für den Generator das Pluszeichen gilt, so erhält man eine Sinus-

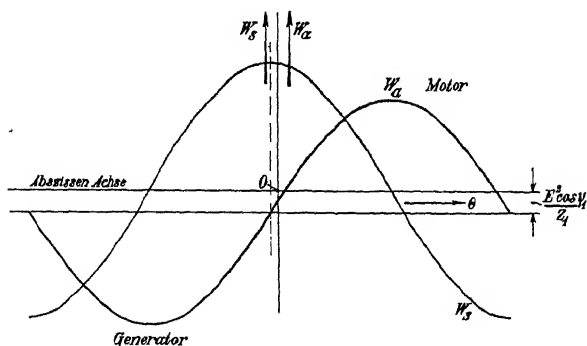


Fig 148. Drehmoment und synchronisierende Kraft als Funktion des Winkels  $\Theta$ .

kurve (Fig. 148), deren Mittelachse um  $\frac{E^2 \cos \psi_1}{z_1}$  niedriger als die Abszissenachse liegt. Diese Kurve bezeichnen wir als die Drehmomentkurve. Der obere Teil rechts der Ordinatenachse bezieht



sich auf die Synchronmaschine als Motor, während auf dem unteren Teile links der Ordinatenachse die Maschine als Generator arbeitet.

Treten Belastungsschwankungen auf, so ändert sich der Winkel  $\Theta$  und umgekehrt bewirkt eine Änderung dieses Winkels eine Belastungsänderung. Bei Pendelerscheinungen führt das Magnetrad außer seiner rotierenden Bewegung noch Schwingungen um eine Mittellage aus; diese bewirken daher Belastungsschwankungen im elektrischen Stromkreise.

Die Größe dieser Schwankungen ist erstens von dem Winkel  $\Theta$  und zweitens von der Schräge der Drehmomentkurve abhängig. Die Schräge der Drehmomentkurve ist direkt ein Maß für die Kraft, mit der das Magnetrad bei der Entfernung um eine Winkereinheit aus seiner Mittellage in dieselbe zurückgezogen wird. Diese Kraft heißt man die synchronisierende Kraft  $W_s$  der Synchronmaschine. Sie ist

$$W_s = \frac{dW_a}{d\Theta} = \frac{EP}{z_1} \sin(\psi_1 \pm \Theta) \quad . \quad . \quad . \quad (88)$$

oder, da  $\psi_1 \cong 90^\circ$  ist,

$$W_s \cong \frac{EP}{z_1} \cos \Theta.$$

Die maximale synchronisierende Kraft erhalten wir für  $\psi_1 \pm \Theta = \frac{\pi}{2}$ . Diese ist gleich

$$W_{smax} = \frac{EP}{z_1} \quad . \quad . \quad . \quad . \quad . \quad . \quad (89)$$

Das maximale Drehmoment in synchronen Watt bei einer bestimmten Erregung tritt auf für  $\psi_1 \pm \Theta = 0$  und es folgt aus Gl. 85

$$W_{amax} = \frac{E}{z_1} (P - E \cos \psi_1) \cong \frac{E}{z_1} P \quad . \quad . \quad . \quad (90)$$

Wie wir sehen, ist das maximale Drehmoment angenähert gleich der maximalen synchronisierenden Kraft einer Maschine und das Verhältnis

$$k_u = \frac{W_{amax}}{W_a} = \frac{W_{smax}}{W_a} = \frac{EP}{W_a z_1}$$

ein Maß für die Überlastungsfähigkeit der Maschine. Alle diese Formeln beziehen sich nur auf konstante Reaktanz  $z_1$ . Bei variabler Reaktanz ändern sie sich bedeutend, wie im Kapitel X gezeigt werden soll

## 51. Einfluß der Impedanz $z_1$ und der Erregung auf die Arbeitsweise des Synchronmotors.

Wir wollen nun den Einfluß der Impedanz  $z_1$  und der Erregung auf die Leistungsfähigkeit und Arbeitsweise des Motors untersuchen.

Laßt man die Größe der Impedanz

$$z_1 = \sqrt{r_1^2 + x_1^2}$$

konstant und ändert nur das Verhältnis  $\frac{x_1}{r_1}$ , so wird der Mittelpunkt  $O_1$  des Stromdiagramms einen Kreis (Fig. 149) mit dem Radius  $\frac{P}{z_1}$  um  $O$  beschreiben. Je größer  $r_1$  oder  $\cos \psi_1 = \frac{r_1}{z_1}$  bzw. je kleiner  $\psi_1$  wird, desto kleiner wird die maximale Leistung des Motors und Generators; denn es werden die Abstände zwischen dem Kreise und der Drehmomentlinie kleiner.

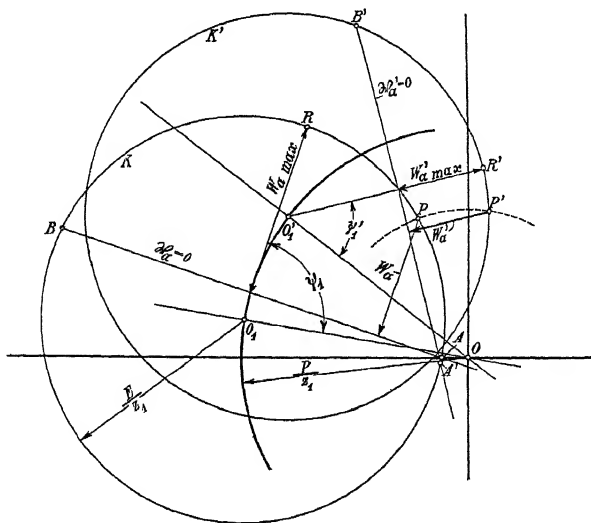


Fig. 149. Stromdiagramm bei veränderlichem Verhältnis  $\frac{x_1}{r_1}$ .

Da ferner der Radius des Stromdiagramms gleich  $\frac{E}{z_1}$  ist, wird die Leistung des Motors um so größer, je kleiner  $z_1$  gemacht wird. Dies geht auch direkt aus den Formeln für  $W_{a \max}$  und  $W_{1 \max}$  hervor. Um eine große Überlastungsfähigkeit des Motors zu erhalten, soll man deswegen die Impedanz  $z_1$  und das Verhältnis  $\frac{r_1}{z_1} = \cos \psi_1$  möglichst klein machen.



Strom; dieser letztere dient dann zur Speisung der asynchronen Motoren.

Aus Fig. 150 läßt sich auch das zu jedem  $E$  zugehörige  $W_{amax}$  entnehmen; alle entsprechenden Punkte liegen auf der Stabilitätslinie. Wie ersichtlich, ist für  $K_3$   $W_{amax}$  größer als für  $K_2$  und für  $K_2$  größer als für  $K_1$ . Die Vergrößerung der Leistungsfähigkeit des Synchronmotors durch Erhöhung der Gegen-EMK  $E$  geht aber nur bis zu einer gewissen Grenze. In Fig. 151 ist  $W_{amax}$  als Funktion von  $\frac{E}{P}$  dargestellt. Von einem bestimmten Werte  $\frac{E}{P}$  an beginnt  $W_{amax}$  zu fallen. Es kann deswegen vorkommen, daß ein Motor, der über eine lange Leitung mit großem Widerstand gespeist wird, bei Übererregung außer Tritt fällt. Das geht aus folgender Betrachtung hervor.

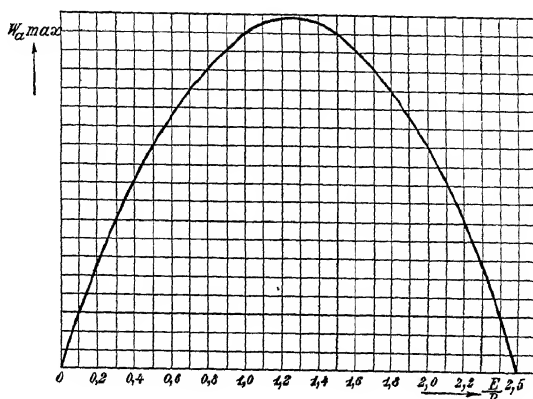


Fig. 151. Maximales Drehmoment als Funktion der EMK  $E$

Das maximale Drehmoment des Motors ist gleich

$$W_{amax} = \frac{E}{z_1} (P - E \cos \psi_1).$$

Differenziert man diesen Ausdruck nach  $E$  und setzt den Differentialquotienten gleich Null, so ergibt sich

$$P - 2 E \cos \psi_1 = 0$$

oder

$$E = \frac{P}{2 \cos \psi_1} \quad . \quad . \quad . \quad . \quad . \quad (91)$$

Es wird somit das absolute Maximum des Drehmomentes gleich

$$W'_{amax} = \frac{P}{2 z_1 \cos \psi_1} \left( P - \frac{P}{2} \right)$$

oder

$$W'_{amax} = \frac{P^2}{4r_1} \quad . \quad . \quad . \quad . \quad . \quad (92)$$

Wie ersichtlich, wird der Ohmsche Widerstand bei jeder Erregung die Stabilität stark beeinflussen. Für das absolute Maximum des Drehmomentes wird der Vektor  $\frac{E}{z_1}$  mit  $\overline{MO_1}$  (Fig. 146) zusammen-

fallen, denn es ist für diese Lage und Größe von  $\frac{E}{z_1}$  sowohl die Bedingung für  $W_a$  gleich einem Maximum erfüllt, da  $\psi_1 = \Theta$  ist, wie die Bedingung (Gl. 91) für  $W_{amax}$  gleich einem Maximum, da

$$\frac{E}{z_1} = \frac{P}{2r_1} = \frac{P}{2z_1 \cos \psi_1} = \overline{MO_1}.$$

Wir erhalten somit das absolute Maximum des Drehmomentes  $W_a$  für eine Erregung, bei der der Kreis  $K$  durch den Punkt  $M$  geht. Wird die Erregung noch mehr vergrößert, so nimmt  $W_a$  wieder ab.

Dieses absolute Maximum von  $W_a$  kommt für den praktischen Betrieb nicht in Betracht, da die Dauerleistung eines Synchronmotors wegen der Erwärmung viel tiefer liegt. Ein gut gebauter Synchronmotor wird eher verbrennen, als wegen Überlastung außer Tritt fallen. Da aber die Leistungsfähigkeit der Motoren durch äußere Störungen, wie Spannungs- oder Geschwindigkeitsänderungen stark beeinträchtigt wird, und da ferner nicht erwünscht ist, daß der Motor bei einer momentanen Überlastung außer Tritt fällt, so wählt man deswegen gewöhnlich die maximale Leistung der Synchronmotoren etwa doppelt so groß als die normale. In einzelnen Fällen, in denen eine Überlastung nicht zu erwarten ist, z. B. wenn die Synchronmotoren Gleichstrommaschinen zur Ladung von Akkumulatorenbatterien treiben, genügt es, die maximale Leistung des Motors 25% größer als die normale zu wählen.

Sind, wie es meistens der Fall ist,  $E$  und  $P$  nicht sehr verschieden, so tritt das absolut größte Drehmoment, wie aus der Bedingung Gl. 91 zu ersehen ist, bei  $2 \cos \psi_1 = 1$  ein, d. h. wenn  $\cos \psi_1 = \frac{1}{2}$  oder die Reaktanz  $x_1 = \sqrt{3}r_1$  wird. Da die Reaktanz der Wechselstrommaschinen stets größer ist, als dieser Gleichung entspricht, so wird im allgemeinen jede Vergrößerung derselben die Maximalleistung heruntersetzen. Nur in Fällen, in denen der Motor über eine sehr lange Leitung von großem Widerstand gespeist wird, kann es einen Zweck haben, die Reaktanz  $x_1$  des Motors absichtlich zu vergrößern. In diesem Falle kann man auch dem Motor eine Drosselspule vorschalten. Eine Vergrößerung der Reaktanz  $x_1$  und somit von  $\psi_1$

ermöglicht eine Vergrößerung von  $\Theta$  innerhalb der Stabilitätsgrenze (vgl. Fig. 149), allerdings unter Verminderung der bei der gegebenen EMK  $E$  erreichbaren Höchstleistung. Die Folge davon ist, daß bei gleicher Leistungszunahme des Motors (Belastungsstoß) die Winkelabweichung  $\Theta$  größer wird, der Stoß also weniger heftig auf den Generator zurückwirkt. Die Maschinen werden weniger Neigung zum Pendeln haben. Ebenso werden bei gleicher Leistungszunahme des Motors die Winkelabweichungen  $\Theta$  um so kleiner, je größer die Erregung des Motors genommen wird; das gilt bis zu einer gewissen Grenze, und zwar bis  $\frac{E}{P}$  den Wert erreicht hat, bei dem  $W_{amax} = W'_{amax}$  wird.

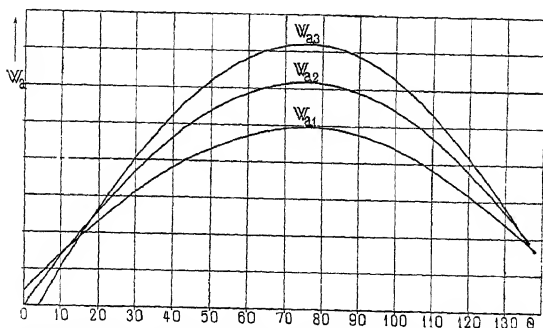


Fig. 152. Drehmoment des Synchronmotors in Abhängigkeit von der Winkelabweichung  $\Theta$  bei verschiedenen Erregungen

Einen guten Überblick über diese Verhältnisse geben die Drehmomentkurven der Fig. 152, die aus dem Diagramm leicht abzuleiten sind. Als Abszissen sind die wirklichen Winkel  $\Theta$ , als Ordinaten die Drehmomente  $W_a$  aufgetragen. Die Kurven gelten für je einen Wert von  $E$ . Ändert sich die Impedanz  $z_1$ , während  $\psi_1$  unverändert bleibt, so ändert sich im Arbeitsdiagramm nur der Maßstab von  $J$  im gleichen Sinne, also in der Kurve nur den Ordinatenmaßstab. Verschiebt sich dagegen bei gleicher Impedanz das Verhältnis von  $\frac{r_1}{z_1} = \cos \psi_1$ , so werden die Kurven für größere Werte von  $\cos \psi_1$  nach unten und für kleinere Werte nach oben verschoben.

Bei der Berechnung von Synchronmotoren ist deswegen sowohl der Widerstand  $r_a$  wie die Synchronreaktanz  $x_a$  möglichst klein zu machen, was durch die Wahl eines großen Kraftflusses pro Pol und kleiner Windungszahl der Ankerwicklung erreicht werden kann. Ist die Impedanz  $z_1$  konstant, was bei der Vollpolmaschine fast der Fall ist, so soll man das Verhältnis  $\frac{r_1}{x_1}$  möglichst klein machen.

## 52. Kraftübertragung mit zwei Synchronmaschinen.

Wir haben bis jetzt angenommen, daß der Synchronmotor an Sammelschienen von konstanter Spannung  $P$  angeschlossen sei. Die abgeleiteten Resultate gelten aber auch für den Fall, daß der Motor von einem einzigen Generator gespeist wird. Bei einer einfachen Arbeitsübertragung, bestehend aus einem Generator, den Leitungen und einem Motor, braucht man nur in den obigen Formeln für  $P$  die im Generator induzierte EMK  $E_g$  und für  $z_1$  die resultierende Impedanz des ganzen Stromkreises einzuführen.  $V_1$  ist der Kupferverlust und  $V_a$  der Leerlaufverlust des ganzen Stromkreises.  $\eta$  gibt somit direkt den Wirkungsgrad der Arbeitsübertragung an.

---

## Neuntes Kapitel.

## Die V-Kurven eines Synchronmotors und seine Anwendung als Phasenregler.

53. Das Stromdiagramm eines Synchronmotors bei konstanter Klemmenspannung und konstantem Drehmoment — 54 Die V-Kurven der Synchronmaschine — 55. Vollständiges Diagramm eines Synchronmotors. — 56 Anwendung der Synchronmotoren als Phasenregler. — 57. Selbsttätige Phasenregler

### 53. Das Stromdiagramm eines Synchronmotors bei konstanter Klemmenspannung und konstantem Drehmoment.

Aus der Hauptgleichung des Synchronmotors (Gl. 83) ging hervor, daß bei gegebener Klemmenspannung  $P$ , Impedanz  $z_1$  und gegebenem Drehmoment  $W_a$  die Stromstärke  $J$  nach einer ganz bestimmten Funktion der EMK  $E$  variiert. Diese Kurve, die uns den Einfluß einer Erregungsänderung auf die Wirkungsweise eines konstant belasteten Motors zeigt, wollen wir jetzt berechnen.

Wir gehen vom Stromdiagramm Fig. 146 aus und tragen<sup>1)</sup> das Dreieck  $OMO_1$  auf, wobei alle Seiten mit  $r_1$  multipliziert werden (Fig. 153). Es ist also  $\overline{OM} = \frac{P}{2}$  und  $\overline{OP} = Jr_1$ .

Tragen wir  $Jx_1 = \overline{PP_0}$  auf,  
so wird  $\overline{OP_0} = Jz_1$ . Wir ver-

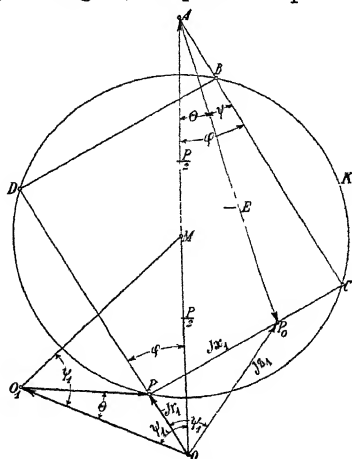


Fig 153.

<sup>1)</sup> Siehe A. Blondel, *Moteurs synchrones à courants alternatifs*. Paris, Gauthier-Villars.



langern  $\overline{OM}$  bis  $A$ , so daß  $\overline{MA} = \overline{OM}$  wird; es wird somit  $\overline{OA} = P$ ,  $\overline{AP}_0 = -E$  und der Winkel  $\angle OAP_0 = \Theta$ . Ziehen wir  $\overline{AC} \parallel J$ , so ist der Winkel  $\angle P_0AC = \varphi - \Theta = \psi$  und  $\overline{CA} = E \cos \psi$ . Wir machen auf  $\overline{AC}$  die Strecke  $\overline{AB} = \overline{OP} = Jr_1$  und verlängern  $\overline{OP}$  bis  $D$ , so daß  $\overline{DO} = \overline{CA} = E \cos \psi$  wird. Es ist daher

$$\overline{AB} \cdot \overline{CA} = \overline{OP} \cdot \overline{DO} = Jr_1 E \cos \psi = W_a r_1.$$

Wird das Drehmoment  $W_a$  konstant gehalten, so wird somit auch

$$\overline{OP} \cdot \overline{DO} = \overline{AB} \cdot \overline{CA} = \text{konstant}$$

und der geometrische Ort für  $P$  und  $D$  bzw.  $B$  und  $C$  wird ein Kreis. Damit für alle Vektoren  $\overline{OP}$  das Viereck  $PDBC$  rechteckig bleibt, muß es ein und derselbe Kreis sein. Der Radius  $R$  dieses Kreises für einen bestimmten Wert von  $W_a$  ergibt sich aus folgender Beziehung

$$(\overline{OM} - R)(\overline{OM} + R) = W_a r_1$$

und da  $\overline{OM} = \frac{P}{2}$

$$\frac{P^2}{4} - R^2 = W_a r_1,$$

also

$$R = \sqrt{\frac{P^2}{4} - W_a r_1}$$

Dividieren wir jetzt alle Vektoren der Fig. 153 durch  $r_1$ , so ändert sich nur der Maßstab; es wird wieder (Fig. 154)  $\overline{OP} = J$ ,  $\overline{OO}_1 = \frac{P}{z_1}$  und  $\overline{O}_1 P = \frac{-E}{z_1}$  und der Kreis  $K$  mit dem Mittelpunkt in  $M$  gibt uns in einem Maßstab, der durch  $\overline{OM} = \frac{P}{2r_1}$  bestimmt ist und mit dem Radius

$$R = \frac{1}{r_1} \sqrt{\frac{P^2}{4} - W_a r_1} = \frac{1}{r_1} \sqrt{r_1 \left( \frac{P^2}{4r_1} - W_a \right)} = \sqrt{\frac{1}{r_1} (W'_{a \max} - W_a)} \quad (93)$$

das Stromdiagramm.

Das Stromdiagramm des Synchronmotors für konstante Klemmenspannung  $P$ , Impedanz  $z_1$  und konstantes Drehmoment  $W_a$  ist somit ein Kreis, dessen Mittelpunkt in  $M$  liegt.

Für  $W_a = 0$  wird

$$R = \frac{P}{2r_1} = \overline{OM},$$

also geht der Stromkreis für das Drehmoment Null durch den Ursprung  $O$ . Dieser ist mit dem Kreise identisch, den wir früher (Fig. 146) als geometrischen Ort für  $\psi = \frac{\pi}{2}$  gefunden haben, denn dann ist

$$W_a = EJ \cos \psi = 0.$$

Für  $W_a = W_{a \max}'$  wird  $R = 0$ , d. h. der Stromkreis schrumpft zum Punkte  $M$  zusammen; das war auch zu erwarten, denn für den Punkt  $M$  ist  $\Theta = \psi$  und

$$\frac{E}{z_1} = \frac{P}{2z_1}$$

oder

$$E = \frac{P}{2 \cos \psi_1}.$$

Wie wir auf S. 185 und 191 gesehen haben, ist  $\Theta = \psi_1$  die Bedingung für das maximale Drehmoment und  $E = \frac{P}{2 \cos \psi_1}$  die Bedingung für  $W_{a \max} = W_{a \max}'$ .

Im Stromdiagramm für konstante EMK  $E$  (Fig. 146) stellte die Linie  $O_1M$  die Stabilitätsgrenze des Motors dar. Auch im Stromdiagramm für konstantes Drehmoment (Fig. 154) hat diese Linie  $O_1M$  dieselbe Eigenschaft. In Fig. 154 ist die Linie  $OO_1$  der Größe und Lage nach bestimmt durch die gegebene Klemmenspannung  $P$  und Impedanz  $z_1$ ; der Punkt  $O_1$  ist also ein fester Punkt.  $\overline{O_1P}$  wird daher ein Maß für die EMK  $E$  bzw. für den Erregerstrom sein, wenn der Endpunkt des Stromvektors  $P$  sich auf dem Kreise  $K$  bewegt. Wie aus dem Stromdiagramm  $K$  ersichtlich, gehören zu einer Erregung  $\overline{O_1P} = \overline{O_1P'}$  zwei verschiedene Werte des Stromes  $\overline{OP}$  und  $\overline{OP'}$ . Von diesen entspricht der größere Strom einem labilen Arbeitszustand des Motors und nur der Teil des Kreises  $K$ , der unterhalb der Linie  $\overline{O_1M}$  liegt, entspricht dem stabilen Gange des Motors. Bei der kleinsten EMK

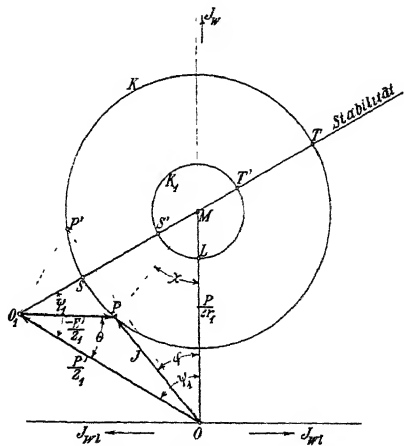


Fig. 154. Stromdiagramm eines Synchronmotors bei konstanter Klemmenspannung und konstantem Drehmoment.

$\frac{E}{z_1} = \overline{SO_1}$ , bei der der Motor noch nicht außer Tritt fällt, erhält man den größten phasenverspateten Strom  $\overline{OS}$ . Erhöht man die Erregung, so nimmt die Stromstärke erst ab, wird ein Minimum bei Phasengleichheit ( $\varphi = 0$ ) und steigt dann wieder. Der Strom ist jetzt phasenverfrüht und steigt bis zu  $\overline{OT}$ , wo die EMK  $E$  ihr Maximum entsprechend  $\frac{E}{z_1} = \overline{TO_1}$  erreicht. Bei weiterer Erhöhung der Erregung fällt der Motor dann außer Tritt.

Wir sehen hieraus, daß der Motor bei konstantem äußerem Drehmoment stehen bleibt, sowohl wenn die Erregung zu niedrig als wenn sie zu hoch gemacht wird. Wie aus dem Diagramm Fig. 154 ersichtlich, weicht bei großen Belastungen (Kreis  $K_1$ ) die minimale Erregung  $\overline{S'O_1}$  ganz wenig von der Erregung für minimalen Strom  $\overline{LO_1}$  ab.

Eine Verkleinerung der Erregung kann in diesem Falle die Stabilität des Motors gefährden. Man darf deswegen, wenn der Motor für Minimalstrom erregt und stark belastet ist, nicht die Erregung heruntersetzen, denn dann fällt der Motor außer Tritt. Dieselbe Wirkung hat auch ein kleiner Belastungsstoß, so daß es günstig ist, den Motor etwas überzuerregen. Wie wir später sehen werden, ist die Gefahr des Außertrittfallens um so größer, je kleiner das Verhältnis  $\frac{x_1}{r_1} = \operatorname{tg} \psi_1$  ist.

Man kann auch in das Stromdiagramm für konstantes Drehmoment  $W_a$  die Verlustlinien einzeichnen; diese haben jedoch hier weniger Interesse.

#### 54. Die $V$ -Kurven der Synchronmaschine.

Entnimmt man dem Stromdiagramm für konstantes Drehmoment (Fig. 154 und 155) die zu jeder EMK  $E$  zugehörige Stromstärke  $J$  und trägt sie in einem Koordinatensystem auf, so erhält man  $V$ -ähnliche Kurven. Diese lassen sich auch analytisch berechnen, und zwar am besten, indem man  $E$  und  $J$  als Funktion einer einzigen Variablen, des Winkels  $\chi$  (Fig. 154) ausdrückt. Da die Ordinate des Mittelpunktes  $M$  gleich

$$\overline{OM} = \frac{P}{2r_1}$$

ist, und der Radius des Kreises  $K$  gleich

$$R = \sqrt{\frac{1}{r_1} \left( \frac{P^2}{4} - W_a \right)}$$



Der Winkel  $\chi$  ist positiv für phasenverspatete aufgenommene Ströme und negativ für phasenverfrühte Ströme. Innerhalb der Stabilitätsgrenze variiert somit  $\chi$  von  $\pi - 2\psi_1$  bis  $-2\psi_1$ .

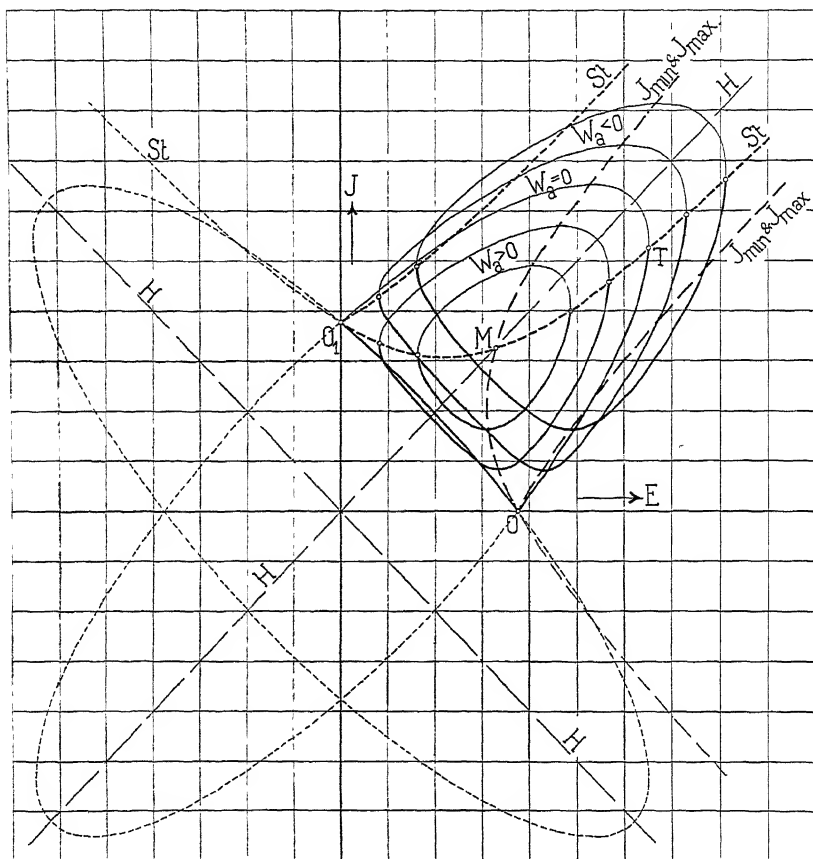


Fig. 156. V-Kurven einer Synchronmaschine. Abhängigkeit des Stromes von der EMK  $E$  bei konstanter Spannung und konstantem Drehmomente.

Für den Zustand  $W_a = 0$ , der dem Leerlauf eines eisenverlust- und reibungslosen Motors entspricht, erhält man

$$J = \frac{P}{r_1 \sqrt{2}} \sqrt{1 - \cos \chi}$$

und

$$E = \frac{P}{\sqrt{2} \cos \psi_1} \sqrt{1 + \cos(2\psi_1 + \chi)}.$$

Für diesen Fall lautet die Grundgleichung des Synchronmotors (s. Gl. 83)

$$P^2 - E^2 - J^2 z_1^2 = \pm 2 x_1 E J.$$

die eine Gleichung zweiten Grades zwischen  $E$  und  $J$  darstellt. Jedem Vorzeichen der rechten Seite entspricht eine Ellipse.

In Fig. 156 sind die beiden Ellipsen eingezeichnet. Ihre großen Achsen sind unter gleichem Winkel gegen die Ordinatenachse geneigt. Die dick ausgezogenen Teile der Ellipsen entsprechen dem unteren Teil des strichpunktiierten Stromdiagramms  $W_a = 0$  (Fig. 155). Auf diesen beiden Ellipsenbogen  $OO_1$  und  $OT$  arbeitet somit die Synchronmaschine beim Drehmomente  $W_a = 0$ . Diese beiden Bogen bilden zusammen ein  $V$  und von dieser Gestalt ruht der Name  $V$ -Kurve her.

In Fig. 156 sind die  $V$ -Kurven für verschiedene Drehmomente eingezeichnet; sie sind aus den Stromdiagrammen (Fig. 155) ermittelt, konnten aber auch analytisch aus den Gleichungen für  $E$  und  $J$  berechnet werden, in denen der Winkel  $\gamma$  die einzige Variable ist. Da in Fig. 156  $J$  und  $\frac{E}{z_1}$  in demselben Maßstabe aufgetragen sind, so halbieren die großen Achsen  $\overline{HH}$  der beiden Ellipsen den Raum zwischen den Koordinatenachsen. Die Achsen  $\overline{HH}$  entsprechen in dem Stromdiagramm (Fig. 155) der Mittelsenkrechten  $\overline{HH}$  auf der Linie  $\overline{OO_1}$ , und da diese Mittelsenkrechte eine Symmetrieachse der Stromdiagramme ist, müssen die großen Achsen  $\overline{HH}$  der Ellipsen in Fig. 156 auch Symmetrieachsen der  $V$ -Kurven werden, weil  $J$  und  $\frac{E}{z_1}$  in demselben Maßstabe aufgetragen sind. Die Punkte  $O$ ,  $O_1$  und  $M$  der Fig. 156 entsprechen denselben Punkten des Stromdiagramms Fig. 155.

Wir werden nun die Stabilitätsgrenzen einzeichnen. Dies geschieht am besten, indem wir für irgendeinen Punkt der Stabilitätsgrenze die EMK  $E$  durch den zugeführten Strom  $J$  ausdrücken. Es folgt aus der Fig. 157

$$\frac{E}{z_1} = \frac{P}{z_1} \cos \psi_1 + \sqrt{J^2 - \left(\frac{P}{z_1} \sin \psi_1\right)^2}$$

oder

$$E - P \cos \psi_1 = \sqrt{J^2 z_1^2 - P^2 \sin^2 \psi_1}.$$

Durch Quadrierung erhält man

$$E^2 + P^2 \cos^2 \psi_1 - 2EP \cos \psi_1 = J^2 z_1^2 - P^2 \sin^2 \psi_1$$

oder

$$E^2 - J^2 z_1^2 - 2EP \cos \psi_1 + P^2 = 0.$$



Durch Aufnahme der Leerlaufcharakteristik kann dann nachher die jedem Erregerstrom entsprechende EMK  $E$  bestimmt werden.

Legen wir dem Motor, auf den sich die obigen V-Kurven beziehen, die Leerlaufcharakteristik (Fig 159) zugrunde, so kann man umgekehrt den jeder EMK  $E$  entsprechenden Erregerstrom  $i_e$  dieser Kurve entnehmen und den Ankerstrom als Funktion des Erregerstromes auftragen. Das ist in der Fig. 160 geschehen, und zwar

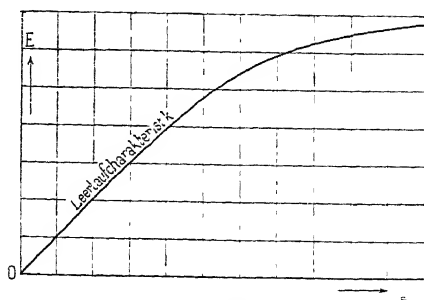


Fig 159.

für dieselben Drehmomente wie in Fig. 156. Diese V-Kurven, die die Abhängigkeit des Ankerstromes von dem Erregerstrom bei gegebenem Drehmomente darstellen, haben eine etwas andere Form

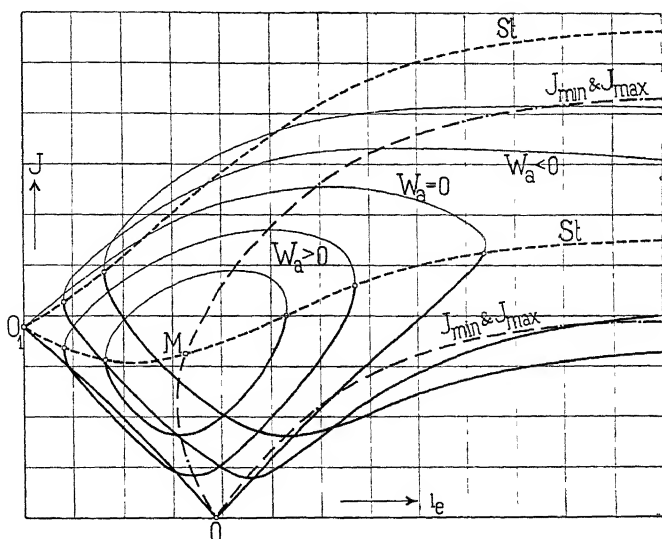


Fig. 160. V-Kurven einer Synchronmaschine. Abhängigkeit des Ankerstromes von der Erregung bei konstanter Spannung und konstantem Drehmomente

als die V-Kurven, die durch Auftragen des Ankerstromes als Funktion der EMK  $E$  erhalten werden. Der linke Ast ist fast geradlinig, während der rechte Ast dieser V-Kurven konkav nach unten verläuft.



In Fig. 160 ist der Raum der  $V$ -Kurven, der sich auf phasenverfruhtem Strom bezieht, viel größer als der entsprechende Raum der Fig. 156. Der auf phasenverspätete Strome Bezug nehmende Arbeitsbereich dagegen ist fast unverändert geblieben. Die  $V$ -Kurven, die man bei einer Maschine mit ausgeprägten Polen experimentell aufnimmt, indem man den gemessenen Ankerstrom als Funktion des gemessenen Erregerstromes aufträgt, haben merkwürdigerweise mehr Ähnlichkeit mit den berechneten  $V$ -Kurven, die  $J$  als Funktion von  $E$  darstellen, als mit diesen letzteren Kurven (Fig. 160). Es soll aber später gezeigt werden, daß dieses Verhalten der Motoren von der Änderung der Reaktanz mit der Erregung herrührt.

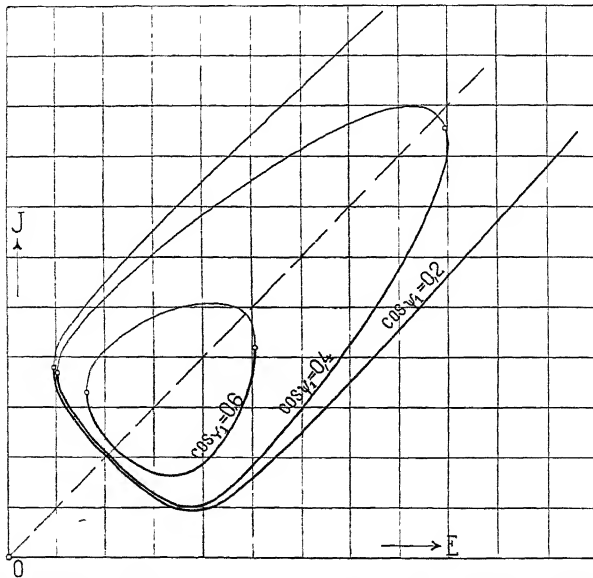


Fig. 161.  $V$ -Kurven für konstante Spannung, Leistung und Impedanz bei verschiedenen Verhältnissen  $\frac{r_1}{z_1}$ .

Wie aus den Formeln (94 und 95) für  $E$  und  $J$  ersichtlich, wird  $E$  für denselben Winkel  $\chi$  um so größer, je kleiner  $\cos \psi_1 = \frac{r_1}{z_1}$  ist, während der Strom  $J$  allein von  $r_1$  abhängt. Hieraus folgt, daß die  $V$ -Kurven desto flacher verlaufen, je kleiner  $\cos \psi_1$  ist. In Fig. 161 sind einige  $V$ -Kurven für dieselbe Spannung, Leistung und Impedanz  $z_1$ , aber unter Zugrundelegung verschiedener Werte für  $r_1$  und  $z_1$  aufgezeichnet. Es geht aus diesem deutlich hervor, daß man die Erregung eines Motors innerhalb sehr weiten Grenzen

variiert kann, wenn der Motor eine verhältnismäßig große Reaktanz hat. Bei ungeschickten Änderungen der Erregung werden deswegen Motoren mit großer Reaktanz weniger leicht außer Tritt fallen, als solche mit großem Widerstand und kleiner Reaktanz.

Bei der Betrachtung des Einflusses der Impedanz  $z_1$  auf das Arbeitsdiagramm des Synchronmotors, also bei konstanter EMK  $E$ , haben wir gesehen, daß, wenn bei demselben  $z_1$  das Verhältnis von  $\frac{x_1}{r_1}$  variiert wird, das maximale Drehmoment des Motors um so größer ist, je größer dieses Verhältnis ist, d. h. bei demselben  $E$  läßt sich irgendein Drehmoment  $W_a$  mit einem kleineren Strome erreichen, wenn  $\frac{x_1}{r_1}$  größer gewählt ist. Das läßt sich auch aus Fig. 161 erkennen, in der die Leistung für alle Kurven gleich angenommen ist. Wie ersichtlich, gehört im stabilen Arbeitsbereiche des Motors zu irgendeinem  $E$  ein um so kleinerer Strom, je kleiner  $\cos \psi_1$  ist, d. h. je größer  $\psi_1$  bzw.  $\frac{x_1}{r_1} = \tan \psi_1$  ist.

Aus demselben Grunde ist ein Motor mit kleinerem Verhältnis  $\frac{x_1}{r_1}$  bei gleichem  $z_1$ , gegenüber Schwankungen der Klemmenspannung empfindlicher, als ein solcher mit größerem  $\frac{x_1}{r_1}$ .

## 55. Vollständiges Diagramm eines Synchronmotors.

Wir wollen nun die verschiedenen geometrischen Orte des Synchronmotors in einem Diagramm, und zwar in einem Stromdiagramm (Fig. 162) zusammenstellen.

1. Die geometrischen Orte für konstante EMK  $E$  sind konzentrische Kreise um den Mittelpunkt  $O_1$ .
2. Die geometrischen Orte für konstanten Strom  $J$  sind konzentrische Kreise um den Ursprung  $O$  als Mittelpunkt.
3. Die geometrischen Orte für konstantes Drehmoment  $W_a$  sind konzentrische Kreise um den Mittelpunkt  $M$ . Der Kreis für  $W_a = 0$  geht durch die Punkte  $O$  und  $O_1$  und zerlegt den ganzen Raum in zwei Teile, von denen der eine sich auf die Maschine als Motor und der andere sich auf das Arbeiten als Generator bezieht.
4. Die geometrischen Orte für konstanten inneren Phasenverschiebungswinkel  $\psi$  sind Kreise durch  $O$  und  $O_1$ . Die beiden Vektoren  $J$  und  $E$  schließen dann alle denselben Winkel  $\pi \pm \psi$

miteinander ein. Der geometrische Ort für  $\psi = \frac{\pi}{2}$  fällt mit dem Kreis für das Drehmoment  $W_a = 0$  zusammen. Der geometrische Ort für  $\psi = 0$  tangiert die beiden Linien  $\overline{OM}$  und  $\overline{O_1M}$  in  $O$  bzw. in  $O_1$ .

5. Die geometrischen Orte für konstante zugeführte Leistung sind Geraden, die parallel zur Abszissenachse verlaufen, da für diese der Wattstrom konstant ist.

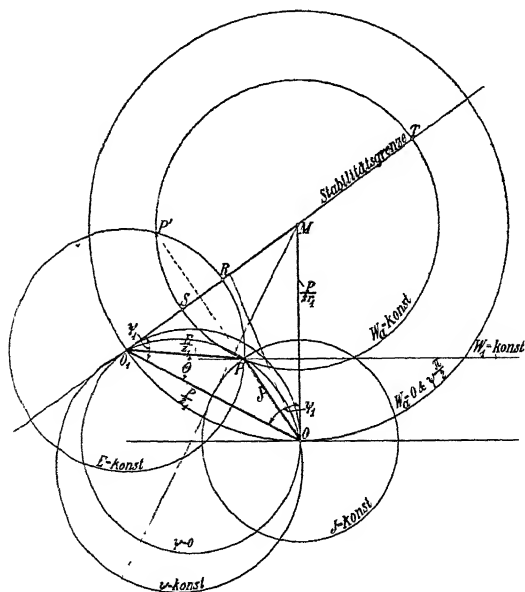


Fig. 162 Zusammenstellung der Diagramme eines Synchronmotors.

Diese Darstellung stimmt mit dem von A. Blondel<sup>1)</sup> gegebenen Diagramm überein.

Zum Schluß sei nochmals darauf hingewiesen, daß die Ergebnisse der Kreisdiagramme nur für sinusförmige Ströme und EMKe und für  $x_1$  und  $r_1$  konstant bei allen Belastungen und Phasenverschiebungen richtig sind. — Der Einfluß der höheren Harmonischen ist im Kap. XI und der Einfluß der Veränderlichkeit der Reaktanz im Kap. X behandelt.

## 56. Anwendung der Synchronmotoren als Phasenregler.

Wie aus dem Vorhergehenden ersichtlich, nehmen die Synchronmotoren bei Übererregung phasenverfrühte Ströme auf, d. h. die

<sup>1)</sup> Siehe A. Blondel, Moteurs synchrones à courants alternatifs. Paris, Gauthier-Villars.

Synchronmotoren können durch Übererregung zur Erzeugung von wattlosen Strömen benutzt werden, die zur Magnetisierung von Asynchronmotoren dienen. Beim Entwurf einer Arbeitsübertragung ist deswegen darauf zu sehen, daß in der Sekundärstation nicht allein Asynchronmotoren, sondern auch Synchronmotoren oder rotierende Umformer aufgestellt werden. Durch Übererregung der Synchronmaschinen, zu denen auch die rotierenden Umformer gehören, kann man dann erreichen, daß diese die Lieferung eines Teiles des wattlosen Stromes übernehmen, der den Asynchronmaschinen im anderen Falle durch die Leitungen von der Primärstation aus geliefert werden mußte. Dadurch können die Verluste in den Leitungen bedeutend verringert und die Ökonomie der ganzen Anlage erhöht werden. In einzelnen Fällen kann sogar die Ökonomie einer Anlage durch Aufstellung von leerlaufenden Synchronmotoren erhöht werden.

In der in Fig. 163 schematisch dargestellten Einphasenanlage bedeuten  $G$  die Generatoren in der Primärstation,  $L$  die Leitungen,  $T$  die Transformatoren der Sekundärstation,  $S$  Synchronmaschinen und  $A$  Asynchronmotoren. Die Verluste  $W$  in den Generatoren  $G$ , Leitungen  $L$  und Transformatoren  $T$  lassen sich durch die folgende Formel<sup>1)</sup> ausdrücken

$$W = W_0 + W_k + P_2 J_2 (p \cos \varphi_2 + q \sin \varphi_2) \quad . \quad . \quad 96$$

Hierin bedeutet  $W_0$  die durch die Sekundärspannung  $P_2$  bedingten Leerlaufverluste,  $W_k$  die durch den Sekundärstrom  $J_2$  bedingten Kurzschlußverluste, während  $p$  und  $q$  konstante Größen sind.

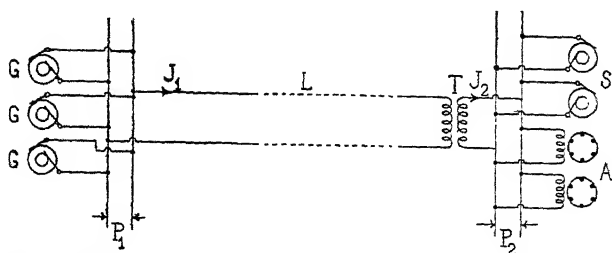


Fig 163. Schema einer Kraftübertragung mittels Einphasenstrom.

Die Verluste der Gesamtanlage lassen sich also trennen, und zwar in solche, die dem Quadrate der Sekundärspannung proportional sind, d. h. die Leerlaufverluste  $W_0$ , in solche, die dem Quadrate des Sekundärstromes proportional sind, d. h. die Kurzschluß-

<sup>1)</sup> Siehe „Leerlauf und Kurzschlußversuch in Theorie und Praxis“ von J. L. la Cour, Seite 21.

verluste  $W_k$ , und in solche, die teils dem Wattstrome und teils dem wattlosen Strome proportional sind.

Die Verluste  $W_w$ , die proportional dem Wattstrom sind, werden durch das Glied  $p P_2 J_2 \cos \varphi_2$  und die Verluste  $W_{wl}$ , die proportional dem wattlosen Strome sind, durch das Glied  $q P_2 J_2 \sin \varphi_2$  dargestellt. Es lassen sich somit  $W_0$ ,  $W_k$ ,  $p$  und  $q$  in der Weise aus den Konstanten der Anlage berechnen, daß man die Verluste der ganzen Anlage getrennt berechnet und

$$p = \frac{W_w}{P_2 J_2 \cos \varphi_2} \quad \text{und} \quad q = \frac{W_{wl}}{P_2 J_2 \sin \varphi_2} \text{ setzt.}$$

Es ist leicht einzusehen, daß die totalen Verluste sich in dieser Weise durch die obige Formel mit großer Annäherung ausdrücken lassen.

Die Verluste in den Synchronmotoren lassen sich in der gleichen Weise ausdrücken; diese sind

$$W' = W'_0 + W'_k + P_2 J'_2 (p' \cos \varphi'_2 + q' \sin \varphi'_2).$$

Die von dem wattlosen Strom  $J_{wl}$  herrührenden Verluste sind somit

$$\begin{aligned} W_{wl} &= J_{wl1}^2 r_k + J_{wl2}^2 r_a + P_2 J_2 q \sin \varphi_2 + P_2 J'_2 q' \sin \varphi'_2 \\ &= J_{wl1}^2 r_k + J_{wl2}^2 r_a + P_2 J_{wl1} q + P_2 J_{wl2} q'. \end{aligned}$$

$J_{wl1}$  ist der von den Generatoren gelieferte wattlose Strom und  $J_{wl2}$  der von den Synchronmotoren erzeugte wattlose Strom.  $r_k$  ist der Kurzschlußwiderstand der Ankerwicklung der Generatoren in Serie mit den Leitungen  $L$  und den Transformatoren  $T$ , während  $r_a$  der Kurzschlußwiderstand der Synchronmotoren ist. Der durch den wattlosen Strom bedingte Verlust  $W_{wl}$  ist abhängig von  $J_{wl1}$  und  $J_{wl2}$  und bei einem bestimmten Verhältnis zwischen diesen beiden Strömen ein Minimum. Um dieses Verhältnis zu finden, schreiben wir

$$J_{wl1}^2 r_k + J_{wl2}^2 r_a + P_2 J_{wl1} q + P_2 J_{wl2} q' = \text{Minimum}$$

und

$$J_{wl1} + J_{wl2} = J_{ul} = \text{konstant.}$$

Bilden wir die Funktion

$$F = J_{wl1}^2 r_k + J_{wl2}^2 r_a + P_2 J_{wl1} q + P_2 J_{wl2} q' + \lambda (J_{wl1} + J_{wl2})$$

und setzen

$$\frac{\partial F}{\partial J_{wl1}} = 0 \quad \text{und} \quad \frac{\partial F}{\partial J_{wl2}} = 0,$$

so erhalten wir

$$2 J_{wl1} r_k + P_2 q + \lambda = 0$$

und

$$2 J_{wl2} r_a + P_2 q' + \lambda = 0,$$

woraus der von den Synchronmotoren zu liefernde wattlose Strom sich ergibt

$$J_{wl2} = \frac{r_k}{r_a} J_{wl1} + \frac{q - q'}{2 r_a} P_2 \dots \dots (97)$$

Ein praktisches Beispiel mag die Verhältnisse noch deutlicher illustrieren. Es seien 1000 KW auf eine längere Entfernung zu übertragen. An der Sekundarstation wählt man eine Spannung von 10000 Volt. Es ist möglich, für eine Leistung von 300 KW Synchronmaschinen aufzustellen. 500 KW müssen dagegen durch Asynchronmotoren in mechanische Energie umgesetzt werden und 200 KW werden für Beleuchtungszwecke verbraucht.

Nehmen wir 15% Kupferverluste in den Generatoren, Leitungen und Transformatoren und 2% Kupferverluste in den Synchronmotoren an, so werden

$$r_k = 15 \Omega \quad \text{und} \quad r_a = 6,67 \Omega;$$

außerdem können  $q = 0,05$  und  $q' = 0,02$  gesetzt werden. Es wird also

$$J_{wl2} = \frac{15}{6,67} J_{wl1} + \frac{0,05 - 0,02}{2 r_a} P_2 = 2,25 J_{wl1} + 15.$$

Hieraus folgt

$$J_{wl} = J_{wl1} + J_{wl2} = 3,25 J_{wl1} + 15$$

oder

$$J_{wl1} = \frac{J_{wl} - 15}{3,25}$$

Der den Asynchronmotoren zu liefernde wattlose Strom  $J_{wl}$  variiert zwischen 20 Amp. bei Leerlauf und 30 Amp. bei Belastung. Nehmen wir ihn im Mittel zu 25 Amp. an, so wird

$$J_{wl1} = \frac{25 - 15}{3,25} = 3,07 \text{ Amp.} \cong 3 \text{ Ampere}$$

und

$$J_{wl2} = 25 - 3 = 22 \text{ Ampere.}$$

Die Synchronmaschinen haben somit 220 wattlose KVA zu liefern und sind für  $\sqrt{300^2 + 220^2} = 370$  KVA zu bauen. Durch Übererregung der Synchronmotoren gehen die durch den wattlosen Strom (25 Amp.) bedingten Verluste von

$$25^2 \cdot 15 + 10000 \cdot 25 \cdot 0,05 = 9375 + 12500 = 21875 \text{ Watt}$$

auf

$$3^2 \cdot 15 + 22^2 \cdot 6,67 + 10000 (3 \cdot 0,05 + 21 \cdot 0,02) = 9265 \text{ Watt,}$$

also um 12,6 KW zurück.

## 57. Selbsttätige Phasenregler.

1. Wünscht man, daß der Phasenregler nicht allein wattlosen Strom ins Netz liefern, sondern auch gleichzeitig dazu benutzt werden soll, die Netzspannung an der betreffenden Stelle, wo er aufgestellt ist, konstant zu halten so kann dies in der Weise geschehen, daß man den Phasenregler kompondiert. Die Formel 81

$$i_{eb} = a P \cos \Theta + B J \sin (\psi + \beta)$$

für die Erregung, die bei Belastung notwendig ist, um die Spannung an den Klemmen konstant zu halten, bezieht sich nicht allein auf Generatoren, sondern auch auf Motoren. Die Motoren und Phasenregler lassen sich deswegen in ähnlicher Weise wie die Generatoren kompondieren. Wünscht man, daß die Spannung an den Klemmen des Phasenreglers mit der Belastung steigen soll, so kann dies durch eine Überkompondierung erreicht werden. Die Überkompondierung geschieht gewöhnlich, um die Spannung an einem entfernten Punkte (Fig. 163) konstant zu halten. Bei der Berechnung der Konstanten  $a$  und  $B$  sind in diesem Falle nicht allein der Widerstand und die Reaktanz  $r_a$  und  $x_a$  des Phasenreglers selbst in Betracht zu ziehen, sondern der totale Widerstand  $r_1 = r_a + r_l$  und die totale Reaktanz  $x_1 = x_a + x_l$  des Stromkreises, der an der Phasenreglerseite zwischen den beiden Klemmen liegt, zwischen denen die Spannung konstant gehalten werden soll.

Um die Spannung an den Klemmen des Phasenreglers unabhängig von der Belastung des Netzes konstant zu halten, ist es nötig, daß der Teil  $a P \cos \Theta$  des Erregerstromes  $i_{eb}$  sich nur mit dem Winkel  $\Theta$ , d. h. mit der Belastung des Phasenreglers als Synchronmotor ändert. Es soll somit  $a P$  konstant gehalten werden. Da  $\Theta$  ein kleiner Winkel ist, ca. 10 bis 15° bei Normallast, so darf man auch  $a P \cos \Theta \cong$  konstant setzen. Um einen Phasenregler zu kompondieren, muß man diesem deswegen einen Erregerstrom zuführen, der aus einem konstanten Teil  $a P$  und einem dem Strom des Phasenreglers proportionalen Teil  $B J \sin (\psi + \beta)$  besteht. Den dem Strome  $J$  proportionalen Teil der Erregerspannung erhält man mittels eines Hauptschlußtransformators. Der konstante Teil der Erregerspannung kann entweder von einer Gleichstromquelle oder von einer fremden Wechselstromquelle geliefert werden. Im ersteren Falle erhält man zwei Wicklungen auf den Feldmagneten des Phasenreglers, von denen die Nebenschlußwicklung von dem konstanten Gleichstrome und die Kompondwicklung von dem variablen Teile des Erregerstromes durchflossen wird.

Da zwei Wicklungen auf den Feldmagneten und eine Gleichstromquelle konstanter Spannung die Anlage verteuern, so wäre es günstiger, wenn man in einfacher Weise eine fast konstante Wechselspannung zur Erzeugung des konstanten Teiles des Erregerstromes herstellen könnte.

Der Phasenregler hält die Spannung in der Weise konstant, daß er so viel wattlosen Strom ins Netz schickt, daß der Spannungsabfall von den Generatoren bis zum Phasenregler konstant bleibt. Compoundiert man die Phasenregler in derselben Weise wie die Generatoren (s. Abschn. 39) mittels eines Nebenschluß- und eines Hauptschlußtransformators, so muß die Spannung an den Klemmen des Phasenreglers sinken, bevor dieser einen wattlosen Strom ins Netz schicken kann. Um diesen Spannungsabfall möglichst klein zu machen, braucht man aber nur den Phasenregler etwas zu sättigen. Hieraus sehen wir, daß ein Phasenregler mit gesättigtem Feldeisen, der nach denselben Prinzipien wie ein Generator compoundiert ist, imstande ist, die Spannung an seinen Klemmen innerhalb enger Grenzen konstant zu halten, und dies wird für die meisten Fälle der Praxis genügen.

2. Es lassen sich aber auch die Phasenregler in einer anderen einfachen Weise compoundieren, die eine fast vollständige Konstanthaltung der Spannung ermöglicht<sup>1)</sup>. Diese Anordnung beruht auf der folgenden Überlegung<sup>2)</sup>:

Um die Spannung  $P_1$  in der Zentrale oder Primärstation und die Spannung  $P_2$  in der Sekundärstation an den Klemmen des Phasenreglers bei allen Belastungen konstant zu halten, muß in der Sekundärstation, d. h. vom Phasenregler, ein wattloser Strom  $J_{wl2}$  ins Netz geschickt werden. Um diesen wattlosen Strom als Funktion der Belastung zu bestimmen, gehen wir von der Spannungsgleichung der Leitungen aus, die vektoriell geschrieben lautet

$$\mathfrak{P}_1 = \mathfrak{P}_2 + \mathfrak{J} \mathfrak{Z}_l.$$

Wir zerlegen den Leitungsstrom  $J$  in zwei Komponenten, in eine Wattkomponente  $J_w$  in Phase mit  $P_2$  und in eine wattlose Komponente  $J_{wl1}$  um  $90^\circ$  in der Phase gegen  $P_2$  verschoben. Es ist also

$$\begin{aligned} \mathfrak{P}_1 &= P_2 + J_w \mathfrak{Z}_l + j J_{wl1} \mathfrak{Z}_l \\ &= P_2 + J_w r_l + J_{wl1} x_l - j (J_w x_l - J_{wl1} r_l). \end{aligned}$$

Hieraus ergibt sich

$$P_1^2 = (P_2 + J_w r_l + J_{wl1} x_l)^2 + (J_w x_l - J_{wl1} r_l)^2.$$

<sup>1)</sup> Siehe D. R. P. 145385 von O. S. Bragstad und J. L. la Cour.

<sup>2)</sup> Siehe WT I, S. 115 u. f.



Löst man die Gleichung nach  $J_{wl1}$  auf, so erhält man

$$J_{wl1} = - \frac{P_2 x_l - \sqrt{P_1^2 z_l^2 - (P_2 r_l + J_w z_l)^2}}{z_l^2}$$

oder 
$$J_{wl1} = -P_2 b_l + \sqrt{\frac{P_1^2}{z_l^2} - (P_2 g_l + J_w)^2} \quad . \quad . \quad (98)$$

Soll nun die Sekundarspannung  $P_2$  konstant gehalten werden, so muß der Phasenregler erstens den wattlosen Strom  $-J_{wl1}$  nach der Zentrale oder Primärstation zurückschicken und zweitens an die Stromverbraucher die von ihnen aufgenommenen wattlosen Ströme  $J_{wl}$  abgeben. Es wird somit der von dem Phasenregler zu liefernde wattlose Strom

$$J_{wl2} = J_{wl} - J_{wl1} = J_{wl} + P_2 b_l - \sqrt{\frac{P_1^2}{z_l^2} - (P_2 g_l + J_w)^2} \quad (99)$$

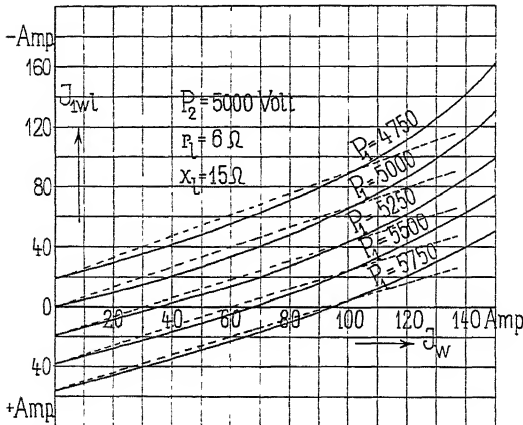


Fig 164. Abhängigkeit des wattlosen Stromes  $J_{wl1}$  der Generatoren einer Kraftübertragung vom Wattstrom (Belastung) bei verschiedenen Werten der Primärspannung.

In Fig. 164 ist für verschiedene Verhältnisse  $\frac{P_2}{P_1}$  der wattlose Strom  $J_{wl1}$  als Funktion des Wattstromes  $J_w$  oder der Belastung  $P_2 J_w$  graphisch aufgetragen. Die Kurve für  $P_1 = P_2$  geht, wie vorauszusehen war, durch den Ursprung, alle positiven Ordinaten stellen phasenverfrühte Ströme dar. Diese Kurven können mit großer Annäherung durch gerade Linien ersetzt werden, so daß man schreiben kann:

$$-J_{wl1} = a + b J_w$$

und man erhält

$$J_{wl2} = a + b J_w + J_{wl} = a + C J \sin(\varphi + \gamma) \quad . \quad . \quad (100)$$

wo  $C = \sqrt{1 + b^2}$  und  $\operatorname{tg} \gamma = b$  ist, d. h. der wattlose Strom  $J_{u12}$  ist unter Annahme konstanter Primarspannung  $P_1$  und Sekundarspannung  $P_2$  eine lineare Funktion der beiden Komponenten  $J_w$  und  $J_{wl}$  des Belastungsstromes der Sekundarstation. Damit der Phasenregler  $M$  diesen wattlosen Strom zu liefern vermag, ist er sowohl mit einer Nebenschlußerregung wie mit einer Hauptschlußerregung zu versehen. Der Hauptschlußtransformator  $HT$  wird aber in diesem Falle nicht von dem Strome des Phasenreglers, sondern von dem Belastungsstrom  $\mathfrak{S} = J_w + j J_{wl}$  durchflossen und wir erhalten für den Fall einer Dreiphasenanlage das Schaltungsschema Fig. 165.

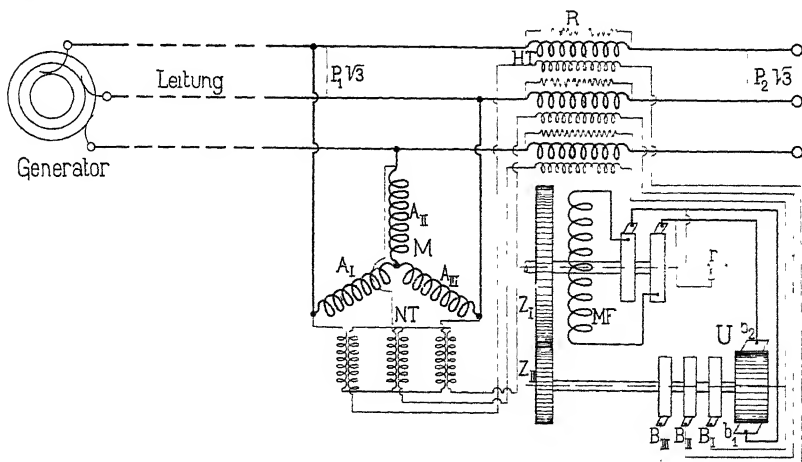


Fig 165. Schaltungsschema einer Kraftübertragung mit kompoundiertem Phasenregler.

- |                                    |                                |
|------------------------------------|--------------------------------|
| $M$ = Synchronmotor (Phasenregler) | $b$ = Kommutatorbursten        |
| $HT$ = Hauptschlußtransformator    | $U$ = Kommutator               |
| $NT$ = Nebenschlußtransformator    | $MF$ = Feldwicklung des Motors |
| $R$ = Widerstand                   | $Z$ = Zahnradübersetzung       |
| $B$ = Schleifringbursten.          |                                |

Um den Stromvektor  $\mathfrak{S} = J_w + j J_{wl}$  um den kleinen Winkel  $\gamma$  zu verschieben, verwenden wir auch in diesem Falle einen zu der Primärwicklung des Hauptschlußtransformators parallel geschalteten Widerstand  $R$ . Diese Kompoundierung läßt sich in derselben Weise berechnen und einstellen wie die eines Generators. Für die Bestimmung der Konstanten  $C$  und  $\gamma$  muß natürlich die Leitungsanlage bekannt sein.

3. Statt einer Kompoundierung kann man zur Konstanthaltung der sekundären Klemmenspannung auch einen elektromechanischen Regulator verwenden.

## Zehntes Kapitel.

### Der Einfluß der variablen Reaktanz auf die Arbeitsweise einer Synchronmaschine.

58. Spannungsgleichung und Drehmoment der Synchronmaschine bei Berücksichtigung der variablen Reaktanz — 59. Einfluß der Variation der Reaktanz auf die Arbeitskurven einer Synchronmaschine. — 60 Einfluß der Variation der Reaktanz auf die  $V$ -Kurven. — 61 Die Synchronmaschine ohne Felderregung (die Reaktionsmaschine)

#### 58. Spannungsgleichung und Drehmoment der Synchronmaschine bei Berücksichtigung der variablen Reaktanz.

Aus den Spannungsdiagrammen (S. 56 ff.) einer Wechselstrommaschine erkennt man, daß die Ankerwicklung durch das in Fig. 166 gegebene Schema ersetzt werden kann (vgl. Fig. 143). In diesem stellt der Stromzweig  $AB$  die Stromquelle und den Sitz der induzierten EMK  $E$  dar. Diese wird durch gegenseitige Induktion von dem Erregerstrom  $i_e$  in der Ankerwicklung induziert und ist so lange konstant, als Erregerstrom und Periodenzahl unverändert bleiben.

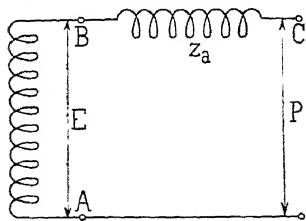


Fig 166.

Der Spannungsabfall in der Ankerwicklung wird durch die Impedanz  $z_a$  des Stromzweiges  $BC$  bewirkt. Diese Impedanz setzt sich aus dem effektiven Widerstand  $r_a$ , der Reaktanz der Streuinduktion  $x_{s1}$  und der variablen Reaktanz des Ankerfeldes zusammen. Der von dieser letzteren verursachte Spannungsabfall setzt sich wieder aus  $E_{s2}$  und  $E_{s3}$  zusammen.

Da die EMK  $E_{s3}$  annähernd den quermagnetisierenden Amperewindungen proportional ist, so wird  $E_{s3}$  proportional dem Wattstrom  $J_w = J \cos \psi$  und in ähnlicher Weise wird bei einer und

derselben Felderregung  $E_{s2}$  angenähert proportional  $J_{ul} = J \sin \psi$ . Man kann deswegen setzen:

$$\frac{E_{s2}}{J \sin \psi} = \frac{E_{s2}}{J_{ul}} = x_{s2}$$

und

$$\frac{E_{s3}}{J \cos \psi} = \frac{E_{s3}}{J_w} = x_{s3}.$$

Zerlegen wir ferner wie Fig. 167 für einen Generator und Fig. 168 für einen Motor zeigt die Reaktanz  $Jx_{s1}$  in zwei Komponenten  $J_{wl}x_{s1}$  in Phase mit  $E$  und  $J_wx_{s1}$  in Quadratur zu  $E$ , so erhalten wir für  $Jx_a$  die Komponenten

$$\left. \begin{aligned} J_w x_{s1} + E_{s3} &= J_w (x_{s1} + x_{s3}) = J_w x_3 \\ J_{wl} x_{s1} + E_{s2} &= J_{wl} (x_{s1} + x_{s2}) = J_{wl} x_2 \end{aligned} \right\} \quad (101)$$

Es bedeutet also  $x_3$  die Reaktanz des Wattstromes und  $x_2$  die Reaktanz des wattlosen Stromes.

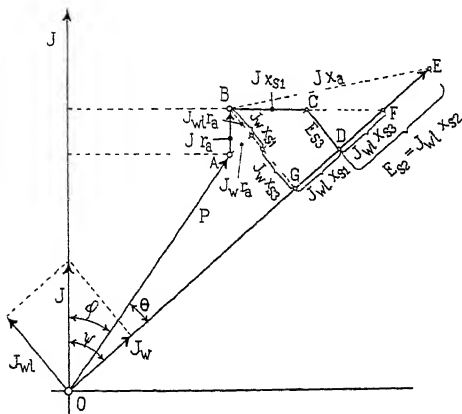


Fig. 167.

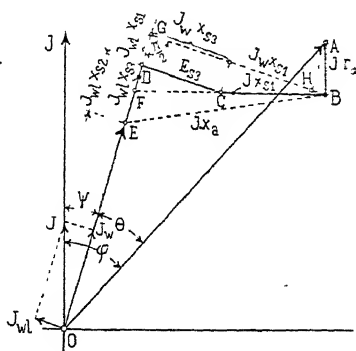


Fig. 168.

Die Reaktanzspannung  $J_{wl}x_2$  des wattlosen Stromes ist in Phase mit der EMK  $E$  und die Reaktanzspannung  $J_wx_3$  des Wattstromes ist in Quadratur zur EMK  $E$ . Die Resultante dieser beiden gibt uns die Reaktanzspannung  $Jx_a$ , die im allgemeinen nicht senkrecht auf dem Stromvektor steht. Die Größe und Richtung der Reaktanzspannung  $Jx_a$  ist abhängig von der Phasenverschiebung und diese Abhängigkeit beruht, wie wir in Kap. II sahen, auf der Änderung des Selbstinduktionskoeffizienten.

Der Mittelwert der Reaktanz während einer halben Periode ist gleich

$$x_{s1} + \frac{1}{2}(x_{s2} + x_{s3}) = \frac{1}{2}(x_2 + x_3),$$



Durch Auflösung der Gleichung 103 nach  $J_{wl}$  erhält man:

$$J_{wl} = \frac{\pm \sqrt{P^2 z_2^2 - [J_w(r_a^2 + x_2 x_3) \mp E r_a]^2} \mp E x_2 - r_a(x_2 - x_3) J_w}{z_2^2} \quad (104)$$

wo  $z_2^2 = r_a^2 + x_2^2$  und  $z_3^2 = r_a^2 - x_3^2$ .

Durch Vernachlässigung des letzten Gliedes  $(J_w x_3 - J_{wl} r_a)^2$  der Spannungsgleichung als klein gegenüber dem ersten geht sie über in

$$\pm P \cong \pm E - J_w r_a - J_{wl} x_2,$$

woraus folgt

$$J_{wl} = \pm \frac{E - P}{x_2} - J_w \frac{r_a}{x_2} \quad \dots \quad (105)$$

Diese Annäherung trifft besonders bei normalen Stromstärken zu.

Aus der angenäherten Formel folgt, daß der wattlose Strom hauptsächlich von der Reaktanz  $x_2$  abhängt; denn  $J_w r_a$  ist bei normalen Belastungen sehr klein im Verhältnis zu  $J_{wl} x_2$ .

Wenn der Wattstrom  $J_w$  wächst, so nimmt in Gl. 104 die Größe unter der Wurzel ab, und wenn diese Größe gleich Null geworden ist, hat  $J_w$  seinen maximalen Wert erreicht. Dies ist der Fall, wenn

$$P z_2 = J_w (r_a^2 + x_2 x_3) \mp E r_a$$

d. h. es ist

$$J_{w \max} = \frac{P z_2 \pm E r_a}{r_a^2 + x_2 x_3}$$

ist. Der wattlose Strom wird in diesem Falle gleich

$$J_{wl} = \frac{\pm E x_2 - r_a(x_2 - x_3) J_w}{z_2^2} = \frac{\pm E z_2 x_3 - P r_a(x_2 - x_3)}{z_2(r_a^2 + x_2 x_3)}$$

und

$$\operatorname{tg} \psi = \frac{J_{wl}}{J_w} = \frac{\pm E z_2 x_3 - P r_a(x_2 - x_3)}{z_2(P z_2 \pm E r_a)} \cong \pm \frac{E x_3}{P z_2 \pm E r_a}$$

Wenn für eine Maschine die Klemmenspannung  $P$  und die induzierte EMK  $E$  bekannt sind, kann nach den obigen Formeln zu jedem Wattstrom  $J_w$  der wattlose Strom  $J_{wl}$  berechnet werden.

Die angenäherte Rechnung ist für kleine Werte von  $J_w$  genau genug, während für große Wattströme die exakte Formel zur Anwendung kommt.

Aus den Spannungsdiagrammen der Synchronmaschine (Fig. 169 und 170) sieht man, daß die Projektion des Vektors der Klemmenspannung  $\overline{OA}$  auf den Stromvektor gleich

$$P \cos \varphi = \overline{OF} \cos \psi - J r_a$$

oder  $P \cos \varphi = [\pm E - J_{wl}(x_2 - x_3)] \cos \psi - J r_a$  ist.

Da nur die Komponente  $J r_a$  einen Wattverlust in der Maschine bedingt, so muß  $[\pm E - J_{wl}(x_2 - x_3)] \cos \psi$  ein Maß für das Drehmoment  $W_a$  der Maschine bei dem Strom

$$J = \sqrt{J_w^2 + J_{wl}^2}$$

sein. Es ist somit die aufgenommene elektromagnetische Leistung oder das Drehmoment der Synchronmaschine in synchronen Watt, d. h. die Leistung dieses Drehmoments bei synchroner Geschwindigkeit, gleich

$$W_a = -m J [\pm E - J_{wl}(x_2 - x_3)] \cos \psi$$

oder

$$W_a = -m J_w [\pm E - J_{wl}(x_2 - x_3)] \quad . \quad . \quad (106)$$

Wie hieraus ersichtlich, weicht das Drehmoment der Maschine wegen der Verschiedenheit der Reaktanzen des Wattstromes und des wattlosen Stromes von  $m J_w E$  ab. Eilt der Strom dem EMK-Vektor  $E$  nach, so ist  $J_{wl}$  positiv und  $W_a \leq m J_w E$ , je nachdem die Maschine als Generator und als Motor arbeitet und  $(x_2 - x_3)$  positiv oder negativ ist. Bei Phasenvoreilung des Stromes, wo  $\psi$  negativ ist, wird  $J_{wl}$  auch negativ und die Leistung  $W \geq m J_w E$ . Da bekanntlich das maximale Drehmoment bei Phasennacheilung des Generatorstromes und bei Phasenvoreilung des Motorstromes relativ zu dem EMK-Vektor erhalten wird, so wird bei Maschinen, die für kleinen Spannungsabfall bemessen werden, wo meistens  $x_2 < x_3$  ist, das maximale Drehmoment durch das Glied  $m J_w J_{wl}(x_2 - x_3)$  vergrößert.

Aus den Spannungsdiagrammen (Fig 169 und 170) oder aus der Spannungsgleichung läßt sich der Phasenverschiebungswinkel  $\Theta = \psi - \varphi$  zwischen der Klemmenspannung  $P$  und der induzierten EMK  $E$  direkt berechnen; es ist

$$\sin \Theta = \frac{J_w x_3 - J_{wl} r_a}{P} \quad . \quad . \quad . \quad (107)$$

Hieraus folgt, daß der Wattstrom

$$J_w = \frac{P \sin \Theta + J_{wl} r_a}{x_3} \quad . \quad . \quad . \quad (108)$$

hauptsächlich von seiner Reaktanz  $x_3$  und dem Phasenverschiebungswinkel  $\Theta$  abhängt.

Ist  $\sin \Theta = \sin(\psi - \varphi)$  bekannt, so läßt sich  $\psi$  und der Leistungsfaktor  $\cos \varphi$  leicht berechnen, da

$$\operatorname{tg} \psi = \frac{J_{wl}}{J_w}$$

ist.

Für den Fall variabler Reaktanzen werden die im Kap. VIII und IX abgeleiteten Diagramme sehr kompliziert; wir werden deswegen hier nur diejenigen Größen und Kurven analytisch berechnen,

die besonderes Interesse verdienen. Diese sind die Kurven, die Strom und Leistungsfaktor  $\cos \varphi$  als Funktion der Leistung der Maschine bei konstanter Erregung darstellen, und die Drehmomentkurven, die Drehmoment und Strom als Funktion des Phasenverschiebungswinkels  $\Theta$  zwischen EMK  $E$  und Klemmenspannung bei konstanter Erregung darstellen. Letztere werden wir in Kap. XIV besprechen.

Wenn wir nun die Maschine in verschiedenen Zuständen untersuchen, ist zu berücksichtigen, daß die Reaktanzen  $x_2$  und  $x_3$  sich mit der Belastung ändern. Die Änderung von  $x_3$  ist im allgemeinen ganz zu vernachlässigen, die Änderung von  $x_2$ , der langmagnetisierenden Reaktanz, kann aber groß werden. Wir wollen diese Variation durch die Einführung eines Mittelwertes von  $x_2$  berücksichtigen.

Für die betreffende Erregung, für die wir diese Kurven zu berechnen wünschen, ermitteln wir zuerst die mittlere Reaktanz  $x_2$ . Wir zeichnen die Klemmenspannung  $P = \overline{AB}$  und die induzierte EMK  $E = \overline{CD}$  in die Leerlaufcharakteristik

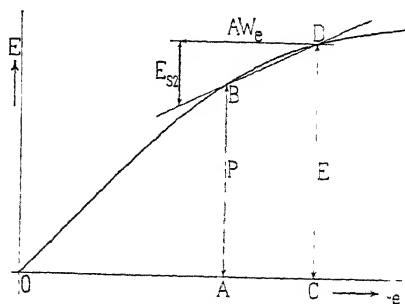


Fig. 171.

(Fig. 171) ein und ziehen eine Gerade durch die Punkte  $B$  und  $D$ . Hierauf tragen wir von dem Punkte  $D$  nach links die irgend einem wattlosen Strome  $J_{wl}$  entsprechenden entmagnetisierenden Amperewindungen

$$AW_e = k_0 f_{w1} m w J_{wl}$$

ab. Dann ergibt sich die EMK  $E_{s2}$  und

$$x_{s2} = \frac{E_{s2}}{J_{wl}}$$

Es ist dann die Reaktanz  $x_2$  nach Gl. 101

$$x_2 = x_{s1} + x_{s2}.$$

## 59. Einfluß der Variation der Reaktanz auf die Arbeitskurven einer Synchronmaschine.

An der Hand eines Beispiels soll gezeigt werden, wie die Arbeitskurven einer Synchronmaschine unter Annahme variabler Reaktanz genau berechnet werden können.

Es sind gegeben der Widerstand  $r_a = 1 \Omega$ , die Reaktanzen  $x_{s1} = 3,24 \Omega$  und  $x_{s3} = 3,6 \Omega$ . Die konstante Phasenspannung der



Maschine ist 2310 Volt und die normale Leistung der Maschine 500 KW.

Hieraus ergibt sich

$$x_3 = x_{s1} + x_{s3} = 3,24 + 3,6 = 6,84 \, \Omega$$

und

$$z_3 = \sqrt{r_a^2 + x_3^2} = \sqrt{1 + 46,8} = 6,91 \, \Omega.$$

Nehmen wir zuerst  $E = 2620$  Volt an, so ergibt sich aus der Leerlaufcharakteristik die Reaktanz  $x_{s2} = 3,0 \, \Omega$ , woraus folgt

$$x_2 = x_{s1} + x_{s2} = 3,24 + 3 = 6,24 \, \Omega$$

und

$$z_2 = \sqrt{r_a^2 + x_2^2} = \sqrt{1 + 38,9} = 6,32 \, \Omega.$$

Für irgendeinen Wert  $J_w$  des Wattstromes erhält man den wattlosen Strom nach Gl. 104

$$J_{wl} = \frac{\pm \sqrt{E^2 z_2^2 - [J_w(r_a^2 + x_2 x_3) \mp E r_a]^2} \pm E x_2 - r_a(x_2 - x_3) J_w}{z_2^2}$$

den totalen Strom

$$J = \sqrt{J_w^2 + J_{wl}^2}$$

den inneren Phasenverschiebungswinkel

$$\psi = \arctg \frac{J_{wl}}{J_w}$$

das Drehmoment

$$W_a = m J_w [E + J_{wl}(x_2 - x_3)]$$

$$\sin \Theta = \sin(\psi - \varphi) = \frac{J_w x_3 - J_{wl} r_a}{P}$$

und

$$\cos \varphi = \cos(\psi - \Theta).$$

In Fig. 172 sind die Werte des Stromes  $J$  und des Leistungsfaktors  $\cos \varphi$  als Funktion des Drehmomentes  $W_a$  aufgetragen und durch die voll ausgezogenen Kurven dargestellt.

Die Kurven, die rechts von der Ordinatenachse liegen, entsprechen der Arbeitsweise der Maschine als Motor, während die auf der linken Seite liegenden Kurven sich auf den Generator beziehen. Die punktierten Teile der Kurven beziehen sich auf den labilen Arbeitsbereich.

In Fig. 173 sind das Drehmoment  $W_a$  und der Strom  $J$  als Funktion von  $\Theta$  aufgetragen. Auch hier beziehen sich die Kurven auf der rechten Seite der Ordinatenachse auf das motorische Gebiet und die punktierten Teile der Kurven auf den labilen Arbeitsbereich.

In den Fig. 174 und 175 sind dieselben Kurven für  $E=P=2310$  Volt,  $x_2=8,34 \Omega$  und  $z_2=8,4 \Omega$  aufgetragen und in den Fig. 176 und 177 für  $E=2000$  Volt,  $x_2=9,84 \Omega$  und  $z_2=9,89 \Omega$ .

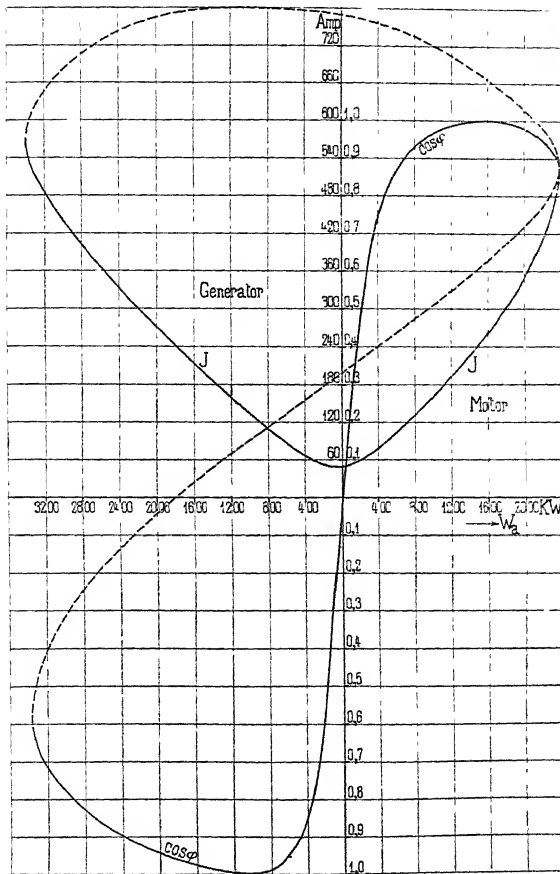


Fig. 172. Strom und Leistungsfaktor einer 500 KW-Dreiphasenmaschine als Funktion des synchronen Drehmoments.

$$P=2310, \quad E=2620; \quad x_2=6,24; \quad z_2=6,32.$$

In den Fig. 176 und 177 beziehen die punktierten Kurven sich auf den Fall, daß mit einer mittleren synchronen Reaktanz

$$x_a = \frac{x_2 + x_3}{2} = \frac{9,84 + 6,84}{2} = 8,34 \Omega$$

und

$$z_a = \sqrt{r_a^2 + x_a^2} = 8,4 \Omega$$



Null geht als die punktierte Kurve, die das Drehmoment für den Fall angibt, daß die Reaktanz  $x_2$  gleich  $x_3$  ist. Wäre  $x_3 > x_2$ , so

würde die punktierte Kurve steiler durch Null verlaufen als die voll ausgezogene.

Das maximale Drehmoment einer Maschine mit  $x_3 > x_2$  tritt dann auf, wenn  $J_w$  ein Maximum ist.

Für  $x_2 > x_3$  tritt es hingegen nicht auf, wenn  $J_w$  ein

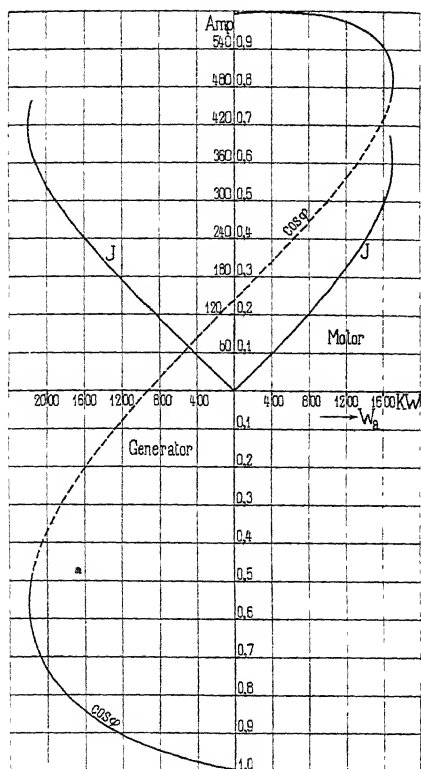


Fig. 174. Strom und Leistungsfaktor einer 500 KW-Drehphasenmaschine als Funktion des synchronen Drehmoments.

$$P = 2310; E = 2310; x_2 = 8,34; z_2 = 8,4$$

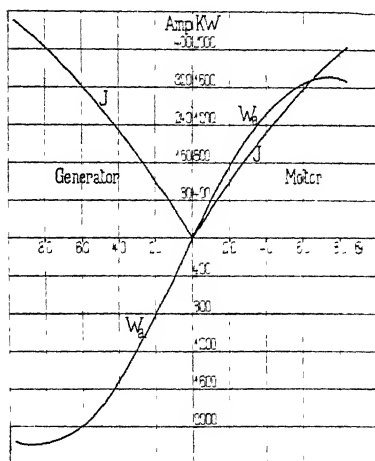


Fig. 175 Strom und Drehmoment einer 500 KW-Drehphasenmaschine als Funktion des Phasenverschiebungswinkels  $\theta$ .

$$P = 2310; E = 2310; x_2 = 8,34; z_2 = 8,4$$

Maximum ist; denn dann hat auch  $J_w$  seinen negativen maximalen Wert und

$$W_a = m J_w [E + J_w (x_2 - x_3)]$$

ist kein Maximum.

Für  $E \cong P$  ( $E = 0,75$  bis  $1,5 P$ ) findet man durch annähernde Berechnungen, daß das Drehmoment  $W_a$  seinen maximalen Wert erreicht, wenn

$$J_w \cong \frac{P z_3 - E r_a}{z_3^2} \text{ ist. . . . . (112)}$$

Es ist dann

$$J_{wl} \approx -\frac{1}{z_2^2 z_3} \left[ P r_a (x_2 - x_3) + E (r_a^2 + x_2 x_3) - \sqrt{2 P E r_a (x_2 - x_3) (r_a^2 + x_2 x_3)} \right] \dots (113)$$

und  $W'_{a \max} = m J_w [E + J_{wl} (x_2 - x_3)] \dots (114)$

In den meisten Fällen wird die Überlastungsfähigkeit eines Motors durch die Stromwärme begrenzt. Nimmt man deswegen einen Wattstrom  $J_w$  an und berechnet dazu den wattlosen Strom  $J_{wl}$ , so ist der totale Strom  $J$  bekannt. Darf dieser eine gewisse Grenze nicht überschreiten, so muß  $J_w$  auch unterhalb eines bestimmten Wertes bleiben.

Nehmen wir deswegen einen maximalen Wert für  $J_w$  an, so können wir, nach Gl. 112, für diesen diejenige EMK  $E$  berechnen,

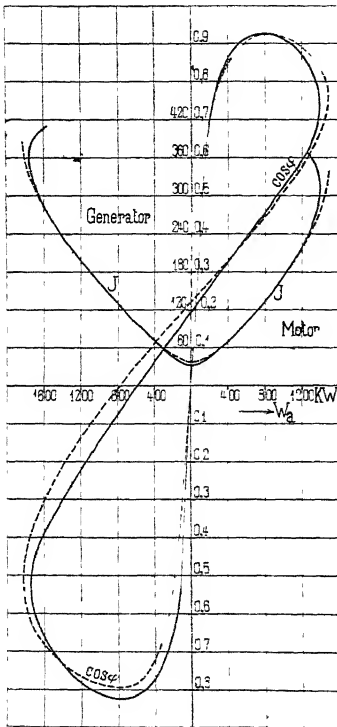


Fig. 176 Strom und Leistungsfaktor einer 500 KW-Dreiphasenmaschine als Funktion des synchronen Drehmoments.

$P = 2310$ ;  $E = 2000$ ,  $x_2 = 9,84$ ;  
 $z_2 = 9,89$ .

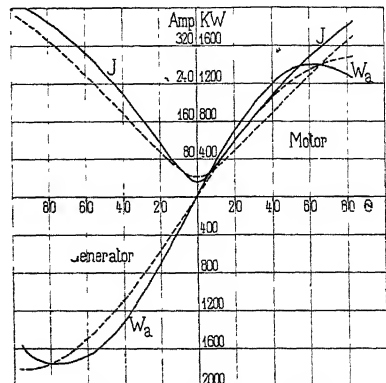


Fig. 177 Strom und Drehmoment einer 500 KW-Dreiphasenmaschine als Funktion des Phasenverschiebungswinkels  $\theta$ .

$P = 2310$ ;  $E = 2000$ ,  $x_2 = 9,84$ ;  
 $z_2 = 9,89$ .

die das größte Drehmoment bei dem gegebenen Wattstrom liefert. In die Formel für  $W_a$  führt man den Ausdruck für  $J_{wl}$  aus Gl. 113 ein und setzt den Differentialquotienten  $\frac{dW_a}{dE} = 0$ . Dies ist der Fall, wenn

$$E = (P - J_w z_3) \frac{r_a^2 + x_2 x_3}{r_a z_3} \cong (P - J_w z_3) \frac{x_2}{r_a}$$

und

$$\begin{aligned} W_a'_{max} &= \frac{J_w}{r_a} \left[ P z_3 - J_w \frac{(r_a^2 + x_2 x_3)^2}{z_3^2} \right] \\ &\cong \frac{J_w z_3}{r_a} (P - J_w x_3) \end{aligned}$$

ist.  $\frac{dW_a'_{max}}{dJ_w} = 0$  gesetzt, liefert die Bedingung

$$J_w = \frac{P z_3^2 z_3}{2(r_a^2 + x_2 x_3)^2} \cong \frac{P}{2 z_3} \quad . . . \quad (115)$$

für das absolute Maximum des Drehmomentes.

$$W_a'_{max} = \frac{P^2}{4 r_a} \frac{z_3^2 z_3^2}{r_a^2 + x_2 x_3} = \frac{P^2}{4 r_a} \left[ 1 - \frac{r_a^2 (x_2 - x_3)^2}{(r_a^2 + x_2 x_3)^2} \right] \quad (116)$$

oder angenähert

$$W_a'_{max} \cong \frac{P^2}{4 r_a} \quad . . . . . \quad (117)$$

und zwar ist dann

$$E = \frac{P}{2 r_a z_3} \left[ (r_a^2 + x_2 x_3) - \frac{r_a^2 (x_2 - x_3)^2}{r_a^2 + x_2 x_3} \right] \cong \frac{P z_2}{2 r_a} \quad . \quad (118)$$

## 60. Einfluß der Variation der Reaktanz auf die V-Kurven.

Hier sollen nur die V-Kurven konstruiert werden, die sich direkt experimentell aufnehmen lassen. Diese Kurven stellen die Ankerstromstärke als Funktion der Erregerstromstärke dar. Da die Erregung innerhalb weiter Grenzen variiert, so ist die Reaktanz  $x_2$  des wattlosen Stromes sehr verschieden. Wir sind deswegen hier gezwungen, einen anderen Weg als oben einzuschlagen. Wir setzen

$$\pm E' = \pm E - J_{wl} (x_2 - x_3).$$

Es ist dann das Drehmoment

$$W_a = \pm m J_w E'$$

und zwischen  $P$ ,  $E'$  und  $J$  besteht die folgende Beziehung nach Gl. 103

$$P^2 = (\pm E' + J_w r_a + J_{wl} x_2)^2 + (J_w x_3 - J_{wl} r_a)^2,$$

wo  $+E'$  sich auf das motorische und  $-E'$  sich auf das generatorische Arbeitsgebiet bezieht.

Diese Gleichung gilt auch für einen Synchronmotor mit der konstanten Klemmenspannung  $P$ , der EMK  $E'$  und der konstanten



Bei konstanter Reaktanz  $x_2$  wäre die Erregerstromstärke gleich

$$i_e' = \frac{\overline{OD}}{w_e}.$$

Dadurch aber, daß die Reaktanz  $x_2$  größer als  $x_3$  ist, wird  $i_e$  bei phasenverspätetem Strom ( $J_{wl}$  positiv) bei Generatoren vergrößert und bei Motoren verkleinert. Bei phasenverfruhetem Strom wird  $i_e$  bei den Generatoren verkleinert und bei den Motoren vergrößert.

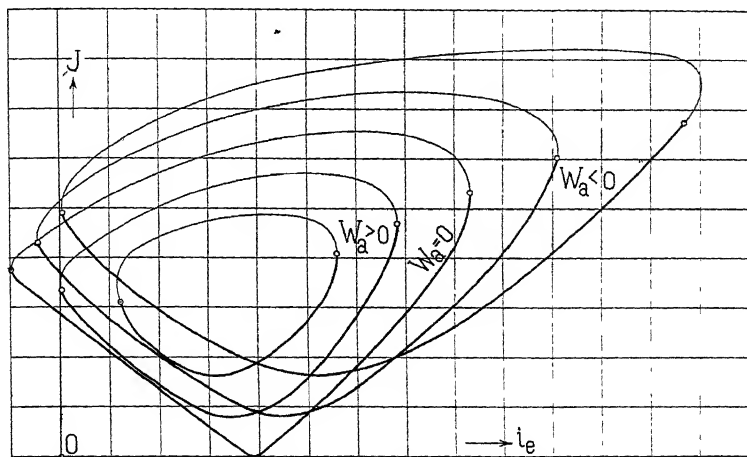


Fig. 179. V-Kurven unter Berücksichtigung der Variation der Reaktanz.

Es sind nun in der oben beschriebenen Weise die V-Kurven für dieselbe Maschine, die wir früher Seite 219 als Beispiel benutzt haben, berechnet und in der Fig. 179 aufgezeichnet worden. Wie ersichtlich, weicht die Form dieser Kurven nicht stark von derjenigen der V-Kurven (Fig. 156) ab, die den Ankerstrom als Funktion der EMK darstellen. Der Einfluß der Sättigung des Magnet-systems auf die V-Kurven wird durch die entmagnetisierenden Amperewindungen stark reduziert.

Der linke Ast der V-Kurven wird, wie die Fig. 179 zeigt, durch eine große Reaktanz  $x_2$  nach links und der rechte Ast nach rechts verschoben. Wir sehen somit, daß die V-Kurven um so flacher verlaufen, je größer die Reaktanz  $x_2$  des wattlosen Stromes ist. Die Leistungsfähigkeit des Motors, die durch die Gleichungen oder durch das Diagramm allein bestimmt ist, hängt lediglich von der Reaktanz  $x_3$  des Wattstromes ab; es soll deswegen diese so klein wie möglich sein. Mit Rücksicht auf die Regulierung der Erregung und auf



einen guten Leistungsfaktor ist es günstig, wenn die  $V$ -Kurven so flach wie möglich verlaufen. Es ist deswegen die Reaktanz  $x_2$  des wattlosen Stromes groß zu machen. Um eine kleine Reaktanz  $x_3$  und eine große Reaktanz  $x_2$  zu erhalten, muß man das Feld des wattlosen Stromes, d. h. das entmagnetisierende Feld groß machen. Dies ist nur möglich, wenn man den Polbogen im Verhältnis zur Polteilung klein macht und weder die Magnetkerne noch das Joch sättigt. Der Polbogen darf aber nicht beliebig klein gemacht werden; denn in diesem Falle treten zu große Oberwellen in der EMK-Kurve auf. Es ist deswegen günstig, die Ankerzähne stark zu sättigen und den Luftspalt groß zu machen, da dadurch der magnetische Widerstand des Querfeldes erhöht wird.

## 61. Die Synchronmaschine ohne Felderregung. (Die Reaktionsmaschine.)

Wie aus der genauen Formel (106) für das Drehmoment  $W_a$  ersichtlich ist, verschwindet dasselbe selbst dann nicht, wenn man den Erregerstromkreis öffnet. In diesem Falle, in dem  $\mathcal{E}$ , abgesehen von dem remanenten Magnetismus, gleich Null ist, arbeitet die Synchronmaschine als Reaktionsmaschine. Daß diese überhaupt Arbeit leisten kann, beruht lediglich auf der Verschiedenheit der Reaktanz  $x_3$  des Wattstromes und der Reaktanz  $x_2$  des wattlosen Stromes. Es ist nämlich das Drehmoment, wenn  $\mathcal{E} = 0$  ist,

$$W_a = m J_{wl} (x_2 - x_3) J_w.$$

Der wattlose Strom erzeugt in diesem Falle das Feld, das sonst vom Erregerstrom erzeugt würde. Die vom wattlosen Strom induzierte EMK, die ein Drehmoment bedingt, ist  $J_{wl}(x_2 - x_3)$ . Fällt diese EMK mit der Richtung des Wattstromes  $J_w$  zusammen, so leistet die Maschine elektrische Arbeit als Generator; im anderen Falle arbeitet sie als Motor und nimmt elektrische Leistung auf.

Für diese beiden Fälle sind die Spannungsdiagramme in den Fig. 180a und b aufgezeichnet.

Wie aus diesen Diagrammen ersichtlich, arbeitet die Maschine als Generator bei Phasenvoreilung des Stromes und als Motor bei Phasennacheilung des Stromes gegenüber der Klemmenspannung  $P$ . Da die vom Felde induzierte EMK hier gleich Null ist, so geschieht die Zerlegung des Stromes in zwei Komponenten  $J_{wl}$  und  $J_w$  lediglich mit Bezug auf die Variation der Reaktanz, d. h. in bezug auf die Polmitten, denn diese bestimmen die Feldverteilung und damit

$x_{s2}$  und  $x_{s3}$ .  $J_w$  fällt in die Richtung der EMK, die vom Felde, wenn dasselbe erregt wäre, induziert werden würde.

Man hat sogar die Erfahrung gemacht, daß man den Erregerstrom eines Synchronmotors auf Null reduzieren und dann seine Richtung umkehren kann, ohne daß der Motor außer Tritt fällt. In diesem Zustande ist die vom Magnetfelde induzierte EMK des Motors negativ. Daß dieses Phänomen möglich ist, geht ganz deutlich aus der Fig. 179 hervor; denn in dieser sind einige  $V$ -Kurven selbst mit ihrem stabilen Aste auf die linke Seite der Ordinatenachse hinübergetreten. Bei negativem Erregerfeld vermögen also die Synchronmaschinen als Motoren Arbeit zu leisten und als Generatoren stark phasenverfrühte Ströme ins Netz zu schicken.

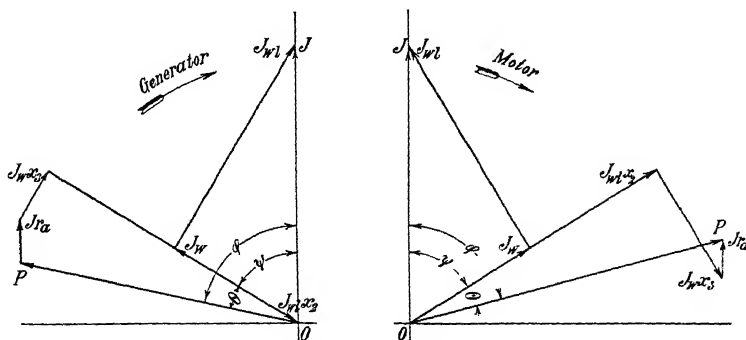


Fig. 180a und b.

Spannungsdiagramm einer unerregten Maschine: a) bei Phasenvoreilung des Stromes (Generator); b) bei Phasennacheilung des Stromes (Motor).

Hier wollen wir aber nur den Fall naher betrachten, wo die Erregung gleich Null ist.

Da  $E=0$  ist, wird nach der Formel (104) der wattlose Strom

$$J_w = - \frac{r_a(x_2 - x_3)J_v \pm \sqrt{P^2 z_2^2 - J_v^2(r_a^2 + x_2 x_3)^2}}{z_2^2} \quad (119)$$

der Strom

$$J = \sqrt{J_w^2 + J_{u1}^2}$$

und das Drehmoment

$$W_a = m \frac{\mp (x_2 - x_3)J_v \sqrt{P^2 z_2^2 - J_v^2(r_a^2 + x_2 x_3)^2} - r_a(x_2 - x_3)^2 J_w^2}{z_2^2} \quad (120)$$

Dieser Ausdruck nach  $J_w$  differenziert und gleich Null gesetzt ergibt

$$\begin{aligned}
 & + \frac{J_w^2 (r_a^2 + x_2 x_3)^2}{\sqrt{P^2 z_2^2 - J_w^2 (r_a^2 + x_2 x_3)^2}} \mp \sqrt{P^2 z_2^2 - J_w^2 (r_a^2 + x_2 x_3)^2} \\
 & + 2 r_a (x_2 - x_3) J_w = 0
 \end{aligned}$$

oder  $J_w =$

$$\frac{P z_2}{\sqrt{2} \sqrt{(r_a^2 + x_2 x_3)^2 + r_a^2 (x_2 - x_3)^2 + \sqrt{[(r_a^2 + x_2 x_3)^2 + r_a^2 (x_2 - x_3)^2] r_a^2 (x_2 - x_3)^2}}} \quad (121)$$

Dieser Wert, oben eingesetzt, ergibt

$$W_{amax} = m \frac{P^2 (x_2 - x_3)}{2 (r_a^2 + x_2 x_3)^2} \left[ \frac{1}{\sqrt{(r_a^2 + x_2 x_3)^2 + r_a^2 (x_2 - x_3)^2}} - r_a (x_2 - x_3) \right] \quad (122)$$

oder angenähert

$$\begin{aligned}
 W_{amax} & \approx m \frac{P^2 (x_2 - x_3)}{2 (r_a^2 + x_2 x_3)} \left[ r_a \frac{(x_2 - x_3)}{x_2 x_3} \pm 1 \right] \\
 & \approx m \frac{P^2 (x_2 - x_3)}{2 x_2 x_3} \left[ r_a \frac{(x_2 - x_3)}{x_2 x_3} \pm 1 \right] \approx \frac{m P^2}{2} \left( \frac{1}{x_3} - \frac{1}{x_2} \right) \quad (123)
 \end{aligned}$$

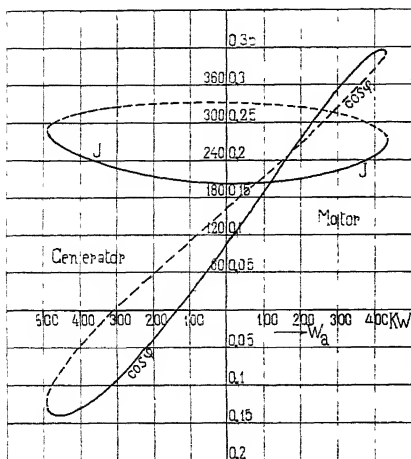


Fig. 181. Stromstärke und Phasenverschiebung einer unerregten Dreiphasenmaschine als Funktion des Drehmoments.  $P = 2310$  Volt,  $r_a = 1 \Omega$ ,  $x_3 = 6,84 \Omega$ ,  $x_2 = 11,3 \Omega$ .

Die maximale Leistung einer Reaktionsmaschine kann sehr groß werden, wenn die Reaktanz  $x_2$  des wattlosen Stromes viel größer ist als die Reaktanz  $x_3$  des Wattstromes. Reaktionsmaschinen, die als Motoren gut arbeiten sollen, müssen deswegen einen im Verhältnis zur Polteilung kleinen Polbogen, ein ungesättigtes Magnetsystem und einen ziemlich großen Luftspalt haben.

Es ist der innere Phasenverschiebungswinkel

$$\psi = \arctg \frac{J_w r_a}{J_w}$$

und da

$$\sin \Theta = \sin (\psi - \varphi) = \frac{J_w x_3 - J_w r_a}{P}$$

ist, so kann der Leistungsfaktor

$$\cos \varphi = \cos (\psi - \Theta)$$

auch berechnet werden.

Läßt man die früher (S. 219) als Beispiel benutzte Dreiphasenmaschine ( $P=2310$  Volt,  $r_a=1 \Omega$ ,  $x_s=6,84 \Omega$  und  $x_2=11,3 \Omega$ ) als Reaktionsmaschine laufen, so erhält man ein maximales Drehmoment als Generator

$$W_{amax} = -482,5 \text{ KW}$$

und als Motor

$$W_{amax} = 429 \text{ KW.}$$

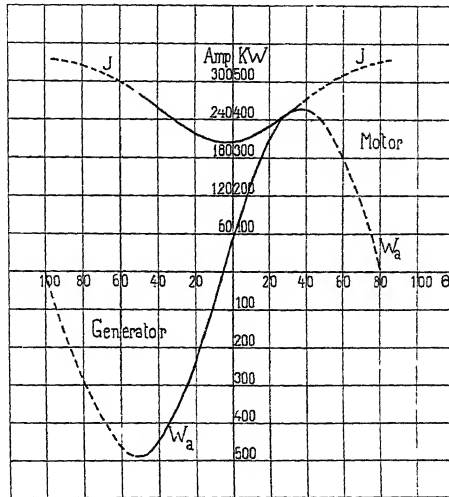


Fig. 182 Stromstärke und Phasenverschiebung einer unerregten Dreiphasenmaschine als Funktion des Phasenverschiebungswinkels  $\theta$ .

Für dieselbe Maschine ist in Fig. 181 der Strom  $J$  und der Leistungsfaktor  $\cos \varphi$  als Funktion des Drehmomentes  $W_a$  und in Fig. 182 der Strom  $J$  und das Drehmoment  $W_a$  als Funktion des Phasenverschiebungswinkels  $\theta$  aufgetragen.

## Elftes Kapitel.

### Einfluß der Form der EMK-Kurven auf die Arbeitsweise synchroner Maschinen.

62. Die Größe und Leistung der Oberströme im synchronen Betrieb. — 63 Einfluß der Oberströme auf den stabilen Gang der Synchronmotoren.

#### 62. Die Größe und Leistung der Oberströme im synchronen Betrieb.

Treten Oberwellen entweder in der Kurve der Netzspannung oder in der EMK-Kurve einer auf das Netz geschalteten Synchronmaschine oder in beiden auf, so geben diese Anlaß zu Strömen höherer Periodenzahl, die in derselben Weise wie der Grundstrom entweder mit dem Diagramm oder analytisch berechnet werden können. In bezug auf diese Oberströme besitzt der ganze Stromkreis andere effektive Widerstände und Reaktanzen als in bezug auf den Grundstrom. Die Oberströme erzeugen auch Drehfelder im Synchronmotor; diese rotieren teils mit derselben, teils mit einer viel größeren Geschwindigkeit als das Magnetsystem. Die ersteren Felder sind sehr klein und die letzteren werden durch Wirbelströme in dem Feldeisen abgeschwächt. Durch diese Wirbelströme werden aber andererseits die effektiven Widerstände des Stromkreises in bezug auf die Oberströme erhöht.

Die Widerstände und Reaktanzen der Oberströme lassen sich am einfachsten ermitteln, indem man Ströme dieser hohen Periodenzahlen durch die Ankerwicklung der Maschine schickt, während man sie langsam herumdreht, damit das Magnetsystem denselben Einfluß auf alle Phasen ausüben kann. Durch Messung von Spannung, Strom und Leistung ergeben sich in gewöhnlicher Weise der effektive Widerstand und die Reaktanz für einen Strom dieser Periodenzahl. Man wird finden, daß der effektive Widerstand des  $\nu$ ten Oberstromes etwas größer ist als der des Grundstromes, und daß die synchrone Reaktanz  $x_{a\nu}$  des  $\nu$ ten Oberstromes (s. S. 216)

etwas größer ist als  $\nu x_{s1}$ , hingegen kleiner ist als  $\nu x_{a1}$ , wo  $x_{s1}$  die Reaktanz des Streuflusses des Grundstromes ist. In Fig. 183 sind  $r$  und  $x_{s1}$  für eine 5 KW-Einphasenmaschine als Funktion der Periodenzahl aufgetragen; wegen der Schirmwirkung des Magnetisens erhält man für  $x_{s1}$  keine geradlinige, sondern eine nach der Abszissenachse abbiegende Kurve.

Eine kleine Phasenverschiebung  $\Theta_1$  zwischen Spannung und EMK der Grundwelle, wie sie im normalen Betrieb vorhanden ist, bedingt eine  $\nu$  mal größere Phasenverschiebung  $\Theta_\nu$  zwischen Spannung und EMK der  $\nu$ ten Oberwelle, d. h.  $\Theta_\nu = \nu \Theta_1$ .

Aus diesem Grunde und da  $x_{a\nu} < \nu x_{a1}$  ist, werden die Oberströme eines Synchronmotors im Verhältnis zum Grundstrom sehr groß, wie man leicht aus dem Spannungsdiagramm dieser Harmonischen ersieht, so daß die Stromkurven der Synchronmotoren stark verzerrt werden, wenn die Spannungs- und EMK-Kurven des Motors nicht Sinusform besitzen. Die Stromkurven ändern auch aus dem gleichen Grunde ihre Gestalt beträchtlich, wenn man entweder die Erregung oder die Belastung variiert.

Da die Synchronreaktanz  $x_{a\nu}$  des  $\nu$ ten Oberstromes im Verhältnis zum effektiven Widerstand groß ist, und da der Phasenverschiebungswinkel  $\Theta_\nu$  auch groß ist, so leisten die Oberströme wenig Arbeit, erhöhen aber trotzdem die Verluste durch Stromwärme bedeutend. Es sind deswegen in allen Generatoren und Motoren die Oberwellen in den EMK-Kurven durch passende Polschuhformen und durch verteilte Ankerwicklungen zu vermeiden.

Treten die gleichen Oberwellen sowohl in den Generatoren wie in den Motoren auf, so läßt sich für jede Oberwelle ein Diagramm zeichnen, aus welchem der Strom, die Leistung und die Verluste dieser Harmonischen sich berechnen lassen.

Die Leistung eines Oberstromes kann positiv oder negativ sein, ganz unabhängig davon, ob die Maschine als Motor oder als Generator arbeitet. Haben die Klemmenspannung und die EMK einer Maschine genau dieselbe Form, so wird bei Phasengleichheit zwischen Spannung und EMK, d. h. in der Nähe des Leerlaufes, die Form

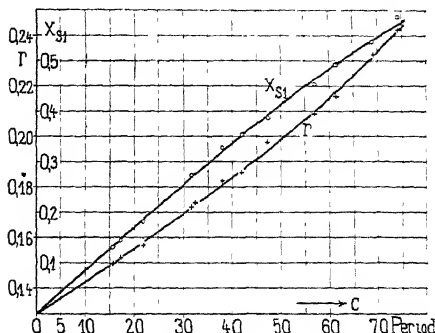


Fig 183. Effektiver Widerstand und effektive Reaktanz einer 5 KW-Einphasenmaschine in Abhängigkeit von der Periodenzahl

der Stromkurve fast symmetrisch. Die Oberwellen kommen aber viel deutlicher zum Ausdruck in der Strom- als in der EMK-Kurve. Belastet man die Maschine oder ändert man die Erregung innerhalb weiter Grenzen, so verschiebt sich sofort die EMK der Spannung gegenüber und da  $\Theta_0 = \nu \Theta_1$ , so treten große Oberströme auf und die Stromkurve wird mehr oder weniger unsymmetrisch.

Besonders in den  $\Gamma$ -Kurven kommt der Einfluß der höheren Harmonischen stark zum Ausdruck. Der kleinste Strom, der einem gegebenen Drehmoment entspricht, wird durch die Oberströme beträchtlich erhöht und der diesem Strom entsprechende Leistungsfaktor ist bedeutend kleiner als die Einheit. Die scheinbare Leistung der Oberströme kann nämlich so bedeutend sein, daß der Leistungsfaktor viel kleiner wie 1 wird, selbst wenn der Grundstrom in Phase mit der Grundwelle der Spannungskurve ist.

Am größten werden die Oberströme, wenn dieselben Oberwellen sowohl in der Spannungskurve wie in der EMK-Kurve vorhanden sind, und wenn diese sich nicht entgegenwirken, sondern sich addieren. Dies ist z. B. der Fall, wenn die EMK-Kurve eine flache Form und die Spannungskurve eine spitze Form hat, oder umgekehrt.

Ein anderer Fall ist der, daß die Formen der Spannungskurve und der EMK-Kurve ganz verschieden sind, indem die beiden Kurven Oberwellen verschiedener Periodenzahlen enthalten. Die Oberwellen der Spannungskurve erzeugen im Synchronmotor große Oberströme von derselben Periodenzahl, und umgekehrt erzeugen die Oberwellen des Synchronmotors im Netze große Oberströme ihrer Periodenzahl. Es entstehen in dieser Weise leicht große Oberströme, die große Verluste sowohl im Synchronmotor wie im Netz zur Folge haben.

### 63. Einfluß der Oberströme auf den stabilen Gang der Synchronmotoren.

Bei Mehrphasenmaschinen wird die Stabilität durch Oberströme selten gefährdet; denn die Leistungen dieser Ströme sind gewöhnlich sehr klein, höchstens 10 bis 20% von der des Grundstromes. Unter Umständen können jedoch die Oberströme so stark werden, daß sie den Betrieb stören. Um derartige Oberströme zu vermeiden und um die durch dieselben bedingten Stromwärmeverluste zu verringern, schaltet man am zweckmäßigsten eine Selbstinduktionsspule in Serie mit dem Motor und bei parallel arbeitenden Maschinen eine Spule zwischen diese. Durch die Reaktanz einer derartigen Spule können die Oberströme beliebig stark abgeschwächt werden.

Bei Einphasenmaschinen liegen die Verhältnisse ganz anders. Hier sind nämlich die in der Spannungs- oder in der EMK-Kurve bei Leerlauf vorhandenen Oberwellen nicht die einzige Ursache der Oberströme, sondern solche werden auch von dem Grundstrom erzeugt. Im Kap. I, S. 40ff. haben wir gesehen, daß das inverse Drehfeld des Grundstromes in der Ankerwicklung eines Einphasengenerators Ströme dreifacher Periodenzahl induziert, und daß die Oberströme dreifacher Periodenzahl wieder solcher funnfacher Periodenzahl erzeugen. Man kann deswegen bei Einphasenmaschinen keinen direkten Schluß von den EMK-Kurven bei Leerlauf auf die Stromkurven bei Belastung ziehen. Dies geht auch deutlich aus den folgenden Versuchen hervor, die von Dr.-Ing. L. Bloch<sup>1)</sup> im E. T. I. Karlsruhe ausgeführt wurden.

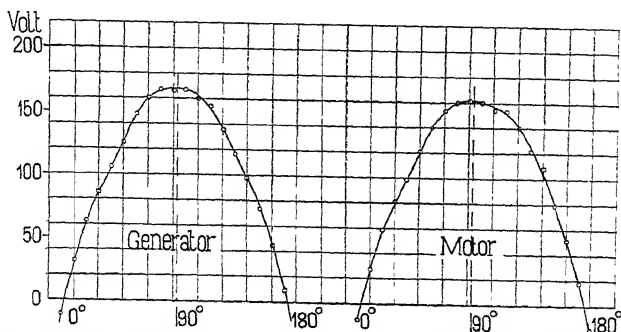


Fig. 184. Kurvenformen der Spannung bei Leerlauf und offenem Anker.

Für die Versuche wurden zwei genau gleiche 3,5 KW-Wechselstrommaschinen der Firma Schuckert & Co. benutzt. Diese leisteten normal 32 Amp. bei 110 Volt Spannung. Beide Maschinen hatten dieselben Polschuhe mit einem Polbogen gleich 60% der Polteilung. Die EMK-Kurven der beiden Maschinen sind in Fig. 184 dargestellt. Beide sind einander gleich und genügen der Gleichung

$$e = 100 \sin \omega t + 4,3 \sin 3 \omega t.$$

Die Kurven enthalten keine Oberwellen funfter Ordnung, und zwar aus dem Grunde, weil die Ankerwicklungen in beiden Maschinen 40% der Polteilung bedecken. Es ist in diesem Falle  $\frac{S}{\tau} = 0,4$  und somit

<sup>1)</sup> Siehe: Der Einfluß der Kurvenform auf die Wirkungsweise des Synchronmotors von Dr.-Ing. Leopold Bloch; Verl. v. F. Enke, Sammlung elektrotechnischer Vorträge.



$$f_{w5} = \frac{\sin 5 \frac{S}{\tau} \frac{\pi}{2}}{5 \frac{S}{\tau} \frac{\pi}{2}} = \frac{\sin \pi}{\pi} = 0$$

Die Oberwellen funfter Ordnung der Feldkurve kommen somit in der EMK-Kurve nicht zur Geltung.

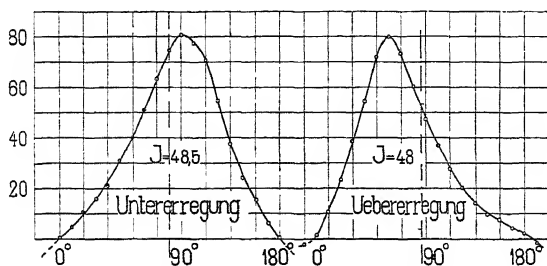


Fig. 185. Kurvenformen des Stromes bei Leerlauf

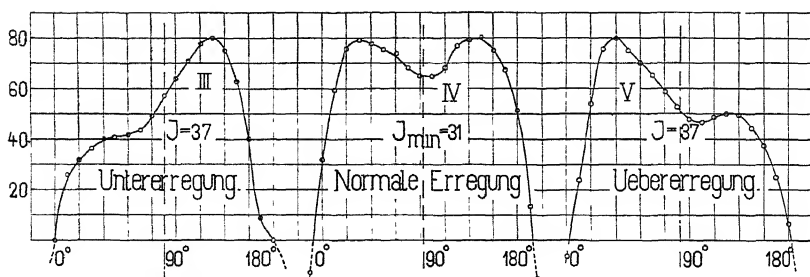


Fig. 186 Stromkurven bei direktem Antrieb und Belastung

Es wurde nun die eine Maschine als Generator angetrieben und die andere, die als Synchronmotor lief, von diesem mit Strom versorgt. Bei Leerlauf wurden bei den verschiedenen Erregungen  $i_e$  die Stromkurven (Fig. 185) und bei Belastung die Stromkurven (Fig. 186) aufgenommen. Die Kurve V (Fig. 186) genügt der Gleichung

$$i = 100 \sin(\omega t + 10^\circ 30') + 31 \sin(3 \omega t - 16^\circ 10') + 6,25 \sin(5 \omega t - 45^\circ).$$

Trotz der kleinen Oberwellen dritter Ordnung in den EMK-Kurven treten doch sehr große Oberströme dieser Ordnung in dem Stromkreise auf. Die Oberströme funfter Ordnung werden von dem inversen Drehfelde der Oberströme dritter Ordnung induziert.

In Fig. 187 sind die  $V$ -Kurven des Motors für Leerlauf und eine Belastung von ca. 1800 Watt durch die Kurven  $A_I$  resp.  $A_{II}$  dargestellt. Der minimale Strom bei Leerlauf weicht sehr stark von Null ab; diese Abweichung ruht hauptsächlich von den Oberströmen her. Wurde der Motor mittels Riemen so angetrieben, daß die ihm zugeführte elektrische Leistung gerade gleich Null war, so ergab sich die  $V$ -Kurve  $D$  (Fig 187). Diese entspricht dem Zustande  $W_a = 0$  und  $\cos \psi = 0$  und sollte deswegen, wenn keine Oberströme vorhanden wären, die Abszissenachse mit einer Spitze berühren. Wie ersichtlich, ist dies nicht der Fall. Die dem tiefsten

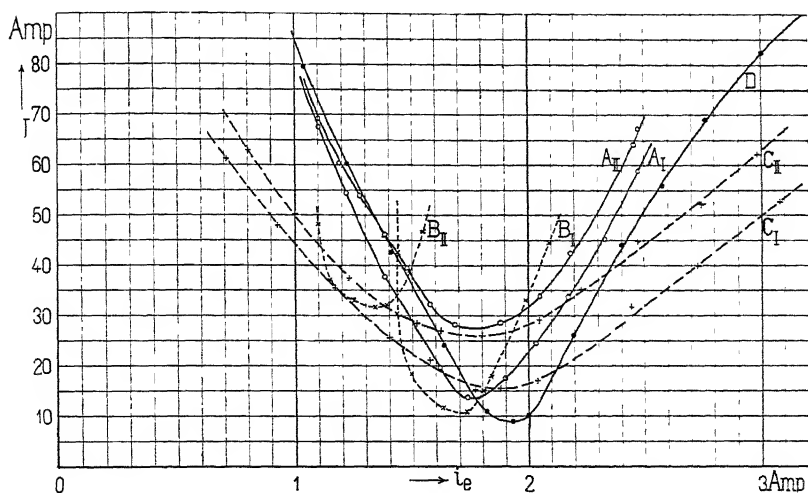


Fig. 187  $V$ -Kurven eines 3,5 KW-Synchronmotors. Es entspricht Kurve  $A_I$  — Leerlauf,  $A_{II}$  — 1800 Watt Belastung,  $D$  — zugeführte Leistung Null;  $B_I$  — Leerlauf mit vorgeschaltetem Widerstand,  $B_{II}$  — 1800 Watt Belastung und vorgeschaltetem Widerstand,  $C_I$  — Leerlauf mit vorgeschalteter Impedanz;  $C_{II}$  — 1800 Watt Belastung und vorgeschalteter Impedanz

Punkte dieser  $V$ -Kurve entsprechende Stromstärke besteht deshalb lediglich aus Oberströmen. Um die Oberströme abzdampfen, wurde dem Motor zuerst ein großer Widerstand ( $0,685 \Omega$ ) und nachher eine große Drosselspule ( $Z = 0,12 - j 0,45$ ) vorgeschaltet. Wenn der Widerstand dem Motor, dessen Impedanz  $Z_a = 0,215 - j (0,40 \text{ bis } 0,65)$  ist, vorgeschaltet wurde, ergaben sich bei Leerlauf und ca. 1800 Watt Belastung die  $V$ -Kurven  $B_I$  und  $B_{II}$  (Fig. 187). Durch Vorschalten der Impedanz wurden unter denselben Betriebsverhältnissen die  $V$ -Kurven  $C_I$  und  $C_{II}$  erhalten.

Aus diesen  $V$ -Kurven geht deutlich die viel günstigere Wirkung einer vorgeschalteten Reaktanz als eines entsprechenden Wider-

standes hervor. Außerdem verkleinert der Widerstand den Wirkungsgrad der Übertragung sehr stark.

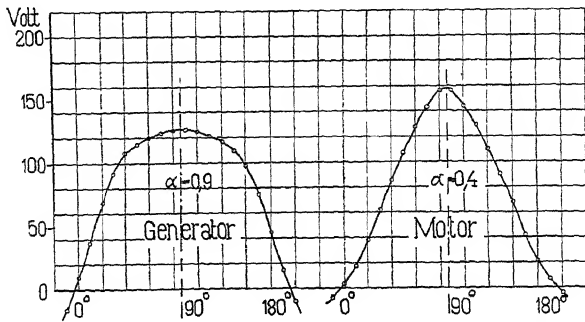


Fig. 188 Kurvenformen der Spannung bei Leerlauf und offenem Anker

Es wurden jetzt die Polschuhe der beiden Maschinen ausgetauscht. Der Generator bekam sehr breite Polschuhe (Polbogen 90% der Polteilung) und der Motor sehr schmale Polschuhe (Polbogen 40% der Teilung). In Fig. 188 sind die EMK-Kurven des Generators und Motors aufgetragen. Diese genügen den Gleichungen

$$e_g = 100 \sin \omega t + 9,5 \sin 3 \omega t$$

und

$$e_m = 100 \sin \omega t - 12,9 \sin 3 \omega t$$

$$e_g - e_m = 22,4 \sin 3 \omega t.$$

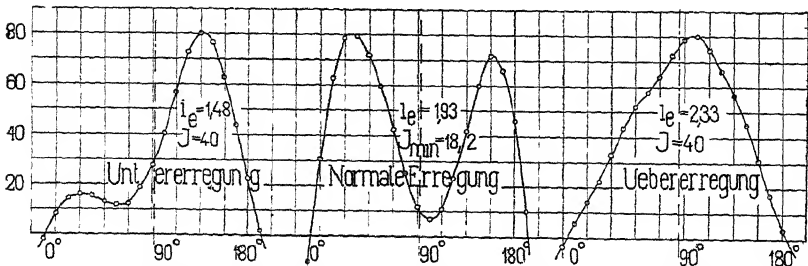


Fig. 189. Stromkurven bei direktem Antrieb und Leerlauf

Bei Leerlauf und Belastung ergaben sich die Kurven Fig. 189 bzw. Fig. 190. Wurde der Motor mittels Riemen angetrieben, daß  $W_a = 0$  und  $\cos \psi = 0$  war, so hatte der minimale Strom die Kurvenform Fig. 191. Diese Kurve besteht hauptsächlich aus einer Oberwelle dritter Ordnung.

Zuletzt wurde noch der Motor mit den schmalen Polschuhen an das Netz des Karlsruher Elektrizitätswerkes angeschlossen. Die

Spannungskurve der Zentrale hatte in den Nachtstunden die Form Fig. 192, die der Gleichung

$$v = 100 \sin \omega t - 11,3 \sin 5 \omega t + 3,3 \sin (7 \omega t + 153^\circ)$$

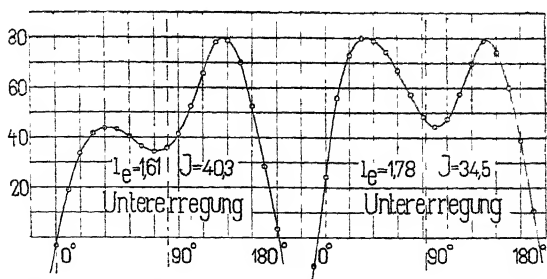


Fig. 190 a. Stromkurven bei direktem Antrieb und Belastung

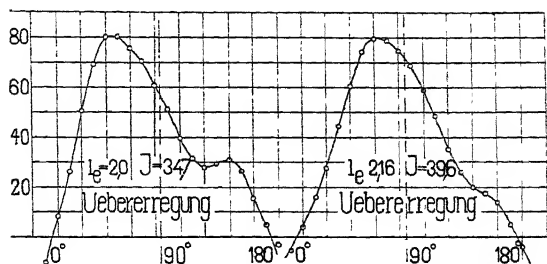


Fig. 190 b. Stromkurven bei direktem Antrieb und Belastung.

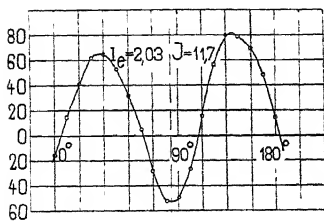


Fig. 191. Stromkurve des Minimalstromes bei direktem Antrieb und  $\cos \psi = 0$ .

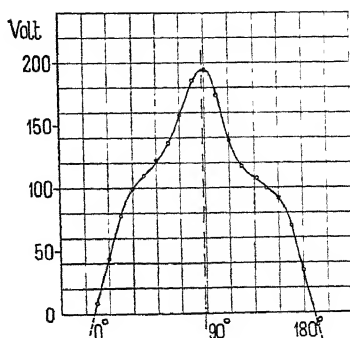


Fig. 192. Spannungskurven des Karlsruher Elektrizitätswerkes in den Nachtstunden.

genügt. Es fehlt die dritte Oberwelle, weil die Zentrale Dreiphasenstrom erzeugt. Die EMK-Kurve des Motors war dieselbe wie oben und hatte also die Gleichung

$$e_m = 100 \sin \omega t - 12,9 \sin 3 \omega t.$$

Bei Leerlauf des Motors ergaben sich bei den verschiedenen Erregungen die Kurven Fig. 193. In diesen sind Oberströme dritter, funfter und siebenter Ordnung stark vertreten. Die Oberströme sind auch hier alle sämtlich stärker als sie sich aus den EMK-Kurven und aus der Größe der Impedanzen des Stromkreises ergeben würden.

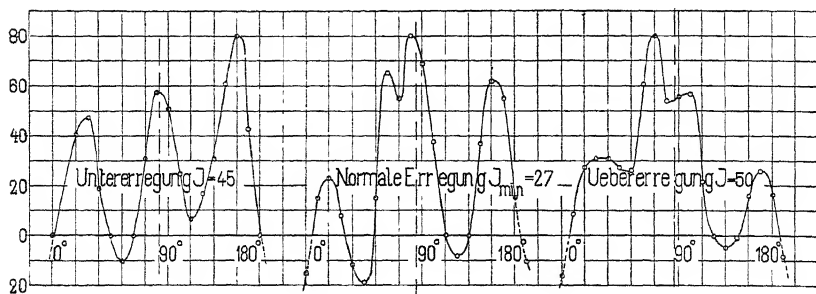


Fig. 193. Stromkurven des 3,5 KW-Synchronmotors bei Leerlauf und bei Anschluß an das Netz des Karlsruher Elektrizitätswerkes.

Die Spannungskurve der Zentrale änderte ihre Form, wenn sie tagsüber durch leerlaufende Motoren stark belastet war. In diesem Falle erhielt man die Spannungskurve A (Fig. 194), die der Gleichung

$$p = 100 \sin \omega t + 15 \sin 5 \omega t + 6,35 \sin 7 \omega t$$

genügt. Wurde die Einphasenmaschine am Tage mittels eines Anlaßmotors auf Synchronismus gebracht und auf das Netz geschaltet, so stieg der Motorstrom sofort nach dem Parallelschalten bei gleicher Spannung und Tourenzahl auf über 35 Ampere an, und sobald der

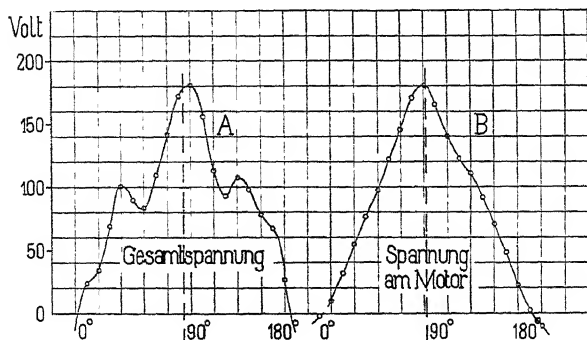


Fig. 194. Kurve A: Spannungskurve des Karlsruher Elektrizitätswerkes am Tage. Kurve B: Dieselbe Kurve bei Vorschaltung einer großen Reaktanz an den Motorklemmen gemessen.

Anlaßmotor abgeschaltet wurde, fiel der Synchronmotor außer Tritt. Bei  $W_a = 0$  und  $\cos \psi = 0$  bestand der Minimalstrom  $J_{\min}$  gleich 33 Ampere ausschließlich aus Oberströmen.

Bei Vorschalten einer großen Reaktanz ( $\beta = 0,17 - j 1,07$ ) vor den Motor ergab sich an den Motorklemmen die Spannungskurve  $B$  (Fig. 194) und der Motor lief nun sowohl leer als belastet. Die Stromkurven hatten in diesem Falle die Form Fig. 195.

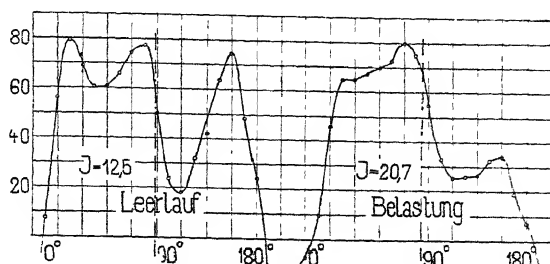


Fig. 195. Stromkurven des 3,5 KW-Synchronmotors bei Anschluß an das Karlsruher Elektrizitätswerk unter Vorschalten einer großen Reaktanz.

Wie hieraus ersichtlich ist, können sehr große Oberströme den Betrieb von Synchronmotoren stören. Durch Vorschalten einer Drosselspule werden die Oberströme aber so stark gedämpft, daß ein Betrieb sowohl bei Leerlauf als bei Belastung möglich wird. Ferner hat die Drosselspule eine Abflachung der  $V$ -Kurven zur Folge, woraus folgt, daß die Erregung innerhalb weiter Grenzen geändert werden kann, ohne daß der Motor außer Tritt fällt. Die maximale Leistungsfähigkeit des Motors, bedingt durch die Grundwelle der Spannungskurve, wird jedoch durch Vorschalten einer Drosselspule herabgesetzt. Diese Verminderung der maximalen Leistungsfähigkeit spielt aber bei Normallast eine kleinere Rolle, weil die Wattkomponente des Grundstromes

$$J_w \cong \frac{P \sin \Theta + J_{wl} r_a}{x_s} \cong \frac{P \Theta}{x_s}$$

angenähert proportional  $\frac{\Theta}{x_s}$  ist. Wird die Reaktanz  $x_s$  des Wattstromes erhöht, so steigt, wenn die Belastung dieselbe bleibt, der Phasenverschiebungswinkel  $\Theta$  in demselben Verhältnis. Natürlich kann  $\Theta$  nur bis zu einer gewissen Grenze (ca.  $90^\circ$ ) ansteigen; bei dieser fällt der Motor außer Tritt. Diese Grenze wird man aber selbst bei Vorschaltung von Drosselspulen in den seltensten Fällen erreichen.

Es ist bei dem letzten Versuch auffallend, daß der Motor, dessen EMK-Kurve nur Oberwellen dritter Ordnung enthält, von einer Spannung, deren Kurve nur Oberwellen fünfter und siebenter Ordnung enthält, nicht in Betrieb gehalten werden kann. Eine Oberwelle dritter Ordnung kann mit einem Oberstrom fünfter Ordnung keine mittlere Leistung, sondern nur Momentanleistungen, deren Summe gleich Null ist, liefern. Da in einem Einphasenmotor

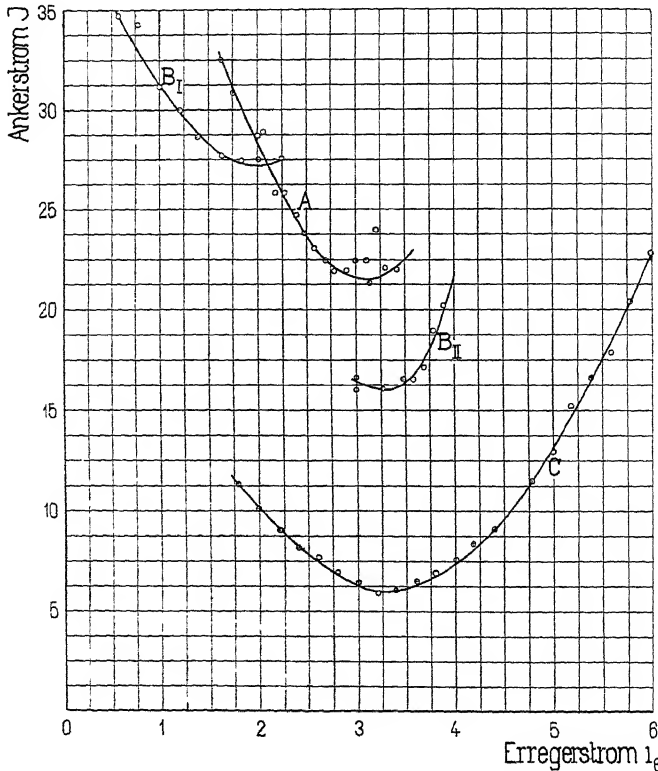


Fig. 196. V-Kurven eines Einphasenmotors: Kurve A bei Leerlauf; Kurve B bei Vorschaltung einer kleinen Reaktanz, Kurve C bei Vorschaltung einer besonders günstigen Reaktanz.

nicht allein Oberströme von den Oberwellen der EMK-Kurve, sondern auch von den inversen Drehfeldern erzeugt werden, so ist es fraglich, ob bei den obigen Versuchen die mittlere Leistung der Oberwellen im Motor so groß war, daß er deswegen außer Tritt fiel; denn es ist möglich, daß die Momentanleistungen der Oberströme einer Periodenzahl mit den Ober-EMKEN einer anderen Periodenzahl zu so starken Pulsationen Anlaß gaben, daß der Motor aus diesem Grunde außer Tritt fiel.

Die erste Annahme, daß die mittlere Leistung der Oberwellen den Motor außer Tritt wirft, scheint die richtigere zu sein; denn ein anderer Versuch mit einem Dreiphasenumformer, der keine Oberwellen dreifacher Periodenzahl, sondern nur kleine Oberwellen funfter Ordnung enthielt, ergab, daß dieser Umformer am Tage mit dem Strom der städtischen Zentrale auch nicht im Betriebe gehalten werden konnte. In diesem Falle konnte aber die Betriebsstörung nur von einem Oberstrom funfter Ordnung herrühren.

Bedell und Ryan haben (ETZ 1895, Heft 15) zwei genau gleiche Einphasenmaschinen untersucht, von denen die eine als Generator angetrieben wurde, während die andere als Motor lief. Bei Leerlauf ergab sich die  $V$ -Kurve  $A$  (Fig. 196). Bei Vorschalten einer kleinen Reaktanz erhielt man die  $V$ -Kurven  $B$ ; zwischen den beiden Teilen  $B_I$  und  $B_{II}$  dieser Kurve war ein instabiler Bereich. Eine Erhöhung der vorgeschalteten Reaktanz brachte die beiden Zweige  $B_I$  und  $B_{II}$  näher zueinander. Bei einer bestimmten vorgeschalteten Reaktanz wurde der Motorstrom ein Minimum und der Motor lief, selbst wenn die Erregung innerhalb weiter Grenzen geändert wurde, stabiler als bei jeder anderen vorgeschalteten Reaktanz. Bei dieser günstigen Reaktanz ergab sich die  $V$ -Kurve  $C$  bei Leerlauf. Auch aus diesem Versuche ist also die günstige Wirkung einer vorgeschalteten Reaktanz deutlich zu erkennen.

---



## Zwölftes Kapitel.

### Das Parallelschalten synchroner Maschinen.

64. Das Zusammenarbeiten mehrerer Maschinen — 65. Das Parallelschalten von Einphasengeneratoren — 66. Das Parallelschalten von Mehrphasengeneratoren — 67. Methoden zur Einregulierung der Periodenzahl vor der Parallelschaltung — 68. Parallelschaltung von Maschinen mit selbsttätiger Regulierung — 69. Automatische Parallelschaltung und Synchronisierung — 70. Das Anlassen von Synchronmotoren: a) durch eine äußere Kraft, b) als Asynchronmotoren und c) als Kommutatormotoren.

#### 64. Das Zusammenarbeiten mehrerer Maschinen.

Bei den Wechselstromanlagen muß man gerade so wie bei den Gleichstromanlagen, sobald die Leistung der Anlage eine gewisse Höhe erreicht, die Gesamtleistung auf mehrere Einheiten verteilen. Nur dadurch wird es möglich, die Leistung der im Betrieb befind-

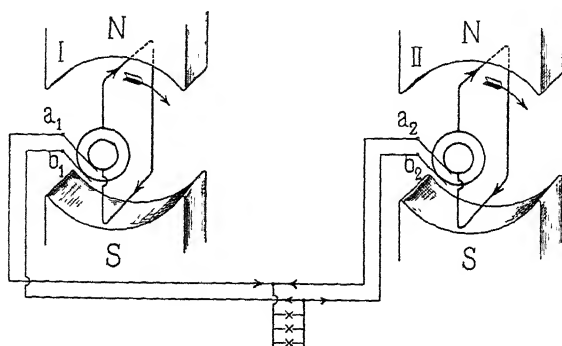


Fig. 197 Synchron rotierende Generatoren

lichen Maschinen dem momentanen Konsum anzupassen und auf wirtschaftliche Art eine passende Reserve an Maschinen zu erhalten. Die Einheiten arbeiten gewöhnlich parallel auf denselben Stromkreis und müssen deswegen synchron laufen. Daß parallelgeschal-

tete Generatoren synchron laufen können, beruht auf demselben Prinzip, nach welchem eine Wechselstrommaschine als Synchronmotor benutzt werden kann. — Um das einzusehen, betrachten wir zwei vollständig gleiche Generatoren, deren Armaturwicklungen sich vollständig synchron drehen und in jedem Moment in derselben relativen Lage gegenüber dem Polsystem stehen. Wir denken uns diese beiden Maschinen durch die Fig. 197 schematisch dargestellt. Entsprechende Klemmen der beiden Maschinen  $a_1 a_2$  und  $b_1 b_2$  seien miteinander leitend verbunden.

Durchlaufen wir den geschlossenen Stromkreis der beiden Maschinen im Sinne  $a_1 b_1 b_2 a_2$ , so haben die EMKe der beiden Maschinen in bezug auf diese Richtung die entgegengesetzte Phase (sie sind um  $180^\circ$  verschoben). Sind  $E_1$  und  $-E_2$  die in I resp. II induzierten EMKe und nehmen wir an, daß sie dem absoluten Werte nach gleich groß sind (Fig. 198), so ist die resultierende EMK im Stromkreise gleich Null, und folglich ist auch der Strom gleich Null.

Geben wir nun der Armaturwicklung der Maschine I eine Winkelverschiebung  $\Theta$  (Fig. 199) gegenüber der Ankerwicklung der Maschine II, so wird die in der Maschine I induzierte EMK dieselbe Winkelabweichung  $\Theta$  gegenüber derjenigen der Maschine II erhalten, und wir bekommen in den Stromkreis der beiden Maschinen eine resultierende EMK

$$\Delta E = 2 E_1 \sin \frac{\Theta}{2}.$$

Diese erzeugt einen inneren Strom  $J_i$ , der zwischen den beiden Maschinen fließt. Da die Reaktanz der Ankerwicklungen viel größer ist als ihr Ohmscher Widerstand, so eilt  $J_i$  der EMK  $\perp E$  um den Winkel  $\psi_k \sim 90^\circ$  nach. I ist, wie angenommen, die voreilende und II die nacheilende Maschine. Der Strom  $J_i$  ist ungefähr in Phase mit der EMK  $E_1$ , die Maschine I leistet also eine elektrische Arbeit, während die Maschine II als Motor mitgezogen wird, denn der Vektor  $E_1$  eilt dem Vektor  $E_2$  vor. In dem Anker der Maschine II fließt die Wattkomponente des Stromes  $J_i$  im entgegengesetzten Sinne der induzierten EMK und die Maschine leistet mechanische Arbeit, indem sie elektrische Energie aufnimmt. Die voreilende Maschine wird von dem Ausgleichstrom  $J_i$  gebremst und die nacheilende Maschine fast in gleichem Maße angetrieben. Es ist also ein Bestreben vorhanden, die Armatur-

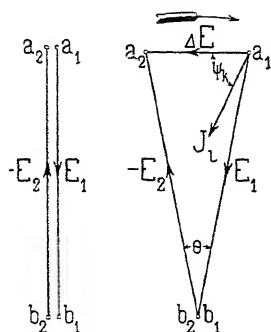


Fig. 198.

Fig. 199.

wicklungen der beiden Maschinen in dieselbe Lage relativ zu den Polsystemen zurückzubringen und so die Maschinen in synchronem Lauf zu erhalten. Diese Kraft haben wir die synchronisierende Kraft genannt; sie ist die Bedingung für die Möglichkeit der Parallelschaltung.

Die obigen Betrachtungen gelten, wenn der äußere Stromkreis offen ist, also für unbelastete Maschinen. Da aber beide Maschinen sich dem offenen Stromkreise gegenüber gleich verhalten, so gilt das oben Gesagte auch für den Fall, daß der äußere Stromkreis belastet ist.

## 65. Das Parallelschalten von Einphasengeneratoren.

Soll eine Maschine mit einer zweiten bzw. zu den Sammelschienen parallel geschaltet werden, ohne daß ein großer Stromstoß oder eine Schwankung der Klemmenspannung erfolgt, so hat man folgendes zu beachten:

1. Die Maschine muß auf dieselbe Periodenzahl wie die im Betrieb befindliche Maschine gebracht werden.

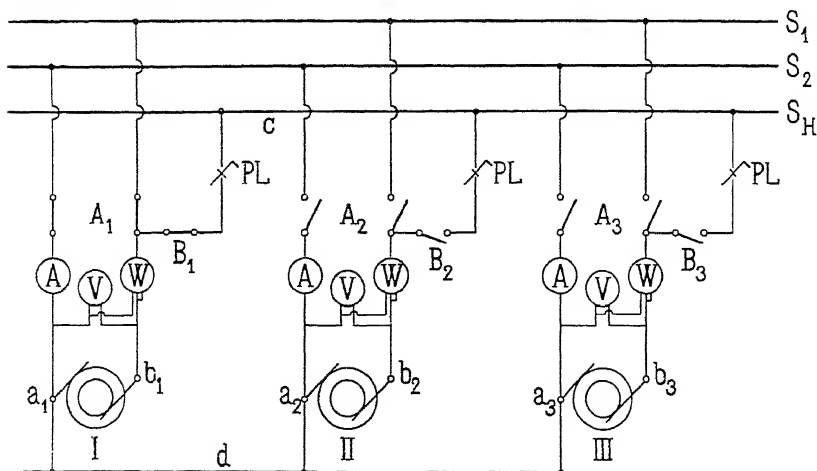


Fig 200 Schema für das Parallelschalten von Einphasengeneratoren bei Niederspannungsanlagen mit Hilfssammelschiene

2. Die Maschine muß auf die gleiche Klemmenspannung wie die im Betrieb befindliche erregt sein

3. Die Maschine muß in bezug auf den äußeren Stromkreis die gleiche Phase erhalten wie die im Betrieb befindliche. Räumlich sind die Maschinen dann in Phase, in bezug auf den Stromkreis  $a_1 b_1 b_2 a_2$ , dagegen in der Phase um  $180^\circ$  ver-

schoben. Gewöhnlich benutzt man, um festzustellen, ob die einzuschaltende Maschine die richtige Periodenzahl und Phase hat, eine Glühlampe, die sogenannte Phasenlampe. Es sollen im folgenden einige Anordnungen zur Parallelschaltung von Generatoren zusammengestellt werden.

Eine schematische Darstellung einer Anordnung mit Hilfssammelschiene zeigt Fig. 200.

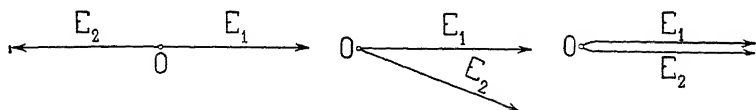


Fig. 201.

Alle Klemmen einer Polarität ( $a_1 a_2 a_3$ ) sind miteinander verbunden. Zwischen den Klemmen der zweiten Polarität und einer Hilfssammelschiene  $S_H$  werden die Phasenlampen  $PL$  eingeschaltet. Die Maschine I arbeitet auf das Netz; will man die Maschine II zuschalten, so bringt man sie zuerst angenähert auf dieselbe Tourenzahl und Spannung wie I und schaltet mittels des Schalters  $B_2$  die Phasenlampe ein. Es wird dann in dem geschlossenen Stromkreis  $a_1 b_1 PL c P L b_2 a_2 da_1$  eine EMK induziert, die die Resultierende der in den beiden Ankern der Maschinen I und II induzierten EMKe  $E_1$  und  $-E_2$  ist. Die EMKe  $E_1$  und  $E_2$  haben nicht dieselbe Periodenzahl, sondern verschiedene, die nur wenig voneinander abweichen. Es rotieren deswegen die beiden Vektoren  $E_1$  und  $E_2$  (Fig. 201) mit verschiedenen Geschwindigkeiten, sie nehmen jeden Augenblick eine andere Lage zueinander ein und die Amplitude ihrer Resultierenden ändert sich beständig.

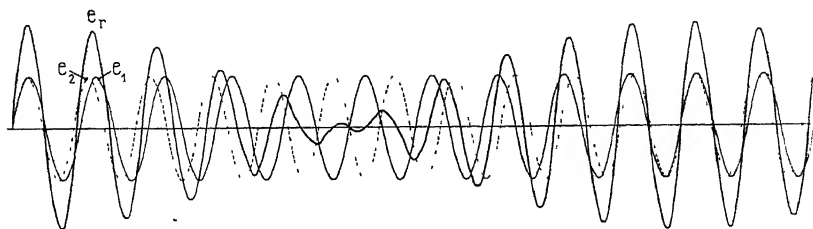


Fig. 202. Verlauf der in zwei parallel zu schaltenden Maschinen induzierten EMKe und ihrer Resultierenden.

In Fig. 202 sind die beiden EMK-Kurven und ihre Resultierende unter der Annahme aufgezeichnet, daß die Effektivwerte der beiden EMKe gleich groß sind.

Analytisch erhält man

$$\begin{aligned} e_r &= e_1 + e_2 = E\sqrt{2} \sin \omega t + E\sqrt{2} \sin (\omega + \Delta \omega) t \\ &= 2 E \sqrt{2} \cos \frac{\Delta \omega}{2} t \sin \left( \omega + \frac{\Delta \omega}{2} \right) t, \end{aligned}$$

d. h. eine Sinuskurve von der mittleren Periodenzahl beider EMKe mit einer nach einer Sinuskurve variierenden Amplitude (Fig. 203). Die Amplitude ändert ihre Größe um so schneller, je größer  $\Delta \omega$  ist, d. h. je mehr die Periodenzahlen der beiden EMKe voneinander abweichen.

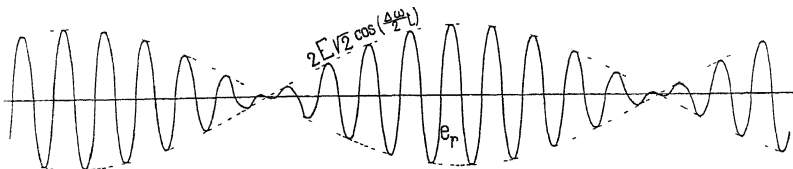


Fig. 203. Resultierende der in zwei parallel zu schaltenden Maschinen induzierten EMKe mit sinusförmig variierender Amplitude.

Jedesmal wenn die beiden EMK-Vektoren  $E_1$  und  $-E_2$  in ihrer Richtung einander entgegengesetzt sind, erhält man die größte Amplitude des Stromes, und die Phasenlampen, die für die doppelte Spannung einer Maschine dimensioniert sind, leuchten auf. Wenn die Vektoren gegeneinander um  $180^\circ$  verschoben sind, erhält man die kleinsten Amplituden des Stromes und die Phasenlampen sind dunkel. Die Zeit zwischen dem Aufleuchten der Lampen, d. h. zwischen zwei Strommaxima, gibt uns ein Maß für die Differenz  $\Delta \omega$  der Periodenzahlen der beiden Maschinen. Dagegen geben die Phasenlampen keinen Aufschluß darüber, welche von den beiden Maschinen schneller läuft.

Man sucht nun durch Änderung der Regulatorstellung der zuzuschaltenden Dampfmaschine diese Maschine auf dieselbe Periodenzahl wie die erste zu bringen; dies ist der Fall, wenn das Aufleuchten der Lampen in großen Intervallen erfolgt. Ist dies erreicht, so paßt man die Zeit ab, wo beide Lampen längere Zeit dunkel bleiben, und legt dann den Schalter  $A_2$  ein. Die Maschinen arbeiten jetzt parallel auf den äußeren Stromkreis und jede Abweichung der Tourenzahl der einen Maschine von der der zweiten ruft sofort einen inneren Strom hervor, der den Synchronismus wieder herstellt.

Für Hochspannungsanlagen entspricht dem Schema der Fig. 200 das der Fig. 204. Statt das Voltmeter  $V$  und die Phasenlampen  $PL$  direkt zwischen den Maschinenklemmen einzuschalten, legt man

die primären Klemmen eines kleinen Transformators  $MT$  (sog. Meßtransformators) an die Maschinenklemmen und schaltet zwischen den Sekundärklemmen des Transformators das Voltmeter  $V$  und die Phasenlampen  $PL$ .

Wenn die Lampen dunkel sind, wird auch hier eingeschaltet.

Man kann die Lampen auch so schalten, daß sie hell brennen, wenn die beiden EMKe  $E_1$  und  $-E_2$  um  $180^\circ$  gegeneinander verschoben sind und also der richtige Moment zum Einschalten gekommen ist. Für diesen letzten Fall erhält man die Schaltung Fig. 205.

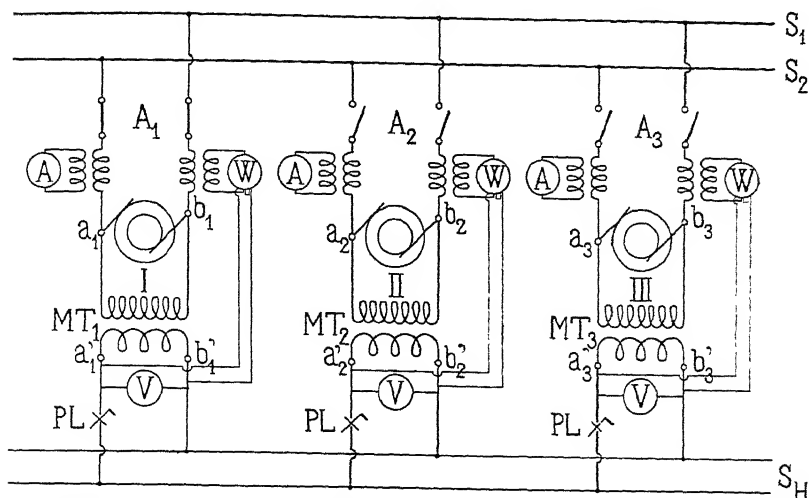


Fig 204. Schema für das Parallelschalten von Einphasengeneratoren bei Hochspannungsanlagen. Einschalten, wenn Phasenlampen dunkel.

Wenn die Maschinen in Phase sind, addieren sich die Spannungen und die Lampen brennen hell.

In Chèvres wurde folgende Anordnung zur Parallelschaltung der Wechselstromgeneratoren von der Société de l'Industrie Electrique Genf zur Ausführung gebracht (Fig. 206).

Soll Maschine II parallel geschaltet werden, so bringt man sie auf die normale Umdrehungszahl und Spannung und schließt den Ausschalter  $B_2$ . Sodann reguliert man Spannung und Periodenzahl genauer ein mittels der Voltmeter  $V_1$ ,  $V_2$  und der Phasenlampen  $PL$ . Außer den Phasenlampen ist ein Phasenvoltmeter  $V_3$  vorhanden. Bei Phasengleichheit wird der Ausschalter  $A$  eingelegt, wodurch die Maschine parallel geschaltet ist. Wenn die Maschinen gut parallel laufen, wird auch der Hauptausschalter  $A_2$  geschlossen. Im Stromkreise des Schalters  $A$  sind verhältnismäßig kleine Sicherungen ange-

bracht, welche durchbrennen, falls die Ausgleichströme zwischen den Maschinen zu groß werden. Man gefährdet hierdurch nicht

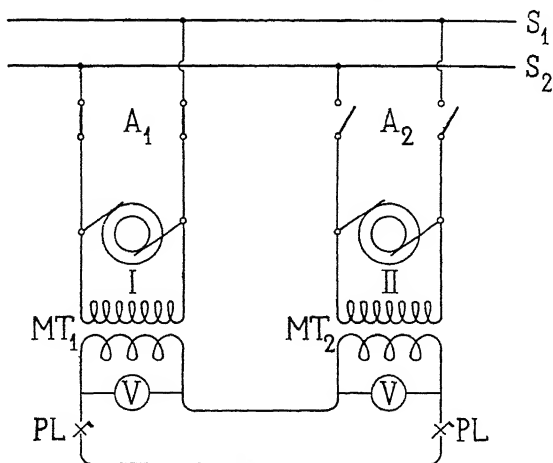


Fig. 205. Schaltungschema für bei hellen Phasenlampen parallel zu schaltende Generatoren.

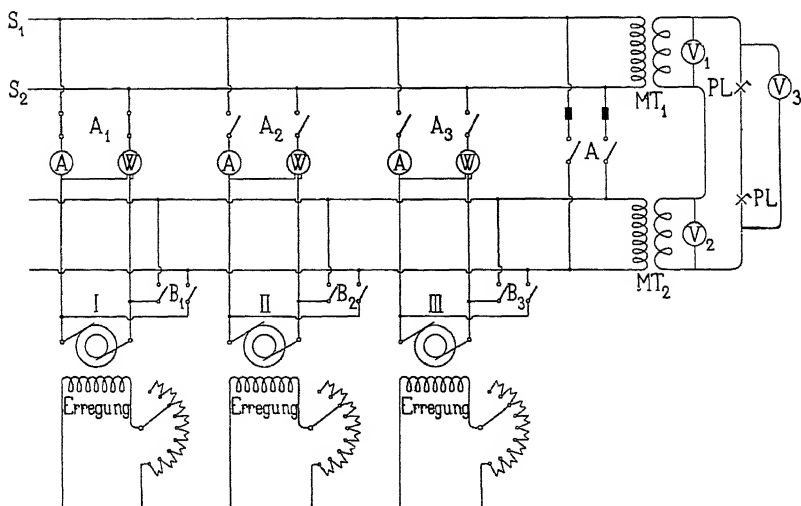


Fig. 206. Anordnung der Société de l'Industrie Electrique, Geuf, zur Parallelschaltung von Einphasengeneratoren.

die Hauptsicherungen für den Fall, daß die Einschaltung nicht im richtigen Moment erfolgt.

Von G. Kapp wurde in Bristol die folgende Methode (Fig. 207) angewandt:

Mittels zweier Stöpsel wird die einzuschaltende Maschine I auf die Hilfsschienen  $S_H$  geschaltet. Dann wird  $A$  geschlossen, wobei die Maschine zunächst nur durch die Drosselspule  $DS$  mit den

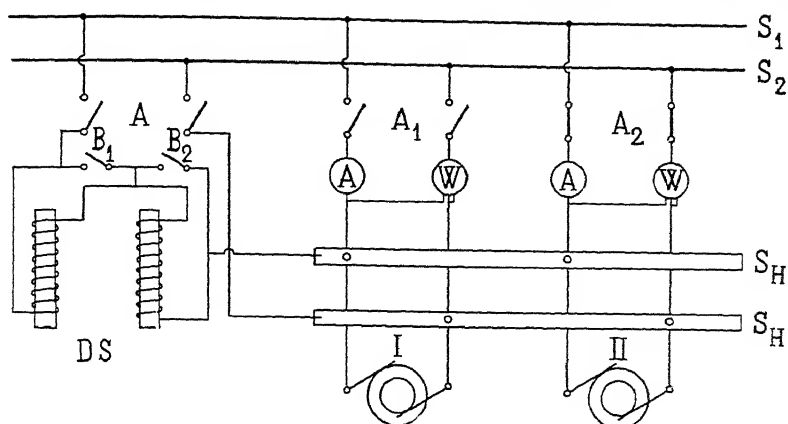


Fig. 207. Anordnung für das Parallelschalten von Einphasengeneratoren von G. Kapp.

Schienen verbunden wird. Wenn der Synchronismus nahezu erreicht ist, werden die Schalter  $B_1$  und  $B_2$  nacheinander eingelegt. Dann wird  $A_1$  geschlossen und die Stöpsel werden herausgezogen.

## 66. Das Parallelschalten von Mehrphasengeneratoren.

Das Parallelschalten der Mehrphasengeneratoren mit Hilfssammelschienen erfolgt genau in derselben Weise wie bei Einphasengeneratoren. Man verbindet bei Niederspannungsanlagen alle Klemmen einer Phase (Fig. 209). Die Phasenlampen werden zwischen den Klemmen einer anderen Phase und einer Hilfssammelschiene  $S_H$  geschaltet.

Bei Hochspannungsanlagen erhält man das Schema Fig. 209, wo die Voltmeter und Phasenlampen in dem Sekundärkreis der Meßtransformatoren liegen. Zwei Maschinen sind in Phase, wenn ihre eingeschalteten Lampen dunkel sind.

Bei der Anwendung von Phasenlampen in einer Phase allein muß man darauf achten, daß man die Lampen aller Maschinen in entsprechenden Phasen anordnet.

Es ist zweckmäßig, namentlich wenn bei dunklen Lampen eingeschaltet wird, zur Kontrolle der Lampenspannung Voltmeter parallel zu den Lampen zu legen. Man kann auch die Voltmeter allein benutzen.

Die bisher dargestellten Schemata werden in der Praxis nicht mehr angewendet.



Fig. 210 zeigt die heute fast allgemein übliche Schaltung in der Anordnung der Siemens-Schuckert-Werke zum Parallelschalten

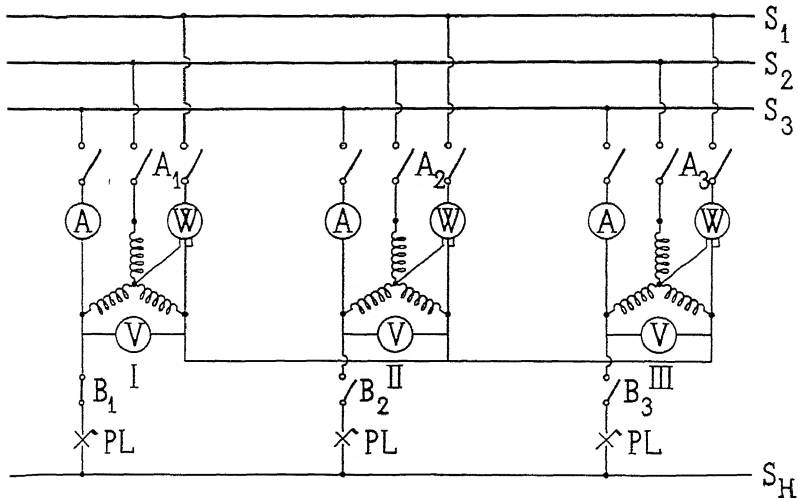


Fig. 208. Schema für das Parallelschalten von Dreiphasengeneratoren bei Niederspannungsanlagen. Alle Klemmen einer Phase verbunden.

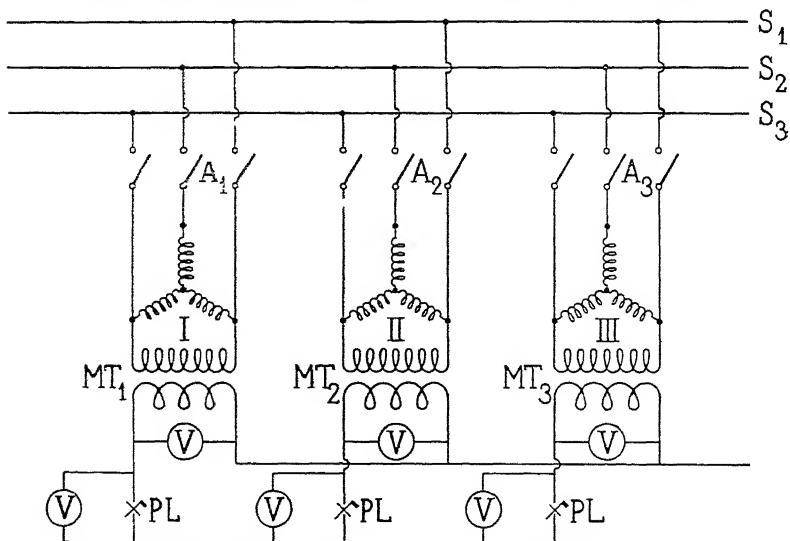


Fig. 209. Schema für das Parallelschalten von Dreiphasengeneratoren bei Hochspannungsanlagen.

mit dem Netz bei geringer Spannung bis etwa 250 Volt (Dunkelschaltung). Parallel zur Phasenlampe *PL* liegt das Nullvoltmeter *NV*. Darunter befinden sich zwei Frequenzmesser *F* mit 2 Skalen in

einem Gehäuse, eine für das Netz, die andere für die parallel zu schaltende Maschine. Außerdem sind 2 Voltmeter vorhanden, von

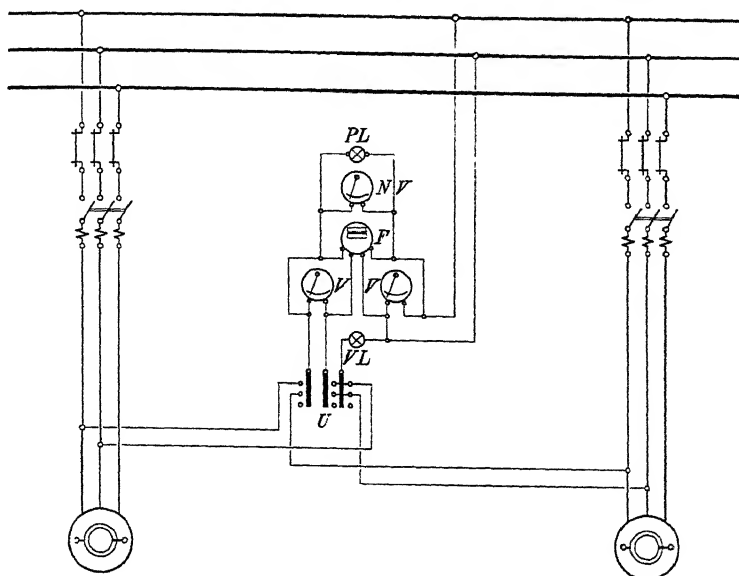


Fig. 210. Synchroniserschaltung der S-S-W. für geringe Netzspannung.

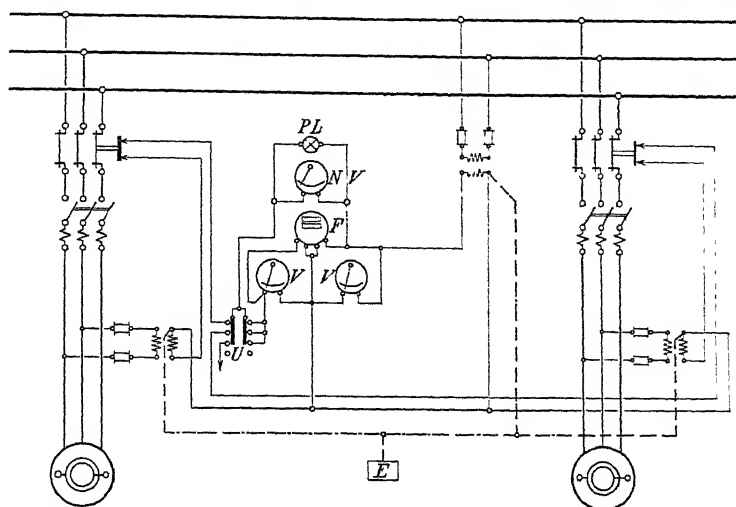


Fig. 211. Synchroniserschaltung der S-S-W. für hohe Netzspannung

denen das eine die Netzspannung, das andere die Maschinenspannung anzeigt. Die Maschinen werden durch einen dreipoligen Stöpselumschalter  $U$  mit dem Synchronisierapparat verbunden. Null-

voltmeter und Phasenlampe werden für die Netzspannung dimensioniert, es ist daher in ihren Kreis noch eine Vorschaltlampe *VL* eingebaut.

Fig. 211 zeigt das Schaltungsschema für eine Hochspannungsanlage. Alle Meßtransformatoren sind an einem Pole geerdet, und dieser Pol ist auch dauernd mit einer Klemme des Maschinenvoltmeters und Frequenzmessers verbunden, so daß hier nur ein zweipoliger Umschalter *U* erforderlich ist.

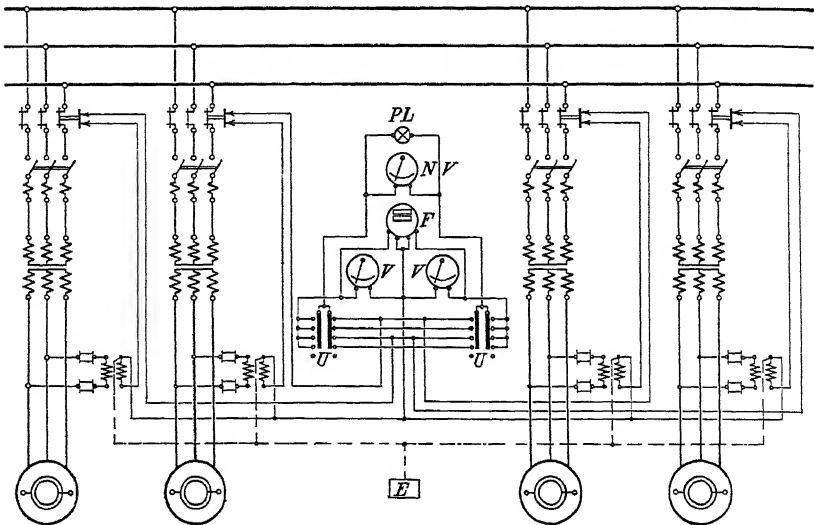


Fig. 212. Synchronisierschaltung der S-S-W. für sehr große Netzspannungen

Der Stöpselumshalter ist im Gegensatz zu den andern Umschaltern besonders zweckmäßig, weil man beim Umschalten auf eine andere Stellung nicht über die zwischenliegenden Kontakte hinweg zu gehen braucht. Denn dadurch könnte eine ruhende Maschine beim Umschalten über ihre Meßtransformatoren vorübergehend unter Spannung gesetzt werden. Die Möglichkeit, eine ruhende Maschine durch falsche Stopselung in gefährdender Weise unter Spannung zu setzen, wird dadurch unmöglich gemacht, daß die sekundäre Leitung jedes Meßtransformators eine mit den Trennschaltern der Maschine gekuppelte Unterbrechungsstelle besitzt. Ist also eine Maschine zur Reparatur usw. durch den Trennschalter vom Netz getrennt, so ist es unmöglich sie unter Spannung zu setzen.

Fig. 212 zeigt die Anordnung der Siemens-Schuckert-Werke, wenn die Maschinen nicht durch die Sammelschienen, sondern direkt untereinander parallelgeschaltet werden sollen, wie es z. B. bei Anlagen mit sehr hoher Sekundärspannung vorkommt. Jeder Gene-

rator ist durch einen Transformator mit der Fernleitung verbunden. Die Ölschalter befinden sich auf der Hochspannungsseite. Es sind hier zwei zweipolige Umschalter  $U$  erforderlich, um jede Maschine mit jeder anderen synchronisieren zu können. Der unterste Kontakt des Umschalters  $U$  ist der Ruhekontakt.

Bei Dreiphasenmaschinen können auch alle drei Phasen direkt durch Lampen oder durch Transformatoren und Lampen oder Voltmeter von Maschine zu Maschine verbunden werden. Die Schaltung kann so erfolgen, daß die drei Lampen gleichzeitig aufleuchten und dunkel werden, oder daß das Aufleuchten nacheinander erfolgt.

In Fig. 213 sind diejenigen Phasen, die an dieselbe Sammelschiene geschaltet werden sollen, durch die Phasenlampen verbunden. Beim Einschalten muß zwischen den so verbundenen Phasen die Spannung Null sein. Die Lampen werden deswegen alle gleichzeitig hell brennen und gleichzeitig erlöschen. Die Vektoren der EMKe der drei Phasen der beiden Maschinen müssen sich gleichzeitig decken (Fig. 214). Bei einer relativen Verschiebung der Phasen der beiden Maschinen gegeneinander (Fig. 215) verteilen sich die Spannungen  $\Delta E$  gleichmäßig auf alle drei Phasenlampen; dieselben brennen somit alle gleich hell.

Diese Anordnung verwendet man, um zu kontrollieren, ob dieselben Phasen der beiden Maschinen mit den entsprechenden Sammelschienen verbunden sind.

Schaltet man eine Phasenlampe zwischen die Klemme II der einen und die Klemme III der anderen Maschine und umgekehrt, so erhält man die Schaltung Fig. 216. In diesem Falle werden nicht alle Lampen gleichzeitig erlöschen können; denn die zwei Systeme können nicht so übereinander gelegt werden, daß alle drei Punkte,

die durch die Glühlampen verbunden sind, sich gleichzeitig decken (s. Fig. 216). Rotiert die Maschine 2 etwas schneller als die Maschine 1, so verschiebt das Vektorsystem 2 sich nach rechts relativ zum System 1. Die Lampen werden dann in der Reihenfolge  $cabcabc$

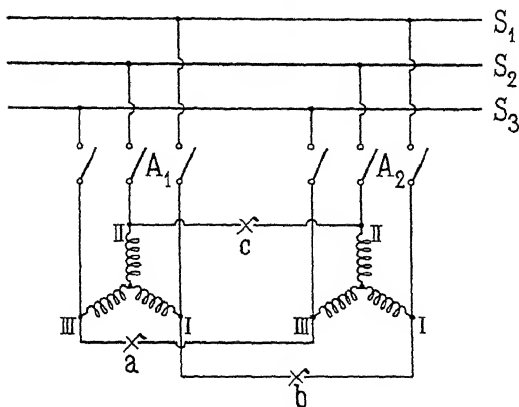


Fig. 213. Schaltungsschema zum Parallelschalten von Dreiphasengeneratoren mit Lampen in jeder Phase. Lampen werden gleichzeitig hell und dunkel.

brennen. Ordnet man die Lampen in einem Kreise an, so erfolgt das Aufleuchten der Lampen in einem gewissen Drehungssinne. Würde die Maschine 2 nicht schneller, sondern langsamer als die

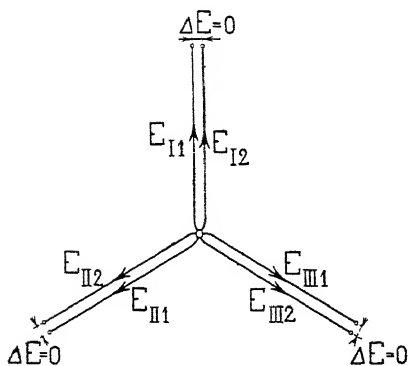


Fig. 214.

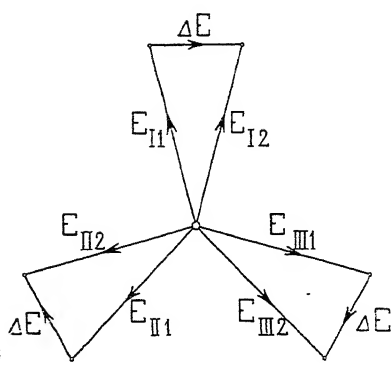


Fig. 215

Maschine 1 rotieren, so würden die Lampen in der umgekehrten Reihenfolge aufleuchten und der Lichtschein würde sich in der umgekehrten Richtung drehen. Aus dem Drehsinn des Lichtscheines

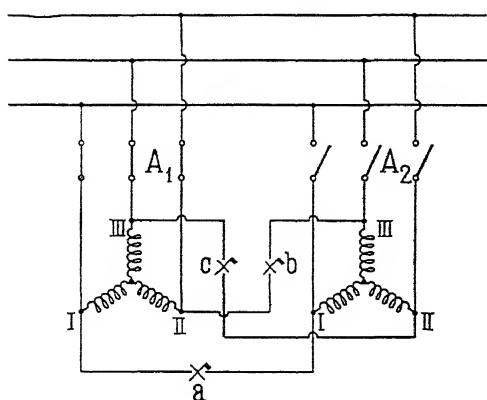


Fig. 216. Schaltung der Phasenlampen, um ein Aufleuchten in einem gewissen Drehsinne zu erzielen.

ist also erkenntlich, welche von den beiden Maschinen schneller läuft. Beim Einschalten muß der Lichtschein ruhig stehen; die Periodenzahlen sind sonst nicht gleich groß. Ferner muß die Lampe *a*, welche zwischen zusammengehörigen Phasen geschaltet ist, dunkel sein, während die Lampen *b* und *c* je mit einer Spannung gleich der verketteten Spannung

brennen müssen, damit die Maschinen in Phase sind. Die maximale effektive Spannung einer Phasenlampe ist das Zweifache der Phasenspannung.

Anstatt dreier Glühlampen verwendet die Allgemeine Elektrizitätsgesellschaft einen elektromagnetischen Apparat, bei dem sich ein Zeiger über einem mit den Bezeichnungen „zu schnell“, „zu langsam“ versehenen weißen Blatte dreht. Dieser Apparat

enthalt sechs im Kreise angeordnete Eisenkerne Fig. 218) welche mit geeigneten Wicklungen versehen sind und ähnlich wie die Lampen in Fig. 216 geschaltet sind, so daß ein magnetisches Drehfeld entsteht, das den mit einem Eisenanker verbundenen Zeiger

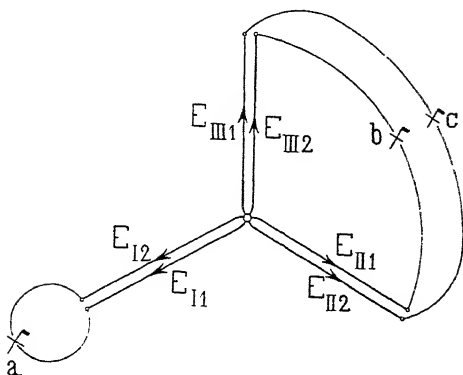


Fig 217

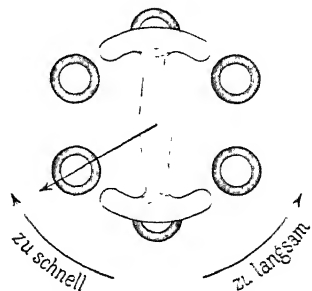


Fig 218. Elektromagnetischer Apparat der A. E. G. für Parallelschaltung von Dreiphasengeneratoren

mit sich nimmt. Sind mehrere Maschinen vorhanden, so muß der Apparat mit den Spulen oder den Lampen mittels eines dreipoligen Umschalters immer mit jener Maschine verbunden werden, die parallel geschaltet werden soll.

## 67. Methoden zur Einregulierung der Periodenzahl vor der Parallelschaltung.

Wie oben gesagt, muß die Periodenzahl der parallel zu schaltenden Maschine ebenso groß gemacht werden wie die Periodenzahl der schon im Betrieb befindlichen Maschine oder Maschinen. Dies geschieht durch Regulierung der Tourenzahl der leerlaufenden Kraftmaschine. Die Regulierung erfolgt an der Maschine selbst oder besser von der Schalttafel aus durch Einwirkung auf den Regulator.

Die Regulierung direkt an der Maschine hat bei großen Anlagen den Nachteil, daß eine Verständigung zwischen dem Schaltbrett und dem Maschinensaal durch Zeichen oder dergleichen notwendig wird. Hierdurch nimmt das Parallelschalten mehr Zeit in Anspruch. Manchmal befindet sich an der Maschine eine Phasenlampe, die mit der am Schaltbrett angebrachten Lampe in Serie geschaltet ist und an der der Maschinist sehen kann, ob die Maschine die richtige Tourenzahl hat. Man kann aber auch die Tourenzahl direkt von der Schalttafel regulieren. Auf dem Regulator sitzt zu diesem Zweck ein kleiner Gleichstrommotor; derselbe erhält den Strom von der Erregermaschine und kann durch

einen auf dem Schaltbrett angebrachten Umschalter in der einen oder in der anderen Richtung angetrieben werden. Dabei verschiebt der kleine Motor das Gegengewicht des Regulators in der einen oder der anderen Richtung, so daß die Maschine schneller oder langsamer läuft.

### 68. Parallelschaltung von Maschinen mit selbsttätiger Regulierung.

Wenn mehrere Generatoren parallel auf ein Netz arbeiten, und die Netzspannung soll konstant gehalten werden, so konnte das bei Verwendung absolut gleicher Regulatoren bzw. absolut gleicher Kompoundierungsanordnungen (z. B. gleicher Transformatoren und Erregermaschinen bei der Kompoundierung von Rice) in der Weise geschehen, daß man jeden Generator mit je einem Regulator bzw. mit seiner eigenen Kompoundierungsanordnung versieht, gleiche Generatoren vorausgesetzt.

Nun lassen sich aber die Regulatoren bzw. die Kompoundierungsanordnungen praktisch nicht absolut gleich einstellen, es wird also eine Maschine z. B. auf eine etwas höhere Spannung regulieren wollen als die andere. Dadurch treten Ausgleichströme zwischen den Generatoren auf, die unter Umständen auch bei wenig verschiedenen Regulatoren bzw. Kompoundierungsanordnungen sehr groß werden können.

**I. Regulierung mittels elektromechanischer Regulatoren.** Wenn man bei Verwendung von Regulatoren keine besonderen Mittel zur Vermeidung der Ausgleichströme vorsieht, darf in einem Kraftwerke prinzipiell nur ein Regulator aufgestellt werden. Dabei sind folgende Fälle zu unterscheiden:

A. Sämtliche Generatoren werden von einer Erregermaschine erregt. Die Magnetwicklungen sämtlicher Generatoren werden auf das gemeinsame Erregernetz parallel geschaltet und wie eine einzige Magnetwicklung durch einen Regulator reguliert. Werden träge Regulatoren verwendet, so gibt man auch jedem Generator seinen eigenen Erregerregulator. Die Kontakthebel sämtlicher Stufenschalter werden dabei mechanisch gekuppelt und durch ein einziges Steuerrelais betätigt. (Diese Anordnung ist bei Verwendung von trägen Regulatoren stets möglich, auch im Falle B.)

Sind die Charakteristiken der einzelnen Maschinen verschieden oder arbeiten die Regulatoren der Antriebsmaschinen nicht gleichzeitig, so treten zwischen den einzelnen Maschinen Ausgleichströme auf, die von Zeit zu Zeit von Hand ausreguliert werden müssen.

Bei den mit einer Erregermaschine arbeitenden Schnellregulatoren kann keine Batterie auf das Erregernetz geschaltet werden.

B. Die Generatoren werden von mehreren Erregermaschinen gespeist. Hier hat man bei Verwendung von Schnellregulatoren wieder zu unterscheiden, ob die Erregermaschinen unter sich gleich sind oder nicht, und ob die Erregermaschinen unter sich parallel geschaltet sind oder nicht.

Sind die Erregermaschinen gleich und arbeiten sie nicht unter sich parallel (angebaute Erregermaschinen), dann kann man bei Verwendung eines Schnellregulators a) durch den Regulator (Kontakte  $v, w$  Fig. 119 oder  $k_1, k_2$  Fig. 121) so viele Relais steuern lassen, als Maschinen vorhanden sind. Jedes Relais schließt dann den Widerstand im Erregerkreis einer Erregermaschine periodisch kurz.

Man kann auch b) die Nebenschlußkreise der Erregermaschinen auf Sammelschienen parallel schalten und von einer der Erregermaschinen über einen gemeinsamen Nebenschluß-Regulierwiderstand speisen. Der Schnellregler arbeitet dann auf diesen gemeinsamen Regulierwiderstand. Um während des Betriebes die Erregung von einer oder der anderen der Erregermaschinen entnehmen zu können, wird ein Umschalter ohne Unterbrechung vorgesehen.

Laufen gleiche Erregermaschinen unter sich parallel, so kann man sie so regulieren wie im Falle a. Man wird jedoch auf alle Fälle zwischen die einzelnen Erregermaschinen Ausgleichwiderstände schalten.

Sind die Erregermaschinen ungleich und nicht parallel, so läßt man den Regulator nur mit einer Erregermaschine arbeiten und reguliert also nur einen Generator oder nur eine Gruppe von Generatoren. Die anderen Generatoren werden durch Ausgleichströme mitreguliert.

Ungleiche Erregermaschinen können im Parallelbetrieb nicht reguliert werden.

Bei den letztgenannten Schaltungsarten müssen zwischen den einzelnen Generatoren Ausgleichströme auftreten. Es kann nun der Fall vorkommen, daß die Maschinen voll ausgenutzt sind und die Ausgleichströme daher nicht erwünscht sind. Man wird in solchen Fällen jeden Generator mit seinem eigenen Regulator versehen und den Regulatoren eine besondere Einrichtung geben, die eine proportionale Verteilung der wattlosen Ströme bewirkt.

Mehrere Regulatoren werden auch dann verwendet, wenn mehrere selbständige Elektrizitätswerke in Parallelschaltung arbeiten. Sind die Entfernungen zwischen den einzelnen Werken groß, also die Verbindungskabel lang, so werden sich die Regulatoren so einstellen lassen, daß die Ausgleichströme nicht groß sein werden.



**II. Kompoundierte Generatoren.** Wie wir später im Kap. XIII sehen werden, hängt der von einer Wechselstrommaschine abgegebene Wattstrom von der Stellung des Geschwindigkeitsregulators der Antriebsmaschine ab, während der wattlose Strom einer Maschine fast lediglich von der Erregung abhängt. Sind mehrere parallel geschaltete Generatoren ganz genau kompoundiert, so würde bei gewöhnlicher Schaltung derselben jeder Generator imstande sein, insoweit einen beliebig großen wattlosen Strom abzugeben, als der wattlose Strom des Netzes sich beliebig auf diese verteilen würde. Um dies zu vermeiden, müssen wir, ähnlich wie bei Gleichstrommaschinen, besondere Ausgleichleitungen legen, welche eine gleiche Erregerspannung aller Erregermaschinen oder Kompoundtransformatoren sichern. Man schaltet deswegen die Kommutatoren, Umformer oder Erregermaschinen aller parallel arbeitenden Wechselstrommaschinen entweder an der Wechselstromseite oder an der Gleichstromseite parallel.

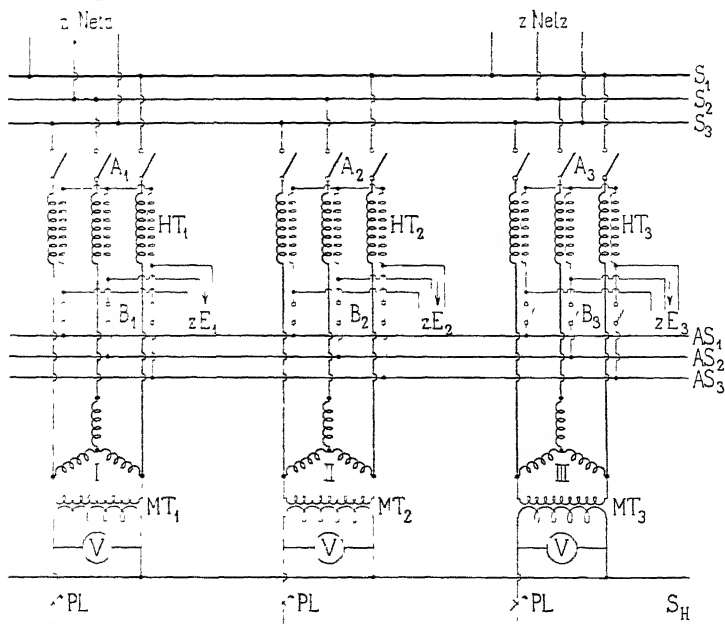


Fig. 219. Schaltungsschema für das Parallelschalten von Kompoundmaschinen.

Fig. 219 zeigt die Schaltung für drei parallel geschaltete Dreiphasengeneratoren, die nach der Anordnung der General Electric Co. kompoundiert und deren Erregermaschinen an der Wechselstromseite parallel geschaltet sind.  $S_1$ ,  $S_2$  und  $S_3$  sind die Hauptsammelschienen,  $AS_1$ ,  $AS_2$  und  $AS_3$  die Ausgleichschienen und I, II und

III die Generatoren. Ferner stellen  $HT_1$ ,  $HT_2$  und  $HT_3$  die Hauptschlußtransformatoren und  $MT_1$ ,  $MT_2$  und  $MT_3$  die Meßtransformatoren dar.  $A_1$ ,  $A_2$  und  $A_3$  sind die Hauptschalter, während die Schalter  $B_1$ ,  $B_2$  und  $B_3$  zur Parallelschaltung der Erregermaschinen an der Wechselstromseite dienen.

Beim Zuschalten einer Compoundmaschine zu einer bereits auf das Netz arbeitenden geht man wie folgt vor: Man bringt die zuzuschaltende Maschine in gewöhnlicher Weise zuerst auf Synchronismus und gleiche Phase wie die an das Netz angeschlossene. Die richtige Spannung stellt sich selbsttätig ein. Wenn dies geschehen ist, legt man den Schalter  $A$  und alsdann den Schalter  $B$  ein und die neu zugeschaltete Maschine übernimmt die Hälfte des an das Netz abgegebenen wattlosen Stromes. Schließlich verteilt man durch Änderung der Stellung der Geschwindigkeitsregulatoren die Belastung, d. h. den Wattstrom, gleichmäßig auf beide Maschinen.

## 69. Automatische Parallelschaltung und Synchronisierung.

Da die Parallelschaltung mit der Hand gewisse Anforderungen an die Geschicklichkeit und Ruhe des Schaltenden stellt, und da andererseits eine falsche Parallelschaltung die schlimmsten Folgen für eine Zentrale haben kann, hat man sich schon lange bemüht, den Akt des Schaltens automatisch ausführen zu lassen. Der verbreitetste Apparat dieser Art ist der von der Firma Voigt und Haeffner, Frankfurt a. M., System Vogelsang, der im folgenden beschrieben wird<sup>1)</sup>.

Um die automatische Parallelschaltung auszuführen, sind durch verschiedene Relais die einzelnen Bedingungen für die Parallelschaltung festzustellen. In dem Moment, wo alle diese Bedingungen erfüllt sind, muß ein Kontakt für das Einschalten des automatischen Hochspannungsschalters hergestellt werden, wodurch die Parallelschaltung erfolgt.

Diese drei Bedingungen sind:

1. Die zuzuschaltende Maschine soll eine etwas höhere Spannung haben als das Netz.
2. Sie soll mit dem Netz hinsichtlich der Phase übereinstimmen und
3. sie soll mit dem Netz hinsichtlich der Periodenzahl übereinstimmen.

Wie durch verschiedene Relais die Erfüllung dieser Bedingungen festgelegt wird, ist aus dem Schema Fig. 220 zu ersehen. In dem

---

<sup>1)</sup> Siehe ETZ 1905, Heft 19.

Schema sind mit  $n$  und  $m$  die Vergleichs-Spannungstransformatoren für das Netz und die zuzuschaltende Maschine bezeichnet. Wie ersichtlich, sind dieselben so geschaltet, daß die Parallelschaltung erfolgen muß, wenn die Phasenlampe  $p$  hell brennt.

Um nun die erste der obengenannten Bedingungen festzustellen, daß nämlich die zuzuschaltende Maschine eine etwas höhere Spannung habe als das Netz, ist das Differentialvoltmeter  $d$  angeordnet und in Verbindung damit das Ruhestromrelais  $r$ .

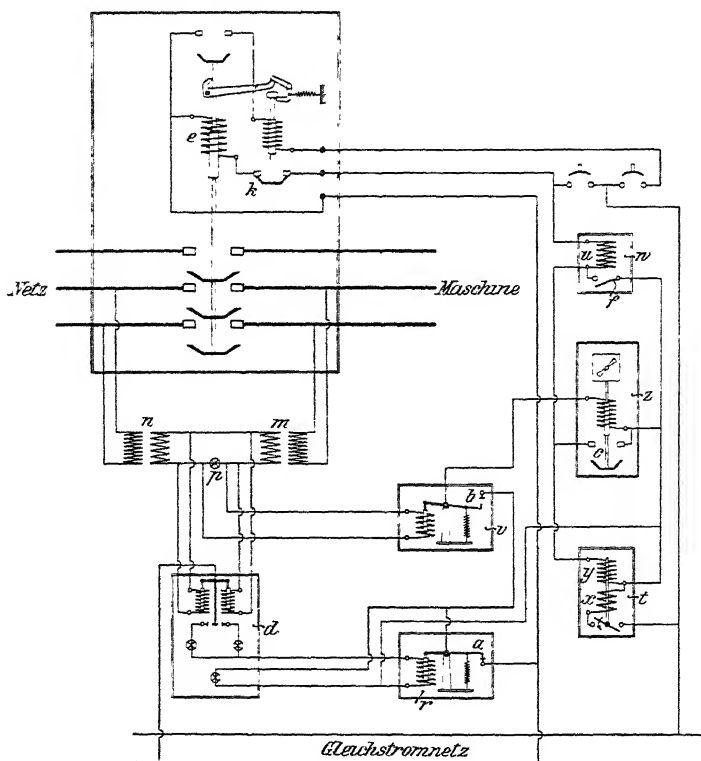


Fig. 220. Automatische Parallelschaltungsvorrichtung der Firma Voigt & Haeffner, A.-G. System Vogelsang.

Das Differential-Kontaktvoltmeter enthält zwei Spulen, von welchen die eine von dem Spannungswandler der zuzuschaltenden Maschine, die andere von dem Spannungswandler des Netzes erregt wird. Die Spulen wirken magnetisch zu beiden Seiten eines kleinen Wagebalkens, mit dem ein Kontaktarm verbunden ist. Der Kontaktarm kann zwischen zwei Kontakten spielen. Wenn die Spannung des Netzes verhältnismäßig zu hoch ist, dann wird der

rechte Kontakt, und wenn die Spannung der zuzuschaltenden Maschine erheblich zu hoch ist, der linke Kontakt betätigt. Der Apparat ist so eingestellt, daß, wenn die Spannung der zuzuschaltenden Maschine für die Parallelschaltung gerade richtig, d. h. etwas höher ist als die Netzspannung, daß dann der Kontakthebel gerade frei zwischen den beiden Kontakten spielt und dadurch für den Stromkreis des Ruhestromrelais  $r$  eine Stromunterbrechung eintritt. Das Ruhestromrelais ist so eingerichtet, daß der Kontakt  $a$  geöffnet wird, wenn die Spule  $r$  Strom erhält; umgekehrt wird der Kontakt  $a$  geschlossen, wenn das Differentialrelais den Stromkreis der Spule  $r$  unterbricht. Man erkennt also, daß durch das Zusammenarbeiten des Differentialrelais und des Ruhestromrelais der Kontakt  $a$  geschlossen wird, wenn die zuzuschaltende Maschine die richtige Spannung hat, d. h. wenn die erste Vorbedingung für eine richtige Parallelschaltung erfüllt ist. Die Schaltung des Differential-Kontaktvoltmeters wird noch durch die drei im Schema angedeuteten Glühlampen erweitert. Eine rote Lampe (links) meldet „Spannung zu hoch“, eine grüne Lampe (rechts) meldet „Spannung zu niedrig“ und die weiße mittlere Lampe leuchtet, wenn die Spannung richtig ist und das Relais  $r$  bei  $a$  Kontakt gibt. Der Maschinist hat also an dem Feldregulator der zuzuschaltenden Maschine so zu regulieren, daß die weiße Lampe leuchtet.

Die zweite Bedingung, daß die Phase der zuzuschaltenden Maschine mit der Phase des Netzes übereinstimmen soll, wird durch ein normales Kontaktvoltmeter  $v$  festgestellt, dessen Spule der Phasenlampe  $p$  parallel geschaltet ist. Das Kontaktvoltmeter wird also den Stromschluß bei  $b$  ausführen, immer dann, wenn die Phasenlampe  $p$  voll aufleuchtet. Wenn die Netzspannung nicht konstant ist, wird die konstante Gegenkraft der Feder durch die Kraft zweier Magnetspulen ersetzt, von denen die eine vom Netz, die andere von der Maschinenspannung beeinflußt wird, und die auf einen Kern wirken, so daß Gleichgewicht nur dann besteht, wenn beide Spannungen wirklich genau in Phase sind. Im anderen Falle würde das Kontaktvoltmeter zu früh oder gar nicht Kontakt geben, je nachdem die Netzspannung zu groß oder zu klein ist.

Das Vorhandensein der dritten und letzten Bedingung für die Parallelschaltung, nämlich die Übereinstimmung der Periodenzahlen, wird bekanntlich dadurch erkannt, daß die Phasenlampe  $p$  eine längere Zeit hell brennt. Die Ermittlung des richtigen Zeitpunktes geschieht nun bei der automatischen Parallelschaltung in einfacher Weise unter Beputzung eines entsprechend einregulierten Zeitrelais. Das Zeitrelais  $z$  erhält nach dem Schema Strom, wenn sowohl der Kontakt  $a$  als auch der mit demselben in Serie

geschaltete Kontakt  $b$  geschlossen ist. Der Kontakt  $a$  schließt sich, wie oben erklärt, wenn die Felderregung der zuzuschaltenden Maschine richtig reguliert wird. Der Kontakt  $b$  öffnet und schließt sich, je nachdem die Phasenlampe  $p$  dunkel wird oder hell brennt, und das Tempo des Aufleuchtens ist bekanntlich das Signal für die Regulierung der Antriebsmaschine. Wird, während  $u$  geschlossen ist,  $b$  bei längerem Aufleuchten der Phasenlampe eine gewisse Zeit geschlossen erhalten, so vermag das Zeitrelais  $z$  abzulaufen und zuletzt den Kontakt  $c$  zu schließen, wodurch der automatische Hochspannungsschalter eingeschaltet und somit die Parallelschaltung vollzogen wird.

Der Kontakt  $b$  wird bei den ausgeführten Apparaten durch zwei Kontakte ersetzt, von denen das erste das Zeitrelais  $z$  etwas vor Phasengleichheit einschaltet, damit es rechtzeitig ablaufen kann und der zweite eine Unterbrechung im Hauptkreise des Ölschalters schließt, wenn gerade Phasengleichheit vorhanden ist. Der zweite Kontakt ist erforderlich, wenn sich die Periodenzahl sehr langsam ändert, da dann das Zeitrelais  $z$  zu früh Kontakt gäbe.

Die ganze Einrichtung wird noch vervollständigt durch einen Schalter  $t$ , welcher den Gleichstrom-Anschluß für die Parallelschaltvorrichtung einschaltet und der nach Art eines Minimalautomaten ausgebildet ist. Der Magnet des Automaten trägt zwei Wicklungen  $x$  und  $y$ . Letztere ist eine Spannungswicklung und liegt an beiden Kontakten des Zeitrelais an. Wenn man also den Schalter  $t$  einschaltet, wird der Anker durch die Wirkung der Spannungsspule  $y$  festgehalten, während die Spule  $x$  zunächst ohne wesentliche Bedeutung ist. In dem Moment, wo das Zeitrelais den Kontakt  $c$  schließt, wird  $y$  kurzgeschlossen, und  $x$  erhält den vollen Strom der Einschaltspule  $e$ . Sobald aber die Einschaltspule richtig funktioniert hat, wird ihr Stromkreis an der automatischen Schaltvorrichtung bei  $k$  unterbrochen, dadurch wird auch die Spule  $x$  stromlos und der Minimalautomat  $t$  löst aus, schaltet also den Stromkreis für die automatische Parallelschaltung ab.

Schließlich ist noch ein Sicherheitsrelais  $w$  zu erwähnen. Dasselbe hat folgenden Zweck: Es kann vorkommen, daß das Zeitrelais den Kontakt  $c$  nur für einen kurzen Augenblick schließt. In einem solchen Falle würde der automatische Hochspannungsschalter eben anspringen, ohne vielleicht vollständig einschalten zu können. Das ist aber sehr unerwünscht und es ist zweckmäßig, den Schalter in diesem Falle doch völlig einzuschalten, was für die richtige Parallelschaltung ganz unbedenklich ist. Zu dem Zwecke ist in dem Stromkreis der Einschaltspule der kleine Magnet  $u$  angebracht, der bei auch nur momentaner Erregung den Kontakt  $f$  schließt

und damit parallel zu  $c$  nochmals einen Stromschluß ausführt, welcher so lange aufrechterhalten wird, bis die Einschaltung vollzogen wurde und der Einschaltstromkreis bei  $k$  unterbrochen wird.

Für mehrere Maschinen einer Zentrale ist nur eine solche Parallelschaltvorrichtung erforderlich, da man durch Einfügung eines mehrpoligen Umschalters (nach Art eines Voltmeterumschalters) die Einrichtung leicht auf verschiedene Maschinen umschalten kann natürlich müssen aber alle Maschinenschalter mit automatischer Ein- und Ausschaltvorrichtung versehen sein.

**Synchronmelder System Besag<sup>1)</sup>.** Dieser Apparat vervollständigt die automatische Parallelschaltung, wie sie beschrieben wurde, in der Art, daß er eine automatische Einstellung der richtigen Tourenzahl bewirkt, oder bei Handregulierung in bequemer Weise durch das Leuchten einer roten oder grünen Glühlampe anzeigt, ob die Maschine zu rasch oder zu langsam läuft, und durch die Häufigkeit des Aufleuchtens und Dunkelwerdens, wie weit sie von Synchronismus entfernt ist.

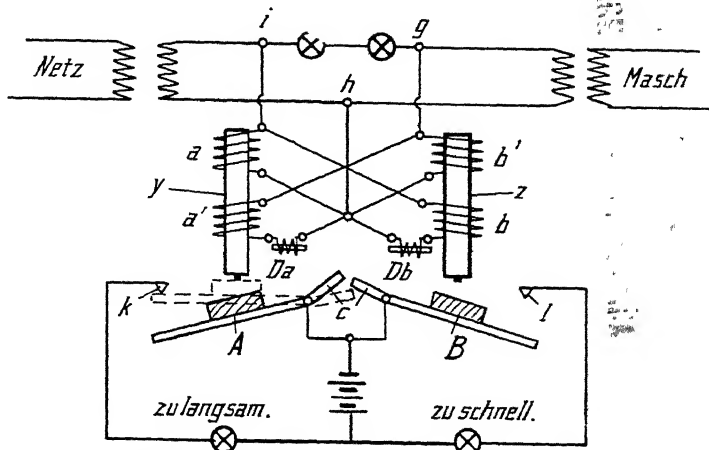


Fig. 221. Synchronmelder System Besag der Voigt & Haefner A.-G.  
Frankfurt a. M.

Die Signalgebung erfolgt (s. Fig. 221) durch die zwei Lampen „zu schnell“ und „zu langsam“, welche Strom über einen Anker B bzw. A und die Kontakte  $l$  bzw.  $k$  erhalten. Die Anker tragen Verriegelungsansätze  $c$ , die dafür sorgen, daß der eine Anker nicht angezogen werden kann, wenn der andere bereits angezogen ist. Die Anziehung der Anker kann unter dem Einfluß zweier Elektromagnete  $y$  und  $z$  erfolgen. Durch eine besondere Schaltung der vier

<sup>1)</sup> s. ETZ 1912, Heft 6.

Spulen  $a$ ,  $a'$  bzw.  $b$ ,  $b'$  treten in den Elektromagneten elektromagnetische Schwebungen auf, d. h. der Magnetismus nimmt langsam zu und wieder ab, ähnlich wie die Lichtstärke der Phasenlampen. Die beiden Drosselspulen  $Da$  und  $Db$  bewirken in einer noch näher zu beschreibenden Weise eine zeitliche Verschiebung der eintretenden Maximalwerte, einer Schwebung in den beiden Magneten  $y$  bzw.  $z$ , und zwar erreicht für einen Geschwindigkeitszustand „zu schnell“ der Magnet  $z$  seine größte Kraft, ehe der Magnet  $y$  dieselbe erreicht und umgekehrt erreicht der Magnet  $y$  für einen Geschwindigkeitszustand „zu langsam“ seine höchste Kraft, ehe der Magnet  $z$  dieselbe erreicht.

Diese zeitlich aufeinander folgenden Schwebefelder werden in folgender Weise erzeugt.

Auf dem Eisenkerne  $y$  (in Fig. 221) liegen zwei Spulen  $a$ ,  $a'$ . Spule  $a$  liegt fast induktionsfrei am Netze.  $a'$  liegt unter Vorschaltung der Drosselspule  $Da$  an der Maschine. Auf dem Eisenkerne  $z$  liegen die zwei Spulen  $b'$  und  $b$ . Spule  $b'$  liegt fast induktionsfrei an der Maschine, wogegen  $b$  unter Vorschaltung der Drosselspule  $Db$  am Netze liegt. Die Drosselspulen dienen zur Erzeugung einer kleinen Phasenverschiebung in den entsprechenden Spulenstromkreisen.

Zur weiteren Erklärung bedienen wir uns der Vektordiagramme Fig. 222, 223, 224.

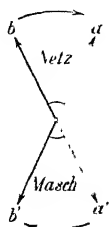


Fig. 222.

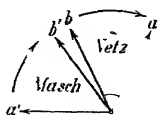


Fig. 223.

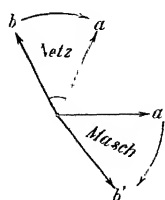


Fig. 224.

Diese Figuren veranschaulichen den Fall für einen Geschwindigkeitszustand „Maschine zu schnell“. In diesem Falle wird die Maschine das Netz überholen. Der Vektor  $a$  (Fig. 222) stellt nach Größe und Richtung den Maximalwert des in der Spule  $a$  (Fig. 221) auftretenden Stromes dar. Der durch die Drosselspule  $Db$  nach der Spule  $b$  fließende Strom wird dann um einen aus der Abbildung ersichtlichen konstanten Winkel dem Strome  $a$  nacheilen. Ähnlich liegt das Verhältnis zwischen  $a'$  und  $b'$ .

Die auf einen gemeinschaftlichen Eisenkern wirkenden Ströme sind stark bzw. schwach ausgezogen dargestellt.

Die Drehrichtung des Netzes sowohl als auch der Maschine sei durch die Pfeilrichtung gekennzeichnet. Wenn also die Maschine das Netz überholt, so tritt der Fall der Fig. 223 ein. Die um den Eisenkern  $z$  fließenden Ströme in den Spulen  $b$  und  $b'$  stimmen in ihrer Phase bereits überein, wenn  $a$  und  $a'$  noch weit auseinander liegen. Deswegen tritt im Kerne  $z$  zuerst der magnetische Höchstwert auf. Der Anker  $B$  wird infolgedessen hochgezogen und gibt Kontakt für „zu schnell“. Gleichzeitig verriegelt  $B$  den Anker  $A$ .

Beim Weiterschreiten von  $b'$ ,  $a'$  erreichen wir eine der Fig. 224 ähnliche Stellung, d. h. der Strom in Spule  $b'$  kehrt sich allmählich gegen den Strom in Spule  $b$  um, die Spulen wirken aufeinander entmagnetisierend, der Kern  $z$  läßt seinen Anker  $B$  abfallen. Aber die Stromrichtungen in den Spulen  $a'$  und  $a$  stimmen in diesem Augenblick ebenfalls so wenig überein, daß der Anker  $A$  nicht mehr angezogen werden kann. Das Loslassen des betreffenden angezogenen Ankers  $B$  erfolgt ähnlich wie bei einem Minimalautomaten erst, wenn der Magnetismus sehr gesunken ist. Dadurch wird mit erreicht, daß eine Kontaktgebung bei  $k$  durch zu frühes Anziehen des anderen Ankers  $A$  und damit eine unrichtige Kontaktgebung ausgeschlossen ist.

Wenn die parallel zu schaltende Maschine zu langsam läuft, tritt der umgekehrte Vorgang ein, und es wird die andere Lampe aufleuchten. Die richtige Tourenzahl kann so in bequemer Weise eingestellt werden, bzw. sie stellt sich von selbst ein, wenn der Regulator der Kraftmaschine mit Zahnrad und Klinken versehen wird, die von Elektromagneten betätigt werden, die von den beiden Kontakten „zu langsam“ und „zu rasch“ beeinflusst werden.

**Synchronoskop von Weston.** Dieser Apparat dient ebenfalls dazu dem Schalttafelwarter anzuzeigen, ob die parallel zu schaltende Maschine zu langsam, richtig oder zu rasch läuft. Er besteht aus einem Westondynamometer, bei dem sich der Zeiger hinter einer transparenten Skala befindet. Diese wird durch eine in Hellschaltung verbundene Phasenlampe beleuchtet (s. Fig. 225). Das feste Spulensystem ist durch einen Vorschaltwiderstand mit dem Netz verbunden, das bewegliche über einen Kondensator mit der parallel zu schaltenden Maschine. Wenn die Spannungen des Netzes und der Maschine genau in Phase oder um etwa  $180^\circ$  gegeneinander verschoben sind, sind die Ströme beider Spulen um  $90^\circ$  gegeneinander verschoben, das mittlere Drehmoment ist Null, der Zeiger steht in der Mitte der Skala.

- Da die Lampe dunkel ist, wenn die Spannungen um  $180^\circ$  gegeneinander verschoben sind, und hell leuchtet, wenn sie in Phase



sind, wird bei vollständiger Phasengleichheit und gleicher Periodenzahl der Zeiger hell beleuchtet in der Mitte der Skala stehen.

Befinden sich dagegen die Spannungen nicht genau in Phase oder in Gegenphase, so wird ein Drehmoment auftreten, das die bewegliche Spule abzulenken sucht, wobei die Größe dieses Antriebes mit wachsender Phasenverschiebung der Spannungen gegeneinander zunimmt. Die Richtung des Drehmomentes hängt von der relativen Stromrichtung in den Spulen ab, d. h. der Sinn der Zeigerablenkung gibt an, ob der eine Strom zu dem anderen eine Nach- oder Voreilung besitzt.

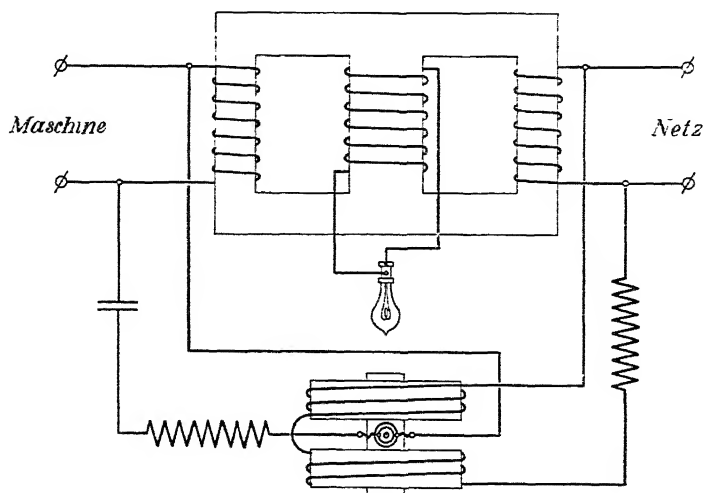


Fig. 225 Synchronoskop von Weston.

Laufen die beiden Maschinen nicht mit genau der gleichen Periodenzahl, so wird sich die Phasenverschiebung andauernd und stetig ändern. Damit wird auch das Drehmoment kontinuierlich von Null zu einem positiven Maximum ansteigen, danach durch Null auf einen negativen Höchstwert gehen und so fort, wodurch der Zeiger zu einem Hin- und Herschwingen über die Skala veranlaßt wird. Jede Schwingung stellt einen Übergang des Phasenunterschiedes aus einer Viertelperiode negativen oder positiven Betrages in eine solche positiven oder negativen Wertes dar. Da dies auch mit einer Periode von Helligkeit oder Dunkelheit zusammenfällt, so wird man den Zeiger nur während der einen Schwingung sehen, d. h. es wird den Anschein haben, daß er in einer Richtung umläuft. Der Sinn dieser scheinbaren Rotation gibt an, ob die hinzukommende Maschine zu schnell oder zu langsam läuft, und die

Schnelligkeit der Umdrehung ist ein Maß für den Betrag, um den die Periodenzahlen voneinander abweichen.

Haben die Maschinen die gleiche Periodenzahl, befinden sich aber nicht in Phasengleichheit, so wird der Zeiger an irgendeinem Punkte der Skala, auf der einen oder anderen Seite von der Mitte aus stehen bleiben. Die Stellung des Zeigers entspricht dabei der Größe des elektromagnetischen Drehmomentes, das gemäß den vorstehenden Ausführungen eine Funktion der Phasenverschiebung zwischen den Strömen in den beiden Spulen ist. Die der Einheit des Phasenwinkels entsprechende Ablenkung ist genügend groß und annähernd gleichmäßig, außer in der Nahe des Synchronismus, wo sie sehr groß ist, indem dort eine Phasenverschiebung von  $5^\circ$  gegen den synchronen Gang eine Ablenkung des Zeigers um etwa 12 mm hervorbringt.

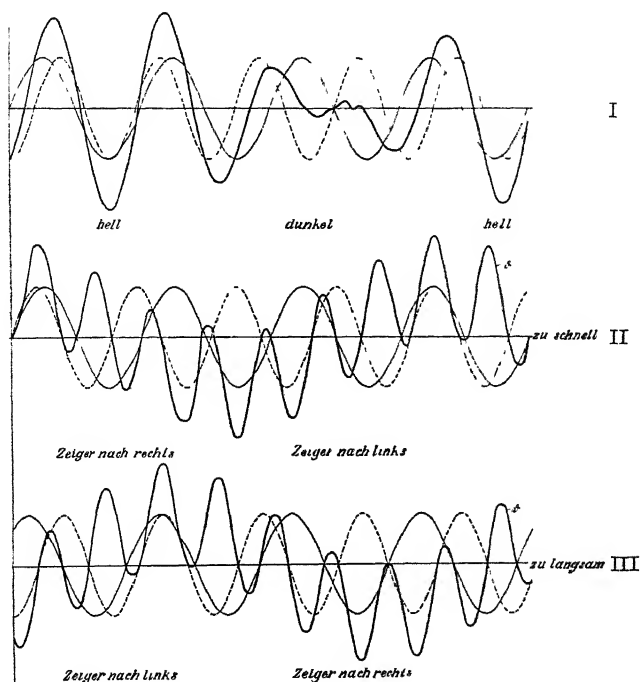


Fig. 226. Wirkungsweise des Synchronoskops von Weston.

I. Spannung und Strom der Phasenlampe.

II. und III. Ströme und Drehmomente des Dynamometers.

Die Schaltung des Apparates ist schematisch in Fig. 225 dargestellt. Aus Fig. 226 ist die Wirkungsweise des Apparates zu sehen, wenn die Maschine zu schnell oder zu langsam läuft. In der obersten

Reihe ist die resultierende Lampenspannung mit ihren Perioden hell und dunkel dargestellt.

In der Mitte sind die Stromwellen der beiden Dynamometersysteme eingezeichnet, deren Produkt das momentan auf den Zeiger wirkende Drehmoment ergibt. Die schnellere, gestrichelte gehört zu der hinzuzuschaltenden zu rasch laufenden Maschine, und ist gegen die entsprechende Spannung in der obersten Reihe um  $90^\circ$  verschoben. Die positiven Werte des Drehmomentes suchen den Zeiger von rechts nach links zu bewegen, die negativen in der entgegengesetzten Richtung. Bei dem positiven Maximum steht der Zeiger ganz links; nimmt das Moment ab, so schwingt er gegen die Mitte, die er bei dem Drehmoment Null erreicht. Er bewegt sich dann weiter in die äußerste rechte Stellung, in der das Drehmoment seinen negativen Höchstwert besitzt. Der Zeiger folgt nur dem mittleren Drehmoment, da die momentanen Pulsationen viel zu rasch erfolgen, als daß er ihnen folgen könnte. Die unterste Reihe zeigt in derselben Weise das Drehmoment, wenn die Maschine zu langsam läuft. Die langsamere dann ausgezogene Welle gehört zu der Maschine und ist gegen die Spannung der ersten Reihe um  $90^\circ$  verschoben.

Man sieht also, daß sich der Zeiger bei beleuchteter Skala von links nach rechts bewegt, wenn die Maschine zu rasch läuft, und umgekehrt im entgegengesetzten Falle.

Die Phasenlampe wird von einem Transformator gespeist.

## 70. Das Anlassen von Synchronmotoren.

Die Synchronmotoren leisten als solche nur Arbeit, solange sie synchron laufen. Sie verhalten sich genau wie die Generatoren; nur eilt der EMK-Vektor des Generators dem Spannungsvektor der Sammelschienen voraus, während der Vektor der Netzspannung dem EMK-Vektor des Motors vorauseilt.

Um einen Synchronmotor in Betrieb zu setzen, muß derselbe deswegen zuerst auf die Periodenzahl der Netzspannung gebracht werden. Alsdann bringt man ihn auf die Spannung und Phase des Netzes. Die Synchronmotoren können in verschiedener Weise auf die normale Tourenzahl gebracht werden und dementsprechend erhält man die verschiedenen Anlaßmethoden. Der Synchronmotor kann angelassen werden:

- a) durch eine äußere Kraft,
- b) als Asynchronmotor und
- c) als Kommutatormotor.

**a) Anlassen der Synchronmotoren durch eine äußere Kraft.**

Ist der Synchronmotor mit einer Gleichstrommaschine gekuppelt, so kann das Maschinenaggregat von der Gleichstromseite angelassen werden, wenn entweder eine Akkumulatorenbatterie vorhanden ist, oder wenn das Gleichstromnetz stets unter Spannung steht. Die Gleichstrommaschine läuft als Motor an, und wenn die normale Tourenzahl erreicht ist, erregt man den Synchronmotor und bringt ihn auf gleiche Spannung und Phase wie die Sammelschienen. Dies geschieht alles in genau derselben Weise wie es bei dem Parallelschalten der Generatoren erläutert wurde. Ist Spannungs- und Phasengleichheit hergestellt, so schaltet man den Synchronmotor auf das Netz und erhöht nach und nach die Erregung der Gleichstrommaschine; diese letztere fangt nun an, Strom ins Gleichstromnetz zu senden, wodurch das ganze Aggregat entsprechend belastet wird. Arbeitet der Synchronmotor parallel mit anderen Kraftmaschinen auf einer Transmission, so kann er von dieser aus angelassen werden. Auf Synchronismus angelangt, wird der Motor auf die Sammelschienen geschaltet und übernimmt einen Teil der Belastung, indem man nun die übrigen Kraftmaschinen entsprechend entlastet.

Arbeitet der Synchronmotor allein auf eine Transmission und ist keine Gleichstromquelle vorhanden, von der aus die Erregermaschine und mit ihr der Synchronmotor gleichzeitig angelassen werden kann, so ist es unter Umständen zweckmäßig, auf die Welle des Motors einen kleinen asynchronen Anlaßmotor aufzusetzen, der gleichzeitig den Synchronmotor und die leerlaufende Transmission auf Tourenzahl bringt. Der Anlaßmotor erhält zwei Pole weniger als der Synchronmotor.

Die richtige Tourenzahl wird erhalten, indem man entweder den Widerstand der Rotorwicklung des Anlaßmotors ändert oder indem man die Transmission passend belastet. Die Leistung des Anlaßmotors muß entsprechend den Reibungsverlusten der Transmission dimensioniert werden. Die kleinste Leistung des Anlaßmotors, die nötig ist, um den Synchronmotor allein anzulassen, macht ca. 10% der Leistung des Synchronmotors aus.

**b) Anlassen der Synchronmotoren als Asynchronmotoren.** Bei Stillstand eines Synchronmotors rotiert das Drehfeld relativ zum Magnetsystem und induziert deshalb Wechselströme in den Erregerwindungen und Wirbelströme im Feldeisen. Diese Ströme erzeugen wie in Asynchronmotoren ein Drehmoment, mittels dessen der Synchronmotor angelassen werden kann.

Setzt man die volle Spannung auf einen stillstehenden Synchronmotor, so wird er einen Strom gleich dem Kurzschlußstrom

aufnehmen und dieser wird in den Erregerspulen so große EMKe induzieren, daß die Isolation derselben nicht genügen würde, die Spannung zwischen Spulen und Magnetsystem zu ertragen.

Es wird deswegen wie folgt ein Synchronmotor direkt von der Wechselstromseite als Asynchronmotor angelassen. Man schaltet die Erregung aus, schließt die Erregerspulen gruppenweise oder im ganzen kurz und setzt eine so kleine Spannung auf die Armaturwicklung, daß der Ankerstrom einen gewissen Wert nicht übersteigt. A. Blondel gibt an, daß ein Motor mit nicht lamellierten Polen bei Stillstand ein Drehmoment gleich  $\frac{1}{4}$  des normalen besitzt, wenn der Ankerstrom auf den doppelten Wert des normalen Stromes ansteigt. Motoren mit lamellierten Polen dagegen können gerade noch leer anlaufen, wenn der Strom auf den doppelten seines normalen Wertes ansteigt.

Damit der Ankerstrom beim Anlassen nicht zu groß wird, setzt man am besten die Spannung mittels eines Autotransformators auf die Hälfte oder noch weniger herab. Wenn der Motor in der Nähe von Synchronismus gelangt ist, so läuft er von selbst in den Synchronismus hinein und leistet als Reaktionsmaschine Arbeit. Man öffnet nun die kurz geschlossenen Erregerspulen, erregt das Feld und schaltet allmählich den Autotransformator aus.

Wenn ein Synchronmotor von einem einzigen Generator gespeist wird, so ist es oft zweckmäßig, beide gleichzeitig anzulassen. Dies ist z. B. der Fall bei Arbeitsübertragungen, die nur aus einem Generator und einem Motor bestehen. In dem Falle erregt man den Motor am besten von einer Erregermaschine, die nicht auf der Welle des Motors sitzt. Die Anzugskraft des Motors ist um so größer, je starker das Feld ist.

Die Einphasen-Synchronmotoren besitzen kein Drehfeld. Bringt man aber auf dem Anker eine Hilfswicklung an, die in den leeren Statornuten untergebracht werden kann, so entsteht auch in diesem Falle ein Drehfeld, wenn man den Strom in der Hilfswicklung gegen den der Hauptwicklung in der Phase verschiebt. Eine Phasenverschiebung zwischen den beiden Strömen erzielt man am besten, indem man der Hilfswicklung einen großen Ohmschen Widerstand vorschaltet. Einphasen-Synchronmotoren mit Hilfsphase brauchen für den Anlauf einen ca. 20% größeren Strom als den normalen. In der Nähe von Synchronismus besitzen dieselben ein Drehmoment gleich  $\frac{1}{4}$  bis  $\frac{1}{5}$  des normalen.

**c) Anlassen der Synchronmotoren als Kommutatormotoren.** Diese Methode kommt hauptsächlich bei Einphasenmotoren in Frage, und zwar nur dort, wo man ein großes Anzugsmoment zu erhalten wünscht.

Das Magnetsystem (Fig. 227) wird lamelliert und erhält zwei Wicklungen. Die eine Wicklung ist die gewöhnliche Erregerwicklung, die in großen halbgeschlossenen Nuten *A* untergebracht wird. Die zweite Wicklung ist eine gewöhnliche Gleichstromwicklung, die in den kleinen Nuten *B* untergebracht wird. Diese letztere Wicklung wird mit einem gewöhnlichen Kommutator verbunden und dient nur zum Anlassen des Motors. Beim Anlassen

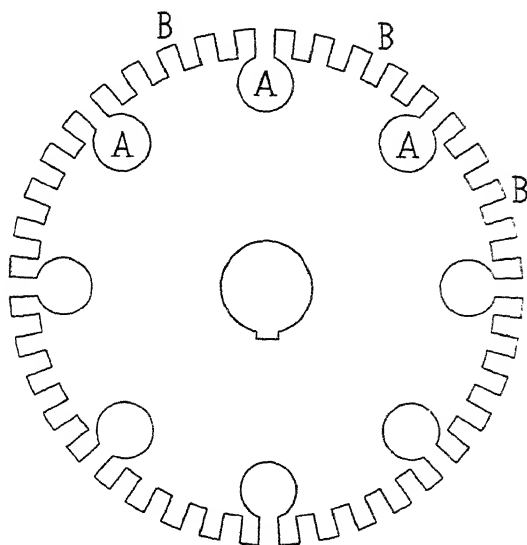


Fig. 227. Feldsystem eines als Seriomotor anlaufenden Einphasen-Synchronmotors.

schiebt man zuerst den Strom durch die Statorwicklung und alsdann über den Kommutator durch die Gleichstromwicklung des Rotors. Der Motor läuft als Einphasen-Seriomotor an. In der Nähe des Synchronismus angelangt, erregt man den Rotor mit Gleichstrom, wodurch derselbe in Synchronismus hineinläuft. Es können nun die Bürsten am Kommutator zuerst kurzgeschlossen und hierauf abgehoben werden. Der Motor läuft als gewöhnlicher Synchronmotor weiter.

## Dreizehntes Kapitel.

### Das Parallelarbeiten synchroner Maschinen.

71. Das Parallelarbeiten mehrerer Generatoren. — 72. Einfluß des Ungleichförmigkeitsgrades der Geschwindigkeitsregulatoren auf die Belastungsverteilung parallel geschalteter Generatoren. — 73. Belastungsänderung parallel geschalteter Generatoren. — 74. Stromverteilung parallel geschalteter Generatoren. — 75. Die synchronisierenden Kräfte mehrerer parallel geschalteter Generatoren.

#### 71. Das Parallelarbeiten mehrerer Generatoren.

Ist eine Maschine in richtiger Weise parallel geschaltet, so handelt es sich noch darum, die Belastung der im Betrieb befindlichen Maschinen teilweise auf die neu eingeschaltete Maschine zu verschieben.

Wenn wir es mit Gleichstrommaschinen zu tun haben, die von Kraftmaschinen mit Regulatoren betrieben werden, so ist es bekanntlich möglich, die Belastung der einzelnen parallel geschalteten Maschinen einfach durch Änderung der Erregung der einzelnen Maschinen zu regulieren, indem die stärker erregte Maschine von selbst einen größeren Teil der Belastung übernimmt. Bei Wechselstrommaschinen, die parallel geschaltet sind, liegen die Verhältnisse ganz anders.

Wir haben im Kapitel X gesehen, daß der wattlose Strom

$$J_{wl} \cong \pm \frac{E - P}{x_2} \quad (\text{s. Gl. 105})$$

hauptsächlich von der Differenz zwischen der EMK  $E$  und der Klemmenspannung  $P$  abhängt und daß der Wattstrom

$$J_w = \frac{P \sin \Theta + J_{wl} r_a}{x_3} \cong \frac{P}{x_3} (\Theta - \Theta_0) \quad (\text{s. Gl. 108})$$

$$\sin \Theta_0 \cong \Theta_0 \cong - \frac{J_{wl} r_a}{P} \cong \frac{E - P}{P} \frac{r_a}{x_2}$$

hauptsächlich von seiner Reaktanz und dem Winkel  $\Theta$  abhängt.

Das Drehmoment  $W_a$  wächst proportional mit dem Wattstrom  $J_w$  und dieser ist proportional  $(\Theta - \Theta_0)$ . Wie wir auf S. 180 Gl. 85 sahen, ist die Leistung eines mit konstanter Klemmenspannung  $P$  arbeitenden Generators dagegen fast unabhängig von der Erregung, da  $\psi_1 \cong 90^\circ$  ist; auch für den Fall variabler Reaktanz trifft dies nach den Gl. 105 bis 108 zu; denn wenn wir die EMK  $E$  erhöhen, so geht der Winkel  $\Theta - \Theta_0$  in annähernd demselben Verhältnis zurück und umgekehrt, so daß die Leistung fast unverändert bleibt.

## 72. Einfluß des Ungleichförmigkeitsgrades der Geschwindigkeitsregulatoren auf die Belastungsverteilung parallel geschalteter Generatoren.

Arbeiten mehrere Generatoren auf Sammelschienen, zwischen denen eine Spannung  $P$  besteht, so wird jeder Generator einen Wattstrom und somit eine Leistung an die Sammelschienen abgeben, die fast allein von dem Voreilwinkel  $\Theta$  seiner EMK  $E$  gegenüber dem Spannungsvektor  $P$  abhängt.

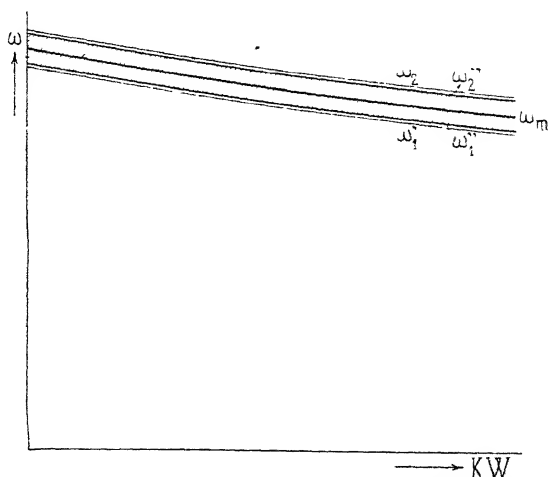


Fig. 228. Winkelgeschwindigkeit einer Dampfmaschine als Funktion der Belastung unter Berücksichtigung von Unempfindlichkeit des Regulators und Ungleichförmigkeit des Antriebs.

Die Größe dieses Voreilwinkels hängt nur von der Leistung der Kraftmaschine ab und kann durch Änderung der Stellung des Geschwindigkeitsregulators reguliert werden. Dies ist aber, wie im folgenden gezeigt werden soll, nur möglich, wenn die Geschwindigkeit der Kraftmaschine sich mit der Belastung ändert.



In Fig. 228 ist die mittlere Tourenzahl oder Umfangsgeschwindigkeit einer Dampfmaschine als Funktion der elektrischen Belastung aufgetragen. Während einer Umdrehung schwankt die Geschwindigkeit der Dampfmaschine innerhalb zweier Grenzen, die durch den Ungleichformigkeitsgrad der Maschine

$$\delta = \frac{\omega_2 - \omega_1}{\omega_m} \quad . . . . . (124)$$

bestimmt wird.  $\omega_2$  ist die größte,  $\omega_1$  die kleinste und  $\omega_m$  die mittlere Winkelgeschwindigkeit während einer Umdrehung.

Der Regulator jeder Dampfmaschine besitzt aber auch einen gewissen Unempfindlichkeitsgrad. Erst wenn die Winkelgeschwindigkeit einer Maschine sich um einen gewissen Betrag von einem stationären Mittelwert entfernt hat, verstellt sich die Regulatorhülse, wodurch die Steuerung der Maschine entsprechend beeinflusst wird. Dieser Unempfindlichkeitsgrad des Regulators gegenüber kleinen Variationen in der Winkelgeschwindigkeit rührt von den Reibungskräften in den Zapfen des Regulators und den Steuerorganen her. Es ist der Unempfindlichkeitsgrad

$$\varepsilon = \frac{\omega_2' - \omega_1'}{\omega_m} \quad . . . . . (125)$$

wo  $\omega_2'$  die größte und  $\omega_1'$  die kleinste Winkelgeschwindigkeit ist, die die Maschine haben kann, ohne daß der Regulator eingreift.  $\omega_m = \frac{\omega_2' + \omega_1'}{2}$  ist die mittlere Winkelgeschwindigkeit.

In Fig. 228 sind außer der Kurve  $\omega_m$  noch die Kurven  $\omega_2'$  und  $\omega_1'$  als Funktion der Belastung aufgetragen. Da aber die Winkelgeschwindigkeit der Maschine während einer Umdrehung um  $\frac{1}{2} \delta \omega_m$  zu beiden Seiten des Mittelwertes schwankt, so muß man diese Größe von  $\omega_2'$  subtrahieren und zu  $\omega_1'$  addieren, um die beiden Kurven  $\omega_2''$  und  $\omega_1''$  zu bekommen, die die größte mittlere, resp. die kleinste mittlere Winkelgeschwindigkeit darstellt, die die Maschine haben kann, ohne daß der Regulator eingreift. Bei Dampf- und Wasserturbinen fallen die Kurven  $\omega''$  mit den  $\omega'$ -Kurven zusammen, weil diese Antriebsmaschinen einen vollständig gleichförmigen Gang besitzen. Es kann bei gegebener Belastung einer Maschine die mittlere Winkelgeschwindigkeit innerhalb enger Grenzen variieren; der Regulator besitzt mit anderen Worten eine gewisse Stabilität, die durch die schraffierte Fläche (Fig. 228) dargestellt wird.

Unter der Tourenänderung einer Maschine versteht man die

Differenz der mittleren Winkelgeschwindigkeiten bei Leerlauf und Belastung geteilt durch den Mittelwert dieser beiden. Es ist somit die Änderung der Umdrehungszahl

$$\nu = \frac{\omega_{m0} - \omega_{mb}}{\omega_m} \quad . . . . . 126$$

diese ist gleich dem Ungleichförmigkeitsgrade des Regulators.

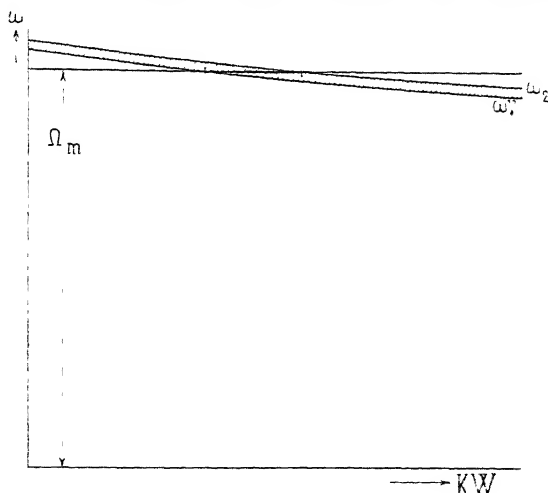


Fig. 229.

Arbeiten mehrere vollständig gleiche und gleicherregte Generatoren auf Sammelschienen und werden sie von gleichen Dampfmaschinen angetrieben, so braucht die Belastung sich trotzdem nicht auf alle Maschinen gleichmäßig zu verteilen. Denn zieht man in Fig. 229 eine Horizontale, die der mittleren Winkelgeschwindigkeit  $\Omega_m$  aller Maschinen entspricht, so verläuft diese auf einer großen Strecke innerhalb der schraffierten Fläche und es können somit bei dieser Umdrehungszahl die Maschinen höchst verschieden belastet sein. Diese Unterschiede der Belastungen der einzelnen Maschinenaggregate können um so größer sein, je flacher die Geschwindigkeitskurven verlaufen, d. h. je kleiner die Tourenänderungen der Antriebsmaschinen sind. Sind die Regulator der Antriebsmaschinen astatisch, so werden die Geschwindigkeitskurven horizontale Gerade und die Verteilung der Belastung zwischen den einzelnen Aggregaten wird eine vollständig willkürliche.

Man sieht leicht ein, daß eine derartige Arbeitsverteilung sowohl vollständig unregulierbar wie unkontrollierbar und deswegen unzulässig ist.

Die Verteilung der Belastung auf die einzelnen Maschinen kann um so genauer durchgeführt werden, je näher die beiden Kurven  $\omega_2''$  und  $\omega_1''$  zusammenrücken, d. h. je mehr der Unempfindlichkeitsgrad  $\varepsilon$  des Regulators sich dem Ungleichformigkeitsgrad  $\delta$  der Maschine nähert. Natürlich darf  $\varepsilon$  nicht kleiner als  $\delta$  werden, denn in diesem Falle würde der Regulator während jeder Umdrehung regulieren, also stetig in Tätigkeit sein. Der Unempfindlichkeitsgrad kann dadurch verkleinert werden, daß man die Reibungskräfte der Steuerorgane verkleinert.

Ferner kann bei gegebener Stabilität des Regulators die Belastungsverteilung um so exakter durchgeführt werden, je steiler die Geschwindigkeitskurven verlaufen. In bezug auf ein gutes Parallelarbeiten mehrerer Maschinenaggregate wirkt deswegen eine große Tourenänderung der Maschine sehr günstig. Eine große Tourenänderung bewirkt aber, daß die Tourenzahl und damit die Periodenzahl sich von Leerlauf bis Belastung stark ändert, wenn man nicht durch eine passende Änderung am Regulator dessen Regulierbereich verschiebt. Dies ist entweder durch Anordnung eines verstellbaren Gegengewichtes oder durch Anbringung einer Hilfsfeder, die passend gespannt werden kann, möglich.

Eine plötzliche Belastungsänderung hat stets eine Spannungsschwankung zur Folge, die um so größer sein wird, je größer die Tourenänderung der Antriebsmaschine ist. Aus diesem Grunde soll man die Tourenänderung nicht größer wählen, als es ein guter Parallelbetrieb erfordert. Gewöhnlich reicht es aus, wenn man 3 bis 6% Tourenänderung von Leerlauf bis Belastung verlangt.

Die Nachregulierung der Umdrehungszahl mit der Belastung kann entweder von Hand oder automatisch geschehen. Für Beleuchtungsanlagen ist eine automatische Verstellung des Regulators nicht erforderlich. Dagegen ist für Kraftanlagen, wo die Periodenzahl konstant sein soll, eine automatische Nachstellung erforderlich, und diese kann entweder durch ein elektrisches Relais oder auf mechanischem Wege erfolgen.

Von den verschiedenen Regulatoren sind die schnellaufenden Federregulatoren sehr geeignet für Antriebsmaschinen, deren Generatoren parallel arbeiten sollen.

Die Federregulatoren können für große Tourenänderungen gebaut werden und ihr Regulierbereich läßt sich leicht verschieben; ferner ist die Eigenreibung des Federregulators klein.

In Fig. 230 ist die mittlere Winkelgeschwindigkeit  $\omega_m$  als Funktion der Belastung für drei Antriebsmaschinen aufgetragen, und zwar haben alle drei Maschinen verschiedene Regulatorstellungen. Die  $\omega_m$ -Kurven fallen deswegen nicht zusammen, sondern verlaufen

fast parallel miteinander. Da die drei Maschinen synchron laufen, so sind die mittleren Leistungen derselben  $W_1$ ,  $W_2$  und  $W_3$  alle drei voneinander verschieden. Durch Änderung der Regulatorstellung läßt sich die Belastung von einer Maschine auf die anderen übertragen und umgekehrt. Mit richtig regulierbaren Antriebs-

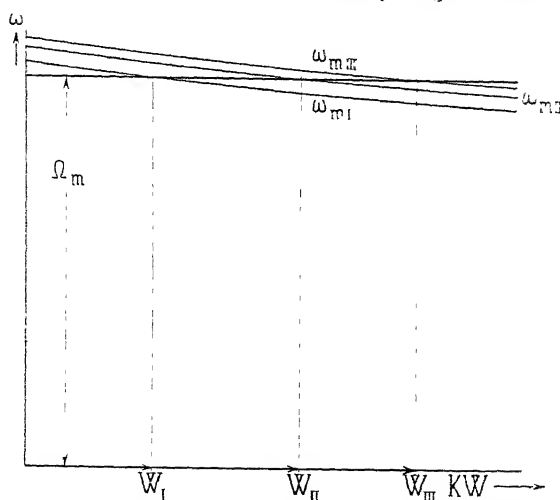


Fig 230 Mittlere Winkelgeschwindigkeit als Funktion der Belastung für drei Antriebsmaschinen.

maschinen ist es somit möglich, die Belastung der einzelnen Maschinenaggregate beliebig zu variieren. Ändert man die Regulatorstellung einer Maschine in der Weise, daß sie das Bestreben hat, schneller zu laufen, so wird der Voreilungswinkel  $\theta$  und mit ihm der Wattstrom  $J_w$  und die Leistung  $W$  des Generators vergrößert.

### 73. Belastungsänderung parallel geschalteter Generatoren.

Arbeiten mehrere gleiche Generatoren auf die gleichen Sammelschienen, von denen aus ein Strom bei konstanter Spannung und konstanter Periodenzahl geliefert werden soll, so verteilt sich der Wattstrom

$$J_w \cong \frac{P}{x_3} (\theta - \theta_0)$$

auf die einzelnen Aggregate proportional den betreffenden Voreilungswinkeln  $\theta - \theta_0$  zwischen den EMKen und der Klemmenspannung  $P$ . Wünscht man die Belastung von einigen Maschinen auf andere zu verschieben, so müssen die Regulatoren dieser Maschinen zusammen um ebensoweit in einer Richtung verschoben werden, wie die der

anderen Maschinen zusammen in der entgegengesetzten Richtung, damit die Periodenzahl sich nicht ändert. Es ist dann die Summe der Voreilungswinkel vor und nach der Belastungsverschiebung dieselbe

$$(\Theta_1 - \Theta_0) + (\Theta_2 - \Theta_0) + \dots = (\Theta_1' - \Theta_0) + (\Theta_2' - \Theta_0) + \dots \quad (127)$$

Der wattlose Strom  $J_{ul} \cong \frac{E - P}{x_2}$  verteilt sich dagegen auf die einzelnen Maschinen angenähert proportional den Differenzen zwischen den EMKen  $E$  und der Klemmenspannung  $P$ . Die stark erregten Maschinen, deren EMK  $E$  größer als die Klemmenspannung ist, liefern wattlose Ströme, während die übrigen, deren EMKe  $E$  kleiner als die Klemmenspannung sind, wattlose Ströme aufnehmen. Es ist die algebraische Summe

$$\sum_1^n (E - P) \cong x_2 J_{ul} \quad . . . . . \quad (128)$$

Wünscht man deswegen den wattlosen Strom von einigen Maschinen auf andere zu verschieben und soll sich die Klemmenspannung  $P$  nicht ändern, so müssen die EMKe, d. h. die Erregungen dieser Maschinen, zusammen um ebensoviel in einer Richtung geändert werden, wie die der übrigen Maschinen zusammen in der entgegengesetzten Richtung. Es muß vor und nach der Verschiebung des wattlosen Stromes

$$\sum_1^n (E - P) = \sum_1^n (E' - P)$$

oder

$$\sum_1^n (E) = \sum_1^n (E') \quad . . . . . \quad (129)$$

sein.

Die obigen Sätze gelten fast exakt; die Abweichungen von den genauen Formeln sind für normale Verhältnisse so klein, daß man davon absehen kann. Übrigens hat eine genaue Vorausberechnung der Verteilung des Wattstromes und des wattlosen Stromes in den einzelnen Fällen, die in der Praxis vorkommen können, keinen Zweck, und der Schaltbrettwärter wird ohne weiteres mittels Amperemeter und Wattmeter die Wattströme und die wattlosen Ströme auf die einzelnen Maschinen richtig verteilen können. Es gilt allgemein die Regel: Eine Belastungsverschiebung erfolgt durch Änderung der Regulatorstellungen und eine Verschiebung des wattlosen Stromes durch Änderung der Erregerströme.

Um möglichst kleine Verluste in den Ankerwicklungen zu bekommen, wird man sowohl die Wattströme wie die wattlosen Ströme, wenn keine anderen Gründe vorliegen, auf alle Generatoren möglichst gleichmäßig verteilen.

Wünscht man einen der Generatoren auszuschalten, so darf dies nicht ohne weiteres erfolgen, sondern man entlastet zuerst die betreffende Maschine und verschiebt ihren wattlosen Strom auf die übrigen Maschinen. Ist dies geschehen, so kann der Generator ohne Stromstoß von den Sammelschienen abgeschaltet werden.

#### 74. Stromverteilung parallel geschalteter Generatoren.

Es ist bis jetzt angenommen worden, daß zwischen den Sammelschienen eine konstante Spannung von konstanter Periodenzahl vorhanden sei. Dies wird praktisch immer der Fall sein, besonders wenn die Leistung eines einzelnen Maschinenaggregates nur ein kleiner Teil der maximalen Leistung aller Maschinen ist, die auf Sammelschienen arbeiten.

Arbeiten  $n$  gleiche, gleicherregte und gleichbelastete Generatoren auf Sammelschienen, so lautet die Spannungsgleichung eines Generators jetzt

$$P^2 = \left( E - \frac{J_w}{n} r_a - \frac{J_{wl}}{n} x_2 \right)^2 + \left( \frac{J_u}{n} x_3 - \frac{J_{wl}}{n} r_a \right)^2.$$

Es wird somit:

$$P = \sqrt{\left( E - J_w \frac{r_a}{n} - J_{wl} \frac{x_2}{n} \right)^2 + \left( J_w \frac{x_3}{n} - J_{wl} \frac{r_a}{n} \right)^2} \quad (130)$$

Wie hieraus ersichtlich, verhalten sich in dem Falle alle Generatoren dem äußeren Stromkreis gegenüber wie ein einziger großer Generator, dessen Ankerwiderstand und Reaktanz nur  $\frac{1}{n}$  derjenigen der einzelnen Generatoren ist.

Arbeiten mehrere verschiedene, ungleich erregte und ungleich belastete Generatoren auf Sammelschienen, so kann man sich auch diese Generatoren durch einen einzigen großen Generator ersetzt denken.

Unsere erste Aufgabe besteht in diesem Falle darin, die EMK  $E_r$ , den Widerstand  $r_{ar}$  und die Synchronreaktanz  $x_{ar}$  dieses großen Generators zu bestimmen. In dem Potentialdiagramm (Fig. 231) sind die EMK-Vektoren  $E_1$ ,  $E_2$  und  $E_3$  von drei solchen Generatoren aufgetragen. Denken wir uns zuerst die Klemmen der einen Polarität aller drei Generatoren mit der einen Sammelschiene



$$\left. \begin{aligned} J_1 &= \frac{\overline{E_1 P}}{z_{a1}} \\ J_2 &= \frac{\overline{E_2 P}}{z_{a2}} \\ J_3 &= \frac{\overline{E_3 P}}{z_{a3}} \end{aligned} \right\} \quad . \quad . \quad . \quad . \quad 133$$

und

In der Fig. 231 eilt die Klemmenspannung  $P$  den beiden Vektoren  $E_2$  und  $E_3$  nach, während sie  $E_1$  voreilt. Hieraus folgt, daß die zweite und dritte Maschine als Generatoren elektrische Arbeit leisten, während die erste Maschine elektrische Arbeit aufnimmt und somit als Synchronmotor mechanische Arbeit leistet.

Im allgemeinen werden die Widerstände und Synchronreaktanzen der einzelnen Maschinen in demselben Verhältnis zueinander stehen. Es kann deswegen

$$\frac{r_{a1}}{x_{a1}} = \frac{r_{a2}}{x_{a2}} = \frac{r_{a3}}{x_{a3}} = \frac{r_{ar}}{x_{ar}}$$

gesetzt werden. Die Admittanzkräfte des Dreieckes  $E_1 E_2 E_3$  sind also parallel aufzutragen und wir erhalten

$$\frac{1}{z_{ar}} = y_{ar} = y_{a1} + y_{a2} + y_{a3} = \frac{1}{z_{a1}} + \frac{1}{z_{a2}} + \frac{1}{z_{a3}}$$

oder

$$z_{ar} = \frac{1}{\frac{1}{z_{a1}} + \frac{1}{z_{a2}} + \frac{1}{z_{a3}}} \quad . \quad . \quad . \quad . \quad 134$$

Denken wir uns die Kräfte  $y_{a1}$ ,  $y_{a2}$  und  $y_{a3}$  fast senkrecht auf die EMK-Vektoren aufgetragen, so wird ihre Resultante  $y_{ar}$  auch fast senkrecht auf dem resultierenden EMK-Vektor  $E_r$  stehen. Wie für diese Richtung der Admittanzkräfte ersichtlich, ist die Lage der Resultante  $y_{ar}$  fast unabhängig von der gegenseitigen Lage der Vektoren  $E_1$ ,  $E_2$  und  $E_3$ . Sind deswegen die Vektoren  $E_1$ ,  $E_2$  und  $E_3$  der Größe nach gegeben, so wird auch die Größe von  $E_r$  und mit ihr die der Schienenspannung  $P$  fast konstant bleiben, selbst wenn die gegenseitige Lage der Vektoren  $E_1$ ,  $E_2$  und  $E_3$  sich ändert. D. h. die Schienenspannung ist fast unabhängig von der Verteilung der Belastung zwischen den einzelnen Generatoren. Verschiebt man die Belastung von einem Generator auf die übrigen, so wird sich trotzdem die Schienenspannung nur wenig ändern.



Ziehen wir in dem Potentialdiagramm (Fig. 232) eine gerade Linie unter dem Winkel  $\psi'_k = \arctg \frac{x_a}{r_a}$  zu dem Spannungsvektor  $P$ , so geben die Projektionen der Strecken  $\overline{E_1 P}$ ,  $\overline{E_2 P}$  und  $\overline{E_3 P}$  auf diese Gerade uns ein direktes Maß für die Spannungsabfälle  $Jz_a \cos \varphi$  der Wattströme der einzelnen Generatoren.

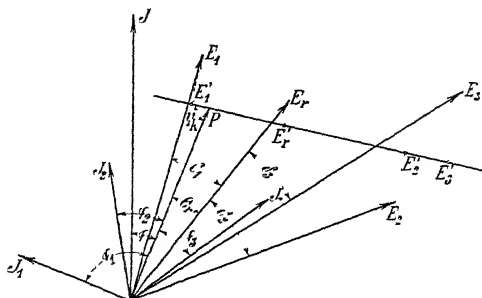


Fig. 232 Potentialdiagramm dreier parallel arbeitender Generatoren.

Es werden somit

$$\left. \begin{aligned} J_1 \cos \varphi_1 &= \frac{\overline{E'_1 P}}{z_{a1}} \\ J_2 \cos \varphi_2 &= \frac{\overline{E'_2 P}}{z_{a2}} \\ J_3 \cos \varphi_3 &= \frac{\overline{E'_3 P}}{z_{a3}} \end{aligned} \right\} \dots \dots \dots (135)$$

und

## 75. Die synchronisierenden Kräfte mehrerer parallel geschalteter Generatoren.

Die drei parallel geschalteten Maschinen haben die folgenden Leistungen:

$$W_1 = m E_1 J_{w1},$$

$$W_2 = m E_2 J_{w2}$$

und

$$W_3 = m E_3 J_{w3}.$$

Diese sind, wie leicht ersichtlich, um so größer, je größer der Phasenverschiebungswinkel  $\Theta$  ist, während die Größe der EMK nur wenig Einfluß auf sie hat.

Um Ausgleichströme und die durch diese verursachten Verluste zu vermeiden, sollten die drei Vektoren  $E_1$ ,  $E_2$  und  $E_3$  alle mit  $E_r$  zusammenfallen. In diesem Falle würden die Leistungen sich

in bezug auf den Wirkungsgrad der Zentrale am günstigsten verteilen, und zwar hatte die Maschine I den Wattstrom

$$J_1' \cos \varphi_1' = \frac{\overline{E_r' P}}{z_{a1}},$$

die Maschine II

$$J_2' \cos \varphi_2' = \frac{\overline{E_r' P}}{z_{a2}}$$

und die Maschine III

$$J_3' \cos \varphi_3' = \frac{\overline{E_r' P}}{z_{a3}}$$

zu liefern.

$$J_1' \cos \varphi_1' - J_1 \cos \varphi_1 = \frac{\overline{E_r' P} - \overline{E_1' P}}{z_{a1}} = \frac{\overline{E_r' E_1'}}{z_{a1}},$$

$$J_2' \cos \varphi_2' - J_2 \cos \varphi_2 = \frac{\overline{E_r' E_2'}}{z_{a2}}$$

und

$$J_3' \cos \varphi_3' - J_3 \cos \varphi_3 = \frac{\overline{E_r' E_3'}}{z_{a3}}$$

sind die drei Wattströme, die die drei Maschinenaggregate trotz ihrer verschiedenen Belastung im Synchronismus halten. Die Maschinen, die am meisten leisten, haben zwar das Bestreben voranzueilen und die anderen Maschinen mitzuziehen, sie werden aber infolge der elektrischen Verbindung mit den anderen Maschinen hieran gehindert.

Die den oben erwähnten Ausgleichströmen  $(J' \cos \varphi' - J \cos \varphi)$  entsprechenden synchronisierenden Drehmomente sind:

$$W_{a1} = m (\overline{E_1 J_{w1}} - \overline{E_r J_{w1}'})$$

$$W_{a2} = m (\overline{E_2 J_{w2}} - \overline{E_r J_{w2}'})$$

$$W_{a3} = m (\overline{E_3 J_{w3}} - \overline{E_r J_{w3}'})$$

Bezeichnet man die Phasenverschiebungswinkel zwischen den Magnetsystemen der einzelnen Generatoren und des großen gedachten Generators mit

$$\delta_1 = \Theta_1 - \Theta_r,$$

$$\delta_2 = \Theta_2 - \Theta_r,$$

und

$$\delta_3 = \Theta_3 - \Theta_r,$$

so ist  $\frac{dW_{a1}}{d\delta_1} = W_{s1}$  die sogenannte synchronisierende Kraft des ersten

Generators,  $\frac{dW_{a2}}{d\delta_2} = W_{s2}$  die des zweiten und  $\frac{dW_{a3}}{d\delta_3} = W_{s3}$  die des dritten Generators, denn dies sind die Mehr- oder Wenigerleistungen der einzelnen Maschinen, wenn die Polrader sich gegeneinander verschieben.

Die synchronisierende Kraft einer Maschine ist die Leistung, die bei einer Änderung der Phase des Generators gegenüber der des großen ideellen Generators von einer Maschine auf die anderen übertragen wird.

## Vierzehntes Kapitel.

### Pendelerscheinungen parallel geschalteter Synchronmaschinen. Einleitendes.

76. Die Erscheinung des Pendelns und ihre Ursache. — 77. Die Ungleichförmigkeit des Tangentialdruckdiagramms der Kraftmaschine. — 78. Der Ungleichförmigkeitsgrad und die Winkelabweichung des Schwungrads. — 79. Synchronisierende Kraft und synchronisierendes Drehmoment der Maschine mit konstanter Klemmenspannung und konstanter Erregung. Die Überlastungsfähigkeit. — 80. Synchronisierende Kraft und synchronisierendes Drehmoment zweier parallel geschalteter Maschinen mit konstanter Erregung. — 81. Synchronisierende Kraft und synchronisierendes Drehmoment bei Maschinen mit elektromechanischem Regulator. — 82. Synchronisierende Kraft und synchronisierendes Drehmoment bei compoundierten Generatoren. — 83. Das Drehmoment der Dämpferwicklung bei kleinen Schwingungen. — 84. Abhängigkeit des Drehmoments der Dämpferwicklung von der Anordnung der Dämpferstäbe und von den Maschinenkonstanten. Berechnungsbeispiel. — 85. Die Käfigwicklung als Dämpferwicklung. — 86. Abhängigkeit des Drehmomentes einer Käfigwicklung als Dämpferwicklung von der Wicklungsanordnung und den Maschinenkonstanten. Berechnungsbeispiel. — 87. Pendelbewegung eines einzelnen Generators, der nicht parallel geschaltet ist. Ableitung der Differentialgleichung. — 88. Die Analogie zwischen der Gleichung der mechanischen Bewegung und der des elektrischen Stromkreises.

#### 76. Die Erscheinung des Pendelns und ihre Ursache.

In elektrischen Zentralen, wo mehrere Generatoren parallel auf ein Verteilungsnetz arbeiten, kann man oft die Beobachtung machen, daß während des Betriebs die Strom- und Leistungsmesser der einzelnen Maschinen und des Netzes sich nicht in Ruhe befinden, sondern Schwingungen um eine Mittellage ausführen, deren Amplitude entweder konstant ist, oder sich nach einem sinusähnlichen Gesetz ändert. Außer diesen regelmäßigen Schwingungen kann man kurz nach dem Parallelschalten sehr heftige, mit der Zeit abklingende Schwingungen wahrnehmen, aber auch während des Betriebs führen die Instrumente, manchmal plötzlich und scheinbar

ohne Grund, große Schwingungen aus, die freilich mit der Zeit wieder verschwinden.

Wenn in einer Zentrale die Maschinen so angeordnet sind, daß die Mittellinien der Schwungradlager der einzelnen Maschinen in einer Geraden liegen und man sich so vor das erste Schwungrad stellt, daß man auch alle andern durch die Speichen hindurch beobachten kann, so sieht man, daß die Stellung der einzelnen Räder zueinander keine feste und unveränderliche ist, wie es bei ganz gleichförmiger Drehung der Fall sein mußte, sondern es findet eine fortwährende gegenseitige Bewegung statt. Einzelne Räder eilen den andern bald vor, bald nach. Es findet also keine gleichförmige Drehung der Maschinen statt, die Geschwindigkeit der einzelnen Räder ändert sich fortwährend: sie laufen bald rascher, bald langsamer als synchron und über den Zustand gleichförmiger Bewegung erscheint ein zweiter sich periodisch andernder gelagert, der für sich allein betrachtet einer pendelnden Bewegung entspricht. Die Maschinen „pendeln“ gegeneinander d. h. ihre Winkelgeschwindigkeit ist periodisch veränderlich.

Der Grund für diese Erscheinung ist in der Veränderlichkeit des Drehmoments der Kraftmaschinen im Laufe einer Umdrehung zu suchen. Da die Geschwindigkeit nur wenig von ihrem mittleren Wert, der synchronen, nach oben und unten abweichen darf, ist die auf die elektrische Maschine übertragene Leistung annähernd proportional dem variablen Drehmoment. Dieser variable Teil der Leistung, den man sich über einen konstanten zugeführten mittleren Teil gelagert denken kann, erzeugt Geschwindigkeitsschwankungen in der Maschine, d. h. er sucht das Schwungrad zu beschleunigen oder zu verzögern, je nachdem er im Sinne des mittleren Drehmomentes oder entgegengesetzt dazu gerichtet ist.

Infolge dieser Geschwindigkeitsschwankungen hat das Erregersystem in fast allen Stellungen dem Stator gegenüber eine andere Lage, als es bei gleichförmiger Drehung der Fall wäre, und auch die EMK  $E$  der Maschine schwankt etwas wegen der veränderlichen Geschwindigkeit.

Arbeitet die betrachtete Maschine auf ein Netz, dessen Belastung nur aus Glühlampen oder Asynchronmotoren besteht, so schwanken Periodenzahl, Strom und Spannung dieses Netzes, und ein Teil der Mehrleistung der Dampfmaschine setzt sich direkt in elektrische Mehrleistung des Netzes um, und umgekehrt. Das Tempo dieser Schwankungen des Netzes paßt sich genau dem der Maschine an. Das Ankerdrehfeld läuft somit mit derselben ungleichförmigen Geschwindigkeit wie das Polrad, die relative Stellung beider zueinander wird durch das Pendeln nicht geändert. Ganz anders

wird aber die Erscheinung, wenn aus irgendwelchen Gründen die Periodenzahl des Netzes nicht den Schwankungen der Maschine folgen kann. Der Vektor der Klemmenspannung der Maschine, dessen Lage jeweils durch die Periodenzahl des Netzes bestimmt ist, und der Vektor der EMK  $E$ , dessen Lage von der Stellung des Polrades abhängig ist, führen dann nicht mehr die gleichen Schwingungen aus. Die relative Lage der im Anker umlaufenden Wechselstromwelle und des Polrades ist dann nicht mehr konstant, sondern „Netzvektor“ und „EMK-Vektor“ pendeln auch gegeneinander. Nun ist die elektrische Leistung einer Synchronmaschine, wie schon gezeigt wurde, ganz wesentlich abhängig von dem Phasenverschiebungswinkel zwischen der Klemmenspannung und EMK  $E$ , und infolgedessen muß die elektrische, in das Netz abgegebene Leistung ganz bedeutend schwanken, wenn man bedenkt, daß schon ganz geringe Winkeländerungen sehr große Leistungsänderungen zur Folge haben. Bei einer 60poligen Maschine zum Beispiel, mit 100 Umdrehungen, beträgt der räumliche Winkel zwischen Netzvektor und EMK-Vektor nur etwa  $1^\circ$  bei Vollast. Diese räumliche Lage beider Vektoren zueinander kann man sich klar machen, wenn man sich zwei parallel geschaltete gleichförmig angetriebene Maschinen denkt, von denen die eine leer läuft, die andere aber voll belastet ist. Die leerlaufende Maschine entspricht in jedem Moment der räumlichen Lage des Netz- bzw. Klemmenspannungsvektors, die belastete dem EMK-Vektor der belasteten Maschine. Die beiden Magneträder drehen sich synchron, haben aber eine verschiedene Lage im Raum relativ zueinander, und der Winkel, den sie einschließen, ist der oben erwähnte, denn die zeitlichen Phasenunterschiede im Diagramm entsprechen räumlichen Lagenunterschieden der Magneträder.

Strom und Leistung der betrachteten Maschine werden bei einem Voreilen des Polrades zunehmen, und infolge der zunehmenden elektrischen Leistung wird auch das Belastungsgegenmoment der elektrischen Maschine zunehmen und verzögernd auf die Kraftmaschine wirken. Diese Zunahme des Gegendrehmoments der elektrischen Maschine beim Voreilen des Polrades gegen seine Normalstellung, die wir als synchronisierende Kraft, gemessen in synchronen Watt, bezeichnen, und die das Bestreben hat, die Maschinen immer wieder in ihre normale Stellung zurückzubringen, begrenzt die Voreilung des Polrades und führt es schließlich wieder in seine Mittellage zurück, über die es aber infolge seiner Massenträgheit hinauspendelt. Sobald das Polrad aber hinter seiner Mittellage zurückbleibt, wirkt die synchronisierende Kraft entgegengesetzt wie früher, d. h. motorisch, begrenzt auch dann den Ausschlag und

treibt es wieder nach vorwärts. Es findet ein fortwährendes Spiel der Energien statt, indem die wechselnde Energie der Antriebsmaschine sich teils in kinetische des Schwungrads, teils in potentielle elektrische Energie umsetzt, und das Zusammenwirken dieser drei Faktoren ergibt den resultierenden Schwingungszustand. Es tritt aber noch ein vierter Faktor hinzu, der die Erscheinungen beeinflusst, nämlich die Dämpfung.

Infolge der Stromschwankungen und der Feldänderungen treten in der Armatur zusätzliche Kupferverluste, und in dem Polrade, zumal wenn es aus massivem Eisen besteht, Wirbelströme auf, die einen Teil der zugeführten Energie in Wirbelstromwärme umsetzen und damit aus dem Vorgang herausschaffen. Sind die Maschinen mit Dämpfungsvorrichtungen nach Hutin und Leblanc (s. S. 49) ausgerüstet, so werden in den Kupferstäben durch die Relativbewegung von Ankerfeld und Polrad starke Ströme hervorgerufen, die ebenfalls einen Teil der pendelnden Energie in Stromwärme umsetzen. Die Dämpferwicklung hat aber noch eine zweite Wirkung, die viel stärker ist als die erste, denn die in den Stäben fließenden Ströme geben mit dem Ankerfeld ein Drehmoment, das bei Übersynchronismus bremsend, bei Untersynchronismus antreibend wirkt. Die Dämpferwicklung wirkt ähnlich wie eine kurzgeschlossene Rotorwicklung einer asynchronen Maschine. Diese Wirkungen, die in erster Linie von den Relativgeschwindigkeiten zwischen Polrad und Ankerfeld oder der „Schlupfung“ zwischen beiden abhängig sind, verkleinern daher die Schwingungen der Maschine, da ein Teil der ursprünglichen Antriebsenergie von ihnen aufgezehrt und teils in Stromwärme, teils in elektrische Energie umgesetzt wird. Die Schwankungen der synchronen elektrischen Leistung, die von der Stellung des Polrades abhängig sind, werden damit ebenfalls geringer. Es tritt nun noch eine schwankende Komponente der elektrischen Energie auf, eben die asynchrone Leistung der Dämpferwicklung, indem teils Energie in das Netz geschickt, teils Energie aus dem Netz entnommen wird, so daß nicht von vornherein gesagt werden kann, ob die elektrische Leistungsschwankung einer Synchronmaschine nach Einbau einer Dämpferwicklung kleiner wird. Die synchrone Leistung hat ihren maximalen Wert bei der größten Voreilung des Polrades, die asynchrone hingegen bei der größten Relativgeschwindigkeit gegen das Ankerfeld, also bei der Ausweichung Null. Beide Leistungen dürfen also, wenn sie vektoriell im Diagramm dargestellt werden, nicht einfach algebraisch, sondern sie müssen vektoriell addiert werden, denn sie sind um ein Viertel der Schwingungsdauer gegeneinander zeitlich verschoben.

Durch Zusammenwirken von Trägheitskraft, synchroni-

sierender Kraft und Dämpfung entsteht also der resultierende Schwingungszustand der Maschine, das „Pendeln“ des Polrades und die Schwankungen von Strom und Leistung.

Der Fall, daß der Netzvektor den Schwingungen des EMK-Vektors, d. h. des Polrades, nicht folgen kann, ist nun immer gegeben, wenn mehrere Synchrongeneratoren parallel arbeiten, oder ein Generator ein Netz speist, an das Synchronmotoren angeschlossen sind. Denken wir uns eine Maschine mit ungleichförmigem Antriebsmoment mit einer Anzahl anderer Maschinen parallel arbeitend, so wird bei einer Winkelvoreilung dieser Maschine die von ihr abgegebene Leistung steigen; diese Mehrleistung wird an das Netz und die parallel geschalteten Maschinen übertragen, und deren Voreilungswinkel gegen die Klemmenspannung wird sich daher ebenfalls ändern müssen. Sobald die betrachtete Maschine aber weniger leistet, muß der Fehlbetrag von den andern Maschinen gedeckt werden, da im Gleichgewichtszustande die Leistung des ganzen Systems als fast konstant angesehen werden darf. Wir sehen also, daß eine einzige pendelnde Maschine alle andern in ähnliche Bewegungen zu bringen sucht und daß das Bewegungsgesetz des Netzvektors von allen an das Netz angeschlossenen Maschinen abhängt und nicht nur von der Bewegung der betrachteten Maschine allein abhängig ist.

Das Tangentialdruckdiagramm einer Kurbelmaschine ist eine ganz unregelmäßige Kurve. Die Verhältnisse lassen sich aber einfach übersehen, wenn man die Schwankungen des Tangentialdrucks um seinen Mittelwert in einzelne Sinusschwingungen auflöst, für diese die Bewegungsgesetze feststellt und dann die einzelnen Teilergebnisse übereinanderlagert.

Wenn mehrere Maschinen des Systems ungleichförmigen Antrieb haben, so untersucht man das System getrennt auf die verschiedenen Schwingungen hin und superponiert dann ebenfalls. Im allgemeinen wird man dann als Resultat recht komplizierte Bewegungen finden. Schwingungen von verschiedener Amplitude, Periodenzahl und Phase überlagern sich; es können Schwebungen entstehen und alle Erscheinungen, die bei gekoppelten schwingenden Systemen auftreten.

Bei dem Parallelschalten treten derartige Schwingungen noch viel stärker auf, da im Moment des Parallelschaltens nie der Bewegungszustand herrscht, wie er dem stationären Zustand entspricht, es tritt, ähnlich wie bei den elektrischen Stromkreisen, kurz nach dem Einschalten ein Übergangszustand ein, der mit der Zeit verschwindet.

Während des Betriebs können auch Schwingungen entstehen



durch plotzliche unregelmäßige Änderung des Tangentialdruckdiagramms der Kraftmaschinen, durch Belastung und Entlastung der elektrischen Maschinen usw. Diese Schwingungen verschwinden auch mit der Zeit, nachdem die erregende Ursache aufgehört hat, und superponieren sich über die stationäre Schwingung.

In den folgenden Abschnitten sollen die für diese Schwingungen charakteristischen Größen und Konstanten näher besprochen werden.

## 77. Die Ungleichförmigkeit des Tangentialdruckdiagramms der Kraftmaschine.

Das an der Kurbel ausgeübte Drehmoment einer Kurbelkraftmaschine variiert mit der Stellung der Kurbel während einer Umdrehung. Die Ursachen der Veränderlichkeit des Drehmoments sind die Änderung des Dampfdruckes am Kolben während des Hubes, die stets mit dem Kurbelwinkel sich ändernde Komponente der Kolbenkraft, die als Tangentialkraft an der Kurbel zur Geltung kommt, sowie die Drehmomente, die infolge der Massenträgheit der hin und her gehenden Massen und der Bewegung der Pleuelstange entstehen. Das aus diesen Kräften zusammengesetzte Tangentialdruckdiagramm  $\vartheta_r$  (Fig. 233) läßt sich in einen mittleren konstanten Tangentialdruck  $\vartheta_b$  (Fig. 233) und einen darüber gelagerten periodisch sich ändernden Teil ( $\vartheta_r - \vartheta_b$ ) zerlegen. Diesen letzteren kann man nach den in der Wechselstromtechnik üblichen Methoden in eine Grundschwingung, deren Schwingungsdauer bei einer Einzylinderdampfmaschine meistens die halbe Umdrehungszeit der Maschine beträgt, und in höhere Harmonische von der doppelten, dreifachen usw. Schwingungszahl zerlegen. Bei einer Verbundmaschine mit um  $90^\circ$  versetzten Kurbeln und für beide Zylinder genau gleichen Tangentialdruckdiagrammen heben sich die Grundwellen des Diagramms auf, so daß die Grundschwingungszahl des Verbunddiagramms der vierfachen Umdrehungszahl entspricht. Analog ist bei einer symmetrischen Dreifachexpansionsmaschine die Grundschwingungszahl des Diagramms gleich der sechsfachen Umdrehungszahl. Sind aber die Leistungen der verschiedenen Zylinder nicht genau gleich, so entsteht im Diagramm infolge der Mehrleistung eines Zylinders eine übergelagerte Schwingung, die nur zwei Zyklen für eine Umdrehung besitzt. Schwingungen von der Dauer einer ganzen Umdrehung können auch bei allen oben genannten Maschinen auftreten, wenn die Leistungen der beiden Kolbenseiten nicht gleich, d. h. die Diagramme für Hin- und Rückgang der Maschine verschieden sind, wie es durch ungleiche Füllung auf beiden Zylinderseiten verursacht sein kann.

Das Beispiel der Zerlegung einer Drehmomentkurve zeigt Fig. 233, die sich auf eine 1000 PS-Tandemaschine mit 96 Umdrehungen bezieht. Die Kurve wurde aus den Dampfdiagrammen für beide Kolbenseiten und den Beschleunigungskräften des Gestänges konstruiert.

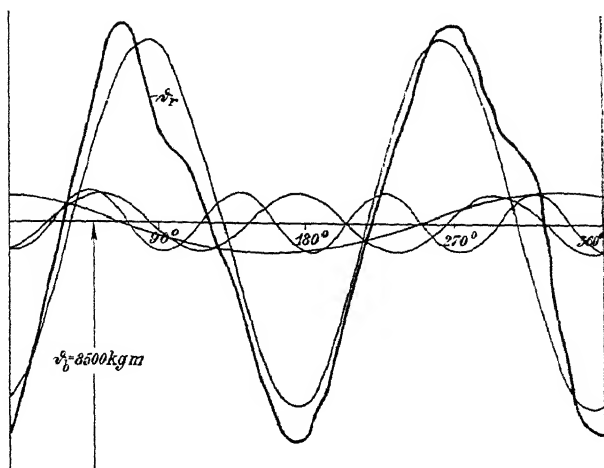


Fig. 233. Zerlegung der Drehmomentkurve einer Tandemaschine in ihre Harmonischen.

Die entsprechende Gleichung der Kurve lautet:

$$\vartheta_r - \vartheta_b = 1210 \sin(\Omega_m t + 113^\circ) + 7300 \sin(2 \Omega_m t + 284^\circ) + 1120 \sin(3 \Omega_m t + 285^\circ) + \dots \text{kgm}$$

oder

$$\frac{\vartheta_r - \vartheta_b}{\vartheta_b} 100 = 14,2 \sin(\Omega_m t + 113^\circ) + 86,5 \sin(2 \Omega_m t + 284^\circ) + 13,2 \sin(3 \Omega_m t + 285^\circ) + \dots$$

Natürlich ändern sich die Amplituden und die Phasenverschiebungen der einzelnen Harmonischen gegeneinander mit der Belastung. Die Füllung des Zylinders steigt mit wachsender Belastung, und daher wird die vom Dampfdiagramm herrührende Harmonische, bei Einzylindermaschinen die von doppelter Umdrehungszahl, mit der Belastung ihre Amplitude vergrößern und eine Phasenverschiebung in der Drehrichtung erleiden, besonders bei einer Niederdruckzylinder, wo mit wachsender Belastung die Eintrittsspannung steigt. Die Schwingungen infolge der Massenwirkungen bleiben natürlich konstant, aber jene, die von dem Übergewicht eines Zylinders über die andern bei Mehrfachexpansionsmaschine herrühren, ändern sich mit der Belastung und können auch da

Vorzeichen wechseln, wenn z. B. bei geringer Belastung der Hochdruckzylinder und bei Überbelastung der Niederdruckzylinder einen größeren Teil der Leistung übernimmt. Die Schwingungen von der Dauer eines ganzen Kurbelumlauts kann man wohl für einen gewissen Belastungszustand durch sorgfältiges Einstellen der Steuerung unterdrücken, für andere Belastungszustände werden sie aber doch meistens vorhanden sein. Sie sind meist bei sorgfältig ausgeführten Maschinen nicht von großer Amplitude, können aber doch oft zu recht unangenehmen Erscheinungen Anlaß geben, wie wir sehen werden.

Sehr groß ist der Unterschied des Diagramms bei einer Mehrkurbelmaschine, wenn bei geringer Belastung nur der Hochdruckzylinder arbeitet. Der Charakter des Tangentialdiagramms wird dadurch gleich dem einer Einzylindermaschine, und die Schwingungszahlen und Amplituden der einzelnen Harmonischen werden dadurch ganz geändert.

Bei Einzylinderviertaktgasmaschinen, wo nur bei jeder zweiten Umdrehung ein Kraftimpuls erfolgt, ist die Grundschwingungsdauer die Hälfte der Umdrehungszahl der Maschine, bei der Zweitaktmaschine dagegen gleich der Umdrehungszahl. Für die wichtigeren Maschinengattungen sind die Grundschwingungszahlen für eine Umdrehung unter der Annahme gleicher Leistung aller Zylinder für Hin- und Rückgang in folgender Tabelle zusammengestellt:

Anordnung und Zahl der Zylinder		Pulszahl $r$ pro Umdrehung
Gas- motoren	Einzylinder-Viertaktmotor . . . . .	$\frac{1}{2}$
	Zweizylinder-Viertakt- und Einzylinder-Zweitakt- motor . . . . .	1
	Vierzylinder-Viertakt- u. Zweizylinder-Zweitakt- motor . . . . .	2
Dampf- maschinen	Einzylindermaschinen, Tandemmaschinen, Woolf- maschinen (Kurbeln unter $180^\circ$ ) . . .	2
	Verbundmaschinen (Kurbeln unter $90^\circ$ ) . . .	4
	Dreifachexpansionsmaschinen mit Kurbeln unter $120^\circ$ . . . . .	6

Bei der Zweizylinderzweitaktmaschine können ebenfalls Schwingungen von einem Impuls pro Umdrehung auftreten, wenn ein Zylinder mehr leistet als der andere und bei den Viertaktmehrzylindermaschinen Schwingungen von einem Impuls während zweier

Umdrehungen, wenn nicht alle Zylinder das gleiche leisten. Der letztere Fall ist auch bei Zweitaktmaschinen möglich, wenn beide Kolbenseiten verschiedene Diagramme liefern.

Bei stehenden Maschinen kann schließlich auch noch das Gewicht des Gestanges, das nicht vollständig ausbalanciert ist, Ursache zu Schwingungen geben.

Schwingungen von bedeutend größerer Dauer können während des Betriebs auftreten, verursacht durch langsame periodische Änderungen der Kesselspannung, des Gasgemisches und durch Regulatorschwingungen, auf die wir noch später näher eingehen.

Außer diesen regelmäßigen periodischen Zuständen treten während des Betriebs noch mancherlei unregelmäßige Stöße auf, die die Dynamomaschine ebenfalls in Schwingungen versetzen, man denke nur an das Versagen der Zündung oder an eine Vorzündung, wie es bei Gasmaschinen ab und zu vorkommt. Auch jede Belastungsänderung der elektrischen Maschine gibt Ursache zu Schwingungen, die die beiden stationären Betriebszustände miteinander verbinden, ihr Puls entspricht aber nicht dem von der Dampfmaschine aufgeprägten Impuls, sondern der Eigenfrequenz des Systems.

Derartige Pendelzustände sind auch bei Synchron- und Asynchronmotoren beobachtet worden, die eine periodisch sich andernde Belastung haben, z B eine Kolbenpumpe treiben. Nach dem oben Gesagten ist die Erklärung verständlich.

## 78. Der Ungleichförmigkeitsgrad und die Winkelabweichung des Schwungrades.

a) Bestimmung des Ungleichförmigkeitsgrades aus dem Tangentialdruckdiagramm. Um bei dem wechselnden Drehmoment der Kraftmaschine doch eine möglichst gleichförmige Drehung der Maschine zu erhalten, versieht man sie mit einem Schwungrad. Dieses kann große überschüssige Leistungen durch eine kleine Geschwindigkeitszunahme akkumulieren und sie bei geringerer zugeführter Leistung wieder abgeben. Es bewirkt also einen Ausgleich der an die elektrische Maschine abgegebenen Leistung. Es muß aber während einer Umdrehung eine gewisse Ungleichförmigkeit bestehen bleiben, die durch den „Ungleichförmigkeitsgrad“

$$\delta = \frac{\Omega_2 - \Omega_1}{\Omega_m} \quad (136)$$

<sup>1)</sup> Durch  $\Omega$  wollen wir von jetzt ab die wirklichen Geschwindigkeiten, durch  $\omega$  die entsprechenden „elektrischen“ Geschwindigkeiten im Diagramm bezeichnen.

charakterisiert wird.  $\Omega_2$  bedeutet die größte,  $\Omega_1$  die kleinste und  $\Omega_m$  die mittlere Winkelgeschwindigkeit. Aus dem Tangentialdruckdiagramm läßt sich die Kurve der Winkelgeschwindigkeit und der Winkelabweichung, d. i. die Differenz des wirklich zurückgelegten und des bei gleichformiger Drehung zurückgelegten Weges für die Kraftmaschine mit Schwungrad bestimmen, wenn man alle mit der

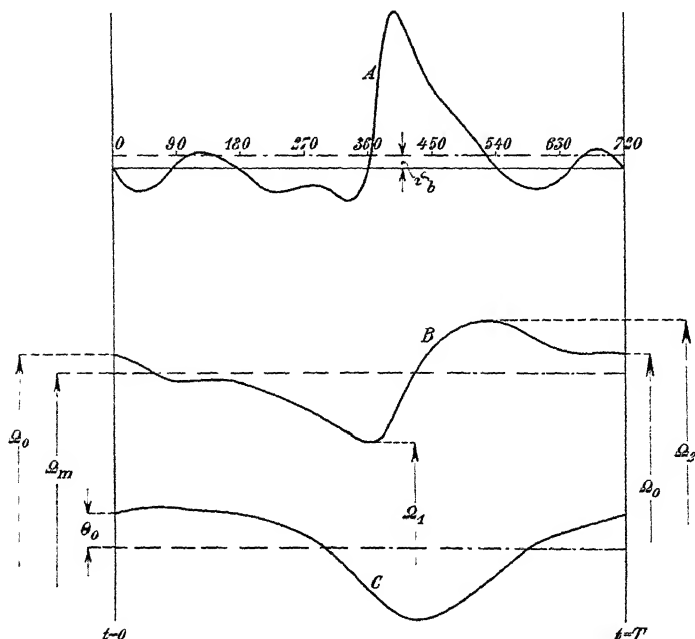


Fig. 234. Drehmoment (A), Winkelgeschwindigkeit (B) und Winkelabweichung (C) eines Einzylinder-Viertaktgasmotors.

Winkelgeschwindigkeit variierenden Reibungs- und Dämpfungsmomente vernachlässigt. Bedeutet  $\vartheta_b$  das mittlere Drehmoment, das zur Überwindung der Reibung und anderer verlorener Kräfte unabhängig von der Winkelgeschwindigkeit dient, und  $J$  das Trägheitsmoment aller rotierenden Massen, so setzt sich die momentane Mehrleistung der Antriebsmaschine in Beschleunigungsleistung um:

$$\Omega(\vartheta_r - \vartheta_b) = J \frac{d\Omega}{dt} \Omega,$$

woraus folgt

$$\Omega = \Omega_0 + \int_0^t \frac{\vartheta_r - \vartheta_b}{J} dt \quad (\text{Kurve B Fig. 234}) \quad . \quad (137)$$

wo unter  $\Omega_0$  die Winkelgeschwindigkeit zur Zeit  $t=0$  verstanden ist. Man kann somit die  $\Omega$ -Kurve graphisch bestimmen indem man die zwischen der Kurve  $A$  und der  $\vartheta_b$ -Linie liegende Fläche von der Zeit  $t=0$  bis zur Zeit  $t$  ermittelt und durch  $J$  dividiert. Die mittlere Winkelgeschwindigkeit

$$\Omega_m = \frac{1}{T} \int_0^T \Omega dt$$

ist gleich der mittleren Ordinate dieser Kurve. Ferner ergibt sich direkt der Ungleichförmigkeitsgrad als Differenz der größten und kleinsten Ordinate der Kurve der Winkelgeschwindigkeit, dividiert durch die mittlere Ordinate

$$\delta = \frac{\Omega_2 - \Omega_1}{\Omega_m}.$$

In gleicher Weise kann man nun aus der Kurve der Winkelgeschwindigkeit die räumliche Winkelabweichung  $\Theta$  von der Mittellage, um die das Schwungrad pendelt, graphisch ermitteln (Kurve  $C$ ). Es ist nämlich

$$\frac{d\Theta}{dt} = \Omega - \Omega_m$$

$$\Theta = \Theta_0 + \int_0^t (\Omega - \Omega_m) dt$$

oder in Grad gemessen

$$\Theta = \Theta_0 + 57,3 \int_0^t (\Omega - \Omega_m) dt \quad (\text{Kurve } C, \text{ Fig. 234}) \quad (138)$$

wobei unter  $\Theta_0$  die Winkelabweichung zur Zeit  $t=0$  verstanden ist. Die Mittellage ( $\Theta=0$ ) findet man aus der Gleichung

$$\int_0^T \Theta dt = 0;$$

wegen der Periodizität des Vorganges.

Die über und unter der Nulllinie liegenden Flächen müssen also einander gleich sein.

In den Fig. 235 bis 238 sind die Kurven  $A$ ,  $B$ ,  $C$  für die verschiedenen Gattungen der Gasmotoren aufgezeichnet.<sup>1)</sup>

Die größte Ungleichförmigkeit ergibt sich natürlich beim Einzylinder-Viertaktmotor, bei welchem auf zwei Umdrehungen nur ein Arbeitshub kommt.

<sup>1)</sup> Die Kurven  $A$  sind Guldner, „Konstruktion und Berechnungsweise der Verbrennungsmotoren“, entliehen.

Günstiger liegen die Verhältnisse beim Einzylinder-Zweitaktmotor. Durch Kombination von mehreren derartigen Motoren zu Mehrzylindermaschinen läßt sich der Ungleichformigkeitsgrad bedeutend verbessern und die Winkelabweichung verringern. Die

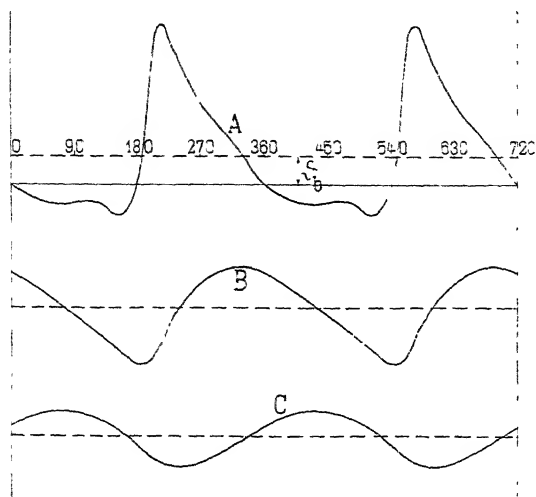


Fig. 235. Drehmoment (A), Geschwindigkeit (B), Winkelabweichung (C) eines Einzylinder-Zweitaktgasmotors

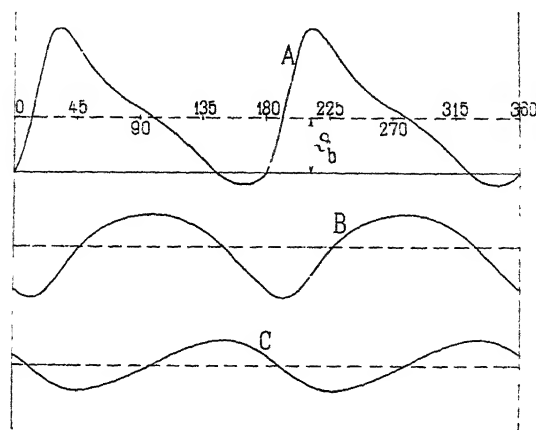


Fig. 236. Drehmoment (A), Geschwindigkeit (B), Winkelabweichung (C) bei einem Zweizylinder-Zweitaktgasmotor, Kurbeln um  $180^\circ$  versetzt.

besten Verhältnisse ergeben die beiden in dieser Beziehung nahezu gleichwertigen Anordnungen des Zweizylinder-Zweitaktmotors (Fig. 236) und des Vierzylinder-Viertaktmotors (Fig. 238), bei denen auf jeden Hub ein Arbeitshub in einem der Zylinder kommt.

In Fig. 239 sind die Kurven *A*, *B* und *C* für eine 1000 PS-Tandemaschine mit 96 Umdrehungen pro Minute dargestellt.

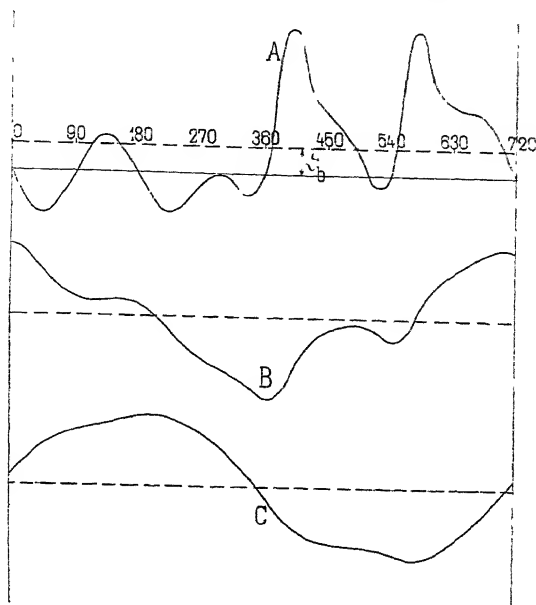


Fig. 237 Drehmoment (*A*), Geschwindigkeit (*B*) und Winkelabweichung (*C*) bei einem Zweizylinder-Viertaktgasmotor, Kurbeln unter  $180^\circ$  versetzt

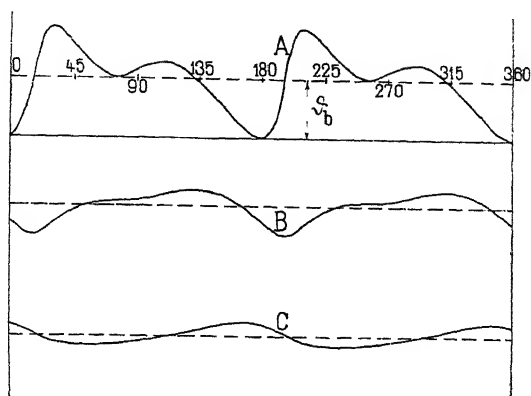


Fig. 238. Drehmoment (*A*), Geschwindigkeit (*B*) und Winkelabweichung (*C*) eines Vierzylinder-Viertaktgasmotors.

Für diese Maschine beträgt die mittlere Winkelgeschwindigkeit  $\Omega_m$  10,05 Bogeneinheiten pro Sekunde und der maximale Geschwindigkeitsunterschied  $\Omega_2 - \Omega_1$  0,0502 Bogeneinheiten pro Sekunde, woraus



sich ein Ungleichformigkeitsgrad von  $\frac{1}{200}$  ergibt. Die maximale Winkelabweichung tritt etwa bei  $180^\circ$  Kurbelstellung auf und beträgt  $0,104$  Winkelgrade.

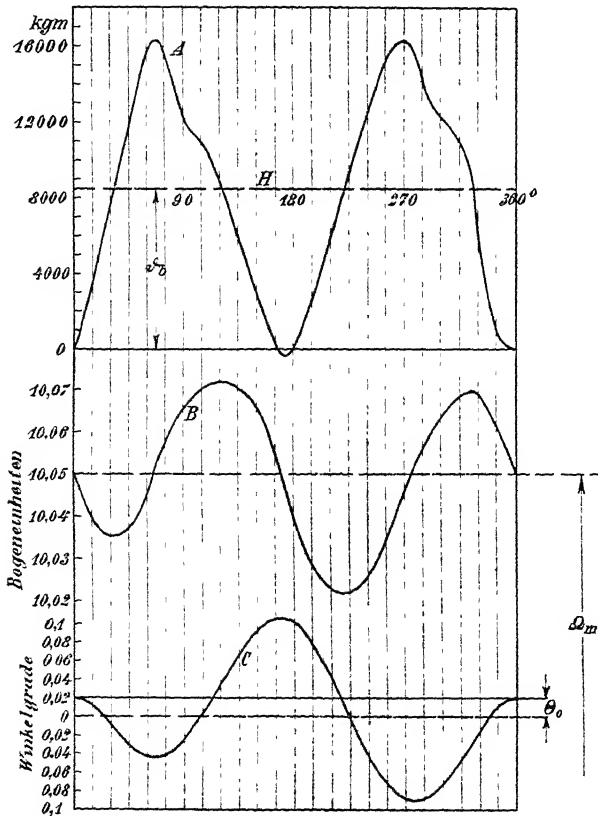


Fig. 239. Drehmoment (A), Winkelgeschwindigkeit (B) und raumliche Winkelabweichung (C) einer 1000 PS-Tandemmaschine.

b) Berechnung der Winkelabweichung aus der Kurve der Winkelgeschwindigkeit. Kennt man die Gleichung der Kurve der Winkelgeschwindigkeit, so läßt sich aus dieser der Ungleichformigkeitsgrad und die Winkelabweichung berechnen. Die Winkelgeschwindigkeit läßt sich, wie bei dem Drehmoment, durch eine konstante Größe, die mittlere Winkelgeschwindigkeit, und einen darüber gelagerten Pendelanteil darstellen, den man in einzelne Harmonische auflösen kann.

$$\Omega = \Omega_m + \sum \Omega_r \sin(r \Omega_m t) \quad . \quad . \quad . \quad (139)$$

$\nu$  ist die Ordnungszahl der Harmonischen. Für die Grundharmonische ist  $\nu$  gleich  $\frac{1}{2}$ , 1, 2, 4 oder 6, je nach der Art und Arbeitsweise der Kraftmaschine. Jede der Harmonischen erzeugt für sich eine räumliche Winkelabweichung, deren Maximalwert bestimmt ist durch

$$\Theta_{\nu} = \int_{t=0}^{t=\frac{\pi}{2\nu\Omega_m}} \Omega_{\nu} \sin(\nu\Omega_m t) dt = \frac{\Omega_{\nu}}{\nu\Omega_m} \quad (140)$$

Die verschiedenen räumlichen Ausweichungen superponieren sich, und durch Überlagerung der einzelnen entsteht die größte Ausweichung im Verlauf einer Umdrehung.

Bis jetzt wurde nur von der räumlichen Winkelabweichung gesprochen. Beim Eingehen auf den elektrischen Teil des Problems werden wir sehen, daß nicht diese, sondern die „elektrische“ Ausweichung, d. i. die auf die doppelte Polteilung als den Winkel  $2\pi$  bezogene, eine ausschlaggebende Rolle spielt. Der „elektrische“ Winkel ist es, mit dem wir im Diagramm der Wechselstrommaschine rechnen, und er bestimmt die tatsächlichen Strom-, Spannungs- und Leistungsschwankungen. Bei einer  $2p$ -poligen Maschine ist dieser Winkel bekanntlich gleich dem  $p$ -fachen des entsprechenden räumlichen, so daß sich die elektrische Winkelabweichung zu

$$\Theta_{\nu} = p \Theta_{\nu}, = \frac{p}{\nu} \frac{\Omega_{\nu}}{\Omega_m} \quad (141)$$

und in Winkelgraden gemessen zu

$$\Theta_{\nu}^0 = 57,3 \frac{p}{\nu} \frac{\Omega_{\nu}}{\Omega_m} \quad (142)$$

ergibt.

Jeder dieser einzelnen Geschwindigkeitsharmonischen entspricht ein partieller Ungleichförmigkeitsgrad  $\delta_{\nu}$ , der mit der Winkelgeschwindigkeit durch die Beziehung

$$\Omega_{\nu} = \frac{\Omega_{2\nu} - \Omega_{1\nu}}{2} = \frac{\delta_{\nu} \Omega_m}{2} \quad (143)$$

zusammenhängt.

$\Omega_{2\nu}$  und  $\Omega_{1\nu}$  sind die maximalen und minimalen Geschwindigkeitswerte infolge der betreffenden Harmonischen.

Damit ergibt sich aus Gl. 141 und 143 die Beziehung

$$\Theta_{\nu} = \frac{\delta_{\nu}}{2\nu}$$

oder in elektrischen Graden gemessen

$$\Theta_{\nu}^0 = 57,3 \frac{p}{2\nu} \delta_{\nu} \quad (144)$$

Hat ein Generator z. B. 60 Pole, d. h.  $p=30$ , und wird er von einer Tandemmaschine angetrieben, so wird der Ungleichförmigkeitsgrad infolge der zweiten Harmonischen, die am stärksten ausgeprägt ist,

$$\delta_2 = \frac{2 \nu \Theta_r^0}{57,3 p} = \frac{4}{57,3 \cdot 30} \Theta_r^0.$$

Nehmen wir als zulässige Schwankung des Winkels  $\Theta$  im Diagramm  $\Theta_r^0 \leq 3^\circ$ , an, so muß

$$\delta_2 \leq \frac{1}{143}$$

sein. Tritt aber die erste Harmonische infolge Ungleichheit der Leistung der beiden Kolbenseiten auf, so muß

$$\delta_1 \leq \frac{2 \cdot 3}{57,3 \cdot 30} \leq \frac{1}{286}$$

sein.

Die Grundharmonische erzeugt also bei gleichem Ungleichförmigkeitsgrad, d. h. gleicher Amplitude, eine doppelt so große Winkelabweichung als die nächst höhere. Hätte der betrachtete Generator nur 30 Pole, d. h.  $p=15$  gehabt, so müßten die entsprechenden Ungleichförmigkeitsgrade nur halb so klein sein,

$\delta_2 \leq \frac{1}{72}$  oder  $\delta_1 \leq \frac{1}{143}$ . Die größten Winkelabweichungen entstehen

also bei Generatoren mit vielen Polen, bei denen die Antriebs-schwingung eine geringe Schwingungszahl hat, also bei Einzylinder-vertaktmotoren. Der Einfluß der ersten Harmonischen zeigt sich auch bei dem oben gerechneten Diagramm (Fig. 239). Nehmen wir an, daß der getriebene Generator 40 Pole besitzt, so ergibt sich aus dem Ungleichförmigkeitsgrad  $\frac{1}{200}$ , wenn man ihn von der zweiten Harmonischen verursacht denkt, eine Winkelabweichung von

$$\Theta_r^0 = \frac{57,3 \cdot 20 \cdot \frac{1}{200}}{2 \cdot 2} = 1,43^\circ.$$

Die wirkliche auftretende Winkelabweichung von

$$\Theta_r^0 = 0,104 \cdot 20 = 2,08$$

elektrischen Graden, ist aber bedeutend größer als die berechnete, und in erster Linie durch die überlagerte Winkelabweichung der Grundharmonischen ( $\nu=1$ ) verursacht, die nach S. 293 nur 16,4% der zweiten Harmonischen beträgt. Diese bewirkt, daß die Winkelabweichung bei der Kurbeldrehung von 0 bis 180° geringer wird,

als wenn die Grundschiwingung allein vorhanden wäre, verstärkt dagegen die Winkelabweichung beim Rücklauf von  $180^\circ$  auf  $360^\circ$ , so daß die maximale Winkelabweichung hier größer ausfällt, wie es in Fig. 239 zu sehen ist.

In folgender Tabelle sind einige praktische Beispiele normaler Maschinen angegeben<sup>1)</sup>:

Art der Maschine	$r$ Zahl der Impulse pro Umdrehung	$\delta$ Ungleichförmigkeitsgrad	$p$	$\theta,^\circ$ (räumlich)	$\theta^\circ$ elektrisch
Einzylinderviertaktmotor . . . . .	$1/2$	$\frac{1}{125}$	24	0.46	11
Zweizylinderviertaktmotor . . . . .	1	$\frac{1}{150}$	20	0.19	3.8
Verbundmaschine mit rechtwinkelig versetzten Kurbeln	4	$\frac{1}{360}$	40	0.02	0.8

Die elektrische Winkelausweichung ist also der Polzahl und dem Ungleichförmigkeitsgrade direkt, der Anzahl von wirkenden Impulsen während einer Umlaufdauer umgekehrt proportional. Der Ungleichförmigkeitsgrad einer Viertaktgasmaschine ist bedeutend größer als der einer Mehrfachexpansionsmaschine, wegen der außerordentlich verschiedenen Größe des Tangentialdruckes während zweier Umdrehungen, trotz des bedeutend schwereren Schwungrads, mit dem man Gasmaschinen versieht. Bei zwei Maschinen gleicher Polzahl und Tourenzahl wird das Schwungrad der Gasmaschine stärkere Schwankungen zeigen, als das der Dampfmaschine, weil außerdem die erstere Schwingungen von größerer Dauer erzeugt als die letztere. Weitere Schlüsse über die Wahl des Schwungrads usw. können wir erst ziehen, wenn wir auch die Eigenschaften der elektrischen Maschine berücksichtigt haben, denn bis jetzt untersuchten wir nur die Kraftmaschine mit dem Schwungrad, d. h. mit unerregter, abgeschalteter elektrischer Maschine.

## 79. Synchronisierende Kraft und synchronisierendes Drehmoment der Maschine mit konstanter Klemmenspannung und konstanter Erregung. Die Überlastungsfähigkeit.

Wir sprachen davon, wie beim Pendeln einer an ein Netz mit konstanter Spannung und Periodenzahl angeschlossenen synchronen Maschine das Polrad während einer Umdrehung andere Stellungen

<sup>1)</sup> Rosenberg, ETZ 1902.

der Armatur gegenüber hat, als ihm bei gleichmäßiger Drehung zukamen. Da der Bewegung um eine doppelte Polteilung ein voller Umlauf im Vektordiagramm entspricht, können wir die Bewegung der Maschine direkt im Vektordiagramm darstellen, wenn wir sie uns auf eine zweipolige reduziert denken, was dadurch geschieht, daß wir alle räumlichen Winkel und Winkelgeschwindigkeiten mit der Polpaarzahl  $p$  multiplizieren. Wir erkennen dann sofort, daß zwischen dem Vektor der Klemmenspannung, den wir uns vorläufig von konstanter Länge und gleichmäßiger Umlaufgeschwindigkeit denken, und dem Vektor der EMK, dessen Lage durch das Polrad bestimmt ist, keine konstante Phasenverschiebung mehr herrscht, wie es bei gleichförmiger Drehung der Fall wäre, sondern daß der Phasenverschiebungswinkel  $\Theta$  zwischen beiden Vektoren sich periodisch ändert. Auch dann, wenn der Klemmenspannungsvektor nicht mit gleichförmiger Geschwindigkeit umläuft, sondern ebenfalls um eine Mittellage pendelt, läßt sich durch die Differenz der von beiden Vektoren zurückgelegten Wege der momentane Phasenverschiebungswinkel zwischen ihnen bestimmen. Für uns handelt es sich nun darum, aus den Werten von Klemmenspannung, EMK und des Phasenverschiebungswinkels  $\Theta$  die Leistung der Maschine zu finden. Da wir mit dem Begriff der mittleren elek-

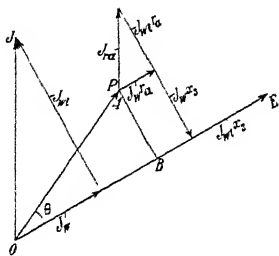


Fig. 240.

trischen Leistung des Wechselstromes operieren, ist es bei Einphasenmaschinen erforderlich, daß die Frequenz des Wechselstromes groß sei gegen die Frequenz der Schwingungen der Kraftmaschine. Bei Mehrphasenmaschinen dagegen fällt diese Beschränkung fort, da die Leistung einer Mehrphasenmaschine sich mit der Zeit nicht ändert, d. h. die mittlere Leistung gleich der Momentanleistung ist. Aus dem Diagramm der

Wechselstrommaschine, Fig. 240, ergibt sich nach der Ableitung S. 218, Gl. 106, die abgegebene elektromagnetische Leistung der Maschine als

$$W_a = m J_w [E - J_{wl}(x_2 - x_3)] \quad \dots \quad (145)$$

und die Beziehung zwischen Klemmenspannung, Strom und dem Winkel  $\Theta$  nach Gl. 107 S. 218 als

$$\sin \Theta = \frac{J_w x_3 - J_{wl} r_a}{P} \quad \dots \quad (146)$$

Rechnen wir  $J_w$  aus dieser Gleichung aus und setzen es in die obere ein, so erhalten wir:

$$W_a = m \left\{ \sin \Theta \left[ \frac{PE}{x_3} - \frac{PJ_{wl}}{x_3} (x_2 - x_3) \right] + \frac{EJ_{wl} r_a}{x_3} - \frac{J_{wl}^2 r_a (x_2 - x_3)}{x_3} \right\}.$$

Aus dieser Gleichung ist noch  $J_{ul}$ , das auch von  $\Theta$  abhängig ist, zu eliminieren und kann aus den beiden Gleichungen

$$P \sin \Theta = J_u x_3 - J_{ul} r_a,$$

$$P \cos \Theta = E - J_u r_a - J_{ul} x_2,$$

die sich aus dem Dreieck  $OAB$  Fig. 240 ergeben, berechnet werden.

$$J_{ul} = \frac{E x_3 - P(r_a \sin \Theta + x_2 \cos \Theta)}{r_a^2 + x_2 x_3} \quad \dots (147)$$

$$J_u = \frac{E r_a + P(x_2 \sin \Theta - r_a \cos \Theta)}{r_a^2 + x_2 x_3} \quad \dots (148)$$

Setzt man den gewonnenen Wert in die obige Gleichung ein, so erhält man als Resultat

$$\begin{aligned} W_a = m \frac{PE}{x_2} \left[ \sin \Theta + \frac{r_a}{x_3} \left( 1 - 2 \frac{x_3}{x_2} \right) \cos \Theta \right. \\ \left. + \frac{P}{E} \frac{1}{2} \left( \frac{x_2}{x_3} - 1 \right) \sin 2\Theta + \frac{E}{P} \frac{r_a}{x_2} \right] \quad \dots (149) \end{aligned}$$

Es ist in dieser Gleichung vorausgesetzt, daß  $r_a^2$  klein sei gegen  $x_2 x_3$ , was immer mit genügender Genauigkeit zutrifft, und es sind zwei kleine Glieder mit  $\sin^2 \Theta$  und  $\cos^2 \Theta$  vernachlässigt.

Dieser Gleichung entsprechende Kurven sind in den Fig. 241 und 242 dargestellt. Fig. 241 setzt  $x_2 > 2x_3$ , Fig. 242 setzt  $x_2 < x_3$  voraus

Aus den Figuren sieht man deutlich den Einfluß der Reaktanzen auf die Gestalt der  $W_a$ -Kurve. Je verschiedener die Reaktanzen  $x_2$  und  $x_3$  sind und je größer der Ohmsche Widerstand  $r_a$  ist, desto mehr wird die Kurve von einer reinen Sinuslinie abweichen. In dem praktisch oft vorhandenen Falle  $x_2 < x_3$ , bei Maschinen mit kleinem Spannungsabfall, dem Fig. 242 entspricht, steigt die  $W_a$ -Kurve langsamer an als die Sinuslinie, erreicht ihr Maximum erst für Werte  $\Theta > \pm \frac{\pi}{2}$ , um dann rasch abzufallen. Es ist dies eine für den Betrieb günstige Kurve, da die Maschine im Gebiet kleiner  $\Theta$  gegen Stöße nicht so empfindlich ist und erst bei größeren Winkeln  $\Theta$  große Gegendrehmomente auftreten, die das Aus-dem-Tritt-fallen verhüten. Für den Winkel  $\Theta = 0$  ist die Leistung im allgemeinen nicht gleich Null, sondern nach Gl. 149

$$W_{a(\Theta=0)} = m P E \frac{r_a}{x_2^2} \left( \frac{E}{P} + \frac{x_2}{x_3} - 2 \right) \quad \dots (150)$$

kann also generatorisch oder motorisch sein, je nachdem dieser Wert positiv oder negativ ist. Bei starker Übererregung wird die

Maschine für  $\Theta = 0$  als Generator arbeiten, bei Untererregung als Motor.

Das Glied

$$m E^2 \frac{r_a}{x_2^2}$$

dieser Gleichung vergrößert, wie man aus der Figur sieht, die Leistung der Maschine als Generator, und verkleinert die der Ma-

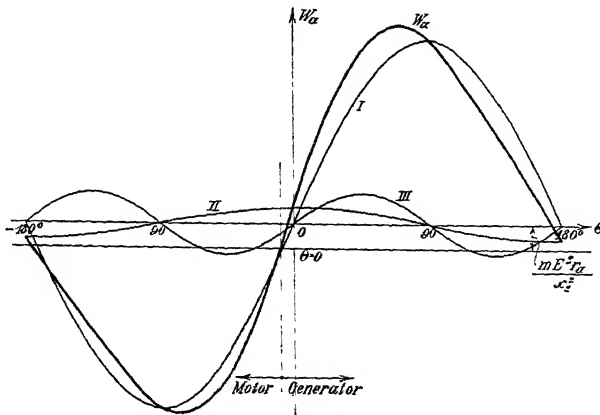


Fig. 241. Drehmoment der Synchronmaschine bei großer entmagnetisierender Reaktanz

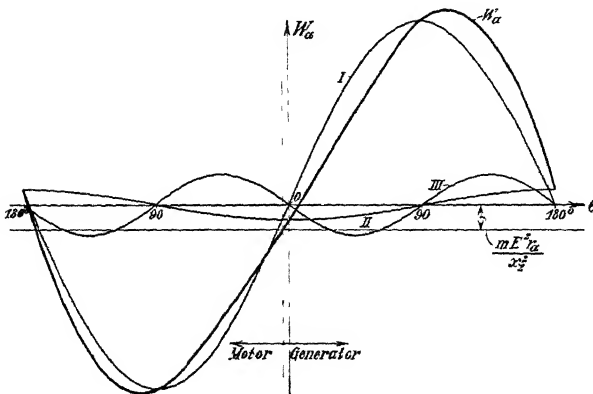


Fig. 242. Drehmoment der Synchronmaschine bei großer quermagnetisierender Reaktanz.

schine als Motor. Je stärker die Maschine erregt wird, desto mehr nähert sich die  $W_a$ -Kurve der Sinuslinie und desto mehr verschiebt sie sich nach oben in Richtung der Ordinatenachse, so daß die Ordinaten im generatorischen Teile immer größer werden, relativ zu denen im motorischen Teile.

Die Kurve Fig 242 ist wohl für den Betrieb als die günstigere anzusehen, und um sie zu erhalten, ist  $x_2$  klein zu halten und  $x_3$  größer als  $x_2$  zu machen, also die Maschine mit breiten Polschuben, kleinem Luftspalt und genügender Sättigung zu bauen. Den Ohmschen Widerstand wird man immer so klein als möglich halten.

Da bei gegebener Klemmenspannung jeder Belastung eine andere Erregung entspricht und sich mit der Erregung namentlich die entmagnetisierende Reaktanz sehr stark ändern kann, entspricht jeder Belastung eine andere  $W_a$ -Kurve. Die quermagnetisierende Reaktanz  $x_{s3}$  ändert sich im allgemeinen wenig, während  $x_{s2}$  meist mit der Belastung abnimmt und bei induktiver Belastung recht klein werden kann.

Auch Turbogeneratoren mit verteiltem Feldeisen dürfen im allgemeinen nicht als Maschinen konstanter Reaktanz angesehen werden, wie die Nachrechnung einiger Maschinen ergibt. Es ist bei diesen Maschinen meist  $x_{s3}$  bedeutend größer als  $x_{s2}$  und kann drei- bis viermal so groß werden, besonders wenn der Luftspalt klein ist.

Als Spezialfall, der zufällig eintreten kann, ist der Fall konstanter Reaktanz,  $x_2 = x_3 = x$ , anzusehen.

In diesem Falle werden die Formeln bedeutend einfacher. Die elektromagnetische Leistung ist nun nach Gl. 145

$$W_a = m J_w E$$

und  $J_w$  nach Gl. 148

$$J_w = \frac{E r_a + P(x \sin \Theta - r_a \cos \Theta)}{r_a^2 + x^2}.$$

Setzen wir diesen Wert von  $J_w$  in  $W_a$  ein, so erhalten wir

$$W_a = m \left[ P E \left( \frac{x}{r_a^2 + x^2} \sin \Theta - \frac{r_a}{r_a^2 + x^2} \cos \Theta \right) + E^2 \frac{r_a}{r_a^2 + x^2} \right].$$

Führen wir nun den Winkel  $\psi_k'$  ein, der durch

$$\psi_k' = \arctg \frac{r_a}{x}$$

definiert ist, so erhalten wir den einfachen Ausdruck

$$W_a = m \frac{P E}{z_k} \left[ \sin(\Theta - \psi_k') + \frac{E}{P} \sin \psi_k' \right] \quad . \quad (151)$$

$$z_k = \sqrt{r_a^2 + x^2}.$$

Im Prinzip sagt uns diese Formel nichts Neues. Wir erkennen aber den Einfluß des Ohmschen Widerstandes reiner als in der früheren Formel. Die Darstellung der Gl. 151 gibt Fig. 243



$W_a$  stellt eine gegen die Ordinatenachse verschobene Sinuslinie dar, deren Maximum  $m \frac{PE}{z_k}$  beträgt. Das konstante Glied vergrößert die Leistung des Generators und verkleinert die Leistung des Motors. Die maximale Generator- und Motorleistung wird

$$W_{a \max} = m \frac{PE}{z_k} \left( 1 \pm \frac{E}{P} \sin \psi'_k \right) \quad . \quad . \quad . \quad (152)$$

Man sieht den ungünstigen Einfluß, den Übererregung und Ohmscher Widerstand auf das Arbeiten der Maschine als Motor haben

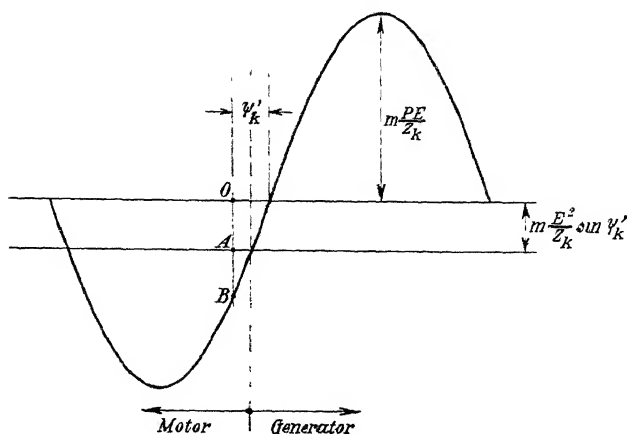


Fig. 243. Drehmoment der Synchronmaschine mit konstanter Reaktanz

Wir wollen nun noch angenähert die Überlastungsfähigkeit des Generators für variable Reaktanz bestimmen.

Für kleine Winkel  $\Theta$  können wir  $\cos \Theta \cong 1$ ,  $\sin 2\Theta \cong 2 \sin \Theta$  setzen und erhalten, wenn wir den Einfluß des Ohmschen Widerstandes als klein vernachlässigen, das Drehmoment als

$$\begin{aligned} W_a &= m P \left( \frac{P}{x_3} + \frac{E - P}{x_2} \right) \sin \Theta \\ &\cong m P \left( \frac{P}{x_3} + J_{u10} \right) \sin \Theta \end{aligned}$$

nach Gl. 105.

Nehmen wir an, daß das Drehmoment nach einer Sinuslinie verläuft, so wird es zu einem Maximum, wenn  $\sin \Theta = 1$  ist.

$$W_{a \max} \cong m P \left( \frac{P}{x_3} + J_{u10} \right).$$

Die Überlastungsfähigkeit ist durch das Verhältnis des maximalen Drehmoments zum normalen bestimmt.

$$k_u = \frac{W_{a \max}}{W_a} \approx \frac{m P \left( \frac{P}{x_3} - J_{wl0} \right)}{W_a} \approx \frac{1}{\sin \Theta_m} \approx \frac{1}{\Theta_m} \quad (153)$$

Für die Pendelerscheinungen ist nun nicht der Wert der Leistung<sup>1)</sup> des Generators selbst maßgebend, sondern die Änderung der Leistung bei einer Verschiebung des Polrades um einen kleinen Winkel  $d\Theta$ , denn diese Änderung bedingt die Mehr- oder Wenigerleistung bei einem Voreilen oder Zurückbleiben des Magnetrades gegen seine stationäre Lage. Es ist mit anderen Worten die Schräge der Leistungskurve maßgebend.

Es ist nun

$$\begin{aligned} \frac{\partial W_a}{\partial \Theta} d\Theta = m \frac{PE}{x_2} \left[ \cos \Theta - \frac{x_a}{x_3} \left( 1 - \frac{2x_2}{x_3} \right) \sin \Theta \right. \\ \left. + \frac{P}{E} \left( \frac{x_2}{x_3} - 1 \right) \cos 2\Theta \right] d\Theta. \end{aligned}$$

$\frac{\partial W_a}{\partial \Theta}$  ist die Neigung der Tangente an die  $W_a$ -Kurve in dem Punkt, an dem die Maschine gerade arbeitet. Für kleine Pendelungen, die die Maschine ausführt, ersetzen wir die  $W_a$ -Kurve in der Nahe des normalen Punktes durch eine gerade Linie, die Tangente, und bezeichnen die Mehrleistung bei einer Verschiebung des Polrades um den kleinen Winkel  $d\Theta$  als

$$\frac{\partial W_a}{\partial \Theta} d\Theta$$

$\frac{\partial W_a}{\partial \Theta}$  ist nach dieser Definition die Mehrleistung bei der Verschiebung des Polrades um die Winkелеinheit. Diese Änderung der Leistung wird als „synchronisierende Kraft“  $W_s$  bezeichnet, denn sie wirkt bremsend bei einer Voreilung des Polrades und wirkt antreibend bei einem Zurückbleiben desselben, sucht es also immer wieder in die der stationären Belastung entsprechende Stellung zu bringen. Für eine Maschine mit der Klemmenspannung  $P$ , der EMK  $E$  und dem Phasenwinkel  $\Theta_m$  erhalten wir also die synchronisierende Kraft

<sup>1)</sup> Die Leistung, von der wir hier sprechen, ist nicht die abgegebene Leistung des Generators, sondern um die Kupferverluste der Armatur größer. Die Kupferverluste sehen wir als zugehörig zur äußeren Belastung an.

$$W_s = m \frac{PE}{x_2} \left[ \cos \Theta_m - \frac{r_a}{x_3} \left( 1 - \frac{2x_3}{x_2} \right) \sin \Theta_m + \frac{P}{E} \left( \frac{x_2}{x_3} - 1 \right) \cos 2 \Theta_m \right] \dots \dots \dots (154)$$

wobei  $E$ ,  $x_2$ ,  $x_3$  und  $\Theta_m$  aus den Diagrammen der Synchronmaschine S. 216 zu entnehmen sind.

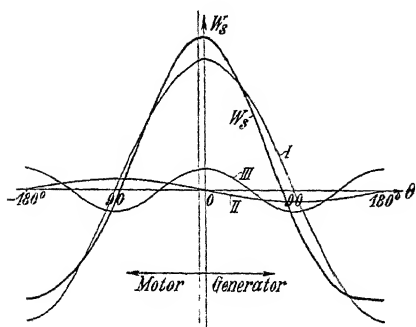


Fig. 244a. Synchronisierende Kraft der Synchronmaschine bei großer entmagnetisierender Reaktanz  $x_2$

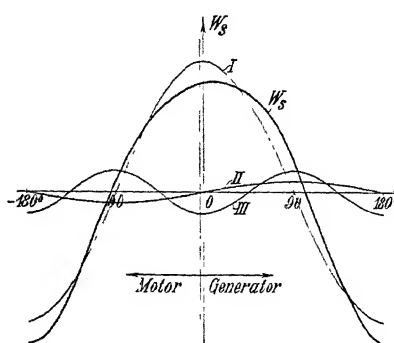


Fig. 244b. Synchronisierende Kraft der Synchronmaschine mit großer quermagnetisierender Reaktanz  $x_3$ .

Der Einfluß der verschiedenen Größen auf die synchronisierende Kraft ist aus den Kurven Fig. 244a und b zu ersehen. Je größer  $x_2$  gegen  $x_3$  ist, und je kleiner die Erregung ist, desto größer wird die synchronisierende Kraft im Vergleich zu der der reinen Sinuslinie werden. Sie kann mit dem Winkel  $\Theta_m$  ab- oder zunehmen, je nachdem ob der erste oder der zweite der obigen Fälle vorhanden ist.

Im ersten Falle fällt die Maschine schon bei einer Winkelabweichung von weniger als  $90^\circ$  außer Tritt, im zweiten Falle kann die Winkelabweichung größer werden, ohne daß die Maschine aus dem Tritt fällt.

Der Einfluß des Ohmschen Widerstandes hängt von den Werten der Reaktanz ab.

Im allgemeinen ist der Einfluß des Widerstandes nicht groß, er beträgt nur einige Prozente. Da eine sehr große synchronisierende Kraft keinen ruhigen Betrieb ergibt, denn geringe Änderungen in der Stellung des Polrades erzeugen schon große elektrische Leistungsvariationen, wird Kurve Fig. 244b als ganz günstig zu bezeichnen sein bei einem kleinem  $x_2$ , größerem  $x_3$  und kleinerem  $r_a$ .

In vielen Fällen, bei kleinem Ankerwiderstand und nicht zu

verschiedenen Reaktanzen ist das mittlere Glied der Gl. 154 zu vernachlässigen, und man erhält dann

$$W_s = m \frac{PE}{x_2} \cos \Theta_m + \frac{P}{E} \left( \frac{x_2}{x_3} - 1 \right) \cos 2 \Theta_m \quad (155)$$

Untersucht man die Maschine bei kleinen Winkeln  $\Theta_m$  (bis ungefähr  $8^\circ$ ), so gilt näherungsweise

$$\cos \Theta_m \cong 1. \quad \cos 2 \Theta_m \cong 1.$$

$$W_s \cong m \frac{PE}{x_2} \left[ 1 + \frac{P}{E} \left( \frac{x_2}{x_3} - 1 \right) \right] \quad (156)$$

oder

$$W_s \cong m P \left( \frac{P}{x_3} + J_{wl0} \right) \quad (157)$$

$J_{wl0}$  bedeutet den wattlosen Strom, den die Maschine bei Leerlauf ( $\Theta_m \cong 0$ ) abgibt, der nach Gl. 105 S. 217 durch

$$J_{wl0} \cong \frac{E - P}{x_2}$$

definiert ist.

Für den Fall konstanter Reaktanz ergibt sich nach Gl. 151

$$W_s = m \frac{PE}{x_k} \cos (\Theta - \psi_k') \quad (158)$$

woraus man sieht, daß ein großer Ohmscher Widerstand, der ein großes  $\psi_k'$  bedingt, für den Generator günstig, für den Motor dagegen ungünstig wirkt.

Die der Leistungsänderung  $W_s$  entsprechende Änderung des Gegendrehmoments, die wir als „synchronisierendes Moment“ bezeichnen wollen, ist nun

$$S = \frac{W_s^1}{\Omega} \quad (159)$$

Schließlich definieren wir noch einen Faktor  $k_p$  als Verhältnis von synchronisierender Kraft  $W_s$  zur Normalleistung für  $\cos \varphi = 1$ . Wir drücken diese Leistung, obwohl  $\cos \varphi = 1$  ist, doch in KVA aus, weil die normale Leistung gewöhnlich in KVA angegeben wird

<sup>1)</sup> Die Leistung  $W_s$  wird in Watt gemessen. Entsprechend haben wir  $S$  in  $10^7$  cgs oder in  $\left( \frac{\text{kg}}{\text{g}} \text{ m} \right)$  zu messen.  $10^7$  cgs entsprechen der Kraft 1 Dezi-megadyne ( $10^6$  Dynen) am Hebelarm 1 m (abgekürzt Dim).

und eine Konstante für die Maschine ist. Für einen Motor wäre entsprechend zu setzen  $KVA = 0,736 \text{ PS}$

$$k_p = \frac{W_s}{KVA} \dots \dots \dots (160)$$

Der Faktor  $k_p$  ist in vielen Fällen, namentlich für kleine Winkel  $\theta$ , identisch mit dem auf S. 188 und Gl. 153 S. 309 definierten Faktor  $k_u$ , der ein Maß für die Überlastungsfähigkeit der Maschine angibt. Bei variabler Reaktanz und größerer  $\theta$  können beide aber ziemlich stark differieren.

Analog setzen wir

$$S = k_p \vartheta_b \dots \dots \dots (161)$$

wo  $\vartheta_b$  das der Normalleistung entsprechende Drehmoment bedeutet.

Berechnungsbeispiele: Als Berechnungsbeispiele dienen uns ein langsam laufender Generator und ein Turbogenerator.  $W_s$  ist nach der genauen Gl. 154 berechnet und darunter nach der angenäherten Gl. 156 angegeben. Der Fehler ist in Prozenten des wahren Wertes von  $W_s$  gerechnet.

1. 1000 KVA. 6000 Volt Linienspannung. ( $P = 3460$ .)

$$\begin{aligned} p &= 16. & n &= 187. \\ r_a &= 0,62. & x_{s1} &= 2,9 \Omega. \end{aligned}$$

- a) Vollast.  $\cos \varphi = 1$ .

$$E = 3730. \quad x_2 = 13 \Omega. \quad x_3 = 13,26 \Omega. \quad \theta = 20^\circ.$$

$$W_s = 2800 \text{ (Gl. 154)}$$

$$W_s = 2925 \text{ (Gl. 156)}$$

$$\text{Fehler } 4,5\% \quad k_p = 2,8.$$

- b) Vollast.  $\cos \varphi = 0,8$ .

$$E = 4080. \quad x_2 = 9,4 \Omega. \quad x_3 = 13,3 \Omega. \quad \theta = 13^\circ.$$

$$W_s = 3460 \text{ KW (Gl. 154)}$$

$$W_s = 3390 \text{ KW (Gl. 156)}$$

$$\text{Fehler } 2\% \quad k_p = 3,46.$$

2. Turbogenerator. 2500 KVA.

$$p = 1. \quad n = 3000.$$

6600 Volt Linienspannung ( $P = 3810$ ).

$$r_a = 0,066 \Omega. \quad x_{s1} = 0,78 \Omega$$

- a) Vollast.  $\cos \varphi = 1$ .

$$E = 4170. \quad x_2 = 8,3 \Omega. \quad x_3 = 14 \Omega. \quad \theta = 36^\circ.$$

$$W_s = 4025 \text{ KW (Gl. 154)}$$

$$W_s = 3600 \text{ KW (Gl. 156)}$$

$$\text{Fehler } 11,5\% \quad k_p = 1,61.$$

b) Vollast.  $\cos \varphi = 0,8$ .

$$E = 4450. \quad x_2 = 4.82. \quad x_3 = 12.58. \quad \Theta = 21^\circ 40'.$$

$$W_s = 5660 \text{ KW (Gl. 154)}$$

$$W_s = 4980 \text{ KW (Gl. 156)}$$

$$\text{Fehler } 12\%_0. \quad k_p = 2.26.$$

Man sieht, wie stark sich die synchronisierende Kraft mit der Belastung ändert und inwieweit die angenaherte und die genaue Formel übereinstimmen.

Arbeitet eine Maschine bei normaler Belastung mit dem Phasenverschiebungswinkel  $\Theta_m$  und ändert sich dieser infolge der überlagerten Pendelbewegung um den Betrag  $(\Theta - \Theta_m)$ , so beträgt die Zunahme des Gegendrehmoments  $S (\Theta - \Theta_m)$  und die Zunahme der elektromagnetischen Leistung  $W_s (\Theta - \Theta_m)$ . Diese beiden Größen führen wir in die Drehmoment- oder Leistungsgleichungen für die Pendelbewegung ein.  $\Theta$  bedeutet den momentanen,  $\Theta_m$  den mittleren Phasenverschiebungswinkel.

Die synchronisierende Kraft  $W_s$  und das synchronisierende Moment  $S$  behandeln wir in den folgenden Kapiteln als konstant. In Wirklichkeit ist dies nicht der Fall, da die EMK  $E$  und die Klemmenspannung  $P$  sich während des Pendelvorgangs auch ändern. Auch die Reaktanzen  $x_2$  und  $x_3$  können sich ändern und ebenso die Verluste, die wir gar nicht berücksichtigt haben. In vielen Fällen sind diese Änderungen so klein, daß die Vorgänge mit Hilfe eines konstanten  $S$  und  $W_s$  genügend genau beschrieben werden können. Einige Fälle, wo es erforderlich ist auf sie Rücksicht zu nehmen, sind im Kapitel XVI erwähnt.

## 80. Synchronisierende Kraft und synchronisierendes Drehmoment zweier parallel geschalteter Maschinen mit konstanter Erregung.

Im vorigen Abschnitt untersuchten wir die synchronisierende Kraft bei konstantem  $E$  und  $P$  und fanden, daß die Maschine bei ungefähr  $90^\circ$  Winkelabweichung außer Tritt fällt. Nun wollen wir die synchronisierende Kraft bei Spannungsvariationen aber konstanter Erregung untersuchen. Die Spannungsvariation ist bei zwei parallel geschalteten Maschinen am größten.

Betrachten wir zwei gleiche und gleicherregte Generatoren, deren EMK-Vektoren durch die beiden Strahlen  $\overline{OE_1}$  und  $\overline{OE_2}$  der Fig. 245 dargestellt sind, so werden diese nach Abschnitt 74 sich dem äußeren Stromkreis gegenüber verhalten wie ein einziger großer Generator mit dem EMK-Vektor  $\overline{OE_r} = \overline{OE_1} \cos \delta = \overline{OE_2} \cos \delta$ .

Es wird somit die resultierende EMK

$$E_r = E \cos \delta,$$

und da die beiden Generatoren gleich gebaut sind, wird die Impedanz des ideellen Generators gleich der Hälfte jener der beiden Generatoren, also

$$r_{ar} = \frac{1}{2} r_a$$

$$x_{2r} = \frac{1}{2} x_2$$

und

$$x_{3r} = \frac{1}{2} x_3$$

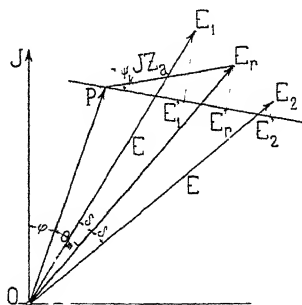


Fig. 245

Nehmen wir an, daß diese Konstanten unabhängig von dem Winkel  $\delta$  sind, und daß die äußere Admittanz  $y^2 = \sqrt{g^2 + b^2}$  bzw. die Belastung konstant bleibt, so bleibt die Form des Spannungsdreiecks  $OPE_r$  von dem Winkel  $\delta$  unabhängig. Hieraus folgt, daß alle Strecken dieses Dreiecks sich in demselben Verhältnis verändern, wenn der Winkel  $\delta$  variiert. Da

$$E_r = E \cos \delta \quad . \quad . \quad . \quad . \quad . \quad . \quad (162)$$

ist, so wird die Klemmenspannung

$$P = P_0 \cos \delta \quad . \quad . \quad . \quad . \quad . \quad . \quad (162a)$$

wo  $P_0 = P_{\delta=0}$  bedeutet, die Belastungsstromstärke

$$J = Py = P_0 y \cos \delta = J_0 \cos \delta$$

und die an das Netz abgegebene Leistung

$$W = mPJ \cos \varphi = mP_0 J_0 \cos \varphi \cos^2 \delta.$$

Das Gegendrehmoment bei konstanter Klemmenspannung ist unter Annahme der synchronen Reaktanz  $x_a$  nach Gl. 151 durch

$$W_a = m \frac{PE}{z_a} \left[ \sin(\Theta - \psi_k') + \frac{E}{P} \sin \psi_k' \right]$$

gegeben. Sind die Generatoren gegenseitig um den Winkel  $2\delta$  verschoben, so sind nach Fig. 245 und Gl. 162a die Gegendrehmomente

$$\left. \begin{aligned} W_{a1} &= m \frac{EP_0 \cos \delta}{z_a} \sin (\Theta_r - \delta) + m \frac{E^2}{z_a} \sin \psi_k' \\ W_{a2} &= m \frac{EP_0 \cos \delta}{z_a} \sin (\Theta_r + \delta) + m \frac{E^2}{z_a} \sin \psi_k' \end{aligned} \right\} \quad (163)$$

$$\Theta_r = \Theta_m - \psi_k'$$

Die Hälfte der Differenz beider Drehmomente ist gleich

$$W_\delta = \frac{1}{2} (W_{a2} - W_{a1}) = \frac{1}{2} m \frac{EP_0}{z_a} \cos \Theta_r \sin 2\delta \quad (164)$$

Die Leistung  $W_\delta$  ist das Drehmoment in synchronen Watt, durch das jeder Generator in die neutrale Zone zwischen beiden, wo  $\delta = 0$  ist, zurückgezogen wird. Man kann diese die synchronisierende Leistung oder kurz die Synchronleistung der Generatoren heißen. Differenzieren wir diese Größe nach  $\delta$ , so erhalten wir die synchronisierende Kraft

$$W_S = \frac{dW_\delta}{d\delta} = m \frac{EP_0}{z_a} \cos \Theta_r \cos 2\delta \quad (165)$$

$$W_S = W_{S \text{ normal}} \cos 2\delta \quad (166)$$

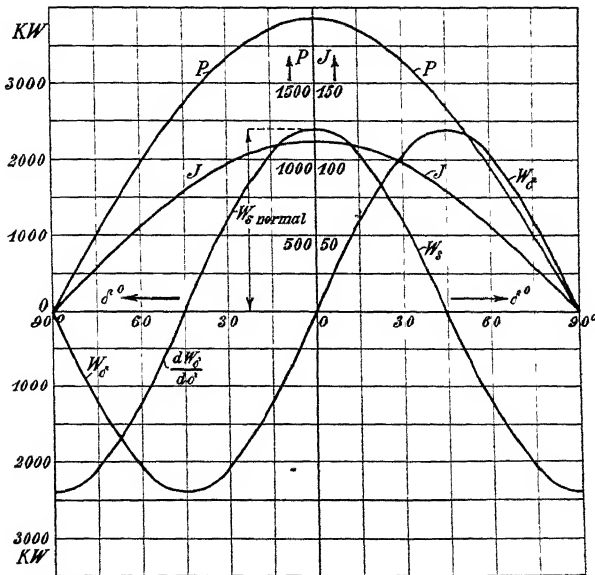


Fig 246 Spannung, Strom, synchronisierende Leistung und synchronisierende Kraft eines Generators als Funktion des Winkels  $\delta$  zwischen  $E$  und  $E_r$  bei zwei parallel arbeitenden Maschinen.

wo  $W_{S \text{ normal}}$  die synchronisierende Kraft bedeutet, die die Maschine hätte, wenn sie bei dem gleichen Phasenwinkel  $\Theta_r \cong \Theta_m$  am unend-



lich starken Netz arbeitete. Man kann also direkt die Gl. 154 bzw. 155 zur Berechnung von  $W_s$  benutzen.

Als **Beispiel** betrachten wir zwei Generatoren, deren Abmessungen mit den auf Seite 219 angegebenen übereinstimmen.

Es ist  $E=2200$  Volt,  $m=3$ ,  $r_a=1\Omega$ ,  $x_s=5\Omega$  und  $x_2=8\Omega$ .

Die Klemmenspannung  $P$ , der Belastungsstrom  $J=Py$ , die synchronisierende Leistung  $W_s$  und die synchronisierende Kraft  $W_s$  sind als Funktion von  $\delta$  in Fig. 246 aufgetragen.

Für den Belastungsstromkreis ist  $g=0,05$  und  $b=0,03$  angenommen.

Man sieht, daß die synchronisierende Kraft mit zunehmendem  $\delta$  abnimmt und Null wird, wenn die Polrader um 90 elektrische Grade gegeneinander verschoben sind. Der Winkel  $\Theta$ , bei dem die Maschine aus dem Tritt fällt, ist nicht mehr  $90^\circ$ , sondern nach Fig. 245 gleich  $(45 \pm \Theta_r)$ .

Man sieht auch wie wichtig es ist, bei wenigen parallel geschalteten Maschinen die Belastung richtig zu verteilen, so daß keine Ausgleichströme fließen, und  $\delta=0$  ist. Denn ist schon im stationären Zustande  $\delta$  nicht gleich Null, so ändern sich Klemmenspannung und synchronisierende Kraft und auch die abgegebene Leistung während des Pendelns viel stärker als für  $\delta=0$ , und die Magneträder fallen schon bei kleineren Pendelwinkeln als  $90^\circ$  gegeneinander außer Tritt.

## 81. Synchronisierende Kraft und synchronisierendes Drehmoment bei Maschinen mit elektromechanischem Regulator.

Wenn die Klemmenspannung konstant bleiben soll, muß die EMK bei der Ausweichung  $\delta$  beider Maschinen nach Gl. 162

$$E = \frac{E_m}{\cos \delta} \quad . \quad . \quad . \quad . \quad . \quad . \quad (167)$$

sein, wenn  $E_m$  die EMK für  $\delta=0$  bedeutet. Hieraus folgt, daß das Drehmoment

$$W_a = \frac{m P E_m}{z_a} \frac{\sin \Theta_r}{\cos \delta} + m \frac{E^2}{z_a} \sin \psi_k' \quad . \quad . \quad (168)$$

beträgt. Entsprechend dem vorigen Abschnitt ergibt sich die synchronisierende Leistung zu

$$W_s = \frac{m P E_m}{z_a} \cos \Theta_r \frac{\sin \delta}{\cos \delta} \quad . \quad . \quad . \quad (169)$$

und die synchronisierende Kraft zu

$$\begin{aligned} W_s &= \frac{dW_\delta}{d\delta} = \frac{m E_m P}{z_a} \cos \Theta, \frac{1}{\cos^2 \delta} \\ &= W_{s \text{ normal}} \frac{1}{\cos^2 \delta} \quad . \quad . \quad . \quad (170) \end{aligned}$$

Nach diesen beiden Formeln wurden sowohl  $W_\delta$  wie auch  $W_s = \frac{dW_\delta}{d\delta}$  beide für  $\delta = 90^\circ$  unendlich groß werden. Das wird natürlich nicht der Fall sein, weil die EMK  $E = \frac{E_m}{\cos \delta}$  wegen der Sättigung des Magnet- und Ankereisens nicht unendlich groß werden kann. Unter Berücksichtigung der Sättigung erhält man für die synchronisierende Leistung  $W_\delta$  und für die synchronisierende Kraft  $\frac{dW_\delta}{d\delta}$  die beiden Kurven Fig. 247.

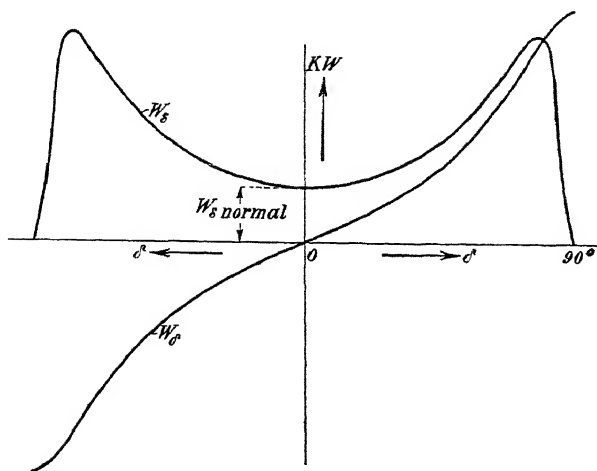


Fig. 247. Synchronisierende Leistung  $W_\delta$  und synchronisierende Kraft  $W_s$  eines Generators mit elektromechanischem Regulator.

Bei zwei solchen Maschinen nimmt die synchronisierende Kraft mit der Verdrehung der Magneträder gegeneinander stark zu, im Gegensatz zum vorigen Abschnitt. Diese Maschinen können stark gegeneinander pendeln, ohne aus dem Tritt zu fallen. Wenn ein solcher Generator auf ein Netz geschaltet wird, bevor er synchron läuft, so wird er mit großer Kraft in den Synchronismus gezogen werden.

Arbeiten viele Generatoren parallel, so ändert sich die Klemmenspannung nach Abschnitt 74 nur sehr wenig, wenn auch die ein-

zelen Generatoren pendeln. In diesem Falle wird der Spannungsregulator gar nicht zur Wirkung kommen, die Generatoren werden so pendeln, als ob gar kein Regulator vorhanden wäre

## 82. Synchronisierende Kraft und synchronisierendes Drehmoment bei kompondierten Generatoren.

Bei kompondierten Generatoren liegen die Verhältnisse komplizierter, da die meist gebräuchlichen Kompondierungen die Spannungsregulierung mit Hilfe des Maschinenstromes durchführen, also nicht direkt auf die Spannung, sondern auf den Strom reagieren. Bei zwei parallel arbeitenden Maschinen liegen die Verhältnisse ungefähr ähnlich wie bei den Schnellregulatoren, die synchronisierende Kraft nimmt mit dem Pendelausschlag stark zu. Durch den vorgeschalteten Hauptschlußtransformator wird  $x_{s1}$  erhöht und die normale synchronisierende Kraft etwas erniedrigt.

Bei vielen parallel geschalteten Maschinen hingegen, bei denen der Schnellregulator nicht wirkt, reagiert die Kompondierung fortwährend, wegen der Ausgleichstrome. Es treten dann bei annähernd konstanter Klemmenspannung dauernde Schwankungen der EMK ein, deren Einfluß in Kap. XVI besprochen sind. Es ist bemerkenswert, daß die Kompondierungen, wegen der verschiedenen Selbstinduktionen in ihrem Stromkreis, die sich jeder Stromänderung entgegensetzen, in ihrer Wirkung immer zeitlich hinter der Ursache der Spannungsänderung zurückbleiben. Die prozentuale Schwankung  $\varepsilon$  der EMK  $E$  kann bei diesen Maschinen ziemlich groß werden, es kann auch ein genügender Phasenwinkel  $\varphi$  zwischen mechanischer Pendelung und resultierender Schwankung der induzierten EMK auftreten, so daß die freien Schwingungen, die Kap. XVI besprochen sind, bei diesen Maschinen auch möglich sind.

Nach Gl. 78, S. 121, kann man den Erregerstrom für eine schwach gesättigte Maschine durch

$$i_{eb} = i_{e0} + i_{w} + i_{wl}$$

darstellen.

Analog der obigen Gleichung kann man also die induzierte EMK, die proportional dem Erregerstrom ist, bei einer beliebigen Belastung als

$$E = E' + a J_w + b J_{wl}^1) . . . . . (171)$$

schreiben.

$E'$  entspricht der Erregung bei Leerlauf und wird meist der Klemmenspannung  $P$  gleich sein.

<sup>1</sup>, Siehe M. Liwschitz, Diss. Karlsruhe 1912.

Die Konstante  $a$ , die sich auf die Rückwirkung des Wattstromes bezieht, ist bedeutend kleiner als  $x_3$ , die Konstante  $b$  nur unbedeutend kleiner als  $x_2$ .

Arbeitet eine compoundierte Maschine an einem unendlich starken Netz, so kann man die synchronisierende Kraft leicht bestimmen, indem man den Wert von  $E$  aus Gl. 171 in die Gl. 145, S. 304, einführt und  $W_a$  und  $W_s$  als Funktion von  $\Theta$  bestimmt. Die Reaktanz  $x_{s1}$  ist um die Streureaktanz des Stromtransformators zu vergrößern. Man erhält annähernd (zwei kleine Glieder sind vernachlässigt)

$$\begin{aligned} W_a = m \frac{E' P}{(x_2 - b)^2} & \left\{ \frac{E'}{P} r_a + \sin \Theta \left( x_2 - b + \frac{a r_a}{x_3} \right) \right. \\ & + \cos \Theta \left[ \frac{r_a}{x_3} (x_2 - b) - 2 r_a \right] \\ & \left. + \frac{P}{E'} \sin 2 \Theta \left[ \frac{1}{2} (x_2 - b) \left( \frac{x_2 - b}{x_3} - 1 \right) \right] \right\} \quad (172) \end{aligned}$$

Für  $a = b = 0$  geht dieser Ausdruck in die Gl. 149 für  $W_a$  über.

Die Glieder mit  $\cos \Theta$  und  $\sin 2 \Theta$  sind immer negativ. Man erkennt die außerordentliche Vergrößerung des Drehmoments, da statt  $x_2$  die Größe  $x_2 - b$  auftritt, die viel kleiner als  $x_2$  ist. Die synchronisierende Leistung ergibt sich daraus als

$$\begin{aligned} W_s = \frac{d W_a}{d \Theta} = \frac{m E' P}{x_3 (x_2 - b)^2} & \left\{ r_a (2 x_3 - x_2 + b) \sin \Theta \right. \\ & + [x_3 (x_2 - b) + a r_a] \cos \Theta \\ & \left. + \left[ (x_2 - b) (x_2 - b - x_3) \frac{P}{E'} \right] \cos 2 \Theta \right\} \quad (173) \end{aligned}$$

Die Compoundierung auf Wattstrom hat nun einen sehr geringen Einfluß, dagegen die Compoundierung auf wattlosen Strom einen sehr großen.

Für sehr kleine Winkel  $\Theta$  und  $E' = P$  erhält man

$$W_s \cong \frac{m P^2}{x_3}, \text{ analog Gl. 156.}$$

Bei Leerlauf macht sich die Compoundierung nicht bemerkbar. Für Winkel  $\Theta$  bis ca.  $10^\circ$  kann man setzen

$$W_s = \frac{m P^2}{x_3 (x_2 - b)} \left[ r_a \left( \frac{2 x_3}{x_2 - b} - 1 \right) \Theta + (x_2 - b) \right] \quad (174)$$

In Fig. 248 sind 3 Kurven für  $W_a$  und für  $W_s$  nach der genauen Formel berechnet und aufgezeichnet.

$$E' = P = 3500 \text{ Volt.}$$

$$r_a = 0,6 \, \Omega, \quad x_2 = 15 \, \Omega, \quad x_3 = 10 \, \Omega$$

$$b = 12 \, \Omega, \quad a = 2 \, \Omega.$$

Die Kurven III beziehen sich auf den nicht kompondierten Generator ( $a=b=0$ ), die Kurven II auf die Kompondierung auf Wattstrom ( $a \neq 0, b=0$ ), die Kurven I auf die Kompondierung auf Wattstrom und auf wattlosen Strom ( $a \neq 0, b \neq 0$ )

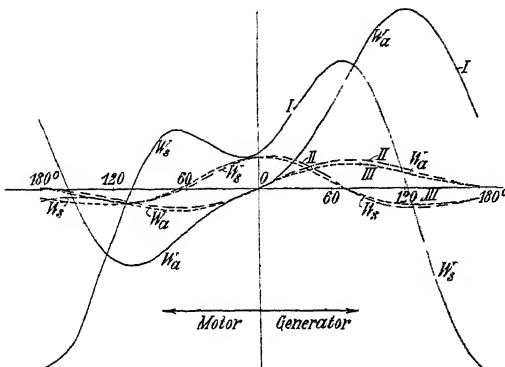


Fig. 248 Drehmoment  $W_s$  und synchronisierende Kraft  $W_s'$ .

- I. Für den vollständig richtig kompondierten Generator
- II. Für den auf Wattstrom kompondierten Generator.
- III. Für den nicht kompondierten Generator.

man den Ausgleichstrom und die Differenzleistung ausrechnet, erhält man für kleine  $\delta$

$$2 W_s = m \frac{E'^2}{x_3} \sin \delta = m \frac{P^2}{x_3} \sin \delta. \quad (175)$$

analog Gl. 164, S. 315 und Gl. 156, S. 311.

### 83. Das Drehmoment der Dämpferwicklung bei kleinen Schwingungen<sup>1)</sup>.

Das durch eine Dämpferwicklung in den Polschuhen erzeugte Drehmoment, das der Relativgeschwindigkeit  $\frac{d\theta}{dt}$  proportional ist, läßt sich bestimmen, wenn man die in den Dämpferstäben fließen-

<sup>1)</sup> s W. O. Schumann, Diss Karlsruhe 1912.

Man sieht, welcher geringen Einfluß die Kompondierung auf Wattstrom hat, und daß sie bei einem Motor die synchronisierende Kraft verkleinert. Dagegen zeigt sich die starke Wirkung der Kompondierung auf wattlosen Strom, die freilich erst bei großen Winkeln  $\theta$  voll zur Geltung kommt.

Bei zwei parallel geschalteten leerlaufenden Maschinen macht sich die Kompondierung, wie zu erwarten, nicht bemerkbar. Wenn

den Strome und das Feld kennt, in dem diese Stäbe sich befinden. In einfacher Weise können wir diese Aufgabe lösen, wenn wir die Ankerwicklung und die Dampferwicklung als einen Transformator betrachten. Der schwankende Ankerstrom ist der Magnetisierungsstrom dieses Transformators.

In der Dampferwicklung werden durch das pulsierende Langs- oder Quersfeld EMKe und Strome erzeugt. Bei der Bestimmung dieser Strome braucht man nur den Ohmschen Widerstand der Dampferwicklung zu berücksichtigen, da die Streuung wegen der sehr geringen Periodenzahl der Strome nur einen sehr geringen Einfluß hat.

Wie beim Transformator, nehmen wir auch hier an, daß das magnetisierende Feld bei Belastung ungefähr das gleiche bleibt wie bei Leerlauf, d. h. stromloser Dampferwicklung. Wir bestimmen daher den Strom, der das magnetisierende Feld erzeugt, aus dem Diagramm der Synchronmaschine für pendelfreien Lauf für den normalen Phasenverschiebungswinkel  $\Theta_m$  und rechnen ebenfalls, da wir nur kleine Pendelungen voraussetzen, für diesen Winkel  $\Theta_m$  die Werte  $\frac{\partial J_w}{\partial \Theta}$  und  $\frac{\partial J_{wl}}{\partial \Theta}$  aus, die für die Pulsation des Ankerfeldes maßgebend sind. Da wir vorläufig nur eine Dampferwicklung, deren Stäbe pro Pol kurzgeschlossen sind, betrachten, vernachlässigen wir den verzerrten Teil des Feldes zwischen den Polen und ersetzen alle Feldkurven durch Sinuslinien, die sich den wirklichen Formen möglichst anschmiegen. Die ohne Dampferwicklung auf den Luftspalt und das Eisen eines magnetischen Kreises wirkenden MMKe sind erstens die über die Polschuhbreite konstante MMK der Gleichstromerregung des Polrades und zweitens die MMK des Ankers, die relativ zur Polmitte in bezug auf die Erreger-AW nach dem Gesetz

$$-2 A \sin\left(\frac{x}{\tau} \pi + \psi\right)$$

verteilt ist, wobei  $\psi$  den Phasennacheilungswinkel des von der Maschine abgegebenen Stromes bedeutet. Analog einer in E. Arnold, „Die Gleichstrommaschine“ Bd. I, S. 322 angegebenen Methode kann man die entsprechenden Induktionskurven bestimmen und diese durch Sinuslinien ersetzen. Die Amplitude der Sinuslinie für das Leerlaufsfeld nennen wir  $B_p$ . Sie wird in den meisten Fällen ziemlich nahe  $B_l$ , der maximalen Luftinduktion, liegen. Die Amplitude des längsmagnetisierenden Feldes setzen wir proportional dem wattlosen Strom, gleich  $\alpha J_w$ ; die des quermagnetisierenden Feldes, wie sie der sinusförmigen Verteilung über dem Polschuh entspricht, gleich  $\beta J_w$ . Die Konstante  $\alpha$  ergibt sich zu

$$\alpha = 0,9 \varrho_1 \frac{B_l x_{s2}}{E k_0} \quad . \quad . \quad . \quad . \quad . \quad (176)$$

die Konstante  $\beta$  zu

$$\beta = 0,9 \varrho_2 \frac{B_l x_{s3}}{E k_q} \quad . \quad . \quad . \quad . \quad . \quad (177)$$

$\varrho_1$  bedeutet das Verhältnis der Amplitude der äquivalenten Sinuslinie zu der wirklichen Amplitude des Ankerlängsfeldes, die mit der MMK  $2A \sin \psi$  aus der Leerlaufcharakteristik zu bestimmen ist.  $\varrho_1$  ist etwas kleiner wie eins. Analog bedeutet  $\varrho_2$  das Verhältnis der Amplitude des äquivalenten sinusförmigen Querfeldes zu der Amplitude des Querfeldes, die man erhält, wenn man die MMK

$2A \cos \psi$  in dem geradlinigen Teile der Leerlaufcharakteristik, vom Ursprung aus gerechnet, einträgt.  $\varrho_2$  kann bei Polschuhen, bei denen der Luftspalt gegen die Polkanten zunimmt, ziemlich viel kleiner als eins werden, da die größten Werte des Querfeldes dort auftreten, wo der Luftspalt am größten ist. Bei konstantem Luftspalt über dem Polschuh wird auch  $\varrho_2$  nahezu eins. Die Feldänderungen setzen wir proportional den Stromänderungen, was für

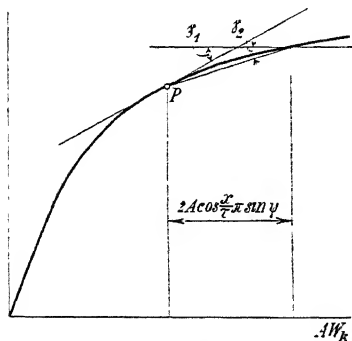


Fig 249.

kleine Schwingungen zulässig ist. Für das Ankerlängsfeld ist die Proportionalitätskonstante nicht gleich  $\alpha$  wegen der Eisensättigung, sondern im allgemeinen größer. Wir berücksichtigen dies dadurch, daß wir bei der Änderung des Längsfeldes in die Konstante  $\alpha$  nicht den Wert  $x_{s2}$  einführen, sondern einen vergrößerten Wert  $x'_{s2}$ , der durch

$$x'_{s2} = x_{s2} \frac{\operatorname{tg} \gamma'_1}{\operatorname{tg} \gamma'_2} \quad . \quad . \quad . \quad . \quad . \quad (178)$$

bestimmt ist (s. Fig. 249). Der Wert  $x$  zur Bestimmung des Punktes P wird ungefähr  $1/3$  bis  $1/2$  der halben Polbreite gewählt.

Die resultierende Feldverteilung über dem Polschuh ist also durch

$$B_x = B_{lx} + B_{qx} = (B_p - \alpha J_{wl}) \cos \frac{x}{\tau} \pi - \beta J_w \sin \frac{x}{\tau} \pi \quad (179)$$

dargestellt, wo positives  $J_{wl}$  von der Maschine abgegebenen nach-eilenden Strom bedeutet.

Die Ströme  $J_u$  und  $J_{ul}$  berechnen wir nach dem Diagramm der Synchronmaschine, Fig. 240 S. 304. s. Gl. 147, 148, S. 305. zu

$$J_u = \frac{E r_a - P(r_a \cos \Theta - x_2 \sin \Theta)}{r_a^2 + x_2 x_3},$$

$$J_{ul} = \frac{E x_3 - P(x_3 \cos \Theta - r_a \sin \Theta)}{r_a + x_2 x_3},$$

die für den Fall konstanter Reaktanz  $x_2 = x_3 = x$  in

$$\left. \begin{aligned} J_u &= \frac{1}{z_k} [E \sin \psi' + P \sin (\Theta - \psi')] \\ J_{ul} &= \frac{1}{z_h} [E \cos \psi' - P \cos (\Theta - \psi')] \end{aligned} \right\} \dots \dots (180)$$

übergehen. Es ist hier

$$z_k = \sqrt{r_a^2 + x^2} \quad \operatorname{tg} \psi' = \frac{r_a}{x}.$$

Zur Berechnung der Ströme der Dampferwicklung betrachten wir die beiden pulsierenden Feldkomponenten getrennt für sich. Jedes Feld induziert in der Wicklung einen Strom. Man zerlegt die Wicklung in einzelne Maschen und bestimmt die Ströme in den Maschen durch die entsprechende Flußvariation. Sind die Ströme bestimmt, so erhält man das Drehmoment jeder Masche als

$$\vartheta = i \frac{\delta \Phi}{\delta \psi},$$

wo  $\delta \Phi$  die virtuelle Zunahme des Flusses im Sinne des vom Strome  $i$  erzeugten Flusses bei einer kleinen virtuellen Drehung  $\delta \psi$  bedeutet. Schließlich addiert man die Drehmomente aller Maschen, erhält das Drehmoment pro Pol, und wenn man mit  $2p$  multipliziert, das Drehmoment der ganzen Maschine.

Führt man diese Rechnung aus, die wir als etwas zu umständlich übergehen, so erhält man als Resultat:

$$\text{I. } \vartheta_1 = -0,082 \varrho_1 \varrho_2 \frac{x_{s2}' x_{s3}}{k_0 k_q} \frac{1}{R} \left( \frac{p \Phi 10^{-8}}{a_i E} \right) J_w \frac{\partial J_{ul}}{\partial \Theta} K_e \frac{d \Theta}{d t} \text{ Dim} \quad (181)$$

$$\vartheta_1 = -18,45 \varrho_1 \varrho_2 \frac{x_{s2}' x_{s3}}{k_0 k_q} \frac{1}{R} \frac{1}{(k n w a_i)^2} J_w \frac{\partial J_{ul}}{\partial \Theta} K_e \frac{d \Theta}{d t} \text{ Dim} \quad (182)$$

$$K_e = \left( Z - \frac{\sin Z \frac{y}{\tau} \pi}{\sin \frac{y}{\tau} \pi} \right) \dots \dots \dots (182a)$$



als Drehmoment des vom Längsfeld induzierten Stromes mit dem Querfeld.

$$\text{II. } \vartheta_2 = 0,082 \varrho_1 \varrho_2 \frac{x_{s2} x_{s3}}{k_0 k_q} \frac{1}{R} \left( \frac{p \Phi 10^{-8}}{a_i E} \right) \left( \frac{B_p}{a} - J_{wl} \right) \frac{\partial J_w}{\partial \Theta} K_q \frac{d\Theta}{dt} \text{ Dim} \quad (183)$$

$$\vartheta_2 = 18,45 \varrho_1 \varrho_2 \frac{x_{s2} x_{s3}}{k_0 k_q} \frac{1}{R} \frac{1}{(knw a_i)^2} \left( \frac{B_p}{a} - J_{wl} \right) \frac{\partial J_w}{\partial \Theta} K_q \frac{d\Theta}{dt} \text{ Dim} \quad (184)$$

$$K_q = \left( \frac{2}{Z} \frac{\sin^2 Z \frac{y}{2\tau} \pi}{\sin^2 \frac{y}{2\tau} \pi} - \frac{\sin Z \frac{y}{\tau} \pi}{\sin \frac{y}{\tau} \pi} - Z \right) \quad (184a)$$

als Drehmoment des vom Querfeld induzierten Stromes mit dem Längsfeld.

Es bedeuten in diesen Formeln

$n$  die Tourenzahl der Maschine,

$\Phi$  den Leerlaufkraftfluß  $B_l l_b$ , der die EMK  $E$  induziert,

$R$  den Ohmschen Widerstand eines Stabes der Dämpferwicklung, der geringe Widerstand der kurzen Querverbindungen ist in der Rechnung vernachlässigt,

$Z$  die Anzahl der in einem Pol befindlichen Dämpferstäbe.

$Z$  ist eine ungerade oder eine gerade Zahl, je nachdem ob in der Mitte des Poles ein Stab liegt oder nicht. Dabei ist angenommen, daß die Stäbe annähernd über die ganze Polbreite verteilt sind.

$y$  bedeutet die Entfernung zweier Dämpferstäbe voneinander, in cm gemessen.

Die Drehmomente  $\vartheta$  sind in Dezimegadynenmetern (abgekürzt Dim) gemessen<sup>1)</sup>.

<sup>1)</sup> Die Spannungen sind in Volt, die Ströme in Ampere gemessen. Die entsprechenden Leistungen sind in Watt bzw. KW zu messen.

$$1 \text{ Di} = 10^5 \text{ Dynen} = \frac{1}{9,81} \text{ kg}$$

Die Leistung einer Di bei der Geschwindigkeit 1 m/sek ist gleich  $10^7 \frac{\text{Joule}}{\text{sek}}$  oder gleich 1 Watt. Wirkt eine Di am Hebelarm 1 m, so ist das Drehmoment 1 Dezimegadynenmeter = 1 Dim und die Leistung dieses Drehmoments bei der Winkelgeschwindigkeit eins ist wieder 1 Watt, also

$$\vartheta_{\text{Dim}} \omega = \text{Leistung}_{\text{Watt}}.$$

Daher ist diese Einheit das geeignetste Maß des mechanischen Drehmoments für Rechnungen mit den elektrotechnischen Maßeinheiten.

Das resultierende Dämpfungsmoment ist durch die Summe beider Momente bestimmt

$$\vartheta_R = \vartheta_1 - \vartheta_2 = D \frac{d\Theta}{dt} = (D_1 + D_2) \frac{d\Theta}{dt} \quad (185)$$

$D$  bedeutet die in die Differentialgleichung der Pendelbewegung einzuführende Konstante. Stellt man die Differentialgleichung als Leistungsgleichung auf (s. S. 380), so ist dann mit zulässiger Annäherung für kleine Schwingungen  $W_D = D\Omega_m$  als entsprechende Konstante einzuführen.  $\Omega_m$  bedeutet die mittlere Winkelgeschwindigkeit der Maschine.

#### 84. Abhängigkeit des Drehmoments der Dämpferwicklung von der Anordnung der Dämpferstäbe und von den Maschinenkonstanten. Berechnungsbeispiel.

Da  $J_w$ ,  $J_{ul}$ ,  $\frac{\partial J_w}{\partial \Theta}$  und  $\frac{\partial J_{ul}}{\partial \Theta}$  von dem normalen Betriebszustande der Maschine abhängen, ist die Dämpfungskonstante  $D$  für verschiedene Betriebsbedingungen für die gleiche Maschine verschieden. Sie kann deshalb auch nicht gemessen werden, indem man die Maschine als Asynchronmotor ohne Erregung laufen läßt, man mißt nur Mittelwerte, die mit dem beim Pendeln auftretenden Momentanwert für ein bestimmtes  $\Theta_m$  nichts zu tun haben. Außerdem ist  $D$  auch noch von der Erregung abhängig.

Die Abhängigkeit des Drehmomentes von der Wicklungsanordnung zeigt sich in den Gl. 181 bis 184 in den Faktoren

$$Z = \frac{\sin Z \frac{y}{\tau} \pi}{\sin \frac{y}{\tau} \pi} = K_e \quad (186)$$

und

$$\frac{Z}{Z} \frac{\sin^2 Z \frac{y}{2\tau} \pi}{\sin^2 \frac{y}{2\tau} \pi} - \frac{\sin Z \frac{y}{\tau} \pi}{\sin \frac{y}{\tau} \pi} - Z = K_g \quad (187)$$

Die dämpfende Wirkung ist der Stabzahl nicht direkt proportional.

In den Fig. 250<sup>1)</sup> und 251 sind  $K_e$  und  $-K_g$  für verschiedene Stabzahlen als Funktion der Weite  $y$  zweier benachbarter Stäbe

<sup>1)</sup> In den Fig. 250 bis 253 sind die Kurven mit geradem  $Z$  fortgelassen, um die Übersichtlichkeit nicht zu storen.

aufgezeichnet.  $K_e$  und  $K_q$  nehmen ziemlich rasch mit wachsender Maschenweite zu, besonders bei großen Stabzahlen. Interessanter

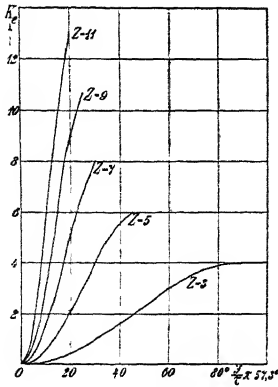


Fig. 250.

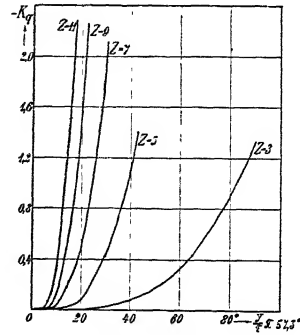


Fig. 251.

sind die Kurven Fig. 252 und 253, die diese Faktoren für verschiedene Stabzahlen als Funktion der gesamten Wicklungsbreite darstellen. Aus diesen Kurven läßt sich bei Annahme einer be-

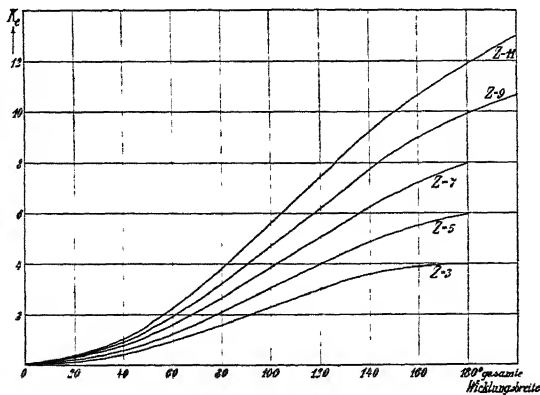


Fig. 252.

stimmten Polbreite, die man bewickeln will, der Einfluß der verschiedenen Unterteilung des zur Verfügung stehenden Kupfers auf das Dämpfungsmoment ersehen. So entnimmt man z. B., daß bei einer Gesamtwicklungsbreite von 135 elektrischen Graden der Faktor  $K_q$  für  $Z=11$  das Doppelte des Faktors für  $Z=3$  ist, daß also die Verdopplung der Dämpferwirkung des Querfeldes nur durch den  $\frac{11}{3} = 3,67$ fachen Kupferquerschnitt zu erreichen ist und daß

der Faktor  $K_e$  durch diese Vergrößerung des Kupferaufwands auf das 2.55fache steigt. Wie ein gegebener Kupferquerschnitt am

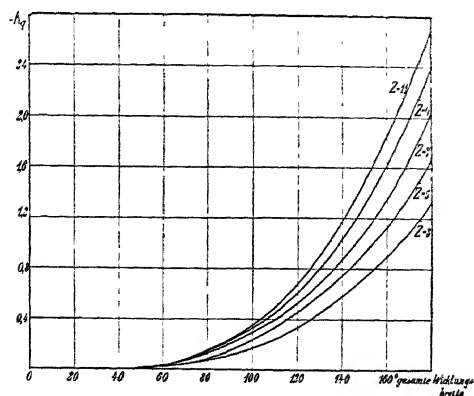


Fig. 253.

günstigsten ausgenutzt wird, zeigen die Fig. 254 und 255, die aus den beiden letzten Figuren abgeleitet sind und für verschiedene Gesamtwicklungsbreiten die Faktoren  $\frac{K_e}{R}$  und  $-\frac{K_q}{R}$  für verschiedene

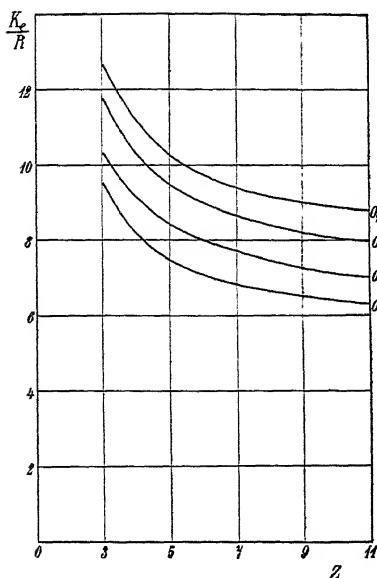


Fig. 254

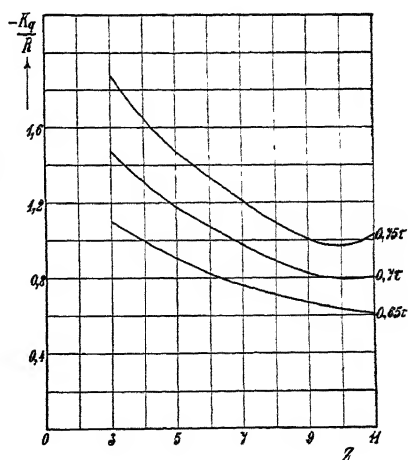


Fig. 255.

<sup>1)</sup> Für  $Z=11$  und die Wicklungsbreite  $0,65\tau$  ist  $R=1$  gesetzt, um einen Ordinatenmaßstab zu haben.

Unterteilungen der Gesamtwicklungsbreite bei konstantem Gesamtkupferquerschnitt enthalten, so daß z. B. für  $Z=3$  der Querschnitt eines Stabes das  $\frac{11}{3}$ fache des Querschnittes eines Stabes für  $Z=11$  ist. Die beste Ausnutzung bei gegebenem Kupferquerschnitt wird, wie man sieht, durch möglichst geringe Unterteilung der Wicklung erhalten. Der Faktor  $K_q$  ist bedeutend kleiner als der Faktor  $K_e$ , weil die induzierende Wirkung des Langfeldes durch die Anordnung der Wicklung bedeutend besser ausgenutzt wird als die des Querfeldes, denn für das Querfeld kommt der Mittelleiter als Rückleiter sämtlicher Ströme der anderen Stäbe in Frage. Die Wirkung könnte noch wesentlich verstärkt werden, wenn man nicht allen Stäben den gleichen Querschnitt gäbe, sondern den Stäben in der Mitte einen größeren als den andern außen gelegenen Stäben.

Die Formeln gelten auch für den einfachen Fall,  $Z=2$ , d. h. wenn die Dämpferwicklung aus einem einfachen Ring um die Pole besteht.  $K_q$  wird in diesem Falle zu Null, das Querfeld hat keine induzierende Wirkung mehr. Es ist aber diese Dämpfung, wie wir sehen werden, nicht sehr wirksam, und die Wicklung mit  $Z=3$ , d. h. der Ring mit einem Querstab in der Mitte, gibt eine bedeutend bessere Wirkung.

#### Einfluß des Betriebszustandes der Maschine.

Dieser Einfluß zeigt sich in den Großen  $x_{s2}$ ,  $x'_{s2}$ ,  $B_p$ ,  $J_w$ ,  $J_{wl}$ ,  $\frac{\partial J_w}{\partial \Theta}$  und  $\frac{\partial J_{wl}}{\partial \Theta}$ .  $x_{s2}$  und  $x'_{s2}$  sind von der Erregung und der Magnetisierungskurve der Maschine abhängig. Je stärker die Maschine gesättigt und erregt ist, desto kleiner werden sie.

Für die Konstanten  $D_1$  und  $D_2$  kommen in erster Linie die Glieder  $J_w \frac{\partial J_{wl}}{\partial \Theta}$  und  $\left(\frac{B_p}{c} - J_{wl}\right) \frac{\partial J_w}{\partial \Theta}$  in Betracht.

Für die Maschine konstanter Reaktanz ergibt sich das Produkt

$$J_w \frac{\partial J_{wl}}{\partial \Theta} = \frac{P}{z_k} [E \sin \psi' \sin (\Theta - \psi') - P \sin^2 (\Theta - \psi')] . \quad (188)$$

nach Gl. 180

In Fig. 256 ist der Klammerausdruck dieser Gleichung als Funktion von  $\Theta$  dargestellt. Die Konstante  $D_1$  ist für kleine  $\Theta$  sehr klein und nimmt stark mit  $\Theta$  zu. Für  $\Theta=0$  verschwindet sie. Bei einem Generator ist sie im allgemeinen etwas größer als bei einem Motor. Bei kleinem negativen  $\Theta$  wird  $D_1$  negativ, d. h. es entsteht ein sog. negatives Dämpfungsmoment, das beim Voreilen der Maschine beschleunigend, beim Zurückbleiben verzögernd wirkt,

also bestrebt ist, die Maschine außer Trutt zu werfen. Die Erscheinung hängt mit dem eigentümlichen Charakter des Ankerfeldes während der Pendelungen zusammen, das keineswegs ein reines Drehfeld ist, sondern auch Pendelungen in Geschwindigkeit und Amplitude ausführt. Während also die Pulsation des Langsfeldes nur einen geringen, unter Umständen schädlichen Einfluß hat, ist es die Pulsation des Querfeldes, die bei kleinen Winkeln  $\Theta_m$  das eigentliche dämpfende Moment mit dem Hauptgleichstrom-felde ergibt.

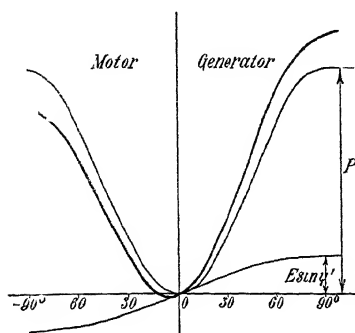


Fig 256. Dampferwirkung des Langsfeldes bei konstanter Reaktanz

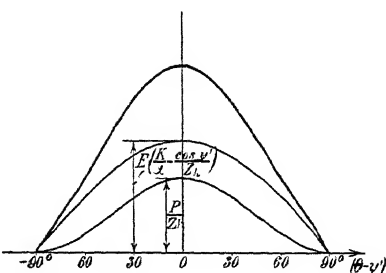


Fig 257. Dampferwirkung des Querfeldes bei konstanter Reaktanz

Die Konstante  $D_2$  ist proportional  $\left(\frac{B_p}{\alpha} - J_{wl}\right) \frac{\partial J_w}{\partial \Theta}$ .

Setzen wir

$$B_p = KE,$$

so erhalten wir nach Gl. 180

$$\left(\frac{B_p}{\alpha} - J_{wl}\right) = E \left(\frac{K}{\alpha} - \frac{\cos \psi'}{z_k}\right) + \frac{P}{z_k} \cos(\Theta - \psi') \quad (189)$$

und

$$\left(\frac{B_p}{\alpha} - J_{wl}\right) \frac{\partial J_w}{\partial \Theta} = \frac{P}{z_k} \left[ E \left(\frac{K}{\alpha} - \frac{\cos \psi'}{z_k}\right) \cos(\Theta - \psi') + \frac{P}{z_k} \cos^2(\Theta - \psi') \right] \quad (190)$$

$\frac{K}{\alpha}$  ist meistens von gleicher Größenordnung, aber größer als  $\frac{\cos \psi'}{z_k}$ .

In Fig. 257 ist der Klammerausdruck der Gl. 190 dargestellt. Das Drehmoment  $D_2$  verhält sich ganz anders als  $D_1$ . Es ist ein Maximum für  $\Theta = \psi' \cong 0$  und wird für  $\Theta \cong 90^\circ$  zu Null. Es ist das eigentliche Dämpfungsmoment für kleine Winkel  $\Theta_m$ . Im allgemeinen nimmt  $D_2$  mit der Erregung zu, aber auch bei unerregter Maschine ist es vorhanden. Freilich ist  $D_2$  für  $\Theta = 0$

wegen der Kleinheit von  $K_q$  gegen  $K_e$  bedeutend kleiner als  $D_1$  für  $\Theta = 90^\circ$ .

Bei variabler Reaktanz ändern sich die Verhältnisse ein wenig.

Nach den Gl. 147, 148 läßt sich  $J_u \frac{\partial J_{wl}}{\partial \Theta}$  sehr annähernd darstellen als:

$$J_u \frac{\partial J_{wl}}{\partial \Theta} = \frac{P^2}{x_2 x_3} \left[ \sin^2 \Theta - \frac{r_a}{x_2} \left( \frac{E}{P} \sin \Theta - \frac{x_2 + x_3}{x_2 x_3} \sin 2\Theta \right) \right]. \quad (191)$$

Ist der Ohmsche Widerstand sehr klein, so verläuft  $D_1$  wie in Fig. 256 nach der  $\sin^2 \Theta$ -Kurve. Bei größeren Werten des Ohmschen Widerstandes erhält man die Kurve Fig. 258 für den Klammerausdruck.

Für die Querfeldwirkung erhält man den Ausdruck

$$\left( \frac{B_p}{\alpha} - J_{ul} \right) \frac{\partial J_w}{\partial \Theta} = \frac{P^2}{x_2 x_3} \left\{ \frac{E}{P} \left( \frac{K}{\alpha} - \frac{1}{x_2} \right) x_2 \cos \Theta + \cos^2 \Theta - \frac{r_a}{x_2} \left( \frac{E}{P} \left( \frac{K}{\alpha} - \frac{1}{x_2} \right) x_2 \sin \Theta - \frac{x_2 + x_3}{2 x_3} \sin 2\Theta + \frac{r_a}{x_3} \sin^2 \Theta \right) \right\}. \quad (192)$$

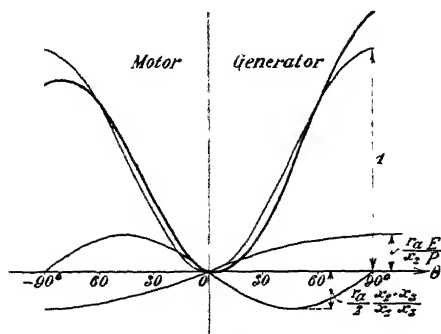


Fig. 258.

Die Glieder in der eckigen Klammer sind klein gegen die beiden ersten, so daß man einen ganz ähnlichen Verlauf erhält, wie in Fig. 257.

Die Stromwärmeverluste in der Dämpferwicklung sind sehr gering, so daß die ihnen entsprechende Leistung nicht in Frage kommt. Nur ein ganz kleiner Teil der mechanischen Energie wird in

Wärme umgesetzt, der weitaus größte Teil wird transformatorisch als neue (asynchrone) Leistung auf das Netz übertragen.

Beispiel einer nachgerechneten Wicklung.

Es sei eine Maschine gegeben:

500 KVA, 94 Umdr. i. d. Min.,

4000 Volt verkettete Spannung.

$p = 32$        $k = 1,07$        $w = 512$        $\alpha_i = 0,65$   
 $k_0 = 0,75$        $k_g = 0,25$        $b_i = 14$  cm.

Es sei für diese eine Dampferwicklung nach Fig. 259 entworfen.

Die Dampferwicklung ist entworfen unter Annahme einer maximalen Induktion von 15000 im Polschuh. Der Stabquerschnitt beträgt 280 qmm, der Widerstand  $R$  eines Stabes  $1,52 \cdot 10^{-5} \Omega$

Die gesamte Wicklungsbreite beträgt  $93,5^\circ$  elektrische Grade, und da  $Z=5$  ist, ergibt sich

$$K_q = -0,18 \quad K_e = 2,7.$$

Für diese Maschine wurden für drei verschiedene Fälle

1.  $E = P = 2310$  Volt
2.  $E > P$       $E = 2620$  Volt      $P = 2310$  Volt
3.  $E < P$       $E = 2000$  Volt      $P = 2310$  Volt

unter Annahme konstanter Klemmenspannung, was das Parallelarbeiten mit vielen großen Maschinen voraussetzt, die Werte  $J_w$ .

$J_{wl}$   $\frac{\partial J_w}{\partial \Theta}$  und  $\frac{\partial J_{wl}}{\partial \Theta}$  nachgerechnet.

Die Konstanten waren:

$$r_a = 1 \Omega, \quad x_{s1} = 3,24 \Omega, \quad x_{s3} = 3,6 \Omega, \quad x_s = 6,84 \Omega.$$

1.  $x_2 = 8,34 \Omega$       $x_{s2} = 5,1 \Omega$       $B_p = 7520$       $\alpha = 19,9$
2.  $x_2 = 6,24 \Omega$       $x_{s2} = 3 \Omega$       $B_p = 8540$       $\alpha = 11,73$
3.  $x_2 = 8,94 \Omega$       $x_{s2} = 5,7 \Omega$       $B_p = 6510$       $\alpha = 22,3.$

$x_{s'2}$  wurde als gleich  $x_{s2}$  angenommen.  $q_1, q_2 \cong 1$  und  $B_p \cong B_l$  gesetzt.

Die Konstanten  $D_1$  und  $D_2$  ergaben sich zu

1. 
$$\begin{cases} D_1 = -0,276 J_w \frac{\partial J_{wl}}{\partial \Theta} \\ D_2 = -0,0184 \left( \frac{B_p}{\alpha} - J_{wl} \right) \frac{\partial J_w}{\partial \Theta} \end{cases}$$
2. 
$$\begin{cases} D_1 = -0,1623 J_w \frac{\partial J_{wl}}{\partial \Theta} \\ D_2 = -0,011 \left( \frac{B_p}{\alpha} - J_{wl} \right) \frac{\partial J_w}{\partial \Theta} \end{cases}$$
3. 
$$\begin{cases} D_1 = -0,308 J_w \frac{\partial J_{wl}}{\partial \Theta} \\ D_2 = -0,021 \left( \frac{B_p}{\alpha} - J_{wl} \right) \frac{\partial J_w}{\partial \Theta} \end{cases}$$

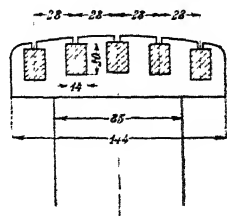


Fig. 259



In Fig. 260 sind die Konstanten  $D_1$ ,  $D_2^1$  und  $D_2^2$  dargestellt.  $D_2^1$  ist die Komponente der Konstanten  $D_2$ , die durch  $\frac{B_p}{c}$  bedingt ist,  $D_2^2$  jene, die durch  $-J_{ul}$  erzeugt wird. Die Kurve für  $D_2^2$  ist ihrer Kleinheit halber in 20fach größerem Maßstab gezeichnet, als die Kurven für  $D_1$  und  $D_2^1$ . Die normalen Werte von  $D$  sind nach unten, negativ, abgetragen, da bei positivem  $\frac{d\Theta}{dt}$  die Konstante  $D$  negativ sein soll. Man sieht, wie klein  $D_2^2$  gegen  $D_2^1$  ist, und dieses wieder für große  $\Theta$  gegen  $D_1$ .

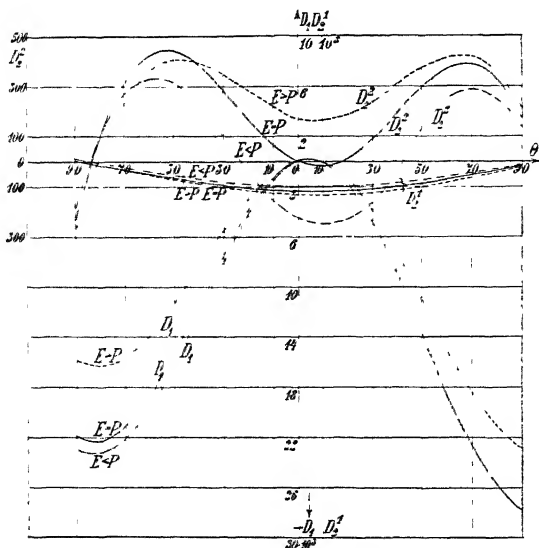


Fig. 260. Dämpfungskonstanten einer 500 KVA-Maschine als Funktion des Winkels  $\Theta$ .

Nur für den praktisch wichtigen Fall kleiner  $\Theta$  ist  $D_1$  kleiner als  $D_2^1$ .  $D_2$  ist der Hauptsache nach das praktisch in Frage kommende Dämpfungsmoment, das also durch die Pulsation des Querfeldes und das Leerlauf Feld erzeugt wird. In Fig. 261 sind  $D_1$  und  $D_2$  noch einmal gezeichnet und zur resultierenden Dämpfungskonstanten  $D$  zusammengesetzt.

Die betrachtete Maschine erreicht ihre normale Leistung von 500 KW für  $E > P$  als Generator bei  $\Theta = 14^\circ$ . Die entsprechende Dämpfungskonstante ist  $-3300$ . Bei einem Ungleichförmigkeitsgrad von  $\frac{1}{250}$  beträgt die maximale Schlüpfung für eine Sinusschwingung  $\frac{\delta}{2} = \frac{1}{500} = 0,2\%$ .

Die mittlere Winkelgeschwindigkeit der Maschine ist 9.86, so daß sich  $\left(\frac{d\Theta}{dt}\right)_{max} = s_{max} \Omega_{max} = 0,0197$  ergibt. Daraus findet man  $\left(\frac{d\Theta}{dt}\right)_{max} = p \left(\frac{d\Theta}{dt}\right)_{max} = 0,63$ .

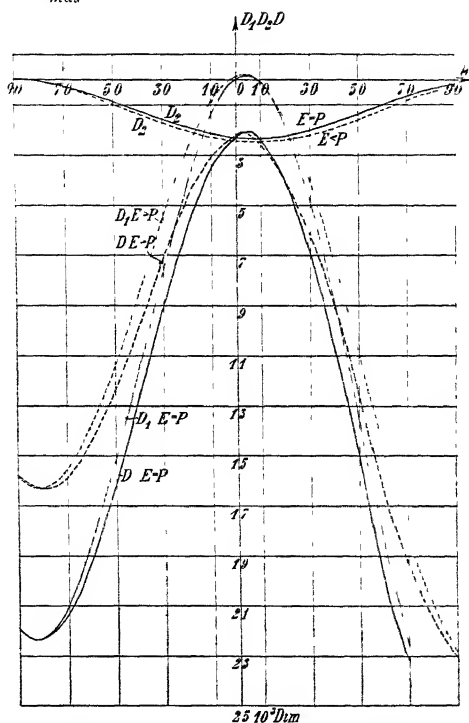


Fig. 261. Resultierende Dämpfungskonstante  $D$  einer 500 KVA-Maschine.

Es ist also das maximale auftretende Dämpfungsmoment 2080 Dim und die maximale Dämpferleistung 20,5 KW oder 4,1% der Maschinenleistung.

Bei Halblast, 250 KW,  $\Theta = 7^\circ$  und  $D = -2300$  und für  $\delta = \frac{1}{250}$  ist die maximale Dämpferleistung 17,65 KW, d. h. 7,06% der Maschinenleistung. Bei Leerlauf ist die maximale Dämpferleistung bei dieser Maschine auch 17,65 KW.

## 85. Die Käfigwicklung als Dämpferwicklung.

Wenn man die in den verschiedenen Polen liegenden Stäbe miteinander verbindet, so erhält man eine Art Käfigwicklung, die viel stärker wirkt als die bisher besprochene Wicklung, da nun

das Querfeld viel günstiger ausgenützt wird. Die Wirkung des pulsierenden Langsfeldes ist genau die gleiche wie im vorherbeschriebenen Falle.

Rechnet man wieder die vom Querfeld induzierten Ströme und deren Drehmoment mit dem Langsfeld aus, so erhält man

$$\mathfrak{D}_2 = -18,4 \frac{x_{s2} x_{s3}}{k_0 k_q} q_1 q_2 \frac{1}{R} \frac{1}{(k n w a)^2} \left( \frac{B_p}{a} - J_{wl} \right) \frac{\partial J_w}{\partial \Theta} (K'_q + a) \frac{d\Theta}{dt} \text{ Dim} \quad (193)$$

$$\mathfrak{D}_2 = -0,082 q_1 q_2 \frac{x_{s2} x_{s3}}{k_0 k_q} \frac{1}{R} \left( \frac{p \Phi 10^{-8}}{a E} \right)^2 \left( \frac{B_p}{a} - J_{wl} \right) \frac{\partial J_w}{\partial \Theta} (K'_q + a) \frac{d\Theta}{dt} \text{ Dim} \quad (194)$$

wo

$$K'_q = Z + \frac{\sin Z \frac{y}{2\tau} \pi}{\sin \frac{y}{2\tau} \pi} \quad . \quad . \quad . \quad (195)$$

wieder eine Art Wicklungsfaktor,

$$\alpha = \frac{1}{2R + Zr} \frac{\sin Z \frac{y}{2\tau} \pi}{\sin \frac{y}{2\tau} \pi} \left( 4R\varepsilon - 2r \frac{\sin Z \frac{y}{2\tau} \pi}{\sin \frac{y}{2\tau} \pi} \right) \quad (196)$$

und

$$\varepsilon = 1 - \alpha_1 \frac{\pi}{2} \gamma - \frac{\cos \pi \alpha_1}{2}$$

ist.

Es bedeuten in diesen Formeln

$R$  Widerstand eines Stabes,

$Z$  Stabzahl pro Pol,

$r$  Widerstand einer Verbindung zwischen zwei Polen,

$y$  Stabentfernung in cm,

$\alpha_1$  Füllfaktor,

$\gamma = \frac{\text{wirkliche Größe der Induktion des Querfeldes zwischen}}{\beta J_w} = \frac{\text{die der Sinuslinie über den Polschuhen entsprechende}}{\text{den Polkanten}} \cdot \frac{\text{Amplitude}}{\text{Amplitude}}$

$\gamma < 1$ .

Der Faktor  $\varepsilon$  ist negativ und berücksichtigt die Verkleinerung des Querflusses durch die Einsattelung zwischen den Polen. Der Faktor  $\alpha$  ist immer negativ. Der erste Teil berücksichtigt die Einsattelung des Feldes zwischen den Polen, der zweite die Verklei-

nerung der Wirkung der Dämpferwicklung durch den endlichen Widerstand der Verbindungen der einzelnen Pole.  $K_q' - a$  ist immer positiv.

## 86. Abhängigkeit des Drehmomentes einer Käfigwicklung als Dämpferwicklung von der Wicklungsanordnung und den Maschinenkonstanten. Berechnungsbeispiel.

Die einfachste Dämpferwicklung dieser Art besteht aus einem Stab pro Pol, der in der Mitte des Poles angebracht ist. Es ist  $Z=1$ ,  $K_q'=2$  und  $a=\frac{1}{2R+r}(4R\varepsilon-2r)$ .

In Fig. 262 ist der Faktor  $K_q'$  für verschiedene  $Z$  als Funktion der Entfernung zweier Stäbe  $y$  aufgetragen. Wie zu erwarten, nimmt  $K_q'$  mit wachsendem  $y$  ab. In Fig. 263 ist der Faktor als Funktion der gesamten Wicklungsbreite aufgetragen. Schließlich in Fig. 264 ist wieder der Faktor  $\frac{K_q'}{R}$  für konstanten Gesamtkupferquerschnitt dargestellt.

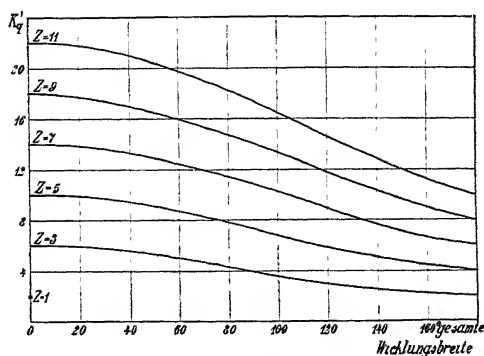


Fig. 263.

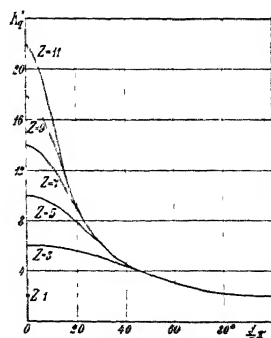


Fig. 262

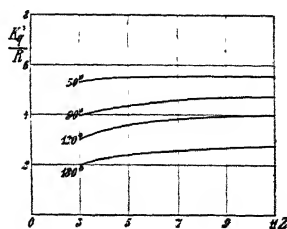


Fig. 264.

Es ist wieder für  $Z=3$  und die Wicklungsbreite  $50^\circ$  der Widerstand  $R=1$  gesetzt, um einen Ordinatenmaßstab zu erhalten. Bei geringen Wicklungsbreiten hat die Unterteilung wenig Einfluß, bei größerer wirkt eine größere Unterteilung günstiger. Der Faktor  $K_q'$  ist viel größer als  $K_q$ , was durch die bedeutend günstigere Ausnutzung des Querfeldes bedingt ist.

Bringt man schließlich bei einem nicht stark gesättigten Turbo-

generator mit verteiltem Feldeisen eine gleichmäßig verteilte Dämpferwicklung an, so kann man setzen:

$$r \cong 0, \quad \varepsilon = 0, \quad y = \frac{\tau}{Z}, \quad \frac{yZ}{\tau} = 1.$$

Es wird  $K_q' - a = Z$  und  $K_e$  ebenfalls gleich  $Z$ .

Der Einfluß der Maschinenkonstanten und des Betriebszustandes ist nach Gl. 193 genau der gleiche wie bei der gewöhnlichen Dämpferwicklung. Es gelten wieder dieselben Kurven wie in Fig 256 bis 258. Die Käfigwicklung hat nur einen bedeutend stärkeren Querfeldeffekt.

### Berechnungsbeispiel.

Wir nehmen an, daß bei der schon nachgerechneten Dämpferwicklung Querverbindungen zwischen den einzelnen Polen hergestellt wurden. Da  $Z = 5$ , gesamtewicklungsbreite  $93,5^\circ$ , ist  $K_q'$  nach Fig. 263 gleich 7.1. Es ist  $\alpha_i = 0.65$  und es sei  $\tau \cong \frac{1}{5}$ . Der Widerstand einer Verbindung betrage  $r = 4 \cdot 10^{-6} \Omega$ . Es ergibt sich

$$\varepsilon = -0.43 \quad a = -4.99 \quad (K_q' - a) = 2.01.$$

Aus diesen Werten erhält man die Dämpfungskonstanten

$$1. \quad D_2 = -0.205 \left( \frac{B_p}{\alpha} - J_{ul} \right) \frac{\partial J_u}{\partial \Theta} \quad (E = P)$$

$$2. \quad D_2 = -0.1205 \left( \frac{B_p}{\alpha} - J_{ul} \right) \frac{\partial J_w}{\partial \Theta} \quad (E > P)$$

$$3. \quad D_2 = -0.229 \left( \frac{B_p}{\alpha} - J_{ul} \right) \frac{\partial J_u}{\partial \Theta} \quad (E < P).$$

$D_1$  ist gleich geblieben.

In Fig. 265 sind die Konstanten  $D_1$  und  $D_2$  als Funktion von  $\Theta$  dargestellt und es ist aus ihnen die resultierende Konstante  $D$  gebildet. Infolge der größeren Querfeldwirkung verläuft das resultierende Moment ganz anders wie früher.  $D$  ist sehr groß und ändert sich in dem praktisch wichtigen Gebiet kleiner  $\Theta_m$  nur unwesentlich.

Bei der normalen Generatorleistung von 500 KW für  $E > P$ , die für  $\Theta = 14^\circ$  erreicht wird, beträgt  $D = 27800$ . Bei einem Ungleichförmigkeitsgrade von  $\frac{1}{250}$ , beträgt die maximale Dämpferleistung jetzt 172 KW gleich  $34.5\%$  der normalen Maschinenleistung. Die Wirkung ist durch die Verbindungen zwischen den Polen auf das 8,5fache gestiegen. Bei Leerlauf ist die maximale Dämpferleistung bei  $\delta = \frac{1}{250}$  ca. 160 KW. Freilich liegen die Verhältnisse in der Praxis nicht so günstig wie in diesem Beispiele, da  $\varrho_2$  bedeutend kleiner wie eins werden kann, und die Querfeldwirkung entsprechend geringer wird.

Wir definieren schließlich noch einen Faktor  $g$ , den wir später benutzen werden, durch

$$D = \frac{\vartheta_b g}{p \Omega_m} \quad (197)$$

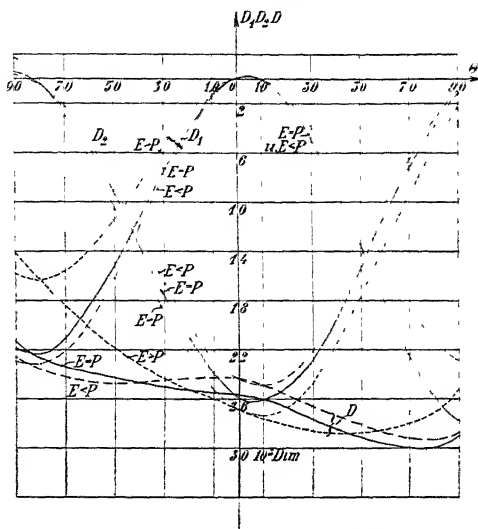


Fig. 265. Dämpfungskonstanten einer 500 KVA-Maschine mit Käfigwicklung als Dämpferwicklung als Funktion des Winkels  $\theta$ .

Es ist das Dämpfungsmoment bei der räumlichen Winkelgeschwindigkeit  $\Omega$  gleich  $Dp(\Omega - \Omega_m)$ . Nennen wir die Geschwindigkeit, bei der es gleich dem normalen Belastungsmoment  $\vartheta_b$  wird,  $\Omega_d$ , so wird

$$Dp(\Omega_d - \Omega_m) = \vartheta_b$$

und

$$\Omega_d = \Omega_m + \frac{\vartheta_b}{Dp}.$$

Es ist also der Faktor  $g$  bestimmt durch:

$$g = \frac{Dp \Omega_m}{\vartheta_b} = \frac{\Omega_m}{\Omega_d - \Omega_m} \quad (198)$$

Wird z. B. bei einer momentanen Schlüpfung von 8% das Drehmoment der Dämpfung gleich dem normalen Belastungsmoment, so ist

$$\Omega_d = 1,08 \Omega_m$$

und

$$g = \frac{\Omega_m}{0,08 \Omega_m} = 12,5.$$

In dem Berechnungsbeispiel auf S. 330 ist  $\Omega_m = 9,86$ ,  $\mu = 32$ ,

$$\vartheta_b = \frac{500000}{9,86} = 50700 \text{ Dim}$$

und für induktive Vollast 500 KW  $D = 3300$ .

Es wird

$$\Omega_D = \Omega_m + 0,47,$$

d. h. erst bei einer momentanen Schlupfung von 47% wird das Dämpfungsmoment gleich dem Belastungsmoment. Daraus

$$g = \frac{1}{0,47} = 2,13.$$

Für Halblast 250 KW wird  $D = 2300$ , die maximale Schlupfung auf das normale Drehmoment  $\vartheta_b$  bei Vollast bezogen 67,5% und  $g = 1,482$ .

Hier wurde das Belastungsmoment, das 250 KW entspricht, schon bei einer momentanen Schlupfung von 33,7% erreicht werden.

Schließlich für den Fall der Käfigwicklung, S 336, ergibt sich für induktive Vollast 500 KW

$$D = 27800.$$

Hier beträgt die Schlupfung, bei der Dämpfungsmoment gleich Belastungsmoment wird, nur 5,7% und der Faktor  $g$  wird 17,5.

## 87. Die Pendelbewegung eines einzelnen Generators, der nicht parallel geschaltet ist. Ableitung der Differentialgleichung.

Nachdem wir nun die verschiedenen Faktoren kennen gelernt haben, die die Bewegung eines Generators beeinflussen, wollen wir nun den einfachsten Fall, die Pendelbewegung eines einzelnen Generators, der von einer Kraftmaschine angetrieben wird und auf ein Netz arbeitet, untersuchen. Wir setzen voraus, daß der Generator eine konstante Erregung besitzt und daß seine Belastung aus Glühlampen besteht.

Wenn in diesem Falle die Kraftmaschine dem elektrischen Generator mechanische Schwankungen aufzwingt, so werden EMK, Klemmenspannung und Strom des Netzes schwanken. Die relative Lage der 3 Vektoren wird aber bei konstanter Admittanz des Netzes sich nicht ändern, weil das ganze Netz den Schwankungen der Maschine folgt. Das ganze Vektordiagramm pendelt und ändert während des Pendelns nur die Länge seiner Vektoren. Es wird also in diesem Falle keine synchronisierende Kraft auftreten. Die Wirkung einer Dämpferwicklung ist in diesem Falle so gering, daß wir sie vernachlässigen wollen.

Es ist also in unserem Falle, abgesehen von nebensächlichen Einflüssen, der Winkel  $\Theta_m$  zwischen Klemmenspannung und EMK konstant, Netzvektor und Polrad pendeln genau synchron. Wenn wir hier von einer Winkelabweichung der Maschine sprechen wollen, so können wir darunter nur den Winkel verstehen, zwischen der momentanen Lage eines Vektors des Diagramms, bzw. des Polrades und der Lage, die dieser Vektor bzw. das Polrad im gleichen Moment bei gleichformiger Drehung einnehmen würden. Dieser Winkel, den wir mit  $\varepsilon$  bezeichnen wollen ist definiert durch  $d\varepsilon = (\omega - \omega_m) dt$  und durch  $\varepsilon = 0$  für  $\omega = \omega_m$ . Der entsprechende räumliche Winkel für das Polrad ist  $\frac{\varepsilon}{p}$ .

Die in das Netz abgegebene Leistung der Maschine (inklusive Stromwärmeverluste im Anker) ist bei konstanter Admittanz gleich  $E^2 g$ , also dem Quadrate der induzierten EMK und damit dem Quadrate der Winkelgeschwindigkeit proportional. Diese Leistung wird in Wärme oder Licht umgesetzt und flutet also nicht mehr zur Maschine zurück. Das dieser Leistung entsprechende Drehmoment ist natürlich proportional der Winkelgeschwindigkeit, und das „Pendeldrehmoment“, das wir uns über das konstante mittlere Gegendrehmoment der Maschine gelagert denken, ist die Differenz zwischen momentaner und mittlerer Winkelgeschwindigkeit proportional. Wir setzen also dieses Drehmoment<sup>1)</sup> gleich

$$N(\omega - \omega_m) = N \frac{d\varepsilon}{dt} \quad . \quad . \quad . \quad (199)$$

und nennen  $N$  die „Netzkonstante“.

Meist wird die Admittanz des Netzes nicht unabhängig von der Spannung sein, wie z. B. bei Glühlampen, und daher wird das Gegendrehmoment der Maschine mit der 2ten bis 4ten Potenz der Winkelgeschwindigkeit variieren.

Die Reibungsverluste, die auch zu dieser Kategorie gehören, ändern sich proportional der 1,5ten Potenz der Geschwindigkeit. Tragen wir nun das der Belastung und Reibung entsprechende Drehmoment als Funktion der Winkelgeschwindigkeit (Fig. 266) auf, so können wir in der Nähe der normalen Geschwindigkeit  $\Omega_m$

<sup>1)</sup> Messen wir die Leistung in Watt, so ist dieses Drehmoment auf den Hebelarm 1 m bezogen, in  $(10^5 \text{ Dynen} \cdot \text{m}) = 1 \text{ Dezimegadynenmeter (Dim)} = \frac{1}{g} \text{ kgm}$  messen. Messen wir die Leistungen in KW, so sind die schwankenden Antriebsmomente in  $\frac{1000}{g} \text{ kgm}$  oder in  $\left( \frac{1,36}{\Omega_m} \text{ PS} \right)$  zu messen.



die Kurve durch eine Gerade ersetzen und für das Drehmoment schreiben

$$\vartheta = \vartheta_b \left( 1 - f \frac{\Omega - \Omega_m}{\Omega_m} \right) \dots \dots \quad (200)$$

Der Pendelanteil dieses Ausdruckes ist

$$\vartheta_b f \frac{\Omega - \Omega_m}{\Omega_m} = \vartheta_b f \frac{\omega - \omega_m}{\omega_m} = N(\omega - \omega_m) \dots \quad (201)$$

Es ist also  $N = \frac{\vartheta_b f}{\omega_m}$ , wobei zu bemerken ist, daß das Drehmoment in Dim gemessen sein muß. Zu der Größe  $N$  kommt noch ein kleiner Anteil infolge der Stromwärmeverluste in der Armatur und infolge der Wirbelströme im Eisen hinzu, der aber meist verschwindend klein ist.

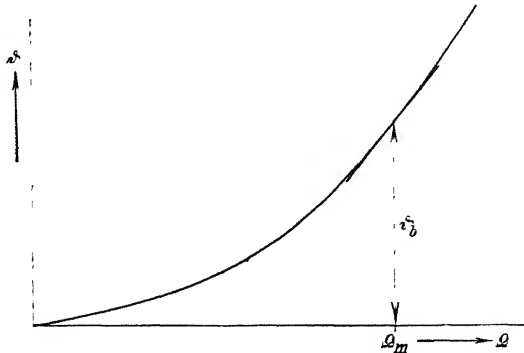


Fig. 266. Drehmoment eines mit Glühlampen belasteten Generators in Abhängigkeit von der Winkelgeschwindigkeit

Die kinetische Energie eines rotierenden Systems ist  $\frac{J\Omega^2}{2}$  und das bei einer Änderung der Winkelgeschwindigkeit auftretende Beschleunigungs- oder Verzögerungsmoment beträgt  $J \frac{d\Omega}{dt}$  oder  $\frac{J}{p} \frac{d\omega}{dt}$  in elektrischen Einheiten gemessen.

Eine synchronisierende Kraft tritt in unserem Falle nicht auf, weil der Stromvektor den Schwankungen des EMK-Vektors folgen kann.

Diese zwei Gegenmomente müssen nun nach dem d'Alembert'schen Prinzip in jedem Moment dem schwankenden Teile des Antriebsmomentes der Kraftmaschine das Gleichgewicht halten. Dieses letztere Pendelmoment der Kraftmaschine stellen wir den Entwick-

lungen im Abschnitt 77 entsprechend als eine Fouriersche Reihe von der Form

$$\sum_{\nu=1}^{\nu} \vartheta_{\nu} \sin(\nu \Omega_m t + \psi_{\nu})$$

dar, in der  $\nu$  die Ordnung der betreffenden Harmonischen und  $\psi_{\nu}$  ihre Phasenverschiebung gegen die Nullage bedeutet, ganz analog der Entwicklung einer beliebigen Wechselstromkurve in einer Fourierschen Reihe<sup>1)</sup> Die Differentialgleichung der Pendelbewegung der Maschine lautet also

$$N(\omega - \omega_m) + \frac{J}{p} \frac{d\omega}{dt} = \sum_{\nu=1}^{\nu} \vartheta_{\nu} \sin(\nu \Omega_m t + \psi_{\nu}) \quad . \quad (202)$$

oder homogen gemacht

$$N(\omega - \omega_m) + \frac{J}{p} \frac{d(\omega - \omega_m)}{dt} = \sum_{\nu=1}^{\nu} \vartheta_{\nu} \sin(\nu \Omega_m t + \psi_{\nu}) \quad (203)$$

## 88. Die Analogie zwischen der Gleichung der mechanischen Bewegung und der des elektrischen Stromkreises.

Die Integration dieser Gleichung können wir uns sehr leicht machen, wenn wir bedenken, daß Gleichungen von diesem Typus schon in den elementarsten Darstellungen der Wechselstromtheorie vorkommen, nämlich bei der Berechnung des Stromes, den eine Wechselspannung in einem Stromkreis mit Widerstand und Selbstinduktion erzeugt. Die Spannungsgleichung eines derartigen Stromkreises lautet bekanntlich:

$$Ri + L \frac{di}{dt} = p \quad . \quad . \quad . \quad (204)$$

wo  $p$  den Momentanwert der wirkenden Wechselspannung bedeutet. Ist diese nicht von einfacher Sinusform, so laßt sie sich, wie schon oben erwähnt, in eine Summe von Sinusgliedern auflösen; und wie aus der Theorie der Wechselströme bekannt ist, wirkt eine jede dieser Teilspannungen so, als ob alle anderen nicht vorhanden waren. Jede Spannung erzeugt ihren besonderen Strom von ihrer Periodenzahl und die einzelnen Ströme setzen sich zu dem resultierenden Strom zusammen. Bekanntlich ist für jeden der Oberströme die Impedanz und auch seine Phasenverschiebung gegen die ihn erzeugende Spannung eine andere.

Wenn also  $p$  sich als

$$\sum_{\nu=1}^{\nu} P_{\nu} \sin(\nu \omega t + \psi_{\nu})$$

<sup>1)</sup> Siehe WT Bd. I, S. 221 ff.

darstellt, lautet die Stromgleichung

$$i = \sum_{v=1}^r \frac{P_v}{\sqrt{r^2 + (v\omega L)^2}} \sin \left( v\omega t + \psi_v - \arctg \frac{v\omega L}{r} \right). \quad (205)$$

Wir haben also nur die Gleichung rein formal umzudeuten und erhalten die Lösung unserer Pendelgleichung. Die entsprechenden Größen der beiden Gleichungen 203 und 204 sind folgende:

$R$ Ohmscher Widerstand	$N$ Netzkonstante
$L$ Selbstinduktionskoeffizient	$\frac{J}{p} = \frac{\text{Trägheitsmoment}}{\text{Polpaarzahl}}$
$i$ Wechselstromstarke	$(\omega - \omega_m)$ variabler Teil der elektrischen Winkelgeschwindigkeit
$P_v$ Amplitude der Wechselspannung	$\vartheta_v$ variabler Teil des Antriebsmomentes

Also auch hier wird jede Harmonische des Antriebsmomentes ihre eigene Pendelgeschwindigkeit  $(\omega - \omega_m)$  erzeugen, nur wird für jede Ordnungszahl ein anderes Verhältnis beider Größen entsprechend der Impedanz vorhanden sein, und es wird auch die zeitliche Phasenverschiebung zwischen Pendelmoment und Pendelgeschwindigkeit für jede Harmonische eine andere sein.

Es lautet also die Lösung unserer Differentialgleichung

$$\omega - \omega_m = \sum_{v=1}^r \frac{\vartheta_v}{\sqrt{N^2 + \left[ r \Omega_m \left( \frac{J}{p} \right)^2 \right]}} \times \\ \times \sin \left[ v \Omega_m t + \psi_v - \arctg \frac{v \Omega_m \left( \frac{J}{p} \right)}{N} \right] \quad \dots \quad (206)$$

Um die räumlichen Geschwindigkeitsschwankungen zu erhalten, haben wir  $(\omega - \omega_m)$  durch die Polpaarzahl  $p$  zu dividieren. Aus der obigen Gleichung folgt, daß man ähnlich wie bei elektrischen Stromkreisen nicht von der Variation des Antriebsmomentes auf die Geschwindigkeitsvariation schließen kann. Ähnlich wie eine Selbstinduktion eine Oberwelle schwächt und dadurch der Stromstärke eine der Sinuskurve ähnliche Form gibt, so schwächt auch hier ein großes Trägheitsmoment die Oberwellen der Geschwindigkeitskurve und die Geschwindigkeit schwankt infolgedessen fast nach einer Sinuskurve um ihren Mittelwert  $\Omega_m$ .

Die Amplituden der einzelnen Pendelgeschwindigkeiten ( $\omega = \omega_m$ ) wollen wir von jetzt ab mit  $\omega$  und dem Index der entsprechenden Harmonischen ausdrücken. Es gilt also:

$$\omega_v = \frac{\vartheta_v}{\sqrt{N^2 + \left[ v \Omega_m \frac{J}{p} \right]^2}} \quad (207)$$

und es ist die zeitliche Phasenverschiebung der Winkelgeschwindigkeit gegen das sie erzeugende Drehmoment  $\vartheta_v$  gegeben durch

$$\operatorname{tg} \psi_v = \frac{v \Omega_m \left( \frac{J}{p} \right)}{N} \quad . \quad . \quad . \quad (208)$$

Für den elektrischen Stromkreis, auf den eine Spannung von der Größe  $P_v \sin v \Omega_m t$  wirkt, gelten die Bezeichnungen

$$J_v = \frac{P_v}{\sqrt{R^2 + (v \Omega_m L)^2}} = \frac{P_v}{\sqrt{R^2 + x_v^2}} \quad . \quad . \quad (209)$$

und

$$\operatorname{tg} \varphi_v = \frac{v \Omega_m L}{R} = \frac{x_v}{R}.$$

Wir haben also, um die Analogie fortzuführen, festzusetzen:  
 $R = N$

$$x_v = v \Omega_m \left( \frac{J}{p} \right) = 6,28 \left( \frac{v}{p} \right) c \left( \frac{J}{p} \right) \quad . \quad . \quad (210)$$

Wie sich die Spannung im elektrischen Stromkreis in zwei aufeinander senkrechtstehende Komponenten  $JR$  und  $Jx_v$  zerlegen läßt, läßt sich nun auch das Drehmoment  $\vartheta_v$  nach Gl. 202 in zwei Drehmomente

$$N\omega_v \quad \text{und} \quad \frac{J}{p} v \Omega_m \omega_v \quad . \quad . \quad . \quad (211)$$

zerlegen, die zeitlich um  $90^\circ$  in der Phase gegeneinander verschoben sind.

Es entspricht dies auch den physikalischen Eigenschaften des Problems, denn das Pendelmoment des Netzes ist ein Maximum bei der größten Winkelgeschwindigkeit, während das Beschleunigungsmoment bei der größten Winkelbeschleunigung, die bei einer sinusförmigen Schwingung im Nullwert der Amplitude auftritt, seine größten Werte erreicht.

Geradeso wie wir bisher aus Analogiebetrachtungen „Pendelwiderstand“  $R$  und „Pendelreaktanz“  $x_v$  abgeleitet haben, kann man ferner auch die Pendelimpedanz als Verhältnis des Dreh-

moments  $\vartheta$ , und der Winkelgeschwindigkeit  $\omega$ , und die Pendeladmittanz als ihren reziproken Wert einführen. Beide Größen sind Vektoren, die, wie jetzt ohne weiteres ersichtlich ist, genau so behandelt werden können, wie die entsprechenden Konstanten elektrischer Stromkreise.

Um nun aus der Pendelgeschwindigkeit die Winkelabweichung bestimmen zu können, benützen wir die Bezeichnung

$$(\omega - \omega_m) = \frac{d\varepsilon}{dt} \quad . \quad . \quad . \quad . \quad . \quad (212)$$

$$\frac{d\varepsilon}{dt} = \omega_v \sin \left( \nu \Omega_m t + \psi_v - \arctg \frac{\nu \Omega_m \frac{J}{p}}{N} \right)$$

$$\varepsilon_v = \frac{p}{r} \frac{\omega_v}{\omega_m} \sin \left( r \Omega_m t - \psi_v - \arctg \frac{r \Omega_m \frac{J}{p}}{N} - \frac{\pi}{2} \right) \quad (213)$$

Die elektrische Winkelabweichung eilt also dem Vektor der Winkelgeschwindigkeit um  $\frac{\pi}{2}$  nach. Ihre Amplitude in Graden gemessen ist (aus Analogie mit späterem mit  $\Theta_v^0$  bezeichnet):

$$\Theta_v^0 = \frac{p}{r} \frac{\omega_v}{\omega_m} 57.3 \quad . \quad . \quad . \quad . \quad . \quad (214)$$

$$\Theta_v^0 = \frac{57.3 \frac{p}{r \omega_m} \vartheta_v}{\sqrt{N^2 + \left( r \Omega_m \frac{J}{p} \right)^2}} \quad . \quad . \quad . \quad . \quad . \quad (215)$$

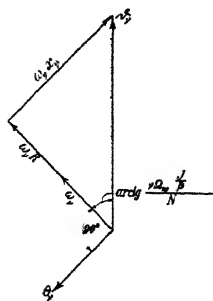


Fig. 267. Vektordiagramm der pendelnden Maschinenleistung  $\vartheta_v$ , der maximalen Pendelgeschwindigkeit  $\omega_v$  und der maximalen elektrischen Winkelabweichung  $\Theta_v$ .

Die maximale räumliche Winkelabweichung  $\Theta_v^0$  ist gleich  $\left( \frac{\Theta_v^0}{p} \right)$ . Wir erhalten also schließlich folgendes Vektordiagramm (Fig. 267).

Wenn wir nun den Einfluß des Netzes und des Trägheitsmomentes auf den Schwingungsvorgang studieren wollen, oder für ein gegebenes  $\vartheta_v$  bei verschiedenen  $R$  und  $x$  die entstehende Pendelgeschwindigkeit  $\omega_v$  untersuchen wollen, so werden wir natürlich auf genau dieselben Diagramme kommen, wie sie die Veränderung eines elektrischen Stromes nach Größe und Phase bei gegebener Klemmenspannung in Abhängigkeit von den Konstanten des Stromkreises darstellen.

1 Es sei ein bestimmtes Netz vorhanden, d. h.  $N$  sei gegeben, und man will den Einfluß des Trägheitsmoments auf die Pendelbewegung untersuchen, oder für den entsprechenden elektrischen Stromkreis ist  $R$  konstant und  $x$  variabel. Wir entwickeln zuerst das Admittanzdiagramm in Fig. 268.

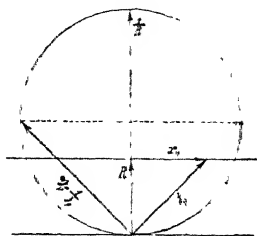


Fig. 268

Um das Stromdiagramm zu finden, multiplizieren wir das Admittanzdiagramm mit dem Betrag der Klemmenspannung, bzw. um das Diagramm der Winkelgeschwindigkeit zu erhalten mit der Amplitude des Drehmomentes  $\vartheta$ , (Fig. 269 und 270)

$\overline{OB}$  stellt die Amplitude des Wechselstromes bzw. der Pendelgeschwindigkeit dar,  $\overline{OB'}$  die Amplitude der elektrischen Winkelabweichung. Das Diagramm der Winkelabweichung erhält man einfach aus dem  $\omega_v$ -Diagramm, indem man dieses um  $90^\circ$  nach rückwärts dreht und es mit  $\frac{57,3 p}{v \omega_m}$  multipliziert. Der Durchmesser des  $\omega_v$ -Kreises ist  $\frac{\vartheta_v}{N}$ , der des  $\Theta_v^\circ$ -Kreises

$$\frac{\vartheta_v}{N} \frac{p}{v} \frac{57,3}{\omega_m} = 9,12 \frac{\vartheta_v}{N} \frac{p}{v} \frac{1}{c} \dots \dots \dots (216)$$

Bei einer Änderung von  $x$ , von 0 bis  $\infty$  bewegt sich der Punkt  $B$ , das Ende des  $\omega_v$ -Vektors auf der linken Kreishälfte, der Punkt  $B'$  auf der untern Kreishälfte von  $A'$  nach 0.

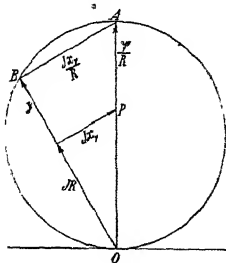


Fig. 269. Elektrisches Diagramm eines Stromkreises mit veränderlicher Selbstinduktion.

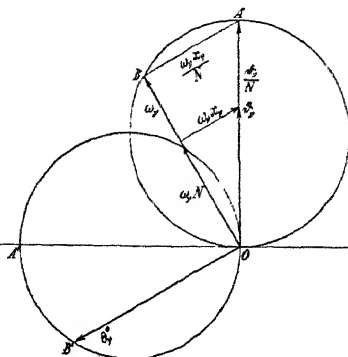


Fig. 270. Mechanisches Diagramm einer pendelnden Maschine bei verschiedenen Trägheitsmomenten.

Die stärksten Schwingungen treten dann auf, wenn die Schwingmassen sehr klein sind. Der Punkt  $B$  rückt dann nach  $A$ . Die ganze schwingende Energie der Kraftmaschinen muß vom Netze

aufgenommen werden. Bei unendlich großen Schwungmassen fallen  $B$  und  $B'$  nach 0, d. h. Winkelgeschwindigkeit und Winkelabweichung der Pendelung werden Null, die Maschine pendelt nicht mehr, denn bei dem kleinsten Pendelausschlag treten unendlich große bremsende Trägheitsmomente auf. Durch ein genügend schweres Schwungrad lassen sich die Pendelungen verkleinern. Der Ungleichförmigkeitsgrad des ganzen Maschinensatzes ist ein kleinerer, als der für die Dampfmaschine allein bestimmte, denn zu der Wirkung der Schwungmassen kommt jetzt noch der verkleinernde Einfluß des Netzes.

In dem elektrischen Verteilungsnetz werden nun infolge der Spannungsvariation Schwankungen der elektrischen Leistung auftreten.

Die pendelnden Leistungen sind proportional den Produkten aus den schwankenden Drehmomenten und der momentanen Winkelgeschwindigkeit der Maschine. Diese setzt sich aus dem mittleren konstanten Wert  $\Omega_m$  und einem Pendelanteil zusammen, welcher letzteren wir seiner Kleinheit wegen gegen  $\Omega_m$  vernachlässigen wollen. Die Leistungen sind die folgenden:

$$\left. \begin{array}{l} \text{I. pendelnde Netzleistung } N(\omega - \omega_m) \Omega_m \text{ Watt} \\ \text{II. Trägheitsleistung} \quad \cdot \quad \frac{J}{p} \frac{d(\omega - \omega_m)}{dt} \Omega_m \quad \cdot \end{array} \right\} \quad (217)$$

Die Amplituden dieser Pendelleistungen ergeben sich zu:

$$\text{I. } N\omega_r \Omega_m \qquad \text{II. } \frac{J}{p} \omega_r \nu \Omega_m^2.$$

II ist in der Phase gegen I um  $90^\circ$  verschoben. Da  $\Omega_m$  für die betreffende Maschine eine Konstante ist, sehen wir, daß alle Leistungen  $\omega_r$  direkt proportional sind. Werden die Konstanten von Gl. 210, S. 343, eingeführt, so lassen sich diese Leistungen darstellen als:

$$\text{I: } R\omega_r \Omega_m \qquad \text{II: } x_r \omega_r \Omega_m \quad \dots \quad (218)$$

Multipliziert man nun die Strecken des Diagramms Fig. 270 mit  $R$ , so erhält man die Fig. 271.

Die Strecken  $\overline{OB}$  und  $\overline{BA}$  sind direkt den Leistungen I und II proportional. Da die maximale pendelnde Maschinenleistung gleich  $\vartheta_r \Omega_m$  Watt ist, analog früherem, gibt  $\overline{OA}$  das Maß für diese. Fig. 271 stellt uns also das Leistungsdiagramm der pendelnden Maschine dar.

2. Es sei eine bestimmte Maschine gegeben. Wie beeinflußt die Art der Belastung die Pendelerscheinungen? Wir entwickeln

wieder das Admittanzdiagramm für  $x_r = \text{konst.}$  und  $R = \text{variabel}$  (Fig. 272). Durch Multiplikation mit  $\vartheta_v$  erhalten wir die Diagramme für Winkelgeschwindigkeit und Winkelabweichung (Fig. 273).

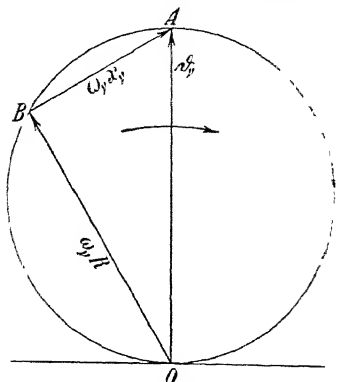


Fig. 271. Leistungsdiaqramm einer pendelnden Maschine für veränderliches Tragheitsmoment.

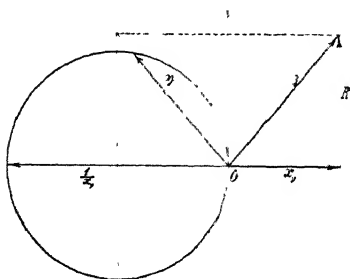


Fig. 272.

$\overline{OB}$  gibt wieder die Amplitude der Winkelgeschwindigkeit  $\overline{OB'}$  die Amplitude der Winkelabweichung. Der Durchmesser des  $\omega_v$ -Kreises ist  $\frac{\vartheta_v}{\nu \Omega_m} \frac{1}{p}$ , der des  $\Theta_v^0$ -Kreises  $1,45 \frac{\vartheta_v}{J} \left( \frac{p}{\nu} \right)^2 \frac{1}{c^2}$ .

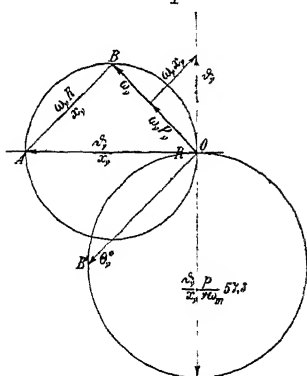


Fig. 273. Pendeldiagramm einer Maschine für veränderliche Belastung.

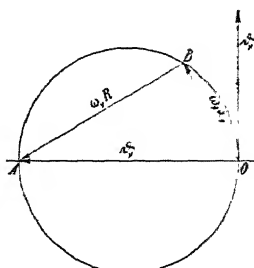


Fig. 274. Leistungsdiaqramm einer pendelnden Maschine für veränderliche Belastung.

Bei einer Änderung von  $N$  von 0 bis  $\infty$  bewegt sich der Punkt  $B$  auf der oberen Kreishälfte von  $A$  nach  $O$ , die Amplitude der Schwingungen nimmt dauernd ab und ihre Phasenverschiebung gegen das Drehmoment nimmt ebenfalls von  $\frac{\pi}{2}$  bis auf 0 ab, während die Phasenverschiebung der Winkelabweichung von  $180^\circ$  bis



auf  $90^\circ$  abnimmt. Das Diagramm der Leistungen erhält man, indem man das obige Diagramm mit  $x$ , multipliziert. Man erhält dann die Fig. 274.

Die Strecke  $\overline{AB}$  ist ein Maß für die Leistung, die vom Netz aufgenommen und abgegeben wird, und die Strecke  $\overline{OB}$  ein Maß für die Tragheitsleistung, wie aus den Ausdrücken für diese Leistungen hervorgeht.

Weiter eingehen wollen wir auf die Vorgänge nicht, da der betrachtete Fall kein praktisches Interesse besitzt, sondern nur die Analogie der mechanischen und elektrischen Vorgänge erläutern sollte.

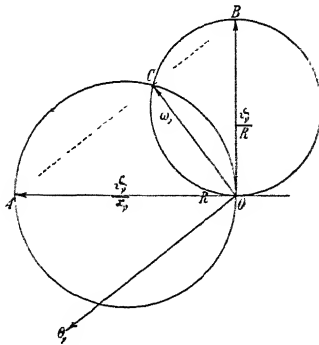


Fig. 275. Konstruktion des Vektors der Pendelgeschwindigkeit.

Hat man auf Grund der gegebenen Konstanten die Pendelgeschwindigkeit der Maschine zu bestimmen, so erhält man den Vektor  $\overline{OC}$  am bequemsten durch Übereinanderlagerung beider Diagramme als Schnitt der beiden Kreise, wie es Fig. 275 zeigt.

Daß  $C$  der gesuchte Punkt ist, ist evident, da er auf beiden Kreisen liegen muß, also nur ihr Schnittpunkt sein kann. Durch  $\omega_v$  ist der Vektor  $\Theta_v$  gegeben.

Beispiel. Als Beispiel sei eine Tandemaschine betrachtet, deren Drehmoment schon auf S. 293 in ihre Harmonischen zerlegt wurde. Von den Harmonischen ist die zweite am bedeutendsten und es ist

$$\vartheta_2 = 0,865 \vartheta_b = 0,865 \cdot 99400 = 86000 \text{ Dim.}$$

Das Trägheitsmoment des Maschinensatzes, das wir in Kilogramm Masse  $\times m^2$  einzuführen haben, da wir die Energie in Joule rechnen, ergibt sich zu  $169800 \text{ kgm}^2$ . Die Trägheitswirkung des Gestänges und der hin und her gehenden Massen ist schon bei der Aufstellung der Drehmomentkurve berücksichtigt worden.

Es ergibt sich nach Gl. 210, S. 343,

$$v = 2. \quad x_2 = 6,28 \frac{2}{20} 32 \frac{169800}{20}$$

$$p = 20. \quad c = 32. \quad x_2 = 170700$$

$$\frac{\vartheta_2}{x_2} = \frac{86000}{170700} = 0,5045.$$

Wenn wir annehmen, daß der Generator von einer auf einer Welle sitzenden Erregermaschine magnetisiert wird, schwankt die



## Fünftehntes Kapitel.

# Pendelerscheinungen parallel geschalteter Synchronmaschinen infolge des ungleichförmigen Antriebsmoments der Kraftmaschinen.

### I Die Pendelbewegung einer Maschine, die an ein unendlich starkes Netz angeschlossen ist

89. Ableitung der Differentialgleichung und ihre Integration — 90. Das Diagramm der Leistungen. — 91. Der Einfluß einer Dampferwicklung auf die elektrischen Vorgänge. — 92. Der zulässige Ungleichförmigkeitsgrad für die verschiedenen Arten der Kraftmaschinen — 93. Die Änderung der Eigenschwingungszahl einer Maschine. — 94. Zusammenfassung der verschiedenen Bedingungen für ein gutes Parallelarbeiten. — 95. Fernere Ursachen von Schwingungen. Die Erwärmung durch den Ausgleichstrom Praktische Beispiele. — 96. Freie Schwingungen und Interferenzerscheinungen.

### II. Das Pendeln beliebig vieler parallel arbeitender Maschinen

97. Differentialgleichung zweier parallel geschalteter Maschinen — 98. Lösung des Problems für  $n$  parallel geschaltete Maschinen, ohne Berücksichtigung der Dämpfung. Der allgemeine Resonanzfall. — 99. Pendeln von Generatoren und Umformern. — 100. Pendelerscheinungen, wenn die  $n$  Maschinen gleich sind. Einfluß der verschiedenen Kurbelstellungen — 101. Parallelarbeiten zweier beliebiger Generatoren. — 102. Beispiel eines praktischen Parallelbetriebs.

## I. Die Pendelbewegung einer Maschine, die an ein unendlich starkes Netz angeschlossen ist.

### 89. Ableitung der Differentialgleichung und ihre Integration.

Wir wollen jetzt eine Synchronmaschine betrachten, die mit vielen großen Generatoren parallel arbeitet, derartig, daß ihre Schwingungen die übrigen Generatoren nicht nennenswert beeinflussen, d. h. daß die Klemmenspannung des ganzen Systems sich nach Größe und Phase nicht ändert. Der Vektor der Klemmenspannung bleibt in Ruhe, unabhängig von den Schwingungen der betrachteten Maschine, es existiert ein „unendlich starkes Netz“.

Die betrachtete Maschine habe eine bestimmte normale elektrische Geschwindigkeit  $\omega_m$  und einen normalen Phasenverschiebungswinkel  $\Theta_m$ , über die sich jetzt die Pendelanteile lagern. Es treten die drei bekannten Momente der Maschine, beschleunigendes synchronisierendes und dämpfendes Moment auf, und ihre Summe muß dem pendelnden Antriebsmoment gleich sein.

Die Differentialgleichung für die Bewegung der betrachteten Maschine lautet also:

$$\frac{J}{p} \frac{d\omega}{dt} + S(\Theta - \Theta_m) + D \frac{d\Theta}{dt} = \sum_{v=1}^r \vartheta_v \sin(v \Omega_m t + \psi_v)$$

oder

$$\frac{J}{p} \frac{d\omega}{dt} + D(\omega - \omega_m) + S(\Theta - \Theta_m) = \sum_{v=1}^r \vartheta_v \sin(v \Omega_m t + \psi_v)$$

Differenzieren wir diese Gleichung noch einmal nach  $t$  und führen überall  $(\omega - \omega_m)$  ein, so erhalten wir:

$$\begin{aligned} \frac{J}{p} \frac{d^2(\omega - \omega_m)}{dt^2} + D \frac{d(\omega - \omega_m)}{dt} - S(\omega - \omega_m) \\ = \sum_{v=1}^r v \Omega_m \vartheta_v \cos(v \Omega_m t + \psi_v) . \end{aligned} \quad (219)$$

Diese Differentialgleichung hat genau denselben Charakter wie die allgemeine Differentialgleichung eines elektrischen Stromkreises, Fig. 277 (s. WT I, S. 51, Fig. 51)

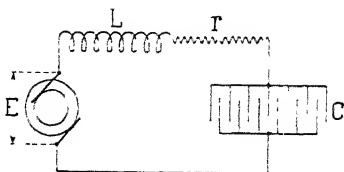


Fig. 277 Elektrischer Analogiestromkreis zu einer Maschine, die an einem unendlich starken Netz pendelt.

$$L \frac{d^2 i}{dt^2} + R \frac{di}{dt} + \frac{i}{C} = \frac{de}{dt} . \quad (220)$$

Wir haben bloß für

$$\begin{aligned} i &= (\omega - \omega_m) \\ L &= \frac{J}{p} \\ R &= D \\ \frac{1}{C} &= S \end{aligned}$$

zu setzen.

Das partikuläre Integral unserer Gleichung, das die stationären Schwingungen angibt, lautet dann

$$(\omega - \omega_m) = \sum_{v=1}^r \frac{\vartheta_v}{\sqrt{D^2 + \left( v \Omega_m \frac{J}{p} - \frac{S}{v \Omega_m} \right)^2}} \sin(v \Omega_m t + \psi_v - \varphi_v) \quad (221)$$

$$\operatorname{tg} \varphi_v = \frac{\nu \Omega_m \frac{J}{p} - \frac{S}{\nu \Omega_m}}{D} \quad . \quad . \quad . \quad (222)$$

Die Kurve der Geschwindigkeitsvariation setzt sich auch aus einzelnen Sinusharmonischen zusammen.

Gegenüber dem im vorigen Kapitel behandelten Fall, wo wir

$$(\omega - \omega_m) = \sum_1^{\nu} \frac{\vartheta_v}{\sqrt{N^2 + \left( \nu \Omega_m \frac{J}{p} \right)^2}} \sin(\nu \Omega_m t + \psi_v - \varphi_v)$$

$$\operatorname{tg} \varphi_v = \frac{\nu \Omega_m \frac{J}{p}}{N}$$

fanden, zeigt sich ein wesentlicher Unterschied. Früher wurden die einzelnen Harmonischen der Winkelgeschwindigkeit um so kleiner, je höher ihre Ordnungszahl war; das ist jetzt nicht mehr der Fall. Die synchronisierende Kraft, die durch die elektrische Verkettung der Generatoren hervorgerufen wird, wirkt wie die Kapazität in einem Wechselstromkreise.

Eine große Kapazitätsreaktanz  $x_c = \frac{1}{\omega C}$  wirkt deformierend auf die Stromkurve; und es kann für einen der Oberströme Resonanz eintreten. So auch hier: die elektrische Verkettung der Generatoren wirkt deformierend auf die Form der Geschwindigkeitskurve und es können diejenigen Harmonischen, für deren Periodizität  $\nu \Omega_m$  das Glied  $\left( \nu \Omega_m \frac{J}{p} - \frac{S}{\nu \Omega_m} \right)^2$  verschwindet, den Parallelbetrieb gefährden, da ihre Amplitude bei geringer Dämpfung sehr groß werden kann und gegen alle andern sehr verstärkt erscheint. Die Gleichung dieser Harmonischen ist

$$(\omega - \omega_m)_R = \frac{\vartheta_v}{D} \sin(\nu \Omega_m t + \psi_v) \quad . \quad . \quad . \quad (223)$$

Die Ordnung der Harmonischen, bei der dieser Resonanzzustand auftritt, ist gegeben durch

$$(\nu \Omega_m)_R = \sqrt{\frac{pS}{J}} = \sqrt{\frac{pW_S}{J \Omega_m}} \quad . \quad . \quad . \quad (224)$$

Diese Schwingungszahl gibt zugleich bei Vernachlässigung der Dämpfung die Eigenschwingungszahl des Generators an

$$\sqrt{\frac{pW_S}{J \Omega_m}} = \Omega_{ei} = 2\pi c_{ei} \quad . \quad . \quad . \quad (225)$$

$\Omega_{ei}$  bedeutet die Zahl der Schwingungen, die die Maschine in  $2\pi$  Sekunden ausführt, wenn sie gleichförmig angetrieben wird und durch einen plötzlichen Stoß in ihrer Bewegung gestört wird.

Diese Erscheinung der Resonanz ist ganz analog der, die in Wechselstromkreisen auftritt. Hier kompensieren sich Selbstinduktion und Kapazität und die Spannung wirkt nur auf den Ohmschen Widerstand, dort kompensieren sich Trägheitskraft und synchronisierende Kraft und das variable Drehmoment muß von der Dämpfung aufgenommen werden.

Die Arbeitsmaschine arbeitet in diesem Falle ganz wie eine Maschine ohne Schwungmassen arbeiten würde. Selbstverständlich ist ein derartiger Betrieb unmöglich. Es ist deswegen darauf zu achten, daß der Arbeitszustand einer Maschine möglichst weit von dem Grenzzustand liegt, bei dem Resonanz auftritt. Es soll  $\frac{\Omega_{ei}}{\nu \Omega_m}$  möglichst von der Einheit verschieden sein, und da im allgemeinen dieses Verhältnis kleiner als 1 ist, so soll es möglichst klein sein. Wollen wir nun die Winkelabweichung aus der normalen Lage bei gleichförmiger Drehung bestimmen, so erhalten wir sie auf Grund der Beziehung:

$$(\omega - \omega_m) = \frac{d\Theta}{dt} \quad . \quad . \quad . \quad . \quad . \quad . \quad (226)$$

woraus folgt:

$$(\Theta - \Theta_m) = \sum_1^r \sqrt{\frac{\frac{p}{\nu \omega_m} \vartheta_r}{D^2 + \left( \nu \Omega_m \frac{J}{p} - \frac{S}{\nu \Omega_m} \right)^2}} \sin \left( \nu \Theta_m t + \psi_r - \varphi_r - \frac{\pi}{2} \right) \quad (227)$$

Die Amplitude der  $\nu$ ten Harmonischen der Winkelabweichung sei mit  $\Theta_r$  bezeichnet und ergibt sich in elektrischen Graden als

$$\Theta_r^0 = \frac{57,3 \frac{p}{\nu \omega_m} \vartheta_r}{\sqrt{D^2 + \left( \nu \Omega_m \frac{J}{p} - \frac{S}{\nu \Omega_m} \right)^2}} \text{ elektr. Gr.}$$

und wenn wir noch die Eigenschwingungszahl der Maschine einführen:

$$\Theta_r^0 = \frac{57,3 \frac{p}{\nu \omega_m} \vartheta_r}{\sqrt{D^2 + \left\{ \nu \Omega_m \frac{J}{p} \left[ 1 - \left( \frac{\Omega_{ei}}{\nu \Omega_m} \right)^2 \right] \right\}^2}} \text{ elektr. Gr.} \quad . \quad (228)$$

Die räumliche Winkelabweichung ist  $\Theta_{r,r}^0 = \frac{\Theta_r^0}{p}$ .



der normalen Geschwindigkeit, die normale Generatorleistung zuzuführt. Die beiden Größen sind also definiert durch

$$k_p = \frac{W_s}{KVA} \quad T = \frac{J \Omega_m^2}{2 KVA} \quad \dots \quad (231)$$

Führen wir diese beiden Größen in Formel 225 ein, so läßt sich die Resonanzbedingung auch schreiben:

$$\frac{p}{v} = \sqrt{\frac{4\pi c T}{k_p}} \quad \dots \quad (232)$$

Für große Schwungradmaschinen ist im allgemeinen  $T$  zirka 10 Sekunden,  $c = 50$  Perioden und der Faktor  $k_p$  gleich 4, so wird Resonanz eintreten, wenn

$$\frac{p}{v} = \sqrt{\frac{4\pi 50 \cdot 10}{4}} = 40 \text{ ist.}$$

Hieraus geht hervor, daß für diese Maschinen bei gegebener Periodenzahl Resonanz um so eher zu befürchten ist, je größer die Polpaarzahl und je kleiner die Anlaufzeit  $T$  des Schwungrades ist.

Man hat es in der Hand, durch eine beliebige Vergrößerung des Schwungradgewichts die Eigenschwingungszahl der Maschine so zu legen, daß sie mit keiner der erzwungenen Schwingungen zusammenfällt, am besten wird man sie natürlich unter die aufgeprägte Grundschwingung legen, weil dann auch jede Möglichkeit einer Resonanzerscheinung mit einer höheren Harmonischen ausgeschlossen ist. Aber bei Maschinen, die eine sehr langsame Grundschwingung haben, wie z. B. langsam laufende Viertaktgasmaschinen, wäre dann eine enorme Vergrößerung des Schwungradgewichts erforderlich, so daß hier die Eigenschwingungszahl meist möglichst in die Mitte zwischen Grundschwingung und erste Oberharmonische der Kraftmaschine gelegt wird. Wenn man durch irgend welche Gründe gezwungen sein sollte, in der Nahe von Resonanz zu arbeiten, wird man mit einer starken Dämpfung die Schwingungen zu unterdrücken suchen.

Um die Erscheinungen eingehender zu studieren, wollen wir an der Hand des elektrischen Stromkreises das Diagramm der Erscheinung aufstellen. Die Amplitude der  $v$ ten Harmonischen der Pendelgeschwindigkeit ergab sich als:

$$\omega_v = \frac{\partial_v}{\sqrt{D^2 + \left( v \Omega_m \frac{J}{p} - \frac{S}{v \Omega_m} \right)^2}} \quad \dots \quad (233)$$



und ihre Phasenverschiebung gegen das Drehmoment  $\vartheta_r$ .

$$\operatorname{tg} \varphi_r = \frac{\nu \Omega_m \frac{J}{p} - \frac{S}{\nu \Omega_m}}{D}. \quad (234)$$

Wir setzen in Analogie mit dem elektrischen Stromkreis: Pendelwiderstand  $D$ , Pendelreaktanz  $\nu \Omega_m \frac{J}{p}$  und Pendelkapazität  $\frac{S}{\nu \Omega_m}$ .

Die drei Größen seien entsprechend den elektrischen mit  $r$ ,  $x_s$  und  $x_c$  bezeichnet.

Das Diagramm der elektrischen Winkelabweichung ergibt sich bekanntlich aus dem  $\omega$ -Diagramm, durch Multiplikation desselben mit  $57,3 \frac{p}{\nu \omega_m}$  und Rückwärtsdrehung um  $90^\circ$ .

Trägt man nun genau entsprechend der Fig. 275 des vorigen Abschnittes ( $x_s - x_c$  ist jetzt die resultierende Reaktanz  $x_r$ )

$$\overline{OA} = \frac{\vartheta_r}{x_s - x_c} = \frac{\vartheta_r}{\nu \Omega_m \frac{J}{p} \left[ 1 - \left( \frac{\Omega_{ev}}{\nu \Omega_m} \right)^2 \right]}$$

auf der Abszissenachse (Fig. 278) auf und beschreibt über dieser Strecke als Durchmesser einen Kreis, so ist dieser der geometrische Ort der Radiivektoren, die die Pendelgeschwindigkeit  $\omega_r$  bei verschiedener Dämpfung darstellen. Je starker man die Dämpfung macht, um so mehr verschiebt sich der Punkt  $P$  nach rechts.

Um den Vektor  $\omega_r$  zu finden, trägt man noch auf der Ordinatenachse die Strecke  $\overline{OB} = \frac{\vartheta_r}{r}$  auf, und findet, entsprechend der Fig. 275, den Punkt  $P$  als den Schnitt der beiden Kreise. Je nach der Größe dieser beiden Kreise liegt der Vektor  $\omega_r$  näher der Abszissen- oder der Ordinatenachse. Ist keine Dämpfung vorhanden,  $r=0$ , so fällt  $P$  nach  $A$ , tritt der Zustand der Resonanz ein,  $x_s = x_c$ , dann fällt  $P$  nach  $B$ .

Wenn wir nun an Hand der entwickelten Gl. 233 und 234 und

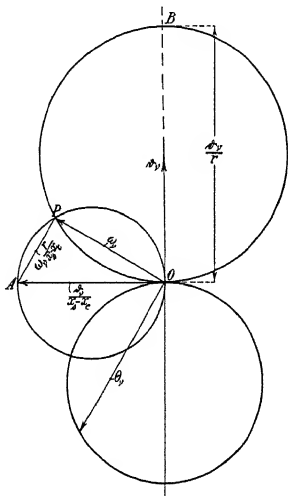


Fig. 278. Pendeldiagramm einer Maschine an einem unendlich starken Netz.

der Fig. 278 die Vorgänge überschauen, so erkennen wir, daß bei sehr großen Frequenzen der aufgedruckten Schwingung die Pendelgeschwindigkeit  $\omega_r$  und der Pendelweg  $\Theta_r$  sehr klein sind, und daß  $\omega_r$  in der Phase um annähernd  $90^\circ$ ,  $\Theta_r$  dagegen um fast  $180^\circ$  verzögert ist. Die Maschine schwingt „gegen“ das treibende Drehmoment, d. h. dieses ist immer der Bewegungsrichtung entgegengesetzt, bei der größten Voreilung der Maschine herrscht die größte rucktreibende Kraft der Antriebsmaschine. Es entspricht dieser Fall Maschinen mit großem Tragheitsmoment und kleiner synchronisierender Kraft. Die Tragheitsleistung ist bedeutend viel größer als die Synchronleistung. Bei abnehmender Frequenz nehmen  $\omega_r$  und  $\Theta_r$  an Amplitude zu, und ihre Phasenverschiebung nimmt ab, bis im Resonanzfall  $\omega_r$  in Phase und  $\Theta_r$  um  $90^\circ$  verschoben zum treibenden Antriebsmoment geworden sind. Ihre Amplitude ist dann, wie wir schon sahen, nur durch die Dämpfung begrenzt. Wenn die Antriebsdauer nun kleiner wird als die Eigenschwingungsdauer, nehmen  $\omega_r$  und  $\Theta_r$  in der Amplitude wieder ab, der Sinn ihrer Phasenverschiebung kehrt sich um, denn  $x_s$  wird kleiner als  $x_e$ ,  $\omega_r$  eilt vor und  $\Theta_r$  um weniger als  $90^\circ$  nach, bis im Grenzfalle sehr langsamer aufgeprägter Schwingungen die Amplituden beider wieder sehr klein werden,  $\omega_r$  um  $90^\circ$  voreilt und  $\Theta_r$  in Phase mit dem Drehmoment ist. Die Maschine schwingt jetzt „mit“ dem Drehmoment, d. h. macht alle aufgeprägten Schwingungen ohne Verzögerung mit. Dieser Fall ist gegeben bei sehr kleinem Trägheitsmoment und relativ großer synchronisierender Kraft, wie es z. B. der Fall ist bei sehr kleinen Synchronmotoren. Diese Maschinen machen alle Schwingungen, die ihnen<sup>1)</sup> vom Netz aufgeprägt werden, bedingungslos mit, ihr Polrad wird sich relativ zu dem großen Polrad des Generators kaum verstellen, daher wird ein nur sehr kleiner Ausgleichstrom zwischen den Maschinen fließen, der Motor kann pendeln, ohne daß Amperemeter oder Wattmeter in Schwingungen geraten. Zu diesem Falle gehören auch die von Rosenberg, ETZ 1903 erwähnten langsamen Schwankungen infolge Änderungen des Dampf-, Wasser- oder Kondensatordruckes, oder infolge der Regulierung indirekt wirkender Regler. Diese Schwankungen machen alle Maschinen in Phase mit und sie haben weiter nichts Gefährliches an sich. Vor allem ist die Vermeidung des Resonanzgebietes wichtig, was sich durch die Wahl eines genügend schweren Schwungrades erreichen läßt.

<sup>1)</sup> Ob die Schwankungen des Antriebs mechanisch oder elektrisch zugeführt werden, ist natürlich ganz gleichgültig, unsere Entwicklungen gelten also auch für Motoren ( $\Omega_m \theta_r$ ) bedeutet dann die schwankende zugeführte elektrische Leistung



Tragheitsleistung  $x_s \omega_r \Omega_m$ . Der Durchmesser des Kreises, der uns die Tragheitsleistung angibt, beträgt also  $\vartheta_r \zeta_r$ .

Die Strecken  $\overline{PP_1}$  stellen die durch die elektrische Kupplung übertragene variable Leistung  $\omega_r x_c \Omega_m$  dar. Diese ist nichts anderes als die synchronisierende Leistung der Generatoren; im folgenden werden wir sie der Kurze halber die Synchronleistung nennen.

Die Variation der von dem Generator abgegebenen elektrischen Leistung setzt sich aus zwei Teilen zusammen, nämlich aus der Synchronleistung und aus der Asynchronleistung der Dampferwicklung. Diese beiden Leistungen sind aber in der Phase um  $90^\circ$  gegeneinander verschoben. Man muß deswegen  $\overline{AP}$  und  $\overline{PP_1}$  unter  $90^\circ$  zueinander zusammensetzen und erhält dann als Maß für die Variation der elektrischen Leistung die Strecke  $\overline{AP_1}$ . Diese ändert sich mit der Größe der Dämpfung. Ist der Kreis  $K_1$  viel größer wie  $K$ , so nimmt  $\overline{AP_1}$  mit zunehmender Dämpfung ab. Im andern Falle, wenn die Kreise sich einander nähern, nimmt die Variation der elektrischen Leistung mit zunehmender Dämpfung ab. Aus Fig. 279 ist leicht ersichtlich, daß für  $\zeta_r = 2$  der Punkt  $A$  mit dem Mittelpunkt des Kreises  $K_1$  zusammenfällt, und daß in diesem Falle die Variation  $\overline{AP_1}$  der elektrischen Leistung konstant gleich  $\vartheta_r$  ist. Wir sehen somit, daß die Dämpfung die Variation der elektrischen Leistung vergrößert, wenn der Resonanzmodul  $\zeta_r$  kleiner wie 2 ist, und sie verkleinert, wenn  $\zeta_r$  größer als 2 ist. Diese Wirkung der Dämpfung bezieht sich nur auf die Schwingungen der elektrischen Leistung. Was die mechanischen Schwingungen des Systems anbetrifft, so werden diese, von einer äußeren Ursache hervorgerufen, um so schneller aussterben, je kräftiger die Dämpfung ist. Prof. Gorges hat zuerst auf diesen Einfluß der Dämpfung auf die Schwankungen der elektrischen Leistung in der ETZ 1903, S. 379 aufmerksam gemacht und berichtet von einem Fall aus der Praxis, wo die Schwankungen der elektrischen Leistung so groß waren, daß man die Dämpfung durch Entfernung einiger Stäbe der Kurzschlußwicklung abschwächen mußte.

## 91. Der Einfluß einer Dampferwicklung auf die elektrischen Vorgänge.

Wir sahen im Diagramm Fig. 279, daß die Anbringung einer Dampferwicklung keinen Einfluß auf die elektrischen Leistungsschwankungen hat, wenn  $\zeta = 2$  ist, d. h. wenn  $x_s = 2x_c$  ist. Wie man sich durch Nachrechnung leicht überzeugt, ist dann

$$\Omega_m = 1,414 \Omega_{e1},$$

die erzwungene Schwingungszahl, um ca. 40% größer als die Eigenschwingungszahl der Maschine. Der Zustand ist ziemlich weit von Resonanz entfernt. Es ist in diesem Falle die Synchronleistung  $\Omega_m \omega_r x_c$  gleich der Hälfte der Beschleunigungsleistung, und die pendelnde Netzleistung  $\Omega_m \omega_r \sqrt{x_c^2 + r^2}$  gleich der Pendelleistung der Kraftmaschine  $\Omega_m \vartheta_r$ , da  $\omega_r = \frac{\vartheta_r}{\sqrt{r^2 + x_c^2}}$  ist. Wenn man sich

dem Zustande der Resonanz nähert, nähern sich auch  $x_s$  und  $x_c$ , und im Resonanzfalle wird  $\zeta = \infty$ . In diesem Bereich wirkt die Dämpfung günstig. Wenn wir uns hingegen weiter vom Resonanzpunkt entfernen, wird  $\zeta$  kleiner und die Dämpfung vergrößert die Schwankungen der elektrischen Leistung. Die Anbringung einer Dämpfung hat also nur in der Nahe der Resonanz wirklichen Nutzen. Ist die Maschine weit von diesem Zustande entfernt, so wirkt sie nachteilig auf den Betrieb. Das Verhältnis der pendelnden Netzleistung zur schwankenden Maschinenleistung ist allgemein durch den Ausdruck

$$\frac{\sqrt{r^2 + x_c^2}}{\sqrt{r^2 + (x_s - x_c)^2}} = m$$

gegeben. Ist  $x_s$  viel größer als  $x_c$ , so wird  $m$  sehr klein, gleich 0 für  $x_s = \infty$ . Die ganze schwankende Maschinenleistung wird in kinetische Energie des Schwungrades umgesetzt, die Netzleistung ändert sich nur wenig oder gar nicht. In diesem Falle, in dem die Schwingungszahl der Maschine bedeutend geringer ist als die aufgeprägte, kann die Anwendung einer Dämpfung nur schaden, denn eine Vergrößerung von  $r$  bewirkt, daß sich  $m$  wieder der Einheit nähert, d. h. bei unendlich starker Dämpfung wird die ganze schwankende Maschinenleistung als elektrische Leistung sich wieder im Wattmeter zeigen. Die akkumulierende Wirkung des Schwungrades wird aufgehoben. Für  $x_s = 2x_c$  wird  $m = 1$ , wie schon oben erwähnt. Wird  $x_s$  kleiner, so wächst  $m$  und ist für

$$x_s = x_c \text{ gleich } \sqrt{\frac{r^2 + x_c^2}{r^2}}.$$

Nimmt  $x_s$  noch weiter ab, so nimmt  $m$  wieder ab und wird für den Grenzfalle  $x_s = 0$  wieder gleich 1. In diesem ganzen Bereich von  $\Omega_{es} = 0,707\Omega$  über dem Resonanzfalle bis  $\Omega_{es} = \infty$  ist die elektrische Leistungsschwankung stets größer als die pendelnde Maschinenleistung, und die Anbringung einer Dämpfung kann nur günstig wirken, denn eine Vergrößerung von  $r$  bewirkt, daß sich  $m$  von oben her der Einheit nähert und daß im Grenzfalle  $m = 1$  wird. Im ersten Falle ist also die größte mögliche und im zweiten

Fall die kleinste mögliche Leistungsschwankung gleich der Schwankung der Antriebsleistung.

Aus dieser Auseinandersetzung geht hervor, daß Maschinen mit sehr ungleichförmigem Tangentialdruckdiagramm kein vorteilhaftes Anwendungsgebiet für die Dämpfung sind. Vier- und Zweitaktgasmotoren, auch einkurbelige Dampfmaschinen werden besser mit einem schweren Schwungrad ausgerüstet, so daß sie bei  $\zeta$  unter 2 arbeiten. Dagegen kann man Mehrfachexpansionsmaschinen mit genügender Dämpfung ruhig mit einem leichten Schwungrad arbeiten lassen. Die Wattmeter zeigen in diesem Falle die Pendelungen des Tangentialdruckdiagramms vergrößert an, da diese aber bei diesen Maschinen nur recht klein sind, ist das weiter<sup>1)</sup> kein Schaden. Wenn z. B. bei einer Maschine, die unter  $\zeta = 2$  arbeitet, zu große Schwankungen auftreten, so können diese nicht durch eine Dämpfung beseitigt werden, sondern haben ihren Grund in einem zu ungleichmäßigen Tangentialdiagramm der Kraftmaschine, an der der Fehler daher aufzusuchen und zu verbessern ist. Auch wenn die Anbringung einer Dämpfung günstig wirkt, können die Schwankungen der elektrischen Leistung nicht kleiner werden, als die Schwankungen des Antriebsmomentes. Die Dämpfung kann also nur den schädlichen Einfluß der Resonanz beseitigen und eine zu große Ungleichförmigkeit des Tangentialdruckdiagramms keineswegs korrigieren. Die mechanischen Schwingungen einer Maschine werden durch die Dämpfung natürlich immer verringert.

Expansionsmaschinen können unter Umständen auch bei vollständiger Resonanz mit der Grundwelle von einer ganzen Umdrehung befriedigend laufen, vorausgesetzt, daß diese nur klein ist und die Maschine eine genügend starke Dämpfung besitzt. Eine solche Maschine wird aber auch gegen kleine Störungen, die diese Harmonische vergrößern, sehr empfindlich sein.

Im allgemeinen wird es also günstig sein, die Antriebsmaschinen möglichst rasch laufen zu lassen und durch genügendes Schwungmoment die Eigenschwingungszahl des Aggregates so zu legen, daß sie mit keiner der Harmonischen der Kraftmaschine in Resonanz kommen kann. Man muß natürlich dann die Maschine für die verschiedenen zu erwartenden Betriebszustände nachrechnen, da die Konstanten sich mit ihnen ändern. Praktische Durchschnittswerte von Eigenschwingungszahlen sind die folgenden:

---

<sup>1)</sup> Die hier angegebenen Betrachtungen über die Dämpfung wurden zuerst von Dr. E Rosenberg, ETZ 1903 und Zeitschr. d. Ver. deutsch. Ing. 1904, und F. Emde, E u. M. 1909 ausgesprochen.

Turbodynamos . . .	90—180 pro Min
Motorgeneratoren . .	90—180 „ „
Kaskadenumformer	75—180 „ „

Bei Zweitaktgasmaschinen kann man aber oft mit der Eigenschwingungsdauer nicht über die Zeit von 2 vollen Umdrehungen hinauskommen, weil das zu große Schwungräder erforderte. In

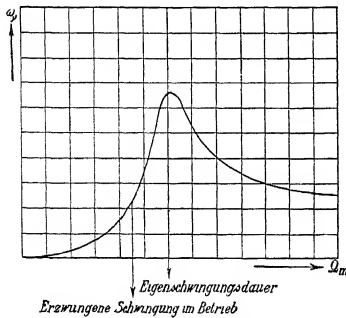


Fig 280 Resonanzkurve.

diesem Falle legt man die Eigenschwingungsdauer zwischen die Grundharmonische und die von doppelter Periodenzahl. Man wird dann verlangen, daß die Kurve, die die Ausschläge als Funktion der aufgeprägten Schwingung darstellt (Fig. 280), in der Nahe des Maximums sehr steil verläuft, so daß man auch bei kleiner Entfernung von Resonanz noch kleine Pendelausschläge bekommt. Man kann dies

durch eine starke synchronisierende Kraft, d. h. mit einer Maschine mit kleinem Spannungsabfall und ein schweres Schwungrad erreichen, d. h. durch ein großes  $x_s$  und  $x_v$ .

In diesem Falle kann die Anbringung einer Dampferwicklung auch beim Antrieb durch Gasmaschinen sehr vorteilhaft sein. Die Eigenschwingungszahl ist wegen der Veränderlichkeit der synchronisierenden Kraft keine Konstante, sondern nimmt bei einem Generator von Leerlauf bis zu induktiver Vollast zu. Bei Maschinen mit großer Ankerrückwirkung kann diese Zunahme bis zu 30% betragen. Legt man in diesem Falle die Eigenschwingungszahlen so, daß die Resonanzmodulen für die beiden Grenzfälle dem absoluten Werte nach gleich werden,

$$\zeta = \frac{\Omega_{\text{aufgeprägt}}^2}{\Omega_{\text{aufgepr.}}^2 - \Omega_{\text{ei}}^2},$$

so ergibt sich, daß die niedrigste Eigenschwingungszahl 19% größer ist als die aufgeprägte Grundschwingungszahl, und daß die höchste Eigenschwingungszahl um 22,5% geringer ist als die zweite Harmonische der aufgeprägten Schwingung

Man arbeitet in diesem günstigsten Falle recht nahe der Resonanz mit der ersten oder zweiten Harmonischen der aufgeprägten Schwingung, und die Anbringung einer Dämpfung kann nur günstig auf den Betrieb wirken. Diese Maschinen arbeiten um so besser, je geringer die Änderung der Eigenschwingungszahl und je kleiner die Ankerrückwirkung ist.

Die Fehler eines ungenügenden Parallelarbeitens können also sowohl an der Antriebsmaschine als auch an der Konstruktion des Aggregates liegen. Ist man wirklich mit einem Maschinensatz in das Resonanzgebiet geraten, so muß man natürlich versuchen, sich möglichst daraus zu entfernen. Am sichersten geschieht dies durch eine starke Vergrößerung des Schwungradgewichts. Ist dies aus irgend einem Grunde nicht möglich, so kann eine genügend starke Dampferwicklung die mechanischen und elektrischen Schwingungen auf ein zulässiges Maß reduzieren. Man kann auch die synchronisierende Kraft ändern, durch Änderung des Luftspaltes, durch Umwicklung des Ankers oder Vergrößerung der Ankerwindungszahl, Änderung der Form der Polschuhe, schließlich durch Vorschalten einer Reaktanz vor die Maschine, was einer Vergrößerung von  $x_{s1}$  entspricht. Den gleichen Effekt, wie eine vorgeschaltete Reaktanz, haben auch vorgeschaltete Transformatoren, durch die eine Maschine auf die Sammelschienen arbeitet; ihre Reaktanz vergrößert ebenfalls  $x_{s1}$  und setzt dadurch die Eigenschwingungszahl herab. Freilich kann die vorgeschaltete Reaktanz den Spannungsabfall vergrößern. Auf ihre Wirkung gehen wir später noch genauer ein.

## 92. Der zulässige Ungleichförmigkeitsgrad für die verschiedenen Arten der Kraftmaschinen.

Daß der Ungleichformigkeitsgrad kein Maß für die Güte des Parallelbetriebes ist, wurde schon erwähnt. Denken wir uns eine bestimmte elektrische Maschine von einer Kraftmaschine mit einer bestimmten Impulszahl betrieben, und nehmen wir einmal ein sehr gleichförmiges, dann ein weniger gleichförmiges Tangentialdruckdiagramm an, so ist das Schwungradgewicht, wenn man eine bestimmte Entfernung vom Resonanzpunkt zugrunde legt, in beiden Fällen das gleiche. Trotzdem werden beide Kraftmaschinen verschiedene Ungleichformigkeitsgrade haben, obwohl sie zum Parallelbetrieb gleich gut geeignet sind, wenn die Schwankungen im zweiten Falle nicht extrem groß werden. Aus dieser allerdings etwas idealisierten Betrachtung folgt, daß man nicht für alle Kraftmaschinen einen gleichen Ungleichformigkeitsgrad vorschreiben darf, wie Rosenberg ETZ 1902 und 1903 gezeigt hat. So wird z. B. für eine Dreifachexpansionsmaschine mit sehr gleichförmigem Tangentialdruckdiagramm, das zu einem gesunden Parallelbetrieb erforderliche Schwungrad der Maschine ohne weiteres einen sehr kleinen Ungleichformigkeitsgrad geben, während z. B. bei einem Viertaktmotor, wenn da auch die Grundschiwingung nach Kap. XIV langsamer ist als bei einer rasch laufenden Expansionsmaschine und



daher die Resonanzgefahr größer ist als bei dieser, das zu einem guten Parallelbetrieb erforderliche Schwungrad der Maschine wegen des außerordentlich ungleichförmigen Tangentialdruckdiagramms, einen größeren Ungleichförmigkeitsgrad gibt als bei der Expansionsmaschine. Bei diesen ist also von vornherein ein kleinerer Ungleichförmigkeitsgrad vorhanden, als z. B. bei einer Gasmaschine. Der wirkliche, d. h. mit Berücksichtigung der Pendelschwingungen berechnete Ungleichförmigkeitsgrad braucht gar nicht so klein zu sein, so genügt nach Angaben von Rosenberg für Licht ein  $\delta$  von  $\tau_{10}^1 \sim \tau_{100}^1$ . Für die schwankende Netzleistung läßt er 20%, der normalen, bei einem reinen Kraftnetz sogar 30% zu. Die zulässigen Schwankungen sind natürlich jeweils von der Art des Betriebes abhängig.

Weißhaar, E. und M. 1908, teilt diese in 4 Gruppen:

1. Hutten- und Walzwerksanlagen mit eigener Zentrale, bei denen außerordentlich schwankender Belastung nur verlangt wird, daß die Maschinen im Takt bleiben.

2. Große Zechen- und Huttenzentralen, bei denen eine ungefahr gleichmäßige Lastverteilung auf die Maschinen und die Konstatierung der ungefahren mittleren Belastung der Zentrale durch die Instrumente verlangt wird.

3. Städtische Licht- und Kraftwerke, die durch registrierende Instrumente die Arbeit der Heizer und Maschinisten kontrollieren und daher fast vollständig ruhige Instrumente verlangen.

4. Schließlich Zentralen, die Umformer und Synchronmotoren speisen. Hier muß natürlich verlangt werden, daß der Umformer unter allen Umständen im Tritt bleibt.

Für Lichtnetze wird im allgemeinen höchstens eine Winkelabweichung  $\Theta$  von  $10^\circ$  gegen den konstanten Netzvektor zulässig sein. Dies bedeutet bei zwei gleichen parallel geschalteten Maschinen im ungünstigsten Fall eine maximale gegenseitige Ausweichung von  $20^\circ$ , was eine Spannungsvariation von 1,5% zur Folge hat (s. S. 314). Für  $\Theta = 20^\circ$  geben zwei parallel geschaltete Maschinen bereits eine Spannungsvariation von 6%, nach S. 314. Bei mehreren parallel geschalteten Maschinen ist die Spannungsvariation im allgemeinen geringer. Es sei auch noch bemerkt, daß man in der Zentrale das Pendeln der Maschine durch die Instrumente feststellt, die durch ihre Empfindlichkeit und Dämpfung unter Umständen ein falsches Bild der Erscheinungen geben, und diese viel zu groß oder zu klein wiedergeben können, je nach Empfindlichkeit und Dämpfung.

Auch der Meßbereich der Instrumente ist von Einfluß, denn

je nachdem, ob der Zeiger in der Mitte oder am Ende der Skala steht, sieht eine Pendelung von gleicher Größe weniger oder mehr gefährlich aus.

Durch den bei der Kraftmaschine berechneten Ungleichformigkeitsgrad ist eine gewisse Beziehung zwischen Tragheitsmoment, Tourenzahl und Leistung der Maschine gegeben, wie sich empirisch nach der „Hütte“ als  $G D^2 = \frac{C}{\delta} \frac{N_e}{n^3}$  darstellt. Es bedeuten  $G$  Schwungradgewicht,  $D$  Schwungraddurchmesser,  $N_e$  Leistung der Maschine und  $C$  eine Konstante, die je nach der Art der Maschine bestimmt ist. Rosenberg hat auf Grund dieser Beziehung unter der Annahme des Faktors  $k_p = 3,75$  die „kritischen“ Werte von  $\delta$  berechnet, d. h. jene Werte, die ein Schwungmoment ergeben, das bei Parallelbetrieb Resonanz ergibt. Die Tabelle Z. Ver. deutsch. Ing. 1904 sei hier auszugsweise mitgeteilt:

Art der Maschine	Kurbel- zahl	Kurbel- versetzung	$p = 10$	20	32	40
			$n = 300$	150	94	75
			$c = 50$			

#### 1. Schwingungen von der Dauer einer ganzen Umdrehung.

$\alpha$ ) Einzylinder oder Tandem . . .	1	—	$\delta_k = \frac{1}{39}$	$\frac{1}{78}$	$\frac{1}{118}$	$\frac{1}{157}$
$\beta$ ) Verbund . . . . .	2	90°	bis $\left\{ \begin{array}{l} \frac{1}{69} \\ \frac{1}{106} \end{array} \right.$	$\frac{1}{138}$	$\frac{1}{207}$	$\frac{1}{214}$
$\gamma$ ) Dreifachexpansion . . . . .	3	120°	$\frac{1}{180}$	$\frac{1}{360}$	$\frac{1}{540}$	$\frac{1}{720}$

#### 2 Schwingungen von der Dauer einer halben Umdrehung.

$\alpha$ ) Einzylinder oder Tandem . . .	1	—	$\delta_k = \frac{1}{10}$	$\frac{1}{20}$	$\frac{1}{31}$	$\frac{1}{39}$
$\beta$ ) Verbund . . . . .	2	90°	bis $\left\{ \begin{array}{l} \frac{1}{17} \\ \frac{1}{27} \end{array} \right.$	$\frac{1}{35}$	$\frac{1}{53}$	$\frac{1}{69}$
$\gamma$ ) Dreifachexpansion . . . . .	3	120°	$\frac{1}{45}$	$\frac{1}{90}$	$\frac{1}{144}$	$\frac{1}{180}$

Dieselbe Tabelle hat man auch für Gasmaschinen zusammengestellt:

Art der Maschine	Kurbel- zahl	$p = 10$	20	32	40
		$n = 300$	150	94	75
		$c = 50$			

#### 1. Schwingungen von der Dauer einer doppelten Umdrehung

Einzylinder Viertakt . . . . .	1	$\delta_k = \frac{1}{8}$	$\frac{1}{16}$	$\frac{1}{26}$	$\frac{1}{32}$
Zweizylinder Viertakt . . . . .	2 oder 1	$\frac{1}{10}$	$\frac{1}{20}$	$\frac{1}{31}$	$\frac{1}{39}$
Vierzylinder Viertakt . . . . .	4 oder 2	$\frac{1}{10}$	$\frac{1}{180}$	$\frac{1}{288}$	$\frac{1}{360}$

Art der Maschine	Kurbel- zahl	$p$	$n$	$c$
		= 10	= 300	= 50
		20	150	
		32	94	
		40	75	

## 2 Schwingungen von der Dauer einer ganzen Umdrehung.

Einzyylinder Zweitakt . . . .	1	$\delta_k$	=	$\frac{1}{3}$	$\frac{1}{10}$	$\frac{1}{16}$	$\frac{1}{20}$
Zweizylinder Viertakt . . . .	2 oder 1						
Zweizylinder Zweitakt . . . .	1 oder 2						
Vierzylinder Viertakt . . . .	1 oder 4	"		$\frac{2}{3}$	$\frac{4}{5}$	$\frac{7}{8}$	$\frac{9}{10}$
Einzyylinder Eintakt . . . .	1	"		$\frac{1}{5}$	$\frac{3}{10}$	$\frac{4}{8}$	$\frac{1}{6}$
Zweizylinder Eintakt . . . .	2	"		$\frac{5}{10}$	$\frac{1}{10}$	$\frac{1}{10}$	$\frac{1}{10}$

## 3 Schwingungen von der Dauer einer halben Umdrehung

Zweizylinder Zweitakt . . . .	1 oder 2	$\delta_k$	}	=	$\frac{1}{6}$	$\frac{1}{11}$	$\frac{1}{18}$	$\frac{1}{24}$
Vierzylinder Viertakt . . . .	2 oder 4	"						
Einzyylinder Eintakt . . . .	1	"			$\frac{1}{4}$	$\frac{1}{8}$	$\frac{1}{12}$	$\frac{1}{15}$
Zweizylinder Eintakt . . . .	2	"			$\frac{1}{12}$	$\frac{1}{25}$	$\frac{1}{40}$	$\frac{1}{50}$

Aus den Tabellen geht deutlich hervor, daß bei Dampfmaschinen kleinere Ungleichformigkeitsgrade gefordert werden müssen, als bei Gasmaschinen, die dort auch mit geringeren Schwungmassen wegen des gleichförmigeren Tangentialdruckdiagramms erreicht werden können. Auch wegen der unregelmäßigen Änderung des Arbeitszustandes dürfen Dampfmaschinen kein zu leichtes Schwungrad erhalten, denn diese Maschinen sind dagegen viel empfindlicher als Gasmaschinen. Durch plötzliche Änderung der Kesselspannung, des Gasgemisches, durch Vorzündung oder Versagen der Zündung, Veränderung der Belastung, Spielen des Regulators treten oft große Leistungsschwankungen auf, die von dem schweren Schwungrad der Gasmaschine aufgenommen werden, die dagegen bei Dampfmaschinen ein Vielfaches des normalen Arbeitsüberschusses über den mittleren ausmachen, so daß große Schwingungen entstehen, die unter Umständen den Regulator in Tätigkeit setzen, der bei diesen relativ raschen Schwingungen die Sache nur verschlimmert und die Maschine schließlich außer Tritt wirft.

## 93. Die Änderung der Eigenschwingungszahl einer Maschine.

Die Eigenschwingungszahl einer Maschine ist, wie schon erwähnt, keine Konstante, sondern von den Betriebsverhältnissen abhängig.

Dr.-Ing. W Sarfert hat die Eigenschwingungszahl eines sechspoligen 5 KW-Drehstromgenerators für die normale Klemmenspannung von 110 Volt für verschiedene Betriebsverhältnisse bestimmt. Die erhaltenen Werte sind in den Fig. 281 bis 283 dargestellt.

Fig. 281 stellt die Eigenschwingungszahl  $c_{ei} = \frac{\Omega_{ei}}{2\pi}$  als Funktion der Belastung dar. Die Maschine wurde zuerst als Generator induktionsfrei belastet und die Klemmenspannung konstant gehalten. Infolge der zunehmenden Erregung steigt die Eigenschwingungszahl mit der Belastung. Bei induktiver Belastung ist diese Zunahme entsprechend größer, besonders da mit einer Vergrößerung der Erregung eine starke Verkleinerung der entmagnetisierenden Reaktanz verbunden sein kann. Die Zunahme der Eigenschwingungsdauer kann ziemlich groß werden. Bei der Maschine der Fig. 281 betrug sie 6% von Leerlauf bis zu induktionsfreier Vollast.

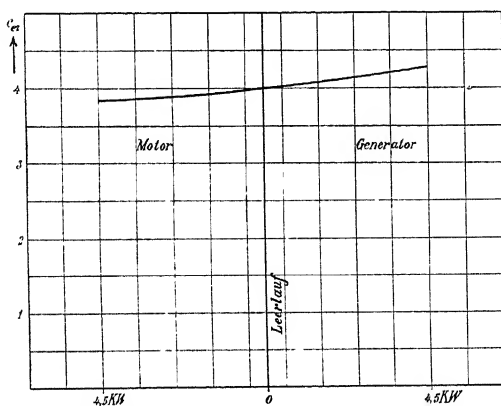


Fig. 281 Eigenschwingungszahl als Funktion der Belastung

In dem Beispiele der 1000 KVA-Maschine (Abschnitt 79) betrug die Zunahme der synchronisierenden Kraft von induktionsfreier bis zu induktiver ( $\cos \varphi = 0,8$ ) Vollast 24%, die entsprechende Zunahme der Eigenschwingungszahl beträgt 11%, kann also von Leerlauf aus gerechnet Werte von 15% und mehr erreichen. Es ist dies eine Maschine mit geringer Ankerrückwirkung. Bei großen Werten derselben kann man auf eine Zunahme von 25 bis 30% kommen.

Bei einem Motor nimmt bei normaler Erregung ( $\cos \varphi = 1$ ) die Eigenschwingungszahl mit zunehmender Belastung ab, wie Fig. 281 zeigt. Die Abnahme ist geringer als bei einem Generator die Zunahme bei induktionsfreier Belastung, in der Fig. 281 beträgt sie 4%. Wird der Motor dagegen bei Belastung übererregt, so ist im allgemeinen seine Eigenschwingungszahl dann größer als bei Leerlauf.

Fig. 282 stellt die Eigenschwingungszahl als Funktion der Erregung bei konstanter Belastung dar. Der Generator gab konstant 3 KW ab, der Motor nahm konstant 3 KW auf. Die Kurve des

Generators (a) liegt höher als die des Motors (b), da die induzierte EMK  $\mathcal{E}$  beim Generator größer ist, als beim Motor. Auch hier steigt die Eigenschwingungszahl mit der Erregung. Bei induktiver Belastung und Übererregung ist die synchronisierende Kraft größer als bei Kapazitätsbelastung und Untererregung.

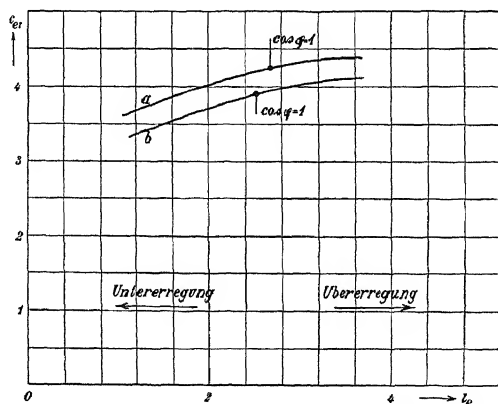


Fig. 282. Eigenschwingungszahl als Funktion der Erregung.

Fig. 283 zeigt die Eigenschwingungszahl als Funktion der Klemmenspannung bei geringer Belastung (0,6 KW), konstanter Periodenzahl und günstigster Erregung

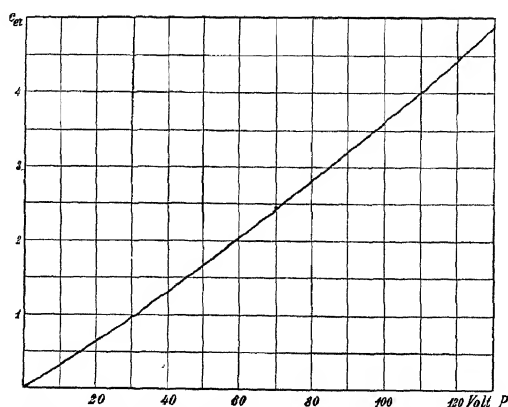


Fig. 283. Eigenschwingungszahl als Funktion der Klemmenspannung.

Die Eigenschwingungszahl ist der Netzspannung fast direkt proportional und ändert sich stark mit der Netzspannung. Es ist also auch möglich, durch Änderung der Spannung, falls dies ausführbar ist, Resonanzerscheinungen zu beseitigen.

Bringt man also die Eigenschwingungszahl unter die niedrigste aufgeprägte Schwingungszahl, so ist die Resonanzgefahr bei der größten vorkommenden Erregung am größten, beim Generator bei induktiver Vollast, beim Motor bei der stärksten Übererregung. Will man, daß der Resonanzmodul höchstens den Wert 2 erreiche, d. h. daß  $\Omega_{es} = 0,7 \Omega_m$  sei, so ist bei einer Änderung von  $\Omega_{es}$  um 10%  $\Omega_{es}$  bei Leerlauf gleich  $0,62 \Omega_m$  zu machen, und bei einer Änderung von 30%  $\Omega_{es}$  bei Leerlauf gleich  $\frac{\Omega_m}{2}$  zu machen. Unter den Wert  $\Omega_{es}$  gleich der halben aufgeprägten Grundschwingungszahl wird man kaum gehen, da dies zu schwere Schwungräder erfordert und mit diesen schweren Schwungrädern andere Unannehmlichkeiten verknüpft sein können, die in Kap. XVI besprochen sind.

#### 94. Zusammenfassung der verschiedenen Bedingungen für ein gutes Parallelarbeiten.

Für ein befriedigendes Arbeiten an einem unendlich starken Netz ist in erster Linie die Vermeidung der Resonanz mit einer Harmonischen der Drehmomentkurve maßgebend.

$$\Omega_{es} = \sqrt{\frac{p W_s}{J \Omega_m}} = \sqrt{\frac{\pi c k_p}{T}} \neq \nu \Omega_m.$$

Der kleinste Wert, den  $\nu$  annehmen kann, ist  $\frac{1}{2}$  bei Einzylinder-Viertaktmaschinen. Bei Dampfmaschinen ist der geringste Wert von  $\nu$  gleich 1. Auch bei Mehrzylindermaschinen können diese geringen Werte auftreten, wenn ein Zylinder mehr leistet als die anderen, oder der Verlauf der Leistung für Hin- und Rückgang des Kolbens verschieden ist.

Trotz ihrer geringen Amplitude sind diese Harmonischen die gefährlichsten, da für sie die Resonanzgefahr am größten ist. Um einen befriedigenden Betrieb zu erzielen, sollte

$$\Omega_{es} \leq 0,7 \nu_{min} \Omega_m \text{ sein.}$$

$\Omega_{es}$  ist bei Generatoren für induktive Vollast, für Motoren bei der größten Übererregung festzulegen und dadurch die Trägheitsmomente zu bestimmen. Eine Dämpfung ist unter diesen Bedingungen überflüssig.

Mit diesem Trägheitsmoment kontrolliert man die Pendelgeschwindigkeit und Winkelabweichung für die Harmonische  $\nu_{min} \Omega_m$  und für die Harmonische, die die größte Amplitude besitzt (Gl. 221 und 227), und rechnet daraus den wirklichen Ungleichförmigkeitsgrad infolge dieser beiden Harmonischen (Gl. 143). Fällt er noch zu groß aus, so liegt der Fehler

nicht an der Resonanzgefahr, sondern an den zu großen Amplitudenwerten der Drehmomentharmonischen. Diese können durch sorgfältige Einstellung der Kraftmaschine verringert werden. Ist dies nicht möglich, so muß das Schwungmoment noch vergrößert werden, um einen zulässigen wirklichen Ungleichformigkeitsgrad zu erhalten. Der ohne Rücksicht auf den elektrischen Teil berechnete Ungleichformigkeitsgrad kann von dem wirklichen stark differieren, der wirkliche ist größer, als der aus dem Trägheitsmoment allein berechnete.

Ist man gezwungen  $\Omega_a$  größer zu wählen als  $\nu_{mn} \Omega_m$ , so legt man es möglichst in die Mitte zwischen den beiden angrenzenden Harmonischen der Drehmomentkurve. Man wird dann am besten mit einer Maschine arbeiten, deren Eigenschwingungszahl sich nicht stark mit den Betriebsverhältnissen ändert.

In diesem Falle kann die Anbringung einer Dämpfung sehr wertvoll sein, da man bei veränderlicher Eigenschwingungszahl in den Grenzlagen ziemlich nahe den beiden angrenzenden Harmonischen des Drehmoments kommen kann. Es sind in diesem Falle die Pendelgeschwindigkeiten und Ungleichformigkeitsgrade für die beiden angrenzenden Harmonischen und für die Harmonische, die die größte Amplitude besitzt, zu bestimmen. Fallen diese noch zu groß aus, so muß an der Kraftmaschine ausgeglichen werden, oder eine starke Dampferwicklung angebracht werden, da eine Vergrößerung des Schwungmoments zur Resonanz mit der niederen angrenzenden Harmonischen führen konnte.

Liegen Eigenschwingungszahl und erzwungene Schwingungszahl näher als ungefähr 30%, so verkleinert die Dämpfung die elektrischen Leistungsschwankungen.

Die Wirkung der Dämpfung ist sehr von dem Zustande der elektrischen Maschine abhängig, und für die Nachrechnung der Grenzfälle sind die Konstanten  $D$  nach Abschnitt 83 bis 86 festzustellen.

Die Faktoren  $k_p$  variieren zwischen 1 und 5. Die größeren Werte gelten für normal gebaute, langsam laufende Generatoren, die kleinen für Turbogeneratoren mit großer Ankerrückwirkung und für Umformer. Wie das Beispiel S. 312 zeigt, ist  $k_p$  keine Konstante für die Maschine, sondern für die verschiedenen Betriebsbedingungen sehr veränderlich.

Das Trägheitsmoment haben wir mit der Anlaufzeit in Beziehung gesetzt, S. 355,

$$T = \frac{A_s}{KVA}; \quad A_s = \frac{1}{2} \Omega_m^2 \frac{GD^2}{4};$$

$$T = \frac{\left(\frac{n}{27}\right)^2 GL^2}{KVA} \quad . \quad . \quad . \quad (238)$$

Ersetzen wir den rotierenden Teil der Maschine durch einen Kranz vom mittleren Durchmesser  $D$ , von der Länge  $l$  und der Stärke  $b$  cm und von dem mittleren spezifischen Gewicht 8, so wird  $G \approx 8 \pi D l b 10^{-3}$ .

Dieser Ausdruck, in die obige Formel eingeführt, gibt

$$T = \frac{2 D^2 l n v b}{3 KVA 10^8}.$$

Das Tragheitsmoment ergibt sich aus  $T$  zu

$$J = \left( \frac{13,5}{n} \right)^2 T KVA \quad . \quad . \quad . \quad . \quad (239)$$

$\frac{D^2 l n}{KVA}$  ist, wie wir bei der Vorausberechnung der Maschinen finden werden, ein Maß für die Ausnutzung der Materialien. Diese Größe ist um so kleiner, je größer die Leistung der Maschine ist, je schneller sie läuft (natürlich bis zu einer gewissen Grenze) und je kleiner ihre Spannung ist. Hieraus folgt, daß  $T$  bei Umformern und Asynchronmotoren am kleinsten ist. Bei Synchronmotoren ist  $T$  größer.

Tabelle der Anlaufzeit  $T$  ausgeführter Maschinen.

### 1. Generatoren und Synchronmotoren.

Leistung KW	Umdrehungs- zahl $n$	Perioden $c$	Umfangs- geschwindig- keit $v$ m/sek	$\frac{D^2 l n}{KVA}$	$T$ sek	
20	1000	50	23,0	$125 \cdot 10^4$	0,41	Generatoren
50	600	50	21,4	$139 \cdot 10^4$	0,75	
80	500	50	17,7	$70 \cdot 10^4$	0,2	
170	600	50	27,2	$50,2 \cdot 10^4$	0,5	
275	360	42	38,0	$200 \cdot 10^4$	2,75	
300	250	25	16,7	$44,8 \cdot 10^4$	0,27	
325	150	50	27,6	$185 \cdot 10^4$	3,75	
330	400	53	28,0	$76,4 \cdot 10^4$	1,25	
680	300	40	38,0	$126 \cdot 10^4$	2,35	
750	300	50	35,6	$103 \cdot 10^4$	3	
900	107	50	25,2	$82 \cdot 10^4$	2,1	Synchron- motoren
1600	180	42	38,5	$110 \cdot 10^4$	4	
550	212	60	29,0	$96 \cdot 10^4$	2,35	
700	276	46	29,0	$50,5 \cdot 10^4$	0,75	



## 2. Umformer und Asynchronmotoren.

Leistung KW	Um- drehungs- zahl $n$	Perioden $c$	Umfangs- geschwindig- keit $v$ m/sek	$\frac{D^2 l n}{KVA}$	$T$ sek	
150	750	50	35,4	$56,6 \cdot 10^4$	1,25	Umformer
170	360	48	24,0	$76 \cdot 10^4$	1,05	
300	320	42,5	25,0	$124 \cdot 10^4$	1,3	
500	630	42	27,7	$33,8 \cdot 10^4$	0,6	
500	375	25	25,0	$48 \cdot 10^4$	0,65	
22	975	50	23,0	$113 \cdot 10^4$	0,65	asynchrone Motoren
44	725	50	29,4	$100 \cdot 10^4$	1,15	
55	300	50	23,5	$150 \cdot 10^4$	1,8	
59	203	50	14,0	$122 \cdot 10^4$	0,45	
185	250	50	23,6	$100 \cdot 10^4$	1,15	

In der vorstehenden Tabelle sind einige Werte von  $T$  zusammengestellt. In derselben sind zum Vergleich auch die Leistung, Tourenzahl und Periodenzahl der Maschinen eingetragen. Generatoren, deren Joch als Schwungrad dient, haben eine um so größere Anlaufzeit, je gleichformiger der Gang der Antriebsmaschine sein soll. Die Anlaufzeit liegt bei diesen zwischen 10 und 25 Sekunden.

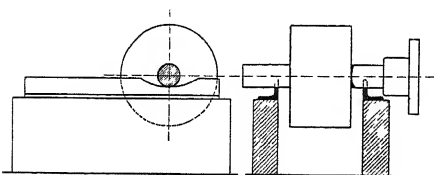


Fig 284. Rollpendelmethode zur Bestimmung des Trägheitsmoments.

Bei ausgeführten Maschinen wird man das Trägheitsmoment am besten durch das Experiment feststellen, indem man das Polrad auf irgendeine Weise zum Schwingen bringt. Am einfachsten ist die Methode des Rollpendels auf einer Kreisbahn, indem man das Polrad auf einer kreisförmigen Bahn rollen läßt, wie es Fig. 284 zeigt.

Das Trägheitsmoment ergibt sich zu<sup>1)</sup>

$$J = \frac{G q r^2}{4 \pi^2 c^2 (q - r)} - r^2 G \quad . \quad . \quad . \quad (240)$$

$J$  wird in  $m^2 \cdot kg$ -Masse erhalten.

Es bedeuten:

$c$  die beobachtete Schwingungszahl pro sek,

$q$  Radius der Kreisbahn in m,

<sup>1)</sup> s W Sarfert, Diss Dresden

$G$  Gewicht des Polrades in kg,  
 $r$  Radius der Welle in den Auflagerungsstellen in m,  
 $g = 9,81 \text{ msek}^{-2}$ .

## 95. Fernere Ursachen von Schwingungen. Die Erwärmung durch den Ausgleichstrom. Praktische Beispiele.

Es können in Wirklichkeit auch noch andere Gründe sein, die zu Schwingungen Anlaß geben. So können z. B. Torsionsschwingungen der Welle<sup>1)</sup>, oder bei mit Riemen getriebenen Maschinen Schwingungen im Riemen, wenn sie mit der Eigenschwingungsdauer übereinstimmen, starke Pendelung erzeugen.

Bei Dampfturbinen, deren Regulierung intermittierend wirkt, durch periodisches Öffnen und Schließen des Eintrittsventils, kann man unter Umständen auch Schwingungen beobachten, wenn die Pulsationen, die durch die Ventilbewegung erzeugt werden, mit der Eigenschwingungszahl des Aggregats angenähert übereinstimmen.

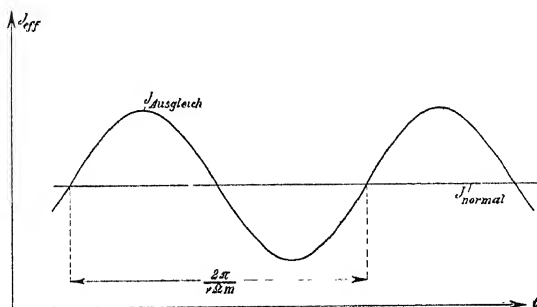


Fig. 285.

Schließlich wollen wir noch die Erwärmung der Maschine durch den Ausgleichstrom infolge des Pendelns untersuchen. Die Effektivwerte der Ausgleichströme seien eine Sinusfunktion der Zeit und lagern sich über den konstanten Effektivwert des Normalstroms (Fig. 285).

Auf S. 44 ist die Zusammensetzung eines Gleichstroms mit einem Wechselstrom behandelt. Dasselbe wenden wir jetzt hier auf einen Wechselstrom konstanten Effektivwertes und einen pulsierenden Effektivwertes an. Der dort angegebenen Formel entspricht der für die Erwärmung maßgebende quadratische Mittelwert

$$J_w = \sqrt{J_n^2 + \left(\frac{J_A}{\sqrt{2}}\right)^2} \quad \dots \quad (241)$$

<sup>1)</sup> s. z. B. Dr. L. Fleischmann, ETZ 1912

$J_A$  bedeutet den maximalen Effektivwert des Ausgleichstromes, nehmen wir diesen gleich  $\alpha J_n$  an, so erhalten wir

$$J_w = J_n \sqrt{1 + \left(\frac{\alpha}{\sqrt{2}}\right)^2}$$

Ist  $\alpha = 1$ , d. h. ist der maximale Ausgleichstrom gleich dem Normalstrom, so gilt  $J_w \simeq 1,22 J_n$ , d. h. die Erwärmung der Maschine entspricht einer 22prozentigen Überlastung. Ist  $\alpha = 0,6$ , so ist  $J_w = 1,09 J_n$ , d. h. also bei einem starken pulsierenden Strom von 60% des Normalstromes erfährt die Maschine nur eine Erwärmung, die einer dauernden Überlastung von 9% entspricht. Die Erwärmung durch die Ausgleichströme wird also meist nicht gefährlich sein, dagegen treten immer wechselnde mechanische Beanspruchungen der Spulenköpfe auf, die die Isolation im Laufe der Zeit zerstören können.

Als Beispiel<sup>1)</sup> wollen wir eine Verbundmaschine von 250 PS betrachten, die eine 48polige Drehstrommaschine mit 125 Umdrehungen pro Minute antreibt. Das Tragheitsmoment dieser Maschine beträgt 9750 kgm<sup>2</sup>. Für die Grundwelle von einer Umdrehung ist  $\Omega_m = 13,1$ . Nehmen wir für Leerlauf  $k_p = 3,75$  an, so ergibt sich  $W_s$  zu 690 KW. Die Eigenschwingungszahl der Maschine  $\Omega_n = \sqrt{\frac{p W_s}{J \Omega_m}}$  ergibt sich zu 11,36.

Nehmen wir nun für Vollast den Wert  $k_p = 4$  an, so wird  $W_s = 763$  KW und die Eigenschwingungszahl  $\Omega_n$  wird jetzt 13,8. Diese Maschine arbeitet also recht nahe dem Resonanzpunkt und geht zwischen Leerlauf und Vollast direkt durch ihn hindurch, so daß sie ohne Dämpfung und bei genügender Größe dieser Harmonischen außer Tritt fallen würde.

Als 2. Beispiel<sup>2)</sup> wollen wir einen Synchronmotor betrachten, der mit einem Gleichstromgenerator gekuppelt war und der seinen Strom teils von Turbogeneratoren, teils von Dampfdynamos erhielt und absolut nicht mit den Dampfdynamos parallel laufen wollte. Der Motor lief mit  $n = 600$  Umdrehungen, hatte 10 Pole,  $p = 5$ . Das Tragheitsmoment des Motors und der Gleichstrommaschine betrug 525 kgm<sup>2</sup> und seine synchronisierende Kraft 720 KW. Die Eigenschwingungszahl des Motors ergibt sich daraus zu

$$\Omega_n = \sqrt{\frac{5 \cdot 720000}{525 \cdot 62,8}} = 10,43,$$

$\Omega_n$  für den Motor ist  $\frac{600\pi}{30} = 62,8$ .

<sup>1)</sup> Das Beispiel ist der Abhandlung von Dr E Rosenberg entnommen.

<sup>2)</sup> Fleischmann, E u. M 1908

Die Tourenzahl der Dampfdynamos, die den Motor trieben, war 94, die elektrischen Leistungsimpulse, die von ihnen ins Netz gesendet wurden und dem Motor Schwingungen aufzwangen, hatten also die Grundschriftungszahl  $\frac{94\pi}{30} = 9,85$ . Der Motor war also fast vollständig in Resonanz mit diesen aufgeprägten Schwingungen und daher arbeitete er unbefriedigend.

F. Emde hat in E. u. M. 1907 eine Tabelle der Eigenschwingungen und der erzwungenen Schwingungen einer Reihe von Maschinen wiedergegeben, deren Leistungen zwischen 300 und 3000 KVA liegen.

Frequenz der freien Schwingung $c_n$ pro Minute	Frequenz d. erzwun- gen Schwingungen pro Minute	Verhältnis der Frequenzen
32,3	125	0,259
34,7	125	0,278
38,0	94	0,405
38,2	125	0,306
39,4	125	0,316
39,7	94	0,424
40,0	125	0,310
41,5	94	0,445
46,3	107	0,432
50,9	150	0,339
54,0	107	0,505
57,0	94	0,608
57,2	107	0,533
58,8	100	0,590
63,6	100	0,636
74,2	100	0,735

Die letzte Maschine ist mit einer Dämpferwicklung versehen, die übrigen nicht; sie läuft unter starken Leistungsschwankungen parallel.

Man sieht aus der Tabelle, daß die Maschinen, solange ihre Eigenschwingungszahl ungefähr 30% unter der aufgeprägten bleibt, ohne Dämpfung gut parallel laufen

Ein interessantes Beispiel der Störung des Parallelbetriebes gibt Dr. E. Rosenberg, Z. Ver. deutsch. Ing. 1904. Bei Verbundmaschinen von 3000 PS Leistung und 90 Umdrehungen pro Minute, die zum Antrieb von 64 poligen Drehstrommaschinen dienten und einen berechneten Ungleichformigkeitsgrad von 1 : 250 hatten, machte der Parallelbetrieb große Schwierigkeiten, die dadurch verursacht

waren, daß für die Kurbeln keine Ausgleichgewichte vorhanden waren. Als diese eingebaut wurden, war der Betrieb tadellos. Es trat hier ein sehr großes pendelndes Moment von der Dauer einer Umdrehung auf, das dann durch ein Gegengewicht beseitigt wurde. Das eingebaute Gewicht war 400 kg, der Halbmesser, an dem es angebracht wurde, 3,1 m. Das maximale Pendeldrehmoment betrug also früher  $1240 \text{ mkg} = 12170 \text{ Dim}$ . Das normale Drehmoment der Maschine betrug  $23\,900 \text{ mkg} = 234\,200 \text{ Dim}$ . Das pendelnde Moment war also  $5,2\%$  des normalen mittleren. Das Trägheitsmoment der Maschine betrug  $325\,000 \text{ kgm}^2$ . Der Faktor  $k_p$  war 3,87, so daß die synchronisierende Kraft bei einer Normalleistung der elektrischen Maschine von ca. 2080 KW 8050 KW und das synchronisierende Moment  $854\,000 \text{ Dim}$ . betrug. Die Winkelgeschwindigkeit der Maschine war  $\Omega_m = 3\pi = 9,42$ . Für die Pendelreaktanzen ergaben sich die Werte

$$x_s = \frac{J}{p} \Omega_m = \frac{325\,000}{32} 9,42 = 95\,700$$

$$x_c = \frac{S}{\Omega_m} = \frac{854\,000}{9,42} = 90\,700.$$

Die annähernde Gleichheit beider Werte zeigt, daß die Maschine nahe dem Resonanzzustande arbeitete. Die elektrische Pendelgeschwindigkeit ergibt sich als

$$\omega_v = \frac{\vartheta_v}{x_s - x_c} = \frac{12170}{5000} = 2,438$$

und der Ungleichformigkeitsgrad infolge der unbalancierten Kurbel ist

$$\delta_v = \frac{2\omega_v}{\omega_m} = \frac{2 \cdot 2,438}{314} = \frac{1}{62}$$

und lagert sich über dem normalen Ungleichformigkeitsgrad von  $\frac{1}{250}$ , so daß man von vornherein keinen günstigen Betrieb zu erwarten hat. Die elektrische Winkelabweichung im Diagramm beträgt

$$\theta_v^0 = 57,3 \frac{\omega_v}{\Omega_m} = 14,8^\circ$$

und die räumliche

$$\theta_{vr}^0 = \frac{\theta_v}{p} = \frac{14,8}{32} = 0,463^\circ$$

und die maximale Schlupfung gegenüber dem synchronen Gang

$$s_{max} = \frac{\delta_v}{2} = \frac{1}{124} = 0,807\%.$$

Die elektrische synchrone Leistungsschwankung ist  $x_s \omega_s \Omega_m$  ca. 2080 KW gleich der Normallast, so daß infolge dieses relativ kleinen Drehmoments die Belastung der Maschine zwischen Leerlauf und doppelter Belastung periodisch schwankt. Die Eigenschwingungszahl dieser Maschine ist

$$\Omega_a = \sqrt{\frac{pS}{J}} = 9,15$$

um nur 2,9% von der aufgeprägten Schwingung einer Umdrehung verschieden und daher ist sie für diese Schwingungen so empfindlich.

Ein weiterer interessanter Fall (Dr. E. Rosenberg, Inst. of E. E.) trat in Mexiko bei einer Maschine von 1050 KVA, 125 Umdrehungen und 50 Perioden auf, die einen berechneten Ungleichformigkeitsgrad von  $\frac{1}{180}$  hatte, bei der Pendelungen von 40 bis 50 KW auftraten und das Licht sehr unruhig war. Die Maschine arbeitete zwar fast in Resonanz mit der Grundschiwingung von einer Umdrehung, war aber mit einer starken Dämpferwicklung versehen, so daß bei geringer Größe dieser Grundschiwingung, die bei Dreifachexpansionsmaschinen mit 120° Kurbelversetzung, mit der die elektrische Maschine angetrieben wurde, im allgemeinen nur klein zu sein pflegt, keine Pendelgefahr vorhanden war. Der Grund der Störung wurde in einer an die Hauptmaschine gehangten, einseitig wirkenden Luftpumpe erkannt, die ein maximales pendelndes Moment von 20% des normalen Antriebsmoments von der Grundperiodenzahl erzeugte und dadurch die starken Pendelungen hervorrief. Nach Abkuppelung der Luftpumpe gingen die Leistungsschwankungen auf 4 bis 5 KW zurück und das Licht brannte ruhig.

In einem anderen Falle war die Störung des Parallelbetriebes durch ungleiche Dampfverteilung verursacht und konnte durch sorgfältige Einstellung der Steuerung beseitigt werden.

In einer anderen Zentrale arbeiteten mehrere Kolbenmaschinen vorzüglich parallel. Als aber zur Vergrößerung ein Turbogenerator aufgestellt wurde, zeigte dieser sehr starke Pendelerscheinungen. Die Nachrechnung zeigte, daß er fast in Resonanz mit der Grundschiwingung der Dampfmaschinen von einer Umdrehung war, die ihm auf elektrischem Wege aufgeprägt wurde. Durch Änderung der synchronisierenden Kraft und Anbringung einer Dämpfung wurden die Erscheinungen beseitigt.

## 96. Freie Schwingungen und Interferenzerscheinungen.

Wir haben bis jetzt von den stationären Schwingungen einer Maschine an einem unendlich starken Netz gesprochen, die ihr mechanisch oder elektrisch aufgeprägt werden und die sich als das partikuläre Integral der Gl. 219, S. 351, darstellten. Nun hat aber die Differentialgleichung 219 als allgemeine Lösung ein Integral mit zwei beliebigen Konstanten, und dieser zweite Teil, der zu Gl. 221 hinzukommt, ergibt bekanntlich die freien Schwingungen des Systems, die bei einer plötzlichen Zustandsänderung auftreten und das System nach und nach in den neuen Bewegungszustand bringen. Die Gleichung der freien Schwingungen ist nach WT, Bd I, S. 640

$$\omega_f = e^{-\alpha t} (A \cos \beta t + B \sin \beta t) \quad . \quad . \quad (242)$$

$$\text{wo} \quad \alpha = \frac{Dp}{J}, \quad \beta = \sqrt{\frac{Sp}{J} - \left(\frac{Dp}{2J}\right)^2} \quad . \quad . \quad (243)$$

ist und  $A$  und  $B$  Konstanten bedeuten, deren Größe durch die Art der Zustandsänderung bedingt ist. Die obige Gleichung, die eine schwingende freie Bewegung des Systems verlangt, gilt nur, solange die Dämpfung  $D$  relativ zum Tragheitsmoment und zur synchronisierenden Kraft  $S$  klein ist, was aber fast immer der Fall ist. Ist  $D$  groß, so verläuft  $\omega_f$  nach einer einfachen abnehmenden Exponentialfunktion.

Die stärksten freien Schwingungen werden beim Parallelschalten auftreten, wenn die Maschine in ihrer Phase oder ihrer Tourenzahl nicht genau mit den Netzwerten übereinstimmt. Wenn man eine Maschine bei großer Phasendifferenz mit dem Netz parallel schaltet, so erhält man Vorgänge elektrischer Natur, die im Wesen mit den in Kap. XVIII besprochenen Kurzschlußvorgängen übereinstimmen. Der stationäre Zustand ist durch das Zusammenwirken von  $r_a$ ,  $x_{s1}$ ,  $x_{s2}$  und  $x_{s3}$  bestimmt, indem der aus Erreger-AW und Anker-AW resultierende Kraftfluß den Ausgleichstrom induziert. Da aber der wirkliche Kraftfluß der Maschine sich nur langsam ändern kann, ist im ersten Moment die vektorielle Differenz der vollen Leerlaufspannungen auf den Ohmschen Widerstand und die Streureaktanz des Ankers geschaltet, d. h.  $x_{s2}$  ist für die ersten Momente gleich 0 zu setzen. Dadurch entstehen große Stromstöße, die ein Vielfaches des Ausgleichstromes im stationären Zustande betragen können. Dieser starke Stromstoß wird natürlich auch eine entsprechend große synchronisierende Kraft zur Folge haben, wodurch die Erscheinung zu erklären ist, daß nicht richtig parallel geschaltete Maschinen mit einem starken Ruck in den Synchronismus gerissen werden. Dieser

Ruck kann so stark sein, daß die Welle der Kraftmaschine bricht, was auch oft beobachtet wurde.

Diese freien Schwingungen können nicht dauernd bestehen, sondern klingen mit der Zeit ab und um so rascher, je größer die Wirkung der Dämpfung ist, indem in jeder Periode der freien Schwingung ein gewisser Energiebetrag abgegeben wird, der nicht mehr zur Maschine zurückflutet. Dieser Betrag besteht in abgegebener asynchroner Leistung und in Stromwärme in der Dämpferwicklung, den Polschuhen, den Leistungen anderer Maschinen usw. Maschinen bei Betrieben, die mit plotzlichen Belastungsänderungen rechnen müssen und nicht aus dem Tritt fallen sollen, also z. B. Umformer, werden stets vorteilhaft mit starker Dämpfung ausgeführt. Ist die Dämpfung nur gering, so dauern die freien Schwingungen eine lange Zeit hindurch und geben mit den eingeptragten Schwingungen Interferenzerscheinungen, indem sie sich teils schwächen, teils verstärken. Arbeitet die Maschine nahe dem Resonanzzustand, so können diese Interferenzen zu Schwebungen<sup>1)</sup> werden, die sich durch ein langsames periodisches Zu- und dann wieder Abnehmen der einzelnen Schwingungsamplituden charakterisieren. Im ungünstigsten Falle ist die Gesamtamplitude gleich der Summe aus den Amplituden der freien und der erzwungenen Schwingungen und die Gefahr des Außertrittfallens vorhanden. Diese Erscheinung ist im allgemeinen nur nach dem Parallelschalten, bei plotzlichen Änderungen der Kraftzufuhr und plotzlichen Belastungsänderungen zu beobachten.

## II. Das Pendeln beliebig vieler parallel geschalteter Maschinen.

### 97. Differentialgleichung zweier parallel geschalteter Maschinen.

Wir wollen nun zu dem Falle übergehen, daß zwei Maschinen von nicht zu verschiedener Größe, aber von verschiedener Bauart miteinander parallel arbeiten, so daß die eine Maschine, der mechanisch Schwingungen aufgedruckt werden, dieselben auch der andern mitteilen kann. Der gemeinsame Klemmenspannungsvektor beider Maschinen kann nun nicht mehr in Ruhe bleiben, wie im ersten Fall, sondern er wird auch Pendelungen ausführen müssen Seine

---

<sup>1)</sup> Als ein Bild des Verlaufs von Schwebungen, die nur dann auftreten, wenn  $\Omega_n$  nahezu gleich  $\nu\Omega_m$  ist, sei auf die Fig 202, S. 247 hingewiesen



Größe nehmen wir als konstant an, setzen also kleine Pendelungen voraus. Es gilt folgendes Diagramm (Fig. 286).

Die Winkel  $\Theta$  sind durch folgende Gleichungen mit den elektrischen Winkelgeschwindigkeiten verknüpft:

$$\frac{d\Theta_1}{dt} = \omega_1 - \omega_k; \quad \frac{d\Theta_2}{dt} = \omega_2 - \omega_k, \quad \frac{d\Theta}{dt} = \omega_k - \omega_m \quad (244)$$

$\omega_k$  bedeutet die Momentangeschwindigkeit des Netzvektors,  $\omega_m$  dessen mittlere Geschwindigkeit.

Wir erhalten nun drei Bewegungsgleichungen. Da wir nun Netze mit Maschinen zu betrachten haben, die mit ganz verschiedenen Tourenzahlen laufen, wollen wir diese Gleichungen nicht mehr als Drehmomentgleichungen wie bisher, sondern als Leistungsgleichungen ansetzen, da für jede Maschine jetzt ein anderes Verhältnis zwischen Drehmoment und Leistung besteht. Die letzte Gleichung für das gesamte Netz würde nicht mehr mit dem vorhergehenden harmonieren, und die Analogie des elektrischen Stromkreises wurde nicht mehr in der einfachen Weise gelten wie bisher.

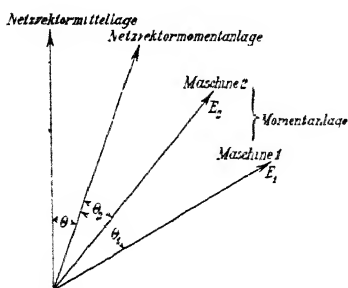


Fig. 286. Spannungsdiagramm zweier parallel geschalteter Maschinen.

Unsere drei Leistungsgleichungen enthalten jeweils Trägheitsleistung  $\frac{J}{p} \Omega_m \frac{d\omega}{dt}$ , Synchronleistung  $S \Omega_m \Theta = W_S \Theta$ , Dämpfungsleistung  $D \Omega_m \frac{d\Theta}{dt} = W_D \frac{d\Theta}{dt}$ <sup>1)</sup> und pendelnde Kraftmaschinenleistung

$$\vartheta_r \Omega_m \sin(\nu \Omega_m t + \psi_r) = W_M \sin(\nu \Omega_m t + \psi_r).$$

Die pendelnde Netzleistung, die durch den „Netzfaktor“ bestimmt war, wollen wir nicht weiter berücksichtigen, denn sie ist ja nur durch Spannungsschwankungen bedingt, die bei vielen parallel geschalteten Maschinen nur gering sein werden, besonders bei modernen Generatoren mit Spannungsregulierung. Als Tatsache können wir feststellen, daß eine starke Glühlampenbelastung durch ihre Energieabsorption immer dämpfend auf die Pendelungen wirken muß, wenn ihre Wirkung auch meist recht klein ist.

Unsere drei Gleichungen sind nun:

<sup>1)</sup> Siehe S. 325.

1. Maschine 1 gegen Netz:

$$\frac{J_1}{p_1} \Omega_{m1} \frac{d\omega_1}{dt} + W_{S1} (\Theta_1 - \Theta_{m1}) + W_{D1} \frac{d\Theta_1}{dt} = \sum_{r=1}^r W_{M1} \sin(\nu \Omega_{m1} t + \psi_{r1}),$$

2. Maschine 2 gegen Netz:

$$\frac{J_2}{p_2} \Omega_{m2} \frac{d\omega_2}{dt} + W_{S2} (\Theta_2 - \Theta_{m2}) + W_{D2} \frac{d\Theta_2}{dt} = \sum_{r=1}^r W_{M2} \sin(\nu \Omega_{m2} t + \psi_{r2}),$$

3. Gleichgewicht der ins Netz gesandten Leistungen:

$$W_{S1} (\Theta_1 - \Theta_{m1}) + W_{S2} (\Theta_2 - \Theta_{m2}) + W_{D1} \frac{d\Theta_1}{dt} + W_{D2} \frac{d\Theta_2}{dt} = 0.$$

$\Theta_{1m}$  und  $\Theta_{2m}$  sind die den normalen mittleren Stellungen der Maschinen entsprechenden Phasenverschiebungen zwischen EMK und Klemmenspannung

Wenn wir die ersten beiden Gleichungen addieren und sie mit der dritten kombinieren, so erhalten wir folgende Gleichung:

$$W_{M1} \sin(\nu \Omega_{m1} t + \psi_{r1}) + W_{M2} \sin(\nu \Omega_{m2} t + \psi_{r2}) - \frac{J_1}{p_1} \Omega_{m1} \frac{d\omega_1}{dt} - \frac{J_2}{p_2} \Omega_{m2} \frac{d\omega_2}{dt} = 0.$$

Die gesamten pendelnden Maschinenleistungen setzen sich in Trägheitsleistungen um, da das Netz nach unserer Voraussetzung keine Energie absorbiert.

Wenn man die obigen Gleichungen nach der Zeit differenziert und die wirklichen Pendelgeschwindigkeiten  $\omega_1 - \omega_k$  bzw.  $\omega_2 - \omega_k$  einführt, so entstehen folgende Gleichungen:

$$\begin{aligned} \frac{J_1}{p_1} \Omega_{m1} \frac{d^2(\omega_1 - \omega_k)}{dt^2} + W_{S1} (\omega_1 - \omega_k) + W_{D1} \frac{d(\omega_1 - \omega_k)}{dt} \\ = \sum \nu \Omega_{m1} W_{M1} \cos(\nu \Omega_{m1} t + \psi_{r1}) \quad (245) \end{aligned}$$

$$\begin{aligned} \frac{J_2}{p_2} \Omega_{m2} \frac{d^2(\omega_2 - \omega_k)}{dt^2} + W_{S2} (\omega_2 - \omega_k) + W_{D2} \frac{d(\omega_2 - \omega_k)}{dt} \\ = \sum \nu \Omega_{m2} W_{M2} \cos(\nu \Omega_{m2} t + \psi_{r2}) \quad (246) \end{aligned}$$

$$\begin{aligned} W_1 (\omega_1 - \omega_k) + W_2 (\omega_2 - \omega_k) + W_{D1} \frac{d(\omega_1 - \omega_k)}{dt} \\ + W_{D2} \frac{d(\omega_2 - \omega_k)}{dt} = 0. \quad (247) \end{aligned}$$

Daß diese Gleichungen auch für den elektrischen Stromkreis, Fig. 287, Gültigkeit haben, kann man durch Aufstellen dieser Gleichungen für den Stromkreis sofort verifizieren.

Es wirken zwei Schwingungserzeuger und es entstehen in dem System auch zwei verschiedene Schwingungen von den Periodenzahlen der Schwingungserzeuger, die sich überlagern. Es gelten nun in unserem System, das durch drei lineare Differentialgleichungen beherrscht wird, die bekannten Superpositionsprinzipien, die von den Eigenschaften elektrischer Stromkreise her auch schon bekannt sind. Es erregt jede Schwingungsquelle ihre eigenen Oszillationen, so, als ob die andere nicht vorhanden wäre, und der resultierende Schwingungszustand entsteht durch Überlagerungen der Partialschwingungen. Dementsprechend untersuchen wir das schwingende System, als ob nur eine Schwingungsquelle  $\vartheta_{r,1}$  vorhanden wäre und erhalten dann folgendes Schema (Fig. 288), das in Wirklichkeit der Parallelschaltung zweier Kraftmaschinen entspricht, von denen nur eine ein wechselndes Drehmoment hat, also der Parallelschaltung einer Kurbelmaschine mit einer Turbine.

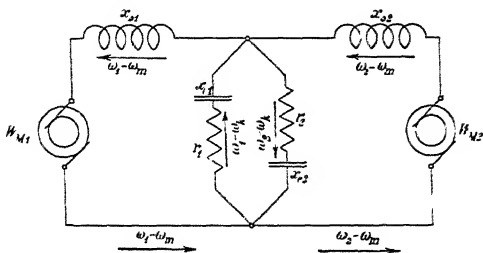


Fig. 287 Elektrischer Analogiestromkreis für zwei parallel arbeitende Kolbenmaschinen

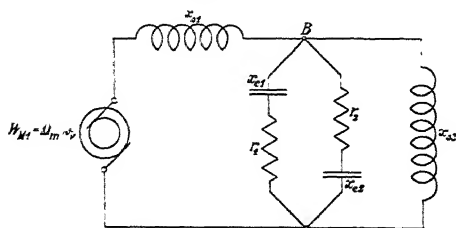


Fig. 288 Elektrischer Analogiestromkreis für eine Kolbenmaschine, die mit einer Turbine parallel arbeitet.

Die Konstanten des elektrischen Stromkreises sind durch folgende Gleichungen mit den Konstanten unseres Gleichungssystems verknüpft:

$$\left. \begin{aligned} x_{s1} &= \frac{J_1}{p_1} \Omega_{m1} \nu \Omega_{m1}; & x_{c1} &= \frac{W_{S1}}{\nu \Omega_{m1}}; & r_1 &= W_{D1} \\ x_{s2} &= \frac{J_2}{p_2} \Omega_{m2} \nu \Omega_{m1}; & x_{c2} &= \frac{W_{S2}}{\nu \Omega_{m1}}; & r_2 &= W_{D2} \end{aligned} \right\} \quad (248)$$

da in der Analogie der Gleichungen:

$$\left. \begin{aligned} L_1 &= \frac{J_1}{p_1} \Omega_{m1}; & C_1 &= \frac{1}{W_{S1}} \\ L_2 &= \frac{J_2}{p_2} \Omega_{m2}; & C_2 &= \frac{1}{W_{S2}} \end{aligned} \right\} \quad (249)$$

zu setzen ist.

Die maximalen pendelnden Leistungen sind nun gegeben durch:

1. Tragheitsleistung

$$\frac{J_1}{p_1} \Omega_{m1} \left[ \frac{d(\omega - \omega_m)}{dt} \right]_{\max} = (\omega - \omega_m)_m x_{s1}.$$

2. Synchronleistung

$$W_{s1} (\Theta_1 - \Theta_m)_{\max} = W_{s1} \left[ \int (\omega - \omega_k) dt \right]_{\max} = (\omega - \omega_k)_m x_{c1}.$$

3. Asynchronleistung

$$W_{D1} \left( \frac{d\Theta_1}{dt} \right)_{\max} = W_{D1} (\omega - \omega_k)_{\max} = (\omega - \omega_k)_m r_1.$$

da

$$\omega - \omega_m = (\omega - \omega_m)_m \sin(\nu \Omega_m t + \psi_r - \psi_1)$$

ist.

Auf Grund des Diagramms des elektrischen Stromkreises der Fig. 288 läßt sich der Einfluß der einzelnen Konstanten auf die Größe der entstehenden Pendelungen untersuchen. Wir unterlassen dies, denn es ergibt sich das bereits von Anfang an zu erwartende Resultat, daß die Pendelungen im allgemeinen um so kleiner werden, je größer man die Schwungmomente wählt. Die Pendelung des ersten Generators steigt etwas mit der Vergrößerung des Schwungmomentes des zweiten.

Wenn man zwei gleiche Maschinen auf den Einfluß der Dämpfung untersucht, erhält man das Resultat, daß die Dämpfung die elektrischen Leistungspendelungen nicht verändert, wenn der Vergrößerungsfaktor der Maschine gleich 2 ist, wie es schon im vorhergehenden Abschnitt gezeigt wurde.

Die wichtigste Frage für uns ist die nach der Resonanz, denn bei vielen parallel geschalteten Maschinen wird man sich nicht damit aufhalten, durch die Aufstellung komplizierter Diagramme und deren Superposition die resultierenden Schwingungszustände der einzelnen Maschinen zu bestimmen, da die genaue Ermittlung der Pendelausschläge gar nicht so wichtig ist, sondern der Hauptwert ist auf die Frage zu legen: wann kommt eine bestimmte Maschine des Systems in Resonanz mit einer der vielen verschiedenen dem System aufgezwungenen Schwingungen? Nur in diesem Falle wird die Maschine zu ernsthaften Störungen des Betriebs Anlaß geben können und muß dann mit einer Dämpferwicklung versehen werden, oder ihre Konstanten müssen geändert werden. Wir wollen das Problem gleich für beliebig viele parallel geschaltete Maschinen in Angriff nehmen.

## 98. Lösung des Problems für $n$ parallel geschaltete Maschinen, ohne Berücksichtigung der Dämpfung. Der allgemeine Resonanzfall.

Die Differentialgleichungen für  $n$  parallel geschaltete Maschinen lauten:

$$\left. \begin{aligned}
 1. \quad & \frac{J_1}{p_1} \Omega_{m1} \frac{d\omega_1}{dt} - W_{S1} (\Theta_1 - \Theta_{1m}) - W_{D1} \frac{d\Theta_1}{dt} \\
 & = \sum_{r=1}^r W_{M1} \sin(\nu \Omega_{m1} t - \psi_{r1}) \\
 2. \quad & \frac{J_2}{p_2} \Omega_{m2} \frac{d\omega_2}{dt} - W_{S2} (\Theta_2 - \Theta_{2m}) - W_{D2} \frac{d\Theta_2}{dt} \\
 & = \sum_{r=1}^r W_{M2} \sin(\nu \Omega_{m2} t - \psi_{r2}) \\
 & \vdots \quad \quad \quad \vdots \quad \quad \quad \vdots \quad \quad \quad \vdots \quad \quad \quad \vdots \\
 n. \quad & \frac{J_n}{p_n} \Omega_{mn} \frac{d\omega_n}{dt} - W_{Sn} (\Theta_n - \Theta_{nm}) - W_{Dn} \frac{d\Theta_n}{dt} \\
 & = \sum_{r=1}^r W_{Mn} \sin(\nu \Omega_{mn} t - \psi_{rn}) \\
 n-1. \quad & W_{S1} (\Theta_1 - \Theta_{1m}) - W_{S2} (\Theta_2 - \Theta_{2m}) - \dots \\
 & \quad - W_{Sn} (\Theta_n - \Theta_{nm}) - \dots \\
 & - W_{D1} \frac{d\Theta_1}{dt} - W_{D2} \frac{d\Theta_2}{dt} - \dots - W_{Dn} \frac{d\Theta_n}{dt} = 0
 \end{aligned} \right\} \quad (250)$$

In der Praxis entspricht dieses Gleichungssystem dem Falle, daß in einer elektrischen Zentrale verschiedene Kraftmaschinen, z. B. kleine schnelllaufende Dampfmaschinen, größere langsamlaufende und Dampfturbinen aufgestellt sind, die alle parallel geschaltete Generatoren antreiben. Das Netz dient durch Asynchronmotoren, Synchronmotoren und rotierende Umformer zur Arbeitsübertragung. Diese Motoren können entweder eine von der Tourenzahl fast unabhängige Belastung oder eine mit dieser stark variierende Belastung oder eine während jeder Umdrehung pulsierende Belastung haben. Das letztere ist z. B. der Fall, wenn die Motoren Kolbenpumpen oder Arbeitsmaschinen antreiben.

Für jede Maschine, Generator oder Motor, erhält man Differentialgleichungen, die alle dieselbe Form wie die obigen Gleichungen haben. Wird der Generator von einer Turbine angetrieben oder hat der Motor eine konstante Belastung, so verschwinden die Glieder

auf der rechten Seite der Gleichheitszeichen. Wenn dagegen der Generator von einer Kolbenmaschine angetrieben wird oder wenn der Motor zum Antreiben einer Kolbenmaschine dient, so besteht die rechte Seite der Gleichung aus einer Summe variierender Drehmomente, die zu Schwingungen im ganzen Systeme Anlaß geben. Außer den Differentialgleichungen jeder Maschine erhält man eine solche für das Netz mit der ganzen Glühlichtbelastung.

In den folgenden Betrachtungen wollen wir den Einfluß der Dämpfung und der Glühlichtbelastung vernachlässigen, denn beide haben nur auf die Amplituden einen Einfluß, auf die zu bestimmenden Resonanzschwingungszahlen nur einen sehr geringen.

Nach dem Superpositionsprinzip denken wir uns nun nur in einer Maschine erzwungene Schwingungen erzeugt und untersuchen, wie das ganze System darauf reagiert. Wir erhalten also für unser System das Schema Fig. 289.

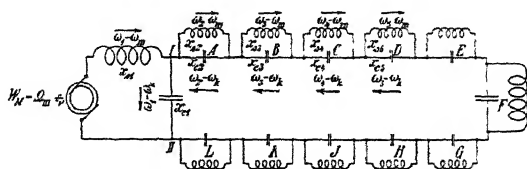


Fig. 289. Elektrischer Analogiestromkreis eines Systems parallel geschalteter Maschinen.

In der Fig. 289 ist auch der Einfluß der asynchronen Motoren vernachlässigt. Asynchronmotoren wirken nur als vorgeschaltete Widerstände bzw. Reaktanzen, so daß ihre Wirkung in einer Begrenzung der Amplituden besteht. In einem Netze, daß viele Asynchronmotoren enthält, werden die Pendelschwingungen immer geringer sein, als in einem ohne sie<sup>1)</sup>.

Parallel zu dem Kondensator  $x_{c1}$  liegt eine große Zahl hintereinander geschalteter Systeme ( $A-L$ ). Die Admittanz eines solchen Systems ist

$$-j \frac{1}{x_c} + j \frac{1}{x_s} = j \frac{x_c - x_s}{x_c x_s}$$

und seine Impedanz  $j x_c \frac{x_s}{x_s - x_c}$ . Der Ausdruck  $\frac{x_s}{x_s - x_c}$  ist der bereits erwähnte Resonanzmodul  $\zeta$ , so daß die Impedanz  $j x_c \zeta$  ist.

Die Impedanz aller hintereinander geschalteter Systeme ist nun

<sup>1)</sup> Die folgenden Betrachtungen wurden zuerst 1908 von Dr.-Ing. W. Sarfert allgemein theoretisch auf anderem Wege durchgeführt (Diss. Dresden).

$j \sum_{\frac{n}{2}} x_{c\zeta}$  und ihre Admittanz  $-j \frac{1}{\sum_{\frac{n}{2}} x_{c\zeta}}$ . Zu dieser Admittanz ist

noch die des Kondensators  $x_{c1}$  zu addieren und man erhält

$$-j \frac{1}{x_{c1}} - j \frac{1}{\sum_{\frac{n}{2}} x_{c\zeta}} = -j \frac{x_{c1} + \sum_{\frac{n}{2}} x_{c\zeta}}{x_{c1} \sum_{\frac{n}{2}} x_{c\zeta}}.$$

Die Totalimpedanz des Systems ergibt sich schließlich als

$$-j x_{s1} - j \frac{x_{c1} \sum_{\frac{n}{2}} x_{c\zeta}}{x_{c1} + \sum_{\frac{n}{2}} x_{c\zeta}} = -j \frac{x_{s1} - x_{c1} \sum_{\frac{n}{2}} x_{c\zeta} - x_{s1} x_{c1}}{x_{c1} + \sum_{\frac{n}{2}} x_{c\zeta}}$$

und die Totaladmittanz ergibt sich daraus zu

$$j \frac{\frac{x_{s1}}{x_{s1} - x_{c1}} + \frac{1}{x_{s1} - x_{c1}} \sum_{\frac{n}{2}} x_{c\zeta}}{\sum_{\frac{n}{2}} x_{c\zeta} - x_{c1} \sum_{\frac{n}{2}} x_{c\zeta}} = j \frac{x_{c1} \sum_{\frac{n}{2}} x_{c\zeta}}{x_{s1} \sum_{\frac{n}{2}} x_{c\zeta} - x_{c1} \sum_{\frac{n}{2}} x_{c\zeta}}$$

Also ist

$$(\omega_1 - \omega_m)_m = W_{M1} j \frac{x_{c1}}{x_{s1}} \sum_{\frac{n}{2}} x_{c\zeta} \quad \dots \quad (251)$$

Um zu einem Ausdruck für die Größe der Netzpendelung zu kommen, berechnen wir den Strom im Kondensator  $x_{c1}$ . Dem Punkte I der Fig. 289 fließt der Strom  $(\omega_1 - \omega_m)$  zu, durch den Kondensator fließt  $(\omega_1 - \omega_k)$ , folglich fließt durch die Systeme A, B, C... der Strom  $(\omega_k - \omega_m)$ . Nach dem Vorhergegangenen läßt sich die Potentialdifferenz I II ausdrücken durch<sup>1)</sup>:

$$j(\omega_1 - \omega_k)_m x_{c1} = (\omega_k - \omega_m)_m j \sum_{\frac{n}{2}} x_{c\zeta}$$

<sup>1)</sup> Die Werte  $\omega_1 - \omega_m$ ,  $\omega_2 - \omega_m$  geben die absolute Bewegung der Maschinen an, die experimentell bestimmt werden kann.  $(\omega_1 - \omega_k)$ ,  $(\omega_2 - \omega_k)$  geben die Relativbewegung gegen den Netzvektor an, bestimmen also die schwankenden elektrischen Leistungen. Die Relativbewegung der Maschinen gegeneinander ist durch  $(\omega_k - \omega_m)$  gegeben.

und es ergibt sich daraus

$$(\omega_1 - \omega_k)_m = (\omega_k - \omega_m)_m \frac{\sum_1^n x_c \zeta}{x_{c1}} \quad . . . . \quad (252)$$

und

$$(\omega_1 - \omega_m)_m = (\omega_k - \omega_m)_m \left( \frac{\sum_1^n x_c \zeta}{x_{c1}} + 1 \right) \quad . . . \quad (253)$$

und schließlich

$$(\omega_k - \omega_m)_m = j \frac{W_{M1}}{x_{s1}} \frac{x_{c1} \zeta_1}{\sum_1^n x_c \zeta} = j \frac{W_{M1}}{x_{s1} - x_{c1}} \frac{x_{c1}}{\sum_1^n x_c \zeta} \quad . \quad (254)$$

und es ist

$$(\omega_1 - \omega_k)_m = j \frac{W_{M1}}{x_{s1} - x_{c1}} \frac{\sum_1^n x_c \zeta}{\sum_1^n x_c \zeta} \quad . . . . \quad (255)$$

Wir haben jetzt die Pendelung des Netzvektors ermittelt und auch die Pendelung der Maschine, die die Schwingungen erregt, gegen das Netz. Da  $\frac{W_M}{x_s - x_c}$  die Pendelung einer Maschine an einem unendlich starken Netz darstellt, wird die Maschine, die die erzwungenen Schwingungen aussendet, mehr oder weniger pendeln als an einem unendlich starken Netz, je nachdem, ob  $x_{c1} \zeta_1$  kleiner oder größer als Null ist, da  $\sum_1^n x_c \zeta$  für normale Verhältnisse im allgemeinen größer als Null ist. Hat also die die Schwingungen aussendende Maschine eine größere Eigenschwingungsdauer als die der Schwingungen, die ihr aufgeprägt sind, so wird sie weniger stark pendeln als an einem unendlich starken Netz. Im anderen Falle umgekehrt.  $\sum_1^n x_c \zeta > 0$  setzt freilich voraus, daß auch der größere Teil der übrigen Maschinen eine größere Schwingungsdauer habe als die erzwungene Schwingung. Man sieht, daß auch hier Schwingungen großer Frequenz ungefährlicher sind als Schwingungen geringer. Auch die Pendelungen der übrigen Maschinen sind leicht zu bestimmen, denn für jedes der Systeme  $A$  bis  $L$  gilt die Gleichung

$$(\omega_n - \omega_k)_m j x_{cn} - (\omega_n - \omega_m)_m j x_{sn} = 0,$$

woraus sich

$$(\omega_n - \omega_k)_m = -(\omega_k - \omega_m)_m \zeta_n = -j W_{M1} \frac{x_{c1}}{x_{s1} - x_{c1}} \frac{\zeta_n}{\sum_1^n x_c \zeta} \quad (256)$$



$$(\omega_n - \omega_m)_m = -(\omega_k - \omega_m)_m \frac{x_{cn}}{x_{sn}} \zeta_n \dots (257)$$

ergibt. Man sieht, daß im allgemeinen die Maschine am stärksten gegen das Netz schwingen wird, die die Schwingungen aussendet. Das Verhältnis der Pendelamplituden der ersten und der  $n$ ten Maschine gegen das Netz ist:

$$\frac{(\omega_1 - \omega_k)_m}{(\omega_n - \omega_k)_m} = \frac{\sum_1^n x_c \zeta}{x_{c1} \zeta_n}.$$

Je kleiner die Leistung der ersten Maschine ist, je weiter entfernt die  $n$ te Maschine vom Resonanzzustand ist und um so größer die Leistungen der anderen Maschinen sind, um so größer wird dieses Verhältnis.

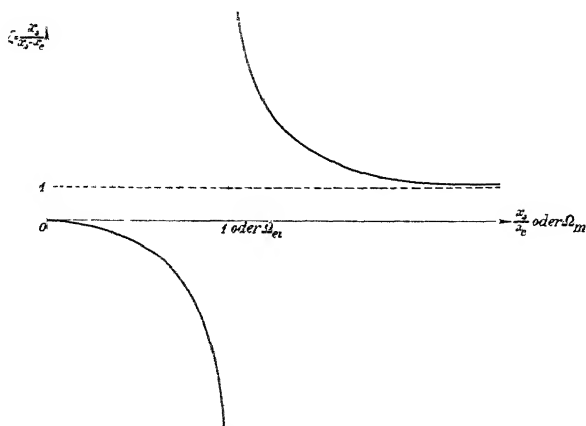


Fig. 290. Resonanzmodul.

Durch die erste Maschine wird also das ganze System in Schwingungen versetzt. Die Schwingung des Netzes hängt von allen Maschinen ab und eine jede schwingt entsprechend ihrem Resonanzmodul  $\zeta$  mehr oder weniger stark gegen das Netz. Der Resonanzmodul  $\zeta$  ist bekanntlich ein Maß für die Nähe des Resonanzzustandes. Graphisch dargestellt verläuft er wie in Fig. 290. Im Resonanzpunkt, wenn  $\Omega_m = \Omega_n$ ,  $x_s = x_c$  ist, wird  $\zeta$  unendlich; ist die aufgeprägte Schwingung von größerer Frequenz, so ist  $x_s > x_c$  und  $\zeta$  positiv. Ist die Eigenfrequenz größer als die aufgeprägte, so wird  $\zeta$  negativ.

Die Resonanzverhältnisse haben sich gegenüber dem im vorigen Kapitel behandelten einfachen Fall geändert.

Es sind verschiedene Arten von Resonanzerscheinungen möglich, die wir nacheinander betrachten wollen:

1. Die die Schwingungen aussendende Maschine ist mit sich selbst in Resonanz. ( $x_{s1} = x_{c1}$ ,  $\xi_1 = \infty$ ).

2. Eine der  $n$  Maschinen ist mit den ausgesendeten Schwingungen in Resonanz. ( $x_{sn} = x_{cn}$ ,  $\xi_n = \infty$ , Impedanz  $3_n = \infty$ .)

3. Der Stromzweig parallel zum Kondensator  $x_{c1}$  ist in Resonanz mit den Schwingungen, seine Impedanz ist Null, der Kondensator kurzgeschlossen. ( $\sum_2^n x_c \xi = 0$ .)

4. Resonanz zwischen den Klemmen I II. Der Kondensator  $x_{c1}$  und der parallel geschaltete Stromzweig kompensieren sich. ( $x_{c1} + \sum_2^n x_c \xi = 0$ ) Die Totalimpedanz des Systems ist unendlich.

5. Der eigentliche Resonanzfall für den ganzen Kreis. ( $\sum_1^n x_c \xi = 0$ , Gl. 251, S. 386.) Die Gesamtimpedanz wird Null, ( $\omega_1 - \omega_m$ ) unendlich groß.

1. Wenn eine Maschine des Systems zufällig mit der ihr aufgeprägten Schwingungszahl in Resonanz ist, braucht sie noch nicht aus dem Tritt zu fallen.

Ist  $\xi_1 = \infty$ ,  $x_{s1} = x_{c1}$ , d. h. die die Schwingungen aussendende Maschine in Resonanz mit diesen, so wird der Pendelung des Netzvektors:

$$(\omega_k - \omega_m)_m = j \frac{W_{M1}}{x_{s1}} \quad . . . . . 258$$

und die Pendelungen der anderen Maschinen gegen das Netz:

$$(\omega_1 - \omega_k)_m = (\omega_k - \omega_m)_m \frac{\sum_2^n x_c \xi}{x_{s1}} = j \frac{W_{M1}}{x_{s1}} \frac{\sum_2^n x_c \xi^1}{x_{c1}} \quad . . . 259$$

$$(\omega_n - \omega_k)_m = -j \frac{W_{M1}}{x_{s1}} \xi_n = -j \frac{W_{M1}}{x_{sn} - x_{cn}} \frac{x_{sn}}{x_{s1}} \quad . . . 260$$

Kommt also die die Schwingungen erregende Maschine in Re-

---

<sup>1)</sup> Für die elektrische Leistungsveränderung und die Gefahr des Außertrittfallens ist  $(\omega_n - \omega_k)$  maßgebend. Für die mechanischen Pendelungen und die damit verbundenen Spannungsschwankungen ist  $(\omega_n - \omega_m)$  maßgebend. Eine Maschine kann sichtbar sehr pendeln, ohne große Leistungsveränderungen zu zeigen oder aus dem Tritt zu fallen. Ebenso kann eine Maschine aus dem Tritt fallen, ohne mechanisch stark zu pendeln, wenn  $(\omega_n - \omega_m)$  klein ist und  $(\omega_n - \omega_k)$  groß ist. Es ist noch zu berücksichtigen, daß die räumlichen Pendelungen sich aus den elektrischen durch Division mit  $p$  ergeben. Das Bild der arbeitenden Maschinen ist gegenüber den Rechnungsergebnissen verzerrt. Langsamlaufende Maschinen pendeln weniger, raschlaufende mehr.

sonanz, so wird ihre Schwingungsamplitude gegen das Netz nicht unendlich. Sie wird im allgemeinen stärker schwingen als die anderen, und besonders wenn ihre Leistung klein ist gegen die Leistungen der anderen Maschinen und ihr Trägheitsmoment gering ist. Die anderen Maschinen schwingen mehr oder weniger stark gegen den Netzvektor im Vergleich mit einem unendlich starken Netz, je nachdem ob ihr Trägheitsmoment größer oder kleiner ist als das der ersten Maschine. Ist deren Trägheitsmoment klein, so liegt freilich die Gefahr nahe, daß das ganze System außer Tritt fällt, wenn auch bei einem allgemeinen starken Pendeln sie zuerst diejenige sein wird, die außer Tritt fällt.

2. Kommt eine der anderen Maschinen in Resonanz mit den aufgeprägten Schwingungen, d. h.  $\zeta_n = \infty$ , so wird  $\omega_n - \omega_{m'm} = 0$ , der Netzvektor pendelt nicht und alle Maschinen, außer der ersten und der betrachteten, laufen gleichmäßig<sup>1</sup>

Es gilt dann:

$$(\omega_1 - \omega_{k'm}) = j \frac{W_{M1}}{x_{s1} - x_{e1}} = \omega_1 - \omega_{m'm} \quad (261)$$

$$(\omega_n - \omega_{k'm}) = -j \frac{W_{M1}}{x_{s1} - x_{e1}} \frac{x_{e1}}{x_{en}} = \omega_n - \omega_{m'm} \quad (262)$$

Diejenige der beiden Maschinen wird stärker pendeln, deren Leistung die geringere ist. Ein kleinerer Motor wird z. B. von einem Generator in sehr starke Schwingungen versetzt werden können. Die erste Maschine verhält sich, als ob sie an einem unendlich starken Netz arbeitete. Die elektrische Leistungsveränderung der ersten Maschine ist  $W_{M1} \frac{x_{e1}}{x_{s1} - x_{e1}}$  und die der andern

$$(\omega_n - \omega_{k'm}) x_{en} = W_{M1} \frac{x_{e1}}{x_{s1} - x_{e1}}.$$

Die erste Maschine gibt ihre ganze pendelnde Leistung an die andere ab, und wenn diese klein ist, fällt sie außer Tritt. Es können unter Umständen beide Maschinen in dem Zustande arbeiten.

3. Der Stromzweig parallel zum Kondensator ist in Resonanz mit den Schwingungen, d. h. die Eigenschwingungszahlen der Maschinen  $A$  bis  $L$  liegen zum Teil höher, zum Teil tiefer als die aufgeprägte Schwingungszahl.

$$\sum_2^n x_{\zeta} = 0.$$

<sup>1</sup>) In diesem Falle stimmen „mechanische“ und „elektrische“ Pendelung überein.



Je näher die Eigenschwingungszahl der übrigen Maschinen der aufgezungenen Schwingungszahl liegt, desto größer werden ihre Leistungsvariationen im Vergleich zu denen der ersten Maschine.

Bei den bisher betrachteten Resonanzfällen kann das System unter Umständen noch befriedigend arbeiten. Wir betrachten jetzt den letzten Fall, bei dem unter allen Umständen das System außer Tritt fällt.

5. Der eigentliche Resonanzfall für den ganzen Kreis. Die Totalimpedanz wird Null, was nach Gl. 251 durch

$$\sum_1^n x_c \zeta = 0 \quad \text{oder} \quad \sum_1^n W_s \zeta = 0 \quad . \quad . \quad . \quad (269)$$

ausgedrückt wird.

Dann wird  $(\omega_i - \omega_m)$  unendlich groß und damit auch die Schwingungsamplituden aller Maschinen.

$$\begin{aligned} x_{c1} \zeta_1 + x_{c2} \zeta_2 + x_{c3} \zeta_3 + \dots + x_{cn} \zeta_n = 0. \\ W_{s1} \frac{J_1}{p_1} \frac{\Omega_{m1}}{\Omega_{m1}} \frac{1}{\frac{J_1}{p_1} \frac{\Omega_{m1}}{\Omega_{m1}} - \frac{W_{s1}}{\nu \Omega_{m1}}} - W_{s2} \frac{J_2}{p_2} \frac{\Omega_{m2}}{\Omega_{m2}} \frac{1}{\frac{J_2}{p_2} \frac{\Omega_{m2}}{\Omega_{m2}} - \frac{W_{s2}}{\nu \Omega_{m1}}} + \dots \\ \dots - W_{sn} \frac{J_n}{p_n} \frac{\Omega_{mn}}{\Omega_{mn}} \frac{1}{\frac{J_n}{p_n} \frac{\Omega_{mn}}{\Omega_{mn}} - \frac{W_{sn}}{\nu \Omega_{m1}}} = 0 \quad . \quad (270) \end{aligned}$$

Wenn man die Gleichung durch  $\nu \Omega_{m1}$  dividiert und auf gemeinsamen Nenner bringt, erhält man eine Gleichung in  $(\nu \Omega_{m1})^2$  vom  $(n-1)$ ten Grade. Diese liefert allgemein  $(n-1)$  Wurzeln für  $(\nu \Omega_{m1})^2$  und auch für  $(\nu \Omega_{m1})$ , da die negative Wurzel aus  $(\nu \Omega_{m1})^2$  für unser Problem keinen Sinn hat.

Dasselbe läßt sich auch ohne weiteres aus den  $\zeta$ -Kurven ersehen. Für  $n$  parallel geschaltete Maschinen existieren  $n$  verschiedene  $\Omega_{en}$ . In dem Gebiet  $\Omega$  über dem größten  $\Omega_{en}$  sind alle  $\zeta$  positiv, in dem Gebiet unter dem kleinsten  $\Omega_{en}$  sind alle  $\zeta$  (nach Fig. 290) negativ.  $\sum W_s \zeta$  kann nur zwischen diesen beiden Grenzen liegen. Für jedes  $\Omega_{en}$  wird  $\sum W_s \zeta$  unendlich groß; positiv unendlich, wenn man sich von größeren Werten her, negativ unendlich, wenn man sich von kleineren Werten  $\Omega$  her nähert. Da die  $\zeta$ -Kurven nun stetig verlaufen und  $W_s$  immer eine positive Zahl ist, muß in dem Raum zwischen je zwei Eigenschwingungsdauern  $\sum W_s \zeta$  einmal Null werden, da es stetig von  $-\infty$  bis  $+\infty$  ansteigt. Fig. 291 verdeutlicht diese Tatsachen<sup>1)</sup>.

<sup>1)</sup> Fig. 291 ist aus der Doktor-Diss von W Sarfert, Dresden 1908, entnommen.

Es sind in der Fig 291 vier parallel arbeitende Maschinen angenommen, mit den Eigenschwingungsdauern  $\Omega_{e11}$ ,  $\Omega_{e12}$ ,  $\Omega_{e13}$ ,  $\Omega_{e14}$ . Es sind die verschiedenen  $W_s$  dargestellt und die „kritischen Schwingungszahlen“  $\Omega_{k1}$ ,  $\Omega_{k2}$  und  $\Omega_{k3}$  markiert, bei denen die  $\Sigma W_s \zeta$  gleich Null wird. Da  $\zeta$  für  $\Omega$  gleich unendlich dem Werte 1 zustrebt, streben die  $W_s \zeta$ -Kurven alle dem Grenzwert  $W_s$  zu.  $W_s$  steht mit der Normalleistung der Maschine durch den Faktor  $k_n$  in Beziehung. Für eine Maschine großer Leistung liegt die  $W_s \zeta$ -Kurve im allgemeinen höher als für eine Maschine kleiner Leistung. Die Leistungen der Maschinen 1, 3 und 4 sind von ungefähr gleicher

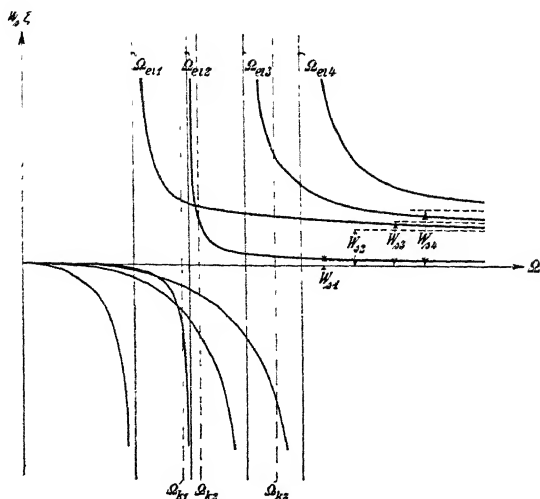


Fig. 291.

Größe, während Maschine 2 im Vergleich mit ihnen eine kleine Normalleistung hat. Die  $W_{s2} \zeta_2$ -Kurve schmiegt sich daher eng an die Abszissenachse und die Ordinate  $\Omega_{e12}$  an. Die Eigenschwingungszahlen folgen also immer so aufeinander, daß zwischen je zwei Eigenschwingungszahlen eine kritische Schwingungszahl liegt.

$$\Omega_{e11}, \Omega_{k1}, \Omega_{e12}, \Omega_{k2}, \Omega_{e13}, \dots, \Omega_{k, n-1}, \Omega_{e1n}.$$

Mit den verschiedenen Betriebsumständen ändern sich sowohl die  $\Omega_{e1}$  als auch die  $\Omega_{k1}$ , da die  $W_s$  sich ändern. Wenn mehrere Maschinen, z. B.  $m$ , die gleiche Eigenschwingungszahl haben, fallen auch  $m$ -Werte der kritischen Schwingungszahlen zusammen, so daß dann nur noch  $n - m - 1$  gefährliche Schwingungszahlen existieren. Sind alle Maschinen gleich gebaut, so gibt es nur noch eine kritische Schwingungszahl, und diese ist gleich der Eigenschwingungszahl der Maschinen. Die Lage der kritischen Schwingungs-

zahl in dem Intervall zwischen zwei benachbarten  $\Omega_{ei}$  ist von den Leistungen der Maschinen abhängig. Haben die beiden entsprechenden Maschinen ungefähr gleiche Leistungen, so liegt  $\Omega_k$  in der Mitte des Intervalls ( $\Omega_{k3}$ ). hat aber eine Maschine eine bedeutend geringere Leistung als die andere, so schmiegt sich ihre  $W_s \zeta$ -Kurve eng der Abszissenachse und ihrer  $\Omega_{ei}$ -Ordinate an, so daß  $\Sigma W_s \zeta = 0$ , die kritische Schwingungszahl, sehr nahe ihrer Eigenschwingungszahl ( $\Omega_{k1}$ ,  $\Omega_{k2}$ ) liegt.

Eine große Maschine wird unter Umständen bei Gleichheit von aufgeprägter Schwingung und Eigenschwingung noch befriedigend arbeiten, während eine kleine desselben Systems unter diesen Umständen aus dem Tritt fällt, z. B. ein Synchronmotor, der von einer Zentrale aus betrieben wird. In einer Zentrale mit vielen Maschinen ist der Ausdruck  $\Sigma W_s \zeta$  natürlich abhängig von der Zahl der arbeitenden Maschinen und ändert sich, sobald eine Maschine an- oder abgeschaltet wird. Die Tatsache daß gewisse Kombinationen von Maschinen vorzüglich parallel arbeiten, während durch Zu- oder Abschalten gewisser Maschinen der Betrieb völlig gestört werden kann, läßt sich dadurch erklären, daß durch das Zu- oder Abschalten jener Maschine die  $\Sigma W_s \zeta$  zufällig einen sehr kleinen Wert erhält. Freilich kann die eingeschaltete storende Maschine auch durch Aussendung gefährlicher erzwungener Schwingungen Betriebsstörungen verursachen.

Wird dem System die kritische Schwingungszahl aufgeprägt, so sollten nach unsern Resultaten alle Maschinen aus dem Tritt fallen. Das tritt natürlich nicht ein. Bevor der kritische Zustand erreicht ist, schwingen die einzelnen Maschinen verschieden stark entsprechend dem Werte ihres Resonanzmoduls, denn wir fanden Gl. 256

$$(\omega_n - \omega_k)_m = -(\omega_k - \omega_m)_n \zeta_n \dots \dots (271)$$

Auch für die erste Maschine gilt dies, wenn die ausgeprägte Schwingungszahl sich in der Nähe der kritischen befindet, d. h.  $\Sigma W_s \zeta$  klein ist, denn nach der Gl. 255

$$(\omega_1 - \omega_k)_m = j \frac{W_{M1}}{x_{s1}} \zeta_1 \frac{\sum_1^n x_c \zeta}{\sum_1^n x_c \zeta},$$

was sich umformen läßt in

$$(\omega_1 - \omega_k)_m = j \frac{W_{M1}}{x_{s1}} \zeta_1 \left( 1 - \frac{x_{c1} \zeta_1}{\sum_1^n x_c \zeta} \right) \dots \dots (272)$$

Ist nun Summe  $x_{c1}$  klein, so gilt annähernd

$$(\omega_1 - \omega_k)_m \approx -j \frac{W_{M1}}{x_{s1}} \frac{x_{c1}}{\sum_{i=1}^n x_{ci}} = -j (\omega_k - \omega_m)_{m=1} . \quad 273$$

Sobald der kritische Zustand eintritt und die Schwingungsamplituden der einzelnen Maschinen sich vergrößern, werden natürlich die zuerst aus dem Tritt fallen, die schon vorher die größten Schwingungsamplituden hatten, deren  $\Omega_{ei}$  am nächsten dem  $\Omega_k$  liegt. Ist nun eine solche Maschine aus dem Tritt gefallen, so ändert der Ausdruck  $\Sigma W_{si}$  seinen Wert und das ganze System beruhigt sich oder schwingt noch stärker, je nachdem, ob  $\Sigma W_{si}$  größer oder kleiner geworden ist, wenn nicht gerade die aus dem Tritt gefallene Maschine die war, die die gefährlichen Schwingungen  $\Omega_k$  aussandte. Beim Durchgehen durch den kritischen Zustand ändern alle  $(\omega_k - \omega_m)$  ihr Vorzeichen, d. h. alle Maschinen, die vorher „gegen“ das Drehmoment schwingen, schwingen jetzt „mit“ ihm. Wenn man ein Schema der Koeffizienten der  $(\omega_m - \omega_m)$  für verschiedene Werte der aufgeprägten Schwingung aufstellt, erkennt man, daß sich die ganzen Maschinen, entsprechend dem Vorzeichen ihrer Schwingungsamplituden, in zwei Gruppen einteilen lassen, die gegeneinander schwingen. Der einen Gruppe gehören immer die kleineren, im Grenzfall die kleinste, der anderen die größeren, im Grenzfall die größte Maschine an. Nie schwingen große und kleine Maschinen gegen mittlere. Schon aus diesen Tatsachen erkennt man die Möglichkeit von  $(n - 1)$  verschiedenen Zuständen des Systems, denn unter jener Voraussetzung sind eben  $(n - 1)$  verschiedene Möglichkeiten denkbar.

Wir haben bis jetzt angenommen, daß nur eine Maschine Schwingungen erregt. Im allgemeinen Fall kann nun jede Maschine Schwingungen aussenden, und alle diese verschiedenen Schwingungen superponieren sich, so daß die resultierenden entstehenden Bewegungen recht komplizierter Natur sein können. Wenn zwei der aufgeprägten Schwingungszahlen nahezu übereinstimmen, erhält man im System die schon erwähnte Erscheinung der Schwebungen, d. h. ab- und zunehmende Schwingungsamplituden.

**Zusammenfassung.** Die  $(n - 1)$  kritischen Schwingungszahlen eines Systems von  $n$  parallel geschalteten Wechselstrommaschinen liegen jeweils in dem Intervall zwischen zwei benachbarten Eigenschwingungszahlen, und liegen den Eigenschwingungszahlen um so näher, je kleiner die Leistung der betrachteten Maschine im Vergleich zu den Leistungen der anderen Maschinen des Systems ist. Kommt das System in die Nähe einer kritischen Schwingungszahl,



so fällt zuerst die Maschine aus dem Tritt, deren Eigenschwingungszahl der aufgeprägten am nächsten kommt. Sind  $m$  Maschinen gleich, so existieren nur  $(n - m - 1)$  kritische Schwingungszahlen.

Es muß also vermieden werden, daß von einer Maschine des Systems eine Schwingung ausgeht, deren Periodenzahl annähernd mit der Eigenschwingungszahl irgendeiner anderen Maschine des Systems zusammenfällt. Jeder Generator z. B. ist auch auf die Schwingungen der Kraftmaschinen aller anderer Generatoren nachzuprüfen.

Da die kritischen Schwingungszahlen innerhalb des Bereichs der Eigenschwingungszahlen liegen, kann man jede Gefahr vermeiden, indem man die Kraftmaschinen so rasch laufen läßt, daß alle erzwungenen Schwingungszahlen hoher liegen, als alle Eigenschwingungszahlen. Die Tourenzahlen von Dampfmaschinen und Zweitaktgasmaschinen werden vorteilhaft immer höher gelegt als die Eigenschwingungszahlen der Generatoren.

Bei Viertaktgasmaschinen läßt sich dies, wie schon erwähnt, oft schwer durchführen, weil man zu große Schwungmassen brauchte, um die Eigenschwingungszahl kleiner zu machen als die Grundschnwingungszahl der Kraftmaschine, deren Schwingungsdauer die doppelte Umdrehungszeit ist. Man wird in dem Falle die Eigenschwingungszahlen alle in den Bereich zwischen Grundschnwingung und erster höherer Harmonischer der Kraftmaschine legen. Damit dies für alle Maschinen in einfacher Weise möglich ist, wird man die Tourenzahlen aller Kraftmaschinen gleich zu machen suchen, und auch die Eigenschwingungszahlen auf einen möglichst engen Bereich bringen, am besten, indem allen elektrischen Maschinen die gleiche Schwingungsdauer gegeben wird. Diese legt man zwischen Grund- und erste Oberschnwingung der Kraftmaschine, und zwar naher der ersteren oder letzteren, je nachdem, ob die Amplitude der ersten Oberschnwingung oder der der Grundschnwingung stärker im Tangentialdruckdiagramm ausgebildet ist.

## 99. Pendeln von Generatoren und Umformern.

Betrachten wir noch den Fall, wo im Netz nur zwei Arten von Maschinen sind, nämlich in der Zentrale große Generatoren und an den Verteilungsstellen der Energie rotierende Umformer. Die Eigenschwingungszahl der Umformer ist im allgemeinen höher als die Grundschnwingungszahl, die von den Kraftmaschinen ins Netz gesandt wird, wenn die Generatoren große vielpolige Schwungradmaschinen sind, die z. B. von Gasmotoren angetrieben werden. Es ist in diesem Falle für die Umformer  $x_{cn} > x_{sn}$  und  $\zeta_n$  negativ.

Aus der Resonanzgleichung  $\Sigma x_c \dot{\zeta} = 0$  leiten wir für  $N$  Generatoren die Zahl  $n$  der Umformer ab, die man an die Zentrale anschließen kann, bis Resonanz entsteht.

$$N x_{cg} \dot{\zeta}_g + n x_{cu} \dot{\zeta}_u = 0$$

$$n = -N \frac{x_{cg} \dot{\zeta}_g}{x_{cu} \dot{\zeta}_u} \dots \dots \dots (274)$$

Je höher die Eigenschwingungszahl der Umformer ist, d. h. je näher  $\zeta_u$  dem Werte  $(-1)$  steht, je größer die Leistung der Generatoren ist ( $x_{cg}$ ) und je kleiner die der Umformer ist, desto mehr Umformer können angeschlossen werden, ohne daß das Netz in Resonanz gerät.

### 100. Pendelerscheinungen, wenn die $n$ Maschinen gleich sind. Einfluß der verschiedenen Kurbelstellungen.

Sind die parallel geschalteten Maschinen alle gleich, so vereinfachen sich unsere Gl. 251 bis 257. Es ist dann  $\Sigma x_c \dot{\zeta} = n x_c \dot{\zeta}$  und

$$\left. \begin{aligned} (\omega_k - \omega_m)_m &= j \frac{W_{M1}}{x_s} \frac{1}{n} \\ (\omega_1 - \omega_k)_m &= (\omega_k - \omega_m)_m (n-1) \zeta \\ (\omega_1 - \omega_m)_m &= (\omega_k - \omega_m)_m [(n-1) \zeta + 1] \\ (\omega_n - \omega_k)_m &= -(\omega_k - \omega_m)_m \zeta \\ (\omega_n - \omega_m)_m &= -(\omega_k - \omega_m)_m \frac{x_g}{x_s} \zeta = -(\omega_k - \omega_m)_m (\zeta - 1) \end{aligned} \right\} (275)$$

Wenn in diesem Falle eine einzelne Maschine Schwingungen aussendet, so pendelt sie mechanisch  $\left(\frac{n}{\zeta-1} - 1\right)$  mal so stark als die übrigen, und ihre Leistung schwankt  $(n-1)$  mal stärker als die Leistungen der andern Maschinen. Die störende Maschine pendelt gegen alle andern Maschinen, die sich synchron miteinander bewegen, und im Resonanzfall wird sie zuerst aus dem Tritt fallen. Denken wir uns alle Generatoren von gleichen Kraftmaschinen angetrieben, deren Kurbeln phasengleich sind, so sind auch die verschiedenen pendelnden Momente in Phase, und durch Superposition finden wir den resultierenden Schwingungszustand des Systems:

$$\left. \begin{aligned} (\omega_k - \omega_m)_m &= j \frac{W_{M1}}{x_s} \\ (\omega_1 - \omega_k)_m &= j \frac{W_{M1}}{x_s} \frac{1}{n} (n-1) \zeta - j (n-1) \frac{W_{M1}}{x_s} \frac{1}{n} \zeta \\ \omega_1 - \omega_k &= 0. \end{aligned} \right\} (276)$$

Aus Symmetriegründen gilt allgemein  $\omega_n - \omega_k = 0$ . Die Maschinen pendeln hier nicht gegeneinander, alle sind immer in Phase mit dem Netzvektor, es kommen keine elektrischen Leistungsschwankungen vor. Das ganze System verhält sich wie eine nicht parallel geschaltete Maschine. Wenn nun ein Maschinenaggregat, z. B. das erste, um  $180^\circ$  in der Phase gegen die andern verschoben wird, so arbeitet es bedeutend ungünstiger als die andern, denn es gilt jetzt:

Pendelnde Leistung der ersten Maschine  $W_M$ .

Pendelnde Leistung jeder anderen Maschine  $(-W_M)$ .

1. Pendelung infolge des ersten Aggregates:

$$\left. \begin{aligned} \omega_k - \omega_{m\ m} &= j \frac{W_M}{x_s} \frac{1}{n} \\ \omega_1 - \omega_{k\ m} &= j \frac{W_M}{x_s} \frac{1}{n} (n-1) \zeta \\ \omega_n - \omega_{k\ m} &= -j \frac{W_M}{x_s} \frac{1}{n} \zeta \end{aligned} \right\} \quad . \quad . \quad (277)$$

2. Pendelung infolge aller anderer Aggregate:

$$\left. \begin{aligned} \omega_k - \omega_{m\ m} &= -j \frac{W_M}{x_s} \frac{n-1}{n} \\ \omega_1 - \omega_{k\ m} &= -j \frac{W_M}{x_s} \frac{n-1}{n} \zeta \\ \omega_n - \omega_{k\ m} &= -j \frac{W_M}{x_s} \frac{1}{n} (n-1) \zeta - j \frac{W_M}{x_s} \frac{n-2}{n} \zeta \end{aligned} \right\} \quad (278)$$

Der resultierende Schwingungszustand ist also:

$$\left. \begin{aligned} \omega_k - \omega_{m\ m} &= -j \frac{W_M}{x_s} \frac{1}{n} (n-2) \\ \omega_1 - \omega_{k\ m} &= j \frac{W_M}{x_s} \frac{n-1}{n} \zeta = j \frac{W_M}{x_s - x_c} \frac{n-1}{n} \\ \omega_n - \omega_{k\ m} &= -j \frac{W_M}{x_s} \frac{1}{n} \zeta = -j \frac{W_M}{x_s - x_c} \frac{1}{n} \end{aligned} \right\} \quad (279)$$

Es pendelt nun die erste Maschine elektrisch wieder gegen alle anderen, und ihre Leistungsschwankungen sind  $(n-1)$  mal so groß als die der anderen Maschinen. Der Netzvektor pendelt nicht so stark wie im vorhergehenden Falle. Alle Maschinen außer der ersten bewegen sich synchron zueinander.

Werden nun die Generatoren gegeneinander in bezug auf eine

Schwingung um  $\frac{1}{n}$  Periode verschoben, d. h. z. B. in bezug auf die Grundschwingung die Kurbeln der Kraftmaschine um  $\frac{2\pi}{n}$  gegeneinander verdreht, so bilden die Vektoren, durch die man die Pendelmomente darstellen kann, ein geschlossenes Polygon, z. B. für 6 Maschinen nach Fig. 292.

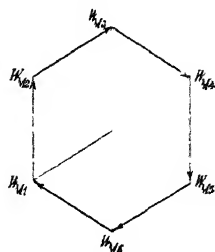


Fig. 292.

Es ist dann  $\sum_1^n W_M = 0$  und folglich auch das resultierende

$$(\omega_k - \omega_m)_m = j \frac{\sum W_M}{x_s} \frac{1}{n} = 0 \quad (280)$$

da  $\sum_2^n W_M = -W_{M1}$  ist, gilt z. B. für die erste Maschine:

$$\left. \begin{aligned} (\omega_1 - \omega_k)_m &= j \frac{W_{M1}}{x_s} \frac{1}{n} (n-1) \zeta + j \frac{W_{M1}}{x_s} \frac{1}{n} \zeta \\ (\omega_1 - \omega_k)_m &= (\omega_1 - \omega_m)_m = j \frac{W_{M1}}{x_s} \zeta = j \frac{W_{M1}}{x_s - x_c} \zeta \end{aligned} \right\} \quad (281)$$

was natürlich auch für die anderen Maschinen gilt.

Der Netzvektor führt in diesem Falle überhaupt keine Pendelungen aus, aber alle Maschinen pendeln gegeneinander mit gegenseitigen Phasenverschiebungen  $\frac{2\pi}{n}$ . Jeder Generator verhält sich gegenüber dem Netze so, als ob er allein an einem unendlich starken Netze arbeitete. In bezug auf das Netz ist also diese Arbeitsweise die günstigste, und wenn keine Resonanz vorhanden ist, ist sie auch für die Maschinen ganz günstig. Wenn aber Nähe von Resonanz vorhanden ist, so werden die Maschinen bei Kurbelsynchronismus weit besser zusammenarbeiten. Freilich treten dann Netzschwankungen auf, die aber durch ein genügendes Trägheitsmoment in zulässigen Grenzen gehalten werden können. Jedenfalls ist zu vermeiden  $(n-1)$  Maschinen gleich und die letzte anders anzutreiben. Es sind derartige Erscheinungen oft in der Praxis beobachtet worden, wo Maschinen nur in Kurbelphasengleichheit parallel arbeiteten und bei anderen Kurbelstellungen aus dem Tritt fielen.

## 101. Parallelarbeiten zweier beliebiger Generatoren.

Wir wollen unsere Formeln jetzt noch auf den einfachsten Fall zweier parallel arbeitender Generatoren anwenden. Die kritische Schwingungszahl ist durch die Bedingung  $\Sigma W \zeta = 0$  gegeben oder durch

$$W_{s1} \frac{x_{s1}}{x_{s1} - x_{c1}} - W_{s2} \frac{x_{s2}}{x_{s2} - x_{c2}} = 0 \quad . \quad . \quad (282)$$

Führt man die Maschinenkonstanten ein, so erhält man folgende Gleichung:

$$W_{s1} \frac{J_1}{p_1} \Omega_{m1} \left( \frac{J_2}{p_2} \Omega_{m2} \Omega_k^2 - W_{s2} \right) = - W_{s2} \frac{J_2}{p_2} \Omega_{m2} \left( \frac{J_1}{p_1} \Omega_{m1} \Omega_k^2 - W_{s1} \right).$$

Rechnet man  $\Omega_k$  aus dieser Gleichung aus, und berücksichtigt, daß

$$\Omega_{ei1}^2 = \frac{W_{s1} p_1}{J_1 \Omega_{m1}} \quad \text{und} \quad \Omega_{ei2}^2 = \frac{W_{s2} p_2}{J_2 \Omega_{m2}},$$

so ergibt sich:

$$\Omega_k^2 = \Omega_{ei1}^2 \frac{W_{s2}}{W_{s1} + W_{s2}} + \Omega_{ei2}^2 \frac{W_{s1}}{W_{s1} + W_{s2}} \quad . \quad . \quad (283)$$

als kritische Schwingungszahl. Ein Wert, der weder mit  $\Omega_{ei1}$  noch mit  $\Omega_{ei2}$  übereinstimmt. Sind beide Maschinen gleich, d. h.

$$\Omega_{ei1} = \Omega_{ei2} \quad \text{und} \quad W_{s1} = W_{s2},$$

so wird

$$\Omega_k = \Omega_{ei}$$

und kritische und Eigenschwingungszahl fallen zusammen, wie es zu erwarten war.

Ist der eine Generator sehr groß gegen den andern, also  $W_{s1} \gg W_{s2}$ , dann wird

$$\Omega_k \cong \Omega_{ei2}.$$

Die kritische Schwingungszahl liegt nahe der Eigenschwingungszahl der kleineren Maschine, wie wir es schon allgemein abgeleitet haben.

Zwei Generatoren gleicher Tourenzahl und verschiedener Leistung.

Die entstehenden Pendelungen lassen sich darstellen durch:

$$\left. \begin{aligned}
 (\omega_k - \omega_m)_m &= j \left( \frac{W_{M1}}{x_{s1}} \frac{x_{c1} \tilde{s}_1}{x_{c1} \tilde{s}_1 - x_{c2} \tilde{s}_2} - \frac{W_{M1}}{x_{s2}} \frac{x_{c2} \tilde{s}_2}{x_{c1} \tilde{s}_1 - x_{c2} \tilde{s}_2} \right) \\
 (\omega_1 - \omega_k)_m &= j \left( \frac{W_{M1}}{x_{s1} - x_{c1}} \frac{x_{c2} \tilde{s}_2}{x_{c1} \tilde{s}_1 + x_{c2} \tilde{s}_2} - \frac{W_{M2}}{x_{s2}} \frac{x_{c2} \tilde{s}_2}{x_{c1} \tilde{s}_1 + x_{c2} \tilde{s}_2} \right) \\
 (\omega_2 - \omega_k)_m &= j \left( \frac{W_{M2}}{x_{s2} - x_{c2}} \frac{x_{c1} \tilde{s}_1}{x_{c1} \tilde{s}_1 + x_{c2} \tilde{s}_2} - \frac{W_{M1}}{x_{c1}} \frac{x_{c1} \tilde{s}_1}{x_{c1} \tilde{s}_1 - x_{c2} \tilde{s}_2} \right)
 \end{aligned} \right\} \quad 289$$

Sind die Maschinen von gleicher Type, so ist

$$\frac{W_{M1}}{x_{s1}} \cong \frac{W_{M2}}{x_{s2}} \quad \text{und} \quad \tilde{s}_1 \cong \tilde{s}_2.$$

Man sieht, daß dann der große Generator den kleineren stärker beeinflusst als umgekehrt. Die zweiten Glieder der Ausdrücke für  $(\omega_1 - \omega_k)_m$  und  $(\omega_2 - \omega_k)_m$  geben diese gegenseitige Beeinflussung an. Diese verhalten sich nach den obigen Voraussetzungen wie  $\frac{x_{c2}}{x_{c1}}$ , also wie  $\frac{W_{s2}}{W_{s1}}$  und damit wie die Leistungen der Maschinen.

Der kleinere Generator wird also stärker pendeln als der große, und zwar ungefähr im Verhältnis der Leistungen. Am stärksten sind die gegenseitigen Pendelungen dann, wenn die beiden Maschinen gegenseitig um eine halbe Periode der stärksten Harmonischen in der Phase verschoben sind.

Haben die beiden Maschinen verschiedene Tourenzahlen, ohne einen gemeinschaftlichen Teiler, so werden von jeder Maschine harmonische Schwingungen eingeleitet, die sich mit denen der andern superponieren, als ob diese nicht vorhanden wären. Der eine Generator verhält sich dem andern gegenüber so, als ob er von einer Turbine angetrieben wäre.

Haben die Tourenzahlen einen gemeinschaftlichen Teiler  $a$ , so werden alle  $a$ -ten Harmonischen des ersten Generators mit den  $a$ -ten Harmonischen des zweiten Generators zusammenarbeiten und resultierende Schwingungen verursachen. In bezug auf die Phasen der gleichen Schwingungen gilt auch hier das oben Gesagte, sie sollen, wenn möglich, um  $180^\circ$  verschieden sein, wenn die Pendelungen im Netz möglichst gering sein sollen.

Nehmen wir nun schließlich an, die beiden Maschinen seien genau gleich. Es ist dann

$$\left. \begin{aligned} (\omega_1 - \omega_m)_m &= j \frac{\bar{W}_{M1} + \bar{W}_{M2}}{2x_s} \\ (\omega_1 - \omega_k)_m &= j \frac{\bar{W}_{M1} - \bar{W}_{M2}}{2(x_s - x_c)} \\ (\omega_2 - \omega_k)_m &= j \frac{\bar{W}_{M2} - \bar{W}_{M1}}{2(x_s - x_c)} \end{aligned} \right\} \begin{array}{l} \bar{W}_{M1} \text{ und } \bar{W}_{M2} \text{ vektoriell} \\ \text{aufzufassen) } \end{array} \quad (285)$$

Beide Dampfmaschinen erzeugen hier dieselben Harmonischen; diese brauchen aber nicht in Phase zu sein; denn die Phase der Harmonischen hängt nur von der gegenseitigen Lage der Kurbeln der beiden Maschinen ab. Wenn die Kurbeln dieselbe Lage einnehmen, so werden  $\omega_1 - \omega_k$  und  $\omega_2 - \omega_k$  gleich Null und die Generatoren verhalten sich, als ob jeder für sich allein arbeitete. In bezug auf den äußeren Stromkreis ist aber die Variation der elektrischen Leistung dieselbe, als wenn nur eine Maschine auf das Netz arbeitet, denn für  $\bar{W}_{M1} = \bar{W}_{M2}$  ergibt sich

$$\left. \begin{aligned} (\omega_k - \omega_m)_m &= j \frac{\bar{W}_M}{x_s} \\ (\omega_1 - \omega_k)_m &= 0, \quad (\omega_2 - \omega_k)_m = 0 \end{aligned} \right\} \quad . \quad . \quad (286)$$

Dasselbe gilt auch für alle Schwingungen, die eine Periodenzahl gleich einem geraden Vielfachen der Grundperiodenzahl haben, wenn die Kurbeln um  $180^\circ$  gegeneinander versetzt sind. Die Schwingungen nach der Grundperiodenzahl und den ungeraden Vielfachen davon heben sich in diesem Falle dagegen in bezug auf das Netz auf, während sie in bezug auf die Generatoren sich so verhalten, als ob jeder Generator mit einem unendlich großen Generator, d. h. einem unendlich starken Netz, parallel geschaltet wäre.

Denn für  $\bar{W}_{M1} = -\bar{W}_{M2}$  werden die Schwingungen  $\omega_k - \omega_m = 0$ , d. h. der Netzvektor ist bewegungslos,

$$\left. \begin{aligned} (\omega_1 - \omega_k)_m &= j \frac{\bar{W}_{M1}}{x_s - x_c} \\ (\omega_2 - \omega_k)_m &= -j \frac{\bar{W}_{M2}}{x_s - x_c} \\ (\omega_1 - \omega_2)_m &= 2j \frac{\bar{W}_{M1}}{x_s - x_c} \end{aligned} \right\} \quad . \quad . \quad . \quad (287)$$

Wenn der eine Generator infolge dieser ungeraden Harmonischen nach rechts schwingt, so macht in demselben Moment der andere eine Schwingung nach links. Die Winkelabweichung der beiden Generatoren wird in diesem Falle doppelt so groß wie die Winkelabweichung der EMK eines Generators der Klemmenspannung

gegenüber, daher entsteht in diesem Falle die größte Spannungsschwankung.

Da die Winkelabweichung der beiden Generatoren nur ca.  $90^\circ$  ausmachen darf, bis sie außer Tritt fallen, so sind die Generatoren doppelt so schlecht daran, als wenn sie mit einem unendlich großen Generator parallel arbeiteten

Sind die Kurbeln der beiden Maschinen um  $90^\circ$  gegeneinander versetzt, so setzen sich die Amplituden der ungeraden harmonischen Oberschwingungen unter  $90^\circ$  zusammen und die der geraden Harmonischen unter  $180^\circ$ . Es werden deswegen die Schwingungen der zweifachen Periodenzahl sich in diesem Falle in bezug auf das Netz aufheben, während die Schwingungen der Generatoren nach dieser Periodenzahl ebenso groß werden, als wenn jeder Generator mit einem unendlich großen Generator parallel geschaltet wäre.

Es ist hieraus leicht ersichtlich, daß die Winkelabweichung  $\Theta_r^0$  eines Generators am größten wird, wenn die betreffenden Harmonischen  $180^\circ$  gegeneinander in Phase verschoben sind. Dies ist für die erste Harmonische der Fall, wenn die Kurbeln um  $180^\circ$  gegeneinander verschoben sind, für die zweite Harmonische, wenn sie um  $90^\circ$  versetzt sind. Die Winkelabweichung  $\Theta_r^0$  ist dann ebenso groß als wenn der Generator mit einem unendlich großen, gleichförmig angetriebenen Generator parallel arbeiten würde.

Die Winkelabweichung  $\Theta_r^0$  verschwindet, wenn die betreffenden Harmonischen der beiden Maschinen miteinander in Phase sind. Dies ist für die erste Harmonische der Fall, wenn die Kurbeln gegenseitig dieselbe Lage einnehmen. Es ist für die zweite Harmonische der Fall, wenn die Kurbeln entweder dieselbe Lage einnehmen oder um  $180^\circ$  gegeneinander verschoben sind.

Wenn man zwei gleiche Generatoren parallel schaltet, so ist der ungünstigste Fall, der überhaupt eintreten kann, analog dem in Abschn. 89—95 behandelten Fall, wo ein von einer Kurbelmaschine angetriebener Generator mit einem unendlich starken Netz parallel arbeitet. Die für diesen Fall abgeleiteten Diagramme gelten somit auch für den ungünstigsten Fall hier. Es darf jedoch in diesem letzten Falle die Winkelabweichung  $\Theta_r^0$  nur halb so groß sein als im ersten, wo der eine Generator unendlich groß war.

## 102. Beispiel eines praktischen Parallelbetriebs.

Eine Zentrale enthalte 6 Maschinenaggregate:

2 Stück 500 KW-Generatoren mit 107 Umdr. i. d. Min.

2 „ 1000 KW-Generatoren „ 107 „ „ „ „

die von horizontalen Tandem-Verbundmaschinen angetrieben werden,



- 1 1500 KW-Generator mit 83,5 Umdr i. d. Min. und  
 1 3000 KW-Generator „ 1000 „ „ „ „

die von einer vertikalen Compound-Dampfmaschine resp. von einer Dampfturbine angetrieben werden. Alle Maschinen liefern 50 Perioden und arbeiten parallel auf dasselbe Netz; sie leisten zusammen normal 7500 KW. Die vier kleinsten Aggregate haben 28 Polpaare und erzeugen deswegen Schwingungen entsprechend  $\frac{p}{\nu} = 28, 14, 9,33, 7$  usw. Die Variation der Leistung nach der Grundwelle ( $\frac{\nu}{p} = \frac{1}{28}$ ) macht bei Belastung 15 % und die Variation nach der zweiten Harmonischen 85 % der Normalleistung aus.

Die vertikale Compoundmaschine hat 36 Polpaare und erzeugt somit Schwingungen entsprechend  $\frac{p}{\nu} = 36, 18, 12, 9$  usw. Die Variation der Leistung nach der Grundwelle ist hier 10 %, die der zweiten Harmonischen 30 %, die der dritten 15 % und die der vierten Harmonischen 30 % der Normalleistung. Bei Aufstellung von Synchronmotoren und Umformern ist nun darauf zu sehen, daß ihr Resonanzverhältnis

$$\left(\frac{p}{\nu}\right)_{res} = \sqrt{\frac{4\pi cT}{k_p}}$$

nicht in der Nahe von 36, 28, 18, 14, 12,  $9\frac{1}{3}$ , 9, 7 usw. zu liegen kommt

Es ist  $c = 50$ ,  $k_p$  schwankt zwischen 3 und 6,  $T$  zwischen 1 und 4. Es ist also

$$\left(\frac{p}{\nu}\right)_{res} = \sqrt{\frac{4\pi cT}{k_p}} = 14,5 \text{ bis } 20,5$$

Wie ersichtlich, werden die Synchronmotoren und die Umformer besonders von der zweiten Harmonischen der beiden Maschinengattungen gefährdet, was besonders unangenehm ist, weil diese am größten ist

Hätte z. B. ein 100 PS-Synchronmotor  $\sqrt{\frac{4\pi cT}{k_p}} \approx 18$ , so würde derselbe sofort von der zweiten Harmonischen der 1500 KW-Compoundmaschine außer Tritt geschlagen werden.

Für den 1500 KW-Generator beträgt die Anlaufzeit  $T = 7,5$  Sek. Da seine mittlere Winkelgeschwindigkeit  $\Omega_m = 8,75$  ist, ergibt sich sein Trägheitsmoment zu 294000 kgm<sup>2</sup>. Der Faktor  $k_p$  sei 4, woraus sich die synchronisierende Leistung zu 6000 KW ergibt. In

bezug auf die zweite Harmonische der Dampfmaschine, die ihn antreibt, sind seine Pendelkonstanten

$$x_{sg} = \frac{J}{p} \Omega_m^2 \Omega_m = \frac{294000}{36} 8,75^2 8,75 = 1250000.$$

$$x_{cg} = \frac{W_s}{2 \Omega_m} = \frac{6000 \cdot 10^3}{2 \cdot 8,75} = 344000.$$

Sein Resonanzmodul

$$\zeta_g = \frac{x_{sg}}{x_{sg} - x_{cg}} = 1,376.$$

Seine Eigenschwingungszahl ist

$$\Omega_e = \sqrt{\frac{Sp}{J}} = 9,16,$$

so daß unter Umständen Resonanzerscheinungen mit seiner Grundharmonischen ( $\Omega_m = 8,75$ ) eintreten können. Die Leistungsveränderung der zweiten Harmonischen macht 30% der Normalleistung aus, d. h. 450 KW. Wenn der Generator an einem unendlich starken Netz arbeitete, so betrüge die Schwankung der elektrischen Leistung

$$\frac{450}{x_{sg} - x_{cg}} x_{cg} = 170 \text{ KW.}$$

Wenn der 100 PS-Synchronmotor in Resonanz mit der zweiten Harmonischen kommt, so beträgt seine elektrische Leistungsveränderung, nach S. 390.

$$(\omega - \omega_k) x_{cn} = W_M \frac{x_{c1}}{x_{s1} - x_{11}} = 170 \text{ KW,}$$

d. h. also mehr, als die doppelte Leistung des Motors. Die normale Leistung des Motors ist ca. 82 KW.  $82 + 170 = 252$  KW ist mehr wie die dreifache Leistung des Motors, und wenn er nicht imstande ist, diese Leistung zu liefern, so fällt er aus dem Tritt.

Um dies zu verhüten, muß man entweder das Verhältnis  $\frac{T}{k_p}$  ändern oder an dem Motor eine kräftige Dämpfung anordnen.

In diesem Systeme können aber noch andere Störungen auftreten. Werden z. B. mehrere Umformer aufgestellt, die von der 1500 KW-Maschine betrieben werden, für die

$$\sqrt{\frac{4\pi cT}{k_p}} = 16 \leq \frac{18}{14}$$

gemacht wird, so muß  $\frac{k_p}{T} = \frac{4\pi c}{16^2} = \frac{628}{256} = 2,45$  sein. Nehmen wir

$T=1$  an, so wird  $k_p=2.45$  und ist  $p=5$ .  $n=600$ ,  $\Omega_m=62,8$  und die Leistung 300 KW. so ergibt sich:

$$J=152 \text{ kgm}^2 \quad W_s=735 \text{ KW},$$

und es ergeben sich die Pendelkonstanten in bezug auf die zweite Harmonische des Generators:

$$x_{sz}=33500 \quad x_{su}=41750$$

und der Resonanzmodul  $\tilde{z}_u=-4,01$ .

Die Zahl der Umformer, die aufgestellt werden können, bevor das ganze Netz in Pendelungen gerät, ist

$$n = -\frac{x_g \tilde{z}_g}{x_{sz} \tilde{z}_u} = \frac{687000 \cdot 1,376}{41750 \cdot 4,01} = 5,6$$

Wenn also die Maschine auf 5 bis 6 derartige Umformer arbeitet, werden Pendelungen zu erwarten sein.

Was den von der Dampfturbine angetriebenen Generator anbetrifft, so ist seine Anlaufzeit angenähert

$$T = \frac{2D^2 l_n \cdot b}{3KV A 10^3} \approx \frac{2}{3} \frac{60 \cdot 10^4 \cdot 60 \cdot 6}{10^3} = 14,4 \text{ Sek}$$

und da  $k_p \approx 3$ , so wird

$$\sqrt{\frac{4\pi cT}{k_p}} = 17,3.$$

Selbst wenn für den Turbogenerator Resonanz auftreten würde, so kann die Variation der elektrischen Leistung eines der kleinen Generatoren diesen großen Generator doch nicht in nennenswerte Schwingungen versetzen. Da der Turbogenerator eine konstante Leistung liefert, so wirkt er günstig auf den Betrieb, weil die Variation der elektrischen Leistung dadurch verkleinert wird.

Die vier Maschinenaggregate mit je 28 Polpaaren können ebenfalls störend aufeinander einwirken. Der ungünstigste Fall tritt dann ein, wenn einer der 500 KW-Generatoren in bezug auf die erste oder zweite Harmonische in Gegenlage zu den drei anderen kommt. Die drei Generatoren, die in bezug auf die zweite Harmonische in Phase sind, haben zusammen eine Leistung von 2500 KW, d. h. eine fünfmal größere Leistung als der 500 KW-Generator selbst. Die elektrische Leistung dieses letzteren wird deswegen ca. fünfmal so stark pendeln, als die Leistung der andern 500 KW-Generatoren. Seine elektrische Pendelung ist nach S. 398 ungefähr  $2 \cdot \frac{2500}{3000} \sim 1,7$  mal so stark, als wenn er an einem unendlich starken Netz arbeitete.

## Sechzehntes Kapitel.

### Stationäre freie Schwingungen parallel geschalteter Wechselstrommaschinen.

103. Das Pendeln einer einzelnen Maschine, herrührend von dem Geschwindigkeitsregulator. — 104. Das Pendeln zweier gleicher, von gleichen Kraftmaschinen angetriebenen Generatoren infolge der Geschwindigkeitsregulatoren. — 105. Berücksichtigung der elektrischen Dämpfung der Generatoren bei den Regulatorschwingungen. — 106. Die Periodenzahl der Regulatorschwingungen und ihre Interferenz mit der erzwungenen Schwingung der Kraftmaschine. — 107. Freie Schwingungen parallel arbeitender Gasdynamos verursacht durch erzwungene Gasschwingungen in der Ansaugleitung. — 108. Ein praktisches Beispiel der Gasschwingungen. — 109. Freipendelungen zweier parallel geschalteter Wechselstrommaschinen infolge der Änderung der synchronisierenden Kraft während des Pendelvorganges. Berechnung des Ausgleichstromes bei Berücksichtigung der Spannungsschwankungen. — 110. Ein praktischer Fall. Möglichkeit derselben Erscheinung auf Grund der Ankerhysterese. Schwierigkeit des Parallelschaltens bei schweren Schwungrädern. — 111. Freipendelungen an einem unendlich starken Netz infolge der Variation der synchronisierenden Kraft. a) Unter Annahme der Gültigkeit des Vektordiagramms während der Pendelungen und Berücksichtigung der Änderung der EMK  $E$ . b) Freipendelungen durch den Einfluß des Ohmschen Widerstandes der Maschine.

#### 103. Das Pendeln einer einzelnen Maschine, herrührend von dem Geschwindigkeitsregulator.

Man hat in der Praxis oft die Erfahrung gemacht, daß parallel geschaltete Generatoren, gleichgültig ob sie von Kolbenmaschinen oder Turbinen angetrieben werden, pendeln. Die Schwingungen zeichnen sich dann durch eine große Schwingungsdauer aus, die sich auf mehrere Sekunden beläuft. Da die Schwingungsdauer der von dem Kurbelmechanismus erzwungenen Schwingungen nur Bruchteile von Sekunden beträgt, so ist es klar, daß es sich hier nicht um erzwungene Schwingungen, die von dem Kurbelmechanismus herrühren, sondern lediglich um freie Schwingungen des ganzen

Systems handelt. Freie Schwingungen können bekanntlich nicht von selbst entstehen, sondern müssen von äußeren Kräften, wie Belastungsstößen oder Spannungsänderungen hervorgerufen werden. Ist das System durch irgendeine äußere Kraft erst in Schwingungen versetzt, so werden diese in ihrer Größe entweder zu oder abnehmen. Im ersten Falle ist das System im labilen und im zweiten Falle im stabilen Gleichgewicht.

Während einer Schwingungsdauer der mit den Schwungrädern verbundenen Generatoren fuhren die Regulatoren auch eine volle Schwingung aus. Die Regulatoren spielen somit auch eine Rolle bei diesen Schwingungen<sup>1)</sup>. Wir werden deswegen hier zuerst den Regulierungsvorgang bei allein arbeitenden Kraftmaschinen näher betrachten.

Wir haben in Kap. XIII gesehen, daß es für das Parallelarbeiten mehrerer Wechselstrom-Generatoren günstig ist, wenn die Regulatoren der Kraftmaschinen eine Geschwindigkeitsänderung mit der Belastung bedingen. Durch Verstellung des Gegengewichtes am Regulator stellt man dann nachträglich die erwünschte Tourenzahl

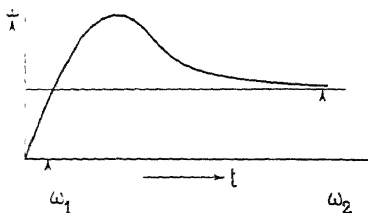


Fig. 293.

her. Einer plötzlichen Belastungsänderung einer Maschine entspricht auch eine plötzliche Geschwindigkeitsänderung. Die Geschwindigkeit ändert sich aber nicht sprunghaft und in den meisten Fällen auch nicht asymptotisch, wie in Fig. 293 angenommen ist, obgleich eine solche Änderung die ideale

ist. Im allgemeinen geraten die Maschinen bei einer plötzlichen Belastungsänderung in Schwingungen; denn die Trägheit der Regulatormassen und die Unempfindlichkeit des Regulators gestatten dem Regulator nicht, den schnellen Geschwindigkeitsvariationen der Maschine zu folgen. Mittels eines Tachographen ist es möglich, die Geschwindigkeitsvariation der Maschine experimentell zu bestimmen.

In der Fig. 294 sind solche experimentell aufgenommene Tachogramme einer Tandemverbundmaschine dargestellt.

Die Geschwindigkeitsvariation läßt sich als Funktion der Zeit durch die folgende Formel ausdrücken

$$\Omega - \Omega_m = A e^{-at} \sin(bt + \psi) + B e^{-dt}, \quad \dots \quad (288)$$

wo  $A$  und  $B$  zwei Konstanten sind, die von der Größe der Be-

<sup>1)</sup> A. Föppl hat in ETZ 1902, S. 59 zuerst diese Schwingungen mathematisch behandelt, jedoch in etwas anderer Weise, als es hier geschieht.

lastungsänderung abhängen und  $e$  die Basis der natürlichen Logarithmen bedeutet. Die drei Größen  $a$ ,  $b$ ,  $d$  hängen von der Form

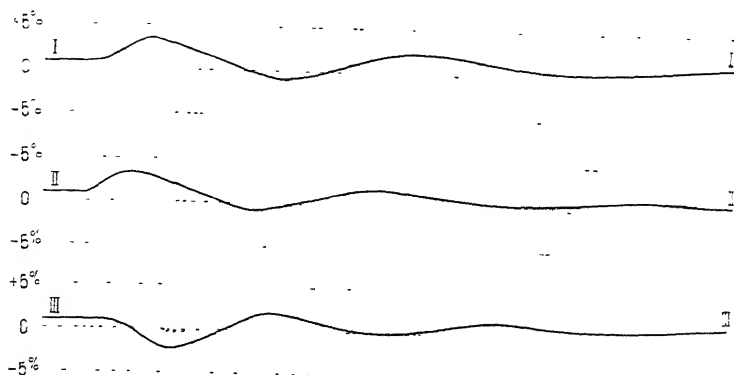


Fig. 294. Experimentell aufgenommene Tachogramme einer Tandemverbundmaschine.

der Geschwindigkeitskurve ab. Bezeichnen wir die Zeitdauer einer vollen Periode mit  $T$  Sekunden, so wird

$$b = \frac{2\pi}{T},$$

$a$  ergibt sich aus der Geschwindigkeit, mit der die Schwingungen aussterben. Zeichnet man die Einhüllungskurven der Schwingungen,

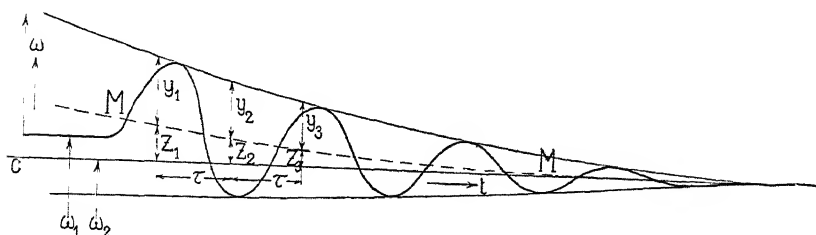


Fig. 295.

wie in Fig. 295 geschehen, ein und mißt die Abstände  $2y_1$ ,  $2y_2$  und  $2y_3$  derselben in drei gleich weit ( $\tau$ ) voneinander liegenden Zeitpunkten, so ist

$$y_1 - y_2 = A(e^{-at} - e^{-a(t+\tau)})$$

und

$$y_2 - y_3 = A(e^{-a(t+\tau)} - e^{-a(t+2\tau)}),$$

also

$$\frac{y_1 - y_2}{y_2 - y_3} = \frac{e^{-at} - e^{-a(t+\tau)}}{e^{-a(t+\tau)} - e^{-a(t+2\tau)}} = e^{a\tau},$$

woraus folgt

$$a = \frac{1}{\tau} \ln \frac{y_1 - y_2}{y_2 - y_3} = \frac{2,3}{\tau} \log \frac{y_1 - y_2}{y_2 - y_3}.$$

Die Werte  $a$  und  $b$  wurden aus Tachogrammen einer 400 PS-Dampfmaschine zu  $a = 0,027$  und  $b = \frac{2,7}{19} = \frac{1}{3}$  ermittelt.

Die Konstante  $d$  ist schwieriger zu ermitteln, weil diese sich aus der Geschwindigkeit ergibt, mit der die Mittellinie  $MM$  der Schwingungskurve sich der Achse  $OO$  des stationären Wertes nähert. Es ist

$$d = \frac{2,3}{\tau} \log \frac{z_1 - z_2}{z_2 - z_3}.$$

Da aber die Mittellinie schwierig genau zu bestimmen ist, hat der in dieser Weise ermittelte Wert für  $d$  keinen Anspruch auf Genauigkeit. Es sollen deswegen Formeln zur Berechnung von  $d$  aufgestellt werden.

Für das Verhalten eines Regulators während einer Belastungsänderung erhält man die folgende Differentialgleichung

$$a_1 \frac{d^2 x}{dt^2} + a_2 \frac{dx}{dt} + a_3 (x - x_0) = (\omega - \omega_m) a_4 \cdot 1 \quad . \quad (289)$$

$x$  ist der Hub der Regulatorhülse,

$x_0$  der Hub in dem Gleichgewichtszustand,

$a_1$  ein Maß für die Trägheitskräfte,

$a_2$  ein Maß für die Dämpfungskräfte,

$a_3$  ist ein Maß für die statischen Kräfte, die bei einer Änderung des Hubes auftreten, und

$a_4$  ein Maß für die Änderung der statischen Kräfte bei einer Geschwindigkeitsvariation der Maschine. Diese Konstante denken wir uns auf die elektrische Winkelgeschwindigkeit  $\omega$  der Maschine reduziert.

Für den Porterregulator Fig. 296a ergibt sich

$$a_1 = \frac{Q}{2lg \sin \varphi_0} l_1^2 + \frac{G}{g} l \sin \varphi_0$$

und

$$a_4 = \frac{Q}{g} \frac{\Omega_r^2 l_1^2}{p \Omega_m} \left( \frac{Q}{l_1} + \sin 2 \varphi_0 \right).$$

Für den Federregulator Fig. 296b ergibt sich

$$a_1 = \frac{Q}{lg \cos \varphi_0} l_1^2$$

<sup>1</sup> Siehe Föppl, ETZ 1902, S. 59.

und

$$a_1 = \frac{Q}{g} \frac{\Omega_r^2}{p \Omega_m} l_1^2 \frac{\varrho'}{l_1} \sin 2\varphi_{0f},$$

$a_2$  ist besonders abhängig von der Reibung und von dem Olkatarakt, wenn ein solcher vorhanden ist; diese Konstante läßt sich deswegen schwierig vorausberechnen.

$a_3$  ist proportional dem Quadrate der Umfangsgeschwindigkeit  $\Omega_r$  und dem Ungleichformigkeitsgrade  $\delta$  des Regulators.

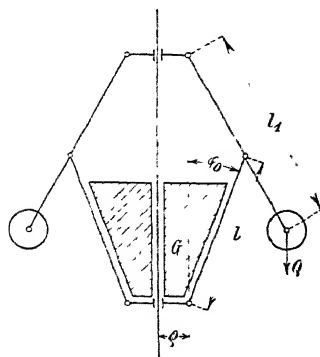


Fig. 296a. Gewichtsregulator.

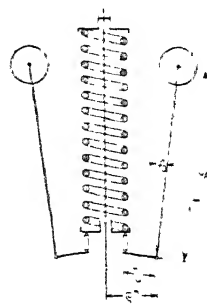


Fig. 296b. Federregulator.

Um die obige Differentialgleichung lösen zu können, muß noch eine Beziehung zwischen  $(\omega - \omega_m)$  und  $x$  eingeführt werden. In Fig. 297 ist das Drehmoment der Kraftmaschine als Funktion des Regulatorhubes aufgetragen. Durch eine Änderung des Hubes um  $dx$  von der Gleichgewichtslage  $x_m$  aus wird das Drehmoment der Kraftmaschine um

$$(x_m - x) \frac{d\vartheta}{dx}$$

verändert und diesem wird von dem Moment der Trägheitskraft  $\frac{J d\omega}{p dt}$  des Schwungrades das

Gleichgewicht gehalten; es ist somit

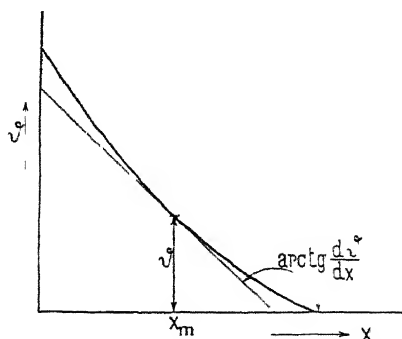


Fig. 297. Drehmoment in Abhängigkeit vom Regulatorhub.

$$(x - x_m) \frac{d\vartheta}{dx} = \frac{J d\omega}{p dt}$$



oder

$$x - x_m = \frac{J \frac{d\omega}{dt}}{p \frac{dx}{dt}}.$$

Führen wir diese Beziehung in die obige Gleichung ein, so geht diese in

$$a_1 \frac{d^3 \omega}{dt^3} + a_2 \frac{d^2 \omega}{dt^2} + a_3 \frac{d\omega}{dt} + a_4 \frac{dx}{J} p \omega - \omega_m = 0$$

über. Dividieren wir diese Gleichung überall durch  $a_1$  und setzen

$$\frac{a_2}{a_1} = \alpha, \quad \frac{a_3}{a_1} = \beta \quad \text{und} \quad -\frac{a_4}{a_1} \frac{dx}{J} p = \gamma,$$

so erhalten wir die folgende Gleichung

$$\frac{d^3 \omega}{dt^3} + \alpha \frac{d^2 \omega}{dt^2} + \beta \frac{d\omega}{dt} + \gamma (\omega - \omega_m) = 0 \quad . \quad . \quad (290)$$

Die Lösung dieser Gleichung lautet

$$\omega = \omega_m + A e^{-at} \sin(bt - \psi) + B e^{-dt},$$

—  $a$  —  $j b$  und —  $d$  sind die drei Wurzeln der Gleichung

$$y^3 + \alpha y^2 + \beta y + \gamma = 0. \quad . \quad . \quad . \quad (291)$$

Es ist somit

$$y^3 + \alpha y^2 + \beta y + \gamma = (y - a + j b)(y - a - j b)(y + d) \\ = [y^2 + a^2 + b^2](y + d) = y^3 + (2a - d)y^2 + (a^2 + b^2 + 2ad)y + (a^2 + b^2)d,$$

woraus folgt

$$\gamma = (a^2 + b^2)d \quad \text{oder} \quad d = \frac{\gamma}{a^2 + b^2}. \quad . \quad . \quad (292)$$

Berechnet man nun  $\gamma$  nach den obigen Formeln und ermittelt  $a$  und  $b$  durch Versuch, so läßt sich die Konstante  $d$  in dieser Weise bestimmen. Es kann dann auch die Konstante

$$\alpha = 2a - d$$

und

$$\beta = a^2 + b^2 + 2ad$$

berechnet werden.

Bilden wir das Produkt

$$\alpha\beta = (2a + d)(a^2 + b^2 + 2ad) = d(a^2 + b^2) + 2ad^2 + 2a^3 + 2ab^2 + 4a^2d$$

und ziehen davon  $\gamma$  ab, so erhalten wir

$$\alpha\beta - \gamma = 2a(a^2 + d^2 + 2ad + b^2) = 2a[(a + d)^2 + b^2].$$

Aus dieser Gleichung folgt, daß  $\alpha$  eine positive Größe ist, d. h. daß einmal entstandene Schwingungen nicht zu- sondern abnehmen, wenn

$$\alpha\beta - \gamma > 0. \quad . \quad . \quad 293$$

Diese Ungleichung ist somit die Bedingung für das Aussterben der Schwingungen.

Bei einem vollständig astatischen Regulator ist  $a_3 = 0$ , und da  $\beta = \frac{a_3}{a_1}$  in dem Falle auch gleich Null wird, so ist der astatische Regulator für sich allein ganz unbrauchbar; denn  $\gamma$  ist stets positiv.

#### 104. Das Pendeln zweier gleicher und von gleichen Kraftmaschinen angetriebenen Generatoren infolge der Geschwindigkeitsregulatoren.

Wir gehen nun zu dem Falle über, wo zwei gleiche Kraftmaschinen parallel geschaltete Generatoren antreiben. Die beiden Maschinenaggregate sind durch die elektrischen Verbindungen der Generatoren miteinander gekuppelt; die Kupplung ist, wenn die Generatoren Synchronmaschinen sind, eine elastische. Man kann deswegen die elektrische Kupplung durch eine elastische mechanische Kupplung, z. B. eine Welle, ersetzen, so daß das ganze System aus zwei mechanisch gekoppelten Maschinen besteht. Das ganze Problem wird dadurch, wie C. F. Scott gezeigt hat, ein rein mechanisches, was am besten aus der folgenden Analogie von Scott hervorgeht. Wir vergleichen zwei Systeme, ein elektrisches und ein mechanisches. Das elektrische System, das in Fig. 298a ge-

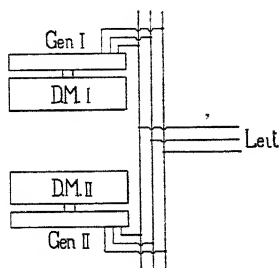


Fig. 298a. Elektrische Kupplung zweier Dampfmaschinen

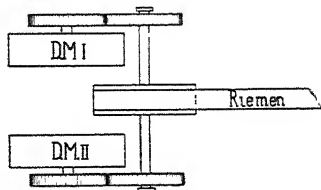


Fig. 298b. Mechanische Kupplung zweier Dampfmaschinen

zeigt ist, besteht aus zwei gleichen Kraftmaschinen, die zwei gleiche parallel geschaltete Generatoren antreiben. Das mechanische System, das in Fig. 298b dargestellt ist, besteht aus zwei gleichen Kraft-

maschinen, wie die des elektrischen Systems; diese beiden Maschinen arbeiten durch eine Zahnräderübersetzung auf eine gemeinschaftliche Welle; auf dieser Welle sitzt eine Riemenscheibe, die zur Belastung des Systems dient. In beiden Fällen arbeiten die Kraftmaschinen somit auf dieselbe Belastung. Wenn die eine Kraftmaschine der anderen ein wenig voreilt, so wird diese letztere entlastet, indem die erste die Belastung auf sich nimmt. Wenn die gemeinschaftliche Welle elastisch ist, so kann sie um einen kleinen Winkel tordiert werden, so daß eine Winkelabweichung zwischen den beiden Kraftmaschinen auftritt. Die Torsionskraft der Welle sucht aber die beiden Maschinen in ihre ursprünglich neutrale Lage zueinander zurückzudrehen. Wenn nun aus irgendeinem Grunde die eine Maschine voreilt, während die andere zurückbleibt, so nimmt die erste die größere Last auf sich und entlastet dadurch die zweite Maschine. In diesem Falle wird der Regulator der ersten Maschine sich stets senken, damit die Maschine immer mehr und mehr Arbeit liefern kann. Bei dem zweiten Generator ist das Umgekehrte der Fall, hier hebt sich der Regulator und die Maschine liefert stets weniger Energie. Die Torsionskraft der Welle treibt aber die Generatoren in ihre ursprüngliche gegenseitige Lage zurück, und da die zweite (entlastete) Maschine schneller läuft als die erste (belastete), werden die Maschinen nicht in der neutralen Lage bleiben, sondern die zweite wird jetzt der ersten voreilen. Dadurch wird die zweite (bisher entlastete) belastet und die andere entlastet, bis die Torsionskraft der Welle die Maschine wieder in ihre neutrale Lage zurücktreibt. Wieder dort angelangt, ist die Geschwindigkeit der entlasteten Maschine die größere, weshalb jetzt diese voreilt. In dieser Weise wird die Belastung zwischen den beiden Kraftmaschinen hin und her schwingen, wodurch die Maschinen mit den Regulatoren langsame Schwingungen ausführen. Diese Schwingungen können nicht von selbst entstehen, sondern müssen, wie jede andere freie Schwingung, von äußeren Kräften, z. B. durch Belastungsstöße, eingeleitet werden. Einmal erzeugt, werden die Schwingungen entweder allmählich aussterben oder zunehmen. Im letzten Falle wird die gemeinschaftliche Welle stets mehr und mehr tordiert, bis sie zuletzt bricht. — Ganz analog verhält sich das elektrische System, hier tritt nur an Stelle der Welle die elektrische Verbindung der beiden Generatoren; diese Verbindung ist, wie wir früher gezeigt haben, auch eine elastische. Die synchronisierende Kraft der Generatoren ist fast proportional dem Phasenverschiebungswinkel  $\theta$ . Wachsen bei dem elektrischen System auch die Schwingungen, so wird zuletzt der Winkel  $\theta$  größer wie ca.  $80^\circ$  und die Generatoren fallen außer Tritt.

Wenn die natürliche Schwingungszeit eines Maschinenaggregats mit der natürlichen Schwingungsdauer der elastischen Verbindung der Maschinen übereinstimmt, so werden die Regulatoren sehr schnell eine starke Schwingung der Energie zwischen den Maschinen herstellen können.

Wir werden nun untersuchen, wann eine Gefahr des Außertrittfallens für ein solches System besteht und in welcher Weise diese beseitigt werden kann.

Für die Regulatoren der beiden Kraftmaschinen bestehen die beiden Gleichungen

$$\left. \begin{aligned} a_1 \frac{d^2 x_1}{dt^2} + a_2 \frac{dx_1}{dt} + a_3 (x_1 - x_m) &= a_4 (\omega_1 - \omega_m) \\ a_1 \frac{d^2 x_2}{dt^2} + a_2 \frac{dx_2}{dt} + a_3 (x_2 - x_m) &= a_4 (\omega_2 - \omega_m) \end{aligned} \right\} \quad (294)$$

Für die Kraftmaschinen erhalten wir die Differentialgleichungen

$$\left. \begin{aligned} \frac{J}{p} \frac{d\omega_1}{dt} + S(\Theta_1 - \Theta_m) &= \left( \frac{d\vartheta}{dx} \right)_m (x_1 - x_m) \\ \frac{J}{p} \frac{d\omega_2}{dt} + S(\Theta_2 - \Theta_m) &= \left( \frac{d\vartheta}{dx} \right)_m (x_2 - x_m) \end{aligned} \right\} \quad (295)$$

Nur ist hier statt des während einer Umdrehung veränderlichen Drehmomentes das mit der Regulatorstellung variierende Drehmoment getreten, das sich über das normale mittlere lagert. Das Dämpfungsmoment der Generatoren haben wir vernachlässigt.

Aus den beiden ersten Gleichungen ergibt sich durch Subtraktion und Einführung von

$$\begin{aligned} (\omega_1 - \omega_m) &= \frac{d\Theta_1}{dt} \quad \text{und} \quad (\omega_2 - \omega_m) = \frac{d\Theta_2}{dt} \\ a_1 \frac{d^2(x_1 - x_2)}{dt^2} + a_2 \frac{d(x_1 - x_2)}{dt} + a_3(x_1 - x_2) &= a_4 \frac{d(\Theta_1 - \Theta_2)}{dt} \end{aligned}$$

und aus den beiden letzten:

$$\frac{J}{p} \frac{d^2(\Theta_1 - \Theta_2)}{dt^2} + S(\Theta_1 - \Theta_2) = \left( \frac{d\vartheta}{dx} \right)_m (x_1 - x_2)$$

Aus diesen beiden Gleichungen ergibt sich

$$\begin{aligned} a_1 \frac{J}{p} \frac{d^4(x_1 - x_2)}{dt^4} + a_2 \frac{J}{p} \frac{d^3(x_1 - x_2)}{dt^3} + \left( a_3 \frac{J}{p} + a_1 S \right) \frac{d^2(x_1 - x_2)}{dt^2} \\ + \left[ a_2 S - a_4 \left( \frac{d\vartheta}{dx} \right)_m \right] \frac{d(x_1 - x_2)}{dt} + a_3 S(x_1 - x_2) = 0 \quad (296) \end{aligned}$$

$$\text{oder} \quad \frac{d^4(x_1 - x_2)}{dt^4} + \alpha \frac{d^3(x_1 - x_2)}{dt^3} + \left(\beta + \frac{Sp}{J}\right) \frac{d^2(x_1 - x_2)}{dt^2} + \left(\alpha \frac{Sp}{J} + \gamma\right) \frac{d(x_1 - x_2)}{dt} + \beta \frac{Sp}{J} (x_1 - x_2) = 0 \quad (297)$$

Analog lautet die Differentialgleichung für den Pendelweg der Generatoren

$$\frac{d^4(\Theta_1 - \Theta_2)}{dt^4} + \alpha \frac{d^3(\Theta_1 - \Theta_2)}{dt^3} + \left(\beta + \frac{Sp}{J}\right) \frac{d^2(\Theta_1 - \Theta_2)}{dt^2} + \left(\alpha \frac{Sp}{J} + \gamma\right) \frac{d(\Theta_1 - \Theta_2)}{dt} + \beta \frac{Sp}{J} (\Theta_1 - \Theta_2) = 0 \quad (298)$$

Es wird somit

$$\Theta_1 - \Theta_2 = A_1 e^{-e t} + A_2 e^{-f t} + A_3 e^{-g t} + A_4 e^{-h t},$$

wo  $-e$ ,  $-f$ ,  $-g$  und  $-h$  die Wurzeln der biquadratischen Gleichung für  $y$ :

$$y^4 + \alpha y^3 + \left(\beta + \frac{Sp}{J}\right) y^2 + \left(\gamma + \alpha \frac{Sp}{J}\right) y + \frac{Sp}{J} = 0 \text{ sind.}$$

Damit die Schwingungen aussterben, müssen  $e$ ,  $f$ ,  $g$  und  $h$  reelle oder komplexe Zahlen mit positivem reellem Anteil sein. Dies ist der Fall, wenn

$$\alpha \left(\beta + \frac{Sp}{J}\right) \left(\gamma + \alpha \frac{Sp}{J}\right) - \left(\gamma + \alpha \frac{Sp}{J}\right)^2 - \alpha^2 \beta \frac{Sp}{J} > 0$$

oder wenn

$$\alpha \beta \gamma - \alpha \gamma \frac{Sp}{J} - \gamma^2 > 0,$$

d. h. wenn

$$\alpha \beta > \gamma + \alpha \frac{Sp}{J} \quad \dots \dots \dots (299)$$

Für jedes Maschinenaggregat für sich ergab sich die Bedingung für stabilen Gang

$$\alpha \beta > \gamma.$$

Diese zweite Bedingung ist somit noch strenger als die erste. Führen wir die Ausdrücke für  $\alpha$  und  $\beta$  ein, so erhalten wir als endgültige Bedingung für das stabile Arbeiten parallel geschalteter Generatoren

$$2a[(a+d)^2 + b^2] > (2a+d) \frac{Sp}{J}$$

oder

$$2a \frac{(a^2 + b^2 + d^2 + 2ad)}{2a+d} > \frac{Sp}{J} \quad \dots \dots (300)$$

Es ist fast immer  $b < 1$  und  $a < 0,5$ , während  $d$  viel größer ist. Vernachlässigen wir deswegen  $a^2 + b^2$  gegenüber  $d^2 + 2ad$ , so erhalten wir die folgende einfache Bedingung für stabiles Parallelarbeiten zweier Generatoren:

$$2ad > \frac{Sp}{J} \quad . \quad . \quad . \quad . \quad . \quad (301)$$

Wir haben vorhin gesehen, daß  $d = \frac{\gamma}{a^2 + b^2}$  ist. Außerdem ist

$$\gamma = -\frac{a_4}{a_1} \frac{\left(\frac{d\vartheta}{dx}\right)_m}{J} p$$

und da wir

$$-\left(\frac{d\vartheta}{dx}\right)_m \cong \frac{\vartheta_b}{s}$$

setzen können, wo  $s$  die Hubhöhe des Regulators von Leerlauf bis Vollast ist, so erhalten wir:

$$\frac{2a}{a^2 + b^2} \frac{a_4}{a_1} \frac{\vartheta_b p}{sJ} > \frac{Sp}{J} = \frac{pk_p}{J} \vartheta_b$$

oder

$$\frac{2a}{a^2 + b^2} \frac{a_4}{s a_1} > pk_p \cong pk_u \quad . \quad . \quad . \quad . \quad . \quad (302)$$

wo  $k_u$  ungefähr das Verhältnis zwischen dem maximalen Drehmoment des Generators und dem normalen bedeutet.

Aus dieser Formel geht hervor, daß das Verhältnis  $\frac{a_4}{s a_1}$  und die Konstante  $a$  möglichst groß sein sollen. Unter dem Arbeitsvermögen eines Regulators versteht man das Produkt  $Ss$ , wo  $S$  die statische Hülsenkraft und  $s$  die Hubhöhe des Regulators ist. Dieses Produkt darf nicht zu klein werden; man kann deswegen mit der Hubhöhe  $s$  nicht beliebig weit heruntergehen. Wenn man also  $\frac{a_4}{s a_1}$  groß machen will, muß es in anderer Weise geschehen. Es ist  $a_4$  proportional  $\Omega_r^2$  und  $a_1$  proportional den Massen des Regulators. Von zwei Regulatoren ist deswegen stets der, der am schnellsten läuft und der die kleinsten Massen hat, dem anderen vorzuziehen. In dieser Beziehung ist also ein schnell laufender Federregulator allen anderen vorzuziehen.

Was nun die Konstante  $a$  anbetrifft, so ergibt diese sich aus der Gleichung

$$\alpha = 2a + d$$

$$a = \frac{\alpha - d}{2} = \frac{\frac{a_2}{a_1} - d}{2} \quad . \quad . \quad . \quad . \quad . \quad (303)$$

Damit  $a$  groß werden kann, muß  $\frac{a_2}{a_1}$  möglichst groß sein.  $a_2$  ist proportional der Dämpfung und den Reibungskräften des Regulators. Mittels eines Ölkataraktes läßt die Konstante  $a_2$  sich beliebig erhöhen.  $a_1$  ist wie gesagt proportional den Massen des Regulators; diese sind somit auch mit Rücksicht auf  $a$  möglichst klein zu halten.

Für einen Federregulator läßt die Bedingung sich wie folgt schreiben

$$\frac{2a}{a^2 + b^2} \Omega_r^2 \left( \frac{\varrho}{l_1} + \sin 2\varphi_0 \right) \frac{l \cos \varphi_0}{s} > \frac{p k_p \Omega_m}{2} = p k_p \frac{\pi n}{60}$$

oder

$$\frac{a \Omega_r^2}{a^2 + b^2} \left( \frac{\varrho'}{l_1} + \sin 2\varphi_0 \right) \frac{57,3}{\Delta \varphi_0} > \pi c k_p . . . \quad (304)$$

$\varrho$ ,  $l_1$  und  $\varphi_0$  ergeben sich aus den Dimensionen des Regulators;  $\Delta \varphi_0$  ist die Änderung des Winkels  $\varphi_0$  von Leerlauf bis Belastung.  $c$  ist die Periodenzahl des Generators und  $k_p \cong k_u$  angenähert dessen Überlastungsfähigkeit.

Die Konstanten  $a$  und  $b$  ergeben sich aus dem Tachogramm der Kraftmaschine. Diese Größen hängen natürlich auch von der konstanten Reibung und von dem Unempfindlichkeitsgrad des Regulators und der Steuerorgane ab. Um die Konstante  $a$  beliebig variieren zu können, ist stets darauf zu sehen, daß der Regulator, wie es heutzutage allgemein üblich ist, mit einem Ölkatarakt versehen wird. Bemerkenswert bei der obigen Gleichung ist, daß das Trägheitsmoment des Schwungrades gar nicht darin vorkommt.

## 105. Berücksichtigung der elektrischen Dämpfung der Generatoren bei den Regulatorschwingungen.

Im vorigen Abschnitt haben wir die elektrische Dämpfung der Generatoren vernachlässigt. Um sie zu berücksichtigen, führen wir in die Differentialgleichung das Glied

$$D(\omega - \omega_m)$$

ein.

Die Differentialgleichung der Generatoren lautet dann

$$\frac{J}{p} \frac{d^2(\Theta_1 - \Theta_2)}{dt^2} + D \frac{d(\Theta_1 - \Theta_2)}{dt} + S(\Theta_1 - \Theta_2) = \left( \frac{d\vartheta}{dx} \right)_m (x_1 - x_2)$$

und die biquadratische Gleichung zur Bestimmung der Konstanten

$$y^4 + \left(\alpha + \frac{Dp}{J}\right)y^3 + \left(\beta + \alpha \frac{Dp}{J} + \frac{Sp}{J}\right)y^2 + \left(\gamma + \beta \frac{Dp}{J} + \alpha \frac{Sp}{J}\right)\gamma + \beta \frac{Sp}{J} = 0 \quad . \quad . \quad . \quad (305)$$

Die Bedingung für stabiles Parallelarbeiten lautet jetzt:

$$\left(\alpha + \frac{Dp}{J}\right)\left(\beta + \alpha \frac{Dp}{J} + \frac{Sp}{J}\right)\left(\gamma + \beta \frac{Dp}{J} + \alpha \frac{Sp}{J}\right) - \left(\gamma + \beta \frac{Dp}{J} + \alpha \frac{Sp}{J}\right)^2 - \left(\alpha + \frac{Dp}{J}\right)^2 \beta \frac{Sp}{J} > 0 \quad . \quad (306)$$

oder indem man alle Glieder höherer Ordnung vernachlässigt

$$\alpha \beta \gamma + \alpha \frac{\alpha^2 D S p^2}{J^2} - 2 \alpha \beta \frac{D S p^2}{J^2} - \gamma \alpha \frac{S p}{J} > 0.$$

Dividiert man überall durch  $\alpha \gamma$  und setzt

$$\beta = 2 a d + a^2 + d^2 \cong 2 a d$$

und

$$\frac{\alpha^2 - 2 \beta}{\gamma} = \frac{2 a^2 - 2 b^2 + d^2}{d (a^2 + b^2)} \cong \frac{d}{a^2 + b^2}$$

und führt schließlich die Beziehungen

$$S = \vartheta_b k_p \quad (\text{s. S. 312}) \quad \text{und} \quad D = \frac{\vartheta_b g}{p \Omega_m} = \frac{\vartheta_b g}{\omega_m} \quad (\text{s. S. 337})$$

ein, so erhält man

$$\left[2 a + \frac{p k_p \vartheta_b^2 g}{\Omega_m J^2 (a^2 + b^2)}\right] d > \frac{p k_p \vartheta_b}{J} \quad . \quad . \quad . \quad (308)$$

Führen wir die Anlaufzeit des Schwungrades

$$T = \frac{\frac{1}{2} \Omega_m^2 J}{\Omega_m \vartheta_b} = \frac{\Omega_m J}{2 \vartheta_b}$$

ein, so ergibt sich

$$\frac{p k_p \vartheta_b^2 g}{\Omega_m J^2} = \frac{p k_p \Omega_m g}{4 T^2} = \frac{g k_p \pi c}{2 T} = \frac{\pi c g k_p}{2 T^2}$$

und es soll also

$$\left[2 a + \frac{\pi c g k_p}{2 T^2 (a^2 + b^2)}\right] d > \frac{p k_p \vartheta_b}{J}$$

sein, oder in analoger Weise wie oben

$$\left[2 a + \frac{\pi c g k_p}{2 T^2 (a^2 + b^2)}\right] \frac{a_4}{(a^2 + b^2) s a_1} > p k_p \quad . \quad (309)$$



und speziell für Federregulatoren

$$\left[ a + \frac{\pi c g k_p}{4 T^2 (a^2 + b^2)} \right] \left( \frac{q'}{l_1} + \sin 2 \varphi_0 \right) \frac{57,3}{4 \varphi_0 (a^2 + b^2)} > \pi c k_p \quad (310)$$

sein.

Wie leicht ersichtlich, überwiegt das zweite Glied, herrührend von der elektrischen Dämpfung, schon bei einem kleinen Wert der Konstante  $g$  das erste Glied, das von der Dämpfung des Regulators herrührt. Es ist deswegen sehr empfehlenswert, parallel geschaltete Generatoren elektrisch zu dämpfen. Da diese freien Schwingungen des Systems nur durch Belastungsstöße entstehen, so klingen diese bald ab und die Dämpferwicklung verursacht nur in dieser kurzen Zeit einen Verlust an Energie. In der übrigen Zeit, in der der Beharrungszustand herrscht, hat die Dämpferwicklung nur Einfluß auf den ungleichförmigen Gang der Maschine.

### 106. Die Periodenzahl der Regulatorschwingungen, und die Interferenzerscheinungen mit der erzwungenen Schwingung der Kraftmaschine.

Nach S 419 sind die Exponentialkoeffizienten  $-e, -f, -g, -h$  bei Berücksichtigung der Dämpfung durch die Gl. 305

$$\begin{aligned} y^4 + \left( \alpha + \frac{Dp}{J} \right) y^3 + \left( \beta + \alpha \frac{Dp}{J} + \frac{Sp}{J} \right) y^2 \\ + \left( \gamma + \beta \frac{Dp}{J} + \alpha \frac{Sp}{J} \right) y + \beta \frac{Sp}{J} = 0 \end{aligned}$$

definiert. Vernachlässigen wir im vierten Gliede  $\gamma$  gegenüber dem viel größeren Gliede  $\alpha \frac{Sp}{J}$ , so läßt sich die Gleichung in ein Produkt zweier quadratischer Funktionen zerlegen

$$(y^2 + \alpha y + \beta) \left( y^2 + \frac{Dp}{J} y + \frac{Sp}{J} \right) = 0 \quad \dots \quad (311)$$

Wir erhalten also als Lösung zwei Sinusschwingungen verschiedener Periodenzahl.

Die Gleichung

$$y^2 + \alpha y + \beta = 0$$

liefert die Wurzeln  $e$  und  $f$

$$y_{1,2} = -\frac{a_2}{2a_1} \pm \sqrt{\frac{a_2^2}{4a_1^2} - \frac{a_3}{a_1}} \quad \dots \quad (312)$$

und wenn wir sie mit der Gleichung 291 für die Schwingung der nicht parallel geschalteten Maschine vergleichen, S. 412.

$$y^3 + \alpha y^2 + \beta y + \gamma = 0,$$

so sehen wir, daß diese Partialschwingungen ungefähr dieselbe Periodenzahl haben, mit der das Schwungrad einer einzelnen Maschine bei plötzlichen Stößen infolge des Regulators schwingt.

Diese Schwingungsdauer ist bekanntlich durch den Ausdruck

$$\frac{4\pi a_1}{\sqrt{4a_1a_3 - a_2^2}} \quad . \quad . \quad . \quad . \quad . \quad (313)$$

gegeben, und beträgt im allgemeinen mehrere Sekunden. Diese Partialschwingung bezeichnen wir als „lange Schwingung“.

Die andere Gleichung

$$y^2 + \frac{D}{J}py + \frac{S}{J}p = 0$$

liefert die Wurzeln  $g$  und  $h$

$$y_{3,4} = -\frac{D}{2J}p \pm \sqrt{\left(\frac{D}{2J}p\right)^2 - \frac{S}{J}p} \quad . \quad . \quad (314)$$

Wenn der Wurzel Ausdruck imaginär wird, treten Oszillationen ein, deren Schwingungszahl

$$c_{3,4} = \frac{1}{2\pi} \sqrt{\frac{S}{J}p - \left(\frac{D}{2J}p\right)^2} \quad . \quad . \quad . \quad (315)$$

beträgt.

Wenn wir nun auf den Wert der Eigenschwingungszahl eines Generators an einem unendlich starken Netz, S. 378, Gl. 243, zurückgehen, so erkennen wir, daß  $c_{3,4} = c_{ex}$  ist.

Mit anderen Worten, das aus Kraftmaschinen mit Geschwindigkeitsregulatoren und aus parallelgeschalteten Generatoren bestehende System führt dieselben kurzen Schwingungen aus als es bei Abwesenheit der Regulatoren tun würde.

Es ist noch zu bemerken, daß die Partialschwingungen verschieden rasch ablaufen, so daß nach einer gewissen Zeit nur noch eine bemerkbar sein wird.

Die Amplituden der freien Schwingungen ergeben sich aus den Grenzgleichungen, die die Art des Belastungsstoßes charakterisieren, sie sind nur von ihm abhängig. Reagierten die Geschwindigkeitsregulatoren momentan auf jede Belastungsänderung, so könnte keine Belastungsänderung das System in Schwingungen bringen. Jeder Regulator braucht aber Zeit, um in Wirksamkeit treten zu können; so wird z. B. ein Generator, der entlastet wird, eine Zeitlang mehr

Arbeit von der Kraftmaschine aufnehmen, als er ans Netz abgeben kann. Die überschüssige Arbeit wird in den Schwungmassen des Generators akkumuliert; dieser wird somit beschleunigt und es fängt der Regulator erst jetzt an zu wirken. Dieser reguliert zu weit, weil die Geschwindigkeit des Generators zu groß geworden ist. Wenn der Generator sich jetzt verzögert, öffnet der Regulator wieder die Dampzufuhr, worauf der Generator sich wieder beschleunigt. In dieser Weise führt der Generator mehrere Schwingungen aus, bevor er seinen neuen Beharrungszustand erreicht.

Die entstehenden Pendelungen werden also bei einem empfindlichen Regulator geringer sein als bei einem unempfindlichen. Da die Winkelabweichung für eine gegebene Geschwindigkeitsvariation nach S. 301, Gl. 140 der Periodenzahl dieser Variation umgekehrt proportional ist, wird die Gefahr des Außertrittfallens bei plotzlichen Stößen für große Werte von  $c_1, c_2, c_3, c_4$ , d. h. eine große Zahl freier Schwingungen pro Umdrehung geringer sein, als im umgekehrten Falle.

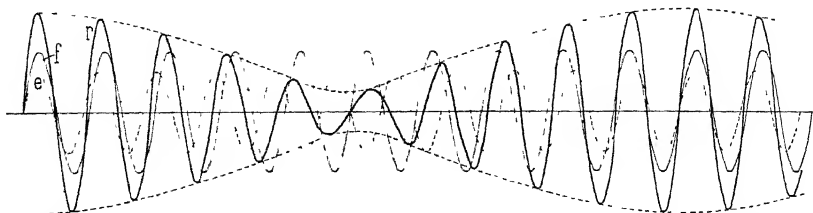


Fig 299. Interferenz der kurzen Eigenschwingungen und der erzwungenen Schwingungen.

Von diesen freien Schwingungen sind die langen weniger gefährlich als die kurzen, die manchmal ungefähr dieselbe Schwingungszahl haben wie die erzwungenen. Dies ist der Fall, wenn Resonanz vorhanden ist. Es treten dann Interferenzerscheinungen zwischen den erzwungenen und freien Schwingungen auf. Eine solche ist in Fig. 299 dargestellt.  $e$  stellt die erzwungene,  $f$  die freie kurze und  $r$  die aus beiden resultierende Schwingung dar. Wie ersichtlich, hat man hier ein Phänomen analog demjenigen, dem man bei dem Parallelschalten von Synchronmaschinen begegnet (s. Fig. 203). Bald sind die beiden Schwingungen in Phase und unterstützen sich; bald sind sie einander entgegengesetzt und schwächen sich gegenseitig. In dieser Weise erhalten wir Schwebungen in der Amplitude der Winkelabweichung. Diese Erscheinung dauert so lange an, bis die freie Schwingung ausgestorben ist, und dies geschieht um so schneller, je kräftiger die Generatoren gedämpft sind. Aus den Tachogrammen der Fig. 311 bis 317 sind die Interferenzerschei-

nungen leicht erkennbar. Wie ersichtlich, erhöhen sie die Geschwindigkeitsvariation und somit die Gefahr eines Außertrittfallens in hohem Grade. Es ist deswegen auch mit Bezug auf Interferenzerscheinungen in synchronen Betrieben darauf zu achten, daß man möglichst weit entfernt von allen Resonanzzuständen arbeitet und daß alle synchronen Maschinen möglichst stark gedämpft sind.

Ist die  $\nu$ te erzwungene Schwingung durch die Gleichung

$$e = \Theta_e \sin(\nu \Omega_m t)$$

und die freie Schwingung durch

$$f = \Theta_f \sin(\Omega_{ei} t)$$

gegeben, so ist die Zahl der Schwebungen pro Sekunde.

$$\frac{\Omega_{ei} - \nu \Omega_m}{2\pi}$$

und die Schwebungsdauer

$$\frac{2\pi}{\Omega_{ei} - \nu \Omega_m}.$$

Wenn diese klein ist, kommt keine Interferenz zustande.

## 107. Freie Schwingungen parallel arbeitender Gasdynamos, verursacht durch erzwungene Gasschwingungen in der Ansaugleitung.<sup>1)</sup>

Diese freien Schwingungen, die manchmal bei den elektrischen Generatoren auftreten, die von Sauggasmotoren angetrieben werden, stehen in einem gewissen Parallelismus zu den im vorigen Abschnitt besprochenen, von den Regulatoren verursachten Schwingungen, indem durch die Rückwirkung der pendelnden Maschine ein variables Antriebsmoment erzeugt wird. Aber mit dem Unterschied, daß sie auch bei vollständig gebremstem Regulator möglich sind.

Das Gas in der Ansaugleitung einer solchen Maschine befindet sich dauernd in schwingender Bewegung. Die Geschwindigkeit der Gasteilchen am Ende der Leitung, wo sie in den Zylinder mündet, ist während der Ansaugperiode durch die Kolbengeschwindigkeit bestimmt, während sie für die übrige Dauer des Arbeitsprozesses gleich Null ist. Durch diese der Gassäule an einem Ende aufgeprägte Bewegung befindet sie sich dauernd in periodischen Schwingungen, die sich je nach einem Arbeitsprozeß wiederholen<sup>2)</sup>.

<sup>1)</sup> s. W. O. Schumann, E. u. M. 1912.

<sup>2)</sup> s. z. B. Sommerfeld-Debye, Mitteilungen über Forschungsarbeiten auf dem Gebiete d. Ingenieurwesens, herausgeg. v. V. D. I., Heft 106.



wo  $u$  die Geschwindigkeit der Teilchen und  $a$  die Schallgeschwindigkeit bedeutet.

Als Grenzbedingungen nehmen wir an:

Für  $x=0$ , am Anfang des Rohres, im Gasgenerator oder in der Außenluft, wenn das betrachtete Rohr das Luftansaugrohr ist, treten keine Dichteänderungen auf, weil sie sich sofort ausgleichen.

$$\varrho = \varrho_0, \quad \mu = 0,$$

$$\text{also} \quad \frac{\partial \mu}{\partial t} = 0, \quad \frac{\partial u}{\partial x} = 0,$$

da nach der Kontinuitätsgleichung

$$\frac{\partial \varrho}{\partial t} = \frac{\partial \mu}{\partial t} = -\varrho_0 \frac{\partial u}{\partial x} \text{ ist.}$$

Für  $x=l$  am Ende des Saugrohres, bei der Einmündung in die Maschine ist die Gasgeschwindigkeit durch die Kolbengeschwindigkeit bzw. durch die Umfangs- oder Winkelgeschwindigkeit der Turbine bestimmt.

Wir setzen  $u_x=l=q\omega$ , wobei der Faktor  $q$  das Verhältnis des in der Maschine zur Gasbewegung zur Verfügung stehenden Querschnitts (bei der Kolbenmaschine des Kolbenquerschnitts) zum Querschnitt der Gasleitung, den Radius der Turbine bzw. den Kurbelradius und die Polpaarzahl berücksichtigt, da  $\omega$  wieder die elektrische Winkelgeschwindigkeit bedeutet.

Wir nehmen nur eine einfache Sinusschwingung im Gasrohr an, d. h. wir betrachten ein partikuläres Integral der Gl. 317 von der Form

$$u = (A' \sin fx + B' \cos fx) \sin fat + (C' \sin fx + D' \cos fx) \cos fat + u_0, \quad (318)$$

wo  $u_0$  die mittlere Einstromungsgeschwindigkeit während einer Schwingungsperiode bedeutet. Da für  $x=0$  auch  $\frac{\partial u}{\partial x} = 0$  sein muß, müssen auch  $A'$  und  $C'$  gleich Null sein, so daß wir

$$u = \cos fx (A \sin fat + B \cos fat) + u_0 \quad . \quad . \quad . \quad (319)$$

erhalten.

Die in jedem Moment angesaugte Gasmenge ist gleich dem Produkt aus Geschwindigkeit, Dichte und Rohrquerschnitt  $Q$  und diesem Produkt setzen wir auch das durch die Verbrennung dieser Menge erzeugte Drehmoment proportional

$$\vartheta = C \varrho_{x=l} u_{x=l} Q \quad . \quad . \quad . \quad . \quad . \quad . \quad (320)$$

Da

$$\frac{\partial \varrho}{\partial t} = -\varrho_0 \frac{\partial u}{\partial x} = \varrho_0 f \sin fx (A \sin fat + B \cos fat), \quad (321)$$

ist

$$\begin{aligned} \varrho &= \varrho_0 + \frac{\varrho_0}{a} \sin fx (-A \cos fat + B \sin fat) \\ &= \varrho_0 - \frac{\varrho_0}{fa^2} \frac{\partial u}{\partial t} \operatorname{tg} fx \\ \varrho_{x=i} &= \varrho_0 \left( 1 - \operatorname{tg} fl \frac{q}{fa^2} \frac{d\omega}{dt} \right) \quad . \quad . \quad . \quad . \quad . \quad (322) \end{aligned}$$

Es ist also

$$\vartheta = C \varrho_{x=i} u_{x=i} Q = Q C \varrho_0 q \omega \left( 1 - \operatorname{tg} fl \frac{q}{fa^2} \frac{d\omega}{dt} \right).$$

Da das normale mittlere Drehmoment  $\vartheta_m = Q C \varrho_0 q \omega_m$  ist, wird der Pendelteil dieses Momentes

$$\vartheta_p = \vartheta - \vartheta_m = Q C q \varrho_0 \left[ (\omega - \omega_m) - \operatorname{tg} fl \frac{q}{fa^2} \omega \frac{d\omega}{dt} \right] \quad (323)$$

Die bekannte Schwingungsgleichung der elektrischen Maschine lautet

$$\frac{J}{p} \frac{d(\omega - \omega_m)}{dt} + D(\omega - \omega_m) + S(\Theta - \Theta_m) = \vartheta_p \quad (324)$$

oder

$$\begin{aligned} &\frac{J}{p} \frac{d^2(\Theta - \Theta_m)}{dt^2} + D \frac{d(\Theta - \Theta_m)}{dt} + S(\Theta - \Theta_m) \\ &= Q C q \varrho_0 \left[ \frac{d(\Theta - \Theta_m)}{dt} - \operatorname{tg} fl \frac{q}{fa^2} \omega \frac{d\omega}{dt} \right] \quad . \quad . \quad . \quad . \quad (325) \end{aligned}$$

Das zweite Glied der rechten Seite dieser Gleichung ist für alle praktischen Fälle, wie wir sehen werden, so klein, daß wir es unbedenklich vernachlässigen dürfen. Die Gleichung vereinfacht sich dann zu

$$\frac{J}{p} \frac{d^2(\Theta - \Theta_m)}{dt^2} + (D - Q C q \varrho_0) \frac{d(\Theta - \Theta_m)}{dt} + S(\Theta - \Theta_m) = 0 \quad (326)$$

Es ist dies wieder die Gleichung der freien Schwingungen und wir haben wieder den Fall, daß das Dämpfungsglied Null ja negativ werden kann, was bedeutet, daß einmal aus irgendeiner Ursache entstandene Schwingungen nicht abklingen, sondern bestehen bleiben oder zunehmen.

Das ist um so leichter der Fall, je größer  $Q C q \varrho_0$  ist. Da dieser Ausdruck gleich  $\frac{\vartheta_m}{\omega_m}$  ist, ist er bei gleicher Leistung um so größer, je langsamer die Maschine läuft, je kleiner die Periodenzahl und

je größer die Leistung ist. Wir berücksichtigen nur kleine Schwingungen und nehmen an, daß das Dämpfungsglied nur klein sei und erhalten dann als zyklische Periodenzahl der freien Schwingungen

$$\Omega_f = \Omega_{ei} = \sqrt{\frac{Sp}{J}} \quad . \quad . \quad . \quad (327)$$

Es wird eine solche Maschine stets annähernd in ihrer Eigenschwingungsdauer schwingen.

Bei der Kolbengasmaschine ist der wirkliche Schwingungsvorgang ein weit komplizierterer wegen des Kurbelmechanismus und wegen der getrennten Ansaug-, Explosions-, Ausschub- und Kompressionsperioden. Im Wesen ist aber der Vorgang der gleiche, denn die komplizierten Kurven der Gasgeschwindigkeit, der Winkelgeschwindigkeit und der Winkelabweichung müssen entsprechende Harmonische enthalten, die man analog den früheren Gleichungen behandeln kann. Nur ist hier wegen der scharf definierten Ansaugperioden, die nun in ganz bestimmten Zeitintervallen auftreten, erforderlich, daß die Eigenschwingungsdauer ein ganzes Vielfaches der Prozeßdauer ist, denn sonst würde das von der Maschine erzeugte pendelnde Moment die Schwingungen storen. Nur bei solchen Maschinen, die natürlich schwere Schwungrader haben müssen, sind diese Schwingungen zu beobachten und es ist unbedingt zu vermeiden, die Eigenschwingungsdauer gleich einem ganzen Vielfachen der Prozeßdauer zu machen.

Bei dem Einzylinderviertaktmotor muß also die Eigenschwingungsdauer mindestens gleich der vierfachen Umdrehungszeit sein, damit die Erscheinung möglich sei. Hingegen kann bei dem Zweizylindermotor die Erscheinung auch auftreten, wenn die Eigenschwingungsdauer gleich der zweifachen Umdrehungszeit und beim Vierzylindermotor schon wenn sie gleich der Umdrehungszeit ist. Diese Maschinen sind also besonders ungünstig gegenüber diesen Schwingungen, da das Schwungrad nach der Grundwelle von doppelter Umdrehungszeit dimensioniert wird, und man bei einem Vierzylindermotor für  $\Omega_{ei} = \frac{1}{3} \Omega_m$ , was für die Vermeidung von Resonanz ein günstiger Wert ist, sich schon in einem gefährlichen Gebiet befindet.

Für den Einzylindermotor sind also zu vermeiden

$$\Omega_{ei} = \frac{1}{4} \Omega_m, \quad \frac{1}{6} \Omega_m, \quad \frac{1}{8} \Omega_m.$$

Für den Zweizylindermotor sind zu vermeiden (wenn auf jede Umdrehung eine Explosion entfällt)

$$\Omega_{ei} = \frac{1}{2} \Omega_m, \quad \frac{1}{3} \Omega_m, \quad \frac{1}{4} \Omega_m, \quad . \quad . \quad .$$



Für den Vierzylindermotor sind zu vermeiden (wenn auf jeden Hub eine Explosion entfällt)

$$\Omega_{ei} = \Omega_m, \quad \frac{2}{3} \Omega_m, \quad \frac{2}{4} \Omega_m, \quad \frac{2}{5} \Omega_m, \dots$$

Um die Größe des vernachlässigten Gliedes angenähert zu bestimmen, bilden wir das allgemeine Integral der Gl. 326 bei Vernachlässigung des Dämpfungsgliedes

$$(\Theta - \Theta_m) = L \sin \sqrt{\frac{Sp}{J}} t + M \cos \sqrt{\frac{Sp}{J}} t,$$

daraus

$$(\omega - \omega_m) = \frac{d(\Theta - \Theta_m)}{dt} = L' \cos \sqrt{\frac{Sp}{J}} t + M' \sin \sqrt{\frac{Sp}{J}} t.$$

Verglichen mit dem Ausdruck der Gasgeschwindigkeit für  $x = l$

$$(u - u_0)_{x=l} = \cos fl (A \sin fat + B \cos fat)$$

ergibt sich durch die Beziehung  $u_{x=l} = q\omega$

$$\begin{aligned} \sqrt{\frac{Sp}{J}} &= fa = \Omega_{ei}, \\ f &\cong \frac{\Omega_{ei}}{a} \quad \dots \dots \dots (328) \end{aligned}$$

Als Mittelwert von  $\Omega_{ei} = 2\pi c_{ei}$  können wir  $2\pi$  annehmen,  $a$  können wir für Gasorgas und Luft ca. 340 m/sec ansetzen, und erhalten

$$f = \frac{2\pi}{340} = 0,0174.$$

Für ein 30 m langes Rohr ist

$$fl = 0,523 = 30^\circ, \quad \text{tg } fl = 0,578$$

und

$$\frac{\text{tg } fl}{fa^2} = \frac{0,578}{0,0174 \cdot 1,16 \cdot 10^5} = 2,86 \cdot 10^{-4}.$$

Selbst bei dieser großen Rohrlänge und großen Werten von  $q\omega_m$  bleibt das zweite Glied der rechten Seite der Gl. 325 klein gegen das erste.

Es bedeutet dies, daß die Gassäule annähernd wie ein starrer Körper schwingt, daß nur die Geschwindigkeitsänderungen und nicht die Dichteänderungen einen Einfluß auf die Erscheinung haben.

In der Gl. 326 kommt dies dadurch zum Ausdruck, daß die Rohrlänge  $l$  gar nicht vorkommt. Durch ein „Verstimmen des Rohres“, durch eine Änderung seiner Länge können die Schwin-

gungen nicht beseitigt werden, da die Eigenschwingung des Gases keine Rolle spielt.

Die Schwingungen sind auch vom Rohrquerschnitt  $Q$  unabhängig, da in dem Produkt  $Qq$  dieser sich heraushebt. Bei kleinerem Rohrquerschnitt entstehen stärkere Gasschwingungen, aber die in den Zylinder transportierte Gasmenge ist bei gegebener Geschwindigkeit entsprechend kleiner als bei einem Rohre großen Querschnitts, wo geringere Schwingungen entstehen.

Da die Maschine im Resonanzzustande schwingt, sind bei kleinen Werten der Dämpfungskonstanten schon sehr geringe pendelnde Momente fähig die Maschine in starke Schwingungen zu versetzen. Die während der Schwingungen aufgenommenen Indikatordiagramme brauchen nur sehr geringe, kaum bemerkbare Unterschiede aufzuzeigen, auch wenn Strom und Leistung stark pendeln.

Bei zwei parallel arbeitenden Maschinen erhält man dieselben Resultate wie für die Maschine am unendlich starken Netz.

Die Maschinen schwingen gegeneinander, die Gassäulen beider Rohre ebenfalls.

Um diese Schwingungen zu beseitigen, ist das beste Mittel eine Änderung der Eigenschwingungszahl, und zwar eine Vergrößerung derselben durch verkleinertes Schwunggewicht. Denn die Eigenschwingungszahl ist keine Konstante und ändert sich von Leerlauf bis Vollast. Ist nun die Eigenschwingungsdauer schon ein Vielfaches der Prozeßdauer, z. B. 5mal so groß, und macht man sie nachträglich 5,5 bei Leerlauf, so genügt schon eine Abnahme von 0,5, d. i. 9%, um auf den Wert 5, also wieder in ein gefährliches Gebiet zu kommen, was bei Belastung gut möglich ist. Erniedrigt man sie aber auf 2,5, so ist schon eine Abnahme um 20% erforderlich, um den gefährlichen Wert 2 zu erreichen.

Auch durch eine Dämpferwicklung kann die Erscheinung in erträgliche Grenzen gebracht werden. Freilich muß die Dämpferwicklung sehr stark gebaut sein, Querfelddämpfung, Käfigwicklung, wegen der sehr geringen Relativgeschwindigkeiten; andererseits ist ja das zu dämpfende Moment nicht sehr groß.

Derartige freie Schwingungen sind auch bei elektrischen Maschinen mit geringer Eigenschwingungsdauer möglich, wenn man die Einwirkung des Regulators mit in Betracht zieht. Führt die Maschine bei einem Stoße die im vorigen Abschnitt erwähnten Schwingungen aus, so tritt auch bei geringer Eigenschwingungsdauer die auf S. 421, Gl. 313 abgeleitete „lange“ Schwingung auf, deren Periode wieder ein Vielfaches des Arbeitsprozesses sein kann. Normalerweise klingen diese Schwingungen bei genügender Dämpfung ab; aber durch die Rückwirkung der schwingenden Gassäule können

sie zu stationären werden. Statt des auf S. 411 eingeführten, infolge des Regulators pendelnden Momentes

$$(x_m - x) \frac{d\vartheta}{dx}$$

tritt bei Anwesenheit der Gasschwingungen das Moment

$$(x_m - x) \frac{d\vartheta}{dx} + \frac{\vartheta_m}{\omega_m} (\omega - \omega_m)$$

auf, und durch den Einfluß des zweiten Gliedes werden  $\alpha$  und  $\beta$  verkleinert,  $\gamma$  vergrößert (Gl. 293, S. 413), so daß die Stabilitätsbedingung leichter überschritten werden kann.

Bei zwei parallelarbeitenden Maschinen, Abschnitt 105, tritt in diesem Falle überall statt der Konstanten  $D$  die Konstante  $D - \frac{\vartheta_m}{\omega_m}$  auf, d. h. die Dämpferwirkung wird reduziert, es sind infolge der Gasschwingungen leichter Freipendelungen möglich.

Freilich ist es auch hier aus den schon erwähnten Gründen erforderlich, daß die „lange“ Schwingung ein ganzes Vielfaches des Arbeitsprozesses ist.

## 108. Ein praktisches Beispiel der Gasschwingungen.

In einer Zentrale, wo derartige Schwingungen auftraten, befanden sich drei gleichgebaute liegende Zweizylinder-Viertaktsauggasmotoren 200/220 PS mit direkt gekuppelten Drehstrommaschinen für je 175 KVA bei 3000 Volt, 50 Perioden und 187,5 Umdrehungen in der Minute.

Die Erregung erfolgte von Erregerumformern. Das Trägheitsmoment des Maschinensatzes war 31000 kgm<sup>2</sup>. Die Eigenschwingungsdauer bei Leerlauf war ca. 1,6 sek, bei Vollast 1,5 sek. Die Prozeßdauer des Antriebs entsprach zwei Umdrehungen gleich 0,64 sek, bzw. 0,32 sek wegen der Zweizylinderanordnung.

Beim Betrieb ergaben sich dauernde Freipendelungen. Die von der Gasmaschine aufgezwungenen Schwingungen von der Dauer einer Umdrehung (der Ungleichformigkeitsgrad) waren im Parallelbetrieb fast genau die gleichen wie bei abgeschalteter Maschine, da man sich weit entfernt von Resonanz befand. Über die aufgezwungene lagerte sich die freie Schwingung. Besonders deutlich wurde die Erscheinung bei einer Belastung von ca. 30 bis 40 KW, wo die Eigenschwingungsdauer genau 1,6 sek, das 5fache der Prozeßdauer war. Das Tachogramm zeigt Fig. 300. Wenn man bedenkt, daß zwei solche Maschinen gegeneinander schwangen, so erkennt man leicht, daß sehr große störende Winkelabweichungen auftraten. Mit der Belastung nahmen die Schwingungen ab, von 120 KW auf-

warts war der Betrieb ruhig, weil die Eigenschwingungszahl sich geändert hatte.

Um den Betrieb zu verbessern, wurde zwischen zwei Maschinen eine induktionsfreie Drosselspule (s. Abschnitt 112) geschaltet. Die Eigenschwingungszahl wurde dadurch von 40 auf 22 bis 24 heruntersgesetzt. Auch jetzt zeigten sich bei kleinen Belastungen starke Schwankungen, da die Schwingungszahl 22 dem nachstengefährlichen Wert 20 ziemlich nahe lag. Der Strom schwankte zwischen 10 und 30 Amp., die Leistung zwischen 0 und 150 KW und die Spannung von 40 bis 60 Volt bei 3100 Volt, da nur zwei Maschinen parallel arbeiteten. Die Periodenzahl der Schwingungen änderte sich mit der Größe der Ausgleichströme, wegen der Sättigung der Drosselspule. Bei kleinen Ausgleichströmen ist diese gering, ihre effektive Reaktanz groß, die synchronisierende Kraft klein und daher auch die Eigenschwingungszahl; bei großen Ausgleichströmen umgekehrt. Die Schwingungszahl änderte sich von 16 bis 24.

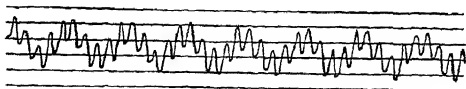


Fig. 300.

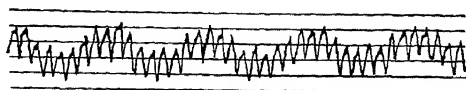


Fig. 301

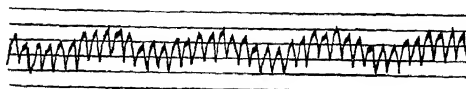


Fig. 302

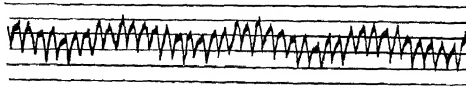


Fig. 303.

Die Regulatoren der Kraftmaschinen standen während der Pendelungen vollständig ruhig. Am ungünstigsten arbeiteten die zwei Maschinen zusammen, die an eine gemeinsame Gasleitung angeschlossen waren, und zwar bei Ansaugesynchronismus.

Wegen der veränderlichen Reaktanz der Drosselspule war die Eigenschwingungsdauer der Maschine veränderlich, je nach der Größe des Stoßes, der die Maschine in Schwingungen versetzte, und nach der Größe des Ausgleichstromes. Es war daher möglich, Freipendelungen von verschiedener Schwingungsdauer zu beobachten und es ergaben sich die stärksten Pendelungen jedesmal, wenn die Eigenschwingungsdauer  $t$  ein ganzes Vielfaches  $z$  der Prozeßdauer  $T$  war. Man beobachtete folgende „kritische“ Werte:

$T$	$z$	$t$	Schwingungen i. d. Minute	
0,32	5	1,6	37,5	ohne Drosselspule beobachtet
	7	2,24	26,8	mit Drosselspule beobachtet
	8	2,56	23,4	
	9	2,88	20,8	
	10	3,20	18,75	
	11	3,52	17,05	

Fig. 300 zeigt ein Tachogramm mit  $z=5$ , Fig. 301 mit  $z=9$ , Fig. 302 mit  $z=10$  und Fig. 303 mit  $z=10$  und 11. Zur Beseitigung der Schwingungen wurde das Schwunggewicht und der Luftspalt verändert.

### 109. Freipendelungen zweier parallel geschalteter Wechselstrommaschinen infolge der Änderung der synchronisierenden Kraft während des Pendelvorganges. Berechnung des Ausgleichstromes mit Berücksichtigung der Spannungsschwankungen<sup>1)</sup>.

Wir haben bis jetzt immer vorausgesetzt, daß die synchronisierende Kraft eine Konstante sei, d. h. daß die EMK  $E$  und die Klemmenspannung der Maschine durch die Pendelerscheinungen nicht beeinflußt werden, also merklich konstant bleiben. Ist die Wechselstrommaschine von einer Gleichstromquelle konstanter Spannung erregt, z. B. von einem besonderen Erregeraggregat, so sind die Spannungsänderungen proportional den Schwankungen der Umdrehungszahl, werden also meist 1% und weniger der Gesamtspannung ausmachen. Ist aber die Erregermaschine von der pendelnden Kraftmaschine auch beeinflußt, sitzt jene also z. B. auf dem Wellenstumpf des Generators, so können die Spannungsschwankungen der Hauptmaschine bedeutend größer werden, da jetzt auch der Erregerstrom des Generators schwankt. Die Größe der entstehenden Schwankungen der EMK  $E$  bei einer gewissen Tourenänderung in der Synchronmaschine ist nach Abschn. 19 in erster Linie abhängig von den Sättigungen der Erregermaschine und des Generators, in der Art, daß bei großen Sättigungen die Schwankungen klein sind, und umgekehrt. Im stationären Schwingungszustand des Aggregates haben wir nun auch noch mit einer

<sup>1)</sup> Die beschriebene Erscheinung wurde zuerst von H. H. Barnes, Am. Inst. of E. E., beobachtet. Die theoretische Erklärung gab P. Boucherot, La Revue électrique, 1904.

zeitlichen Verzögerung der Spannungsschwankungen gegen die sie erregenden Pendelungen der Geschwindigkeit zu rechnen. Denn infolge der Selbstinduktion der Erregermaschine und des Polrades der Synchronmaschine sind die Erregerströme beider Maschinen gegenüber den Änderungen der Geschwindigkeit zeitlich verzögert, so daß maximale Spannung und maximale Geschwindigkeit durchaus nicht zusammenfallen. Infolge der Spannungsänderungen entstehen auch Schwankungen der synchronisierenden Leistung der Maschine, die natürlich auch phasenverschoben gegen die pendelnde Bewegung sind, und unter gewissen Umständen kann das Produkt aus der EMK  $E$  und dem Ausgleichwattstrom der beiden Maschinen so stark phasenverschoben gegen die Schwingungsbewegung sein, daß  $W_A$  nicht nur proportional  $\Theta$  wächst, sondern auch proportional  $-\left(\frac{d\Theta}{dt}\right)$  wird, welches letztere Glied einer Phasennacheilung von  $90^\circ$  entspricht. Auch bei kompondierten Maschinen sind solche Schwankungen möglich, wie in Kap. XIV, S. 318 erwähnt ist. In diesem Falle treten Momente auf, die nicht mehr dem Winkel, sondern der Schlüpfung proportional sind und dem normalen Dampfermoment entgegenwirken, d. h. bestrebt sind, die Bewegung zu verstärken.

Wir wollen nun diese Schwankungen der synchronisierenden Kraft für zwei gleiche Maschinen untersuchen und zuerst den Ausgleichstrom zwischen den beiden Maschinen bestimmen, der von der Vektordifferenz ( $\mathfrak{E}_1 - \mathfrak{E}_2$ ) (Kap. XII, S. 245) abhängig ist.

Für beide Maschinen gelten folgende Gleichungen:

$$\left. \begin{aligned} \mathfrak{E}_1 &= \mathfrak{P} + \mathfrak{S}_1 r_a - j \mathfrak{S}_{w1} x_3 - j \mathfrak{S}_{wl1} x_2 \\ \mathfrak{E}_2 &= \mathfrak{P} + \mathfrak{S}_2 r_a - j \mathfrak{S}_{w2} x_3 - j \mathfrak{S}_{wl2} x_2 \end{aligned} \right\} \quad (329)$$

$$\mathfrak{S}_1 + \mathfrak{S}_2 = 0, \quad \mathfrak{S}_1 - \mathfrak{S}_2 = 2 \mathfrak{S}_A,$$

d. h. wir setzen voraus, daß die Maschinen nicht belastet seien. Es sollen nur kleine Schwingungen in Frage kommen, d. h. die Vektoren  $\mathfrak{E}_1$  und  $\mathfrak{E}_2$  keine großen Phasendifferenzen haben. Unter der Annahme können wir setzen:

$$\mathfrak{S}_{w1} \cong -\mathfrak{S}_{w2}, \quad \mathfrak{S}_{wl1} \cong -\mathfrak{S}_{wl2}.$$

Für die Wattströme ist der begangene Fehler fast immer sehr gering; wird er für den wattlosen Strom groß, so ist dieser selbst so klein, daß sein Einfluß gegenüber dem Wattstrom verschwindet. Die beiden Maschinen pendeln gleichmäßig gegeneinander, so daß der Netzvektor  $\mathfrak{P}$ ,

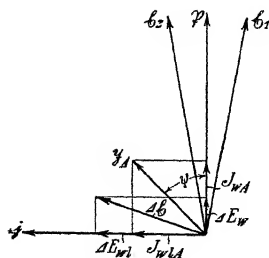


Fig. 304.

der mit der Mittellage der EMK-Vektoren zusammenfällt, in Ruhe bleibt, aber seine Größe ändert. Diesen Vektor wollen wir als reelle Achse eines Koordinatensystems annehmen und alle Wattkomponenten auf ihn beziehen. Bei der Berechnung der synchronisierenden Kraft korrigieren wir dann die erhaltenen Stromkomponenten in bezug auf  $\mathfrak{E}_1$  und  $\mathfrak{E}_2$ .

Führen wir noch ein

$$\mathfrak{E}_1 - \mathfrak{E}_2 = \Delta \mathfrak{E}, \quad \mathfrak{S}_{w1} - \mathfrak{S}_{w2} = 2 \mathfrak{S}_{wA}, \quad \mathfrak{S}_{w1} - \mathfrak{S}_{w2} = 2 \mathfrak{S}_{wIA},$$

so erhalten wir durch Subtraktion der Gl. 329

$$\Delta \mathfrak{E} = 2 r_a \mathfrak{S}_A - 2 j x_3 \mathfrak{S}_{wA} - 2 j x_2 \mathfrak{S}_{wIA}. \quad (330)$$

Aus dem Diagramm Fig. 304 folgt

$$\begin{aligned} J_{wA} &= J_A \cos \psi & J_{wIA} &= J_A \sin \psi \\ \mathfrak{S}_A &= J_{wA} + j J_{wIA} & \Delta \mathfrak{E} &= \Delta E_w + j \Delta E_{wI} \\ \mathfrak{S}_{wA} &= J_{wA} & \mathfrak{S}_{wIA} &= j J_{wIA} \\ \Delta E_w + j \Delta E_{wI} &= 2 r_a J_A (\cos \psi + j \sin \psi) \\ &\quad - 2 j x_3 J_A \cos \psi + 2 J_A x_2 \sin \psi \end{aligned}$$

Aus dieser Gleichung ergibt sich

$$\left. \begin{aligned} \Delta E_{wI} &= 2 J_A (r_a \sin \psi - x_3 \cos \psi) \\ \Delta E_w &= 2 J_A (r_a \cos \psi + x_2 \sin \psi) \end{aligned} \right\} \quad \dots \quad (331)$$

$$\operatorname{tg} \psi = \frac{\Delta E_{wI} r_a + \Delta E_w x_3}{\Delta E_w r_a - \Delta E_{wI} x_3} \quad \dots \quad (332)$$

$$\left. \begin{aligned} J_A &= \frac{\Delta E_{wI}}{2(r_a^2 + x_2 x_3)} \sqrt{\left(\frac{\Delta E_w}{\Delta E_{wI}}\right)^2 z_3^2 - 2 r_a \frac{\Delta E_w}{\Delta E_{wI}} (x_2 - x_3) + z_2^2} \\ J_{wA} &= \frac{1}{2} \frac{\Delta E_w r_a - \Delta E_{wI} x_2}{r_a^2 + x_2 x_3}, \quad J_{wIA} = \frac{1}{2} \frac{\Delta E_{wI} r_a + \Delta E_w x_3}{r_a^2 + x_2 x_3} \end{aligned} \right\} \quad (333)$$

Zur Feststellung von  $\Delta \mathfrak{E}$  setzen wir fest, es seien die elektrischen Winkelgeschwindigkeiten der Maschinen durch

$$\omega_m \pm \omega_r \sin \nu \Omega_m t,$$

und die Momentanwerte der vom Erregerfeld induzierten EMK durch

$$E_{12} = E [1 \pm \varepsilon \sin (\nu \Omega_m t - \varphi)] \quad \dots \quad (334)$$

gegeben.

Die Größe  $\varepsilon$  ist natürlich proportional der Geschwindigkeitsvariation  $\omega_r$  und hängt in ziemlich komplizierter Weise von Selbstinduktion und Widerstand der Magnetsysteme der Erregermaschine ( $r, l$ ) und des Polrades ( $R, L$ ) und von den Sättigungen beider

Systeme ab. Außerdem ist sie noch von der Geschwindigkeit<sup>1)</sup> der Schwingung ( $\nu \Omega_m$ ) abhängig. Nimmt man als Mittelwert

$$\frac{l}{r} = 1 \text{ für Erregermaschinen,}$$

$$\frac{L}{R} = 1 \text{ bis } 5 \text{ für Polrader,}$$

so erhält man als Resultat, daß bei Schwingungen von der Dauer einer Sekunde  $\varepsilon$  fast gleich der prozentualen Geschwindigkeitschwankung  $\frac{\omega_\nu}{\omega_m}$  ist, also nur  $1 - 2\%$  beträgt, da infolge der großen Selbstinduktion des Polrades keine großen Schwankungen im Erregerstrom auftreten können. Größere Werte können nur bei sehr langsamen Schwingungen auftreten oder wenn das Polrad wenig gesättigt ist.

Die Phasenverschiebung  $\varphi$ , die für das folgende sehr wichtig ist, bewegt sich zwischen den Grenzen 0 und  $\frac{\pi}{2}$  und ist von ( $\nu \Omega_m$ ),  $\frac{l}{r}$ ,  $\frac{L}{R}$  und den Sättigungsverhältnissen abhängig. Für normale Verhältnisse beträgt sie  $20^\circ - 30^\circ$ , kann aber leicht bis auf  $45^\circ$  wachsen und diesen Wert überschreiten. Sie wächst ungefähr proportional  $\frac{\varepsilon}{\left(\frac{\omega_\nu}{\omega_m}\right)}$ . Die elektrischen Winkelabweichungen beider Maschinen sind nun durch

$$\Theta_{12} = \mp \frac{\omega_\nu}{\nu \Omega_m} \cos \nu \Omega_m t$$

gegeben. Zur Zeit  $t$  eilen die Maschinen dem Vektor  $\mathfrak{B}$  um die Winkel  $\Theta_1$  bzw.  $\Theta_2$  vor. Wir schreiben also

$$\mathfrak{E}_1 = E [1 + \varepsilon \sin(\nu \Omega_m t - \varphi)] (\cos \Theta_1 - j \sin \Theta_1)$$

$$\mathfrak{E}_2 = E [1 - \varepsilon \sin(\nu \Omega_m t - \varphi)] (\cos \Theta_2 - j \sin \Theta_2).$$

Da  $\Theta_1 = -\Theta_2$  ist, ergibt sich

$$\Delta \mathfrak{E} = 2 \varepsilon E \sin(\nu \Omega_m t - \varphi) \cos \Theta_1 - j 2 E \sin \Theta_1 \quad (335)$$

Die elektromagnetische Leistung, die bestrebt ist, die beiden Maschinen in Tritt zu bringen, beträgt

$$W_a = m J'_{wA} [E_1 - J'_{wiA}(x_2 - x_3)] \dots \dots (336)$$

<sup>1)</sup> Der magnetische Einfluß der bei den Feldschwankungen entstehenden Wirbelströme ist verschwindend klein.



$J'_{wA}$  ist nicht gleich unserem berechneten  $J_{wA}$ , sondern nach  
Fig. 305

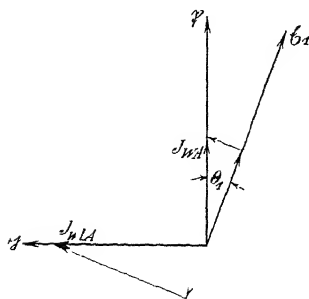


Fig. 305

$$J'_{wA} = J_{wA} \cos \Theta_1 - J_{wlA} \sin \Theta_1$$

und für kleine Schwingungen

$$J'_{wA} = J_{wA} - J_{wlA} \Theta_1.$$

Analog ergibt sich

$$\begin{aligned} J'_{wlA} &= J_{wA} \sin \Theta_1 + J_{wlA} \cos \Theta_1 \\ &= J_{wA} \Theta_1 + J_{wlA}, \end{aligned}$$

und man erhält bei Vernachlässigung von  $r_a^2$  gegen  $x_2 x_3$  nach Gl. 333

$$\left. \begin{aligned} J'_{wA} &= \frac{1}{2 x_2 x_3} [\Delta E_w (r_a - x_3 \Theta_1) - \Delta E_{wl} (x_2 - r_a \Theta_1)] \\ J'_{wlA} &= \frac{1}{2 x_2 x_3} [\Delta E_w (x_3 + r_a \Theta_1) - \Delta E_{wl} (x_2 \Theta_1 - r_a)] \end{aligned} \right\} \quad (337)$$

Wenn man  $r_a \Theta_1$  gegenüber  $x_2$  und  $x_3$  vernachlässigt, erhält man

$$\left. \begin{aligned} J'_{wA} &= \frac{1}{2 x_2 x_3} [\Delta E_w (r_a - x_3 \Theta_1) - \Delta E_{wl} x_2] \\ J'_{wlA} &= \frac{1}{2 x_2 x_3} [\Delta E_w x_3 - \Delta E_{wl} (x_2 \Theta_1 - r_a)] \end{aligned} \right\} \quad (338)$$

und

$$\begin{aligned} W_a &= \frac{m}{2 x_2 x_3} [\Delta E_w (r_a - x_3 \Theta_1) - \Delta E_{wl} x_1] \{E[1 + \varepsilon \sin(\nu \Omega_m t - \varphi)] \\ &\quad - \frac{x_2 - x_3}{2 x_2 x_3} [\Delta E_w x_3 - \Delta E_{wl} (x_2 \Theta_1 - r_a)]\}, \end{aligned}$$

oder nach Gl. 335, wo wir  $\sin \Theta_1 = \Theta_1$  und  $\cos \Theta_1 = 1$  setzen

$$\begin{aligned} W_a &= \frac{m E^2}{x_2 x_3} [(r_a - x_3 \Theta_1) \varepsilon \sin(\nu \Omega_m t - \varphi) + x_2 \Theta_1] \{1 + \varepsilon \sin(\nu \Omega_m t - \varphi) \\ &\quad - \frac{x_2 - x_3}{x_2 x_3} [x_3 \varepsilon \sin(\nu \Omega_m t - \varphi) + (x_2 \Theta_1 - r_a) \Theta_1]\} \quad \dots \quad (339) \end{aligned}$$

In diese Gleichung setzen wir noch den Wert für  $\Theta_1$  ein und rechnen die einzelnen Glieder aus. Wir berücksichtigen nur die Schwingungen der Grundperiodenzahl und erhalten dann als Resultat:

$$\begin{aligned}
 W_a = \frac{m E^2}{x_2 x_3} \left\{ \left[ -x_2 \frac{\omega_r}{\nu \Omega_m} \left( 1 - \frac{3}{4} \frac{\omega_r^2}{\nu^2 \Omega_m^2} \left( \frac{x_2}{x_3} - 1 \right) \right) \right. \right. \\
 - \varepsilon r_a \sin \varphi \left( 1 - \frac{3}{4} \frac{\omega_r^2}{\nu^2 \Omega_m^2} \left( \frac{x_2}{x_3} - \frac{x_3}{x_2} \right) \right) \\
 + \frac{\varepsilon^2 x_3^2}{2 x_2} \frac{\omega_r}{\nu \Omega_m} \left( 1 - \frac{1}{2} \cos 2 \varphi \right) \Big] \cos \nu \Omega_m t \\
 + \varepsilon \left[ r_a \cos \varphi \left( 1 - \frac{1}{4} \frac{\omega_r^2}{\nu^2 \Omega_m^2} \left( \frac{x_2}{x_3} - \frac{x_3}{x_2} \right) \right) \right. \\
 \left. \left. - \frac{\varepsilon}{2} x_3 \frac{\omega_r}{\nu \Omega_m} \sin 2 \varphi \left( \frac{x_2}{x_3} - \frac{1}{2} \right) \right] \sin \nu \Omega_m t \right\} \quad (340)
 \end{aligned}$$

Führen wir nun für

$$\cos \nu \Omega_m t = -\Theta_1 \frac{\nu \Omega_m}{\omega_r}$$

und für

$$\sin \nu \Omega_m t = \frac{d \Theta_1}{d t} \frac{1}{\omega_r}$$

ein, so erhalten wir folgende Beziehung zwischen Drehmoment und Winkelabweichung:

$$\begin{aligned}
 W_a = \frac{m E^2}{x_2 x_3} \left\{ \left[ x_2 \left( 1 - \frac{3}{4} \frac{\omega_r^2}{\nu^2 \Omega_m^2} \left( \frac{x_2}{x_3} - 1 \right) \right) \right. \right. \\
 + \varepsilon r_a \sin \varphi \frac{\nu \Omega_m}{\omega_r} \left( 1 - \frac{3}{4} \frac{\omega_r^2}{\nu^2 \Omega_m^2} \left( \frac{x_2}{x_3} - \frac{x_3}{x_2} \right) \right) \\
 - \frac{\varepsilon^2 x_3^2}{2 x_2} \left( 1 - \frac{1}{2} \cos 2 \varphi \right) \Big] \Theta_1 \\
 + \varepsilon \left[ \frac{r_a}{\omega_r} \cos \varphi \left( 1 - \frac{1}{4} \frac{\omega_r^2}{\nu^2 \Omega_m^2} \left( \frac{x_2}{x_3} - \frac{x_3}{x_2} \right) \right) \right. \\
 \left. \left. - \frac{\varepsilon}{2} x_3 \frac{1}{\nu \Omega_m} \sin 2 \varphi \left( \frac{x_3}{x_2} - \frac{1}{2} \right) \right] \frac{d \Theta_1}{d t} \right\} \quad \dots \quad (341)
 \end{aligned}$$

Wie wir es erwartet hatten, zerfällt das Gegendrehmoment der elektrischen Maschine in zwei Komponenten.

Die erste Komponente ist proportional der Winkelabweichung  $\Theta_1$ , die zweite hingegen der Relativgeschwindigkeit gegen den synchronen Lauf proportional. Die letztere ist proportional der Schlüpfung und wirkt wie ein Dämpfungsmoment. Der Faktor von  $\Theta_1$  gibt uns die synchronisierende Leistung  $W_s$ . Nach Gl. 157 ergab sich diese für Leerlauf und  $E = P$  zu

$$W_s = \frac{m E^2}{x_3},$$

was dem ersten Gliede der Gleichung entspricht. Der wahre Wert der synchronisierenden Leistung weicht von dem nach Gl. 157 berechneten ab; um so mehr, je verschiedener die Reaktanzen sind, je geringer die aufgeprägte Schwingungszahl ist, je mehr die EMK  $E$  in ihrer Größe schwankt, und je mehr diese Schwankung in der Phase hinter der Bewegung zurückbleibt. Am stärksten wird diese Wirkung bei Maschinen mit kleiner entmagnetisierender und großer quermagnetisierender Reaktanz sein. In diesem Falle wird die synchronisierende Leistung verringert und die Eigenschwingungsdauer erhöht.

Die zweite Komponente des Gegendrehmoments wirkt, solange ihr Vorzeichen positiv ist, wie eine Dämpferwicklung, und begrenzt die Schwingungsamplituden. Wird ihr Vorzeichen aber negativ, so nimmt das Gegendrehmoment mit steigender Geschwindigkeit ab und mit abnehmender Geschwindigkeit zu. Es hat die Komponente dann das Bestreben, die Maschine während des Voreilens noch mehr zu beschleunigen und während des Zurückbleibens noch mehr zu verzögern. Die Größe dieses Momentes wächst, wie die Formel zeigt, mit den steigenden Schwingungsamplituden, da sowohl  $\varepsilon$  als auch  $\omega$ , zunehmen, so daß selbst bei sehr kleinen Anfangswerten dieses Moment bald recht groß werden kann. Die Schwingungsamplituden nehmen im Anfang langsam zu und wachsen dann immer rascher und rascher.

Die Möglichkeit des Auftretens eines solchen Momentes ist ganz wesentlich von den Reaktanzen der Maschine abhängig. Bei sehr kleiner entmagnetisierender Reaktanz und großer quermagnetisierender, bei Maschinen mit breiten Polschuhen, kleinem Luftspalt und starker Sättigung kann es bei kleinem Ankerwiderstand  $r_a$ , großer Spannungsvariation  $\varepsilon$ , großer Phasenverschiebung  $\varphi$  und geringer Frequenz der aufgeprägten Schwingung auftreten. Das gleiche gilt für eine Maschine konstanter Reaktanz. Hier tritt es um so leichter auf, je kleiner  $r_a$  gegen  $x$  ist. Dagegen wird es bei Maschinen mit großem  $x_2$  und kleinem  $x_3$ , also schmalen Polschuhen, breitem Luftspalt und geringer Sättigung viel seltener auftreten, um so seltener je größer die Spannungsvariation  $\varepsilon$ , je kleiner der Ohmsche Widerstand und je größer die Phasenverschiebung  $\varphi$  ist. Beide Arten von Maschinen verhalten sich also ganz verschieden gegen diese Schwingungen. Interessant ist es, daß dieses Moment auch dann auftreten kann, wenn  $\varphi=0$  ist, d. h. wenn die Maschinen von einem Erregeraggregat aus erregt werden, der Erregerstrom konstant ist und die induzierte EMK in ihrer Größe der Geschwindigkeit des Polrades direkt proportional ist. Dies ist eine

Gefahr, die bei jeder Maschine vorhanden ist. Die Größe dieses Momentes unter diesen Umständen ergibt sich zu

$$\frac{m E^2}{x_2 x_3} \varepsilon \frac{r_a}{\omega_r} \left[ 1 - \frac{1}{4} \frac{\omega_r^2}{\nu^2 \Omega_m^2} \left( \frac{x_2}{x_3} - \frac{x_3}{x_2} \right) \right] \frac{d\Theta_1}{dt}.$$

Nun werden im allgemeinen die aufgeprägten Schwingungen nicht von so geringer Frequenz sein, um diesen Ausdruck negativ zu machen, wenn aber die Maschinen ein großes Trägheitsmoment, eine kleine Eigenschwingungszahl haben, und durch irgendeinen Stoß in Eigenschwingungen versetzt werden, so können diese langsamen Eigenschwingungen (für die wir dann in der Formel  $\Omega_{ei}$  statt  $\nu \Omega_m$  zu setzen haben) den Faktor von  $\frac{d\Theta_1}{dt}$  in Gl. 341 negativ machen, und eine solche Maschine wird durch jeden Stoß von der Kraftmaschine oder vom Netz her nach Verlauf einiger Pendelungen aus dem Tritt geworfen sein. Für  $\varphi = 0$  lautet jetzt die Bedingung für das Auftreten des negativen Momentes bei Eigenschwingungen

$$1 - \frac{1}{4} \frac{\omega_r^2}{\Omega_{ei}^2} \left( \frac{x_2}{x_3} - \frac{x_3}{x_2} \right) < 0$$

oder

$$\Omega_{ei} < \frac{\omega_r}{2} \sqrt{\frac{x_2}{x_3} - \frac{x_3}{x_2}}.$$

Wir sehen, daß bei Maschinen mit kleinem  $x_2$  und großem  $x_3$ , also in den meisten praktischen Fällen, diese Gefahr vollständig ausgeschlossen ist.

Für  $\omega_r$  führen wir nach Formel 143 die Beziehung

$$\omega_r = \frac{p \Omega_m}{2} \delta_r,$$

ein und erhalten

$$\frac{\Omega_{ei}}{\Omega_m} < \frac{p \delta_r}{4} \sqrt{\frac{x_2}{x_3} - \frac{x_3}{x_2}}.$$

Nehmen wir  $x_2 = 2x_3$  an, so erhalten wir

$$\frac{\Omega_{ei}}{\Omega_m} < 0,306 p \delta_r.$$

Ist  $\Omega_{ei} = \frac{1}{4} \Omega_m$ , so wird diese Gleichung mit  $p = 100$  und  $\delta \geq \frac{1}{49}$  befriedigt. Wenn bei einer solchen Maschine beim Parallelschalten oder durch Belastungsänderung ein Stoß entsteht, der eine Ungleichförmigkeit im Gange von  $\frac{1}{49}$  erzeugt, so werden diese ge-

fährlichen freien Schwingungen einsetzen. Je größer die Polzahl einer Maschine ist, desto leichter kann dieser Fall eintreten. Es sind also solche Schwingungen auch bei Kraftmaschinen mit gleichförmigem Antriebsmoment möglich, z. B. bei langsam laufenden Wasserturbinen.

Für die normalen Typen, bei denen meist  $\alpha_3$  größer als  $\alpha_2$  ist, können derartige gefährliche freie Schwingungen nur bei größeren Phasenwinkeln  $\varphi$  auftreten, wenn  $\varphi$  Werte von  $45^\circ$  erreicht. Maschinen mit schweren Schwungradern, langsam wirkender Spannungsregulierung und großer Polzahl werden also in bezug auf derartige zufällige Stöße sehr empfindlich sein.

Boucherot gibt deshalb als untere Grenze der Eigenschwingungsdauer ungefähr die Hälfte der Grundschiebungsdauer der Kraftmaschine an.

Besitzt die Maschine eine Dämpferwicklung, so muß deren Konstante größer sein als der Faktor von  $\frac{d\theta_1}{dt}$  in Gl. 341, sie muß dann für die größten vorkommenden Stöße dimensioniert sein. Unter Umständen genügt auch die natürliche Dämpfung, die jede Maschine in der Erregerwicklung und in den Wirbelströmen im Polrade besitzt, um dieses Moment, solange es noch klein ist, zu kompensieren, so daß die freien Schwingungen einfach abklingen. Hält dieses negative Dämpfungsmoment, den dämpfenden Wirkungen der Erregerwicklung und der Wirbelströme gerade das Gleichgewicht, so ist die resultierende dämpfende Wirkung Null und die Maschine führt, einmal gestört, dauernd freie Pendelungen von ihrer Eigenschwingungsdauer aus, die weder ab- noch zunehmen. Die Energieverluste wurden von den Kraftmaschinen her gedeckt.

Wie die Schwingungen, nachdem sie über eine gewisse Größe hinausgewachsen sind, sich weiter verhalten, können wir nicht sagen, da die Rechnung für kleine Winkel  $\theta_1$  durchgeführt wurde. Boucherot hat gezeigt, daß die Eigenschwingungszahl dann stark abnimmt, wie es auch nach unserer Formel zu erwarten ist, und daß bei gewissen Werten der Amplitude das negative dämpfende Moment wieder verschwindet. Freilich wird die Maschine schon meist vor Erreichung dieses Zustandes außer Tritt fallen.

Kompoundierte Maschinen verhalten sich bei Leerlauf in diesem Falle wie nichtcompoundierte.

# 110. Ein praktischer Fall. Möglichkeit derselben Erscheinung auf Grund der Ankerhysteresis. Schwierigkeit des Parallelschaltens bei schweren Schwungrädern.

Einen praktischen Fall derartiger Störungen berichtet H.H. Barnes, Proc. Amer. Inst. E. E. 1904. Es handelte sich um drei Kraftwerke, in denen sich genau gleiche Generatoren von 500 KW und  $k_p = 3,5$  befanden. Die Stationen unterschieden sich nur durch verschieden schwere Schwungräder. In der ersten war  $\Omega_{ei} = 0,63 \Omega_m$ , in der zweiten  $\Omega_{ei} = 0,5 \Omega_m$  und in der dritten  $\Omega_{ei} = 0,41 \Omega_m$ . Die dritte Station besaß also sehr große Schwungräder. Die erste Station arbeitete gut parallel, bei der zweiten mußte eine starke Dämpfung der Regulatoren angebracht werden und bei der dritten war jedes Parallelarbeiten unmöglich, selbst bei ganz gebremsten Regulatoren an den Kraftmaschinen. Es traten beim Parallelschalten jene erwähnten wachsenden Schwingungen ein, die die Maschine außer Tritt warfen. Durch Parallelschalten der Polräder und Erregermaschinen ließ sich die Erscheinung beseitigen. Der Winkel  $\varphi$  wurde dadurch zu Null und die aufeinander kurzgeschlossenen Polräder wirkten als Dämpferwicklung.

Boucherot<sup>1)</sup> hat gezeigt, daß auch der Einfluß der Hysteresis des Ankereisens ein derartiges negatives Dämpfungsmoment erzeugen kann, da infolge des Hysteresiswinkels die induzierte EMK, die durch die Induktion des Ankereisens bestimmt wird, gegenüber dem induzierenden Felde des Polrades zurückbleibt, also ebenfalls ein Phasenwinkel  $\varphi$  entsteht, der von dem Hysteresiskoeffizienten abhängig ist. Das entstehende Moment ist ziemlich klein, kann aber bei Generatoren mit lamellierten Polen ohne Dämpfung Schwierigkeiten verursachen.

Gegen die Anwendung zu schwerer Schwungräder spricht auch die wachsende Schwierigkeit des Parallelschaltens. Wenn man sorgfältig parallel schaltet und wartet bis die Phasenlampen erst nach 10 Sekunden eine vollständige Schwebung ausführen, d. h. nach je 10 Sekunden hell leuchten, so führt bei 50 periodigen Maschinen die eine Maschine 501 Perioden aus, wenn die andere 500 Perioden ausführt. Die maximale Geschwindigkeitsdifferenz, wenn  $\mathfrak{E}_1$  und  $\mathfrak{E}_2$  sich überlagern, beträgt  $\frac{2}{500} \Omega_m$  und beim Parallelschalten wirkt plötzlich eine lebendige Kraft von  $\frac{2}{500}$  der normalen auf das System, die die Maschinen wieder auseinanderreißen will.

Wir wollen den entstehenden Winkelausschlag beim Parallelschalten betrachten und annehmen, daß die eine Maschine gleichförmig

<sup>1)</sup> Bulletin d. l. Soc. Int. des El. 1904, S. 655.

rotiere und nur die andere pendele. Der erste Generator fñhrt infolge des Stoßes freie Schwingungen aus. Seine momentane Geschwindigkeit ist

$$\omega = \omega_m + \omega_f \sin(\Omega_{ei} t),$$

$$\Omega_{ei} = \sqrt{\frac{Sp}{J}}.$$

Die maximale Geschwindigkeit ist

$$\omega_{max} = \omega_m + \omega_f.$$

In diesem Moment ist seine ganze Pendelenergie  $W_p$  kinetisch, und, abgesehen von der Dämpfung, gleich der Energie, die ihm beim Stoß zugeführt wurde

$$W_p = \frac{1}{2} \frac{J}{p^2} (\omega_{max}^2 - \omega_m^2) = \frac{J}{p^2} \omega_m \omega_f$$

$$\omega_f = \frac{W_p}{J \omega_m} p^2.$$

Die Winkelabweichung des Generators ist nun:

$$\Theta = \int (\omega - \omega_m) dt = -\frac{\omega_f}{\Omega_{ei}} \cos(\Omega_{ei} t)$$

und ihr Maximum  $\Theta_m = \frac{\omega_f}{\Omega_{ei}} = \frac{W_p}{\sqrt{2 W_{Sch} \frac{S}{p}}},$

wenn  $W_{Sch}$  die mittlere kinetische Energie des Schwungrades  $\frac{1}{2} \frac{J}{p^2} \omega_m^2$  bedeutet.

Im Resonanzfalle ist  $\frac{J}{p} = \frac{S}{\Omega_m^2}$

und die kinetische Energie des Schwungrades, das Resonanz erzeugen würde, ist

$$\frac{1}{2} \frac{J}{p^2} \omega_m^2 = \frac{1}{2} \frac{S}{p} p^2 = W_R,$$

also ist

$$\Theta_m = \frac{p W_p}{2 \sqrt{W_{Sch} W_R}}.$$

Die Stoßenergie  $W_p$  ist beim Parallelschalten gleich  $\frac{2}{500} W_{Sch}$ . Ist nun z. B.  $\Omega_{ei} = \frac{1}{2} \Omega_m$ , oder  $W_{Sch} = 4 W_R$ , so wird

$$\Theta_m = p \frac{2}{500} = 0,23 p^0.$$

Bei einer 80poligen Maschine tritt also selbst bei einem derartig sorgfältigen Parallelschalten infolge des Stoßes der Schwungrad eine Winkelabweichung von 9 bis  $10^\circ$  auf.

### 111. Freipendelungen an einem unendlich starken Netz infolge der Variation der synchronisierenden Kraft.<sup>1)</sup>

a) Unter Annahme der Gültigkeit des Vektordiagramms während der Pendelungen und Berücksichtigung der Änderung der EMK  $E$ .

Im vorigen Kapitel haben wir die Schwingungen zweier parallel geschalteter Wechselstrommaschinen untersucht, bei denen die induzierten EMKe und daher auch die Klemmenspannung während des Pendelvorganges schwankte.

Wir wollen nun untersuchen, wie sich die Verhältnisse gestalten, wenn eine Maschine mit vielen andern parallel arbeitet, so daß die Klemmenspannung des Netzes sich nicht ändert, das Netz als „unendlich stark“ anzusehen ist.

Den Ausdruck für das Gegendrehmoment der elektrischen Maschine an einem unendlich starken Netz auf Grund des Vektordiagramms haben wir schon S. 305 abgeleitet und erhielten  $W_a$  als Funktion von  $E$  und  $\Theta$ . Wir nehmen nun an, die induzierte EMK sei nicht mehr konstant, sondern ändere ihre Größe nach dem Gesetz

$$E = E_m [1 + \varepsilon \sin(\nu \Omega_m t - \varphi)],$$

entsprechend dem vorigen Abschnitt. Der normalen Belastung der Maschine entspreche die mittlere Phasenverschiebung  $\Theta_m$ . Über diese mittlere Phasenverschiebung lagert sich die Pendelvornach- und -nacheilung  $\Theta_\nu$ , die durch

$$\Theta_\nu = -\frac{\omega_\nu}{\nu \Omega_m} \cos \nu \Omega_m t$$

entsprechend dem vorigen Kapitel gegeben ist. Für einen bestimmten Moment ist also die Phasenverschiebung zwischen  $E$  und  $P$  durch

$$\Theta = \Theta_m + \Theta_\nu = \Theta_m - \frac{\omega_\nu}{\nu \Omega_m} \cos \nu \Omega_m t$$

gegeben. Wir setzen diesen Wert von  $E$  und  $\Theta$  in die Gleichung für  $W_a$  ein, behandeln  $\Theta_\nu$  als kleinen Winkel, vernachlässigen die

<sup>1)</sup> Auf die Möglichkeit freier Schwingungen an einem Netz mit konstanter Klemmenspannung hat zuerst K. W. Wagner, E. u. M. 1908, hingewiesen



Oberschwingungen von  $W_a$  und erhalten schließlich, wie im vorigen Kapitel, einen Ausdruck von der Form

$$W_a = \text{Konstante} + A \sin \nu \Omega_m t + B \cos \nu \Omega_m t,$$

wobei der konstante Teil, abgesehen von einigen Korrektionsgliedern, der mittleren stationären Belastung entspricht. Führen wir dann wieder die Winkelabweichung  $\Theta$ , ein, so erhalten wir

$$W_a = \text{Konstante} + A' \Theta + B' \frac{d\Theta}{dt}.$$

Die Größe  $A'$  gibt wieder etwas modifiziert den Wert der synchronisierenden Leistung für die Erregung  $E_m$  und den Winkel  $\Theta_m$  an. Die Größe  $B'$  ergibt sich dann mit kleinen Vernachlässigungen zu

$$B' = E_m P m \left[ \frac{1}{x_2} \sin \Theta_m + \frac{r_a}{x_2 x_3} \left( 1 - 2 \frac{x_3}{x_2} \right) \cos \Theta_m + \frac{E_m 2 r_a}{P x_2^2} \right] \frac{\varepsilon}{\omega_r} \cos \varphi. \quad (342)$$

Wenn wir diesen Ausdruck mit dem (Gl. 341) des vorigen Abschnittes vergleichen, sehen wir, daß diese Pendelgefahr an einem Netze mit konstanter Klemmenspannung bedeutend geringer ist als bei zwei parallel geschalteten Maschinen. Freipendelungen sind nur dann möglich, wenn der Klammerausdruck negativ wird, was für Generatoren bei Leerlauf, bei Motoren bei Vollast am leichtesten möglich ist. Bei Generatoren sind diese Pendelungen sehr unwahrscheinlich, denn setzen wir für Leerlauf ( $\Theta_m \cong 0$ ) als äußersten Fall für einen stark gesättigten Turbogenerator  $x_3 = 2x_2$ , so muß nach Gl. 342

$$\frac{E}{P} < 1 - \frac{x_2}{2x_3} < \frac{3}{4}$$

sein. Nur bei starker Untererregung ist eine Pendelung möglich. Für einen belasteten Motor lautet die Bedingung für das Verschwinden der Dämpfung

$$\frac{E}{P} < -\frac{x_2}{2r_a} \sin \Theta_m + \left( 1 - \frac{x_2}{2x_3} \right) \cos \Theta_m.$$

Je größer  $x_3$  und  $\Theta_m$  und je kleiner  $x_2$  und  $r_a$  sind, desto leichter ist diese Bedingung erfüllt.

Für  $\Theta_m = -10^\circ$ ,  $\frac{x_2}{r_a} = 10$  und  $\frac{x_2}{x_3} = 1$  sind solche Pendelungen für  $E < 1,36 P$  möglich.

Die auftretenden Momente sind sehr klein, besonders wenn der Winkel  $\varphi$  größere Werte erreicht, und sie werden wohl meist durch

das im nächsten Abschnitt erwähnte positiv dampfende Drehmoment der Erregerwicklung kompensiert.

Bei belasteten kompondierten Maschinen sind derartige Schwingungen denkbar wegen der Schwankungen des Erregerstromes und des Zurückbleibens dieser Schwankungen hinter der erzeugenden Ursache, d. h. der Winkel  $\varphi$  kann größer als  $90^\circ$ ,  $\cos \varphi$  negativ werden. In diesem Falle sind freie Schwingungen, wie Gl. 342 zeigt, möglich.

Es treten bei den Maschinen aber noch andere größere negative dampfende Momente auf, die sich nicht aus dem Vektordiagramm ableiten lassen, sondern zu deren Feststellung man auf die ursprünglichen Differentialgleichungen der Maschine zurückgehen muß, die wir nun besprechen wollen.

### b) Freipendelungen durch den Einfluß des Ohmschen Widerstandes der Maschine.

Die Theorie dieser freien Pendelungen wurde von Dr.-Ing. L. Dreyfus, E. u. M. 1911, für eine Maschine mit konstanter Reaktanz und sehr kleiner Streuung abgeleitet. Aus der Differentialgleichung einer Phase wurde die Gleichung des Längs- und Quersfeldes des Ankers als Funktion des Winkels  $\Theta$ , abgeleitet, wobei sich als wichtigstes Resultat ergab, daß die Vektoren dieser Felder, gegenüber der Lage im Vektordiagramm, immer zurückbleiben, um so mehr, je größer die Frequenz der aufgezwungenen Schwingung ist.

Rechnet man aus dem resultierenden Feld und dem Ankerstrom das Drehmoment aus, so ergibt sich wieder ein Glied, das  $\frac{d\Theta_v}{dt}$  proportional ist, wieder die Eigenschaften eines Dämpfungsgliedes hat. Die Dämpferleistung, in Watt gemessen, ergibt sich zu:

$$-m E_m^2 \frac{\sin 4\varrho}{4x} \frac{1}{\omega} \frac{d\Theta_v}{dt} \dots \dots \dots (343)$$

$$\omega = 2\pi c. \quad \operatorname{tg} \varrho = \frac{r_a}{x}.$$

Solange  $\varrho < 45^\circ$  ist, ist dieses Moment negativ. Es ist um so größer, je größer die Erregung ist, je kleiner die Periodenzahl  $c$  ist und je größer  $\varrho$  ist, wenn es zwischen 0 und  $22\frac{1}{2}^\circ$  liegt.

Dieses Moment wächst sehr stark mit der Erregung und ist oft bedeutend größer als das im vorigen Abschnitt besprochene. Je größer der Ohmsche Widerstand  $r_a$  ist, desto größer ist die Pendelfahr.

Ist die positive Dämpferwirkung der Maschine, einer beson-

deren Dämpferwicklung, der Erregerwicklung, oder der Eisenverluste größer als das entstehende negative Moment, so klingen die freien Schwingungen nach einem Stoß einfach ab. Ist jene geringer, so nehmen sie zu, und sind beide gleich, so ist das resultierende Dämpfungsmoment gleich Null, und es entstehen bei einem Stoß dauernde Freipendelungen mit annähernd konstant bleibender Amplitude. Derartige freie Pendelungen wurden bis jetzt hauptsächlich an Synchronmotoren beobachtet, die in Kaskade mit Asynchronmotoren geschaltet waren, also eine sehr niedrige Periodenzahl besaßen, übererregt waren und einen großen Widerstand im Polrad-erregerkreis hatten. In diesem Falle ist die dämpfende Wirkung der Erregerwicklung des Polrades sehr gering, so daß das negative Dämpfungsmoment des Motors nicht durch das positive der Erregerwicklung kompensiert werden konnte.

Das dämpfende Moment der Erregerwicklung, das auf denselben Erscheinungen beruht wie die Wirkung einer Dämpferwicklung, wurde von Dr.-Ing. L. Dreyfus, E. u. M. 1911, für die Synchronmaschine mit rein sinusformiger Feldverteilung und geringer Sättigung von sehr kleinem Ohmschen Widerstand und von sehr kleiner Streuung durch Aufstellung der Differentialgleichung und ihre Integration bestimmt.

Die Dämpferleistung der Erregerwicklung in Watt gemessen ergibt sich als

$$m \frac{P^2 L_m}{x_2 r_m} \sin^2(\Theta_m + \Theta_r) \frac{d\Theta_r}{dt} \dots \dots (344)$$

wo  $L_m$  den Selbstinduktionskoeffizienten und  $r_m$  den Ohmschen Widerstand des Polrads mit Vorschaltwiderstand bedeutet entspr. Gl. 182.

Die Dämpferleistung ist um so größer, je kleiner  $x_2$ , je größer  $L_m$  und je kleiner  $r_m$  ist. Je größer der Erregerwiderstand ist, desto leichter werden die freien Schwingungen zu beobachten sein. Die Dämpferwirkung der Erregung nimmt mit der Größe der freien Schwingungen zu, und wird diese deshalb nur bis zu einer gewissen Grenze anwachsen lassen, bei der die Wirkung der Erregerwicklung überwiegt. Je mehr die Maschine belastet ist, desto größer wird die Dämpferwirkung der Erregerwicklung, so daß die freien Schwingungen fast nur bei Leerlauf oder sehr kleiner Belastung zu bemerken sind.

## Siebzehntes Kapitel.

# Anwendung von Drosselspulen zur Vermeidung der Pendelerscheinungen.

### 112. Induktionsfreie Drosselspulen nach Swinburne und E. Kolben.

Von den verschiedenen Möglichkeiten des Vermeidens von Pendelungen durch Vorrichtungen an der Maschine haben wir schon ausführlich gesprochen. Die Dämpfungsvorrichtungen für die Regulatoren der Kraftmaschinen sind Gegenstand des Maschinenbaus und in den betreffenden Werken ausführlich behandelt. Wir wollen noch ein besonderes Mittel ausführlicher besprechen, nämlich die Anwendung der Drosselspulen.

Es werden Drosselspulen nicht allein zur Dämpfung der Oberströme zwischen parallel arbeitenden Maschinen (Fig. 306), sondern auch zur Vermeidung von Resonanz und Pendelungen benutzt. Tritt z. B. für eine Maschine Resonanz auf, so kann man durch Vorschalten einer Drosselspule deren Eigenschwingungszahl ändern. Es ist nach Seite 352 die Eigenschwingungszahl einer Maschine

$$\Omega_n = \sqrt{\frac{W_s p}{J \Omega_m}}$$

und  $W_s$  nach Gl. 156 S. 311

$$W_s = mP \frac{Ex_3 + P(x_2 - x_3)}{x_2 x_3}.$$

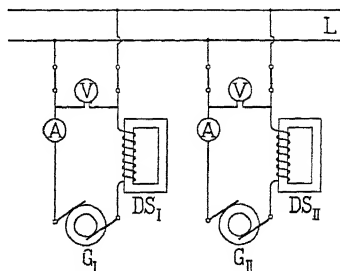


Fig. 306 Anwendung von Drosselspulen zur Dämpfung von Oberströmen bei parallel arbeitenden Maschinen.

Schalten wir nun in Serie mit der Maschine eine Drosselspule, so wird  $x_2$  und  $x_3$  vergrößert, und  $W_s$  nimmt ab und damit auch  $\Omega_{s2}$ .

Die Drosselspulen verkleinern aber die Überlastungsfähigkeit, vergrößern den Spannungsabfall und vermehren die Verluste der Maschinen. Man wird sie deswegen nur im Notfalle benutzen.

Diese Nachteile der Drosselspulen lassen sich jedoch, wie es im folgenden gezeigt werden soll, durch passende Schaltungen vermeiden.

Bei den gewöhnlichen Drosselspulen verursacht der ganze von einer Maschine gelieferte Strom einen Spannungsabfall und Energieverluste in den Spulen, wodurch auch die Überlastungsfähigkeit der Maschine verkleinert wird. Zur Vermeidung dieser Nachteile hat J. Swinburne<sup>1)</sup> die magnetischen Kreise je zweier Drosselspulen zu einem einzigen vereinigt und die Wicklungen, die die beiden Maschinenströme um diesen gemeinsamen magnetischen Kreis führen, in entgegengesetzter Richtung gewickelt (Fig. 307). Hieraus folgt, daß nur der Differenzstrom der beiden parallel arbeitenden Maschinen EMKe in den Wicklungen der Drosselspulen induziert. Sind die von den beiden Maschinen abgegebenen Ströme gleich groß und in Phase miteinander, so verschwindet der magnetische Kraftfluß in der Drosselspule und es werden keine EMKe in deren Windungen induziert. Hieraus folgt, daß der induktive Spannungsabfall und die Überlastungsfähigkeit der Maschinen durch derartig angeordnete Drosselspulen nicht beeinflusst werden. Nur der Ohmsche Widerstand der Spulen bedingt einen kleinen Spannungsabfall mit entsprechenden Verlusten. — In bezug auf die Oberströme, die zwischen den beiden Maschinen zirkulieren, wirken dagegen die Drosselspulen stark dämpfend. In derselben Weise verkleinern sie die Differenzströme, die infolge ungleicher Erregung oder ungleicher Belastungen sonst entstehen würden.

Fig 307. Induktionsfreie Drosselspule zur Dämpfung von Oberströmen zwischen parallel geschalteten Generatoren.

Derartige Drosselspulen, die in bezug auf den Hauptstrom induktionsfrei sind, werden wir im folgenden kurz induktionsfreie Drosselspulen heißen. In Fig. 308 ist das Diagramm von zwei derart verbundenen Maschinen dargestellt.  $J$  ist die Hälfte des von

<sup>1)</sup> Engl P. Nr 5811, 19. April 1888.



Das Verhältnis von  $\frac{\Delta E}{\Delta J}$  ergibt sich unter diesen Umständen nach Gl. 333, wenn  $\Delta E_w = 0$  gesetzt wird, zu

$$\frac{\Delta E}{\Delta J} = \frac{r_a^2 + x_2 x_3}{\sqrt{r_a^2 + x_2^2}} \simeq x_3,$$

wo jetzt

$$x_3 = x_{s1} + x_d + x_{s3}$$

ist, wenn  $x_d$  die Reaktanz der Drosselspule bedeutet. Diese wirkt wie eine Vergrößerung von  $x_{s1}$ .

Es ist nun  $E_r = E \cos \delta$  und  $J \sin \psi_r = J_{wl} = J_{wl} \cos \delta$ , da  $J_{wl}$  proportional  $E_r$  zu setzen ist, nach S. 314. Es gilt also

$$E > J_{wl} [x_{s1} + x_d + x_{s3}] \quad . \quad . \quad . \quad (347)$$

Die Drosselspule darf deswegen keine zu große Reaktanz  $x_d$  besitzen; denn in diesem Falle wird der Betrieb unstabil. Damit der Differenzstrom bei gegebenem  $\Delta E$  möglichst klein bleibt, ist es jedoch nötig  $x_d$  groß zu machen. Die synchronisierende Leistung ist gleich

$$\begin{aligned} W_\delta &= W_{a2} - W_a = W_a - W_{a1} \\ &= m [E_r \Delta J \sin \psi_d + J \Delta E \cos (\psi_r + \psi_d)]. \end{aligned}$$

Für den Fall, daß  $E_1 = E_2 = E$  und  $\psi_d = \frac{\pi}{2}$  ist, wird die synchronisierende Leistung

$$\begin{aligned} W_\delta &= m \Delta E \left[ \frac{E_r}{x_3} - J_{wl} \cos \delta \right] \\ &= m \frac{E}{2} \left[ \frac{E}{x_3} - J_{wl} \right] \sin 2\delta \quad . \quad . \quad . \quad (348) \end{aligned}$$

und die synchronisierende Kraft wird in diesem Falle gleich

$$W_s = m E \left[ \frac{E}{x_3} - J_{wl} \right] \cos 2\delta \quad . \quad . \quad . \quad (349)$$

In Fig. 309 sind die synchronisierende Leistung  $W_\delta$  und die synchronisierende Kraft  $W_s = \frac{dW_\delta}{d\delta}$  als Funktion von  $\delta$  aufgetragen. Da die Reaktanz der Drosselspule mit Eisenkern  $x_d$  keine konstante Größe ist, sondern mit der Sättigung abnimmt, so wird  $W_\delta$  nicht vollständig nach einer Sinuskurve verlaufen, sondern bei größeren Sättigungen, d. h. bei größeren Winkeln  $\delta$  rasch in die Höhe steigen, und man sieht leicht ein, daß die Überlastungsfähigkeit der Maschinen fast dieselbe ist, ob die Drosselspulen vorgeschaltet sind oder nicht.

$W_s$  und  $k_p$  können durch passende Wahl von  $\alpha_a$  beliebig klein gemacht werden. Sie dürfen nur nicht negativ werden, denn dann wird der Betrieb instabil. Mittels derartiger induktionsfreier Drosselspulen kann man also ohne merkbare Verluste die synchronisierende Kraft und damit die Pendelkapazität parallel arbeitender Generatoren auf einen beliebigen Wert verkleinern, wenn die Kurbeln der Antriebsmaschinen nicht in Phase sind. Sind die Kurbeln dagegen in Phase, so treten keine Ausgleichsströme auf und die Drosselspulen kommen nicht zur Wirkung. Die an das Netz abgegebene Leistung pendelt in diesem Falle eben so stark als ob die Drossel-

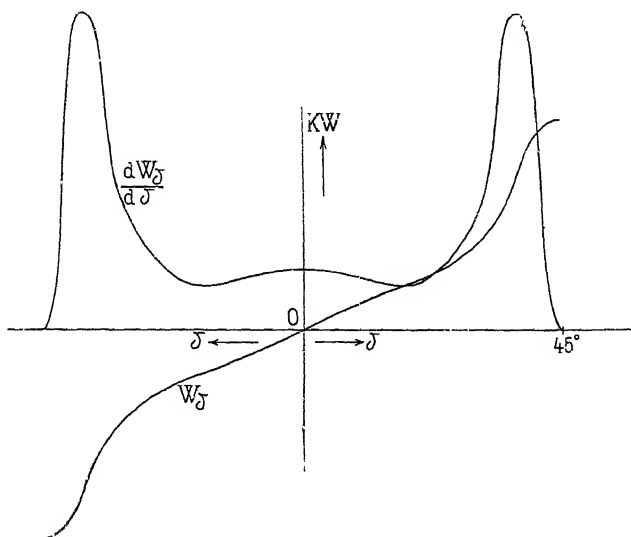


Fig. 309. Synchronisierende Leistung  $W_s$  und synchronisierende Kraft

$W_s = \frac{dW_s}{d\delta}$  von nach Fig. 307 parallel geschalteten Generatoren

spulen nicht vorhanden wären. Sorgt man bei dem Parallelschalten mehrerer Generatoren dafür, daß die Kurbeln nicht in Phase sind, so sind die induktionsfreien Drosselspulen allen anderen Dämpfungsvorrichtungen vorzuziehen, weil dadurch nicht allein ein Pendeln der Generatoren, sondern auch eine Schwankung der an das Netz abgegebenen elektrischen Leistung vermieden wird. Indem  $k_p$  verkleinert wird, wird auch ein Hin- und Herwogen von Energie zwischen den einzelnen Generatoren infolge der Regulatorpendelungen erschwert.



Anordnung der E. A. G. vorm. Kolben & Co. Wünscht man mehr als zwei Generatoren durch induktionsfreie Drosselspulen zu verketten, so führt man diese am besten nach dem Vorschlage der E. A. G. vorm. Kolben & Co.<sup>1)</sup> als Transformatoren aus und stellt einen Transformator für jeden Generator auf. Fig. 310 zeigt die Schaltung für drei Dreiphasengeneratoren. Die Primärwicklungen  $P$  der drei Transformatoren  $T_1$ ,  $T_2$  und  $T_3$  sind in Stern und die Sekundärwicklungen  $S$  phasenweise in Serie geschaltet. Der neutrale Punkt der primären Wicklungen jedes Transformators bildet

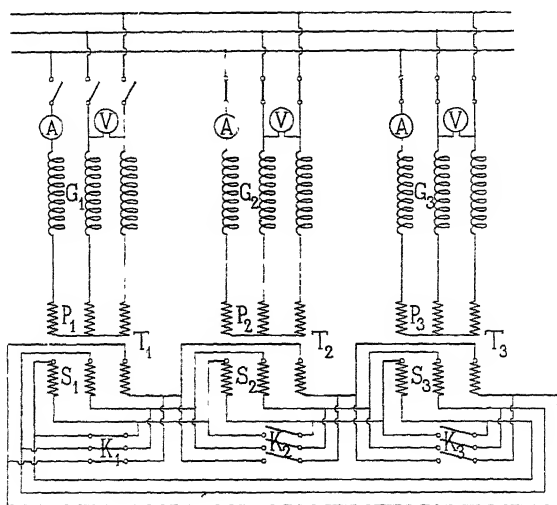


Fig 310. Schaltungsschema mehrerer durch Transformatoren verketteter Generatoren D.R.P. Nr. 145386. Kolben & Co

hier zugleich den neutralen Punkt der zugehörigen Maschine. Die Isolation der Transformatoren braucht daher nur für eine ganz geringe Spannung bemessen zu werden. Alle Operationen können an einem Schaltbrett, das nur die Sekundärklemmen der Drosselspulen enthält, und zwar unter allen Umständen unter Niederspannung während des Betriebes ausgeführt werden. Nur die Sekundärwicklung derjenigen Drosselspulen, deren Generatoren parallel geschaltet sind, dürfen natürlich in Serie geschaltet werden. Steht z. B. der Generator  $G_1$  still, so muß der Kurzschließer  $K_1$  der Sekundärwicklung  $S_1$  geschlossen bleiben. Soll dieser Generator angelassen und parallel geschaltet werden, so bringt man ihn zuerst auf Synchronismus und erst nachdem er auf die Sammel-

<sup>1)</sup> D R P. Nr. 145386.

schiene geschaltet und belastet ist, wird der Kurzschließer  $K_1$  geöffnet. Sind die Generatoren für verschiedene Leistungen gebaut, so werden die Übersetzungsverhältnisse der einzelnen Drosselspulen zweckmäßig so gewählt, daß alle Generatoren denselben Prozentsatz ihrer normalen Leistungen liefern. Das Übersetzungsverhältnis der Drosselspulen von Primär auf Sekundär wird somit umgekehrt proportional der normalen Leistung der Generatoren.

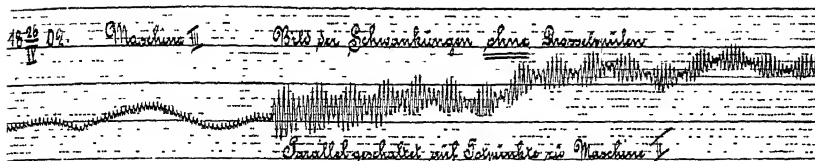


Fig. 311.

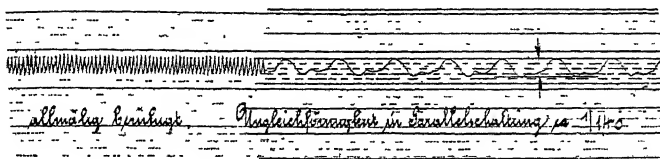


Fig. 312

Fig. 311 und 312 Tachogramme eines ohne Drosselspulen parallel arbeitenden Generators (Aufgenommen von Kolben & Co)

In den folgenden Fig. 311 bis 317 sind einige Tachogramme dargestellt, die bei parallel arbeitenden Maschinen mit und ohne induktionsfreie Drosselspulen von der E. A. G. vorm. Kolben & Co., Prag, aufgenommen worden sind. Aus diesen geht die dämpfende Wirkung der Drosselspulen deutlich hervor. Fig. 311 zeigt die Geschwindigkeitsvariationen der Maschine III kurz nachdem diese ohne zwischengeschaltete Drosselspulen mit Maschine II parallel geschaltet worden ist. Die Kurbeln der beiden Maschinen sind in Phase miteinander. In Fig. 312 sind die Geschwindigkeitsvariationen für denselben Fall dargestellt, und zwar nachdem die Maschinen sich beruhigt haben. Wie aus der Figur ersichtlich, beträgt der Ungleichförmigkeitsgrad der Maschine III bei Parallelschaltung mit der Maschine II  $\frac{1}{140}$ , wenn die Kurbeln in Phase sind. Das Tachogramm Fig. 313 bezieht sich auf den Fall, daß die Kurbeln der beiden Generatoren nicht in Phase sind; in diesem Falle leistet jeder Generator 300 KW und es beträgt der Ungleichförmigkeitsgrad sogar  $\frac{1}{55}$ . Fig. 314 zeigt, wie durch irgendeine äußere Ur-

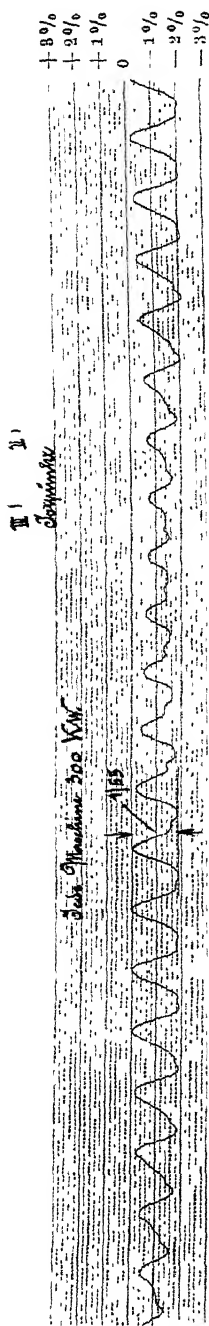


Fig. 313.

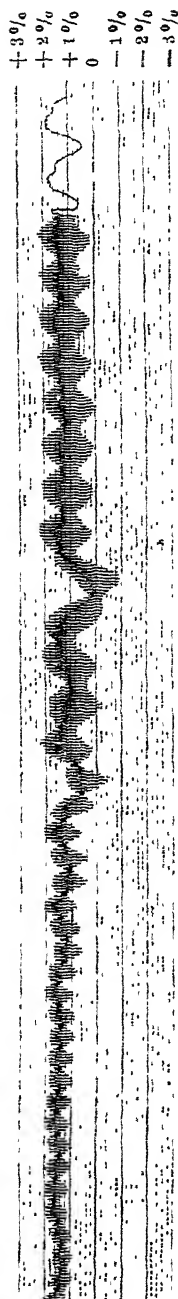


Fig. 314

Fig. 313 und 314 Tachogramme eines ohne Drosselspulen parallel arbeitenden Generators

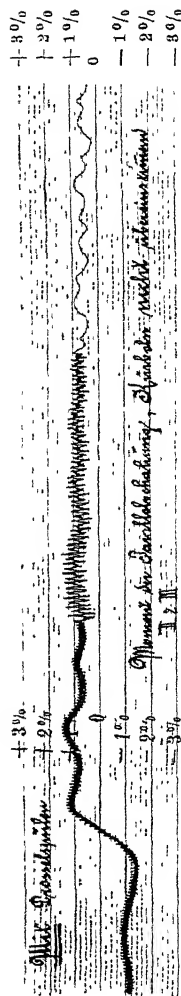
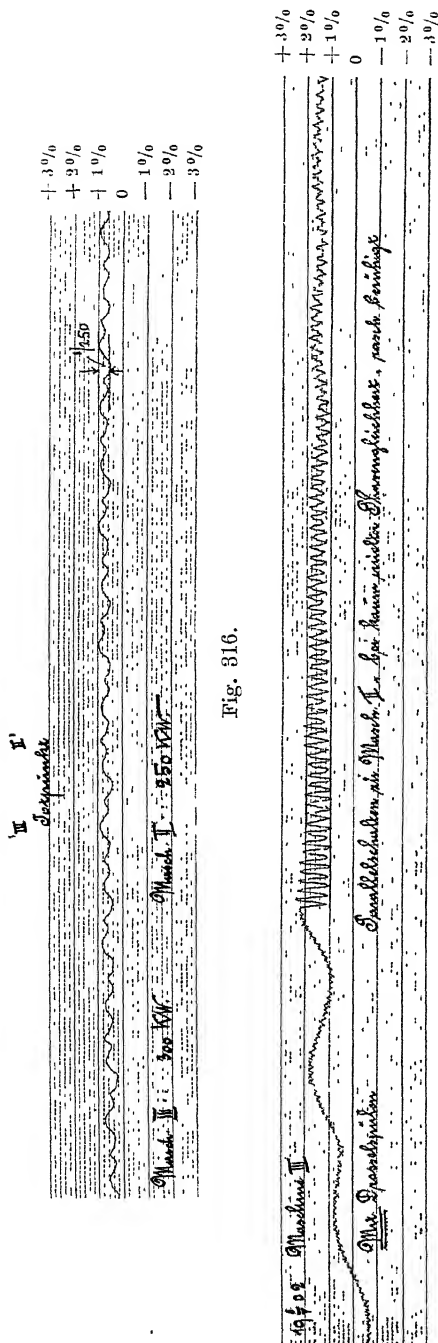


Fig. 315. Tachogramme eines parallel arbeitenden Generators mit Drosselspulen (Aufgenommen von Kolben &amp; Co.)



sache hervorgerufen freie kurze Schwingungen entstehen, die mit den erzwungenen Schwingungen interferieren und Schwebungen hervorrufen. Die Geschwindigkeitsvariationen sind zur Zeit der Maxima sehr groß und gefährden das Parallelarbeiten. Die Zeit zwischen zwei Maxima ist auch groß; sie entspricht der Zeit von 7,3 Umdrehungen. Fig. 315 zeigt den Moment der Parallelschaltung, wenn induktionsfreie Drosselspulen zwischen den Generatoren eingeschaltet sind. Trotzdem die Kurbeln nicht in Phase sind, beruhigen sich die Maschinen doch sofort. Fig. 316 zeigt auch, daß die Maschinen mit zwischengeschalteten Drosselspulen sehr ruhig arbeiten und bei 250 KW Belastung einen Ungleichförmigkeitsgrad von nur  $\frac{1}{250}$  haben. In Fig. 317 ist schließlich der Moment einer Parallelschaltung dargestellt, bei der die Maschinen kaum in Phase waren. Wie ersichtlich, haben die Maschinen sich auch in diesem Falle sehr rasch beruhigt.

Als ein praktisches Beispiel sei eine Bahnhofszentrale der E. A. G. Kolben angegeben mit 2 Drehstromgeneratoren von 100 KVA,  $n=180$ ,

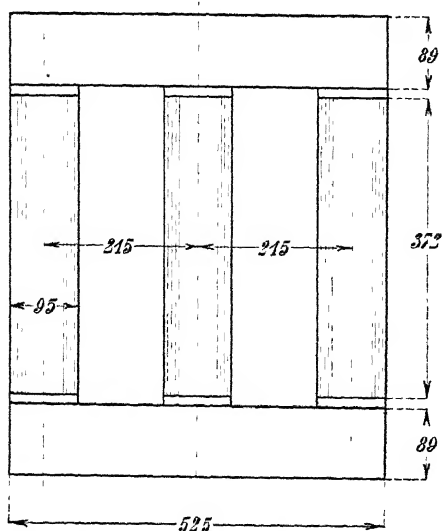


Fig. 318. Eisengestell eines Kolbenschen Ausgleichtransformators für 8,8 KVA,  $\frac{130}{30}$  Volt,  $\frac{30}{30}$  Amp.

48 Perioden, 1940 Volt, angetrieben durch 2 Dieselmotoren mit 2 Zylindern und 2 gleichgerichteten Kurbeln. Jeder Generator besitzt einen Ausgleichtransformator. Letztere sind sekundär in Serie geschaltet und haben eine Größe von 8,8 KVA,  $\frac{130}{30}$  Volt,  $\frac{30}{30}$  Amp., mit einem Übersetzungsverhältnis 1:1. Primär- und Sekundärwicklung haben 92 Windungen. Das Eisengestell hat einen Querschnitt von 71 qcm und folgende Gestalt (Fig. 318).

In einer anderen Zentrale sind mit Hilfe von

Ausgleichstransformatoren parallel geschaltet:

1. Generator 248 KVA,  $n=126$ , 300 Volt, 42 Perioden, mit doppelt wirkendem Zweitaktmotor.
2. Generator 170 KVA,  $n=157,5$ , mit Dämpferwicklung, mit Zwillings-Viertaktmotor.
3. Generator 122 KVA,  $n=126$ , mit Zwillings-Viertaktmotor.
4. Generator 240 KVA,  $n=157,5$ , mit Dämpferwicklung, mit Zwillings-Viertaktmotor.

Jeder Generator hat einen Ausgleichtransformator, deren Größen im Verhältnis der Generatorleistungen stehen. Die Sekundarseiten der Transformatoren sind hier parallel geschaltet.

Der Parallelbetrieb ist auch bei geringer Belastung sehr gut. Auch im Leerlauf sind 2 Generatoren gut parallel schaltbar.

## Achtzehntes Kapitel.

# Die Kurzschlußerscheinungen der synchronen Wechselstrommaschinen.

113. Die physikalischen Vorgänge bei dem plötzlichen Kurzschluß eines erregten Wechselstromgenerators. — 114. Berechnung des Ankerstromes bei Kurzschluß — 115 Berechnung des vorübergehenden Erregerstromes einer Mehrphasenmaschine bei Kurzschluß — 116. Berechnung des vorübergehenden Erregerstromes einer Einphasenmaschine bei Kurzschluß. — 117. Der maximale Ankerstrom. Falsches Parallelschalten. Der Stromstoß in der Erregerwicklung. Auftreten von Wirbelströmen — 118 Die mechanische Beanspruchung der Wicklung bei einem plötzlichen Kurzschluß.

### 113. Die physikalischen Vorgänge bei dem plötzlichen Kurzschluß eines erregten Wechselstromgenerators.

Wird ein Wechselstromgenerator, der normal erregt ist und seine volle Spannung besitzt, leer laufend oder in belastetem Zustande, an seinen Klemmen kurzgeschlossen, so stellt sich nach genügend langer Zeit der normale Kurzschlußzustand ein, der schon in Kap. V, S. 119 untersucht wurde. Der Strom stellt sich so ein, daß der aus Anker-AW und Erreger-AW resultierende Kraftfluß genügt, um eine EMK zu induzieren, die gleich der geometrischen-Summe des Ohmschen und des Streuspannungsabfalls in der Ankerwicklung ist.

Jener stationäre Zustand kann aber nicht sofort im Moment des Kurzschließens eintreten, sondern es vergeht eine gewisse Zeit, in der durchaus unregelmäßige und unperiodische Erscheinungen herrschen, bis sich die Maschine in dem neuen stationären Kurzschlußzustande befindet. Diese Zeit dauert theoretisch unendlich lange, ist aber praktisch nur von der Dauer einiger Sekunden.

Die Notwendigkeit eines solchen Übergangszustandes ergibt sich einfach daraus, daß die magnetische und elektrische Energie einer Maschine, die gerade im Kurzschlußmoment im Polrad und

im Anker aufgespeichert ist, sich nicht unstetig ändern kann, sondern allmählich von einem Zustand in den andern übergeht.

Besteht also in diesem Stromkreise im stationären Zustande zur Zeit  $t=0$  der Strom  $i_0$  und die Spannung  $p_0$  und wird in diesem Moment plötzlich der Zustand geändert, so stellt sich nach einiger Zeit ein neuer stationärer Zustand mit dem Strome  $i_s$  und der Spannung  $p_s$  ein. Während der Übergangszeit ist der Strom

$$i = i_s + i_v$$

und die Spannung

$$p = p_s + p_v.$$

$i_v$  wird als „vorübergehender Strom“ oder „Ausgleichstrom“ bezeichnet, analog die Spannung  $p_v$ . Der Strom  $i_s$  entspricht dem zweiten stationären Zustand und kann auf Grund der Differentialgleichungen oder eines Vektordiagrammes bestimmt werden. Über diesen lagert sich aber die freie Schwingung  $i_v$ , die die Verbindung mit dem ersten stationären Zustand herstellt und mit der Zeit verschwindet. Der wirklich bestehende Strom ist durch die Summe von  $i_s$  und  $i_v$  bestimmt.

Der vorübergehende Strom  $i_v$  und die vorübergehende Spannung  $p_v$  müssen natürlich auch den Differentialgleichungen der Stromkreise gehorchen, womit ihr zeitlicher Verlauf bestimmt ist. Die Grenzwerte für

$$i_v = i - i_s \quad \text{und} \quad p_v = p - p_s \quad . . . . . (350)$$

sind bestimmt für  $t=0$  (Moment des Kurzschlusses) durch:

$$i_{v0} = i_0 - i_s \quad \text{und} \quad p_{v0} = p_0 - p_s \quad . . . (351)$$

und für  $t=\infty$ , wenn der zweite stationäre Zustand eingetreten ist, durch

$$i_v = 0 \quad p_v = 0 \quad . . . . . (352)$$

Die vorübergehenden Ströme und Spannungen verschwinden nach Exponentialfunktionen mit negativen und der Zeit proportionalen Exponenten. Sie sind mit anderen Worten der Teil des allgemeinen Integrals einer Differentialgleichung, der mit willkürlichen Konstanten behaftet ist.

Der Wert der Konstanten ist durch die Gl. 351 definiert. Die Gl. 352 ergibt sich von selbst aus dem Verlaufe des Integrals und ist für Stromkreise mit Ohmschem Widerstand immer erfüllt, da dieser es ist, der die bei einem Stoß entstehenden Energien der freien Schwingung, denn als eine solche haben wir, analog wie in der Mechanik, den Strom  $i_v$  und die Spannung  $p_v$  aufzufassen, aufnimmt, in Wärme umsetzt, und damit diese Schwingungen zum Verschwinden bringt.

Die bei einem Kurzschluß auftretenden Vorgänge sind in Wirklichkeit äußerst kompliziert. Die Wechselstrommaschine ist ein Transformator, indem sie aus zwei magnetisch verketteten Systemen besteht, dem Anker und der Erregerwicklung. Als drittes System kommt noch das der Wirbelströme hinzu, die in massiven Polen infolge der Feldänderungen auftreten. Die Stromkreise der Wirbelströme lassen sich annähernd durch eine zweite gedachte in sich kurzgeschlossene Erregerwicklung auf den Polen ersetzen, durch deren Einfluß der effektive Widerstand der Erregerwicklung für Stromschwankungen vergrößert und die effektive Selbstinduktion derselben verkleinert werden kann.

Die Wirbelströme bewirken eine ungleichmäßige Verteilung der Induktion über den Querschnitt und damit eine Verkleinerung der gesamten magnetischen Leitfähigkeit des Eisens. Die Verminderung der magnetischen Leitfähigkeit des Eisens kommt freilich bei Maschinen mit genügend großem Luftspalt nicht stark zur Geltung, da der größte Teil des magnetischen Widerstands im Luftspalt liegt. Der Einfluß der Wirbelströme auf die Vorgänge wird auch durch die lose Kopplung zwischen Erregerkreis und Wirbelstromkreis sehr verringert, da die Kraftlinien des Wirbelstromfeldes fast nur im Eisen verlaufen und nur ein geringer Teil mit der Erregerwicklung wirklich verkettet ist. Es ist der Streuinduktionskoeffizient  $S$  für die Wirbelströme im allgemeinen viel größer als der Koeffizient der gegenseitigen Induktion zwischen Erregerwicklung und Wirbelstromkreis.

Der Koeffizient der gegenseitigen Induktion zwischen einer Ankerspule und dem Polrad ist eine veränderliche Größe und variiert bekanntlich unter Annahme sinusförmiger Feldverteilung auch nach einem Sinusgesetz.

Zur exakten Darstellung der Vorgänge wären nun die simultanen Differentialgleichungen für die drei Kreise aufzustellen und zu integrieren. Mit einigen Annäherungen ist dies in WT I, S. 703 ff. getan, worauf für eine genauere Nachrechnung verwiesen sei.

Wir wollen uns hier nur die physikalischen Erscheinungen zu vergegenwärtigen suchen.

Wir sahen, daß bei einer plötzlichen Zustandsänderung ein Stromkreis freie Schwingungen ausführt, die sich über den sofort nach der Änderung eintretend gedachten sekundären Zustand lagern und schließlich verschwinden, so daß nur noch dieser übrigbleibt.

Bei den elektrischen Maschinen haben wir im allgemeinen Stromkreise, die nur aus Widerstand und Selbstinduktion bestehen. Die freie Schwingung solcher Kreise klingt immer aperiodisch ab (WT I, S. 613, 675 ff.). Das Abklingen geschieht in der Art, daß



die zur Zeit  $t = 0$  vorhandene magnetische Energie der freien Schwingung sich in Joulesche Wärme umsetzen muß. Je größer also der Ohmsche Widerstand im Kreise gegen die Selbstinduktion ist, d. h. je mehr elektrische Energie er in der Sekunde in Wärmeenergie umsetzen kann, desto rascher läuft die freie Schwingung ab.

Bei den Vorgängen in elektrischen Maschinen haben wir es meist mit Stromänderungen und Feldänderungen zu tun. Betrachten wir als ersten Zustand den Leerlaufzustand, so gilt:

$$i_0 = 0 \quad \Phi = \Phi_0 \quad . . . . . (353)$$

und es entspricht der freien Schwingung zur Zeit  $t = 0$

$$i_{v_0} = -i_{s_0} \quad \Phi_v = \Phi_0 - \Phi_{s_0} \quad . . . (354)$$

Die Amplitude der freien Stromschwingung zur Zeit  $t = 0$  ist gleich dem negativen Werte des stationären Stromes zur Zeit  $t = 0$ , und die Schwingung des Kraftflusses ist gleich der Differenz der Kraftflüsse des ersten und zweiten Zustandes.

Die Zustandsänderungen elektrischer Apparate lassen sich nun in zwei Gruppen einteilen:

1. Es treten im wesentlichen nur Stromänderungen ein, während der den beiden Kreisen gemeinsame Hauptkraftfluß annähernd unverändert bleibt. Die magnetische Energie der freien Schwingungen kann hier nur in den Streureaktanzen der beiden Wicklungen enthalten sein, so daß die freien Schwingungen sehr rasch abklingen, da die so existierende magnetische Energie naturgemäß nicht groß sein kann. Der Strom kann in diesem Falle höchstens gleich dem doppelten des stationären Zustandes werden. Die Sättigung des Eisens kommt nicht in Betracht, weil die Kraftlinienwege ganz oder zum größten Teil durch Luft verlaufen. Ein solcher Vorgang ist z. B. das Belasten oder Kurzschließen eines Transformators, dessen primärer Widerstand und dessen primäre Streuung klein sind, wo die Änderung des gemeinsamen Kraftflusses verschwindend gegen die Stromänderung ist.

2. Es treten wesentliche Änderungen des den beiden Kreisen gemeinsamen Kraftflusses auf, während die entsprechenden Stromänderungen nur gering sind. Es sind sehr große magnetische Energien in der freien Schwingung enthalten, die ihr Äquivalent nur in den primären und sekundären Jouleschen Verlusten finden können. Die Ausgleichvorgänge klingen viel langsamer ab als im ersten Fall, nach einem Gesetz, dessen Exponent im wesentlichen der Quotient aus der Summe von primärem und sekundärem Widerstand und den Koeffizienten der gegenseitigen Induktion beider Wicklungen ist (WT, I, S. 679). Für die Erscheinung ist die

Sättigung des Eisens sehr wichtig. Bei Abnahme der magnetischen Leitfähigkeit mit steigendem Kraftfluß kann der Ausgleichstrom ein Vielfaches des stationären werden. Beispiele für diesen Fall sind das Einschalten der Primarseite eines Transformators und des Stators eines asynchronen Motors bei offenem Rotor.

Beim Kurzschluß eines leerlaufenden Synchrongenerators sind nun beide Erscheinungen übereinander gelagert. Es treten Stromänderungen und gleichwertige Kraftflußänderungen auf.

Die freie Schwingung setzt sich aus zwei Teilen zusammen. Erstens aus einem rasch abklingenden Teil, dessen Energie in magnetischen Streufeldern besteht und daher klein ist, und zweitens aus einem langsam abklingenden Teil, dessen anfängliche Energie in dem gemeinsamen Kraftfluß von Anker und Feldsystem besteht und daher groß ist. Die beiden Ströme werden sich gegenseitig nur wenig beeinflussen, denn der erste ist fast abgelaufen, bevor der andere richtig eingesetzt hat, da die Änderung des Hauptkraftflusses nur verhältnismäßig langsam vor sich gehen kann, so daß in den ersten Momenten des Kurzschlusses noch der volle Leerlaufkraftfluß vorhanden ist.

Im ersten Moment des Kurzschlusses wirkt die volle Leerlaufspannung der Maschine auf einen aus dem Widerstand  $r_a$  und der Streureaktanz  $x_k$  bestehenden Stromkreis und erzeugt eine erzwungene Schwingung von normaler Periodenzahl, die einem Grenzwert zustrebt, der durch den effektiven Strom

$$J_{mk} = \frac{P}{\sqrt{r_a^2 + x_k^2}} \quad . . . . . (355)$$

gegeben ist. Dieser Strom ist um den Phasenwinkel  $\psi_a = \arctg \frac{x_k}{r_a}$  gegen die Leerlaufspannung oder die EMK  $E$  verschoben.

Die erste freie Schwingung vermittelt den sehr rasch erfolgenden Übergang vom Leerlaufzustand zu diesem ersten stationären Zustand. Ihr Wert im Kurzschlußmoment muß also gleich dem negativen Werte des Stromes  $J_{mkm} \sin(\omega t + \psi - \psi_a)$  im Kurzschlußmoment  $t=0$  sein, weil in diesem Moment der Anker ja noch stromlos sein muß. Diese Schwingung klingt nach dem Gesetz  $e^{-\frac{r_a}{S_a} t}$  ab, wo  $S_a$  den Streuinduktionskoeffizienten eines Ankerzweiges bedeutet. Die Summe der erzwungenen und der freien Schwingung gibt den zeitlichen Verlauf des Kurzschlußstromes. Der maximale Strom, der in diesem Intervall auftreten kann, ist durch ca.  $2J_{mkm}$  gegeben.

Die Streureaktanz  $x_k$  strebt dem Grenzwert  $x_{s1}$  (s. S. 18) zu und ist in den ersten Momenten des Kurzschlusses bedeutend kleiner als  $x_{s1}$ , weil nur der Teil des Streufeldes gleichzeitig mit dem Kurzschlußstrom sich ausbildet, der nur durch Luft verläuft. Auf den übrigen Teil, z. B. den zwischen den Zahnköpfen des Ankers und durch die Ankerzähne verlaufenden Streufluß, üben die Wirbelströme des Eisens eine verzögernde und dämpfende Wirkung aus, so daß  $x_k$  mit abnehmendem Strome nur allmählich den Wert  $x_{s1}$  erreichen kann und infolgedessen der Strom in den ersten Momenten des Kurzschlusses einen sehr hohen Wert annimmt.

Da der Hauptkraftfluß im Anfang des Kurzschlusses wesentlich auf seinem konstanten Wert beharrt, muß im Polrad eine Elektrizitätsbewegung vor sich gehen, die die entmagnetisierende Wirkung des Ankerfeldes kompensiert, d. h. das Ankerfeld induziert in der Erregerwicklung und in den massiven Teilen der Pole Ströme, die bestrebt sind, den Kraftfluß aufrechtzuerhalten und dies auch fast erreichen. Unter gewissen Umständen werden nicht nur die ganzen Gegen-AW, sondern noch mehr erzeugt, so daß in Maschinen mit sehr starker Wirbelstromausbildung kurz nach dem Kurzschluß statt eines starken Zunehmens des Erregerstroms, wie es ohne Wirbelströme immer zu beobachten ist, im Gegenteil eine Abnahme stattfindet. Nach einer kurzen Zeit setzt nun die magnetische Entladung des Polrades, also die zweite freie Schwingung, ein, indem der Kraftfluß im Eisen dem stationären Kurzschlußwert  $\Phi_k$  zustrebt. Der Strom strebt jetzt auch einem andern Grenzzustand zu, als in den ersten Momenten, nämlich dem stationären Wert  $J_{km} \sin(\omega t + \psi - \psi_a)$ , der auch langsam erreicht wird. Die Änderung des Kraftflusses geht so langsam vor sich, daß die rein transformatorische Wirkung  $\left(\text{prop. } \frac{d\Phi}{dt}\right)$  auf den Anker vernachlässigt werden kann, wir berücksichtigen also nur die EMK, die durch die Drehung des Polrades erregt wird. Ein Bild der Vorgänge gibt Fig. 319.

Die zweite freie Schwingung  $i_{f2}$  ist bereits mit dem stationären Kurzschlußstrom  $i_s$  zusammengesetzt, so daß man als Folge des langsam abklingenden magnetischen Kraftflusses die Kurve  $(i_{f2} + i_s)$  erhält. Nach genügend langer Zeit haben die Amplituden dieser Kurve den Wert  $J_{km}$ , während der Amplitudenwert für den Kurzschlußmoment  $t=0$ , wo noch der volle Kraftfluß vorhanden ist,  $J_{mkm}$  beträgt. Da im Kurzschlußmoment der Gesamtstrom  $i$  gleich Null sein muß, ist durch den Wert von  $(i_{f2} + i_s)$  für  $t=0$  auch der Wert der ersten freien Schwingung  $i_{f1}$  bestimmt, wie es in Fig. 319 angedeutet ist, die rasch abklingt. Aus

$i_{f1}$ ,  $i_{f2}$  und  $i_s$  ist die Kurve des wirklichen Kurzschlußstromes  $i_a$  bestimmt, dessen Maximalwert also sehr vom Kurzschlußmoment abhängt.

Um den Einfluß des Wertes der EMK oder der Stellung des Polrades im Kurzschlußmoment zu zeigen, ist auch eine Welle der Leerlaufspannung  $p_0$ , die um annähernd  $90^\circ$  gegen den Strom verschoben ist, eingezeichnet.

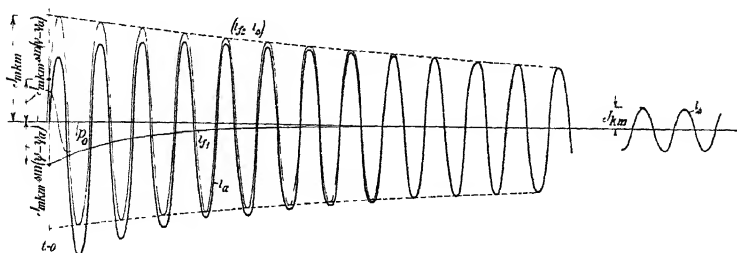


Fig. 319. Kurzschlußstrom eines Synchrongenerators. Kurzschlußmoment nahe dem Maximum der Leerlaufspannung.

In Fig. 319 findet der Kurzschluß unmittelbar nach dem Maximum der Leerlaufspannung statt. Der maximale Kurzschlußstrom ist deswegen bedeutend kleiner als  $2J_{km}$ .

Der normale stationäre Kurzschlußstrom wird infolge der langsamen Änderung des Hauptkraftflusses erst nach ungefähr 70 Perioden erreicht. Die freie Schwingung  $i_{f1}$  ist indessen praktisch schon nach 8 Perioden verschwunden. Der normale Kurzschlußstrom mit dem Maximalwert  $J_{km}$  ist auch für einige Wellen eingezeichnet. Es ist  $J_{mkm} = 5J_{km}$  angenommen.

Es ist also nicht gleichgültig, in welchem Zeitmoment, d. h. bei welcher Polradstellung die Maschine kurzgeschlossen wird. Um das einzusehen, müssen wir etwas näher auf die Erscheinungen eingehen.

#### 114. Berechnung des Ankerstromes bei Kurzschluß.

Es sei die Gleichung der induzierten EMK bei Leerlauf

$$e = E \sin(\omega t + \psi) \dots \dots \dots (356)$$

Da der Erregerstrom konstant ist, kann die induzierende Wirkung des Polrades auf eine Phase nur auf der Änderung des Koeffizienten  $M$  der gegenseitigen Induktion zwischen dem Polrad und dieser Phase beruhen. Es ist also

$$e = - \frac{\partial M_e}{\partial t} = - v_e \frac{\partial M}{\partial t}$$

$$M = \frac{E}{v_e \omega} \cos(\omega t + \psi) \quad . \quad . \quad . \quad (357)$$

Da die Kraftlinienverkettung einer Spule mit dem Polrad ein Maximum ist, wenn Polmitte und Spulenmitte zusammenfallen, und bei einer Weiterbewegung des Polrades unter der Annahme einer sinusförmigen Feldverteilung diese Kraftlinienverkettung sich nach dem Kosinusetz ändern muß, gibt uns das Argument  $(\omega t + \psi)$  zugleich die räumliche Entfernung von Spulenmitte und Polmitte für jeden Zeitmoment an, gemessen in elektrischen Graden. Zur Zeit  $t=0$ , im Kurzschlußmoment, ist also das Polrad gegen die Spulenmitte der betrachteten Phase um den elektrischen Winkel  $\psi$  verschoben (Fig. 320).

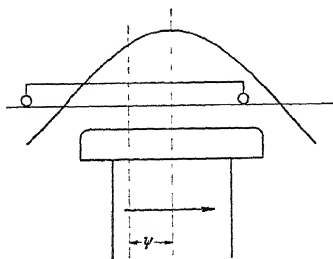


Fig. 320

Da der Koeffizient  $M$ , abgesehen von den verschiedenen Windungszahlen von Anker und Polrad, auch ein Maß für den Kraftfluß ist, den jede Phase durch die Erregerwicklung hindurchschickt, so ist der zeitliche Verlauf dieses Kraftflusses, der die Ankerrückwirkung bedingt, auch durch das Gesetz  $\cos(\omega t + \psi)$  gegeben, wenn das Polrad sich dreht.

In den ersten Momenten nach dem Kurzschluß strebt der Ankerstrom dem Wert

$$J_{mk_m} \sin(\omega t + \psi - \psi_a)$$

zu, wo

$$J_{mk_m} = \frac{\sqrt{2} P}{\sqrt{r_a^2 + x_k^2}}$$

bedeutet.

Der entsprechende vorübergehende Strom ist also nach Gl. 354 S. 460 im Zeitmoment  $t=0$ :

$$- J_{mk_m} \sin(\psi - \psi_a) \quad . \quad . \quad . \quad (358)$$

Die Größe dieses Stromes ist also vom Kurzschlußmoment sehr abhängig. Ist  $\psi = \psi_a$ , d. h. ist der Pol für  $t=0$ , den Kurzschlußmoment, um ca.  $90^\circ$  gegen die Spulenmitte verschoben, wird also im Maximum der EMK  $E$  kurzgeschlossen, so verschwindet dieser Stromstoß überhaupt. Wird dagegen kurzgeschlossen, wenn der Pol sich gerade unter der Mitte einer Phase befindet,  $\psi = \psi_a - \frac{\pi}{2} \cong 0$ , d. h. wenn die

EMK  $E$  sich im Nullwert befindet, die Feldenergie des Systems aber ein Maximum ist, dann wird dieser Stoß am größten, und beträgt  $J_{mk_{max}}$  Ampere. Es ist gerade dieser Strom, der beim Kurzschließen die Zerstörung der Wicklungen bewirkt, denn er verhält sich zum maximalen stationären Kurzschlußstrom  $J_{k_{max}}$ , wie der Leerlaufkraftfluß zum Kurzschlußkraftfluß

$$\frac{J_{mk_m}}{J_{k_m}} = \frac{\Phi_0}{\Phi_k} \quad (\text{WT I, S. 704}),$$

kann also bei kleinen Streureaktanzen und großer entmagnetisierender Wirkung des Ankers das 4- bis 5fache des maximalen stationären Kurzschlußstromes werden. Wird  $x_k$  kleiner als  $x_{s1}$ , so wird das Verhältnis noch größer.

Nach dem ersten Moment strebt das System dem normalen stationären Kurzschlußstrom zu, den wir mit großer Annäherung setzen können als

$$J_{k_m} \sin(\omega t + \psi - \psi_a) \quad . \quad . \quad . \quad (359)$$

$$J_{k_m} = \frac{V\sqrt{2}P}{\sqrt{r_a^2 + x_a^2}},$$

wo  $x_a$  die „synchrone“ Reaktanz bedeutet.

Dieser Übergang erfolgt nicht aperiodisch, denn wir haben es jetzt mit einer erzwungenen Stromschwingung der Armatur infolge der freien Schwingung des magnetischen Hauptkraftflusses zu tun, die von der Sättigung des Magnetsystems abhängig ist, wie WT I, S. 694 gezeigt ist. Das System geht nun von dem Grenzwert  $J_{mk_m} \sin(\omega t + \psi - \psi_a)$  zu dem Grenzwert  $J_{k_m} \sin(\omega t + \psi - \psi_a)$  über, so daß die entstehende Amplitude des dafür erforderlichen Ausgleichvorgangs nach S. 458 durch  $(J_{mk_m} - J_{k_m})$  gegeben ist. Da der Ausgleichvorgang durch die Bewegung des Polrades festgelegt ist und wir die transformatorische Wirkung infolge der Änderung des Kraftflusses vernachlässigen, muß der Ausgleichstrom dem Gesetz

$$(J_{mk_m} - J_{k_m}) e^{-\alpha t} \sin(\omega t + \psi - \psi_a) \quad . \quad . \quad (360)$$

folgen, so daß als Gleichung für den gesamten Ausgleichstrom im Anker:

$$i_{av} = (J_{mk_m} - J_{k_m}) e^{-\alpha t} \sin(\omega t + \psi - \psi_a) \\ - J_{mk_m} \sin(\psi - \psi_a) e^{-\frac{r_a}{s_a} t}$$

entsteht.

Der wirkliche, im Anker fließende Strom ist nun nach S. 458

$$i_a = i_{av} + i_s = J_{km} \sin(\omega t + \psi - \psi_a)(1 - e^{-\alpha t}) \\ - J_{km} \left[ e^{-\alpha t} \sin(\omega t + \psi - \psi_a) - \sin(\psi - \psi_a) e^{-\frac{r}{s} t} \right] \quad (362)$$

und in Fig. 319 dargestellt. Es ist

$$i_{av} = i_{f1} - i_{f2}.$$

Ist  $\psi = \psi_a - \frac{\pi}{2}$ , d. h. wird die Phase kurzgeschlossen, wenn der Pol gerade unter ihr steht, d. h. im Nullwert der Spannung, wo der stationäre Kurzschlußstrom im Maximum sein sollte, so ergibt sich

$$i_{amax} \cong -J_{km} \left( 1 - e^{-\frac{\pi r a}{\alpha s_1}} \right)$$

zur Zeit  $\omega t \cong \pi$ , also nachdem das Polrad eine Polteilung zurückgelegt hat.

Wird in der um 90 el. Grade verschobenen Lage des Polrades  $\psi = \psi_a$  kurzgeschlossen, d. h. im Maximum der Spannung, so wird

$$i_{amax} \cong J_{km} \quad \text{zur Zeit } \omega t = \frac{\pi}{2}.$$

In der Phase, die sich im Kurzschlußmoment gerade über dem Pole befindet, entsteht der größte Stromstoß.

Wenn wir die Art der Rückwirkung des Kurzschlußstromes auf das Feldsystem untersuchen wollen, müssen wir Einphasen- und Mehrphasenmaschine getrennt betrachten.

### 115. Berechnung des vorübergehenden Erregerstromes einer Mehrphasenmaschine bei Kurzschluß.

In einer Dreiphasenmaschine existieren 3 Ausgleichströme, und diese sind für jede Phase anders nach dem auf S. 464 Gesagten, denn jede Phase hat im Kurzschlußmoment eine andere Lage gegen das Polrad. Ist eine Phase gerade über dem Pole, so ist in dieser Phase der Stromstoß doppelt so groß als in den beiden anderen, da der Winkel  $\psi$  für diese ( $-120^\circ$ ) bzw. ( $-240^\circ$ ) ist.

Die ersten Glieder der 3 Ausgleichströme sind um je 120 el. Grade gegeneinander verschoben. Diese Ströme erzeugen eine synchron rotierende magnetomotorische Kraft (WT III, S. 239), deren Lage zur Zeit  $t$  durch (WT III, S. 240)

$$\sin(\omega t - x + \psi - \psi_a) \quad . \quad . \quad . \quad (363)$$

gegeben ist, so daß der Punkt maximaler Feldstärke dem Gesetz

$x = \omega t - \frac{\pi}{2} + \psi - \psi_a$  gehorchen muß. Für die Polradbewegung fanden wir

$$x_p = \omega t + \psi,$$

so daß die Relativlage von Polrad und Ankerfeld durch:

$$x_p - x = \frac{\pi}{2} + \psi_a$$

gegeben ist, die unveränderlich ist. Das Polrad zieht also das Ankerfeld in einem Abstand von  $\frac{\pi}{2} + \psi_a$  elektrischen Graden hinter sich her (Fig. 321), so daß die entmagnetisierenden Amperewindungen des Ankerstromes gleich

$$e^{-at}(J_{mk_m} - J_{k_m}) \frac{n}{2} w_a \sin \psi_a \dots \dots (364)$$

zu setzen sind.

Dieses Feld klingt langsam ab, ist unabhängig vom Kurzschlußmoment und induziert einen gleichgerichteten Strom in der Erregerwicklung.

Der zweite Teil der Ausdrücke für  $i_{av}$  entsteht, indem wir in

dem Argument  $(\omega t + \psi - \psi_a)$  den Wert von  $\omega t$  gleich Null setzen.

Das resultierende Feld aller drei Phasen erhalten wir, indem wir in Gl. 363  $\omega t$  gleich Null setzen. Wir erhalten dann eine Feldverteilung

$$\sin(-x + \psi - \psi_a) \dots \dots \dots (365)$$

d. h. ein Feld, das im Raume stillsteht, und das genau dieselbe Lage hat, wie das entsprechende Drehfeld sie im Kurzschlußmoment hatte. In diesem Felde, das ziemlich rasch abklingt, bewegt sich das Polrad nach dem Gesetz  $x_p = \omega t + \psi$  und es werden von diesem Felde also abklingende Wechselströme von der Statorperiodenzahl induziert werden. Setzen wir  $x_p$  in die Gl. 365 ein, und

multiplizieren mit dem Faktor  $\frac{n}{2} w_a J_{mk_m} e^{-\frac{\tau_a}{S_a} t}$ , der die Amplitude des Feldes angibt, so erhalten wir für diese gegenwirkenden Ankeramperewindungen die Gleichung

$$\frac{n}{2} w_a J_{mk_m} e^{-\frac{\tau_a}{S_a} t} \sin(\omega t + \psi_a) \dots \dots (366)$$

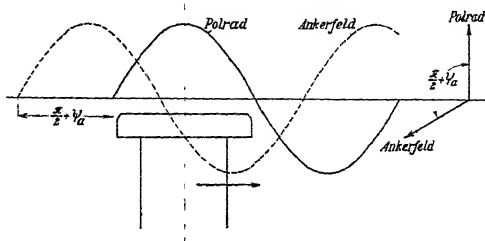


Fig. 321.



Die entsprechenden induzierten Erregeramperewindungen sind den gesamten Anker-AW entgegengesetzt gleich, wenn wir den Einfluß des Widerstandes und vor allem der Wirbelströme vernachlässigen. Der vorübergehende Erregerstrom, der sich über dem normalen Erregerstrom lagert, ist also annähernd:

$$i_m, w_m = \frac{n}{2} w_a (J_{mk_m} - J_{k_m}) e^{-\alpha t} \sin \psi_a + \frac{n}{2} w_a J_{mk_m} e^{-\frac{r_a}{s_a} t} \sin(\omega t + \psi_a) \dots \quad (367)$$

und ist also vollständig unabhängig vom Kurzschlußmoment, was auch zu erwarten war, da ja im stationären Zustand keine Relativbewegung zwischen Ankerfeld und Polrad stattfindet.

Im allgemeinen wird die Schwankung des Erregerstroms nicht so groß sein, wie Gl. 367 angibt, sondern der Ohmsche Widerstand der Wicklung und vor allem die ganz vernachlässigten Wirbelströme können die Schwankung sehr verkleinern und unter Umständen, wie schon erwähnt, ein Abnehmen statt eines Zunehmens dieses Stromes erzeugen.

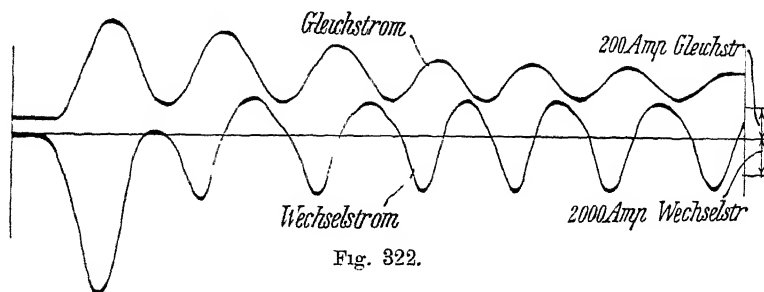


Fig. 322.

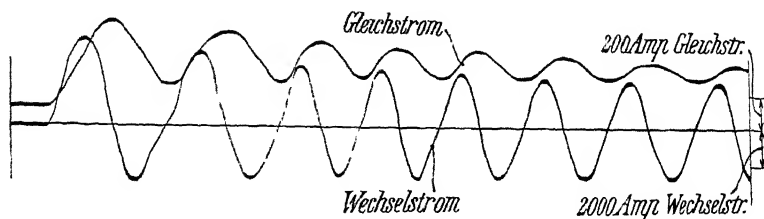


Fig. 323

Fig. 322 und 323. Erreger- und Ankerströme eines 11000 KVA-Dreiphasengenerators bei plötzlichem Kurzschluß aller drei Phasen.

In Fig. 322 und 323 sind Oszillogramme der Feld- und Ankerströme eines dreiphasig kurzgeschlossenen Drehstromgenerators für 2 Kurzschlußmomente wiedergegeben, an denen die besprochenen Schwingungen deutlich sichtbar sind.

In Fig. 322 ist der Generator im Nullwert der Spannung  $\psi = \psi_a - \frac{\pi}{2} \cong 0$  dreiphasig kurzgeschlossen. Man sieht die große Amplitude des Ankerstromes und den Einfluß des Gliedes  $J_{mkm} e^{-\frac{\tau_a}{S_a} t}$ , indem die Stromkurve zuerst ganz unsymmetrisch zur Abszissenachse ist, aber sehr rasch symmetrisch wird, und langsam abklingt. Der Erregerstrom steigt kurz nach dem Kurzschluß auf seinen 7fachen Normalwert.

In Fig. 323 ist der Generator im Maximum der Spannung  $\psi \cong \frac{\pi}{2}$  dreiphasig kurzgeschlossen. Das obenerwähnte Glied fehlt jetzt in dem Strom dieser Phase, die Stromkurve verläuft gleich symmetrisch zur Abszissenachse. Der maximale Stromstoß ist ungefähr nur halb so groß wie in Fig. 322.

Die Leistung der Maschine in den ersten Momenten nach dem Kurzschluß ist auch keine Konstante, sondern wird infolge der Bewegung des Polrades in dem ruhenden Ankerfeld mit der Statorperiodenzahl schwanken. Der pulsierende Teil der Leistung variiert (WT I, S. 707) zwischen 0,4 und 0,8 der dem momentanen Kurzschlußstrom entsprechenden Leistung

$$n P_0 J_{mk\text{eff}}.$$

Durch diese pulsierende Leistung werden alle mechanischen Teile des Generators abwechselnd in der einen und der anderen Richtung mit einem Moment beansprucht, das den zehnfachen Wert des normalen Drehmomentes erreichen kann, vorausgesetzt, daß die Kraftmaschine imstande ist, den Generator in normaler Geschwindigkeit zu erhalten. Die mittlere Leistung ist von  $\cos \psi_a$  abhängig.

Allgemein ist für den  $n$ phasigen Generator die momentane Leistung (WT I, S. 707)

$$w = n P_0 J_{mk} \left[ \cos \psi_a - e^{-\frac{\tau_a}{S_a} t} \cos (\omega t + \psi_a) \right] \quad . \quad (368)$$

## 116. Berechnung des vorübergehenden Erregerstromes einer Einphasenmaschine bei Kurzschluß.

In diesem Falle entsteht in der kurzgeschlossenen Phase ein gewöhnliches Wechselfeld, in dem der Pol rotiert. Der Kraftfluß, der den Pol durchsetzt, ist proportional dem momentanen Stromwert und proportional dem Kosinus des elektrischen Winkels zwischen Polmitte und Spulenmitte. Die auf den Pol wirkenden vorübergehenden Ankeramperewindungen sind also gegeben durch



der Statorperiodenzahl. Das Oszillogramm eines solchen Vorgangs zeigt Fig. 324<sup>1)</sup>.

Der Generator wurde nur während dreier Perioden kurzgeschlossen und also nur die ersten freien Schwingungen aufgenommen. Der Kurzschlußmoment ist im Maximum der Spannung  $\psi \cong \frac{\pi}{2}$ , was sich nach S. 466 in der Symmetrie der Stromkurve des Ankers zeigt. Man sieht auch die Schwingungen des Erregerstroms von doppelter Periodenzahl. Der Vorgang ist für die ersten Momente fast stationär.

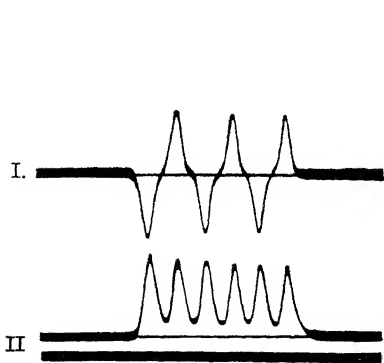


Fig. 324. Kurzschluß eines Einphasengenerators im Maximum der Spannung.  
I. Ankerstrom II. Erregerstrom

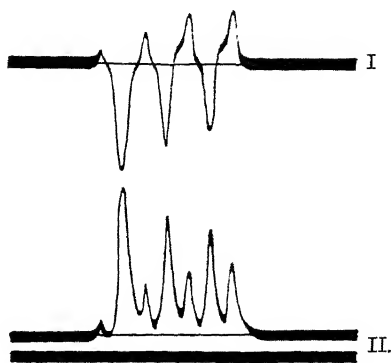


Fig. 325. Kurzschluß eines Einphasengenerators im Nullwert der Spannung.  
I. Ankerstrom II. Erregerstrom

Wird aber im Moment  $\psi = \psi_a - \frac{\pi}{2} \cong 0$  kurzgeschlossen, wenn Polachse und Spulenachse zusammenfallen, so tritt ein sehr großer Stromstoß auf, ungefähr doppelt so groß als im ersten Falle, und in der Erregerwicklung sind auch Pulsationen von der Statorperiodenzahl bemerkbar. Ein Bild dieser Vorgänge gibt Fig. 325. Auch hier war der Generator nur während dreier Perioden einphasig kurzgeschlossen. Man sieht den großen Stromstoß, die Unsymmetrie der Stromkurve in den ersten Perioden nach dem Kurzschlußmoment.

Der Erregerstrom pulsiert nun auch noch nach der Statorperiodenzahl, und diese Schwingungen lagern sich über die von doppelter Periodenzahl und erregen die unregelmäßigen Pulsationen in dieser Periodenzahl. Die obigen Schwingungen verschwinden rasch, so daß bald nur die Schwingung doppelter Periodenzahl übrig-

<sup>1)</sup> Die beiden Oszillogramme Fig. 324 und 325 sind dem Werke von Ch. P. Steinmetz, „Transient El. Phenomena and Osc.“ entnommen

bleibt. Der maximale Erregerstrom ist ungefähr gleich dem 10fachen Werte des normalen.

Für diesen Kurzschlußmoment treten auch die größten Leistungen auf.

### 117. Der maximale Ankerstrom. Falsches Parallelschalten. Der Stromstoß in der Erregerwicklung. Auftreten von Wirbelströmen.

Wir sehen also aus dem Vorhergegangenen, daß der größte Stromstoß in derjenigen Phase entsteht, deren Achse mit der Polachse im Kurzschlußmoment zusammenfällt. Der maximale auftretende Strom ist

$$J_{mkm} \left( 1 + e^{-\frac{\tau_{1a}}{x_{s1}}} \right)$$

und bei sehr kleinen Ohmschen Widerständen

$$\cong 2 J_{mkm}.$$

Da

$$J_{mkm} = \frac{\sqrt{2} P}{\sqrt{r_a^2 + x_k^2}} \cong \frac{\Phi_0}{\Phi_i} J_{km}$$

ist, kann  $J_{mkm}$  4 bis 5mal so groß sein als  $J_{km}$ , und wenn  $x_k$  kleiner ist als  $x_{s1}$ , noch größer. Der maximale auftretende Strom kann also bei kleinen Ohmschen Widerständen und Reaktanzen und großer Ankerrückwirkung 8 bis 10mal so groß sein als  $J_{km}$ , und da  $J_{km}$  für normale Verhältnisse etwa  $3\sqrt{2} \cong 4,2$  mal so groß ist als der effektive Vollaststrom, kann in ungünstigen Fällen der  $4,2 \cdot (8 \sim 10) = 34$  bis 42fache Normalstrom in der Ankerwicklung auftreten. Von der Belastung der Maschine ist der Kurzschlußstrom ziemlich unabhängig, wenn die Klemmenspannung konstant gehalten wird, da diese es ist, die bei Belastung den ersten großen Stromstoß hervorruft. Bei kleinen Belastungen ist das Verhältnis  $\frac{J_{mk}}{J}$  größer als bei großen.

Die Oszillogramme aufgenommener Kurzschlußstromkurven sind oft noch bedeutend komplizierter, als unsere Gleichungen angeben. Wenn sich die Eigenkapazität der Wicklung bemerkbar macht oder der Generator über ein Kabel mit genügender Kapazität kurzgeschlossen wird, können oszillatorisch verlaufende Übergangszustände eintreten zwischen der Streureaktanz des Generators und der Kapazität des Kabels, die bedeutend höhere Frequenzen haben können als die Statorfrequenz. Es kann aber auch sein, daß die

Nutenharmonischen der Spannungskurve, die sich im allgemeinen nicht stark bemerkbar machen, in dem elektrischen Kreis, bestehend aus Streureaktanz und Kapazität, den Resonanzzustand und starke Ströme ihrer Periodenzahl erzeugen, die sich über den Hauptstrom lagern.

Es ist ferner zu beachten, daß sehr große Ströme entstehen können, wenn ein Generator falsch parallel geschaltet wird. Wird auf hell statt z. B. richtig auf dunkel geschaltet, so sind die EMKe beider Maschinen in Phase in bezug auf den inneren Stromkreis und es entsteht der oben berechnete Strom, da jetzt plötzlich die maximale Spannung  $2\sqrt{2}P$  auf den Kreis  $2\sqrt{r_a^2 + x_k^2}$  geschaltet wird. Soll die betrachtete Maschine mit mehreren bereits arbeitenden Maschinen, z. B.  $n$ , parallel geschaltet werden, so ist sie noch ungünstiger daran, weil die Impedanzen der übrigen Maschinen in bezug auf die erste nur in der Größenordnung  $\frac{z}{n}$  erscheinen, so daß

der entstehende Strom ca.  $\frac{2n}{n+1}$  mal größer ist als der maximale Kurzschlußstrom der Maschine; wenn sie also zu vielen anderen parallel geschaltet werden soll, kann der maximale Strom 2mal so groß werden als bei Kurzschluß, und noch größer, wenn die Normalleistungen der anderen Maschine groß sind gegen die der betrachteten Maschine. Es kann also in solchen Fällen der 80—100fache Normalstrom auftreten, der die Zerstörung einer solchen Maschine begreiflich macht.

Die starken Stromschwankungen im Erregerkreis können auch zu Störungen Anlaß geben, denn in irgendeiner außerhalb der Maschine liegenden Selbstinduktion, z. B. im Anker oder in einer Kompoundwicklung der Erregermaschine, können durch sie sehr große Spannungen induziert werden, so daß die Isolation in dieser oder auch in der Erregerwicklung selbst auf dem Polrade zerstört werden kann. In den Erregerwicklungen von Turbogeneratoren findet man ab und zu sehr viele Punktierungen, die wohl auf diese Erscheinung zurückzuführen sind. Aus diesen Gründen ist der Ohmsche Widerstand der Erregerwicklung und eine möglichst kräftige Dämpferwirkung der Pole von großem Vorteil, da hierdurch diese Schwankungen, die namentlich im ersten Moment dem Erregerstrom fast reinen Wechselstromcharakter geben, sehr verringert werden. So ist die Wirkung der Metallkeile, mit denen die Nuten verschlossen sind, bei einem Kurzschluß eine äußerst günstige, denn wenn ihr Kontakt mit dem Eisen nicht zu schlecht ist, wirken sie als Dämpferwicklung. Wie kräftig die entwickelten Wirbelstromspannungen und Stromstärken

sind. zeigte sich bei Versuchen in England, wo bei Kurzschlußversuchen starke Lichtbogen an den Verschraubungen der Bronzekappen des Rotors bemerkt wurden, die sich in einem konzentrischen Kreis befanden. Es wurde dann festgestellt, daß die Verbindungsstellen der Schrauben, die die Kappe hielten, mit der Kappe verbrannt waren. Die Wirbelstromspannungen waren also so stark, daß sie die unvollkommenen Kontakte durch starke Lichtbogen überbrücken konnten. In einem anderen Falle, wo ähnliche Feuererscheinungen auftraten, wurde die ganze Wirbelstromstärke auf ca. 150 000 Amp. geschätzt.

### 118. Die mechanische Beanspruchung der Wicklung bei einem plötzlichen Kurzschluß.

Neben den starken mechanischen Beanspruchungen, die die rotierenden Teile einer Maschine bei einem plötzlichen Kurzschluß auszuhalten haben, treten auch sehr starke Kräfte an den Spulenköpfen auf. Ähnlich wie bei den Transformatoren sind es die primären und sekundären Streufelder, die zwischen Magnetwicklung und Ankerwicklung entstehen und die Wicklungen zu verbiegen suchen. Man kann hier 3 Arten von Kräften unterscheiden, die an den Spulenköpfen, als an dem beweglichsten Teil des Systems, Deformationen erzeugen:

1. Kräfte, die durch den gleichgerichteten Teil des vorübergehenden Stromes und das Streufeld der Magnetwicklung erzeugt werden. Diese Kräfte pulsieren mit Statorperiodenzahl. 2. Kräfte infolge der gegenseitigen Induktion zweier Ankerspulen und 3. Kräfte, die infolge der gegenseitigen Wirkung des Wechselstromes der Armatur und des Streufeldes der Magnetwicklung entstehen. Die Kräfte 2 und 3 pulsieren mit der doppelten Periodenzahl des Statorstromes.

Infolge der ersten Art treten anziehende und abstoßende Kräfte zwischen den Spulenköpfen und der Magnetwicklung auf

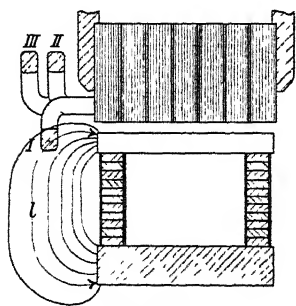


Fig. 326.

Die Spulenköpfe der Statorwicklung suchen sich infolge der 3. Art der Kräfte von dem Magnetsystem zu entfernen und die Kräfte der zweiten Art wirken anziehend oder abstoßend zwischen den Spulenköpfen der einzelnen Phasen, je nach der Richtung des Stromes in den einzelnen Phasen.

Wenn ein Spulenkopf sehr nahe am Eisen liegt, wird er gewöhnlich gegen das Eisen gezogen. Bei der in Fig. 326

dargestellten Anordnung der Wicklungsköpfe eines Dreiphasengenerators werden gewöhnlich die Spulenköpfe der Phase I von dem Streufelde zwischen Stator und Magnetwicklung nach außen abgelenkt, während die Spulenköpfe der II. und III. Phase sich gegenseitig abstoßen.

Um die abstoßende Kraft auf die Phase I (Fig. 326) zu berechnen, muß beachtet werden, daß im Kurzschluß ein dem großen induzierten Erregerstrom proportionales Streufeld auftritt. Diesen maximalen Erregerstrom  $i_{me}$  haben wir im vorhergehenden Abschnitt festgestellt. Es wirkt nun auf alle Krafttröhren eines Poles zwischen Polschuh und Joch die MMK  $i_{me}w_e - \frac{1}{2}AW_m$ , wobei  $\frac{1}{2}AW_m$  die AW sind, die zur Erregung des Kraftflusses im Pole erforderlich sind. Durch Aufzeichnen der Kraftlinien läßt sich angenähert die Feldstärke in der Umgebung der Phase I berechnen, und man erhält:

$$H \cong \frac{i_{me}w_e - \frac{1}{2}AW_m}{0,8l} \quad . \quad . \quad . \quad (371)$$

und die maximale mechanische Kraft pro Zentimeter Länge des Spulenkopfes

$$K = \frac{Hi_{amax}w_s}{l10^7} = \frac{i_{me}w_e - \frac{1}{2}AW_m}{0,8l10^7} i_{amax}w_s \text{ kg} \quad . \quad (372)$$

worin  $i_{amax}$  den Höchstwert des momentanen Kurzschlußstromes in Phase I und  $w_s$  die Windungszahl des Spulenkopfes bedeuten. Da  $i_{me}w_e$  bei großen Maschinen im Augenblick des Kurzschlusses bis zu 100 000 AW anwachsen kann, während  $i_{amax}w_s$  gleichzeitig den Wert von 150 000 erreicht, so wird

$$K = \frac{10^5 \cdot 1,5 \cdot 10^5}{0,8l \cdot 10^7} = \frac{1500}{0,8l} \text{ kg}.$$

Setzt man  $l = 36 \text{ cm}$ , so wird  $K = 52 \text{ kg}$ . Ist der Polbogen der Maschine  $60 \text{ cm}$  und die Länge des Spulenkopfes  $80 \text{ cm}$ , so kann man mit einer Kraft auf den Spulenkopf von ca.

$$52 \cdot \frac{60 + 80}{2} \cong 3600 \text{ kg}$$

rechnen. Es können also sehr erhebliche Kräfte in großen Maschinen auftreten. Man ist deswegen auch von der in Fig. 326 gezeigten Wicklungsanordnung abgekommen und führt die Wicklungsköpfe, wenn möglich, in zwei Ebenen aus, wie Fig. 327 zeigt. Die Wicklungsköpfe sind dann so weit von den Magnetspulen entfernt, daß

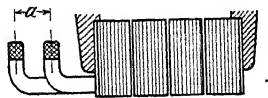


Fig. 327.



diese nur wenig Einfluß auf die Kopfe haben. Bei der letzten Wicklung erhält man hauptsächlich abstoßende Kräfte zwischen den Köpfen, weil in demselben Moment die Ströme in den Spulenköpfen der beiden Ebenen fast stets entgegengesetzt gerichtet sind. In dem axial verlaufenden Teile der Spulen, wo sie gerade aus den Nuten herauskommen, haben wir gruppenweise dieselbe Stromrichtung, weshalb hier sowohl anziehende, als abstoßende Kräfte bestehen. Die letzteren sind die Größeren, da das Streufeld zwischen den Spulen dort am stärksten wird, wo der Strom seine Richtung wechselt.

Die Kraft, mit der ein dem Eisen naheliegender Spulenkopf von demselben angezogen wird, läßt sich berechnen, wenn der Abstand  $a$  des Spulenkopfes vom Eisen gegen die Eisenfläche klein ist. Unter dieser Annahme läßt sich das entstehende magnetische Feld bekanntlich so berechnen, als ob symmetrisch zur Trennungsebene Luft—Eisen ein genau gleich geformter vom gleichen Strom durchflossener Spulenkopf sich befände und das Eisen gar nicht vorhanden wäre. Ist die Länge eines Spulenkopfes groß gegen den Abstand  $2a$ , so läßt sich die Kraft zwischen diesen beiden Spulenköpfen annähernd nach der Formel für das magnetische Feld eines unendlich langen geradlinigen Leiters berechnen. Die magnetische Feldstärke ist in der Entfernung  $2a$  von einem solchen Leiter

$$H = \frac{0,2 i_{a \max} w_s}{2a} = \frac{0,1 i_{a \max} w_s}{a} \quad . \quad . \quad . \quad (373)$$

In diesem Felde des gedachten Spulenkopfes befindet sich der wirkliche, und die Kraft, die ihn gegen das Eisen treibt, ist also pro Zentimeter Länge gerechnet,

$$K = \frac{i_{a \max}^2 w_s^2}{a 10^8} \text{ kg} \quad . \quad . \quad . \quad (374)$$

Rechnen wir mit einem Abstand von ca. 6 cm und setzen  $i_{a \max} w_s \cong 150000$ , dann wird

$$K = \frac{2,25 \cdot 10^{10}}{6 \cdot 10^8} \cong 38 \text{ kg}.$$

Bei einer gesamten Länge von 60 cm wird die totale Kraft auf den Spulenkopf

$$K = 38 \cdot 60 = 2280 \text{ kg}.$$

Es sind also ganz bedeutende pulsierende Kräfte, die zwischen 0 und dem berechneten Maximum  $2c$  mal in der Sekunde schwanken, die den Spulenkopf gegen das Eisen ziehen. Man begreift, daß, als man ursprünglich hölzerne Distanzstücke zwischen Spule und Eisen legte, diese nach einem Kurzschluß so zersplittert wurden, als

ob sie unter einem Dampfhammer gelegen hätten. Die Kraft zwischen zwei Spulenköpfen läßt sich für genügend lange Spulenköpfe auch nach der Formel für den unendlich langen Leiter berechnen. Eine genauere Rechnung ist in WT I, S. 582 angegeben, die den endlichen Querschnitt der Spulenköpfe berücksichtigt. Nach der vereinfachten Annahme mit linearen Leitern erhält man

$$H = \frac{0,2 i_a w_s}{a} \quad . \quad . \quad . \quad . \quad . \quad (375)$$

wenn  $a$  nun den gegenseitigen Abstand der Spulenköpfe bezeichnet. Die maximale Kraft, die die Spulenköpfe auseinander treibt, ist dann vorhanden, wenn der Strom in einem Kopf  $\frac{1}{2}\sqrt{3} i_{amax}$  und im andern  $-\frac{1}{2}\sqrt{3} i_{amax}$  ist, da sie proportional  $i i'$  ist.

Es ist dann

$$H = \frac{0,2 w_s}{a} \frac{1}{2} \sqrt{3} i_{amax}$$

und die Kraft pro Zentimeter Länge wird dann

$$K = \frac{0,2 w_s^2}{a 10^7} \frac{3}{4} i_{amax}^2 = 1,5 \frac{(i_{amax} w_s)^2}{a 10^8} \quad . \quad . \quad (376)$$

Als wirklich von dieser Kraft beeinflußt sind nur  $\frac{2}{3}$  der Länge eines Spulenkopfes zu betrachten.

Setzen wir z. B.

$$a = 10 \text{ cm} \quad i_{amax} w_s = 150000,$$

so ist

$$K \cong 34 \text{ kg pro cm},$$

und ist die Länge eines Spulenkopfes 60 cm, so ist die Kraft, die auf den ganzen Spulenkopf wirkt,

$$34 \cdot 60 \cdot \frac{2}{3} = 1360 \text{ kg}.$$

Also eine ganz beträchtliche Kraft, die den Druck der innersten Spule gegen das Eisen noch erhöht und die Wicklungshalter ganz wesentlich beansprucht. Eine gute Festlegung und Versteifung der Wicklungsköpfe ist also eine äußerst wichtige Sache, und eine mangelhafte Befestigung kann bei einem Kurzschluß Ursache zur völligen Zerstörung der Anker- und Erregerwicklung sein.

## Neunzehntes Kapitel.

# Verluste und Wirkungsgrad einer Wechselstrommaschine.

119. Verlust durch Hysteresisarbeit — 120. Verlust durch Wirbelströme, nicht isolierte Ankerbolzen und innere Ankerströme. — 121. Berechnung der gesamten Eisenverluste. — 122. Stromwärmeverluste durch den Ankerstrom und den Erregerstrom — 123. Mechanische Verluste. — 124. Der Wirkungsgrad einer Wechselstrommaschine und der Einfluß der einzelnen Verluste — 125. Die Lagerströme.

In jeder Dynamomaschine ist die Erzeugung der elektrischen Energie mit einer großen Zahl von Verlusten verbunden, magnetischer, elektrischer und mechanischer Natur. Wir unterscheiden

1. Verlust durch Hysteresisarbeit;
2. Verlust durch Wirbelströme, durch innere Ankerströme und nichtisolierte Ankerbolzen;
3. Stromwärmeverluste, verursacht
  - a) durch den Ankerstrom,
  - b) durch den Erregerstrom:
4. Mechanische Verluste
  - a) durch Lagerreibung,
  - b) durch Luftreibung,
  - c) durch Vibration der Maschine.

Die unter 1 und 2 genannten Verluste werden beim Leerlaufversuch gemeinsam gemessen; sie bestehen größtenteils aus Verlusten im Eisen und werden deswegen oft „Eisenverluste“ genannt, während man die Verluste der Gruppe 3 „Kupferverluste“ nennt. Wir wollen nun die Verluste der Reihe nach besprechen.

### 119. Verlust durch Hysteresisarbeit.

Aus zahlreichen Versuchen hat Steinmetz gefunden, daß der Hysteresisverlust bei linearer Magnetisierung pro Zyklus und Volumeneinheit (Kubikzentimeter) angenähert gleich

$$\eta B_{max}^{1,6} \text{ Erg}$$

gesetzt werden kann, wo  $\eta$  eine für die betreffende Eisensorte konstante Größe ist, und  $B_{max}$  die maximale Induktion bezeichnet.

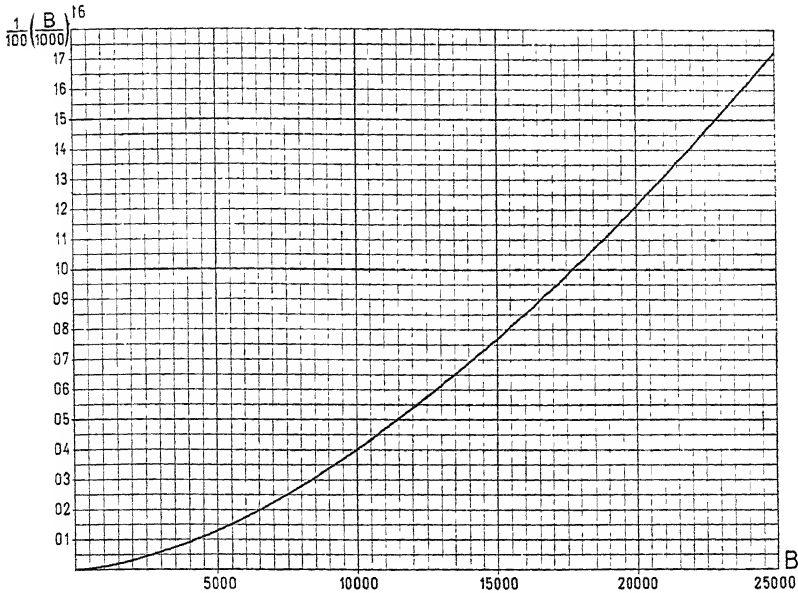


Fig. 328. Kurve zur Berechnung der Hysteresisverluste.

Nimmt man an, daß der Hysteresisverlust pro Zyklus der Ummagnetisierung unabhängig von der Geschwindigkeit ist, mit der er durchlaufen wird, was tatsächlich auch annähernd der Fall ist<sup>1)</sup>, so kann man den Hysteresisverlust für die lineare Ummagnetisierung bei  $c$  Ummagnetisierungen pro Sekunde und unter der Annahme  $\eta = 0,0016$

$$W_h = \left( \frac{c}{100} \right) \left( \frac{B_{max}}{1000} \right)^{1,6} V \text{ Watt}$$

setzen, wobei  $V$  in  $\text{dm}^3$  einzusetzen ist. Bei Ummagnetisierung mit Wechselstrom ist  $c$  die Periodenzahl des Wechselstromes.

In Fig. 328 ist  $\frac{1}{100} \left( \frac{B_{max}}{1000} \right)^{1,6}$  als Funktion von  $B_{max}$  aufgetragen.

Bei den Dynamomaschinen kommt meistens die drehende Ummagnetisierung vor, bei welcher die magnetisierende Kraft der Größe nach mehr oder weniger konstant, der Richtung nach aber

<sup>1)</sup> Vgl Gumlich und Rose, „Wissenschaftl. Abhandlungen der physikalisch-technischen Reichsanstalt“, 1905.

veränderlich ist. Über den Hysteresisverlust bei drehender Magnetisierung herrscht zurzeit noch Unsicherheit. Wir übertragen das Gesetz von Steinmetz auch auf diese Hysteresis und setzen

$$W_h = \sigma_h \frac{c}{100} \left( \frac{B_{max}}{1000} \right)^{1.6} V \text{ Watt, . . . (377)}$$

wo  $\sigma_h$  ein Maß für die Güte des Bleches ist; bei gutem Transformatorblech ist  $\sigma_h = 1$  oder kleiner als 1. Bei legierten Eisenblechen von Capito und Klein wurde im Elektrot. Institut Karlsruhe  $\sigma_h = 0.67$  gefunden.

a) Der Hysteresisverlust im Ankerkern. Betrachten wir einen Nutenanker, so ist der Hysteresisverlust im Ankerkern und in den Zähnen getrennt zu berechnen. Der Hysteresisverlust im Ankerkern ergibt sich für einen gleichförmig über den ganzen Ankerkern verteilten Kraftfluß nach der Formel

$$W_{ha} = \sigma_h \left( \frac{c}{100} \right) \left( \frac{B_a}{1000} \right)^{1.6} V_a \text{ Watt . . . (378)}$$

$c = \frac{pn}{60}$  ist die Periodenzahl der Ummagnetisierung,  $B_a$  die maximale Induktion im Ankerkern und  $V_a$  das Eisen-Volumen des Kernes.

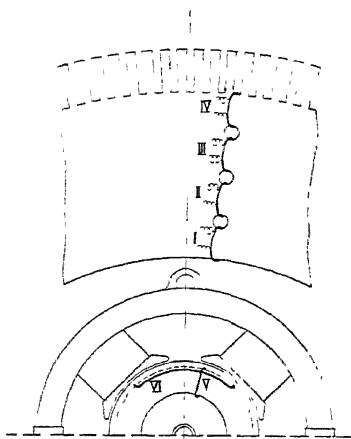


Fig. 329.

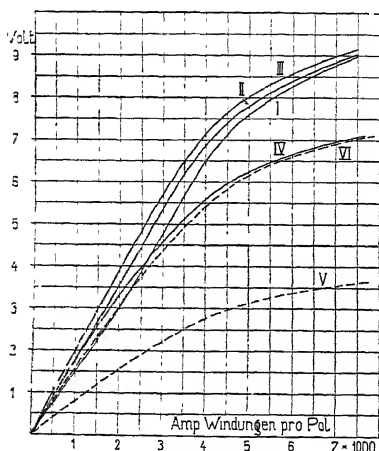


Fig. 330.

Fig. 329 und 330. Verteilung des Kraftflusses im Ankerkerne.

Die Induktion verteilt sich aber nicht vollständig gleichmäßig über den ganzen Kernquerschnitt, wie der folgende in der Maschinenfabrik Örlikon ausgeführte Versuch zeigt.

An verschiedenen Stellen des Ankers (Fig. 329) sind die Prüf-

spulen I bis VI jede mit 10 Windungen angebracht; die an diesen Spulen gemessene Wechselspannung ist als Funktion des Erregerstromes in den Kurven I bis VI (Fig. 330) aufgezeichnet. In das Armatureisen wurden in axialer Richtung 3 Löcher von 8 mm Durchmesser gebohrt, und zwischen diese Löcher sind die Meßspulen I bis IV gewickelt; die Spule V umschließt den ganzen Eisenring und die Spule VI umschließt als Trommelwindung 44 Armaturzähne. Eigentümlich ist, daß die in der Spule IV induzierte EMK mit der Erhöhung der Feldstärke langsamer ansteigt als die in den Spulen I, II und III induzierten EMKe. Die in der Spule VI induzierte EMK ist fast doppelt so groß wie die in der Spule V induzierte EMK.

Fig. 331 stellt die Resultate ähnlicher Versuche mit Nutenankern von W. M. Thornton<sup>1)</sup>, und zwar bei verschiedenen Zahninduktionen dar. Als Abszisse ist die radiale Tiefe des Ankerkernes (5 cm), als Ordinate die Induktion im Ankerkern aufgetragen. Es zeigt sich aus diesen Kurven, daß bei höherer Zahninduktion die maximale Ankerinduktion direkt hinter den Nuten auftritt, während bei niedriger Zahninduktion die maximale Ankerinduktion in einiger Entfernung der Nuten auftritt. Dies läßt sich dadurch erklären, daß bei hoher Zahninduktion der Kraftfluß schon teilweise durch den Nutenraum von den Nutenwänden nach dem Nutengrund verläuft und außerdem dadurch, daß der Zahnkraftfluß, sobald ihm ein größerer Querschnitt geboten wird, plötzlich abbiegt.

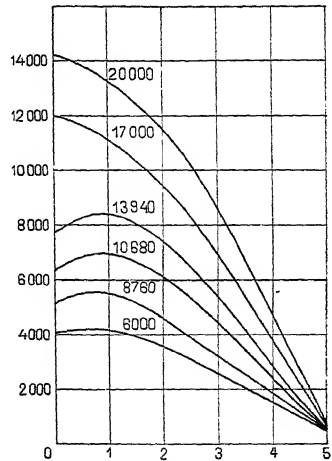


Fig. 331 Verteilung der Induktion in einem Nutenanker als Funktion der radialen Tiefe.

Unter der Annahme, daß das Eisen dort fortgelassen werden kann, wo die Induktion auf etwa die Hälfte der maximalen gesunken ist, ergibt sich als Anhaltspunkt für die Wahl der Kerntiefe  $h$

$$h \cong \frac{D}{2p} \quad . \quad . \quad . \quad . \quad . \quad (379)$$

Der Einfluß dieser ungleichförmigen Verteilung des Kraftflusses über den ganzen Kernquerschnitt auf den Hysteresisverlust ist im

<sup>1)</sup> „Electrician“, 1905—1906, S. 959.

allgemeinen nicht groß und kann, wenn erforderlich, am einfachsten durch einen Zuschlag berücksichtigt werden.

Der Hysteresisverlust ist auch abhängig von der Form der Feldkurve oder von dem Verhältnis  $\alpha = \frac{\text{Polbogen}}{\text{Polteilung}}$  und von der Form der Polspitzen.

Ist der durch Wechselstrommagnetisierung und Trennung der Hysteresis und Wirbelstromverluste nach der Periodenzahl gefundene Koeffizient  $\eta$ , so setzen wir

$$\sigma_h = 0,9 \text{ bis } 1,1 \frac{\eta}{0,0016} \quad \dots \quad (380)$$

Der kleinere Wert ist bei Leerlauf und der größere bei Vollast zu benutzen, weil hier die ungleichförmige Verteilung des Kraftflusses über den Kernquerschnitt größer ist.

Bezeichnen wir mit  $Q_a$  den Querschnitt des Ankerkernes, so kann angenähert der Hysteresisverlust proportional

$$B_a^{1,6} Q_a = \frac{\Phi_a^{1,6}}{Q_a^{0,6}}$$

gesetzt werden. Der Hysteresisverlust ändert sich somit bei konstantem Kraftfluß  $\Phi_a$  umgekehrt mit der 0,6ten Potenz des Eisenvolumens: d. h. die Ersparnis an Eisen wächst prozentual rascher als die Zunahme des Verlustes.

**b) Der Hysteresisverlust in den Zähnen.** Dieser ist einfach zu berechnen, wenn man von den Annahmen ausgeht, daß

1. durch jeden Zahnquerschnitt derselbe Kraftfluß geht und
2. das Steinmetzsche Gesetz richtig sei.

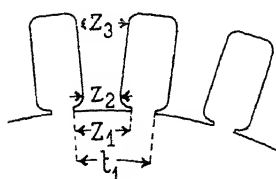


Fig. 332.

Bedeute, wie in Fig. 332,  $z_2$  die kleinere Zahnbreite am Umfang bzw. Zahnfuß  $z_3$  die größere Zahnbreite am Zahnfuß bzw. Umfang,  $l$  die totale Länge des Armatureisens,  $k_2$  den Faktor, der die Isolation zwischen den Blechen berücksichtigt, und  $V_z = l_z \frac{z_2 + z_3}{2} l k_2 Z$  das Volumen aller  $Z$

Zähne in  $\text{dm}^3$ , so wird der Hysteresisverlust aller Zähne

$$W_{hz} = \sigma_h k_4 \frac{c}{100} \left( \frac{B_{z \min}}{1000} \right)^{1,6} V_z \quad \dots \quad (381)$$

$k_4$  stellt einen Koeffizienten dar, der die Variation der Zahndicke entlang der Zahnhöhe berücksichtigt.

Für trapezförmige Nuten (Fig. 332) findet sich<sup>1)</sup>

$$k_4 = 5 \frac{1 - \left(\frac{z_2}{z_1}\right)^{0,4}}{1 - \left(\frac{z_2}{z_3}\right)^2} = f\left(\frac{z_2}{z_3}\right)$$

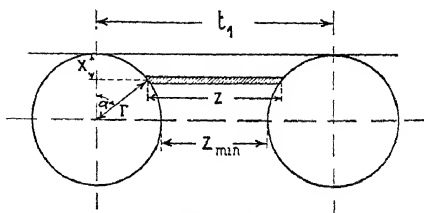
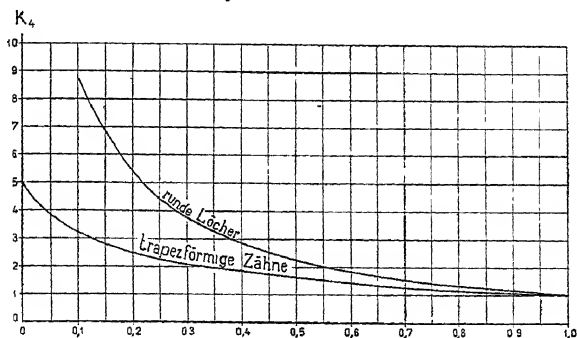


Fig. 333

und für runde Löcher (Fig. 333)

$$k_4 = \frac{t_1^{1,6}}{2 t_1 r - \pi r^2} \int_0^\pi \frac{r \sin \alpha dx}{(t_1 - 2r \sin \alpha)^{0,6}} = f\left(\frac{z_{min}}{t_1}\right).$$

Fig. 334. Der Koeffizient  $k_4 = f\left(\frac{z_2}{z_3}\right)$  oder  $\left(\frac{z_{min}}{t_1}\right)$ .

In Fig. 334 ist  $k_4 = f\left(\frac{z_2}{z_3}\right)$  bzw.  $= f\left(\frac{z_{min}}{t_1}\right)$  für trapezförmige Zähne und kreisrunde Löcher aufgetragen.

## 120. Verlust durch Wirbelströme, nicht isolierte Ankerbolzen und innere Ankerströme.

a) Verlust durch Wirbelströme im Ankereisen. Da das Ankereisen infolge seiner Drehung im magnetischen Felde ummagnetisiert und die Induktion stetig geändert wird, entstehen im Ankerkörper selbst EMKe, die Ströme hervorrufen, die der Variation der Induktion entgegenwirken. Diese Ströme werden Wirbelströme oder Foucaultströme genannt und sind nach den Rechnungen von J. J. Thomson so kräftig, daß eine dicke Eisenplatte einen Wechselkraftfluß von 100 Perioden nicht besser leitet als zwei

<sup>1)</sup> s. Arnold, „Gleichstrommaschine“, Bd I, S. 639 u. 640.



dünne Platten von je  $\frac{1}{4}$  mm Stärke. Diese Ströme wurden das Ankereisen stark erwärmen. Aus diesen Gründen muß der ganze Ankerkörper aus lamelliertem Eisen, d. h. aus dünnen Blechscheiben, die voneinander isoliert sind, zusammengesetzt werden. Da die

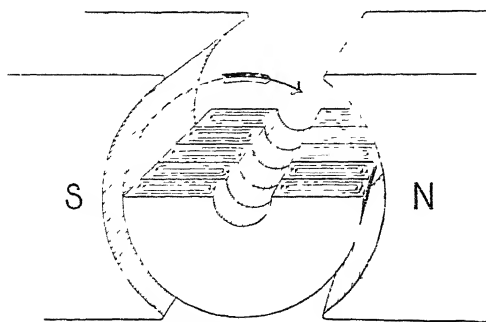


Fig. 335 Wirbelströme im Ankerkerne.

induzierte EMK der Wirbelströme senkrecht zu der Ebene steht, die durch die Richtung der magnetischen Kraft und die Bewegungsrichtung gebildet wird, ist die Lamellierung des Eisenkörpers parallel zu dieser Ebene auszuführen, wie Fig. 335 zeigt. Bei den üblichen

Periodenzahlen genügt es, die Stärke der Bleche auf 0,5 mm zu reduzieren; bei großer Periodenzahl ist es günstig, noch dünnere Bleche zu verwenden, z. B. solche von 0,3 mm Stärke. — Die Wirbelstromverluste lassen sich nach der folgenden Formel berechnen

$$W_w = \sigma_w \left( \frac{1}{100} \frac{c}{1000} B_{max} \right)^2 V \dots \dots (382)$$

wo  $1$  die Blechstärke in mm

$c$  die Periodenzahl

und  $\sigma_w$  eine Konstante ist, die von der elektrischen Leitfähigkeit des Eisens und von der Art der Ummagnetisierung abhängig ist.

Die Leitfähigkeit des Eisens, die sich, je nach der molekularen und chemischen Beschaffenheit desselben, innerhalb weiter Grenzen ändert, übt einen besonders großen Einfluß auf  $\sigma_w$  aus. Führt man die Trennung der Eisenverluste in den mit der Periodenzahl proportionalen und den mit dem Quadrate derselben variierenden Teil durch, so zeigt sich, daß für die höheren Induktionen und Periodenzahlen die Proportionalität mit dem Quadrate von  $c$  nicht mehr besteht.

Die Fig. 336 zeigt diese Trennung für verschiedene Induktionen  $B_1$ ,  $B_2$  und  $B_3$  bei einem Transformatorblech. Bei geringen Induktionen und niederen Periodenzahlen ist die Kurve  $\frac{W_h + W_w}{c} = f(c)$  eine Gerade (Kurve I), während sie bei den höheren Induktionen mit zunehmender Periodenzahl von der Geraden abweicht und unterhalb derselben verläuft (Kurve III).

Bei der rotierenden Hysteresis können dieselben Verhältnisse beobachtet werden.

Diese Abweichung ist zum Teil auf Temperaturänderungen, zum Teil auf die Selbstinduktion der Wirbelströme zurückzuführen.

Nach Gumlich und Rose (s. S. 479 zitierten Aufsatz) nimmt das Leitvermögen bei den gewöhnlichen Blechsorten mit steigender Temperatur pro Grad umrund 0,45% ab.

Aus Messungen mit Wechselstrom ergibt sich für Transformatorbleche ein Wert von  $\sigma_w = 2,0$  oder kleiner als 2,0.

Bei den erwähnten Versuchen von Gumlich und Rose ergaben sich für die drei untersuchten Blechsorten Werte von

$$\sigma_w = 1,86 \quad 1,54 \quad 0,88.$$

Eine Untersuchung von legiertem Eisenblech der Firma Capito & Klein durch die Physikalisch-Technische Reichsanstalt ergab für die Wirbelstromkonstante den Wert

$$\sigma_w = 0,63.$$

Im Ankerkörper treten aber außer diesen Wirbelstromverlusten noch andere, zusätzliche Wirbelstromverluste auf:

Erstens entsteht in den massiven Teilen des Ankerkörpers, die die Ankerbleche zusammenhalten, ein zusätzlicher Wirbelstromverlust. Dieser Teil wird um so größer, je mehr die Bauart der Maschine den Eintritt eines magnetischen Kraftflusses in die massiven Teile begünstigt. Um Wirbelstromverluste in den Ankerplatten möglichst zu vermeiden, macht man mitunter die Eisenlänge  $l$  des Ankers auf jeder Seite um einige Millimeter größer als die Polschuhlänge.

Zweitens wird durch das Abdrehen der Armaturbleche und das Fräsen und Feilen der Nuten die Isolation zwischen den benachbarten Blechen am äußeren Rande derselben zerstört, so daß

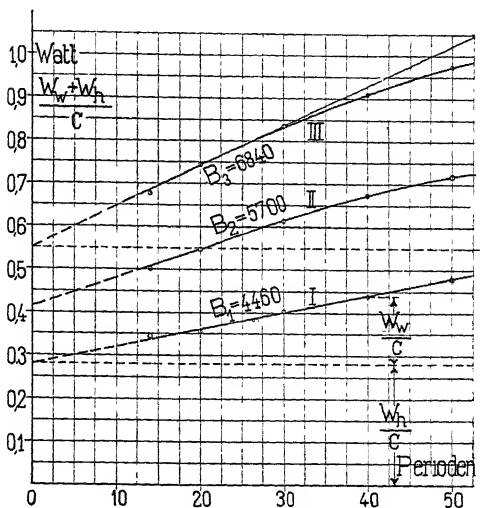


Fig. 336 Hysteresis- und Wirbelstromverluste pro Periode als Funktion der Periodenzahl.

die ganze Armatur als mit einem sehr dünnen, siebartig durchlöchernten Eisenmantel bedeckt angesehen werden kann. Der Wattverlust, der bei der Rotation eines solchen Ankerkörpers im magnetischen Felde entsteht, kann erheblich ausfallen, besonders, wenn stumpfe Drehstahle oder ungenügend geschärfte Fräser verwendet werden. Schmale und tiefe Nuten erhöhen, wegen ihrer großen Oberfläche, den Verlust.

Das Stanzen der Nuten ohne nachträgliches Feilen oder Fräsen verdient daher den Vorzug. Findet dieses dennoch statt, so ist das durch die billigere Herstellung einer sauberen, glatten Nut zu erklären.

Die durch ungenügende Isolation der Bleche verursachten Wirbelstromverluste sind außer von dem Quadrate der Perioden-

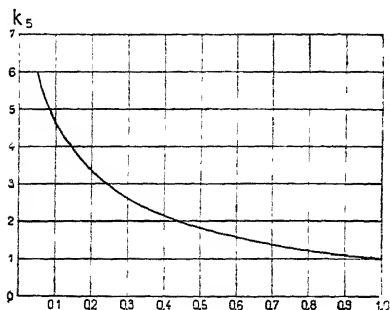


Fig 337. Der Koeffizient  $k_5 = f\left(\frac{z_2}{z_3}\right)$ .

zahl und dem Quadrate der Feldstärke auch von der Länge der Armatur, bzw von der Länge, auf der die Isolation unterbrochen ist, abhängig. Es ist deshalb bei gefrästen Nuten zweckmäßig, etwa in Entfernung von 2 bis 3 cm dickere Papierscheiben zwischen die Ankerbleche zu legen.

Nach einer Mitteilung von Parshall und Hobart<sup>1)</sup> hat das Fräsen der Nuten in gewissen Fällen den Eisenverlust auf das Dreifache des ursprünglichen erhöht. Sogar leichtes Feilen erhöht den Verlust beträchtlich.

Die Wirbelstromverluste im Armatureisen einer Wechselstrommaschine lassen sich nach den folgenden Formeln berechnen.

Für den Armaturkern sind die Wirbelstromverluste

$$W_{wa} = \sigma_w \left( \Delta \frac{c}{100} \frac{B_a}{1000} \right)^2 V_a \text{ Watt}$$

und für die Zähne

$$W_{wz} = \sigma_w k_5 \left( \Delta \frac{c}{100} \frac{B_{z \min}}{1000} \right)^2 V_z \text{ Watt} . . . (383)$$

wo der Faktor  $k_5$  sich in ähnlicher Weise wie  $k_4$  berechnen läßt; man findet für trapezförmige Zähne

<sup>1)</sup> „Engineering“, 1898, Bd LXVI, S. 6.

$$k_5 = \frac{2}{1 - \left(\frac{z_2}{z_3}\right)^2} \ln \left(\frac{z_3}{z_2}\right)$$

oder

$$k_5 = \frac{4,6}{1 - \left(\frac{z_2}{z_3}\right)^2} \log \left(\frac{z_3}{z_2}\right)$$

In Fig. 337 ist  $k_5$  als Funktion von  $\left(\frac{z_2}{z_3}\right)$  aufgetragen.

Der Koeffizient  $\sigma_w$  ist, wie wir gesehen haben, in hohem Grade abhängig von der Bearbeitung des Ankers und von der ganzen Bauart desselben.

In der Praxis wird es zweckmäßig sein, diesen Koeffizienten für die verschiedenen Maschinengrößen und Typen experimentell zu bestimmen, obwohl derselbe für die gleiche Maschine in verschiedener Ausführung noch erheblich schwanken kann.

#### b) Verluste durch Wirbelströme in den Polen der Feldmagnete.

Bei Nutenankern verteilt sich der Kraftfluß langs des Polschuhes nicht gleichförmig, sondern es folgen entsprechend den sich abwechselnden Nuten und Zähnen Maximal- und Minimalwerte der Induktion aufeinander. Sei  $B_i$  die mittlere Induktion und  $k_1 B_i$  die maximale Induktion im Luftzwischenraum, so kann für einen bestimmten Moment die Kraftflußverteilung durch die wellenformige Kurve (Fig. 338) dargestellt werden. Es lagert sich hiernach über den Mittelwert der Induktion  $B_i$  eine wellenformige Kurve, deren Amplitude gegenüber dem Mittelwerte der Induktion  $B_i$  gleich  $(k_1 - 1) B_i$  ist.

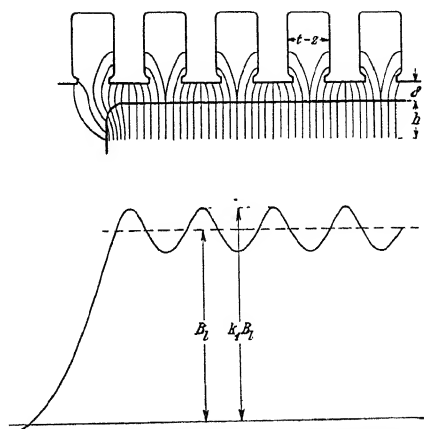


Fig. 338. Wirbelströme in den Polschuhen

Mit der Rotation des Feldsystems bzw. der Armatur verschieben sich die Minima und Maxima dieser Kurve langs der Polfläche und für eine bestimmte Stelle unter dem Polschuh schwankt somit die Induktion nach Maßgabe der pro Sekunde vorbeiwandernden Zahnzahl  $Z$ . Dadurch werden in der Polschuhfläche Wirbelströme

von der Periodenzahl  $c_w = \frac{Zn}{60}$  induziert, die sich bis zu einer gewissen Tiefe  $h$  im Materiale schließen.

Die Ströme sind so gerichtet, daß sie die Schwankung des Feldes dämpfen, d. h. sie üben eine Schirmwirkung aus, und werden daher hauptsächlich an der Oberfläche<sup>1)</sup> des Polschuhes verlaufen und nach innen schnell abgedampft. Die Wirbelströme geben Veranlassung zu Verlusten in den Polschuhen; diese hängen erstens von der Amplitude der Feldpulsation

$$(k_1 - 1) B_1,$$

dann von der Periodenzahl  $c_w$  und endlich von der Dämpfung, d. h. von der Permeabilität  $\mu$  und dem spezifischen Widerstande  $\rho$  des Polschuhmaterials ab<sup>2)</sup>.

Der Wert von  $k_1$  (siehe S. 79) läßt sich bei halb oder ganz geschlossenen Nuten nur annähernd bestimmen. Man muß dabei nach Fig. 332, S. 482 für die Schlitzweite der Nut eine mit Rücksicht auf die Sättigung des Steges entsprechend vergrößerte Weite in die Rechnung einführen.

Wenn größere Wirbelströme in den Polen vermieden werden sollen, die sich bei der Feststellung des Wirkungsgrades unangenehm bemerkbar machen, so soll

$$(k_1 - 1) B_1 \frac{Zn}{60 \cdot 10^5} < 6 \text{ bis } 8$$

sein

Die Größe dieses Wirbelstromverlustes läßt sich nicht experimentell von den übrigen Wirbelstromverlusten trennen. Er erscheint deshalb als zusätzlicher Eisenverlust und wird immer zu den Wirbelstromverlusten im Ankereisen zugeschlagen.

Um das Auftreten von Wirbelstromverlusten möglichst zu vermeiden, gibt es verschiedene Mittel. Man macht  $\frac{t_1 - z_1}{\delta}$  möglichst klein. Bei halbgeschlossenen Nuten konnte man  $t_1 - z_1$  beliebig verkleinern, wenn man dadurch nicht Gefahr lief, die Armaturreaktanz zu erhöhen und zu große Spannungsabfälle zu erhalten. Bei weiten Nuten ist jedoch eine mäßige Verbreiterung des Zahnkopfes ohne großen Einfluß auf die Reaktanz.

Bei einphasigen, nur teilweise bewickelten Ankern kommt man oft auf große Entfernungen der Nuten, was das Auftreten von magnetischen Schwankungen wesentlich begünstigt. Eine Abhilfe

<sup>1)</sup> s. R. Rudenberg, ETZ 1905, S. 182.

<sup>2)</sup> Siehe Arnold, Gl.-M., Bd I, S. 647 f.

kann dadurch geschaffen werden, daß man, um den magnetischen Widerstand entlang der Armaturoberfläche möglichst konstant zu machen, zwischen den bewickelten Nuten unbewickelte (blinde Nuten) anordnet. Bei mehrphasigen Armaturen wird die Anordnung einer entsprechenden Mehrlochwicklung auf günstige Dimensionen der Nuten führen.

Ein anderes Mittel besteht in der Anwendung lamellierter Polschuhe oder lamellierter Pole. In diesem Falle läßt man aber die Polschuhe unbearbeitet, denn durch das Abdrehen wird die äußere Isolationsschicht zerstört, und da die Eindringungstiefe der Wirbelströme an sich klein ist, so wurde dies zu wenig nützen. Bei weiten Nuten und kleinem Luftspalt  $\delta$  bietet die Lamellierung der Pole das wirksamste Mittel gegen die Wirbelströme und kommt vielfach zur Anwendung.

Andererseits vermindern lamellierte Polschuhe die dämpfende Wirkung durch Wirbelströme, wodurch die Maschinen gegen Pendelungen empfindlicher werden.

Sind die Bedingungen eines sicheren und ruhigen Zusammenarbeitens mit anderen Maschinen und geringen Herstellungskosten in erster Linie gegenüber geringen Wirbelstromverlusten zu beachten, dann wird man massive Polschuhe den lamellierten vorziehen. Die Vorteile einer starken Dämpfung zugleich mit geringen Wirbelstromverlusten bei synchronem Lauf erreicht man nur durch Lamellierung und Anwendung von Dämpferwicklungen.

Die Entscheidung über die Anwendung von lamellierten oder massiven Polschuhen mit oder ohne Dämpfung wird sich demnach weniger nach den absoluten Werten des Ausdruckes

$(k_1 - 1) B_l \frac{Zn}{10^5 60}$  zu richten haben. Sie wird vielmehr je nach den vorliegenden Verhältnissen davon abhängen, inwiefern geringe Wirbelstromverluste im Dauerbetriebe und eine gute Dämpfung gegenüber billiger Herstellungsweise und annähernd gleicher Dämpfung, aber größeren Verlusten, in Betracht kommt

**c) Wirbelstromverluste im Ankerkupfer.** Das von der Erregerwicklung erzeugte Magnetfeld ruft in massiven Ankerleitern Wirbelströme hervor, so daß auch bei unbelasteter Maschine Verluste im Ankerkupfer entstehen.

Betrachten wir zunächst einen glatten Anker mit massiven Kupferstäben (Fig. 339), so werden in einem Stab, der sich in einem gleichförmigen magnetischen Feld bewegt, wie die Stäbe *b* und *c*, keine Wirbelströme induziert. Ist dagegen die Feldstärke über dem Querschnitt des Stabes veränderlich, wie z. B. für den Stab *a*

unter der Polecke, so wird auf der einen Seite des Stabes eine größere EMK induziert als auf der anderen und die Differenz dieser EMK erzeugt einen Wirbelstrom.

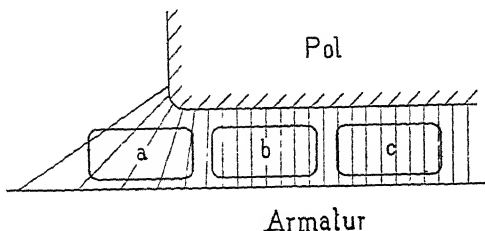


Fig. 339 Wirbelströme in den Armaturleitern.

Um diese Wirbelstromverluste zu vermeiden, ist es notwendig, starke Kupferquerschnitte aus mehreren parallelen Drähten oder aus Drahtlitzten herzustellen.

Wird ein Stab in mehrere parallele Stäbe geteilt, so ist ein Verlöten auf beiden Seiten der Armatur zu vermeiden, weil sonst, wie Fig. 340 zeigt, die Wirbelströme ihren Weg durch die Lötstellen nehmen.

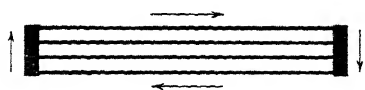


Fig. 340.

Bei Drahtlitzten kreuzen sich die einzelnen Drähte, so daß in jedem die gleiche EMK induziert wird und keine Wirbelströme entstehen.

Bei Nutenankern liegen die Verhältnisse etwas anders. Genaue Versuche hierüber hat Dr.-Ing. S. Ottenstein im Elektrotechnischen Institut der Hochschule Karlsruhe ausgeführt<sup>1)</sup>.

Die Größe des Wirbelstromverlustes hängt bei Nutenankern außer von der Form und Größe des Stabquerschnittes von der Änderung der Feldstärke im Nutenraume ab.

Wir können innerhalb des Nutenraumes drei Kraftflüsse unterscheiden:

1. den Kraftfluß zwischen dem Pol und den Nutenwänden,
2. den Kraftfluß zwischen den Nutenwänden selbst,
3. den Kraftfluß zwischen Nutenboden und Nutenwänden.

Die Größe dieser Kraftflüsse ist abhängig von der Nutenform, der Sättigung der Zähne und der Stellung der Nut zum Pol. In den Fig. 341a und b ist eine offene Nut und in die Fig. 342a und b eine halbgeschlossene Nut in zwei verschiedenen Stellungen zum Pole aufgezeichnet.

In Fig. 341a steht die Nut unter der Polmitte, die Mittellinie der Nut ist eine Symmetrielinie für den Kraftfluß, und wir erhalten keinen Kraftfluß zwischen den Nutenwänden. Bringen wir die Nut

<sup>1)</sup> Siehe Sammlung Elektrotechnischer Vorträge F. Enke, Stuttgart 1903, „Das Nutenfeld in Zahnarmaturen und die Wirbelströme in massiven Armatur-Kupferleitern“ von S. Ottenstein.

unter die Polspitze, wie in Fig. 341 b, so ist der Zahn *A* stark und der Zahn *B* nur wenig gesättigt; wir erhalten daher ein magnetisches Potentialgefälle zwischen den Nutenwänden und einen Kraftfluß 2) quer durch den Nutenraum.

Ist die Nut ganz oder halb geschlossen, so dringt der Kraftfluß 1) fast gar nicht in das Innere des Nutenraumes ein, es besteht eine sog. Schirmwirkung, dagegen tritt der Kraftfluß 2) in gleicher Stärke auf. Der Kraftfluß 3) erreicht nur bei großen Zahnsättigungen am Zahnfuß einen erheblichen Wert, weil dann zwischen der Nutenwand und dem Nutenboden eine erhebliche magnetische Potentialdifferenz vorhanden ist.

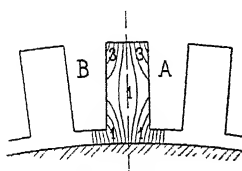


Fig. 341a

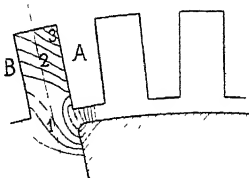


Fig. 341b

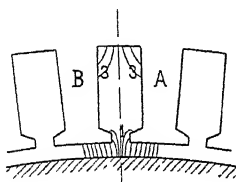


Fig. 342a

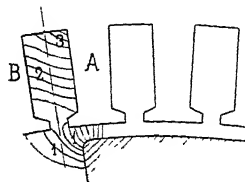


Fig. 342b

Fig. 341 a u. b und Fig 342 a u. b Kraftflüsse im Nutenraume.

Die genannten Felder des Nutenraumes kann man in zwei Komponenten zerlegen, und zwar in eine Längskomponente, deren Richtung parallel zu den Nutenwänden verläuft, und in eine Querkomponente, deren Richtung tangential zum Armaturumfang verläuft.

Dr.-Ing. S. Ottenstein hat diese Komponenten für verschiedene Nutenformen experimentell ermittelt. Zur Messung wurden kleine, auf Kupferstäbe gewickelte Prüfspulen an verschiedenen Stellen der Nut eingelegt und der Ausschlag an einem geeichten ballistischen Galvanometer beobachtet, wenn jeweils der gleiche Erregerstrom unterbrochen wurde.

In Fig. 343a und b sind die Nutenfelder für die eine mit der Polmitte zusammenfallende Lage der Nut dargestellt.

Die Prüfspule wurde längs der beiden Nutenwände und längs der Nutenmitte in je fünf verschiedene Lagen zwischen Nutenkopf



und Nutenboden gebracht. Die Werte der gefundenen Querinduktion sind als Abszissen in Fig. 343a abgetragen, als Ordinatenachse ist die betreffende Nutenwand bzw. die Nutenmitte gewählt worden.

Sodann wurde die Prüfspule quer in die Nut gelegt und die Längsinduktion ebenfalls in fünf verschiedenen Höhen gemessen. Das Resultat gibt Fig. 343b.

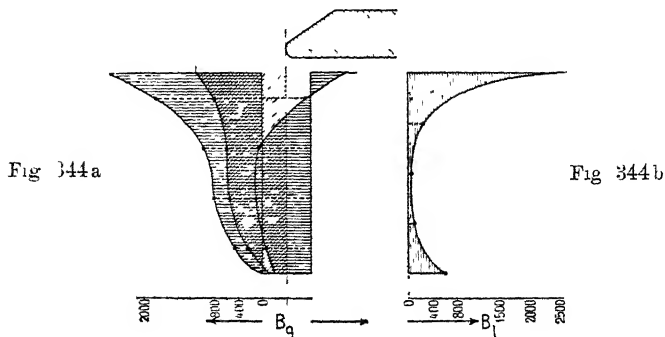
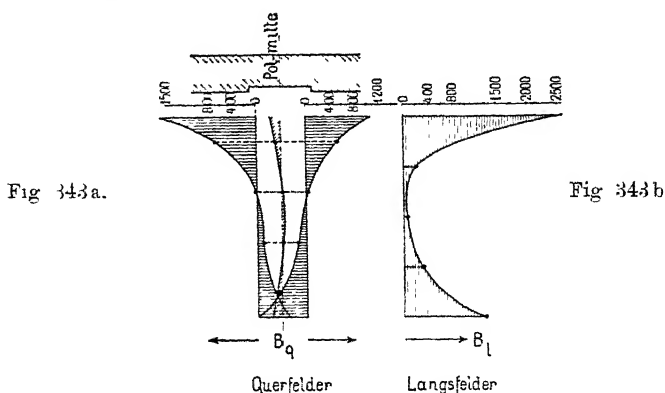


Fig. 343a u. b und Fig. 344a u. b. Quer- und Längsinduktion als Funktion der Nutentiefe

Die Fig. 344a und b stellen die gleichen Werte für die Lage der Nut unter der Polspitze dar. Man sieht, daß das Querfeld namentlich in der Nutenmitte einen viel größeren Wert hat als in Fig. 343a. An den oberen Teilen der Nutenwand haben wir überall eine starke Querinduktion, weil der Kraftfluß von den Polen senkrecht in die Nutenwände eintritt.

Das Längsfeld nimmt vom Nutenkopf an sehr rasch ab, ist in der Nutenmitte nahezu Null und wächst entsprechend der Zahnfußinduktion am Nutenfuß wieder an.

Die Abhängigkeit der Nutenfelder von der Stellung der Nut am Ankerumfang, die ebenfalls mit Prüfspulen, einem ballistischen Galvanometer und Unterbrechung der Erregung ermittelt wurde, ist in den Fig. 345a bis d dargestellt. Die Ordinaten in den Figuren a und b bedeuten Millivolt,  $E_q$  die vom Querfeld,  $E_l$  die vom Langfeld in der Prüfpule induzierte EMK.

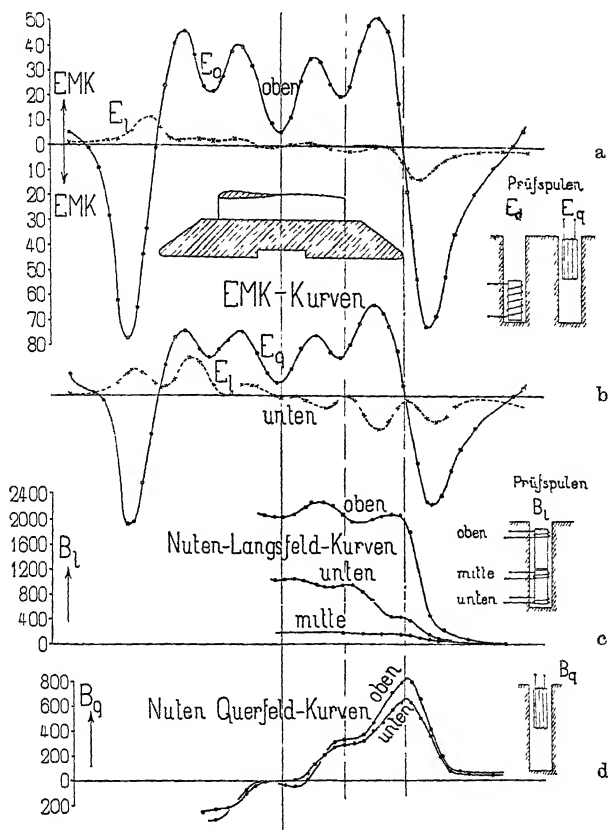


Fig. 345a—d. Abhängigkeit der Nutenfelder von der Lage der Nut am Ankerumfang.

Die Nutenfeldkurven Fig. 345c und d sind aus den EMK-Kurven ermittelt worden. Es ist ersichtlich, daß das Längsfeld unter der Polspitze rasch ansteigt bzw. abfällt und unter dem Polbogen nahezu konstant bleibt. Das Querfeld erreicht unter der Polspitze sein Maximum und ist, übereinstimmend mit den an die Fig. 343 und 344 angeknüpften Betrachtungen, in der Polmitte gleich Null.

Obwohl  $E_q$  ein Mehrfaches von  $E_l$  beträgt, ist  $B_q$  doch kleiner

als  $B_1$ , weil die Fläche einer Prüfspule im ersten Falle viel größer war als im zweiten.

Bei schmalen und tiefen Nuten wird daher ein verhältnismäßig schwaches Quersfeld doch eine verhältnismäßig große EMK induzieren und Wirbelströme erzeugen.

Als besonders bemerkenswert geht aus diesen Versuchen hervor, daß wir bei der Wahl der Abmessungen der Nuten, der Stäbe und der Zahnsättigung namentlich den Einfluß des Quersfeldes im Auge behalten müssen. Dem Längsfeld können wir ausweichen, indem wir den oberen Rand des Kupferstabes von dem oberen Nutenrand genügend weit entfernt halten, oder indem wir die Nut teilweise oder ganz schließen. Das Quersfeld läßt sich dagegen nicht abschirmen; um dessen Einfluß genügend klein zu halten, darf die Zahnsättigung nicht zu hoch gewählt werden, oder wir müssen Kupferstäbe von beträchtlicher Höhe quer zur radialen Richtung der Nut spalten und dürfen sie an den Enden nicht verlöten.

Um die Größe der Verluste unter verschiedenen Bedingungen zu ermitteln, wurden Versuche mit 6 Ankern von verschiedener, aber immer offener Nutenform durchgeführt. Zum Versuche diente ein 5 PS-Motor von 225 mm Ankerdurchmesser und 190 mm Ankerlänge. Die Kupferstäbe erhielten verschiedene Querschnitte und ragten auf beiden Seiten des Ankers 4 cm frei in die Luft.

Um die Eisenverluste und die Verluste durch Lager- und Luftreibung zu bestimmen, wurden die Nuten mit hölzernen Stäben, deren Gestalt mit den Kupferstäben übereinstimmte, ausgefüllt.

Zum Antrieb des Ankers diente ein Elektromotor, und das übertragene Drehmoment wurde mittels einer geeichten Torsionsfeder, deren Verdrehung durch elektrische Kontakte und Ablesung mit Spiegelgalvanometer genau gemessen werden konnte, bestimmt. — Diese Art der Messung des Drehmomentes hatte sich als sehr zuverlässig und genau erwiesen. Im vorliegenden Falle konnten noch 2 Watt gemessen werden, so daß der durchschnittliche Fehler des gemessenen gesamten Wattverbrauches des Motorankers nicht größer als 0,5% sein kann.

Die sämtlichen folgenden Versuche wurden bei 1000 Umdrehungen i. d. Min. oder einer Periodenzahl von 33,3 aufgenommen.

In der Fig. 346 sind die Verluste für ein Kupfervolumen von 1 cbcm in Abhängigkeit von der ideellen Zahninduktion  $B_{1,d}$  gemessen am Zahnfuß dargestellt.

Fig 346, Kurven I bis V geben die Verluste in Stäben von  $5,5 \times 16 = 88$  qmm Querschnitt. Die Verluste für die Anker I bis V beginnen bei ideellen Zahninduktionen von 18000 und steigen

allmählich bis  $B_{id} = 22000$ , von hier an beginnt ein rasches Anwachsen der Verluste.

Die Kurve VI zeigt die Verluste für Stäbe von  $8 \times 11$  mm, die in breiten und wenig tiefen Nuten liegen; diese Anordnung ist außerordentlich ungünstig.

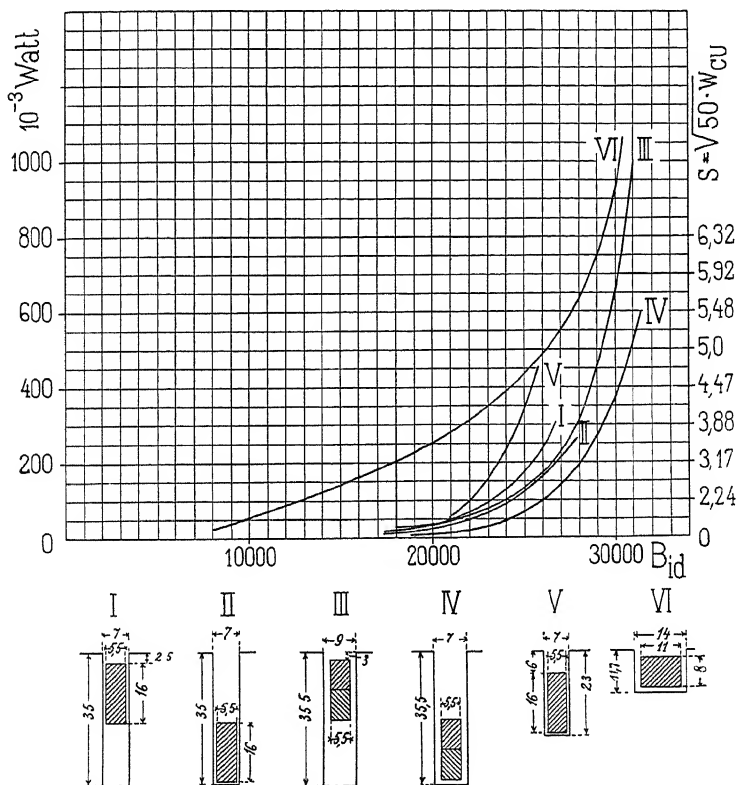


Fig 346 Wirbelstromverluste in einem chem Armaturkupfer als Funktion der ideellen Zahninduktion.

In Fig. 347 sind die für sieben verschiedene Anordnungen gemessenen Wirbelstromverluste ebenfalls in Abhängigkeit von  $B_{id}$  dargestellt, der Stabquerschnitt ist hier nur  $5,5 \times 8 = 44$  qmm und das rasche Ansteigen der Verluste beginnt bei etwas höheren Zahninduktionen als in Fig. 346.

Um einen bequemen Maßstab für den Vergleich der Wirbelstromverluste mit dem Ohmschen Verluste zu erhalten, ist in den Figuren rechts diejenige Stromdichte angegeben, die im Kupfer denselben Verlust erzeugen würde wie die Wirbelströme. Die Leit-

fähigkeit des Kupfers in warmem Zustande wurde gleich 50 gesetzt. Bezeichnet  $W_{cu}$  den Wirbelstromverlust pro 1 cbcm, so wird die äquivalente Stromdichte

$$s = \sqrt{50 W_{cu}} \text{ Amp./qmm.}$$

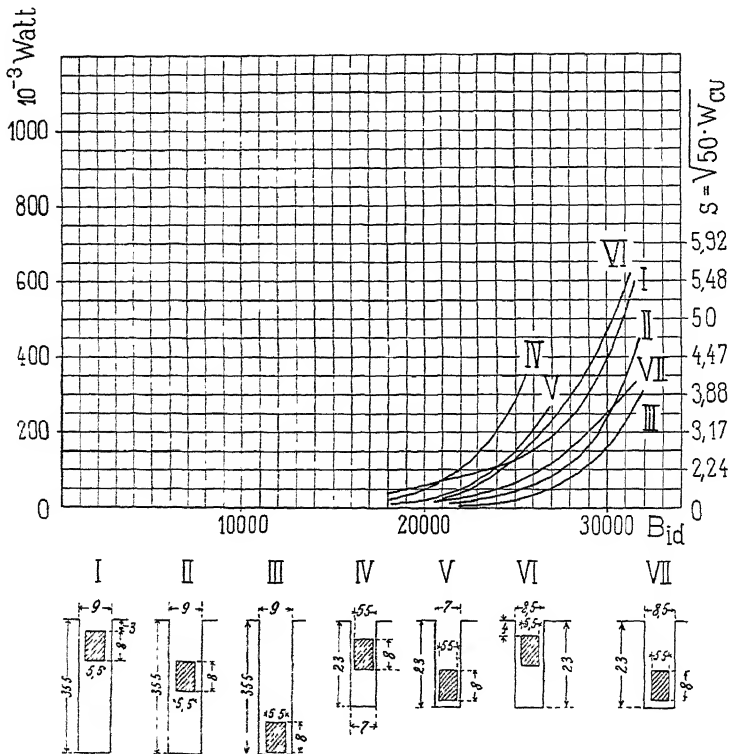


Fig. 347 Wirbelstromverluste in einem cbcm Armaturkupfer als Funktion der ideellen Zahninduktion.

Bezeichnet ferner  $N$  die Stabzahl des Ankers,  $l$  dessen Eisenlänge,  $q_a$  den Stabquerschnitt in qmm,  $c$  die Periodenzahl, so wird der Wirbelstromverlust im Ankerkupfer

$$W_{kw} = \frac{N q_a}{5000} l s^2 \left( \frac{c}{33,3} \right)^2$$

oder

$$W_{kw} = 18 N q_a l s^2 c^2 10^{-8} \quad . \quad . \quad . \quad (384)$$

Wählen wir z. B. die Nutenform  $7 \times 35$  mm und zwei Stäbe von  $5,5 \times 16$  mm pro Nut,  $B_{id} = 24000$ ,  $N = 200$ ,  $l = 30$  cm, so liegen 100 Stäbe oben und 100 Stäbe unten in der Nut. Für die

ersteren ist nach Fig. 346 Kurve I  $s=2,55$  und für die letzteren nach Kurve II  $s=2,12$ , und wir erhalten für  $c=50$

$$W_{kw} = 18\,88\,30\,50^2 (100\,2,12^2 + 100\,2,55^2) 10^{-8}$$

$$W_{kw} = 1320 \text{ Watt.}$$

Die Abhängigkeit der Verluste von der Periodenzahl ergab, wie zu erwarten war, eine quadratische Beziehung. Ferner war die Unterteilung der Stäbe nur dann wirksam, wenn die Stäbe einer Nut an den vorstehenden Enden nicht verlötet waren. Wurden sie verlötet, so waren die Wirbelstromverluste nur wenig kleiner als bei massiven Stäben.

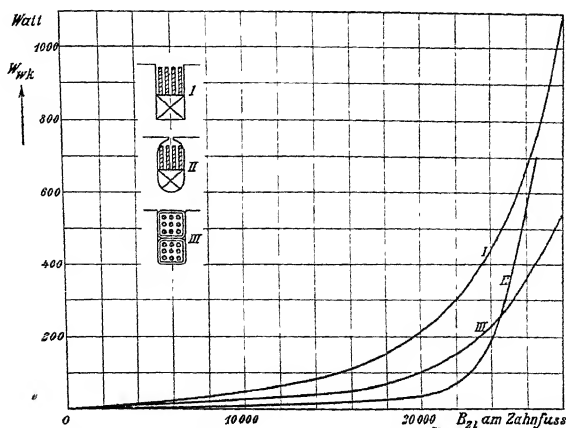


Fig. 348. Wirbelstromverluste im Armaturkupfer als Funktion der ideellen Zahninduktion.

Die vorliegenden Versuche gelten natürlich nur für die angegebenen Verhältnisse. Inwieweit sich die Verluste für andere Nutengrößen und Stabquerschnitte und andere Arten der Unterteilung ändern, mußte durch weitere Versuche festgestellt werden.

Die Versuche bestätigen jedoch die Erfahrung, daß bei massiven Stäben von großem Querschnitt hohe Zahnsättigungen zu vermeiden sind, namentlich bei großen Periodenzahlen.

Die genannten Versuche sind mit Rücksicht auf die Nutenformen und Stabquerschnitte von Gleichstrommaschinen durchgeführt worden. Bei den Wechselstrommaschinen kommen viel größere Nuten- und Stabquerschnitte vor, dagegen bleibt die Zahninduktion meist unter 20000.

Ingenieur Bodensteiner hat auf Veranlassung von Prof.

Pichelmayer<sup>1)</sup> ähnliche Versuche ausgeführt. Die Resultate dieser Versuche stimmen mit den Ottensteinschen überein. Es werden hier nur diejenigen Versuche wiedergegeben, die die Ottensteinschen ergänzen (Fig. 348). Der Einfluß der Litzen der halbgeschlossenen Nuten tritt sehr deutlich hervor.

Zu den hier berechneten vom Magnetfeld induzierten Wirbelströmen treten bei Wechselstrom noch diejenigen Wirbelströme hinzu, die das vom Strome selbst erzeugte Nutenfeld induziert (siehe Abschn. 122), so daß unter ungünstigen Verhältnissen die gesamten Wirbelstromverluste sehr groß werden können<sup>2)</sup>.

**d) Verlust durch innere Ankerströme.** Ist die Ankerwicklung in sich geschlossen, oder sind zwei oder mehr Ankerstromzweige bei einer offenen Wicklung parallel geschaltet, so werden, und zwar auch bei Leerlauf, innere Ankerströme, die von einem Stromzweig zum andern verlaufen, entstehen, sobald die induzierten EMKe von zwei Ankerstromzweigen verschieden sind, oder wenn bei einem Dreiphasenanker mit Dreieckschaltung EMKe von 3facher, 9facher, 15facher Periodenzahl der Grundwelle induziert werden.

Die Ursachen einer unsymmetrischen Ankerinduktion sind folgende:

1. **Unsymmetrische Wicklungen.** Diese sind dadurch gekennzeichnet, daß die Windungszahlen der einzelnen Ankerstromzweige verschieden sind, oder daß die Lage der Ankerstromzweige im Felde unsymmetrisch ist. Wie in WT III gezeigt worden ist, lassen sich die Wechselstromwicklungen stets symmetrisch ausführen.

2. **Exzentrische Lagerung des Ankers.** Wenn der Anker exzentrisch gelagert ist, so wird der Kraftfluß in denjenigen Polen erheblich größer sein, die dem Ankereisen näher stehen, und sie werden eine größere EMK induzieren als die übrigen.

3. **Ungleichmäßige Pole.** Diese Ungleichheiten können herühren von Blasen im Guß, von ungleicher Gestalt der Pole, ungleicher magnetischer Streuung, verschiedenen Windungszahlen der Erregerspulen oder ungleichen Erregerströmen bei parallel geschalteten Erregerspulen.

Die Ausgleichströme, die infolge solcher Unsymmetrien im Innern der geschlossenen Wicklung entstehen, sind Wechselströme. Wegen der großen Reaktanz der Wicklung im Verhältnis zu ihrem Ohmschen Widerstande sind diese Ströme nahezu um  $90^\circ$  gegen

<sup>1)</sup> K. Pichelmayer, „Dynamobau“, S. 415.

<sup>2)</sup> Siehe WT I, S. 571.

die induzierte EMK verzögert, sie wirken daher entmagnetisierend auf das Feld zurück und suchen die magnetischen Unsymmetrien zu verkleinern. Der Verlust durch innere Wirbelströme ist daher im allgemeinen nicht erheblich

e) **Verlust durch nicht isolierte Ankerbolzen.** In den Bolzen, die das Eisen des Ankers durchqueren, wird eine EMK von der Periodenzahl  $\frac{p^n}{60}$  induziert. Sind die Bolzen nicht isoliert, so entsteht in denselben ein Wechselstrom, der sich durch die Endplatten schließt. Der durch diese Ströme verursachte Effektverlust ist klein. Je näher die Bolzen dem äußeren Rande liegen, desto kleiner ist der mit ihnen verkettete Kraftfluß, um so kleiner ist der induzierte Strom und der Verlust

Sind die Bolzen nicht nahe am äußeren Blechrande, so entsteht noch eine Erhöhung des Hysteresisverlustes, indem der Kraftfuß nach außen gedrängt und an diesen Stellen die Induktion im Ankereisen erhöht wird. In einem solchen Falle sind die Bolzen sorgfältig zu isolieren.

Bei nicht isolierten Bolzen, die nahe am Blechrande angeordnet sind, kann man als nutzbaren Kernquerschnitt nur den Teil rechnen, der zwischen den Nuten und den Bolzenmitten liegt.

## 121. Berechnung der gesamten Eisenverluste.

Um die sog. Eisenverluste, zu denen wir alle in den vorhergehenden Abschnitten 119 und 120 angeführten Verluste zählen, obwohl auch Verluste, die im Ankerkupfer auftreten, darin enthalten sind, berechnen zu können, ist man auf die Erfahrung angewiesen. Wird eine Wechselstrommaschine bei stromlosem Anker etwa von einem geeichten Gleichstrommotor angetrieben, so erhält man bei unerregtem Felde die Verluste durch Lager und Luftreibung und bei erregter Maschine treten zu diesen Reibungsverlusten noch die Verluste der Abschnitte 119 und 120 hinzu. Wir erhalten daher

$$\text{Eisenverluste} = \text{Leerlaufverluste} - \text{Reibungsverluste}$$

oder

$$W_{\text{ei}} = W_0 - W_2.$$

Den Eisenverlust zerlegt man gewöhnlich in zwei Teile, und zwar:

1. in einen Teil, der proportional der Periodenzahl ist, und bezeichnet ihn als Hysteresisverlust  $W_h$ ;
2. in einen Teil, der proportional dem Quadrate der Periodenzahl ist, und bezeichnet ihn als Wirbelstromverlust  $W_w$ .



Bei der Vorausberechnung dieser Verluste kann man nun in der Weise vorgehen, daß man den ganzen Verlust  $W_{ei}$  in den Ankerkern und in die Zähne verlegt denkt. Es ergeben sich dann die Gleichungen

$$W_h = \sigma_h \frac{c}{100} \left[ \left( \frac{B_a}{1000} \right)^{1,6} V_a + k_4 \left( \frac{B_{zmn}}{1000} \right)^{1,6} V_z \right] \quad (385)$$

$$W_u = \sigma_u \left( \frac{c}{100} \right)^2 \left[ \left( \frac{B_a}{1000} \right)^2 V_a + k_5 \left( \frac{B_{zmn}}{1000} \right)^2 V_z \right] \quad (386)$$

Bei Verwendung von sehr guten bis mittelmäßigen Eisenblechen ( $\eta = 0,0012$  bis  $0,0030$ ) schwankt der Wert der Hysteresiskonstante zwischen

$$\sigma_h = 1,0 \text{ bis } 2,0.$$

Die Wirbelstromkonstante ist innerhalb weiteren Grenzen veränderlich.

Wie wir auf S. 485 gesehen haben, schwankt  $\sigma_w$  für verschiedene Blechsor ten zwischen 1,0 bis 2,0. Für legierte Bleche ist  $\sigma_w$  noch kleiner. Infolge des Auftretens von zusätzlichen Verlusten werden in Dynamoankern die gesamten Wirbelstromverluste etwa drei- bis viermal größer; es ist somit je nach der Blechsor te

$$\sigma_u = 4 \text{ bis } 8.$$

Bei fehlerhaften Konstruktionen und unzuweckmäßigen Bearbeitungsvorgängen kann jedoch  $\sigma_u$  bedeutend größer, und zwar bis 20 und 25 werden.

Nach einer anderen gebräuchlichen Methode werden nur die Hysteresisverluste berechnet und man setzt

$$W_h + W_u = 1,6 \text{ bis } 2,4 W_h.$$

Der größere Wert gilt für eine größere Blechstärke ( $\Delta = 0,5 \text{ mm}$ ).

Hat man für bestimmte Blechsor ten durch experimentelle Untersuchungen die Eisenverluste  $u_{ei}$  pro Volum- oder Gewichtseinheit und pro Periode als Funktion der maximalen Induktion  $B$  festgestellt, so können aus diesen Kurven die Eisenverluste sehr einfach und bequem ermittelt werden, indem

$$W_{ei} = c (V_a u_{ei,a} + V_z u_{ei,z}) \quad 1,25 \text{ bis } 1,6,$$

gesetzt wird.

Die 1,25 bis 1,6fache Vergrößerung der für die Blechprobe gefundenen Verluste entspricht der in der fertigen Maschine erfahrungsgemäß auftretenden Erhöhung der Verluste infolge Blechbearbeitung, Wirbelströme usw.

Hier und da kommt es vor, daß Maschinen bei einer gewissen Tourenzahl anfangen zu brummen oder zu heulen. Dieser Übel-

stand scheint mit großen örtlichen Eisenverlusten und der Resonanz von mechanischen Schwingungen zusammenzuhängen und kann oft durch eine größere Abschragung der Polschuhe, durch Vergrößerung des Luftspaltes oder durch Verkleinerung der Polschuhe beseitigt werden

Um eine Vorstellung von den Verhältnissen zwischen den einzelnen Verlusten und insbesondere von der Größe der zusätzlichen Wirbelstromverluste zu geben, mögen hier die folgenden Meßresultate angeführt werden.

Dreiphasen-Generator, 1000 PS, 2100 Volt (verkettet),  
275 Amp., 50 Perioden,  $\cos \varphi = 0,7$

Bei Leerlauf mit normaler Induktion (2100 Volt,  $c = 50$ ) wurde gemessen:

Wirbelstromverluste in der Wicklung	2,0 KW
Verluste in den Schlußplatten . .	2,0 „
Verluste im Wicklungshalter . . . .	1,5 „
Verluste in den nützlichen Eisenmassen des Stators	10,0 „
Somit die gesamten Eisenverluste	15,5 KW

Die Kupferverluste bei normalem Strom und  $20^\circ \text{C}$

waren 9,80 KW, bei normalem Strom und  $60^\circ \text{C}$  11,3 KW

Reibungs- und Ventilationsverluste . . . 15,0 „

Die Summe aller Verluste somit 41,8 KW

was einen Wirkungsgrad  $\eta = 94,5\%$  ergibt (ohne Erregerverluste).

Die Armaturbleche waren bei diesen Versuchen gestanzte und gewalzte. Ein Vorversuch mit nicht gewalzten Blechen ergab die gesamten Eisenverluste zu 40 KW, wovon 8 KW Hysteresisverluste und 32 KW Wirbelstromverluste bilden. Das Walzen der Bleche hat somit in diesem Falle die Eisenverluste auf das 2,5fache heruntergedrückt.

## 122. Stromwärmeverluste durch den Ankerstrom und den Erregerstrom.

a) Verluste durch den Ankerstrom. Bezeichnet  $l_a$  die halbe Länge einer Windung in cm,  $q_a$  den Querschnitt in qmm,  $a$  die Ankerstromzweigzahl pro Phase und  $w$  die Anzahl der hintereinandergeschalteten Windungen pro Phase, so ergibt sich der Ohmsche (Gleichstrom-) Widerstand pro Phase gleich

$$r_g = \frac{2w l_a}{a} \left( 1 + \frac{0,004 T_a}{5700 q_a} \right) \text{ Ohm} \quad . . \quad (387)$$

Wir müssen aber nicht mit dem Ohmschen, sondern mit dem effektiven Widerstand rechnen. Zur scheinbaren Erhöhung des Widerstandes tragen folgende Ursachen bei:

1. Das vom Ankerstrom erzeugte Feld quer durch die Nuten, das in massiven Leitern Wirbelströme induziert und außerdem eine ungleiche Verteilung des Stromes über den Leiterquerschnitt zur Folge hat.
2. Die Wirbelströme, die vom pulsierenden Ankerfeld in massiven Metallteilen der Armatur und des Feldsystems, sowie in der Feldwicklung induziert werden.

Die dadurch entstehenden Wattverluste und der vermehrte Spannungsverlust lassen sich durch eine Erhöhung des Ohmschen Widerstandes berücksichtigen. Für den effektiven Widerstand normaler Maschinen kann man setzen

$$\begin{aligned} r_a &= (1.5 \text{ bis } 2.5) r_g \text{ bei Einphasengeneratoren} \\ \text{und} \\ r_a &= (1.3 \text{ bis } 2.0) r_g \text{ bei Mehrphasengeneratoren} \end{aligned}$$

Bei Einführung des effektiven Widerstandes  $r_a$  erhält man für  $m$ -Phasen die gesamten Stromwärmeverluste im Anker

$$W_{ka} = J^2 r_a m \text{ Watt} \quad . \quad . \quad . \quad . \quad . \quad (388)$$

**b) Verluste durch den Erregerstrom.** Sei  $l_e$  die mittlere Länge einer Erregerwindung in cm,  $q_e$  der Querschnitt in qmm und  $w_e$  die totale Windungszahl, so ist der Widerstand der Feldwicklung gleich

$$r_e = \frac{w_e l_e (1 + 0.004 T_m)}{5700 q_e} \text{ Ohm,}$$

wenn  $T_m$  die Temperaturerhöhung des Feldkupfers über  $15^\circ \text{C}$  bedeutet.

Wird die Variation des Erregerstromes durch Regulierung der Spannung der Erregermaschine erzielt, so ergeben sich die Erregerverluste zu

$$W_e = i_e^2 r_e \text{ Watt} \quad . \quad . \quad . \quad . \quad . \quad (389)$$

Wird die Erregung durch eine Stromquelle konstanter Spannung, vielleicht durch Zentralerregung oder eine mit konstanter Klemmenspannung laufende Maschine erzeugt, so wird die Regulierung der Erregung durch einen mit der Feldwicklung in Serie geschalteten Widerstand bewirkt. Bei  $P_e$  Volt Klemmenspannung der Erregerenergiequelle sind die totalen Erregerverluste

$$W_e = P_e i_e \text{ Watt} \quad . \quad . \quad . \quad . \quad . \quad (390)$$

Die Erregerverluste sind in diesem Falle größer, weshalb eine Anordnung mit Regulierwiderstand im Erregerstromkreis weniger

wirtschaftlich ist; sie hat dagegen den Vorzug, daß die magnetische Verzögerung der Erregermaschine, die bei Regulierung ihres Nebenschlusses die Regulierung verzögert, nicht in Frage kommt, und daß man bei Regulierung innerhalb weiter Grenzen nicht Gefahr läuft, auf den wenig stabilen geraden Teil der Charakteristik der Erregermaschine zu gelangen

Zu erwähnen waren noch die Verluste im Übergangswiderstand zwischen Bürsten und Schleifringen, sie sind jedoch unbedeutend.

### 123. Mechanische Verluste.

Die mechanischen Verluste setzen sich zusammen aus der Lager- und Luftreibung und den Verlusten durch Vibration der Maschine. Rechnerisch verfolgen lassen sich hiervon jedoch nur die Lagerreibungsverluste.

Sei  $Q$  der Lagerdruck in kg,  $p = \frac{Q}{dl_z}$  der spez. Lagerdruck in kg/qcm,  $d$  der Zapfendurchmesser und  $l_z$  die Zapfenlänge in cm,  $\mu$  der Reibungskoeffizient und  $v_z = \frac{\pi dn}{6000}$  die Zapfengeschwindigkeit in m/sek, so ergibt sich die Reibungsarbeit in mkg/sek gleich

$$R_m = \mu Q v_z$$

und der Reibungsverlust in Watt gleich

$$W_R = 9,81 R_m = 9,81 \mu p d l_z v_z.$$

Nach den von Tower und Dettmar aus Versuchsergebnissen abgeleiteten Reibungsgesetzen<sup>1)</sup> kann man für den Reibungskoeffizienten die Beziehung

$$\mu = \frac{k_6}{T_z} \frac{\sqrt{v_z}}{p}$$

---

<sup>1)</sup> s. Arnold, Die Gleichstrommaschine, Bd I, S. 674 Die drei Reibungsgesetze lauten folgendermaßen:

1. Bei konstanter Lagertemperatur und Umfangsgeschwindigkeit der Welle ist der Reibungskoeffizient  $\mu$  umgekehrt proportional dem spezifischen Lagerdruck  $p$  und somit die Reibungsarbeit unabhängig vom Druck, sofern dieser 30 bis 44 kg/qcm nicht überschreitet

2. Bei konstantem spezifischen Druck und konstanter Umfangsgeschwindigkeit der Welle ist der Reibungskoeffizient umgekehrt proportional der Lagertemperatur und folglich auch die Reibungsarbeit umgekehrt proportional der Temperatur

3. Bei konstanter Lagertemperatur und bei konstantem spezifischen Druck wächst der Reibungskoeffizient mit der Wurzel aus der Umfangsgeschwindigkeit der Welle und somit die Reibungsarbeit mit der 1,5 ten Potenz

einführen, in welcher  $k_6$  eine von der Olsorte abhängige Konstante, im Mittel 2,65, und  $T_z$  die Zapfentemperatur ist.

Dies eingesetzt ergibt für den Wattverlust durch Reibung

$$W_R = 9,81 \frac{k_6}{T_z} d_z l_z \overline{v_z^3} \quad . \quad . \quad . \quad (391)$$

Die Temperatur  $T_z$  des Zapfens hängt bei einer und derselben Lagertype und Außentemperatur nur von der Umfangsgeschwindigkeit  $v_z$  ab. Hat man durch Versuche, für die betreffende Lagertype, die Abhängigkeit zwischen der Temperaturerhöhung  $(T_z - T_l)$  des Zapfens und der Zapfengeschwindigkeit  $v_z$  festgelegt, so kann man für jedes  $v_z$  die Temperaturzunahme ablesen, die, zur Lufttemperatur zugezählt,  $T_z$  ergibt. Unter  $T_z$  ist hierbei immer die stationäre Temperatur zu verstehen, also diejenige Temperatur, die sich nach 4 bis 6 stündigem Betriebe bei der betreffenden Zapfengeschwindigkeit einstellt. Fig. 349 stellt die Resultate der Versuche von Lasche und Stribeck dar. Die eingetragenen Zahlen bedeuten den Flächendruck. Für die meisten praktischen Fälle wird es jedoch

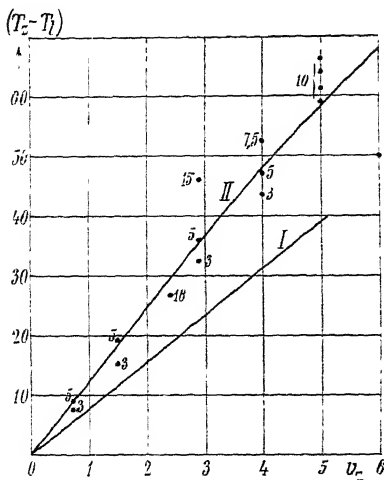


Fig 349 Temperaturerhöhung des Zapfens als Funktion der Umfangsgeschwindigkeit

genügen, die Kurve  $(T_z - T_l) = f(v_z)$  für Zapfengeschwindigkeiten zwischen 1 und 5 m/sec durch die Gleichung (Fig. 349, Kurve I)

$$T_z - T_l = 8 v_z$$

auszudrücken.

Das dritte Reibungsgesetz von Tower-Dettmar und auch die eben angegebene Formel für  $W_R$  gelten nur bis zu einer Zapfengeschwindigkeit von 4 m pro Sekunde. Ist die Zapfengeschwindigkeit größer als 4 m/sec, so wird der Reibungsverlust kleiner und für  $v_z > 10$  m/sec gilt nach Lasche<sup>1)</sup>

$$\mu = \frac{k'_6}{T_z p}$$

und

$$W_R = 9,81 \frac{k'_6}{T_z} d_z l_z v_z \quad . \quad . \quad . \quad (392)$$

<sup>1)</sup> Lasche, Z. Ver. deutsch. Ing., 1902.

Für  $p$  bis 15 kg/qcm,  $T_z$  bis 100° C und  $v_z$  von 10–20 m/sec ist  $k_6'$  im Mittel gleich 2,0. Für  $T_z - T_l$  kann man näherungsweise setzen (Fig. 349, Kurve II)

$$T_z - T_l = 11,5 v_z.$$

Aus dieser Formel folgt, daß schon bei einer Zapfengeschwindigkeit von 4,5 m/sec die Temperaturerhöhung des Zapfens ca. 50° seine Temperatur also ca. 70° beträgt, ein Wert, den man kaum überschreiten wird.

Doch zeigt es sich in der Praxis, daß oft Zapfen mit einer Umfangsgeschwindigkeit von 10 m/sec und darüber noch keine künstliche Kühlung bedürfen. Als eine praktische Regel kann man annehmen, daß man noch ohne künstliche Kühlung auskommt, wenn das Produkt  $p v_z < 18$  ist.

Zur künstlichen Kühlung verwendet man Wasser, das durch Kanäle der Lagerschalen oder durch eine in der Ölkammer des Lagers liegende Kuhlsschlange geführt wird. Bei hohen Lagerpressungen wird das Öl mit 1,5 bis 3 Atm. Druck dem Zapfen zugeführt und das zwischen Pumpe und Zapfen zirkulierende Öl wird durch Wasserschlangen gekühlt. Auf diese Art wird es möglich, auch bei hohen Zapfengeschwindigkeiten und hohen Pressungen das Lager auf einer zulässigen Temperatur zu halten.

Was nun die Verluste durch Luftreibung  $W_l$  anbetrifft, so sind sie, je nachdem das Magnetsystem oder die Armatur rotiert, nur von der Form des Armsystems, der Pole bzw. der Anordnung der Wicklung abhängig.

Bei kleinen Umfangsgeschwindigkeiten bis ca. 20 m/sec ist der Verlust durch Luftreibung nur ein kleiner Teil, ca. 10%, der Lagerreibung; bei großen Umfangsgeschwindigkeiten, wie z. B. bei Turbogeneratoren mit besonders stark gekühltem Anker, kann er jedoch bedeutend größer werden und die Lagerreibung um ein Vielfaches überschreiten.

Man kann für die Gesamtreibungsverluste die folgenden Werte als Anhaltspunkte für die Größenordnung ansehen:

1 bis 3% der Leistung	}	schnelllaufende
bei 400 KW bis 60 KW		riemengetriebene
und 360 Umdrehungen bis 1500 Umdrehungen		Maschinen
0,8 bis 2% der Leistung	}	langsam laufende
bei 500 KW bis 50 KW		Maschinen.

Große mit der Dampfmaschine direkt gekuppelte langsam laufende Maschinen haben  $\frac{1}{2}$  bis 1% Reibungsverluste bei Leistungen von 1000 KW und abwärts. Bei sehr rasch laufenden Maschinen sind die Reibungsverluste wesentlich größer.

## 124. Der Wirkungsgrad einer Wechselstrommaschine und der Einfluß der einzelnen Verluste.

Unter dem Wirkungsgrad  $\eta$  irgendeines Apparates versteht man das Verhältnis:

$$\frac{\text{Abgegebene Leistung}}{\text{Zugeführte Leistung}}.$$

Bei einem Generator ist die abgegebene Leistung  $W = mPJ \cos \varphi$  und die zugeführte Leistung gleich dieser Leistung vermehrt um die Summe der Verluste in der Maschine. Bezeichnen wir die Summe der Verluste mit  $W_v$ , so ergibt sich der Wirkungsgrad eines Generators gleich

$$\eta = \frac{W}{W + W_v} \quad . \quad . \quad . \quad . \quad . \quad (393)$$

Bei einem Motor ist die zugeführte Leistung gleich  $W = mPJ \cos \varphi$  und die abgegebene Leistung gleich der zugeführten Leistung abzüglich aller Effektverluste im Motor. Es wird somit der Wirkungsgrad eines Motors

$$\eta = \frac{W - W_v}{W} \quad . \quad . \quad . \quad . \quad . \quad (394)$$

Für Maschinen, die mit konstanter Spannung arbeiten, können wir in Bezug auf die experimentelle Bestimmung der Verluste die letzteren folgendermaßen zusammenstellen:

### 1. Die Hysteresisverluste

$$W_h = W_{ha} + W_{hz}$$

nehmen von Leerlauf bis Vollast etwas zu. Die Zunahme entspricht der nach Maßgabe des Spannungsabfalles erforderlichen Erhöhung der EMK  $E$

### 2. Die Wirbelstromverluste sind

$$W_u = W_{ua} + W_{uz}.$$

Die zusätzlichen Verluste werden dadurch in der Rechnung berücksichtigt, daß  $\sigma_h$  und  $\sigma_u$  entsprechend groß gewählt werden.

### 3. Die Stromwärmeverluste.

Diese setzen sich zusammen aus den Wattverlusten im Anker- und Erregerkupfer.

Der Wattverlust im Ankerkupfer ist

$$W_{ka} = mJ^2 r_a,$$

er nimmt proportional mit dem Quadrate des Stromes zu.

Der Verlust durch die Erregung  $W_{ke} = P_e i_e$  besitzt bei Leerlauf den zur Erregung für die normale Spannung erforder-

lichen Wert und nimmt mit der Belastung entsprechend der Regulierungskurve langsam zu. Für eine konstante Phasenverschiebung können wir ihn durch eine Funktion zweiten Grades darstellen, in welcher das konstante Glied und das Glied erster Ordnung die bedeutendsten sind. Die Stromwärmeverluste sind demnach

$$W_k = W_{k0} + W_{ke}$$

und können angenähert durch die Funktion

$$W_k = W_{k0} + C_1 J + C_2 J^2$$

ausgedrückt werden, wenn  $W_{k0}$  den Stromwärmeverlust bei Leerlauf bedeutet

4 Die mechanischen Verluste oder Reibungsverluste

$$W_o = W_r + W_R$$

sind konstant von Leerlauf bis Vollast, wenn die Tourenzahl konstant ist

Die Summe aller Verluste ist somit

$$W_v = W_k + W_h + W_u + W_o = \Sigma W.$$

Tragen wir die Einzelverluste als Funktion der Belastung auf und bilden wir für die zugehörigen Belastungen die Summe der Verluste und berechnen hiernach die Wirkungsgrade, so erhalten wir die Fig. 350. Der Wirkungsgrad besitzt ein Maximum, und wir finden die entsprechende Belastung folgendermaßen:

Bei Leerlauf treten die Verluste

$$W_{v0} = W_{k0} + W_{h0} + W_{u0} + W_o$$

auf. Bei Maschinen, die mit verschiedenen Strömen und konstantem Leistungsfaktor laufen, kommen noch Verluste hinzu, die wir gleich

$$C_1 J + C_2 J^2$$

setzen können. Es wird somit der Wirkungsgrad

$$\eta = \frac{W}{W + W_{v0} + C_1 J + C_2 J^2} = \frac{P}{P + \frac{W_{v0}}{C' J} + \frac{C_1}{C'} + \frac{C_2}{C'} J} = \frac{\text{Konst.}}{N};$$

wenn wir  $W = m P J \cos \varphi = C' P J$  setzen. Damit der Wirkungsgrad ein Maximum wird, muß der Nenner

$$N = P + \frac{C_1}{C'} + \frac{W_{v0}}{C' J} + \frac{C_2}{C'} J$$



ein Minimum werden. Der Nenner nach  $J$  differenziert ergibt

$$\frac{dN}{dJ} = \frac{C_2}{C'} - \frac{W_{v0}}{C'J^2},$$

also wird, da  $\frac{d^2 N}{dJ^2}$  positiv ist,  $\eta$  ein Maximum, wenn

$$W_{v0} = C_2 J^2 \cong m J^2 r_a.$$

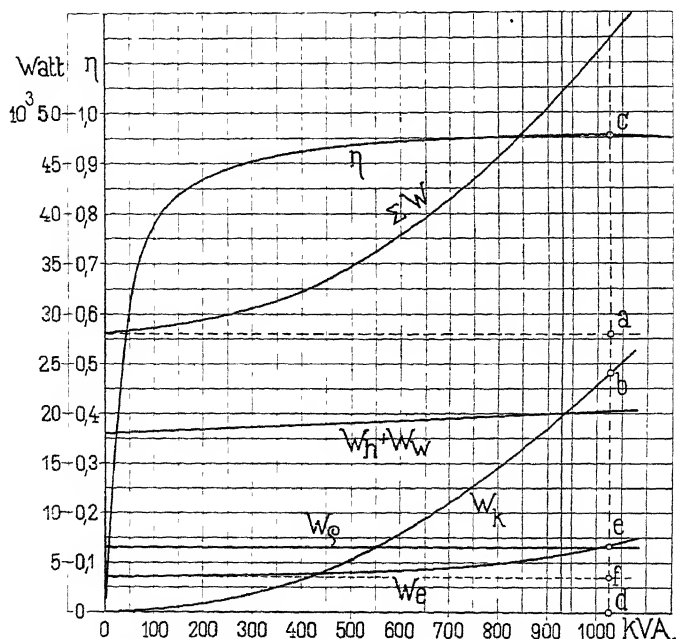


Fig. 350 Einzelverluste und maximaler Wirkungsgrad

Der maximale Wirkungsgrad tritt bei derjenigen Belastung ein, bei welcher der dem Quadrate des Armaturstromes proportionale Verlust gleich dem Leerlaufverluste ist. In Fig. 350 sind die Einzel- und Gesamtverluste, sowie die Wirkungsgradkurve eines 930 KVA-Generators für  $\cos \varphi = 1$  dargestellt. Dem Maximum  $c$  entsprechen die Leerlaufverluste

$$W_{v0} = \overline{ad},$$

ferner die Stromwärmeverluste

$$m J^2 r_a = W_k = \overline{bd}$$

und die Vergrößerung der Erregerverluste zwischen Leerlauf und der betreffenden Belastung

$$\Delta W_e = \overline{ef}.$$

Wie aus der Figur ersichtlich, ist

$$\overline{ad} = \overline{bd} + \overline{et}$$

## 125. Die Lagerströme.

Bei synchronen Wechselstrommaschinen, namentlich bei solchen mit kleiner Polzahl, wurde vielfach beobachtet, daß zwischen Zapfen und Lager elektrische Ströme auftreten, die ein Anfressen der Zapfen und Lagerschale zur Folge haben. Zwischen Welle und Lager kann dabei eine Spannung von einigen Volt gemessen werden; an einem zwischen Lagerbock und Fundamentplatte eingeschalteten Ampere-meter kann man unter Umständen einige Hundert Ampere ablesen. Die Erfahrung zeigt, daß diese Lagerströme nur bei solchen Maschinen auftreten, die durch horizontale Trennfugen geteilt sind; sie haben also ihre Ursache in magnetischen Unsymmetrien in dem induzierten Teil der Maschine. Das Auftreten der Lagerströme läßt sich wie folgt erklären<sup>1)</sup>.

In Fig. 351 ist eine 4polige Maschine mit einer magnetischen Unsymmetrie in Form einer Trennfuge dargestellt. Denken wir uns den Anker glatt, so liegt der Gedanke nahe, daß diese Trennfuge in ähnlicher Weise wirkt wie eine Nut, nur in viel stärkerem Maße, da die Trennfuge auf den ganzen Kraftfluß, während eine Nut auf einen Teil des Flusses einwirkt. Es wird somit der Einfluß dieser Trennfuge sich darin äußern, daß die Magnetflüsse der Reihe nach eine Längs- und eine Querpulsation erfahren werden<sup>2)</sup>. Wir wollen nun verschiedene geschlossene Stromkreise betrachten, einerseits solche, die der Wirkung der Querpulsation ausgesetzt sind, andererseits solche, die der Wirkung der Längspulsation ausgesetzt sind. Für die angenommene Lage des Magnet-systems (Fig. 351) sind die Flüsse der Pole *a* und *b* von der Unsymmetrie beeinflusst. Für einen Stromkreis, der aus zwei Eisenstreifen (1 und 2) der Pole und durch die axialen Begrenzungsebenen des Polrades gebildet wird, kommt infolge des Einflusses der Trennfuge eine normale Komponente der Induktion in Betracht in der Weise, wie es durch Pfeile angedeutet ist. Wie ersichtlich, wirken die induzierten EMKe der Eisenstreifen der beiden Pole in bezug auf die Welle einander entgegen, sie können aber innere Ströme im Magnet-

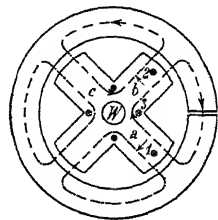


Fig. 351

<sup>1)</sup> Siehe M. Liwschitz, El. u. Masch. 1912.

<sup>2)</sup> Vgl. WT III, Kap IX, Abschn. 37.

system hervorrufen. Betrachten wir den Stromkreis, gebildet aus einem Eisenstreifen (3) des Joches, den axialen Begrenzungsebenen und der Welle, so wird in diesem Kreise die Langspulsion des Kraftflusses Strome erzeugen, die sich auch durch die Lager, Lagerbocke und Fundamentplatte schließen werden. Die Lagerströme werden hier somit durch die Langspulsionen der Kraftflüsse erzeugt, während die Querspulsionen innere Strome im Magnetsystem verursachen. Dreht sich das Magnetsystem um eine Polteilung, so daß die Pole *b* und *c* von der Unsymmetrie beeinflußt werden, so kehrt die die Lagerströme verursachende EMK ihre Richtung um; die Lagerströme werden also dieselbe Periodenzahl haben wie der Ankerstrom.

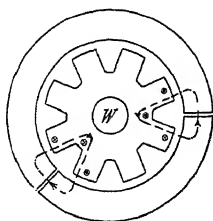


Fig. 352

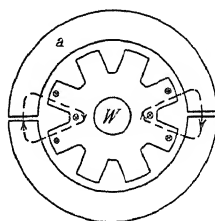


Fig. 353

Wir betrachten nun den Fall, wo die Maschine zwei magnetische Unsymmetrien hat, einmal um eine ungerade (Fig. 352), das andere Mal um eine gerade (Fig. 353) Anzahl Polteilungen voneinander entfernt. In Fig. 352 haben die EMKe, die infolge der Langspulsion in den auf obige Weise gebildeten Stromkreisen der einzelnen Pole induziert werden, entgegengesetzte Richtung und können ebenso wie die durch Querspulsion verursachten EMKe nur innere Strome im Magnetsystem erzeugen. Anders liegen die Verhältnisse für den Fall, wo die Unsymmetrien um eine gerade Anzahl Polteilungen voneinander entfernt sind: hier unterstützen sich die durch Langspulsion verursachten EMKe und die Lagerströme werden größer. Es folgt daraus, daß bei Maschinen mit zwei horizontalen Trennfugen Lagerströme nur dann entstehen können, wenn die Polpaarzahl eine gerade Zahl ist, denn nur in diesem Falle sind beide Unsymmetrien um eine gerade Anzahl Polteilungen voneinander entfernt. Eine 6polige Maschine z. B. mit zwei horizontalen Trennfugen wird somit keine Lagerströme aufweisen. Dies ist durch die Erfahrung auch bestätigt.

Die Lagerströme machen sich bei schnellaufenden Maschinen viel starker bemerkbar als bei langsamlaufenden, denn jene führen

bedeutend größere Kraftflüsse pro Pol als diese, und die Langspulsationen machen sich daher bei ihnen mehr bemerkbar

Zur Vermeidung der Lagerströme wird oft ein Lagerbock von der Fundamentplatte isoliert; seltener werden auf der Welle Bürsten angeordnet, die mit dem Lagerkörper verbunden werden, so daß die gefährlichen Stellen, nämlich die Lagerschalen und Zapfen, überbrückt werden.

Wie aus dem Obigen hervorgeht, lassen sich aber die Lagerströme viel einfacher und billiger dadurch vermeiden, daß man an einer oder mehreren Stellen, die um eine ungerade Anzahl Polteilungen von einer der beiden Trennfugen entfernt sind, künstliche magnetische Unsymmetrien anbringt, die magnetisch den beiden Trennfugen äquivalent sind. Bei der fertigen Maschine kann dies z. B. dadurch geschehen, daß man an den betreffenden Stellen Locher bohrt; bei der 8poligen Maschine (Fig. 353) genügt es z. B. an der mit  $a$  bezeichneten Stelle ein Loch zu bohren, das den beiden Trennfugen magnetisch äquivalent ist. Oder man stanzt von vornherein Schlitz in die Bleche und stellt nachträglich die richtige Symmetrie durch Einschieben von Stücken magnetischen Materials her. Es ist zweckmäßig zwei künstliche Unsymmetrien anzubringen, von denen jede einer Trennfuge äquivalent ist.

---

## Zwanzigstes Kapitel.

# Erwärmung und Kühlung einer Synchronmaschine.

126 Allgemeines über die Erwärmung. — 127. Erwärmung der Armatur —  
128 Erwärmung der Magnetspulen. — 129 Kühlung der Synchronmaschinen

### 126. Allgemeines über die Erwärmung.

Diejenige Energie, die den in einer Dynamomaschine auftretenden Effektverlusten entspricht, wird in Wärme übergeführt, einerlei welcher Art diese Verluste sind.

Es tritt deswegen eine Temperaturerhöhung der Maschine über das umgebende Medium ein. Mit Rücksicht auf die Isolation der Wicklungen darf die Temperatur bestimmte Werte nicht überschreiten. Baumwolle fängt z. B. bei über 100° C an zu verkohlen.

Es ist deshalb von großer Wichtigkeit die Temperatur bzw die Temperaturerhöhung über die Temperatur der Umgebung der einzelnen Teile der Maschine zu ermitteln. Im allgemeinen herrscht hier noch Unsicherheit, — ganz zuverlässige Formeln und Rechnungen gibt es nicht, weil die Temperaturerhöhung sehr von der Bauart und der Art der Lüftung der Maschine, der Anordnung der Wicklung, der Beschaffenheit der Oberfläche und anderen Verhältnissen abhängt, deren Wirkung sich nicht ziffernmäßig berechnen läßt.

Für Maschinen mit rotierender Armatur berechnet man die Temperaturerhöhung wie bei Gleichstrommaschinen<sup>1)</sup>. Für die Maschinen mit rotierendem Feld ist die Berechnung im folgenden angegeben.

### 127. Erwärmung der Armatur.

Für die Temperaturerhöhung eines homogenen Körpers im Beharrungszustande, bei dem die ganze erzeugte Wärme nach außen abgegeben wird, kann man setzen

$$T = \text{konst.} \frac{\text{Erzeugte Warmemenge}}{\text{Abkühlungsfläche}}.$$

Die in dieser Gleichung vorkommende Konstante ist nur so lange konstant, wie die Abkühlungsverhältnisse konstant bleiben, d. h. die

<sup>1)</sup> s. Arnold, Gleichstrommaschine, Bd I

spezifische Wärmeabfuhrung für  $1^\circ\text{C}$  und  $1\text{ qcm}$  Kühlfläche durch Strahlung, Konvektion und Leitung sich nicht ändert. Sie gilt also nur für den einen Körper, für den sie bestimmt ist, und auch bei ihm nur unter den eben gemachten Voraussetzungen. Wenn wir also davon absehen, daß die Dynamomaschinen keine homogenen Körper darstellen, so kann die oben angegebene Erwärmungsformel ungefähr richtige Resultate nur für eine und dieselbe Maschinentype geben. Die Formel soll also nur einen Anhaltspunkt für die Erwärmung normal gebauter Maschinen gewahren und bekommt nur dadurch Wert, daß für eine große Zahl von Maschinen die Verluste, die Oberflächen und die Erwärmung gemessen und daraus die Grenzen, innerhalb deren die Konstante schwankt, bestimmt wurden.

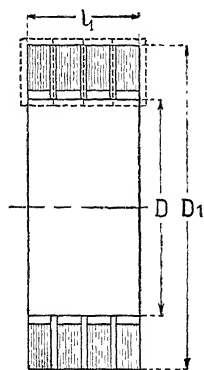


Fig 354.

a) Erwärmung des Armatureisens. Als Abkühlungsflächen nehmen wir die Oberflächen des Statoreisens an, vermehrt um so viel Ringflächen wie Luftschlitze vorhanden sind (s. Fig. 354), also

$$A_a = \frac{\pi}{4} (D_1^2 - D^2) (2 + \text{Anzahl der Luftschlitze}) + \pi l (D + D_1).$$

Als nach außen abzugebende Verluste rechnen wir die Verluste durch Hysteresis und Wirbelströme und die Stromwärmeverluste, die in den im Eisen eingebetteten Leiterstücken auftreten. Diese letzteren sind

$$W_{ks} = \frac{l_1}{l_a} m J^2 r_a.$$

Die gesamten Verluste sind also

$$W_h + W_w + W_{ks}$$

und damit die Temperaturerhöhung des Statoreisens

$$T_a = C_a \frac{W_h + W_w + W_{ks}}{A_a} = \frac{C_a}{\alpha_a} \quad \dots \quad (395)$$

Wir bezeichnen

$$\frac{A_a}{W_{ei} + W_{ks}} = a_a$$

als spezifische Kühlfläche der Armatur.

Als Anhaltspunkt für den Wert des Koeffizienten der Wärmeabgabe  $C_a$  ergibt sich für normale Typen mit rotierendem Feldsystem

$$C_a = 200 \text{ bis } 250.$$

Den innerhalb der Armatur erzeugten Wärmemengen stehen nach außen die Wege durch das Eisen an die Oberfläche und durch das Kupfer an die Spulenköpfe offen. Dabei findet zwischen Kupfer und Eisen ein Wärmeaustausch statt. Da die Leitfähigkeit der Eisenpakete nach Versuchen von Ott<sup>1)</sup> radial 50 bis 130mal größer ist als axial, ist 1 qcm Oberfläche des Mantels für einen gleichlangen Weg der Wärme auch ebensovielmal mehr wirksam für die Abkühlung als das gleichgroße Stück auf der Ringfläche. Das Verhältnis dieser beiden Leitfähigkeiten ändert sich etwas mit der Größe der Induktion. Die Unterteilung des Statoreisens in Pakete wird daher erst dann wirksam werden, wenn die Paketdicke gering genug gewählt wird, ungefähr 2 bis 4 cm. Unter Umständen kann die Anordnung von radialen Luftschlitzen sogar schädlich sein<sup>2)</sup>. Dagegen führt eine axiale Kühlung, die durch axiale Kanäle im Eisen erhöht werden kann, sehr günstige Verhältnisse herbei.

Die Wärmeabgabe der verschiedenen Kühlflächen kann für jede Maschinentype einzeln nur durch sorgfältige Untersuchungen ermittelt werden; insbesondere ist die Geschwindigkeit und die Menge der Kühlluft und ihre Führung durch die Maschine von Wichtigkeit. Die einzelnen Abkühlungsflächen sind um so wirksamer, je größer sie sind, je schneller die Luftbewegung längs der Fläche ist, und je ungehinderter die Wärmestrahlung ist. Die Ventilationsgeschwindigkeit der Maschine, also die Luftgeschwindigkeit an jeder Stelle, läßt sich jedoch rechnerisch nicht oder höchstens annähernd verfolgen. Aber auch das Gesetz, das die Wärmeabgabe als Funktion der Ventilationsgeschwindigkeit angibt, ist trotz sorgfältiger Experimentaluntersuchungen und theoretischer Überlegungen noch nicht endgültig gefunden worden<sup>3)</sup>. Aus all diesen Gründen muß auf eine sichere Vorausbestimmung der Eisentemperatur verzichtet werden.

**b) Erwärmung des Armaturkupfers.** Von großer Wichtigkeit ist die Kenntnis der Kupfertemperatur, vor allem der maximalen Temperatur. Es ist, besonders bei langen Maschinen, die Gefahr vorhanden, daß die Isolation im Innern der Maschine verkohlt und daher ihre mechanische Festigkeit verliert. Bei starken Stromstößen oder Kurzschluß treten zwischen den Ankerleitern bedeutende

---

<sup>1)</sup> Mitteilungen über Forschungsarbeiten aus dem Gebiete des Ingenieurwesens, Heft 35 u. 36.

<sup>2)</sup> Siehe Theodore Hoock, „Über radiale Kühlung elektrischer Maschinen“, E. & M. 1910, S. 908.

<sup>3)</sup> Siehe Ott, Mitteilungen über Forschungsarbeiten aus dem Gebiete des Ingenieurwesens, Heft 35 u. 36. — Goldschmidt, ETZ 1908, S. 886.

mechanische Kräfte auf, die dann die Isolation vollständig zerstören. Auch die Längenausdehnung der Ankerleiter infolge der Erwärmung kann das verkohlte Isoliermaterial zerreißen. Solche Fälle sind bei Maschinen mit großen Eisenlängen, wie Turbogeneratoren, mehrmals vorgekommen. Die Ursache dieser Erscheinung liegt darin, daß durch die Nutenisolation der Wärmeaustausch zwischen Kupfer und Eisen erschwert wird und die Kupferwärme zum größten Teil durch die Spulenköpfe abgeführt werden muß. Ist außerdem die Zahninduktion hoch gewählt, so kann es vorkommen, daß durch das Kupfer auch ein Teil der Eisenwärme abgeführt wird. Die ausführliche Untersuchung dieser Verhältnisse ist in WT V 1, S. 226 angegeben. Hier mögen nur die Resultate zusammengestellt werden.

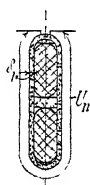


Fig. 355.

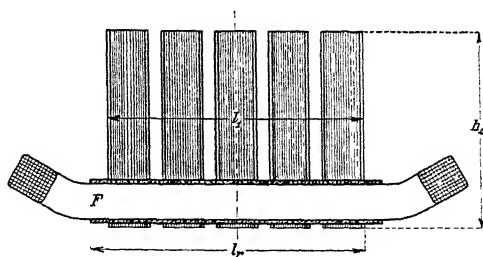


Fig. 356

Es bezeichnet:

$U_n$  den Umfang der Nut in cm (Fig. 355),

$U_h$  den Umfang eines Spulenkopfes in cm,

$q_n$  den Kupferquerschnitt einer Nut in qmm,

$l_r$  die Länge des Isolierrohres (Fig. 356) in cm,

$l_k$  die Länge des Spulenkopfes außerhalb des Isolierrohres in cm,

$\delta_i$  die gesamte Isolationsdicke zwischen Kupfer und Eisen (Fig. 355) in cm,

$\delta_a$  die Isolationsdicke der Spulenköpfe in cm,

$s$  die Stromdichte in Amp./qmm,

$k_r$  den Koeffizienten der Widerstandserhöhung durch Wirbelströme und Hautwirkung,

$v$  die Umfangsgeschwindigkeit des Magnetrades in m/sek,

$Z$  die totale Nutenzahl,

$T_{Luft}$  die wirkliche Lufttemperatur in  $^{\circ}\text{C}$ ,

$T_{Eisen}$  die wirkliche Eisentemperatur in  $^{\circ}\text{C}$ .



Sind die Stäbe mehrerer Nuten zu einem Spulenkopf zusammengefaßt, so ist der Gesamtumfang durch die betreffende Nutenzahl zu dividieren, um  $U_k$  zu erhalten.

Man kann setzen:

für dünn Drahtige Wicklungen . . . . .  $k_r = 1,15$  bis  $1,25$

für Stabwicklungen von großem Querschnitt . .  $k_r =$  bis  $1,35$

Mit Hilfe der Gleichungen

$$a^2 = 234 \left( \frac{U_n}{\delta_a q_n} - \frac{k_r s^2}{1000} \right) 10^{-4} \quad . . . . . (396)$$

$$b = k_r \frac{0,94 + 0,004 T_{Eisen}}{170} s^2 \quad . . . . . (397)$$

$$c^2 = \frac{U_k}{25 \left( \delta_a + \frac{1}{1 + 0,05 v} \right) q_n} - 0,234 \cdot 10^{-4} k_r s^2 \quad . . (398)$$

$$d = k_r \frac{0,94 + 0,004 T_{Luft}}{170} s^2 \quad . . . . . (399)$$

berechnet man zunächst die Konstanten  $a$ ,  $b$ ,  $c$  und  $d$ . Es lassen sich dann auch die Größen  $A$  und  $C$  aus den Gleichungen

$$a A \operatorname{Sin} \frac{a l_r}{2} = -c C \operatorname{Sin} \frac{c l_k}{2} \quad . . . . . (400)$$

und

$$2 A \operatorname{Cof} \frac{a l_r}{2} + \frac{b}{a^2} + (T_{Eisen} - T_{Luft}) = 2 C \operatorname{Cof} \frac{c l_k}{2} + \frac{d}{c^2} \quad . (401)$$

berechnen.

Die maximale Temperatur des Kupfers, die in der Mitte der Armatur auftritt, ergibt sich aus

$$T_{kmax} = T_{Eisen} + 2A + \frac{b}{a^2} \quad . . . . . (402)$$

worin  $A$  immer negativ ist.

Die Kupfertemperatur im Querschnitt  $F$  (Fig 356) ist

$$T_f = 2 A \operatorname{Cof} \frac{a l_r}{2} + \frac{b}{a^2} + T_{Eisen} \quad . . . . . (403)$$

<sup>1)</sup> Für die hyperbolischen Funktionen  $\operatorname{Sin}$  und  $\operatorname{Cof}$  befindet sich eine Tabelle in der Hütte. Sonst kann man berechnen: Man schlage zu  $\frac{x}{2,3}$  als Briggschen Logarithmus den Numerus  $N$  auf. Dann ist

$$\operatorname{Sin} x = \frac{1}{2} \left( N - \frac{1}{N} \right), \quad \operatorname{Cof} x = \frac{1}{2} \left( N + \frac{1}{N} \right).$$

Die mittlere Übertemperatur des Kupfers, wie man sie aus der Widerstandserhöhung berechnen kann, ist

$$T_k = \frac{1}{l_r} \left( \frac{2A}{a} \sin \frac{al_r}{2} + \frac{b}{a^2} \frac{l_r}{2} \right) + \frac{1}{l_s} \left( \frac{2C}{c} \sin \frac{cl_k}{2} + \frac{d}{c^2} \frac{l_k}{2} \right) + (T_{\text{Eisen}} - T_{\text{Luft}}) \quad (404)$$

Die zwischen Eisen und Kupfer in einer Sekunde ausgetauschte Wärmemenge ist

$$W_u = 14 \cdot 10^{-4} Z \frac{U_n}{\delta} \left( \frac{2A}{a} \sin \frac{al_r}{2} + \frac{b}{a^2} \frac{l_r}{2} \right) \text{ Watt} . . \quad (405)$$

Die Spulenköpfe geben an die Luft ab:

$$W = 6.10^{-2} Z q_n c^2 \left( \frac{2C}{c} \sin \frac{cl_k}{2} + \frac{d}{c^2} \frac{l_k}{2} \right) \text{ Watt} . . \quad (406)$$

Diese Rechnung gibt richtige Resultate für Maschinen, die keine künstliche Kühlung haben. Es ist aber auch bei Maschinen mit künstlicher Kühlung zu kontrollieren, ob die sich aus dieser Rechnung ergebende maximale Kupfertemperatur nicht zu hoch wird; eine Zerstörung der Isolation kommt auch bei künstlich gekühlten Turbogeneratoren vor.

## 128. Erwärmung der Magnetspulen.

Die Abkühlung erfolgt auch hier einerseits durch Wärmeleitung und Strahlung an die Umgebung, andererseits durch die ventilierende Wirkung der durch die Rotation hervorgerufenen Luftströmung.

Nun sind die Bedingungen für die Abkühlung der einzelnen Teile einer Magnetspule sowohl in bezug auf die Spulenoberfläche, als auch in bezug auf den Querschnitt des Wicklungsraumes nicht die gleichen, sondern sie variieren je nach der Höhe und Breite des Wicklungsraumes, der Anordnung und Isolation der Wicklung, dem Abstände der benachbarten Spulen, der Konstruktion der Polschuhe und des Polradkranzes, der Armaturabdeckungen und der Größe der Umfangsgeschwindigkeit.

Alle diese Faktoren für die Vorausberechnung der zu erwartenden Temperaturerhöhung zu berücksichtigen, ist nicht möglich. Wir werden uns daher auch hier damit begnügen müssen, aus den bei den verschiedenen Maschinentypen, bei einer bestimmten Abkühlungsfläche, Umfangsgeschwindigkeit, bekannten Wattverlusten und der experimentell ermittelten Temperaturerhöhung bis zum Eintritt des stationären Zustandes, Beziehungen abzuleiten, die uns

dann für ähnliche Verhältnisse eine Beurteilung der Erwärmung mit genügender Genauigkeit ermöglichen werden.

Ebenso wie bei Bestimmung der Erwärmung des Armatureisens, setzen wir auch hier

$$T_m = C_m \frac{\text{Erzeugte Wärmemenge}}{\text{Abkühlungsfläche}}.$$

Als Abkühlungsfläche  $A_m$  nehmen wir die Mantelfläche (ohne die Stirnflächen) an. Ist ferner  $v_m$  die Umfangsgeschwindigkeit des Feldsystems in m/sek, bezogen auf den mittleren Umfang, so kann die auf Stillstand reduzierte Abkühlungsfläche gleich

$$A_m (1 + 0,1 v_m)$$

gesetzt werden. Bedeutet  $W_e = i_e^2 r_e$  den Wattverlust im Erregerkupfer, so kann die durch Widerstandsmessung bestimmte mittlere Temperaturerhöhung der Magnetspulen durch die Gleichung

$$T_m = \frac{C_m W_e}{(1 + 0,1 v) A_m} = \frac{C_m}{a_m} \quad . \quad . \quad (407)$$

ausgedrückt werden.

$$\frac{(1 + 0,1 v) A_m}{W_e} = a_m$$

ist die spezifische Abkühlungsfläche der Magnetspulen. Die Konstante  $C_m$  hängt von der Bauart der Maschine und der Isolation der Spulen ab.

Bei rotierenden Spulen spielt die Dicke derselben eine sehr wichtige Rolle. Ist die Dicke klein, so stellt sich in der ganzen Spule fast dieselbe Temperatur ein und die Wärmeabgabe durch Ventilation ist eine sehr wirksame. Sind die Spulen dagegen dick, so tritt in ihrem Innern eine viel höhere Temperatur auf als in den äußeren Schichten. Die Wärmeabgabe durch Ventilation entspricht dann weitaus nicht der maximalen oder mittleren Temperaturerhöhung. Die Temperatur im Inneren einer dicken Spule kann daher so hoch ansteigen, daß leicht Gefahr für Verkohlungen der Isolation eintritt.

Trotz der verhältnismäßig hohen Umfangsgeschwindigkeiten können bei eng nebeneinander stehenden Polen oder in axialer Richtung sehr langen Spulen Luftstauungen auftreten. Die Wirbelstromverluste in den Polschuhen, die Art der Wicklung und deren Isolation wird nebst den genannten Größen eine ganz wesentliche Rolle spielen.

Für die Größe  $C_m$  können folgende Werte als Anhaltspunkte dienen:

Drahtwicklung . . . 400 bis 800.

Flachkupferwicklung . . 300 „ 400.

Bei Drahtwicklungen gelten die unteren Werte für besonders ventilierte Spulen

Die maximale Kupfertemperatur tritt ungefähr in der Mitte der Spule auf. Sind durch Versuche die mittlere Temperatur an der Oberfläche  $T_0$  und die sich aus Messung der Widerstandserhöhung ergebende mittlere Temperatur  $T_m$  ermittelt, so kann man die maximale Kupfertemperatur der Spule nach der Gleichung<sup>1)</sup>

$$T_{max} = 2T_m - T_0 \dots \dots \dots (408)$$

bestimmen. Diese Formel ergibt um so genauere Resultate, je kleiner die Differenz  $T_m - T_0$  ist

Nach den Vorschriften des Verbandes deutscher Elektrotechniker soll die Temperaturerhöhung der mit Gleichstrom erregten Feldspulen und aller ruhenden Wicklungen bei Generatoren und Motoren aus Widerstandszunahme bestimmt werden; dabei ist der Temperaturkoeffizient des Kupfers, wenn er nicht besonders bestimmt wird, zu 0,004 anzunehmen. Ferner darf die auf diese Weise ermittelte Temperaturzunahme, in gewöhnlichen Fällen und insofern die Lufttemperatur 35° C nicht übersteigt, folgende Werte nicht überschreiten:

Bei Baumwollisolierung . . . . .	50° C
„ Papierisolierung . . . . .	60° „
„ Isolierung durch Glimmer, Asbest und deren Präparate . . . . .	80° „

## 129. Kühlung der Synchronmaschinen.

Bei langsam laufenden Maschinen werden häufig außer der Anordnung von radialen Luftschlitzen (etwa von 0,8 bis 1,5 cm Breite bei einer Packtdicke von 5 bis 8 cm) und der Einhaltung einer bestimmten Dicke für die Erregerspulen keine besonderen Hilfsmittel zur Kühlung angewendet. Bei Eisenlängen bis zu 15 cm läßt man die radialen Luftschlitze meist ganz weg. Die Abkühlungs-

<sup>1)</sup> Karl Humburg, „Die Temperaturverteilung im Innern von Magnetspulen mit rechteckigem Querschnitt“, E u. M 1909, S. 677.

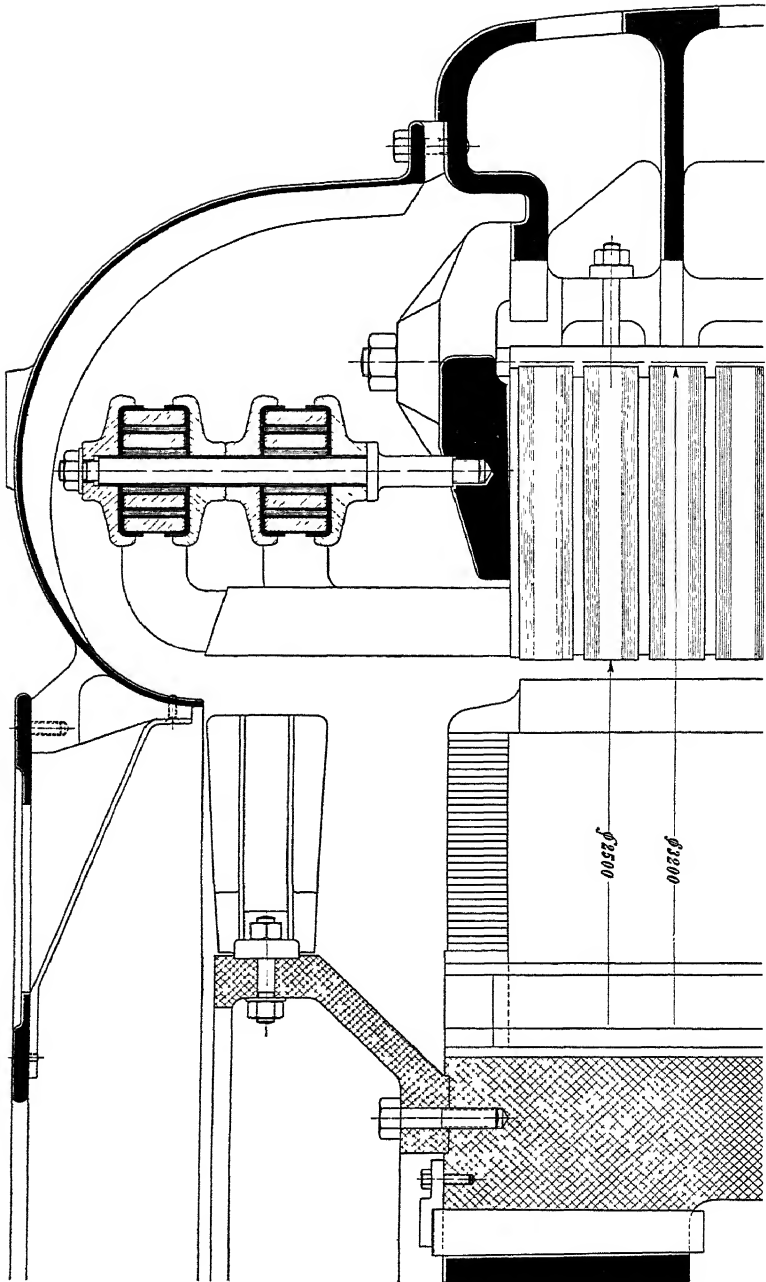


Fig. 357. Langsam laufender Generator der Allg. Elektr.-Gesellschaft  
 $n = 420$ .  $c = 42$ .  $D = 250$  cm.  $l_1 = 80$  cm.

verhältnisse können dadurch verbessert werden, daß man am Gehäuse eine Luftführung und am rotierenden Teile Ventilationsflügel anordnet, etwa nach Fig. 357 oder Tafel II. In manchen Fällen wird nur die Luftführung allein angebracht.

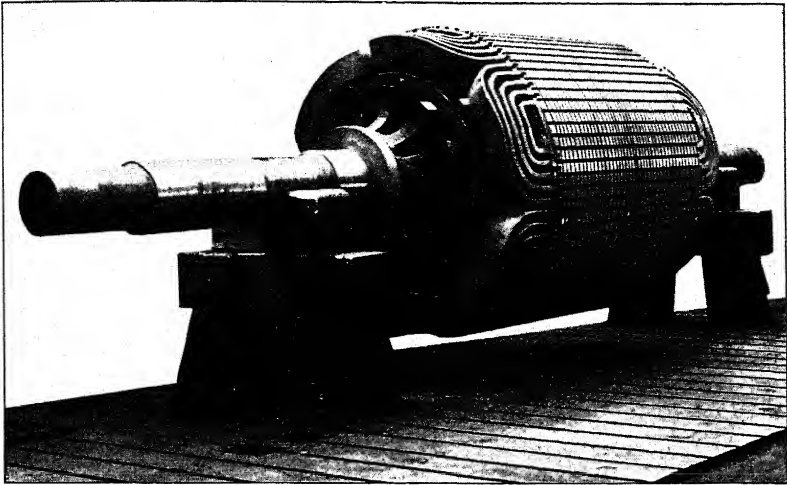


Fig. 358. Rotor eines Zweiphasen-Turbogenerators der Société Alsacienne des Constr. Méc. Belfort.

6000 KW,  $\cos \varphi = 0,8$ ,  $n = 833\frac{1}{3}$ ,  $c = 41\frac{1}{2}$ , 12500 Volt.

Bei schnell laufenden Maschinen wird fast immer künstliche Kühlung angewendet, da sie eine gedrungene Bauart erhalten und die kühlende Fläche daher kleiner ist, als bei den langsam laufenden Maschinen von derselben Leistung. Als Kühlmittel wird ausschließlich Luft verwendet. Die übliche Anordnung zur Erzeugung des erforderlichen Luftstromes besteht aus zwei an beiden Seiten des Rotors angebauten Ventilatoren. Die Ventilatoren können aber auch außerhalb der Maschine aufgestellt werden. Die Kühlluft wird in der Regel vom Erdgeschoß her durch Luftfilter in die Maschine eingeführt und von oben in das Maschinenhaus ausgestoßen. Manchmal wird die Anordnung so getroffen, daß die Luft sowohl nach oben wie nach unten ausgeblasen werden kann. Im Winter dient dann die warme Luft zur Heizung des Maschinensaals, im Sommer wird sie dagegen in das Freie ausgestoßen.

Die Luftführung in der Maschine selbst muß eine derartige sein, daß in keinem Teile die Luft stagniert oder gedrosselt wird und daß keine Geräuschbildung auftritt.

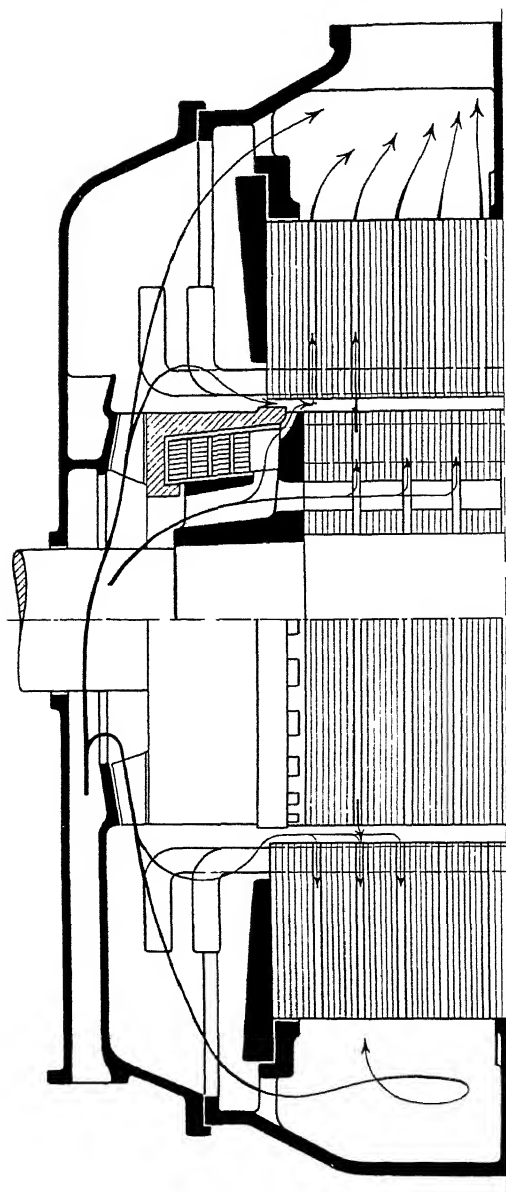


Fig 359.

Die Luftführung kann mittels radialer Schlitzes, axialer Kanäle oder mittels dieser beiden gleichzeitig geschehen. Der Rotor hat immer axiale Kanäle und in den meisten Fällen auch radiale

Luftschlitze. Die axialen Kanäle werden häufig dadurch erhalten, daß man die Welle mit Rippen versieht (Fig. 358). Am wirksamsten sind die axialen Kanäle dann, wenn sie direkt durch besondere Ausgestaltung der Nuten gebildet werden (s. Tafel VI und XII). Die Spulenköpfe der Erregerwicklung werden allgemein besonders durch Frischluft bestrichen. In Fig. 359 ist eine Kühleinrichtung mit Radialbelüftung dargestellt. Der Rotor hat axiale Kanäle und radiale Luftschlitze, der Stator nur radiale Luftschlitze.

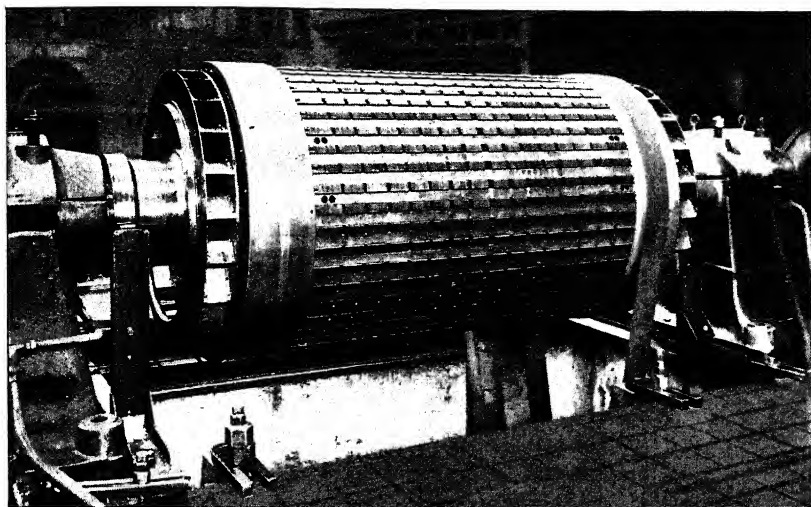


Fig. 360. Rotor eines Turbogenerators der Maschinenfabrik Örlikon mit angebautem Ventilator.

9330 KVA. 8650 Volt.  $n = 1260$ .  $c = 42$ .

Einen Rotor der M.-F. Örlikon mit derartiger Kühlung zeigt Fig. 360, in der der seitlich angebaute Ventilator deutlich zu erkennen ist. Damit bei größeren Maschinenlängen die der Kühlung bedürftigsten mittleren Schlitze genügend mit Luft bespült werden, wendet die Firma Brown, Boveri & Cie. die in Fig. 361 dargestellte Anordnung an.

In Fig. 362 ist eine Kühleinrichtung der Siemens-Schuckert-Werke angegeben. Sowohl Stator wie Rotor erhalten nur axiale Luftkanäle, die teilweise durch die besondere Form der Stator- und Rotornuten gebildet sind. In Fig. 363 ist eine weitere Anordnung derselben Firma angegeben. Zur Erreichung einer intensiveren Kühlung des Rotoreisens sind bei dieser Ausführung beide Ventilatoren in bezug auf den Rotor hintereinandergeschaltet. In der



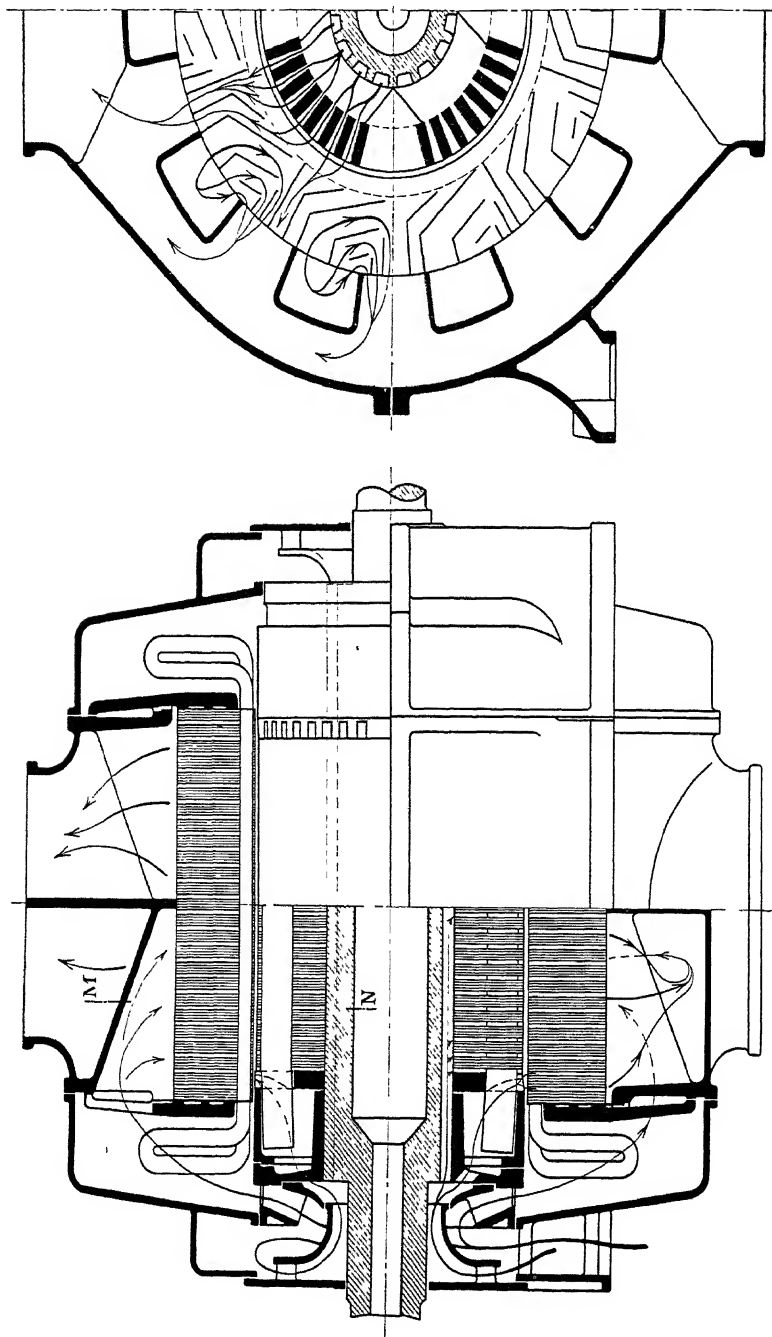


Fig. 361. Kulanordnung der Firma Brown, Boveri & Co., Baden, Schweiz.

Fig. 364 ist eine Kühleinrichtung der A. E. G. abgebildet. Sowohl Stator wie Rotor erhalten gemischte Luftführung. Die radialen Luftschlitze des Statoreisens dienen der Reihe nach als Einströmungs- und Ausströmungsluftschlitze. Diese sind miteinander durch axiale Kanäle verbunden und in entsprechender Weise gegen den Luftspalt und am äußeren Statoreisenmantel abgeschlossen.

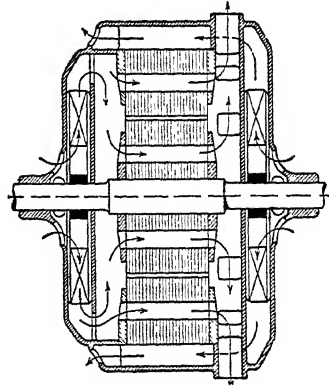


Fig. 362. Kühleinrichtung der S.-S.-W.

Bedeutet  $\Sigma W_v$  die Summe der Verluste in Watt, die an der Erwärmung teilnehmen,  $T_1$  die Innentemperatur der angesaugten Luftmenge,  $T_2$  die Temperatur der ausströmenden Luft, so ergibt sich die erforderliche Luftmenge<sup>1)</sup>

$$Q = \frac{1,2 \Sigma W_v 10^{-3}}{(T_2 - T_1) \eta_{th}} \text{ cbm/sek} \dots \dots (409)$$

$\eta_{th}$  ist ein Faktor, der einem Wirkungsgrade entspricht, und von der Anordnung der Lüftungskanäle, Strahlung der Außenflächen

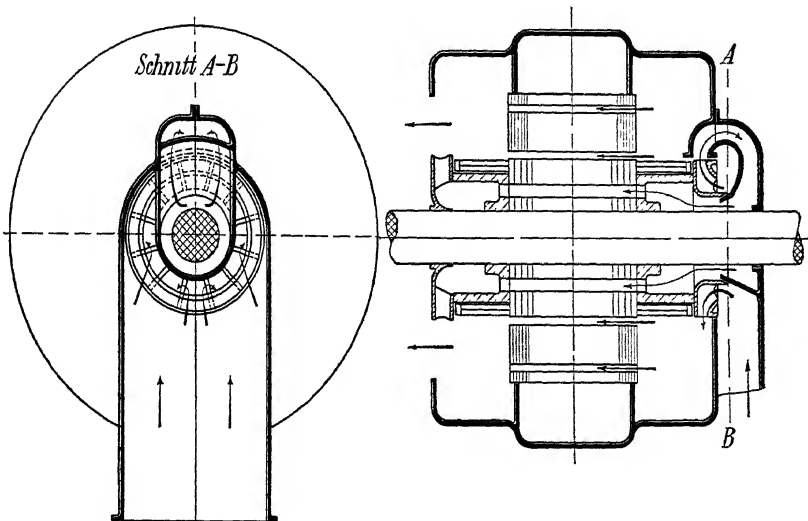


Fig. 363. Kühleinrichtung der Siemens-Schuckert-Werke.

<sup>1)</sup> Siehe Karl Ozeija, „Entwicklung der Belüftungseinrichtungen von raschlaufenden Dynamomaschinen“. ETZ 1912, S. 313

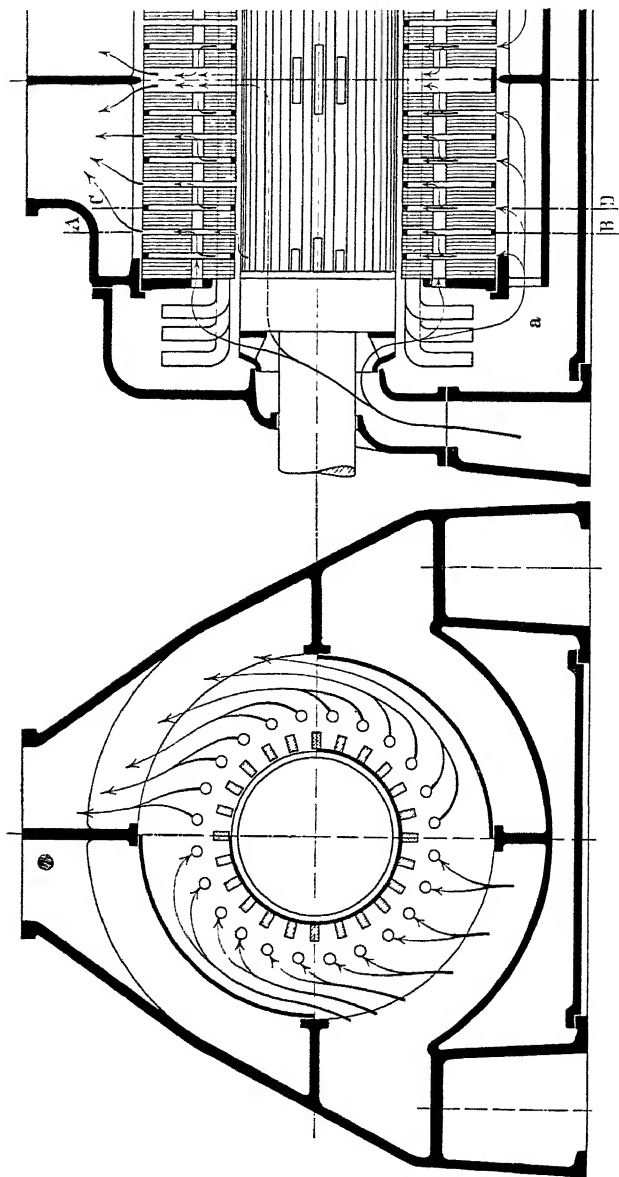


Fig. 364 Kühlenordnung der Allg. Elektr.-Gesellschaft, Berlin.

usw. abhängt.  $\eta_{th}$  bewegt sich zwischen 0,5 bis 0,75. Für  $(T_2 - T_1)$  kann je nach den verlangten Erwärmungsforderungen etwa 15 bis 20° C eingeführt werden.

## Einundzwanzigstes Kapitel.

### Vorausberechnung.

130 Allgemeines über die Vorausberechnung einer Synchronmaschine. — 131 Periodenzahl und Umdrehungszahl. — 132 Magnetische und elektrische Beanspruchung des Ankers — 133. Berechnung der Hauptabmessungen der Maschine — 134 Berechnung der Eisenlängen  $l$  und  $l_1$ . — 135 Anordnung und Berechnung der Ankerwicklung — 136. Berechnung der Querschnittes der Ankerdrähte — 137. Die Berechnung der Ankernuten — 138. Berechnung der Eisenhöhe des Ankers — 139. Größe des Luftspaltes  $\delta$  und Form des Polschuhes — 140 Berechnung der Armaturreaktanz — 141 Berechnung des Kraftflusses  $\Phi$ . — 142 Entwurf des Magnetsystems einer Maschine mit ausgeprägten Polen. — 143. Vorläufige Berechnung des Wicklungsraumes der Erregerwicklung einer Maschine mit ausgeprägten Polen — 144. Berechnung der Erregung — 145. Berechnung der Erregerwicklung einer Maschine mit ausgeprägten Polen — 146. Vorläufige Berechnung der Erregerwicklung und der Rotor-nuten einer Maschine mit Vollpolen. — 147. Schlußbemerkung.

#### 130. Allgemeines über die Vorausberechnung einer Synchronmaschine.

In bezug auf die gegenseitige Anordnung der Feldmagnete und der Armatur unterscheiden wir:

**A. Innenpolmaschinen.** Bei diesen bildet das Magnetsystem den inneren Teil und ist rotierend angeordnet, während die Armatur feststeht. Diese Form der Wechselstrommaschinen ist die heutzutage am meisten gebräuchliche. Die Turbogeneratoren werden fast nur als Innenpolmaschinen ausgeführt. Für kleine Wechselstromgeneratoren kann man bei dieser Anordnung bequem die Statoren der normalen Asynchronmotoren anwenden. Als Magnetsystem kommen dann entweder die normalen Rotoren mit Gleichstromerregung oder ein gewöhnliches Magnetfeld mit körperlichen Polen zur Anwendung.

**B. Außenpolmaschinen.** Das Magnetsystem bildet den äußeren Teil, die Armatur den inneren. Die zu dieser Type gehörigen Maschinen können wieder eingeteilt werden in solche

1. mit rotierendem Magnetsystem und solche
2. mit rotierender Armatur.

Die Außenpoltype mit rotierendem Magnetsystem, wie sie z. B. von der Firma Brown, Boveri & Cie. gebaut wird (s. Tafel III), ist in den Fällen, wo ein großes Schwungmoment verlangt wird, bei Leistungen von 200 bis 600 KW und größerer Polzahl sehr vorteilhaft.

Die Außenpoltype mit feststehendem Magnetsystem und innen rotierendem Anker wird seltener ausgeführt und kommt in Europa nur für kleinere Maschinen etwa bis 20 KVA bei 500 Volt in Betracht

Ist eine Maschine zu berechnen, so sind ihre Leistung und die Bedingungen, unter denen sie arbeiten soll, bekannt.

Zunächst muß man die Hauptabmessungen der Maschine annähernd festlegen; durch eine genauere Berechnung ist dann zu prüfen, ob die gefundenen Abmessungen allen Anforderungen genügen

Um eine Beziehung zwischen den Hauptabmessungen und der Leistung, der Tourenzahl und der Beanspruchung der Materialien zu erhalten, gehen wir von der Formel

$$1000 \text{ KVA} = m P J \cong m E_p J$$

aus. Hierin ist  $E_p$  die pro Phase induzierte EMK,  $J$  der Ankerstrom und  $m$  die Phasenzahl, also  $m E_p J$  diejenige scheinbare Leistung in Kilovoltampere, die bei Generatoren der in elektrische Leistung umgesetzten mechanischen und bei Motoren der in mechanische Leistung umgesetzten elektrischen entspricht. Es ist

$$\begin{aligned} E_p &= 4 k c w \Phi 10^{-8} \\ &= 4 k \frac{p^n}{60} w B_t l_a b_a 10^{-8} \\ &= 4 k \frac{p^n}{60} w B_t l_a \alpha_a \tau 10^{-8}. \end{aligned}$$

Ferner ist  $2 m J w$  die Zahl der Amperedrähte am Ankerumfange; bezeichnen wir die Zahl der Amperedrähte pro cm Ankerumfange oder die lineare Ankerbelastung mit  $AS$ , so wird

$$2 m J w = \pi D AS,$$

wo  $D$  den Durchmesser des induzierten Teiles bedeutet.

Durch Einführung dieser Ausdrücke erhalten wir

$$1000 \text{ KVA} \cong m J 4 k \frac{p^n}{60} w B_i l_i \alpha_i \tau 10^{-8}$$

$$= 4 k \frac{p^n \pi D AS}{60 \cdot 2} B_i l_i \alpha_i \frac{\pi D}{2 p} 10^{-8} = \frac{k \alpha_i B_i AS n D^2 l_i}{6 \cdot 10^8}.$$

Hieraus folgt, daß

$$D^2 l_i \cong \frac{6 \cdot 10^{11} \text{ KVA}}{k \alpha_i B_i AS n} \dots \dots \dots (410)$$

In dieser Formel steht links eine Funktion der beiden Hauptdimensionen und rechts im Zähler die scheinbare Leistung. Im Nenner stehen die Tourenzahl und die magnetische ( $\alpha_i B_i$ ) und elektrische ( $AS$ ) Beanspruchung der Ankeroberfläche. Bevor wir weiter gehen, soll der Reihe nach die Wahl dieser drei letzten Größen kurz erläutert werden.

### 131. Periodenzahl und Umdrehungszahl.

Ist die Periodenzahl eines Generators nicht gegeben, so ist diese mit Bezug auf die Verwendung des Stromes zu wählen. Die in Europa üblichen Periodenzahlen sind 15,  $\frac{50}{3}$ , 25, 42, 50; in Amerika: 15, 20, 25, 40, 50, 60, 120.

Für Lichtanlagen stellen 42 Perioden die unterste Grenze dar, denn erst von etwa 40 Perioden an ist ein ruhiges Licht mit Bogenlampen zu erreichen. Dies gilt selbstverständlich auch für Anlagen mit gemischtem Licht- und Kraftbetrieb. Dient der Wechselstrom ausschließlich für Beleuchtungszwecke, so kann  $c$  hoch, z. B. zu ca. 100 Perioden gewählt werden. Die Generatoren und Transformatoren werden in diesem Falle billiger.

Bei Kraftbetrieben wird in der Regel eine Periodenzahl von 50, vereinzelt auch 42 angewendet. Die Periodenzahl 50 hat sich aus dem Grunde eingeführt, weil bei dieser Periodenzahl sich noch technisch brauchbare Umdrehungszahlen der Motoren ergeben. Bei elektrischen Bahnen wird häufig 15 oder  $\frac{50}{3}$ -periodiger Einphasenstrom verwendet. Bei gemischtem Bahn- und Lichtbetrieb kommen auch 25 Perioden vor, wobei nur Glühlampen verwendet werden. Für Elektrostahlöfen werden ganz kleine Periodenzahlen verwendet.

Bei Arbeitsübertragungen ist es nicht günstig, die Periodenzahl sehr groß zu wählen, da die Selbstinduktion und Kapazität der Leitungen dann leichter zu Störungen durch Resonanzerscheinungen Anlaß geben. Auch für den Betrieb von rotierenden Umformern

wird eine niedrigere Periodenzahl gewählt. In diesen Fällen werden meistens 25, vereinzelt auch 15 Perioden angewandt.

Ist die Periodenzahl gewählt, so kann man zur Festlegung der Umdrehungszahl übergehen. Diese ist bei Generatoren, die mit den Antriebsmaschinen direkt gekuppelt sind, innerhalb enger Grenzen allein von den Antriebsmaschinen abhängig. Die

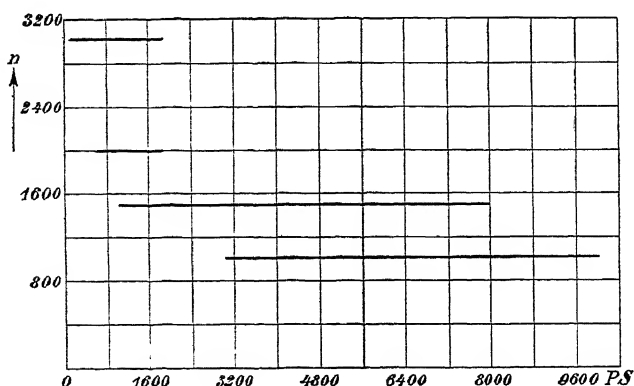


Fig. 365. Umdrehungszahl und Leistung der Zoelly- (Siemens-Schuckert-Werke) Turbine.

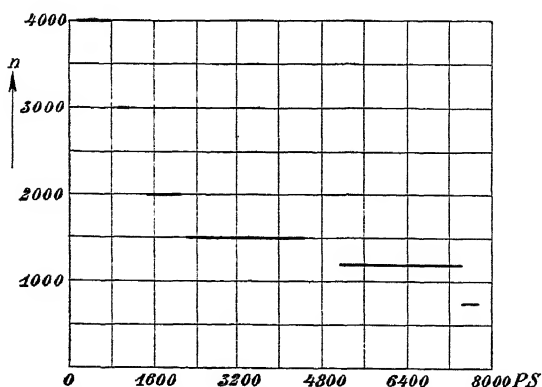


Fig. 366. Umdrehungszahl und Leistung der Parsons- (Brown-Boveri) Turbine.

für Gasmaschinen üblichen Umdrehungszahlen liegen zwischen 290 und 75 für Leistungen bis 3000 PS, wobei zu den kleineren Leistungen die höheren Umdrehungszahlen gehören. Bei den Kolbendampfmaschinen für Leistungen bis 1200 PS liegt die Umdrehungszahl zwischen ca. 260 und 65 pro Minute. Den Zusammenhang zwischen Leistung und Umdrehungszahl der Dampfturbinen ver-

schiedenen Systems ist in den Fig. 365 bis 367 veranschaulicht. Die sprungweise Änderung der Umdrehungszahl mit der Leistung ist nicht durch die Eigenschaften der Dampfturbine, sondern durch den Umstand bedingt, daß die Polpaarzahl des Generators eine ganze Zahl sein muß. Bei Wasserturbinen wählt man die Umdrehungszahl entsprechend dem vorhandenen Gefälle.

Wird der Generator nicht direkt von der Antriebsmaschine, sondern mittels Riemen oder Seil angetrieben, so sind der Umdrehungszahl durch die Riemengeschwindigkeit und die Umfangsgeschwindigkeit gewisse Grenzen gegeben.

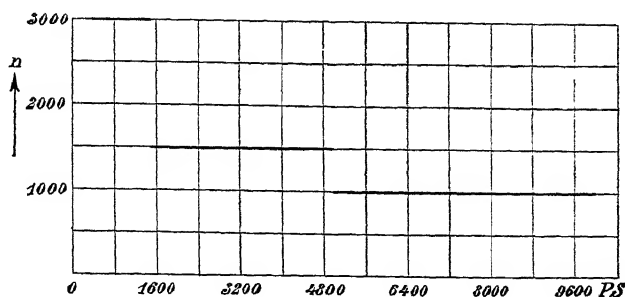


Fig. 367. Umdrehungszahl und Leistung der A. E.-G.-Turbine.

Die gebräuchlichsten Umfangsgeschwindigkeiten normaler Maschinen mit Riemenantrieb sind 15 bis 25 m, wobei der kleinere Wert für kleinere Maschinen gilt. Für langsam laufende, direkt gekuppelte Dynamos liegt  $v$  zwischen 20 und 35 m. Bei großen Umdrehungszahlen und Leistungen kann der Konstrukteur gezwungen sein, mit  $v$  bis 45 m und noch höher zu gehen. Bei Generatoren, die direkt mit Dampfturbinen gekuppelt werden, gelangt man sogar zu Umfangsgeschwindigkeiten bis 140 m.

Die Umfangsgeschwindigkeit steht in dem folgenden einfachen Verhältnis zu der Periodenzahl und der Polteilung.

Es ist

$$v = \frac{\pi D n}{6000} \text{ m/sek} = \frac{\pi D p n}{p 6000} = \frac{\tau c}{50} \text{ m/sek.}$$

Ist also die Periodenzahl gegeben, so ist  $v$  direkt proportional der Polteilung. Diese darf deswegen nicht beliebig groß gemacht werden.

Bei 50 Perioden ist  $v$  in m/sek gleich der Polteilung in cm.



Da die Polpaarzahl  $p$  eine ganze Zahl sein muß, so ist die Umdrehungszahl entsprechend zu wählen

$$n = \frac{60c}{p}.$$

## 132. Magnetische und elektrische Beanspruchung des Ankers.

Der Füllfaktor  $\alpha_i$  ist ein Maß für die magnetische Ausnutzung der Polteilung. Diesen Faktor wird man mit Rücksicht auf die Kurvenform der EMK und die seitliche Streuung fast immer zu ca. 0,65 wählen.

Die Luftinduktion  $B_l$  kann nicht beliebig hoch gewählt werden; denn, wie aus Gl. 54, S. 81, ersichtlich, ist bei gegebener Nutenzahl und Nutendimensionen die Zahninduktion direkt proportional  $B_l$ . Da aber bei größeren Periodenzahlen die Verluste in den Zähnen ziemlich schnell mit der Zahnsättigung ansteigen, darf diese nicht zu groß gewählt werden. Sind die Nuten breit, was der Fall ist, wenn die in ihnen unterzubringenden Kupfer- und Isolationsmengen groß sind, so muß  $B_l$  klein gewählt werden.  $B_l$  ist deswegen in Abhängigkeit von der Spannung und der linearen Belastung des Ankers zu wählen. Die folgenden Zahlen geben die für Maschinen mit Nutenankern üblichen Werte.

	ca. 50 Perioden	ca. 25 Perioden
1. Kleine Maschinen, hohe Spannung . . . . .	$B_l = 4000-5000$	5000—6000
2. Kleine Maschinen, niedrige Spannung . . . . .	$B_l = 5000-6500$	6000—7500
3. Große Maschinen, hohe Spannung . . . . .	$B_l = 6500-8000$	7000—8500
4. Große Maschinen, niedrige Spannung . . . . .	$B_l = 7000-9000$	8000—11000

Bei Turbogeneratoren wird man sich bei der Wahl von  $B_l$  mehr der unteren Grenze nähern, um kleinere Zahninduktionen im Stator zu erhalten.

Ein Maß für die elektrische Beanspruchung gibt uns die lineare Belastung  $AS$ . Diese hängt mit der Ankerrückwirkung und mit der Temperaturerhöhung des Ankers zusammen.

Je größer man  $AS$  wählt, um so größer wird die Reaktanz  $x_{s1}$  der Streuinduktion und um so größer wird die Zahl der rückwirkenden Amperewindungen des Ankers.  $AS$  ist somit direkt maßgebend für die Spannungsänderungen. Ist bei der Anwendung der

inherenten Regulierungsmethode erwünscht, daß der Spannungsabfall eines Generators bei  $\cos \varphi = 0,8$  etwa 25% bei kleinen und etwa 15 bis 20% bei großen Maschinen nicht überschreiten soll, so ist es anzuraten,  $AS$  bei Mehrphasenmaschinen innerhalb der folgenden Grenzen zu wählen:

1. Kleine Maschinen, hohe Spannung . . . . 100—160
2. Kleine Maschinen, niedrige Spannung . . . 120—180
3. Große Maschinen, hohe Spannung . . . . 150—250
4. Große Maschinen, niedrige Spannung . . . 200—320

Diese Werte gehören zu Periodenzahlen  $c = 50-25$ . Für die kleineren Periodenzahlen sind die höheren Werte von  $AS$  zu wählen.

Wird zur Spannungsregulierung ein elektromechanischer Regulator oder eine Compoundierung angewendet, so kann man mit  $AS$  höher gehen. Bei mehrphasigen Synchronmotoren kann man  $AS$  um 20 bis 30% höher als nach der obigen Tabelle wählen. Die spezifische Belastung der Einphasenmaschinen wählt man zu ca 70% derjenigen der Mehrphasenmaschinen.

Je größer man  $AS$  wählt, desto kleiner wird das Eisengewicht der Maschine.

### 133. Berechnung der Hauptabmessungen der Maschine.

Wir ermitteln zuerst angenähert den Ankerdurchmesser und die Eisenlänge und behalten uns Abänderungen im Laufe der vollständigen Berechnung des Ankers vor, wenn entweder die Spannungsänderungen oder die Temperaturerhöhung sich zu groß herausstellen sollten. Als Ausgangspunkt für die Berechnung dient die Formel

$$D^2 l_i \cong \frac{6 \cdot 10^{11} KVA}{k \alpha_i B_i AS n}.$$

Mit Hilfe der über  $\alpha_i$ ,  $B_i$  und  $AS$  gemachten Angaben kann nun das Produkt  $D^2 l_i$  aus der obigen Gleichung gefunden werden und wir haben es nun passend zu zerlegen.

1. Bei sehr rasch laufenden großen Maschinen setzt oft die Umfangsgeschwindigkeit eine Grenze für den Durchmesser. Man kann in dem Falle von  $v$  ausgehend den Durchmesser

$$D \cong \frac{6000 v}{\pi n} \quad \text{und} \quad l_i = \frac{(D^2 l_i)}{D^2}.$$

berechnen.

2. Bei Maschinen mit normaler Tourenzahl und bei langsam laufenden Maschinen kann man entweder von der Umfangsgeschwin-

digkeit, von dem ideellen Polbogen  $b_i$  oder von der ideellen Ankerlänge  $l_i$  ausgehen.

Bei Schwungradmaschinen kann man z. B. eine passende Umfangsgeschwindigkeit ( $v=25$  bis  $30$  cm) annehmen. Einige Fabriken lassen mit Rücksicht auf eine billige und gleichmäßige Fabrikation nur eine gewisse Anzahl von Polformen für alle Maschinen zu, so daß man hier am besten von den zulässigen Polbogen  $b_i$  ausgeht und unter diesen einen so auswählt, daß

$$D = \frac{2pb_i}{\pi\alpha_i} \quad \text{und} \quad l_i = \frac{(D^2 l_i)}{D^2}$$

einen passenden Wert erhalten. Für  $\alpha_i = \frac{2}{\pi} = 0,64$  wird  $D = pb_i$ .

Man kann auch  $l_i$  wählen und

$$D = \sqrt{\frac{(D^2 l_i)}{l_i}}$$

berechnen.

Die verschiedenen geschätzten und berechneten Werte stellt man in einer Tabelle zusammen und wählt die passendste Reihe aus.

$2p$	$b_i$	$\alpha_i$	$D$	$l_i$	$\frac{l_i}{b_i}$	$\tau$	$v$
—	—	—	—	—	—	—	—
—	—	—	—	—	—	—	—

Wenn möglich soll bei Maschinen mit ausgeprägten Polen das Verhältnis

$$\frac{l_i}{b_i} = 1,3 \text{ bis } 1,9$$

gewählt werden, damit die Magnetkerne einen möglichst kreisförmigen Querschnitt erhalten können. Oft ist man gezwungen, z. B. wenn man mit der Umfangsgeschwindigkeit an der zulässigen Grenze angelangt ist oder wenn die Tourenzahl der Maschine zu klein ist (wie es beim Antrieb durch eine Wasserturbine vorkommen kann, so daß der Durchmesser für eine bestimmte Leistung zu groß ausfallen würde), das Verhältnis  $\frac{l_i}{b_i}$  bedeutend höher zu

wählen. Dient als Antriebsmaschine eine Explosionsmaschine und soll der rotierende Teil des Generators als Schwungrad ausgebildet werden, so wird man zweckmäßig, um ein großes Schwungmoment zu erhalten, den Durchmesser  $D$  groß, also das Verhältnis  $\frac{l_i}{b_i}$  klein wählen.

Bei Turbogeneratoren bis zu  $n=1500$  wählt man gewöhnlich

$$\frac{l_i}{b_i} = 1,6 \text{ bis } 2,7.$$

Bei höheren Tourenzahlen wird man dieses Verhältnis aus mechanischen Rücksichten kleiner wählen.

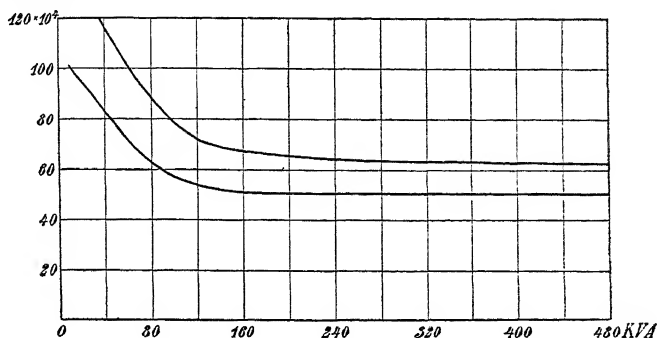


Fig. 368 Werte der Maschinenkonstanten für kleine Maschinen

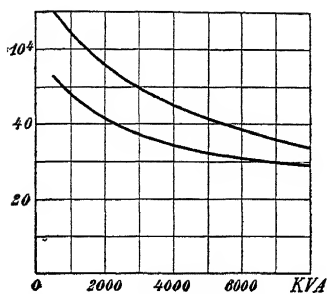


Fig. 369. Werte der Maschinenkonstanten für große Maschinen mittlerer Spannung.

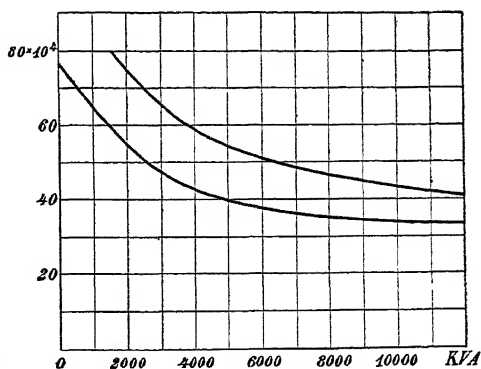


Fig. 370. Werte der Maschinenkonstanten für Turbogeneratoren.

Damit sind die Hauptdimensionen der Maschine vorläufig festgelegt.

Man kann sie noch schneller ermitteln, wenn man die Dimensionen von bereits gebauten guten Maschinen oder von sorgfältig berechneten Maschinen als Ausgangspunkt wählt. Nach Gl. 410 ist

$$\frac{D^2 l_i n}{KVA} = \frac{6 \cdot 10^{11}}{k \alpha_i B_i A S} \cong \text{Konstante}, \quad \dots (411)$$

da das Produkt aus der magnetischen und elektrischen Beanspruchung des Ankers ( $B_i A S$ ) für verschiedene Maschinentypen eine wenig

veränderliche Größe ist. Die linke Seite der Gl. 411, die als Maschinenkonstante bezeichnet wird, bildet somit eine für jede Maschine charakteristische Größe, die um so kleiner ist, je kleiner die Dimensionen der Maschine im Verhältnis zur Leistung sind. Damit ist aber nicht gesagt, daß bei gegebener Leistung die Maschine mit dem kleinsten  $\frac{D^2 l_1 n}{KV A}$  die billigste sei, weil hier das Verhältnis von Eisen zu Kupfer von großem Einfluß ist.

In den Fig. 368 bis 370 stellen die obere und untere Kurve die Grenzen für die Maschinenkonstanten dar. Wird ein Satz gleichartiger Maschinen entworfen, so gibt die Aufstellung solcher Kurven die Möglichkeit, die Gleichmäßigkeit der Berechnung der einzelnen Größen zu prüfen.

### 134. Berechnung der Eisenlängen $l$ und $l_1$ .

Um die Anker zu ventilieren, ordnet man Luftschlitze von 0,8 bis 1,5 cm Weite zur Ventilation an. Sind die Armaturverluste im Verhältnis zu der Ankeroberfläche groß, so ordnet man für je 4 bis 6 cm Ankerlänge einen Luftschlitz an. Im anderen Falle, wenn die Armaturverluste relativ klein sind, genügt es, ein Paar oder gar keine Luftschlitze vorzusehen. Ist  $n_s$  die Zahl der Luftschlitze und  $b_s$  die Breite eines solchen, so wird die totale Ankerlänge

$$l_1 = l + n_s b_s,$$

wo  $l$  die Länge des Ankereisens bedeutet. Diese Länge  $l$  erhalten wir zu

$$l \cong l_i - \left( \frac{1}{2} \text{ bis } \frac{2}{3} \right) n_s b_s.$$

### 135. Anordnung und Berechnung der Ankerwicklung.

Ist der Ankerdurchmesser  $D$  vorläufig bestimmt, so läßt sich die Windungszahl  $w$  pro Phase berechnen. Es ist

$$w = \frac{\pi D A S}{2 m J} \quad . \quad . \quad . \quad . \quad (412)$$

wo die Stromstärke pro Phase gleich

$$J = \frac{1000 KV A}{m P}$$

ist. Die Wicklungen werden als Trommelwicklung ausgeführt; wir haben deswegen 2 induzierte Seiten pro Windung. Die

$w$  Windungen sind in  $q$  Nuten pro Pol und Phase unterzubringen und wir erhalten

$$s_n = \frac{2w}{2pq} = \frac{w}{pq}$$

Drahte pro Nut, wenn alle Drahte in Serie geschaltet sind.

Haben wir  $a$  parallele Zweige pro Phase, so erhalten wir  $\frac{aw}{pq}$  Drahte pro Nut und im ganzen

$$2maw$$

Drahte auf dem Ankerumfange, und in jedem Draht fließt der effektive Strom

$$J_a = \frac{J}{a}.$$

Die Zahl  $a$  der Ankerstromzweige hängt von der Stromstärke  $J$  und von der Art der Wicklung ab.

Die Zahl der in Serie geschalteten Drahte pro Nut  $s_n$  wird am einfachsten erhalten, indem man erfahrungsgemäß eine Nutenzahl  $q$  pro Pol und Phase wählt. Im allgemeinen wird man aus

$$s_n = \frac{w}{pq} \quad . \quad . \quad . \quad . \quad . \quad . \quad (413)$$

keine ganze Zahl erhalten. Man rundet dann  $w$  bzw.  $aw$  auf eine solche Zahl ab, daß  $s_n$  eine ganze Zahl wird; man erhält dann in allen Nuten eine gleiche Drahtzahl. Es ist jedoch auch gestattet, in den pro Pol auf eine Phase entfallenden Nuten die Drahtzahl verschieden zu wählen, z. B. für 4 Nuten pro Pol die Drahtzahlen 10, 11, 11, 10.

Als Kontrolle für die richtige Wahl der Nutenzahl kann das Stromvolumen pro Nut  $J_n = s_n J$  dienen. Dieses variiert zwischen weiten Grenzen. Man geht jedoch mit  $J_n$  selten höher als 2000 Ampere pro Nut.

Bei Maschinen mit hoher Spannung wählt man wenig Nuten pro Pol und Phase, um an Isolationsmaterial zu sparen und um große Abstände zwischen den Spulenköpfen zu erhalten. Das Stromvolumen pro Nut wird daher hoch sein. Man darf damit aber nicht zu weit gehen, da sonst die pro Nut induzierte EMK, besonders bei Maschinen mit kleiner Polzahl, leicht zu hoch wird. Diese Spannung soll wenn möglich kleiner sein als 350 Volt und 500 Volt nicht überschreiten.

Anker für große Stromstärken erhalten gewöhnlich eine Stabwicklung, die bei hohen Spannungen als Schleifen- oder Spulenwick-

lung, bei niedrigen Spannungen als umlaufende Wicklung ausgeführt wird.

Bei der umlaufenden Wicklung soll  $q$  möglichst eine ganze Zahl sein. Da dies aus elektrischen Gründen nicht immer günstig ist, z. B. wenn  $AS$  oder  $J_n$  zu hoch ausfallen, kann es unter Umständen von Vorteil sein eine aufgelöste Gleichstromwicklung oder eine Teillochwicklung anzuwenden. Ausführlich ist die Theorie und der Bau der Wicklungen im dritten Band der Wechselstromtechnik behandelt.

### 136. Berechnung des Querschnittes der Ankerdrähte.

Es ist der Strom pro Ankerstromzweig

$$J_a = \frac{J}{a}$$

und der Querschnitt  $q_a = \frac{J_a}{s_a}$  qmm.

Die Stromdichte  $s_a$  variiert zwischen weiten Grenzen. Es ist für sie die zulässige Erwärmung des Ankers und der Wirkungsgrad der Maschine maßgebend. Man kann jedoch die Stromdichte auf Grund der Erfahrung wählen und nachträglich die Erwärmung und den Wirkungsgrad prüfen. Die folgende Tabelle gibt gebräuchliche Werte für Dauerbelastung.

Draht		Stromdichte	Strom
Durchmesser	Querschnitt $q_a$ qmm	$s_a$ $\frac{\text{Amp}}{\text{qmm}}$	$J_a$
0,8 bis 1,2	0,5 bis 1,10	4,5 bis 4,0	2,25 bis 4,4
1,3 " 2,0	1,32 " 3,14	4,0 " 3,5	5,25 " 11
2,1 " 3,5	3,46 " 9,62	3,5 " 3,0	12 " 29
3,6 " 5	10,1 " 19,6	3,2 " 2,8	32,5 " 55
Kabel {	12 " 25	3,5 " 3,2	42 " 80
	25 " 50	3,2 " 2,8	80 " 140
Stabwicklung {	25 " 60	3,0 " 2,8	75 " 170
	60 " 120	2,8 " 2,5	170 " 300
	120 " 300	2,5 " 2,2	300 " 660

Bei größeren Querschnitten als den in der Tabelle angegebenen soll die Stromdichte noch kleiner gewählt werden. Bei guten Abkühlungsverhältnissen und wenn es der Wirkungsgrad gestattet, können die obigen Werte höher gewählt werden.

Der Ohmsche Widerstand der Ankerwicklung, die aus  $a$  parallelgeschalteten Stromzweigen pro Phase besteht, ergibt sich zu

$$r_g = \frac{2w l_a (1 + 0,004 T_a)}{a \cdot 5700 q_a},$$

worin  $l_a$  die halbe Länge einer Ankerwindung in Zentimetern und  $w$  die in Serie geschalteten Windungen bezeichnet. Für eine Temperaturerhöhung  $T_a$  von  $45^\circ$  über ca.  $15^\circ \text{C}$  wird

$$r_g = \frac{2w}{a} \frac{l_a}{4800 q_a} \quad . \quad . \quad . \quad . \quad . \quad (414)$$

Der effektive Widerstand ist (siehe S. 54)

$$r_a = k_r r_g = k_r \frac{2w}{a} \frac{l_a}{4800 q_a} \quad . \quad . \quad . \quad . \quad . \quad (415)$$

und der Spannungsabfall im Anker, bedingt durch den effektiven Widerstand, wird gleich

$$J r_a = a J_a r_a = k_r \frac{2w l_a s_a}{4800}, \quad . \quad . \quad . \quad . \quad . \quad (416)$$

also direkt proportional der Stromdichte.

Mit Rücksicht auf den Wirkungsgrad der Maschine kann auch von vornherein ein bestimmter Wattverlust  $W_{ka}$  im Ankerkupfer angenommen und daraus  $s_a$  berechnet werden.

Es ist

$$W_{ka} = m J^2 r_a = m a^2 J_a^2 r_a = m k_r \frac{2w l_a s_a J}{4800}$$

Man findet dann

$$s_a = \frac{4800 W_{ka}}{k_r m 2w l_a J} \quad . \quad . \quad . \quad . \quad . \quad (417)$$

Das Kupfergewicht des Ankers ergibt sich aus der obigen Gleichung, indem wir  $J_a = q_a s_a$  und das Kupfervolumen

$$V = 2m w l_a \frac{q_a}{100} a$$

in cbcm einsetzen

$$G = \frac{0,43 W_{ka}}{k_r s_a^2} \text{ kg} \quad . \quad . \quad . \quad . \quad . \quad (418)$$

Bei gegebenem Wattverlust im Ankerkupfer ist das Kupfergewicht umgekehrt proportional dem Quadrate der Stromdichte.



## 137. Die Berechnung der Ankeruten.

Die Abmessungen der Nuten müssen verschiedenen Bedingungen genügen. Erstens muß der berechnete Querschnitt der Ankerdrähte mit einer für die betreffende Spannung ausreichenden Isolation in den Nuten Platz finden, ohne daß die Zahnsättigung und die Hysteresisverluste die zulässigen Grenzen überschreiten.

Zweitens soll die magnetische Leitfähigkeit der Nut möglichst klein sein.

Drittens sollen bei massiven Polen, damit die Wirbelstromverluste in ihnen nicht zu groß werden, die Nuten entweder halb oder ganz geschlossen sein.

Die Nutenzahl ist gleich

$$Z = 2m \frac{w}{s_n} = 2mpq \quad . \quad . \quad . \quad . \quad (419)$$

und die Nutenteilung

$$t_1 = \frac{\pi D}{Z}.$$

Um nun die Dimensionen der Nut (Fig. 371 u. 372) zu bestimmen, gehen wir am besten von der kleinsten Breite  $z_2$  der Zähne aus.

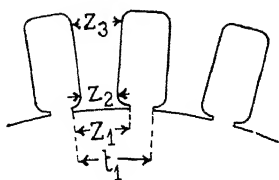


Fig. 371.

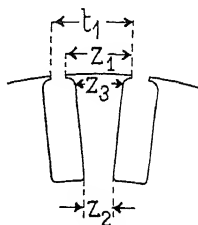


Fig. 372.

Die Zahl der Nuten, die auf einen Polbogen entfallen, ist  $\frac{b_1}{t_1}$ , es muß daher, wenn  $B_{zmax}$  die maximale Zahninduktion bedeutet,

$$\frac{b_1}{t_1} z_2 l k_2 B_{zmax} = \Phi = b_1 l_i B_i$$

sein, wo

$$\Phi = \frac{E_p 10^8}{4k c w}.$$

Der Faktor  $k_2$  berücksichtigt die Isolation zwischen den Ankerblechen. Die Dicke der Isolation beträgt im Mittel 10% der Dicke der Ankerbleche ( $\Delta = 0,3$  bis  $0,5$  cm). Es ist somit

$$k_2 = 0,88 \text{ bis } 0,92.$$

Diese Werte gelten sowohl bei Papierisolation wie bei Isolation mittels Lackanstrich. Werden die Bleche nicht gut aufeinander gepreßt, so nimmt  $k_2$  kleinere Werte an.

Für  $E_p$ , das später genauer berechnet wird, setzen wir zunächst die der maximalen Klemmenspannung entsprechende Phasenspannung ein und beachten bei der Wahl von  $B_{zmax}$ , daß bei Generatoren der Kraftfluß mit der Belastung bei konstanter Klemmenspannung und Tourenzahl zunimmt und bei Motoren abnimmt. Eine Berechnung von  $B_{zmax}$  für die belastete Maschine erfolgt später.

$$\text{Wir erhalten } z_2 = \frac{t_1 \Phi}{b_1 l k_2 B_{zmax}} = \frac{t_1 B_l l_1}{k_2 B_{zmax} l} \dots \dots (420)$$

Bei Maschinen mit kleinerem Verhältnis  $\frac{l_1}{b_1}$  sind die gebräuchlichen Werte von  $B_{zmax}$

$$\begin{aligned} \text{und } B_{zmax} &< 18000 \text{ bis } 20000 \text{ bei } 60-40 \text{ Perioden} \\ B_{zmax} &< 21000 \text{ „ } 23000 \text{ „ } 30-20 \text{ „} \end{aligned}$$

Bei Maschinen mit größerem Verhältnis  $\frac{l_1}{b_1}$ , wie Turbogeneratoren, wählt man  $B_{zmax}$  kleiner, um die Gefahr der Verkohlung der Isolation in der Mitte der Maschine infolge einer übermäßigen Erwärmung zu vermeiden. Die für Turbogeneratoren bei 50 Perioden üblichen Werte sind

$$B_{zmax} = 12000 \text{ bis } 16000.$$

Soll daher bei einem Turbogenerator die Spannung nach der inherenten Methode reguliert werden, so müssen die Rotorzähne entsprechend starker gesättigt werden.

Wenn  $z_2$  berechnet ist, ergibt sich nach Fig. 371 die Nutenweite zu  $t_1 - z_2$ <sup>1)</sup> und wir können die Dimensionierung der Nut und die Anordnung der Drähte vornehmen. Ist es nicht möglich, eine passende Form der Nut und der Drähte zu finden, so sind entweder die Nutenzahl  $Z$  oder die Windungszahl  $w$  oder die Nutenteilung  $t_1$  oder die Eisenlänge  $l$  zu ändern. Bei einer Änderung der Nutenzahl  $Z$  oder der Windungszahl  $w$  können die Hauptdimensionen  $D$  und  $l$  beibehalten werden. Es verschiebt sich nur das Verhältnis zwischen  $B_l$  und  $AS$ . Bei einer Änderung der Nutenteilung unter Beibehaltung der Zahl der Nuten ändert sich der Durchmesser. In vielen Fällen genügt eine Änderung der Länge. Ist z. B. die Zahnsättigung zu groß und alle übrigen Verhältnisse passend, so vergrößert man  $l$  so weit, bis die Zahnsättigung den gewünschten Wert

<sup>1)</sup> Bei Ankern nach Fig. 372 ist allerdings erst noch die Nutentiefe zu schätzen.

erhält; im umgekehrten Falle hat man die Länge zu verkleinern. Die Werte von  $B_i$  und  $B_z$  werden dann umgerechnet. Man muß so lange probieren, bis man die günstigste Form der Nuten und der Drahte und passende Sättigungen gefunden hat.

### 138. Berechnung der Eisenhöhe des Ankers.

Bezeichnet  $B_a$  die Ankerinduktion, so wird die Eisenhöhe ohne Zahnhöhe

$$h = \frac{\Phi}{2 k_2 l B_a} \quad . . . . . (421)$$

und die totale Eisenhöhe gleich  $h + \text{Zahnhöhe}$ . Werden die Ankerbleche durch Bolzen zusammengehalten, die nicht isoliert sind und am äußeren Blechrande liegen, so ist für die Eisenhöhe  $h$  die Strecke bis zur Mittellinie des Bolzens einzuführen

Bei der Wahl von  $B_a$  ist die Größe des entstehenden Eisenverlustes durch Hysteresis und Wirbelströme zu berücksichtigen.

Bei gegebener Periodenzahl  $c = \frac{p n}{60}$  und konstantem Kraftflusse  $\Phi$  ist der Hysteresisverlust annähernd umgekehrt proportional der 0,6ten Potenz des Eisenvolumens oder der  $\sqrt[3]{h}$ . Der Eisenverlust pro Kubikdezimeter bleibt im allgemeinen unter 15 bis 25 Watt.

Die für verschiedene Periodenzahlen üblichen Werte von  $B_a$  sind:

$c$	$B_a$
15 bis 35	13000 bis 10000
35 „ 60	10000 „ 6000
60 „ 100	6000 „ 3000

### 139. Größe des Luftspaltes $\delta$ und Form des Polschuhes.

Eine richtige Bemessung des Luftspaltes  $\delta$  ist von Wichtigkeit. Einige Gründe sprechen für einen kleinen, andere dagegen für einen großen Luftspalt.

Es ist ein möglichst kleiner Luftspalt anzustreben:

1. weil die für die Magnetisierung des Luftspaltes verbrauchten AW mit  $\delta$  abnehmen,
2. weil die magnetische Streuung der Feldmagnete mit  $\delta$  abnimmt.

Ein großer Luftspalt ist dagegen günstig:

1. weil der magnetische Widerstand des Ankerfeldes mit  $\delta$  wächst,

- 2 weil die magnetischen Unsymmetrien des Feldes, herrührend von einer exzentrischen Lage des Magnetrades, ungleichen Polschuhen, ungleichen Erregungen der einzelnen Pole usf. verhältnismaßig um so kleiner werden, je größer  $\delta$  ist,
3. weil bei Nutenankern und massiven Polen die Wirbelstromverluste in den Polschuhen mit  $\delta$  abnehmen.

Bei langsam laufenden Generatoren und Motoren wählt man zweckmäßig

$$\delta = 0,6 \text{ bis } 1,2 \frac{\tau AS}{B_l}.$$

Bei hoher Sättigung der Magnetkerne kann  $\delta$  noch kleiner gemacht werden. Bei großen Ankerdurchmessern wird man den Luftspalt jedoch nicht gern kleiner als 0,4 bis 0,5 cm machen.

Bei Turbogeneratoren wählt man

$$\delta = 0,5 \text{ bis } 0,85 \frac{\tau AS}{B_l} \text{ cm.}$$

Dieser Wert beträgt gewöhnlich etwa 15 bis 30 mm.

Der Durchmesser des Magnetsystems ist

$$D = 2\delta.$$

Wir können nun den Polschuh aufzeichnen. Der Luftspalt  $\delta$ , der ideelle Polbogen  $b_i$  und die totale Ankerlänge  $l_1$  sind bekannt. Ist die Form des Polschuhs gewählt<sup>1)</sup>, so zeichnet man das Kraftrohrenbild auf und berechnet den ideellen Polbogen (siehe Gl. 52, S. 79)

$$b_i = b_m + 2\delta k_1 k_2 \Sigma \frac{b_x}{\delta_x}.$$

Stimmt dieser nicht mit dem angenommenen Wert überein, so muß der innere Polbogen  $b_m$  entsprechend geändert werden, was jedoch fast keinen Einfluß auf das Kraftrohrenbild hat.

Die Länge des Polschuhs  $l_p$  macht man gewöhnlich gleich der totalen Ankerlänge  $l_1$ . Man kann nun auch noch kontrollieren, ob die ideelle Eisenlänge nach Formel 53, S 80

$$l_i = \frac{l_1 + z(k_1' - 1)}{k_1'} + l_x$$

mit dem angenommenen Wert übereinstimmt.

---

<sup>1)</sup> Entwurf der Polschuhform mit Rücksicht auf die Erreichung einer möglichst sinusförmigen EMK-Kurve, siehe WT III, S. 190.

### 140. Berechnung der Armaturereaktanz.

Ist erwünscht, daß der Spannungsabfall nicht zu groß werden soll, so kann man schon an dieser Stelle die vom Ankerstreufuß induzierte EMK berechnen. Diese ist

$$E_{s1} + E'_s = Jx_{s1} + E'_s \text{ (s S. 19).}$$

Diese EMK kann auch kurzweg Reaktanzspannung genannt werden. Wir haben früher (Gl. 6a, S. 18) die Reaktanz

$$x_{s1} = \frac{4\pi cw^2}{pq10^8} (l_n \lambda_n + l_k \lambda_k + l_s \lambda_s)$$

gefunden, und es ist die EMK des Streuflusses durch die Nutenstege

$$E'_s = \frac{2cw}{10^3} l_s \delta'.$$

Als Anhaltspunkt für die Berechnung von  $x_{s1}$  können die folgenden Werte dienen. Es liegen bei normalen Maschinen

	$\lambda_n$	zwischen	0,8	und	2,0
	$\lambda_k$	"	0,5	"	2,0
und	$\lambda_s$	"	0,5	"	1,0 (meist $\cong 0,7$ ),

also  $\lambda_n + \lambda_k + \frac{l_s}{l_k} \lambda_s$  zwischen 2,5 und 6,0.

Die Reaktanzspannung macht gewöhnlich 5 bis 10% der Phasenspannung aus. Überschreitet sie diesen Wert, so ist entweder die Windungszahl oder die Nutenform entsprechend abzuändern, wenn man nicht einen großen Spannungsabfall zulassen will.

### 141. Berechnung des Kraftflusses $\Phi$ .

Um das Magnetsystem einer Maschine mit ausgeprägten Polen entwerfen zu können, ist die Kenntnis des Kraftflusses bei normaler Belastung, d. h. bei normalem Strome  $J$  und normalem Leistungsfaktor  $\cos \varphi$  erforderlich. Die im weiteren angegebene Berechnung von  $\Phi$  gilt allgemein, d. h. für jede beliebige Belastung.

Nach Fig. 56, S. 64 ist die für den Kraftfluß bei Belastung maßgebende EMK

$$E_D = \overline{OD} = P \cos \Theta \pm Jr_a \cos \psi \pm Jx_{s1} \sin \psi.$$

Es wird somit der Hauptkraftfluß pro Pol

$$\Phi = \frac{E_D 10^8}{4kcw}.$$

Für den Winkel  $\psi$  folgt nach Gl. 37, S. 63

$$\operatorname{tg} \psi = \frac{P \sin \varphi \pm \left( Jx_{s1} + \frac{E_{s3}}{\cos \psi} \right)}{P \cos \varphi \pm Jr_a}$$

In den Gleichungen für  $E_D$  und  $\operatorname{tg} \psi$  bezieht sich das obere Vorzeichen auf Generatoren und das untere auf Motoren. Bei Phasenvoreilung des Stromes ist  $\psi$  bzw.  $\varphi$  negativ einzuführen.

Es ist weiter nach Gl. 28

$$\frac{E_{s3}}{\cos \psi} = 1,77 k'_q c(f_{w1} w)^2 m J \frac{\tau l_2}{\delta k_1 p} 10^{-8} \text{ Volt}$$

und

$$\Theta = \varphi - \psi.$$

Die Werte von  $k'_q$  sind in der Tabelle auf S. 34 angegeben. Ist die Leerlaufcharakteristik bekannt, so kann man  $E_{s3}$  aus dieser bestimmen, indem man von dem Koordinatenanfangspunkt  $AW_q = k_q m J w f_{w1} \cos \psi$  aufträgt. Der EMK-Faktor  $k = f_B f_w$  ist

$k = 1,11 f_{w1}$  bei sinusförmiger Feldkurve und

$k = 1,11 f_{w1} \frac{0,81 \sin \frac{\pi \alpha_2}{2}}{\alpha_2}$  bei einer sich der Rechteckform nähernden Feldkurve<sup>1)</sup>.

Die Werte des Wicklungsfaktors der Grundharmonischen  $f_{w1}$  sind in der Einleitung angegeben.

## 142. Entwurf des Magnetsystems einer Maschine mit ausgeprägten Polen.

Der Kraftfluß eines Magnetkernes ist

$$\Phi_m = \sigma \Phi.$$

Den Streuungskoeffizienten müssen wir zunächst schätzen. Erst wenn die Abmessungen des Feldsystems festgelegt sind, können wir ihn durch Rechnung nachprüfen.

Der Streuungskoeffizient ist abhängig von der Polform; runde Polkerne geben eine kleinere Streuung als rechteckige von großer axialer Länge. Die Streuung ist aber auch abhängig von der Größe des Luftspaltes, der Sättigung der Magnetkerne, der Ankerzähne (siehe Gl. 62, S. 90) und der Höhe des Polschuhes.

Für normale, gut gesättigte Maschinen (Radialpoltype) kann  $\sigma$  wie folgt geschätzt werden:

<sup>1)</sup> s. WT III S. 211.

a) bei Maschinen mit rundem oder nahezu quadratischem Querschnitt der Polkerne

$$\sigma = 1,15 \text{ bis } 1,25.$$

b) Bei Maschinen, deren Polquerschnitt in axialer Richtung erheblich länger ist als in tangentialer Richtung

$$\sigma = 1,2 \text{ bis } 1,35.$$

$\sigma$  ist um so größer zu wählen je größer  $\delta B_l$  ist.

Um aus dem Werte  $\Phi_m$  die Querschnitte des Magnetgestelles berechnen zu können, ist zu entscheiden, aus welchem Material es hergestellt und welche Induktion zugelassen werden soll. Oft werden mehrere Materialien verwendet, z. B. für die Polschuhe Eisenblech, die Magnetkerne Stahlguß und das Joch Gußeisen. Die Induktion hat sich nach dem Material, der Bauart und dem Verwendungszwecke der Maschine zu richten.

Soll die Maschine nach der inherenten Methode reguliert werden, so ist es das Zweckmäßigste die Magnetkerne stark zu sättigen, weil die äußere Charakteristik von wenig gesättigten Maschinen schnell abfällt. Die normale Erregung soll hinter dem Knie der Magnetisierungskurve liegen. Passende Werte für die Induktionen sind:

für Schmiedeisen:

$$B_m = 15\,500 \text{ bis } 18\,000 \quad B_j = 12\,000 \text{ bis } 15\,000$$

für Stahlguß oder Flußeisen:

$$B_m = 15\,000 \text{ bis } 17\,500 \quad B_j = 11\,000 \text{ bis } 14\,000$$

für Gußeisen:

$$B_m = 6\,000 \text{ bis } 8\,600 \quad B_j = 5\,000 \text{ bis } 8\,000.$$

Bei kleineren Maschinen nähert man sich möglichst der untern Grenze, damit die prozentuale Erregerarbeit nicht zu groß wird.

Für die Bemessung des Joches großer Maschinen kommen meistens mechanische Gründe in Betracht, so daß die Jochinduktion in diesen Fällen klein wird.

Soll die Klemmenspannung variiert werden, so geht man beim Entwurf des Magnetsystems am besten von den maximalen zulässigen Werten der Induktionen und dem maximalen erforderlichen Kraftflusse aus.

Bei Motoren ist eine kleine Sättigung des Eisens günstig, weil dann eine Änderung der Klemmenspannung nur eine kleine Änderung des wattlosen Stromes zur Folge hat, und weil es möglich ist, durch Änderung der Erregung einen größeren phasenverfrühten Strom zu erzeugen.

Bei dem Entwurf des Magnetsystemes muß darauf geachtet werden, daß genügend Raum für die Erregerwicklung bleibt und die Magnetspulen eine ausreichende Abkühlungsfläche erhalten. Wird der Raum zu groß oder zu klein gewählt, so kann später, nachdem die Erregerwicklung berechnet ist, das Magnetsystem entsprechend geändert werden. Um keinen großen Fehler zu begehen, kann jedoch die Größe des Wicklungsraumes vorläufig annähernd wie folgt gefunden werden.

### 143. Vorläufige Berechnung des Wicklungsraumes der Erregerwicklung einer Maschine mit ausgeprägten Polen.

Sind die Amperewindungen für den Luftspalt, die Zähne und das Ankereisen bekannt, so können die Feldamperewindungen bei einiger Erfahrung mit ziemlicher Sicherheit geschätzt werden. Wir wollen sicherheitshalber (wegen Gußfehler usw.) die Amperewindungszahl der Erregerwicklung so wählen, daß man eine um 5 bis 10% höhere Spannung als die normale erhalten kann. Diese Ampere-windungszahl pro Kreis bezeichnen wir mit  $AW_{kmax}$ . Bei wenig gesättigten Maschinen kann man setzen

$$AW_{kmax} = (1,8 \text{ bis } 2,0) AW_l$$

und bei stark gesättigten Maschinen

$$AW_{kmax} = (2 \text{ bis } 3) AW_l.$$

Denken wir uns nun, die Feldwicklung bestehe aus einer einzelnen Windung und  $s_e$  sei die Stromdichte, so wird der erforderliche Gesamtkupferquerschnitt der Erregung pro Pol

$$Q_{ke} = \frac{AW_{kmax}}{2s_e}.$$

Zerlegen wir jetzt diesen Querschnitt in mehrere Windungen, so geht ein Teil des Wicklungsraumes für die Isolation der Drähte verloren, und es wird der erforderliche Wicklungsraum pro Pol

$$\frac{AW_{kmax}}{200s_e f_e} \text{ qcm} \dots \dots \dots (422)$$

Gebräuchliche Werte der Stromdichte sind in der Tabelle S. 599 angegeben. Es bewegt sich  $s_e$  etwa zwischen den Grenzen 2 bis 3,5 Amp./qmm.

Der Füllfaktor  $f_e$  der Erregerspulen hängt hauptsächlich von der Form des verwendeten Drahtes und von der Isolation ab. Für kleine Querschnitte  $q_e$  benutzt man runde zweimal besponnene Drähte, für mittlere Querschnitte rechteckige Drähte und für große



Querschnitte Kupferbänder, die gewöhnlich hochkant gewickelt werden. Der Fullfaktor nimmt dementsprechend folgende Werte an:

Runde Drähte

Durchmesser nackt	$d = 0,5$	1,0	2,0	3,0	4,0	5,0	mm
„ isoliert	$d_1 = 0,9$	1,5	2,5	3,6	4,6	5,6	mm
Fullfaktor $f_e = 0,785$	$\frac{d^2}{d_1^2} = 0,24$	0,35	0,5	0,55	0,6	0,63	

Rechteckige Drähte

$q_e = 20$	25	30	35	40	45	50	qmm
$f_e = 0,66$	0,69	0,71	0,73	0,74	0,75	0,76	

und für hochkantgewickelte Kupferbänder

$$q_e = 40 \quad \text{bis} \quad 100 \quad \text{qmm}$$

$$f_e = 0,80 \quad \text{„} \quad 0,93.$$

Die Dicke der Erregerspule soll, wenn man hierüber frei verfügen kann,

$$d_w = 4 \quad \text{bis} \quad 5 \quad \text{cm}$$

nicht überschreiten, weil sonst die Abkühlung der Spulen zu sehr erschwert wird. Ist  $d_w$  bekannt, so wird die Höhe des Wicklungsraumes

$$h_w \geq \frac{A W_{k_{max}}}{200 d_w s_e f_e} \text{ cm} \quad . \quad . \quad . \quad . \quad . \quad (423)$$

Um die Länge  $\frac{1}{2} L_m$  der Magnetkerne zu finden, ist noch die doppelte Dicke der Spulenkasten zu  $h_w$  zu addieren. Wir können nun die Skizze der magnetischen Anordnung der Maschine entwerfen (siehe Fig. 375 u. 376), den mittleren Kraftlinienweg einzeichnen und den Streukoeffizienten  $\sigma$  bei Leerlauf berechnen.

## 144. Berechnung der Erregung.

Zu einer vollständigen Berechnung der Maschine gehört die Berechnung der Leerlaufcharakteristik und der äußeren Charakteristik, besonders wenn über die Größe der Spannungsabfälle oder die Grenzen der Regulierfähigkeit der Maschine bestimmte Garantien zu geben sind. In den meisten Fällen beschränkt man jedoch die Rechnung auf die Ermittlung der Feldamperewindungen, die erforderlich sind:

1. Bei Leerlauf, normaler Klemmenspannung  $P$  und Umdrehungszahl  $n$ . Wir haben diese Amperewindungszahl mit  $A W_{k_0}$  bezeichnet.

2. Bei normaler induktionsfreier Belastung, normaler Spannung und Umdrehungszahl.

3. Bei induktiver Belastung ( $\cos \varphi \cong 0,8$ ), 5 bis 10% höherer Spannung als die normale und normaler Drehzahl. Diese haben wir mit  $AW_{h,max}$  bezeichnet.

Die Berechnung der Feldamperewindungen bei Leerlauf und Belastung ist im Kap. III ausführlich erläutert.

## 145. Berechnung der Erregerwicklung einer Maschine mit ausgeprägten Polen.

Nachdem die Feldamperewindungen  $AW_{t,max}$ , und zwar diejenigen bei induktiver Belastung ( $\cos \varphi \cong 0,8$ ) und 5 bis 10% höherer Klemmenspannung als die normale berechnet worden sind, kann auch die Erregerwicklung berechnet werden.

Bezeichnet  $i_e$  die Erregerstromstärke,  $q_e$  den Querschnitt in qmm,  $l_e$  die mittlere Länge einer Erregerwindung in cm, ferner  $w_e$  die Anzahl aller Windungen und  $r_e$  deren Widerstand, so ist

$$r_e = \frac{w_e l_e (1 + 0,004 T_m)}{5700 q_e} \text{ Ohm} \quad . . . . (424)$$

wenn  $T_m$  die mittlere Temperaturerhöhung des Magnetkupfers über ca. 15° C bedeutet und  $l_e$  zunächst aus der entworfenen Skizze des Magnetgestelles ermittelt wird.

Der maximale Erregerstrom bei der Klemmenspannung  $e$  wird

$$i_{e,max} = \frac{e}{r_e} \quad . . . . . (425)$$

Aus den Gleichungen 424 und 425 folgt

$$i_{e,max} w_e = \frac{5700 e q_e}{(1 + 0,004 T_m) l_e} = AW_{t,max}.$$

Die maximale Amperewindungszahl der Erregerwicklung ist somit unabhängig von der Windungszahl, wenn die Klemmenspannung  $e$  und die mittlere Windungslänge  $l_e$  gegeben sind, und nur abhängig vom Querschnitt  $q_e$ .

Wenn daher die Erregung z. B. wegen magnetisch schlechten Materials zu klein ausgefallen ist, so hat es keinen Zweck, die Windungszahl zu erhöhen.  $AW_{t,max}$  kann, wenn  $e$  gegeben ist, nur durch Vergrößerung des Querschnittes  $q_e$  oder allenfalls durch Parallelschaltung der Feldspulen vergrößert werden.

Für die berechneten  $AW_{tmax}$  ergibt sich somit der Querschnitt der Erregerwicklung in qmm

$$q_e = \frac{AW_{tmax} l_e (1 + 0,004 T_m)}{5700 e} \quad . \quad . \quad . \quad (426)$$

Das Kupfergewicht der Erregerwicklung in kg ist, wenn das spezifische Gewicht des Kupfers gleich 8,9 gesetzt wird,

$$G_{ke} = 8,9 \cdot 10^{-5} w_e l_e q_e \text{ kg}$$

und da

$$q_e = \frac{i_e}{s_e}$$

$$G_{ke} = \frac{8,9 w_e l_e}{10^5 s_e} \simeq \frac{\text{Konstante}}{s_e} \quad . \quad . \quad . \quad (427)$$

Der Wattverlust  $W_e$  in der Erregerwicklung ist

$$W_e = i_e^2 \frac{(1 + 0,004 T_m) w_e l_e}{5700 q_e} = \frac{(1 + 0,004 T_m) i_e w_e l_e}{5700} s_e \quad (428)$$

Aus diesen Gleichungen ist ersichtlich, daß für eine gegebene Amperewindungszahl und mittlere Windungslänge  $l_e$  das Kupfergewicht und der Wattverlust nur von der Stromdichte abhängig sind; das Gewicht ist umgekehrt und der Wattverlust direkt proportional derselben.

Bei der Berechnung verfährt man nun am besten wie folgt:

Man berechnet aus Formel 426  $q_e$  wählt  $s_{emax}$  und findet den maximalen Erregerstrom

$$i_{emax} = q_e s_{emax}$$

und die Windungszahl der Erregerwicklung

$$w_e = \frac{AW_{tmax}}{i_{emax}}$$

Für normale Belastung wird dann der Erregerstrom

$$i_e = \frac{AW_t}{w_e}$$

und für Leerlauf

$$i_{e0} = \frac{AW_{t0}}{w_e}$$

Übliche Werte der Stromdichte für die maximale Erregung sind

$$s_{emax} = 2,0 \text{ bis } 3,5 \text{ Amp./qmm.}$$

Da bei Maschinen mit großer Polzahl der Wattverlust in der Erregerwicklung sehr bedeutend werden kann, geht man oft von dem zulässigen Erregerverlust  $W_e$  aus und berechnet für diesen und die erforderliche Amperewindungszahl  $AW_{tmax}$  die Stromdichte nach Gl. 428 zu

$$s_{e max} = \frac{5700 W_e}{AW_{tmax} (1 + 0,004 T_m) l_e} \quad \cdot \quad \cdot \quad \cdot \quad (429)$$

Wir können nun den Wicklungsraum nach Größe und Gestalt bestimmen und die mittlere Windungslänge  $l_e$ , sowie den Widerstand  $r_e$  genauer berechnen.

#### 146. Vorläufige Berechnung der Erregerwicklung und der Rotornuten einer Maschine mit Vollpolen.

Um die Erregung einer Maschine mit Vollpolen berechnen zu können, müssen zunächst die Abmessungen der Rotorzähne bekannt sein. Diese können aber erst dann festgelegt werden, wenn die Erregerwicklung bekannt ist. Man geht daher wie folgt vor.

In derselben Weise wie bei der Berechnung des Wicklungsraumes einer Maschine mit ausgeprägten Polen schätzt man

$$AW_{kmax} = (1,5 \text{ bis } 2,0) AW_t$$

bei wenig gesättigten Maschinen und

$$AW_{kmax} = (2 \text{ bis } 3) AW_t$$

bei stark gesättigten Maschinen und somit

$$AW_{tmax} = p AW_{kmax}.$$

Die mittlere Länge einer Erregerwindung kann angenähert gesetzt werden

$$l_e = 2 [l_1 + (0,5 \text{ bis } 0,6) \tau + 2 (10 \text{ bis } 15)],$$

wobei  $l_1$  die totale Eisenlänge des Stators mit Luftschlitzen bedeutet

Wählt man eine bestimmte Erregerspannung, so läßt sich nach Gl. 426 der Querschnitt der Erregerwicklung

$$q_e = \frac{AW_{tmax} l_e (1 + 0,004 T_m)}{5700 e}$$

bestimmen und daraus

$$i_{e max} = q_e s_{e max},$$

wobei

$$s_{e max} = 2,0 \text{ bis } 3,5 \text{ Amp./qmm ist.}$$

Die totale Erregerwindungszahl ist somit

$$w_e = \frac{A W_{t \max}}{l_{e \max}}.$$

Entsprechend dieser Erregerwindungszahl  $w_e$  müssen jetzt eine bestimmte Rotornutenzahl und bestimmte Abmessungen der Nuten gewählt werden. Meistens wird die Erregerwicklung so verteilt, daß über der Polmitte keine Stäbe angeordnet werden; dieser Teil kann daher auch unverzählt bleiben. Die MMK-Kurve hat bei dieser Anordnung eine trapezformige Gestalt und ist in dem Teile über der Polmitte von konstanter Größe. Nach einer anderen Anordnung werden die Erregerwindungen über den ganzen Pol verteilt, aber derart, daß die Stabzahl der Nuten, die sich in der Nähe der Polmitte befinden, kleiner ist, als die Stabzahl der von der Polmitte weiter liegenden Nuten. In diesem Falle nähert sich die Feldkurve mehr der Sinusform.

Bei der Wahl der Nutenzahl und Zahndimensionen ist zu berücksichtigen, daß bei Maschinen mit größerem Verhältnis  $\frac{l_z}{b_z}$ , wie bei Turbogeneratoren, die Rotorzähne den Teil des magnetischen Kreises bilden, durch den der magnetische Widerstand des ganzen Kreises bestimmt werden kann, denn, wie früher erläutert, darf bei derartigen Maschinen die Induktion im Anker nicht hoch gewählt werden. Soll daher eine solche Maschine nach der inherenten Methode reguliert werden, so ist die Sättigung der Rotorzähne hoch zu wählen. Man geht mit der wirklichen maximalen Zahninduktion im Rotor ( $B_{zrw}$ ) bis zu 25 000 (Stahlplatten).

Sind auf diese Weise Nutenzahl und Zahndimensionen des Rotors gewählt, so kann man, da jetzt die Abmessungen aller Teile des magnetischen Kreises der Maschine bekannt sind, die Amperewindungszahl bei Leerlauf und Belastung nachrechnen, wie im Kap. IV gezeigt ist.

Ergibt die Nachrechnung, daß die gewählte Amperewindungszahl der Erregerwicklung zu klein oder zu groß ist, so sind Nutenzahl oder Zahndimensionen im Rotor anders zu wählen und ist die Rechnung nochmals durchzuführen.

### 147. Schlußbemerkung.

Nachdem alle Dimensionen der Maschine bekannt sind, werden nun der Reihe nach Spannungsänderung, Wirkungsgrad, Verluste und Erwärmung bei induktionsfreier und induktiver Belastung berechnet. Überschreiten einzelne dieser Größen die üblichen oder garantierten Werte, so ist die Maschine entsprechend abzuändern.

Für die Spannungserhöhung  $\varepsilon^0/\%$  können bei der inherenten Regulierung die folgenden Werte als normal betrachtet werden:

$\varepsilon^0/\%$ $\cong$ 4 bis 8	bei $\cos \varphi = 1$	} Große Maschinen
und $\varepsilon^0/\%$ $\cong$ 12 bis 18	bei $\cos \varphi = 0,8$	

$\varepsilon^0/\%$ $\cong$ 5 bis 8	bei $\cos \varphi = 1$	} Kleine Maschinen.
und $\varepsilon^0/\%$ $\cong$ 14 bis 30	bei $\cos \varphi = 0,8$	

Soll die Maschine mit einem elektromechanischen Regulator oder einer Kompoundierung versehen werden, so sind höhere Werte für  $\varepsilon$  zulässig.

---

## Zweiundzwanzigstes Kapitel.

### Beispiele für die Vorausberechnung.

148. Berechnung eines 1000 KVA-Dreiphasengenerators für eine Wasserturbine —  
149. Berechnung eines 100 PS-Einphasenmotors — 150. Nachrechnung eines  
Dreiphasen-Turbogenerators. — 151. Zusammenstellung der Berechnung einer  
Synchronmaschine — 152. Tabelle über Hauptabmessungen und berechnete  
Größen ausgeführter Synchronmaschinen.

#### 148. Berechnung eines 1000 KVA-Dreiphasengenerators für eine Wasserturbine.

Es sei ein Dreiphasengenerator von 1000 KVA zu berechnen, der von einer Wasserturbine angetrieben werden soll. Die günstigste Tourenzahl der Turbine beträgt bei dem vorhandenen Gefälle ca. 190 pro Minute. Die Spannung ist auf 6000 Volt, die Periodenzahl auf 50 festgesetzt, und es soll der Berechnung ein  $\cos \varphi = 0.8$  zugrunde gelegt werden. Die Spannungsänderung soll bei Übergang von voller induktionsfreier Belastung (1000 KW) zu Leerlauf 8% und beim Übergang von 1000 KVA induktiver Belastung mit  $\cos \varphi = 0.8$  zu Leerlauf 15% nicht überschreiten. Der Wirkungsgrad muß bei induktionsfreier Vollbelastung mindestens 94% betragen. Die Temperaturerhöhung nach 10stündiger Vollbelastung und  $\cos \varphi = 0.8$  darf für keinen Teil der Maschine die vom Verbands Deutscher Elektrotechniker vorgeschriebenen Grenzen überschreiten.

Die Maschine muß

$$p = \frac{60 c}{n} = \frac{60 \cdot 50}{190} \approx 16 \text{ Polpaare}$$

erhalten. Bei  $p = 16$  wird die Drehzahl der Antriebsmaschine  $n = 187$

Die Ankerwicklung wird als Spulenwicklung mit Sternschaltung ausgeführt. Die Phasenspannung wird somit  $E = 3460$  Volt.

Der Phasenstrom bei Vollbelastung wird nach S. 536

$$J = \frac{1000 \cdot 1000}{3 \cdot 3460} = 96,5 \text{ Amp.}$$

Bestimmung der Hauptdimensionen. Die Polschuhform wird so gewählt, daß die Feldkurve annähernd sinusförmig wird; somit  $\alpha_i = 0,637$ .

Nach S. 532 u. 533 wird gewählt

$$\begin{aligned} B_i &= 8100 \\ AS &= 200. \end{aligned}$$

Für den EMK-Faktor setzen wir zunächst  $k = f_B f_{w1} = 1,11 f_{w1} = 1,05$  und erhalten nach Gl 410

$$D^2 l_i \cong \frac{6 \cdot 10^{11} \cdot 1000}{1,05 \cdot 0,637 \cdot 8100 \cdot 200 \cdot 187} = 29,6 \cdot 10^4$$

Zur Zerlegung dieses Produktes gehen wir von dem ideellen Polbogen aus (s. S. 534).

$b_i$	$D = \frac{2p b_i}{\alpha_i \pi}$	$l_i$	$l_i/b_i$	$\tau$	$v$
20	320	29,0	1,45	31,4	31,4
19	304	32,0	1,68	29,8	29,8
18	288	35,7	1,98	28,3	28,3

Es wird gewählt

$$D = 290 \text{ cm}, \quad l_i = 34,0 \text{ cm};$$

dabei wird  $\tau = 28,5$ ,  $b_i = 18,2$ ,  $l_i/b_i = 1,87$  und  $v = 28,5$ .

Die Maschinenkonstante ist

$$\frac{D^2 l_i n}{KVA} = \frac{290^2 \cdot 34,0 \cdot 187}{1000} = 53,5 \cdot 10^4.$$

Dieser Wert stimmt mit den Angaben in Fig. 369 überein.

Wir ordnen vier Luftschlitze von je 1 cm an und setzen die Eisenlänge

$$\begin{aligned} l &\cong l_i - \frac{2}{3} n_s b_s = 34,0 - \frac{2}{3} \cdot 4 = 31 \text{ cm} \\ l_1 &= l + n_s b_s = 31 + 4 = 35 \text{ cm.} \end{aligned}$$

Anordnung und Berechnung der Ankerwicklung. Die Windungszahl pro Phase finden wir nach Gl. 412

$$w \cong \frac{\pi \cdot 290 \cdot 200}{2 \cdot 3 \cdot 96,5} = 315.$$



Die Anzahl der Locher pro Pol und Phase wird

$$q = 2$$

gewählt. Die gesamte Lochzahl pro Phase wird

$$2pq = 2 \cdot 16 \cdot 2 = 64$$

und die Leiterzahl pro Loch nach Gl. 413

$$s_n = \frac{315}{16 \cdot 2} = 9,9.$$

Wir wählen

$$s_n = 10$$

Somit wird

$$w = 10 \cdot 16 \cdot 2 = 320$$

und nach Gl. 412

$$AS = \frac{2 \cdot 320 \cdot 3 \cdot 96,5}{\pi \cdot 290} = 203.$$

Die Ankerwicklung soll als Stabwicklung ausgeführt werden. Nach der Tabelle S. 538 gehört zu  $J_a = 96,5$  eine Stromdichte

$$s_a \cong 2,8 \text{ Amp / qmm}$$

und somit ein Leiterquerschnitt

$$q_a \cong 35 \text{ qmm.}$$

Berechnung der Ankernuten. Die Nutenzahl ist gleich

$$Z = 2mpq = 2 \cdot 3 \cdot 16 \cdot 2 = 192,$$

die Nutenteilung nach S. 540

$$t_1 = \frac{\pi \cdot 290}{192} = 4,75 \text{ cm.}$$

Für die Berechnung der Nutenweite gehen wir mit Rücksicht auf die Periodenzahl  $c = 50$  von einer maximalen Zahninduktion (S. 541)

$$B_{zmax} = 18000$$

aus.

Für eine Dreiphasen-Zweilochwicklung wird nach der Tabelle S. 3

$$f_{w1} = 0,966$$

und daher

$$k = 1,11 \cdot 0,966 = 1,07$$

und nach Gl. 45, S. 72

$$\Phi = \frac{3460 \cdot 10^8}{4 \cdot 1,07 \cdot 50 \cdot 320} = 5,05 \cdot 10^6,$$

wobei für die induzierte EMK die Phasenspannung eingesetzt ist. Es ist aber zu beachten, daß bei einem Generator die vom Magnetfelde induzierte EMK mit der Belastung zunehmen muß, falls die Klemmenspannung konstant bleiben soll (induktive oder induktionsfreie Belastung vorausgesetzt).

Bei 10% Isolation zwischen den Blechen ( $k_2 = 0,9$ ) wird die kleinste Zahnstärke nach Gl. 420

$$z_2 = \frac{4,75 \cdot 5,05 \cdot 10^6}{18,2 \cdot 31 \cdot 0,9 \cdot 18\,000} = 2,6 \text{ cm},$$

so daß eine Nutenweite von

$$t_1 - z_2 = 4,75 - 2,6 = 2,15 \text{ cm}$$

übrigbleibt.

Wir wählen die Stabdimensionen zu

$$11 \times 3 \text{ mm nackt}$$

und

$$11,8 \times 3,8 \text{ mm isoliert.}$$

Somit

$$q_a = 33 \text{ qmm}$$

und

$$s_a = \frac{96,5}{33} = 2,92 \text{ Amp./qmm.}$$

Die  $s_n = 10$  Stäbe werden übereinander angeordnet. Als Nutenisolation wird ein Mikanitrohr von 3,0 mm Dicke genommen.

Nutenweite:

Mikanitrohr . . . . .	6,0 mm
Stabbreite + Spielraum . .	12,0 „
	18,0 mm

Nutenhöhe:

Mikanitrohr . . . . .	6,0 mm
Höhe der Stäbe . .	38,0 „
Keil, Steg, Spielraum	8,0 „
	52,0 mm

Die Nutenteilung am Zahnfuße wird

$$t_2 = \frac{\pi(290 + 2 \cdot 5,2)}{192} = 4,92 \text{ cm}$$

und die Zahndicke am Zahnfuße

$$z_3 = 4,92 - 1,8 = 3,12 \text{ cm}$$

und am Zahnkopfe (vgl. Fig. 371)

$$z_2 = z_1 = 4,75 - 1,8 = 2,95 \text{ cm.}$$

Bei diesen Nutendimensionen wird die maximale Zahninduktion nach S. 81

$$B_{zmax} = \frac{4,75 \cdot 5,05 \cdot 10^6}{18,2 \cdot 31 \cdot 0,9 \cdot 2,95} = 16\,000.$$

Bei Annahme einer Ankerinduktion  $B_a$  von 9000 finden wir die Eisenhöhe des Ankers nach Gl. 421

$$h = \frac{5,05 \cdot 10^6}{2 \cdot 0,9 \cdot 31 \cdot 9000} \cong 10 \text{ cm.}$$

Hierzu kommt noch die Zahnhöhe von 5,2 cm, so daß sich eine gesamte Blechhöhe von 15,2 cm und ein äußerer Eisendurchmesser

$$D_1 = 290 + 2 \cdot 5,2 + 2 \cdot 10 = 320,4 \text{ cm ergibt}$$

Wir wählen

$$D_1 = 320 \text{ cm,}$$

dann wird

$$h = 9,8 \text{ cm} \quad \text{und} \quad B_a = 9200.$$

Luftzwischenraum  $\delta$  und Polschuhe. Für die Wahl des Luftspaltes  $\delta$  sind die auf S. 542 angegebenen Gesichtspunkte maßgebend. Es ergab sich  $AS = 203$  und es ist

$$B_i = \frac{\Phi}{b_i l_i} = \frac{5,05 \cdot 10^6}{18,2 \cdot 34} = 8150.$$

Somit nach S. 543

$$\delta = 1,1 \cdot \frac{28,5 \cdot 203}{8150} = 0,75 \text{ cm.}$$

Für die Polschuhe nehmen wir die in WT III, Fig. 240 dargestellte Form. Hierdurch erreichen wir, wie dort erläutert ist, eine fast sinusförmige Feldkurve, deren Füllfaktor gleich  $\frac{2}{\pi} = 0,637$  gesetzt werden kann. Es sind dabei folgende Maße einzuhalten:

$$\begin{aligned} b_a &= \frac{2}{3} \tau = 0,667 \cdot 28,5 = 19,0 \text{ cm,} \\ b_{in} &= 0,31 \tau = 0,31 \cdot 28,5 = 8,8 \text{ cm,} \\ \delta_a &= 1,5 k_1 k_z \delta. \end{aligned}$$

Zur Bestimmung von  $k_1$  ist die Kenntnis der Eisenstärke zwischen zwei Nutenschlitzen  $z_1$  erforderlich; da offene Nuten gewählt worden sind, ist die Schlitzbreite  $r_1$  gleich der Nutenweite, folglich

$$z_1 = t_1 - r_1 = 4,75 - 1,8 = 2,95 \text{ cm.}$$

Für

$$\nu = \frac{t_1 - z_1}{\delta} = \frac{1,80}{0,75} = 2,40$$

finden wir in Fig. 67, S. 78

$$X = 1,56.$$

Dann wird nach Gl. 51

$$k_1 = \frac{4,75}{2,95 + 1,56 \cdot 0,75} = 1,15.$$

Um

$$k_z = 1 + \frac{AW_z}{AW_i}$$

zu finden, müssen wir die Luft- und Zahnamperewindungen bei Leerlauf annähernd berechnen (siehe S. 77 und 81)

$$AW_i = 1,6 k_1 B_i \delta = 1,6 \cdot 1,15 \cdot 8150 \cdot 0,75 = 11200,$$

$$B_{zmax} = 16000 \quad aw_z = 43,$$

$$AW_z = aw_z L_z = 43 \cdot 25,2 = 450, \quad .$$

$$k_z = 1 + \frac{450}{11200} = 1,04.$$

Hiermit ergibt sich

$$\delta_a = 1,5 \cdot 1,15 \cdot 1,04 \cdot 0,75 = \mathbf{1,35 \text{ cm.}}$$

Die Länge  $l_p$  des Polschuhes machen wir gleich  $l_1$ , also

$$l_p = \mathbf{35 \text{ cm.}}$$

Wir können nun die Länge  $l_1$  nachrechnen, da  $\delta$  festgelegt ist.  
Für

$$\nu' = \frac{b_s}{\delta} = \frac{1}{0,75} = 1,33$$

finden wir in Fig. 67, S. 78

$$X' = 1,05.$$

Die Paketdicke ist

$$z = \frac{l}{n_s + 1} = \frac{31}{5} = 6,2 \text{ cm.}$$

Somit wird

$$k_1' = \frac{t}{z + X' \delta} = \frac{z + b_s}{z + X' \delta} = \frac{7,2}{6,2 + 1,05 \cdot 0,75} = 1,03.$$

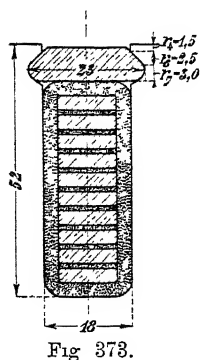
Nach Gl. 53 folgt

$$l_1 = \frac{35 + 6,2(1,03 - 1)}{1,03} + \frac{4,6}{\pi} 0,75 \log \left( \frac{\pi \cdot 2,0 + 0,75}{0,75} \right) = 35,1.$$

Um die dämpfende Wirkung der Wirbelströme in den äußersten Blechen zu berücksichtigen, nehmen wir

$$l_i = 34,5 \text{ cm}$$

an und behalten alle Dimensionen bei.



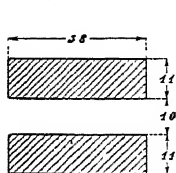
Berechnung der Streureaktanz und des effektiven Widerstandes der Ankerwicklung. Um die Leitfähigkeit der Nut  $\lambda_n$  zu berechnen, ersetzen wir die Nut durch eine der Fig. 7b möglichst ähnliche, wie dies in Fig. 373 durch die gestrichelten Linien angedeutet ist. Es ergeben sich dann folgende Abmessungen:

$$\begin{array}{lll} r_1 = 1,8 \text{ cm} & r_4 = 0,15 \text{ cm} & r_5 = 0,35 \text{ cm} \\ r_2 = 2,3 \text{ „} & r_6 = 0,25 \text{ „} & r = 3,8 \text{ „} \\ r_3 = 1,8 \text{ „} & r_7 = 0,30 \text{ „} & \end{array}$$

Hieraus folgt nach Gl. 7a

$$\lambda_n = 1,25 \left( \frac{3,8}{5,4} + \frac{0,35}{1,8} + \frac{0,30}{2,3} + \frac{2 \cdot 0,25}{1,8 + 2,3} + \frac{0,15}{1,8} \right) = 1,55.$$

Für die Leitfähigkeit der Zahnköpfe ergibt sich nach Gl. 11 für  $q = 2$



$$\lambda_k = 0,92 \log \frac{\pi \cdot 4,75}{2 \cdot 1,8} = 0,57.$$

Um die Leitfähigkeit  $\lambda_s$  um die Spulenköpfe zu berechnen, ist zunächst der Umfang der zu einem Spulenkopf zusammengefaßten Leiter derselben Phase zu bestimmen. Es folgt aus Fig. 374

$$U_s = 2(1,1 + 1,0 + 1,1) + 2 \cdot 3,8 = 13,8 \text{ cm}.$$

Die Spulenköpfe sollen einen mittleren Abstand von 16 cm vom Armatureisen haben; ihre mittlere Länge wird daher

$$l_s \cong \tau + 2 \cdot 16 = 28,5 + 32 \cong 60 \text{ cm}.$$

Hieraus ergibt sich nach Gl. 12

$$\lambda_s = 0,46 \cdot 2 \log \frac{2 \cdot 60}{13,8} = 0,87.$$

Nach Gl. 6a, S. 18 folgt somit

$$x_{s1} = \frac{12,5 \cdot 50 \cdot 320^2}{16 \cdot 2 \cdot 10^8} \cdot 34,5 \left( 1,55 + 0,57 + 0,87 \frac{60}{34,5} \right) = 2,50 \Omega.$$

Die halbe Länge einer Windung ist

$$l_a = l_1 + l_s = 35 + 60 = 95 \text{ cm.}$$

Bei 40° C Übertemperatur wird der Ohmsche Widerstand nach S. 539

$$r_g = \frac{2 \cdot 320}{1} \cdot \frac{95 (1 + 0,004 \cdot 40)}{5700 \cdot 33} = 0,375 \Omega.$$

Der effektive Widerstand pro Phase ist dann ca.

$$r_a = k_r r_g = 1,5 \cdot 0,375 = 0,56 \Omega.$$

Magnetsystem. Um den Querschnitt der Pole und des Joches zu bestimmen, müssen wir den Kraftfluß bei Vollast und  $\cos \varphi = 0,8$  berechnen (siehe S. 544). Wir ermitteln zunächst den Winkel  $\psi$ . Nach Gl. 28, S. 33 wird

$$\frac{E_{s2}}{\cos \psi} = 1,77 \cdot 0,482 \cdot 50 (0,966 \cdot 320)^2 \cdot 3 \cdot 96,5 \cdot \frac{28,5 \cdot 34,5}{0,75 \cdot 1,15 \cdot 16} \cdot 10^{-8} \\ = 840 \text{ Volt,}$$

wobei  $k'_a$  der Fig. 25 für  $\alpha = 0,667$  entnommen ist. Somit wird nach Gl. 37, S. 63

$$\operatorname{tg} \psi = \frac{3460 \cdot 0,6 + 96,5 \cdot 2,50 + 840}{3460 \cdot 0,8 + 96,5 \cdot 0,56} = 1,12,$$

$$\psi = 48^\circ 15',$$

$$\Theta = \psi - \varphi = 48^\circ 15' - 36^\circ 55' = 11^\circ 20'.$$

Die bei Vollast und  $\cos \varphi = 0,8$  zu induzierende EMK wird nach S. 544

$$E_D = 3460 \cdot 0,98 + 96,5 \cdot 0,56 \cdot 0,665 + 96,5 \cdot 2,5 \cdot 0,746 \cong 3610 \text{ Volt.}$$

Der dieser EMK entsprechende Kraftfluß

$$\Phi = 5,05 \cdot 10^6 \cdot \frac{3610}{3460} = 5,26 \cdot 10^6.$$

Die Polkerne und Polschuhe sollen aus Blech hergestellt werden; das Joch aus Gußeisen. Den Streuungskoeffizienten nehmen wir zunächst an

$$\sigma = 1,20.$$

Somit wird

$$\Phi_m = \sigma \Phi = 1,20 \cdot 5,26 \cdot 10^6 = 6,3 \cdot 10^6$$

und für  $B_m = 16000$

$$Q_m = \frac{6,3 \cdot 10^6}{16000} = 395 \text{ qcm.}$$

Die Länge der Polkerne in der Achsenrichtung wird bei Blechpolen gleich der Länge der Polschuhe  $l_p = 35 \text{ cm.}$

Die Bleche werden ohne Zwischenlage aufeinander gelegt. Rechnet man für Zwischenräume zwischen den Blechen und Oxydschichten 5% ab, so ist eine Schenkelbreite von ca.

$$\frac{Q_m}{0,95 l_p} = \frac{395}{0,95 \cdot 35} = 11,8 \text{ cm}$$

notwendig. Wir nehmen die Schenkelbreite zu 12 cm an. Somit wird

$$Q_m = 12 \cdot 35 \cdot 0,95 = 400 \text{ qcm.}$$

Um die Länge der Magnetschenkel festsetzen zu können, müssen wir zuerst den Raum für die Erregerwicklung annähernd berechnen.

Die Luftinduktion wird bei dem neuen Werte von  $l_i$

$$B_i = \frac{5,05 \cdot 10^6}{18,2 \cdot 34,5} = 8000$$

und die Luftamperewindungen bei Leerlauf

$$AW_i = 1,6 \cdot 1,15 \cdot 8000 \cdot 0,75 = 11100.$$

Bei Vollast und  $\cos \varphi = 0,8$  werden pro Kreis annähernd

$$AW_{kmax} \cong 2 \cdot 11100 = 22200$$

Amperewindungen notwendig sein.

Wir lassen eine maximale Stromdichte

$$s_e = 2,7 \text{ Amp./qmm}$$

zu. Die Erregerwicklung soll aus hochkantgewickelter Kupferband von 4 cm Breite hergestellt werden. Nach S. 548 ist für diesen Fall der Fullfaktor

$$f_e = 0,85$$

zu nehmen. Hieraus ergibt sich der Wicklungsraum pro Pol nach Gl. 422

$$\frac{22200}{200 \cdot 2,7 \cdot 0,85} = 48 \text{ qcm}$$

und die Wicklungshöhe

$$\frac{48}{4,0} = 12 \text{ cm.}$$

Rechnen wir dazu noch 2,5 cm für die Endisolation und Befestigung der Spulen und 2,5 cm Polschuhhöhe, so erhalten wir eine radiale Höhe des Poles von 17 cm. Die Polteilung am Polradkranz wird also

$$\frac{\pi(290 - 2 \cdot 0,75 - 2 \cdot 17)}{32} = 25 \text{ cm,}$$

so daß für eine Wicklungshöhe von 4,0 cm genügend Platz bleibt.

Für  $B_j = 8000$  wird

$$Q_j = \frac{6,3 \cdot 10^6}{2 \cdot 8000} = 395 \text{ qcm.}$$

Es sind jetzt die Hauptabmessungen der Maschine festgelegt und wir können eine Skizze, Fig. 375 und 376, aufzeichnen, aus der auch die verschiedenen Kraftlinienwege für die Berechnung der Erregung entnommen werden können. Aus der Skizze entnehmen wir

$$Q_j \cong 350 \text{ qcm.}$$

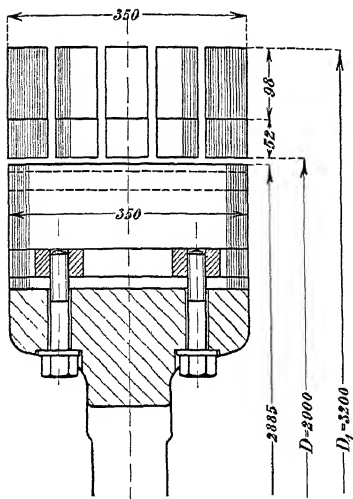


Fig. 375.

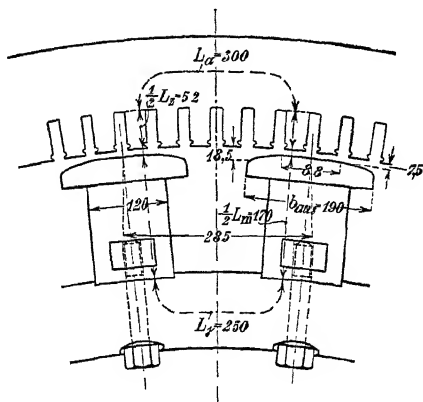


Fig. 376.

Berechnung der Feldamperewindungen bei Leerlauf. Den Kraftfluß bei Leerlauf und normaler Klemmenspannung haben wir früher berechnet zu

$$\Phi = 5,05 \cdot 10^6$$

und die Luftinduktion zu

$$B_l = 8000.$$

Die Induktion im Anker ist nach S. 85

$$B_a = \frac{5,05 \cdot 10^6}{2 \cdot 31 \cdot 0,9 \cdot 9,8} = 9200.$$

Für die Zahninduktion in irgendeinem Zahnquerschnitte folgt nach Gl. 54

$$B_z = \frac{t_1 B_l l_i}{k_z l_z} = \frac{4,75 B_l \cdot 34,8}{0,9 \cdot 31z} = \frac{5,97}{z} B_l.$$



Es ist

$$z_1 = z_{\min} = 2,95 \text{ cm}, \quad z_{\text{mitt}} = 3,03 \text{ cm}, \quad z_3 = z_{\max} = 3,12 \text{ cm},$$

somit

$$B_{z\max} = 2,00 B_l, \quad B_{z\text{mitt}} = 1,95 B_l, \quad B_{z\min} = 1,90 B_l.$$

Für  $B_l = 8000$  wird

$$B_{z\max} = 16000, \quad B_{z\text{mitt}} = 15600, \quad B_{z\min} = 15200.$$

Um den Streukoeffizienten für Leerlauf  $\sigma_0$  ermitteln zu können, berechnen wir zunächst die zur Erzeugung von  $B_l$ ,  $B_a$  und  $B_z$  notwendigen Amperewindungen. Die Luftamperewindungen für  $B_l = 8000$  haben wir oben berechnet zu

$$AW_l = 11100.$$

Der mittlere Kraftlinienweg im Anker ist

$$L_a \cong \frac{D + L_z + h}{2p} \pi = \frac{290 + 10,4 + 9,8}{32} \pi \cong 30 \text{ cm}.$$

Für  $B_a = 9200$  sind nach der Tafel mit den Magnetisierungskurven (am Ende des Buches) die Amperewindungen pro cm  $aw_a = 4,0$

$$AW_a = aw_a L_a = 120.$$

Der Berechnung der Amperewindungen für die Zähne können wir die mittlere Zahninduktion zugrunde legen, da die Zahninduktion nicht hoch ist und vom Zahnkopfe bis zum Zahnfuße sich nur wenig ändert.

$$B_{zm} = 15600, \quad aw_z = 36, \quad L_z = 10,4 \quad AW_z = 380,$$

$$AW_l + AW_z + AW_a = 11100 + 380 + 120 = 11600.$$

Der Berechnung der Leitfähigkeiten  $\Sigma\lambda_p$  und  $\Sigma\lambda_m$  legen wir die Fig. 77 u. 78, S. 88 zugrunde. Es ist

$$l_p = l_1 = 35 \text{ cm} \quad \tau_1 = 28,4 \quad d_g = 12 \text{ cm}$$

$$h_p \cong 2,5 \text{ cm} \quad \tau_2 = 25,0 \quad h_m = 14,5$$

$$b_p = 19,0$$

Hieraus ergibt sich nach S. 90

$$\Sigma\lambda_p = \frac{35 \cdot 2,5}{0,8(28,4 - 19)} + 2 \cdot 2,25 \log \left( 1 + \frac{\pi}{2} \frac{19}{28,4 - 19} \right) = 14,7$$

und

$$\Sigma\lambda_m = \frac{12 \cdot 14,5}{0,8(28,4 + 25 - 24)} + 14,5 \log \left( 1 + \frac{\pi \cdot 12}{28,4 + 25 - 24} \right) = 12,8$$

$$\Sigma\lambda_p + \Sigma\lambda_m = 14,7 + 12,8 = 27,5.$$

Hiermit finden wir den Streukoeffizienten für Leerlauf nach Gl. 62

$$\sigma_0 = 1 + \frac{2 \cdot 11550}{5,05 \cdot 10^6} 27,5 = 1,25.$$

Der Kraftfluß im Polkern ist

$$\Phi_m = \sigma \Phi = 1,25 \cdot 5,05 \cdot 10^6 = 6,31 \cdot 10^6.$$

Induktion in den Polen

$$B_m = \frac{\Phi_m}{Q_m} = \frac{6,31 \cdot 10^6}{400} = 15000$$

$$aw_m = 40 \quad L_m = 34 \quad AW_m = 40 \cdot 34 = 1360.$$

Induktion im Joch

$$B_j = \frac{\Phi_m}{Q_j} = \frac{6,31 \cdot 10^6}{2 \cdot 350} = 9000$$

$$aw_j = 7,2 \quad L_j = 25 \quad AW_j = 180.$$

Durch Addition sämtlicher Amperewindungen finden wir schließlich die  $AW_{\Sigma}$  pro Kreis (s. S. 86)

$$AW_{\Sigma} = 11000 + 120 + 380 + 1360 + 180 = 13040$$

und die totale Amperewindungszahl

$$AW_{t0} = p AW_{\Sigma} = 16 \cdot 13040 = 209000.$$

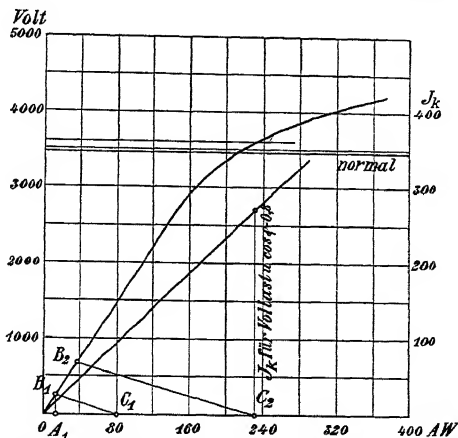


Fig 377. Leerlauf- und Kurzschlußcharakteristik.

Indem wir diese Berechnung für verschiedene Werte von  $E$  durchführen (siehe die umstehende Tabelle) und  $E$  als Funktion von  $AW_{t0}$  auftragen, erhalten wir die Leerlaufcharakteristik der Maschine, Fig. 377.

$E$	2700	3100	3460	3300	4200	
$\Phi = 1,46 \cdot 10^3 E$	3,94	4,53	5,05	5,55	6,14	$10^6$
$B_l = \frac{\Phi}{634} \dots \dots$	6220	7150	8000	8750	9680	
$B_a = \frac{\Phi}{546} \dots \dots$	7200	8300	9200	10200	11200	
$B_{zmax} = 2,0 B_l \dots$	12500	14300	16000	17500	19400	
$B_{zmit} = 1,95 B_l \dots$	12200	14000	15600	17100	18900	
$B_{zmin} = 1,90 B_l \dots$	11800	13600	15200	16600	18400	
$\Phi_m = \sigma \Phi = 1,25 \Phi \dots$	4,93	5,66	6,31	6,94	7,66	$10^6$
$B_m = \frac{\Phi_m}{400} \dots \dots$	12300	14200	15800	17350	19200	
$B_j = \frac{\Phi_m}{700} \dots \dots$	7050	8100	9000	9900	11000	
$aw_a \dots \dots \dots$	2,0	2,5	4,0	3,8	5,0	
$aw_z \dots \dots \dots$	7,0	14,0	36	84	185	
$aw_m \dots \dots \dots$	7,0	15,6	40	94	210	
$aw_j \dots \dots \dots$	3,4	5,1	7,2	9,8	14,0	
$AW_l = 1,38 B_l \dots$	8600	9870	11000	12100	13400	
$AW_a = 30 aw_a \dots$	60	75	120	114	150	
$AW_z = 10,4 aw_z \dots$	73	146	380	870	1920	
$AW_m = 34 aw_m \dots$	238	530	1360	3200	7150	
$AW_j = 25 aw_j \dots$	85	128	180	245	350	
$AW_{l0} \dots \dots \dots$	9060	10750	13040	16530	22970	
$AW_{l0} = 16 AW_{l0} \dots$	145	172	209	264,2	367,2	$10^3$

Berechnung der Feldamperewindungen bei Belastung  
Mit Hilfe der Leerlaufcharakteristik kann man jetzt die Ampere-  
windungen bei Belastung ermitteln. Es wurde oben berechnet

$$\frac{E_{s3}}{\cos \psi} = 840 \text{ Volt.}$$

1. Vollast und  $\cos \varphi = 1,0$ :

Nach Gl. 37, S. 63, ergibt sich

$$\begin{aligned} \operatorname{tg} \psi &= \frac{96,5 \cdot 2,50 + 840}{3460 + 96,5 \cdot 0,56} = 0,308 \\ \psi &= \vartheta = 17^\circ 10'. \end{aligned}$$

Nach Gl. 22 werden die entmagnetisierenden Amperewindungen

$$AW_e = 0,761 \cdot 0,966 \cdot 320 \cdot 3 \cdot 96,5 \cdot 0,295 = 20,1 \cdot 10^3.$$

Die zu induzierende EMK  $E_D$  wird nach S. 544

$$E_D = 3460 \cdot 0,955 + 96,5 \cdot 0,56 \cdot 0,955 + 96,5 \cdot 2,5 \cdot 0,295 = 3420 \text{ Volt.}$$

Um die zur Erzeugung dieser EMK nötigen Amperewindungen zu bestimmen, müssen wir den Streuungskoeffizienten bei Vollast und  $\cos \varphi = 1,0$  ermitteln. Dieser unterscheidet sich nur wenig von demjenigen bei Leerlauf. Für  $E_D = 3420$  ist  $\Phi = 5,05 \cdot 10^6$ , somit nach Gl. 67, S. 98

$$\sigma_b = 1,25 + \frac{2 \cdot 20,1 \cdot 10^3 \cdot 27,5}{16 \cdot 5,05 \cdot 10^6} = 1,27.$$

Wir tragen nun in die Leerlaufcharakteristik  $E_D = 3420$  und  $\frac{\sigma_b}{\sigma} E_D = 3480$  Volt ein und ziehen durch diesen letzteren Punkt eine Parallele zum geradlinigen Teil der Leerlaufcharakteristik (Fig. 377) bis zum Schnitt mit der Horizontalen durch den Punkt  $E_D = 3420$ . Es ergeben sich auf diese Weise die zur Erzeugung von  $E_D = 3420$  Volt nötigen Amperewindungen zu

$$pAW_k = 211 \cdot 10^3$$

und die totale Amperewindungszahl

$$AW_i = pAW_k + AW_e = 231 \cdot 10^3.$$

2. Vollast und  $\cos \varphi = 0,8$ :

Wir berechnen in derselben Weise wie unter 1

$$\operatorname{tg} \psi = \frac{3460 \cdot 0,6 + 96,5 \cdot 2,5 + 840}{3460 \cdot 0,8 + 96,5 \cdot 0,56} = 1,12$$

$$\psi = 48^\circ 15' \quad \Theta = 48^\circ 15' - 36^\circ 55' = 11^\circ 20'$$

$$AW_e = 20,1 \cdot 10^3 \frac{0,746}{0,295} = 51 \cdot 10^3$$

$$E_D = 3460 \cdot 0,98 + 96,5 \cdot 0,56 \cdot 0,665 + 96,5 \cdot 2,5 \cdot 0,746 = 3610 \text{ Volt.}$$

Zu  $E_D = 3610$  gehört  $\Phi_{a,b} = 5,27 \cdot 10^6$ , somit

$$\sigma_b = 1,25 + \frac{2 \cdot 51 \cdot 10^3 \cdot 27,5}{16 \cdot 5,27 \cdot 10^6} = 1,29$$

$$\frac{\sigma_b}{\sigma} 3610 = 3720 \text{ Volt.}$$

Mit Hilfe der Leerlaufcharakteristik bestimmen wir

$$pAW_k = 244 \cdot 10^3,$$

somit

$$AW_i = 244 \cdot 10^3 + 51 \cdot 10^3 = 295 \cdot 10^3.$$

3. Vollast,  $\cos \varphi = 0,8$  und 5% höhere Klemmenspannung:

$$\operatorname{tg} \psi = \frac{1,05 \cdot 3460 \cdot 0,6 + 96,5 \cdot 2,5 + 840}{1,05 \cdot 3460 \cdot 0,8 + 96,5 \cdot 0,56} = 1,10$$

$$\psi = 47^\circ 45' \quad \Theta = 10^\circ 50'$$

$$AW_e = 20,1 \cdot 10^3 \frac{0,740}{0,295} = 50,5 \cdot 10^3$$

$$E_D = 1,05 \cdot 3460 \quad 0,982 + 96,5 \cdot 0,56 \cdot 0,672 + 96,5 \cdot 2,5 \cdot 0,74 = 3790 \text{ Volt}$$

$$\frac{\sigma_b}{\sigma} 3790 = \frac{1,29}{1,25} 3790 = 3910 \text{ Volt}$$

$$pAW_k = 283 \cdot 10^3$$

$$AW_t = 333 \cdot 10^3.$$

### Berechnung der Spannungsänderungen.

A. Spannungserhöhung. 1 Vollast und  $\cos \varphi = 1,0$ . Zu  $AW_t = 231 \cdot 10^3$  entnehmen wir aus der Leerlaufcharakteristik

$$E = 3600 \text{ Volt.}$$

Hiermit wird

$$\varepsilon^0/\text{o} = \frac{3600 - 3460}{3460} 100 = 7^0/\text{o}.$$

2. Vollast und  $\cos \varphi = 0,8$ . Zu  $AW_t = 295 \cdot 10^3$  gehört

$$E = 3930 \text{ Volt}$$

$$\varepsilon^0/\text{o} = \frac{3930 - 3460}{3460} 100 = 13,5^0/\text{o}.$$

Die Bedingungen für die Spannungserhöhung werden also von der Maschine erfüllt.

B. Spannungsabfall. Wir wollen den Spannungsabfall für Vollast und  $\cos \varphi = 0,8$  angenähert berechnen. Es ist nach Gl. 39, S. 64

$$\Theta \cong \frac{180}{\pi} 0,8 \frac{96,5 \cdot 2,5 - 96,5 \cdot 0,56 \cdot 0,751 + 840}{3460} \cong 13,8^0$$

und

$$\psi = \varphi + \Theta = 50^0 45',$$

somit

$$P \cong \frac{1}{0,971} [3460 - (840 + 96,5 \cdot 2,5) 0,774 - 96,5 \cdot 0,56 \cdot 0,632] \\ = 2660 \text{ Volt}$$

und

$$\varepsilon^0/\text{o} = \frac{3460 - 2660}{3460} 100 = 23^0/\text{o}.$$

### Berechnung des Kurzschlußstromes.

Wir tragen in die Leerlaufcharakteristik (Fig. 377) das Dreieck  $A_1 B_1 C_1$  ein mit den Seiten

$$\overline{A_1 B_1} = Jz_k = J\sqrt{x_s^2 + r_a^2} = 96,5 \sqrt{2,5^2 + 0,56^2} = 247 \text{ Volt},$$

$$\overline{A_1 C_1} = k_0 m f_{w_1} w J = 0,761 \cdot 3 \cdot 0,966 \cdot 320 \cdot 96,5 = 68,0 \cdot 10^3.$$

Hierauf ziehen wir durch den Punkt  $C_2$  bei  $AW_t = 231 \cdot 10^3$  (Vollast und  $\cos \varphi = 0,8$ ) eine Parallele zu  $\overline{C_1 B_1}$ , die die Leerlaufcharakteristik in  $B_2$  schneidet. Dann wird der Kurzschlußstrom  $\frac{C_2 B_2}{C_1 B_1} = 2,83$  mal größer als der normale Strom.

$$J_k = 96,5 \cdot 2,83 = 270 \text{ Amp.}$$

Diese Stromstärke tragen wir bei  $231 \cdot 10^3$  Amperewindungen in das Diagramm (Fig 377) ein und verbinden den erhaltenen Punkt mit dem Nullpunkte, wodurch sich die Kurzschlußcharakteristik der Maschine ergibt.

**Erregerwicklung.** Der Erregerstrom soll von einer Nebenschlußmaschine, deren Spannung durch Regulierung des Nebenschlußstromes verändert wird, geliefert werden. Die maximale Erregerspannung soll  $e = 110$  Volt betragen und die Erregerwicklung so dimensioniert sein, daß sich bei dieser Spannung die Amperewindungszahl

$$AW_{tmax} = 333 \cdot 10^3$$

ergibt, die für die Vollbelastung bei  $\cos \varphi = 0,8$  und um 5% erhöhte Klemmenspannung gefunden wurde. Die mittlere Länge einer Windung  $l_e$  wird bei einer Wicklungsbreite von 4,0 cm und dem Magnetquerschnitt  $35 \times 12$  mm, wenn wir für Isolation zwischen Spule und Kern je 0,5 cm und für die Biegung des Kupferbandes 6 cm zuschlagen,

$$l_e = 2(35 + 12 + 2 \cdot 4 + 2 \cdot 0,5) + 6 = 118 \text{ cm.}$$

Die Übertemperatur  $T_m$  nehmen wir zu  $25^\circ$  an. Hiermit finden wir nach Gl 426 S. 550

$$g_e = \frac{333 \cdot 10^3 \cdot 118 \cdot 1,10}{5700 \cdot 110} = 69 \text{ qmm.}$$

Wir wählen Kupferband  $1,7 \times 40$  mm nackt, somit  $g_e = 68$  qmm. Bei einer maximalen Stromdichte

$$s_{e max} = 2,54 \text{ Amp / qmm}$$

wird

$$i_{e max} = 2,54 \cdot 78 = 173 \text{ Amp.}$$

und die Windungszahl pro Spule

$$\frac{AW_{tmax}}{i_{e max} 2p} = \frac{333 \cdot 10^3}{173 \cdot 32} = 60.$$

Bei 0,3 mm Isolation zwischen den einzelnen Windungen wird die Länge der Spule gleich  $0,2 \cdot 60 = 12$  cm.

Bei 2,5 cm Höhe für Endisolation und Befestigung der Spulen

wird die Höhe des Polkernes 14,5 cm, also dieselbe, wie oben angenommen wurde.

Die totale Windungszahl wird

$$w_e = 60 \cdot 32 = 1920 \text{ Windungen.}$$

Bei Vollast und  $\cos \varphi = 1,0$  ist also eine Erregerstromstärke von

$$i_e = \frac{231 \cdot 10^3}{1920} = 120 \text{ Amp.}$$

notwendig.

Bei Vollast und  $\cos \varphi = 0,8$  ist eine Stromstärke von

$$i_e = \frac{295 \cdot 10^3}{1920} = 154 \text{ Amp.}$$

und bei Leerlauf von

$$i_{e0} = \frac{209 \cdot 10^3}{1920} = 110 \text{ Amp.}$$

notwendig.

Der Widerstand der Erregerwicklung beträgt nach Gl. 424

$$r_e = \frac{1,10 \cdot 1920 \cdot 118}{5700 \cdot 68} = 0,65 \, \Omega.$$

### Bestimmung des Wirkungsgrades bei Vollast und $\cos \varphi = 1$ .

a) Verluste im Ankereisen. Als Hysteresiskonstante nehmen wir  $\sigma_h = 1,5$  und als Wirbelstromkonstante  $\sigma_w = 6$  (vgl. S. 500).

Eisenvolumen der Zähne:

$$V_z \cong Z \left( \frac{z_2 + z_3}{2} \right) \frac{L_z}{2} l k_2 10^{-3} = 192 \cdot 3,03 \cdot 5,2 \cdot 31 \cdot 0,9 \cdot 10^{-3} = 85 \text{ cbdm.}$$

Für  $\frac{z_2}{z_3} = \frac{2,95}{3,12} = 0,945$  finden wir in den Kurven (Fig. 334 u. 337) die Werte  $k_4 \cong 1$  und  $k_5 = 1,05$  und erhalten den Hysteresisverlust in den Zähnen nach Gl. 381

$$W_{hz} = 1,5 \cdot 1 \cdot 50 \cdot 0,77 \cdot 85 = 4900 \text{ Watt.}$$

Die Werte  $\frac{1}{100} \left( \frac{B_{z \max}}{1000} \right)^{1,6}$  können der Fig. 328 entnommen werden.

Es ist bei Vollast und  $\cos \varphi = 1$ ,  $\Phi = 5,05 \cdot 10^6$  und  $B_{z \max} = 15200$ . Der Wirbelstromverlust in den Zähnen wird nach Gl. 383

$$W_{wz} = 6 \cdot 1,05 \left( 0,5 \cdot \frac{1}{2} \cdot 15,2 \right)^2 \cdot 85 = 7700 \text{ Watt}$$

Eisenvolumen des Ankerkernes:

$$V_a = (D_1 - h) \pi l h k_2 10^{-3} = (320 - 9,8) \pi \cdot 31 \cdot 9,8 \cdot 0,9 \cdot 10^{-3} = 265 \text{ cbdm.}$$

Hysteresisverlust im Ankerkern nach Gl 378

$$W_{ha} = 1,5 \cdot 50 \cdot 0,35 \cdot 265 = 6950 \text{ Watt.}$$

Wirbelstromverlust im Ankerkern nach Gl 382

$$W_{wa} = 6 \cdot (0,5 \cdot \frac{1}{2} \cdot 9,2)^2 \cdot 265 = 8450 \text{ Watt.}$$

Totaler Eisenverlust im Anker:

$$W_{ea} = W_{hz} + W_{wz} + W_{ha} + W_{wa} = 4900 + 7700 + 6950 + 8450 \\ = 28000 \text{ Watt.}$$

$$\text{Prozentualer Eisenverlust} = \frac{W_{ea}}{10 \text{ KW}} = \frac{28000}{10 \cdot 1000} = 2,80\%.$$

b) Verluste im Ankercupfer. Der effektive Widerstand ist oben zu  $r_a = 0,56 \Omega$  berechnet worden; der Wattverlust wird also

$$W_{ka} = m J^2 r_a = 3 \cdot 96,5^2 \cdot 0,56 = 15600 \text{ Watt}$$

und der prozentuale Kupferverlust gleich

$$\frac{W_{ka}}{10 \text{ KW}} = \frac{15600}{10 \cdot 1000} = 1,56\%.$$

c) Verluste durch Erregung. Der totale Erregerverlust beträgt

$$W_e = i_e^2 r_e = 120^2 \cdot 0,65 = 9300 \text{ Watt,}$$

der prozentuale Erregerverlust also:

$$\frac{W_e}{10 \cdot 1000} = 0,93\%.$$

Wenn wir die Luft- und Lagerreibung außer acht lassen, so wird die Summe aller Verluste

$$W_v = W_{ea} + W_{ka} + W_e = 28,0 + 15,6 + 9,3 = 53,0 \text{ KW.}$$

Der Wirkungsgrad bei Vollast und  $\cos \varphi = 1,0$  wird also

$$\eta = \frac{1000}{1000 + 53,0} \cdot 100 = 94,8\%.$$

### Bestimmung des Wirkungsgrades und der Temperaturerhöhung bei Vollast und $\cos \varphi = 0,8$ .

a) Verluste im Ankereisen. Es ist bei Vollast und  $\cos \varphi = 0,8$ .  $\Phi \cong 5,27 \cdot 10^6$  und  $B_{zmn} = 15800$

$$\frac{1}{100} \left( \frac{B_{zmn}}{1000} \right)^{1,6} \text{ wird nach Fig. 328 gleich } 0,83,$$



$$W_{hz} = 4,90 \frac{0,83}{0,77} = 5,28 \text{ KW},$$

$$W_{wz} = 7,7 \left( \frac{158}{152} \right)^2 = 8,32 \text{ KW}.$$

Ferner

$$B_a = 9600.$$

$$\frac{1}{100} \left( \frac{9600}{1000} \right)^{1,6} = 0,37,$$

also

$$W_{ha} = 6,95 \frac{0,37}{0,35} = 7,35 \text{ KW},$$

$$W_{wa} = 8,45 \left( \frac{96}{92} \right)^2 = 9,20 \text{ KW},$$

$$W_{ea} = 5,28 + 8,32 + 7,35 + 9,20 = 30 \text{ KW}.$$

Der prozentuale Eisenverlust

$$\frac{30}{0,8 \cdot 1000} 100 = 3,7\%.$$

b) Verluste im Ankerkupfer wie bei  $\cos \varphi = 1$

$$W_{ka} = 15600 \text{ Watt}.$$

Der prozentuale Kupferverlust

$$\frac{15,6}{800} 100 = 1,9\%.$$

Abkühlungsfläche des Ankers

$$\begin{aligned} A_a &= \frac{\pi}{4} (D_1^2 - D^2) (2 + n_s) + \pi l (D + D_1) \\ &= \frac{\pi}{4} (320^2 - 290^2) \cdot (2 + 4) + \pi 31 (290 + 320) = 163300 \text{ qcm}. \end{aligned}$$

Die Stromwärmeverluste in den im Eisen eingebetteten Leiterstücken betragen

$$W_{kz} = \frac{l_1}{l_a} W_{ka} = \frac{35}{95} \cdot 15,6 = 5,75 \text{ KW}.$$

Die spezifische Kühlfläche

$$a_a = \frac{A_a}{W_{ea} + W_{kz}} = \frac{163300}{30000 + 5750} = 4,6 \text{ qcm/Watt}.$$

Temperaturerhöhung der Armatur bei induktiver Belastung

$$T \cong \frac{225}{4,6} = 49^\circ.$$

c) Verluste durch Erregung

$$W_e = i_e^2 r_e = 154^2 \cdot 0,65 = 15,4 \text{ kW.}$$

Der prozentuale Erregerverlust

$$\frac{15,4}{800} 100 = 1,9\%.$$

Als Abkühlungsfläche der Spulen rechnen wir nur die äußere Mantelfläche

$$A_m \cong 130 \cdot 12,0 \cdot 32 = 50000 \text{ qcm.}$$

Spezifische Kühlfläche:

$$a_m = \frac{A_m (1 + 0,1 v_m)}{W_e} = \frac{50000 (1 + 2,67)}{15400} = 12 \text{ qcm/Watt,}$$

wobei

$$v_m = \frac{\pi n D_m}{60} \cong \frac{\pi \cdot 187}{60 \cdot 100} (290 - 2 \cdot 0,75 - 2 \cdot 2,5 - 12,0) = 26,7 \text{ m/sek.}$$

Die Temperaturerhöhung der Erregerspulen entsprechend einer Berechnung aus der Widerstandszunahme bei induktiver Belastung wird:

$$T_m = \frac{350}{12,0} = 29^\circ \text{ C.}$$

Die Summe aller Verluste bei  $\cos \varphi = 0,8$  beträgt

$$W_v = 30 + 15,6 + 15,4 = 61 \text{ kW.}$$

Der Wirkungsgrad bei Vollast und  $\cos \varphi = 0,8$  wird also

$$\eta = \frac{0,8 \cdot 1000}{0,8 \cdot 1000 + 61} 100 = 92,8\%$$

### Berechnung der Gewichte.

1. Ankerkupfer.

$$G_{ka} = 8,9 m a w 2 l_a q_a 10^{-5} \text{ kg} = 8,9 \cdot 3 \cdot 1 \cdot 320 \cdot 190 \cdot 33 \cdot 10^{-5} = 500 \text{ kg.}$$

2. Erregerkupfer.

$$G_{ke} = 8,9 w_e l_e q_e 10^{-5} \text{ kg} = 8,9 \cdot 1920 \cdot 118 \cdot 68 \cdot 10^{-5} = 1370 \text{ kg.}$$

3. Ankerbleche.

$$G_{ea} = (V_a + V_z) 7,8 = (265 + 85) 7,8 = 2730 \text{ kg.}$$

4. Pole.

$$\begin{aligned} G_{ep} &= 2p (b_p l_p h_p + Q_m h_m) 10^{-3} \cdot 7,8 \\ &= 32 (19,0 \cdot 35 \cdot 2,5 + 400 \cdot 14,5) 10^{-3} \cdot 7,8 = 1860 \text{ kg.} \end{aligned}$$

### 149. Berechnung eines 100 PS-Einphasenmotors.

Es ist ein Einphasen-Synchronmotor für 2000 Volt Netzspannung, 60 Perioden und 600 Umdrehungen i. d. Min. zu berechnen, der imstande ist, 100 PS mechanische Leistung dauernd abzugeben und außerdem einen wattlosen Strom von 21 Ampere (50% des Wattstromes) ins Netz zu liefern.

Der Wirkungsgrad des Motors bei voller Belastung mit 100 PS und 21 Amp. wattlosem Strom soll mindestens 90% betragen. Für keinen Teil der Maschine darf hierbei nach 10stündigem Dauerbetrieb die Temperaturerhöhung 50° C übersteigen.

Um die Leistung von 100 PS abzugeben, müssen wir, wenn wir den Wirkungsgrad zunächst zu 90% annehmen,

$$\frac{100}{0,9} \cdot 0,736 = 82 \text{ KW}$$

elektrische Leitung zuführen. Der Wattstrom wird also

$$J_w = \frac{82 \cdot 1000}{2000} = 41 \text{ Amp.}$$

Hierzu kommen noch 21 Amp. wattloser Strom, so daß der Gesamtstrom

$$J = \sqrt{41^2 + 21^2} = 46 \text{ Amp. wird.}$$

Ferner wird die Phasenverschiebung:

$$\operatorname{tg} \varphi = \frac{21}{41}, \quad \varphi \cong 27^\circ, \quad \cos \varphi = 0,89,$$

die scheinbare Leistung:

$$\frac{PJ}{1000} = \frac{2000 \cdot 46}{1000} = 92 \text{ KVA.}$$

Im weiteren erfolgt die Berechnung in ähnlicher Weise, wie beim vorigen Beispiele des Dreiphasen-1000 KVA-Generators.

### 150. Nachrechnung eines Dreiphasen-Turbogenerators

für 2500 KVA, 6600 Volt verkettete Spannung, 218 Amp.,  
50 Perioden, 3000 Umdrehungen i. d. Min.

$p$  ist also gleich 1. Die Maschine hat folgende Daten:  
Eisenabmessungen:

Stator: Äußerer Durchmesser . . . . .	1340 mm
Innerer Durchmesser . . . . .	700 "
Eisenlänge (ohne Luftschlitze) . . . .	960 "

24 Luftschlitze . . . . .	zu 10 mm
Nutenzahl . . . . .	60
Nutenabmessungen (s. Fig. 378) . . . . .	$20 \times 70$ mm
Nutenöffnung . . . . .	20 „
Luftspalt . . . . .	17,5 „
Rotor: Durchmesser . . . . .	665 mm
Eisenlänge (ohne Luftschlitze) . . . . .	910 „
16 Luftschlitze . . . . .	zu 15 „
Nutenabmessungen (s. Fig. 378) . . . . .	$22 \times 112,5$ „
Nutenöffnung . . . . .	22 „

Die Nutenteilung beträgt  $\frac{1}{36}$  des Umfanges. 28 Nuten sind ausgeführt, die übrigen Nutenteilungen bilden zwei breite Zähne, je einen pro Pol (Fig. 379).

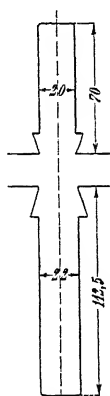


Fig. 378.

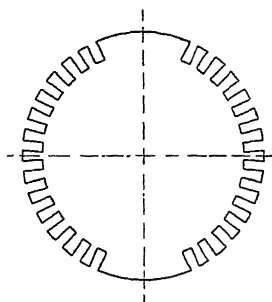


Fig. 379.

#### Statorwicklung:

- 10 Nuten pro Pol und Phase.
- Spulenwicklung in Sternschaltung.
- 4 Litzen pro Nut 11 mm/11 mm,
- effektiver Querschnitt einer Litze = 91 qmm.

#### Rotorwicklung:

- 14 Nuten pro Pol.
- 30 Leiter pro Nut, übereinander angeordnet.
- Leiterdimensionen  $2,5 \times 19$  mm = 47,5 qmm Querschnitt.

Die Berechnung der Eisenabmessungen des Stators und der Statorwicklung geschieht in derselben Weise wie bei langsam laufenden Maschinen. Die Berechnung der Eisenabmessungen des Rotors und der Rotorwicklung von Maschinen mit verteilter Feldwicklung ist im Abschnitt 146 angegeben.

Aus den Daten der Maschine ergibt sich nun:

$$l_1 = 96 + 1,0 \cdot 24 = 120 \text{ cm} = l_1$$

$$\tau = 110 \text{ cm} \quad b_1 = \frac{2}{\pi} \tau = 70 \text{ cm} \quad \frac{l_1}{b_1} = 1,17.$$

Die Maschinenkonstante beträgt

$$\frac{D^2 l_1 n}{KVA} = \frac{70^2 \cdot 120 \cdot 3000}{2500} = 70,6 \cdot 10^4.$$

Die Windungszahl pro Phase

$$w = \frac{60 \cdot 4}{2 \cdot 3} = 40$$

und

$$AS = \frac{2 m w J}{\pi D} = \frac{2 \cdot 3 \cdot 40 \cdot 218}{\pi \cdot 70} = 238.$$

Für  $q = 10$  ist  $f_{w1} = 0,955$ . Der Kraftfluß bei Leerlauf ist

$$\Phi = \frac{3810 \cdot 10^8}{4,44 \cdot 50 \cdot 40 \cdot 0,955} = 44,9 \cdot 10^8$$

und die maximale Luftinduktion bei Leerlauf

$$B_l = \frac{44,9 \cdot 10^8}{120 \cdot 70} = 5350.$$

Die dieser Luftinduktion entsprechende maximale Zahninduktion ist

$$B_{zmax} = \frac{t_1 \Phi}{k_2 l b_1 z_1}.$$

Die Nutenteilung des Stators beträgt

$$t_1 = \frac{700\pi}{60} = 36,7 \text{ mm},$$

$$t_2 = \frac{(700 + 140)\pi}{60} = 44 \text{ mm}.$$

Somit

$$z_1 = 36,7 - 20 = 16,7 \text{ mm},$$

$$z_2 = 44 - 20 = 24 \text{ mm};$$

also

$$B_{zmax} = \frac{3,67 \cdot 44,9 \cdot 10^8}{0,9 \cdot 70 \cdot 1,67 \cdot 96} = 16300,$$

$$h = \frac{134,0 - 70,0}{2} = 7,0 = 25 \text{ cm}.$$

Die gesamte Erregerwindungszahl ergibt sich zu

$$\frac{28 \cdot 30}{2} = 420 \text{ Windungen}.$$

Für einen schmalen Zahn ist:

$$t_{max} = \frac{\pi \cdot 665}{36} = 58 \text{ mm}; \quad z_{max} = 36 \text{ mm};$$

$$t_{min} = \frac{(665 - 225)\pi}{36} = 38,4 \text{ mm}; \quad z_{min} = 16,4 \text{ mm}.$$

Für einen breiten Zahn ist:

$$t_{max} = 58 \cdot 5 = 290 \text{ mm}; \quad z_{max} = 268 \text{ mm};$$

$$t_{min} = 38,4 \cdot 5 = 192 \text{ mm}; \quad z_{min} = 170 \text{ mm}.$$

Wir wollen nun die Leerlaufcharakteristik berechnen. Zu diesem Zwecke berechnen wir zunächst zwei Übertrittscharakteristiken, eine für die schmalen, die andere für die breiten Rotorzähne, d. h. wir nehmen verschiedene  $B_i$  an und bestimmen die zu diesen  $B_i$  zugehörigen  $AW_{zs} + AW_i + AW_z$ . Die Amperewindungen für den Stator- und Rotorkern lassen wir also außer acht, was auch in allen praktischen Fällen zulässig ist.

Berechnung des Faktors  $k_1$ . Für die breiten Zähne kann  $k_1$  in ähnlicher Weise bestimmt werden wie für eine Maschine mit ausgeprägten Polen. Aus der Fig. 67, S. 78, ergibt sich für

$$\nu = \frac{t_1 - z_1}{\delta} = \frac{3,67 - 1,67}{1,75} = 1,14, \quad X = 0,88,$$

also 
$$k_1 = \frac{3,67}{1,67 + 0,88 \cdot 1,75} = 1,14.$$

Für die schmalen Zähne müssen wir  $k_1$  in ähnlicher Weise berechnen, wie bei Asynchronmaschinen (S. 107). Es ist

also 
$$z_{1s} = 16,7, \quad r_{1s} = 20, \quad t_{rmax} = 58, \quad r_{1r} = 22, \quad z_{1r} = 36,$$

$$\delta_s = \frac{20 \cdot 1,75}{42} = 0,834 \quad \text{und} \quad \delta_r = \frac{22 \cdot 1,75}{42} = 0,916.$$

Für

$$\nu = \frac{42}{17,5} = 2,4$$

entnehmen wir der Kurve Fig. 67  $X = 1,56$ , somit

$$k_s = \frac{36,7}{16,7 + 1,56 \cdot 8,34} = 1,235,$$

$$k_r = \frac{58}{36 + 1,56 \cdot 9,16} = 1,152$$

und

$$k_1 = \frac{8,34 \cdot 1,235 + 9,16 \cdot 1,152}{17,5} = 1,19.$$

Es ist also für die breiten Zähne

$$AW_l = 1,6 \cdot 1,14 \cdot 1,75 B_l = 3,19 B_l$$

und für die schmalen Zähne

$$AW_l = 1,6 \cdot 1,19 \cdot 1,75 B_l = 3,33 B_l.$$

Zahninduktionen. Für die Statorzähne gilt:

$$B_{zi} = \frac{3,67 \cdot 120}{0,9 \cdot 96} \frac{B_l}{z} = 5,1 \frac{B_l}{z}$$

$z_{min} = 16,7 \text{ mm}$	$B_{zi max} = 3,05 B_l$	$k_{s max} = 2,05$
$z_{mitt} = 20,3 \text{ "}$	$B_{zi mitt} = 2,51 B_l$	$k_{s mitt} = 1,76$
$z_{max} = 24 \text{ "}$	$B_{zi min} = 2,12 B_l$	$k_{s min} = 1,55$

wobei die Faktoren  $k_s$  nach S. 82 berechnet worden sind. Es ist z. B.

$$k_{s max} = \frac{120 \cdot 36,7}{0,9 \cdot 16,7 \cdot 96} - 1 = 2,05 \text{ usw.}$$

Es ist die Kraftlinienlänge für die Statorzähne

$$L_{zs} = 2 \cdot 7,0 = 14 \text{ cm.}$$

Für einen schmalen Rotorzahn gilt:

$$B_{zi} = \frac{5,8 \cdot 120}{1 \cdot 91} \frac{B_l}{z} = 7,65 \frac{B_l}{z}.$$

Es ist für den Rotor  $k_2 = 1,0$  zu setzen, da für diesen massive Stahlscheiben verwendet werden.

$z_{max} = 36 \text{ mm}$	$B_{zi min} = 2,12 B_l$	$k_{s min} = 1,12$
$z_{mitt} = 26,2 \text{ "}$	$B_{zi mitt} = 2,92 B_l$	$k_{s mitt} = 1,43$
$z_{min} = 16,4 \text{ "}$	$B_{zi max} = 4,67 B_l$	$k_{s max} = 2,09$

wo 
$$k_{s min} = \frac{120 \cdot 5,8}{91 \cdot 1 \cdot 3,6} - 1 = 1,12 \text{ usw.}$$

$$L_{zr} = 22,5 \text{ cm.}$$

Für den breiten Rotorzahn gilt:

$$B_{zi} = \frac{28,8 \cdot 120}{91 \cdot 1} \frac{B_l}{z} = 38 \frac{B_l}{z}$$

$z_{max} = 26,6$	$B_{zi min} = 1,43 B_l$	$k_{s min} = 0,43$
$z_{mitt} = 21,8$	$B_{zi mitt} = 1,74 B_l$	$k_{s mitt} = 0,45$
$z_{min} = 17,0$	$B_{zi max} = 2,23 B_l$	$k_{s max} = 0,49$
$L_{zr} = 22,5 \text{ cm.}$		

Unter Benutzung der Fig. 74 und der Tafeln der Magnetisierungskurven am Ende des Bandes berechnen wir nun die Eintrittscharakteristiken.

## Übertrittscharakteristik der schmalen Rotorzähne.

$B_l$	3000	4000	5000	6000	7000	8000	9000
Stator							
$B_{z,min} = 2,12 B_l \quad k_3 = 2,05$	6360	8480	10600	12700	14800	17000	19100
$B_{z,mitt} = 2,51 B_l \quad k_3 = 1,76$	7550	10050	12600	15100	17600	20100	22600
$B_{z,max} = 3,05 B_l \quad k_3 = 1,55$	9050	12100	15100	18100	21100	24100	27100
$aw_{z,min}$	1,7	2,6	4,2	8,2	21	80	140
$aw_{z,mitt}$	2,1	3,7	8,0	25	102	230	550
$aw_{z,max}$	3,0	6,7	26	100	330	820	1370
$AW_{zs} = \frac{14}{6}(aw_{z,min} + 4aw_{z,mitt} + aw_{z,max})$	30	56	145	485	1770	4680	8900
Rotor							
$B_{z,min} = 2,12 B_l \quad k_3 = 1,12$	6360	8480	10600	12700			
$B_{z,mitt} = 2,92 B_l \quad k_3 = 1,43$	8760	11700	14600	17500			
$B_{z,max} = 4,67 B_l \quad k_3 = 2,09$	14000	18700	23400	29000			
$aw_{z,min}$	1,8	2,7	4,5	7,8			
$aw_{z,mitt}$	2,9	5,9	15,8	80			
$aw_{z,max}$	12	130	620	1520			
$AW_{zr} = \frac{22,5}{6}(aw_{z,min} + 4aw_{z,mitt} + aw_{z,max})$	95	585	2580	6880			
$AW_l = 3,33 B_l$	9990	13320	16650	20000			
$AW_{zs}$	30	56	145	485			
$AW_{zr}$	95	585	2580	6880			
$AW_l$	10100	14000	19400	27400			

## Übertrittscharakteristik der breiten Zähne.

$B_l$	3000	4000	5000	6000	7000	8000	9000
Rotor							
$B_{z,min} = 1,43 B_l \quad k_3 = 0,43$	4290	5720	7150	8580	10000	11450	12870
$B_{z,mitt} = 1,74 B_l \quad k_3 = 0,45$	5220	6960	8700	10450	12200	13900	15650
$B_{z,max} = 2,23 B_l \quad k_3 = 0,49$	6700	8930	11150	13400	15600	17850	20100
$aw_{z,min}$	1,2	1,6	2,1	2,8	4,0	5,5	8,2
$aw_{z,mitt}$	1,5	2,0	2,9	4,2	6,8	11,8	24,0
$aw_{z,max}$	1,9	3,0	5,1	9,6	24,0	86	280
$AW_{zr} = \frac{22,5}{6}(aw_{z,min} + 4aw_{z,mitt} + aw_{z,max})$	35	50	75	110	205	520	1440
$AW_l = 3,19 B_l$	9570	12770	15950	19150	22350	25530	28700
$AW_{zs}$	30	56	145	485	1770	4680	8900
$AW_{zr}$	35	50	75	110	205	520	1440
$AW_l$	9650	12900	16200	19750	24300	30750	39050



Mit Hilfe der beiden Übertrittscharakteristiken (Fig. 380) können wir nun nach S. 108 die Leerlaufcharakteristik berechnen. Es gilt für den breiten Zahn

$$\Phi_{brZ} = B_{l,brZ} l_i t_{max,brZ} = 120 \cdot 28,8 B_{l,brZ} = 3460 B_{l,brZ}$$

und für die schmalen Zähne

$$\Phi_{schmZ} = 120 \cdot 5,8 \Sigma B_{l,schmZ} = 698 \Sigma B_{l,schmZ}.$$

Es ist der Gesamtfluß

$$\Phi = \Phi_{brZ} + \Phi_{schmZ}$$

und

$$E = 4 \cdot 1,06 \cdot 50 \cdot 40 \Phi 10^{-8} = 84,8 \cdot 10^{-6} \Phi$$

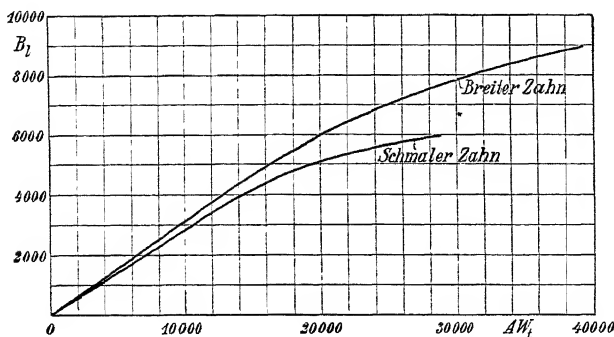


Fig. 380. Übertrittscharakteristiken.

### Leerlaufcharakteristik.

$A W_t$	$B_{l,brZ}$	$\Phi_{brZ}$	Schmale Zähne						$\Sigma B_{l,schmZ}$	$\Phi_{schmZ}$	$\Phi_{gesamt}$	$E = 84,8 \cdot 10^{-6} \Phi$
			$B_{l1}$	$B_{l2}$	$B_{l3}$	$B_{l4}$	$B_{l5}$	$B_{l6}$				
7000	2200	$7,61 \cdot 10^6$	1800	1500	1200	900	600	300	6300	$4,39 \cdot 10^6$	$12 \cdot 10^6$	1020
14000	4320	14,95	3420	2900	2360	1780	1180	600	12440	8,66	23,6	2000
21000	6220	21,6	4710	4120	3420	2620	1780	900	17550	12,2	33,8	2870
28000	7540	26,1	5370	5000	4340	3420	2360	1200	21690	15,1	41,2	3500
35000	8500	29,4	5650	5450	5000	4120	2900	1500	24620	17,16	46,56	3960

Wir entnehmen der Leerlaufcharakteristik (Fig. 381) für

$$E = 3810 \text{ Volt}$$

die Feldamperewindungen bei Leerlauf

$$A W_{t0} = 32700.$$

Wir wollen noch mit Hilfe der Übertrittscharakteristiken den Kraftfluß bei Leerlauf kontrollieren; wir entnehmen diesen für  $AW_t = 32700$

$$B_{l, b, z} = 8200,$$

$$B_{l, schm z} = 5600 \quad 5350 \quad 4900 \quad 4000 \quad 2700 \quad 1400,$$

$$\Sigma B_{l, schm z} = 23950.$$

$$\text{Kraftfluß des breiten Zahnes} = 8200 \cdot 3460 = 28,4 \cdot 10^6$$

$$\text{Kraftfluß der schmalen Zähne} = 23950 \cdot 696 = 16,6 \cdot 10^6$$

$$\text{Kraftfluß pro Pol } \Phi = 45,0 \cdot 10^6$$

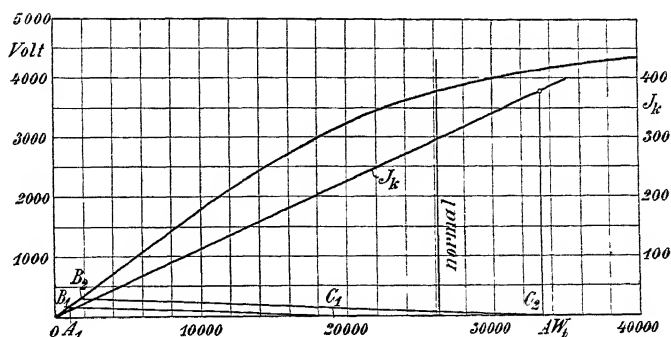


Fig. 381. Leerlauf- und Kurzschlußcharakteristik

### Berechnung der Streureaktanz und des effektiven Widerstandes der Ankerwicklung.

$$r_1 = 20 \text{ mm}$$

$$r_s = 5,5 \text{ mm}$$

$$r_3 = 20 \text{ mm}$$

$$r = 48 \text{ mm}$$

$$r_6 = 11 \text{ mm}$$

$$\lambda_n = 0,4 \pi \left( \frac{48}{60} + \frac{5,5}{20} + \frac{22}{40} \right) = 2,03,$$

$$\lambda'_k = 1,25 \frac{z_{1r} - r_{1s}}{6 \delta} = 1,25 \frac{36 - 20}{6 \cdot 17,5} = 0,19.$$

Der nach dieser Formel berechnete Wert von  $\lambda_k$  ist bei Turbogeneratoren wegen des großen Luftspaltes etwas kleiner als der wirkliche. Wir berechnen noch den Wert von  $\lambda_k$ , indem wir den Kopfstreufuß über eine Nutenteilung bilden, und rechnen aus diesen beiden Werten den Mittelwert.

$$\lambda_k'' = 0,92 \log \frac{\pi t_1}{2r_1} = 0,92 \log \frac{\pi 36,7}{2,20} = 0,42,$$

$$\lambda_k = 0,30,$$

$$\lambda_s = 0,46 g_s \left( \log \frac{2l_s}{U_s} + A \right).$$

Die  $q_{s_n}$  Leiter derselben Phase werden auf zwei nach entgegengesetzten Richtungen verlaufende Spulenköpfe verteilt; somit  $q_s = 5$

$$l_s \cong \tau + 2 \cdot 20 = 150 \text{ cm},$$

$$U_s = 2 \cdot 4,6 + 2 (5 \cdot 1,16 + 4 \cdot 1,2) = 30,5 \text{ cm}.$$

Unter Berücksichtigung des Einflusses der einzelnen Phasen aufeinander wird

$$\lambda_s = 1,4 \cdot 0,46 \cdot 5 \left( \log \frac{2 \cdot 150}{30,5} + 0,3 \right) = 3,93,$$

$$x_{s1} = \frac{12,5 \cdot 50 \cdot 40^2}{1 \cdot 10} \cdot 120 \left( 2,03 + 0,3 + \frac{150}{120} \cdot 3,93 \right) 10^{-8} = 0,87 \Omega.$$

Der Ohmsche Widerstand der Armaturwicklung ist

$$r_g = \frac{2 \cdot 40}{1} \cdot \frac{270 \cdot 1,16}{5700 \cdot 91} = 0,0485 \Omega,$$

wo  $l_a = l_1 + l_s = 250 \text{ cm}$  und  $T_{max} = 40^\circ$  angenommen ist.

$$r_a = 1,5 r_g = 0,073 \Omega.$$

$$Jx_{s1} = 218 \cdot 0,87 = 190 \text{ Volt},$$

$$Jr_a = 218 \cdot 0,073 = 16 \text{ Volt}.$$

### Berechnung der Feldamperewindungen bei Belastung.

a) Vollast und  $\cos \varphi = 1,0$ . Die Resultierende der Vektoren  $P = 3810 \text{ Volt}$ ,  $Jx_{s1}$  und  $Jr_a$  entnehmen wir aus dem Diagramm (Fig. 382a) zu 3860 Volt und dementsprechend aus der Leerlaufcharakteristik

$$AW'_t = 33,5 \cdot 10^3.$$

Es ist

$$AW_r = 0,9 \cdot 0,955 \cdot 40 \cdot 3 \cdot 218 = 22500.$$

Die geometrische Summe aus  $AW'_r = AW_r$  und  $AW'_t$  ergibt die Feldamperewindungen bei Vollast und  $\cos \varphi = 1,0$  zu

$$AW_t = 41,5 \cdot 10^3.$$

b) Vollast und  $\cos \varphi = 0,8$  (Fig. 382b). Aus der Leerlaufcharakteristik entnehmen wir zu 3950 Volt

$$AW'_t = 35,0 \cdot 10^3.$$

Es ergibt sich weiter

$$AW_t = 52,3 \cdot 10^3.$$

c) Vollast,  $\cos \varphi = 0,8$  und um 5% höhere Klemmenspannung (Fig. 382c). Es ergibt sich

$$AW'_t = 39,8 \cdot 10^3$$

und

$$AW_t = 58,0 \cdot 10^3.$$

Der Widerstand der Erregerwicklung beträgt

$$r_e = \frac{420 \cdot 390 \cdot 1,16}{47,5 \cdot 5700} = 0,70 \, \Omega,$$

wobei  $T_m = 40^\circ$  und

$$\begin{aligned} l_e &= 2[l_1 + (0,5 \text{ bis } 0,6)\tau + 2(10 \text{ bis } 15)] \\ &= 2(120 + 0,5 \cdot 110 + 20) = 390 \text{ cm} \end{aligned}$$

eingesetzt wird. Bei 110 Volt Erregerspannung wird der maximale Erregerstrom

$$i_{e\max} = \frac{110}{0,70} = 157 \text{ Amp.}$$

und die maximale vorhandene Erregeramperewindungszahl

$$AW_{t\max} = 157 \cdot 420 = 66,0 \cdot 10^3,$$

was vollkommen ausreicht.

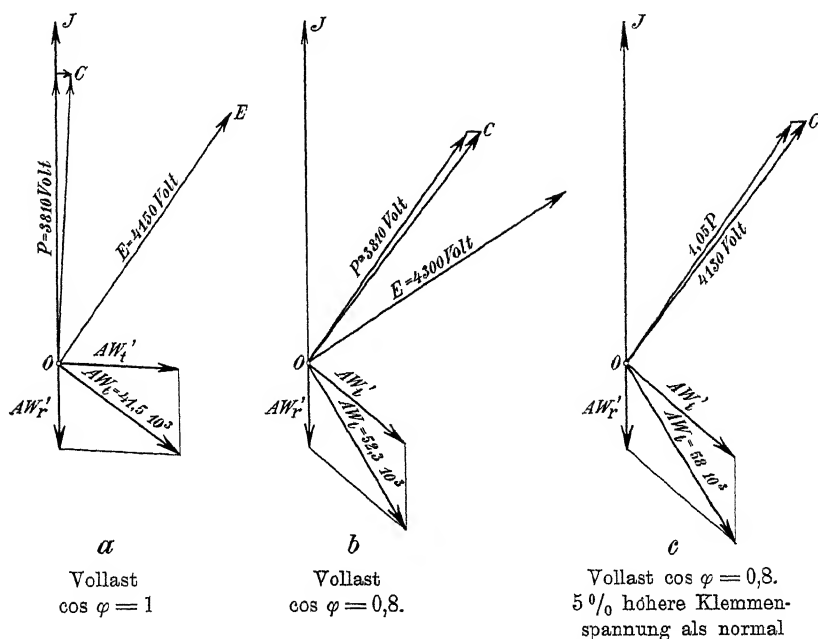


Fig. 382. Spannungs- und AW-Diagramme.

Kurzschlußstrom  $J_k$ . Wir tragen in die Leerlaufcharakteristik (Fig. 381) die Strecken  $\overline{A_1 B_1} = J\sqrt{x_1^2 + r_a^2} = 190 \text{ Volt}$  und  $\overline{A_1 C_1} = AW_r = 22,5 \cdot 10^3$  ein, verbinden ihre Endpunkte  $B_1$  und  $C_1$  und

ziehen eine Parallele von dem Punkte  $C_2$  aus, der den Amperewindungen bei Vollast und  $\cos \varphi = 1,0$  entspricht,  $\overline{OC}_2 = 41,5 \cdot 10^3$ . Es ergibt sich  $J_k$

$$J_k = 218 \cdot \frac{157,5}{90} = 380 \text{ Amp.}$$

### Berechnung der Spannungsänderungen.

a) Spannungserhöhung bei Vollast und  $\cos \varphi = 1,0$ . Zu  $AW_t = 41,5 \cdot 10^3$  entnehmen wir der Leerlaufcharakteristik  $E = 4150$  Volt, somit

$$\varepsilon\% = \frac{4150 - 3810}{3810} 100 = 8,9\%.$$

b) Spannungserhöhung bei Vollast und  $\cos \varphi = 0,8$ . Zu  $AW_t = 52,3 \cdot 10^3$  gehört  $E \cong 4450$  Volt, also

$$\varepsilon\% \cong \frac{4450 - 3810}{3810} 100 = 17,3\%.$$

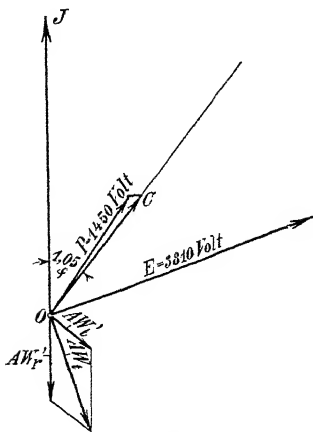


Fig. 333.

c) Spannungsabfall bei Vollast und  $\cos \varphi = 0,8$  (Fig. 383). Nach Fig. 96, S. 105 nehmen wir die Richtung von  $E_p = \overline{OC}$  unter einem Winkel  $= 1,05 \varphi$  gegenüber  $J$  an. Mit  $AW_t = 32,7 \cdot 10^3$  und  $AW_r = 22,5 \cdot 10^3$  ergibt sich nun  $AW_t' = 14,0 \cdot 10^3$  und aus der Leerlaufcharakteristik  $\overline{OC} = 2000$  Volt.

Subtrahieren wir von  $\overline{OC} = 2000$  Volt,  $Jx_{s1} = 190$  Volt und  $Jr_a = 16$  Volt, so ergibt sich  $P = 1950$  Volt und

$$\varepsilon\% = \frac{3810 - 1950}{3810} 100 = 48\%.$$

### Wirkungsgrad bei Vollast und $\cos \varphi = 1,0$ .

a) Verluste im Ankereisen. Hysteresiskonstante  $\sigma_h = 1,5$ .

$\sigma_w = 8$  für die Zähne,

$\sigma_w = 4$  für das Armatureisen.

Eisenvolumen der Zähne

$$V_z \cong 60 \left( \frac{1,67 + 2,4}{2} \right) 7,0 \cdot 96 \cdot 0,9 \cdot 10^{-3} = 74 \text{ cbdm.}$$

Für  $\frac{z_2}{z_3} = \frac{1,67}{2,4} = 0,7$  finden wir in den Kurven Fig. 334 und 337 die Werte  $k_4 = 1,25$  und  $k_5 = 1,35$ . Für Vollast und  $\cos \varphi = 1,0$  ist  $AW'_t = 33,5 \cdot 10^3$ ; aus der Übertrittscharakteristik für den großen Zahn entnehmen wir für  $AW_t = 33,5 \cdot 10^3$

$$B_{l,grZ} = 8300.$$

Dem entspricht

$$B_{z,min} = 2,12 \cdot B_t = 17600$$

und

$$B_{zw,min} = 17400.$$

Der Hysteresisverlust in den Zähnen ist somit

$$W_{hz} = 1,5 \cdot 1,25 \cdot 50 \cdot 0,97 \cdot 74 = 6700 \text{ Watt}$$

und der Wirbelstromverlust in den Zähnen

$$W_{wz} = 8 \cdot 1,35 (0,4 \cdot 0,5 \cdot 17,4)^2 \cdot 74 = 9700 \text{ Watt}$$

Eisenvolumen des Kernes:

$$V_a = (134 - 25) \pi \cdot 96 \cdot 25 \cdot 0,9 \cdot 10^{-3} = 740 \text{ cbdm.}$$

Es ist bei Vollast und  $\cos \varphi = 1,0$   $E_p = \overline{OC} = 3850 \text{ Volt}$  (siehe Fig. 382a) und somit

$$\Phi_a = \frac{E \cdot 10^6}{84,8} = 45,4 \cdot 10^6,$$

also

$$B_a = \frac{45,4 \cdot 10^6}{2 \cdot 96 \cdot 0,9 \cdot 25} = 10500.$$

Der Hysteresisverlust im Ankerkern ist

$$W_{ha} = 1,5 \cdot 50 \cdot 0,43 \cdot 740 = 24000 \text{ Watt}$$

und der Wirbelstromverlust im Ankerkern

$$W_{wa} = 4 (0,4 \cdot 0,5 \cdot 10,5)^2 \cdot 740 = 13000 \text{ Watt}$$

Totaler Eisenverlust im Anker

$$W_{ea} = 6700 + 9700 + 24000 + 13000 = 53400 \text{ Watt}$$

Prozentualer Eisenverlust

$$\frac{53,4}{2500} 100 = 2,17\%.$$

b) Verluste im Ankerkupfer.

$$W_{ka} = 3 \cdot 218^2 \cdot 0,073 = 10400 \text{ Watt}$$

und der prozentuale Kupferverlust

$$\frac{10,4}{2500} 100 = 0,42\%.$$

c) Verluste durch Erregung. Der Erregerverlust bei Vollast und  $\cos \varphi = 1,0$  beträgt

$$W_e = I_e^2 R_e = \left( \frac{41.5 \cdot 10^3}{420} \right)^2 0.70 = 6800 \text{ Watt}$$

und der prozentuale Erregerverlust

$$\frac{6.8}{2500} 100 = 0,28\%.$$

Die Summe aller Verluste bei Vollast und  $\cos \varphi = 1,0$ , ausschließlich Luft- und Lagerreibung, beträgt

$$W_v = 53,4 + 10,4 + 6,8 = 70,6 \text{ KW.}$$

Der Wirkungsgrad bei Vollast und  $\cos \varphi = 1,0$ , ohne Berücksichtigung der Luft- und Lagerreibung, wird also

$$\eta = \frac{2500}{2500 + 70,6} 100 = 97,2\%.$$

#### Wirkungsgrad bei Vollast und $\cos \varphi = 0,8$ .

a) Verluste im Ankereisen. Für Vollast und  $\cos \varphi = 0,8$  ist  $AW'_t = 35,0 \cdot 10^3$ ; aus der Übertrittscharakteristik für den großen Zahn entnehmen wir

$$B_{l, z} = 8500.$$

Dem entspricht

$$B_{z, \min} = 2,12 \cdot 8500 = 18000$$

und

$$B_{z, w \min} = 17700.$$

Somit

$$W_{hz} = 1,5 \cdot 1,25 \cdot 50 \cdot 10 \cdot 74 = 6900 \text{ Watt}$$

und

$$W_{wz} = 8 \cdot 1,35 (0,4 \cdot 0,5 \cdot 17,7)^2 \cdot 74 = 10000 \text{ Watt.}$$

Es ist bei Vollast und  $\cos \varphi = 0,8$   $E_p = \overline{OC} = 3950 \text{ Volt}$  (siehe Fig. 382b) und somit

$$\Phi_a = \frac{3950 \cdot 10^6}{84,8} = 46,7 \cdot 10^6,$$

also

$$B_a = 10500 \frac{46,7}{45,4} = 10800,$$

$$W_{ha} = 1,5 \cdot 50 \cdot 0,46 \cdot 740 = 25500 \text{ Watt}$$

und

$$W_{wa} = 4 (0,4 \cdot 0,5 \cdot 10,8)^2 \cdot 740 = 13800.$$

Totaler Eisenverlust im Anker

$$W_{ea} = 6900 + 10000 + 25500 + 13800 = 56,2 \text{ KW}$$

und prozentualer Eisenverlust

$$\frac{56,2}{2000} 100 = 2,81\%.$$

## b) Verluste im Ankerkupfer

$$W_{ka} = 10400 \text{ Watt}$$

und der prozentuale Kupferverlust

$$\frac{10,4}{2000} 100 = 0,52\%$$

## c) Verluste durch Erregung.

$$W_e = \left( \frac{52,3}{420} 10^3 \right)^2 0,70 = 10900 \text{ Watt}$$

und der prozentuale Erregerverlust

$$\frac{10,9}{2000} 100 = 0,54\%$$

Die Summe aller Verluste bei Vollast und  $\cos \varphi = 0,8$ , ausschließlich Luft- und Lagerreibung, beträgt

$$W_v = 56,2 + 10,4 + 10,9 = 77,5 \text{ KW.}$$

Der Wirkungsgrad bei Vollast und  $\cos \varphi = 1,0$ , ohne Berücksichtigung der Luft- und Lagerreibung, wird somit

$$\eta = \frac{2000}{2000 + 77,5} 100 = 96,4\%$$

Es ist bei der Bemessung von Turbogeneratoren darauf zu achten, daß die mechanische Beanspruchung der einzelnen Teile der Maschine gewisse Grenzen nicht überschreitet. Es soll außerdem die normale Tourenzahl der Maschine nicht mit der sog. „kritischen“ Tourenzahl zusammenfallen. Bezüglich der Festigkeitsberechnungen sei hier auf E Arnold, „Die Gleichstrommaschine“, Bd. II, Kap. XV, und Ch. A. Werner, „Die mechanische Beanspruchung raschlaufender Magneträder“, Dissertation, verwiesen. Über die Berechnung der kritischen Tourenzahl siehe Stodola, „Die Dampfturbine“.

## 151. Zusammenstellung der Berechnung einer Synchronmaschine.

Nachfolgend sind die zur Berechnung einer Synchronmaschine mit ausgeprägten Polen in Betracht kommenden Größen und Hauptformeln zusammengestellt. Das Formular soll während der Durchrechnung einer Maschine das rasche Auffinden der Formeln und der bereits festgestellten Größen ermöglichen und die Prüfung



der berechneten Werte erleichtern. Die Aufeinanderfolge der einzelnen Größen ist nach diesen Gesichtspunkten festgesetzt und entspricht daher nicht ganz dem Gange der Rechnung.

Das Berechnungsformular ist in der nachstehenden Form für die Studierenden der Elektrotechnik an der Technischen Hochschule Karlsruhe eingeführt.

Generator		Motor	KVA
PS,	Touren,	Perioden,	Type,
		= cos φ,	KW,
Schaltung {	Volt verk.,		Volt pro Phase
	Amp. Linienstrom,		Amp. Phasenstrom.
<b>Anker:</b> Leistung der Maschine . . . . .			KVA
$D^2 l_i \cong \frac{6 \cdot 10^{11} KVA}{\alpha_i k n A S B_l}$ . . . . .			$10^4$
$\frac{L^2 l_i n}{KVA}$ . . . . .			$10^4$
Ankerbohrung (Durchmesser) $D$ . . . . .			cm
Eisendurchmesser (außen bzw. innen) $D_1$ . . . . .			„
Ideelle Eisenlänge $l_i$ . . . . .			„
Eisenlänge (ohne Luftschlitze) $l$ . . . . .			„
Eisenlänge (mit Luftschlitzen) $l_1$ . . . . .			„
Anzahl der Luftschlitze $n_s$ . . . . .			„
Umfangsgeschwindigkeit $v$ . . . . .			m/sek
Eisenhöhe (ohne Zahnhöhe) $h$ . . . . .			cm
<b>Wicklungsart:</b> . . . . .			„
Stromstärke pro Phase $J$ . . . . .			Amp.
Anzahl paralleler Zweige pro Phase $a$ . . . . .			„
Stromstärke pro Zweig $J_a = \frac{J}{a}$ . . . . .			Amp.
Lineare Belastung $AS$ . . . . .			„
Anzahl Windungen in Serie pro Phase			„
$\frac{\pi D AS}{2 m J} = w$ . . . . .			„
Stromdichte $s_a$ . . . . .			Amp /mm <sup>2</sup>
Draht-Stab-Querschnitt $q_a$ . . . . .			mm <sup>2</sup>
Draht-Stab-Dimension nackt und isoliert . . . . .			mm
Länge einer Windung $l_a$ . . . . .			cm
Bewickelte Nuten pro Pol und Phase $q$ . . . . .			„
Nutenzahl pro Phase . . . . .			„

Ankernutenzahl $Z$	} Figur.	. . . . .	=	
Leiter pro Nut $\frac{aw}{pq}$		. . . . .	=	
Nutenform				
Nutenweite				
Nutentiefe				
Anordnung der Drahte				
Zahnteilung am Umfange $t_1$		. . . . .	=	mm
Zahnteilung am Fuße $t_2$		. . . . .	=	"
Breite der Zahnkrone $z_1$		. . . . .	=	"
Kleinste Zahndicke $z_2$		. . . . .	=	"
Größte Zahndicke $z_3$		. . . . .	=	"
Dicke des Eisenbleches		. . . . .	=	"
Isolation zwischen den Blechen $100 (1 - k_2)$		. . . . .	=	0/o
Effektiver Eisenquerschnitt $lhk_2$		. . . . .	=	cm <sup>2</sup>
Kraftlinienlänge $L$		. . . . .	=	cm
<b>Pol:</b> Material		. . . . .	=	
Länge $l_p (\leq l_1)$		. . . . .	=	cm
Polbogen $b$		. . . . .	=	"
Polteilung $\tau = \frac{\pi D}{2p}$		. . . . .	=	"
Verhältnis $\frac{b_i}{\tau} = \alpha_i$		. . . . .	=	
Verhältnis $\frac{l_i}{b_i}$		. . . . .	=	
Luftzwischenraum $\delta = 0,6$ bis $1,2 \frac{\tau AS}{B_l}$		. . . . .	=	cm
Faktor $k_1 = \frac{t_1}{z_1 + X \delta}$		. . . . .	=	
Magnetradurchmesser		. . . . .	=	cm
<b>Magnetschenkel:</b> Material		. . . . .	=	
Länge in der Achsenrichtung		. . . . .	=	cm
Breite-Durchmesser		. . . . .	=	"
Radiale Höhe inkl. Polschuh		. . . . .	=	"
Querschnitt $Q_m$		. . . . .	=	cm <sup>2</sup>
Kraftlinienlänge $L_m$		. . . . .	=	cm
<b>Joch:</b> Material		. . . . .	=	
Länge in der Achsenrichtung		. . . . .	=	cm
Radiale Höhe		. . . . .	=	"
Querschnitt $Q_j$		. . . . .	=	cm <sup>2</sup>
Kraftlinienlänge $L_j$		. . . . .	=	cm

## Berechnung der Feldamperewindungen bei Leerlauf.

			$E_p = P_{\text{normal}}$		
Induzierte EMK $E_p$ . . . . .	=				
Kraftfluß $\Phi = \frac{E_p 10^8}{4 k c w}$ . . . . .	=	$10^6$	$10^6$	$10^6$	$10^6$
EMK-Faktor $k$ . . . . .	=				
Ideeller Polbogen $b_i$ . . . . .	=				
Ideelle Pollänge $l_i$ . . . . .	=				
Induktion im Luftzwischenraum					
$B_i = \frac{\Phi}{b_i l_i}$ . . . . .	=				
Induktion im Anker $B_a = \frac{\Phi}{2 l h k_2}$	=				
Ideelle Induktion in den Zähnen					
$B_{zmax} = \frac{B_i t_1 l_i}{k_2 z_{min} l}$ . . . . .	=				
$\sigma = 1 + \frac{2 (A W_i + A W_z + A W_a)}{\Phi}$					
$\times (\Sigma \lambda_p + \Sigma \lambda_m + \Sigma \lambda_j)$ . . . . .	=				
$\Phi_m = \sigma \Phi$ . . . . .	=				
$B_m = \frac{\Phi_m}{Q_m}$ . . . . .	=				
$B_j = \frac{\Phi_j}{Q_j}$ . . . . .	=				
$A W_i = 1.6 k_1 B_i \delta$ . . . . .	=				
$A W_a = a w_a L_a$ . . . . .	=				
$A W_z = a w_{zid} L_z$ . . . . .	=				
$A W_m = a w_m L_m$ . . . . .	=				
$A W_j = a w_j L_j$ . . . . .	=				
$A W$ pro Kreis . . . . .	$A W_{k0} =$				
$A W$ total . . . . .	$A W_{t0} =$				

## Graphische Darstellung der Leerlaufcharakteristik.

## Berechnung der Feldamperewindungen bei Belastung.

Äquivalente Leitfähigkeit des Nutenraumes  $\lambda_n =$ Äquivalente Leitfähigkeit an der Ankerober-  
fläche  $\lambda_k \dots \dots \dots =$ Länge eines Spulenkopfes  $l_s \dots \dots \dots =$  cmÄquivalente Leitfähigkeit um die Spulenköpfe  $\lambda_s =$  $\Sigma(l_x \lambda_x) = l_n(\lambda_n + \lambda_k) + l_s \lambda_s \dots \dots \dots =$ 

Reaktanz des Ankerstreufusses

 $x_{s1} = \frac{12,5 \text{ c w}^2}{p q 10^8} \Sigma(l_x \lambda_x) \dots \dots \dots =$   $\Omega$ Starke des Nutensteges  $\delta' \dots \dots \dots =$  cm

EMK des Streufusses durch die Nutenstege

 $E_s' = \frac{2 \text{ c w}}{10^3} l_s \delta' \dots \dots \dots =$  VoltAmperewindungsfaktor  $k_0 \dots \dots \dots =$ Amperewindungsfaktor  $k_q \dots \dots \dots =$ 

	$\cos \varphi = 1$	$\cos \varphi =$	$\cos \varphi =$
Phasenspannung $P \dots \dots \dots =$			
Phasenstrom $J \dots \dots \dots =$			
Widerstandsspannung $J r_a = J k_r r_g \dots \dots =$			
Reaktanzspannung $E_{s1} = J x_{s1} + E_s' \dots \dots =$			
Reaktanzspannung einer Einphasen- maschine $E_{s1} = (1,1 \text{ bis } 1,2) J x_{s1} + E_s' =$			
$\frac{A W_q}{\cos \psi} = k_q f_w m J w \dots \dots \dots =$			
$\frac{E_{s3}}{\cos \psi}$ (aus der Leerlaufcharakteristik) $\dots =$			
$\text{tg } \psi = \frac{P \sin \varphi + J x_{s1} + E_s' + \frac{E_{s3}}{\cos \psi}}{P \cos \varphi + J r_a} \dots \dots =$			
$E_D = P \cos \Theta \pm J r_a \cos \psi \pm (J x_{s1} + E_s') \sin \psi =$			
$\sigma_b = \sigma + 2 \frac{A W_e}{p \Phi_{a,b}} \Sigma(\lambda_p + \lambda_m + \lambda_j) \dots \dots =$			
$p A W_k$ (mit Hilfe d. Leerlaufcharakteristik) $=$			
$A W_e = k_0 f_w m J w \sin \psi \dots \dots \dots =$			
$A W_t \dots \dots \dots =$			

**Erregerwicklung.**

Erregerspannung $e$ . . . . .	=	Volt
Zahl der Spulen . . . . .	=	
Windungen pro Spule . . . . .	=	
Mittlere Länge einer Windung $l_e$ . . . . .	=	
Schaltung der Spulen . . . . .	=	
$q_e = \frac{(1 + 0,004 T_m^0) A W_{tmax} l_e}{5700 e}$ . . . . .	=	mm <sup>2</sup>
Drahtdurchmesser nackt und isoliert . . . . .	=	mm
Stromdichte bei Vollast $s_e = \frac{5700 W_e}{(1 + 0,004 T_m^0) A W_t l_e}$ . . . . .	=	Amp /mm <sup>2</sup>
$i_{e0}$ bei Leerlauf . . . . .	=	Amp.
$i_{en}$ (bei Vollast und $\cos \varphi =$ . . . . .) $q_e s_e$ . . . . .	=	"
$i_{emax} = \frac{e}{r_e}$ . . . . .	=	"
$i_{emin}$ . . . . .	=	"
Windungszahl total $w_e = \frac{A W_t}{l_{en}}$ . . . . .	=	
Hohe des Wicklungsraumes (radial) . . . . .	=	cm
Breite des Wicklungsraumes . . . . .	=	"
Widerstand $\frac{(1 + 0,004 T_m^0) w_e l_e}{5700 q_e} = r_e$ . . . . .	=	$\Omega$
Regulier- und Vorschaltwiderstand $r_v$ . . . . .	=	$\Omega$

**Verluste**bei Vollast und  $\cos \varphi = 1$ .

a) im Ankereisen:

Periodenzahl $c = \frac{pn}{60}$ . . . . .	=	
Hysteresiskonstante $\sigma_h$ . . . . .	=	
Wirbelstromkonstante $\sigma_w$ . . . . .	=	
Eisenvolumen der Zähne $V_z$ . . . . .	=	dm <sup>3</sup>
Hysteresisverlust der Zähne $W_{hz}$ . . . . .	=	Watt
Wirbelstromverlust der Zähne $W_{wz}$ . . . . .	=	"
Eisenvolumen des Kernes $V_a$ . . . . .	=	dm <sup>3</sup>

Hysteresisverlust des Kernes  $W_{ha}$  . . . . = Watt

Wirbelstromverlust des Kernes  $W_{wa}$  . . . . = „

Totaler Eisenverlust

$$W_{ea} = W_{hz} + W_{ha} + W_{wz} + W_{wa} \quad . \quad . \quad . \quad = \quad ,$$

$$\text{Prozentualer Eisenverlust} = \frac{W_{ea}}{10 KW} \quad . \quad . \quad . \quad = \quad \text{\text{‰}}$$

b) im Ankerkupfer:

Ohmscher Widerstand pro Phase

$$r_g = \frac{w l_a (1 + 0,004 T_a)}{a \cdot 5700 q_a} \quad . \quad . \quad . \quad . \quad = \quad \Omega$$

Effektiver Widerstand  $r_a = k, r_g$  . . . . =  $\Omega$

Wattverlust  $W_{ka} = m J^2 r_a$  . . . . = Watt

Prozentualer Kupferverlust im Anker

$$= \frac{m J^2 r_a}{10 KW} \quad . \quad . \quad . \quad . \quad = \quad \text{\text{‰}}$$

Abkühlungsfläche des Ankers  $A_a$  . . . . =  $\text{cm}^2$

$$W_{kz} = \frac{l_1}{l_a} W_{ka} \quad . \quad . \quad . \quad . \quad = \quad \text{Watt}$$

$$a_a = \frac{A_a}{W_{ea} + W_{kz}} \quad . \quad . \quad . \quad . \quad = \quad \text{cm}^2/\text{Watt}$$

Temperaturerhöhung (Anker ruhend):

$$T_a = \frac{(150 \text{ bis } 350)}{a_a} \quad . \quad . \quad . \quad . \quad = \quad ^\circ \text{C}$$

c) durch Erregung:

$$W_e = i_e^2 r_e \quad . \quad . \quad . \quad . \quad = \quad \text{Watt}$$

$$W_{et} = i_e e_e \quad . \quad . \quad . \quad . \quad = \quad ,$$

$$\text{Prozentualer Erregerverlust} = \frac{W_{et}}{10 KW} \quad . \quad = \quad \text{\text{‰}}$$

Abkühlungsfläche der Spulen  $A_m$  . . . . =  $\text{cm}^2$

$$a_m = \frac{A_m (1 + 0,1 v)}{W_e} \dots \dots \dots = \text{cm}^2/\text{Watt}$$

Temperaturerhöhung der Erregerspulen durch den

$$\text{Widerstand gemessen, } T_m = \frac{125 \text{ bis } 600^1)}{a_m} = \text{ }^\circ \text{C}$$

d) Lagerreibung und Luftreibung:

$$W_R = 26 \frac{dl_z}{T_z} \sqrt{v_z^3} \dots \dots \dots = \text{Watt}$$

**Summe aller Verluste.**

$$W_v = W_{ea} + W_{ka} + W_{et} + W_R \dots \dots \dots = \text{Watt}$$

**Wirkungsgrad.**

$$\eta = \frac{\text{Leistung}}{\text{Leistung} + W_v} \left\{ \begin{array}{ll} \text{bei Vollast} \dots \dots \dots & \% \\ \text{ }^{3/4} \text{ Belastung} \dots \dots \dots & \% \\ \text{ }^{1/2} \text{ Belastung} \dots \dots \dots & \% \\ \text{ }^{1/4} \text{ Belastung} \dots \dots \dots & \% \end{array} \right.$$

**Gewichte.**

Anerkupfer	...	=	kg
Erregerkupfer	...	=	"
Ankerbleche	...	=	"
Pole	...	=	"

**Prozentuale Spannungsänderung**

(bei normaler Spannung und Belastung in KVA = ).

	Spannungsabfall			Spannungserhöhung		
	$\cos \varphi = 1$	$\cos \varphi =$	$\cos \varphi = 0$	$\cos \varphi = 1$	$\cos \varphi =$	$\cos \varphi = 0$
<i>P</i>						
<i>J</i>						
<i>ε</i>						

<sup>1)</sup> Bei hochkant gewickeltem Flachkupfer ist der untere Wert einzuführen.

Kurzschlußstrom (für  $AW_t$  bei  $\cos\varphi=1$ )  $J_k =$  Amp.  $\frac{J_k}{J_a} =$

Bemerkungen:











## Dreiundzwanzigstes Kapitel.

# Experimentelle Untersuchung der synchronen Wechselstrommaschinen.

153. Aufnahme der charakteristischen Kurven — 154. Experimentelle Bestimmung der Streureaktanz  $x_{s1}$  und des effektiven Widerstandes der Ankerwicklung  $r_a$  — 155. Bestimmung des Wirkungsgrades. — 156 Trennung der Eisenverluste — 157. Untersuchung der Temperaturerhöhung — 158 Beispiel für die vollständige Untersuchung eines Dreiphasengenerators — 159 Untersuchung eines Synchronmotors — 160. Experimentelle Bestimmung der Winkelabweichung.

### 153. Aufnahme der charakteristischen Kurven.

a) Leerlaufcharakteristik.  $E_a = f(i_e)$ .

Drehzahl konstant.

Erregung veränderlich.

Steigert man bei der leerlaufenden Maschine den Erregerstrom von Null ausgehend bis zu seinem Maximalwerte und beobachtet die jedem Werte des Erregerstromes entsprechende Spannung an den Klemmen der Maschine, die in diesem Falle gleich der EMK  $E$  ist, so erhält man die Leerlaufcharakteristik. Die Leerlaufcharakteristik stellt die Magnetisierungskurve der Maschine dar. Bei der Aufnahme der Leerlaufcharakteristik ist noch besonders darauf zu achten, daß die Änderung des Erregerstromes immer in gleicher Richtung erfolgt, da man sonst einen unstetigen Verlauf der Magnetisierungskurve erhält.

Kleinere Abweichungen von der der Untersuchung zugrunde gelegten Drehzahl  $n$  können leicht korrigiert werden, da  $E_a : E_a' = n : n'$ , wenn  $E_a'$  bzw.  $E_a$  die bei den Drehzahlen  $n'$  bzw.  $n$  abgelesenen Spannungen bedeuten.

Bei Mehrphasenmaschinen wird man in den meisten Fällen bei der Sternschaltung nur die verkettete und bei der Dreieckschaltung

nur die Phasenspannung messen können. Es wird sich in diesem Falle empfehlen, für bestimmte Werte des Erregerstromes die Spannung von Mehrphasengeneratoren zwischen verschiedenen Klemmen zu messen, um sich zu überzeugen, ob die Wicklung symmetrisch und richtig ausgeführt ist.

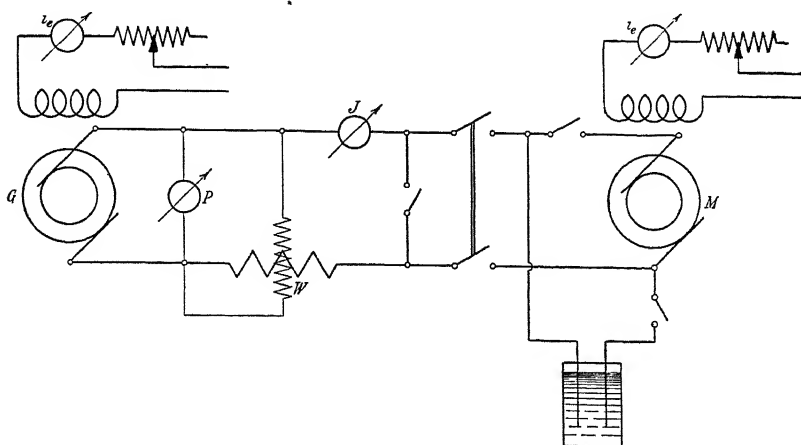


Fig 384. Schaltung zur Aufnahme der charakteristischen Kurven eines Wechselstromgenerators

Nach dem Schaltungsschema (Fig. 384) kann man sowohl die Leerlaufcharakteristik, wie alle anderen charakteristischen Kurven der Synchronmaschine aufnehmen.  $G$  ist der zu untersuchende Generator, der von irgendeiner Antriebsmaschine mit konstanter Drehzahl angetrieben wird.  $M$  ist eine zweite Synchronmaschine, die zur Belastung des Generators  $G$  dient. Parallel zu  $M$  ist ein Wasser- oder Drahtwiderstand geschaltet.

**b) Kurzschlußcharakteristik.**  $J_k = f(i_e)$ .

Drehzahl konstant.

Erregerstrom veränderlich.

Schließt man nach Fig. 385 die einzelnen Phasen eines Generators durch Amperemeter von vollkommen gleichen inneren Widerständen kurz und erregt man die Maschine stufenweise so weit, daß ein bestimmter Strom  $J_k$  in den kurzgeschlossenen Phasen fließt (in den Amperemetern je nach der Schaltung  $J_k$  bzw.  $\sqrt{3} J_k$ ), dann ergibt die bei konstanter Umdrehungszahl beobachtete Abhängigkeit zwischen dem Kurzschlußstrom und Erregerstrom die Kurzschlußcharakteristik.

Die Kurzschlußcharakteristik verläuft für den geraden Teil der Leerlaufcharakteristik geradlinig und biegt im weiteren Verlaufe



Als Belastungswiderstände verwendet man, solange es sich nur um induktionsfreie Belastung handelt, Wasser-, Drahtspiralen- oder Glühlampenwiderstände.

Induktive Belastungen können entweder durch Einschalten von Drosselspulen bzw. Kapazitäten oder viel bequemer dadurch hergestellt werden, indem man den zu untersuchenden Generator mit einer zweiten Wechselstrommaschine parallel schaltet, wie in Fig. 384 gezeigt ist. Schaltet man noch einen Wasserwiderstand oder einen Drahtwiderstand parallel dazu, so kann man durch Regulieren des Widerstandes jede beliebige Belastung und durch Regulierung der Erregung der zweiten Maschine jede beliebige Phasennach- oder -voreilung des Stromes einstellen.

#### d) Äußere Charakteristik.

Drehzahl konstant.

Erregerstrom bzw. Erregerwiderstand konstant.

Leistungsfaktor konstant und

Belastungsstrom veränderlich.

Die äußere Charakteristik einer Wechselstrommaschine wird aufgenommen, indem man bei konstant eingestelltem Erregerstrom und bei konstanter Phasenverschiebung den Belastungsstrom verändert und die Klemmenspannung beobachtet. Für die 350 KVA-Maschine sind in Fig. 387 die äußeren Charakteristiken:

Kurve 1: für  $\cos \varphi = 1$ , ausgehend von der normalen Spannung bei Leerlauf  $P_0 = 3200$  und Kurve 2: für  $\cos \varphi = 0,8$ , ausgehend von der normalen Klemmenspannung  $P = 3200$  Volt bei normaler Belastung, aufgetragen. Außerdem sind in den Kurven 3 und 4 noch die äußeren Charakteristiken für die Phasenverschiebungen  $\cos \varphi = 0$  und  $\varphi = +90^\circ$  bzw.  $\cos \varphi = 0$  und  $\varphi = -90^\circ$  dargestellt.

Hat man die Erregung so eingestellt, daß bei Leerlauf die normale Spannung  $P_0$  an den Klemmen gemessen wird, und beobachtet man bei derselben Erregung, bei dem normalen Strome und einer bestimmten Phasenverschiebung die Klemmenspannung  $P'$ , so ergibt

$$\frac{P_0 - P'}{P_0} 100$$

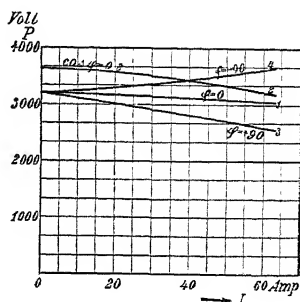


Fig 387 Äußere Charakteristiken eines 350 KVA-Dreisphasengenerators



den prozentualen Spannungsabfall Aus der Kurve 1 ergibt sich z. B. für eine Belastung von  $J=60$  Amp. der Spannungsabfall gleich  $\frac{3200 - 3040}{3200} 100 = 5\%$  ( $\cos \varphi = 1$ ).

Stellt man bei normaler Belastung die Erregung so ein, daß man an den Klemmen die normale Klemmenspannung  $P$  erhält und entlastet man die Maschine, ohne die Erregung zu ändern, so ergibt

$$\frac{P_0 - P}{P} 100$$

die prozentuale Spannungserhöhung. Aus der Kurve 2 ergibt diese sich für eine Belastung von  $J=60$  Amp. zu

$$\frac{3610 - 3200}{3200} 100 = 12,5\% \quad (\cos \varphi = 0,8).$$

Nach den Bestimmungen des Verbandes Deutscher Elektrotechniker ist die Spannungserhöhung zu untersuchen, um die Spannungsänderung einer Maschine festzustellen.

Unter Spannungsänderung hat man hiernach die Änderung der Spannung zu verstehen, die eintritt, wenn man bei normaler Klemmenspannung den höchsten Ankerstrom, der für die betr. Maschine angegeben ist, abschaltet, ohne Drehzahl und Erregerstrom zu ändern. Bei Maschinen, die nur für induktionsfreie Belastung bestimmt sind, genügt die Angabe der Spannungsänderung für letztere. Bei Maschinen, die für induktive Belastung bestimmt sind, ist außer der Spannungsänderung für induktionslose Belastung noch die Spannungsänderung bei einer induktiven Belastung anzugeben, deren Leistungsfaktor 0,8 ist.

Will man die Spannungsänderungen eines Generators experimentell zu bestimmen ohne ihn zu belasten, was namentlich bei großen Maschinen in den Werkstätten häufig nötig ist, so kann man nach einer der im weiteren beschriebenen Methoden die Streureaktanz  $x_{s1}$  und den effektiven Widerstand der Ankerwicklung bestimmen und dann die Spannungserhöhung bzw. Spannungsabfall graphisch oder rechnerisch nach der auf S. 60 angegebenen Methode ermitteln

#### e) Regulierungskurve.

Drehzahl konstant.

Klemmenspannung und Phasenverschiebung konstant.

Belastungsstrom veränderlich.

Die Regulierungskurve einer Wechselstrommaschine stellt die Größe der zur Konstanthaltung der Klemmenspannung erforder-

lichen Nachregulierung des Erregerstromes in Abhängigkeit von der Belastungsstromstärke bei konstanter Phasenverschiebung dar. Die Regulierungskurven werden gewöhnlich bei verschiedenen Leistungsfaktoren aufgenommen.

Fig. 388 zeigt die Regulierungskurven der 350 KVA-Maschine.

Kurve 1: für die normale Klemmenspannung und  $\cos \varphi = 1$ .

Kurve 2 bzw. 3 für  $\varphi = +90^\circ$  bzw.  $\varphi = -90^\circ$ .

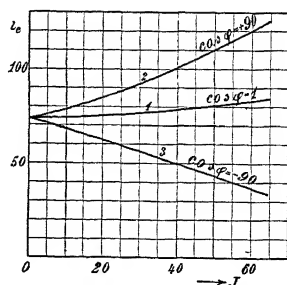


Fig. 388 Regulierungskurven eines 350 KVA-Dreiphasengenerators.

## 154. Experimentelle Bestimmung der Streureaktanz $x_{s1}$ und des effektiven Widerstandes der Ankerwicklung $r_a$ .

a) Mittels Leerlauf- und Kurzschlußcharakteristik. Es genügt dazu die Aufnahme nur eines Punktes der Kurzschlußcharakteristik. Ist  $P$  (Fig. 389) dieser Punkt, so stellt  $\vec{OA}_2$  die Amperewindungen dar, die bei Kurzschluß zur Erzeugung des Kurzschlußstromes  $A_2P$  nötig sind. Da bei Kurzschluß der Winkel  $\psi = \psi_k$  fast  $90^\circ$  ist, so kann man die quermagnetisierenden Amperewindungen

$$AW_q = k_q f_{w1} m J w \cos \psi_k$$

gleich Null annehmen und für die längsmagnetisierenden Amperewindungen mit genügender Genauigkeit setzen

$$AW_e = 0,98 k_0 f_{w1} m J w.$$

Trägt man in Fig. 389 von  $A_2$  die Strecke  $\overline{A_2 A_1} = AW_e$  ab, so ist  $\overline{A_1 B} = J z_k$  (vgl. S. 119).

b) Mittels Leerlaufcharakteristik und Belastungscharakteristik für rein induktive Belastung. Diese Methode ist von A. Blondel und Potier angegeben worden. — Da  $P$  um  $90^\circ$  gegen  $J$  verschoben ist, so wird  $E$ , wie bei Kurzschluß, fast unabhängig von  $J r_a$  und der innere Phasenverschiebungswinkel  $\psi$  wird ca.  $90^\circ$ . Man kann somit bei rein induktiver Belastung mit genügender Genauigkeit setzen

$$\left. \begin{aligned} E &= P + J x_{s1} + E_{s2} \\ AW_e &= k_0 f_{w1} m J w \end{aligned} \right\} \quad \dots \quad (430)$$

und

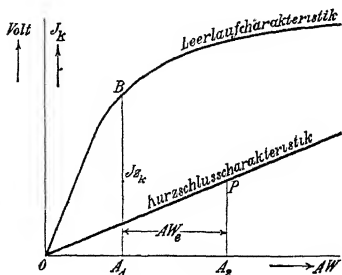


Fig. 389.

Irgendeiner Amperewindungszahl  $\overline{OA_2}$  (Fig. 390) wird bei dieser rein induktiven Belastung  $J$  eine Klemmenspannung  $P = \overline{A_2P}$  und eine EMK  $E = \overline{A_2E}$  entsprechen. Es ist somit

$$\overline{PE} = E - P = Jx_{s1} + E_{s2}$$

Tragen wir von  $A_2$  die Strecke  $\overline{A_2A_1} = AW_e$  ab, so ist  $\overline{A_1C} = P + Jx_{s1}$ ,  $\overline{DE} = E_{s2}$  und  $\overline{PD} = \overline{BC} = Jx_{s1}$ .

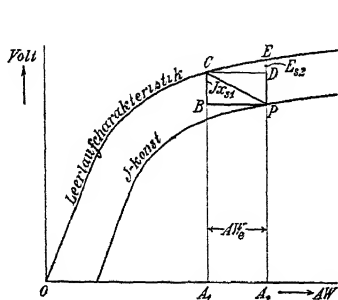


Fig. 390. Bestimmung der Streureaktanz aus dem Potierschen Dreieck.

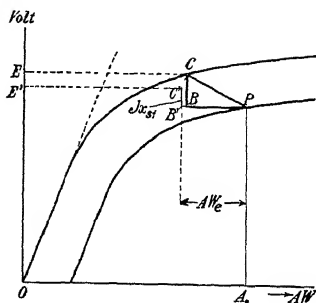


Fig. 391 Bestimmung der Streureaktanz aus dem Potierschen Dreieck unter Berücksichtigung der vermehrten Magnetstreuung

Die durch die Belastung hervorgerufene zusätzliche Streuung ist dabei unberücksichtigt geblieben. Will man diese berücksichtigen, so kann es in ähnlicher Weise geschehen, wie bei der Bestimmung der Feldamperewindungen bei Belastung (Kap. III, S. 98). Man zeichnet zunächst in der oben angegebenen Weise das Potiersche Dreieck  $BCP$  ein (Fig. 391) und zieht durch den Punkt  $C$  eine Parallele zur Charakteristik für den Luftspalt und das Ankereisen bis zum Schnitt mit der Horizontalen durch  $E'$ . Es ist dabei

$$\overline{OE'} = \overline{OE} \frac{\sigma}{\sigma_b},$$

wo  $\sigma$  bzw.  $\sigma_b$  den Streukoeffizienten bei Leerlauf bzw. bei Belastung bedeutet (siehe Gl. 63 und 66). Als Charakteristik für den Luftspalt und das Ankereisen kann bei wenig gesättigten Ankerzähnen die Verlängerung des geradlinigen Teiles der Leerlaufcharakteristik angenommen werden.

Es wird dann  $\overline{B'P}$  gleich den wirklichen  $AW_e$  (vgl. S. 98) und

$$\overline{B'C'} = Jx_{s1}.$$

Infolge der vermehrten Streuung entspricht den Amperewindungen  $\overline{OA_2}$  eine etwas kleinere induzierte EMK als  $\overline{A_1C}$ . Es fällt daher  $Jx_{s1}$  etwas kleiner als  $\overline{BC}$  aus.

Bei großen Maschinen ist es oft schwierig, einen Belastungszustand herzustellen, bei dem  $\cos \varphi$  gleich oder annähernd gleich Null wird, weshalb diese Methode etwas an Bedeutung verliert. Ferner muß zur Bestimmung von  $r_a$  entweder der Kurzschlußversuch oder die Messung von  $r_g = \frac{r_a}{k_r}$  durchgeführt werden.

c) **Die dritte Methode zur experimentellen Bestimmung von  $x_{s1}$**  besteht darin, daß man durch eine Phase der Ankerwicklung der stillstehenden Maschine einen Wechselstrom schickt. Befindet sich die Armatur im Felde, so stellt man die Pole relativ zum Anker derartig ein, daß die Leiter der betreffenden Phase in die neutrale Zone zwischen den Polen zu liegen kommen. Ferner schließt man die Erregerspulen kurz und benutzt eventuell einen Wechselstrom hoher Periodenzahl; dadurch wird sich infolge der Schirmwirkung der Wirbelströme sehr wenig Streufluß durch die Magnetkerne und das Joch schließen.

Mißt man die der Maschine bei Kurzschluß zugeführte totale Leistung  $W_{kt}$  und zieht von dieser die Reibungsverluste  $W_e$  ab, so erhält man den Stromwärmeverlust  $J^2 r_a$  und es ist somit der effektive Widerstand der Ankerwicklung

$$r_a = \frac{W_{kt} - W_e}{J^2}$$

Angenähert kann man  $r_a$  auch in der Weise bestimmen, daß man den Ohmschen Widerstand  $r_g$  mit Gleichstrom mißt und

$$r_a = r_g k_r$$

berechnet<sup>1)</sup>.

Die Reaktanz des Streuflusses wird gleich

$$x_{s1} = \sqrt{z_k^2 - r_a^2} \quad . \quad . \quad . \quad . \quad . \quad . \quad (431)$$

Man kann jetzt nachkontrollieren, ob die Annahme  $\sin \psi_k = 0,98$  genügend genau ist, indem man

$$\sin \psi_k = \frac{x_{s1}}{z_k} = \sqrt{1 - \left(\frac{r_a}{z_k}\right)^2}$$

berechnet.

## 155. Bestimmung des Wirkungsgrades.

a) **Bestimmung des Wirkungsgrades aus der Messung des Leerlauf- und Kurzschlußeffektes.** Die in einer Wechselstrommaschine auftretenden Verluste lassen sich in die Reibungsverluste  $W_e$ , Hysteresisverluste  $W_h$  und Wirbelstromverluste  $W_w$  einer-

<sup>1)</sup> Siehe S. 54.

seits und in die Stromwärmeverluste der Armatur und der Erregung andererseits zerlegen.

Wir messen nun bei der leerlaufenden Maschine die zugeführte Leistung bei einer Erregung, die bei offener Ankerwicklung die Klemmenspannung

$$P_0 = \sqrt{(P + J_a)^2 + (Jx_{s1})^2}$$

erzeugt. Die bei diesem Versuch benutzte Erregung wollen wir als  $P_0$ -Erregung bezeichnen. Die im Anker induzierte EMK entspricht dann derjenigen, die wir nötig haben, um bei induktionsfreier Belastung  $J$  die Klemmenspannung  $P$  zu erhalten. Entwickeln wir obigen Ausdruck in eine Reihe, so wird

$$P_0 = P + Jr_a + \frac{(Jx_{s1})^2}{2P},$$

wobei das letzte Glied als klein (etwa  $= 0,005P$ ) vernachlässigt werden kann.

Läuft die Maschine außerdem mit der normalen Geschwindigkeit, so entspricht die gemessene Leistung den Leerlaufverlusten

$$W_e + W_h + W_w.$$

Der Stromwärmeverlust  $W_h$  der Armatur wird gefunden, indem man bei kurz geschlossener Armatur die Maschine soweit erregt, daß der normale Belastungsstrom sich einstellt. Die der kurzgeschlossenen Maschine zuzuführende Leistung ist dann

$$W_e + W_h.$$

Bestimmen wir durch einen besonderen Versuch noch  $W_e$ , so ist  $W_h$  bekannt, wobei wir  $W_h = m J_k^2 r_a$  setzen.

Ein ganz kleiner Teil der in  $W_h$  gemessenen Verluste entfällt auch auf die vom Armaturfeld herrührenden Eisenverluste. Eine kleine Nachrechnung gibt uns hierüber Aufschluß.

Bei einer 350 KVA-Maschine betrugen die bei der normalen Erregung entsprechenden induzierten EMK gemessenen Eisenverluste  $W_h + W_w = 19400$  Watt.

Angenommen es gälte die Beziehung

$$(W_h + W_w) = \text{Konst. } B^{1,8},$$

dann ergeben sich für Kurzschluß die Eisenverluste zu

$$0,095^{1,8} \cdot 19400 = 280 \text{ Watt},$$

indem die Kurzschlußimpedanz ca.  $9,5\%$  der normalen Klemmenspannung beträgt.

Die der kurzgeschlossenen Maschine zugeführte Leistung nach Abzug der Reibungsverluste beträgt:

$$W_k = 11100 \text{ Watt,}$$

also betragen die Eisenverluste hierin nur

$$\frac{280}{11100} \cdot 100 = 2,5\%.$$

Wir können somit mit genügender Annäherung die bei Kurzschluß gemessenen Verluste als Stromwärmeverluste betrachten und erhalten dann in

$$\frac{W_k}{m J_k^2} = r_a$$

den effektiven Widerstand der Armatur, d. h. denjenigen Widerstand, der für die Größe der Armaturverluste maßgebend ist und der mit dem Quadrate des Armaturstromes multipliziert die Stromwärmeverluste des Ankers ergibt

Das bei Belastung auftretende resultierende Feld wird infolge der Quermagnetisierung gewöhnlich etwas größere Verluste bedingen, als das bei Leerlauf und derselben induzierten EMK bestehende Feld. Diesen Teil der Eisenverluste messen wir aber im Kurzschlußeffekt mit, wodurch wir den entstehenden Fehler wieder ausgleichen

Wir erhalten sonach aus den bei Leerlauf und Kurzschluß gemessenen Verlusten den Wirkungsgrad einer Wechselstrommaschine gleich

$$\eta = \frac{W}{W + (W_e + W_h + W_w) + W_k + W_e} \quad (432)$$

Die Erregerverluste  $W_e = i_e^2 r_e$  für einen bestimmten Belastungszustand ermittelt man, wenn durch einen Belastungsversuch die Regulierungskurve nicht erhalten werden kann, durch graphische Bestimmung der induzierten EMK bei Zugrundelegung der Leerlaufcharakteristik und der experimentell gefundenen Größen  $r_a$  und  $x_{s1}$ .

Die Messung der Leerlauf- und Kurzschlußverluste kann nach folgenden Versuchsanordnungen durchgeführt werden:

1. durch Messung der der Antriebsmaschine zugeführten Leistung (mit geeichtem Motor oder durch Indizierung der Antriebsmaschine) und

2. durch Beobachtung des Auslaufes bei unerregter, erregter und kurz geschlossener Maschine.

### 1. Messung des Leerlauf- und Kurzschlußeffektes mit geeichtem Motor.

Die Bestimmung der Leerlauf- und Kurzschlußverluste erfolgt bei normaler Drehzahl durch Antrieb des Generators mit einem Motor, dessen Eichkurve bzw. Eigenverluste bekannt sind. (Siehe Gleichstrommasch., Bd. I, S 726.)

Aus der dem Antriebsmotor zugeführten Leistung nach Abzug der Eigenverluste oder aus der an die Generatorwelle abgegebenen mechanischen Leistung erhält man:

die Reibungsverluste  $W_e$ , wenn man den Generator unerregt und mit offenem Ankerstromkreis laufen läßt,

die Leerlaufverluste  $W_e + W_h + W_w$ , wenn man den auf die Spannung  $P_0$  erregten Generator bei offenem Armaturstromkreise antreibt, und

die Kurzschlußverluste  $W_k$ , indem man den Anker des Generators kurzschließt und die Maschine soweit erregt, daß in der Armatur der normale Strom fließt. Die vom Generator verbrauchte mechanische Leistung ist dann gleich  $W_e + W_k$ .

Da  $W_e$  aus Versuch 1 bekannt ist, so kann auch  $W_k$  bestimmt werden.

Für rohe Untersuchungen und dort, wo man zum Antrieb des Generators einen Hilfsmotor verwendet, der durch den leerlaufenden und normal erregten bzw. durch den kurzgeschlossenen Generator voll belastet wird, genügt es, die Differenzen zwischen den Leistungen zu messen, die man dem Motor zuzuführen hat, wenn

1. der Antriebsmotor leer läuft und der Generator abgekuppelt ist,
2. der Generator mit dem Motor gekuppelt und mit der  $P_0$ -Erregung bei offenem Anker läuft, und
3. der Generator kurzgeschlossen ist.

Werden die Generatoren durch Dampfmaschinen angetrieben, so erhält man aus der Differenz der aus den Indikatordiagrammen erhaltenen Leistungen, entsprechend dem Antriebe des unerregten bzw. auf die Spannung  $P_0$  erregten Generators, die Eisenverluste. Ebenso erhält man aus der Differenz zwischen den bei kurzgeschlossenem und den bei unerregtem Generator gemessenen Leistungen die Kurzschlußverluste.

Die Reibungsverluste des Generators können hiernach nicht besonders ermittelt werden und werden dann den Reibungsverlusten der Dampfmaschine zugezählt. Diese Methode ist jedoch verhältnismäßig ungenau, da die Indizierung bei unbelasteter oder nur wenig belasteter Maschine sehr unzuverlässige Resultate liefert.





pro Sekunde, und man hat, wenn  $\overline{ab}$  in Sekunden abgelesen wird, noch mit dem Verhältnisse  $\left(\frac{\text{Ordinatenmaßstab}}{\text{Abszissenmaßstab}}\right)^2$  zu multiplizieren.

Hat man umgekehrt sowohl die Auslaufkurven als auch die Verlustkurven unter denselben Verhältnissen bestimmt, dann kann  $C$  für beliebig viele Punkte berechnet werden und es ist dann

$$C = \frac{W_v}{-n \frac{dn}{dt}} = \frac{\overline{de}}{\overline{ab}} \quad . \quad . \quad . \quad . \quad . \quad (434)$$

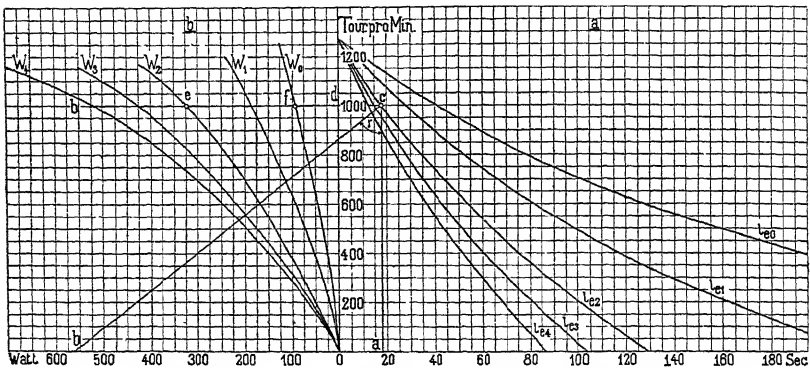


Fig. 392 a) Auslaufkurven, b) Verlustkurven.

Seien in Fig. 392a  $i_{e0}$ ,  $i_{e1}$ ,  $i_{e2}$ ,  $i_{e3}$  usw. die Auslaufkurven, die unter verschiedenen Auslaufbedingungen, z. B. verschiedenen konstant gehaltenen Erregerströmen  $i_{e0}$ ,  $i_{e1}$ ,  $i_{e2}$ ,  $i_{e3}$ ,  $i_{e4}$  Amp erhalten wurden, so hat man, um die Konstante  $C$  zu ermitteln, die Versuchsmaschine mechanisch oder elektrisch anzutreiben und die an die Maschinenwelle abgegebene bzw. von der Maschine aufgenommene Leistung  $W_v$  bei verschiedenen Erregungen zu messen.

Es ist dann

$$W_v = W_e + W_h + W_w = \overline{de}$$

und

$$C = \frac{\overline{de}}{\overline{ab}},$$

wobei  $\overline{ab}$  als Subtangente für den betreffenden Punkt der Auslaufkurve abzugreifen und  $\overline{de}$  im Wattmaßstabe einzuführen ist.

Da die Reibungsverluste mit der Lagertemperatur, den Lageänderungen der Welle den Lagerschalen gegenüber und der Art der Antriebsweise der Maschine als Motor sich ändern, so muß man besonders darauf Rücksicht nehmen, daß die Reibungsverluste bei

der Messung der zugeführten Leistung und beim Auslaufversuch möglichst die gleichen bleiben

Um dieses zu erreichen, verfährt man wie folgt. Man läßt zunächst die Maschine als Motor bei der normalen Tourenzahl einlaufen und mißt dann bei den betreffenden Erregungen die Leerlaufverluste. Nun bringt man die Maschine rasch auf eine höhere Tourenzahl und läßt sie von dort bei dem größten Erregerstrom auslaufen. Sie kommt schnell zur Ruhe und die Lager können sich während der kurzen Auslaufzeit nur wenig abkühlen. Dann bringt man die Maschine sofort wieder auf die normale Tourenzahl und läßt sie dort so lange laufen, bis man dieselben Leerlaufverluste erhält wie vorhin. Wenn dies der Fall ist, wird die Tourenzahl schnell wieder etwas erhöht und die Maschine läuft mit dem nächsten Wert des Erregerstromes aus. Die auf diese Weise aus jeder Auslaufkurve erhaltenen Werte für  $C$  werden dann sehr wenig voneinander abweichen, so daß ihr Mittelwert mit großer Genauigkeit zur Bestimmung der Verlustkurven dienen kann.

Zur Bestimmung der Konstanten  $C$  sind dann die in der folgenden Tabelle angegebenen Größen zu beobachten

$n$	$i_e$	Zugeführte Leistung $W_e + W_h + W_m$	Subtangente	$C$
$n_1$	$i_{e1}$	$W_1 = \overline{de}$	$\overline{ab}$	$\frac{\overline{de}}{\overline{ab}}$
Konst.	.	.	.	.

Um nun nach dieser Methode die Gesamtverluste zu bestimmen, hat man:

1. den Auslauf der mit verschiedenen Strömen erregten,
2. den Auslauf der kurzgeschlossenen Maschine zu beobachten und
3. durch einige direkte Messungen der Verluste die Konstante  $C$  zu ermitteln.

Angenommen, es wären in Fig. 392a die Auslaufkurven der unerregten, mit  $\frac{1}{2}$ ,  $\frac{3}{4}$  und  $\frac{4}{4}$  des normalen Stromes erregten Maschine in den Kurven  $i_{e0}$ ,  $i_{e1}$ ,  $i_{e2}$  usw. aufgetragen und die Konstante  $C$  wie vorher angegeben bestimmt worden, so ergeben sich die Verluste folgendermaßen:

- a) Die Reibungsverluste  $W_e$ . Aus der für  $i_e = 0$  bestimmten

Auslaufkurve  $i_{e0}$  bzw. der hieraus ermittelten Verlustkurve  $W_0$  erhält man direkt die Reibungsverluste  $W_e$  als Funktion der Tourenzahl.

b) Die Eisenverluste  $W_h + W_w$  sind für eine bestimmte Dreh- bzw. Periodenzahl gleich den Abszissen der Verlustkurven abzüglich der entsprechenden Reibungsverluste  $W_e$ . Für die bestimmte Erregung  $i_{e2}$  und Drehzahl  $n=1000$  ergibt sich aus Fig. 392 b z. B.  $W_{hw} = ef$ .

Für eine konstante Erregung ist der Kraftfluß eines Poles

$$\Phi = \frac{10^8}{4k w} \frac{E_p}{c} = \text{konst.} \frac{E_p}{c} = \text{konstant}$$

und es entspricht sonach jedem Werte des Erregerstromes eine bestimmte Konstante  $\left(\frac{E_p}{c}\right)$ , die man leicht bestimmen kann, indem man gleichzeitig mit den Tourenzahlen auch die induzierten EMKe  $E_p$  mißt.

Sollen nun die Eisenverluste für die konstante Periodenzahl  $c_1$  bei verschiedenen induzierten EMKen aufgetragen werden, so hat man aus den, den einzelnen Verlustkurven zugehörigen konstanten Verhältnissen  $\left(\frac{E_p}{c}\right)_1, \left(\frac{E_p}{c}\right)_2$  usw.,  $E_{p1} = c_1 \left(\frac{E_p}{c}\right)_1, E_{p2} = c_1 \left(\frac{E_p}{c}\right)_2$  usw. zu ermitteln. Die zugehörigen Abszissenabschnitte  $W_h + W_w$  aus

$W_h + W_w$  Watt

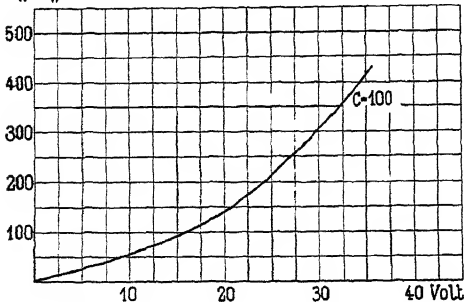


Fig. 393 Eisenverluste als Funktion der induzierten EMK bei konstanter Periodenzahl.

Fig. 392 b in Abhängigkeit von  $\frac{E_p}{c}$  bzw.  $E_p$  aufgetragen, ergeben dann Fig. 393.

c) Die Kupferverluste  $W_k$ . Der Auslauf bei Kurzschluß wird beobachtet, indem man den auf den normalen Armaturstrom erregten und kurzgeschlossenen Generator von einer bestimmten Geschwindigkeit ab sich

selbst überläßt und innerhalb der Auslaufdauer in regelmäßigen Zeitintervallen die Geschwindigkeit und die Kurzschlußstromstärke beobachtet.

Die Verluste  $W_k$  in Abhängigkeit von der Periodenzahl ergeben sich nach Abzug der Reibungsverluste  $W_e$  aus der Verlustkurve, die aus der Auslaufkurve bei Kurzschluß und Zugrundelegung derselben Konstante  $C$  wie vorher ermittelt wurde. Aus der Kurve

für die Abhängigkeit des Kurzschlußstromes  $J_k$  von der Periodenzahl erhält man ferner den der Periodenzahl  $c_1$  entsprechenden effektiven Widerstand

$$r_a = \frac{W_k^1}{m J_k^2}.$$

Ein übersichtliches Bild über die Größe und Änderung der Verluste in Abhängigkeit von der Belastung bei konstanter Periodenzahl ergibt die Zusammenstellung der Verluste in Fig. 394.

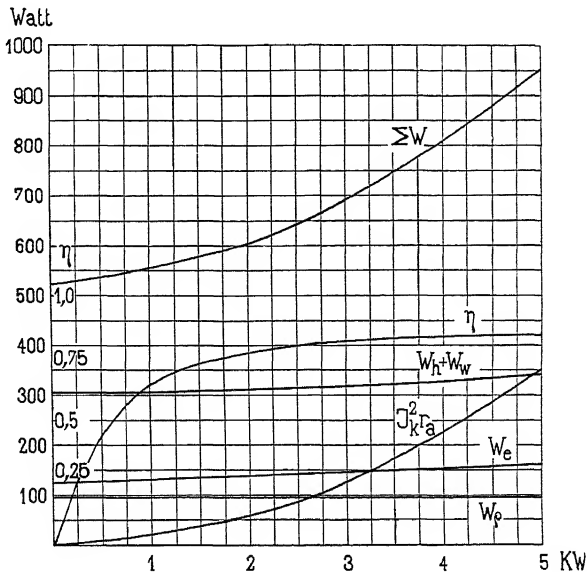


Fig. 394. Verluste und Wirkungsgrad als Funktion der Leistung.

Die Reibungsverluste  $W_o$  sind konstant bei konstanter Drehzahl, die Eisenverluste  $W_h + W_w$  variieren nach Maßgabe der für einen bestimmten Belastungszustand erforderlichen Erhöhung der EMK  $E_p$ . Diese findet man graphisch aus dem Diagramm, sobald die Reaktanz und der effektive Widerstand bekannt sind.

Die Erregerströme, die den einzelnen Belastungszuständen entsprechen, ergeben sich aus der Leerlaufcharakteristik, indem man für die graphisch ermittelten induzierten EMKe die zugehörigen Erregungen aufsucht. Es ist dann  $W_e = i_e^2 r_e$ . Die Stromwärmeverluste  $W_k = m J^2 r_a$  ändern sich mit dem Quadrate des Armaturstromes.

1) Siehe S 539

Bildet man für die einzelnen Belastungen die Summe der Verluste  $\Sigma W$ , so ergibt sich der Wirkungsgrad

$$\eta = \frac{W}{W + \Sigma W}.$$

Was nun die Versuchsanordnung selbst anbelangt, so ist zunächst unbedingt erforderlich, daß die Maschine vor Beginn der Versuche durch einen 4- bis 6stündigen Lauf mit normaler Drehzahl stationäre Temperaturen erreicht hat.

Auf die betreffende Drehzahl, von der aus der Auslauf beobachtet werden soll, wird die Maschine gebracht, indem man sie mit einem besonderen Motor mit einem Riemen oder direkt durch eine ausrückbare Kupplung verbindet. Ist die Maschine direkt mit einer Dampfmaschine, Gasmaschine oder Turbine gekuppelt, so hat man die Schubstange auszuhängen, bzw. die Turbine ohne Beaufschlagung laufen zu lassen. Den leerlaufenden Generator kann man dann als Synchronmotor mit variabler Erregung laufen lassen. Die Erregung muß während der Auslaufversuche von einer besonderen Gleichstromquelle mit konstanter Klemmenspannung geliefert werden.

Die Eichung der Versuchsanordnung bzw. die Bestimmung der Konstanten  $C$  muß sich nach den vorliegenden Verhältnissen, unter denen die Maschinen untersucht werden und den Hilfsenergiequellen, die zur Verfügung stehen, richten. In den meisten praktischen Fällen wird die Erregermaschine höchstens dazu ausreichen, den unerregten oder eventuell schwach erregten Generator in Bewegung zu setzen. Zu einem Antrieb für die Dauer der Leerlauffeffektmessung der normal erregten Maschine wird sie fast immer zu klein sein. Läßt man jedoch die zu untersuchende Maschine als Synchronmotor laufen, so kann die Messung der einzelnen Werten der Erregung entsprechenden Leerlaufverluste durch Bestimmung der dem leerlaufenden Motor zugeführten Leistung abzüglich der Stromwärmeverluste erfolgen. Die Klemmenspannung des Motors ist hierbei für die betreffenden Werte des Erregerstromes so einzuregulieren, daß der Ankerstrom ein Minimum wird.

Auf die synchrone Drehzahl kann die Versuchsmaschine gebracht werden, indem man sie mit kurzgeschlossener Feldwicklung zugleich mit dem Generator anlaufen läßt. Die Erregermaschine des Versuchsgenerators kann hierbei zur Unterstützung als Motor wirken.

In ganz besonderen Fällen wird man gezwungen sein, die Leerlaufverlustmessung durch Antreiben mit einem besonderen geeigneten Motor oder durch die Indizierung der Dampfmaschine durchzuführen.

b) **Bestimmung des Wirkungsgrades durch Messung des Leerlauf- und Stromwärmeverlustes nach der Leerlaufmethode.** Eine in vielen Fällen besonders bequem durchzuführende indirekte Methode zur Bestimmung des Wirkungsgrades besteht darin, daß man nicht nur den Leerlauffeffekt, sondern auch die Stromwärmeverluste dadurch bestimmt, daß man die zu untersuchende Maschine als Synchronmotor laufen läßt und den Wattverbrauch mißt.

Zunächst bestimmt man mittels zweier Versuche den effektiven Widerstand  $r_a$ . Man führt von einer Hilfsmaschine der zu untersuchenden und als Synchronmotor leerlaufenden Maschine die normale Klemmenspannung zu und gibt dem Motor eine so große Über- oder Untererregung, daß er die normale Stromstärke  $J$  aufnimmt. Die zugeführte Leistung ist dann

$$W_I = W'_0 + m r_a J^2.$$

Die in  $W'_0$  enthaltenen Eisenverluste sind durch die resultierende Feldstärke bestimmt, die sich aus den Feld- und Ankeramperewindungen ergibt. Sind die Windungszahlen der Feld- und Ankerwicklung bekannt, so lassen sich die resultierenden Amperewindungen aus der Beziehung

$$A W_r = i_e w_e \pm k_0 f_{w1} m w J$$

berechnen, denn die Phase des Ankerstromes  $J$  ist um nahezu  $90^\circ$  gegenüber der induzierten EMK verschoben. Das obere Vorzeichen bezieht sich auf einen phasenverfrühten und das untere auf einen phasenverspäteten Strom.

Reguliert man ferner bei denselben Amperewindungen

$$A W_r = i'_e w_e = (i_e w_e \pm k_0 f_{w1} m w J),$$

also bei dem Erregerstrom

$$i'_e = \frac{(i_e w_e \pm k_0 f_{w1} m w J)}{w_e}$$

des Motors die auf den Motor wirkende Klemmenspannung so ein, daß der vom Motor aufgenommene Strom  $J_0$  ein Minimum wird, dann hat  $W'_0$  denselben Wert wie beim ersten Versuch und die mit dem Wattmeter gemessene Leistung ist

$$W_{II} = W'_0 + m r_a J_0^2.$$

Aus diesen beiden Versuchen ergibt sich

$$r_a = \frac{W_I - W_{II}}{m(J^2 - J_0^2)},$$

oder bei Vernachlässigung von  $J_0^2$  gegenüber  $J^2$

$$r_a \cong \frac{W_I - W_{II}}{m J^2} \dots \dots \dots (435)$$

Der Einfluß der Temperaturerhöhung  $t$  beim stationären Betrieb über die Temperatur der Ankerwicklung beim Versuch kann durch Multiplikation mit  $(1 + 0,004 t)$  berücksichtigt werden.

Der Leerlaufverlust wird notigenfalls durch einen weiteren dritten Versuch bestimmt, indem wir den Wattverbrauch der als Synchronmotor laufenden Maschine messen, die an eine Klemmenspannung

$$P_0 = P \pm J r_a$$

angeschlossen ist und so erregt wird, daß der Leerlaufstrom  $J_0$  ein Minimum wird. Das — Zeichen gilt, wenn der Wirkungsgrad für die Maschine als Motor bestimmt werden soll. Ist  $W_0$  die am Wattmeter abgelesene Leistung, so ist

$$W_0 = W_e + W_h + W_w + m J_0^2 r_a$$

und der Wirkungsgrad

$$\eta = \frac{W}{W + W_0 + m r_a (J^2 - J_0^2) + i_e^2 r_e}.$$

Fällt die für den dritten Versuch geforderte Erregung mit der Erregung des zweiten Versuches zusammen, so wird

$$W_0 = W_0' = W_{II} - m r_a J_0^2$$

und der dritte Versuch wird entbehrlich.

Damit die Reibungsverluste einen konstanten Wert haben, ist es erforderlich, die Maschine 4 bis 6 Stunden laufen zu lassen.

Die vorliegende Methode ist ganz allgemein verwendbar und eignet sich insbesondere für Messungen an fertig montierten Maschinen in der Zentrale. Es ist hier nur nötig, die Pleuelstange der Versuchsmaschine auszuhängen, oder die Turbine ohne Beaufschlagung laufen zu lassen; eine besondere Eichung und Erhöhung der Geschwindigkeit, wie dies bei der Auslaufmethode erforderlich ist, ist hier nicht vorzunehmen. Auch für kleine Maschinen mit geringen Schwungmassen, die wegen der kurzen Auslaufzeit keine genaue Bestimmung der Auslaufkurven gestatten, ist diese Anordnung sehr gut zu verwenden. Soll diese Methode für eine Reihe von Belastungen durchgeführt werden, so ist nebst der Ermittlung von  $r_a$  und  $W_0$  noch die Kenntnis der Leerlauf- und Kurzschlußcharakteristik erforderlich, aus denen sich die entsprechenden Erregerströme  $i_e$  und Erregerverluste  $W_e = i_e^2 r_e$  leicht bestimmen lassen.

c) **Wirkungsgradbestimmung nach der Zurückarbeitungsmethode.** Wo es sich um eine Bestimmung des Wirkungsgrades zweier für die gleiche Leistung und nach gleicher Type gebauter Maschinen handelt, kann man den Wirkungsgrad nach der Zurückarbeitungsmethode bestimmen. Die als Motor  $M$  und die

als Generator  $G$  laufenden Maschinen werden entweder direkt oder durch Vermittlung einer Riemenübersetzung mechanisch gekuppelt. Es erzeugt sich dann das nach Schema Fig. 395 geschaltete System die zum Betriebe erforderliche Energie selbst, und nur das, was bei der Transformation der Energie verloren geht, muß einer anderen Energiequelle, im vorliegenden Falle einem geeichten Motor  $H$ , entnommen werden.

Haben die beiden Maschinen gleiche Phase und Spannung erreicht, dann werden sie parallel geschaltet und durch Einregulierung der Erregung und Einstellung der relativen Lage der beiden Armaturen gegeneinander kann dann jeder beliebige Belastungszustand eingestellt werden.

Es bedeute  $W_g$  die in dem Systeme vom Generator  $G$  gelieferte elektrische Leistung,  $W_z$  die vom Hilfsmotor  $H$  gelieferte mechanische Leistung und  $\eta_t$  den Wirkungsgrad der Transmission zwischen dem Hilfsmotor und dem Dynamopaare. Ist ferner  $\eta_m$  der Wirkungsgrad des Motors und  $\eta_g$  derjenige des Generators, dann ist die an die Generatorwelle abgegebene mechanische Leistung

$$\eta_m W_g + \eta_t W_z = \frac{W_g}{\eta_g}.$$

Setzen wir nun  $\eta_m = \eta_g = \eta$ , dann ist

$$\eta^2 W_g + \eta (\eta_t W_z) - W_g = 0$$

und der Wirkungsgrad einer Maschine

$$\eta_m = \eta_g = \frac{1}{2 W_g} [\sqrt{(\eta_t W_z)^2 + 4 W_g^2} - \eta_t W_z].$$

Eine einfachere und hinreichend genaue Formel erhalten wir folgendermaßen. Man macht die Annahme, daß sich die von dem Hilfsmotor zugeführte Leistung  $\eta_t W_z$  gleichmäßig auf die als Generator und die als Motor laufende Maschine verteilt, daß

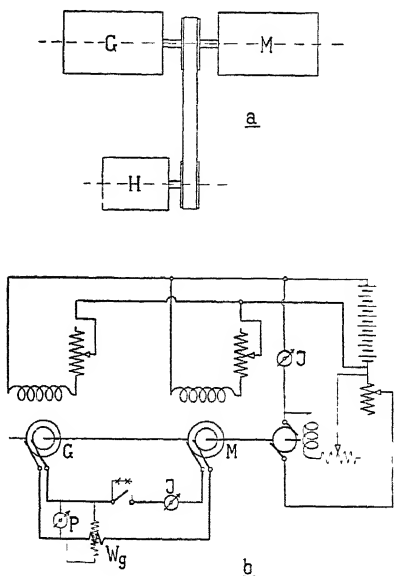


Fig. 395 Schaltungs- und Kuppelungsdiagramm der Zurückarbeitungsmethode



also der Verlust in einer Maschine  $\frac{W_z \eta_t}{2}$  ist. Der Wirkungsgrad  $\eta_g \eta_m$  der Gesamtübertragung ergibt sich dann als Verhältnis der vom Motor abgegebenen zu der vom Generator aufgenommenen Leistung:

$$\eta_g \eta_m = \frac{W_g - \frac{W_z \eta_t}{2}}{W_g + \frac{W_z \eta_t}{2}},$$

und der Wirkungsgrad einer Maschine

$$\eta_g = \eta_m = \eta = \sqrt{\frac{W_g - \frac{W_z \eta_t}{2}}{W_g + \frac{W_z \eta_t}{2}}} \quad \dots \quad (436)$$

Wir benötigen also nur die Kenntnis der vom Generator gelieferten Leistung  $W_g = PJ \cos \varphi$  und der vom Hilfsmotor  $H$  abgegebenen Leistung  $W_z$ . Um letztere genau zu erhalten, müssen nebst der vom Motor aufgenommenen Leistung noch seine Eigenverluste und der Wirkungsgrad  $\eta_t$  der Transmission bekannt sein. Die Eigenverluste kennen wir durch die Eichung; in bezug auf  $\eta_t$  sind wir jedoch hauptsächlich auf Schätzung angewiesen.

Den Angaben dieser Methode kann nur eine geringe Genauigkeit zuerkannt werden, da die induzierten Spannungen von Generator und Motor wesentlich verschieden sind und dementsprechend auch Eisenverluste auftreten, die weder dem normalen Betriebe einer Maschine als Generator entsprechen, noch die Annahme der Gleichheit von Generator- und Motorwirkungsgrad als zulässig erscheinen lassen.

In der Praxis kann man diese Methode vielfach dort verwenden, wo es sich um die rasche Untersuchung einer großen Zahl gleichgebauter Maschinen handelt. Die Schaltungsanordnung der Zurückerhaltungsmethode bietet ferner ein sehr bequemes Mittel, um ohne viel Energieverbrauch die Maschinen einer Dauerprobe zu unterziehen.

## 156. Trennung der Eisenverluste.

Aus den Auslaufkurven, die bei offener Armatur und verschiedenen Werten des Erregerstromes beobachtet wurden, ergeben sich die Verlustkurven, aus denen wir die Reibungsverluste und die Eisenverluste entnehmen können.

Die Eisenverluste  $W_h + W_w$  für eine bestimmte Periodenzahl  $c_1$

und einer bestimmten Induktion entsprechend einem konstanten Verhältnisse  $\left(\frac{E_p}{c}\right)$  bzw. konstantem Erregerstrom  $i_{e1}$  sind gleich den zugehörigen Abszissenabschnitten (Fig. 392) zwischen der Verlustkurve  $W_0$  für  $i_e = 0$  und der Verlustkurve  $W_1$  für  $i_e = i_{e1}$ . Um nun die Trennung der Eisenverluste in die mit der Periodenzahl proportionalen und die mit dem Quadrate der Periodenzahl veränderlichen Verluste durchzuführen, hat man zunächst die Verluste pro Periode  $\frac{W_h + W_w}{c}$  für jeden Wert von  $\left(\frac{E_p}{c}\right)$  bzw.  $i_e$  zu be-

rechnen und die erhaltenen Werte in Abhängigkeit von  $c$  aufzutragen (Fig. 396). Werden die so erhaltenen Kurven bis zum Schnitt mit der Ordinatenachse verlängert und zieht man durch den Schnittpunkt eine Parallele zur Abszissenachse, so stellt z. B.  $ab$  in Fig. 396 den Hysteresisverlust pro Periode  $\frac{W_h}{c}$  und  $\overline{bc}$  ein Maß für den Wirbelstromverlust pro Periode  $\frac{W_w}{c}$

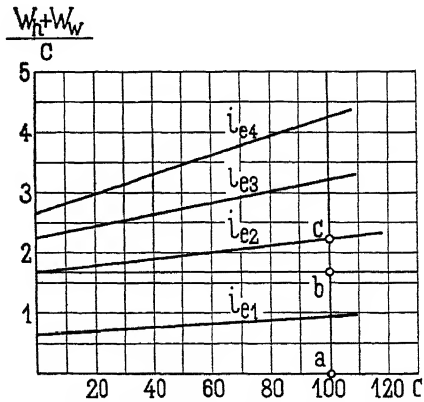


Fig. 396. Trennung der Hysteresis- und Wirbelstromverluste.

dar. Aus den Größen  $\frac{W_h}{c}$  und  $\frac{W_w}{c}$  kann nun die Abhängigkeit der Hysteresis- und Wirbelstromverluste von der induzierten EMK bei einer konstanten Periodenzahl leicht ermittelt werden.

So erhält man z. B. für  $c = c_1$  aus dem einer bestimmten Erregung entsprechenden konstanten Verhältnis  $\left(\frac{E_p}{c}\right)$  die induzierte EMK

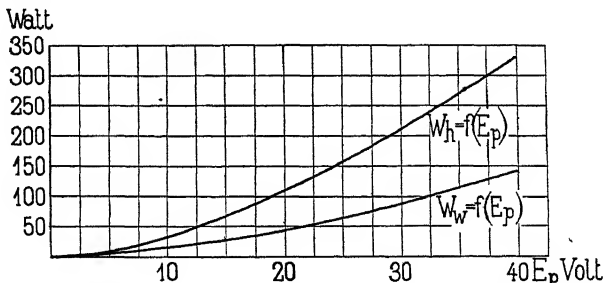


Fig. 397. Hysteresis- und Wirbelstromverluste als Funktion der induzierten EMK bei konstanter Periodenzahl

$E_p = \left(\frac{E_p}{c}\right) c_1$  und die aus den einzelnen Kurven abgegriffenen Stücke  $\frac{W_h}{c}$  bzw.  $\frac{W_w}{c}$ , mit  $c_1$  multipliziert, ergeben dann je einen Punkt der Kurve  $W_h = f(E_p)$  bzw.  $W_w = f(E_p)$  (Fig. 397).

Wie die experimentelle Trennung der Eisenverluste gezeigt hat, gilt die Proportionalität der Wirbelstromverluste mit dem Quadrate der Periodenzahl nur bei geringen Induktionen und niederen Periodenzahlen. Bei hohen Periodenzahlen und Sättigungen beobachtet man ein Abbiegen der Kurven  $\frac{W_h + W_w}{c}$  gegen die Abszissenachse (s. Fig. 436, S. 485).

### 157. Untersuchung der Temperaturerhöhung.

Die Temperaturerhöhung ist nach den „Normalien des Verbandes Deutscher Elektrotechniker“ bei der normalen Belastung unter Berücksichtigung der verschiedenen Betriebsarten zu messen. Und zwar:

1. bei intermittierenden Betrieben (es wechseln nach Minuten zählende Arbeitsperioden mit Ruhepausen ab) nach Ablauf eines ununterbrochenen Betriebes von einer Stunde;

2. bei kurzzeitigen Betrieben nach Ablauf eines ununterbrochenen Betriebes während der auf dem Leistungsschild verzeichneten Betriebszeit;

3. bei Dauerbetrieben nach Ablauf von 10 Stunden. Sofern für kleine Maschinen feststeht, daß die stationäre Temperatur in weniger als 10 Stunden erreicht wird, kann die Temperaturzunahme nach entsprechend kürzerer Zeit gemessen werden.

Betriebsmäßig vorgesehene Umhüllungen, Abdeckungen und Ummantelungen usw. dürfen nicht entfernt, geöffnet oder verändert werden. Die Lufttemperatur ist immer in Höhe der Maschinenmitte und 1 m von der Maschine entfernt zu messen. Während des letzten Viertels der Versuchszeit ist die umgebende Luft in regelmäßigen Zeitabschnitten zu messen und daraus ein Mittelwert zu nehmen.

Zwischen dem Thermometer und dem zu messenden Maschinenteil ist eine möglichst gute Wärmeleitung durch Umgeben der Thermometerkugel mit Staniol herzustellen. Wärmeverluste sollen ferner dadurch tunlichst vermieden werden, daß man Thermometer und Meßteile mit trockener Putzwolle überdeckt. Die Ablesung findet erst statt, wenn das Thermometer nicht mehr steigt. Mit Ausnahme der mit Gleichstrom erregten Feldspulen und aller ruhen-

den Wicklungen werden alle Teile der Generatoren und Motoren mittels Thermometer auf ihre Temperaturzunahme untersucht. Soweit wie möglich, sind jeweilig die Punkte höchster Temperatur zu ermitteln und die dort gemessenen Temperaturen bei Bestimmung der Temperaturzunahme zu verwenden.

**Die Temperaturerhöhung der Feldspulen.** Diese ist aus der Widerstandszunahme zu ermitteln. Dabei ist, wenn nicht anderes bestimmt wird, für den Temperaturkoeffizienten 0,004 anzunehmen.

Sei  $R_{nt0}$  der der Temperatur  $t_0^\circ \text{C}$  und  $R_{nt1}$  der der Temperatur  $t_1^\circ \text{C}$  entsprechende Widerstand der Feldspulen, so wird

$$R_{nt1} = R_{nt0} [1 + 0,004 (t_1 - t_0)]$$

und die Temperaturerhöhung

$$t_1 - t_0 = 250 \frac{R_{nt1} - R_{nt0}}{R_{nt0}} \quad . . . . (437)$$

Die Widerstände  $R_{nt0}$  und  $R_{nt1}$  ergeben sich aus der Messung des Erregerstromes und der Klemmenspannung der Feldspulen.

**Die Temperaturerhöhungen des Ankers.** Diese werden gemessen, indem man die Maschine einer Dauerprobe unterzieht. Eine normale Dauerbelastung zu Versuchszwecken bedingt aber, insbesondere bei großen Maschinen, einen ganz beträchtlichen Energieaufwand und sie wird unter Umständen in den Versuchsraumen einer Fabrik gar nicht durchzuführen sein.

Hat man mehrere Maschinen gleicher Größe und für gleiche Spannungen, dann kann die Zuruckarbeitungsmethode (siehe S. 619) zweckmäßig hierzu verwendet werden.

In vielen Fällen wird man auch hiermit nicht auskommen und muß dann zur Anwendung künstlicher Belastungen oder sogenannter Sparschaltungen übergehen.

Eine der Sparschaltungen besteht darin, daß man das Eisen der Versuchsmaschine normal beansprucht, indem man die Maschine mit voller Spannung leer laufen läßt und das Kupfer mit dem normalen Strome erwärmt, der einer besonderen Energiequelle entnommen wird. Als Heizstrom kommt in erster Linie Gleichstrom in Frage.

Die Anordnungen<sup>1)</sup> müssen so getroffen werden, daß die Gleichstromenergiequelle ihren Strom so in die Armatur des Generators zu liefern vermag, daß sie selbst keinen Strom vom Generator erhalten kann. Umgekehrt darf der Gleichstrom in der Wechselarmatur keine die Materialbeanspruchung storende Wirkung hervorrufen.

<sup>1)</sup> Goldschmidt, ETZ 1901, S 682.

Ohne besondere Hilfsmittel werden diese Methoden nur bei Armaturen mit Dreieckschaltung anwendbar sein; bei Sternschaltungen hat man daher die Armatur provisorisch in Dreieck zu schalten. Die in Dreieck geschaltete Armatur wird dann zu diesem Zwecke in einem Verkettungspunkte  $aa'$  (Fig. 398) geöffnet und in diese eine Gleichstromquelle eingeschaltet.

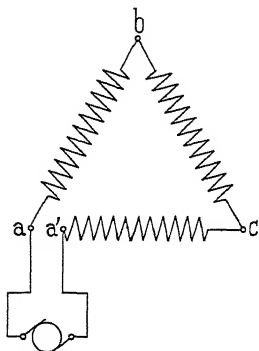


Fig. 398. Sparschaltung zur künstlichen Belastung eines Dreiphasengenerators.

Bei normaler Erregung des Generators heben sich für den Punkt  $aa'$  nur die Grundwellen der Phasenspannungen gegenseitig auf, nicht aber die dritten Harmonischen. Die von den dritten Harmonischen hervorgerufenen Ströme sind jedoch nur sehr klein, da für die Ströme dreifacher Periodenzahl die Impedanzen der in Serie geschalteten Phasen der Generatorwicklung sehr groß sind. Zur Sicherheit erregt man den Generator immer erst dann, wenn die Gleichstromquelle angeschlossen ist.

Der in der Dreiphasenarmatur fließende Gleichstrom kann auf die Feldpole keine Rückwirkung ausüben, da sich die in gleicher Richtung durchflossenen Phasen in ihrer magnetisierenden Wirkung gegenseitig aufheben.

Die in der Armatur bestehenden bleibenden lokalen Felder, denen die 3fache Polzahl des Generators entspricht, können jedoch Veranlassung zu Wirbelströmen in den Polschuhen geben. Nun ist zwar die Streuung dieser lokalen Kraftflüsse und die Frequenz der Wirbelströme sehr groß, doch konnte, insbesondere bei massiven Polschuhen, der Fall eintreten, daß die so induzierten Wirbelströme größer werden, als die im normalen Betriebe auftretenden, weshalb diese Methode bei manchen Maschinentypen nur mit Vorsicht zu verwenden sein wird.

Als Gleichstromquelle benötigt man zu diesen Versuchen nur eine Maschine oder Batterie, die eine Leistung von ca.  $2\%$  der des Generators besitzt. Bei Maschinen für geringe Spannungen sind die erforderlichen hohen Stromstärken und niedrigen Spannungen schwer herzustellen. Unter Umständen kann man hierzu eine Gleichstrommaschine verwenden, die durch die Generatorwicklung beinahe kurzgeschlossen wird. Die auf die Wicklung wirkende Gleichspannung muß ferner nach Maßgabe der Widerstandsänderung bei zunehmender Temperatur nachreguliert werden können.

Eine andere Art der Sparschaltung besteht in der Anwendung

der Zuruckarbeitungsmethode in einer und derselben Maschine, d. h. man laßt einen Teil der Maschine als Generator und den anderen als Motor arbeiten. Von außen brauchen somit durch eine Antriebsmaschine nur die Verluste zugeführt zu werden. Zu diesem Zwecke ist eine Gegeneinanderschaltung der Magnetpole vorzunehmen, wie es zuerst Prof Ayrton vorgeschlagen hat. Die gegeneinandergeschalteten Teile müssen eine ungleiche Spulenzahl haben; infolge der Unterschiede der induzierten EMKe fließt ein Strom in der Ankerwicklung. Behrend<sup>1)</sup> macht die Anzahl der gegeneinandergeschalteten Pole gleich, erregt aber beide Halften mit verschiedenen Stromen. Das hat den Nachteil, daß die Feldmagnete nicht betriebsmäßig erregt sind und daß auf den Rotor ein einseitiger Zug ausgeübt wird. Smith<sup>2)</sup> teilt daher die Erregerwicklung in mehrere Teile, so daß Gruppen von Generator- und Motorpolen sich längs des Ankerumfangs gegenseitig abwechseln. Alle Gruppen werden hintereinander geschaltet und werden also von demselben Erregerstrom durchflossen. Der Strom in der Ankerwicklung kommt dadurch zustande, daß die Gesamtzahl der Generatorpole von derjenigen der Motorpole verschieden ist. Die Ankerwicklung ist in sich kurzgeschlossen. Wählt man nun das Verhältnis der Generatorpolpaare  $x$  zu den Motorpolpaaren  $y$  so, daß bei dem normalen Erregerstrom im Anker der normale Vollaststrom fließt, so sind die Eisenverluste sowohl wie die Stromwärmeverluste ungefähr dieselben wie im normalen Betriebe. Es kann auf diese Weise nicht nur die Erwärmung der Maschine, sondern auch der Wirkungsgrad mit genügender Genauigkeit bestimmt werden.

Die Großen  $x$  und  $y$  ergeben sich aus folgender Überlegung. An jeder Stelle, wo die Erregerwicklung aufgeschnitten wird, bilden sich Folgepole aus. Von jedem der zwei aufeinanderfolgenden gleichnamigen Pole geht eine Polhalfte verloren, also an jeder Öffnungsstelle ein ganzer Pol. Ist  $2q$  die Anzahl der Wicklungsöffnungen, so folgt

$$x + y = p - q \dots \dots \dots (438)$$

Da weiter die Ankerwicklung in sich kurzgeschlossen ist, so kommt für die Größe und Phase des Ankerstromes fast nur die Streureaktanz  $x_{s1}$  in Betracht. Daraus folgt

$$xE_g - yE_m = Jx_{s1} = E_{s1} \dots \dots \dots (439a)$$

$E_g$  bzw.  $E_m$  ist die einem Generator- bzw. Motorpolpaare ent-

<sup>1)</sup> The Electrician, Bd. LII, S. 248.

<sup>2)</sup> J of Inst. of El Eng. 1908, Bd. XLIII, S 190.

sprechende EMK. Um  $E_g$  bzw.  $E_m$  zu bestimmen, ist die Resultierende aus den Amperewindungen pro Kreis  $AW_k$  und den längsmagnetisierenden Amperewindungen

$$AW_e = k_0 f_{w1} w m J$$

zu bilden und in die Leerlaufcharakteristik einzutragen. Es ist die resultierende Amperewindungszahl für den Generator  $AW_k - AW_e$  und für den Motor  $AW_k + AW_e$ .  $E_m$  ist also größer als  $E_g$ , es muß also  $x$  größer als  $y$  gewählt werden.

In der Gl. 439a ist der Einfluß der Folgepole nicht berücksichtigt. In der Tat wird infolge der Ankerrückwirkung und des Einflusses der Sättigung an jeder Stelle, wo die Erregerwicklung geöffnet ist, die von den Motorpolen induzierte EMK angenähert um  $\frac{1}{2}(E_m - E_g)$  erhöht.

Es ist also

$$xE_g - [yE_m + q(E_m - E_g)] = Jx_{s1} \dots \quad (439b)$$

Aus 438 und 439b lassen sich  $x$  und  $y$  berechnen. Wie aus dem Obigen folgt, wird diese Methode um so genauere Resultate ergeben, je größer die Polzahl ist.

Eine andere Methode zur Bestimmung der Erwärmung ist von Hobart und Punga<sup>1)</sup> angegeben worden. Nach dieser Methode läßt man die zu untersuchende Maschine abwechselnd im Leerlauf und im Kurzschluß laufen, und zwar in der Weise, daß die während einer bestimmten Zeit erzeugten Eisenverluste und Stromwärmeverluste im Anker denjenigen, die während derselben Zeit im normalen Betrieb erzeugt werden, gleich sind. Da auch die Verluste im Erregerkupfer während dieser Zeit denjenigen des normalen Betriebes gleich sein sollen, muß das Verhältnis zwischen der Zeit des Kurzschlusses und Leerlaufes ein ganz bestimmtes sein (Vgl. den erwähnten Aufsatz.) Auch bei dieser Methode ist der Energieaufwand nur dem gleich, der zur Deckung der Verluste nötig ist. Zur Ausführung dieses Versuches müssen die Einzelverluste der Maschine aus Vorversuchen bekannt sein.

**Bestimmung der Temperaturerhöhung aus dem Leerlauf- und Kurzschlußversuch.** Im Abschnitt 155 haben wir gesehen, daß sich die Verluste hauptsächlich aus den Leerlauf- und Kurzschlußverlusten zusammensetzen. Jeder dieser Verluste bedingt eine Temperaturerhöhung, und da das Verhältnis zwischen Temperaturerhöhung und Verlust nahezu konstant ist, so braucht man nur die bei Leerlauf mit normaler Erregung und die bei Kurzschluß ge-

<sup>1)</sup> H. M. Hobart und F. Punga, „Eine neue Methode zur Prüfung von Wechselstromgeneratoren“. ETZ 1905, S. 441.

messenen Temperaturerhöhungen des Ankers und der Feldspulen zu addieren, um die Temperaturerhöhung bei Belastung annähernd zu erhalten. Im allgemeinen wird die so erhaltene Temperaturerhöhung ein wenig zu groß sein, so daß man zugleich die Sicherheit hat, daß die so ermittelte Temperaturerhöhung im Betriebe unter sonst gleichen Bedingungen nicht überschritten wird.

### 158. Beispiel für die vollständige Untersuchung eines Dreiphasengenerators.

Der untersuchte Generator der Firma Brown, Boveri & Co. war für eine Leistung von 350 KVA oder 280 KW bei  $\cos \varphi = 0,8$ , 3200 Volt verkettete Spannung, 50 Perioden und 94 Umdrehungen pro Minute bestimmt und direkt mit einer Dampfmaschine gekuppelt, auf deren Welle noch eine Gleichstrommaschine von 260 KW angebracht war.

Die Hauptdimensionen des Generators sind die folgenden:

Ankerdurchmesser	$D = 410$	cm
Ankerlänge	$l_1 = 23$	„ (3 Luftschlitze zu 0,75 cm)
Eisenlänge	$l = 20,75$	„
Eisenhöhe	$h = 11,0$	„
Polteilung	$\tau = 20,1$	„
Polbogen	$b_p = 21,0$	„
Verhältnis	$\frac{b_1}{\tau} = \alpha_1 = 0,55$	

Windungszahl pro Phase in Serie  $w = 448$  (14 Drähte pro Loch)

Nutenzahl  $Z = 192$  (runde Löcher)

Luftraum  $\delta = 4$  mm

Polzahl  $2p = 64$

64 Spulen: hochkant gewickeltes Flachkupfer, pro Pol 48 Windungen.

1. Die Leerlauf- und Kurzschlußcharakteristik zeigt Fig. 399.

2. Die Ermittlung der Spannungsänderungen wurde wie folgt durchgeführt. Aus dem Kurzschlußversuch ergibt sich für den effektiven Widerstand pro Phase

$$r_a = 0,94 \text{ Ohm.}$$

Durch Messung des Widerstandes mit Gleichstrom wurde

$$r_g = 0,545 \text{ Ohm}$$

gefunden; es ist somit

$$\frac{r_a}{r_g} = \frac{0,94}{0,545} = 1,72.$$



Aus der Leerlauf- und Kurzschlußcharakteristik (Fig. 399) ergibt sich für einen Kurzschlußstrom

$$J_k = 100 \text{ Amp.} = \overline{bd}$$

und

$$AW_e = k_0 f_{w1} m w J_k \sin \psi_k = 0,79 \cdot 1,3 \cdot 448 \cdot 100 = 106\,000$$

entsprechend

$$i_e = \frac{AW_e}{w_e} = \frac{106\,000}{64 \cdot 48} = 34,5 \text{ Amp.} = \overline{ab}.$$

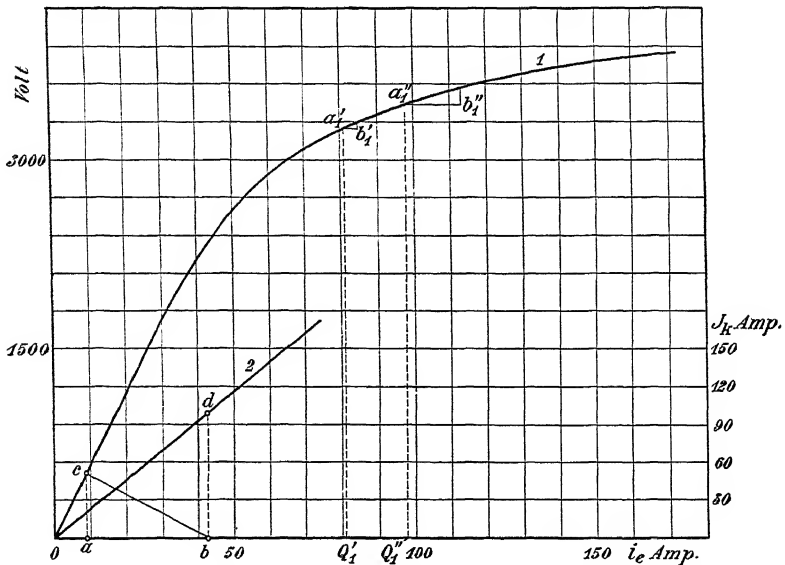


Fig. 399. Leerlauf- und Kurzschlußcharakteristik des 350 KVA-Dreiphasengenerators.

Vom resultierenden Felde, das einer Amperewindungszahl  $\overline{ob} - \overline{ab}$  entspricht, wird, wie aus der Leerlaufcharakteristik zu entnehmen ist, eine EMK pro Phase von

$$\frac{\overline{ac}}{\sqrt{3}} = \frac{480}{\sqrt{3}} = 277 \text{ Volt} = J_k \sqrt{r_a^2 + x_{s1}^2}$$

induziert, also wird

$$x_{s1} = \sqrt{\left(\frac{277}{100}\right)^2 - 0,94^2} = 2,63 \text{ Ohm.}$$

a) Spannungserhöhung für Vollast und  $\cos \varphi = 1,0$ . Wir bestimmen zunächst den Winkel  $\psi$  aus der Beziehung

$$\operatorname{tg} \psi = \frac{P \sin \varphi + J x_{s1} + \frac{E_{s3}}{\cos \psi}}{P \cos \varphi + J r_a}.$$

Für  $J = 63$  Amp. ergibt sich

$$\frac{AW_a}{\cos \psi} = k_q f_{w1} m J w = 0,36 \cdot 3 \cdot 63 \cdot 448 = 30500,$$

wenn nach Fig. 25, S. 34 für  $k_q = 0,36$  eingesetzt wird. Aus der Leerlaufcharakteristik finden wir für eine Erregung von

$$\frac{30500}{64 \cdot 48} = 9,9 \text{ Amp.}$$

eine verkettete Spannung von 570 Volt und somit

$$\frac{E_{s3}}{\cos \psi} = \frac{570}{\sqrt{3}} = 330 \text{ Volt.}$$

Es ist also

$$\begin{aligned} \operatorname{tg} \psi &= \frac{63 \cdot 2,63 + 330}{1850 + 63 \cdot 0,94} = 0,26, \\ \psi &= 14^\circ 35' = \Theta. \end{aligned}$$

Die entmagnetisierenden Amperewindungen betragen nun

$$AW_e = k_0 m f_{w1} w J \sin \psi = 0,79 \cdot 3 \cdot 448 \cdot 63 \cdot 0,251 = 16800,$$

welchen ein Erregerstrom

$$i_e = \frac{16800}{48 \cdot 64} = 5,5 \text{ Amp.}$$

entspricht. Wir berechnen weiter

$$\begin{aligned} E_D &= P \cos \Theta + J r_a \cos \psi + J x_{s1} \sin \psi \\ &= 1850 \cdot 0,968 + 63 \cdot 0,94 \cdot 0,968 + 63 \cdot 2,63 \cdot 0,251 = 1887 \text{ Volt} \end{aligned}$$

und tragen  $\sqrt{3} E_D = \overline{a_1' Q_1'}$  in die Leerlaufcharakteristik ein; machen wir jetzt  $\overline{a_1' b_1'} = 5,5$  Amp., so ergibt sich die induzierte EMK  $E = 1980$  Volt und

$$\varepsilon^0/\% = \frac{1930 - 1850}{1850} \cdot 100 = 4,3\%$$

**b) Spannungserhöhung bei Vollast und  $\cos \varphi = 0,8$ .**

$$\operatorname{tg} \psi = \frac{1850 \cdot 0,6 + 63 \cdot 2,63 + 330}{1850 \cdot 0,8 + 63 \cdot 0,94} = 1,04,$$

$$\psi = 46^\circ 5' \quad \Theta = 9^\circ 10'$$

$$AW_e = 16800 \cdot \frac{0,720}{0,251} = 48000;$$

dem entspricht  $i_e = 15,6$  Amp.

$$E_D = 1850 \cdot 0,987 + 63 \cdot 0,94 \cdot 0,693 + 63 \cdot 2,63 \cdot 0,720 = 1992 \text{ Volt.}$$

Wir tragen in die Leerlaufcharakteristik

$$\sqrt{3} E_D = \overline{a_1'' Q_1''} \quad \text{und} \quad \overline{a_1'' b_1''} = 15,6 \text{ Amp.}$$

ein und entnehmen  $E = 2080$  Volt; somit

$$\varepsilon^0/\% = \frac{2080 - 1850}{1850} 100 = 12,4\%.$$

c) **Spannungsabfall für Vollast und  $\cos \varphi = 0,8$ .** Wir bestimmen diesen angenähert auf rechnerischem Wege. Der Winkel  $\Theta$  ergibt sich aus der Beziehung

$$\Theta \cong \frac{180}{\pi} \cos \varphi \frac{Jx_{s1} - Jr_a \operatorname{tg} \varphi + \frac{E_{s3}}{\cos \psi}}{P_0},$$

$$\text{also} \quad \Theta = \frac{180}{\pi} 0,8 \frac{63 \cdot 2,63 - 63 \cdot 0,94 \cdot 0,751 + 330}{1850} = 11,2^\circ$$

Die Phasenspannung beträgt

$$P \cong \frac{1}{\cos \Theta} \left\{ P_0 - \left[ \left( \frac{E_{s3}}{\cos \psi} + Jx_{s1} \right) \sin \psi + Jr_a \cos \psi \right] \right\}$$

$$P \cong \frac{1}{0,981} [1850 - (330 + 63 \cdot 2,63) 0,745 - 63 \cdot 0,94 \cdot 0,667] = 1470 \text{ Volt,}$$

$$\text{also} \quad \varepsilon^0/\% = \frac{1850 - 1470}{1850} 100 = 20,5\%.$$

3. Regulierungskurve und Verluste in der Feldwicklung bei  $\cos \varphi = 1$ .

$J$ $\cos \varphi = 1$	$P$ verkett. Sp.	$\sqrt{3} E_p$	$\frac{AW_e}{w_e}$ Amp.	$i_e$ Amp	$W_e =$ $i_e^2 r_e$ Watt
63	3200	3300	3,1	$81 + 3,1 =$ 84	3140
$\frac{3}{4} \cdot 63$	3200	3280	1,77	$78,7 + 1,77 =$ 80,5	2890
$\frac{1}{2} \cdot 63$	3200	3250	0,8	$77,6 + 0,8 =$ 78,4	2730
$\frac{1}{4} \cdot 63$	3200	3225	0,196	$76,5 + 0,196 =$ 76,7	2620
0	3200	3200	0	74,0	2440

Durch Berechnung der für die verschiedenen Belastungen erforderlichen induzierten EMKe (nach S. 629) und der entmagnetisierenden Amperewindungen

$$AW_e = k_o f_w m w J \sin \psi$$

ergeben sich aus der Leerlaufcharakteristik (Fig. 399) die vorstehenden Erregerströme  $i_e$  und die Erregerverluste  $W_e = i_e^2 r_e$  Watt. Der Widerstand der Feldwicklung wurde im warmen Zustande zu  $r_e = 0,445$  Ohm gemessen.

4. Bestimmung der Reibungs-, Eisen- und Kupferverluste. Wirkungsgrad.

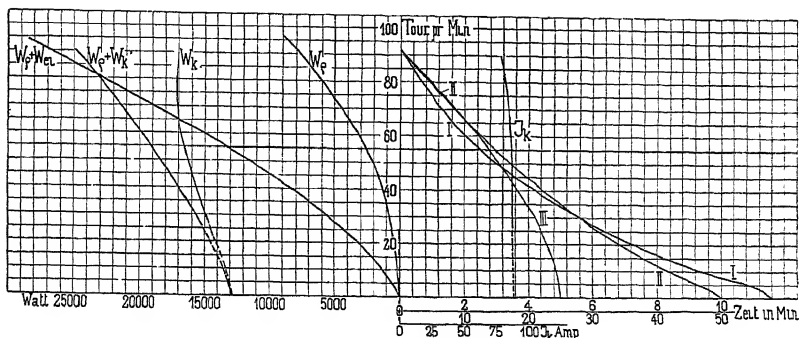


Fig. 400 Auslauf- und Verlustkurven des 350 KVA-Dreiphasengenerators

Es wurde der Auslauf bei ausgehängter Schubstange beobachtet und die in Fig. 400 dargestellten Auslaufkurven erhalten.

Bei unerregter Maschine ( $i_e = 0$ ) ergab sich Kurve I (unterer Zeitmaßstab)

bei normal erregter Maschine ( $i_e = 84$  Amp.) Kurve II (oberer Zeitmaßstab)

und bei kurzgeschlossener Maschine ( $J_k = 78$  Amp.) Kurve III (oberer Zeitmaßstab).

Der Generator wurde ferner durch die auf der gleichen Welle sitzende Gleichstrommaschine mit  $n = 90$  Umdrehungen pro Minute angetrieben.

Der Gleichstrommaschine wurden abzüglich der Anker- und Übergangsverluste zugeführt, wenn

der Generator unerregt lief: 13 200 Watt

$$= W_e + W'_{e1,g}$$

der Generator normal erregt lief: 32 300 Watt

$$= W_e + W''_{e1,g} + W_{e1,w}$$

der Generator kurzgeschlossen lief: 30 300 Watt

$$= W_e + W'''_{e1,g} + W_k.$$

Die Eisenverluste der Gleichstrommaschine können wir als konstant ansehen, so daß

$$W'_{e,g} = W''_{e,g} = W'''_{e,g}$$

ist, und somit die Eisenverluste der Wechselstrommaschine

$$W_{e,w} = W_{e,g} = 32300 - 13200 = 19100 \text{ Watt sind}$$

Für  $J_k = 78 \text{ Amp.}$  wird  $W_k = 30300 - 13200 = 17100 \text{ Watt.}$

Aus den Auslaufkurven I und II ergibt sich für den

unerregten Generator  $W_e = C n_1 \frac{dn}{dt} = C n_1 \operatorname{tg} \gamma_1$

und für den normal erregten Generator  $W_e + W_{e_1} = C n_1 \operatorname{tg} \gamma_2$

und hieraus

$$W_e = W_{e_1} \frac{\operatorname{tg} \gamma_2}{\operatorname{tg} \gamma_2 - \operatorname{tg} \gamma_1} = 19100 \cdot 0,403 = 7700 \text{ Watt,}$$

da für  $n_1 = 90$ ,  $\operatorname{tg} \gamma_1 = 0,25$  und  $\operatorname{tg} \gamma_2 = 0,87$ .

Die Konstante  $C$  bestimmt sich wie folgt:

$n$	$v_e$	$J_k$	dem Generator zugeführte Leistung	$\overline{ab}$ mm	$C$	
90	0	0	$W_e = 7700$	55	140	} $C_m = 136,5$
90	—	78	$W_e + W_k = 24800$	186	133	

Die Verlustkurven (Fig. 400) ergeben sich durch folgende Berechnung:

$n$	aus Kurve I $\overline{ab}^1)$	$W_e$	aus Kurve II $\overline{ab}$	$W_e + W_{e_1}$	$\frac{W_{e_1}}{C}$	aus Kurve III $\overline{ab}$	$W_e + W_k$	$J_k$ Amp	$r_a = \frac{W_k}{J_k^2 m}$ Ohm
90	$55 \cong 56,5$	7700	196	26750	397	$186 \sim (181,5)$	24800	78	0,936
85	50	6820	181	24750	395	175	23950	80,5	0,882
80	43	6000	166,5	22750	392	169	23100	82	0,85
75	38,5	5250	152,5	20800	389	163	22250	83,3	0,818
70	33	4500	138	18850	359	157	21400	84,5	0,80
.	.	.	.	.	.	.	.	.	.
.	.	.	.	.	.	.	.	.	.

<sup>1)</sup> Die Subtangente  $\overline{ab}$  beziehen sich natürlich alle auf einen gleichen Zeitmaßstab der Auslaufkurven.

Bildet man aus den, aus Fig. 400 für die normale Erregung und verschiedene Dreh- bzw. Periodenzahlen zu entnehmenden Eisenverlusten  $W_{ei}$ , die Eisenverluste pro Periode, so erhält man die Kurve der Fig. 401, die sehr deutlich den Einfluß der Schirmwirkung auf die Größe der Verluste mit zunehmender Periodenzahl veranschaulicht.

In Fig. 400 ist ferner noch die Abhängigkeit des Kurzschlußstromes  $J_k$  von der Auslaufzeit bzw der Drehzahl dargestellt. Unmittelbar vor Stillstand der Maschine sind die Ablesungen von  $J_k$  sehr schwankend und unsicher, weshalb die Kurve bis zum Schnittpunkte mit der Abszissenachse, entsprechend einem stetigen Verlaufe, verlängert wurde. Dasselbe wurde auch für die Verlustkurve

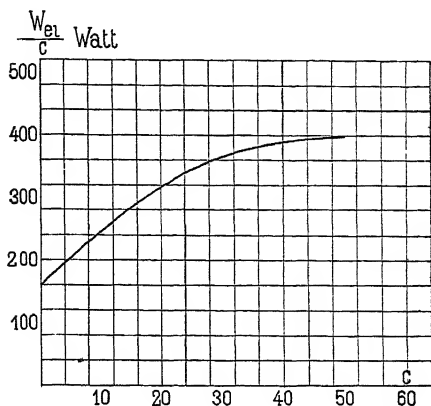


Fig 401. Eisenverluste pro Periode als Funktion der Periodenzahl.

$$W_k = m J_k^2 r_a = f(n)$$

durchgeführt.

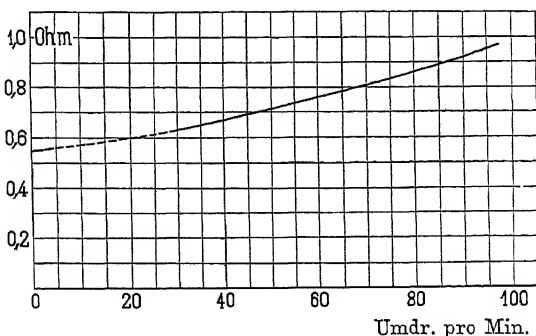


Fig. 402. Abhängigkeit des effektiven Widerstandes von der Drehzahl

Bildet man  $r_a = \frac{W_k}{m J_k^2}$ , so erhält man für den effektiven Widerstand als Funktion der Dreh- bzw Periodenzahl den Verlauf der Kurve in Fig. 402; für die Drehzahl  $n=0$  ist

$$r_a = \frac{12850}{3 \cdot 88,5^2} = 0,547 \cong r_g,$$

also auf den Wert gesunken, den wir mit Gleichstrom (s. S. 627) gemessen hatten. Der effektive Widerstand bei  $n = 94$  ist

$$r_a = 0,94 \text{ Ohm.}$$

Die Summe der Verluste und die Wirkungsgrade als Funktion der abgegebenen Leistung bei  $\cos \varphi = 1$  sind in der folgenden Tabelle enthalten.

$n$	KVA	$P$	$J$	$\sqrt{3} E_p$	$3 J^2 r_a$	$W_{e1}$	$W_e$	$W_g$	$\Sigma W$	$\eta$
94	350	3200	63	3300	11200	19050	3140	8400	41790	0,896
94	263,25	3200	47,2	3280	6270	18700	2890	8400	36260	0,882
94	175	3200	31,5	3250	2980	18300	2730	8400	32410	0,846
94	87,75	3200	15,72	3225	695	18100	2620	8400	29815	0,746
94	0	3200	0	3200	0	17900	2440	8400	28740	0

Bei  $n = 94$  Umdrehungen pro Minute und der Erregung  $i_e = 84$  Amp. ergeben sich aus Fig. 400 bzw. 401 die Eisenverluste zu

$$W_{e1} = 19850 \text{ Watt,}$$

die einer induzierten EMK von  $\sqrt{3} E_p = 3350$  Volt entsprechen. Nun variieren die gesamten Eisenverluste annähernd proportional der 1,8ten Potenz der induzierten EMK und man findet dann die einem bestimmten Belastungszustand bzw. die einer bestimmten induzierten EMK entsprechenden Eisenverluste zu

$$W_{e1} = \frac{19850}{(3350)^{1,8}} (E_p)^{1,8} = 8,78 \cdot 10^{-4} E_p^{1,8}.$$

Im Wirkungsgrad des Generators sind die ganzen Reibungsverluste des Aggregates, also auch die der Gleichstrommaschine enthalten.

5. Dauerversuch und Temperaturerhöhung. Nach Ablauf eines 7stündigen Dauerversuches, bei dem die Maschine im Mittel mit 310 KW belastet war, wurden folgende Temperaturerhöhungen gemessen:

$$\begin{array}{ll} \text{Armatureisen (mit Thermometer)} & T_a = 19^\circ \text{ C,} \\ \text{Feldspulen (aus Widerstandserhöhung)} & T_m = 3,1^\circ \text{ C.} \end{array}$$

## 159. Untersuchung eines Synchronmotors.

Die Untersuchung eines Synchronmotors wird sich auf die Aufnahme der  $V$ - und Arbeitskurven und die Bestimmung des Wirkungsgrades zu erstrecken haben.

Die Bestimmung des Wirkungsgrades einer für den Lauf als Synchronmotor bestimmten Maschine kann naturgemäß nach irgendeiner der im Abschnitt 155 behandelten Methoden durchgeführt werden. Besonders vorteilhaft wird sich hierzu die Messung des Leerlaufeffektes und der Stromwärmeverluste beim leerlaufenden Synchronmotor (Leerlaufmethode s. S. 617) anwenden lassen.

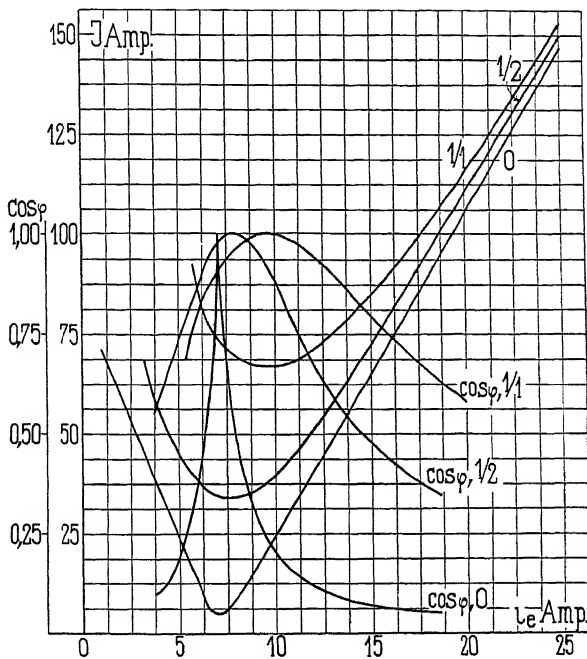


Fig 403. V-Kurven.

Kurve 0: V-Kurve für Leerlauf;  $\cos \varphi, 0$   $\cos \varphi = f(i_e)$  bei Leerlauf  
 Kurve  $1/2$ : V-Kurve für  $1/2$ -Last,  $\cos \varphi, 1/2$   $\cos \varphi = f(i_e)$  bei  $1/2$ -Last  
 Kurve  $1/1$ : V-Kurve für Vollast,  $\cos \varphi, 1/1$   $\cos \varphi = f(i_e)$  bei Vollast.

Die V-Kurven, für die

Drehzahl konstant,  
 Klemmenspannung konstant,  
 gelieferte mechanische Leistung konstant,  
 Erregung veränderlich ist,

werden aufgenommen, nachdem die als Synchronmotor laufende Maschine mit einem Generator parallel geschaltet und die Belastung des Motors auf einen bestimmten Wert einreguliert ist. Indem man nun bei konstanter Drehzahl und Klemmenspannung der Antriebsmaschine und konstanter Belastung des Motors die Erregerstromstärke



$i_e$  innerhalb der möglichen Grenzen verändert, erhält man aus der Abhängigkeit zwischen  $i_e$  und der aufgenommenen Stromstärke  $J$  die  $V$ -Kurven.

In Fig. 403 sind die  $V$ -Kurven für einen 525 PS-Dreiphasen-Synchronmotor der Maschinenfabrik Orlikon für 3500 Volt, 375 Umdrehungen pro Minute und 50 Perioden dargestellt, wenn derselbe leer, mit halber und voller Belastung läuft. Beobachtet man gleichzeitig noch die vom Motor aufgenommene Leistung, so kann hieraus der Leistungsfaktor  $\cos \varphi$  berechnet werden, der in Abhängigkeit von der Erregung für Leerlauf, Halb- und Vollast die Kurven  $\cos \varphi 0$ ,  $\cos \varphi^{1/2}$  und  $\cos \varphi^{1/1}$  liefert.

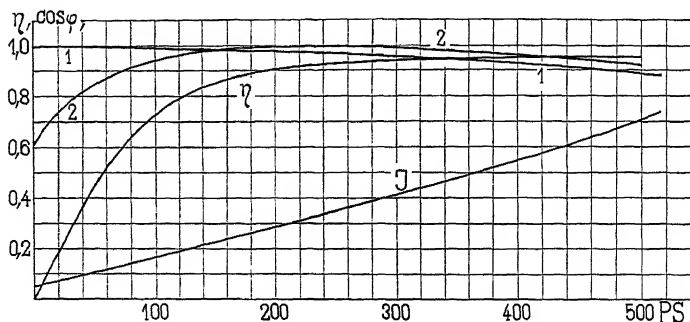


Fig. 404 Arbeitskurven eines Synchronmotors

Kurve 1.  $\cos \varphi$  für  $i_e = 7,1$  Amp.

Kurve 2.  $\cos \varphi$  für  $i_e = 7,6$  Amp.

Die Arbeitskurven eines Synchronmotors stellen uns den Wirkungsgrad  $\eta$ , den Leistungsfaktor  $\cos \varphi$  und den Ankerstrom  $J$  als Funktion der vom Motor gelieferten Leistung in PS dar. Sie werden bei konstanter Klemmenspannung und bei ein oder mehreren innerhalb einer Versuchsreihe konstant zu haltenden Werten des Erregerstromes  $i_e$  aufgenommen. Die vom Motor gelieferte Leistung kann entweder mechanisch mittels eines Bremszaumes oder elektrisch durch Belasten mit einer Gleichstromdynamo, deren Wirkungsgradkurve bekannt ist, gemessen werden.

In Fig. 404 sind diese Kurven für den 525 PS Dreiphasen-Synchronmotor der Maschinenfabrik Orlikon dargestellt. Die Klemmenspannung betrug hierbei 3500 Volt und die Erregung  $i_e = 7,1$  Ampere. Bei einer Erregung von  $i_e = 7,6$  Ampere erhalten wir bei der mittleren Belastung den Leistungsfaktor  $\cos \varphi = 1$ ; soll der Motor bei Vollast mit  $\cos \varphi = 1$  arbeiten, dann müssen wir die Erregerstromstärke auf  $i = 9,4$  Ampere (s. Fig. 403) einregulieren.

## 160. Experimentelle Bestimmung der Winkelabweichung.

a) **Winkelabweichung einer Maschine gegen vollkommenen Synchronismus.** Die periodischen Abweichungen der Winkelgeschwindigkeit einer mit Kolben und Kurbelmechanismus arbeitenden Kraftmaschine gegenüber der mittleren gleichförmigen Geschwindigkeit drücken wir durch den Ungleichförmigkeitsgrad aus, der durch

$$\frac{\omega_{max} - \omega_{min}}{\omega_{mitt}}$$

definiert ist. Für das Parallelarbeiten von Generatoren kommt jedoch weniger der absolute Wert des Ungleichförmigkeitsgrades in Betracht, als vielmehr die durch die ungleichförmige Bewegung bedingte maximale Winkelabweichung zwischen der Kurbel der Antriebsmaschine und einer ideellen Kurbel, die mit vollkommen gleichförmiger Geschwindigkeit rotiert.

Die zahlreichen zur experimentellen Bestimmung der Winkelabweichung bisher angewandten Versuchsanordnungen lassen sich in die folgenden drei Methoden einteilen:

1. Die Bestimmung der Winkelabweichung erfolgt durch die Messung der Winkel, die in gleichen Zeiten zurückgelegt werden, oder durch die Messung der Zeiten, in denen gleiche Winkel durchlaufen werden.

2. Die Bestimmung der Winkelabweichung erfolgt durch den Vergleich der ungleichförmigen Drehbewegung mit einer gleichförmigen Drehbewegung, und

3. Die Bestimmung der Winkelabweichung erfolgt durch die direkte Messung der Momentanwerte der Geschwindigkeit.

Bei den zur ersten Methode gehörenden Versuchsanordnungen bedient man sich, da es sich um die Messung kleiner Winkel bzw. Zeitunterschiede in rascher Aufeinanderfolge handelt, einer schreibenden Stimmgabel<sup>1)</sup>. Die Anwendung derselben beruht auf der Unveränderlichkeit der Schwingungszahl tonender Stimmgabeln, die in der Weise verwertet wird, daß man die schwingende und mit einem Schreibstift versehene Stimmgabel Wellenlinien auf ein an der ungleichförmigen Bewegung teilnehmendes Organ aufzeichnen läßt. Aus den verschiedenen Winkeln, die durch den Abstand einer vollen Stimmgabelschwingung gegeben sind und in gleichen Zeiten zurückgelegten Wegen entsprechen, kann unmittel-

<sup>1)</sup> Joh. Radinger, „Dampfmaschinen mit hoher Kolbengeschwindigkeit“. Ransome, Cyclometer 1888. Dr. Braun, Gyrograph 1894. Dr. Göpel, Z. Ver deutsch. Ing. 1900, S. 1359.

bar die Winkelabweichung und der Ungleichformigkeitsgrad bestimmt werden.

Für diese Untersuchungen werden nach der Phys. Techn. Reichsanstalt bei Umdrehungszahlen zwischen 70 und 300 pro Minute Stimmgabeln mit 435 vollen Schwingungen pro Sekunde verwendet; Keilholtz<sup>1)</sup> und David<sup>2)</sup> verwendeten solche von nur ca. 100 vollen Schwingungen. Als Schreibstift wird an eine Stimmgabelzinke ein elastischer Metalldraht von ca. 20 mm angelotet.

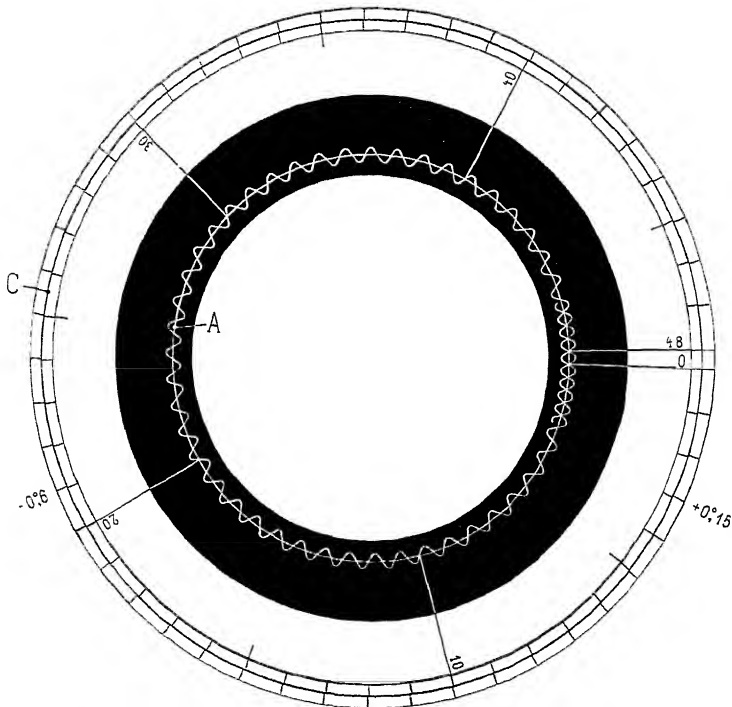


Fig. 405. Bestimmung der Winkelabweichung mittels Stimmgabel.

Die Aufzeichnungen der Stimmgabel können nun entweder auf der Schwungradkranzfläche, auf einem zylindrischen Teile der Kurbelwelle oder auf einer besonderen, auf das freie Wellenende aufgetragenen Papier- oder Metallscheibe erhalten werden. Die letztere Anordnung mit einer vollständig homogen beruhten Scheibe wird am meisten verwendet, da gewöhnlich dieser Teil der Maschine während des Betriebes am leichtesten zugänglich ist.

<sup>1)</sup> Transactions of Am. Inst., Bd. XVIII, S 719.

<sup>2)</sup> Bulletin de la Soc. int. d'Electr., Bd XVIII, S. 503.

Ein Beispiel für eine derartige Messung zeigt Fig. 405<sup>1)</sup>; in die durch die Stimmgabelschwingung erhaltene kreisförmige Wellenlinie wurde bei ruhender Stimmgabel der Kreis *A* eingezeichnet. Für die Auswertung überträgt man zweckmäßig die Schnittpunkte der Wellenlinie mit der Mittellinie *A* auf den Kreis *C*. Man erhält dann die während einer Umdrehung gleichen Zeiten entsprechenden verschiedenen Wellenlängen. Teilt man ferner den Umfang, auf welchen z. B. die 48 Schwingungen projiziert wurden, in 48 gleiche Teile, so gibt der maximale Abstand zwischen der gleichförmigen und ungleichförmigen Teilung in Graden gemessen direkt die maximale Winkelabweichung. Hierbei ist bei gegebener Drehrichtung auf das Vorzeichen der Winkelabweichung Rücksicht zu nehmen.

Die zur zweiten Gruppe dieser Methoden gehörenden Vorrichtungen sind sehr mannigfaltig und gestatten die Beobachtung der Winkelabweichung entweder durch eine mechanisch betätigte Zeigerablesung oder durch eine stroboskopische Anordnung.

Das Prinzip der ersteren Anordnungen kann durch den Apparat von Aichele<sup>2)</sup> charakterisiert werden. In Fig. 406 wird das lose auf der Welle sitzende und nur durch eine Spiralfeder mit dieser verbundene Schwungrad eine gleichförmige mittlere Geschwindigkeit annehmen, wenn die Welle mit ungleichförmiger Geschwindigkeit angetrieben wird. Die relativen Bewegungen zwischen Welle und Schwungrad können durch einen auf der Welle sitzenden Schreibhebel auf der Seitenfläche des Schwungrades in Form eines Bogens aufgezeichnet werden. Man erhält auf diese Weise die maximalen Winkelabweichungen. Wenn man keine besondere Übersetzung zwischen der Kraftmaschinenwelle und der Welle des Versuchsapparates verwendet, werden die aufgezeichneten Bogen klein und die Ablesungen ungenau, da sich die Bogen wie das Verhältnis zwischen Maschinen- und Hilfsschwungradhalbmessern verhalten.

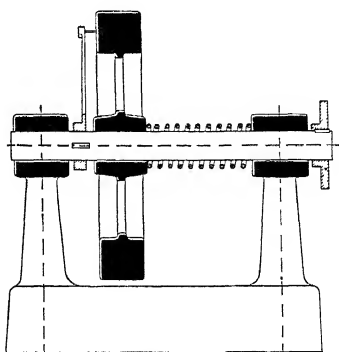


Fig. 406. Bestimmung der Winkelabweichung mit dem Apparat von Aichele.

<sup>1)</sup> Aus Bulletin de Soc. int. des Electr., Bd XVIII, S. 2, II.

<sup>2)</sup> ETZ 1900, S. 263. D.R.P. Nr. 81572 Schafer und Budenberg; Franke, ETZ 1901, S. 887; Rateau und Mix, Bulletin de la Soc. d. E., Bd. XVIII.

Dieser Apparat wurde mehrfach modifiziert und erhielt unter anderem von Gopel und Franke<sup>1)</sup> eine andere Form.

Von den sog. stroboskopischen Methoden soll hier als besonders einfache Anordnung die von Sartori<sup>2)</sup> angeführt werden. Bei dieser werden zwei Scheiben verwendet, in denen je ein spiralförmiger Schlitz eingeschnitten ist. Werden diese Scheiben auf zwei unabhängig voneinander drehbaren Wellen so aufgesetzt, daß die Spiralen sich entgegengesetzt aufrollen, so wird der Kreuzungspunkt zweier Schlitzte einen belichteten Punkt geben, dessen Vektor die momentane gegenseitige Lage der beiden Scheiben bestimmt. Rotiert nun die eine dieser beiden Scheiben mit der ungleichförmigen Geschwindigkeit und stellt man die andere mit gleichförmiger Geschwindigkeit angetriebene Scheibe der ersteren auf kurze Entfernung gegenüber, so wird bei gleicher Drehrichtung ein den Kreuzungspunkt der beiden Spiralen durchdringendes Lichtbündel ein kontinuierliches Bild auf einen passend angeordneten Schirm aufzeichnen. Haben beide Scheiben gleichförmige Geschwindigkeit, dann geht das Bild in einen festen Kreis über; bei periodisch erfolgender Variation der Geschwindigkeit der einen Scheibe wird sich der Kreis verengen oder erweitern, je nachdem es sich um eine Beschleunigung oder Verzögerung gegenüber der gleichförmigen mittleren Geschwindigkeit handelt. Die Winkelabweichungen der beiden Wellen erhält man durch Beobachtung der verschiedenen Radien, die die vom Schnittpunkt der beiden Spiralschlitzte beschriebene Figur besitzt. Die Verschiebungen gegenüber der Mittellage bzw. die Radien können deutlicher beobachtet werden, wenn zwischen der die ungleichförmige Bewegung mitmachenden Scheibe und der Maschinenwelle eine Friktionsraderübersetzung eingeschaltet wird. Auf diese Weise wurde von Sartori an einem Dreiphasengenerator eine maximale Verschiebung der Schnittpunkte gegenüber der Mittellage der beiden Spiralschlitzte von 1,6 cm gemessen. Die Spirale der verwendeten Scheibe war so dimensioniert und das Übersetzungsverhältnis so gewählt, daß eine Verschiebung von 1,0 cm einer Winkelabweichung der Maschinenwelle von  $0,24^\circ$  entsprach. Die maximale Winkelabweichung in bezug auf die Mittellage betrug demnach

$$\frac{1}{2} 1,6 \cdot 0,24 = 0,192^\circ.$$

Eine ähnliche Versuchsanordnung, bei der die Bilder stark beleuchteter, in gleichen Abständen auf dem Schwungradkranze an-

<sup>1)</sup> ETZ 1901, S. 877.

<sup>2)</sup> Bulletin de la Soc. des Electr., Bd XVIII und Z f. E. 1903, S. 489.

gebrachter Spiegel mit den Lochern in einer gleichförmig angetriebenen Trommel in Koinzidenz gebracht werden, ist von Cornu<sup>1)</sup> angegeben worden. (Siehe ferner ETZ 1901, S. 890.)

Zur Messung von periodisch veränderlichen Winkelgeschwindigkeiten kann man auch die Momentanwerte der in einer konstant erregten Gleichstrommaschine induzierten EMKe benutzen. Hierauf beruhen die Versuchsanordnungen der dritten Gruppe, von denen die Anordnung der General Electric Comp.<sup>2)</sup> angeführt sei. Von der Welle der Versuchsmaschine (Fig. 407) aus wird entweder direkt oder durch Vermittlung einer Übersetzung eine kleine Gleichstrommaschine angetrieben, deren Spannung für eine mittlere gleichförmige Geschwindigkeit so eingestellt wird, daß sie die Spannung der Akkumulatorenbatterie *B* kompensiert. Jede Abweichung von dieser mittleren Geschwindigkeit kann dann in einem in die Leitung zwischen Gleichstromanker und Batterie eingeschalteten Milli-Voltmeter abgelesen und hieraus der Ungleichformigkeitsgrad als Verhältnis zwischen der Instrumentablesung und der konstanten Spannung des Systems gefunden werden.

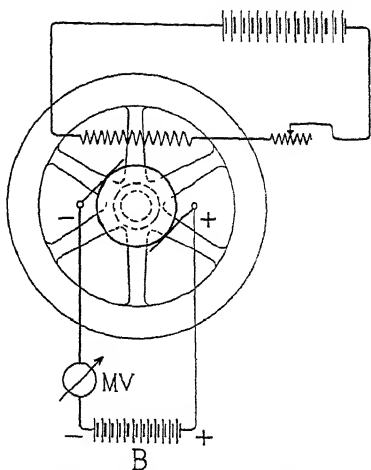


Fig. 407. Messung der Momentanwerte der Geschwindigkeit mittels einer konstant erregten Gleichstrommaschine.

Die Tachographen, die auf dem Zentrifugalpendelprinzip beruhen, gestatten ebenfalls die Messung der Momentanwerte einer ungleichförmigen Geschwindigkeit. Empfindliche und für diese Zwecke gut brauchbare Tachographen werden von der Firma Horn gebaut. Die Aufzeichnungen eines derartigen Apparates zeigen die Fig. 311 bis 317, aus denen Ungleichförmigkeitsgrade bis zu  $\frac{1}{200}$  mit genügender Genauigkeit bestimmt werden können.

Alle hier angeführten Methoden, bei denen wir eine konstante Vergleichsgeschwindigkeit in der Versuchsanordnung und eine konstante mittlere Geschwindigkeit der Versuchsmaschine benötigen, sind mehr oder weniger ungenau, da die Herstellung der kon-

<sup>1)</sup> Bulletin de la Soc. intern. des Electr., Bd XVIII, S. 519 u. 1902 II, S. 50.

<sup>2)</sup> ETZ 1901, S. 890 und 908.

stanten Geschwindigkeiten sehr schwierig ist. Die verhältnismäßig einfachen Methoden mit Verwendung der Stimmgabel gestatten mit genügender Genauigkeit die Messung von Ungleichförmigkeitsgraden bis ca.  $\frac{1}{100}$ . Die Genauigkeit der Messung wird vergrößert indem man die Beobachtung der ungleichförmigen Bewegung vom Schwungradkranze aus vornimmt. Dies ist auch schon deshalb zu empfehlen, weil dadurch Fehlerquellen, die durch die Deformation des Armsystems oder der Torsion der Welle entstehen konnten, für die Winkelabweichung nicht in Betracht kommen.

Für kleinere Ungleichförmigkeitsgrade und Winkelabweichungen eignen sich in erster Linie die Tachographen und ferner noch von den stroboskopischen Methoden die Anordnung von Sartori, wenn auf genaue Zentrierung, Eingriffsverhältnisse und gleichförmige Bewegung der stroboskopischen Scheiben genügend Rücksicht genommen wird.

**b) Winkelabweichung zwischen zwei parallelgeschalteten Maschinen.** Die von Görges und Weidig<sup>1)</sup> angegebene Methode

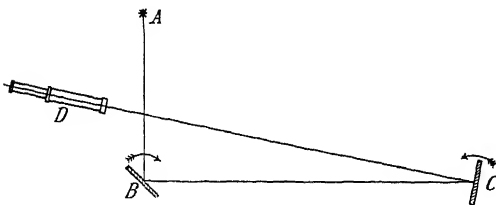


Fig 408. Anordnung von Görges und Weidig zur Messung der Winkelabweichung zweier parallel geschalteter Maschinen.

zur Messung der Winkelverdrehung zwischen zwei parallel arbeitenden Maschinen beruht auf dem Gedanken, die Strahlen einer Lichtquelle A (Fig. 408) über zwei mit den Maschinen gekuppelten Spiegel B und C in ein Fern-

rohr D zu werfen. Nur bei einer bestimmten Stellung der Spiegel zueinander, zu der Lichtquelle und dem Fernrohr können Lichtstrahlen in das Fernrohr gelangen. Laufen beide Maschinen synchron, also auch beide Spiegel, so sieht man das Licht im Fernrohr, sobald diese Stellung eintritt. Eilt eine Maschine der anderen vor, so ändert sich die Lage der Spiegel zueinander. Man muß daher entweder die Lichtquelle oder das Fernrohr oder beide Teile verschieben, damit die Strahlen wieder in das Fernrohr gelangen. Aus der Größe der Verschiebung kann man dann die Änderung der Lage der Spiegel zueinander und somit auch die Winkelverdrehung zwischen beiden Maschinen bestimmen.

<sup>1)</sup> J. Görges und P. Weidig, „Über die Messung der Voreilung parallel arbeitender Wechselstrommaschinen“. ETZ 1910, S 232.

Eine ähnliche Methode ist auch von J. W. van Dyk<sup>1)</sup> angegeben worden.

Ein weiteres Mittel zur Bestimmung des Phasenverschiebungswinkels  $\Theta$  zwischen der Klemmenspannung und der induzierten EMK ist von Liska und Szillas<sup>2)</sup> angegeben worden.

Mit dem zu untersuchenden Generator wird ein zweipoliger Hilfsgenerator mittels Zahnradübersetzung gekuppelt. An die Klemmen des Haupt- bzw. des Hilfsgenerators werden die Spulen eines Dynamometers angeschlossen. Ist bei Leerlauf der beiden Generatoren die Anordnung so getroffen, daß die beiden EMKe aufeinander senkrecht stehen, so zeigt das Dynamometer auf Null. Die Einstellung der EMKe kann am besten dadurch geschehen, daß man den Hilfsgenerator mit einem verdrehbaren und mit Winkeleinteilung versehenem Stator ausführt.

Wird nun der zu untersuchende Generator belastet, so zeigt das Dynamometer einen bestimmten Ausschlag, der dem Phasenverschiebungswinkel  $\Theta$  proportional ist. Verdreht man den Stator der Hilfsmaschine so, daß der Ausschlag wieder gleich Null wird, so ergibt die Skalendifferenz der beiden Statorstellungen direkt den gesuchten Winkel  $\Theta$ .

---

1) Dr J. W. van Dyk, „Über die Messung der Voreilung parallel arbeitender Wechselstrommaschinen“, ETZ 1911, S. 99

2) Dr-Ing. J. Liska und Dr-Ing O. Szilas, „Die Bestimmung des Winkels zwischen Klemmenspannung und induzierter EMK bei synchronen Generatoren“. El. u. M. 1911, S. 329



## Vierundzwanzigstes Kapitel.

# Anordnung der Feldmagnete und der Erregerwicklung der synchronen Wechselstrommaschinen.

161. Anordnung der Feldmagnete und der Erregerwicklung bei langsam laufenden Maschinen. — 162. Anordnung der Feldmagnete und der Erregerwicklung bei schnellaufenden Maschinen mit ausgeprägten Polen — 163. Anordnung der Feldmagnete und der Erregerwicklung bei schnellaufenden Maschinen mit Vollpolen

## 161. Anordnung der Feldmagnete und der Erregerwicklung bei langsam laufenden Maschinen.

Bei den langsam laufenden Maschinen kommen nur ausgeprägte Pole vor.

Die Pole, Polschuhe und das Polrad werden oft aus einem Stücke hergestellt. Werden die Polkerne massiv und getrennt vom Polrade hergestellt, so werden sie auf diesem meist durch Schraubenbolzen oder durch Schwalbenschwanz befestigt (Fig. 409 und 410).

Bemerkenswerte Konstruktionen zeigen Fig. 411 und 412. In Fig. 411 sind die Pole mit einem Stahlgußringe zusammengegossen und es ist dieser Ring auf das gußeiserne Polrad aufgebracht und durch Schrauben gegen Verschiebung gesichert. Die Konstruktion nach Fig. 412 rührt von der Maschinenfabrik Örlikon her. Der Aufbau des Polrades geht aus den beiden Figuren 412a und 412b ohne weiteres hervor. Der Vorteil dieser Anordnung liegt darin, daß Materialfehler in einem der Radkränze im allgemeinen nicht gefährlich werden können.

Sollen die Pole geblättert sein, so bilden sie mit den Polschuhen ein Stück. Die Befestigung auf dem Polrade kann ebenfalls mittels Schrauben oder Schwalbenschwanz geschehen. Eine gebräuchliche Befestigung von geblätterten Polen mittels Schrauben

zeigt Fig. 413. In eine Öffnung des Polkernes ist ein Schmied-eisenbalken eingeschoben, der mit dem Radkranz verschraubt wird.

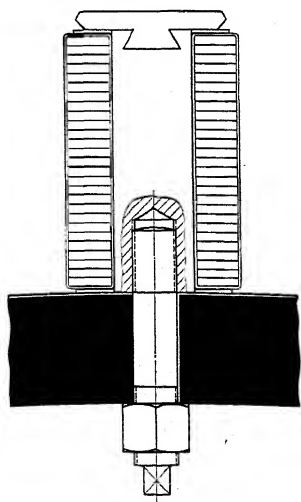


Fig. 409. Maschinenfabrik  
Örlikon.

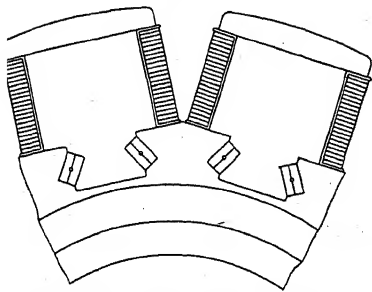


Fig. 410. Allg. El.-Ges. Berlin.

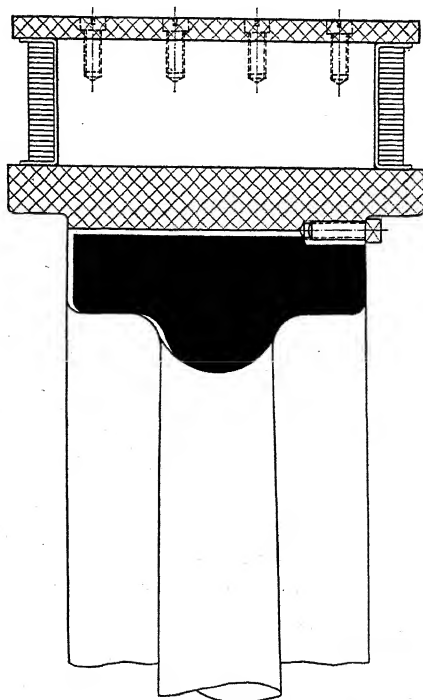


Fig. 411. Allmänna Svenska El. A.-B.  
Vesterås.

Häufig werden auch die Pole und das Polrad aus einem Stück hergestellt und die Polschuhe auf den Polkernen befestigt. Ein Nachteil dieser Konstruktion ist, daß die Spulen nicht entfernt werden können, wenn das Polrad sich in der Armatur befindet. Fig. 414 zeigt eine Anordnung der Siemens-Schuckert-Werke. Polrad und Pole sind getrennt hergestellt. In den massiven Polschuhen werden Rinnen vorgesehen, in die die Blechpakete eingesetzt werden. Diese werden mit Nieten befestigt. Ausgeführte Polräder mit gestaffelten Polschuhen zeigen Fig. 415 und 416. Das Polrad (Fig. 416) gehört zu einem Einphasengenerator. Die Stirnseiten der

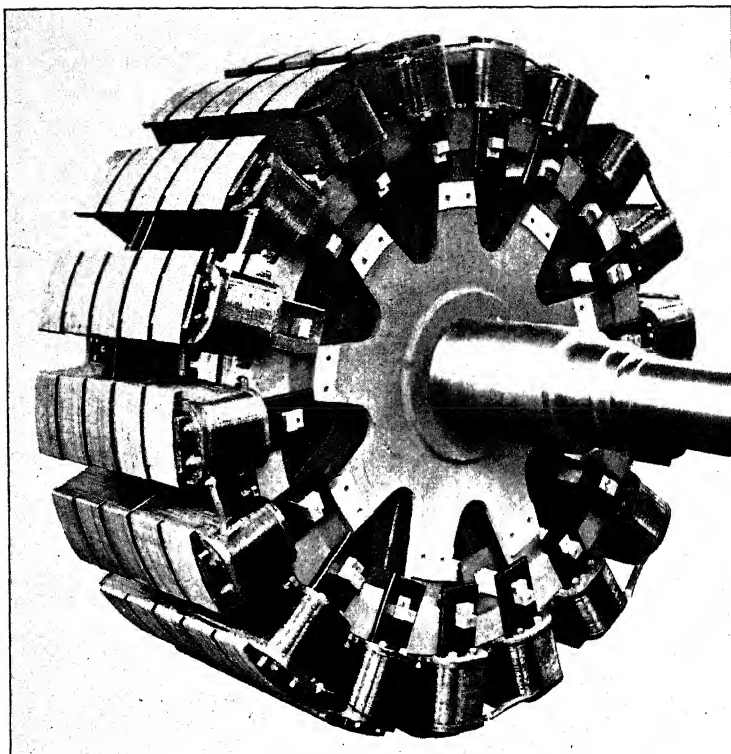


Fig. 412a. Maschinenfabrik Örlikon. 9000 KVA.-Generator.

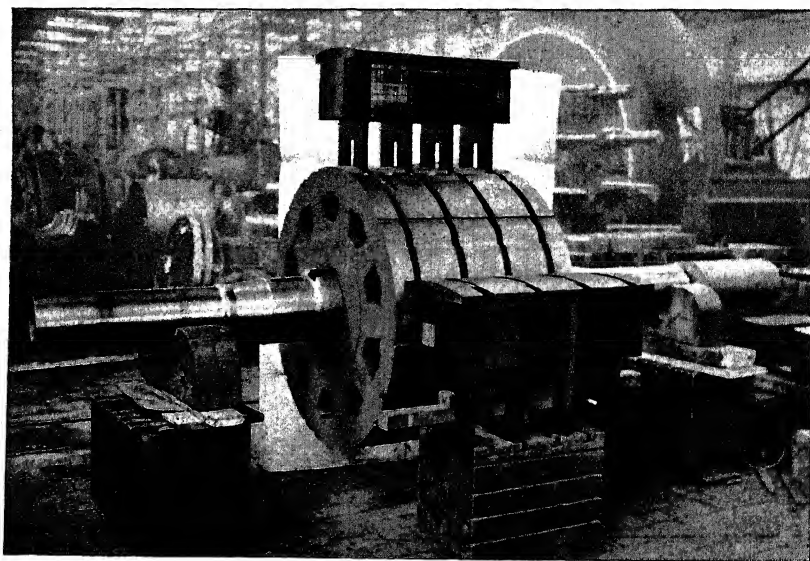


Fig. 412b. Maschinenfabrik Örlikon.

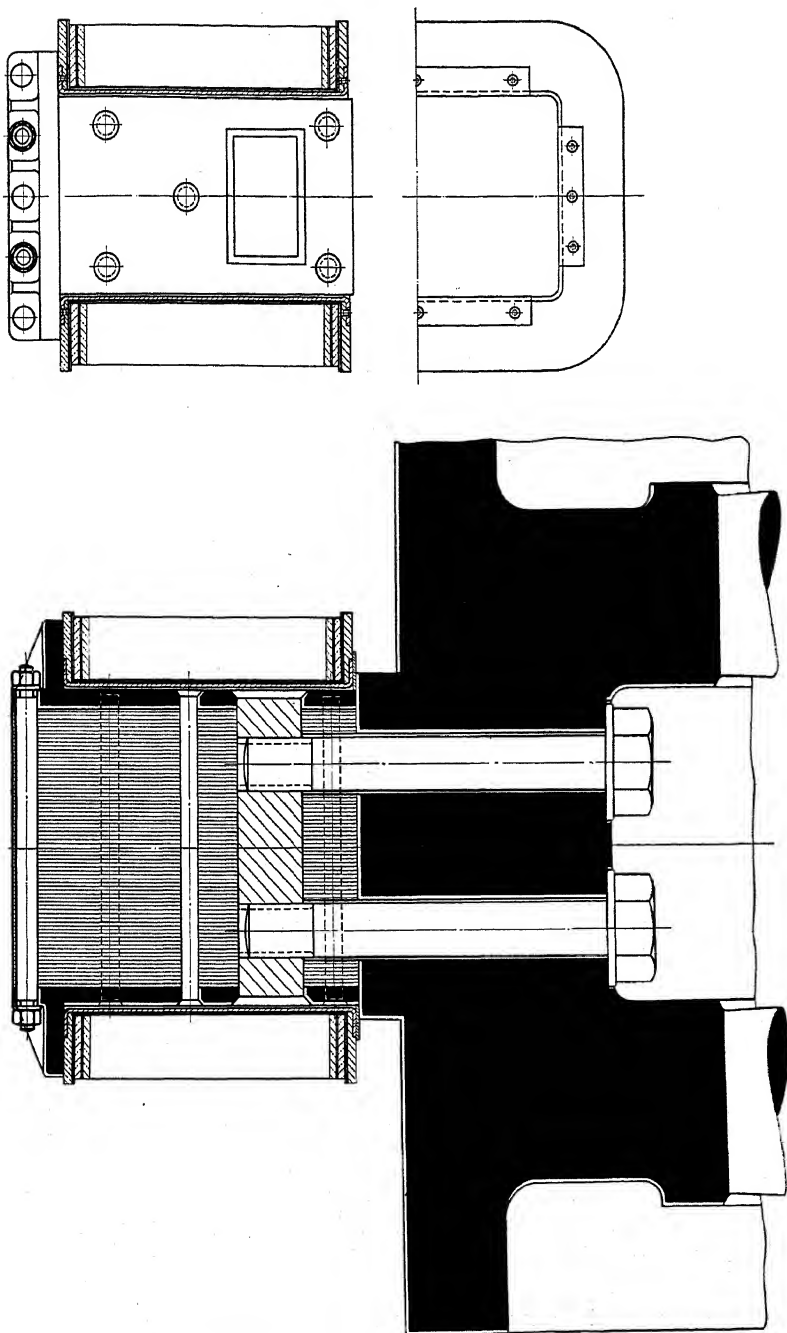


Fig. 418.

Spulen werden durch halbrunde Gußstücke gehalten, die mit dem Polrad verschraubt sind. In den Schlitten zwischen den einzelnen Blechpaketen ist die Dämpferwicklung zu erkennen.

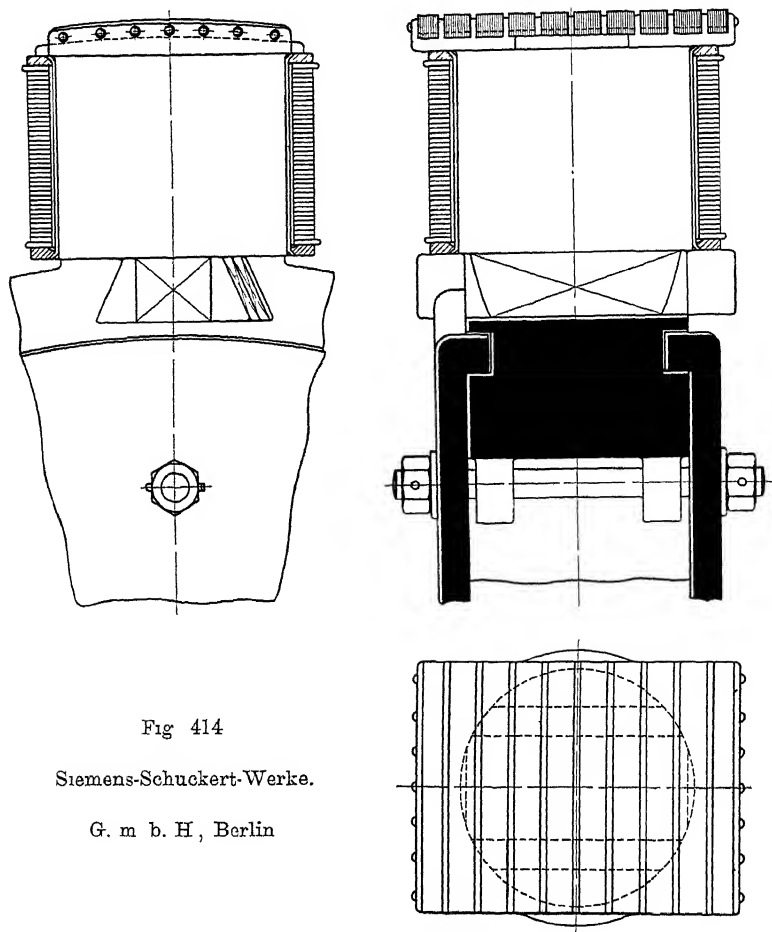


Fig 414

Siemens-Schuckert-Werke.

G. m. b. H., Berlin

Für die Erregerwicklung wird bei größeren Generatoren meistens Flachkupfer angewandt. Das Kupferband wird durch besondere Vorrichtungen auf einen Dorn von der Querschnittsform des Poles hochkant gewickelt. Die Windungen dieser Kupferspirale werden dann durch Zwischenlagen von ausgestanzten Streifen aus Preßspan, deren Enden, wie Fig. 417 zeigt, schwalbenschwanzförmig oder in ähnlicher Art ineinandergreifen, voneinander isoliert. Das Aufbringen der Erregerwicklung, wenn Polrad, Pole und Polschuhe

aus einem Stück hergestellt sind, zeigt Fig. 418. Das Rad wird mit je zwei Polen zwischen zwei Spitzen gelagert. Nachdem die Kerne isoliert sind, können die Spulen *A* und *B* gewickelt werden. In allen anderen Fällen werden die Erregerspulen gesondert hergestellt und als fertige Spulen auf das Polrad gebracht. Fig. 419 zeigt eine übliche Anordnung. Zur Aufnahme der Fliehkräfte wer-

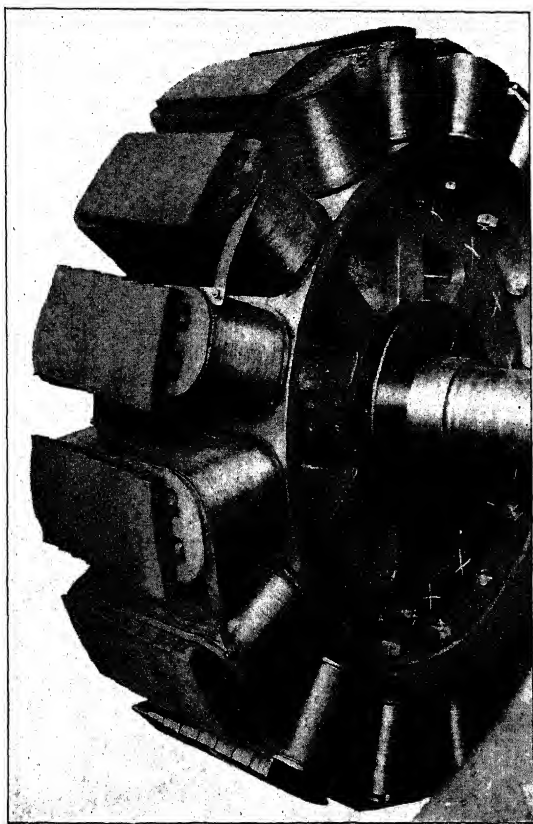


Fig. 415. Maschinenfabrik Örlikon.

den Bronzeringe zwischen Wicklung und Polschuh gelegt. Diese können auch mit Rippen versehen sein, die sich auf den Polschuh stützen (Fig. 420). Für höhere Umfangsgeschwindigkeiten kann eine festere Konstruktion nach Fig. 413 erreicht werden, indem man als seitliche Preßplatten für die Polbleche Tempergußscheiben verwendet. Diese tragen seitlich einen Ansatz, der die Spule trägt.

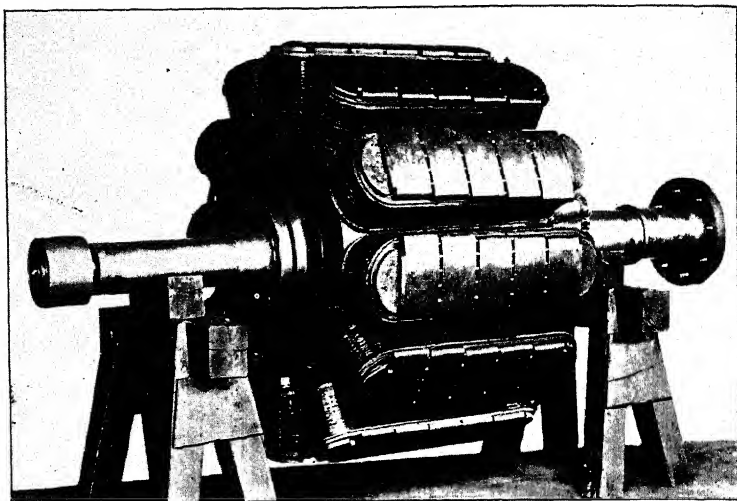


Fig. 416. Société Alsacienne de Constructions Mécaniques, Belfort.  
Einphasengenerator, 2000 KVA, 10500 Volt.  
 $n = 500$ ,  $c = 50$ .

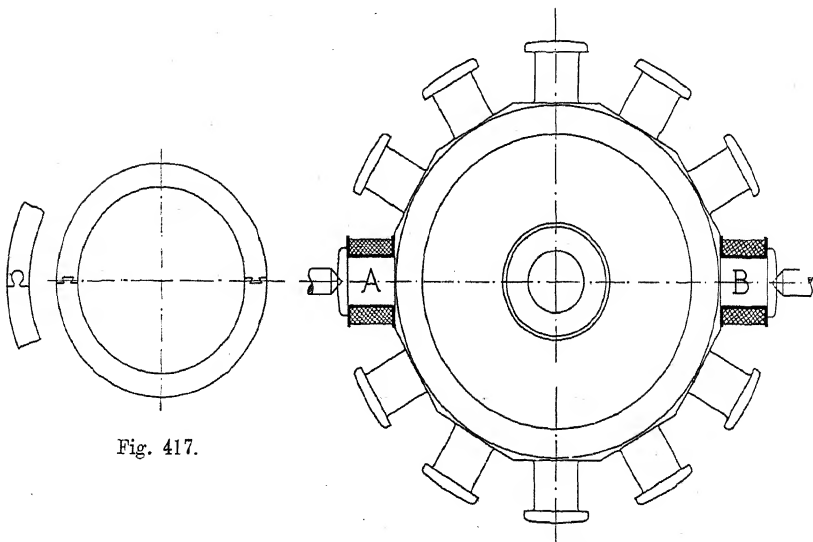


Fig. 417.

Fig. 418.

Wird die Erregerwicklung als Drahtwicklung ausgeführt, so wird diese meist auf einem besonderen Spulenkasten gewickelt.

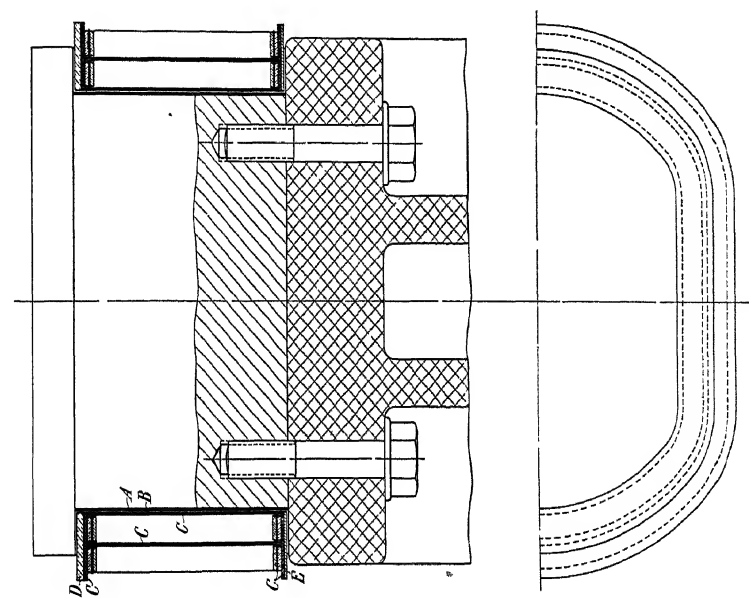
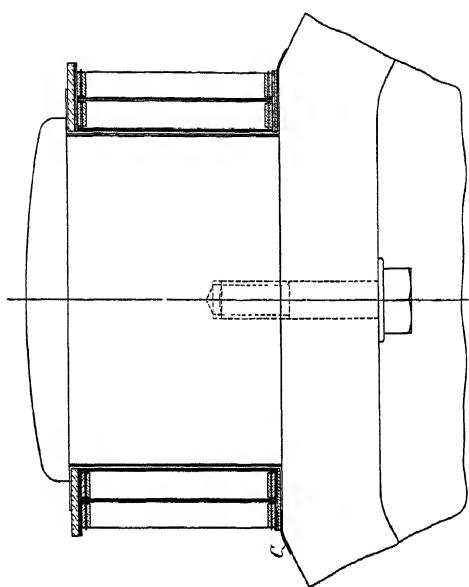


Fig. 419. Gesellschaft für elektr. Industrie, Karlsruhe.  
700 KVA-Drehstromgenerator.  $n = 300$ .



A Luftzwischenraum, B Spulenkasten aus Schmiedeeisen, C Presspan, D Zwischenlage aus Bronze, E' Zwischenlage aus Schmiedeeisen.

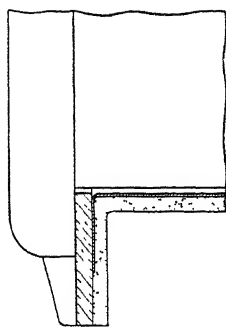


Fig. 420 E-A-G vorm. Kolben & Co, Prag.



## 162. Anordnung der Feldmagnete und der Erregerwicklung bei schnelllaufenden Maschinen mit ausgeprägten Polen.

Die schnelllaufenden Maschinen werden sowohl mit ausgeprägten Polen wie mit verteiltem Feldeisen ausgeführt.

Bei der Ausführung mit ausgeprägten Polen werden, ebenso wie bei langsam laufenden Maschinen, entweder Joch, Pole und Polschuhe aus einem Stück hergestellt (Fig. 421) oder Joch und Pole aus einem Stück und die Polschuhe besonders aufgesetzt (Fig. 422) oder schließlich Pole und Polschuhe aus einem Stück, welches auf dem Joch befestigt wird. Die zweite Anordnung ist die übliche. Die Herstellung aller drei Teile aus einem Stück kommt nur bei kleineren Maschinen vor. Die Befestigung der Polschuhe an den Polen kann mittels Schrauben oder Schwalbenschwanz geschehen (Fig. 422 und 423). In einer Ausführung von Ganz & Co. werden die Polschuhe mit Hülsen versehen, die auf die Pole geschoben werden. (Siehe Tafel XI.)

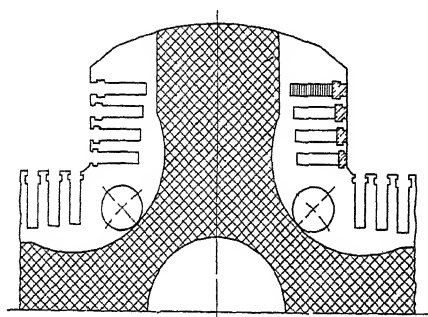


Fig. 421. Westinghouse Electric and Manufacturing-Co.

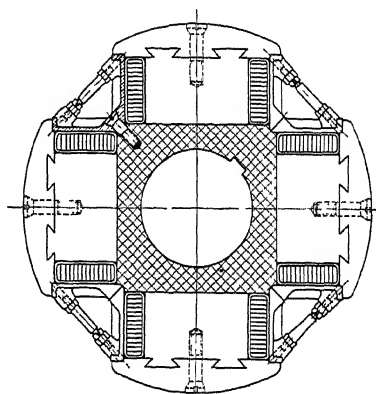


Fig. 422 E.-A.-G. vorm. Kolben & Co., Prag.

Die E.-G. Alioth (Fig. 424 und Tafel XIII.) versieht den kreisrunden Pol mit einer schwalbenschwanzförmigen Rille, in die die beiden Hälften des in der Richtung der Achse geteilten Polschuhes von beiden Seiten eingeschoben werden. Die beiden Hälften werden an den Seiten durch je einen Schraubenbolzen zusammengehalten. Die Westinghouse Co. setzt die Polschuhe in V-förmige Rinnen ein und befestigt sie mittels axialer Keile und Bolzen (Fig. 425).

Die Befestigung der Erregerwicklung muß mit besonderer Sorgfalt geschehen, da sie durch die Fliehkräfte stark beansprucht

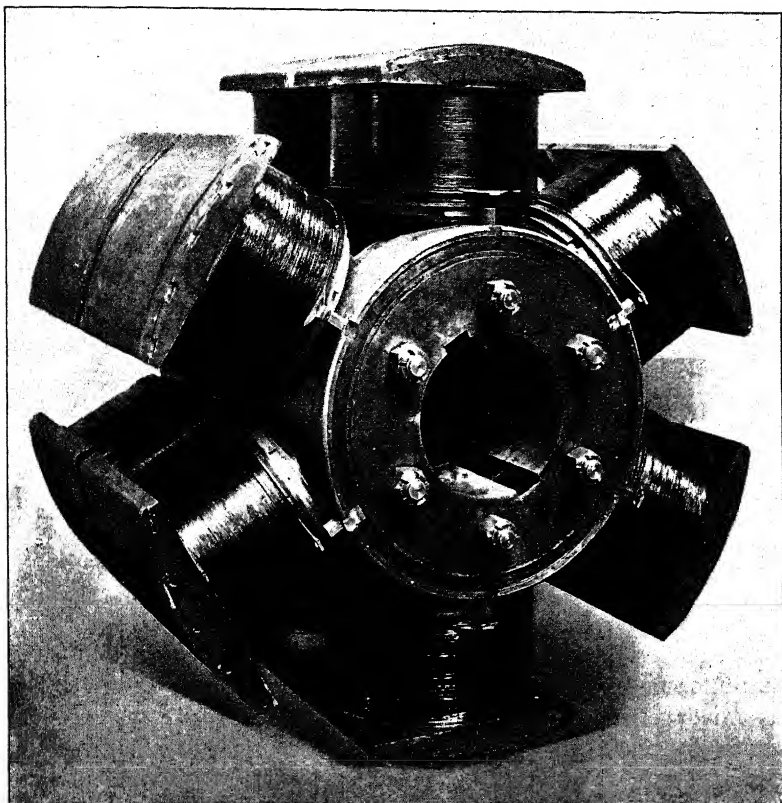


Fig. 423. Siemens-Schuckert-Werke, G. m. b. H., Berlin.  
6000 KVA-Drehstrom-Turbogenerator, 5000 V.  $n=1000$ ,  $c=50$ .

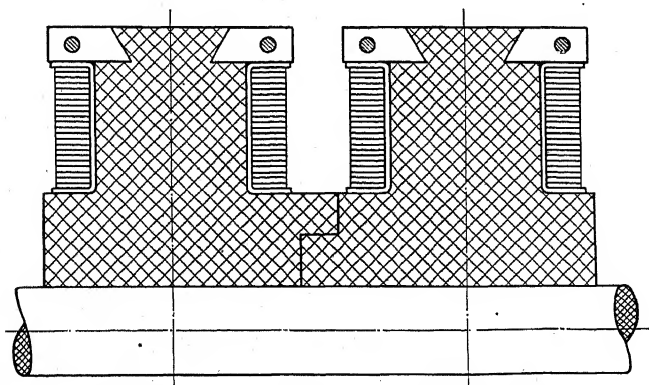


Fig. 424. El-Ges. Alioth, Münchenstein-Basel.

wird. Bei länglichen Polen ist es wiederholt vorgekommen, daß die Erregerspulen sich ausbauchten und Betriebsstörungen verursachten. Am sichersten gegen das Ausbauchen sind runde Polquerschnitte. Bei längeren Maschinen ordnen daher manche Firmen zwei bis drei runde Pole nebeneinander an. Aus demselben

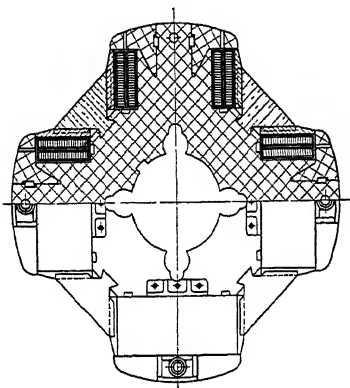


Fig. 425. Westinghouse El.  
and Mfg.-Co

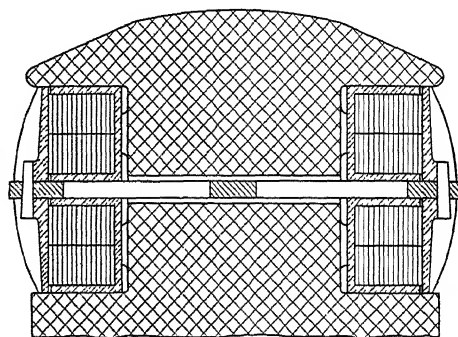


Fig 426. C A Parsons.

Grunde ist es besser, die Erregerwicklung als Hochkantkupferspule auszuführen. Flachgewickelte Spulen werden selten verwendet. Um das Ausbauchen der Wicklung bei länglichen Polen zu vermeiden, werden zwischen den einzelnen Polen Spannvorrichtungen angeordnet (Fig. 422 und 425). Bei Verwendung von flachgewickelten Spulen kann die Wicklung nach Fig. 426 geschützt werden.

### 163. Anordnung der Feldmagnete und der Erregerwicklung bei schnellaufenden Maschinen mit Vollpolen.

Bei der Ausführung mit verteiltem Feldeisen erhält der Rotor die Form einer Walze. Diese wird entweder aus einem vollen Stück Stahlguß hergestellt, in das die Nuten und Luftkanäle eingefräst bzw. gedreht werden, oder sie wird aus 20 bis 30 mm dicken Stahlscheiben (oder Kesselblech) aufgebaut, zwischen denen Luftschlitze gelassen werden; schließlich können solche Magneträder aus Paketen von 0,5 bis 2 mm dünnem Dynamoblech hergestellt werden. In der Regel verlaufen die Erregernuten solcher Magneträder radial (z. B. Fig. 427). Die Electric Construction Co. ordnet die Nuten jedes einzelnen Poles parallel zueinander an (Fig. 428), wodurch das Einlegen einer fertigen Spule ermöglicht wird.

In manchen Ausführungen wird nicht der ganze Pol mit Nuten versehen, sondern der mittlere Teil bleibt ohne Nuten und bildet einen breiten Zahn (Fig. 427 und Fig. 88, S. 101). Dieser breite Zahn spielt dann dieselbe Rolle wie ein ausgeprägter Pol. In manchen Konstruktionen erhält der ganze Rotor Nuten, nur bleiben

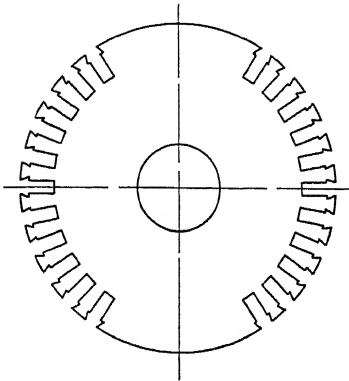


Fig. 427. Brown, Boveri &amp; Co., Baden.

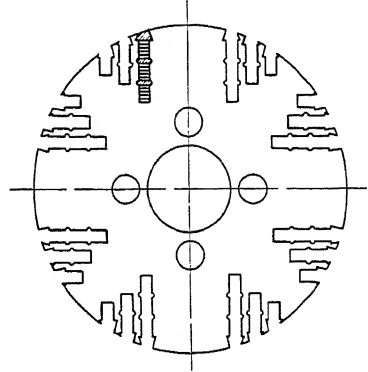


Fig. 428. Electric Construction Co.

einige Nuten in der Polmitte unbewickelt (Fig. 429). Schließlich wird die Anordnung auch derart getroffen, daß der ganze Rotor Nuten erhält, deren Dimensionen nach der Polmitte hin abnehmen (Fig. 430). Hierdurch wird erreicht, daß die Feldkurve sich mehr der Sinusform nähert.

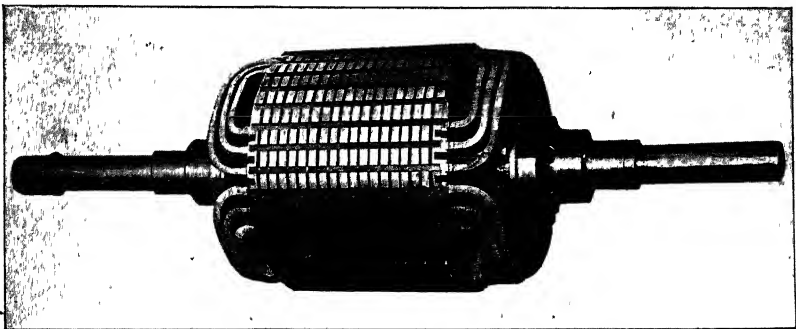


Fig. 429. Soc. Als de Construction Méc, Belfort.  
1500 KVA  $n = 1500$ ,  $c = 50$

Eigenartig ist der Aufbau des Rotors der Turbogeneratoren der Allg. El.-Ges., Berlin (Fig. 431). Jeder Zahn bildet einen Teil für sich und ist aus Stahlblechpaketen zusammengesetzt und unter der

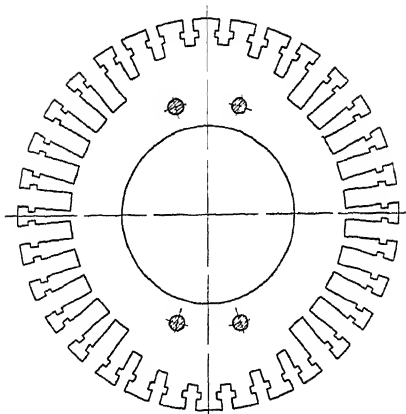


Fig 430

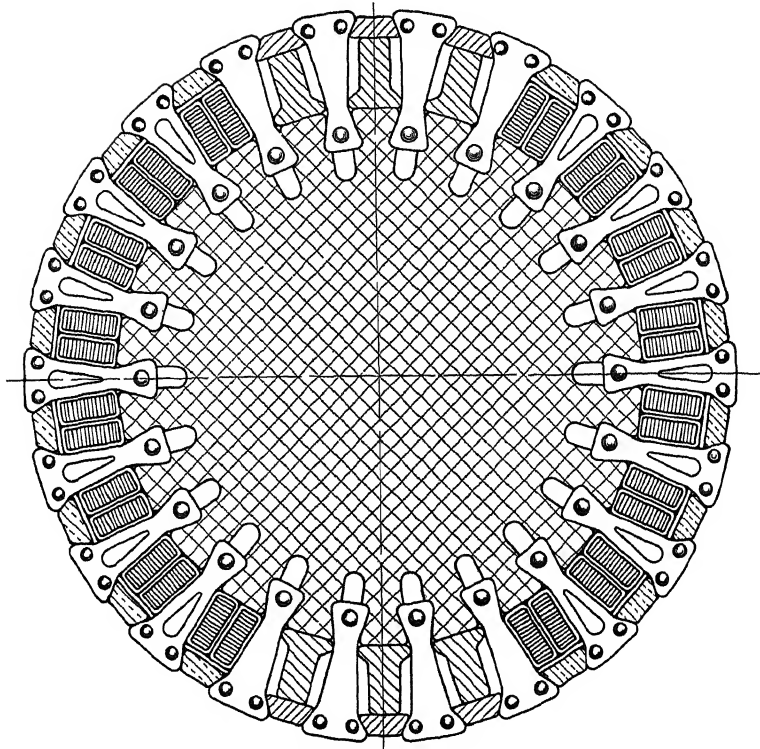


Fig. 431. Rotor eines Turbogenerators der Allg. El.-Ges., Berlin.

Presse vernietet. Jeder Zahn ist mit einem Luftkanal versehen (Fig. 432); die durch diesen Kanal getriebene Luft kann teils durch

Öffnungen im Zahnkopf, teils durch die Luftschlitze zwischen den einzelnen Paketen austreten. Die Nuten in der Polmitte, die unbewickelt bleiben, werden durch passende Metallstücke ausgefüllt, die das gleiche Gewicht haben, wie die Stäbe pro Nut. Der Auf-

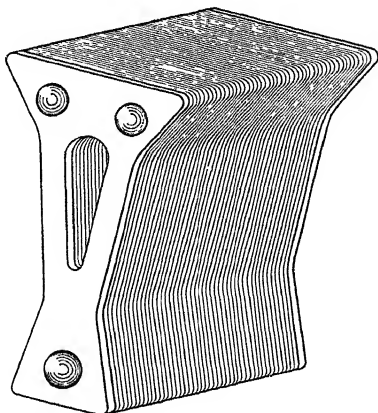


Fig. 432. Allg. El.-Ges., Berlin.

bau des Rotors beginnt mit dem Einsetzen der Zähne und Metallstücke in der Polmitte, es folgt dann das Auflegen der ersten Spule und Einsetzen der folgenden Zähne usw. Zwischen dem Nutenkeil und einer Unterlage werden Doppelkeile eingetrieben, die die Wicklung gegen die Welle drücken und so dem ganzen System eine gewisse Steifigkeit erteilen.

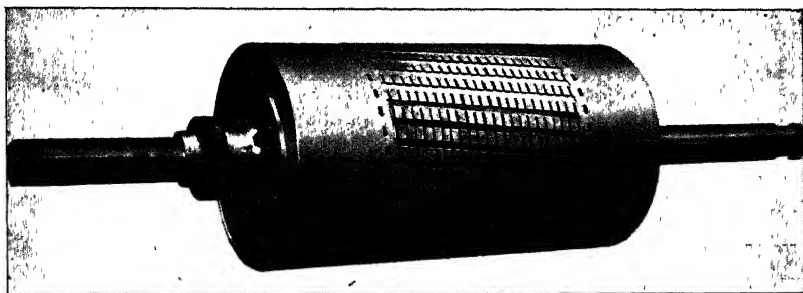


Fig. 433. Soc. Als. de Constr. Méc., Belfort. 2800 KVA. 5500 Volt.  
 $n = 1500$ ,  $c = 25$ .

Um die Spulenköpfe der Erregerwicklung gegen Zerstörung durch die Fliehkräfte zu schützen, werden Bandagen oder Kappen angewendet. Die letzteren werden aus unmagnetischem Material hergestellt (Bronze).

In den Fig. 433 und 434 sind fertiggestellte Rotoren mit den Wicklungskappen dargestellt. In der Ausführung der Fig. 433 sind die Nuten schräg gestellt, um höhere Harmonische in der EMK-Kurve

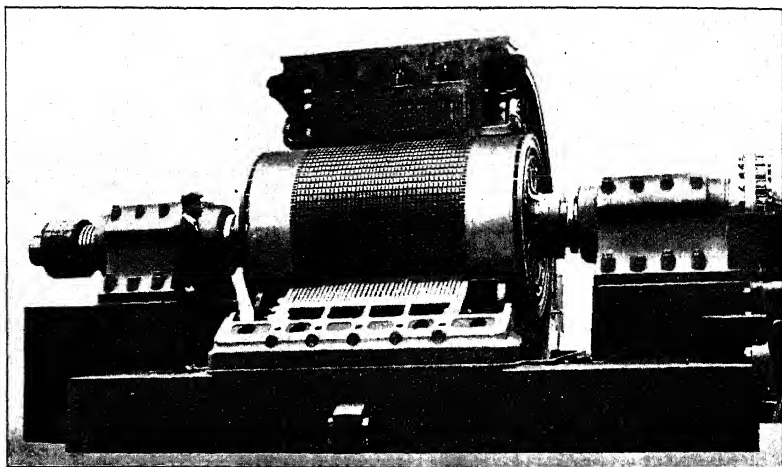


Fig. 434. Soc. Als. de Constr. Méc. Belfort. 6000 KW,  $\cos \varphi = 0,8$ ,  $n = 833\frac{1}{3}$ , 12500 Volt,  $41\frac{2}{3}$  Perioden-Zweiphasengenerator.

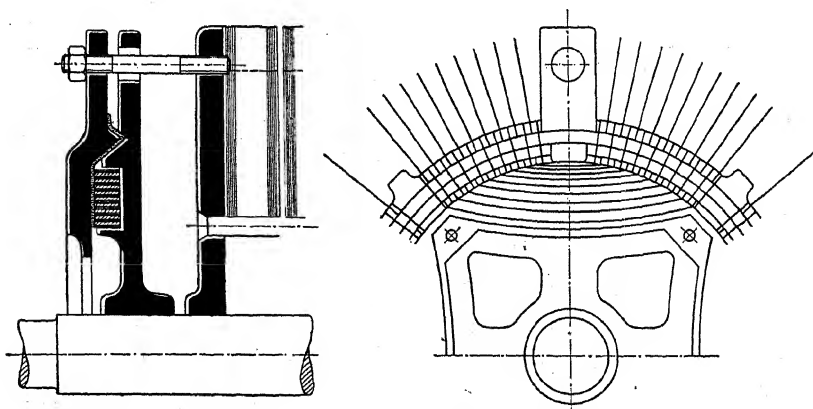


Fig. 435. British Westinghouse Co.

zu vermeiden (vgl. WT III, S. 229). Die British Westinghouse Co. (Walker) führt die Erregerwicklung ähnlich wie bei einem Gleichstromanker aus. Die Stirnverbindungen der einzelnen Stäbe werden mit einer Art Kommutatorkörper für sich zusammengebaut und

erst dann mit den geraden Rotorstäben verlötet oder vernietet (Fig 435). Eigenartig ist der Rotor der American Westinghouse Co. (Cooper) für zweipolige Maschinen. Der Rotorkörper

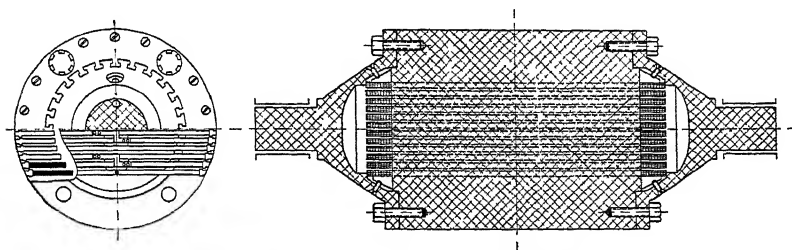


Fig. 436. American Westinghouse Co.

ist aus einem Stück hergestellt. Die Wicklung wird durch eine glockenförmige Haube aus Bronze gehalten, die in die schwalbenschwanzförmigen Nuten des einem Kegelrad ähnlichen Wellenendes eingegossen ist (Fig. 436).



## Fünfundzwanzigstes Kapitel.

### Beispiele ausgeführter Konstruktionen.

164. Langsam laufende Maschinen. — 165. Rasch laufende Maschinen.

#### 164. Langsam laufende Maschinen.

**1800 KVA-Einphasengenerator der D. E.-W. zu Aachen, Garbe, Lahmeyer & Co., A.-G.** 5000 Volt, 360 Amp.,  $\cos \varphi = 0,5$ , 100 Umdr. i. d. Min., 5 Perioden.

Fig. 437 zeigt das Gesamtbild der Maschine.

Wegen der geringen Periodenzahl besitzt die Maschine einen sehr großen Fluß pro Pol, daher die große Erregerwindungszahl von 580 pro Pol, die außergewöhnlich hohe Erregerspannung von 525 Volt und die relativ große Erregermaschine.

Hauptdaten der Maschine:

Polzahl . . . . .	6
Äußerer Durchmesser des Stators .	3750 mm
Bohrung des Stators . . . . .	2850 „
Eisenlänge mit Luftschlitzen $l_1$ .	1150 „
Anzahl der Luftschlitze $n_s$ . . . .	10
Breite eines Luftschlitzes $b_s$ . . .	10 mm
Nutenzahl $Z$ . . . . .	216
(davon 144 bewickelt)	
Stäbe pro Nut $s_n$ . . . . .	4
Nutendimensionen . . . . .	$18 \times 56$
Erregerwicklung . . . . .	580 Windg. pro Pol
Erregerspannung . . . . .	525 Volt
Erregerstrom . . . . .	75 Amp.

**2500 KVA-Einphasengenerator der A.-G. Brown, Boveri & Co., Baden.** 16000 Volt, 156 Ampere, 300 Umdr. i. d. Min., 15 Perioden. (Taf. I, Fig. 438.)

Die Maschine ist mit einer Dämpferwicklung ausgeführt, die Dampferstabe jedes Poles sind für sich verbunden. Die Pole sind geblättert und mit Schwalbenschwänzen am Magnetrad befestigt. Eigenartig ist die Befestigung der Ankerwicklung. Der ganze Spulenkopf wird von einem Rahmen umfaßt, der an der Preßplatte verschraubt ist. Die Erregermaschine ist angebaut. Die Polkonstruk-

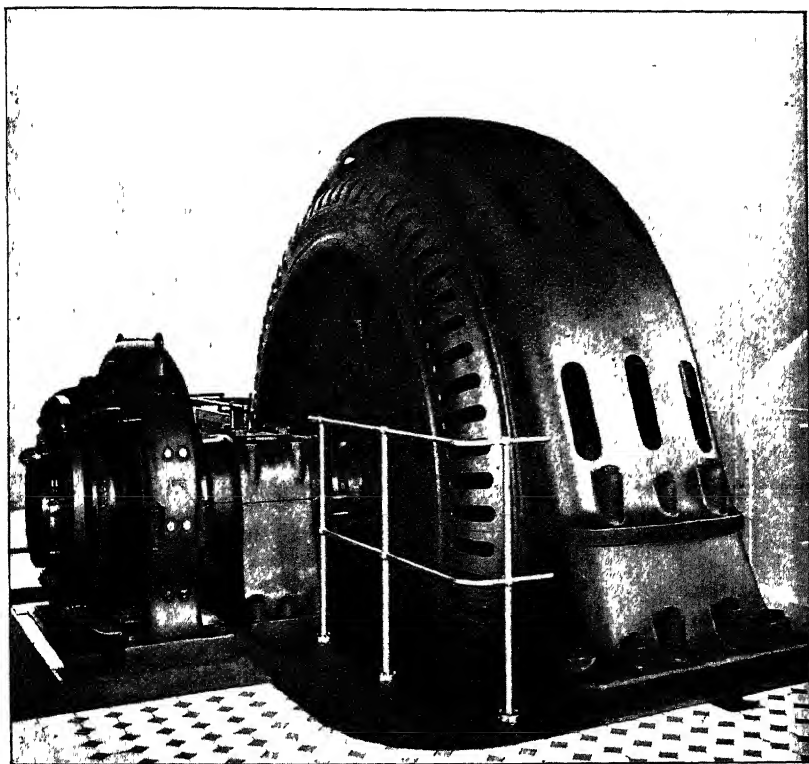


Fig. 437. D. E.-W. zu Aachen, Garbe, Lahmeyer & Co., A.-G.  
1800 KVA-Einphasengenerator.

tion und die Befestigung der Erregerwicklung sind kräftiger ausgeführt mit Rücksicht auf die mögliche Erhöhung der Drehzahl beim Antrieb durch eine Wasserturbine. Die Nuten sind nicht radial angeordnet, sondern die zu einem Pol gehörigen Nuten sind parallel, wegen des bequemeren Einlegens der Wicklung. Die Wicklung bedeckt  $\frac{7}{8}$  der Polteilung. Die untere Ankerhälfte hat abnehmbare Stützen und ist drehbar angeordnet zur Ausbesserung der Wicklung. (Daten siehe Abschnitt 152, S. 596, Tabelle Nr. 1.)

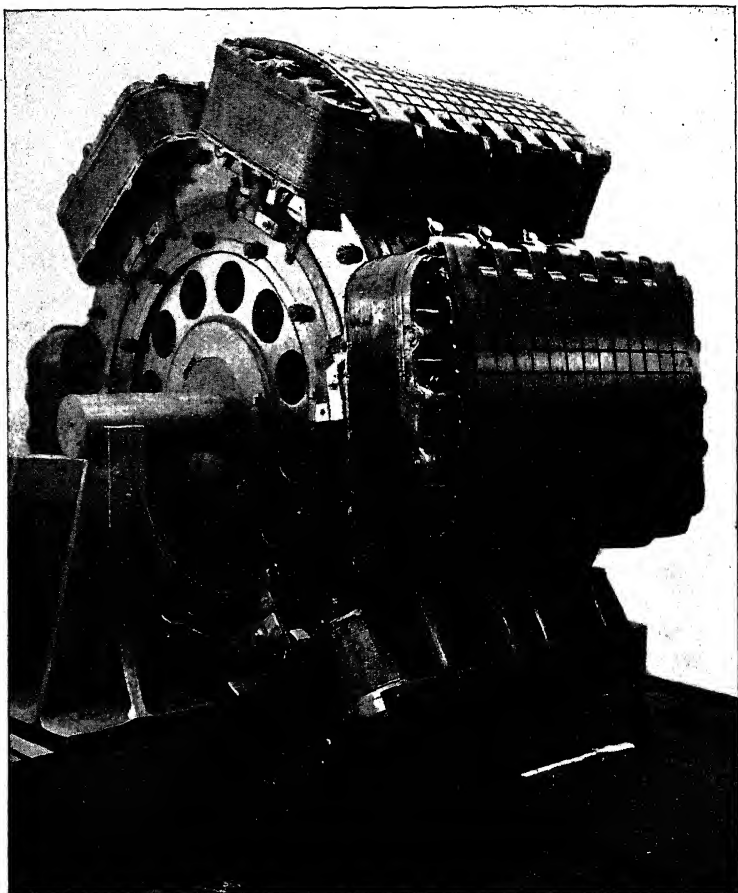


Fig. 438. Brown Boveri & Co., Baden-Schweiz.  
2500 KVA-Einphasengenerator.

1000 KVA-Einphasengenerator für Bahnbetrieb der El.-Ges. Alioth, Münchenstein, Basel. 850 Volt, 1180 Ampere, 500 Umdr. i. d. Min., 25 Perioden.

Fig. 439 stellt das Polrad dieser Maschine dar. Die Pole haben runden Querschnitt, je zwei sind nebeneinander angeordnet. Die Maschine ist mit Dämpferwicklung ausgeführt. Um eine vollkommene Dämpfung des inversen Drehfeldes zu erreichen, sind die Dämpferstäbe der einzelnen Pole auch untereinander verbunden. Es sind pro Pol 12 Dämpferstäbe mit 18 mm Durchmesser angeordnet. Es wird durch die runde Polform das Ausbauchen der Erregerwicklung vermieden und es ist bei dieser Maschine die 1,8fache Drehzahl zu-

lässig.  $GD^2 = 6500 \text{ kgm}^2$ . Es lassen sich in der Figur deutlich die Lüftungsflügel erkennen. (Daten siehe S. 596 Tabelle Nr. 3.)  
(Wicklungsbefestigung s. WT III Fig. 452.)

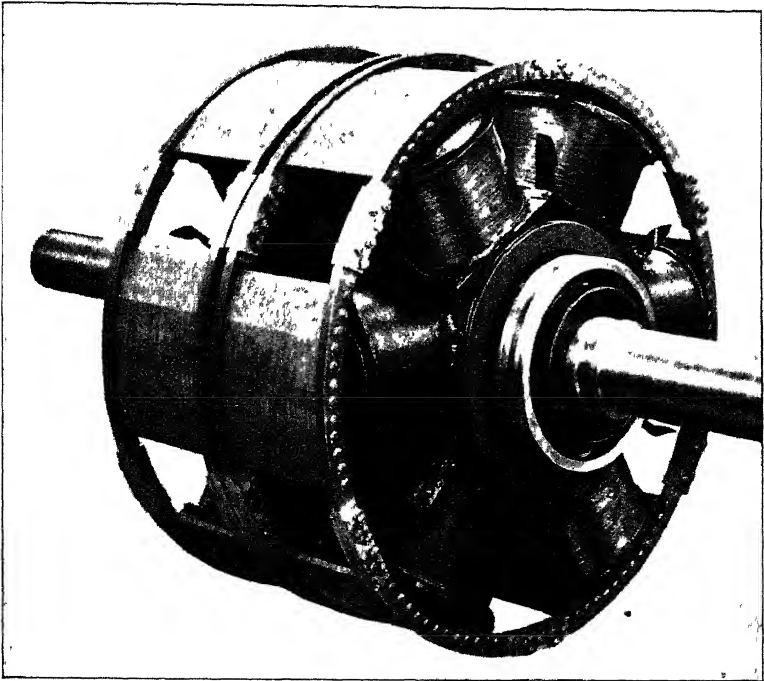


Fig 439 El.-Ges. Alioth, Münchenstein, Basel.  
1000 KVA-Emphasengenerator.

**5500 KVA-Dreiphasengenerator der El.-Ges. Alioth, Münchenstein, Basel.** 8250 Volt verkettete Spannung, 385 Ampere, 300 Umdr. i. d. Min., 25 Perioden. (Fig. 440.)

In der Mitte der Maschine, wo im allgemeinen die höchste Temperatur auftritt, befindet sich ein breiter Luftschlitz von 70 mm Breite, der auch durch das Polrad durchgeführt ist. Aus konstruktiven Gründen ist das Polrad in der Längsrichtung geteilt. Die Maschine ist in bezug auf mechanische Festigkeit auf die 1,7fache normale Drehzahl bemessen, da sie von einer Wasserturbine angetrieben wird.  $GD^2 = 100000 \text{ kgm}^2$ . (Daten siehe S. 596 Tabelle Nr. 5.)

**5700 KVA-Dreiphasengenerator der A.-G. Brown, Boveri & Co., Baden.** (Tafel II, Fig. 441.) 3400 Volt verkettete Spannung, 965 Ampere, 128,5 Umdr. i. d. Min., 45 Perioden.

Die Maschine wird von einer Wasserturbine mit vertikaler

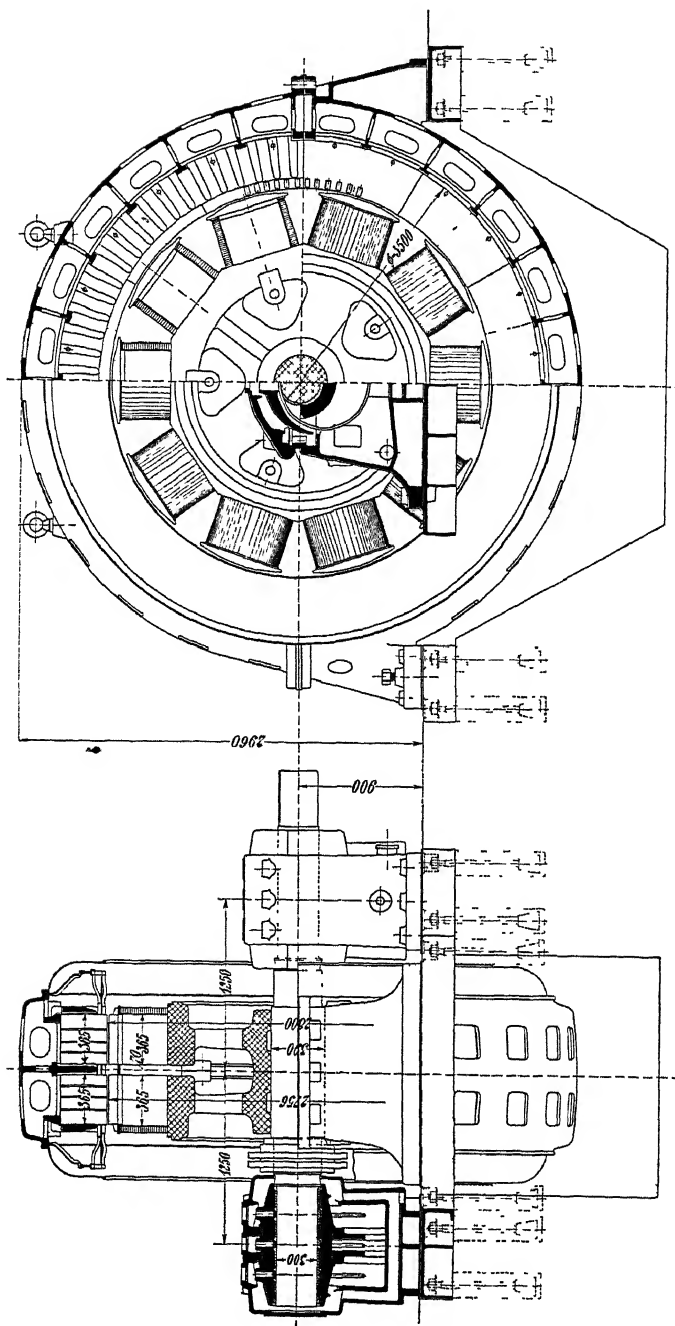


Fig. 440. El.-Ges. Alroth, Münchenstein, Basel.  
 5500 KVA-Dreiphasengenerator. 8250 Volt verkettete Spannung, 385 Amp, 300 Umdr i. d Min, 25 Perioden.

Welle angetrieben. Sie hat Druckolschmierung und das Öl wird mit einer Kuhlsschlange gekühlt.

Die Pole sind mit Schwalbenschwanz und Keil am Joch befestigt, die Polschuhe an den Polen ebenfalls mit Schwalbenschwanz.

Die Ankerwicklung ist nach Art einer Mantelwicklung ausgeführt und ist durch Konsolen an den Preßplatten befestigt (s. WT III Fig. 451).



Fig 441 Brown, Boveri & Co., Baden.  
5700 KVA-Dreiphasengenerator für eine Wasserturbine.

Zur besseren Kühlung sind an den Polen Flügel angeordnet und an den Schildern besondere Luftführungen.

Die Erregermaschine ist oberhalb der Maschine auf derselben Welle angeordnet.

Hauptdaten siehe S. 596 Tabelle Nr. 8.

**420 KVA-Dreiphasenmotor der A.-G. Brown, Boveri & Co., Baden.**  
(Tafel III.) 200 Volt verkettete Spannung, 1200 Ampere, 167 Umdr. i. d. Min., 50 Perioden.

Die Maschine ist als Außenpoltype ausgeführt, mit rotierendem Magnetsystem. Die Pole sind mit Schrauben an dem gußeisernen Joch befestigt. Der Anker ist an der Fußplatte verschraubt und kann zur Reparatur gedreht werden. Die Erregermaschine ist fliegend angeordnet.

Hauptdaten siehe S. 596 Tabelle Nr. 11.

**500 KVA-Dreiphasengenerator der Maschinenfabrik Örlikon, Schweiz.** (Fig. 442.) 7500 Volt verkettete Spannung, 38 Ampere, 40 Umdr. i. d. Min., 50 Perioden.

Die Maschine wird durch eine Wasserturbine angetrieben. Um ein genügendes Schwungmoment ( $GD^2 = 300\,000 \text{ kgm}^2$ ) zu erreichen, ist sie mit großem Durchmesser ausgeführt. Fig. 442 zeigt die Gesamtansicht.

Hauptdaten siehe S. 596 Tabelle Nr. 12.

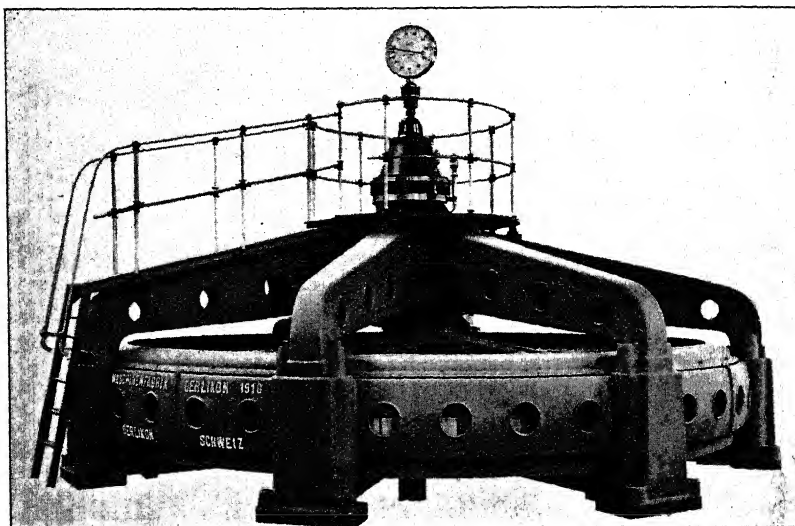


Fig. 442. Maschinenfabrik Örlikon.  
500 KVA-Dreiphasengenerator für eine Wasserturbine.

**650 KVA-Dreiphasengenerator der E.-A.-G. vorm. Kolben & Co., Prag.** (Fig. 443 und 420.) 500 Volt verkettete Spannung, 750 Ampere, 107 Umdr. i. d. Min., 50 Perioden.

Das rotierende Magnetsystem ist zweiteilig, die Pole sind mit Schrauben an dem gußeisernen Joch befestigt. Die Nuten sind oval und halbgeschlossen. Gewicht des Ankerkupfers 600 kg, Erregerkupfer 1160 kg. Kurzschlußstrom gleich dem 2,35fachen Normalstrom, gleich 1760 Amp. Blechverlustziffer 3,67 Watt/kg.

Hauptdaten siehe S. 596 Tabelle Nr. 13.

**925 KVA-Dreiphasengenerator der Maschinenfabrik Örlikon.** 13500 Volt verkettete Spannung, 39,5 Amp. Stromst. pro Phase, 375 Umdrehungen, 50 Perioden. (Tafel IV.)

Tafel IV zeigt eine Konstruktion der Maschinenfabrik Örlikon. Das Polrad besteht aus einem Armstern aus Grauguß, über den ein

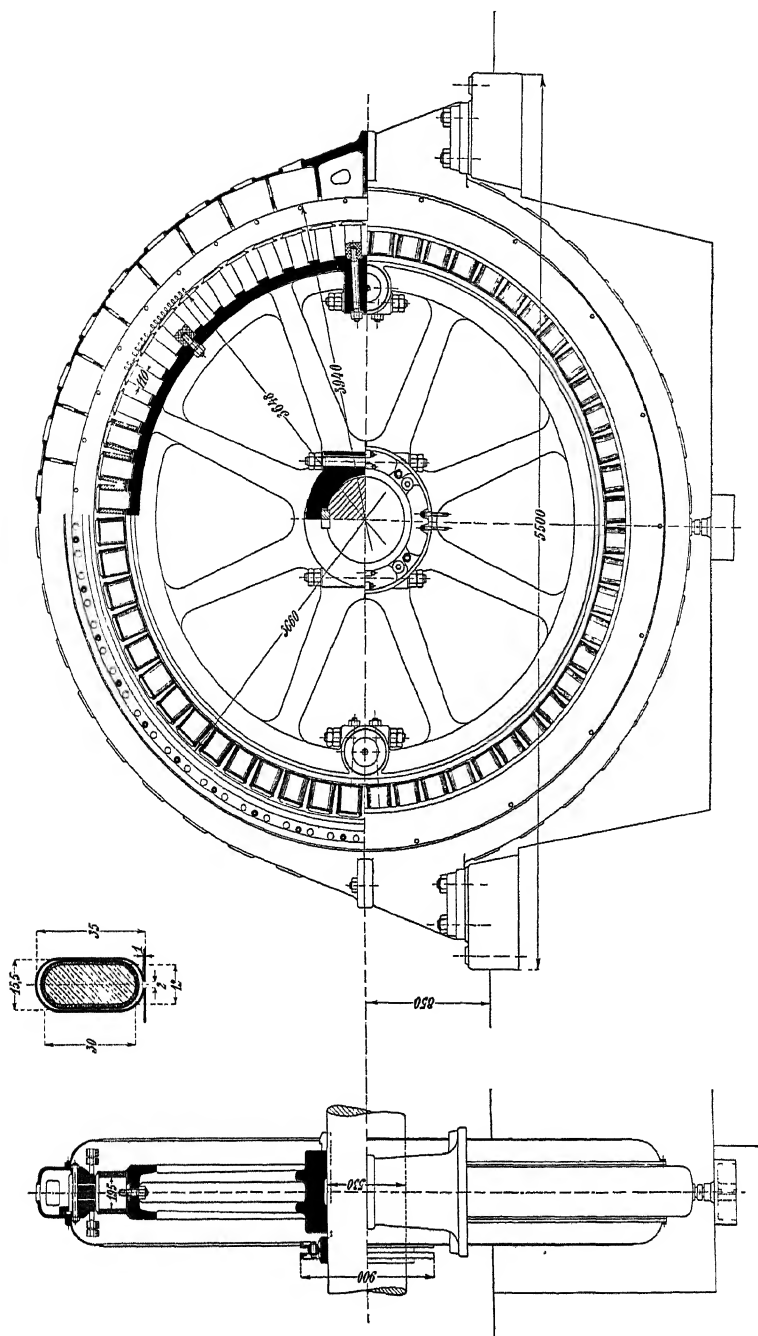


Fig. 443. E. A.-G. vorm. Kolben & Co., Prag. 650 KVA-Dreiphasengenerator. 500 Volt verkettete Spannung, 750 Ampere, 107 Umdr. i. d. Min. 50 Perioden.



Kranz aus Stahlguß geschoben und mit Bolzen befestigt ist. Die Bolzen sind im mittleren Teil als Mitnehmerkeile ausgebildet und halb in die Arme und halb in den Kranz eingelassen.

Interessant ist die Konstruktion der geblätterten Pole. Um ein allmähliches Ansteigen der Feldkurve und möglichst sinusförmigen Verlauf der EMK-Kurve zu erhalten (siehe WT III, S. 192), sind die Pole in acht Blechpakete unterteilt, und die Polschuhe der einzelnen Pakete sind, wie aus Fig. 3 der Tafel IV zu ersehen ist, am Umfange um je 6 mm gegeneinander verschoben, so daß der ganze Polschuh eine schräge Form erhält. Es sind pro Pol acht Pakete vorhanden, jedoch müssen nur vier verschiedene Formen von Blechen gestanzt werden, indem in den letzten vier Paketen die Bleche einfach umgekehrt eingelegt werden (s. auch Fig. 415).

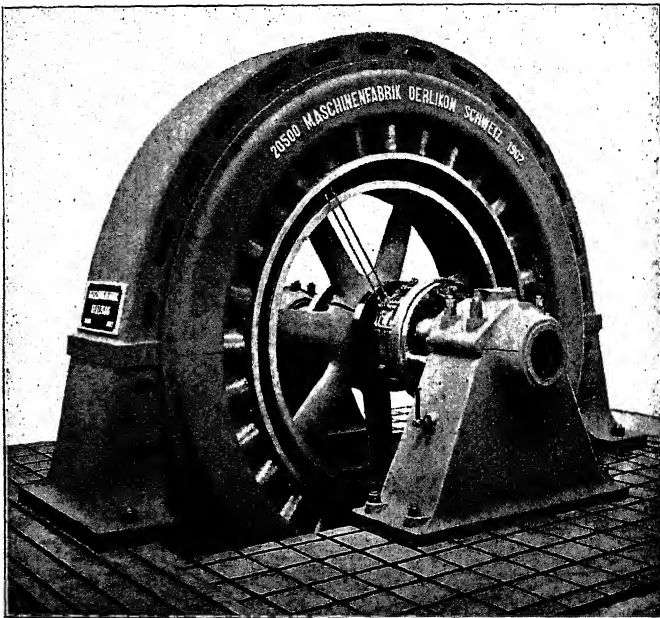


Fig. 444. Maschinenfabrik Örlikon.

Die Armaturwicklung liegt in offenen Nuten. Es ist eine Schablonenwicklung mit drei verschiedenen Spulenformen.

Eigentümlich sind die Preßbolzen der Armatur ausgebildet; sie haben in ihrem mittleren Teil trapezförmigen Querschnitt und sind mit dem Gehäuse durch Schrauben verbunden. Über diese Bolzen werden die Armaturbleche, die zu diesem Zwecke am äußeren

Rande schwalbenschwanzförmig ausgeschnitten sind, übergeschoben. An beiden Enden sind die Bolzen rund abgedreht und mit Gewinde und Muttern zum Zusammenpressen der Bleche versehen.

Das Gehäuse ist in der Horizontalen geteilt. Die Schrauben, die die beiden Halften zusammenhalten, sind in das Innere verlegt; in der äußeren Form ist die Teilung nicht ausgeprägt, was der Maschine ein gefälliges Aussehen verleiht. Die Verbindungsschrauben sind durch Flacheisenstücke, die zwischen die Gehäusehalften eingelegt sind, von Schubkräften entlastet. Diese dienen gleichzeitig als Paßstifte.

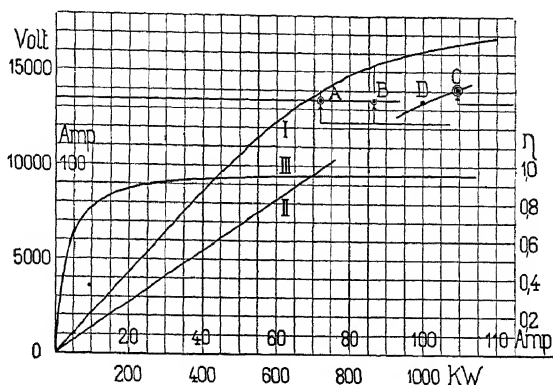


Fig. 445. Versuchsergebnisse des 925 KVA-Dreiphasengenerators der Maschinenfabrik Orlikon 13500 Volt, 375 Umdrehungen, 50 Perioden  
Kurve I Leerlaufcharakteristik. Kurve II Kurzschlußcharakteristik.  
Kurve III Wirkungsgrad bei  $\cos \varphi = 1$ .

Das Gesamtbild einer ähnlichen Maschine ist in Fig. 444 dargestellt.

Die charakteristischen Kurven der Maschine zeigt Fig. 445.

Hauptdaten siehe S. 596 Tabelle Nr. 15.

**2000 KVA-Dreiphasengenerator der A.-G. Brown, Boveri & Co., Baden.** (Fig. 446 u. 447.) 600 Volt verkettete Spannung, 1925 Amp., 375 Umdr. i. d. Min., 50 Perioden.

Die Pole sind mit Schwalbenschwanz und Keil am Joche befestigt, das aus Stahlplatten besteht, die auf dem gußeisernen Radkranze angeordnet sind. Die Ankerwicklung ist in zwei Ebenen ausgeführt und mit Schrauben an den Preßplatten befestigt. Die Erregermaschine befindet sich auf der Generatorwelle fliegend angeordnet. Zur besseren Kühlung ist eine Luftführung vorgesehen.

Hauptdaten siehe S. 596 Tabelle Nr. 22.

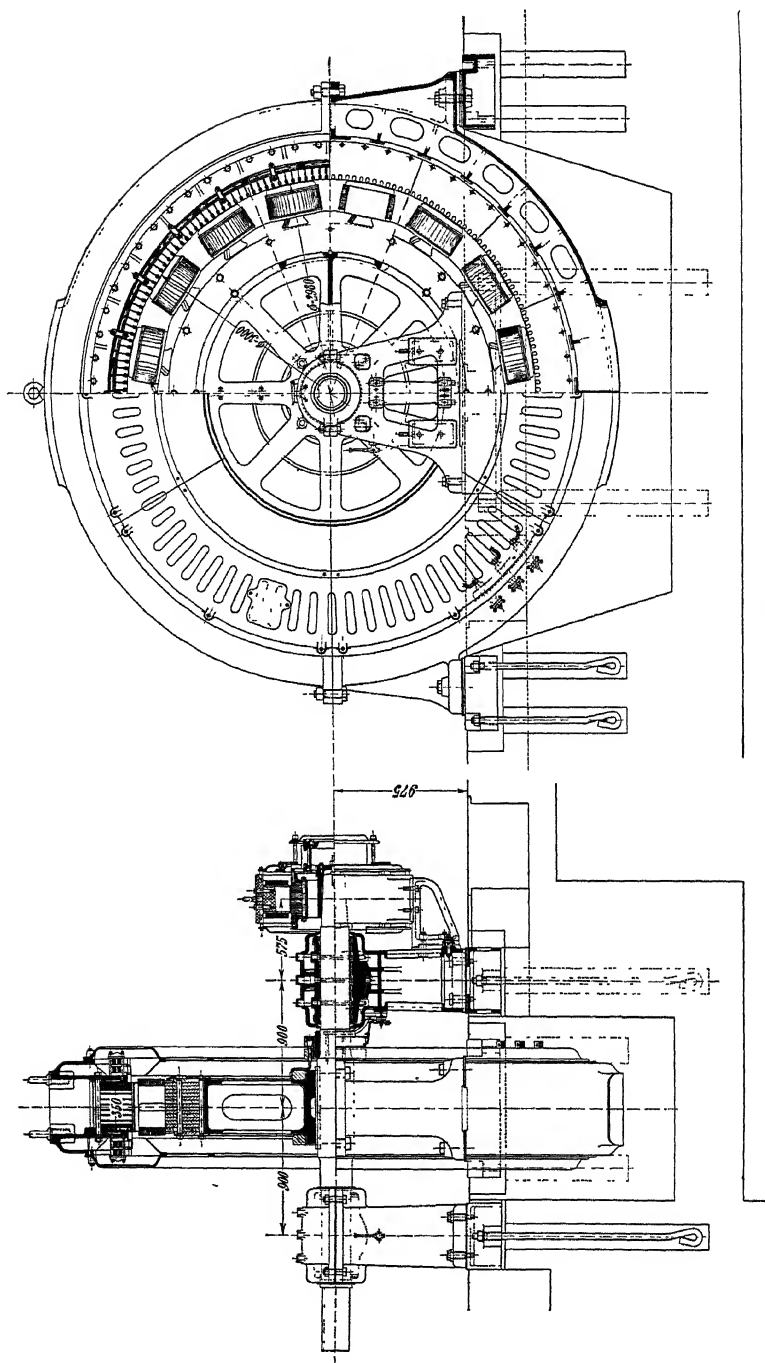


Fig. 446. Brown, Boveri & Co., Baden. 2000 KVA-Dreiphasengenerator. 600 Volt verkettete Spannung, 1925 Amp., 375 Umdr. 1 d. Min, 50 Perioden.

**6250 KVA-Dreiphasengenerator der Siemens-Schuckert-Werke, G. m. b. H., Berlin. (Tafel V.)** 4400 Volt verkettete Spannung, 820 Ampere, 300 Umdr. i. d. Min., 50 Perioden.

Die Maschine besitzt eine vertikale Welle. Die Pole sind mit Schwalbenschwanz am Joch befestigt. Die Polschuhe bestehen aus einzelnen Blechpaketen, die in die Pole eingesetzt sind (s. Fig. 414).

Die Ankerwicklung ist als Mantelwicklung ausgeführt und nach der WT III Fig. 454 am Gehäuse befestigt.

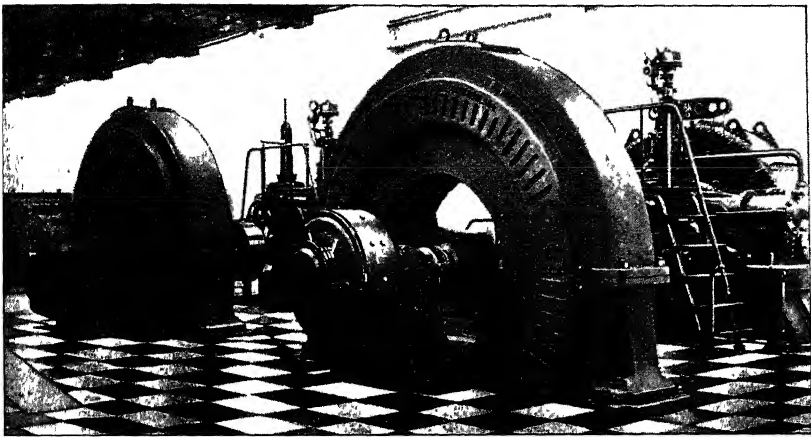


Fig. 447. Brown, Boveri & Co., Baden. 2000 KVA-Dreiphasengenerator.

Die Erregermaschine ist oben an der Welle angeordnet. Der Erregerstrom wird dem Polrad des Generators durch die Welle zugeführt. Die Pole der Erregermaschine sind auch lamelliert.

Auf Tafel IV ist die Konstruktion des Spurzapfens deutlich zu erkennen.

Hauptdaten der Maschine siehe S. 596 Tabelle Nr. 30.

**3510 KVA-Dreiphasengenerator der Almäna Svenska El.-A.-B., Vesterås. (Fig. 448.)** 7000 Volt verkettete Spannung, 290 Ampere, 180 Umdr. i. d. Min., 60 Perioden.

Die Polschuhe aus Stahl sind mit Schrauben an den Polen befestigt. Die Pole sind mit einem Stahlring vergossen, der auf den gußeisernen Radkranz aufgeschoben und mit Keilen und Schrauben gegen Verdrehung gesichert ist (s. Fig. 411).

Die Ankerwicklung ist in zwei Ebenen angeordnet; in einer, die in die Verlängerung der Nuten fällt, und einer senkrecht dazu. Die beiden Phasen, deren Spulenköpfe in die letzte Ebene fallen,

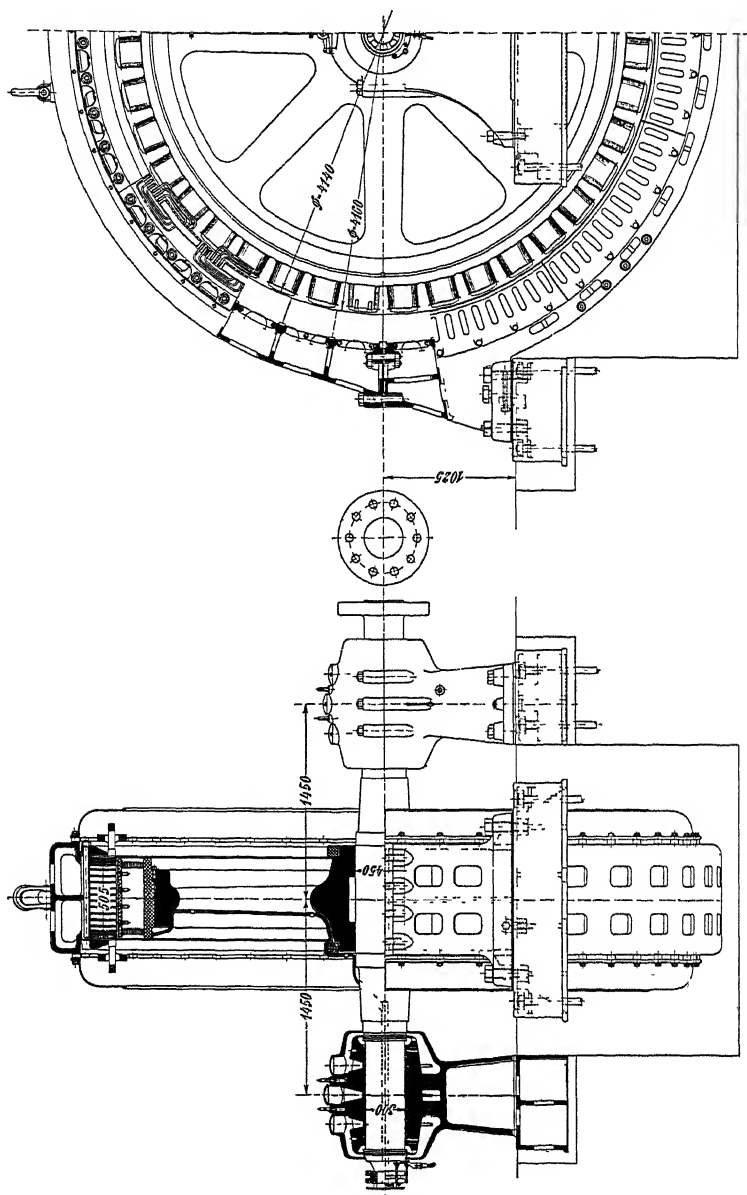


Fig. 48. Allmänna Svenska El. A. B., Vesterås. 3510 KVA-Dreiphasengenerator  
7000 Volt verkettete Spannung, 290 Ampere, 180 Umdr. i. d. Min, 60 Perioden

sind mit Rücksicht auf die hohe Spannung nach entgegengesetzten Seiten abgebogen. Das Gehäuse ist zweiteilig. Gewicht des Ankercupfers 1300 kg, des Feldcupfers 2100 kg.

Hauptdaten siehe S. 596 Tabelle Nr. 33.

## 165. Rasch laufende Maschinen.

**2800 KVA-Dreiphasenturbogenerator der Soc. Alsacienne de Constr. Méc., Belfort.** (Tafel VI.) 6000 Volt verkettete Spannung, 270 Ampere, 1500 Umdr. i. d. Min., 25 Perioden.

Der Rotor ist aus Blechpaketen zusammengesetzt, die voneinander distanziert sind. Eigenartig ist die Ausbildung der Rotornuten. Die Erregerwicklung ist tiefegelegt und oberhalb der Messingkeile, die sie halten, sind Lüftungskanäle angeordnet, die ihrerseits durch Aluminiumkeile verschlossen sind. Diese Aluminiumkeile sind in guter Verbindung mit den Schlußkappen des Rotors und bilden in dieser Weise eine Dämpferwicklung, die bei Kurzschluß die Erregerwicklung schützen soll.

Die Spulenköpfe der Erregerwicklung stützen sich einerseits auf einen Stahlring, andererseits durch Bronze- und Stahlringe auf die äußere Messingkappe des Rotors.

Die Rotornuten sind schräg gestellt, um eine möglichst sinusförmige Spannungskurve zu erhalten (s. Fig. 433 und WT III S. 232).

Zur statischen und dynamischen Ausbalancierung des Rotors, die den Zweck hat, daß der Schwerpunkt in der Drehachse liegt und die Hauptträgheitsachse mit dieser zusammenfällt, befinden sich wie üblich im Ventilator ringförmige Aussparungen, in die verschiebbare Gewichtsstücke eingebracht werden können. Die Wickelköpfe des Stators sind in drei Ebenen angeordnet, durch Schrauben an der Preßplatte befestigt und mit Verbindungsstücken gegen das Gehäuse versteift (s. auch WT III Fig. 457). Die offenen Statornuten besitzen am Fuß der Nut einen Lüftungskanal.

Die Schleifringe sind je einer auf einer Seite des Rotors angeordnet.

Die Maschine besitzt radiale Ventilation. Die von den angebauten Ventilatoren angesaugte Frischluft tritt einerseits durch Kanäle der mit Rippen versehenen Welle in die radialen Luftschlitze des Rotors und Stators, andererseits bespült sie die Wickelköpfe der Erregerwicklung und der Statorwicklung und tritt dann in die Luftschlitze des Stators. Diese sind in der Mitte größer gewählt als außen. Die Frischluft tritt auch in die Kuhlkanäle der Rotor- und Statornuten ein.

Das Gehäuse ist zweiteilig.

Gewicht des Erregerkupfers 900 kg,

„ „ Ankerkupfers 1250 kg.

Von den Rotornuten pro Pol bleiben vier unbewickelt.

In Fig. 449 ist die Leerlauf- und Kurzschlußcharakteristik dieser Maschine dargestellt. In der Figur ist die normale Spannung und der normale Strom eingetragen und man sieht, daß der Kurzschlußstrom etwas kleiner ist als der Normalstrom. Die Maschine besitzt eine große entmagnetisierende Reaktanz.

Hauptdimensionen siehe S. 596 Tabelle Nr. 4.

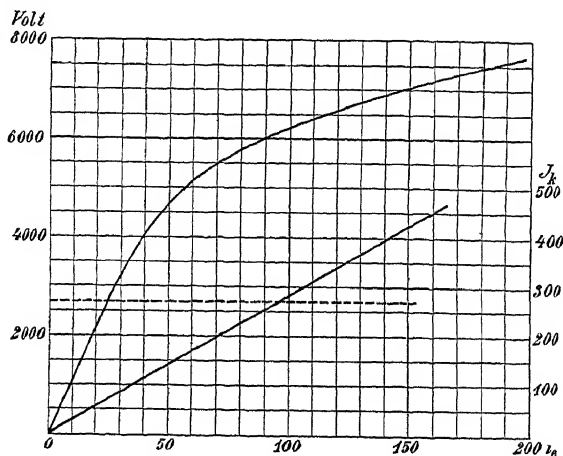


Fig. 449. Leerlauf- und Kurzschlußcharakteristik des 2800 KVA-Turbo-generators der Soc. Als. de Constr. Méc., Belfort

**7000 KVA-Dreiphasenturbogenerator der A.-G. Brown, Boveri & Co., Baden.** (Tafel VII.) 5750 Volt verkettete Spannung, 700 Amp., 1200 Umdr. i. d. Min., 40 Perioden.

Der Rotor ist aus einzelnen Stahlplatten (Kesselblech) zusammengesetzt, die auf die hohle mit Rippen versehene Welle geschoben sind. Die Polmitte besitzt keine Nuten und bildet einen breiten Zahn (s. Fig. 427). Die Nuten des Rotors sind radial angeordnet. Die Rotorwicklungsköpfe stützen sich auf die den Rotor abschließende Wicklungskappe. Die Schleifringe sind auf beiden Seiten der Maschine angeordnet. Die Erregermaschine ist fliegend befestigt. Die Wickelköpfe der Statorwicklung sind in zwei Ebenen angeordnet und mit Schrauben und Versteifungsstücken an der Preßplatte befestigt. Die Kühlung ist radial. Die Frischluft wird auf drei Wegen durch die Maschine geführt. Erstens durch die Kanäle in der Welle, durch die Luftschlitze des Rotors und Stators und dann aus der Maschine. Zweitens über die Wickelköpfe der Erregerwicklung und durch den Stator ins Freie. Drittens an den Spulenköpfen der Statorwicklung vorbei, durch die radialen Kanäle des Stators aus der Maschine.

Hauptdaten siehe S. 596 Tabelle Nr. 6.

**1000 KVA-Dreiphasenturbogenerator der Siemens-Schuckert-Werke, G. m. b. H., Berlin.** (Tafel VIII) 5000 Volt verkettete Spannung, 116 Ampere, 3000 Umdr. i. d. Min., 50 Perioden.

Der Rotor ist aus Stahlscheiben zusammengesetzt. Die Rotornuten sind radial angeordnet und haben am Fuße Luftungskanäle.

Die Wickelköpfe des Rotors stützen sich gegen die Wicklungskappe.

Die Wickelköpfe des Stators sind in drei Ebenen angeordnet und gegen das Gehäuse und die Preßplatten versteift. Die Versteifungsbolze sind durch einen umlaufenden Ring und durch Verbindungsstücke weiter befestigt (vgl. WT III, Fig. 459—461). (Nutenform des Stators s. WT III, Fig. 328.)

Die Kühlung ist axial, sowohl für den Rotor wie für den Stator. Die Frischluft tritt einerseits durch die axialen Kanäle des Rotors, andererseits über die Wickelköpfe des Stators durch dessen axiale Kanäle. Die Ventilatoren an den beiden Rotorenden wirken in gleicher Richtung, d. h. wie hintereinandergeschaltet. Die Frischluft wird auf einer Seite von unten angesaugt, auf der andern Seite unten ausgestoßen. Oben ist die Maschine abgedeckt.

Die Erregermaschine ist fliegend angeordnet.

Hauptdaten siehe S. 596 Tabelle Nr. 16.

**4000 KVA-Dreiphasenturbogenerator der British Westinghouse Co.** (Tafel IX.) 5000 Volt verkettete Spannung, 460 Amp., 1500 Umdr. i. d. Min., 50 Perioden.

Der Rotor ist aus einzelnen Blechpaketen zusammengesetzt, pro Pol sind vier Nuten unbewickelt.

Die Rotorwicklung ist nach Art einer Gleichstromwicklung ausgeführt, die Wickelköpfe stützen sich auf Stahlringe und nach außen gegen die Wicklungskappen (s. auch Fig. 435).

Die Maschine ist mit einer Kompoundierung nach M. Walker (s. S. 172) versehen, entsprechend dem Prinzip Fig. 139. Um eine kleinere magnetische Leitfähigkeit an dem betreffenden Teile des Poles zu erhalten, sind an diesen Stellen in der Mitte jedes Paketes die Eisenbleche bis unterhalb der Zähne entfernt und Bleche aus magnetisch nicht leitendem Material eingeschoben, die durch Schrauben mit den Paketen verbunden sind.

Die Wickelköpfe des Stators sind in zwei Ebenen angeordnet und mit Schrauben an den Preßplatten befestigt, entsprechend WT III Fig. 456. Wo die Ankerleiter aus den Nuten treten, sind Distanzklötze angebracht (s. WT III, Fig. 462).

Die Kühlung ist eine radiale. Die Luft wird von beiden Seiten mit Ventilatoren angesaugt und durch axiale Kanäle im Rotor den radialen Luftschlitzen desselben und auch denen des Stators zu-



geführt. Die Luft wird nach oben ausgestoßen. Die Ventilatoren sind nicht mit dem Rotorkörper verbunden, sondern getrennt für sich auf der Welle angeordnet.

Die Erregermaschine befindet sich auf der Generatorwelle. Eigenartig ist die Zuführung des Erregerstromes zum Rotor ausgebildet. Beide Schleifringe befinden sich auf einer Seite des Rotors.

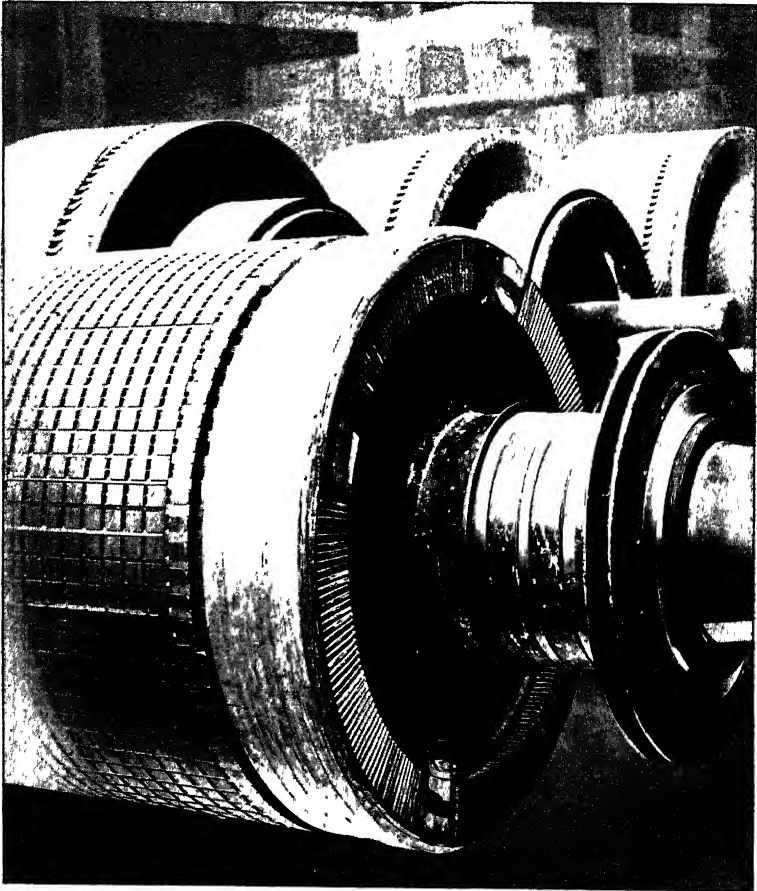


Fig. 450. Turborotoren der British Westinghouse Co.

Die schleifenden Flächen sind senkrecht zur Rotorachse. Das Kabel vom Schleifring zur Wicklung ist mit Bandagen gesichert.

In Fig. 450 sind einige Rotoren abgebildet.

Hauptdaten siehe S. 596 Tabelle Nr. 27.

**4000 KVA-Dreiphasenturbogenerator des Ateliers de Constr. El. de Charleroi.** (Tafel X.) 6600 Volt verkettete Spannung, 350 Amp., 1500 Umdr. i. d. Min., 50 Perioden.

Die Statorwicklung ist in drei Ebenen angeordnet und an der Preßplatte befestigt. Der Rotor ist aus Stahlscheiben aufgebaut, die direkt auf der Welle sitzen. Die Welle besitzt Rippen zur Ventilation. Die Luftführung zur Kühlung ist radial, die Luft wird von beiden Seiten angesaugt. Das Gehäuse ist geteilt, der Stator ebenfalls. (Wicklungsanordnung, Stator- und Rotornut s. WT III, Tafel II.)

Hauptdaten siehe S. 596 Tabelle Nr. 28.

**5000 KVA-Dreiphasenturbogenerator der Ganzschen Elektrizitäts-A.-G., Budapest.** (Tafel XI.) 520 Volt verkettete Spannung, 5550 Ampere, 1500 Umdr. i. d. Min., 50 Perioden.

Diese Maschine ist ein Schnellläufer mit ausgeprägten Polen. Die Pole haben runden Querschnitt, es sind in axialer Länge zwei nebeneinander angeordnet.

Die Statorbleche besitzen dementsprechend einen großen Luftschlitz in der Mitte.

Eigenartig ist die Anordnung der Erregerwicklung. Sie ist auf Stahlhülsen angeordnet, die auf den eigentlichen Pol geschoben werden. Durch mehrere Schrauben sind diese Hülsen gegen die Fliehkraft gesichert. Eine Ausbauchung und Deformation der Erregerwicklung ist auf diese Weise vollständig vermieden.

Die Polkerne sind mit dem Joch aus einem Stück gegossen.

Die Anordnung der Wicklung, die aus vier parallelen Zweigen besteht, ist auf der Tafel schematisch angegeben.

Das Gesamtgewicht der Maschine beträgt 30 t.

Die nötige Menge der Kühlluft beträgt 6 cbm in der Sekunde.

Die Verluste für Ventilation und Lagerreibung betragen 50 KW, die Eisenverluste bei 550 Volt betragen 66 KW.

Der Wirkungsgrad bei Vollast ist 96,4%.

Hauptdaten siehe S. 596 Tabelle Nr. 29.

**7500 KVA-Dreiphasenturbogenerator der Allg. Elektrizitäts-Ges. Berlin.** (Tafel XII.) 3150 Volt verkettete Spannung, 1370 Amp., 1500 Umdr. i. d. Min., 50 Perioden.

Der Aufbau des Rotors ist derselbe wie in Abschnitt 163 S. 656, Fig. 431 und 432 beschrieben. Der Stator ist zweiteilig. Die Tafel zeigt zwei verschiedene Arten der Wicklungsbefestigung für Hoch- und Niederspannung.

Die Kühlung ist gemischt radial und axial. Die auf beiden Seiten angesaugte Frischluft strömt durch die unter den Zähnen

des Rotors liegenden axialen Kanäle in die radialen Luftschlitze des Rotors und Stators.

Der Stator hat außerdem 72 axiale Luftlöcher von 30 mm Durchmesser. In der Mitte der Maschine ist der radiale Luftschlitz sowohl im Rotor wie im Stator größer als die übrigen. Der Stator ist zweiteilig

Hauptdimensionen siehe S. 596 Tabelle Nr. 31.

**8000 KVA-Zweiphasenturbogenerator der El.-Ges. Alioth, Münchenstein-Basel.** (Tafel XIII.) 12700 Volt, 315 Amp., 1066 Umdr. i. d. Min., 53,3 Perioden.

Die Maschine ist mit ausgeprägten Polen versehen. Die Polkerne sind zylindrisch, es sind in axialer Richtung drei nebeneinander angeordnet. Die Polschuhe sind zweiteilig und greifen mit einem Ansatz in eine Ausdehnung der Polkerne ein. Die beiden Teile sind seitlich verschraubt (s. auch Fig. 424). Durch die Polschuhe ist die Erregerwicklung gegen die Wirkung der Fliehkraft geschützt. Polkern und Joch bilden ein Stück und sind aus Stahlguß. Das Joch ist in axialer Richtung dreiteilig, entsprechend den drei Polen. Die drei Polräder sind durch lange Schraubenbolzen miteinander verbunden. Außer 18 kleineren besitzt der Stator drei größere Luftschlitze, entsprechend den Abständen der Polräder.

In Fig. 451 ist der Rotor der Maschine während der Ausbalancierung dargestellt. Man sieht, daß die Lager auf Rollen stehen und durch Gummipuffer gegen zu große seitliche Verschiebung gesichert sind.

Die Statorbleche sind legiert.

Die Luft wird durch die Ventilatoren des Rotors von oben angesaugt, bestreicht die Wickelköpfe des Stators, die Erregerwicklung, tritt dann in die radialen Schlitze des Stators und wird nach unten ausgestoßen.

Hauptdaten siehe S. 596 Tabelle Nr. 32.

**9330 KVA-Dreiphasenturbogenerator der Maschinenfabrik Örlikon.** (Tafel XIV.) 8650 Volt verkettete Spannung, 620 Ampere, 1260 Umdr. i. d. Min., 42 Perioden.

Die Statorwicklung ist nach Art einer Stirnwicklung ausgeführt. Die Wickelköpfe sind mit Schrauben an der Preßplatte befestigt (s. WT III Fig. 458). Die Dicke der Blechpakete nimmt von beiden Seiten nach der Mitte zu ab, der größeren Erwärmung halber. In der Mitte des Stators und Rotors befindet sich ein breiterer Luftschlitz. Der Rotor ist gleichmäßig genutet. Von den zwölf Nuten pro Pol sind acht bewickelt, die vier unbewickelten, die den eigentlichen Polkopf bilden, werden zur Ausbalancierung ausgefüllt.

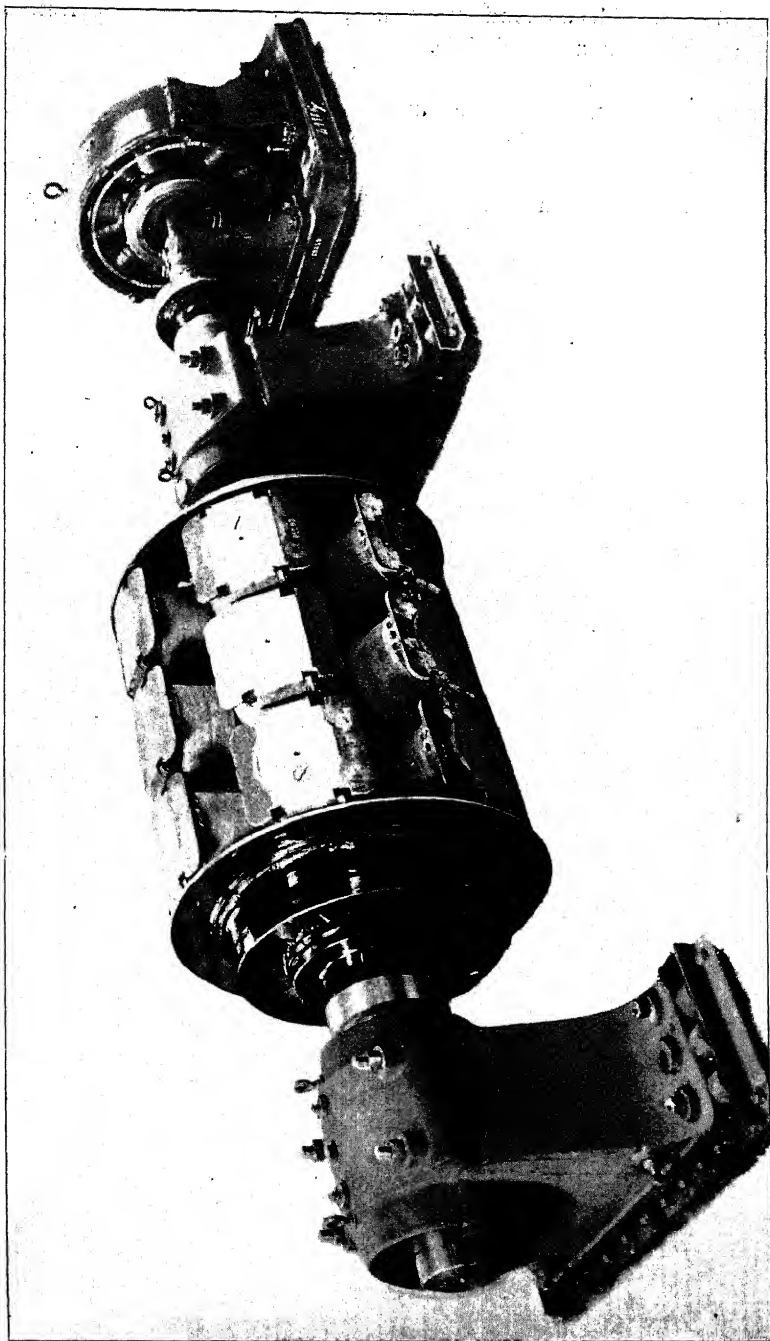


Fig. 451. Rotor eines 8000 KVA-Zweiphasenturbogenerators der El.-Ges. Alioth, Münchenstein, Basel, beim Ausbalancieren.

Die Statorbleche sind auf runde, am Statorgehäuse befestigte Schraubenbolzen aufgeschoben.

Die Frischluft wird von unten beiderseits durch die an den Rotor angebauten Ventilatoren angesaugt. Sie wird einerseits durch Führungsbleche um die Wickelköpfe des Stators und durch den Luftspalt in die Statorluftschlitze geleitet. Andererseits durch einen zweiten Ventilator an den Wickelköpfen der Erregerwicklung vorbei und durch axiale Kanäle des Rotors in den Luftspalt geleitet.

Der Rotor dieser Maschine mit dem angebauten Ventilator ist in Fig. 360 dargestellt.

Daten siehe S. 596 Tabelle Nr. 7.

---

**Zweiter Teil.**

**Die Umformer.**



## Sechszwanzigstes Kapitel.

### Einleitung.

166. Allgemeines über Umformer — 167. Umwandlung von Wechselstrom in Gleichstrom. — 168. Motorgeneratoren. — 169. Einankerumformer. — 170. Spalt-polumformer. — 171. Kaskadenumformer. — 172. Periodenumformer.

#### 166. Allgemeines über Umformer.

Unter Umformer versteht man gewöhnlich elektrische Maschinen, die elektrische Energie einer Stromart, Spannung, Phasenzahl oder Periodenzahl in elektrische Energie anderer Stromart, Spannung, Phasenzahl oder Periodenzahl umformen.

Stationäre Transformatoren, die nur die Spannung bzw. die Phasenzahl des Wechselstromes ändern, werden gewöhnlich nicht zu den Umformern gerechnet.

Diejenigen Aggregate, die Gleichstrom in Gleichstrom anderer Spannung umformen, sind in „Die Gleichstrommaschine“ behandelt<sup>1)</sup>.

Die wichtigsten Umformer sind diejenigen, die Wechselstrom (ein- oder mehrphasigen) in Gleichstrom umformen, oder umgekehrt.

Von viel geringerer Bedeutung sind die Periodenumformer, die oft zu gleicher Zeit Spannungs- und Phasenzahlumformer sind.

Es sei hier nur noch bemerkt, daß die stationären Transformatoren zwar im allgemeinen als Phasenzahlumformer verwendet werden können, daß sie aber für die Umwandlung von Einphasenstrom in Mehrphasenstrom nicht geeignet sind, da die Leistung des Einphasenstromes pulsiert.

Solange die momentane Leistung des Einphasenstromes kleiner ist als die mittlere Leistung, die — abgesehen von den Verlusten — der Mehrphasenleistung entspricht, muß der Fehlbetrag von Schwung-

<sup>1)</sup> Der Gleichstrom-Gleichstrom-Spalt-polumformer (auch Zusatzpolumformer genannt) ist ausführlich behandelt in: „Arbeiten aus dem elektrotechnischen



massen geliefert werden, die während der Zeit, da die momentane Leistung größer ist als die mittlere, die überschüssige Energie aufspeichern. Zu diesem Zwecke sind also Maschinen mit rotierenden Teilen nötig.

Mit der Änderung der Phasenzahl ist meistens eine Spannungstransformation und oft eine Umformung der Periodenzahl verbunden. Es sei deswegen auf Abschnitt 172 über Periodenumformer hingewiesen.

## 167. Umwandlung von Wechselstrom in Gleichstrom.

Die billige Erzeugung elektrischer Energie fordert den Bau von großen Kraftstationen, in denen die Aufstellung großer ökonomisch arbeitender Maschineneinheiten, ein einfacher und einheitlicher Betrieb und die Beschaffung einer verhältnismäßig billigen Reserve möglich werden, und deren Lage so gewählt ist, daß die Beschaffung von Kohle und Wasser bequem und billig und der Platz für die Ausdehnung des Werkes nicht beschränkt ist. Wo große Wasserkräfte nutzbar gemacht werden sollen, ergibt sich der Bau eines großen Kraftwerkes von selbst.

Die Zentralisierung der Erzeugung elektrischer Energie bedingt einerseits eine Übertragung des Stromes auf große Entfernungen, und andererseits eine Verteilung desselben über große Flächen. Hierzu eignet sich nur der hochgespannte Strom, sei es nun ein Gleichstrom, oder ein Einphasen- oder Mehrphasenstrom.

Für die einfache Übertragung von Energie auf große Entfernungen hat der Gleichstrom<sup>1)</sup>, wenn das Verhältnis der Länge der Fernleitung zu der zu übertragenden Leistung nicht zu groß ist, dem Wechselstrom gegenüber Vorteile, für die Verteilung der Energie über große Flächen ist er aber nicht geeignet.

Deswegen ist die Gleichstrom-Serien-Kraftübertragung nur vereinzelt zur Ausführung gekommen, und hat der hochgespannte Wechselstrom große Verbreitung gefunden. Zum Betriebe von Motoren und Umformern verdient der Mehrphasenstrom den Vorzug, er kommt für große Kraftwerke in fast allen Fällen heute allein in Betracht. Nur wenn es sich um die Stromversorgung elektrischer Bahnen handelt, wendet man sich dem Einphasensystem zu.

Für manche Zwecke, wie z. B. für den Betrieb von Straßenbahnen, wird jedoch der Gleichstrom vorgezogen, und für andere Zwecke, wie die Elektrolyse, oder die Speisung von vorhandenen Gleichstromnetzen ist der Gleichstrom durchaus erforderlich.

---

<sup>1)</sup> Serie-Kraftübertragungssystem nach Thury.

Um in solchen Fällen die Energie von einer Wechselstromzentrale beziehen zu können, wird es erforderlich, den Wechselstrom in Gleichstrom umzuwandeln.

Zu einer solchen Umformung können verwendet werden:

1. der Motorgenerator, bestehend aus einem Wechselstrommotor, der einen Gleichstromgenerator antreibt;

2. der Einankerumformer (auch kurz Umformer oder Drehumformer oder rotierender Umformer genannt), d. h. eine Gleichstrommaschine, deren Anker mittels Schleifringe Wechselstrom aufnimmt und am Kollektor Gleichstrom abgibt;

3. der Spaltpolumformer, d. h. ein Einankerumformer mit besonderer Konstruktion der Feldpole, zur Verbesserung der Spannungsregulierung;

4. der Kaskadenumformer<sup>1)</sup>, der aus einer asynchronen Maschine und einer Gleichstrommaschine besteht. Die Rotorwicklung der Asynchronmaschine und die Ankerwicklung der Gleichstrommaschine sind hintereinander, d. h. in Kaskade geschaltet;

5. der Drehfeldumformer, der keine Felderregung besitzt und von einem kleinen Synchronmotor angetrieben wird. Er kommt für die Umwandlung elektrischer Energie in größerem Umfange jedoch nicht in Betracht;

6. der mechanische Gleichrichter. Hierzu gehört der synchron rotierende Stromwender, der von einem kleinen besonderen Synchronmotor angetrieben wird.

Bei dem Gleichrichter erweist sich das Pendeln des Synchronmotors besonders nachteilig, es führt zu heftigen Funkenbildungen am Kommutator. Ein Gleichrichter wird daher nur mit Generatoren, die mit sehr großer Gleichförmigkeit rotieren, und bei denen keine plötzlichen Geschwindigkeitsänderungen vorkommen, gut arbeiten. Da diese Bedingungen nur selten erfüllt sind, hat sich der Gleichrichter nicht bewährt; jedenfalls eignet er sich, wegen der leichten Funkenbildung am Kommutator, nur für kleine Spannungen und kleine Leistungen<sup>2)</sup>;

7. der elektrolytische Gleichrichter (Aluminiumzellen von Graetz und Grisson);

8. der Quecksilberdampf-Gleichrichter (Cooper-Hewitt).

Die unter 7 und 8 genannten Gleichrichter werden nur für kleine Leistungen gebaut; auch eignen sie sich weniger für einen kontinuierlichen Betrieb.

---

<sup>1)</sup> D. R. P. 145434 von O. S. Bragstad und J. L. la Cour.

<sup>2)</sup> Die S.-S.-W. bauen Drehstrom-Gleichrichter für Leistungen bis zu etwa 6 KVA (ETZ 1912, S. 56).

Für größere Leistungen kommen somit nur die unter 1 bis 4 genannten Arten der Umformung in Betracht.

Obwohl die asynchronen Maschinen und der Kaskadenumformer erst in WT V, 1 ausführlich behandelt werden, soll hier doch ein kurzer Vergleich<sup>1)</sup> zwischen diesen drei Arten der Umformung angestellt werden.

### 168. Motorgeneratoren.

Der Motor, der den Generator antreibt, kann ein synchroner oder ein asynchroner sein, wir unterscheiden demnach synchrone Motorgeneratoren und asynchrone Motorgeneratoren.

Gewöhnlich werden Motor und Generator direkt miteinander gekuppelt und auf einer gemeinsamen Grundplatte aufgestellt, wie in Fig. 452. Rechts ist der Anwurfmotor, links die Erregermaschine für den Synchronmotor angebracht, der zwei gleiche 16 polige Gleichstromgeneratoren antreibt, die je 4000 Ampere liefern.

Gegenüber dem Einankerumformer haben die Motorgeneratoren den Vorteil, daß sie für Spannungen bis 10000 Volt und bei großen Leistungen bis 15000 Volt gewickelt werden können. In manchen Fällen ist es ferner von Vorteil, daß die Gleichstrommaschine und ihre Polzahl ganz unabhängig von der Periodenzahl des Wechselstromes sind. Für die Konstruktion der Gleichstrommaschine können so die günstigsten Abmessungen gewählt werden. Ferner wirkt eine Regulierung der Spannung auf der Gleichstromseite nicht auf das Wechselstromnetz zurück.

Wenn eine Regulierung der Gleichspannung innerhalb weiter Grenzen gefordert ist, so ist ein Motorgenerator einem Einankerumformer vorzuziehen, weil das Pendeln eines Einankerumformers durch eine weitgehende Regulierung unter Umständen derart begünstigt wird, daß ein Betrieb unmöglich ist, und weil ein Einankerumformer in dem Falle sehr große wattlose Ströme aufnimmt.

Auf den Betrieb ist ferner von wesentlichem Einfluß, ob der Motor ein synchroner oder ein asynchroner ist.

Für die Anwendung eines Synchronmotors spricht die Tatsache, daß dessen Leistungsfaktor verändert und durch Übererregung ein phasenvoreilender Strom erzeugt werden kann. Auf diese Weise ist es möglich, den wattlosen Strom und den Spannungsabfall des Wechselstromgenerators und der Linie zu verkleinern und den

<sup>1)</sup> Für einen ausführlichen Vergleich siehe: „Elektrische Kraftbetriebe und Bahnen“, 1910, Heft 5, Dr.-Ing. H. S. Hallo: „Der Kaskadenumformer“, und „Arbeiten aus dem elektrotechnischen Institut“, Bd. II, Dr.-Ing. H. S. Hallo: „Die Eigenschaften des Kaskadenumformers und seine Anwendung“.

Wirkungsgrad zu erhöhen. Ist der Synchronmotor mit asynchronen Motoren an dasselbe Netz angeschlossen, so kann der wattlose Strom, den er bei Übererregung ins Netz schickt, dazu dienen, den wattlosen Strom, den die asynchronen Motoren verbrauchen, zu kompensieren; um diesen Strom liefern zu können, muß jedoch der Synchronmotor größer gebaut werden, als sonst nötig wäre. Ferner ist der Synchronmotor billiger als der asynchrone, insbesondere für hohe Spannungen.

Diesen Vorzügen des Synchronmotors stehen jedoch eine Reihe von Nachteilen gegenüber. Da jeder Synchronmotor auch als Generator wirkt, indem er dem Stromkreise die eigene Kurvenform der EMK und ihre Schwankungen aufdrückt, so wird er bei ungünstiger Kurvenform störende Erscheinungen im Netze

hervorrufen, und durch seine Schwankungen werden die Generatoren und die anderen synchronen Maschinen des Systems beeinflusst. Umgekehrt wirken auf den Synchronmotor selbst alle anderen synchronen Maschinen des Systems in gleicher Weise ein.

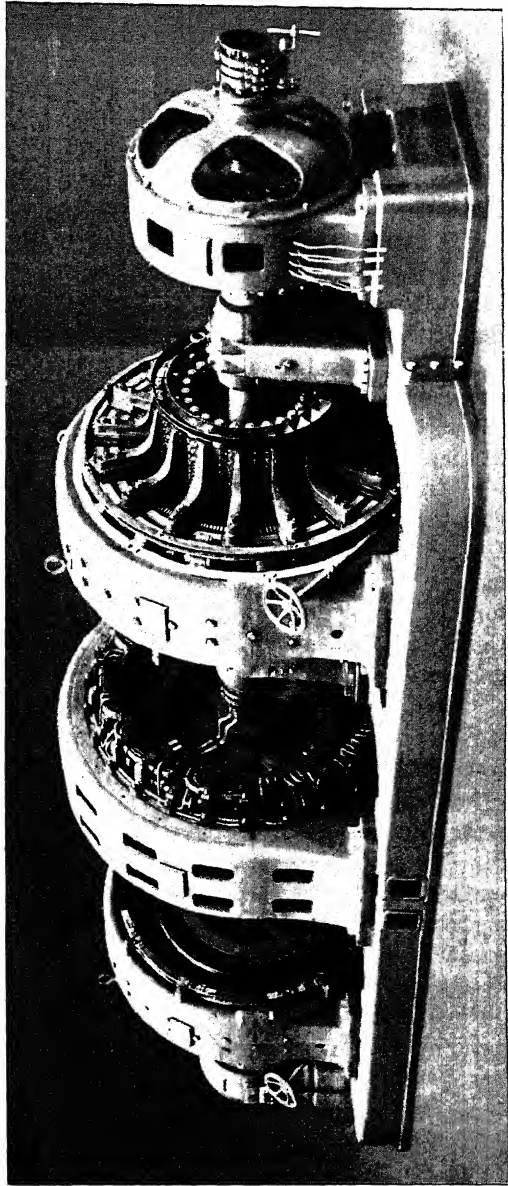


Fig. 452. 1000 KW-Motorgenerator von Bruce Peebles & Co., Edinburgh.

Ein Synchronmotor wird daher nur befriedigend arbeiten können, wenn die im Kapitel XV bezüglich des Pendelns aufgestellten Bedingungen erfüllt sind, seine Arbeitsweise ist also nicht nur von seiner eigenen Konstruktion, sondern auch von der Konstruktion und Arbeitsweise der übrigen Maschinen des Systems abhängig. In den meisten Fällen wird jedoch die dämpfende Wirkung massiver Polschuhe, oder eigens dazu angebrachter Dämpferwicklungen das Pendeln vollständig unterdrücken.

Insbesondere ist der Synchronmotor empfindlich gegen schlechte Kurvenformen bzw. gegen Differenzen zwischen der eigenen und der ihm zugeführten Kurvenform der EMK (s. Abschnitt 63) und sein Leistungsfaktor ist von der Kurvenform abhängig. Der höchste erreichbare Leistungsfaktor weicht um so mehr von der Einheit ab, je ungünstiger die Kurvenform ist. Ungeeignete Kurvenformen können den Betrieb sogar unmöglich machen.

Eine momentane Verminderung der Klemmenspannung bzw. eine momentane Stromunterbrechung durch Kurzschlüsse in der Leitung oder durch das Außertrittfallen eines anderen Synchronmotors, starke, wenn auch nur momentane Überlastungen des Motors oder plötzliche und große Geschwindigkeitsänderungen des Generators, denen der Motor nicht zu folgen vermag, verursachen, daß der Motor außer Tritt fällt und stillsteht.

Das Inbetriebsetzen eines Synchronmotors erfordert, daß er vor dem Einschalten auf Spannung und synchronen Gang gebracht wird. Unter Umständen macht das Synchronisieren Schwierigkeiten, es erfordert jedenfalls etwas mehr Geschick und meistens auch mehr Zeit als das Inbetriebsetzen eines asynchronen Motors.

Der asynchrone Motor hat den Vorzug, daß er auf das Netz und die anderen Maschinen des Systems nicht in aktiver Weise zurückwirkt, sondern daß er sich als Stromverbraucher lediglich passiv verhält. Er ist vollkommen frei von den Erscheinungen des Pendelns und Mitschwingens, er fällt bei plötzlichen großen Spannungsänderungen, momentanen Stromunterbrechungen oder momentanen Überlastungen nicht außer Tritt, sondern verliert nur an Geschwindigkeit, um die normale Geschwindigkeit sofort wieder anzunehmen, wenn die normalen Betriebsverhältnisse sich wieder einstellen. Gegen schlechte Kurvenformen ist der asynchrone Motor wenig empfindlich, d. h. seine Stromstärke und sein Leistungsfaktor sind von der Kurvenform der EMK praktisch unabhängig, und er wirkt dämpfend auf die Ungleichförmigkeiten des Systems zurück.

Die Inbetriebsetzung eines asynchronen Motors erfordert keine besondere Geschicklichkeit und läßt sich in allen Fällen auf einfache Weise ausführen.

Nachteilig ist, daß der Leistungsfaktor eines asynchronen Motors nicht regulierbar und bei kleinen Belastungen erheblich kleiner als eins ist, wodurch der Wirkungsgrad der Linie und des Umformers herabgedrückt und der Spannungsabfall des Generators und der Linie vergrößert wird.

Übrigens ist bei normaler Belastung der Leistungsfaktor eines asynchronen Motors hoch (0,9 bis 0,93) und nur wenig kleiner als derjenige eines Synchronmotors, insbesondere bei einer ungünstigen Kurvenform. Außerdem ist der wattlose Strom, den der asynchrone Motor aufnimmt, nahezu konstant für alle Belastungen, er bildet daher eine konstante Belastung für das Netz, die wenig Nachregulierung erfordert.

Wenn auf die Verbesserung des Leistungsfaktors und des Wirkungsgrades kein großer Wert gelegt wird, oder wenn Befürchtungen berechtigt sind, daß für vorliegende Betriebsverhältnisse ein gutes synchrones Arbeiten gefährdet ist, so wird ein asynchroner Motorgenerator einem synchronen vorzuziehen sein; das trifft auch dann zu, wenn auf eine gute Wartung dauernd nicht zu rechnen ist, oder wenn es sich um Umformer von kleiner Leistung handelt.

### 169. Einankerumformer.

Bei dem gewöhnlichen Einankerumformer durchfließt der Gleichstrom und der Wechselstrom dieselben Armaturleiter. Die EMKE beider stehen daher in einem gewissen Verhältnis, so daß in den meisten Fällen eine Transformation der Wechselspannung des Netzes auf eine niedrigere, für den Umformer passende Spannung erforderlich ist.

Bei einem Vergleiche des Einankerumformers mit den Motorgeneratoren müssen wir daher den Transformator in die Betrachtung einschließen.

Der Einankerumformer hat hinsichtlich seiner Rückwirkung auf das System, der Erscheinungen des Pendelns und Mitschwingens, der Empfindlichkeit gegen ungeeignete Kurvenformen der EMK, der Möglichkeit des Außertrittfallens und des Parallelschaltens alle oben angeführten Eigenschaften des Synchronmotors. Ungünstig für den Einankerumformer ist, daß bei hohen Periodenzahlen (40 und darüber) die Polzahl groß wird, was zu kleinen Abständen zwischen den Bürstenspindeln, oder großem Durchmesser des Kommutators, mit entsprechend großer Umfangsgeschwindigkeit, führt. Der Strom pro Bürstenspindel wird klein; um für die Ankerleiter eine passende Stromstärke zu erhalten, wird der Anker in solchem Falle mit Reihenparallelwicklung oder Reihenwicklung ausgeführt.

In neuerer Zeit baut man, um bessere Verhältnisse zu erhalten, raschlaufende Umformer, die oft mit Wendepolen versehen werden.

Die Regulierung der Gleichspannung kann bei vorgeschalteter Reaktanz durch Änderung der Erregung des Umformers innerhalb enger Grenzen erreicht werden, wobei im Umformer und im Netz wattlose Ströme auftreten. Will man die Spannung innerhalb weiterer Grenzen und ohne wattlose Ströme ändern, so wird die Änderung des Übersetzungsverhältnisses des zugehörigen Transformators oder eine synchrone Wechselstrom-Zusatzmaschine erforderlich.

Ebenso wie ein Synchronmotor nimmt ein übererregter Einankerumformer phasenvoreilenden Strom auf, was in gewissen Fällen erwünscht ist.

Gegenüber dem Motorgenerator besitzt jedoch der Einankerumformer einige so wesentliche Vorzüge, daß sie ihm ein großes Anwendungsgebiet sicherten. Als solche sind zu nennen:

1. Der Einankerumformer ist in der Anschaffung billiger und bedarf weniger Raum und weniger Fundament als der Motorgenerator. Er ist auch billiger in der Unterhaltung, da nur halb so viel rotierende Teile vorhanden sind. Allerdings bedeutet die Anwesenheit von Schleifringen für hohe Stromstärken eine erhöhte Wartung.

2. Der Wirkungsgrad ist hoher, denn beim Motorgenerator wird die gesamte umzuformende elektrische Energie im Motor in mechanische Energie und dann im Generator wieder in elektrische Energie umgesetzt, während beim Einankerumformer eine Umsetzung von einer Stromart in die andere direkt stattfindet, und in der Wicklung nur die momentane Differenz der beiden Ströme fließt. Der Verlust durch Stromwärme wird daher kleiner, dagegen kommen die Verluste im Transformator hinzu. Der Unterschied im Wirkungsgrad ist besonders bei den kleinen Belastungen sehr groß.

3. Die Bedingungen für eine gute Kommutation liegen beim Einankerumformer günstiger, weil keine Verzerrung des Feldes durch Quermagnetisierung auftritt. Der Einankerumformer eignet sich daher für plötzliche und große Belastungsschwankungen besser als der Motorgenerator; er besitzt eine größere Elastizität und kann plötzliche und kurze Überlastungen von 100% und mehr aushalten.

Diese Eigenschaften, die richtig entworfene Einankerumformer besitzen, machen sie insbesondere für den Betrieb von elektrischen Bahnen gut geeignet, vorausgesetzt, daß die Periodenzahl des zugeführten Wechselstromes nicht zu hoch ist. Da nun in Amerika die Periodenzahl 25 viel mehr verbreitet ist als in Europa, hat der Einankerumformer dort viel mehr Eingang gefunden als hier. Die

Gesamtleistung der in Betrieb befindlichen Einankerumformer ist etwa 4000000 KW. Für 25 bis 35 Perioden werden die günstigsten Abmessungen erhalten. Es können in diesem Falle fast immer normale Gleichstrom-Generatortypen verwendet werden. Die Nutenzahl wird geringer und der Ungleichformigkeitsgrad der speisenden Generatoren braucht nicht so klein zu sein wie bei höheren Periodenzahlen. Dagegen wird für höhere Periodenzahlen die Polzahl mit Rücksicht auf die Gleichstrommaschine zu groß und eine gute Kommutation ist schwieriger zu erreichen. In vielen Fällen, besonders bei hohen Gleichspannungen, ist dann der Kaskadenumformer vorzuziehen.

**Einankerumformer mit teilweise oder ganz getrennter Wechselstrom- und Gleichstromwicklung.** — Das Verhältnis zwischen der Gleich- und Wechselspannung läßt sich beim Einankerumformer beliebig ändern, wenn man eine unveränderte Gleichstromwicklung mit einer aufgeschnittenen Gleichstromwicklung kombiniert, oder wenn man zwei getrennte Wicklungen auf demselben Anker anordnet.

In WT III ist gezeigt worden, wie im ersten Falle die Wicklung auszuführen ist, und in Fig 453 ist die Verbindungsart der unveränderten Gleichstromwicklung  $A_1 B_1 C_1$  mit einer dreiphasig aufgeschnittenen Wicklung  $A_1 A_2, B_1 B_2, C_1 C_2$  schematisch dargestellt. Bezeichnet  $E_i$  die effektive Wechselspannung zwischen den Punkten  $A_1 B_1$  und  $E_z$  die Spannung einer Phase der aufgeschnittenen Wicklung, so wird die resultierende Linienspannung

$$E'_i = E_i + 2 E_z \cos 30^\circ,$$

wobei  $E_i$  und die Gleichspannung  $E_g$  in einem bestimmten Verhältnis stehen (s. Abschnitt 173).

Die Kollektorlamellen werden an die Wicklung  $A_1 B_1 C_1$  und die drei Schleifringe an die Punkte  $A_2, B_2, C_2$  angeschlossen. Die Windungen beider Wicklungen können in den gleichen Nuten untergebracht werden.

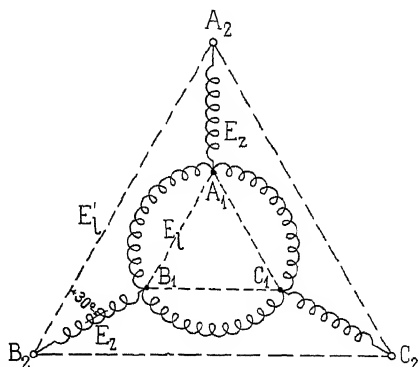


Fig. 453. Kombination einer aufgeschnittenen Gleichstromwicklung mit einer unaufgeschnittenen zur Veränderung des Verhältnisses zwischen Gleich- und Wechselspannung.

Ist die Differenz der Spannungen  $E_i$  und  $E'_i$  groß, so wird diese Wicklungsart unzweckmäßig, man trennt dann besser beide Wicklungen vollständig.



Die Stromwärmeverluste der beiden Wicklungen werden offenbar um so größer, je mehr man sich vom gewöhnlichen Umformer entfernt, bzw. je größer das Verhältnis  $E_t':E_t$  wird; sie werden ein Maximum, wenn wir die Wicklungen ganz trennen. Aus diesem Grunde und weil es nicht zweckmäßig ist eine Hoch- und eine Niederspannungswicklung auf denselben Anker zu wickeln, finden Einankerumformer bzw. Doppelstromgeneratoren mit kombinierter Wicklung nur selten und nur für kleinere Verhältnisse von  $E_t':E_t$  Verwendung.

### 170. Spaltpolumformer.

Der Spaltpolumformer unterscheidet sich vom gewöhnlichen Umformer durch eine besondere Konstruktion des Magnetgestells. Die Magnetkerne sind in 2 oder 3 Teile geteilt, die je mit einer Erregerwicklung versehen sind.

Wir werden später sehen, daß dadurch das Übersetzungsverhältnis zwischen Gleich- und Wechselspannung geändert werden kann. Das ermöglicht eine Regulierung der Gleichspannung, ohne daß der Umformer wattlose Ströme vom Netze aufnimmt. Außerdem kann die Gleichspannung nunmehr innerhalb weiter Grenzen geändert werden. Für niedere Periodenzahlen und große Spannungsregulierung kann der Spaltpolumformer öfters den Motorgenerator ersetzen. Durch diese sogenannte Spaltpolanordnung wird somit dem Einankerumformer ein neues Absatzgebiet eröffnet.

Die Übelstände der hochperiodigen Einankerumformer werden aber durch die Spaltpolanordnung nicht beseitigt; außerdem ist wegen der großen Polzahl in dem Falle meistens nicht genügend Platz vorhanden, um eine Spaltung der Pole und Anbringung der verschiedenen getrennten Erregerwicklungen durchzuführen zu können.

### 171. Kaskadenumformer.<sup>1)</sup>

Der Kaskadenumformer besteht aus einem Induktionsmotor mit vielphasigem Rotor und einer normalen Gleichstrommaschine, die elektrisch und mechanisch gekuppelt sind. Die Tourenzahl des Aggregates entspricht der Summe der Polzahlen der Gleich- und Wechselstromseite. Wird die gesamte Polzahl  $\frac{120c}{n} = 2p$  auf beide Maschinen gleichmäßig verteilt, so daß jede  $p$  Pole erhält, so dreht sich der Rotor nur mit der halben Geschwindigkeit des Drehfeldes, und nur die Hälfte der der Asynchronmaschine zugeführten Leistung

<sup>1)</sup> Für die ausführliche Behandlung siehe WT V, 1

wird in mechanische Leistung umgesetzt, während die andere Hälfte transformatorisch auf die Rotorwicklung übertragen und der Gleichstromwicklung in Form von elektrischer Leistung zugeführt wird. Die Asynchronmaschine arbeitet also zur Hälfte als Motor und zur Hälfte als Transformator und die Gleichstrommaschine zur Hälfte als Generator und zur Hälfte als Umformer. Durch eine andere Verteilung der Polzahl wird diese Verteilung entsprechend geändert. Die mechanische Leistung des Rotors verhält sich zur elektrischen wie die Polzahl der Asynchronmaschine zu derjenigen der Gleichstrommaschine.

Man hat es somit auch bei hohen Periodenzahlen in der Hand, durch passende Wahl und Verteilung der Polzahl für die Gleichstrommaschine günstige Abmessungen zu erhalten. Das ist ein Vorteil des Kaskadenumformers dem Einankerumformer gegenüber.

Hochperiodige Einankerumformer müssen mit vielen Polen gebaut werden, um die gewünschte Tourenzahl einzuhalten. Demzufolge müssen beim Einankerumformer der Durchmesser des Kommutators und dessen Umfangsgeschwindigkeit hoch gehalten werden, damit der Abstand zwischen den Bürstenspindeln nicht zu klein wird. Sonst wurde, besonders bei hohen Gleichspannungen, leicht Rundfeuer eintreten.

Auch verläuft die Kommutation beim Kaskadenumformer im allgemeinen günstiger als beim hochperiodigen Einankerumformer. Zwar ist die Ankerrückwirkung des Einankerumformers kleiner, aber wegen der hohen Polzahl sucht man mit weniger Lamellen pro Pol auszukommen; auch ist die Kommutatorgeschwindigkeit höher. Außerdem kann in vielen Fällen für den Kaskadenumformer eine Schleifenwicklung benutzt werden, während man bei dem Einankerumformer auf eine Reihen- oder Reihenparallelwicklung angewiesen ist. Schließlich können, wegen des größeren Abstandes zwischen den Hauptpolen, die Kommutierungspole des Kaskadenumformers günstiger dimensioniert werden; ihre Streuung ist kleiner.

Der Kaskadenumformer kann in einfachster Weise von der Wechselstromseite angelassen werden. Er besitzt im übrigen alle Eigenschaften, die den Einankerumformer charakterisieren, hat jedoch geringere Neigung zum Pendeln und Mitschwingen und ist viel weniger empfindlich gegen schlechte Kurvenform der EMK. Auch ist eine Regulierung der Gleichspannung, ohne Verwendung einer synchronen Zusatzmaschine, innerhalb bedeutend weiterer Grenzen möglich als beim gewöhnlichen Einankerumformer für denselben prozentualen wattlosen Strom. Deswegen wird die Spaltplananordnung beim Kaskadenumformer viel seltener in Frage kommen als beim Einankerumformer.

Diesen vielen Vorteilen steht allerdings der Nachteil gegenüber, daß der Wirkungsgrad des Kaskadenumformers niedriger ist als der eines Einankerumformers. Da aber das Übersetzungsverhältnis zwischen Gleich- und Wechselspannung beim Einankerumformer durch die Phasenzahl allein bestimmt ist, kommt er fast ausschließlich in Verbindung mit stationären Transformatoren vor, während Kaskadenumformer für Spannungen bis etwa 10000 bis 15000 Volt (je nach der Leistung) direkt für Hochspannung gewickelt werden können. Die praktische Erfahrung hat gezeigt, daß der Wirkungsgrad des Kaskadenumformers (ohne Transformatoren) für Vollast etwa 1% (höchstens 1,5%) unter dem des Einankerumformers mit Transformatoren liegt.

Obwohl nun der rotierende Umformer durch langjährige Erfahrung immer mehr verbessert wurde, ist eine allgemeine Einführung dieses Umformers für hohe Periodenzahl auch in der Zukunft nicht zu erwarten. Es liegt nämlich die Tendenz vor, die Gleichspannung für Bahnnetze zu erhöhen, und heutzutage kommen 750 und 1000 Volt Gleichspannung immer mehr in Frage. Für solche Fälle ist eben der Kaskadenumformer besser geeignet.

Im Vergleich mit dem Motorgenerator bietet der Kaskadenumformer große Vorteile in bezug auf Wirkungsgrad und Anschaffungspreis. Besonders der Unterschied im Wirkungsgrad, der etwa 2,5 bis 5% (je nach der Leistung) für Vollast beträgt, ist von großer Bedeutung für die Elektrizitätswerke. Bei kleineren Belastungen ist die Differenz eine noch weit größere. Gegenüber dem synchronen Motorgenerator hat er außerdem noch den Vorteil des bedeutend einfacheren Anlassens. Auch ist der Kaskadenumformer ohne weiteres für die Speisung von Dreileiternetzen geeignet. Da die Gleichstromwicklung sowieso mit einer vielphasigen und in Stern geschalteten Wicklung verbunden ist, kann die Spannungsteilung, in ähnlicher Weise wie Dolivo-Dobrowolsky für Gleichstrommaschinen vorgeschlagen hat, vorgenommen werden.

## 172. Periodenumformer.

Zur Umformung von Wechselstromenergie einer Periodenzahl in Wechselstromenergie einer anderen Periodenzahl können Motorgeneratoren verwendet werden, bestehend aus der mechanischen Kupplung zweier synchronen Wechselstrommaschinen. Da das Verhältnis der Polzahlen gleich dem Verhältnis der Periodenzahlen ist, ist nicht jede Umformung möglich.

Wird der Generator einphasig belastet, so pulsiert die abgegebene Leistung bekanntlich mit der doppelten Periodenzahl.

Man konnte nun erwarten, daß demzufolge eine ungleichmäßige Belastung der einzelnen Phasen des Motors eintreten würde, da ja bei gleichmäßiger Stromaufnahme des mehrphasig gedachten Motors die aufgenommene momentane Leistung konstant ist. Wenn nun auch innerhalb einer Periode tatsächlich eine solche ungleichmäßige Belastung auftritt, so gleicht dieselbe sich doch bei verschiedenen Polzahlen der beiden Maschinen aus, so daß die mittlere Leistung aller Phasen pro Umdrehung gleich ist. Aber auch bei gleicher Polzahl ergibt eine einfache Rechnung, daß die Verschiedenheit der Belastungen der einzelnen Phasen nur sehr klein ist. Das ruht daher, daß die Schwungmasse ausgleichend wirkt, und durch die hohe Periodenzahl der Leistungsfluktuationen wirkt sie sehr effektiv, so daß die Verschiedenheit der Belastung in den einzelnen Phasen nur Bruchteile von Prozenten beträgt.

Eine wichtige Frage ist diejenige des Parallelschaltens solcher Motorgeneratoren und auch der Verteilung der Belastung zwischen parallelarbeitenden Aggregaten. Jedenfalls muß für das Parallelschalten die Periodenzahl des einen Netzes reguliert werden, so daß das Verhältnis der Periodenzahlen genau gleich dem Verhältnisse der Polzahlen der beiden den Motorgenerator zusammensetzenden Maschinen ist. Ist schon ein Motorgenerator in Betrieb, so ist eine solche Regulierung der Periodenzahl für das Zuschalten eines zweiten Motorgenerators natürlich nicht mehr nötig.

Des weiteren muß aber beim Parallelschalten auch Phasengleichheit herrschen. Bei dem Inbetriebsetzen des ersten Motorgenerators gibt das nun keine Schwierigkeiten. Bei dem Hinzuschalten eines zweiten Aggregates ist aber eine solche Regulierung nicht möglich ohne das erste Aggregat gleichzeitig zu entlasten. Denken wir uns nämlich zuerst das erste Aggregat leerlaufend. Durch die Belastung wird nun eine Winkelabweichung hervorgerufen zwischen der induzierten EMK des Generators und der Spannung des zugehörigen Netzes. Wollen wir nun ein vollständig gleiches Aggregat hinzuschalten, so besteht schon diese Winkelverschiebung, und beim Parallelschalten wurde es gleich die halbe Belastung übernehmen. Das würde somit einen plötzlichen Belastungsstoß ergeben. Eine willkürliche Verteilung der Belastung auf die beiden Aggregate ist nicht möglich.

Wir können das nur abhelfen, indem wir einen der vier Hauptteile des Motorgenerators, also entweder einen Stator oder einen Rotor gegen den anderen Stator oder Rotor, verdrehbar machen<sup>1)</sup>. In den meisten Fällen wird es aus konstruktiven Gründen einfacher

---

<sup>1)</sup> D. R. P. Nr. 138602.

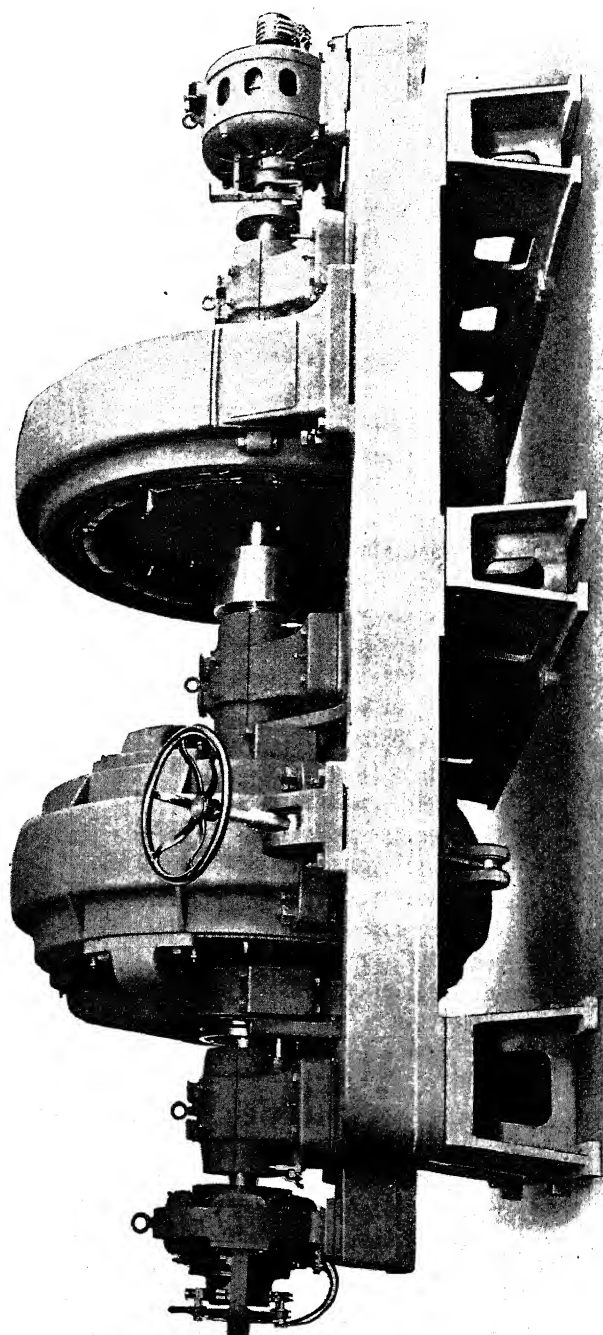


Fig. 454. Periodenumformer.

sein, einen der beiden Statoren einstellbar zu machen, was durch dessen zentrische Lagerung leicht erreicht werden kann.

Fig. 454 zeigt einen solchen Motorgenerator mit verdrehbarem Stator, und mit Anlaß- und Erregermaschine der S. S.-W.

Statt synchroner Motorgeneratoren wären auch asynchrone Aggregate für den angegebenen Zweck zu verwenden. Allerdings ändert sich dann die Periodenzahl des einen Netzes etwas mit der Belastung infolge der Schlüpfung. Andererseits hat man den Vorteil, daß ein solches Aggregat weniger empfindlich gegen Kurzschlüsse ist.

Die Verluste eines solchen Periodenumformers sind hoch, da die ganze Energie erst in mechanische und dann wieder in elektrische umgeformt wird.

In WT V, 1 (S. 520 u. f.) sind verschiedene Schaltungen (sog. Kaskadenschaltungen) behandelt, die eine Verkleinerung der Verluste zulassen. Auch Kollektormotoren lassen sich als Periodenumformer verwenden<sup>1)</sup>.

Nach dem englischen Patente 26990 (1906) können auch zwei mechanisch gekuppelte rotierende Umformer verschiedener Polzahl für die Periodenumformung benutzt werden. Die Gleichstromseiten sind dann elektrisch verbunden. Dadurch hat man allerdings den Vorteil wesentlich kleinerer Verluste und des Wegfallens einer besonderen Erregermaschine, andererseits aber stehen dadurch die Wechselspannungen in einem bestimmten Verhältnisse zueinander und zu der Gleichspannung, so daß im allgemeinen beiderseits Transformatoren nötig sind. Außerdem dürfte die Anordnung zweier Kommutatoren eine wesentliche Verteuerung und unangenehme Komplikation mit Heruntersetzung der Betriebssicherheit bedeuten.

---

<sup>1)</sup> Elektrotechnik und Maschinenbau, 1909, S. 357.

## Siebenundzwanzigstes Kapitel.

### Spannungs- und Stromverhältnisse eines Einankerumformers.

173. Spannungsverhältnisse eines Einankerumformers — 174. Die Ankerströme eines Umformers — 175. Die Stromwärmeverluste eines Umformerankers. — 176. Die Oberströme.

#### 173. Spannungsverhältnisse eines Einankerumformers.

Die Fig. 455 bis 458 zeigen die zweipolige Schaltung eines ein-, drei-, vier- und sechsphasigen Umformers. Die Wicklungen sind der Einfachheit halber als Ringwicklungen dargestellt. Einankerumformer werden jedoch, wie gewöhnliche Gleichstrommaschinen, ausschließlich mit Trommelankern ausgeführt.

Für den Ein- und Dreiphasenumformer sind in Fig. 459 und 460 die Schaltungsschemata noch einmal aufgezeichnet, so daß auch die Verbindungen mit den Transformatoren zu erkennen sind. Außerdem sind in diesen Figuren die bei den späteren Betrachtungen benutzten Bezeichnungen eingeschrieben.

Die Phasenspannung der Transformatoren bezeichnen wir an der Sekundärseite mit  $P_2$ . Die Sekundärspannung des Einphasentransformators ist dann  $2P_2$ , wenn die gleichen Formeln für ein- und mehrphasige Umformer Gültigkeit haben sollen. Die sekundäre Klemmenspannung des Dreiphasentransformators bezeichnen wir mit  $P_{2l}$ , sie ist gleich der Linienspannung  $P_l$  zwischen den Schleifringen des Umformers. Natürlich können die Transformatorwicklungen auch in Dreieck geschaltet werden und statt eines Dreiphasentransformators auch drei Einphasentransformatoren verwendet werden.

Aus später angegebenen Gründen (S. 714) werden größere Umformer ausschließlich sechsphasig gebaut, was bei dreiphasigem Primärstrom ohne weiteres möglich ist durch passende Schaltung der sekundären Wicklungen der Transformatoren.

Von den vielen möglichen Schaltungen seien hier nur die beiden in den Fig. 461 und 462 schematisch dargestellten erwähnt. Nach Fig. 461 verwendet man einen normalen Dreiphasentransformator (bzw. drei normale Einphasentransformatoren), läßt die sekundären Phasen unverkettet und verbindet jede mit zwei diametralen Punkten (bezogen auf ein zweipoliges Schema) der

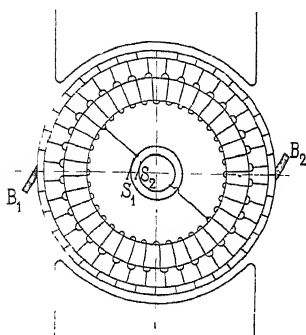


Fig. 455 Zweipoliger Einphasenumformer.

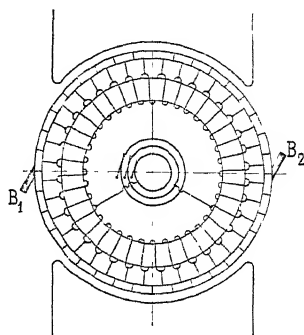


Fig. 456. Zweipoliger Dreiphasenumformer.

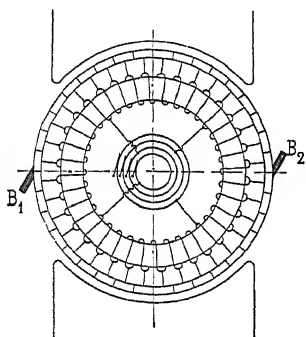


Fig. 457. Zweipoliger Vierphasenumformer

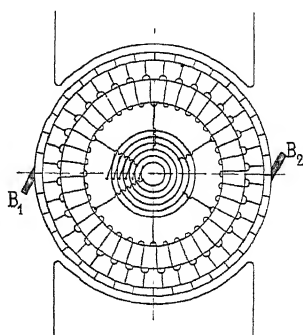


Fig. 458 Zweipoliger Sechphasenumformer.

Umformerwicklung. Nach Fig. 462 versteht man die Transformatoren mit zwei Spulen für jede sekundäre Phase, die dann zu zwei Gruppen in Dreieck geschaltet werden. Der Kreis stellt in beiden Figuren die Umformerwicklung dar, die Sehnen (bzw. Durchmesser) die sekundären Wicklungen des Transformators. Die erste Schaltung kann man als Durchmesserschaltung, die zweite als doppelte Dreieckschaltung bezeichnen.



Wir betrachten zunächst den Umformer, wenn er leerläuft und keinen wattlosen Strom vom Netz aufnimmt. Der Umformeranker ist dann praktisch stromlos, und es wird in der Ankerwicklung nur eine EMK von dem Hauptfelde mit dem Kraftfluß  $\Phi$  induziert.

Wir bezeichnen die zwischen den Bürsten  $B_1$  und  $B_2$  (Fig. 459 und 460) induzierte EMK mit  $E_g$  und die zwischen zwei willkürlichen Punkten der Ankerwicklung induzierte Wechsel-EMK mit  $E_i$ .

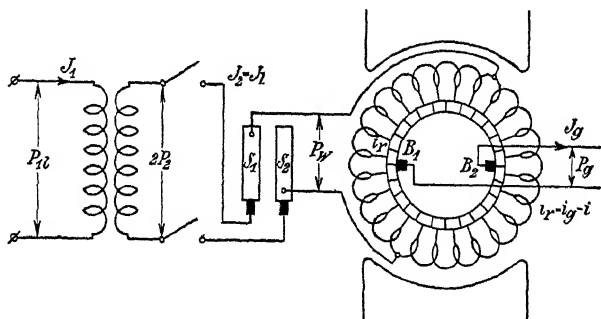


Fig. 459. Schaltungsdiagramm eines Einphasenumformers

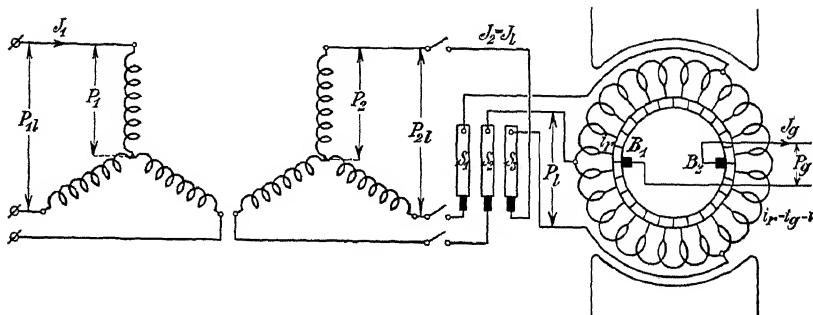


Fig. 460. Schaltungsdiagramm eines Dreiphasenumformers.

Da  $E_g$  und  $E_i$  in derselben Ankerwicklung induziert werden, besteht zwischen ihnen ein ganz bestimmtes Verhältnis.

Stehen die Bürsten  $B_1$  und  $B_2$  in der neutralen Zone, so tritt der maximale Wert des eine Spule durchsetzenden Kraftflusses auf, wenn die Spule kurzgeschlossen ist; er ist bei einer Trommelwicklung gleich dem Kraftflusse  $\Phi$  pro Pol.

Während der Zeit einer Umdrehung — bezogen auf ein zweipoliges Schema — ändert sich nun der Kraftfluß einer Spule von einem positiven Maximum zunächst auf Null, dann auf dasselbe negative Maximum, wieder zurück auf Null und schließlich zurück

auf das ursprüngliche positive Maximum. Die totale Kraftfluß-änderung während einer Umdrehung ist also  $4\Phi$ . Für eine mehrpolige Maschine kommt dieselbe Kraftflußänderung vor während  $\frac{1}{p}$  Umdrehung, also in der Zeit  $\frac{60}{np}$ .

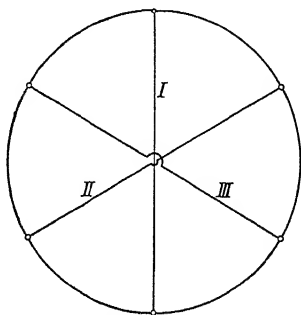


Fig. 461.

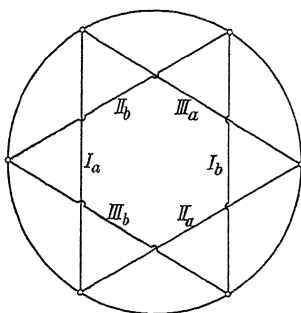


Fig. 462.

In jeder Windung wird also im Mittel die EMK

$$\frac{4\Phi}{60} 10^{-8} = 4c \Phi 10^{-8} \text{ Volt}$$

$$\frac{1}{np}$$

induziert, folglich in der ganzen Wicklung mit  $N$  Drähten, d. h.  $\frac{N}{4a} = w_g$  Windungen in Serie zwischen den in der neutralen Zone stehenden Bürsten eine EMK

$$E_g = \frac{N}{4a} \frac{4\Phi}{60} 10^{-8} = 4c w_g \Phi 10^{-8} \text{ Volt} \quad . . . \quad (440)$$

$$\frac{1}{np}$$

In dieser Formel bedeutet  $a$  die halbe Anzahl der parallelen Ankerstromzweige. Die EMK  $E_g$  hängt somit nur von dem totalen Kraftflusse und nicht von der Verteilung dieses Kraftflusses über die Polteilung ab.

Wie groß ist nun die Wechsel-EMK  $E_t$ ?

Die mittlere EMK pro Windung ist nach dem Vorbergehenden  $E_{mitt} = 4c \Phi 10^{-8}$  Volt, also der Effektivwert  $E_{eff(w=1)} = 4f_B c \Phi 10^{-8}$ , wo  $f_B$  = Formfaktor der Feldkurve, da bekanntlich die in einer Windung (mit der Weite  $y = \tau$ ) induzierte EMK dieselbe Kurvenform hat wie die Feldkurve.

Da die in den einzelnen Windungen induzierten EMKe gegeneinander phasenverschoben sind, wird die resultierende EMK, induziert in  $w_w$  Windungen in Serie,

$$E_l = 4 f_B f_w c w_w \Phi 10^{-8} = 4 k c w_w \Phi 10^{-8} \text{ Volt} \quad . \quad . \quad (441)$$

wo

$$f_w = \text{Wicklungsfaktor}^1) \text{ und}$$

$$k = f_B f_w = \text{EMK-Faktor.}$$

$w_w$  und  $f_w$  hängen von der Lage der gewählten Anschlußpunkte ab.

Aus den Formeln 440 und 441 folgt:

$$\frac{E_l}{E_g} = \frac{w_w}{w_g} f_B f_w = \frac{w_w}{w_g} k.$$

Für einen  $m$ -phasigen Umformer mit  $m$  Schleifringen ist  $w_w = \frac{2}{m} w_g$ .

Da bei einer unveränderten Gleichstromwicklung oben und unten in einer Nut Leiter liegen, die verschiedenen Phasen angehören, ist  $k$  der EMK-Faktor einer über  $\frac{2}{m}$  der Polteilung gleichmäßig verteilten Wicklung.

Für Einphasenumformer können diese Formeln auch verwendet werden, nur ist zu bedenken, daß  $m$  gleich 2 gesetzt werden muß.

Es ist somit das Übersetzungsverhältnis  $u_l$  zwischen Wechsel-EMK und Gleich-EMK eines  $m$ -phasigen Umformers:

$$u_l = \frac{E_l}{E_g} = \frac{2k}{m} \quad . \quad . \quad . \quad (442)$$

Bezeichnen wir die zwischen zwei diametralen Punkten der zweipoligen Ankerwicklung induzierte EMK (die Einphasen-EMK) mit  $E_w$ , so ist das Übersetzungsverhältnis  $u_\tau$  zwischen der Wechsel-EMK  $E_w$  und der Gleich-EMK  $E_g$

$$u_\tau = \frac{E_w}{E_g} = k_\tau \quad . \quad . \quad . \quad (443)$$

Für diesen Fall ist nämlich  $m = 2$  und  $w_w = w_g$ .  $k_\tau$  ist der EMK-Faktor einer Wicklung, deren Spulenbreite  $S$  über die ganze Polteilung  $\tau$  gleichmäßig verteilt ist ( $S = \tau$ ).

Für eine sinusförmige Feldkurve ist

$$k_\tau = f_B f_w = \frac{\pi}{2\sqrt{2}} \frac{2}{\pi} = \frac{1}{\sqrt{2}} = 0,707,$$

also

$$E_g = \sqrt{2} E_w.$$

Dies ist auch leicht verständlich. Die Potentialkurve am Kommutatorumfang ist dann eine Sinuskurve von der Amplitude  $\frac{1}{2} E_g$ , und die Amplitude der Wechsel-EMK  $E_w \sqrt{2}$  ist gleich  $E_g$  (s. Fig. 463).

<sup>1)</sup> WT III, Kap IX.

Die Phasenspannung eines in Stern geschalteten Transformators ist für alle Umformer  $\frac{E_g}{2}$ .

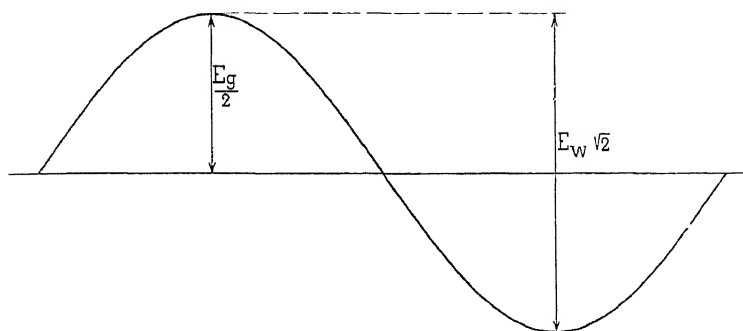


Fig 463

Unter Annahme einer sinusförmigen Feldkurve wird das Potentialdiagramm der Wicklung ein Kreis, dessen Durchmesser für die Amplituden der Wechsel-EMKe  $\sqrt{2} E_w = E_g = OB$  (Fig. 464) und für die Effektivwerte derselben  $E_w = OA$  ist.

Für einen  $m$ -phasigen Umformer erhält man die Linienspannung

$$E_l = E_w \sin \frac{\pi}{m} = \frac{E_g}{\sqrt{2}} \sin \frac{\pi}{m},$$

also

$$u_l = \frac{E_l}{E_g} = \frac{\sin \frac{\pi}{m}}{\sqrt{2}} \dots \dots \dots (444)$$

Wir erhalten somit folgende Zusammenstellung:

Einphasenumformer:

$$m = 2 \quad w_w = w_g$$

$$u_l = u_z = k_z (= 0,707 \text{ für eine sinusförmige Feldkurve}).$$

Dreiphasenumformer:

$$m = 3 \quad w_w = \frac{2}{3} w_g$$

$u_l = \frac{2}{3} k$ , wo  $k$  den EMK-Faktor einer verteilten Wicklung mit  $S = \frac{2}{3} \tau$  bedeutet.

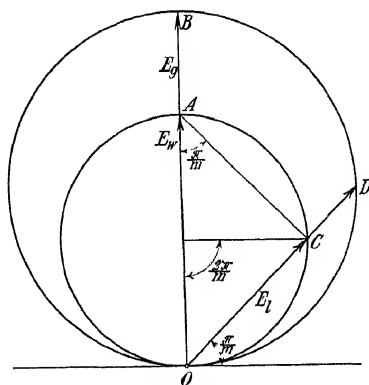


Fig. 464.

Für eine sinusförmige Feldkurve wird

$$u_i = \frac{\sin \frac{\pi}{m}}{\sqrt{2}} = \sqrt{\frac{3}{8}} = 0,612.$$

Vierphasenumformer:

$$m = 4 \quad w_w = \frac{1}{2} w_g \quad S = \frac{1}{2} \tau$$

$$u_i = \frac{k}{2} (= 0,5 \text{ für eine sinusförmige Feldkurve}).$$

Sechssphasenumformer:

$$m = 6 \quad w_w = \frac{1}{3} w_g \quad S = \frac{1}{3} \tau.$$

$$u_i = \frac{k}{3} (= 0,354 \text{ für eine sinusförmige Feldkurve}).$$

$\infty$ -phasiger Umformer, d. h. ebenso viel Phasen wie Kommutatorlamellen. Nehmen wir  $m$  Lamellen an, so wird  $f_w = 1$  und

$$u_i = \frac{2k}{m} = \frac{2f_B}{m} \left( = \frac{2,22}{m} \text{ für eine sinusförmige Feldkurve} \right).$$

In der folgenden Tabelle sind die Übersetzungsverhältnisse  $u_\tau$  und  $u_i$  für die wichtigsten Umformer und Polschuhformen zusammengestellt.

Tabelle für die Übersetzungsverhältnisse  $u_\tau$  und  $u_i$  von Umformern.

$\frac{\text{Polbogen}}{\text{Polteilung}} =$		0,8	0,75	0,7	Sinus- förmiges Feld	0,65	0,6	0,55
Einphasen .	$u_\tau$	0,67	0,69	0,71	0,707	0,73	0,75	0,77
Dreiphasen . . .	$u_i$	0,59	0,60	0,62	0,612	0,64	0,66	0,675
Vierphasen . . .	$u_i$	0,48	0,49	0,50	0,500	0,52	0,53	0,55
Sechssphasen . .	$u_i$	0,340	0,347	0,354	0,354	0,367	0,377	0,387
Zwölfphasen . .	$u_i$	0,177	0,182	0,185	0,185	0,192	0,197	0,204

Bei Leerlauf sind die Spannungen an den Klemmen gleich den EMKen der Wicklung. Sehen wir bei Belastung von dem kleinen Spannungsabfall im Umformeranker und am Kommutator ab, so gelten für die Spannungen bei Belastung dieselben Beziehungen wie für die EMKe, also

$$P_w \simeq P_g u_\tau \text{ (Spannung zwischen diametralen Punkten) und}$$

$$P_i \simeq P_g u_i \text{ (Spannung zwischen zwei Schleifringen).}$$

Für ein Sinusfeld wird somit:

$$P_w \cong \frac{P_g}{\sqrt{2}} \quad \text{und} \quad P_i \cong \frac{P_g}{\sqrt{2}} \sin \frac{\pi}{m} \quad . \quad . \quad . \quad (445)$$

### 174. Die Ankerströme eines Umformers.

Wenn wir von den Verlusten im Umformer absehen, so muß die dem Umformer zugeführte elektrische Leistung gleich der abgeführten sein. Bezeichnen wir den Gleichstrom mit  $J_g$ , die Wattkomponente des Wechselstromes in der Ankerwicklung mit  $J_w$ , so wird

$$P_g J_g = m P_i J_w,$$

wo  $m=2$  für Einphasen-,  $m=3$  für Dreiphasenumformer usw. Aus dieser Beziehung ergibt sich

$$J_w = \frac{P_g}{m P_i} J_g \quad . \quad . \quad . \quad . \quad . \quad (446)$$

Da  $\frac{P_g}{P_i} = \frac{1}{u_i} = \frac{m}{2k}$ , wird  $J_w = \frac{J_g}{2k}$ .

Ist die halbe Zahl der Ankerstromzweige der Gleichstromwicklung  $a$ , so ist die Wechselstrom-Wattkomponente pro Zweig  $\frac{J_w}{a}$  und der Gleichstrom  $\frac{J_g}{2a}$ , und wir erhalten als Übersetzungsverhältnis zwischen dem Wechselwatt- und dem Gleichstrom eines Umformerankers

$$u_i = \frac{2 J_w}{J_g} = \frac{1}{k} = \frac{2}{m u_i} \quad . \quad . \quad . \quad . \quad (447)$$

Für ein sinusförmiges Feld ist  $u_i = -\frac{\sin \frac{\pi}{m}}{\sqrt{2}}$  und somit:

$$u_i = \frac{2 J_w}{J_g} = \frac{2 \sqrt{2}}{m \sin \frac{\pi}{m}} \quad . \quad . \quad . \quad . \quad (448)$$

also

$$J_w = \frac{\sqrt{2} J_g}{m \sin \frac{\pi}{m}} \quad . \quad . \quad . \quad . \quad (449)$$

Für eine sehr große Phasenzahl und Sinusfeld wird

$$u_i = \frac{2 J_w}{J_g} = \frac{2 \sqrt{2}}{\pi} = 0,901.$$

In der folgenden Tabelle ist das Verhältnis  $u_i = \frac{2 J_w}{J_g}$  für die am häufigsten vorkommenden Polschuhe zusammengestellt.  $\alpha$  bezeichnet das Verhältnis von Polbogen zu Polteilung.

Übersetzungsverhältnisse der Ströme eines Umformerankers.

$\alpha = \frac{\text{Polbogen}}{\text{Polteilung}}$		0,8	0,75	0,7	Sinus- förmiges Feld	0,65	0,6	0,55
Einphasen	$u_i = \frac{2 J_w}{J_g}$	1,50	1,45	1,41	1,41	1,37	1,33	1,30
Dreiphasen	$u_i = \frac{2 J_w}{J_g}$	1,13	1,10	1,09	1,09	1,04	1,02	0,99
	$u_{i,l} = \frac{J_{lw}}{J_g}$	1,00	0,97	0,94	0,94	0,915	0,89	0,87
Vierphasen	$u_i = \frac{2 J_w}{J_g}$	1,05	1,03	1,00	1,00	0,97	0,94	0,92
	$u_{i,l} = \frac{J_{lw}}{J_g}$	0,75	0,73	0,71	0,71	0,69	0,67	0,65
Sechphasen	$u_i = \frac{2 J_w}{J_g}$	0,98	0,96	0,94	0,94	0,91	0,89	0,86
	$u_{i,l} = \frac{J_{lw}}{J_g}$	0,50	0,48	0,47	0,47	0,46	0,44	0,43
Zwölfphasen	$u_i = \frac{2 J_w}{J_g}$	0,96	0,92	0,91	0,91	0,87	0,85	0,82
	$u_{i,l} = \frac{J_{lw}}{J_g}$	0,25	0,24	0,24	0,24	0,23	0,22	0,22

Bezeichnen wir die Wattkomponente des Wechselstromes einer Zuführungsleitung mit  $J_{lw}$ , so wird

$$P_g J_g = m \frac{P_w}{2} J_{lw}$$

und das Übersetzungsverhältnis

$$u_{i,l} = \frac{J_{lw}}{J_g} = \frac{2 P_g}{m P_w} = \frac{2}{m k_r} = \frac{2}{m u_r} \quad . \quad . \quad . \quad (450)$$

Für ein sinusförmiges Feld ist  $\frac{P_g}{P_w} = \sqrt{2}$ , also:

$$u_{i,l} = \frac{J_{lw}}{J_g} = \frac{2 \sqrt{2}}{m} \quad . \quad . \quad . \quad . \quad (451)$$

Das Verhältnis  $\frac{J_{lw}}{J_g}$  ist auch in der obigen Tabelle eingetragen.

Wie ersichtlich, ändern sich innerhalb der üblichen Grenzen für  $\alpha$  die beiden Verhältnisse  $\frac{2J_w}{J_g}$  und  $\frac{J_{lw}}{J_g}$  nur wenig.

Aus den beiden Formeln 447 und 450 erhält man

$$u_i u_l = u_i u_r = \frac{2}{m} \quad . \quad . \quad . \quad (452)$$

$u_i$  und  $u_l$  sind jedoch nicht die bei Belastung wirklich auftretenden Übersetzungsverhältnisse der Ströme. Wollen wir nämlich die Verluste im Umformer berücksichtigen, so müssen wir zu den in Gleichstrom umgewandelten Wechselströmen noch den Leerlaufstrom des Umformers addieren. Dieser ist aber klein und kann vernachlässigt werden.

Für einen verlustlosen dreiphasigen Einankerumformer mit sinusförmiger Feldverteilung beträgt die Wattkomponente des Schleifringstromes nach der Tabelle (S. 706) 94% des Gleichstromes. Berücksichtigen wir nun die Verluste, so dürfen wir für alle praktischen Fälle sagen, daß der Schleifringwattstrom beim Dreiphasen-Wechselstrom-Gleichstrom-Umformer annähernd gleich dem am Kommutator abgegebenen Gleichstrom ist (und für den Sechsphasenumformer gleich der Hälfte des Gleichstromes).

Der Ankerstrom eines Umformers ist die Differenz zwischen dem zugeführten Wechselstrom  $J$  und dem erzeugten Gleichstrom. Der Gleichstrom wechselt in jeder Armaturespule seine Richtung in dem Augenblicke, in dem die Spule die Kommutatorbursten  $B_1$  und  $B_2$  passiert.

In den Ankerspulen bedingt der erzeugte Gleichstrom daher einen Wechselstrom von rechteckiger Wellengestalt (Fig. 465).

Diesen zerlegen wir in seine Harmonischen (WT I, 2. Aufl., S. 223) und erhalten

$$\begin{aligned} i_g &= J_1 \sin \omega t + J_3 \sin 3 \omega t + J_5 \sin 5 \omega t + \dots \\ &= \frac{J_g}{2} \frac{4}{\pi} \left( \sin \omega t + \frac{1}{3} \sin 3 \omega t + \frac{1}{5} \sin 5 \omega t + \dots \right). \end{aligned}$$

Stehen die Bursten in der neutralen Zone, so ist  $t=0$ , wenn die in der Spule induzierte EMK gleich Null ist.

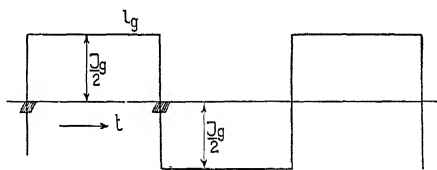


Fig. 465.



Es ist somit  $\frac{2J_g}{\pi} \sin \omega t$  ein Wattstrom. Die Oberströme bedingen einen Stromwärmeverlust, der sich zu dem Stromwärmeverlust in einer Gleichstrommaschine verhält, wie

$$\frac{J_3^2 + J_5^2 + J_7^2 + \dots}{J_1^2 + J_3^2 + J_5^2 + J_7^2 + \dots} = \frac{(\frac{1}{3})^2 + (\frac{1}{5})^2 + (\frac{1}{7})^2 + \dots}{1 + (\frac{1}{3})^2 + (\frac{1}{5})^2 + (\frac{1}{7})^2 + \dots} \\ = 1 - \frac{8}{\pi^2} = 0,19.$$

Der Stromwärmeverlust der Oberströme ist somit

$$0,19 J_g^2 R_a,$$

wenn  $R_a$  der Ohmsche Widerstand der Gleichstromwicklung ist.

Da die Bürsten in der neutralen Zone stehen, geht die Wattkomponente des Wechselstromes durch Null in dem Momente, da

die mittlere Spule der Phase die Kommutatorbürsten passiert. In diesem Momente ist nämlich die zwischen den Enden der Phase (A und B, Fig. 466) induzierte EMK auch Null. Für die mittlere Spule ist die Wattkomponente somit in Phase mit der Grundwelle des dem Gleichstromes entsprechenden Wechselstromes von rechteckiger Wellengestalt.

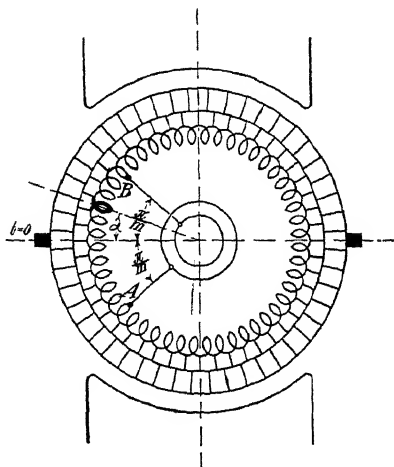


Fig. 466.

Ist  $\psi$  der Phasenverspätungswinkel des Stromes gegen die EMK, so liegt die Welle des Wechselstromes um den Winkel  $\psi$  gegen die Grundwelle

der rechteckigen Kurve verschoben. Für eine Spule, die um den Winkel  $\alpha$  von der Phasenmitte entfernt ist, tritt jedoch eine frühere, bzw. spätere Kommutierung ein, je nachdem  $\alpha$ , in der Drehrichtung gemessen, positiv oder negativ ist, und zwar wirkt für die Bestimmung der relativen Lage der Wechselstromkurve und der Grundwelle der rechteckigen dem Gleichstromes entsprechenden Kurve, ein positives  $\alpha$  wie ein positives  $\psi$  (Phasenverspätung). Demnach ist:

$$i = J\sqrt{2} \sin(\omega t - \psi - \alpha).$$

$\alpha$  variiert zwischen  $-\frac{\pi}{m}$  und  $+\frac{\pi}{m}$ . Es ist

$$\begin{aligned}
 i &= \sqrt{2} J \sin \omega t \cos (\psi + \alpha) - \sqrt{2} J \cos \omega t \sin (\psi + \alpha) \\
 &= \sqrt{2} J \sin \omega t \cos \psi \cos \alpha - \sqrt{2} J \sin \omega t \sin \psi \sin \alpha \\
 &\quad - \sqrt{2} J \cos \omega t \sin \psi \cos \alpha - \sqrt{2} J \cos \omega t \cos \psi \sin \alpha .
 \end{aligned}$$

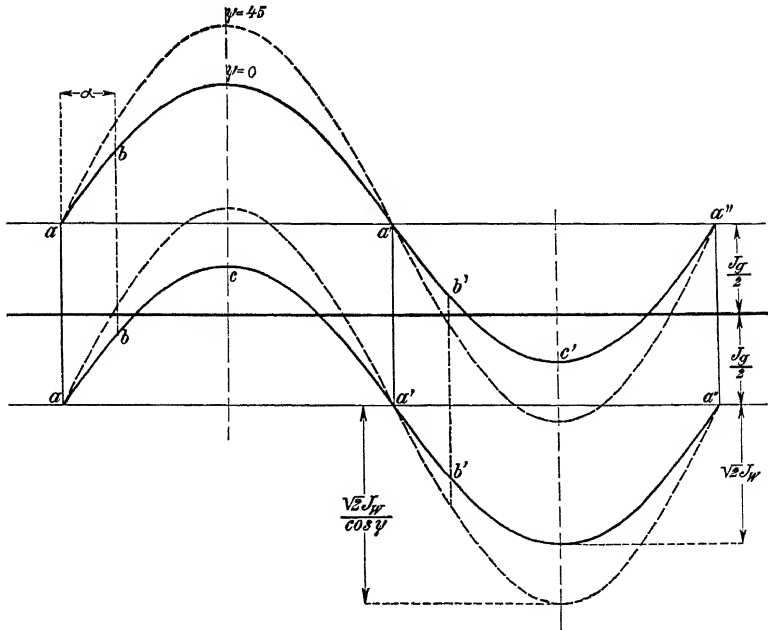


Fig 467

Setzt man den Wattstrom  $J_w = J \cos \psi = u_i \frac{J_g}{2}$  und den wattlosen Strom

$$J_{wl} = J \sin \psi = v_i \frac{J_g}{2},$$

so wird

$$\begin{aligned}
 i &= \frac{J_g}{2} [(u_i \sqrt{2} \cos \alpha - v_i \sqrt{2} \sin \alpha) \sin \omega t \\
 &\quad - (u_i \sqrt{2} \sin \alpha + v_i \sqrt{2} \cos \alpha) \cos \omega t]. \quad . \quad . \quad (453)
 \end{aligned}$$

und der resultierende Strom in einer Ankerspule

$$\begin{aligned}
 i_r &= i_g - i = \frac{J_g}{2} \left[ \left( \frac{4}{\pi} - u_i \sqrt{2} \cos \alpha + v_i \sqrt{2} \sin \alpha \right) \sin \omega t \right. \\
 &\quad \left. + (u_i \sqrt{2} \sin \alpha + v_i \sqrt{2} \cos \alpha) \cos \omega t \right] \\
 &\quad + \frac{J_g}{2} \frac{4}{\pi} \left( \frac{1}{3} \sin 3 \omega t + \frac{1}{5} \sin 5 \omega t + \frac{1}{7} \sin 7 \omega t \dots \right) . \quad (454)
 \end{aligned}$$

Aus dem Vorhergehenden ist nun ersichtlich, daß wir die resultierende Stromkurve für jede Spule erhalten, indem wir zu der Sinuskurve, die den Wechselstrom darstellt, entweder  $\frac{J_g}{2}$  addieren oder subtrahieren, denn es ist allgemein

$$i_r = \pm \frac{J_g}{2} - \sqrt{2} J \sin(\omega t - \psi - \alpha).$$

In Fig. 467 sind zwei Sinuskurven aufgezeichnet, die man aus der ursprünglichen Sinuskurve erhält durch eine Verschiebung um  $\frac{J_g}{2}$  in der positiven bzw. negativen Richtung der Ordinatenachse.

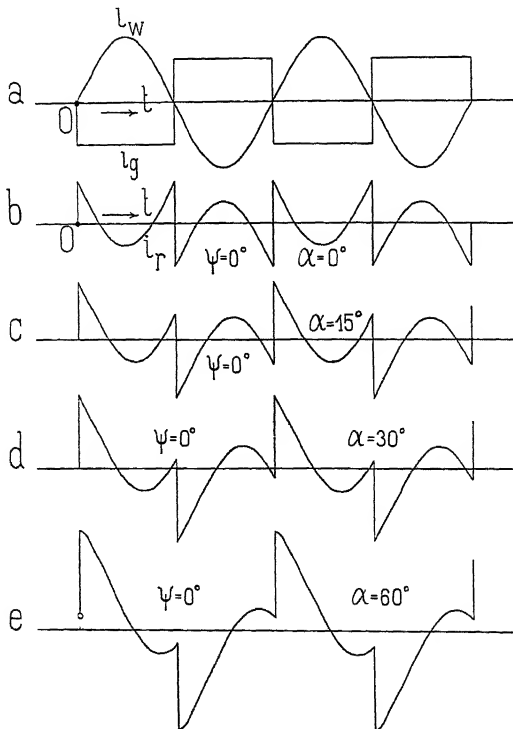


Fig. 468a bis e. Resultierender Strom in verschieden gelegenen Spulen eines Umformerankers für Phasengleichheit von Strom und EMK.

Für  $\psi = 0$  und  $\alpha = 0$  wird der resultierende Strom dargestellt durch den Linienzug  $aac'a'e'$  usw., für  $\psi = 0$  und  $\alpha = 30^\circ$  durch  $bbcb'b'e'$  usw. Für  $\psi = 30$ ,  $\alpha = 0$  liegen die Übergänge von der einen Kurve auf die andere auf denselben Ordinaten wie für  $\psi = 0$ ,  $\alpha = 30$ , aber der Wechselstrom hat sich durch die Phasenverschie-

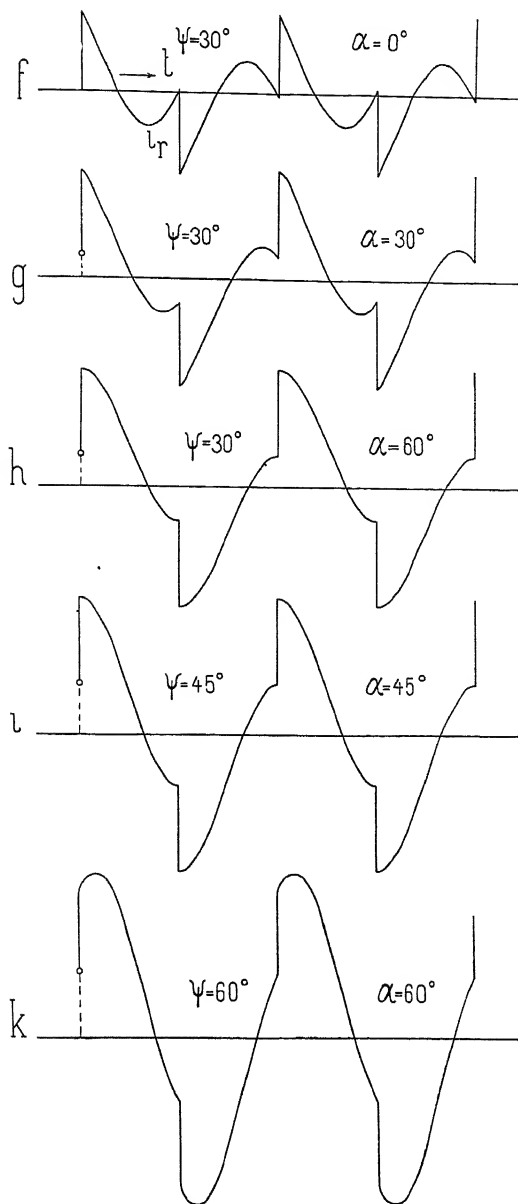


Fig. 468f bis k. Resultierender Strom in verschieden gelegenen Spulen eines Umformerankers bei verschiedenen Phasenverschiebungen  $\psi$ .

bung, gleichen Gleichstrom vorausgesetzt, in dem Verhältnis  $1 : \cos \psi$  vergrößert.

Es sind deswegen in Fig. 467 zwei weitere Sinuskurven für  $\psi = 45^\circ$  und gleichen Wattstrom  $J_w$  punktiert eingezeichnet. Auf diese Weise ist es möglich, die Kurvenform des resultierenden Stromes für irgendeine Spule und für jede Phasenverschiebung darzustellen.

Der besseren Übersicht wegen ist in Fig. 468 a—k der Verlauf des resultierenden Stromes für verschiedene Werte von  $\alpha$  und  $\psi$  dargestellt.

### 175. Die Stromwärmeverluste im Umformeranker.

Der Effektivwert des resultierenden Stromes  $i$ , ist die Quadratwurzel der halben Summe der Quadrate der Amplituden der einzelnen Komponenten, also

$$J_r = \frac{J_g}{2} \sqrt{\frac{1}{2} \left[ \left( \frac{4}{\pi} - u_i \sqrt{2} \cos \alpha + v_i \sqrt{2} \sin \alpha \right)^2 + (v_i \sqrt{2} \cos \alpha + u_i \sqrt{2} \sin \alpha)^2 + \frac{16}{\pi^2} \left( \frac{1}{9} + \frac{1}{25} + \frac{1}{49} + \dots \right) \right]},$$

oder

$$\begin{aligned} \left( \frac{2J_r}{J_g} \right)^2 &= \frac{8}{\pi^2} + u_i^2 + v_i^2 - \frac{4}{\pi} u_i \sqrt{2} \cos \alpha + \frac{4}{\pi} v_i \sqrt{2} \sin \alpha + 0,19 \\ &= 1 + u_i^2 + v_i^2 - \frac{4}{\pi} u_i \sqrt{2} \cos \alpha + \frac{4}{\pi} v_i \sqrt{2} \sin \alpha. \end{aligned}$$

Ermitteln wir durch Integration zwischen den Grenzen  $\alpha = -\frac{\pi}{m}$

und  $\alpha = +\frac{\pi}{m}$  den Mittelwert von  $\left( \frac{2J_r}{J_g} \right)^2$ , so erhalten wir ein Maß für den Stromwärmeverlust im Umformeranker im Verhältnis zu dem eines Gleichstromankers. Es ist

$$\begin{aligned} \frac{m}{2\pi} \int_{-\frac{\pi}{m}}^{+\frac{\pi}{m}} \left( \frac{2J_r}{J_g} \right)^2 d\alpha &= 1 + u_i^2 + v_i^2 - \frac{m}{2\pi} \int_{-\frac{\pi}{m}}^{+\frac{\pi}{m}} \left( \frac{4}{\pi} u_i \sqrt{2} \cos \alpha - \frac{4}{\pi} v_i \sqrt{2} \sin \alpha \right) d\alpha \\ &= 1 + u_i^2 + v_i^2 - \frac{4\sqrt{2} u_i m}{\pi^2} \sin \frac{\pi}{m} = v \quad . \quad (455) \end{aligned}$$

Es ist in dieser Formel  $m$  die Phasenzahl,

$$u_i = \frac{2J_w}{J_g} \quad \text{und} \quad v_i = \frac{2J_{wl}}{J_g},$$

wo  $J_w = J \cos \psi$  und  $J_{wl} = J \sin \psi$  den Wattstrom bzw. den wattenlosen Strom in einer Ankerspule des Umformers bedeutet.

Für ein sinusförmiges Feld ist nach Gl. 448

$$u_i = \frac{2\sqrt{2}}{m \sin \frac{\pi}{m}},$$

also

$$\nu = 1 + u_i^2 + v_i^2 - \frac{16}{\pi^2} \dots \dots \dots (455a)$$

Bezeichnet somit  $R_a$  den Ohmschen Widerstand der Gleichstromwicklung, so ist der Stromwärmeverlust im Umformeranker

$$W_{ka} = \nu J_g^2 R_a$$

und der Ohmsche Spannungsabfall in der Ankerwicklung wird

$$\sqrt{\nu} J_g R_a.$$

Soll der Stromwärmeverlust in der Ankerwicklung derselbe sein wie bei einer Gleichstrommaschine, so kann der Strom im Umformer und somit seine Leistung im Verhältnis  $\frac{1}{\sqrt{\nu}}$  erhöht werden.

In der folgenden Tabelle sind  $\nu$ ,  $\sqrt{\nu}$  und  $\sqrt{\frac{1}{\nu}}$  für drei Fälle berechnet:

1.  $u_i = \frac{2J_w}{J_g} = \frac{2\sqrt{2}}{m \sin \frac{\pi}{m}}$  und  $v_i = 0$  oder  $J_{wl} = 0$
2.  $u_i = \frac{2J_w}{J_g} = \frac{2\sqrt{2}}{m \sin \frac{\pi}{m}}$  und  $v_i = 0,3 u_i$  oder  $J_{wl} = 0,3 J_w$
3.  $u_i = \frac{2J_w}{J_g} = \frac{2\sqrt{2}}{m \sin \frac{\pi}{m}}$  und  $v_i = 0,5 u_i$  oder  $J_{wl} = 0,5 J_w$ .

Tabelle für die Stromwärmeverluste im Umformeranker.

$$J_{wl} = 0.$$

	Einphasen $m=2$	Dreiphasen $m=3$	Vierphasen $m=4$	Sechphasen $m=6$	Zwölfphasen $m=12$
$\nu$	1,38	0,567	0,38	0,267	0,207
$\sqrt{\nu}$	1,175	0,75	0,615	0,515	0,455
$\sqrt{\frac{1}{\nu}}$	0,85	1,33	1,62	1,93	2,20

$$J_{wl} = 0,3 J_w.$$

	Einphasen	Dreiphasen	Vierphasen	Sechsphasen	Zwölfphasen
$\nu$	1,56	0,68	0,47	0,345	0,285
$\sqrt{\nu}$	1,25	0,825	0,685	0,587	0,533
$\sqrt{\frac{1}{\nu}}$	0,80	1,21	1,46	1,70	1,87

$$J_{wl} = 0,5 J_w.$$

	Einphasen	Dreiphasen	Vierphasen	Sechsphasen	Zwölfphasen
$\nu$	1,88	0,87	0,63	0,485	0,42
$\sqrt{\nu}$	1,37	0,933	0,794	0,697	0,648
$\sqrt{\frac{1}{\nu}}$	0,73	1,07	1,26	1,43	1,54

Für eine sehr große Phasenzahl  $m$  und  $\nu_s = 0$  wird

$$\nu = 1 + \frac{8}{\pi^2} - \frac{16}{\pi^2} = 1 - \frac{8}{\pi^2} = 0,19,$$

d. h. in einem Umformer mit sehr großer Phasenzahl und Phasengleichheit zwischen der EMK und dem Strome bedingen nur die Oberströme einen Stromwärmeverlust im Ankerkupfer. Treten wattlose Ströme auf, so bedingen diese einen von der Phasenzahl und von dem Wattstrome unabhängigen Verlust im Ankerkupfer. Dies geht aus der Formel für  $\nu$  hervor; denn in dieser erscheint  $\nu_s$  nur in einem Gliede, und zwar im Quadrate. Der wattlose Strom bedingt keine Oberströme, und da er in Quadratur zu dem Wattstrome steht, so ist es auch ganz selbstverständlich, daß die Kupferverluste des wattlosen Stromes von dem Wattstrome unabhängig sind.

Aus der Tabelle ist ersichtlich, daß die Stromwärmeverluste im Ankerkupfer eines Sechsphasenumformers wesentlich kleiner sind als die eines Dreiphasenumformers. Da die Anordnung der doppelten Anzahl Schleifringe, die jedoch nur für die halbe Stromstärke zu bemessen sind, nicht als ein wesentlicher Nachteil zu betrachten ist, werden alle modernen größeren Umformer sechsphasig gebaut, um so mehr, da nach S. 699 bei dreiphasigem Primarstrom den Transformatoren ohne weiteres Sechsphasenstrom entnommen werden kann. Eine weitere Vergrößerung der Phasenzahl wurde

dagegen eine bedeutende Komplikation mit sich bringen und nur eine unwesentliche Verringerung der Verluste ergeben.

Man kann die Verluste in übersichtlicher Weise graphisch darstellen, indem man nach O. J. Ferguson<sup>1)</sup> Polarkoordinaten einführt.

Der sinusförmige Strom wird dann durch einen Kreis vom Durchmesser  $\sqrt{2}J_w$  durch den Ursprung dargestellt, und die zwei zu diesem Kreise äquidistanten Kurven im Abstände  $+\frac{J_g}{2}$  und  $-\frac{J_g}{2}$  bilden zusammen die unter dem Namen Limaçon bekannte Kurve, wie in Fig. 469 für einen dreiphasigen Umformer, d. h. für:

$$\sqrt{2}J_w = \frac{2J_g}{3 \sin 60^\circ} = \frac{J_g}{1,3},$$

und für Phasengleichheit zwischen Wechselstrom und Wechselspannung dargestellt ist.

Für eine Spule, die um den Winkel  $\alpha$  von der Phasenmitte entfernt ist, beschreibt der Vektor des resultierenden Stromes die Kurve  $ABOCODOA$ . Da nun die vom Stromvektor durchlaufene und in Fig. 469 schraffiert angegebene Fläche entsprechend dem

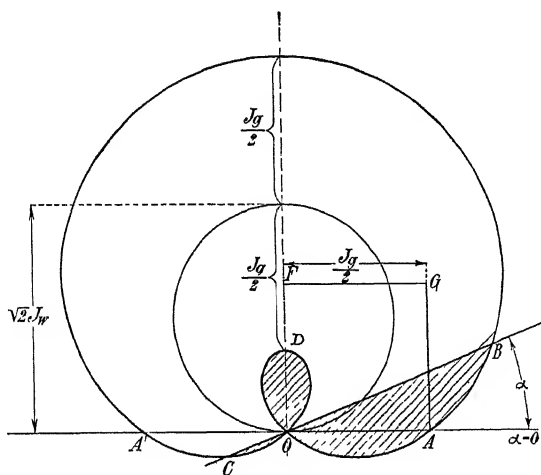


Fig 469.

Quadrate des Vektors variiert, so ist die Fläche ein Maß für den Effektivwert des Stromes in der betrachteten Spule, also auch für die Kupferverluste und die Erwärmung.

Die Verluste in dem als Gleichstromgenerator mit derselben

<sup>1)</sup> Electrical World 21. Jan 1909.



Gleichstrombelastung arbeitenden Umformer werden graphisch durch das Quadrat  $OAGF$  dargestellt.

Diese Darstellung gibt uns somit einen guten Überblick über die ungleiche Verteilung der Verluste. Ein Nachteil ist, daß die Figur nicht ohne weiteres für eine beliebige Phasenverschiebung zwischen Wechselstrom und Wechselspannung verwendet werden kann. Für konstante Gleichstromleistung muß dann nämlich der Durchmesser des Kreises, der den Wechselstrom darstellt, im Verhältnis  $1:\cos\psi$  vergrößert werden. Wir haben also eine neue Figur für jede Phasenverschiebung zu zeichnen (entsprechend den Kurven in Fig. 467). Der Winkel  $BOA$  ist dann gleich  $\alpha + \psi$ .

Man kann den Inhalt der Fläche auch analytisch ausdrücken und durch Integration den mittleren Verlust berechnen; selbstverständlich führt das zu dem gleichen Resultat als die oben durchgeführte analytische Rechnung.

Da der Flächeninhalt ein Maß für die Erwärmung einer Spule ist, so sieht man, daß diese um so größer ist, je größer  $\alpha + \psi$  ist, und zwar kommt es nur auf den absoluten maximalen Wert von  $\alpha + \psi$  an, und nicht auf das Vorzeichen.

Für  $\psi = 0$  werden somit die Spulen, die den Anschlußpunkten der Schleifringe am nächsten liegen, gleich heiß und heißer als irgendeine andere Spule.

Für einen positiven Wert von  $\psi$  (Phasenverspätung) wird  $\alpha + \psi$  am größten für den größten positiven Wert von  $\alpha$ , also für diejenige Endspule der Phase, die am frühesten kommutiert wird. Diese wird dann am heißesten. Umgekehrt wird für  $\psi$  negativ (Phasenvoreilung) die letzte Spule der Phase die größten Verluste aufweisen.

Aus obigen Gründen müssen die Anschlüsse sorgfältig ausgeführt werden. Die Ableitungen sollen nicht allein angelötet, sondern auch vernietet werden.

## 176. Die Oberströme.

Die Stromwärmeverluste, herrührend von dem Wattstrom, setzen sich erstens aus denen der Oberströme zusammen und zweitens aus einem Verlust, der abhängig ist von der Phasenzahl. Der letztere ist bei Einphasenumformern sehr groß und nimmt dann sehr schnell mit zunehmender Phasenzahl ab, denn wie die Tabelle (S. 713) zeigt, sind die Kupferverluste eines Einphasenumformers ca. 40% größer als diejenigen einer Gleichstrommaschine. In allen übrigen Umformern sind die Kupferverluste dagegen bedeutend kleiner als diejenigen einer Gleichstrommaschine. Bei

großer Phasenzahl und bei Phasengleichheit sind die Kupferverluste nur 19% der einer gleichgroßen Gleichstrommaschine.

Die oben abgeleiteten Beziehungen gelten nur unter der Annahme, daß die Kurvenformen der zugeführten Wechselspannung und der im Umformeranker induzierten Wechsel-EMK einander gleich sind. Dies trifft in den meisten Fällen zu. Ist es nicht der Fall, so werden Oberströme fließen, und zwar fast dieselben bei Leerlauf wie bei Belastung. Diese Oberströme können die Verhältnisse  $\frac{E_w}{E_g}$  und  $\frac{E_l}{E_g}$  nur wenig ändern, denn die Spannungsabfälle, bedingt durch Oberströme, haben wenig Einfluß auf die effektive Spannung. Die durch die Verschiedenheit der Kurvenformen bedingten Oberströme addieren sich zu denen, die von der Rechteckform des Gleichstromes herrühren. Dadurch können die Verluste durch Stromwärme in der Ankerwicklung entweder stark vergrößert oder verkleinert werden. Es ist wegen des schädlichen Einflusses der Oberströme in synchronen Betrieben stets anzuraten, möglichst sinusförmige EMK-Kurven anzustreben; denn selbst wenn man bei einer komplizierten Kurvenform bei einer gewissen Phasenverschiebung die Verluste im Umformeranker verkleinern konnte, so wurde dies bei anderen Phasenverschiebungen nicht zutreffen und der erzielte Vorteil ist außerdem sehr gering.

---

## Achtundzwanzigstes Kapitel.

### Spannungsabfall und Ankerrückwirkung eines Umformers.

177. Die Pulsation der Gleichspannung eines Umformers. — 178. Der Spannungsabfall eines Umformers. — 179. Der wattlose Strom und die Felderregung eines Umformers.

#### 177. Die Pulsation der Gleichspannung eines Umformers.

a) Spannungsschwankungen, herrührend von dem Ohmschen Spannungsabfall in der Ankerwicklung. Betrachten wir einen Ein-, Vier- oder Sechphasenumformer, so ist es leicht einzusehen, daß in dem Momente, in dem die Anschlußpunkte einer Phase unter den Kommutatorbursten liegen, die Spannungsgleichung

$$P_g = \frac{P_w}{u_z} - \Delta P$$

exakt richtig ist. Dies trifft aber nicht für andere Lagen der Anschlußpunkte den Kommutatorbürsten gegenüber genau zu, selbst wenn die dem Umformer aufgedrückte Spannung sinusförmig ist. Befindet sich nämlich eine Bürste in der Mitte zwischen zwei Anschlußpunkten, so hat die Gleichspannung ihren kleinsten Wert, weil für diese Lage der in Gleichstrom umgeformte Wattstrom  $J_w$  hier den größten Weg durch die Ankerwicklung zu machen hat. Die Variation der Gleichspannung, herrührend von dem Ohmschen Spannungsabfall des Wattstromes in der Ankerwicklung, wird nicht von den in den Ankerspulen fließenden Oberströmen verursacht, denn bei gleich großer Phasenzahl wie Lamellenzahl des Kommutators hat man keine Variation in der Gleichspannung, trotzdem die Oberströme hier ebenso groß sind, wie bei dem Dreiphasenumformer. Es kann somit nur der in den Ankerspulen fließende Wattstrom zu Spannungsschwankungen an der Gleichstromseite An-

laß geben. Die Stromwärmeverluste des Wattstromes und der Oberströme ergeben sich aus der Formel 455a, für  $v_i = 0$ , zu:

$$J_g^2 R_a \left( 1 + u_i^2 - \frac{16}{\pi^2} \right),$$

während

$$J_g^2 R_a \left( 1 - \frac{8}{\pi^2} \right)$$

gleich dem Stromwärmeverlust der Oberströme ist.

Es ist somit der Stromwärmeverlust, herrührend von dem Wattstrom in den Ankerspulen allein, gleich

$$J_g^2 R_a \left( u_i^2 - \frac{8}{\pi^2} \right)$$

und der mittlere Spannungsabfall gleich

$$J_g R_a \sqrt{u_i^2 - \frac{8}{\pi^2}} \cdot \cdot \cdot \cdot \cdot \cdot \quad (456)$$

Der kleinste Spannungsabfall ist Null und der maximale angenähert  $\frac{\pi}{2}$  mal so groß als der mittlere, weil die Gleichspannung nach einer Sinuskurve variiert. Die Spannungsschwankung an der Gleichstromseite, herrührend von den verschiedenen Lagen der Anschlußpunkte gegenüber den Kommutatorbürsten, ist somit angenähert gleich

$$\frac{\pi}{2} J_g R_a \sqrt{u_i^2 - \frac{8}{\pi^2}},$$

welcher Wert für eine sehr große Phasenzahl verschwindet (s. Gl. 448). Unter Annahme einer sinusförmigen Feldkurve erhalten wir für die verschiedenen Phasenzahlen die folgenden Werte

	Ein- phasen	Drei- phasen	Vier- phasen	Sechs- phasen	Zwölf- phasen	Sehr viele Phasen
$\frac{\pi}{2} \sqrt{u_i^2 - \frac{8}{\pi^2}} =$	1,71	0,97	0,68	0,42	0,20	0

Beträgt der prozentuale Spannungsabfall in der Ankerwicklung einer Gleichstrommaschine 2%, so wird die Gleichspannung dieser Maschine, als Einphasenumformer arbeitend, eine prozentuale Schwankung von  $2 \cdot 1,71 = 3,42\%$ , und als Sechspanumformer von nur 0,84% haben. Die Schwankung der Gleichspannung, herrührend von den verschiedenen Lagen der Anschlußpunkte gegenüber den Kommutatorbürsten, ist somit besonders bei den Mehrphasenumformern klein und im Betriebe kaum merkbar.

Die Periodenzahl, mit der die Gleichspannung schwankt, ist  $m$ mal größer als diejenige des Umformers, wenn  $m$  die Zahl der Schleifringe bezeichnet.

**b) Spannungsschwankungen, herrührend von den Oberfeldern der Ankerströme.** Es können aber auch aus anderen Gründen, selbst wenn die dem Umformer aufgedruckte Spannung sinusförmig ist, Schwankungen in der Gleichspannung entstehen. Es treten nämlich im Umformer Oberfelder auf, die, wie wir in Kap. I gesehen haben, in der Erregerwicklung EMKe höherer Periodenzahl induzieren. In genau gleicher Weise induzieren diese Oberfelder auch EMKe höherer Periodenzahl in der Ankerwicklung, und zwar zwischen den Kommutatorbürsten. Diese EMKe in der Feld- und Ankerwicklung können unter Umständen sehr groß werden und zu großen Schwankungen der Gleichspannung Anlaß geben.

Das  $x$ te Oberfeld hat (siehe WT III, 2. Aufl., S. 269) eine maximale MMK

$$F_x = 0,45 f_{wx} \frac{m J w}{p x}.$$

Es verhält sich somit die MMK des  $x$ ten Oberfeldes zu der des Grundfeldes wie

$$f_{wx} : x f_{w1}.$$

Mittels der Tabellen der Wicklungsfaktoren in WT III sind die maximalen MMKe der verschiedenen Felder der Ankerströme in Prozenten der MMK des Grundfeldes in dieser Weise berechnet und in der folgenden Tabelle eingetragen.

	Gleich- strom	Einphasenstrom		Drei- phasen- strom	Vier- phasen- strom	Sechs- phasen- strom
		synchron	invers			
Grundfeld . . .	100%	100%	100%	100%	100%	100%
3. Oberfeld . .	−11,1%	−11,1%	−11,1%	0%	+11,1%	0%
5. Oberfeld . .	+4,0%	+4,0%	+4,0%	−4,0%	−4,0%	+4,0%
7. Oberfeld . .	−2,04%	−2,04%	−2,04%	+2,04%	−2,04%	−2,04%

Bei Phasengleichheit und unter Vernachlässigung der Verluste im Umformer hebt das Grundfeld des Gleichstromes sich mit dem synchron rotierenden Grundfeld des zugeführten Wechselstromes vollständig auf, da auf den Anker kein Drehmoment ausgeübt wird. Dies trifft auch für einen Teil der Oberfelder zu; z. B. kann im Sechspanenumformer bei Phasengleichheit kein fünftes und siebentes Oberfeld zustande kommen, weil die betreffenden MMKe des erzeugten Gleichstromes denen des zugeführten Sechspanenstromes gleich- und entgegengesetzt gerichtet sind.

Wir können auf diese Weise mittels der obigen Tabelle, indem wir die Differenz zwischen den Feldern des betreffenden Mehrphasenstromes und denjenigen des Gleichstromes bilden, die maximalen MMKe der in den verschiedenen Umformern auftretenden Oberfelder ermitteln; diese sind in der folgenden Tabelle in Prozenten der MMK des Grundfeldes zusammengestellt.

	Einphasen- umformer	Dreiphasen- umformer	Vierphasen- umformer	Sechphasen- umformer
Grundfeld . . . . .	100%	0%	0%	0%
3. Oberfeld . . . . .	— 11,1%	11,1%	22,2%	11,1%
5. Oberfeld . . . . .	+ 4,0%	— 8,0%	— 8,0%	0%
7. Oberfeld . . . . .	— 2,04%	+ 4,08%	0%	0%

Wie ersichtlich, sind die MMKe dieser Oberfelder nicht vernachlässigbar klein. Da diese Felder nicht synchron mit dem Anker rotieren, induzieren sie in dem Magnetsystem Wirbelströme und in der Erregerwicklung Wechselströme. Diese Wechselströme schwächen die Oberfelder ab und induzieren wieder in der Ankerwicklung EMKe höherer Periodenzahl, die zu Schwankungen der Gleichspannung Anlaß geben. Besonders bei Einphasensynchronmotoren und Einphasenumformern kann man starke Stromschwankungen mittels wenig gedämpften Amperemeters im Erregerstromkreise beobachten. Um diese Oberfelder abzudämpfen, wendete man bei Umformern früher oft gußeiserne Polschuhe an. Durch die in diesen entstehenden Wirbelströme werden die Feldpulsationen gedämpft. Es treten aber auch, herrührend von den Kraftflußkontraktionen, die durch weite Nuten bedingt werden, große Wirbelstromverluste auf, die den Wirkungsgrad herunterdrücken. Es ist deswegen zweckmäßiger, lamellierte Polschuhe, von Kupferbolzen durchquert, anzuwenden. Mit Rücksicht auf die Feldpulsationen ist der Sechphasenumformer der günstigste, so daß der Wirkungsgrad eines solchen nicht allein wegen des kleineren Stromwärmeverlustes im Anker, sondern auch wegen des kleineren Wirbelstromverlustes in dem Magnetsysteme höher als der des Dreiphasenumformers liegt.

#### c) Spannungsschwankungen, herrührend von Oberströmen.

Treten aus irgendeiner Ursache (z. B. herrührend von deformierten Spannungskurven oder großen Oberfeldern) Oberströme im Umformer auf, so erzeugen diese starke Feldpulsationen, die starke Spannungsschwankungen zur Folge haben. Arbeitet der Umformer auf eine Akkumulatorenbatterie, die sich den Wechselströmen gegenüber wie ein Kondensator verhält, so werden die Spannungsschwankungen

im allgemeinen erhöht. Die Kapazitätsreaktanz der Akkumulatoren-batterie verkleinert nämlich die gesamte Reaktanz des aus dem Umformeranker und der Akkumulatorenbatterie bestehenden Stromkreises, in dem die von der Feldpulsation induzierten Wechselströme fließen.

### 178. Der Spannungsabfall eines Umformers.

Die in Kapitel XXVII abgeleiteten Verhältnisse  $u_z = \frac{E_w}{E_g}$  und  $u_l = \frac{E_l}{E_g}$  beziehen sich auf die im Umformeranker von dem Kraftfluß  $\Phi$  induzierten EMKe. Diese Verhältnisse werden sich bei einer gegebenen Maschine ein wenig ändern, sobald diese an das Wechselstromnetz angeschlossen wird, und zwar wegen der Oberströme, die von einer Verschiedenheit der Kurvenform der Netzspannung und der Kurvenform der induzierten EMK herrühren. Diese Änderung ist jedoch bei einem Mehrphasenumformer von Leerlauf bis Belastung praktisch zu vernachlässigen. Etwas anders ist es aber mit dem Verhältnis zwischen den Klemmenspannungen. Dieses ändert sich mit der Belastung.

Um das Verhältnis zwischen der Wechselspannung und der Gleichspannung bei Belastung zu bestimmen, gehen wir von dem Potentialdiagramm am Kommutator aus. Dieses wird bei sinusförmiger Feldkurve durch eine Sinuskurve dargestellt. Da die Schleifringe fast direkt an die Kommutatorlamellen angeschlossen sind, ist die Amplitude der Potentialkurve am Kommutator mit großer Annäherung  $\sqrt{2}$  mal größer als die Spannung  $P_w$  zwischen zwei diametralen Anschlußpunkten (in einem zweipoligen Schema). Stehen die Kommutatorbürsten in der neutralen Zone, d. h. am Scheitel der Potentialkurve, so wird die Gleichspannung

$$P_g = \sqrt{2} P_w - \Delta P - J_g R_a \sqrt{u_z^2 - \frac{8}{\pi^2}} \quad . \quad (457)$$

wo  $\Delta P$  den Spannungsverlust unter den Bürsten bedeutet. Dieser beträgt für die Bürsten beider Polaritäten bei Normallast zusammen 1,5 bis 2,5 Volt je nach der Härte der Kohlen. Das letzte Glied

$$J_g R_a \sqrt{u_z^2 - \frac{8}{\pi^2}}$$

ist, wie wir im vorigen Abschnitt gefunden haben, ein Maß für den mittleren Spannungsverlust in der Ankerwicklung. Weicht die Feld-

kurve von der Sinusform ab, so erhält man die allgemein gültige Beziehung zwischen den beiden Spannungen

$$P_g = \frac{P_u}{u_r} - I P - J_g R_a \sqrt{u_i^2 - \frac{8}{\pi^2}} \quad . \quad . \quad . \quad (458)$$

Die Gleichspannung ändert sich somit nur wenig von Leerlauf bis Belastung, und zwar annähernd nach einer geraden Linie.

Was den Einphasenumformer anbetrifft, so verhält er sich bei Synchronismus fast vollständig wie ein Mehrphasenumformer. Es tritt nur außer dem synchronen Drehfelde des Ankerstromes noch das inverse Drehfeld auf. Dieses macht sich durch eine Erhöhung der Streuinduktion und der von dem Ankerstrom her ruhenden Wirbelstromverluste bemerkbar und wirkt störend auf die Kommutation ein. Man sucht es deswegen mittels Dampferwicklungen (Amortisseure) möglichst abzdampfen. Die Wirbelstromverluste, herrührend von dem Ankerstrom, haben im Umformer wie in einer Gleichstrommaschine wenig Einfluß auf die Klemmenspannung. Diese Verluste sollen deswegen nur in dem Wirkungsgrad berücksichtigt werden.

### 179. Der wattlose Strom und die Felderregung eines Umformers.

Aus dem Spannungsdiagramm eines Synchronmotors (Fig. 170) haben wir die Gleichung abgeleitet:

$$P^2 = (E + J_w r_a + J_{wl} x_2)^2 + (J_w x_3 - J_{wl} r_a)^2.$$

$J_w x_3 = J_w (x_{s3} + x_{s1})$  entspricht der von dem Querfelde und dem Streufluß des Wattstromes induzierten EMK. Da das auf den Anker ausgeübte Drehmoment nur zur Überwindung der Reibungs- und Eisenverluste dient, so ist das Querfeld sehr klein und  $J_w x_{s3}$  kann vernachlässigt werden.

Was die vom Streufluß des Wattstromes induzierte EMK  $J_w x_{s1}$  anbetrifft, so ist diese Größe sehr klein, denn der effektive in einer Ankerspule fließende Wattstrom der Grundperiode ist fast verschwindend klein. Der Ohmsche Spannungsabfall  $J_{wl} r_a$  des wattlosen Stromes ist auch eine kleine Größe, so daß das zweite Glied  $(J_w x_3 - J_{wl} r_a)$  in der obigen Formel für  $P$  aus diesen Gründen sehr viel kleiner als das erste Glied wird. Für einen Umformer läßt sich die Spannungsgleichung deswegen mit genügender Genauigkeit wie folgt schreiben:

$$P_w = E + J_w r_a + J_{wl} x_2 \quad . \quad . \quad . \quad (459)$$



$E$  ist die EMK, die induziert wird von dem primären, durch die Gleichstromerregung erzeugten Kraftfluß.

Der wattlose Strom  $J_{wl}$ , den der Umformer aufnimmt, ist somit fast vollständig unabhängig von der Belastung ( $J_w$ ) und nur abhängig von der EMK  $E$ , d. h. von der Erregung des Umformers.

Bezogen auf eine Phase der auf Sternschaltung reduzierten Umformerwicklung lautet obige Formel

$$\frac{P_w}{2} = \frac{E}{2} + \frac{J_g R_a}{2} \sqrt{\frac{u_i^2 - \frac{8}{\pi^2}}{2}} + J_{wl}(x'_{s1} + x'_{s2}), \quad (460)$$

denn auf der Gleichstromseite haben wir einen mittleren Ohmschen Spannungsabfall in der Ankerwicklung gleich  $J_g R_a \sqrt{\frac{u_i^2 - \frac{8}{\pi^2}}{2}}$ . Auf der Wechselstromseite haben wir dann zwischen diametralen Punkten einen mittleren Ohmschen Spannungsabfall

$$J_w r_a = \frac{P_w}{P_g} J_g R_a \sqrt{\frac{u_i^2 - \frac{8}{\pi^2}}{2}} = J_g R_a \sqrt{\frac{u_i^2 - \frac{8}{\pi^2}}{2}},$$

also pro Phase

$$\frac{J_g R_a}{2} \sqrt{\frac{u_i^2 - \frac{8}{\pi^2}}{2}}.$$

Die Reaktanz des wattlosen Stromes setzt sich aus zwei Teilen zusammen, nämlich aus der Reaktanz  $x'_{s1}$  des Streuflusses und aus der Reaktanz  $x'_{s2}$  des längsmagnetisierenden Flusses. Diese Größen sind mit einem Strich versehen, um anzudeuten, daß sie sich auf die auf Sternschaltung reduzierte Umformerwicklung beziehen.

Es ist

$$\frac{E}{2} + J_{wl} x'_{s2} = \frac{E_w}{2},$$

d. h. gleich der vom totalen Längsfeld induzierten EMK. Es wird somit

$$P_w = E_w + J_g R_a \sqrt{\frac{u_i^2 - \frac{8}{\pi^2}}{2}} + 2 J_{wl} x'_{s1} \quad (461)$$

Es ist nun leicht, die einem wattlosen Strom  $J_{wl}$  entsprechende Erregung und umgekehrt den irgendeiner Erregung entsprechenden wattlosen Strom  $J_{wl}$  zu bestimmen.

Man berechnet zunächst die längsmagnetisierenden Ampere-  
windungen

$$AW_e = k_0 f_{w1} m w J_{wl}$$

und die Streureaktanz  $x'_{s1}$ .

Ist  $m$  ungerade, so ist die Reaktanz einer Phase der wirklichen  
Umformerwicklung

$$x_{s1} = \left(1 + \cos \frac{\pi}{m}\right) \frac{4 \pi c \left(\frac{N}{2 a m}\right)^2}{p q 10^8} \Sigma (l_x \lambda_x),$$

wo der Faktor  $\left(1 + \cos \frac{\pi}{m}\right)^1$  den Einfluß der übrigen Phasen auf  
die Reaktanz der betrachteten Phase berücksichtigt.

Ist  $m$  gerade, so ist  $\left(1 + \cos \frac{\pi}{m}\right)$  durch 2 zu ersetzen.

Die Reduktion der Reaktanz auf Sternschaltung geschieht durch  
Division durch  $\left(2 \sin \frac{\pi}{m}\right)^2$ , also

$$x'_{s1} = \frac{2 \left[ \text{bzw.} \left(1 + \cos \frac{\pi}{m}\right) \right] 4 \pi c \left(\frac{N}{2 a m}\right)^2}{4 \sin^2 \frac{\pi}{m} p q 10^8} \Sigma (l_x \lambda_x) \quad . \quad (462)$$

Da  $J_{wl} = 2 \sin \frac{\pi}{m} J_{wl}$ , kann man Formel 461 auch schreiben:

$$P_w = E_w + J_g R_a \sqrt{\frac{u_i^2 - \frac{8}{\pi^2}}{2}} + J_{wl} \frac{2 \left[ \text{bzw.} \left(1 + \cos \frac{\pi}{m}\right) \right] 4 \pi c \left(\frac{N}{2 a m}\right)^2}{\sin \frac{\pi}{m} p q 10^8} \Sigma (l_x \lambda_x) \quad . \quad (463)$$

Man trägt nun die Spannung

$$P_w - J_g R_a \sqrt{\frac{u_i^2 - \frac{8}{\pi^2}}{2}} = \overline{OA} = \overline{BC}$$

in die Leerlaufcharakteristik (Fig. 470) ein und subtrahiert davon  
die EMK des Streufusses

$$\overline{CD} = 2 J_{wl} x'_{s1} = 4 \sin \frac{\pi}{m} J_{wl} x'_{s1}.$$

<sup>1)</sup> Für  $m = 3$  wird  $1 + \cos \frac{\pi}{m} = 1,5$  (vgl. S. 18).

Die Differenz dieser EMKe ist gleich

$$\overline{BD} = P_w - J_g R_a \sqrt{\frac{u_s^2 - \frac{8}{\pi^2}}{2}} - 2 J_{wl} x'_s = E_w.$$

$E_w$  ist die EMK, die von dem resultierenden Hauptkraftfluß (dem totalen Langsfeld) in einer Doppelphase (bzw. zwischen zwei diametralen Anschlußpunkten) induziert wird.

Um diese EMK zu induzieren, sind die Amperewindungen  $\overline{OF}$  nötig. Da der Umformer als Synchronmotor arbeitet, unterstützt der phasenverspatete Strom, den der Motor aufnimmt, die Erregung des Feldes.

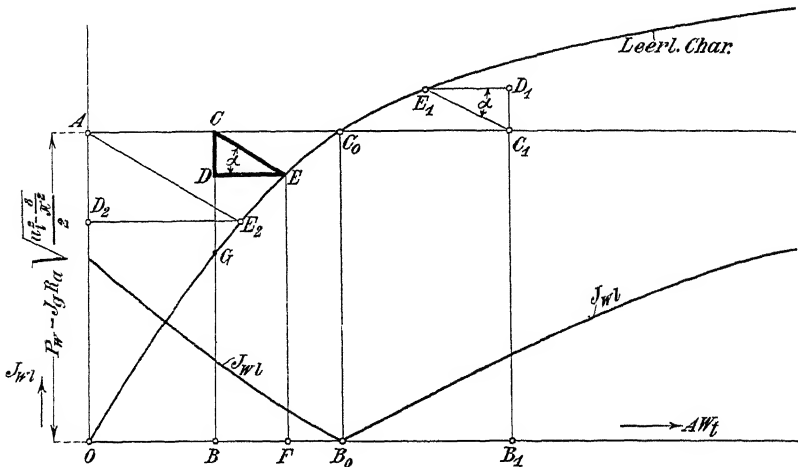


Fig 470. Diagramm für die Bestimmung des wattlosen Stromes eines Umformers.

Die Feldamperewindungen  $\overline{OB}$  ergeben sich deswegen durch Subtraktion der längsmagnetisierenden Amperewindungen  $AW_e$  von  $\overline{OF}$

$$\overline{OB} = \overline{OF} - AW_e.$$

Die den Amperewindungen  $\overline{OB}$  entsprechende EMK  $\overline{BG}$  ist gleich der EMK  $E$  des Umformers, die in Gl. 459 vorkommt.

Wie aus der Figur ersichtlich, sind die Seiten des Dreieckes  $CDE$  proportional dem wattlosen Strom  $J_{wl}$ . Alle Dreiecke  $CDE$  sind deswegen ähnlich, woraus die folgende einfache Konstruktion zur Bestimmung des wattlosen Stromes eines Umformers sich ergibt.

Man trägt in die Leerlaufcharakteristik die Erregeramperewindungen  $\overline{AC}_1 = \overline{OB}_1$  ein und zieht durch den Punkt  $C_1$  eine Linie

parallel zu  $\overline{CE}$ . Das zwischen der horizontalen Linie  $\overline{AC_1}$  und der Leerlaufcharakteristik abgeschnittene Stück  $C_1 D_1$  ist ein Maß für den wattlosen Strom  $J_{wl}$ . Den größten wattlosen Strom erhält man für  $i_e = 0$ , und dieser ist proportional  $AD_2$ . In der Fig. 470 ist der wattlose Strom  $J_{wl}$  als Funktion der Erreger-AW aufgetragen.  $J_{wl}$  ist phasenverspatet (links von  $B_0$ ), wenn

$$E_w < P_w - J_g R_a \sqrt{\frac{u_i^2 - \frac{8}{\pi^2}}{2}}$$

und phasenverfrüht (rechts von  $B_0$ ), wenn

$$E_w > P_w - J_g R_a \sqrt{\frac{u_i^2 - \frac{8}{\pi^2}}{2}}.$$

Ein untererregter Umformer nimmt somit einen nacheilenden, ein übererregter Umformer einen voreilenden wattlosen Strom auf; oder man kann auch sagen, daß der übererregte Umformer einen nacheilenden wattlosen Strom an das Netz liefert.

Wie aus der Konstruktion der Fig. 470 ersichtlich, kann der wattlose Strom nicht beliebig erhöht werden. Je stärker der Umformer bei Phasengleichheit gesättigt wird, um so kleiner wird der phasenverfrühte Strom, den der Umformer aufnehmen kann.

## Neunundzwanzigstes Kapitel.

### Die Spannungsregulierung und die charakteristischen Kurven eines Umformers.

180. Spannungsregulierung — 181. Die Leerlaufcharakteristik. — 182. Die äußere Charakteristik. — 183 Die Belastungscharakteristik — 184 Die V-Kurven

#### 180. Spannungsregulierung.

Wir haben gesehen, daß das Verhältnis zwischen induzierter Wechselfspannung und Gleichspannung bei einem gegebenen Einankerumformer sich nur äußerst wenig ändert, und daß auch die

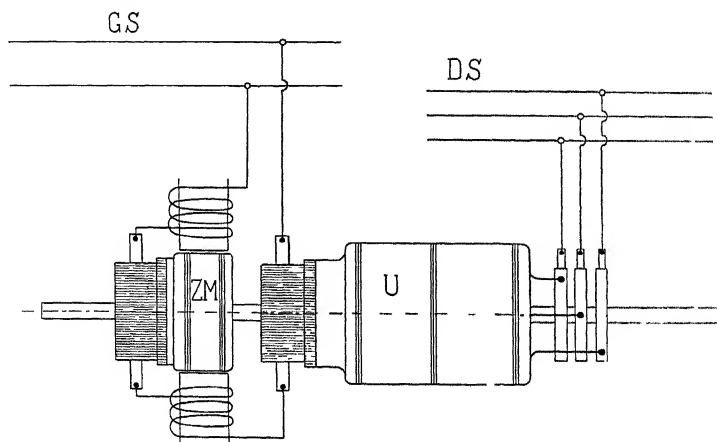


Fig. 471. Schema für die Spannungsregulierung mittels einer Gleichstrom-zusatzmaschine.

Klemmenspannung nur wenig von der induzierten EMK abweicht. Eine Änderung der Erregung bewirkt eine Änderung des wattlosen Stromes, nicht aber eine Änderung der Gleichspannung, wie bei

gewöhnlichen Gleichstromgeneratoren. Um dennoch die Gleichspannung der Sammelschienen ändern zu können, kann man eine Gleichstromzusatzmaschine verwenden, nach Fig. 471. Die Zusatzmaschine wird mit Hauptschluß- oder mit Nebenschlußerregung versehen, je nachdem die Regulierung der Spannung durch den Belastungsstrom besorgt, oder unabhängig von diesem vorgenommen werden soll.

Diese Anordnung hat den großen Nachteil, daß die Zusatzmaschine einen fast ebenso großen Kommutator wie der Umformer nötig hat. Sie wird aber bisweilen bei kleineren Umformern und bei Umformern zum Laden von Akkumulatorenbatterien, wo man eine um ca. 40% höhere Spannung als die normale nötig hat, verwendet. In letzterem Falle braucht man nur eine Zusatzmaschine und setzt dieselbe nicht auf die Welle eines Umformers, sondern treibt sie durch einen besonderen Motor an.

Es ist aber auch möglich die Gleichspannung des Umformers selbst zu ändern, und zwar:

1. durch Regulierung der dem Umformer zugeführten Wechselspannung,
2. durch Änderung des Übersetzungsverhältnisses zwischen Gleich- und Wechselspannung.

Die letzte Methode führt zu den Spaltpolumformern, die in Abschnitt 195 besonders behandelt sind.

Wir wollen nun die verschiedenen Methoden zur Regulierung der dem Umformer zugeführten Wechselspannung behandeln.

**a) Änderung des Übersetzungsverhältnisses des Transformators (Reguliertransformator).** In Abschnitt 169 haben wir gesehen, daß Einankerumformer fast ausschließlich in Verbindung mit stationären Transformatoren vorkommen. Bei konstanter primärer Spannung

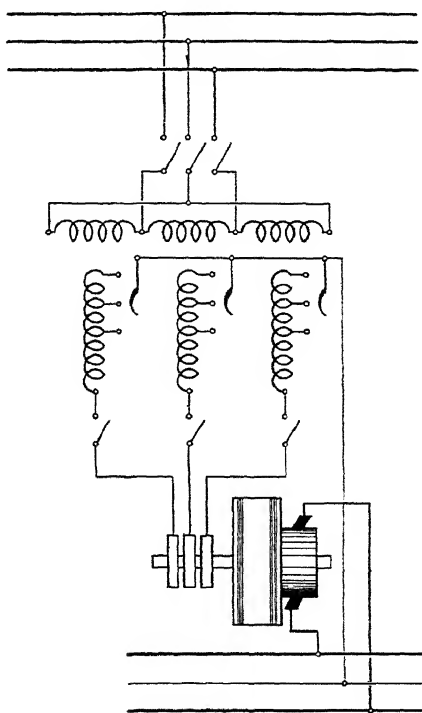


Fig. 472. Schaltungsschema eines Einankerumformers mit Reguliertransformator.

kann die sekundäre Spannung geändert werden durch Änderung der primären Windungszahl oder durch Änderung der sekundären Windungszahl. Letztere Anordnung ist in Fig. 472 schematisch dargestellt.

Diese Methode wird in der Praxis wenig verwendet; bei Änderung der primären Windungszahl wären bei Hochspannung Ölschalter nötig, bei der Anordnung nach Fig. 472 werden bei großer Leistung die umzuschaltenden Stromstärken zu groß. Auch kann die Spannung nicht feinstufig reguliert werden.

**b) Vorgeschaltete Reaktanz (Kompoundierung).** Auf S. 724 haben wir gesehen, daß eine Feldänderung beim Einankerumformer eine Änderung des wattlosen Stromes bedingt. Schalten wir nun eine Drosselspule vor den Umformer, so bedingt ein phasenverspäteter Strom (bei Untererregung) eine Spannungserniedrigung, umgekehrt aber ein phasenverfrühter Strom (bei Übererregung) eine Spannungserhöhung an den Schleifringen des Umformers.

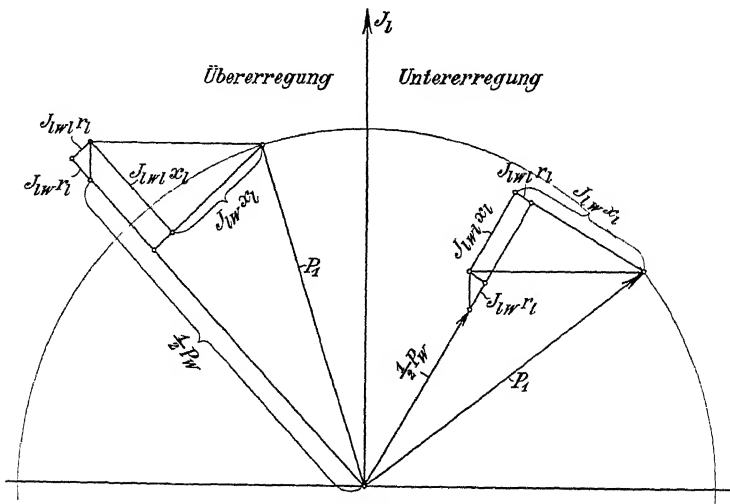


Fig 473.

Bei Straßenbahnbetrieb wendet man deswegen oft aufkompoundierende Windungen auf dem Felde des Umformers an, wenn man ihn überkompoundieren will, und Gegenkompoundwindungen, wenn der Umformer parallel mit Pufferbatterien arbeiten soll.

Die Änderung der doppelten Phasenspannung  $P_w$  an den Umformerklammern kann folgendermaßen berechnet werden. Sei  $P_1$  die konstante Netzspannung pro Phase,  $x_i$  die Reaktanz und  $r_i$  der Widerstand zwischen den Klemmen des Wechselstromnetzes

und der Umformerwicklung ebenfalls pro Phase, so können wir aus Fig. 473 folgende Gleichung für die Umformerspannung entnehmen:

$$P_1^2 = \left(\frac{1}{2} P_w + J_{lw} r_l + J_{lwl} x_l\right)^2 + (J_{lw} x_l - J_{lwl} r_l)^2.$$

In dieser Formel ist  $J_{lwl}$  positiv zu rechnen für Phasennacheilung von  $J_l$  gegen  $P_w$ , negativ für Phasenvoreilung.

Hieraus ergibt sich bei Vernachlässigung von  $J_{lwl} r_l$

$$P_1 = \left(\frac{1}{2} P_w + J_{lw} r_l + J_{lwl} x_l\right) \sqrt{1 + \left(\frac{J_{lwl} x_l}{\frac{1}{2} P_w + J_{lw} r_l + J_{lwl} x_l}\right)^2}$$

und indem man die Wurzel in eine Reihe entwickelt

$$P_1 \cong \frac{1}{2} P_w + J_{lw} r_l + J_{lwl} x_l + \frac{J_{lwl}^2 x_l^2}{P_w}.$$

Die Änderung der Spannung wird somit

$$\left(\frac{1}{2} P_w - P_1\right) = -J_{lwl} x_l - J_{lw} r_l - \frac{J_{lwl}^2 x_l^2}{P_w}. \quad (464)$$

Bei Leerlauf ist der Wattstrom zu vernachlässigen, man erhält also

$$\left(\frac{1}{2} P_{w0} - P_1\right) = -J_{lwl0} x_l.$$

Das negative Vorzeichen des zweiten Gliedes deutet an, daß der wattlose Strom voreilend ist, wenn das erste Glied positiv, d. h.  $\frac{1}{2} P_{w0} > P_1$  ist, wie das auch der Fall sein muß.

Wünscht man, daß die Phasenspannung sich um  $\frac{\Delta P_w}{2}$  von Leerlauf bis Belastung erhöhen soll, so muß

$$\frac{\Delta P_w}{2} = \frac{1}{2} P_w - \frac{1}{2} P_{w0} = -(J_{lwl} - J_{lwl0}) x_l - J_{lw} r_l - \frac{J_{lwl}^2 x_l^2}{P_w} \quad (465)$$

oder die Änderung des wattlosen Stromes von Leerlauf bis Belastung gleich

$$J_{lwl} - J_{lwl0} = \Delta J_{lwl} = -\frac{1}{x_l} \left( \frac{1}{2} \Delta P_w + J_{lw} r_l + \frac{J_{lwl}^2 x_l^2}{P_w} \right) \quad (466)$$

sein.

Ist  $\Delta P_w$  positiv (Überkompoundierung), so ist die Änderung des wattlosen Stromes ( $\Delta J_{lwl}$ ) negativ, d. h. der wattlos nacheilende Strom nimmt von Leerlauf bis Belastung ab bzw. der wattlos voreilende Strom zu. Meistens werden die Umformer so dimensioniert, daß  $J_{lwl}$  positiv ist bei Leerlauf und negativ bei Vollast; bei einer mittleren Belastung (etwa  $\frac{3}{4}$ ) herrscht dann Phasengleichheit an den Wechselstromklemmen.

Aus Formel 465 ersehen wir, daß ein zu großer Wert von  $x$



zwecks Spannungserhöhung nicht richtig funktioniert, da dann das Glied mit  $x_i^2$  zu groß wird. Es ist auch wegen der Überlastungsfähigkeit des Umformers nicht erwünscht, daß die Reaktanzspannung der Drosselspule für den Wattstrom groß wird; andererseits soll aber auch  $\Delta J_{lw}$  nicht zu groß werden, da dies zu bedeutenden Verlusten in der Ankerwicklung führt. Man muß deswegen einen Kompromiß zwischen  $\Delta J_{lw}$  und  $x_i$  eingehen.

Wählt man z. B. die Änderung des wattlosen Stromes zu 50% des Wattstromes und 15% Spannungsänderung, also

$$\Delta J_{lw} = 0,5 J_{lw} \quad \text{und} \quad \Delta P_w = 0,15 P_w,$$

so wird

$$0,5 J_{lw} x_i \cong 0,15 \frac{P_w}{2}$$

oder

$$J_{lw} x_i \cong 0,3 \frac{P_w}{2}.$$

Die Reaktanzspannung des Wattstromes beträgt somit 30% der Spannung  $\frac{P_w}{2}$ .

Da die Umformerwicklung selbst eine kleine Streureaktanz hat, wird eine Erregungsänderung auch dadurch schon eine kleine Änderung der Klemmenspannung zur Folge haben. Die dem Vollaststrom entsprechende Streureaktanzspannung normaler Umformer beträgt jedoch nur etwa 5% der gesamten Spannung. Man kann nun die erforderliche Reaktanz statt in die Drosselspulen auch direkt in die Transformatoren verlegen, die somit absichtlich mit großer Streuung gebaut werden und als Streutransformatoren bekannt sind. Wenn keine besonders großen Anforderungen in bezug auf Regulierung gestellt werden, werden die Umformertansformatoren von einigen der größten Firmen normal mit etwa 10% Reaktanzspannung gebaut.

Die Hauptschlußwindungen lassen sich in folgender Weise bestimmen.

Man ermittelt zuerst die Spannung  $P_{g0}$  und den wattlosen Strom ( $J_{lw0}$  bzw.  $J_{w0}$ ) bei Leerlauf. Die im Umformeranker bei Leerlauf vom Hauptkraftfluß zu induzierende EMK ist gleich:

$$E_{g0} = P_{g0} - 2\sqrt{2} J_{lw0} x'_{s1} \dots \dots \dots (467)$$

wo  $2x'_{s1}$  die Streureaktanz der Ankerwicklung des Umformers zwischen zwei diametralen Punkten bedeutet<sup>1)</sup>. Um das der erforderlichen EMK entsprechende Feld zu erzeugen, ist eine Ampere-

<sup>1)</sup> Vgl. S. 725.

windungszahl  $AW'_0$  nötig, und die Feldamperewindungen bei Leerlauf sind deswegen gleich:

$$AW_{t0} = AW'_0 - AW_{e0},$$

wo  $AW_{e0} = k_0 f_{w1} m w J_{wl0} = k_0 f_{w1} \frac{N}{2a} J_{wl0}$  die ruckwirkenden Ankeramperewindungen des wattlosen Stromes bedeutet.

Diese verstärken das Feld des Umformers, wenn der vom Netz aufgenommene wattlose Strom  $J_{lwl0}$  positiv, d. h. phasenverspätet ist, und schwächen das Feld, wenn der wattlose Strom negativ, d. h. phasenverfrüht ist.

Ist bei Normallast die Gleichspannung  $P_g$  und der wattlose Strom  $J_{wl}$ , so ist eine EMK

$$E_g = \sqrt{2} E_w = P_g + AP + J_g (R_h + R_w) - 2\sqrt{2} J_{lwl} x'_{s1}. \quad (468)$$

in der Ankerwicklung zu induzieren. Abgesehen davon, daß in Formel 457 der Widerstand  $R_h$  der Hauptschlußwicklung und der Widerstand  $R_w$  der Wendepolwicklung nicht berücksichtigt sind, ergibt sich Formel 468 auch aus den Formeln 461 und 457.

Um das dieser EMK entsprechende Feld zu erzeugen, sind  $AW'_t$  Amperewindungen nötig.

Die totalen Feldamperewindungen bei Belastung sind somit gleich

$$AW_t = AW'_t - AW_e = AW'_t - k_0 f_{w1} m w J_{wl} = AW'_t - k_0 f_{w1} \frac{N}{2a} J_{wl}.$$

$J_{wl} = J_{wl0} + \Delta J_{wl}$  ist der wattlose Strom in der Ankerwicklung bei Belastung.

Die Nebenschlußerregewicklung ist nun so zu dimensionieren, daß sie bei der Leerlaufspannung  $P_{g0}$  die totalen Feldamperewindungen liefert. Bei Belastung hat die Nebenschlußwicklung

$\frac{P_g}{P_{g0}} AW_{t0}$  Amperewindungen, und die Hauptschlußwicklung ist für

$AW_t - \frac{P_g}{P_{g0}} AW_{t0}$  Amperewindungen bei dem normalen Strom  $J_g$

zu dimensionieren. Die totale Windungszahl der Hauptschlußwicklung wird also gleich

$$w_h = \frac{AW_t - \frac{P_g}{P_{g0}} AW_{t0}}{J_g} \quad \dots \quad (469)$$

In gleicher Weise lassen sich die Gegenkompoundwindungen, die bei Parallelbetrieb von Umformern und Pufferbatterien nötig sind, berechnen.

Die vorgeschaltete Drosselspule ist für dieselbe Stromstärke wie der Umformer zu dimensionieren und für eine Spannung  $J_1 z_1$ . Wie aus Fig. 473 ersichtlich, ist  $J_1 z_1$  größer als  $(\frac{1}{2} P_w - P_1)$ , und die scheinbare Leistung der vorgeschalteten Drosselspule ist deswegen auch entsprechend größer als derjenige Prozentsatz der Leistung des Umformers, der der Spannungsänderung entspricht.

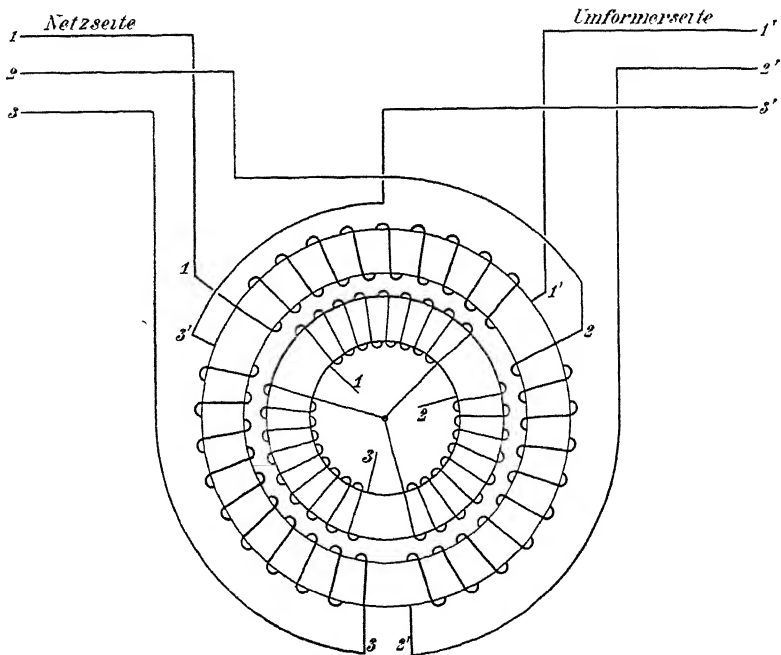


Fig. 474 Schaltungsschema eines Drehtransformators.

### c) Induktionsregulatoren (Drehtransformatoren, Potentialregler).

Ein, besonders in Amerika, viel verwendetes Verfahren für die Spannungsregulierung bei Einankerumformern ist das mit Induktionsregulatoren. Ein solcher Induktionsregulator (Fig. 474) besteht aus einem Stator mit einem darin drehbaren, bewickelten Rotor. Denken wir uns die Rotorwicklung an das Netz angeschlossen (in Fig. 474 sind die Rotorklemmen 1, 2, 3 also mit den Netzklemmen 1, 2, 3 verbunden zu denken). Sie wird einen kleinen Magnetisierungsstrom vom Netze aufnehmen, und es entsteht ein Drehfeld, das eine EMK  $E_z$  in den Statorphasen induzieren möge. Die Statorphasen sind in Serie mit dem Umformer geschaltet, und die Umformerspannung ist nun offenbar die geometrische Summe der Netzspannung  $P_2$  und der EMK  $E_z$ . Die relative Lage dieser beiden

Vektoren im Vektordiagramm Fig. 475 (das einphasig gezeichnet ist) hängt von der relativen Lage der Rotor- und Statorphasen ab. Der Endpunkt  $B$  des Vektors  $E_z$ , und somit des Vektors  $\frac{1}{2}P_w$ , bewegt sich auf einem Kreis mit dem Radius  $E_z$ . Eine Drehung von  $E_z$  um  $360^\circ$  entspricht einer Bewegung des Rotors um die doppelte Polteilung. Wir sehen, daß auf diese Weise die dem Umformer zugeführte Spannung  $AB$  geändert werden kann, ohne daß derselbe wattlose Ströme

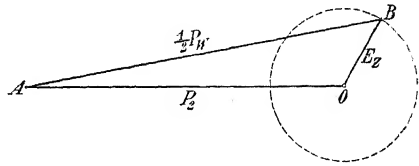


Fig. 475.

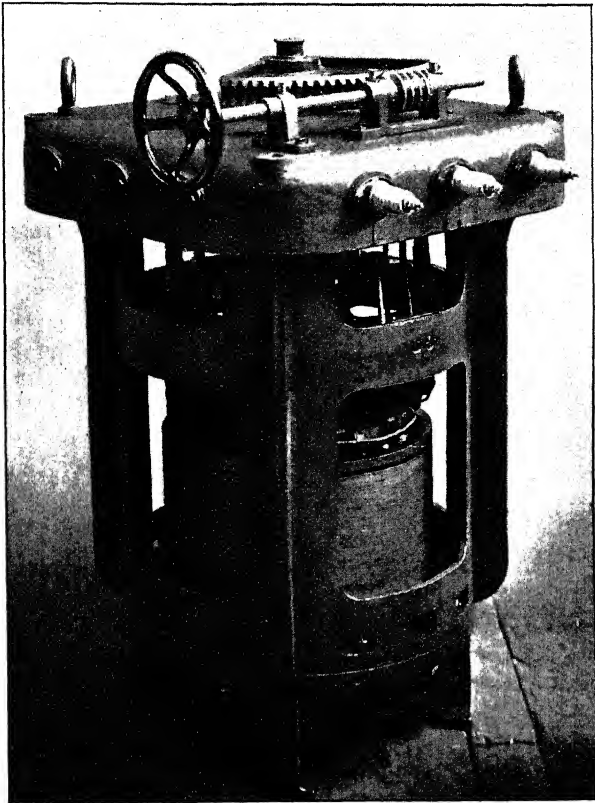


Fig. 476. Induktionsregler der Siemens-Schuckert-Werke.

aufzunehmen braucht. Dadurch werden die von ihnen bedingten Stromwärmeverluste vermieden. Bei dieser Spannungsregulierung,

wie bei der vorigen, ändert sich das Verhältnis  $k_p$ , wodurch die Gefahr für Resonanzerscheinungen vergrößert wird.

Solche Potentialregler können in Form normaler Induktionsmotoren ausgeführt werden, nur sind keine Schleifringe notwendig, da die Drehbewegung des Läufers begrenzt ist. Da die durch die Drehung des Rotors beim Induktionsmotor hervorgerufene Ventilation bei dem Potentialregler nicht vorhanden ist, wird seine Leistung viel kleiner als die eines gleich großen Induktionsmotors sein, wenn nicht eine künstliche Ventilation vorgesehen wird. Man kann die Potentialregler auch mit Ölkühlung ausführen.

Der Potentialregler kann von Hand verstellt (wie in Fig. 476, die einen Induktionsregler von 60 KVA der Siemens-Schuckert-Werke zeigt) oder durch einen kleinen Motor mit Hilfe eines Relais gesteuert werden.

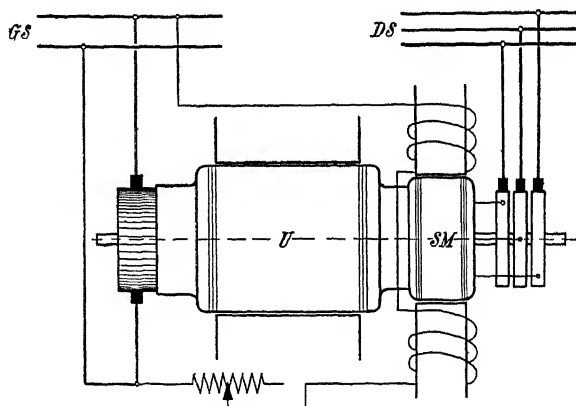


Fig 477. Schema für die Spannungsregulierung mittels einer synchronen Zusatzmaschine.

d) **Synchrone Zusatzmaschine.** Zwischen die Kollektorrings und den Umformeranker schaltet man nach dem Patente 112064 der A. E.-G. die Ankerwicklung einer Synchronmaschine (Zusatzmaschine), die auf der Welle des Umformers sitzt und mit diesem rotiert (Fig. 477). Die in dieser Ankerwicklung induzierte EMK addiert sich zu der Wechselspannung des Umformers oder subtrahiert sich von ihr. Durch Änderung der Felderregung der Zusatzmaschine wird somit die dem Umformeranker zugeführte Wechselspannung geändert.

Dient die Zusatzmaschine zur Spannungserhöhung bei Ladung einer Akkumulatorenatterie, so dimensioniert man sie am besten für die ganze zusätzliche Spannung. Soll dagegen die Regulierung der Spannung automatisch durch den Belastungsstrom erfolgen

(Kompoundierung), so ordnet man auf den Feldpolen der Zusatzmaschine eine Nebenschlußwicklung für die Hälfte der Spannungsänderung  $\frac{1}{2} \Delta P_w$  und eine Hauptschlußwicklung für die ganze Spannungsänderung an. Die beiden Wicklungen wirken einander entgegen. Die Zusatzmaschine wird dann bei Leerlauf die Netzspannung um  $\frac{1}{2} \Delta P_w$  pro Phase verkleinern und bei Normallast um  $\frac{1}{2} \Delta P_w$  erhöhen; sie braucht somit nur für die Hälfte der Spannungsänderung dimensioniert zu werden.

Bei dieser Anordnung zur Spannungsregulierung vermeidet man die wattlosen Ströme und verkleinert die Gefahr für Resonanzerscheinungen, da das Verhältnis  $k_p$  hier für alle Belastungen fast konstant bleibt.

Die Zusatzmaschine kann auch mit feststehendem Anker und rotierendem Feld gebaut werden; das Feld wird dann gewöhnlich fliegend außerhalb des Lagers angeordnet. Die Leitungen der Transformatoren werden direkt an die feststehenden Klemmen der Zusatzmaschine angeschlossen; von der Zusatzmaschine führen sie zu den Schleifringen. Diese Anordnung ist zugänglich, gibt kleine Lagerentfernungen und bessere Ventilation, sie beansprucht aber mehr Platz für das Gesamtaggregate.

### 181. Die Leerlaufcharakteristik.

Als Leerlaufcharakteristik eines Einankerumformers bezeichnet man diejenige Kurve, die bei konstanter Tourenzahl und der Belastung Null die Gleichspannung in Abhängigkeit vom Erregerstrom darstellt, wenn die Wechselstromseite nicht mit der Stromquelle verbunden ist. Sie ist somit vollkommen identisch mit der Leerlaufcharakteristik einer gewöhnlichen Gleichstrommaschine<sup>1)</sup>.

### 182. Die äußere Charakteristik.

Diese stellt bei konstanter Wechselspannung und konstantem Widerstande des Erregerstromkreises die Gleichspannung als Funktion des Belastungsstromes dar. Ist der Umformer direkt an ein Wechselstromnetz mit konstanter Spannung angeschlossen, so ist, wie oben gezeigt, die äußere Charakteristik fast eine gerade Linie, die sich aus der Gleichung

$$P_g = P_{g0} - \Delta P - J_g R_a \sqrt{u_i^2 - \frac{8}{\pi^2}}$$

ergibt. Bedeutend komplizierter liegen aber die Verhältnisse, wenn

<sup>1)</sup> „Die Gleichstrommaschine“, 2. Aufl., Bd. I, S. 591.

zwischen den Klemmen des Wechselstromnetzes, dessen Spannung konstant gehalten wird und von dem aus der Umformer gespeist wird, und dem Umformer Reaktanzen und Widerstände eingeschaltet sind. Diese können in langen Leitungen, in Transformatoren oder in vorgeschalteten Drosselspulen liegen. In den folgenden Ableitungen denken wir uns alle diese Reaktanzen und Widerstände auf die Umformerspannung reduziert und zu einer einzigen Impedanz

$$z_l = \sqrt{r_l^2 + x_l^2}$$

vereinigt (Fig. 478). Ist die Wechselspannung, die konstant gehalten wird,  $P_{1l}'$  und das Übersetzungsverhältnis des Transformators  $u$ , so rechnen wir mit einer konstanten Spannung

$$P_{1l} = \frac{P_{1l}'}{u}$$

an den Primärklemmen des äquivalenten Stromkreises.

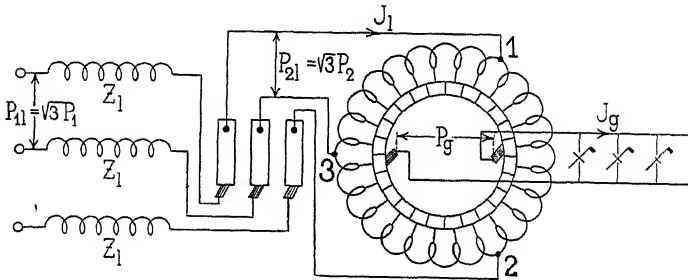


Fig. 478.

Belastet man den Umformer, der Nebenschlußerregung besitze, so bewirken verschiedene Ursachen einen Spannungsabfall, und zwar wirken diese Ursachen in folgenden zwei Gruppen parallel zueinander.

1. Es bewirkt der Wattstrom, der von Leerlauf bis Belastung hinzukommt, einen Spannungsabfall in der vorgeschalteten Impedanz. Dieser kann mit großer Annäherung pro Phase wie folgt berechnet werden (s. Gl. 464, S. 731), wenn

$$P_1 = \frac{P_{1l}}{\sqrt{3}}$$

die Klemmenspannung pro Phase bezeichnet,

$$J_{lw} r_l + \frac{J_{lw}^2 x_l^2}{2 P_1}.$$

Außerdem haben wir einen Spannungsverlust  $\Delta P$  unter den Bürsten und den kleinen Abfall

$$J_g R_a \sqrt{u_i^2 - \frac{8}{\pi^2}}$$

im Anker, den wir hier vernachlässigen.

2. Ganz unabhängig von den unter 1. angeführten Ursachen würde im Umformer, wenn wir uns seine Spannung von derjenigen des Netzes unabhängig denken, von Leerlauf bis Belastung ein Spannungsabfall

$$J_g \sqrt{v} R_a + \Delta P$$

im Anker und am Kommutator und ein weiterer Spannungsabfall infolge des Sinkens der Erregerspannung eintreten. Die Spannung des Umformers wurde also unabhängig von den unter 1. genannten Ursachen bei Belastung in ähnlicher Weise sinken wie die Spannung einer Gleichstrommaschine. Wir wollen diesen Abfall den inneren Spannungsabfall des Umformers nennen.

Die unter 1. und 2. genannten Spannungsabfälle können nun gleich oder verschieden sein, wir können demnach drei Fälle unterscheiden.

a) Der Spannungsabfall in der vorgeschalteten Impedanz und unter den Bürsten ist gleich dem inneren Spannungsabfall des Umformers. Die Belastung wird in diesem Falle keinen Anlaß zu wattlosen Strömen zwischen dem Netze und dem Umformer geben, weil ein Spannungsausgleich nicht erforderlich ist. Der totale Spannungsabfall von Leerlauf bis Belastung ist gleich demjenigen in der Impedanz  $z_l$  und unter den Bürsten. Es wird somit der totale Spannungsabfall prozentual gleich

$$\varepsilon^0/\% = \frac{J_{lw} r_l}{P_1} 100 + \frac{J_{lw}^2 \bar{x}_l^2}{2 P_1^2} 100 + \frac{\Delta P}{P_g} 100.$$

Da das zweite Glied mit  $J_{lw}^2$  verhältnismäßig klein ist, und da  $\Delta P$  schon bei kleinen Strömen fast den normalen Wert erreicht, ist die äußere Charakteristik eine schwach gekrümmte Kurve oder eine gerade Linie.

b) Der Spannungsabfall in der Impedanz und unter den Bürsten ist größer als der innere Spannungsabfall des Umformers. Bei Belastung des Umformers wird dann ein so großer wattloser Strom  $\Delta J_{wl}$  vom Umformer zum Netz fließen, daß der Unterschied in den Spannungsabfällen sich ausgleicht. Dieser wattlose Strom muß den Spannungsabfall im Umformer erhöhen und den in der vorgeschalteten Impedanz verkleinern. Er ist somit ein voreilender Strom ( $\Delta J_{wl}$



negativ). Der totale Spannungsabfall bei Normallast wird kleiner als im ersten Falle. Auch hier ist die äußere Charakteristik annähernd eine gerade Linie.

c) Der Spannungsabfall in der Impedanz und unter den Bürsten ist kleiner als der innere Spannungsabfall im Umformer. Es wird in diesem Falle beim Belasten der wattlose Strom, der vom Netz dem Umformer zufließt, um  $\Delta J_{ul}$  erhöht, und der totale Spannungsabfall ist größer als im ersten Falle.

### 183. Die Belastungscharakteristik.

Diese Kurve stellt bei konstanter Primärspannung und konstantem Gleichstrom  $J_g$  die Abhängigkeit der Gleichspannung  $P_g$  von dem Erregerstrom dar.

Infolge der Erregungsänderung ändert sich der wattlose Strom. Die Gleichspannung ändert sich verhältnismäßig wenig, und wenn es nicht auf sehr große Genauigkeit ankommt, können wir annehmen, daß der Wattstrom konstant bleibt. Wir berücksichtigen nur die durch den wattlosen Strom bedingte Spannungsänderung  $J_{lwl} x_l$  in der vorgeschalteten Impedanz  $z_l$ . Dementsprechend ändert sich auch die dem Umformer pro Phase zugeführte Spannung  $\frac{1}{2} P_w$ , so daß bei konstanter Primärspannung und bei konstantem Wattstrome

$$\frac{1}{2} P_w + J_{lwl} x_l \cong \text{konstant},$$

also nach Formel 461 auch

$$\frac{1}{2} E_w + J_{lwl} x_l + J_{lwl} x'_{s1} = \text{konstant}.$$

Wir tragen nun diese konstante Spannung (mit  $2\sqrt{2}$  multipliziert, um das Übersetzungsverhältnis zwischen Wechselspannung pro Phase der äquivalenten Sternschaltung und Gleichspannung zu berücksichtigen) gleich  $\overline{OA}$  in die Leerlaufcharakteristik (Fig. 479) ein und subtrahieren davon

$$2\sqrt{2} J_{lwl} x_l + 2\sqrt{2} J_{lwl} x'_{s1}.$$

Die Differenz  $\overline{BD} = \sqrt{2} E_w$  ist gleich  $E_g$ , also gleich der EMK, die im Umformer vom Hauptfelde induziert werden muß. Dazu sind aber nicht die der Leerlaufcharakteristik entsprechenden Amperewindungen  $\overline{OF}$  nötig, da der wattlose Strom magnetisierend wirkt. Wir müssen somit die magnetisierenden Amperewindungen  $\overline{AW}_e = \overline{BF}$  subtrahieren, um die Feldamperewindungen  $\overline{OB} = \overline{AW}_i$  zu erhalten.  $G$  ist somit ein Punkt der Kurve, die die totale induzierte EMK  $\sqrt{2} E_w + 2\sqrt{2} J_{lwl} x'_{s1}$  als Funktion der Erregerampere-

windungen darstellt. Da  $CG$ ,  $GD$  und  $DE$  proportional dem wattlosen Strome sind, erhält man einen anderen Punkt  $G'$ , indem man eine Parallele  $C'E'$  zu  $CE$  und durch  $E'$  eine Parallele  $E'G'$  zu  $EG$  zieht. In dieser Weise kann eine ganze Reihe von Punkten bestimmt werden und zu der Kurve I verbunden werden.

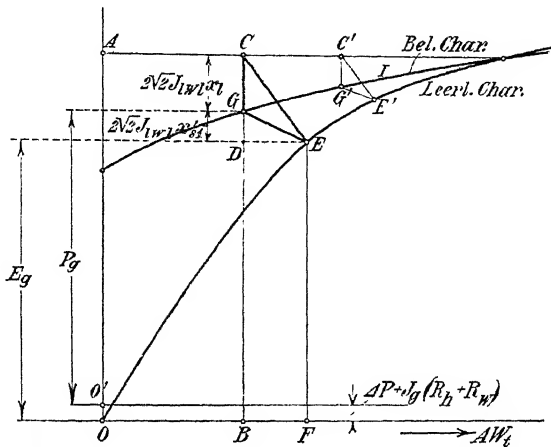


Fig. 479. Graphische Ermittlung der Belastungscharakteristik.

Subtrahieren wir von allen Ordinaten die konstante Spannung

$$\overline{OO'} = \Delta P + J_g(R_h + R_w),$$

was durch Ziehen einer horizontalen Linie durch  $O'$  geschieht, so stellt nach Formel 468 die Kurve I in dem neuen Koordinatensystem mit  $O'$  als Ursprung die Gleichspannung  $P_g$  als Funktion der Erregeramperewindungen dar. Für eine andere Belastung, d. h. für einen anderen Strom  $J_g$ , erhalten wir eine andere Kurve, die fast aquidistant zu der ersten verläuft. Wie aus der Konstruktion leicht ersichtlich, verläuft die Belastungscharakteristik um so flacher, je kleiner die vorgeschaltete Reaktanz  $x_l$  ist.

#### 184. Die V-Kurven.

Diese Kurven stellen bei konstanter Primarspannung  $P_1$  und bei konstantem Gleichstrom  $J_g$  den zugeführten Strom  $J_l$  als Funktion der Felderregung  $i_e$  dar. Wie auf S. 740 erläutert, bleibt für alle Erregungen der Wattstrom  $J_{lw}$  annähernd konstant. Der wattlose Strom  $J_{lwl}$  ergibt sich mittels der in Fig. 479 dargestellten Konstruktion zu

$$J_{lwl} = \frac{\overline{GC}}{2\sqrt{2}x_l}.$$

Er kann auch nach dem in Abschnitt 179 angegebenen Verfahren ermittelt werden.

¶ Ermitteln wir nun für mehrere Erregungen  $J_{lwl}$  und tragen  $J_l = \sqrt{J_{lw}^2 + J_{lwl}^2}$  als Funktion des Erregerstromes auf, so erhalten wir eine V-ähnliche Kurve. In der Fig. 480 sind die experimentell aufgenommenen V-Kurven eines 125 KW-Umformers bei Leerlauf, Halblast und Vollast aufgetragen. Für eine bestimmte Erregung wird der aufgenommene Strom  $J_l$  ein Minimum. Es ist dann  $J_{lwl} = 0$

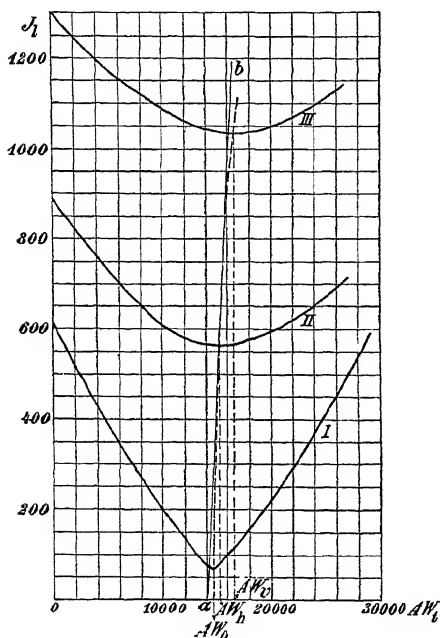


Fig. 480. V-Kurven eines 125 KW-Ein-  
ankerumformers bei Leerlauf (I), Halb-  
last (II) und Vollast (III).

(vgl. auch Fig. 470) und  $\cos \varphi = 1$ . Wie schon auf S. 237 (Synchromotor) erklärt, wird es nicht möglich sein, genau auf den Leistungsfaktor eins einzuregulieren, wenn die Kurvenform der induzierten EMK von der der aufgedruckten Spannung abweicht.

Wie aus Fig. 480 ersichtlich, treten die Stromminima nicht alle bei derselben Erregung auf (vgl. Abschnitt 182). Phasengleichheit erfordert vielmehr eine kleine Erhöhung der Erregung von Leerlauf bis Belastung.

Wenn keine Nachregulierung vorgenommen wird, werden bei einem fremderregten Umformer die Erregeramperewindungen konstant bleiben, und der Um-

former nimmt deswegen bei Belastung einen kleinen nachteilenden Strom auf, auch wenn der Erregerstrom bei Leerlauf auf minimale Wechselstromstärke einreguliert worden ist.

Bei selbsterregten Umformern wird der wattlose Strom größer sein, da die Erregeramperewindungen in dem Falle bei Belastung abnehmen.

Durch eine passende Kompoundierung kann man nun sehr annähernd  $\cos \varphi = 1$  bei allen Belastungen erhalten.

Wäre die erforderliche Zunahme der Erregung bei Belastung ( $AW_h - AW_0$  von Leerlauf bis Halblast,  $AW_r - AW_h$  von Halblast

bis Vollast, Fig. 480) proportional der Belastungsstromstärke, so wäre eine genaue Kompoundierung möglich. Die Abweichung ist klein, und man wird deswegen bei irgendeiner Belastung (z. B.  $\frac{3}{4}$ , wie in Fig. 480) auf Phasengleichheit einstellen. Die totalen Amperewindungen von Haupt- und Nebenschlußwicklung mögen sich mit der Belastung z. B. entsprechend der Geraden  $ab$  ändern. Bei größeren Belastungen nimmt der Umformer dann einen kleinen nachteilenden, bei kleineren Belastungen einen kleinen voreilenden Strom auf.

---

## Dreißigstes Kapitel.

### Die Kommutation.

185. Die Kommutation eines Einankerumformers ohne Wendepole. — 186 Die Kommutation eines Einankerumformers mit Wendepolen

#### 185. Die Kommutation eines Einankerumformers ohne Wendepole<sup>1)</sup>.

Wir haben gesehen, daß der Strom in einer Ankerspule eines Einankerumformers sich zusammensetzt aus dem Wechselstrom und demjenigen Strome von nahezu rechteckiger Wellengestalt, der infolge der Stromwendung als Gleichstrom nach außen tritt.

Da die Kurzschlußzeit<sup>2)</sup>

$$T = \frac{b_1 + \beta \left(1 - \frac{a}{p}\right)}{100 v_k}$$

im allgemeinen sehr klein ist im Verhältnis zur Dauer einer Periode des Wechselstromes, dürfen wir annehmen, daß der Wechselstrom während der Kurzschlußzeit konstant bleibt, und daß somit die totale Stromänderung während der Kommutation gleich dem vollen Werte des Gleichstromes ist (für  $a = 1$ , oder im allgemeinen gleich dem doppelten Werte des Stromes eines Ankerstromzweiges).

Deswegen ist die Kommutierung eines Einankerumformers im wesentlichen gleich der einer Gleichstrommaschine. Ein Unterschied kommt nur dadurch zustande, daß die Ankerrückwirkung gleich der Differenz der Ankerrückwirkungen des als Synchronmotor und Gleichstromgenerator arbeitenden Umformers ist.

Es würde aber nicht richtig sein einfach zu sagen, daß die Ankerrückwirkungen des Wechsel- und des Gleichstromes sich auf-

---

<sup>1)</sup> Dr.-Ing. H. S. Hallo, „Die Kommutation bei Einankerumformern“ ETZ 1911, Heft 35.

<sup>2)</sup> Die Gleichstrommaschine Bd. I, S. 360.

heben, und daß nur eine Ankerrückwirkung entsprechend dem Leerlaufstrom (bzw. den Verlusten) besteht. Der Einfluß dieses den Verlusten entsprechenden Stromes wurde so klein sein, daß die ganze Ankerrückwirkung einfach vernachlässigt werden konnte.

In Wirklichkeit liegen die Verhältnisse für die Kommutation wesentlich ungünstiger, und zwar deswegen, weil die Kurvenformen der MMKe des Wechsel- und des Gleichstromes verschieden sind.

Während für die Spannungsänderung die Stärke des resultierenden Ankerfeldes in sämtlichen Punkten des Ankerumfanges maßgebend ist, kommt für die Kommutation nur die Feldstärke bzw. die MMK in der Kommutierungszone in Betracht.

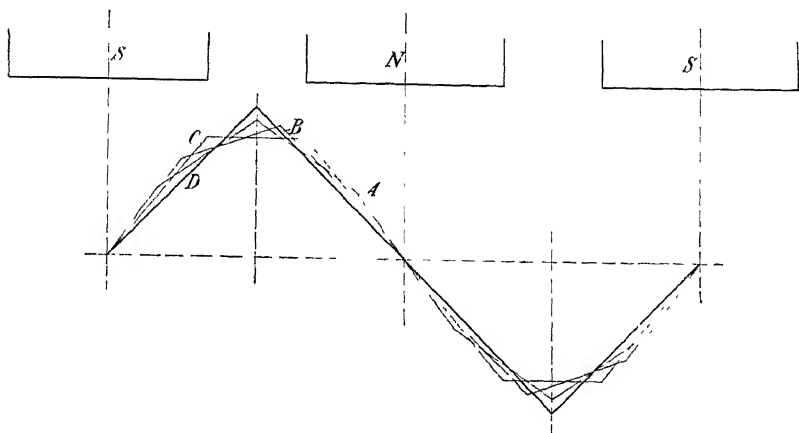


Fig. 481

In Fig. 481 sind die MMKe des Gleich- und Wechselstromes aufgezeichnet für einen Sechphasenumformer mit Phasengleichheit.

Wenn wir die Verluste vernachlässigen, so ergibt sich für einen solchen Umformer

$$\frac{2J_w}{J_g} = \frac{2}{3} \sqrt{2},$$

also

$$J_w^A = \frac{1}{3} \cdot \frac{J_g}{2} = 1,33 \frac{J_g}{2},$$

wo  $J_w^A$  die Amplitude des Wechselstromes bedeutet. In der Figur sind die Verhältnisse aufgezeichnet für  $J_w^A = 1,36 \frac{J_g}{2}$ , um die Verluste annähernd zu berücksichtigen. Die Bürsten sind in der neutralen Zone gedacht und die MMK des Ankerstromes hat Dreieckform (Kurve D).

Die Form der MMK-Kurve des sechsphasigen Wechselstromes ist eine Funktion der Zeit. Die Kurve ist für drei Zeitmomente gezeichnet.

Kurve *A* bezieht sich auf den Fall, daß der Strom (also auch die EMK, da wir hier Phasengleichheit betrachten) einer Doppelphase im Maximum ist.

Kurve *B* entspricht den Verhältnissen  $\frac{3}{4}$  Periode später und Kurve *C*  $\frac{1}{2}$  Periode später. Jeweils nach  $\frac{1}{6}$  Periode wiederholen sich die Kurvenformen der MMK.

Wir finden, daß die resultierende MMK unter der Bürstenmitte, in Prozenten der MMK des Gleichstromes, folgende Werte hat:

für Kurve <i>A</i> . . . . .	9,3%
„ „ <i>B</i> . . . . .	18,6%
„ „ <i>C</i> . . . . .	21,3%.

Die Zahlen ändern sich etwas mit dem Wirkungsgrad, mit der Bürstenverschiebung und mit der Phasenzahl.

Da das Gleichstromankerfeld dreieckig ist, wird die mittlere MMK in der Kommutierungszone, entsprechend einem sinusförmigen Wechselstromankerfeld,  $1 - 0,81 = 0,19\%$  der MMK des Gleichstromes betragen für einen verlustlosen Umformer. Bei Berücksichtigung der Verluste wird für den Wechselstrom-Gleichstromumformer diese Zahl etwas kleiner, für den Gleichstrom-Wechselstromumformer etwas größer.

Um bei geradlinigem Verlauf des Kurzschlußstromes den Momentanwert der vom Ankerquerfeld induzierten EMK zu finden, schreiben wir somit

$$e_q = 2k \frac{N}{K} l_a v A S_{a,d} \lambda_q 10^{-6} \text{ Volt}^1) \quad . . . . \quad (470)$$

wo durch den Faktor *k* berücksichtigt wird, daß die MMK in der Kommutierungszone kleiner ist als bei einer Gleichstrommaschine mit derselben Belastung.  $AS_{a,d}$  ist die spezifische Belastung des Ankers als Gleichstrommaschine.

Nach dem Vorhergehenden schreiben wir  $k \cong 0,2$ , wodurch der ungünstigste Fall berücksichtigt wird.

Für reine Widerstandskommulation haben wir die Bedingung

$$e_0 - e_q = e_r^2) \quad . . . . . \quad (471)$$

wo  $e_r$  die Reaktanzspannung oder die Spannung der Streureaktanz

<sup>1)</sup> Die Gleichstrommaschine, Bd II, S 272

<sup>2)</sup> Die Gleichstrommaschine, Bd. II, S 269.

ist, und  $e_0$  die Spannung, die beim stromlosen Anker vom Hauptfelde  $B_0$  in der kurzgeschlossenen Spule induziert wird.

Da beim Einankerumformer der volle Wert des Gleichstromes kommutiert wird, ändert sich auch das Eigenfeld während der Kurzschlußzeit um denselben Betrag wie bei einer gleich belasteten Gleichstrommaschine (entsprechend  $2i_a$ ), so daß wir für einen Nutenanker als mittlere Reaktanzspannung während der Zeit  $T_n$  finden

$$e_{rs} = 2 \left( \frac{N}{K} l_i v A S_{ia} \right) \frac{t_1 \lambda_{Ns}}{t_1 + b_D - \left( \frac{a}{p} - \varepsilon \right) \beta_D} 10^{-6} \text{ Volt}^1) \quad (472)$$

wo  $\varepsilon$  die halbe Schrittverkürzung ist.

Ist  $AS$  die spezifische Belastung der Maschine als Umformer bei derselben Stärke des Gleichstromes, so ist

$$AS_{ia} = \frac{AS}{\sqrt{v}}$$

und somit

$$e_{rs} = \frac{N}{K} l_i v \frac{2AS}{\sqrt{v}} \lambda_{Ns} \frac{t_1}{t_1 + b_D - \left( \frac{a}{p} - \varepsilon \right) \beta_D} 10^{-6} \quad (472a)$$

Die Gleichung

$$e_0 - e_g = e,$$

bezieht sich auf Momentanwerte, und um reine Widerstandskommulation zu erhalten wäre es nötig, die Bürsten mit der Belastung zu verschieben. Da man nun einerseits mit fester Bürstenlage arbeiten will, und da man andererseits bei Nutenankern mit dem über die Kurzschlußzeit  $T_n$  genommenen Mittelwert rechnet, so werden zusätzliche Ströme auftreten.

Ebenso wie bei einer Gleichstrommaschine stellt man die Bürsten so ein, daß bei Halblast das richtige kommutierende Feld erhalten wird, man hat dann bei Leerlauf eine Über-, bei Vollast eine Unterkommulation.

Wegen des Auftretens von zusätzlichen Strömen muß man die Maschine in Bezug auf Kommutierung nachrechnen und zu dem Zwecke die Kurzschlußspannung und die Funkspannung<sup>2)</sup> ermitteln.

Die Kurzschlußspannung ist die mittlere EMK, die in der maximalen Anzahl der zwischen den Bürstenkanten liegenden kurzgeschlossenen Spulen induziert wird. Stehen die Bürsten in der neutralen Zone, so wird diese EMK mit  $\Delta e_0$  bezeichnet. Sie wird um so größer, je größer die Belastung der Maschine ist. Verstellt

<sup>1)</sup> Die Gleichstrommaschine, Bd. II, S. 273.

<sup>2)</sup> Die Gleichstrommaschine, Bd. II, S. 288.



man dagegen die Bursten derart, daß die Kurzschlußspannung bei Vollast gleich, aber entgegengesetzt gerichtet derjenigen bei Leerlauf ist, so wird sie mit  $\Delta e_v$  bezeichnet.

Wir erhalten:

$$\Delta e_o = 2 S_k \left( \frac{N}{K} l_i v A S_{i,d} \right) \left( \frac{t_1 \lambda_{N_s}}{t_1 + b_D - \frac{a}{p} \beta_D} + k \lambda_{q_0} \right) 10^{-6} \text{ Volt} \quad (473)$$

$$\Delta e_v = S_k \left( \frac{N}{K} l_i v A S_{i,d} \right) \left( - \frac{t_1 \lambda_{N_s}}{t_1 + b_D - \frac{a}{p} \beta_D} + k \lambda_{q_v} \right) 10^{-6} \text{ Volt} \quad (473a)$$

wo  $S_k = \left( \frac{b_1}{\beta} \right)_{+a} \frac{p}{a}$  und  $\varepsilon = 0$  angenommen ist.

Diese Formeln wurden zuerst von E. Arnold und J. L. la Cour in ihrer Abhandlung über die Kommutation von Gleich- und Wechselströmen gebracht, die dem internationalen elektrotechnischen Kongress in St. Louis 1904 vorgelegt wurde.

Die Funkenspannung  $e_s$  ist die EMK, die vom Eigenfeld in derjenigen Spule induziert wird, die als letzte der Nut in den Kurzschluß tritt, und zwar in dem Momente, in welchem sie den Kurzschluß verläßt.

$$e_s \cong \frac{\beta}{b_r} \frac{N}{K} l_i v A S_{i,d} \lambda_{L_r} 10^{-6} \text{ Volt}^1) \dots \quad (474)$$

wo  $\lambda_{L_r}$  die Leitfähigkeit des vom Strome einer Spule hervorgerufenen totalen Eigenfeldes ist, bezogen auf 1 cm der Ankerlänge  $l_i$ . Es ist also  $l_i \lambda_{L_r}$  das totale von einer Spulenseite bei 1 Ampere erzeugte Eigenfeld.

Zulässige Werte von  $\Delta e$  und  $e_s$ . Es soll

$$e_s < 0,5 \text{ Volt}$$

$$\Delta e < 6-8 \text{ Volt}$$

sein.

## 186. Die Kommutation eines Einankerumformers mit Wendepolen<sup>2)</sup>.

Im allgemeinen kommen Wendepole und Kompensationswicklung mit oder ohne besondere Wendepole in Betracht.

Die Kompensationswicklung wird ebenso wie bei Gleichstrommaschinen viel teurer als Wendepole, und gerade weil beim rotieren

<sup>1)</sup> Die Gleichstrommaschine, Bd. II, S. 288.

<sup>2)</sup> Dr.-Ing. H. S. Hallo, „Die Kommutation bei Einankerumformern“, ETZ 1911, Heft 35.

den Umformer die MMKe von Gleich- und Wechselstrom sich zum größten Teile aufheben, kommt sie hier gar nicht in Betracht.

Wir beschränken uns deswegen auf die Behandlung der Wendepole. Diese lassen sich nun in ähnlicher Weise berechnen wie bei Gleichstrommaschinen, nur ist zu berücksichtigen, daß zwar der ganze Strom kommutiert wird, daß aber infolge der entgegengesetzten Wirkung der MMKe von Gleich- und Wechselstrom ein entsprechend kleineres Feld in der Kommutierungszone vorhanden ist

Bei Berechnung der vom Eigenfelde induzierten EMK kommt, wie schon vorhin erwähnt,  $AS_{i,d}$  als Gleichstrommaschine in Betracht. Wie haben gefunden

$$AS_{i,d} = \frac{AS}{\sqrt{\nu}}.$$

Dagegen kommt zur Berechnung des Querfeldes in der Kommutierungszone  $kAS_{i,d}$  in Betracht, so daß die erforderliche Wendepolefeldstärke wird<sup>1)</sup>:

Für  $2p$  Wendepole

$$B_{w,l} = 2AS_{i,d} \left( \lambda_{N,s} - \frac{t_1}{t_1 + b_D - \frac{a}{p}\beta_D} \frac{l_1}{l_w} + k\lambda_{q,0} \frac{l_1 - l_w}{l_w} \right) \quad (475)$$

und für  $p$  Wendepole

$$B_{w,l} = 2AS_{i,d} \left( \lambda_{N,s} - \frac{t_1}{t_1 + b_D - \frac{a}{p}\beta_D} \frac{2l_1}{l_w} + k\lambda_{q,0} \frac{2l_1 - l_w}{l_w} \right) \quad (475a)$$

Bei stark verkürztem Wicklungsschritt ist an Stelle von  $\frac{a}{p}\beta_D$  in diese Formeln  $\left(\frac{a}{p} - \varepsilon\right)\beta_D$  einzusetzen. Bei Anordnung von Wendepolen vermeidet man aber immer die Schrittverkürzung möglichst.

Es ist:

$$\begin{aligned} \lambda_{N,s} - \lambda_n - \lambda_{k,s} - 0,5 \lambda_{q,s} \frac{l_s}{l_i} = 1,25 \left( \frac{r}{3r_3} + \frac{r_5}{r_3} + \frac{r_7}{r_8} + \frac{2r_6}{r_1 + r_8} + \frac{r_4}{r_1} \right) \\ - 0,92 \log_{10} \frac{\pi t_1}{2r_1} + 0,23 \frac{l_s}{l_i} \log_{10} \left( \frac{2l_s}{U_s} \right) \quad \dots \quad (476) \end{aligned}$$

<sup>1)</sup> Die Gleichstrommaschine, Bd. II, S. 281.

Die Wendepolbreite bzw. Wendefeldbreite ist so zu wählen, daß annähernd:

$$b_w = t_1 + b_D - \left( \frac{a}{p} - \varepsilon \right) \beta_D \quad . \quad . \quad (477)$$

Es ist

$$\varepsilon = \pm \frac{1}{2} \left( 1 + \frac{K}{p} - y_1 \right)$$

und das Vorzeichen ist so zu wählen, daß  $\varepsilon$  positiv wird.

Um die seitliche Streuung auszunutzen, wird jedoch die Wendepolbreite oft kleiner gemacht als die obige Formel ergibt, denn die ideelle Wendepolbreite ist

$$b_{wz} = b_w + 4,5 \delta_w.$$

Bei der Berechnung der Amperewindungen eines Wendepolpaares gehen wir in genau derselben Weise vor wie beim Gleichstromgenerator, nur ist zu berücksichtigen, daß zur Kompensation des resultierenden Ankerfeldes in der Kommutierungszone die erforderliche Amperewindungszahl eines Wendepolpaares ist:

$$AW_w = k\tau AS_{z,d} + AW_N \quad . \quad . \quad . \quad (478)$$

Nachdem die Induktion  $B_{wz}$  bekannt ist, kann  $AW_N$  in der gewöhnlichen Weise berechnet werden.

Es fragt sich nun zunächst, wie groß  $k$  gewählt werden muß. Wir haben gesehen, daß die resultierende MMK eines Sechssphasenumformers in der Kommutierungszone schwankt zwischen 9 und 21%. Wir schreiben somit unter Berücksichtigung der Verluste des Wechselstrom-Gleichstrom-Umformers  $k=0,15$  (für den verlustlosen Umformer wäre nach S. 746  $k=0,19$  zu setzen) und müssen bedenken, daß jetzt die wirklich vorhandene Feldstärke unter dem Kommutierungspol nicht mehr dem erforderlichen Wert entspricht.

Nun ergibt die Erfahrung, daß die auf diese Weise berechneten Wendepole bei rotierenden Umformern etwa 30 bis 40% der Amperewindungen eines Gleichstromgenerators brauchen.

Wir nehmen an, daß die gesamte Amperewindungszahl der Wendepole 30% der Gleichstromamperewindungen des Ankers beträgt, und zwar, daß 15% für die Erzeugung des erforderlichen Wendefeldes (entsprechend  $AW_N$ ) und 15% zur Kompensation des resultierenden Ankerfeldes dienen. Letzteres schwankt zwischen 9 und 21%; die erforderlichen Amperewindungen somit zwischen 24 und 36%. Gewählt haben wir den Mittelwert, also 30% der Gleichstromamperewindungen. Die Erregung der Wendepole weicht also um  $\pm 20\%$  von der erforderlichen ab.

Während wir also gesehen haben, daß rotierende Umformer ohne künstliche Kommutation eine wesentlich bessere Kommutation aufweisen als gleichbelastete Gleichstromgeneratoren, so ist das bei Wendepolumformern nicht mehr der Fall, weil sich das Ankerfeld eines Gleichstromgenerators durch konstant erregte Wendepole neutralisieren läßt, was nach obigem bei rotierenden Umformern nicht möglich ist.

Hier liegt eine Hauptschwierigkeit in der Verwendung von Wendepolen. Dazu kommt noch, daß schon ein geringes Pendeln die Kommutation von Wendepolmaschinen sehr nachteilig beeinflußt.

Pendelt der Umformer, so ändert das resultierende Ankerfeld seine Lage, und kann somit nicht durch ein räumlich festes Wendefeld kompensiert werden.

Außerdem entsprechen beim Pendeln und auch bei plötzlichen Belastungsstößen die Gleich- und Wechselstromamperewindungen des Ankers sich nicht mehr. Die Maschine kann nämlich durch die in den rotierenden Massen angehaufte kinetische Energie eine wesentlich größere, bzw. kleinere Leistung an der Gleichstromseite abgeben, als sie an der Wechselstromseite aufnimmt. Daß dies tatsächlich der Fall sein kann, geht schon daraus hervor, daß ein Betrieb mit Einphasenumformern (oder Einphasenmotoren im allgemeinen) möglich ist.

Gerade deshalb, weil die Änderung der in den rotierenden Massen aufgespeicherten Energie bei ganz kleinen Tourenvariationen ausreicht, um die momentane Leistung abzugeben, ist der Betrieb mit Einphasenmotoren möglich, trotzdem es Momente gibt, wo sie gar keine Leistung vom Netze aufnehmen.

Es sei an dieser Stelle noch auf die Stabilität des Wendefeldes hingewiesen.

Für Gleichstrommaschinen gilt:<sup>1)</sup>

$$\frac{AW_{wl}}{b_w AS} > 1,5 \text{ bis } 2.$$

Bei rotierenden Umformern kommt nun für  $AS$  die spezifische Belastung des resultierenden Ankerfeldes in Betracht, also nur ein kleiner Wert. Deswegen liegt hier keine Gefahr für ungenügende Stabilität des Wendefeldes vor, namentlich nicht, weil aus später angegebenen Gründen der Luftspalt unter den Wendepolen groß gemacht werden muß.

Andrerseits muß das angegebene Verhältnis bei Einankerum-

<sup>1)</sup> Die Gleichstrommaschine, Bd. II, S. 287.

formern wesentlich größer gewählt werden als bei Gleichstrommaschinen, damit das Wendefeld nicht zu unstabil wird für den Fall, daß der Umformer momentan als Gleichstromgenerator wirkt (beim Pendeln und bei Belastungsstößen)

Man konnte nun denken, daß die Änderungen des Feldes in der Kommutierungszone durch Anordnung von Dampfern um die Kommutierungspole leicht beseitigt werden könnten. Massive Polschuhe üben einen solchen dampfenden Einfluß aus, es empfiehlt sich aber nicht, spezielle Dampfer anzuordnen, besonders nicht, wenn die Umformer für den Bahnbetrieb bestimmt sind, oder allgemein, wenn sie einer stark wechselnden Belastung unterworfen sind.

Bei Belastungsänderungen ändert sich nämlich die Erregung der Wendepole und die Stärke des Wendefeldes. Der Dampfer wirkt nun als Sekundärkreis eines Transformators. Es werden Ströme in ihm induziert, die der Änderung des Flusses entgegenwirken. Demzufolge wird das Wendefeld gegen den Strom verzögert, und bei rasch wechselnder Belastung kann ein Feuern an den Bürsten stattfinden. Eine ähnliche Wirkung haben im allgemeinen irgendwelche zu der Wendepolwicklung parallel geschaltete Widerstände. Besonders bei großen Stromstärken läßt sich diese Anordnung nicht immer leicht vermeiden, da die erforderliche Amperewindungszahl nicht ein ganzes Vielfaches der Amperezahl des zur Verfügung stehenden Stromes ist. Es empfiehlt sich aber immer, wenn möglich, den Luftspalt unter dem Wendepol zu vergrößern, so daß kein Nebenschlußwiderstand nötig ist. Sonst würde es erforderlich sein, dem Nebenschlußwiderstand dieselbe Zeitkonstante zu geben als der Wendepolwicklung.

Noch besser wäre es, wenn der Nebenschlußwiderstand eine größere Zeitkonstante hätte; dadurch wird bei Zunahme des Stromes der größere Teil anfangs durch die Wicklung fließen und die Herstellung des richtigen Wendefeldes, das durch die magnetische Trägheit nacheilt, beschleunigen. Im stationären Zustand stellt sich dann die Stromverteilung ein, entsprechend den Widerständen der parallelgeschalteten Kreise. Bei Abnahme des Stromes wird der induktive Widerstand einen entgegengesetzt gerichteten Strom durch die Wendepolwicklung schicken und ebenfalls die Herstellung des richtigen Kommutierungsfeldes beschleunigen. Man darf hiermit natürlich nicht zu weit gehen.

Wir haben gesehen, daß ein Nachteil der Wendepole bei rotierenden Umformern in der Tatsache liegt, daß die Schwankung der MMK des resultierenden Ankerfeldes in der Kommutierungszone ein großer Bruchteil der für die Erzeugung des erforderlichen Wendefeldes nötigen MMK ist. Um diesen Bruchteil möglichst klein

zu halten, empfiehlt es sich, den Luftspalt unter den Wendepolen möglichst groß zu wahlen.

Bis jetzt haben wir nur den Einfluß des Wattstromes auf die Kommutation verfolgt. Die MMK des wattlosen Stromes geht durch Null in der Mitte zwischen den Polen und hat ihr Maximum unter der Polmitte. Ihr Einfluß auf die Kommutation ist deswegen gering und rührt nur daher, daß die Kommutierungszone eine gewisse Breite hat und die MMK des wattlosen Stromes natürlich nur in einem Punkte durch Null geht.

Demzufolge wird zu erwarten sein, daß rotierende Umformer bei kleinen Leistungsfaktoren eine schlechtere Kommutation aufweisen. Das stimmt auch mit der praktischen Erfahrung überein<sup>1)</sup>.

Schließlich sei noch bemerkt, daß die Verwendung der halben Anzahl Wendepole für rotierende Umformer besonders geeignet sein dürfte. Bekanntlich wird dadurch Kupfer gespart und eine bessere Ventilation des Aggregates erzielt.

Bei Gleichstrommaschinen hat man aber im allgemeinen wenig Platz für die Wendepole, und bei Anordnung der halben Zahl Wendepole größeren Querschnittes wird die Streuung jedes Poles stark erhöht. Da die Amperewindungen pro Wendepol beim Einankerumformer nur 25 bis 40% der Amperewindungen des entsprechenden Generators betragen, ergeben sich diese Schwierigkeiten nicht.

Besondere Schwierigkeiten bieten Wendepolumformer, wenn eine synchrone Zusatzmaschine nach dem Patent 112064 der A. E.-G. vorgesehen ist.

Nehmen wir an, daß eine Spannungsregulierung von  $\pm 15\%$  erfordert wird. Die Zusatzmaschine arbeitet dann einmal als Motor, einmal als Generator. Diese Leistung wird durch die Welle übertragen, also vom Einankerumformer mechanisch abgegeben oder aufgenommen. Dementsprechend fließt ein Strom im Umformer, dessen MMK nicht durch einen entsprechenden Gleichstrom kompensiert wird. Die MMK des resultierenden Ankerfeldes ändert sich aus dem Grunde  $\pm 15\%$ , und nach dem vorhergehenden ist es klar, daß ein solcher Umformer nicht mehr ohne weiteres mit Wendepolen arbeiten kann. Es wäre offenbar nötig, die Erregung der Wendepole von der Spannung (Leistung) der Zusatzmaschine abhängig zu machen<sup>2)</sup>. Ähnliche Verhältnisse liegen beim Spaltpolumformer vor.

<sup>1)</sup> B. G. Lamme und F. D. Newbury, „Interpoles in synchronous converters“, Proceedings American Institution of Electrical Engineers, November 1910.

<sup>2)</sup> Vgl. Beschreibung des 1100/1500 KW-Umformers der A. E.-G. Berlin, S. 855.

Viel günstiger verhält sich in dieser Beziehung der Kaskadenumformer (WT, V, 1, Kapitel XXII). Der Gleichstromseite wird gewöhnlich zwölfphasiger Wechselstrom zugeführt, und die MMK eines zwölfphasigen Stromes ändert sich nur wenige Prozente. Außerdem ist die Amperewindungszahl der Wendepole bei Kaskadenumformern viel größer als bei Einankerumformern, da bei ersteren auch das Ankerquerfeld des generierten Stromes kompensiert werden muß. Geringe Schwankungen in der Wendefeldstärke kommen daher weniger zur Geltung.

Kaskadenumformer eignen sich deswegen besonders für Wendepole, und bei nicht zu großer Spannungsregulierung ist sogar für Umformer, die mit einer synchronen Zusatzmaschine versehen sind, die Anordnung von Wendepolen, deren Erregung ausschließlich von dem Kommutatorstrom abhängt, zulässig.

Die praktische Erfahrung hat vorstehende theoretische Überlegungen in jeder Hinsicht bestätigt.

---

## Einunddreißigstes Kapitel.

# Das Anlassen und Parallelarbeiten von Umformern.

187. Das Anlassen von Umformern.— 188 Das Parallelarbeiten von Umformern.—  
189 Die Pendelerscheinungen.

### 187. Das Anlassen von Umformern.

Das Anlassen eines Umformers kann entweder

- a) von der Wechselstromseite oder
- b) von der Gleichstromseite oder
- c) mittels eines Hilfsmotors geschehen.

a) **Das Anlassen eines rotierenden Umformers von der Wechselstromseite** aus geschieht in ähnlicher Weise wie bei den Synchronmotoren (Abschn. 70). Damit der vom Umformer aufgenommene Strom nicht zu groß wird, schaltet man nicht die normale Spannung auf die Schleifringe, sondern nur eine Teilspannung, die erhalten wird, indem man Anzapfungen an der Sekundärwicklung des Transformators anbringt. Nach Angaben von J. L. Woodbridge<sup>1)</sup> beträgt für 25 periodige Einankerumformer normaler Ausführung die für das Anlassen notige Teilspannung etwa 20 bis 25%, der vollen Spannung. Bei dieser Spannung nimmt der Umformer etwa den zweifachen, normalen Strom, also etwa 40 bis 45%, der normalen KVA auf.

Gewöhnlich wird jedoch zur größeren Sicherheit eine größere Teilspannung (etwa  $\frac{1}{3}$  bis  $\frac{1}{2}$  der normalen Spannung) verwendet. Die scheinbare Leistung beim Anlassen ist dann entsprechend höher.

Die Westinghouse Gesellschaft, die diese Anlaßmethode auch für die größten Umformer von 3000 KW und darüber verwendet, garantiert, daß die scheinbare Leistung in KVA beim Anlassen die normale KW-Leistung nicht überschreitet. Es ist dann möglich,

---

<sup>1)</sup> Proc. Americ. Inst. Electr. Eng. 1908, Bd. XXVIII, S. 208f.



kleinere Umformer in etwa 30 Sekunden, größere in 45 bis 60 Sekunden anzulassen und zur Stromabgabe bereit zu haben.

Für Dreiphasenumformer genügt ein doppelpoliger Umschalter, indem man die Anzapfungen nur an zwei Phasen anbringt, wie in Fig. 482 angegeben. Beim Anlassen ist der Schalter (*Sch*) nach oben eingelegt, beim Betrieb nach unten.

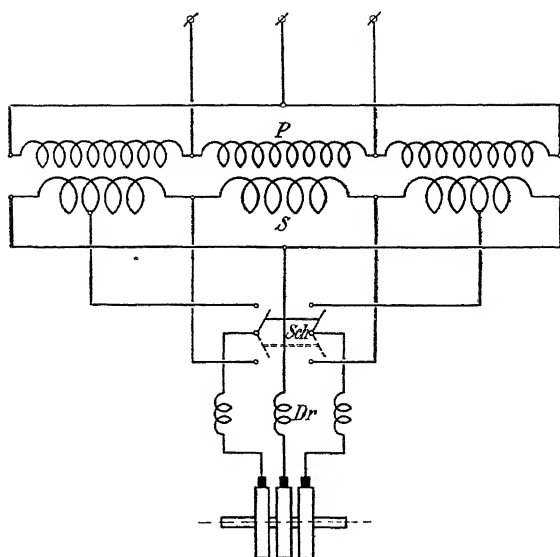


Fig. 482. Schaltungsschema eines Dreiphasenumformers zum Anlassen von der Wechselstromseite.

Bei größeren Maschinen schaltet man die Spannung vorzugsweise in mehreren Stufen auf die Wechselstromseite. Fig. 483 zeigt z. B. das Schaltungsschema eines größeren Sechssphasenumformers. Zwei dreipolige Umschalter ( $Sch_1$  und  $Sch_2$ ) sind derart angeordnet, daß erst  $\frac{1}{3}$ , dann  $\frac{2}{3}$  und dann die volle Spannung auf die Schleifringe geschaltet wird. Nur im letzteren Falle liegt die Drosselspule dem Einankerumformer vorgeschaltet. Bei kleineren Umformern bleibt die Drosselspule gewöhnlich während der ganzen Anlaßperiode eingeschaltet.

Es ist ferner darauf zu achten, daß während des Anlassens keine zu großen Spannungen zwischen den einzelnen Spulen und Lagen der Erregerwicklung entstehen. Man teilt deswegen die Nebenschlußwicklung entweder durch einen besonderen Schalter während des Anlassens in mehrere Teile (Fig. 483) oder man schließt sie kurz. Im letzteren Falle wird in jeder Windung der Erreger-

wicklung die EMK verbraucht, die in ihr induziert wird, und der Umformer zieht besser an.

Nimmt der vom Umformer aufgenommene Wechselstrom mit steigender Tourenzahl stark ab, so nähert sich der Umformer dem Synchronismus, und man kann den Schalter, der zur Unterbrechung oder zur Kurzschließung der Nebenschlußwicklung dient, schließen bzw. öffnen und die Erregerwicklung mit den Klemmen an der Gleichstromseite verbinden. Der Umformer läuft dann von selbst in Synchronismus hinein, erregt sich selbst und nimmt nur den Leerlaufstrom vom Netze auf.

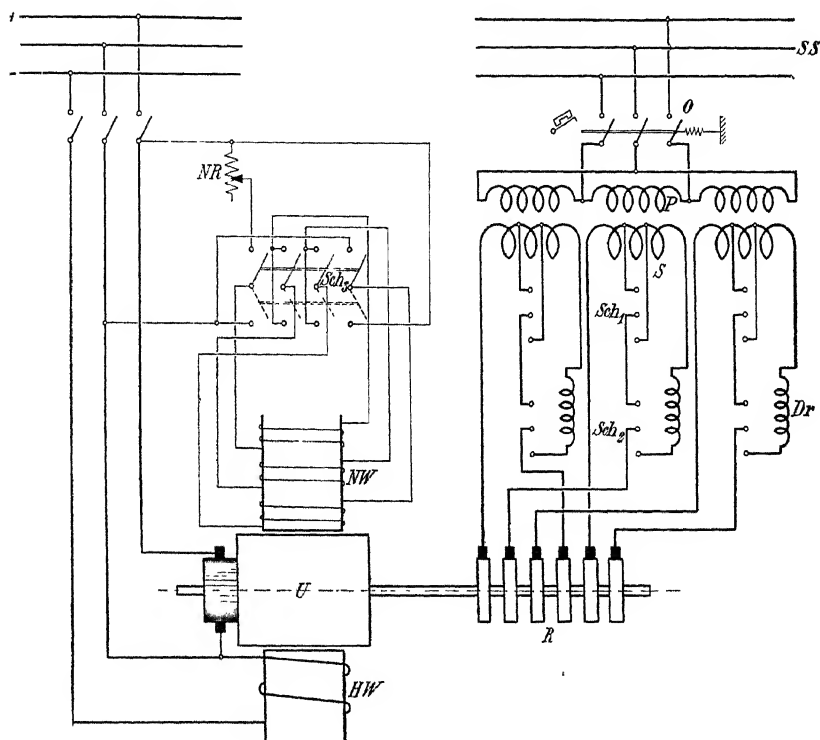


Fig. 483. Schaltungsschema eines Sechssphasenumformers zum Anlassen von der Wechselstromseite.

Diese Anlaßmethode hat außer dem großen Anlaßstrom noch den Nachteil, daß die Polarität der Gleichstromseite keine bestimmte ist; diese hängt davon ab, in welchem Moment der Umformer in Synchronismus kommt. Um die richtige Polarität zu bekommen, beobachtet man am besten ein Gleichstromvoltmeter, das zwischen den Gleichstromklemmen eingeschaltet ist. Wenn der Umformer

sich der synchronen Tourenzahl nähert, fangt die Voltmeternadel an langsam zu schwingen, von Null bis über die normale Stellung hinaus. Hat der Umformer die synchrone Tourenzahl fast erreicht, so schließt man den Schalter der Erregerwicklung in dem Moment, in dem die Nadel ihren größten Ausschlag besitzt. Es fällt dann der Umformer sofort in Synchronismus, erregt sich selbst und besitzt die richtige Polarität.

Ein zweites Verfahren zur Herstellung der richtigen Polarität besteht darin, daß man, wenn falsche Polarität vorhanden ist, die Nebenschlußwicklung umschaltet (*Sch<sub>3</sub>*, Fig. 483). Bei der vorhandenen Drehrichtung und umgeschalteter Erregerwicklung entmagnetisiert der Erregerstrom das Feld. Es kann somit von dem zugeführten Mehrphasenstrom nur ein Drehfeld, das um  $90^\circ$  gegen das Feld des Magnetsystems verschoben ist, erzeugt werden, woraus folgt, daß der Umformeranker sich bei Umschaltung der Erregerwicklung um  $90^\circ$  gegen das Ankerfeld verzögern muß. Schaltet man nun zum zweiten Male die Erregerwicklung um, so schlüpft der Anker noch einmal  $90^\circ$  gegen das Ankerfeld. Der Umformer magnetisiert sich wieder selbst, und die Polarität ist jetzt umgekehrt worden.

Ein weiterer Nachteil des Anlassens von der Wechselstromseite ist der, daß am Kommutator leicht starkes Feuern entsteht, weil die Potentialkurve am Kommutator relativ zu den Bürsten rotiert, wodurch diese öfters auf dem steilen Teile der Kurve zu stehen kommen.

Besonders bei hochperiodigen Einankerumformern machen sich die genannten Nachteile dieser Anlaßmethode geltend.

b) **Das Anlassen von der Gleichstromseite** geschieht in der Weise, daß man mittels eines Vorschaltwiderstandes den Umformer als Nebenschlußmotor auf Tourenzahl bringt. Nachdem er auf synchroner Geschwindigkeit angelangt ist, wird, sobald Phasengleichheit zwischen Netzspannung und Umformerspannung eintritt, die in gewöhnlicher Weise z. B. mittels Phasenlampen beobachtet wird (Kap. XII), der Schalter auf der Wechselstromseite eingelegt. Im allgemeinen vermeidet man jeden Schalter zwischen Transformator und Umformer, weil solche für sehr große Ströme zu bauen wären. Die Synchronisierungsvorrichtung und die Schalter liegen deswegen gewöhnlich an der Hochspannungsseite. In Fig. 484 ist die Schaltung eines Dreiphasenumformers für Anlassen von der Gleichstromseite dargestellt. Erst nachdem Synchronismus hergestellt ist, wird der Ölschalter geschlossen.

Dieser Anlaßmethode haftet der Nachteil an, daß es oft (z. B. im Bahnbetrieb) schwierig ist, gleichzeitig die richtige Spannung

und Geschwindigkeit zu erreichen, weil die Spannung sich fortwährend ändert.

Ist der Umformer von der Gleichstromseite auf die richtige Geschwindigkeit gebracht, während die Spannung an der Wechselstromseite stark von der Netzspannung abweicht, so wird im Einschaltungsmoment ein großer Stromstoß entstehen. Der Umformer wird als Gleichstromgenerator oder Motor arbeiten, je nachdem die Wechselspannung des Netzes höher oder niedriger war als die Umformerspannung.

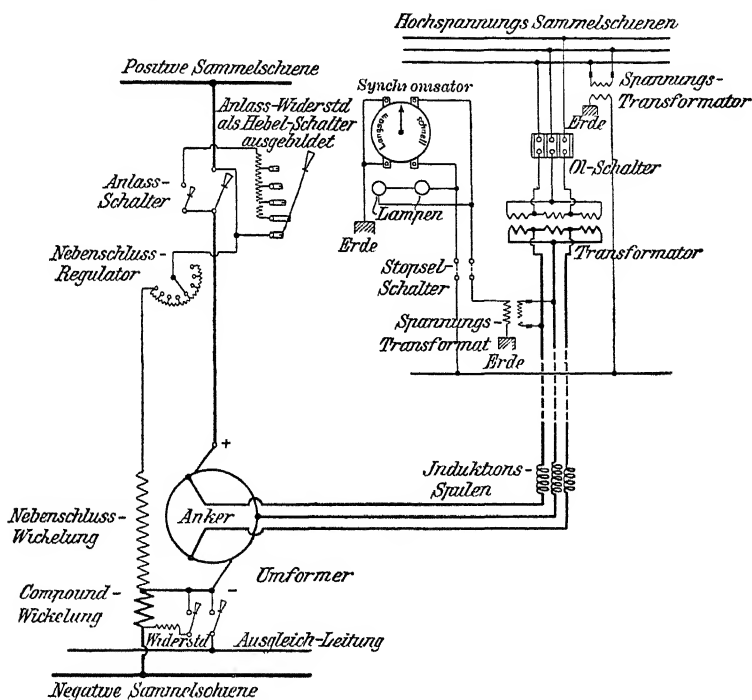


Fig. 484. Schaltungsschema eines Dreiphasenumformers zum Anlassen von der Gleichstromseite.

Das bedeutet eine starke Entlastung oder Belastung der Unterstation, die störend wirkt. Auch kann der Strom unter Umständen so groß werden, daß die Automaten auf der Gleichstromseite auslösen oder daß andere Störungen entstehen. Bei Bahnanlagen mit Unterstationen ist es oft unmöglich, eine genügend hohe Spannung auf der Gleichstromseite zu erhalten, um beim Anlassen derartige Stromstöße zu vermeiden. Es empfiehlt sich deswegen die Gleichstromseite im Augenblicke des Einschaltens auf der Wechselstrom-

seite abzuschalten. Das kann automatisch erfolgen. Dadurch erreicht man, daß die beiden Schaltungen mit Sicherheit in richtiger Reihenfolge und rasch nacheinander ausgeführt werden.

Ist der Umformer mit einer synchronen Zusatzmaschine versehen, so daß die Wechselspannung reguliert werden kann, oder besitzt das Gleichstromnetz die richtige Spannung und variiert diese sehr wenig, so gestaltet sich das Anlassen eines Umformers von der Gleichstromseite sehr einfach und sicher. Das ist z. B. der Fall, wenn entweder eine kleine Hilfsbatterie oder ein kleines Anlaßaggregat vorhanden ist. Mittels einer solchen Batterie oder eines einzigen Anlaßaggregates, das gewöhnlich aus einem kleinen Asynchronmotor und einer direkt gekuppelten Gleichstrommaschine besteht, kann jeder Umformer einer Unterstation angelassen werden.

c) **Das Anlassen mittels eines Hilfsmotors (Anwurfmotors)** ist sehr einfach. Als Anlaßmotor wird ein kleiner Asynchronmotor von 6 bis 15 % der Leistung des Umformers angewandt. Derselbe ist direkt auf die Welle des Umformers aufgekeilt, besitzt zwei Pole weniger als der Umformer und wird für eine so große Schlupfung dimensioniert, daß der Umformer bei normaler Erregung synchron rotiert. Wenn die Verluste im Umformer nicht ausreichen, um die Tourenzahl des Asynchronmotors genügend herunterzudrücken, so kann der Umformer als Gleich- oder Wechselstromgenerator belastet und in dieser Weise auf die richtige Tourenzahl gebracht werden. Ist der Anwurfmotor als Schleifringmotor ausgeführt, so kann die richtige Tourenzahl durch entsprechende Regulierung des Anlaßwiderstandes eingestellt werden. Ist Phasen- und Spannungsgleichheit an der Wechselstromseite hergestellt, so wird der Schalter auf der Wechselstromseite eingelegt. Diese Methode kann überall angewandt werden. Sie hat nur den Nachteil der Mehrkosten eines Anlaßmotors für jeden Umformer. Die Schaltanlage für das Parallelschalten ist dieselbe wie beim Anlassen von der Gleichstromseite. Da aber die Gleichstromseite nicht mit dem Gleichstromnetze verbunden ist, kann durch Änderung der Erregung die Wechselspannung des Umformers immer in Übereinstimmung mit der Netzspannung gebracht werden.

## 188. Das Parallelarbeiten von Umformern.

Der rotierende Umformer hat die Eigenschaften eines Synchronmotors und wirkt somit auf die Generatoren der Zentrale zurück. In großen Anlagen müssen sie aber nicht allein mit den Wechselstromgeneratoren, sondern auf der Gleichstromseite auch oft mit Gleichstromgeneratoren oder Pufferbatterien parallel arbeiten. Damit

dies möglich ist, müssen die Umformer bei konstanter Primarspannung auf der Wechselstromseite einen passend großen Spannungsabfall von Leerlauf bis Normallast an der Gleichstromseite besitzen. Dieser kann mittels vorgeschalteter Reaktanz und durch Gegenkompoundierung des Umformers erreicht werden. Ist der Spannungsabfall eines Umformers zu klein, so nimmt der Umformer, und nicht die Pufferbatterie, die Belastungsstöße auf und gerät dadurch leichter ins Pendeln. Arbeitet ein Umformer parallel mit einer Nebenschlußmaschine, so müssen beide Maschinen denselben Spannungsabfall haben, damit die Belastung sich gleichmäßig auf beide verteilt.

Ein kleiner Spannungsabfall macht aber den Umformer überlastungsfähiger, was besonders für den Bahnbetrieb sehr günstig ist.

Beim Parallelschalten von Umformern ist darauf zu achten, daß die Stromkreise der beiden Umformer auf der Wechselstromseite in keiner Weise miteinander elektrisch verbunden sind (wie in Fig. 485), da sonst der Gleichstrom beim Parallelschalten auf

der Gleichstromseite sich leicht derart auf die einzelnen Burstensätze der beiden Umformer verteilt, daß mehr Strom von den Bursten einer Polarität entnommen wird, als den Bursten der anderen Polarität derselben Maschine zufließt<sup>1)</sup>. Diese Erscheinung tritt auch dann auf, wenn zwei Umformer auf dasselbe Dreileiternetz arbeiten, dessen

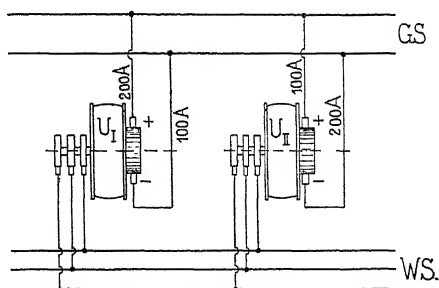


Fig. 485.

Mittelleiter an dem neutralen Punkt der Transformatoren (vgl. Fig. 472) angeschlossen ist. Jeder Umformer bekommt somit einen besonderen Transformator, oder doch jedenfalls eine besondere Transformatorsekundärwicklung.

Sind die Umformer kompondiert, so ist beim Parallelschalten auf der Gleichstromseite eine Ausgleichleitung zwischen die an den Ankern angeschlossenen Klemmen der Hauptschlußwicklung aller Umformer zu legen. Diese Ausgleichleitung dient zur gleichmäßigen Verteilung der Belastung auf alle Umformer<sup>2)</sup>. Beim Zuschalten eines kompondierten Umformers schließt man (Fig. 483) zuerst den Schalter am Ausgleichler und den Schalter an der negativen Schiene,

<sup>1)</sup> The Electrical Review 1900, S. 131.

<sup>2)</sup> Die Gleichstrommaschine, Bd. II, S. 468ff, 2. Aufl.

so daß die Hauptschlußwicklung von den bereits arbeitenden Umformern aus Strom erhält. Hiernach reguliert man die Nebenschlußerregung so ein, daß der zuzuschaltende Umformer die gleiche Spannung hat wie die anderen und schließt dann den Schalter an der positiven Schiene. Durch Verstärkung des Nebenschlußstromes verschiebt man dann allmählich einen Teil der Last von den bereits arbeitenden Umformern auf den neu hinzugeschalteten.

Ein Umformer, der an der Gleichstromseite mit Gleichstromgeneratoren oder mit einer Akkumulatorenbatterie parallel arbeitet, wird gefährdet, wenn im Wechselstromnetz plötzlich ein großer Spannungsabfall, z. B. herrührend von einem Kurzschluß, entsteht. In dem Falle läuft der Umformer als Nebenschlußmotor weiter. Sein Feld wird durch die großen wattlosen Ströme, die er durch den Kurzschluß auf der Wechselstromseite an das Netz abzugeben hat, stark geschwächt.

Deswegen muß man Einankerumformer in solchen Fällen gegen zu große Geschwindigkeiten sichern (S. 872, Drehzahlbegrenzer). Wir kommen hierauf bei den umgekehrten Umformern noch zurück.

### 189. Die Pendelerscheinungen.

Bekanntlich neigen die Umformer mehr zum Pendeln als die Synchronmotoren; dies wird auch aus dem Folgenden leicht verständlich.

Beim Pendeln arbeitet der Umformer vollständig als Synchronmotor und die Energie pendelt hin und her zwischen dem Generator und den Massen des Umformers, in welchen sie eine Zeitlang akkumuliert wird. Damit keine Resonanz entstehen kann, darf das Verhältnis

$$\sqrt{\frac{4\pi c T}{k_p}}$$

nicht mit dem Verhältnis  $\frac{p_g}{\nu}$  irgendeiner von einer Kolbenmaschine angetriebenen Wechselstrommaschine übereinstimmen.  $p_g$  ist die Polpaarzahl des betrachteten Wechselstromgenerators und  $\nu$  die Zahl der Leistungsimpulse pro Umdrehung. Die gefährlichsten Impulse sind diejenigen von der niedrigen Periodenzahl, also für

$$\nu = 1, 2 \text{ oder } 4.$$

In der obigen Formel bedeutet  $T$  die Anlaufzeit des Umformers, wenn er mit der normalen Leistung  $W_g$  angelassen wird,  $k_p$  ist das Verhältnis zwischen der synchronisierenden Kraft und der normalen

Leistung  $W_g$ . Für den  $m$ -phasigen Umformer ergibt sich das Verhältnis  $k_p$  annähernd zu

$$k_p = \frac{m P_1'}{W_g} \left( \frac{P_1'}{x_l + x_3'} - J_{lwl} \right) \dots \dots (479)$$

$P_1'$  bedeutet die konstante primäre Phasenspannung des in Stern geschalteten Transformators, reduziert auf die Sekundärseite,  $x_l$  ist die vorgeschaltete Reaktanz und die Streureaktanz des Transformators und  $x_3'$  bedeutet die auf Sternschaltung reduzierte Reaktanz  $x_3$  einer Phase des Umformers. Es ist also

$$x_3' = \frac{x_3}{\left( 2 \sin \frac{\pi}{m} \right)^2}.$$

In die Formel für  $k_p$  ist nicht (entsprechend Gl. 157) der wattlose Strom  $J_{lwl0}$  bei Leerlauf, sondern der bei der betreffenden Belastung des Umformers vorhandene wattlose Strom  $J_{lwl}$  einzusetzen, denn für jede Umformerbelastung läuft der Umformer, als Synchronmotor betrachtet, leer. Wie hieraus ersichtlich, ändert sich  $k_p$  mit dem vom Umformer aufgenommenen wattlosen Strom, und zwar prozentual um so mehr, je größer  $J_{lwl}$  im Verhältnis zu  $\frac{P_1'}{x_l + x_3'}$  ist.

Tritt Resonanz nicht bei dem wattlosen Strom  $J_{lwl}$  einer Belastung des Umformers auf, so kann sie bei einer anderen Belastung auftreten. Damit  $k_p$  sich bei Änderung des wattlosen Stromes möglichst wenig ändert, ist  $\frac{J_{lwl}(x_l + x_3')}{P_1'}$  möglichst klein zu halten.

Von den beiden Spannungen  $J_{lwl}x_l$  und  $J_{lwl}x_3'$  soll die erste stets einen gewissen Prozentsatz von  $P_1'$ , entsprechend der Änderung der Umformerspannung von Leerlauf bis Belastung, betragen. Es bleibt uns somit nur noch die Möglichkeit, das Verhältnis  $\frac{J_{lwl}x_3'}{P_1'}$  klein zu machen. Das geschieht in der Weise, daß man den Luftspalt möglichst groß und die Nutenstreuung möglichst klein macht. Es ist nicht günstig, die Zähne stark zu sättigen; denn dann nimmt die Reaktanz  $x_3$  mit zunehmender Spannung, d. h. bei phasenverfrühtem (negativem) Strom  $J_{lwl}$ , ab, also  $\frac{P_1'}{x_l + x_3'}$  zu, und das Verhältnis  $k_p$  wird in noch größerem Maße geändert. Man ist deswegen gezwungen, fast alle Feldamperewindungen bei einem kompondierten Umformer auf den Luftspalt zu verlegen. Ferner soll man von den beiden Größen



$J_{lw}$  und  $x_i$  die erste möglichst klein halten, denn dann wird  $J_{lw} \cdot x_3$  um so kleiner.

Das eben Gesagte bezieht sich auf Umformer mit Kompoundwicklung und, wie ersichtlich, wird die Gefahr für Resonanzerscheinungen durch Kompoundierung eines Umformers stark erhöht. Bei Spannungsregulierung mittels Autotransformatoren liegen die Verhältnisse auch nicht besonders günstig, denn hier ändern wir in irgendeiner Weise die auf die Sekundärseite des Transformators reduzierte Primärspannung  $P_1'$  und somit das Verhältnis  $k_p$ . Bei einer derartigen Spannungsregulierung ist es auch nicht vorteilhaft, die Ankerzähne zu sättigen, denn dann nimmt  $k_p$  bei den höheren Spannungen in noch stärkerem Maße zu.

In bezug auf Pendeln sind die Spannungsregulierungen mittels einer synchronen Zusatzmaschine oder mittels einer Gleichstrom-zusatzmaschine die günstigsten.

Stimmt die Periodenzahl der natürlichen Schwingungen eines Umformers mit irgendeiner der vielen Schwingungen, die dem System von den Kurbelmaschinen aufgedruckt wird, überein, so muß man  $k_p$  ändern; denn weder  $c$  noch  $T$  lassen sich gut ändern.

Von den Großen, die in der Formel für  $k_p$  vorkommen, läßt sich nur die Reaktanz  $x_3'$  ohne Schwierigkeit ändern.  $x_3$  ändert man, indem man den Luftspalt und die Nutenform anders wählt. Der Pendelweg eines Generators und eines Umformers ist umgekehrt proportional der Reaktanz des Wattstromes und, da diese von dem Quersfelde im Generator resp. im Umformer abhängt, so erklären sich hieraus auch die von C. F. Scott nach praktischen Erfahrungen aufgestellten Bedingungen für einen guten Betrieb von Umformern, welche lauten:

1. Die Generatoren sollen große Schwungmassen erhalten und so angetrieben werden, daß die Winkelabweichungen der Magneträder innerhalb enger Grenzen bleiben, selbst wenn die Belastung sich periodisch ändert

2. Die Generatoren und Umformer sollen einen relativ großen Luftspalt haben.

3. Das Eisen in den Magnetkernen und im Joch soll ungesättigt bleiben; denn dann treten nur kleine wattlose Ströme auf.

Wir haben auf S. 406 gesehen, daß Pendelerscheinungen in einer Anlage oft erst dann auftreten, wenn eine ganz bestimmte Anzahl gleicher Synchronmotoren oder Umformer in Betrieb gesetzt wird. Diese Erscheinung ist auch von C. F. Scott bei mehreren Anlagen beobachtet worden. Die Anzahl  $n$  der Umformer, die die  $N$  Generatoren und  $n$  Umformer einer Anlage zum Pendeln bringen kann, ergibt sich aus der Formel 274. Es ist

$$n = -N \frac{x_{cy} \zeta_q^-}{x_{cu} \zeta_u^-},$$

wo  $x_{cq}$  die Pendelkapazität des Generators,  $x_{cu}$  die des Umformers und  $\zeta$  die Resonanzmoduln  $\frac{x_s}{x_s - x_c}$  der Generatoren und Umformer bedeuten. Diese Pendelerscheinungen lassen sich wie alle anderen durch Abänderung des Luftspaltes oder des Schwungmomentes der rotierenden Massen fortschaffen. Weitere derartige Erscheinungen sind in Kapitel XV behandelt.

Bei jeder Pendelerscheinung schwankt hauptsächlich der Wattstrom und mit ihm das Querfeld im Umformer. Um diese Schwankungen und ihren schädlichen Einfluß auf die Kommutation zu vermeiden, werden die Umformer mit Bronzebrücken zwischen den Polspitzen versehen, die auch unter die Polschuhe hineingehen, oder die Dampferwicklung wird als vollständige Käfigwicklung ausgeführt. Die Erfahrung hat gezeigt, daß Umformer für große Periodenzahlen empfindlicher in bezug auf Pendeln sind, als die für kleinere Periodenzahlen, was ganz erklärlich ist.

Oft geben Oberströme im Betriebe von synchronen Maschinen Anlaß zu Störungen. Haben die EMKe der Generatoren und Umformer verschiedene Kurvenformen, so fließen zwischen diesen Oberströme, die um so größer sind, je kleiner die Reaktanzen des ganzen elektrischen Stromkreises in bezug auf diese Oberströme sind. Wenn solche Oberströme auftreten, sind die für die Spannungsregulierung vorgeschalteten Drosselspulen sehr geeignet, sie abzuschwächen.

## Zweiunddreißigstes Kapitel.

### Anwendungen des Einankerumformers.

190. Verschiedene Verwendungsarten. — 191. Der Einphasen-Einankerumformer. — 192. Der umgekehrte Umformer — 193. Der Doppelstromgenerator. — 194. Anwendung des Umformers zur Phasen- und Spannungsregulierung bei Arbeitsübertragungen.

#### 190. Verschiedene Verwendungsarten.

Der Einankerumformer, der aus der Vereinigung einer Gleichstrommaschine mit einer synchronen Wechselstrommaschine entstanden ist, kann in verschiedener Weise verwendet werden, und zwar:

1. Als Wechselstrom-Gleichstrom-Umformer. Bei dieser in den vorhergehenden Kapiteln behandelten Verwendungsart wird er kurz als „Umformer“ bezeichnet. Besondere Erwähnung verdient die Anwendung rotierender Umformer in Verbindung mit Asynchrongeneratoren (vgl. Bd. V, 1, S. 477).

2. Als Gleichstrom-Wechselstrom-Umformer. In diesem Falle wird er als „umgekehrter Umformer“ bezeichnet.

3. Als Generator für Gleich- und Wechselstrom (ein- oder mehrphasigen). Hier wird die Maschine mechanisch angetrieben und als „Doppelstromgenerator“ bezeichnet.

4. Als Motor für Gleich- und Wechselstrom (ein- oder mehrphasigen), d. h. als Doppelstrommotor. In diesem Falle läuft die Maschine zunächst als Synchronmotor, und die Gleichspannung wird derart erhöht, daß der Gleichstrom gegenüber der Arbeitsweise als Umformer in umgekehrter Richtung fließt, so daß die Maschine auch als Gleichstrommotor arbeitet.

5. Als Wechselstromsynchronmotor und gewöhnlicher Umformer. In diesem Falle ist die auf der Wechselstromseite zugeführte Leistung um den Betrag, der der mechanischen Leistung entspricht, größer als der für die Erzeugung des Gleichstromes er-

forderliche Wert, und die Ankerrückwirkung des Wechselstromes ist größer als diejenige des Gleichstromes.

6. Als Gleichstrommotor und umgekehrter Umformer, in welchem Falle die Gleichstromleistung entsprechend der Wirkung als Motor und die Ankerrückwirkung des Gleichstromes überwiegen.

7. Als Gleichstromgenerator und gewöhnlicher Umformer, ein Teil der Gleichstromleistung wird aus mechanischer Arbeit erzeugt und ein Teil entspricht der zugeführten Leistung des Wechselstromes.

8. Als Wechselstromgenerator und umgekehrter Umformer, in diesem Falle wird ein Teil der Wechselstromleistung durch mechanische Arbeit erzeugt und ein Teil entspricht der zugeführten Leistung des Gleichstromes.

9. Als Phasenzahl-Umformer, d. h. um einen Wechselstrom in einen Wechselstrom von anderer Phasenzahl umzusetzen.

Wir können z. B. einem Umformer mit 6 Schleifringen, die mit entsprechenden Punkten der Wicklung verbunden sind, an 3 Schleifringen einen Dreiphasenstrom zuführen und an 4 Schleifringen einen Vierphasenstrom entnehmen oder in umgekehrter Weise verfahren. (Ein Schleifring gehört zu beiden Systemen).

Zwischen den Spannungen der verschiedenen Stromarten besteht immer ein bestimmtes Verhältnis, dessen Wert in Abschnitt 173 angegeben ist. Wir können von diesem Verhältnis abweichen, wenn wir die Wicklung des Umformers noch mit einer aufgeschnittenen Wicklung kombinieren.

Denken wir uns dieselbe Maschine der Reihe nach in allen oben genannten Arten verwendet, so wird ihre Leistungsfähigkeit jeweils von der Größe der Stromwärmeverluste im Anker und von der Kommutation abhängen.

Die Verhältnisse liegen am günstigsten, wenn die Maschine als reiner Umformer bzw. als umgekehrter verwendet wird, denn in diesem Falle sind die Stromwärmeverluste ein Minimum, und da keine Quermagnetisierung vorhanden ist, sind die Bedingungen für die Kommutation bei allen Belastungen am günstigsten.

Für praktische Zwecke kommen die unter 4 bis 9 genannten Verwendungsarten wenig in Betracht. Den mehrphasigen Wechselstrom-Gleichstrom-Umformer haben wir ausführlich behandelt, im Nachfolgenden sollen daher nur noch der Einphasen-Umformer, der umgekehrte Umformer und der Doppelstromgenerator kurz betrachtet werden.

## 191. Der Einphasen-Einankerumformer.

Aus der Tabelle (S. 713) geht hervor, daß die Stromwärmeverluste eines Einphasen-Einankerumformers wesentlich größer sind als die des entsprechenden Gleichstromgenerators. Aus dem Grunde sind die Vorteile des Einphasenumformers gegenüber dem Motorgenerator sehr gering, und es empfiehlt sich nicht solche Umformer zu bauen. Dazu kommt noch, daß die Kommutation wesentlich schlechter ist als bei Mehrphasen-Einankerumformern.

Der Einphasenstrom erzeugt ein Wechselfeld, das sich bekanntlich in zwei entgegengesetzt rotierende Drehfelder zerlegen läßt. Das eine ist ein im Raume stillstehendes Feld, das genau so wie beim Mehrphasenumformer den synchronen Lauf bedingt, das inverse rotiert mit doppelter Periodenzahl relativ zu den Magnetpolen. Es wirkt somit auch induzierend auf die kurzgeschlossenen Spulen und beeinträchtigt die Kommutation. Durch Dampferwicklungen läßt sich zwar dieses Feld abdämpfen, es bleibt aber immerhin ein gewisses resultierendes Feld bestehen, denn sonst könnten eben keine Kurzschlußströme in der Dampferwicklung induziert werden. Auch ist die Anordnung von Dämpfern um eventuell vorhandene Wendepole aus früher angegebenen Gründen (S. 752) nicht empfehlenswert.

Vollkommen neutralisieren kann man dieses invers rotierende Feld nur durch eine feststehende Mehrphasenwicklung, die mit einem entsprechenden Strome doppelter Periodenzahl gespeist wird. Dieser Strom kann nach dem A. E.-G.-Patente 214576 von einem kleinen Synchrongenerator, der mit dem Einankerumformer gekuppelt ist und die doppelte Polzahl besitzt, geliefert werden. Die Erregung dieses Synchrongenerators muß dann abhängig sein von dem vom Einankerumformer abgegebenen Gleichstrom.

Diese Anordnung verteuert jedoch den Einankerumformer ganz beträchtlich, außerdem bietet die Konstruktion eines kleinen Synchrongenerators mit doppelter Polzahl bei der ohnehin schon sehr hohen Polzahl rotierender Umformer Schwierigkeiten. Deswegen dürfte sie wohl kaum praktische Verwendung finden.

## 192. Der umgekehrte Umformer.

In gewissen Fällen wird es wünschenswert, Gleichstrom in Wechselstrom umzuwandeln. Soll z. B. ein entfernt gelegener Distrikt von einer Gleichstromzentrale aus mit Strom versorgt oder eine entfernte Bahnanlage von einer bestehenden großen Gleichstromzentrale aus betrieben werden, so wird der Gleichstrom mittels des umgekehrten Umformers in Verbindung mit einem Transformator

in hochgespannten Wechselstrom umgewandelt, am Verwendungs-orte wieder in niedergespannten Strom transformiert und wenn erforderlich mittels eines Umformers wieder in Gleichstrom umgesetzt.

Eine praktische Verwendung findet der umgekehrte Umformer ferner als Verbindungsglied zwischen einem Wechselstromnetze und einer Akkumulatorenbatterie, die dazu dienen soll, die plötzlichen Belastungsstöße aufzunehmen, und in Zentralen, in welchen Gleichstromgeneratoren für Bahnbetrieb und für die Versorgung naher Distrikte und Wechselstromgeneratoren für Lichtbetrieb und für die Versorgung entfernter Distrikte aufgestellt sind, sowie zum Austausch von Energie zwischen entfernt liegenden Gleichstromanlagen oder zwischen einer Gleichstrom- und einer Wechselstromanlage. In diesen Fällen wird bald Gleichstrom in Wechselstrom und bald Wechselstrom in Gleichstrom umgesetzt, so daß man stets eine ökonomische Belastung der im Betriebe befindlichen Generatoren erhält.

Der Umformer bildet ein Verbindungsglied zwischen den verschiedenen Generatoren oder zwischen den voneinander entfernten Anlagen und kann auf diese Weise eine Maschine ersetzen, wenn die maximalen Belastungen des Gleich- und Wechselstromnetzes zu ungleichen Zeiten auftreten, auch bildet er zugleich eine Reserve.

Wird ein Umformer in gewöhnlicher Weise betrieben, indem er Wechselstrom aufnimmt und Gleichstrom abgibt, so wird seine Geschwindigkeit durch diejenige des Wechselstromgenerators bestimmt, mit welchem der Umformer synchron läuft. Benutzen wir dagegen den Umformer in umgekehrter Weise, und ist er nicht mit einem Wechselstromgenerator parallel geschaltet, dessen Umdrehungszahl durch den Regulator der Antriebsmaschine konstant gehalten wird, so sind Umdrehungszahl und Periodenzahl des Umformers nur noch abhängig von der Spannung des eingeleiteten Gleichstromes und von dem Kraftfluß pro Pol. Denn der Umformer arbeitet nun, soweit die Gleichstromseite in Betracht kommt, wie ein Nebenschluß- bzw. ein Doppelschluß-Gleichstrommotor, dessen Umdrehungszahl

$$n = \frac{60}{p} \frac{a}{N} \frac{E_g}{\Phi} 10^8 = \text{konst.} \frac{E_g}{\Phi}$$

ist, wenn  $E_g$  die in der Ankerwicklung induzierte EMK und  $\Phi$  den Kraftfluß pro Pol bezeichnet. Wird die dem Umformer zugeführte Klemmenspannung des Gleichstromes konstant gehalten, so ist auch die EMK  $E_g$  für alle Belastungen nahezu konstant, und die Umdrehungszahl ändert sich umgekehrt proportional mit  $\Phi$ . Wird das

Feld geschwächt, so läuft die Maschine schneller und ergibt eine höhere Periodenzahl; wird das Feld verstärkt, so läuft die Maschine langsamer mit kleinerer Periodenzahl.

Die Feldstärke hängt nun nicht allein von der Felderregung, sondern auch von dem wattlosen Strom ab. Übersteigt der vom Umformer abgegebene nachteilige Strom eine gewisse Grenze, so wird das Feld so viel geschwächt, daß eine gefährliche Erhöhung der Umdrehungszahl und eine unzulässige Erhöhung der Periodenzahl eintritt. Aber auch bei wenig induktiver Belastung ändert sich die Umdrehungszahl mit dem Leistungsfaktor und ergibt für den praktischen Betrieb einen unbefriedigenden Zustand. Auch ist die Wechselspannung bestimmt durch das dem betreffenden Belastungszustand entsprechende Übersetzungsverhältnis, und kann somit nur reguliert werden, wenn eine Zusatzmaschine oder ein Potentialregler vorgesehen ist.

Es läßt sich nun aber die Tourenzahl eines umgekehrten Umformers in verschiedener Weise regulieren:

1. Um die Umdrehungszahl eines umgekehrten Umformers möglichst konstant zu halten, verwendet die Westinghouse Electric & Mfg. Co. zur Erregung von umgekehrten Umformern eine kleine direkt gekuppelte Nebenschlußmaschine. Diese Erregermaschine kann auch von einem asynchronen Motor, der seinen Strom vom Umformer empfängt, besonders angetrieben werden. Sie wird so wenig gesättigt, daß sie erheblich unterhalb des Knies der Magnetisierungskurve arbeitet.

Beginnt nun infolge der Ankerrückwirkung der Umformer schneller zu laufen, so erhöht sich die Spannung der Erregermaschine, und da diese ihre eigene Erregung verstärkt, erhalten wir eine potenzierte Wirkung. Hieraus folgt, daß die Erregerspannung sich viel rascher ändert als die Tourenzahl, und zwar so lange, bis das Magnetsystem der Erregermaschine gesättigt ist. Hinter dem Knie der Magnetisierungskurve ändert sich die Erregerspannung annähernd proportional der Tourenzahl. In Fig. 486 ist die Spannung als Funktion der Tourenzahl aufgetragen. Bei einer gewissen, der sogen. toten Tourenzahl sollte man theoretisch gar keine Spannung erhalten; dies trifft wegen des remanenten Magnetismus jedoch nicht zu. Immerhin ist man gezwungen, die Erregermaschine oberhalb der toten Tourenzahl und unterhalb der Tourenzahl, bei welcher das Magnetsystem gesättigt wird, arbeiten zu lassen.

Für induktionsfreie oder nahezu induktionsfreie Belastung, die wenig Erregung erfordert, arbeitet die Erregermaschine bei geringer Sättigung, und das Konstanthalten der Tourenzahl gelingt hier bis

auf 1%, weil einer geringen Änderung derselben eine verhältnismäßig große Änderung der Felderregung entspricht. Je größer dagegen die Ankerrückwirkung durch wattlose Ströme wird, desto größer werden die Tourenänderungen und desto schwieriger wird es, eine passende Erregermaschine zu bauen, da sie für den ganzen Bereich der Regulierung unterhalb des Knies der Magnetisierungskurve arbeiten soll

In Fig. 487 ist das Schaltungsschema eines Umformers der Westinghouse El. & Mfg. Co. dargestellt. Derselbe kann von der Wechselstromseite aus mittels des Anlaßmotors *AM* auf Synchronis-

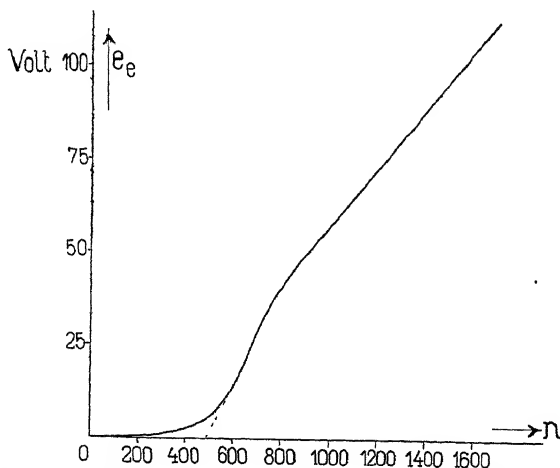


Fig. 486. Erregerspannung einer schwach gesättigten Nebenschlußmaschine als Funktion der Tourenzahl

mus gebracht werden. Der Widerstand  $R_2$  dient zur Belastung des Anlaßmotors, um die synchrone Tourenzahl bequem einstellen zu können. Soll der Umformer von der Gleichstromseite aus angelassen werden, so benutzt man den Anlaßwiderstand  $R_1$  und erregt den Umformer vom Netze. Als umgekehrter Umformer arbeitend, wird der Umformer dagegen von dem kleinen Motorgenerator *MG* separat erregt.

2. Da eine induktive Belastung eine Änderung der resultierenden längsmagnetisierenden Amperewindungen eines Umformers, die fast dem wattlosen Strome proportional ist, zur Folge hat, so ist es klar, daß man die Tourenzahl eines umgekehrten Umformers konstant halten kann, wenn man denselben von der Wechselstromseite compoundiert. Man gibt z. B. dem Umformer außer der gewöhnlichen Nebenschlußwicklung *NW* noch eine Wicklung *CW*



(s. Fig. 488), die von einem Strom, proportional der wattlosen Komponente des dem Umformer zugeführten Wechselstromes, durchflossen wird. Dieser Strom wird durch Gleichrichten einer der wattlosen Komponente proportionalen Spannung erhalten.

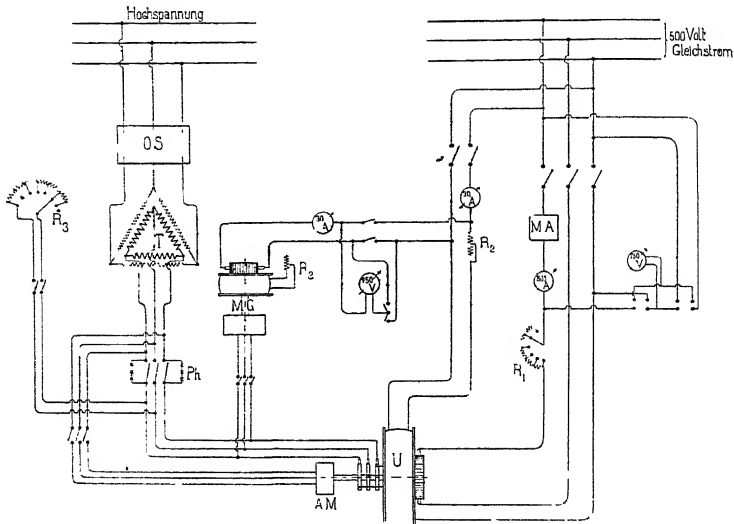


Fig. 487. Schaltungsschema eines Umformers der Westinghouse El & Mfg Co zum Anlassen von der Wechselstrom- oder Gleichstromseite.

*OS* = Olschalter.

*Ph* = Phasenlampen.

*MG* = Motorgenerator.

*MA* = Maximalausschalter.

*R<sub>1</sub>* = Anlaßwiderstand.

*R<sub>2</sub>* = Erregerregulator.

*R<sub>3</sub>* = Belastungswiderstand.

*AM* = Anlaßmotor.

Am einfachsten läßt sich diese Spannung in der in Fig. 488 gezeigten Weise erzeugen. Auf die Welle des Umformers setzt man den Anker einer kleinen Hilfsmaschine *HM* mit zwei Ankerwicklungen auf. Von diesen ist die eine *A<sub>1</sub>* eine gewöhnliche offene Phasenwicklung, die von dem Wechselstrom des Umformers durchflossen wird. Die zweite Wicklung *A<sub>2</sub>* ist eine gewöhnliche Gleichstromwicklung mit Kommutator *K*; sie liefert den Strom für die Wicklung *CW*. Natürlich muß diese kleine Maschine ebenso viele Pole wie der Umformer *U* besitzen.

Man setzt nun den Anker dieser Maschine so auf die Welle, daß das Feld der Maschine dem wattlosen Strome proportional wird. Ist die Maschine schwach gesättigt, so wird die Spannung für die Wicklung *CW* auch dem wattlosen Strome proportional sein.

Diese Anordnung hat vor der Westinghouseschen den Vor-

teil, daß die Hilfsmaschine viel leichter zu berechnen und zu dimensionieren ist, und daß sie für alle Fälle die Tourenzahl konstant hält.

Ferner kann diese kleine Maschine, wenn der Umformer zur Umwandlung von Wechselstrom in Gleichstrom benutzt wird, auch, wie die auf Seite 736 beschriebene synchrone Zusatzmaschine *SM*, zur Regulierung der Gleichspannung benutzt werden. Zu dem Zwecke ordnet man auf dem Feld derselben entweder eine Nebenschlußwicklung oder eine vom Hauptstrom durchflossene Wicklung an. Natürlich wird in diesem Falle die Verbindung zwischen dem Kommutator *K* und der Wicklung *CW* des Umformers unterbrochen.

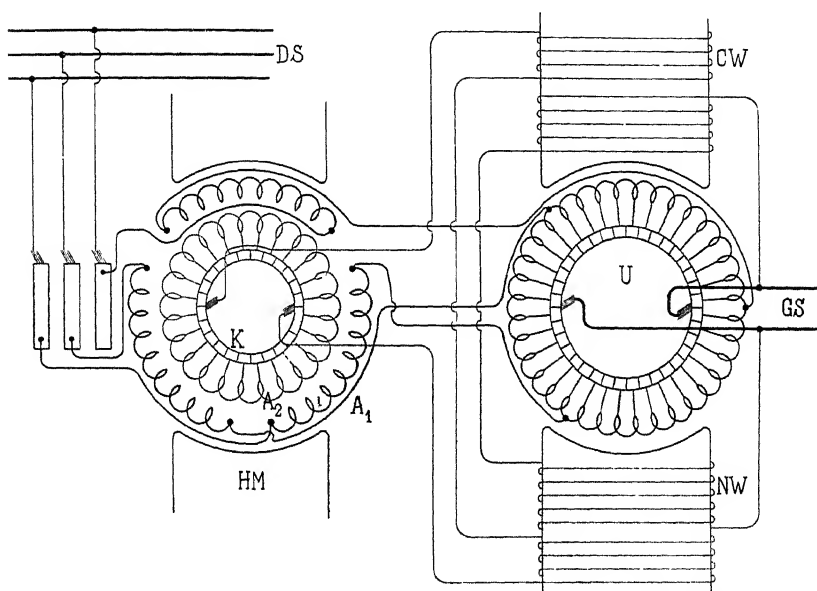


Fig. 488. Anordnung eines mittels einer Hilfsmaschine von der Wechselstromseite aus komputierten umgekehrten Umformers.

3. Die Umdrehungszahl eines komputierten Umformers läßt sich auch dadurch konstant halten, daß man die Erregung desselben von einem komputierten Erregerumformer nimmt. Der in Fig. 131 dargestellte komputierte Erregerumformer von Rice wurde sich z. B. für diesen Fall eignen.

Wegen der Eigenschaft des umgekehrten Umformers bei abnehmender Feldstärke seine Umdrehungszahl zu erhöhen, ist es nicht ratsam, Induktionsmotoren, Synchronmotoren oder andere Umformer mit einem umgekehrten Umformer in Betrieb zu setzen. Nur wenn die Leistung der angetriebenen Maschinen im Verhältnis

zu der des Umformers klein ist und der Umformer stark erregt wird, ist ein Durchgehen nicht zu befürchten.

Ein Durchgehen des umgekehrten Umformers wird auch dann eintreten, wenn auf der Wechselstromseite ein Kurzschluß erfolgt, denn der Kurzschlußstrom ist in der Phase stark nachteilig und schwächt das Feld.

Beim gewöhnlichen Wechselstrom-Gleichstrom-Umformer hat ein Kurzschluß auf der Wechselstromseite dieselben Folgen, wenn er mit anderen Gleichstromgeneratoren oder einer Akkumulatorenbatterie parallel geschaltet ist, denn er kehrt bei Kurzschluß seine Wirkung um und erzeugt als umgekehrter Umformer den Kurzschlußstrom.

Aus obigen Gründen empfiehlt es sich, den Einankerumformer mittels eines Zentrifugalregulators, der mit der Umformerwelle in Verbindung steht und bei zu hoher Tourenzahl Ausschalter auf der Gleich- und Wechselstromseite in Tätigkeit setzt, gegen Durchgehen zu schützen. Auch elektrische Automaten, die bei zu hoher Periodenzahl in Tätigkeit treten, können verwendet werden.

### 193. Der Doppelstromgenerator.

Wir haben oben gesehen, daß der Umformer ein wertvolles Verbindungsglied zwischen einer Wechselstrom- und einer Gleichstromanlage bilden kann, indem er je nach Bedarf Wechselstrom in Gleichstrom oder Gleichstrom in Wechselstrom umwandelt. In solchen Fällen, wo von einer Zentrale aus Wechselstrom und Gleichstrom abgegeben wird, kann es von Vorteil sein, den Umformer zur gleichzeitigen Erzeugung von Wechselstrom und Gleichstrom zu benutzen, er muß zu diesem Zwecke mechanisch angetrieben werden.

Die Vereinigung der Erzeugung beider Stromarten in einem Anker bietet die Möglichkeit, irgendeinen Bruchteil der Gesamtleistung der Maschine in Form von Wechselstrom oder Gleichstrom abzugeben. Aus diesem Grunde wird es unter Umständen möglich, eine billigere Maschine zu bauen bzw. mit einer Maschine eine Reserve für die Gleich- und Wechselstromanlage zu schaffen.

Nachteilig ist, daß die Spannungen beider Ströme in bestimmter Weise voneinander abhängen und daß die Gleichstromseite bei hohen Periodenzahlen ungünstige Abmessungen erhält.

Die Verwendung eines Doppelstromgenerators muß sich auf Verhältnisse beschränken, für die sich eine gute Gleichstrommaschine noch bauen läßt. Die Westinghouse Electric Mfg. Co. hat für den Betrieb von Bahnen mehrfach 600 und 1000 KW-Doppelstrom-

generatoren aufgestellt; sie werden außerdem auch als Umformer benutzt. Der Gleichstrom von 550 Volt dient zum Betrieb der in der Nähe der Station liegenden Linien, und der Dreiphasenstrom von etwa 340 Volt wird auf eine höhere Spannung transformiert und in entfernten Unterstationen wieder in Gleichstrom umgeformt.

Wenn der Doppelstromgenerator nicht gleichzeitig als Umformer dienen soll, oder wenn eine große Verschiebung der Belastung auf die eine oder andere Seite nicht erforderlich ist, so wird in den meisten Fällen die Aufstellung einer Wechselstrommaschine und einer Gleichstrommaschine besser sein. Werden diese von einer Kraftmaschine gemeinsam angetrieben, so ermöglichen sie, ebenso wie ein Doppelstromgenerator, die Antriebsmaschine stets in ökonomisch günstiger Weise zu belasten.

Der Effektverlust im Ankerwiderstande eines Doppelstromgenerators hängt von der Summe der beiden Ströme, d. h. von der Gesamtleistung der Maschine und der Phasenverschiebung des Wechselstromes, ab.

Da der Wechselstrom in umgekehrter Richtung fließt wie im gewöhnlichen Umformer, so finden wir den Effektverlust, indem wir das Vorzeichen von  $u_i$  in Gl. 455, Seite 712, umkehren.

Durch den Wechselstrom werden die Stromwärmeverluste im Anker eines Doppelstromgenerators über die des Gleichstromes erhöht, und zwar in dem Verhältnisse

$$\nu' = 1 + u_i^2 + v_i^2 + \frac{4\sqrt{2} m u_i}{\pi^2} \sin \frac{\pi}{m},$$

wo  $u_i$  und  $v_i$  dieselben Bedeutungen wie beim Umformer haben; es ist

$$u_i = \frac{2 J_w}{J_g} \quad \text{und} \quad v_i = \frac{2 J_{wl}}{J_g}.$$

Der Doppelstromgenerator ist für die Leistung

$$P_g J_g \sqrt{\nu'}$$

zu bauen und der Stromwärmeverlust im Anker ist

$$W_{ka} = J_g^2 R_a \nu'.$$

Da ein Mehrphasenstrom bekanntlich in demselben Anker ungefähr dieselben Stromwärmeverluste wie ein gleich großer Gleichstrom erzeugt, sind die Stromwärmeverluste eines Doppelstromgenerators fast gleich denjenigen einer Gleich- oder Wechselstrommaschine. Erst bei sehr großer Phasenzahl werden die Kupferverluste eines Mehrphasenstromes kleiner als diejenigen eines Gleichstromes. Jedoch geht das Verhältnis der Verluste nie unter  $\frac{8}{\pi^2} = 0,81$  herunter,

welchen Grenzwert wir bei unendlich großer Phasenzahl erreichen. Die Dimensionen eines Doppelstromgenerators weichen deswegen fast unmerklich von denen einer gleich großen Gleich- oder Wechselstrommaschine ab

Für das Verhältnis der Wechselspannung zur Gleichspannung gelten die auf Seite 704 für den Einankerumformer aufgestellten Beziehungen. Bei Anbringung einer genügenden Zahl von Schleifringen, die mit den entsprechenden Punkten der Wicklung zu verbinden sind, kann dem Generator gleichzeitig Ein- und Mehrphasenstrom entnommen werden.

Die Leistungsfähigkeit des Generators wird durch die Erwärmung und die Kommutation begrenzt. Die Bedingungen für die Kommutation liegen nicht so günstig wie beim Umformer. Die Wattkomponente des Wechselstromes wirkt, ebenso wie in einem Wechselstromgenerator, quermagnetisierend und erzeugt gemeinsam mit dem Gleichstrom ein starkes Quersfeld. Die Bürsten müssen daher aus der neutralen Zone verstellt werden, und es entsteht auch eine entmagnetisierende Wirkung des Gleichstromes, zu der sich diejenige der wattlosen Komponente des Wechselstromes, deren längsmagnetisierende Amperewindungszahl

$$AW_e = k_0 f_{w1} m w J \sin \psi$$

ist, hinzuaddiert.

Die Schwächung des Feldes durch die entmagnetisierenden Amperewindungen hat einen Spannungsabfall auf der Gleich- und Wechselstromseite zur Folge, so daß die Belastung der einen Seite die Spannung der anderen beeinflußt, was unter Umständen die Verwendung eines Doppelstromgenerators ausschließen würde.

Wir können jedoch durch Kompoundierung eine Selbstregulierung erreichen, und zwar muß jede Seite für sich kompoundiert werden, so daß die Feldspulen dreierlei Windungen erhalten, nämlich: Nebenschlußwindungen und dann Hauptschlußwindungen von der Gleich- und von der Wechselstromseite. Der Strom eines Hauptschlußtransformators wird, wie in Kap. VII erläutert wurde, mit Hilfe eines synchron laufenden Umformers oder Kommutators in Gleichstrom umgewandelt, und den Hauptschlußwindungen für die Wechselstromseite zugeführt.

Wird eine Kompoundierung nicht angebracht, so muß die Spannung von Hand mittels Nebenschlußwiderstandes reguliert werden. Die Feldmagnete müssen in diesem Falle gut gesättigt sein, damit sie bei Belastung mit stark phasenverzögertem Strom ihren Magnetismus nicht verlieren. Diese Gefahr ist bei Selbsterregung größer als bei Fremderregung

### 194. Anwendung des Umformers zur Phasen- und Spannungsregulierung bei Arbeitsübertragungen.

Es ist in Abschnitt 180 gezeigt worden, wie man durch Kompoundierung eines Umformers die Gleichspannung beliebig mit der Belastung ändern kann. Natürlich ändert man dann gleichzeitig die Spannung auf der Wechselstromseite; diese Spannungsregulierung beruht auf der Änderung des wattlosen Stromes mit der Belastung und ist nur möglich, wenn dem Umformer Reaktanz vorgeschaltet wird. Diese Eigenschaft des kompoundierten Umformers kann bei langen Arbeitsübertragungen, wo genügend Reaktanz in den Leitungen vorhanden ist, angewandt werden, um bei konstanter Spannung in der Primärstation auch die Spannung in der Sekundärstation konstant zu halten.

Wir betrachten wieder den Stromkreis Fig. 478. Die Impedanz  $z_l = \sqrt{r_l^2 + x_l^2}$  liegt hier in den Leitungen und in den Transformatoren, wenn solche vorhanden sind. Sowohl die Impedanz  $z_l$  wie die Primärspannung  $P_1$  sind auf die Spannung  $P_2 = \frac{1}{2} P_w$  pro Phase in der Sekundärstation reduziert. Den Strom  $J_l$  in den Leitungen zerlegen wir in eine Komponente  $J_{lw}$  in Phase mit  $P_2$  und  $J_{lwl}$  in Quadratur zu  $P_2$ .

Der absolute Betrag der Primärspannung wird also (vgl. S. 723)

$$P_1 = \sqrt{(P_2 + J_{lw} r_l + J_{lwl} x_l)^2 + (J_{lw} x_l - J_{lwl} r_l)^2}.$$

Soll nun die Anlage kompoundiert werden, so sind in dieser Gleichung  $P_1$ ,  $P_2$ ,  $r_l$  und  $x_l$  als konstante Größen zu betrachten und die Gleichung gibt uns die Abhängigkeit des wattlosen Stromes  $J_{lwl}$  vom Wattstrom  $J_{lw}$ . Die Gleichung nach  $J_{lwl}$  aufgelöst gibt

$$\begin{aligned} J_{lwl} &= -\frac{P_2 x_l \pm \sqrt{P_1^2 z_l^2 - (P_2 r_l + J_{lw} z_l^2)^2}}{z_l^2} \\ &= -P_2 b_l \pm \sqrt{\left(\frac{P_1}{z_l}\right)^2 - (P_2 g_l + J_{lw})^2} \quad . \quad (480) \end{aligned}$$

Für einen bestimmten Wert von  $J_{lw}$  soll  $J_{lwl}$  gleich Null sein (z. B. für  $P_1 = P_2$  und  $J_{lw} = 0$ ); es kommt also nur das positive Vorzeichen vor dem Wurzelzeichen in Betracht.

Wenn der Wattstrom  $J_{lw}$  wächst, nimmt die Größe unter der Wurzel ab und somit auch der wattlose Strom, der als nachteiliger aufgenommener Strom positiv gerechnet ist. Tragt man den wattlosen Strom  $J_{lwl}$  als Funktion des Wattstromes  $J_{lw}$  oder der Leistung  $W_2 = m P_2 J_{lw}$  auf, so erhalten wir eine fast geradlinige Kurve A (Fig. 489). Da in einem kompoundierten Umformer die Felderregung

und mit ihr der wattlose Strom sich proportional der Belastung ändern, so kann der Umformer einen nach der geraden Linie  $B$  verlaufenden wattlosen Strom aufnehmen. Dieser weicht, wie ersichtlich, wenig von dem erforderlichen Strome  $J_{lwl}$  für genaue Kompoundierung ab, woraus folgt, daß ein Umformer zur Konstanthaltung der Spannungen an den beiden Enden einer Arbeitsübertragung benutzt werden kann.

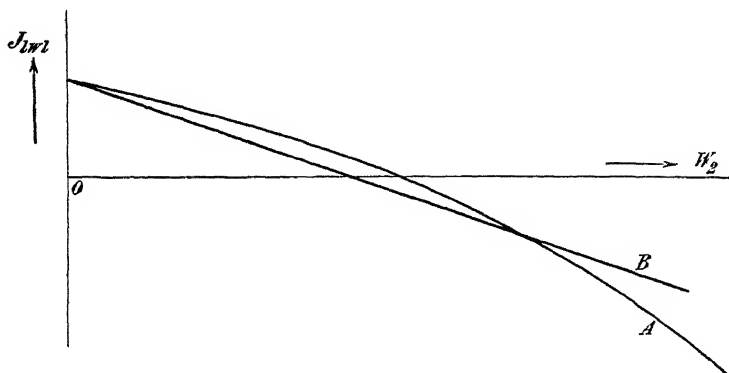


Fig 489. Wattloser Strom eines compoundierten Umformers in Abhängigkeit von der Leistung.

Wenn die Wurzel in der Formel für  $J_{lwl}$  gleich Null wird, hat der Wattstrom seinen größten Wert erreicht; dies ist der Fall, wenn

$$J_{lw \max} = \frac{P_1 z_l - P_2 r_l}{z_l^2}$$

und die maximale Leistung ist gleich

$$W_{2 \max} = m P_2 J_{lw \max} = m P_2 \frac{P_1 z_l - P_2 r_l}{z_l^2} \quad . \quad (481)$$

Diese Leistung ist viel größer als die normale, so daß ein compoundierter Umformer eher verbrennt, als bis er seine maximale Leistung erreicht. Bei einer Überkompoundierung der Arbeitsübertragung soll die Sekundärspannung  $P_2$  mit der Belastung wachsen; man kann z. B. setzen

$$P_2 = P_{20} + J_{lw} r_z,$$

wo  $P_{20}$  die Leerlaufspannung und  $r_z$  einen Widerstand bedeutet. Man erhält in diesem Falle den wattlosen Strom

$$J_{lwl} = - \frac{(P_{20} + J_{lw} r_z) x_l + \sqrt{P_1^2 z_l^2 - [P_{20} r_l + (r_z r_l + z_l^2) J_{lw}]^2}}{z_l^2}.$$

Bei Überkompoundierung erzielt man, wenn

$$J_{lw} = \frac{P_1 z_l - P_{20} r_l}{r_l r_z + z_l^2}$$

ist, die maximale Leistung

$$W_{max} = P_{20} \frac{P_1 z_l - P_{20} r_l}{r_l r_z + z_l^2} + \left( \frac{P_1 z_l - P_{20} r_l}{r_l r_z + z_l^2} \right)^2 r_z.$$

Die Strome, Leistungen, Verluste und der Wirkungsgrad einer kompoundierten oder überkompoundierten Arbeitsübertragung lassen sich auch leicht graphisch darstellen und ermitteln. Man erhält für diesen Stromkreis dasselbe Arbeitsdiagramm wie für einen Synchronmotor.



## Dreiunddreißigstes Kapitel.

### Umformer besonderer Konstruktion.

195. Der Spaltpolumformer. — 196. Der Drehfeldumformer. — 197. Der Umformer (Penchahuteur) von Hutin und Leblanc. — 198. Der Drehfeldumformer (Permutator) von Roug -Faget

#### 195. Der Spaltpolumformer.

Wir haben in Kap. XXVII gesehen, da  ein bestimmtes Verh ltnis zwischen den Gleich- und Wechselspannungen eines Einankerumformers besteht. Infolgedessen kann der Umformer nicht immer mit dem Leistungsfaktor eins arbeiten, wenn die Gleichspannung reguliert wird. Er nimmt vielmehr einen wattlosen Strom auf, der f r dieselbe Gleichspannungs nderung um so gr  er wird, je kleiner die Summe der eigenen und der vorgeschalteten Reaktanz ist. Nur durch Verwendung einer synchronen Zusatzmaschine war die M glichkeit gegeben, den Leistungsfaktor f r alle Betriebszust nde auf eins zu halten (abgesehen von dem Einflu  von Oberstr men).

Wir haben gefunden, da  die Wechselspannung zwischen zwei beliebigen Anschlu punkten berechnet werden kann aus der Formel

$$E_l = 4kcw_w \Phi 10^{-8} \text{ Volt} \dots \dots (482)$$

und da  die Gleichspannung zwischen den B rsten, wenn dieselben in der neutralen Zone stehen, gegeben ist durch:

$$E_g = 4cw_g \Phi 10^{-8} \text{ Volt.}$$

Sind die B rsten aus der neutralen Zone um den Winkel  $\Theta$  verschoben, und nehmen wir eine sinusf rmige Kraftflu verteilung an, so ist:

$$E_g = 4cw_g \Phi \cos \Theta 10^{-8} \text{ Volt} \dots \dots (483)$$

Es ist  $w_w = \frac{2}{m} w_g$ , wenn  $m$  die Zahl der Schleifringe bedeutet.

Aus den Formeln 482 und 483 ersehen wir, daß das Übersetzungsverhältnis zwischen Gleich- und Wechselspannung ist:

$$u_1 = \frac{E_1}{E_g} = \frac{2k}{m \cos \Theta} \quad . \quad . \quad . \quad (484)$$

Können wir nun durch Änderung von  $k$  und  $\Theta$  das Übersetzungsverhältnis derart ändern, daß es jeweils gleich dem gewünschten Verhältnis von Gleich- und Wechselspannung des Netzes wird, so wird der Umformer immer mit dem Leistungsfaktor eins arbeiten.

Auch umgekehrt kann man dann das Übersetzungsverhältnis des Umformers derart einstellen, daß der Umformer bei jeder Gleichspannung einen beliebig regelbaren wattlosen Strom ins Netz liefert.

Es ist  $k = f_B f_w$ . Eine Änderung dieses Faktors kann somit durch Änderung des Formfaktors der Feldkurve erzielt werden.

Wir sehen, daß solange der Gesamtkraftfluß konstant bleibt, auch die Gleichspannung dieselbe bleibt. Die Wechselspannung hängt aber von der Verteilung des Kraftflusses über den Polbogen ab.

Eine solche Änderung von  $f_B$  kann nach J. L. Woodbridge erzielt werden, indem man die Umformerpole in drei Teile teilt und zu der gemeinschaftlichen Hauptnebenschlußwicklung  $HW$  jedem Teile noch eine Regulierungswicklung  $RW$  gibt, etwa wie in Fig. 490<sup>1)</sup> schematisch dargestellt ist.

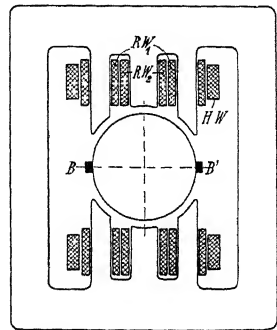


Fig 490 Schematische Darstellung des Spaltpolumformers nach Woodbridge

In Fig. 491 sind nun verschiedene Feldkurven gezeichnet. Fig. 491a zeigt ein rein sinusförmiges Feld. In Fig. 491b wird zu der Grundwelle eine dritte Oberwelle hinzugefügt, und zwar derart, daß das Feld abgeflacht wird. Das gibt bei gleicher Wechselspannung eine größere Gleichspannung. Ist z. B. die Amplitude der Oberwelle 30% der Amplitude der Grundwelle, so vergrößert sich die Gleichspannung um  $\frac{1}{3} \times 30\% = 10\%$ , die in einer Spule induzierte Wechsel-EMK um  $4,4\% [\sqrt{1 + (0,3)^2} = 1,044]$ , und die in einer Phase induzierte Gesamt-EMK um noch weniger, da der

<sup>1)</sup> Diese Figur und Figur 492 sind der Schrift über „Spaltpolumformer“ von Dr.-Ing. H. S. Hallo entnommen. Vgl. „Arbeiten aus dem elektrotechnischen Institut“, Bd. II, S 122.

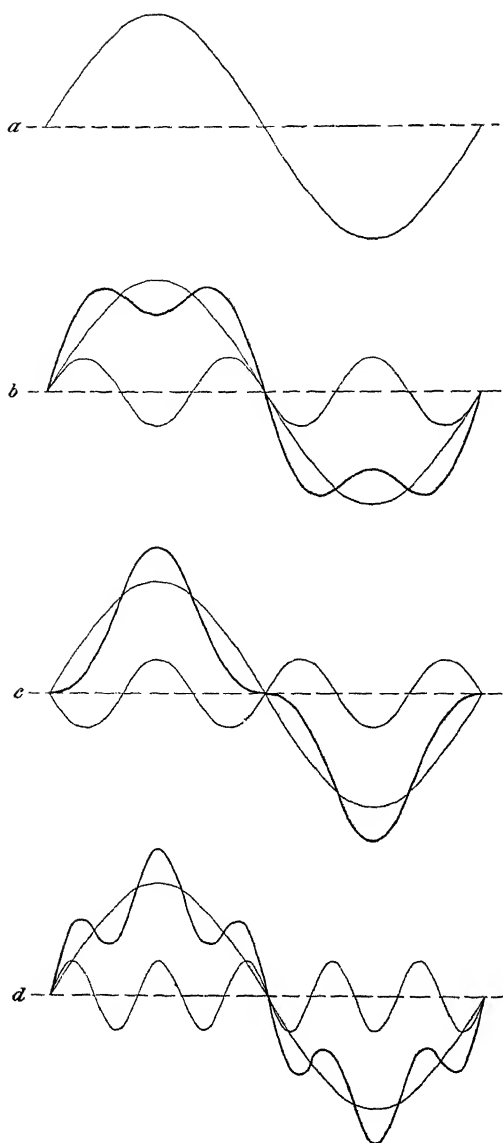


Fig. 491.

Wicklungsfaktor für die dritte Harmonische kleiner ist als für die Grundwelle.

In Fig. 491c ist die Oberwelle auch  $30\%$ , macht aber die Kurve spitz; die Wechselspannung ist noch um denselben Betrag erhöht, die Gleichspannung aber  $10\%$  heruntergegangen.

Die Änderung der Wechselspannung ist immerhin gering; die Änderung der Gleichspannung wird um so kleiner je höher die Ordnung der Harmonischen ist, die verwendet wird; denn je höher die Ordnung, um so kleiner ist die Änderung des Gesamtflusses. Für eine fünfte Harmonische von  $30\%$ , wie Fig. 491d zeigt, z. B. ist die Änderung der Gleichspannung nur noch  $\frac{1}{5} \times 30\% = 6\%$  usw.

Wir sehen also, daß wir harmonische Wellen niederer Ordnung verwenden müssen.

Nun aber entstehen in der Wechselspannung auch Oberwellen

durch die Feldverzerrung. Zwar sind die Oberwellen in den in einer verteilten Wicklung induzierten EMKs viel weniger ausgeprägt als in der Feldkurve, aber schon kleine Oberwellen können zu großen Oberströmen Anlaß geben. Denken wir uns die Netz-

spannung sinusförmig, so kommen für die Oberströme nur die Eigenreaktanz und der Eigenwiderstand des Umformers mit Zubehör (Drosselspulen, Transformatoren) in Betracht, da das Netz den Oberströmen nur eine sehr kleine Impedanz bietet. Diese großen Oberströme können nicht nur zu Resonanzerscheinungen Anlaß geben, sondern sie wirken außerdem dämpfend auf das Umformerfeld zurück, so daß sehr starke Verzerrungen nötig sind, um eine gewisse Änderung des Übersetzungsverhältnisses herbeizuführen.

Deswegen kommen für diese Regulierungsmethode nur diejenigen Oberwellen in Betracht, die zwar in der Sternspannung auftreten, in der verketteten Spannung sich aber aufheben. Für einen dreiphasigen Spaltpolumformer verwendet man deswegen vorzugsweise die 3. Harmonische, und versucht zu gleicher Zeit die 5. und 7. zu vermeiden.

Bei sechshephasigen Spaltpolumformern empfiehlt sich aus dem Grunde die Anwendung der sogenannten doppelten Dreieckschaltung, wenigstens wenn die primären Wicklungen der Transformatoren in Dreieck geschaltet sind, denn die Durchmesserschaltung würde Sternschaltung primär erfordern, damit die 3. Harmonischen nicht in der Linienspannung vorkommen, und also keine Ströme im primären Netz erzeugen.

Durch diese Regulierungsmethode ist also sowohl eine Erhöhung als eine Verkleinerung der Gleichspannung möglich, und die Wechselspannung braucht nicht stark von der Sinusform abzuweichen<sup>1)</sup>, aber die benötigte Feldverzerrung ist verhältnismäßig sehr groß.

Wenden wir uns jetzt dem Faktor  $\cos \Theta$  zu. Wie ersichtlich, ist hier nur eine Verkleinerung der Gleichspannung möglich; sie wird durch Bürstenverschiebung ohne Feldverzerrung erhalten. Eine Bürstenverschiebung ist aber in den meisten Fällen unerwünscht, außerdem kommen die Bürsten dann unter den Polen in stark induzierten Zonen zu liegen, so daß die Kommutation zu ungünstig verlaufen würde.

Anstatt die Bürsten zu verschieben, kann man natürlich auch das magnetische Feld verschieben, und dazu teilt J. L. Burn-

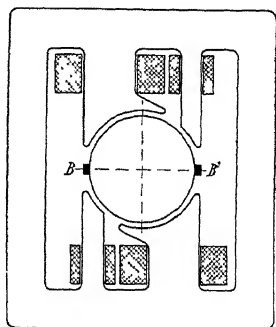


Fig. 492. Schematische Darstellung des Spaltpolumformers nach Burnham.

<sup>1)</sup> Eine mathematische Begründung gibt C. A. Adams, Proceedings American Inst of Electr. Eng. 1908, Bd. 28, S. 899 u. f.

ham die Umformerpole in zwei ungleiche Teile, die je mit einer Erregerwicklung versehen sind (Fig. 492). Durch allmähliche Schwächung des kleinen Teiles, und schließlich durch Ummagnetisierung desselben, wird die ganze Feldkurve verschoben. Die Bursten bleiben aber immer den Pollucken gegenüberstehen. Allerdings weicht bei einer solchen Ausführung die Feldkurve ziemlich stark von der Sinusform ab, und wir werden deswegen eigentlich eine Kombination der beiden Methoden haben. Die Wirkung der Feldverzerrung ist aber, wie oben erläutert, verhältnismaßig gering, die Wirkung der Feldverschiebung ist die wichtigere und hat die Einführung von Spaltpolumformern für Betriebe, wo eine Regulierung der Spannung zwischen Grenzen, die im Verhältnis 4:5, 3:4, ja sogar 2:3 stehen, ermöglicht.

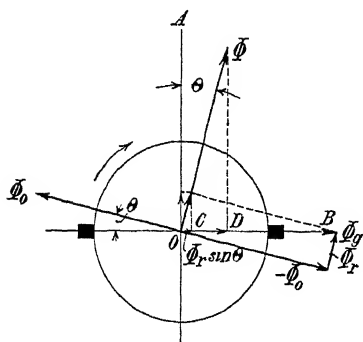


Fig. 493

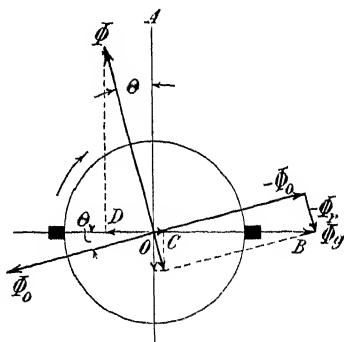


Fig. 494.

Wir wollen jetzt noch zeigen, daß eine Kombination der beiden erwähnten Methoden zur Änderung des Übersetzungsverhältnisses eines Einankerumformers auch für die Kommutation am günstigsten ist<sup>1)</sup>. Der Einfachheit halber nehmen wir wieder sinusförmige Kraftflußverteilung an. Ist das magnetische Hauptfeld  $\Phi$  um den Winkel  $\Theta$  aus seiner für Einankerumformer normalen Lage  $OA$  (Fig. 493) verschoben, so heben die MMKe des Gleichstromes und der Wattkomponente des Wechselstromes sich nicht mehr auf. Die Gleichspannung ist  $\cos \Theta$  mal kleiner geworden und somit der Gleichstrom — von den Verlusten abgesehen —  $\frac{1}{\cos \Theta}$  mal größer. Ist das Querfeld des als Synchronmotor mit irgendeiner Belastung arbeitenden Umformers  $\Phi_0$ , so ist das entsprechende Feld, das der als Gleichstromgenerator arbeitende Um-

<sup>1)</sup> G. P. Steinmetz, Proc. American Inst. of Electr. Eng., Jan. 1909

former in seiner Bürstenrichtung erzeugt,  $\Phi_g = \frac{\Phi_0}{\cos \Theta}$ . In Fig. 493 sind diese Felder eingezeichnet für den Fall, daß das Hauptfeld um den Winkel  $\Theta$  in der Drehrichtung gedreht wurde. Zerlegen wir das Feld  $\Phi_g$  in eine Komponente in Gegenphase mit  $\Phi_0$  und eine Komponente senkrecht dazu, so sehen wir, daß das resultierende rückwirkende Feld unseres Umformers  $\Phi_r = \Phi_0 \tan \Theta$  ist. Dieses wirkt magnetisierend auf das Hauptfeld  $\Phi$ . Die Komponenten  $OD$  und  $OC$  des Hauptfeldes  $\Phi$  und des resultierenden rückwirkenden Feldes  $\Phi_r$  in der Bürstenrichtung addieren sich und verhindern eine gute Kommutation.

In Fig. 494 sind dieselben Verhältnisse gezeichnet für den Fall, daß das Hauptfeld um den Winkel  $\Theta$  entgegengesetzt der Drehrichtung verschoben wird.

Jetzt sind auch die Komponenten  $OD$  und  $OC$  des Hauptfeldes  $\Phi$  und des resultierenden rückwirkenden Feldes  $\Phi_r$  in der Bürstenachse einander entgegengesetzt gerichtet, so daß hier eine gute Kommutation erleichtert wird. Das Hauptfeld wird nun aber geschwächt, und der Umformer braucht eine Hauptschlußwicklung, um den Spannungsabfall zwischen Leerlauf und Vollast zu beheben.

Es ist auch ganz selbstverständlich, daß das Feld entgegengesetzt der Drehrichtung verschoben werden muß, denn das kommt einer Bürstenverschiebung in der Drehrichtung gleich.

In Fig. 493 wird das resultierende rückwirkende Feld durch nachteilende wattlose Ströme vergrößert, durch voreilende verkleinert, in Fig. 494 umgekehrt. Interessant zu bemerken ist, daß für einen Phasenverspätungswinkel  $\psi = \Theta$  in Fig. 494 das resultierende rückwirkende Feld Null wird, und der Spaltpolumformer mit  $\psi = \Theta$  somit in dieser Hinsicht dem gewöhnlichen Einankerumformer gleich ist.

Betrachten wir jetzt wieder den Spaltpolumformer mit Feldverzerrung. In diesem Falle liegen die rückwirkenden Felder der Wattkomponente des Wechselstromes und des Gleichstromes beide in der Bürstenrichtung. Das resultierende Feld ist die algebraische Differenz der beiden Felder.

$E_g$  sei die Gleichspannung unseres Umformers als normalen Einankerumformers,  $pE_g$  die Gleichspannung nach der Feldverzerrung. Wenn  $J_g$  der einer bestimmten aufgenommenen Wechselstromleistung entsprechende Gleichstrom des normalen Einankerumformers ist, so entspricht der Strom  $\frac{1}{p} J_g$  der Spannung  $pE_g$ .

Bei einem normalen Einankerumformer ist das rückwirkende Feld  $\Phi_g$  des Gleichstromes gleich und entgegengesetzt dem rück-

wirkenden Felde  $\Phi_0$  der Wattkomponente des Wechselstromes. Bei unserem Umformer ist das ruckwirkende Feld  $\Phi_g = \frac{\Phi_0}{p}$ . Die Differenz von  $\Phi_g$  und  $\Phi_0$  gibt das resultierende ruckwirkende Feld

$$\Phi_g - \Phi_0 = \Phi_g (1 - p).$$

Dieses ist also proportional der Abweichung der Spannung von der normalen. Bei einer Vergrößerung der Spannung ( $p > 1$ ) ist das Feld negativ, d. h. es entspricht der Armaturreaktion eines Motors. Für  $p < 1$  ist das Feld positiv, hat also dieselbe Richtung wie beim Generator, ist jedoch bedeutend kleiner. Wir mußten also auch hier die Bürsten in der Drehrichtung verschieben, um eine gute Kommutation zu erhalten. Aber eine solche Verkleinerung der Gleichspannung wird beim dreiteiligen Umformer erreicht durch Schwächung der äußeren Teile und Stärkung der mittleren Teile der Pole. Bei starker Verzerrung ist deswegen kein genügend starkes Feld in der Nähe der neutralen Zone vorhanden. Darum ist diese Methode der Feldverzerrung für eine Erhöhung der Spannung am besten geeignet.

Aus dem Vorhergehenden ist nun ersichtlich, daß eine Kombination der zwei Methoden eine tadellose Kommutation ergeben kann.

Immerhin muß bemerkt werden, daß dazu eine sehr sorgfältige Dimensionierung nötig ist, und daß somit der Spaltpolform der in bezug auf Kommutation und sonstige Eigenschaften dem Einankerumformer ganz gleich kommen kann.

Er kann außerdem nur für mittlere und niedere Periodenzahlen gut verwendet werden. Für höhere Periodenzahlen mit entsprechend hohen Polzahlen wird die Polteilung leicht zu klein, um Platz finden zu können für die Erregerwicklungen.

Die Burnhamsche Anordnung ist in Amerika schon wiederholt ausgeführt worden, auch für große Leistungen (2000 KW), aber fast ausschließlich für niedere und mittlere Periodenzahlen. In Europa sind Spaltpolform der bis jetzt nicht gebaut; es ist nach den vorhergehenden Erklärungen auch verständlich, daß der Einankerumformer mit synchroner Zusatzmaschine im allgemeinen dem Spaltpolform der vorgezogen wird.

## 196. Der Drehfeldumformer.

Wie es möglich ist, synchrone Generatoren und Motoren ohne Felderregung anzuwenden, so ist es auch möglich, Umformer ohne Felderregung im Betrieb zu halten. Ein derartiger Umformer nimmt vom Netz einen großen phasenverspateten Strom zur Er-

zeugung des Feldes auf. Dieser wattlose Strom läßt sich mittels der in Fig. 470 dargestellten Konstruktion bestimmen. Um ihn möglichst klein zu machen, soll der Luftspalt so klein wie mechanisch möglich ausgeführt werden. Mit Rücksicht auf eine gute Kommutation ist dies jedoch nicht günstig. Ein derartiger Umformer ohne Felderregung läuft wie jeder andere Umformer synchron, weil das Magnetsystem körperliche Pole besitzt, die das von dem zugeführten Wechselstrom erzeugte Drehfeld im Raume festhalten. Der Anker ist deswegen gezwungen, synchron im entgegengesetzten Sinne des Drehfeldes zu rotieren. Wird dagegen das Magnetsystem mit gleichmäßig verteiltem Feldeisen ausgeführt, so wird das Drehfeld des Ankerstromes in keiner bestimmten Lage festgehalten. Es existiert mit anderen Worten keine synchronisierende Kraft mehr. Verschiebt sich aber das Drehfeld im Raume, so verschiebt sich die Potentialkurve am Kommutator, und wir können dem Kommutator eines derartigen Ankers keinen Gleichstrom entnehmen, wenn wir nicht den Anker synchron mit dem zugeführten Wechselstrom antreiben. Dies geschieht entweder, indem man den Anker mit dem Wechselstromgenerator mechanisch kuppelt, oder indem man ihn mit einem kleinen Synchronmotor antreibt.

Ein derartiger Umformer kann passend als Drehfeld-Umformer bezeichnet werden.

Wenn man den Luftspalt so klein als mechanisch möglich macht, so kann der wattlose Strom ähnlich wie bei Asynchronmotoren auf  $\frac{1}{2}$  bis  $\frac{1}{4}$  des normalen Wattstromes heruntergedrückt werden. Der Leistungsfaktor des Drehfeldumformers wird deswegen in der Nähe von 0,9 liegen. Die Hauptschwierigkeit bei den Drehfeldumformern besteht jedoch in der Kommutation. Wie wir S. 716 gesehen haben, treten in einem Umformer sehr große Oberfelder auf. Zum Beispiel ist in einem Vierphasenumformer die MMK des dritten Oberfeldes gleich  $\frac{2}{3}$  der vom Wattstrom erzeugten Grundharmonischen. Nehmen wir an, daß der Wattstrom dreimal größer als der wattlose Strom ist, so wird die MMK des dritten Oberfeldes in einem Vierphasenumformer  $\frac{2}{3}$  derjenigen des resultierenden Grundfeldes. Würde man das gleichmäßig verteilte Feldeisen lamellieren, so würde das dritte Oberfeld  $\frac{2}{3}$  des Grundfeldes werden und zu einem starken Feuern am Kommutator Anlaß geben, weil es im Raume mit  $\frac{2}{3}$  der synchronen Geschwindigkeit rotiert. Man wird deswegen das Feldeisen nicht unterteilen und in dasselbe sogar eine Käfigwicklung, die eine stark dämpfende Wirkung ausübt, einlegen. Trotz derartig kräftiger Mittel zur Dämpfung der Oberfelder ist es nicht möglich, diese vollständig zu vernichten



Hieraus folgt, daß die Kommutierungsverhältnisse bei einem Drehfeldumformer sich nicht besonders günstig gestalten. Zudem ist der scheinbare Selbstinduktionskoeffizient der kurzgeschlossenen Spulen größer als bei gewöhnlichen Umformern, wo den Ankernuten in der Kommutierungszone kein Feldeisen gegenübersteht. Es kann deswegen leicht  $\frac{R_u T}{L_s} < 1$  werden und somit Funkenbildung entstehen, wenn die Ankerspulen den Kurzschluß verlassen.

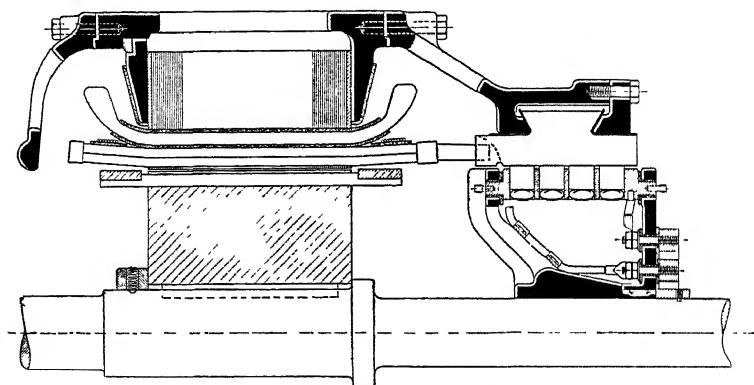


Fig. 495. Drehfeldumformer mit feststehender Armatur und rotierenden Bürsten.

Man kann auch auf dem Anker (Fig. 495) zwei Wicklungen anordnen, die eine ist eine gewöhnliche Wechselstromwicklung, der man den hochgespannten Wechselstrom direkt zuführt, und die sekundäre ist eine Gleichstromwicklung, die an dem Kommutator angeschlossen ist und zur Erzeugung des Gleichstromes dient. Durch die Anordnung zweier Wicklungen auf dem Anker des Drehfeldumformers spart man den stationären Transformator, der sonst zur Herstellung der richtigen Wechselspannung erforderlich ist. Um die Zuführung des hochgespannten Stromes zu der Ankerwicklung zu erleichtern, und um die rotierenden Massen möglichst klein zu halten, läßt man ferner den Anker mit Kommutator still stehen und die Bürsten mit Feldeisen synchron mit dem Drehfelde im Anker rotieren. Das Feldeisen ist massiv und außerdem zur Dämpfung der Oberfelder mit einer Kurzschlußwicklung versehen. Die Bürsten und das Feldeisen treibt man mittels eines kleinen Synchronmotors an, der von der Sekundärwicklung des Ankers gespeist wird. In Fig. 495 ist die Konstruktionsskizze eines derartigen Drehfeldumformers gezeigt.

Natürlich eignet derselbe sich nicht zur Umwandlung von Gleichstrom in Wechselstrom, denn der zugeführte Gleichstrom kann

nur in einen Wattstrom umgewandelt werden. Der wattlose Strom muß deswegen, wenn man einen Drehfeldumformer als umgekehrten Umformer anwendet, von einer zweiten Stromquelle, z. B. von einem Synchronmotor, geliefert werden.

Statt den kleinen synchronen Antriebsmotor anzuwenden, kann man auch dem rotierenden Felde eine Gleichstromerregwicklung geben. Es wird dann der Umformer von selbst synchron rotieren und wattlose Ströme entsprechend der Stärke der Felderregung ins Netz schicken können. Wir sind somit wieder zum gewöhnlichen Einankerumformer zurückgelangt; nur rotieren hier das Feld und die Bursten, statt wie gewöhnlich der Anker.

Auch bei diesen Umformern gestaltet sich die Kommutation nicht besonders günstig. Dieses und andere Gründe wie z. B. die Nichtlieferung von wattlosen Strömen haben es mit sich gebracht, daß der Umformer ohne Felderregung bis heute fast keine praktische Verwendung gefunden hat.

### 197. Der Umformer (Penchahuteur) von Hutin und Leblanc.

Um die rotierenden Massen bei den Drehfeldumformern noch weiter zu verringern, kann man auch das Feldeisen stillstehen lassen. Da das Drehfeld in diesem Falle mit derselben Geschwindigkeit relativ zum Feldeisen wie zum Ankereisen rotiert, muß das Feldeisen lamelliert werden<sup>1)</sup>. Dadurch können aber auch die Oberfelder sich frei entwickeln und würden im Verhältnis zum Grundfeld sehr groß werden, wenn man sie nicht durch besondere Mittel unterdrückt.

Deswegen ordnen Hutin und Leblanc auf ihrem Umformer außer der primären Wechselstromwicklung und der sekundären Gleichstromwicklung, die an den feststehenden Kommutator angeschlossen ist, noch eine dritte Wicklung an, die sich gegenüber allen Feldern, die eine größere Polzahl als das Grundfeld besitzen, wie eine Kurzschlußwicklung verhält.

Aus konstruktiven Gründen wurden alle drei Wicklungen als

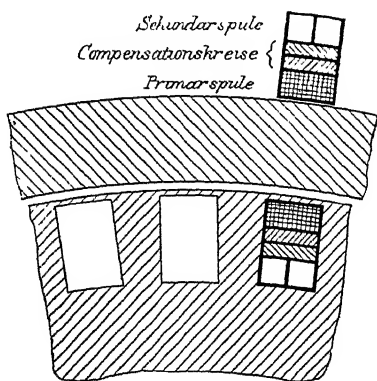


Fig. 496. Anordnung der Wicklung beim Drehfeldumformer von Hutin u. Leblanc.

<sup>1)</sup> Im Jahre 1888 wurde eine solche Anordnung von Zipernowsky und Déri vorgeschlagen. E. P. 12856.

Ringwicklungen ausgeführt. Sie sind, wie Fig. 496 zeigt, in geschlossenen Nuten im Ankereisen eingebettet und schließen sich um das Feldeisen statt um das Ankereisen herum. Die elektromagnetische Wirkung bleibt jedoch dieselbe, weil der Kraftfluß,

der durch den Ankern Kern geht, sich auch durch das Feldeisen schließt. Ferner sind alle drei Wicklungen, die Primärwicklung, die Sekundärwicklung und die Kompensationswicklung zur Vernichtung der Oberfelder, die den interessantesten Teil des Umformers bildet<sup>1)</sup>, in denselben Nuten untergebracht; der Streufluß zwischen den einzelnen Wicklungen wird dann möglichst klein.

Trotzdem keine Trennung von Feld- und Ankereisen notwendig ist, ist eine solche doch vorgesehen. Dadurch werden lokale Felder um die Nuten vermieden und der magnetische Widerstand der Oberfelder vergrößert.

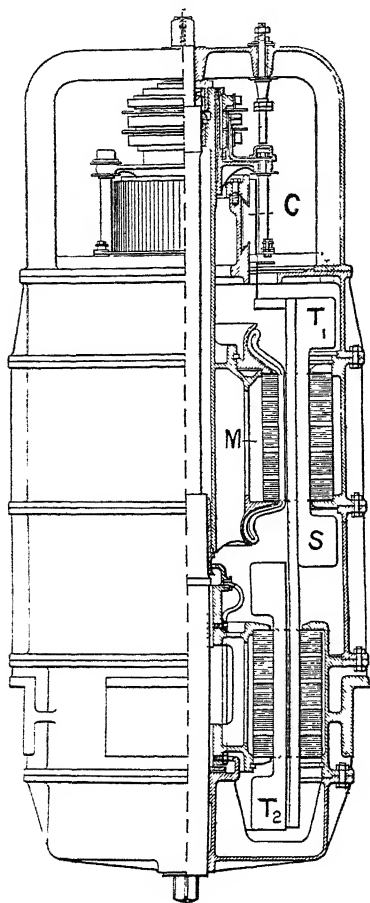


Fig. 497 Konstruktion eines Drehfeldumformers.

### 198. Der Drehfeldumformer (Permutator) von Rougé-Faget<sup>2)</sup>.

Um eine Regulierung der Gleichspannung innerhalb weiter Grenzen zu ermöglichen, kann man den Drehfeldumformer mit zwei zueinander verdrehbar angeordneten Transformatoren versehen<sup>3)</sup>.

Fig. 497 zeigt einen solchen Drehfeldumformer.  $T_1$  und  $T_2$  sind die Transformatoren, deren Wicklungen in den Nuten von kreis-

<sup>1)</sup> R. Rougé, Industrie Electrique 10 Febr. 1902; Prof Cl. Feldmann, ETZ 1910, S. 806.

<sup>2)</sup> R. Rougé, La Revue Electrique 1905, Nr. 26, 28, 31.

<sup>3)</sup> O. P 22407. Siehe auch Elektrische Kraftbetriebe und Bahnen 1907, S. 30.

förmigen Ankern liegen. Jeder Transformator ist für die halbe Leistung zu bauen. Die Hochspannungsseiten sind dauernd parallel, die Niederspannungswicklungen Stab für Stab in Reihe geschaltet und mit einem feststehenden Kommutator verbunden. Der Gleichstrom wird durch synchron rotierende Bürsten abgenommen.

Die Gleichspannung wird reguliert durch Verdrehung des Transformators  $T_2$  und entspricht jeweils dem ideellen resultierenden Kraftfluß beider Transformatoren.

---

## Vierunddreißigstes Kapitel.

### Die Untersuchung eines Umformers.

199. Aufnahme der charakteristischen Kurven — 200. Bestimmung des Wirkungsgrades — 201. Aufnahme der Feld- und Potentialkurven. — 202. Aufnahme der Kurve des inneren Umformerstromes.

#### 199. Aufnahme der charakteristischen Kurven.

a) **Leerlaufcharakteristik.** Eine exakte Aufnahme der Leerlaufcharakteristik kann nur erhalten werden, indem man den Umformer antreibt und bei stufenweiser Veränderung des Erregerstromes die induzierte EMK auf der Gleich- und Wechselstromseite bei konstanter Tourenzahl und Bürstenstellung beobachtet. Die Abhängigkeit zwischen Erregerstrom und induzierter EMK liefert dann die Leerlaufcharakteristik, die sich in keiner Weise von der einer Gleichstrommaschine unterscheidet.

Es ist jedoch oft nicht möglich den Umformer mechanisch anzutreiben. Man kann sich dann dadurch helfen, daß man nach der

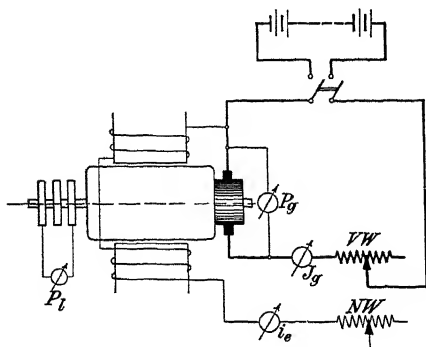


Fig. 498

Schaltung Fig. 498 den Umformer von der Gleichstromseite aus laufen läßt und bei konstanter Tourenzahl und verschiedenen Gleichspannungen  $P_g$  die Abhängigkeit zwischen Erregerstrom und Wechselspannung beobachtet.

$P_g$  wird entweder durch Regulierung der Spannung der Gleichstromquelle, oder wie in Fig. 498 angedeutet, mittels eines Vorschaltwiderstandes  $VW$  geändert. Die so erhaltene Kurve wird nur

für den Bereich der Erregung, innerhalb dessen die Ankerrückwirkung und der Spannungsabfall des aufgenommenen Motorstromes zu vernachlässigen sind, mit ziemlicher Annäherung die Leerlaufcharakteristik ergeben. Das so erhaltene Kurvenstück wird jedoch gewöhnlich ausreichen, um die Sättigungsverhältnisse der Maschine beurteilen zu können. Die Messung der induzierten EMK  $E_i \cong P_i$  ist zwischen allen Schleifringen vorzunehmen, da man sich dadurch am besten überzeugen kann, ob die Abzweigungen von der Wicklung zu den Schleifringen richtig ausgeführt sind.

In den meisten Fällen wird es jedoch bequemer sein die Tourencharakteristik aufzunehmen, d. h. bei konstanter Gleichspannung die Tourenzahl als Funktion des Erregerstromes.

Da  $P_g \cong E_g = \frac{Np n}{a 60} \Phi 10^{-8}$  Volt, ist für einen bestimmten Erregerstrom die induzierte EMK (und also annähernd auch die Klemmenspannung) proportional der Tourenzahl. Den diesem Erregerstrom entsprechenden Punkt der Leerlaufcharakteristik für die normale Tourenzahl  $n_1$  finden wir deswegen mit Hilfe der Formel

$$E_{g1} = E_g \frac{n_1}{n}.$$

Es läßt sich also die Leerlaufcharakteristik in einfacher Weise aus der Tourencharakteristik ableiten.

Ein Nachteil ist, daß man nur die oberen Punkte der Leerlaufcharakteristik erhalten kann, weil bei kleineren Erregungen die Tourenzahl bald zu hoch wird. Steht auch die halbe Gleichspannung zur Verfügung (Dreileiternetze), so kann man einen wesentlich größeren Teil der Kurve aufnehmen, indem man bei den kleinen Erregungen nur die halbe Gleichspannung auf den Umformer schaltet.

**b) Die äußere Charakteristik.** Je nachdem man den Umformer als Wechselstrom-Gleichstrom oder als Gleichstrom-Wechselstrom-Umformer zu untersuchen hat, wird man den Erregerwiderstand bei offener Gleichstrom- bzw. Wechselstromseite so einstellen, daß die Spannung zwischen den Bürsten bzw. den Schleifringen einen bestimmten Wert erreicht. Wird nun bei konstanter Tourenzahl, Burstenstellung und Erregerwiderstand, durch Einschalten der Belastung,  $J_g$  bzw.  $J_i$  bei konstantem  $\cos \varphi$  verändert, so erhält man in der Abhängigkeit zwischen  $J_g$  und  $P_g$  bzw.  $J_i$  und  $P_i$  die äußere Charakteristik. Die Spannung der Energiequelle, von der aus der Umformer betrieben wird, ist hierbei konstant zu halten.

Wird die Spannung auf der Belastungsseite bei Leerlauf bzw.

bei Belastung auf ihren normalen Wert eingestellt, so kann man aus der äußeren Charakteristik die Spannungsabfälle bzw die Spannungserhöhungen entnehmen.

Die äußere Charakteristik wird entweder bei Selbsterregung, bei Fremderregung oder bei Komponderregung aufgenommen; in jedem Falle ist der Erregerwiderstand während einer Versuchsreihe konstant zu halten. Bei Fremderregung bleibt mit dem Erregerwiderstande auch die Erregerstromstärke konstant, während bei Selbsterregung zugleich mit der Änderung der Klemmenspannung auch eine Änderung der Erregerstromstärke stattfindet.

Bei einem kompondierten Umformer mit vorgeschalteter Reaktanz kann man durch Aufnahme der äußeren Charakteristiken die Einstellung des Kompondierungsgrades, entsprechend den gewünschten Bedingungen in bezug auf steigende, abnehmende oder konstante Klemmenspannung bei zunehmender Belastung vornehmen.

**c) V-Kurven.** Tourenzahl, Burstenstellung, Wechselstromklemmenspannung und Gleichstrombelastung konstant; Nebenschlußerregung (selbst oder fremd) veränderlich,  $J_i$  und  $\cos \varphi$  veränderlich.

Bestimmen wir, ebenso wie beim Synchronmotor (siehe S. 635), bei der als Wechselstrom-Gleichstrom-Umformer laufenden Maschine die Abhängigkeit zwischen Erregung und der pro Schleifring aufgenommenen Stromstärke, so erhalten wir bei konstanter Wechselspannung die V-Kurven.

In Fig. 480 (S. 742) ist in Kurve I die V-Kurve für einen auf der Gleichstromseite unbelasteten 125 KW-Dreiphasenumformer für  $P_g = 115$  Volt und 30 Perioden wiedergegeben. Die Spannung zwischen den Schleifringen war während des Versuches konstant und betrug  $P_i = 75$  Volt. Bei einem Erregerstrom, entsprechend 14700 Feldamperewindungen, war der aufgenommene Leerlaufstrom ein Minimum, und zwar gleich 68,5 Ampere. Bei Änderung der Erregung nach oben oder unten wächst  $J_i$  sehr rasch an und wird im ersten Falle phasenverfrüht, im letzteren phasenverspätet sein. Bei der Felderregung Null beträgt der Strom pro Ring 618 Ampere, welcher Wert annähernd bei der doppelten normalen Erregung nochmals erhalten wird.

Bestimmt man aus der Wattmeterablesung  $W_1$ , der Stromstärke  $J_i$  und der Klemmenspannung  $P_i$  den Leistungsfaktor  $\cos \varphi$  als Funktion der Erregung, so erhält man für Leerlauf die Kurve I der Fig. 499. Mit zunehmender Erregung steigt hiernach der Leistungsfaktor rasch an, erreicht dann einen dem Stromminimum entsprechenden Maximalwert und sinkt von hier aus wieder, erst sehr rasch, dann langsamer. Wir bemerken, daß bei der dem Minimalstrom entsprechenden Erregung  $\cos \varphi$  nicht den Wert 1 er-

reicht hat. Waren im Punkte des Stromminimums Strom und Spannung in Phase, so mußte das Produkt  $\sqrt{3} P_l J_l$  direkt die Leerlaufverluste des Umformers angeben. Die Differenz

$$J_l - \frac{W_l}{\sqrt{3} P_l}$$

entspricht den Ausgleichstromen, bedingt durch Oberströme, die von Oberwellen in der Klemmenspannung herrühren. Die  $V$ -Kurven für irgendeine Belastung der Gleichstromseite, z. B. Halblast und Vollast (Fig. 480), behalten ihre charakteristische Form wie bei Leerlauf, nur verlaufen sie bedeutend flacher. Dasselbe Verhalten zeigen auch bei belastetem Umformer die Kurven II und III (Fig. 499), die die Abhängigkeit zwischen  $\cos \varphi$  und  $AW_t$  darstellen. Je größer die Belastung, desto geringer sind die Grenzen, innerhalb deren sich der Leistungsfaktor bei Variation der Erregung ändert.

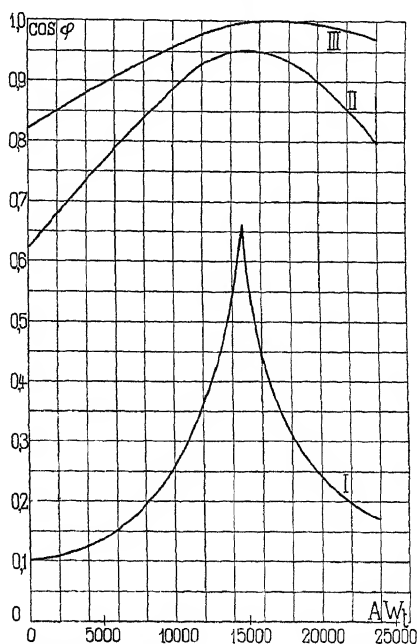


Fig. 499. Leistungsfaktor als Funktion der Amperewindungen.

## 200. Bestimmung des Wirkungsgrades.

**a) Bestimmung des Wirkungsgrades aus den Leerlaufverlusten und berechneten Kupferverlusten.** Wir nehmen bei dieser Methode an, daß sich sämtliche im Umformer auftretenden Verluste in die Leerlaufverluste und die bei Belastung hinzukommenden Stromwärmeverluste zerlegen lassen.

Die Leerlaufverluste, zu denen wir die Reibungs- und Eisenverluste zählen, werden durch einen Leerlaufversuch bestimmt und können nach der Auslaufmethode getrennt werden. Die Stromwärmeverluste werden aus den gemessenen Widerständen und den bestimmten Belastungen entsprechenden Stromstärken berechnet.

Die Leerlaufverluste können entweder von der Gleichstrom- oder von der Wechselstromseite aus bestimmt werden; diese Untersuchung ist dann in der gleichen Weise wie bei einer Gleichstrom- bzw. bei einer Wechselstromsynchronmaschine (s. S. 608) vorzunehmen.



Die durch den Leerlaufversuch ermittelten Verluste sind  $W_e + W_c$ . Wurden im warmen Zustande die Widerstände der Armatur, der Nebenschluß, der Hauptschluß und der Wendepolwicklung zu  $R_a$ ,  $R_n$ ,  $R_h$  und  $R_w$  Ohm bestimmt und für die Übergangsverluste durch Annahme von  $f_u$  und  $\Delta P$  für die betreffende Stromstärke  $W_u$  berechnet, so ergibt sich der Wirkungsgrad des Umformers gleich

$$\eta = \frac{P_g J_g}{W_g + [W_e + W_c + J_g^2 R_a \nu + W_u + W_u' + i_n^2 R_n + J_g^2 (R_h + R_w)]}$$

bzw.

$$\eta = \frac{W_w}{W_w + [W_e + W_c + J_g^2 R_a \nu + W_u + W_u' + i_n^2 R_n + J_g^2 (R_h + R_w)]}.$$

Für die Erregung  $i_n$  ist hier immer der Strom einzuführen, mit dem der Umformer im praktischen Betriebe laufen soll, und der dem Minimum des aufgenommenen Stromes entspricht. Dieser Strom kann am zweckmäßigsten aus den  $V$ -Kurven entnommen werden; der Leerlaufversuch ist dann ebenfalls bei dieser Erregung durchzuführen.

**b) Bestimmung des Wirkungsgrades nach der direkten Methode.**

Mißt man beim belasteten Umformer die aufgenommene und die abgegebene Leistung, so erhält man direkt im Verhältnis

$$\eta = \frac{W_g}{W_w} \text{ bzw. } \eta = \frac{W_w}{W_g}$$

den Wirkungsgrad. Diese Methode ist jedoch verhältnismäßig sehr ungenau, da Meßfehler in  $W_g$  bzw.  $W_w$  auch einen proportionalen Fehler im Wirkungsgrad hervorrufen.

**c) Bestimmung des Wirkungsgrades nach der Zurückarbeitungsmethode.** Eine Bestimmung des Wirkungsgrades zweier für die gleiche Leistung und nach gleichem Typ gebauten Maschinen kann nach der Zurückarbeitungsmethode ausgeführt werden. Die beiden Umformer  $U_1$  und  $U_2$  werden nach Schema der Fig. 500 mit einer Batterie  $B$  parallel geschaltet, deren Spannung gleich der Gleichspannung der Umformer ist, und deren Kapazität mindestens der Summe der Verluste in beiden Umformern entsprechen muß. Die Umformerwellen sind mechanisch nicht gekuppelt. Bei offenem Schalter  $AS_w$  werden zunächst beide Maschinen gleichzeitig angelassen, auf gleiche Geschwindigkeit gebracht und an der Wechselstromseite parallel geschaltet.

In die Verbindungsleitung zwischen den Schleifringen sind die den einzelnen Phasen entsprechenden Wicklungen von Autotransformatoren eingeschaltet. Die Schaltungsanordnung wird so getroffen und die Windungszahlen so eingestellt, daß zwischen den

Schleifringen eine Spannung erhalten wird, die dem Spannungsabfall in beiden Umformern entspricht. Denkt man sich zunächst die Autotransformatoren aus dem Stromkreis entfernt, so wird bei einer bestimmten Einstellung der Erregung die Energiequelle  $B$  eine den Leerlauf- und Erregerverlusten in beiden Umformern entsprechende Energie

$$P_g J'_z = 2(W_e + W_c + W_{er})$$

liefern, und das Amperemeter  $J_i$  wird, vorausgesetzt, daß beide Umformer gleich sind und gleiche Kurvenform der EMK haben, keinen Strom anzeigen. Nun schalten wir die Autotransformatoren ein

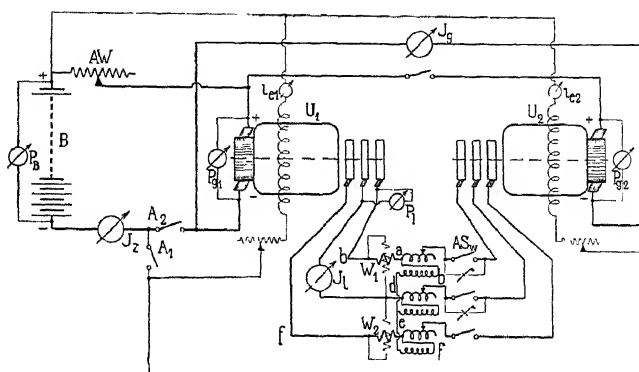


Fig. 500 Schaltungsschema der Zurückarbeitungsmethode.

und regulieren die hinzugefugte Spannung so ein, daß in der Schleifringverbindung der Strom  $J_i$ , in der Kommutatorverbindung der Strom  $J_g$  fließt und

$$\sqrt{3} P_i J_i = W_1 + W_2$$

wird.

Der Energiequelle  $B$  wird eine Leistung  $P_g J_z$  entnommen, wobei  $(P_g J_z - W_{vT})$  gleich den Gesamtverlusten in beiden Umformern ist, wenn die Eigenverluste des Autotransformators gleich  $W_{vT}$  sind.

Nehmen wir nun an, daß sich diese zugeführte Leistung gleichmäßig auf beide Umformer verteilt, daß also

$$\frac{(P_g J_z - W_{vT})}{2}$$

gleich den Verlusten in einem Umformer ist, so ergibt sich der Wirkungsgrad der Gesamtübertragung als Verhältnis der von dem

einen Umformer abgegebenen Energie zu der vom zweiten aufgenommen, so daß

$$\eta_I \eta_{II} = \frac{W_g - \frac{P_g J_z - W_v T}{2}}{W_g + \frac{P_g J_z - W_v T}{2}}.$$

Unter der Annahme, daß die Wirkungsgrade  $\eta_I$  und  $\eta_{II}$  der beiden Umformer gleich sind, erhalten wir den Wirkungsgrad eines Umformers

$$\eta_I = \eta_{II} = \eta = \sqrt{\frac{W_g - \frac{P_g J_z - W_v T}{2}}{W_g + \frac{P_g J_z - W_v T}{2}}}.$$

Die Eigenverluste  $W_{vT}$  des Autotransformators müssen für jede Einstellung desselben vor der Untersuchung ermittelt werden. Eine annähernde Schätzung der Eigenverluste wird gewöhnlich ausreichen, da die Größe von  $W_{vT}$  keinen beträchtlichen Einfluß auf das Resultat ausüben kann.

Die Zurückarbeitungsmethode gestattet ferner eine direkte Messung der Kupferverluste für den normalen Stromverlauf in der Armatur, was mit den anderen Methoden nicht erreichbar ist, indem man die durch die Autotransformatoren an den Stromkreis zwischen den Schleifringen übertragene Energie bestimmt. Zu diesem Zwecke kann man in den Verbindungsleitungen  $ab$  und  $ef$  die Stromspulen und zwischen  $bd$  bzw.  $fd$  die Spannungsspulen der Wattmeter einschalten. Die Wattmeterablesungen abzüglich der Eigenverluste des Autotransformators ergeben dann die Kupferverluste.

Die Methode der Zurückarbeitung ist bei Untersuchung zweier für die gleiche Leistung gebauten Umformer sehr vorteilhaft anzuwenden. Die Eisenverluste werden in beiden Umformern nur wenig voneinander verschieden sein, so daß die Annahme der Gleichheit der Wirkungsgrade vernachlässigbare Fehlerquellen bedingt.

Durch verschiedene Einstellung der Erregung kann der Wirkungsgrad für jede beliebige Phasenverschiebung bestimmt werden. Die Unterschiede in der Erregung der beiden Maschinen sind dann jedoch größer, und die Annahme gleicher Wirkungsgrade trifft weniger genau zu. Die Hauptschlußwicklung der Umformer ist bei der Untersuchung abzuschalten. Für die Durchführung von Dauerversuchen bietet die Schaltung der Zurückarbeitungsmethode ein sehr einfaches Hilfsmittel um mit ganz geringem, nur den Verlusten

entsprechendem Energieaufwande eine Dauerbelastung durchzuführen.

Ein Nachteil der oben beschriebenen Methode ist, daß man einen passenden Autotransformator braucht.

Bei direkter Parallelschaltung der Umformer an der Gleich- und Wechselstromseite ist aber die richtige Einstellung der Belastung (durch alleinige Änderung der Erregung) wegen der kleinen Streureaktanz der Ankerwicklungen nicht möglich. Auch ist nach S. 761 ein solcher Betrieb nicht empfehlenswert.

Schaltet man jedoch, nach Fig. 501, die Umformer an der Wechselstromseite über die Transformatoren parallel, so verschwinden diese Nachteile. Die erforderliche Reaktanz wird in besondere Drosselspulen (wie in der Figur) verlegt oder ist in den Streutransformatoren enthalten.

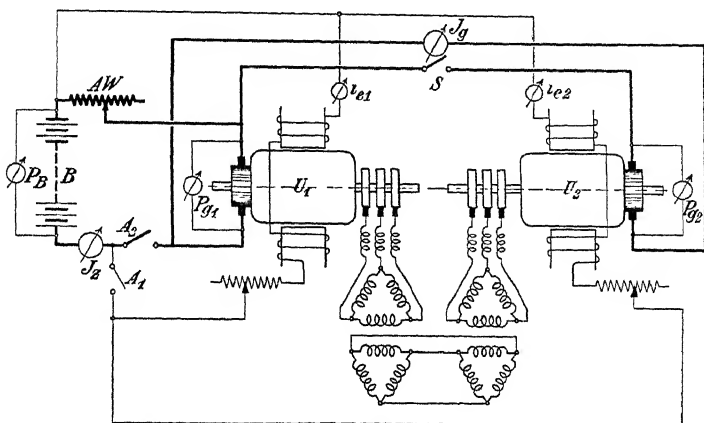


Fig. 501.

In Fig. 501 sind die Wechselstromseiten der beiden Umformer direkt miteinander verbunden; es sind keine Schalter, Meßinstrumente und Synchronisierungsvorrichtungen vorgesehen. Selbstverständlich kann man diese entweder in dem Hochspannungs- oder in dem Niederspannungskreise anordnen. Die Inbetriebsetzung geschieht dann in derselben Weise wie bei der Schaltung, Fig. 500, außerdem ist eine Bestimmung des wattlosen Stromes (Leistungsfaktors) möglich.

Man kann aber auch die beiden Umformer bei geöffnetem Schalter  $S$  gleichzeitig anlassen, indem der Umformer  $U_1$  von der Gleichstromseite, und der Umformer  $U_2$  von der Wechselstromseite anläuft. Ist  $U_2$  erregt, so wird er gleich in den Synchronismus fallen. Die Drehrichtung von  $U_2$  hängt natürlich von der Ver-

bindung der Phasen ab. Wenn die Polarität an der Gleichstromseite richtig ist, kann bei gleicher Spannung (d. h. bei gleicher Erregung)  $S$  eingelegt werden.

Die Einstellung der Belastung geschieht jetzt durch alleinige Erregungsänderung. Allerdings kann man jetzt an der Wechselstromseite nicht auf  $\cos \varphi = 1$  einregulieren. Wir brauchen ja gerade den wattlosen Strom, um die gewünschte Belastung zwischen den Umformern herzustellen.

Dadurch treten größere Stromwärmeverluste im Anker auf, und der gemessene Wirkungsgrad (inkl. Transformatoren) ist etwas zu niedrig.

Aus allen diesen Gründen wird die unter a) erwähnte Methode, trotz der ungenauen Bestimmung der Stromwärmeverluste, in vielen Fällen vorgezogen

## 201. Aufnahme der Feld- und Potentialkurven.

Die Feldkurven des rotierenden Umformers können ebenso wie bei jeder Gleichstrommaschine (siehe die „Gleichstrommaschine“ Bd. I, S. 765 ff.) aufgenommen werden, indem man die zwischen den Enden einer Armaturspule auftretende Spannung als Funktion ihrer jeweiligen Lage den Polen gegenüber mißt.

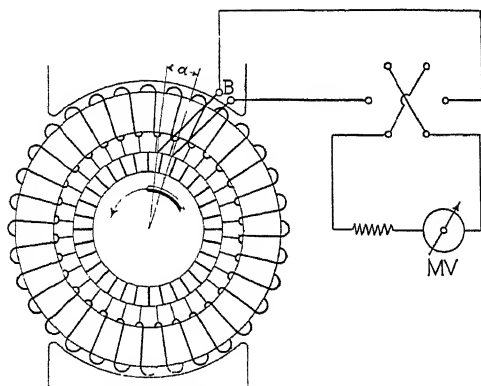


Fig. 502. Aufnahme der Feldkurven.

Führt die Spule Strom, dann ist die induzierte EMK gleich der gemessenen Spannung, vermehrt oder vermindert um den Ohmschen Spannungsverlust in den Spulen. Zur Aufnahme verwendet man (Fig. 502) zwei auf konstante Entfernung eingestellte Prüfbursten, die längs des Kommutatorumfangs verschiebbar sind. Die gemessene Feldstärke ist

dann offenbar der Mittelwert der Feldstärke innerhalb des Bogens  $\alpha$ , welcher der Zeit entspricht, während der die Enden einer oder mehrerer Ankerspulen mit den Prüfbursten verbunden sind.

Die Hilfsbursten sollen immer in einer solchen Entfernung voneinander eingestellt werden, daß sie die auflaufenden Kanten derjenigen Lamellen berühren, die mit Anfang und Ende einer

Spule verbunden sind, d. h. die um den Kollektorschritt auseinanderliegen.

Bei Ankern mit Schleifen- oder Spiralwicklungen ist also die Spannung zwischen zwei benachbarten bzw. um  $m$  auseinanderliegenden Lamellen zu messen

Bei Wellenwicklungen wurde man unbequem große Entfernungen erhalten, und stellt deswegen die Hilfsbürsten so ein, daß ihre Entfernung  $a$  Lamellenteilungen ist.

Es liegen dann  $p$  Spulen zwischen den Hilfsbürsten, und die gemessene Spannung entspricht dann dem Mittelwerte aus dem Feldbereiche, den die  $p$  Spulen am Ankerumfang einnehmen. Wir messen nicht die Feldstärke eines Poles, sondern die mittlere Feldstärke von  $p$  Polen.

Um die ganze Feldkurve aufzunehmen, werden die Hilfsbürsten, von der neutralen Zone ausgehend, von Stufe zu Stufe verstellt, und jede Stellung wird an einer Kreisteilung abgelesen.

Die Feldkurven werden bei konstanter Umdrehungszahl und Bürstenstellung aufgenommen. Die Erregung ist während einer Aufnahme konstant zu halten

Für theoretische Untersuchungen, wo es sich um absolute Werte der Feldstärke, unabhängig von der Art der Wicklung und dem Verhältnis der Spulenweite zur Polteilung handelt, ist die Aufnahme der Feldkurve mit einer rotierenden Prüfspule zu empfehlen. Die Prüfspule wird auf die Armatur aufgelegt, und ihre Enden stehen vermittelt Schleifringe mit einem rotierenden Kontaktapparat oder mit einem Oszillographen in Verbindung<sup>1)</sup>. Bei stillstehender Maschine kann man die Feldkurve mit Hilfe einer Wismut-Spirale bestimmen.

Von theoretischem Interesse sind beim Umformer die Feldkurven, die den Einfluß des in der Ankerwicklung fließenden Stromes auf das Polfeld zeigen. Diese können erhalten werden, wenn man den Umformer so einrichtet, daß seiner Welle mechanische Energie sowohl zugeführt als abgenommen werden kann. Die Erregung stellt man so ein, daß bei bestimmter Gleichstromabgabe der von der Wechselstromseite zugeführte Strom ein Minimum ist. Bei dieser Erregung kann nun das Feld aufgenommen werden, das erstens beim Lauf als Synchronmotor entsteht, wenn derselbe mechanisch so belastet wird, daß der gleiche Strom wie beim Umformerbetriebe aufgenommen wird, zweitens beim Lauf als Gleichstrom-Generator vorhanden ist, wenn dieser den bestimmten Gleichstrom liefert, und drittens beim Lauf als rotierender Um-

<sup>1)</sup> Siehe Gleichstrommaschine, Bd. I, S. 767 ff.

former vorhanden ist, wenn dieser mit normaler Gleichstrombelastung läuft.

Beobachtet man die Potentialdifferenz zwischen einer Hauptbürste und einer längs des Kommutatorumfanges verschiebbaren Prüfbürste, so erhält man in der Abhängigkeit der gemessenen Potentialdifferenzen von dem Kommutatorumfang die Potentialkurven. Die Potentialkurven werden bei konstanter Tourenzahl, Bürstenstellung und Erregung für Leerlauf und für verschiedene Belastungen aufgenommen. Das Stück der Potentialkurve, das unter den Bürsten liegt, dient zur Beurteilung der Kommutation. Es ist deswegen besonders dieses Stück genau aufzunehmen. Die Potentialkurve ist, wie oben gesagt, fast stets eine Sinuskurve.

Die Kurve der örtlichen Potentialdifferenzen benachbarter Lamellen wird experimentell aufgenommen, indem man die Spannung zwischen benachbarten Kommutatorlamellen mittels zweier längs des Kommutatorumfanges verschiebbaren Hilfsbürsten mißt.

## 202. Aufnahme der Kurve des inneren Umformerstromes.

Wir haben in Kap. XXVII gesehen, daß die Kurvenform des Stromes in den Spulen einer Umformerwicklung abhängt von der Lage der Spule relativ zu den Anschlußpunkten (von dem Winkel  $\alpha$ ) und von der Phasenverschiebung des Wechselstromes ( $\psi$ ). Experimentell kann der Verlauf dieses inneren Umformerstromes in der folgenden Weise angenähert bestimmt werden.

Es wird eine Ankerspule aufgeschnitten und in dieselbe ein möglichst kleiner induktionsfreier Widerstand geschaltet, dessen Endpunkte mit zwei besonderen Schleifringen verbunden sind. Die Spannungswelle zwischen den Schleifringen kann durch einen Oszillographen oder Kontaktgeber aufgenommen werden und gibt uns ein Bild von dem Verlauf des inneren Stromes.

---

## Fünfunddreißigstes Kapitel.

### Die Vorausberechnung von Umformern.

203 Allgemeines über die Vorausberechnung. — 204. Die Wahl der Polzahl —  
205. Berechnung der Hauptabmessungen. — 206. Dimensionierung des Ankers —  
207. Die Berechnung des Kommutators und der Kollektorringe — 208. Die  
Anlaufzeit  $T$  des Ankers — 209 Das Magnetfeld und die Feldwicklung. —  
210 Verluste, Wirkungsgrad und Temperaturerhöhungen.

#### 203. Allgemeines über die Vorausberechnung.

Außer der Leistung  $W_g$  des Umformers an der Gleichstromseite und der Gleichspannung  $P_g$  bei Leerlauf und Normallast sind auch die Spannung, Periodenzahl und Phasenzahl des zugeführten Wechselstromes als bekannt vorauszusetzen. Dagegen ist der wattlose Strom nicht direkt gegeben, und ist ebenso wie die Hauptdimensionen des Umformers mit Rücksicht auf den Zweck, für den der Umformer benutzt werden soll, zu bestimmen. Außerdem ist bei der Wahl der Hauptdimensionen darauf zu achten, daß das Verhältnis

$$V \sqrt{\frac{4 \pi c T}{k_p}},$$

das für die Resonanzerscheinungen eine kritische Größe ist, möglichst von den Verhältnissen  $\frac{p_g}{\nu}$  der Generatoren abweicht.  $p_g$  ist die Polpaarzahl eines Generators und  $\nu$  die Zahl der Leistungsimpulse der Antriebsmaschine pro Umdrehung.

Soll der Umformer komprimiert werden, so ändert sich der wattlose Strom von Leerlauf bis Belastung. Ferner muß die dem Umformer vorgeschaltete Reaktanz groß genug sein, um die erforderliche Spannungsänderung zu ermöglichen. Im allgemeinen wird man bei Leerlauf den wattlosen Strom phasenverspätet und bei Vollast entweder phasenverfrüht oder gleich Null machen. Die Wahl des wattlosen Stromes bei Belastung hängt von der mittleren



taglichen Leistung des Umformers ab. Wir können zwei Fälle unterscheiden:

a) Wenn der wattlose Strom nur zur Kompoundierung des Umformers benutzt wird, so wird man ihn für die mittlere tägliche Belastung gleich Null machen, denn dann werden die durch den wattlosen Strom bedingten Verluste am kleinsten.

b) Wenn der wattlose Strom nicht allein zur Kompoundierung des Umformers, sondern auch zur Speisung des Netzes benutzt wird, so ermittelt man vom ökonomischen Gesichtspunkte aus den mittleren wattlosen Strom, den der Umformer ins Netz zu liefern hat, und läßt den Umformer diesen wattlosen Strom bei seiner mittleren Belastung erzeugen.

Soll der Umformer für eine größere Änderung des wattlosen Stromes gebaut werden, so darf das Magnetsystem nicht stark gesättigt werden, weil dann die Hauptschlußwicklung für sehr viele Amperewindungen dimensioniert werden müßte. Die Amperewindungen für den Luftspalt sollen jedoch verhältnismäßig groß gewählt werden, damit die Überlastungsfähigkeit  $k_p$  des Umformers als Synchronmotor genügend groß wird, und damit das Quersfeld, das beim Pendeln auftritt, möglichst klein bleibt und zu keiner Funkenbildung unter den Bürsten Anlaß geben kann. Da die Amperewindungen für Luft diejenigen für das Magnetsystem überwiegen, so ist leicht ersichtlich, daß ein Umformer fast dasselbe Feldkupfer wie eine gewöhnliche Gleichstrommaschine erfordert. Soll der Umformer einen großen wattlosen Strom ins Netz liefern, so ist eine starke Übererregung nötig, und das totale Feldkupfer überwiegt das einer gleich großen Gleichstrommaschine.

## 204. Die Wahl der Polzahl.

Da der Umformer eine Synchronmaschine ist, steht seine Polzahl in einem ganz bestimmten Verhältnis zu der Periodenzahl und Tourenzahl. Es ist

$$p = \frac{60c}{n}.$$

Die Polpaarzahl  $p$  eines Umformers von bestimmter Leistung wird somit im allgemeinen um so größer sein, je höher die Periodenzahl ist.

Die Polzahl hängt aber auch von der Spannung an der Gleichstromseite ab. Bei Maschinen mit niedriger Spannung und kleiner Periodenzahl wird sie allein durch die Größe des zu liefernden Gleichstromes bestimmt. Als maximale Stromstärke pro Bürstenspindel kann man etwa 850 Amp. bei Spannungen bis 600 Volt,

und 1000 Amp. bei Spannungen bis 250 Volt ansehen. Allerdings setzen diese hohen Werte die Verwendung von Wendepolen voraus. Umformer ohne Wendepole sollte man auch bei niedriger Spannung normal mit nicht mehr als 750 Amp. pro Burstenspindel belasten.

Bemerkenswert ist, daß hochperiodige Umformer sich nicht gut für hohe Gleichspannungen bauen lassen. Das geht aus folgender Überlegung hervor.

Die Umfangsgeschwindigkeit des Ankers ist:

$$v = \frac{\pi D n}{6000} = \frac{\pi D 2 p n}{2 p 6000} = \frac{\tau c}{50} \text{ m/sek,}$$

und wird um so größer, je größer die Polteilung  $\tau$  und die Periodenzahl  $c$  sind. Man ist deswegen bei hochperiodigen Umformern gezwungen, mit  $v$  stark in die Höhe und mit  $\tau$  herunterzugehen.

Dasselbe gilt für die Kommutatorumfangsgeschwindigkeit  $v_k = \frac{\tau_k c}{50}$  m/sek und für die Polteilung  $\tau_k$  am Kommutator.

Nun kann man aber mit  $\tau_k$  nicht beliebig weit herunterkommen, weil die mittlere Spannung pro Lamelle.

$$P_{k \text{ mitt}} = \frac{2 p P_g}{K} < 15 \text{ bis } 20 \text{ Volt} \quad . \quad . \quad . \quad (485)$$

sein soll, und weil man aus konstruktiven Rücksichten die Lamellendicke  $\beta$  nicht kleiner als zirka 0,3 cm macht.

Es ist

$$K(\beta + \delta_i) = \pi D_k = \frac{100 v_k p}{c} \quad . \quad . \quad . \quad (486)$$

wenn  $\delta_i$  die Stärke der Isolation in Zentimetern bedeutet.

Aus den Gl. 485 und 486 folgt:

$$P_g = \frac{100 v_k P_{k \text{ mitt}}}{2(\beta + \delta_i) c} \quad . \quad . \quad . \quad (487)$$

Die Kommutatorumfangsgeschwindigkeit ist bei hochperiodigen Umformern gewöhnlich etwa 20 m; man geht nicht gerne über 25 m.

Die maximale Gleichspannung, für die ein Einankerumformer ausgeführt werden kann, hängt somit nur von der Periodenzahl ab. Durch eine Vergrößerung der Polzahl, d. h. eine Verkleinerung der Tourenzahl kann man hier nichts erreichen.

Setzen wir nun beispielsweise in Gl. 487

$$v_k = 20, \quad P_{k \text{ mitt}} = 20, \quad \beta + \delta_i = 0,5,$$

so wird

$$P_{g \text{ max}} = \frac{40000}{c},$$

so daß sich für  $c = 50$  ergibt:

$$P_{gmax} = 800 \text{ Volt.}$$

Wir sehen somit, daß 50 und 60periodige Umformer sehr gut für 600 Volt gebaut werden können, daß jedoch für Gleichspannungen von etwa 1000 Volt und darüber entweder Motorgeneratoren oder Kaskadenumformer gewählt werden müssen, sofern man nicht die bei kleinen Aggregaten bisweilen bevorzugte Konstruktion verwenden will, bei der zwei gleiche, in Serie geschaltete Einankerumformer auf einer Welle angeordnet werden.

Für unsern Fall wird  $\tau_k = \frac{P_g}{P_{kmitt}} (\beta + \delta_s) = 20 \text{ cm}$ , für einen 600 Volt Umformer mit  $P_{kmitt} = 20 \text{ Volt}$  wird  $\tau_k = 30 \times 0,5 = 15 \text{ cm}$ . Man darf nun auch mit Rücksicht auf das Überspringen von Funken zwischen benachbarten Bürstencilen und Bürstenhaltern  $\tau_k$  nicht zu klein wählen, wenn nicht besonders kurze Bürstenhalter zur Anwendung kommen.

Auf Grund obiger Überlegungen und an Hand praktischer Ausführungen ist die folgende Tabelle aufgestellt, die zeigt, wie die Polzahlen in den verschiedenen Fällen ungefähr zu wählen sind:

Leistung	ca. 25 Perioden		ca. 50 Perioden
	ca. 240 Volt	ca. 500 Volt	500 bis 240 Volt
100 bis 200 KW . .	4 bis 6 Pole	4 Pole	6 bis 8 Pole
300 " 500 " . .	6 " 8 "	4 " 6 "	8 " 10 "
600 " 800 " . .	8 " 12 "	6 " 8 "	10 " 16 "
1000 " 1200 " . .	12 " 16 "	8 " 12 "	16 " 20 "
1500 " 2000 " . .	16 " 20 "	12 " 16 "	
3000 " 4000 " .	26 " 36 "	16 " 20 "	

Haben wir beispielsweise einen 5000 KW-Einankerumformer für 25 Perioden, 600 Volt und 8330 Amp. zu entwerfen, so wäre, damit die Stromstärke pro Bürstencil den oben angegebenen Wert von 850 Amp. nicht überschreite, die Polzahl mindestens gleich 20 zu wählen, und somit als maximale Tourenzahl  $n = \frac{60c}{p} = \frac{1500}{10} = 150$  anzunehmen.

Bei 240 Volt wäre die maximale Leistung eines Umformers mit dieser Polzahl ( $p = 10$  und  $n = 150$ ), da wir 1000 Amp. pro Bürstencil zulassen können (Wendepole) nur etwa:

$$\frac{240 \times 1000 \times 10}{1000} = 2400 \text{ KW.}$$

In der letzten Zeit geht die Westinghouse-Gesellschaft bis zu den angegebenen Grenzen für die Stromstärke pro Burstenspindel und führt deswegen z. B. 1500 KW-Umformer für 25 Perioden, 600 Volt und 2500 Amp. 6polig aus (Kap. XXXVII, S. 847, Fig. 508), also mit einer bedeutend kleineren Polzahl als der obigen Tabelle entspricht. Die Umformer müssen dann mit Wendepolen versehen werden.

## 205. Berechnung der Hauptabmessungen.

An der Gleichstromseite sind  $W_g$  Watt abzugeben; den Wirkungsgrad  $\eta$  nehmen wir nach den Kurven Fig. 503 an.

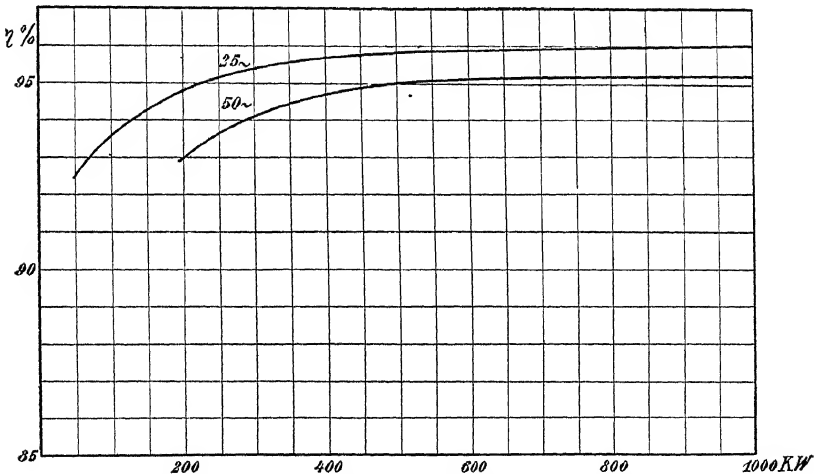


Fig. 503. Wirkungsgradkurven für Einankerumformer.

Die beiden Kurven für 25 bzw. 50periodige Umformer sollen nur einen Anhaltspunkt geben und stellen etwa die höchst erreichbaren Werte dar. Der Wirkungsgrad ist abhängig von der Polzahl und von der erforderlichen Spannungsregulierung.

Die dem Umformer zugeführte Wechselstromleistung ist nun:

$$W_w = \frac{W_g}{\eta} = \frac{m}{2} P_w J_{l_w},$$

also

$$J_{l_w} = \frac{2 W_g}{m \eta P_w}.$$

Wenn nicht die Abgabe eines bestimmten wattlosen Stromes verlangt wird, gehen wir zu dessen Bestimmung von der prozen-

tualen Spannungsänderung  $\Delta P_w$  aus. Ist diese z. B. 10% der Spannung  $P_w$ , so kann die Variation des wattlosen Stromes  $\Delta J_{wl}$  zu zirka der Hälfte des Wattstromes angenommen werden. Es beträgt dann die Reaktanzspannung des Wattstromes zirka 20% der Wechselspannung, welcher Wert mit Bezug auf die Überlastungsfähigkeit des Umformers als Synchronmotors zulässig ist.

Nehmen wir ferner die mittlere tägliche Belastung des Umformers zu  $\frac{3}{4}$  der normalen an und machen bei dieser den wattlosen Strom gleich Null, so wird der wattlose Strom bei Leerlauf  $\frac{3}{4} \cdot \frac{1}{2} = \frac{3}{8}$  und bei Normallast  $\frac{1}{2} \cdot \frac{1}{2} = \frac{1}{8}$  des normalen Wattstromes. Wir berechnen nun:

$$u_i = \frac{2 J_w}{J_g} = \frac{2 \sqrt{2}}{m \sin \frac{\pi}{m}}$$

und

$$v_i = u_i \left( \frac{v_i}{u_i} \right).$$

Im obigen Beispiel wird  $\frac{v_i}{u_i} = \frac{1}{8}$ . Alsdann berechnen wir das Verhältnis

$$\nu = 1 + u_i^2 + v_i^2 - \frac{4 \sqrt{2} u_i m}{\pi^2} \sin \frac{\pi}{m}.$$

Gewöhnlich nimmt man eine sinusförmige Feldverteilung an und findet  $u_i$  aus der Tabelle S. 706 und  $\nu$  aus der Formel

$$\nu = 1 + u_i^2 + v_i^2 - 1,62.$$

Wollen wir die Verluste berücksichtigen, so wird für  $u_i$  ein um 3 bis 4% höherer Wert genommen.

Ist die Gleichspannung bei Leerlauf und Vollast dieselbe ( $\Delta P_w = 0$ ), so ist eine genauere Berechnung des wattlosen Stromes nach Kap. XXIX erwünscht.

Die Abmessungen des Umformerankers ergeben sich nun in derselben Weise wie die einer Gleichstrommaschine<sup>1)</sup> von der Leistung  $W_g \sqrt{\nu}$ , der Spannung  $P_g$  und der normalen Stromstärke  $J_g \sqrt{\nu}$ .

Die in der Ankerwicklung induzierte EMK ist

$$P_g \cong E_g = 4 c w_g \Phi 10^{-8} \text{ Volt},$$

$w_g$  ist die Windungszahl in Serie zwischen benachbarten Bürsten entgegengesetzter Polarität. Es ist

$$w_g = \frac{N}{4a},$$

<sup>1)</sup> Siehe E. Arnold, Die Gleichstrommaschine, Bd. II, 2. Aufl., S. 233 ff.

wenn  $N$  die Anzahl der Armaturdrahte und  $a$  die halbe Anzahl der Ankerstromzweige bedeuten. Multiplizieren wir die obige Gleichung mit  $J_g \sqrt{v}$  auf beiden Seiten des Gleichheitszeichens, so erhalten wir die Leistungsgleichung des Umformers

$$P_g J_g \sqrt{v} \simeq 4c \frac{N J_g \sqrt{v}}{4a} \Phi 10^{-8}.$$

$i_a = \frac{J_g \sqrt{v}}{2a}$  ist der effektive Strom und  $i'_a = \frac{J_g}{2a}$  der scheinbare Strom pro Ankerstromzweig.

Der Kraftfluß  $\Phi$  ist gleich

$$\Phi = b_i l_i B_i = \alpha_i \tau l_i B_i = \alpha_i \frac{\pi D}{2p} l_i B_i.$$

Die effektive Strombelastung des Ankers pro cm Umfang ist

$$AS = \frac{N i_a}{\pi D}.$$

Die scheinbare (ideelle) Strombelastung des Ankers pro cm Umfang ist:

$$AS_{i,a} = \frac{N i'_a}{\pi D}.$$

Führen wir diese Bezeichnungen in die obige Formel für  $P_g J_g \sqrt{v}$  ein, so erhalten wir

$$W_g \sqrt{v} = P_g J_g \sqrt{v} \simeq \alpha_i B_i \frac{AS D^2 l_i n}{6 \cdot 10^8}$$

oder indem wir  $W_g$  in KW ausdrücken,

$$D^2 l_i \simeq \frac{6 \cdot 10^{11} W_g \sqrt{v}}{\alpha_i B_i AS n} = \frac{6 \cdot 10^{11} \sqrt{v} KW}{\alpha_i B_i AS n} \quad \dots (488)$$

$\alpha_i$  wählt man, um eine möglichst sinusförmige Feldkurve zu erhalten zu ca. 0,65. Bei Umformern mit großer Polteilung (also bei schnellaufenden, bzw. bei solchen für kleine Periodenzahl) kommen auch höhere Werte von  $\alpha_i$  vor.  $B_i$  und  $AS$  sind im Verhältnis zueinander zu wählen. Wünscht man den Umformer als Synchronmotor stark überlastungsfähig, d. h.  $k_p$  groß, so ist  $B_i$  relativ groß und  $AS$  relativ klein zu wählen. Ist es dagegen erwünscht, daß der Umformer keine zu große synchronisierende Kraft besitze, so macht man  $AS$  größer und  $B_i$  kleiner.  $AS$  liegt bei hochperiodigen Umformern gewöhnlich zwischen 150 und 250; bei kleiner Periodenzahl geht man mit  $AS$  bis etwa 300.  $B_i$  liegt gewöhnlich zwischen 7500 und 10000.

Bei der Vorausberechnung eines Umformers geht man am besten von der folgenden Formel aus:

$$\frac{D^2 l_i n}{KW \sqrt{v}} \cong \frac{6 \cdot 10^{11}}{\alpha_i B_i A S} = M. \quad (489)$$

und nimmt diese Größe, die für die Materialausnutzung des Umformers maßgebend ist, nach den in Fig. 504 dargestellten Kurven an. Die Maschinenkonstante für Umformer mit kleiner und mittlerer Gleichspannung liegt gewöhnlich zwischen den gezeichneten

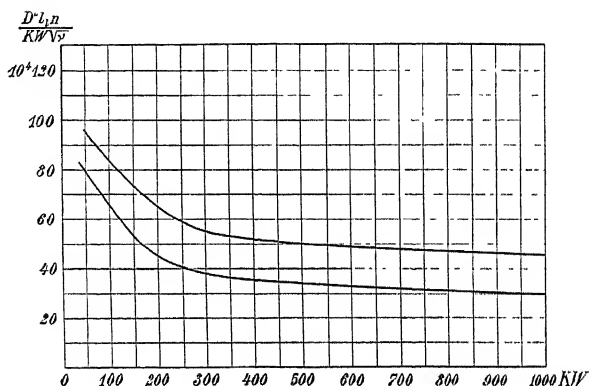


Fig. 504. Kurven für die Maschinenkonstante von Umformern in Abhängigkeit von der Leistung.

neten Kurven, und zwar gilt für größere Leistungen die untere Kurve für 25 Perioden, die obere für 50 Perioden. Ist die Gleichspannung hoch, so ist viel Platz für die Isolation nötig, und die Maschinenkonstante ist entsprechend hoher zu wählen. Ist nun in dieser Weise  $D^2 l_i$  bestimmt, so nimmt man

$$l_i \cong b_i = \frac{2}{\pi} \tau = \frac{2}{\pi} \frac{\pi D}{2p} = \frac{D}{p}$$

an und erhält

$$D^3 = \frac{p M KW \sqrt{v}}{n},$$

woraus der Durchmesser  $D$ , die Polteilung  $\tau = \frac{\pi D}{2p}$ , die Länge  $l_i = \frac{D}{p}$  und die Umfangsgeschwindigkeit  $v = \frac{\pi D n}{6000}$  sich ergeben. Fällt einer von diesen Werten, z. B.  $l_i$  oder  $v$ , ungünstig aus, so

wählt man eine andere passende Länge und findet dann den Durchmesser

$$D = \sqrt{\frac{D^2 l_i}{l_i}}.$$

Auf diese Weise probiert man, bis man passende Werte für  $D$ ,  $\tau$ ,  $l_i$  und  $v$  erhalten hat.

Ist man mit der Umfangsgeschwindigkeit an der erlaubten Grenze angelangt, so kann  $l_i$  so groß werden, daß die Beziehung  $l_i \simeq b_i$  nicht mehr eingehalten werden kann. Bei schnellaufenden hochperiodigen Umformern findet man  $\frac{l_i}{b_i} = 1,2 - 1,7$ . Dagegen wird bei kleiner Periodenzahl die Polteilung oft so groß, daß das Verhältnis  $\frac{l_i}{b_i}$  wesentlich kleiner als eins bleibt.

Für Anfänger ist es günstig, mehrere Werte von  $l_i$  anzunehmen und die für diese erhaltenen Dimensionen in einer kleinen Tabelle wie folgt zusammenzustellen.

Gewählt	Berechnet				
$l_i$	$D$	$\sqrt{\frac{D^2 l_i}{l_i}}$	$\tau = \frac{\pi D}{2p}$	$b_i = \alpha_i \tau$	$v = \frac{\pi D n}{6000}$
— —	— —	— —	— —	— —	— —

## 206. Dimensionierung des Ankers.

Sind der Ankerdurchmesser und die Eisenlänge in der obigen Weise festgelegt, so hat man sich über die Art der Ankerwicklung zu entscheiden. Den effektiven Strom pro Ankerstromzweig

$$i_a = \frac{J_g \sqrt{r}}{2a}$$

wählt man wenn möglich so, daß man eine Stabwicklung erhält; dies wird erreicht, wenn  $i_a$  größer als 60 bis 80 Amp. ist. Wird  $i_a$  kleiner als 60 Amp., so wird zweckmäßiger eine Drahtwicklung ausgeführt. Im allgemeinen soll  $i_a$  den Wert von 150 ÷ 200 Amp. nicht überschreiten, und bei höheren Spannungen besser unter oder in der Nähe von 150 bleiben. Bei Maschinen mit Wendepolen und zwei Stäben übereinander in einer Nut kann man mit  $i_a$  wesentlich höher geben, und sind Werte von 250 ÷ 300 zulässig, so daß größere sechsphasige Umformer mit 800 bis 1000 Amp. pro Bürsten-



spindel mit einfacher Parallelwicklung (Schleifenwicklung) ausgeführt werden können.

Als Wicklungen kommen sowohl Schleifen- wie Wellenwicklungen in Betracht. Größere Umformer werden ausschließlich mit Schleifenwicklung ausgeführt, um symmetrische Anschlüsse für die Schleifringe zu erhalten und eine möglichst gleichmäßige Stromverteilung über die einzelnen Burstenspindeln zu sichern. Die Schleifringe sind zugleich Aquipotential-Verbindungen. Ofters werden jedoch noch besondere Ausgleichssysteme vorgesehen.

Ist auf diese Weise die Zahl der Ankerstromzweige und die effektive Stromstärke pro Zweig bestimmt, so berechnet man die Anzahl der Ankerdrähte

$$N = \frac{\pi D A S}{i_a}.$$

$AS$  wird, wie oben gesagt, je nach dem Zwecke des Umformers gewählt. Es soll  $\frac{N}{a}$  durch die Phasenzahl  $m$  teilbar, d. h.  $\frac{N}{am}$  soll eine ganze Zahl sein.

Bei der Wahl der Wicklungsschritte  $y_1$  und  $y_2$  ist darauf zu achten, daß

$$y_1 = u_n y_n + 1$$

ist, wo  $y_n$  den Nutenschritt und  $u_n$  die Anzahl der Spulenseiten einer Nut bedeutet. Es ist nämlich dann möglich die Spulen einer Nut vor dem Einlegen gemeinsam zu isolieren, wie es besonders bei höheren Spannungen vielfach üblich ist<sup>1)</sup>.

Der Querschnitt eines Ankerdrahtes ergibt sich zu

$$q_a = \frac{l_a}{s_a},$$

wo man die effektive Stromdichte nach der folgenden Tabelle wählt.

Draht-		Stromdichte	
Durchmesser mm	Querschnitt $q_a$ qmm	$s_a$ Amp/qmm	$i_a$
0,8 bis 1,2	0,5 bis 1,10	6,5 bis 5,0	3,25 bis 5,5
1,3 " 2,0	1,32 " 3,14	5,0 " 4,5	6,6 " 14,1
2,1 " 3,5	3,46 " 9,62	4,5 " 3,8	15,6 " 36,5
3,6 " 5,0	10,1 " 19,6	3,8 " 3,2	38,2 " 62,8
Stab- wicklungen {	25 " 60	3,4 " 3,0	85 " 180
	60 " 120	3,0 " 2,0	180 " 240

<sup>1)</sup> Vgl. WT III, 2. Aufl, S 94.

Der so gefundene Wert von  $s_a$  soll nur als Anhaltspunkt dienen, denn  $s_a$  muß — wie bei allen elektrischen Maschinen — mit Rücksicht auf die Erwärmung und die Verluste gewählt werden. Die Größe von  $s_a$  hängt somit nicht nur von dem Querschnitte des Leiters, sondern auch von dem Werte von  $AS$  und von den Kühlungsverhältnissen ab.

Bei ausgeführten Umformern (Tab. S. 858) findet man deswegen oft erheblich von der Tabelle abweichende Werte für  $s_a$ .

Mit Rücksicht auf den Wirkungsgrad des Umformers kann auch von vornherein ein bestimmter Wattverbrauch  $W_{ka}$  im Ankerkupfer angenommen und daraus die Stromdichte  $s_a$  berechnet werden. Man findet dann

$$s_a = \frac{4800 W_{ka}}{N l_a l_a},$$

worin  $l_a$  die halbe Länge einer Ankerwindung in Zentimetern bedeutet. Annähernd ist für Trommelwicklungen

$$l_a \simeq l_1 + 1,4\tau + 5 \text{ cm.}$$

Der Ohmsche Widerstand der Ankerwicklung, die aus  $2a$  parallel geschalteten Stromzweigen besteht, ergibt sich zu

$$R_a = \frac{N}{(2a)^2} \frac{l_a (1 + 0,004 T_a)}{5700 q_a}.$$

Die Nutenzahl  $Z$  wählt man derart, daß man 400 bis 800 Amp. pro Nut erhält. Die Nutenteilung ist gleich

$$t_1 = \frac{\pi D}{Z}.$$

Um die Abmessungen der Nut zu bestimmen, gehen wir am besten von dem erforderlichen Querschnitt der Zähne am Fuße aus. Die Zahl der Nuten, die auf einen Polbogen entfallen, ist gleich  $\frac{b_i}{t_1}$ , es muß daher, wenn  $B_{z, \max}$  die ideelle maximale Zahninduktion des Zahnfußes bedeutet,

$$\frac{b_i}{t_1} z_2 l k_2 B_{z, \max} = \Phi = b_i l_i B_l$$

sein, wo

$$\Phi = \frac{E_g 10^8}{4 c w_g} = \frac{E_g a 60 \cdot 10^8}{N n p}.$$

Für  $E_g$  setzen wir die maximale Gleichspannung ein. Wir erhalten nun die Zahnstärke am Fuß

$$z_2 \frac{t_1 \Phi}{b_i l k_2 B_{z, \max}} = \frac{t_1 B_l l_i}{k_2 B_{z, \max} l}.$$

Bei 25 periodigen Umformern ist meistens  $B_{z_{1max}} < 21000$  und etwa 18000 bis 20000. Es ist  $k_2 = 0,88 - 0,92$ .

Wird die maximale Zahninduktion größer als diese Werte gewählt, und ist die Blechsorte nicht von guter Qualität, so steigt die Amperewindungszahl  $AW_z$  und daher der Kupferverbrauch der Magnetwicklung derart rasch an, daß eine andere Dimensionierung der Nuten bzw. größere Eisendimensionen des Ankers vorzuziehen sind. Außerdem vergrößert eine hohe Zahninduktion die Wirbelströme in massiven Ankerstäben ganz erheblich.

Bei großen Periodenzahlen kann auch die Verkleinerung des Hysteresisverlustes der Zähne eine Verminderung der Zahninduktion bedingen, weil z. B. sonst der gewünschte Wirkungsgrad nicht erreicht oder weil die Erwärmung der Maschine zu groß wird.

Wenn  $z_2$  berechnet ist, schätzt man die Nutentiefe, berechnet die Teilung  $t_2$  am Zahnfuß und erhält auf diese Weise die Nutenweite  $t_2 - z_2$ .

Mittels der folgenden Tabelle bestimmt man die nötige Isolation und dimensioniert die Stäbe oder Drahte derart, daß sie in der Nut Platz finden.

Anzahl der nebeneinanderliegenden Stäbe einer Nut.	1	2	3	4	5
Klemmenspannung	Nutenweite = Kupferbreite plus				
Volt 125	2,0 mm	2,6 mm	3,3 mm	4,0 mm	4,7 mm
„ 250	2,4 „	3,2 „	4,0 „	4,8 „	5,6 „
„ 550	3,0 „	4,0 „	5,0 „	5,8 „	6,6 „
„ 750	3,4 „	4,4 „	5,4 „	6,2 „	7,0 „

Ist eine passende Lösung nicht möglich, so ändert man die Nutendimensionen ab und, wenn dies nicht genügt, die Ankerlänge.

Bezeichnet  $B_a$  die Ankerinduktion, so wird die Eisenhöhe des Ankers ohne Zahnhöhe

$$h = \frac{\Phi}{2k_2 l B_a}$$

und die totale Eisenhöhe =  $h + \text{Zahnhöhe}$ .  $B_a$  ist mit Rücksicht auf die Periodenzahl ungefähr wie folgt zu wählen:

$c$	$B_a$
20 bis 40	12 bis 9000
40 „ 60	9 „ 7000

## 207. Die Berechnung des Kommutators und der Kollektorringe.

Der Kommutator und die Kollektorringe sind so zu dimensionieren, daß eine genügende Berührungsfläche für die Bürsten und eine ausreichende Abkühlungsfläche erhalten werden.

Kommutator: Die Zahl  $K$  der Kommutatorlamellen wählt man möglichst groß, damit die Spannungsdifferenz  $\Delta e$  zwischen zwei Bürstenspitzen möglichst klein wird. Bei Stabankern ist gewöhnlich  $K = \frac{1}{2} N$  und nie kleiner als  $\frac{1}{4} N$ .

Der Durchmesser des Kommutators wird durch Annahme der Breite  $\beta$  einer Lamelle und der Isolation  $\delta_i$  ermittelt. Es wird

$$D_k = \frac{K(\beta + \delta_i)}{\pi}$$

und immer kleiner als der Ankerdurchmesser. Der kleinste Wert von  $\beta$  beträgt 0,3 cm; normale Werte sind etwa 0,6 bis 1,0 cm. Es muß  $\beta$  um so größer sein, je stärker die anzuschließende Stromstärke des Ankers ist. Bei Umformern hoher Periodenzahl und hoher Spannung ist  $\beta$  klein zu wählen, damit die Umfangsgeschwindigkeit  $v_k$  nicht zu groß wird.

Die Glimmerisolation  $\delta_i$  ist abhängig von der maximalen Spannungsdifferenz  $P_k$  zwischen den Lamellen und kann etwa wie folgt gewählt werden:

$P_k \simeq \frac{\pi p P_g}{K}$	Isolation $\delta_i$
bis 10 Volt	0,05 bis 0,06 cm
" 20 "	0,08 " 0,1 "
" 30 "	0,1 " 0,12 "

Bezeichnet  $J_g$  die Stromstärke der Maschine bei normaler Belastung, so wird die Kontaktfäche aller Bürsten etwa

$$F_b = \frac{2J_g}{5} \text{ bis } \frac{2J_g}{8} \text{ für Kohlenbürsten.}$$

$F_b$  kann um so kleiner gewählt werden, je besser leitend die verwendete Kohle und je größer die Abkühlungsfläche der Kohle im Verhältnis zu deren Querschnitt ist. Bei gut leitenden Kohlen, die mit dem Metalle des Bürstenhalters einen guten Kontakt haben, kann für die maximale Belastung der Maschine  $F_b = \frac{2J_g}{10}$  bis  $\frac{2J_g}{15}$  gewählt werden.

Bei Reihenparallelschaltungen und Reihenschaltungen mit mehr als zwei Bürstensätzen ist zu beachten, daß sich der Strom nicht

ganz gleichmäßig auf alle Bürsten verteilt, und daß die Gefahr der Überlastung einer Bürste um so größer wird, je mehr Bürstensätze vorhanden sind. Die Stromdichte ist daher in solchen Fällen in der Nahe der unteren Grenze zu wählen.

Die Bürstenbreite  $b_1$  (in der Drehrichtung des Kommutators) richtet sich etwas nach der Lamellenbreite; denn es darf eine Bürste nicht mehr als ca. 3 Lamellen bedecken. Im übrigen richtet man sich in jeder Fabrik mit der Bürstenbreite nach gewissen Normalen, um denselben Bürstenhalter für verschiedene Maschinengrößen verwenden zu können.

Es ergibt sich nun die Breite des Kommutators. Ist die Zahl der Bürstenstifte, die gewöhnlich gleich der Polzahl ist,  $p_1$ , so ist die Gesamtlänge der Bürsten eines Stiftes gleich

$$\frac{F_b}{b_1 p_1}.$$

Diese Zahl ist so abzurunden, daß sie eine ganze Zahl Bürsten von passender Länge ergibt. Man kontrolliert nun die Temperaturerhöhung des Kommutators und rechnet die Maschine bezüglich der Kommutierung nach. Eventuell sind dann entsprechende Änderungen vorzunehmen.

Kollektorrings. Die Schleifringe mit zugehörigem Bürstenapparat bilden bei Umformern einen sehr wichtigen Bestandteil der Maschine, weil sie im allgemeinen sehr große Ströme führen. Pro Ring erhalten wir den Linienstrom

$$J_l = \sqrt{J_{lv}^2 + J_{lv\omega}^2}.$$

Als Bürsten verwendet man entweder weiche Kohlenbürsten, die eine maximale Stromdichte bis 20 Amp./qcm erlauben, oder auch Bronskolbürsten oder ähnliche Sorten, die eine Belastung von 30–40 Amp./qcm zulassen. Ist die Stromdichte  $s_u$  angenommen, so erhalten wir als Bürstenfläche pro Ring

$$F_b' = \frac{J_l}{s_u}.$$

Diese Fläche verteilt man alsdann auf mehrere normale Bürsten. Dem Kollektorrings wird ein so großer Durchmesser gegeben, daß man die Bürsten bequem anordnen kann. Die Breite eines Ringes wird etwas größer als die einer Bürste gemacht; für beide Abmessungen ist ferner hauptsächlich die Erwärmung maßgebend.

## 208. Die Anlaufzeit $T$ des Ankers.

Nachdem die Dimensionen des Ankers und des Kommutators festgelegt worden sind, müssen wir noch kontrollieren, ob die Anlaufzeit  $T$  einen für die Pendelerscheinungen zulässigen Wert besitzt. Wir berechnen zu dem Zweck das Schwungmoment des Ankers und des Kommutators. Es ist die Anlaufzeit (s. S. 370)

$$T = \frac{\left(\frac{n}{27}\right)^2 G D^2}{W_g} = \frac{2}{3} \frac{D^2 l_1 n v b}{W_g 10^8}.$$

Die Breite  $b$  des ideellen Kranzes ist fast proportional der Eisenhöhe  $h$ , sie wird jedoch auch von dem Kommutatordurchmesser beeinflusst. Wird die Anlaufzeit zu groß, so ist die Eisenhöhe  $h$  und wenn möglich auch der Kommutatordurchmesser  $D_k$  kleiner zu machen.

## 209. Das Magnetfeld und die Feldwicklungen.

Die Größe des Luftspaltes wählt man ungefähr wie bei Gleichstrommaschinen

$$\delta = \frac{(1,2 \text{ bis } 2) b_i A S - A W_z}{1,6 k_1 B_i}.$$

Die Polspitzen sind gut abzuschragen, teils um eine günstige Feldkurve, teils um eine starke Sättigung der Polspitzen zu erhalten. Die Wirbelstromverluste in massiven Polschuhen sind so beträchtlich, daß es mit Rücksicht auf einen guten Wirkungsgrad ratsamer ist, die Polschuhe zu lamellieren und die Feldpulsationen durch Dämpferwicklungen abzuschwächen. Die Dämpferwicklungen werden als Kupferbolzen durch die Polschuhe und als Bronzebrücken zwischen den Polspitzen ausgeführt. Bei lamellierten Polschuhen ist es günstig, diese Brücken ein Stück unter den Polschuhen gehen zu lassen, damit der Teil des Querfeldes, der die Kommutation stört, besonders stark gedämpft wird.

Bei Wendepolumformern ist entsprechend dem S. 752 Gesagten der Luftspalt unter den Wendepolen nicht zu klein zu wählen.

Man skizziert zuerst das Magnetsystem und schätzt oder berechnet den Koeffizienten  $\sigma$  der Polstreuung. Dieser variiert zwischen 1,1 und 1,2; je größer die Polzahl ist, desto größer muß  $\sigma$  gewählt werden.

Es werden nun die Feldämpferewindungen bei Leerlauf und Vollast berechnet. Sind diese  $AW_{t_0}$  und  $AW_t$ , und soll der Umformer kompondiert werden, so gibt man der Nebenschluß-

wicklung  $AW_{t0}$  Amperewindungen, entsprechend der Leerlaufspannung  $P_{g0}$ , und der Hauptschlußwicklung

$$AW_t - \frac{P_g}{P_{g0}} AW_{t0}$$

Amperewindungen, entsprechend dem normalen Strome  $J_g$

Die Berechnung der Nebenschlußwicklung geschieht in gewöhnlicher Weise. Man berechnet zuerst den Drahtquerschnitt

$$q_n = \frac{AW_t l_n (1 + 0,004 T_m)}{5700 P_g} (1,1 \text{ bis } 1,2) \dots (490)$$

für reine Nebenschlußerregung und

$$q_n = \frac{AW_{t0} l_n (1 + 0,004 T_m)}{5700 P_{g0}} (1,05 \text{ bis } 1,1) \dots (490a)$$

bei Kompounderregung. Alsdann nimmt man die Stromdichte  $s_n$  zu 1,2 bis 1,6 Amp./qmm an und findet dann den Nebenschlußstrom  $i_n = s_n q_n$  und die Windungszahl

$$w_n = \frac{AW_t}{i_n} \text{ bzw. } \frac{AW_{t0}}{i_n}$$

Wir können nun den Wicklungsraum nach Größe und Gestalt bestimmen und die mittlere Windungslänge  $l_n$  sowie den Widerstand

$$R_n = \frac{w_n l_n (1 + 0,004 T_m)}{5700 q_n} \text{ Ohm}$$

genau berechnen.

Bei der Berechnung der Hauptschlußwicklung gehen wir von der Stromdichte  $s_h = 1,2 \text{ bis } 1,6 \text{ Amp./qmm}$  aus, berechnen den Querschnitt

$$q_h = \frac{J_g}{s_h}$$

und die Windungszahl

$$w_h = \frac{AW_t - \frac{P_g}{P_{g0}} AW_{t0}}{J_g} \dots 1,1 \text{ bis } 1,2 \dots (491)$$

Da die Ankerrückwirkung nicht ganz genau berechnet werden kann, und die magnetischen Eigenschaften des Eisens, von dessen Sättigung die Kompoundierung ebenfalls abhängt, meistens nicht genau bekannt sind, so schlägt man, wie in der obigen Formel schon geschehen, 10 bis 20% zu der Windungszahl und schaltet einen Widerstand parallel zu der Hauptschlußwicklung. Dieser Widerstand wird nachträglich, wenn die Maschine fertig gebaut ist, durch Versuch eingestellt. Um Spannungsänderungen, die von

einer Variation der Tourenzahl oder von der Temperaturänderung der Erregerspulen herrühren, auszugleichen, benutzt man den Regulierwiderstand, der in Serie mit der Nebenschlußwicklung liegt.

Die Berechnung der Wendepole läßt sich in ähnlicher Weise vornehmen wie bei den Gleichstrommaschinen<sup>1)</sup>, nur ist entsprechend dem in Kap. XXX, S. 749 Gesagten zu berücksichtigen, daß zwar der ganze Strom kommutiert wird, daß aber infolge der entgegengesetzten Wirkung der MMKe von Gleich- und Wechselstrom ein entsprechend kleineres Feld in der Kommutierungszone vorhanden ist.

## 210. Verluste, Wirkungsgrad und Temperaturerhöhungen.

Die Verluste eines Umformers setzen sich aus den Stromwärmeverlusten, den Eisenverlusten und den Reibungsverlusten zusammen.

Im Ankerkupfer sind die Stromwärmeverluste

$$W_{ka} = \nu J_g^2 R_a,$$

von diesen treten

$$W_{kz} = \frac{l_1}{l_a} W_{ka}$$

in dem in den Nuten eingebetteten Kupfer auf. In den Erreger- und Wendepolwicklungen haben wir die Verluste

$$W_n = i_n^2 R_n \quad \text{und} \quad W_H = J_g^2 (R_h + R_w),$$

wo  $R_w$  den Widerstand einer etwa vorhandenen Wendepolwicklung bedeutet.

Die totalen Verluste durch Nebenschlußerregung sind:

$$W_{nt} = P_g i_n.$$

Am Kommutator haben wir den Übergangsverlust

$$W_u = f_u J_g \Delta P.$$

$\Delta P$  ist der Spannungsabfall unter den Bürsten beider Polaritäten bei der effektiven Stromdichte  $s_{u\text{eff}}$ , die unter den Bürsten auftritt.  $\Delta P$  kann den Kurven Fig. 505 entnommen werden.

$f_u = \frac{s_{u\text{eff}}}{s_u}$  ist der Formfaktor für die Stromverteilung unter den Bürsten; dieser liegt bei Umformern zwischen 1,2 und 2.

An den Kollektorringsen ergeben sich die Übergangsverluste

$$W_u' = \frac{m}{2} J_i \Delta P',$$

<sup>1)</sup> Vgl. „Die Gleichstrommaschine“, Bd. II, 2. Aufl., S. 281 ff.



wo  $\Delta P'$  den Spannungsabfall unter zwei hintereinander geschalteten Bürsten bedeutet.

Die Verluste im Ankereisen  $W_h + W_w$  sind nach den Formeln 377 und 382 zu berechnen; in diesen ist der Koeffizient

$$\sigma_h = 1,2 \text{ bis } 2$$

und der Koeffizient

$$\sigma_w = 10 \text{ bis } 20$$

bei ca. 25 Perioden und

$$\sigma_w = 4 \text{ bis } 10$$

bei ca. 50 Perioden zu setzen.

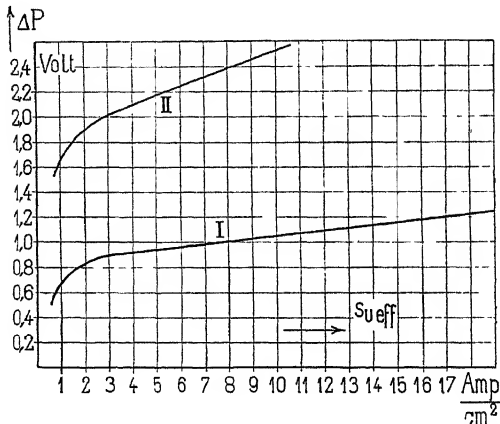


Fig. 505. Spannungsabfall unter zwei hintereinander geschalteten Bürsten in Abhängigkeit von der Stromdichte.

Kurve I für weiche Kohlen Kurve II für harte Kohlen.

Der durch die Bürstenreibung hervorgerufene Verlust beträgt am Kommutator

$$W_r = 9,81 v_k F_b g \varrho \text{ Watt}$$

und an den Kollektoringen

$$W_r' = 9,81 m v_k' F_b' g' \varrho'.$$

Es ist der Auflagedruck der Bürsten

$$g = 0,12 \text{ bis } 0,2 \text{ kg/qcm}$$

je nach der Kommutatortorgeschwindigkeit und

$$g' = 0,1 \text{ bis } 0,12 \text{ kg/qcm.}$$

Der Reibungskoeffizient  $\varrho$  ist ca. 0,25.

Die Lager- und Luftreibung sind angenähert gleich

$$W_R = 26 \frac{dl_z}{T_z} \sqrt{v_z^3} \text{ Watt,}$$

$d$  ist der Zapfendurchmesser,  $l_z$  die Gesamtlänge beider Zapfen und  $T_z$  die Lagertemperatur, die sich aus der Kurve Fig. 349 als Funktion von  $v_z$  ergibt.

Summieren wir nun alle Verluste, so erhalten wir die Gesamtverluste

$$W_v = W_{ka} + W_{nt} + W_H + W_u + W_u' + W_h + W_w + W_r + W_r' + W_R$$

und der Wirkungsgrad ist

$$\eta^0/0 = \frac{W_g}{W_g + W_v} 100.$$

Temperaturerhöhungen. Die Erwärmung von Umformern berechnet sich genau wie die von Gleichstrommaschinen (s. Die Gleichstrommaschine, Bd. I, 2. Aufl., S. 730ff.).

Bei der Armatur treten die höchsten Temperaturen in den Zähnen und im Kupfer, soweit dieses in den Nuten liegt, auf. Diese Erwärmung wird veranlaßt durch den entsprechenden Teil des Kupferverlustes

$$W_{kz} = \frac{l_1}{l_a} r J_g^2 R_a$$

und durch den Eisenverlust in den Zähnen  $W_{wz} + W_{hz}$ . Die Wärme wird aus dem betrachteten Bereich hauptsächlich nach außen durch die Zylinderfläche  $\pi D l_1$  abgeführt. Wir können daher als spezifische Kühlfläche

$$a_a = \frac{\pi D l_1}{W_{kz} + W_{hz} + W_{wz}} (1 + 0,1 v)$$

einführen und erhalten die maximale Temperaturerhöhung in Umformerankern zu

$$T_a = \frac{C}{a_a}.$$

Für den Koeffizienten der Wärmeabgabe  $C$  kann man den Wert 350 bis 450 einführen, wobei  $T_a$  mit dem Thermometer gemessen ist.

Zur Berechnung der Temperaturerhöhung der Erregerwicklung führen wir für lange Magnetspulen als Kühlfläche die äußere Ringfläche und eine Stirnfläche ein. Für kurze, dicke Spulen werden beide Stirnflächen zur äußeren Ringfläche zugeschlagen. Wir setzen auch hier die spezifische Kühlfläche der Magnetspule

$$a_m = \frac{\text{Abkühlungsfläche in qcm}}{\text{Wattverlust}}$$

und die Temperaturerhöhung (durch Widerstandsmessung ermittelt)

$$T_m = \frac{600 - 800}{a_m}.$$

Die Temperaturerhöhungen des Kommutators und der Kollektoringe lassen sich nach der folgenden Formel berechnen

$$T_k = \frac{100 \text{ bis } 120}{a_k},$$

wo  $a_k$  die spezifische Kühlfläche auf Stillstand reduziert bedeutet; es ist

$$a_k = \frac{\pi D_k L_k}{W_u + W_r} (1 + 0,1 v_k).$$

Die Koeffizienten der Wärmeabgabe konnten mit Rücksicht darauf, daß man bei Umformern weniger Abweichungen in der Konstruktion findet und die Umfangsgeschwindigkeit meist verhältnismäßig groß ist, in engeren Grenzen angegeben werden als bei Gleichstrommaschinen.

---

## Sechszunddreißigstes Kapitel.

### Beispiel und Formular zur Vorausberechnung.

211. Ausführliche Berechnung eines Einankerumformers — 212. Zusammenstellung der Formeln für die Berechnung eines Einankerumformers

#### 211. Ausführliche Berechnung eines Einankerumformers.

Es ist ein Sechphasenumformer von 300 KW Gleichstromleistung zu berechnen, dessen Gleichspannung bei allen Belastungen 820 Volt betragen soll.

Der zugeführte Wechselstrom hat die Periodenzahl 50. Der Wirkungsgrad soll bei Vollbelastung mindestens 93,5% betragen. Für die zulässige Erwärmung sind die Vorschriften des Verbandes Deutscher Elektrotechniker maßgebend.

Wir führen den Umformer 6polig aus ( $n=1000$ ) und versehen ihn mit Wendepolen.

Die doppelte Phasenspannung am Umformer beträgt:

$$P_w \sim \frac{P_g}{\sqrt{2}} = \frac{820}{\sqrt{2}} = 580 \text{ Volt.}$$

Bei Normallast wird ein Gleichstrom von

$$P_g = \frac{1000 \text{ KW}}{\sqrt{2}} = \frac{1000 \cdot 300}{820} = 366 \text{ Amp.}$$

abgegeben. Diesem entspricht eine Wattkomponente des Linienstromes:

$$J_{lw} = \frac{1000 \text{ KW}}{\frac{m}{2} P_w \eta} = \frac{300000}{3 \cdot 580 \cdot 0,935} \cong 185 \text{ Amp.}$$

Nach Formel 466 ist die Änderung des wattlosen Stromes von Leerlauf bis Vollast:

$$\Delta J_{lw} \sim - \frac{1}{x_l} \left( \frac{1}{2} \Delta P_w + J_{lw} r_l + \frac{J_{lw}^2 x_l^2}{P_w} \right).$$

Bei stark überkompoundierten Umformern muß  $x_i$  groß sein, damit  $\Delta J_{iw}$  nicht zu groß wird. Andererseits darf mit Rücksicht auf die Überlastungsfähigkeit der Maschine als Synchronmotor die Reaktanzspannung des Vollastwattstromes ( $J_{iw} x_i$ ) nicht zu groß werden. Man nimmt dann am besten  $J_{iw} x_i$  etwa gleich 40% der Phasenspannung  $\frac{P_w}{2}$  an, woraus sich dann  $x_i$  ergibt. Da der zu berechnende Umformer jedoch nur flach kompoundiert ist, kann  $J_{iw} x_i$  wesentlich kleiner angenommen werden, z. B.

$$J_{iw} x_i = 0,125 \frac{P_w}{2} \cong 36 \text{ Volt}$$

und

$$x_i = \frac{36}{185} \cong 0,2 \text{ Ohm.}$$

Sofern der (Streu-)Transformator eine kleinere Reaktanz pro Phase hat, muß eine Drosselspule vorgeschaltet werden. Nach Formel 457, S. 722 ist

$$P_g = \sqrt{2} P_w - \Delta P - J_g \left( R_a \sqrt{u_i^2 - \frac{8}{\pi^2}} + R_h + R_{w0} \right),$$

wenn wir noch die Spannungsabfälle in Hauptschluß- und Wendepolwicklung berücksichtigen. Ferner ist

$$P_{g0} = \sqrt{2} P_{w0},$$

also für unseren Fall ( $P_g = P_{g0}$ )

$$\Delta P_w = P_w - P_{w0} = \frac{\Delta P}{\sqrt{2}} + \frac{J_g}{\sqrt{2}} \left( R_a \sqrt{u_i^2 - \frac{8}{\pi^2}} + R_h + R_{w0} \right).$$

Bei der Vorausberechnung sind  $R_a$ ,  $R_h$  und  $R_{w0}$  unbekannt (vorläufig auch  $u_i$ ), und wir schätzen deswegen

$$\frac{1}{2} \Delta P_w \cong 0,01 \frac{P_w}{2} \cong 3 \text{ Volt.}$$

Ferner nehmen wir an

$$J_{iw} r_i = 0,02 \frac{P_w}{2} = 5,8 \text{ Volt.}$$

Es wird dann

$$\begin{aligned} \Delta J_{iw} &\cong -\frac{1}{0,2} \left( 3 + 5,8 + \frac{36^2}{580} \right) \cong -55 \text{ Amp.} \\ &\cong -0,3 J_{iw}. \end{aligned}$$

Bei stark überkompoundierten Umformern ist

$$\Delta P_w \cong \frac{1}{\sqrt{2}} (P_g - P_{g0}).$$

Wir können dann

$$\Delta P + J_q \left( R_a \sqrt{u_i^2 - \frac{8}{\pi^2}} + R_h + R_w \right)$$

vernachlässigen, oder durch einen kleinen Zuschlag berücksichtigen.

Wir wollen nun die Vorausberechnung durchführen für den Fall:

$$J_{lwl} = -15 \text{ Amp.},$$

$$J_{lwl0} = +40 \text{ Amp.},$$

was Phasengleichheit bei ungefähr  $\frac{3}{4}$  der Vollbelastung entspricht.

Die primäre, auf sekundär reduzierte Phasenspannung des Transformators muß betragen:

$$P_1' = \frac{P_{w0}}{2} + J_{lwl0} x_l = 290 + 40 \times 0,2 = 298 \text{ Volt.}$$

**Berechnung des Ankers.** Zunächst bestimmen wir das Verhältnis der Stromwärmeverluste

$$v = 1 + u_i^2 + v_i^2 - \frac{16}{\pi^2}.$$

Aus der Tabelle für die Übersetzungsverhältnisse der Ströme eines Umformerankers (S. 706) entnehmen wir für Sechssphasenstrom und sinusförmiges Feld

$$u_i = 0,94.$$

Zur Berücksichtigung der Verluste des Umformers schlagen wir zu diesem Werte noch  $3\%$  zu und rechnen also mit

$$u_i = 1,03 \times 0,94 \approx 0,97$$

und

$$v_i = \frac{J_{lwl}}{J_{lwl0}} u_i = \frac{15}{40} 0,97 \approx 0,079,$$

also

$$v = 1 + 0,97^2 + 0,079^2 - \frac{16}{\pi^2} \approx 0,32.$$

Der Anker ist also ebenso zu dimensionieren wie der einer Gleichstrommaschine von der Leistung

$$W_g \sqrt{v} = 300 \sqrt{0,32} \approx 170 \text{ KW},$$

der Spannung 820 Volt und der Stromstärke

$$J_g \sqrt{v} = 366 \sqrt{0,32} = 208 \text{ Amp.}$$

Bei schnellaufenden hochperiodigen Umformern für hohe Gleichspannung muß  $AS$  klein gewählt werden. Wir wählen  $AS=150$ ,  $B_l=7500$ ,  $u_i=0,65$  und erhalten aus Formel 489

$$M = \frac{6 \cdot 10^{11}}{\alpha_i B_i A S} = \frac{6 \cdot 10^{11}}{0,65 \cdot 7500 \cdot 150} \cong 82 \cdot 10^4,$$

ein Wert, der wesentlich höher liegt als die Kurven Fig. 504 angeben, weil die Gleichspannung (820 Volt) sehr hoch und deshalb mehr Platz für die Isolation nötig ist.

Es wird nun

$$D^2 l_i = \frac{V_v M K W}{n} = \frac{46 \cdot 10^4 \cdot 300}{1000} = 13,8 \cdot 10^4.$$

Für die Zerlegung dieses Produktes gehen wir von der maximal zulässigen Umfangsgeschwindigkeit des Ankers aus und wählen

$$v = 32 \text{ m/sek}, \quad \text{also} \quad \tau = 32 \text{ cm}.$$

Es wird dann

$$D = \frac{2 p \tau}{\pi} = \frac{6 \cdot 32}{\pi} = 61,2 \text{ cm}.$$

Wir wählen nun:

$$D = 62 \text{ cm}$$

$$l_i = \frac{13,8 \cdot 10^4}{62^2} \cong 36 \text{ cm}$$

$$v = 32,5 \text{ m/sek}$$

$$\tau = 32,5 \text{ cm}$$

$$b_i = 0,65 \cdot 32,5 = 21,1 \text{ cm}.$$

Wir ordnen 5 Luftschlitze von 10 mm an und setzen

die Eisenlänge ohne Luftschlitze  $l = 34 \text{ cm}$ ,

„ „ mit Luftschlitzen  $l_1 = 39 \text{ cm}$ ,

„ Länge des Polschuhes . .  $l_p = 37 \text{ cm}$ .

Wegen der gewünschten Symmetrie für die Anschlüsse an die Schleifringe wählen wir Schleifenwicklung ( $\alpha = 3$ ), so daß die effektive Stromstärke pro Zweig

$$i_a = \frac{(J_g + i_n) \sqrt{v}}{2 \alpha} \cong \frac{367,5 \sqrt{0,32}}{6} \cong 34,7 \text{ Amp.}$$

wird, wo die Nebenschlußstromstärke zu 1,5 Amp. geschätzt wurde.

Die Zahl der Ankerdrähte ergibt sich aus

$$N = \frac{\pi D A S}{i_a} = \frac{\pi \cdot 62 \cdot 150}{34,7} = 840.$$

Diese Zahl soll durch  $am = 3 \cdot 6 = 18$  teilbar sein, und außerdem durch die Anzahl Spulenseiten pro Nut. Wählen wir 10 Spulenseiten

pro Nut (entsprechend einem effektiven Stromvolumen von 350 Amp. und einem idcellen zu kommutierenden Stromvolumen von 615 Amp.), so muß  $N$  durch 90 teilbar sein. Wir wählen, auch mit Rücksicht auf  $P_{kmax}$  (s. S. 829):

$$N_k = 900$$

$$Z = \frac{900}{10} = 90$$

Es wird dann

$$AS = \frac{34,7 \cdot 900}{\pi \cdot 62} \approx 160$$

Bei der Festsetzung der Wicklungsschritte ist zu beachten, daß

$$y_1 = u_n y_n + 1 = 10 y_n + 1$$

sein muß, wenn die Spulenseiten gemeinsam isoliert in die Nuten eingelegt werden sollen<sup>1)</sup>.

Die beiden Wicklungsschritte werden

$$y_1 = \frac{s+b}{2p} = \frac{900+6}{6} = 151 = 10 \cdot 15 + 1$$

und

$$y_2 = \frac{s+b}{2p} + 2 = \frac{900+6}{6} + 2 = 149.$$

Jeder Schleifring ist mit  $a=3$  Punkten der Wicklung zu verbinden, die voneinander um  $\frac{900}{3} = 300$  Stäbe entfernt sind. Die Anschlußpunkte der einzelnen Schleifringe sind gegenseitig um  $\frac{s}{ma} = \frac{N}{ma} = \frac{900}{6 \cdot 3} = 50$  Stäbe voneinander entfernt. Es sind also die Stäbe 1, 301 und 601 mit dem ersten Schleifring, die Stäbe 51, 351 und 651 mit dem zweiten, 101, 401 und 701 mit dem dritten, 151, 451 und 751 mit dem vierten Schleifring usw. zu verbinden. Die sechs Schleifringe sind zu gleicher Zeit Ausgleichringe. Außerdem bringen wir noch 24 Ausgleichsysteme (Drahtdurchmesser etwa 3 mm), also zusammen 30 Systeme mit je drei Anschlüssen an. Es werden somit die Stäbe 11, 311 und 611, auch 21, 321 und 621 usw. je an einen Ausgleichring angeschlossen.

Zur Bestimmung der Stabdimensionen wählen wir  $s_a=3$  und finden

$$q_a = \frac{34,7}{3} = 11,6 \text{ qmm.}$$

<sup>1)</sup> WT III, S. 94.



Wir berechnen nun zuerst die Nutenweite, indem wir eine maximale Zahninduktion  $B_{z1max} \cong 21000$  annehmen.

Der Kraftfluß  $\Phi$  bei einer induzierten EMK bei Vollast von etwa 830 Volt (der Spannungsabfall im Anker und unter den Bürsten ist klein) ist

$$\Phi = \frac{60 E_g a 10^8}{N n p} = \frac{60 \cdot 830 \cdot 3 \cdot 10^8}{900 \cdot 1000 \cdot 3} = 5,53 \cdot 10^6$$

und die Luftinduktion

$$B_l = \frac{\Phi}{b_l l_1} = \frac{5,53 \cdot 10^6}{21,1 \cdot 36} = 7300.$$

Da

$$t_1 = \frac{\pi D}{Z} = \frac{\pi \cdot 620}{90} = 21,6 \text{ mm},$$

finden wir als minimale Zahnstärke

$$z_2 = \frac{t_1 B_l l_1}{k_2 B_{z1max} l} = \frac{21,6 \cdot 7300 \cdot 36}{0,9 \cdot 21000 \cdot 34} \cong 8,8 \text{ mm}.$$

Schatzen wir die Nutentiefe zu 35 mm, so ergibt sich

$$t_2 = t_1 \frac{550}{620} \cong 19,2 \text{ mm}.$$

und eine Nutenweite

$$t_2 - z_2 = 19,2 - 8,8 = 10,4 \text{ mm}.$$

Wir wählen eine Nutenweite von 10,5 mm. Bei 800 Volt und 5 Stäben nebeneinander in einer Nut gehen hiervon für Isolation und Spielraum nach Tabelle S. 814 etwa 7 mm ab. Bei sorgfältiger Ausführung genügen 6 mm, besonders weil die Spulenseiten vor dem Einlegen in die Nut gemeinsam isoliert werden können, so daß sich die Breite eines Stabes zu

$$\frac{10,5 - 6}{5} = 0,9 \text{ mm}$$

ergibt. Die Höhe eines Stabes wird

$$\frac{11,6}{0,9} \cong 13 \text{ mm}.$$

Es wird nun

$$s_a = \frac{34,7}{0,9 \cdot 13} = 2,96.$$

Die Nuten werden  $2 \times 13 + 11 = 37$  mm tief. Sie sind in Fig. 506 aufgezeichnet.

Die Berechnung des Ankers ist nun bis auf die Bestimmung der Eisenhöhe  $h$  voll-

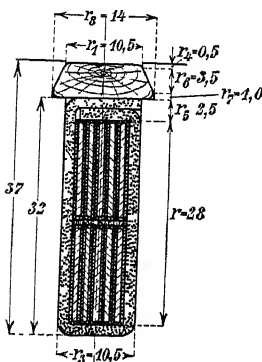


Fig. 506.

det. Wir wählen bei 50 Perioden  $B_a = 9000$ , dann wird die Eisenhöhe ohne Zahnhöhe

$$h = \frac{\Phi}{2k_2 l B_a} = \frac{5,53 \cdot 10^6}{2 \cdot 0,9 \cdot 34 \cdot 9000} \cong 10 \text{ cm.}$$

Um eine runde Zahl für den inneren Durchmesser  $D_i$  zu erhalten, setzen wir  $h = 9,8$  cm, dann wird

$$D_i = 62 - 2(3,7 + 9,8) = 35 \text{ cm.}$$

**Kommutator.** Die Lamellenzahl ist

$$K = \frac{N}{2} = 450.$$

Wir wählen mit Rücksicht auf die Umfangsgeschwindigkeit des Kollektors, die wenn möglich kleiner als 25 m/sec sein soll, die Lamellenbreite klein, also etwa 3,2 mm; die Isolationsstärke zwischen den Lamellen zu 0,6 mm und erhalten

$$D_k = \frac{450 \cdot 3,8}{\pi} = 544 \text{ mm.}$$

Wir wählen  $D_k = 540$  mm, die Lamellenbreite wird dann 3,17 mm.

Die maximale Spannung zwischen zwei Lamellen wird

$$P_{kmax} \cong \frac{\pi p P_g}{K} = \frac{\pi \cdot 3 \cdot 820}{450} = 17,1 \text{ Volt,}$$

was zulässig ist.

Die Kommutatorumfangsgeschwindigkeit wird

$$v_k = \frac{\pi D_k n}{60} = \frac{\pi \cdot 54 \cdot 1000}{60} = 28,2 \text{ m/sec,}$$

ein allerdings sehr hoher, aber bei der kleinen Kommutatorlänge gerade noch zulässiger Wert.

**Bürsten.** Für die Stromstärke  $J_g = 366$  Amp. ist bei 4,5 Amp./qcm Stromdichte unter den Bürsten eine Kontaktfläche aller Bürsten

$$F_b = \frac{2J_g}{4,5} \cong 162 \text{ qcm}$$

notwendig. Die Bürstenbreite sei zu 18 mm, die Länge zu 50 mm gewählt. Die Anzahl Bürsten pro Stift beträgt dann

$$\frac{162}{6 \cdot 1,8 \cdot 5} = 3.$$

Die nutzbare Länge des Kollektors muß dann 18 bis 20 cm betragen.

**Schleifringe.** Jedem Schleifring wird eine Stromstärke

$$J_i = \sqrt{J_{i_{10}}^2 + J_{i_{15}}^2} = \sqrt{185^2 + 15^2} \approx 186 \text{ Amp.}$$

zugeführt. Wir verwenden weiche Kohlenbürsten, die eine Stromdichte von etwa 20 Amp./qcm zulassen. Da die Stromstärke pro Schleifring klein ist und wir wenigstens zwei Bürsten auf jedem Ring schleifen lassen wollen, wird hier die Stromdichte nur rund 10 Amp., wenn die Bürstenabmessungen  $30 \times 30$  sind.

Der Kurve I (Fig. 505) entnehmen wir, daß der Spannungsabfall unter einer weichen Kohlenbürste bei 10 Amp. Stromdichte etwa 0,5 Volt beträgt. (In der Figur ist der Spannungsabfall 1,0 Volt unter zwei hintereinander geschalteten Bürsten aufgetragen.) Der Übergangsverlust pro Ring wird also

$$W_u' = 186 \times 0,5 = 93 \text{ Watt.}$$

Bei einem Ringdurchmesser von 38,5 cm beträgt die Umfangsgeschwindigkeit  $v_k' = 20$  m/sek. Setzen wir die Bürsten mit einem Druck  $g' = 0,12$  kg/qcm auf, und nehmen wir den Reibungskoeffizienten der Kohlen  $q'$  zu 0,25 an, so erhalten wir einen Reibungsverlust pro Ring:

$$W_r' = 9,81 F_b' v_k' g' q' = 9,81 \cdot 18 \cdot 20 \cdot 0,12 \cdot 0,25 = 106 \text{ Watt.}$$

Der Gesamtverlust pro Ring beträgt also

$$93 + 106 \approx 200 \text{ Watt.}$$

Nehmen wir pro Watt eine Kühlfläche von 3,5 qcm, so brauchen wir eine Ringfläche

$$\pi D_k' b_k' = \frac{a_k' (W_u' + W_r')}{1 + 0,1 v_k'} = \frac{3,5 \cdot 200}{1 + 0,1 \cdot 20} \approx 230 \text{ qcm.}$$

Die minimale Breite des Kollektorrings wird somit

$$b_k' = \frac{230}{\pi \cdot 38,5} = 1,9 \text{ cm.}$$

Wir wählen aus konstruktiven Gründen, und damit wir eine 3 cm breite Bürste verwenden können,  $b_k' = 35$  mm. Wie zu erwarten, bleibt die Temperaturerhöhung der Schleifringe bei der kleinen Stromstärke und hohen Umfangsgeschwindigkeit weit unter der zulässigen.

**Luftspalt.** Aus der Formel

$$\delta \approx \frac{(1,2 \text{ bis } 2) b_i A S - A W_s}{1,6 k_1 B_i}$$

ergibt sich  $\delta = 5$  mm. Trotzdem der Umformer mit Wendepolen

versehen werden soll, wählen wir mit Rücksicht auf die hohe Umfangsgeschwindigkeit

$$\delta = 6 \text{ mm.}$$

**Magnetschenkel und Joch.** Wir wählen lamellierte Pole und Polschuhe. In die Polschuhe wird eine Dampferwicklung angeordnet, um ein den Betrieb störendes Pendeln zu verhüten. Zu diesem Zwecke werden 4 Kupferstäbe (15 mm Durchmesser) in die Polschuhe eingelegt und durch Querverbindungsstücke kurzgeschlossen.

Da eine Windung, die den ganzen Kraftfluß umfaßt, besonders wirksam ist, soll außerdem die Erregerwicklung durch einen in sich geschlossenen Messingring unterstützt werden.

Wir nehmen einen Streukoeffizienten  $\sigma = 1,15$  an; es wird dann

$$\Phi_m = \sigma \Phi = 1,15 \cdot 5,53 \cdot 10^6 \cong 6,4 \cdot 10^6$$

Bei der Dimensionierung des Kernes müssen wir beachten, daß die Induktion in dem Eisen zwischen den Dämpferstäben viel höher ist als in den übrigen Teilen des Kernes. Lassen wir dort eine maximale Induktion von 19000 zu, so wird der erforderliche Eisenquerschnitt an der betreffenden Stelle

$$\frac{6,4 \cdot 10^6}{19000} = 336 \text{ qcm,}$$

was, bei einer Pollange von 37 cm, einer Eisenbreite von rund 9 cm entspricht. Da wir 4 Kupferstäbe mit je 15 mm Durchmesser angebracht haben, wird die erforderliche Kernbreite  $9 + 4 \cdot 1,5 = 15 \text{ cm.}$

Zur Kontrolle berechnen wir noch

$$B_m = \frac{6,4 \cdot 10^6}{15 \cdot 37} = 11500.$$

Die Schenkellänge schätzen wir, da wir auch eine Hauptschlußwicklung haben, vorerst zu 25 cm, inklusive Polschuhhöhe. Die Kraftlinienlänge in den Polen wird dann  $L_m \cong 50 \text{ cm.}$  Für das Joch, das aus Stahlguß hergestellt sei, wählen wir  $B_j = 12000$  und finden den Jochquerschnitt

$$Q_j = \frac{6,4 \cdot 10^6}{2 \cdot 12000} \cong 270 \text{ qcm.}$$

Die Hauptabmessungen sind nunmehr ermittelt und können in einer Skizze (Fig. 507) zusammengestellt werden.

**Berechnung der Erregung bei Leerlauf.** Bei Leerlauf ist eine EMK

$$P_{g0} = 2 \sqrt{2} J_{i_{w20}} x'_{s1}$$

zu induzieren.

Wir berechnen zunächst zur Bestimmung der Reaktanz  $2x'_{s1}$  einer Doppelphase die Summe der Leitfähigkeiten  $\Sigma(l_x \lambda_x)$ .

Die äquivalente Leitfähigkeit um die Nuten ist:

$$\begin{aligned}\lambda_n &= 1,25 \left( \frac{r}{3r_3} + \frac{r_5}{r_3} + \frac{r_7}{r_8} + \frac{2r_6}{r_1 + r_8} + \frac{r_4}{r_1} \right) \\ &= 1,25 \left( \frac{28}{31,5} + \frac{2,5}{10,5} + \frac{1}{14} + \frac{7}{24,5} + \frac{0,5}{10,5} \right) = 1,9.\end{aligned}$$

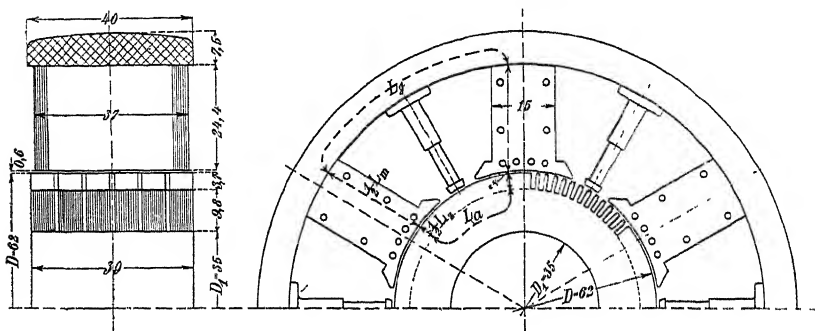


Fig. 507

Die Stäbe einer Doppelphase sind bei einer unveränderten Gleichstromwicklung in

$$q = \frac{Z}{2p \frac{m}{2}} = \frac{90}{6 \cdot 3} = 5$$

Nuten pro Pol verteilt.

Nach Formel 11 ist dann

$$\lambda_k = 0,92 \log \frac{\pi t_1}{2r_1} + 0,67 = 0,92 \log \frac{\pi \cdot 21,6}{2 \cdot 10,5} + 0,67 = 1,14.$$

Die Leitfähigkeit um die Stirnverbindungen schätzen wir zu 0,7.

Wir erhalten somit

$$\Sigma(l_x \lambda_x) = l_n (\lambda_n + \lambda_k) + l_s \lambda_s = 36 (1,9 + 1,14) + 46 \cdot 0,7 \simeq 142.$$

Als erste Annäherung können wir für  $l_s \simeq 1,4 \tau + 5 \simeq 50$  cm einführen. In der obigen Formel ist die der aufgezeichneten Wicklung entnommene wirkliche Länge von 46 cm eingeführt.

Die Reaktanz pro Doppelphase ist somit

$$2x'_{s1} = \frac{1}{4 \sin^2 \frac{\pi}{m}} \frac{4 \pi c \left( \frac{N}{am} \right)^2}{p q 10^8} \Sigma(l_x \lambda_x) = \frac{4 \pi c \left( \frac{N}{am} \right)^2}{p q 10^8} \Sigma(l_x \lambda_x),$$

da für  $m = 6$

$$4 \sin^2 \frac{\pi}{m} = 4 \sin^2 30 = 1$$

wird, also

$$2 x'_{s1} = \frac{4 \pi \cdot 50 \cdot 50^2}{3 \cdot 5 \cdot 10^8} 142 \approx 0,15 \text{ Ohm.}$$

Bei Leerlauf fließt in der Ankerwicklung ein wattloser Strom

$$J_{wl0} = J_{lwl0} = 40 \text{ Amp.}$$

Die bei Leerlauf zu induzierende EMK wird somit

$$P_{q0} - 2 \sqrt{2} J_{lwl0} x'_{s1} = 820 - \sqrt{2} \cdot 40 \cdot 0,15 \approx 812 \text{ Volt,}$$

und der Kraftfluß pro Pol ist

$$\Phi_0 = \frac{60 a E 10^8}{N n p} = \frac{60 \cdot 812 \cdot 10^8}{900 \cdot 1000} = 5,42 \cdot 10^6.$$

Bei diesem Kraftfluß ergeben sich folgende Induktionen:

$$B_{l0} = \frac{\Phi_0}{b_l l_l} = \frac{5,42 \cdot 10^6}{21,1 \cdot 36} = 7130$$

$$B_{s0} = \frac{\Phi_0}{2 l h k_2} = \frac{5,42 \cdot 10^6}{2 \cdot 34 \cdot 9,8 \cdot 0,9} = 9040$$

$$B_{zmax} = \frac{B_{l0} t_1 l_l}{z_{min} k_2 l} = \frac{7130 \cdot 21,6 \cdot 36}{8,5 \cdot 0,9 \cdot 34} = 21400$$

$$B_{zmitt} = \frac{z_{min}}{z_{mitt}} B_{zmax} = \frac{8,5}{9,8} 21400 = 18500$$

$$B_{zmin} = \frac{z_{min}}{z_{max}} B_{zmax} = \frac{8,5}{11,1} 21400 = 16400$$

und entsprechend den betreffenden Werten von  $k_3$

$$aw_{zmax} = 370$$

$$aw_{zmitt} = 110$$

$$aw_{zmin} = 45.$$

Da der Streuungskoeffizient  $\sigma = 1,15$  angenommen wurde, wird

$$\Phi_{m0} = 1,15 \cdot 5,42 \cdot 10^6 \approx 6,23 \cdot 10^6$$

$$B_{m0} = \frac{6,23 \cdot 10^6}{15 \cdot 37} = 11200$$

$$B_{j0} = \frac{\Phi_{m0}}{2 Q_j} = \frac{6,23 \cdot 10^6}{2 \cdot 270} \approx 11500.$$

Die mittleren Kraftlinienwege können wir der Skizze der Hauptabmessungen (Fig. 507) entnehmen. Annähernd können diese für Joch und Anker auch gleich der Polteilung des Schwerpunktkreises gesetzt werden.

Wir erhalten dann:

$$L_a = \frac{(D_s + h) \pi}{2p} = \frac{(35,0 + 9,8) \pi}{6} \cong 23,5 \text{ cm}$$

$$L_j = \frac{(D + 2\delta + 2h_m + h) \pi}{2p} = \frac{(62 + 1,2 + 50 + 7,5) \pi}{6} = 63 \text{ cm}$$

$$L_z = 2 \cdot 3,7 = 7,4 \text{ cm}$$

$$L_m = 50 \text{ cm.}$$

Mit Hilfe der Magnetisierungskurven (Tafel XVIII) ergeben sich dann folgende Amperewindungen:

$$AW_{i0} = 1,6 k_1 B_{i0} \delta = 1,6 \cdot 1,14 \cdot 7130 \cdot 0,6 = 7800$$

$$AW_{a0} = aw_a L_a = 3 \cdot 23,5 = 70$$

$$AW_{z0} = \frac{aw_{zmax} + 4 aw_{zmitt} + aw_{zmin}}{6} L_z = 1060$$

$$AW_{m0} = aw_m L_m = 10,5 \cdot 50 = 525$$

$$AW_{j0} = aw_j L_j = 10,5 \cdot 63 = 660$$

$$AW'_{k0} = 10115$$

$$AW'_{t0} = p \cdot AW'_{k0} = 3 \cdot 10115 = 30345$$

Für  $k_1$  ist der Wert 1,14 eingeführt, der folgendermaßen berechnet werden kann

$$k_1 = \frac{t_1}{z_1 + \delta X}.$$

Den Wert  $X$  entnehmen wir für

$$\nu = \frac{t_1 - z_1}{\delta} = \frac{10,5}{6} = 1,75$$

aus Fig. 67, S. 78 zu  $X = 1,3$  und erhalten

$$k_1 = \frac{21,6}{11,1 + 1,3 \cdot 6} = 1,14.$$

Von  $AW'_{t0}$  sind noch die magnetisierenden Amperewindungen des phasenverspäteten Stromes bei Leerlauf abzuziehen:

$$AW_{e0} = k_0 f_{w1} \frac{N}{2a} J_{w10} = 0,76 \cdot 0,96 \frac{900}{6} 40 = 4370.$$

Die bei Leerlauf notwendigen Amperewindungen der Nebenschlußwicklung sind somit:

$$AW_{t0} = AW'_{t0} - AW_{r0} = 30345 - 4370 \cong 26000.$$

**Berechnung der Erregung bei Belastung.** Bei normaler Belastung ist eine EMK

$$P_g + \Delta P + J_g(R_h + R_w) - 2\sqrt{2}J_{wl}x'_{s1}$$

zu induzieren.

Nehmen wir als Spannungsabfall unter den Bürsten ca. 3 Volt an, weil wir für die hohe Spannung sehr harte Kohlen verwenden, und für  $J_g(R_h + R_w) \cong 2,2$  Volt, so ergibt sich die bei Normallast zu induzierende EMK zu:

$$820 + 3 + 2,2 + \sqrt{2} \cdot 15 \cdot 0,15 \cong 828 \text{ Volt.}$$

Die Induktionen bei Belastung finden wir, indem wir die für Leerlauf ermittelten Werte im Verhältnisse

$$\frac{828}{812} \cong 1,02$$

erhöhen<sup>1)</sup>.

Wir erhalten demnach:

$B_l = 1,02 \cdot 7130 = 7270$	$AW_l = 1,02 \cdot 7800 = 7950$
$B_a = 1,02 \cdot 9040 = 9220$	$AW_u = 3 \cdot 23,5 = 70$
$B_{zmax} = 1,02 \cdot 21400 = 21830$	$aw_{zmax} = 440$
$B_{zmitt} = 1,02 \cdot 18500 = 18870$	$aw_{zmitt} = 140$
$B_{zmin} = 1,02 \cdot 16400 = 16730$	$aw_{zmin} = 55$
$AW_z = \frac{aw_{zmax} + 4aw_{zmitt} + aw_{zmin}}{6} J_z = 1300$	
$B_m = 1,02 \cdot 11200 = 11420$	$AW_m = 10,5 \cdot 50 = 525$
$B_j = 1,02 \cdot 11500 = 11730$	$AW_j = 11 \cdot 63 = 690$
$AW'_k = 10535$	
$AW'_i = p AW'_k = 3 \cdot 10535 = 31605$	
$AW_e = k_0 f_{w1} \frac{N}{2a} J_{wl} = -0,76 \cdot 0,96 \frac{900}{6} 15 = -1650.$	

<sup>1)</sup> Bei flach kompondierten Umformern ist es im allgemeinen unnötig, die Berechnung der Induktionen sowohl für Leerlauf als für Vollast auszuführen. Da sie jedoch bei stark überkompondierten Umformern zur Notwendigkeit wird, ist sie der Vollständigkeit halber im vorliegenden Falle durchgeführt. Der Einfluß des Wendekraftflusses auf die Amperewindungszahl der Hauptpole ist jedoch vernachlässigt worden. Er kann nach dem in Bd. II der Gleichstrommaschine S. 282 u. f. gebrachten Verfahren berücksichtigt werden.



Totale Amperewindungszahl bei Normallast

$$AW_t = AW'_t - AW_e = 31605 + 1650 \simeq 33250.$$

**Erregerwicklung.** a) Nebenschlußwicklung: Die mittlere Länge einer Windung beträgt:

$$l_n \simeq 2[15 + 37 + 2(2 + 7)] = 140 \text{ cm.}$$

Die Amperewindungszahl der Nebenschlußwicklung bei Leerlauf ist zwar  $AW_{t0}$ , wir dürfen aber die Nebenschlußwicklung nicht diesem Werte entsprechend dimensionieren. Der Umformer wird mit einem Hilfsmotor angelassen und dann an der Wechselstromseite parallel geschaltet. Dann muß die Gleichstromerregung allein das Feld erzeugen. Außerdem muß, abgesehen von dem kleinem

Spannungsabfall des Leerlaufstromes,  $820 = \frac{812 + 828}{2}$  Volt induziert werden. Wir rechnen deswegen mit

$$AW''_{t0} = \frac{AW'_{t0} + AW_t}{2} \simeq 31000.$$

Außerdem kann es vorkommen, daß die Netzperiodenzahl etwas zu niedrig ist, und auch in diesem Falle ist es erwünscht, anstandslos parallel schalten zu können.

Wir machen daher:

$$q_n = \frac{AW''_{t0} l_n (1 + 0,004 T_m)}{5700 P_{g0}} 1,2 = \frac{31000 \cdot 140 \cdot 1,16}{5700 \cdot 820} 1,2 \simeq 1,3 \text{ qmm.}$$

Wir führen deswegen die Wicklung mit einem Drahte von 1,3/1,8 mm Durchmesser aus.

Bei Annahme einer Stromdichte  $s_n = 1,15$  wird die Stromstärke in der Nebenschlußwicklung bei Leerlauf  $i_{n0} = 1,32 \cdot 1,15 = 1,52$  Amp., und wir brauchen im ganzen

$$w_n = \frac{AW_{t0}}{i_{n0}} = \frac{26000}{1,52} \simeq 17000 \text{ Windungen.}$$

Wir wählen 2800 Windungen pro Spule (Pol), also  $6 \cdot 2800 = 16800$  Windungen total. Der Widerstand der Nebenschlußwicklung ist warm:

$$R_n = \frac{1,16 \cdot 16800 \cdot 140}{5700 \cdot 1,32} = 363 \text{ Ohm}$$

und kalt nur ca. 313 Ohm.

Der Vorschaltwiderstand bei normalem Leerlauf (Nebenschlußwicklung kalt) beträgt:

$$\frac{P w_n}{AW_{t0}} - 313 = \frac{820 \cdot 16800}{26000} - 313 \simeq 220 \text{ Ohm.}$$

b) Hauptschlußwicklung. Die Hauptschlußwicklung erhält

$$w_h = \frac{AW_t - \frac{P_g}{P_{g0}} AW_{t0}}{J_g} \text{ Windungen.}$$

Für unseren Fall ist  $P_g = P_{g0}$ , also

$$w_h = \frac{33250 - 26000}{366} = \frac{7250}{366} \cong 20 \text{ Windungen.}$$

Die Änderung des wattlosen Stromes von Leerlauf bei Vollast bedingt eine Änderung der magnetisierenden Amperewindungen von

$$AW_{e0} - AW_e = 4370 + 1650 = 6020.$$

Die Hauptschlußwicklung hat erstens diese AW zu liefern und außerdem  $7250 - 6020 = 1230$  AW, entsprechend der Änderung des Kraftflusses von Leerlauf bis Belastung. Da im vorliegenden Falle diese Änderung klein ist, und gerade die den Sättigungsänderungen entsprechenden AW nicht genau berechnet werden können, weil die Permeabilität des Eisens nicht genau bekannt ist, genügt hier eine kleine Sicherheit.

Da der Umformer außerdem mit Wendepolen versehen ist, und somit die Kompoundierung durch eine geringe Bürstenverschiebung eingestellt werden kann, bringen wir 3,5 Windungen pro Pol, also total 21 Windungen an.

Bei überkompoundierten Umformern, wo sich die Sättigungsverhältnisse von Leerlauf bis Vollast stark ändern, empfiehlt es sich, mit einer größeren Sicherheit zu rechnen und etwa 10 bis 15% mehr Windungen anzuordnen.

**Berechnung der Wendepole.** Der Umformer soll mit  $2p = 6$  Wendepolen versehen werden. Die erforderliche Wendefeldstärke ist somit nach Gl. 475

$$B_{wl} = 2AS_{ia} \left( \lambda_{NS} \frac{t_1}{t_1 + b_D - \frac{a}{p} \beta_D \frac{l_1}{l_w}} + k \lambda_{g0} \frac{l_1 - l_w}{l_w} \right).$$

Es ist

$$AS_{ia} = \frac{AS}{V_p} = \frac{160}{\sqrt{0,32}} = 282$$

$$t_1 = 21,6$$

$$b_D = 18 \frac{62}{54} = 20,7$$

$$\beta_D = 3,17 \frac{62}{54} = 3,64$$

$$l_1 = 39$$

$$l_w = 24$$

$$k = 0,19 \text{ (der Sicherheit wegen rechnen wir hier mit dem Werte für den verlustlosen Umformer)}$$

$$\text{also } \lambda_{g0} \cong 3,$$

$$B_{wl} = 2 \cdot 282 \left( 2,91 \frac{21,6 \cdot 39}{38,7 \cdot 24} + 0,19 \cdot 3 \frac{15}{24} \right) \sim 1700$$

Die erforderliche Wendefeldbreite ist

$$b_{wi} = t_1 + b_D - \frac{a}{p} \beta_D = 38,7 \text{ mm}$$

Wir wählen  $b_w = 38 \text{ mm}$ , infolge der seitlichen Streuung wird dann die totale Wendefeldbreite etwas größer als  $2t_1$ .

Die erforderliche Amperewindungszahl wird:

$$AW_w = k \tau AS_{id} + AW_N$$

$$k \tau AS_{id} = 0,19 \cdot 32,5 \cdot 282 = 1740.$$

$AW_N$  setzt sich aus den Amperewindungen für Luft, Zähne, Wendepolschenkel, Armatureisen und Joch zusammen.

$$AW_l = 1,6 B_{wl} \delta_w k_1 = 1,6 \cdot 1700 \cdot 0,6 \cdot 1,14 = 1860.$$

Der Luftkraftfluß unter dem Wendepol ist gleich:

$$\begin{aligned} \Phi_{wa} &= B_{wl} b_{wi} l_{wi} = B_{wl} (b_w + 4,5 \delta_w) (l_w + 3 \delta_w) \\ &= 1700 (3,8 + 4,5 \cdot 0,6) (24 + 3 \cdot 0,6) \cong 0,285 \cdot 10^6. \end{aligned}$$

Da Einankerumformer verhältnismäßig wenig Amperewindungen auf den Wendepolen brauchen, kann das Kupfer sehr nahe der Armaturoberfläche angeordnet werden, und  $\sigma_k$  wird nicht sehr groß sein. Wir schätzen

$$\sigma_k = 1,5.$$

Es ist dann

$$\Phi_{wm} \cong 1,5 \cdot 0,285 \cdot 10^6 \cong 0,42 \cdot 10^6.$$

In Fig. 507 sind nun auch die Wendepole eingezeichnet. Der Querschnitt des unteren (bewickelten) Teiles ist  $19 \times 3 = 57 \text{ qcm}$ , über eine Höhe von ca.  $10 \text{ cm}$ .

$$B_{wm} = \frac{0,42 \cdot 10^6}{57} = 7350.$$

Die ausführliche Berechnung von  $AW_N$  ist in „Die Gleichstrommaschine“ behandelt. Wir schätzen hier

$$AW_N \cong 1,2 AW_l \cong 1,2 \cdot 1860 \cong 2230,$$

so daß die erforderliche Amperewindungszahl eines Wendepolpaares sich ergibt zu

$$AW_w = k\tau AS_{ad} + AW_N = 1740 + 2230 = 3970.$$

Wir bringen somit pro Wendepol  $\frac{3970}{2 \cdot 366} \cong 5,5$  Windungen an mit demselben Querschnitt ( $6,4 \times 25$ ) als die Hauptschlußwicklung hat.

Der Widerstand der gesamten Wendepolwicklung wird dann

$$R_w = \frac{l_w w_w}{5700 q_e} (1 + 0,004 T_w) = \frac{0,54 \cdot 6,6}{5700} \frac{1,16}{6,4 \cdot 25} \cong 0,0025 \text{ Ohm};$$

in welcher Formel für  $w_w$  der Wert 6·6 (statt 6·5,5) eingeführt ist, um auch den Widerstand der Verbindungen zwischen den einzelnen Wendepolwicklungen zu berücksichtigen.

Da die vorhandene Amperewindungszahl nicht genau mit der für eine geradlinige Kommutation erforderlichen übereinstimmt, wäre noch zu prüfen, ob die hierdurch hervorgerufene fehlerhafte Feldstärke zulässig ist. Im allgemeinen ist jedoch eine solche Nachprüfung nicht notwendig, und da sie genau so wie bei Gleichstrommaschinen vorgenommen wird, sei hier auf das betreffende Kapitel in „Die Gleichstrommaschine“ hingewiesen.

**Verluste, Wirkungsgrad und Temperaturerhöhungen.** a) Eisenverluste. Die Hysteresiskonstante  $\sigma_h$  nehmen wir zu 2, die Wirbelstromkonstante  $\sigma_w$  bei der vorliegenden Periodenzahl  $c=50$  zu  $\sigma_w = 15$  an.

Eisenvolumen des Ankerkernes:

$$V_a = \pi (D_i + h) l h k_2 10^{-3} = \pi (35 + 9,8) 34 \cdot 9,8 \cdot 0,9 \cdot 10^{-3} = 42,3 \text{ cbdm.}$$

Hysteresisverlust im Ankerkern:

$$W_{ha} = \sigma_h \left( \frac{c}{100} \right) \left( \frac{B_a}{1000} \right)^{1,6} V_a = 2 \cdot 0,5 (9,22)^{1,6} 42,3 = 1480 \text{ Watt.}$$

Wirbelstromverlust im Ankerkern:

$$W_{wa} = \sigma_w \left( 1 \frac{c}{100} \frac{B_a}{1000} \right)^2 V_a = 15 (0,35 \cdot 0,5 \cdot 9,22)^2 42,3 = 1640 \text{ Watt.}$$

Eisenvolumen der Zähne:

$$V_z = Z \frac{l_z}{2} \left( \frac{z_1 + z_2}{2} \right) l k_2 10^{-3} = 90 \cdot 3,7 \frac{11,1 + 8,6}{2} 34 \cdot 0,9 \cdot 10^{-3} = 10,1 \text{ cbdm.}$$

$$\text{Für } \frac{z_2}{z_1} = \frac{8,6}{11,1} = 0,775 \text{ finden wir aus den Kurven}$$

$$k_4 = 1,2 \quad \text{und} \quad k_5 = 1,3.$$

Die minimale Zahninduktion  $B_{zmin} = 16730$ .

Hiermit finden wir:

Hysteresisverlust in den Zähnen:

$$W_{hz} = \sigma_h k_4 \frac{c}{100} \left( \frac{B_{zmn}}{1000} \right)^{1,6} V_z = 2 \cdot 1,2 \cdot 0,5 (16,7)^{1,6} 10,1 = 1090 \text{ Watt.}$$

Wirbelstromverlust in den Zähnen:

$$W_{wz} = \sigma_w k_5 \left( \Delta \frac{c}{100} \frac{B_{zmn}}{1000} \right)^2 V_z = 15 \cdot 1,3 (0,35 \cdot 0,5 \cdot 16,7)^2 10,1 = 1700 \text{ Watt.}$$

Totaler Eisenverlust im Anker:

$$W_{ea} = W_{ha} + W_{wa} + W_{hz} + W_{wz} = 5910 \text{ Watt.}$$

Prozentualer Eisenverlust:

$$\frac{W_{ea}}{10 KW} = \frac{5910}{3000} \simeq 2\%.$$

b) Verlust im Ankercupfer. Der Ankerwiderstand ist

$$R_a = \frac{N}{(2a)^2} \frac{l_a (1 + 0,004 T_a)}{5700 q_a} = \frac{900}{(2 \cdot 3)^2} \frac{85 \cdot 1,16}{5700 \cdot 11,7} = 0,037 \text{ Ohm.}$$

Stromwärmeverlust im Anker:

$$W_{ka} = J_g^2 \nu R_a = (208)^2 \cdot 0,037 = 1600 \text{ Watt.}$$

Prozentualer Verlust:

$$\frac{W_{ka}}{10 KW} = \frac{1600}{3000} = 0,53\%.$$

Verlust im Kupfer, das in den Nuten liegt:

$$W_{kz} = \frac{l_1}{l_a} W_{ka} = \frac{39}{85} 1600 = 735 \text{ Watt.}$$

Rechnen wir, daß die Eisenverluste in den Zähnen und die Kupferverluste  $W_{kz}$  durch die Mantelfläche des Ankers abgeführt werden, so ist die spezifische Kühlfläche:

$$\begin{aligned} a_a &= \frac{\pi D l_1}{W_{kz} + W_{hz} + W_{wz}} (1 + 0,1 \nu) \\ &= \frac{\pi \cdot 62 \cdot 39}{735 + 1090 + 1700} (1 + 0,1 \cdot 32,5) = 9,2 \text{ qcm.} \end{aligned}$$

Temperaturerhöhung des Ankers:

$$T_a \simeq \frac{350 - 450}{a_a} \simeq 40^\circ.$$

c) Verluste am Kommutator und an den Kollektoringen. Infolge des angenommenen Spannungsabfalles  $\Delta P = 3$  Volt ist der Übergangsverlust

$$W_u = f_u J_g \Delta P \cong 1470 \text{ Watt.}$$

Der Reibungsverlust am Kommutator wird, wenn wir die Bürsten mit Rücksicht auf die hohe Umfangsgeschwindigkeit mit einem spezifischen Druck  $g = 0,18 \text{ kg/qcm}$  aufsetzen:

$$W_r = 9,81 v_k F_b g q = 9,81 \cdot 28,2 \cdot 162 \cdot 0,18 \cdot 0,25 \cong 2000 \text{ Watt.}$$

Spezifische Kühlfläche:

$$a_k = \frac{\pi D_k L_k}{W_u + W_r} (1 + 0,1 v_k) = \frac{\pi \cdot 54,5 \cdot 19}{2000 + 1470} (1 + 2,82) \cong 3,6 \text{ qcm}$$

pro Watt.

Temperaturerhöhung des Kommutators:

$$T_k = \frac{100 \text{ bis } 120}{a_k} \cong 30^\circ.$$

Der Verlust an einem Kollektoring wurde bereits oben zu 200 Watt gefunden. Der Gesamtverlust an den Ringen wird also

$$W_u' + W_r' = 6 \cdot 200 = 1200 \text{ Watt.}$$

d) Erregerverluste. Bei 820 Volt wird die Erregerstromstärke in der Nebenschlußwicklung

$$i_n = i_{n0} = \frac{26000}{16800} \cong 1,55 \text{ Amp.}$$

Stromwärmeverlust in der Nebenschlußwicklung:

$$W_n = i_n^2 R_n = (1,55)^2 363 \cong 870 \text{ Watt.}$$

Stromwärmeverlust in der Hauptschluß- und in der Wendepolwicklung

$$W_h + W_w = (366)^2 (0,00365 + 0,0025) = 490 + 335 = 825 \text{ Watt.}$$

Kühlfläche der Nebenschlußwicklung  $A_n = 16000 \text{ qcm.}$

Spezifische Kühlfläche:

$$a_n = \frac{A_n}{W_n} = \frac{16000}{870} \cong 18,5 \text{ qcm pro 1 Watt.}$$

Temperaturerhöhung der Nebenschlußwicklung:

$$T_n \cong \frac{600 - 800}{a_n} \cong 40^\circ \text{ C.}$$

Kühlfläche der Hauptschlußspulen  $A_h \cong 4000 \text{ qcm.}$

Spezifische Kühlfläche:

$$a_h = \frac{A_h}{W_h} = \frac{4000}{490} \simeq 8,2 \text{ qcm pro 1 Watt.}$$

$T_h \simeq 40^\circ \text{C}$  für hochkant gewickeltes Kupfer mit guter Ventilation.

Kühlfläche der Wendepolspulen  $A_w \simeq 3000 \text{ qcm.}$

Spezifische Kühlfläche:

$$a_w = \frac{A_w}{W_w} = \frac{3000}{335} \simeq 9 \text{ qcm pro 1 Watt,}$$

also

$$T_w \simeq 40^\circ \text{C.}$$

Totaler Verlust durch Nebenschlußerregung:

$$W_{nt} = P_g i_n = 820 \cdot 1,55 = 1270 \text{ Watt.}$$

Prozentualer Erregerverlust (inkl. Wendepolwicklungsverluste):

$$\frac{W_{nt} + W_h + W_w}{10 KW} = \frac{1270 + 825}{3000} \simeq 0,7\%.$$

Die Verluste durch Lager- und Luftreibung schätzen wir bei der hohen Umfangsgeschwindigkeit zu ca.  $1,5\%$  der Leistung

$$W_R = 4500 \text{ Watt.}$$

Summe aller Verluste:

$$\begin{aligned} W_v &= W_{ea} + W_{ka} + W_u + W_i + W_u' + W_i' + W_{nt} + W_h + W_w + W_R \\ &= 5910 + 1600 + 1470 + 2000 + 1200 + 1270 + 825 + 4500 \\ &= 18775 \text{ Watt.} \end{aligned}$$

Wirkungsgrad bei Vollbelastung:

$$\eta = \frac{300}{300 + 18,8} = 94,2\%.$$

Es dürfen also im Umformer noch etwa 2000 Watt zusätzliche Verluste, z. B. Wirbelstromverluste, auftreten, ehe der verlangte Wirkungsgrad unterschritten wird.

**Anlaufzeit.** Gewicht des Ankerkupfers:

$$G_{ka} = N l_a q_a 8,9 \cdot 10^{-3} = 900 \cdot 0,85 \cdot 11,7 \cdot 8,9 \cdot 10^{-3} \simeq 80 \text{ kg.}$$

Gewicht der Ankerzähne:

$$G_z = 7,9 V_z = 7,9 \cdot 10,1 \simeq 80 \text{ kg.}$$

Gewicht des Ankerkernes:

$$7,9 V_a = 7,9 \cdot 42,3 \simeq 335 \text{ kg.}$$

Gewicht des Kollektorkupfers ca.:

$$8,9 \cdot 4 \pi D_k L_k 10^{-3} = 8,9 \cdot 4 \pi 54 \cdot 20 \cdot 10^{-3} = 120 \text{ kg.}$$

Die Durchmesser der Schwerpunktskreise betragen

für Ankerkuper und Zahne ca. . . . . 0,58 m

für den Ankerkern ca. . . . . 0,45 „

für den Kollektor ca. . . . . 0,50 „

Schleifringe und Ankerstern können vernachlässigt werden, da ihr Gewicht nicht groß und ihr mittlerer Durchmesser klein ist.

Wir erhalten daher:

$$GD^2 = (80 + 80) 0,58^2 + 335 \cdot 0,45^2 + 120 \cdot 0,50^2 = 151,6 \text{ kgm}^2.$$

Hiermit wird die Anlaufzeit:

$$T = \frac{\left(\frac{n}{27}\right)^2 GD^2}{W_g} = \frac{\left(\frac{1000}{27}\right)^2 151,6}{300000} \approx 0,7 \text{ Sek.}$$

## 212. Zusammenstellung der Formeln für die Berechnung eines Einankerumformers.

### Berechnungsformular.

Umformer.

Perioden,

Umdr. i. d. Min.

Pole.

Erregung.  $m =$

$\eta =$

		Leer- lauf	Normal- last
Gleich- stromseite	Leistung $W_g$ . . . . .		
	Spannung $P_g$ . . . . .		
	Strom $J_g$ . . . . .		
Wechsel- stromseite	Doppelte Phasenspannung $P_w = \frac{P_g}{\sqrt{2}}$ . . .		
	Linienspannung $P_l$ . . . . .		
	Wattkomponente des Linienstromes $J_{lw}$ . . .		
	Wattlose Komponente d. Linienstromes $J_{lwl}$ . . .		
	Wattloser Strom in der Ankerwicklung $J_{wl} = \frac{J_{lwl}}{2 \sin \frac{\pi}{m}}$ . . . . .		



Vorgeschalteter Widerstand pro Phase  $r_l$  . . . . .

Vorgeschaltete Reaktanz pro Phase  $x_l$  . . . . .

Spannungsänderung

$$\Delta P_w = \frac{P_g - P_{g0}}{\sqrt{2}} + \frac{\Delta P}{\sqrt{2}} + \frac{J_g \left( R_a \sqrt{u_i^2 - \frac{8}{\pi^2}} + R_n + R_w \right)}{\sqrt{2}}$$

Änderung des wattlosen Stromes:

$$\Delta J_{lw} \cong - \frac{1}{x_l} \left( \frac{1}{2} \Delta P_w + J_{lw} r_l + \frac{J_{lw}^2 x_l^2}{P_w} \right) . . . . .$$

$$u_i = \frac{2 J_w}{J_g} = \frac{2 \sqrt{2}}{m \sin \frac{\pi}{m}} . . . . .$$

$$v_i = \frac{J_{lw} u_i}{J_{lw}} . . . . . =$$

$$\nu = 1 + u_i^2 + v_i^2 - 1,62 . . . . . =$$

$$\sqrt{\nu} = . . . . . =$$

Effektive Leistung  $W_g \sqrt{\nu}$  . . . . .

Effektiver Strom  $J_g \sqrt{\nu}$  . . . . .

Berechnung der Streureaktanz.

Äquivalente Leitfähigkeit um die Nuten  $\lambda_n$  . . . . .

Äquivalente Leitfähigkeit an der Ankeroberfläche  $\lambda_k$  . . . . .

Länge eines Spulenkopfes  $l_s$  . . . . .

Äquivalente Leitfähigkeit um die Spulenköpfe  $\lambda_s$  . . . . .

$\Sigma(l_x \lambda_x) = l_i (\lambda_n + \lambda_k) + l_s \lambda_s$  . . . . .

Reaktanz des Ankerstreuflusses pro Phase:

$$x_{s1}' = \frac{2 \left[ \text{bzw.} \left( 1 + \cos \frac{\pi}{m} \right) \right] 4 \pi c \left( \frac{N}{2 a m} \right)^2}{4 \sin^2 \frac{\pi}{m} p q 10^8 \Sigma(l_x \lambda_x)} . . . . .$$

Amperewindungsfaktor  $k_0$  . . . . .

Vom Hauptkraftfluß induzierte EMK:

bei Leerlauf  $E_{g0} = P_{g0} - 2 \sqrt{2} J_{lu0} x_{s1}' . . . . .$

bei Belastung

$$E_g = P_g + \Delta P + J_g (R_n + R_u) - 2 \sqrt{2} J_{lw} x_{s1}' . . . . .$$

	Leer- lauf	Be- lastung
Erreger-Amperewindungen $AW'_t = p AW'_k \dots =$		
Magnetisierende Amperewindungen		
$AW_e = k_0 f_{w1} \frac{NJ_{wl}}{2a} \dots =$		
Feld-Amperewindungen $AW_t = AW'_t - AW_e \dots =$		
Nebenschluß-Amperewindungen $AW_n = AW_{t0} \dots =$		
Hauptschluß-Amperewindungen		
$AW_h = AW_t - \frac{P_g}{P_{g0}} AW_{t0} \dots =$		

Für die Feststellung der Dimensionen des Umformers und für den weiteren Berechnungsgang kann ein ähnliches Formular wie für die Berechnung einer Gleichstrommaschine benutzt werden<sup>1)</sup>. Bei der Wendepolberechnung ist an geeigneter Stelle jeweils der Faktor  $k$  einzufügen (vgl. S. 746).

<sup>1)</sup> Siehe E. Arnold, Die Gleichstrommaschine, Bd. II, S. 387 ff.

## Siebenunddreißigstes Kapitel.

### Beispiele ausgeführter Einankerumformer.

213. Beispiele ausgeführter Einankerumformer. — 214 Tabelle über Hauptabmessungen und berechnete Größen ausgeführter Einankerumformer.

#### 213. Beispiele ausgeführter Einankerumformer.

Die Hauptdaten der in diesem Abschnitte beschriebenen Einankerumformer sind in einer Tabelle (Abschnitt 214) zusammengestellt. Für die zur Berechnung der Größen  $M$ ,  $AS$ ,  $s_a$  und  $P_{kmax}$  gemachten Annahmen siehe S. 858.

**500 KW-Umformer der Westinghouse Co.** (Nr. 1 der Tabelle S. 858.) 25 Perioden, 750 Umdrehungen, 600 Volt Gleichspannung.

Der Umformer ist, ebenso wie der 1000 KW-Umformer derselben Gesellschaft (Nr. 2 der Tabelle) für eine Temperaturerhöhung von  $45^{\circ}\text{C}$  bei Vollast mit  $\cos\varphi=1$  und für eine einstündige Überlastung mit  $50\%$  gebaut.

**1500 KW-Umformer der Westinghouse El. & Mfg. Co., Pittsburg.** 25 Perioden, 500 Umdrehungen, 600 Volt Gleichspannung.

Dieser Umformer, der in Fig. 508 bildlich dargestellt ist, gehört der neuesten Serie von Westinghouse-Umformern an, die sich von der älteren Serie durch ihre sehr geringe Polzahl und entsprechend hohe Tourenzahl unterscheidet. Bei diesen raschlaufenden Umformern ist die Verwendung von Wendepolen durchaus erforderlich.

Die Stromstärke pro Bürstenspindel beträgt bei dem vorliegenden Umformer 833 Amp., was bei 600 Volt etwa die obere Grenze sein dürfte. Links auf der Welle ist ein Oszillator<sup>1)</sup> angebracht, rechts der Anwurfmotor.

Der Umformer ist, wie alle in Pittsburg gebauten Umformer, für eine Temperaturerhöhung von  $35^{\circ}\text{C}$  bei Vollbelastung und

---

<sup>1)</sup> Siehe S. 869.

50° C nach darauffolgender zweistündiger Überlastung mit 50% gebaut. Nach Angaben der Firma wurde der Wirkungsgrad des Umformers bei Vollbelastung zu 97% gemessen.

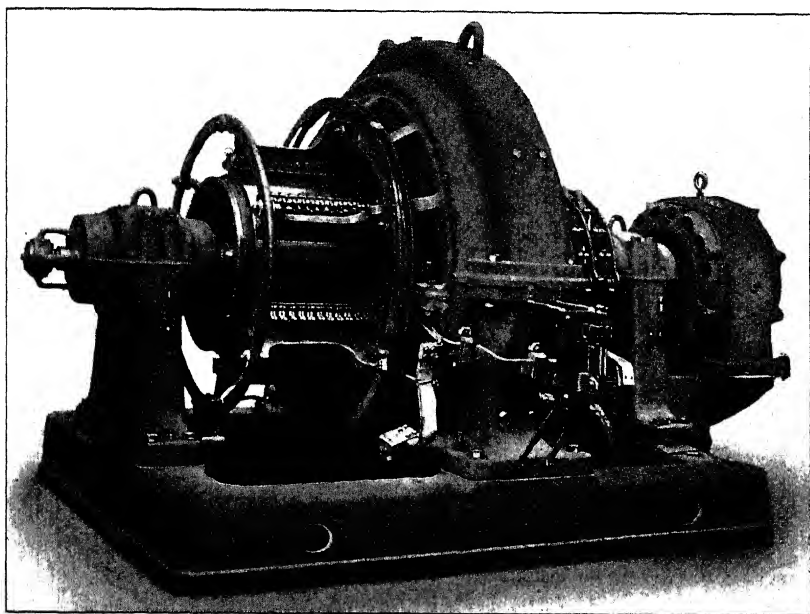


Fig. 508. 1500 KW-Umformer der Westinghouse El. & Mfg. Co., Pittsburg.

**3000 KW-Umformer der Westinghouse El. & Mfg. Co., Pittsburg.** (Nr. 3 der Tabelle.) 25 Perioden,  $187\frac{1}{2}$  Umdrehungen, 600 Volt Gleichspannung.

Fig. 509 stellt einen Schnitt durch den Anker und Kommutator des Umformers dar. Dieser kann bei Vollbelastung genügend übererregt werden, um 30% wattlosen Strom ins Netz zu liefern. Dementsprechend sind die in der Tabelle eingetragenen Werte für  $M$ ,  $s_a$  und  $AS$  mit  $\sqrt{\nu} = 0,587$  berechnet.

Der gemessene Wirkungsgrad ist:

bei Vollast	96,7%
„ $\frac{3}{4}$ -Last	96,2%
„ Halblast	94,9%

Dieser Umformer wird von der Wechselstromseite angelassen. Er ist mit einer starken Dämpferwicklung, die aus 13 Stäben ( $9,5 \times 14$ ) pro Pol und zwei Verbindungsringen ( $9,5 \times 32$ ) besteht, versehen.

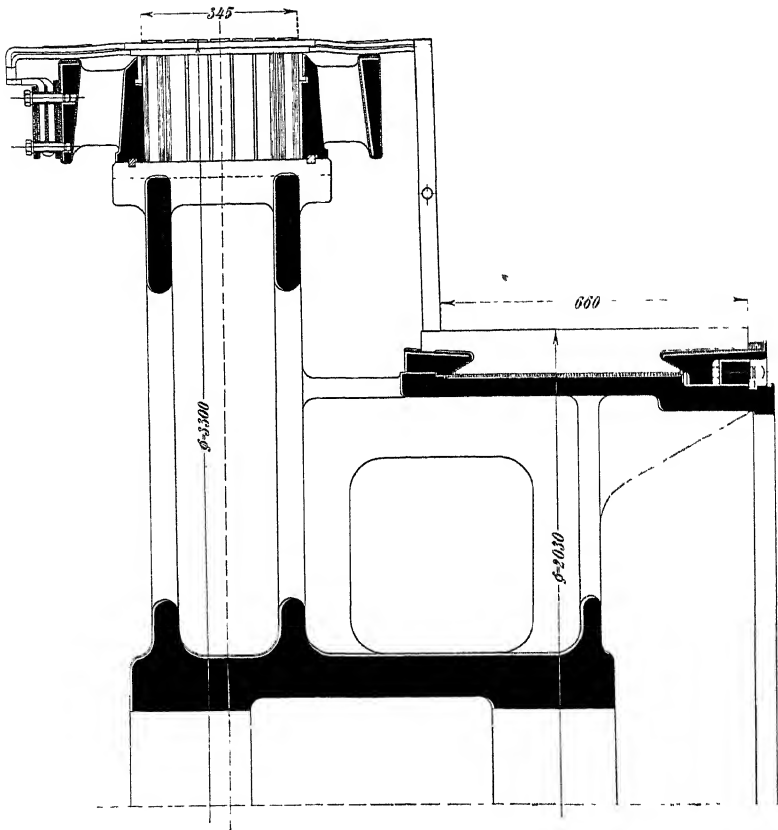


Fig. 509. 3000 KW-Umformer der Westinghouse El. & Mfg. Co., Pittsburg.

**1000 KW-Umformer von Brown, Boveri & Co.** (Nr. 4 der Tabelle.) 42 Perioden, 420 Touren, 650 Volt Gleichspannung.

Tafel XVI zeigt die Konstruktion dieses Umformers.

Bei der Berechnung von  $M$ ,  $s_n$  und  $AS$  ist Phasengleichheit an der Wechselstromseite vorausgesetzt.

Um die Wicklungsart zu verdeutlichen, ist in Fig. 510 die Anordnung der Leiter in den Nuten besonders dargestellt.

Jede vierte Lamelle hat eine Aquipotentialverbindung (4 mm  $\phi$ ).

**31,5 — 46,5 KW-Umformer der E.-A.-G. vormals Kolben & Co.** (Nr. 5 der Tabelle.) 50 Perioden, 1500 Umdrehungen, 290 : 440 Volt Gleichspannung.

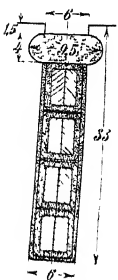


Fig. 510.



Fig. 511 zeigt die Konstruktion dieses Umformers. Die berechneten Größen  $M$ ,  $s_a$  und  $AS$  beziehen sich auf die Höchstbelastung bei Phasengleichheit an der Wechselstromseite.  $P_g = 290$  entspricht eine Drehstromspannung von 175 Volt und  $P_g = 440$  eine solche von 266 Volt.

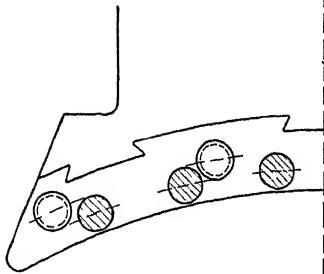


Fig. 512.

Fig. 512 zeigt die Anordnung der Dampferstäbe (6 pro Pol, 9 mm Durchmesser) in den lamellierten Polschuhen und die Befestigung der letzteren an die Polkerne, die ebenso wie das Joch aus Stahlguß bestehen. Die beiden Kurzschlußringe der Dampferwicklung haben die Abmessungen  $10 \times 15 = 150$  qmm.

Der für die Fremderregung des Umformers nötige Strom wird einer kleinen, von dem einen Wellenende direkt angetriebenen Erregermaschine entnommen. Ihre Leistung ist 0,55 KW bei 75 Volt und 7,5 Ampere.

Der Wirkungsgrad des Umformers ergibt sich aus den Einzelverlusten wie folgt:

Belastung	290 V., 108 A.	440 V., 108 A.
Lagerreibung . . . . .	1100	1100
Burstenreibung . . . . .	450	450
Eisenverluste . . . . .	330	1200
Erregerverluste . . . . .	100	300
Ankerkupferverluste . . . . .	450	450
Übergangsverluste am Kollektor . . . .	220	220
Übergangsverluste an den Schleifringen .	204	204
Verluste in der Erregermaschine . . . .	50	100
Summe der Verluste . . . . .	2904 Watt	4024 Watt
Abgabe . . . . .	31300 „	47500 „
Aufnahme . . . . .	34204 „	51524 „
Wirkungsgrad . . . . .	91,6%	92,3%

**75 KW-Umformer der Elektrotechnischen Industrie, Slikerveer, Holland.** (Nr. 6 der Tabelle.) 50 Perioden, 1000 Umdrehungen,  $110 \div 115$  Volt Gleichspannung.

Dieser Umformer ist in Fig. 513 bildlich dargestellt. Normal arbeitet er mit 110 Volt und 680 Ampere (bei dieser Belastung wurde

Phasengleichheit, also  $\sqrt{\nu} = 0,515$  angenommen). Der Umformer sollte jedoch zu gleicher Zeit zur Speisung des Netzes mit 110 Volt und zum Aufladen einer Akkumulatorenbatterie verwendet werden. In dem Falle sind maximal 180 Ampere bei 170 Volt

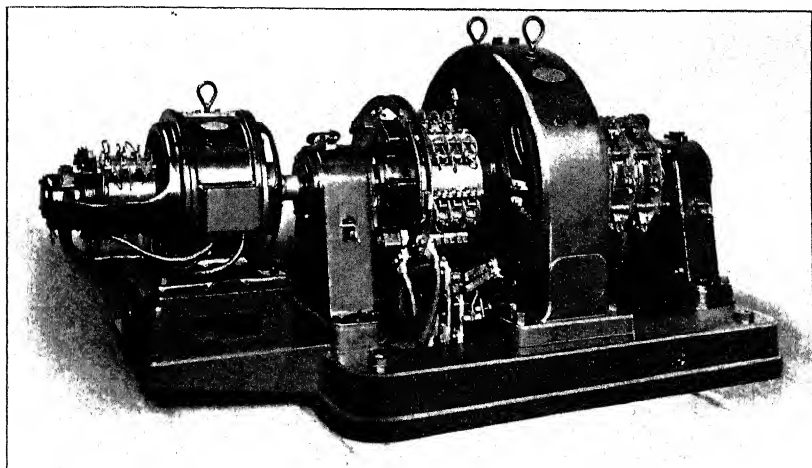


Fig. 513. 75 KW-Umformer der Elektrotechnischen Industrie, Slikerveer, Holland.

abzugeben. Es war deswegen nötig eine kleine Gleichstromzusatzmaschine mit dem Umformer direkt zu koppeln. Diese Zusatzmaschine ist für 0 bis 60 Volt und maximal 180 Ampere zu bemessen. Sie ist ebenso wie die Hauptmaschine mit Wendepolen versehen.

Außer den 6 Schleifringen, die als Äquipotentialverbindungen wirken, sind an der Kollektorseite noch 12 Äquipotentialsysteme angeordnet, so daß total  $(6 + 12)3 = 54$  Stäbe angeschlossen sind. Die Verbindungen bestehen aus Kupferband von  $2 \times 7,5$  mm.

Die Dämpferwicklung besteht aus vier Kupferstäben (10 mm  $\phi$ ) in jedem Pol und aus um die Polspitzen greifenden Kupferstücken, die durch einen Ring ( $8 \times 18$  mm) kurzgeschlossen sind.

Der Umformer ist ebenso wie der 100 KW-Umformer der British Westinghouse (Nr. 7 der Tabelle) mit Kugellagern versehen.

180 KW-Umformer der Deutschen Elektrizitätswerke, Garbe, Lahmeyer & Co. (Nr. 8 der Tabelle.) 50 Perioden, 1000 Umdrehungen, 230 Volt Gleichspannung.



Die  $q_{s_n}$  Leiter derselben Phase werden auf zwei nach entgegengesetzten Richtungen verlaufende Spulenköpfe verteilt; somit  $q_s = 5$

$$l_s \cong \tau + 2 \cdot 20 = 150 \text{ cm},$$

$$U_s = 2 \cdot 4,6 + 2(5 \cdot 1,16 + 4 \cdot 1,2) = 30,5 \text{ cm}.$$

Unter Berücksichtigung des Einflusses der einzelnen Phasen aufeinander wird

$$\lambda_s = 1,4 \cdot 0,46 \cdot 5 \left( \log \frac{2 \cdot 150}{30,5} + 0,3 \right) = 3,93,$$

$$x_{s1} = \frac{12,5 \cdot 50 \cdot 40^2}{1 \cdot 10} \cdot 120 \left( 2,03 + 0,3 + \frac{150}{120} \cdot 3,93 \right) 10^{-8} = 0,87 \Omega.$$

Der Ohmsche Widerstand der Armaturwicklung ist

$$r_g = \frac{2 \cdot 40}{1} \cdot \frac{270}{5700} \cdot \frac{1,16}{91} = 0,0485 \Omega,$$

wo  $l_a = l_1 + l_s = 250 \text{ cm}$  und  $T_{max} = 40^\circ$  angenommen ist.

$$r_a = 1,5 r_g = 0,073 \Omega.$$

$$Jx_{s1} = 218 \cdot 0,87 = 190 \text{ Volt},$$

$$Jr_a = 218 \cdot 0,073 = 16 \text{ Volt}.$$

### Berechnung der Feldamperewindungen bei Belastung.

a) Vollast und  $\cos \varphi = 1,0$  Die Resultierende der Vektoren  $P = 3810 \text{ Volt}$ ,  $Jx_{s1}$  und  $Jr_a$  entnehmen wir aus dem Diagramm (Fig. 382a) zu 3860 Volt und dementsprechend aus der Leerlaufcharakteristik

$$AW'_t = 33,5 \cdot 10^3.$$

Es ist

$$AW_r = 0,9 \cdot 0,955 \cdot 40 \cdot 3 \cdot 218 = 22500.$$

Die geometrische Summe aus  $AW'_r = AW_r$  und  $AW'_t$  ergibt die Feldamperewindungen bei Vollast und  $\cos \varphi = 1,0$  zu

$$AW_t = 41,5 \cdot 10^3.$$

b) Vollast und  $\cos \varphi = 0,8$  (Fig. 382b). Aus der Leerlaufcharakteristik entnehmen wir zu 3950 Volt

$$AW'_t = 35,0 \cdot 10^3.$$

Es ergibt sich weiter

$$AW_t = 52,3 \cdot 10^3$$

c) Vollast,  $\cos \varphi = 0,8$  und um 5% höhere Klemmenspannung (Fig. 382c). Es ergibt sich

$$AW'_t = 39,8 \cdot 10^3$$

und

$$AW_t = 58,0 \cdot 10^3.$$

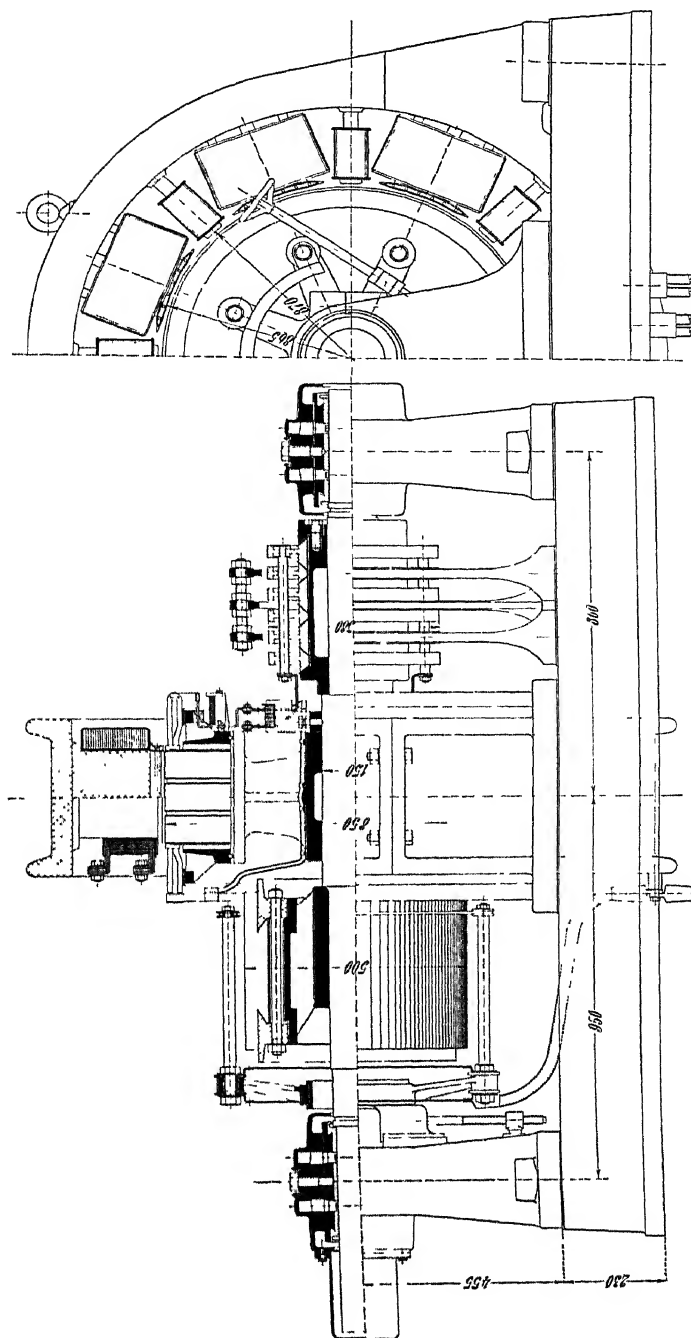


Fig. 514. 300 KW-Ümformer des Sachsenwerkes, Licht und Kraft A.-G.

Die Werte  $s_a$  und  $AS$  sind für die maximale Stromstärke  $J_g \sqrt{v} = 740 \cdot 0,587 = 434$  berechnet.

**1000 KW - Westinghouse-Umformer.** (Nr. 12 der Tabelle.) 50 Perioden, 500 Umdrehungen, 550 Volt Gleichspannung.

In den Polschuhen dieses Umformers befindet sich eine Dämpferwicklung, die aus 9 Stäben ( $10 \times 10$ ) pro Pol besteht, die durch zwei durchgehende Kurzschlußringe ( $10 \times 20$ ) verbunden sind.

Auf jede Nut entfällt eine Äquipotentialverbindung, es gibt also  $180 : 6 = 30$  Ausgleichsysteme, also außer den 6 Schleifringen noch 24 Systeme.

Der Umformer ist für einen wattlosen Strom  $J_{wt} = 0,3 J_w$  bemessen. Die Werte von  $M$ ,  $s_a$  und  $AS$  sind deswegen mit  $\sqrt{v} = 0,587$  berechnet.

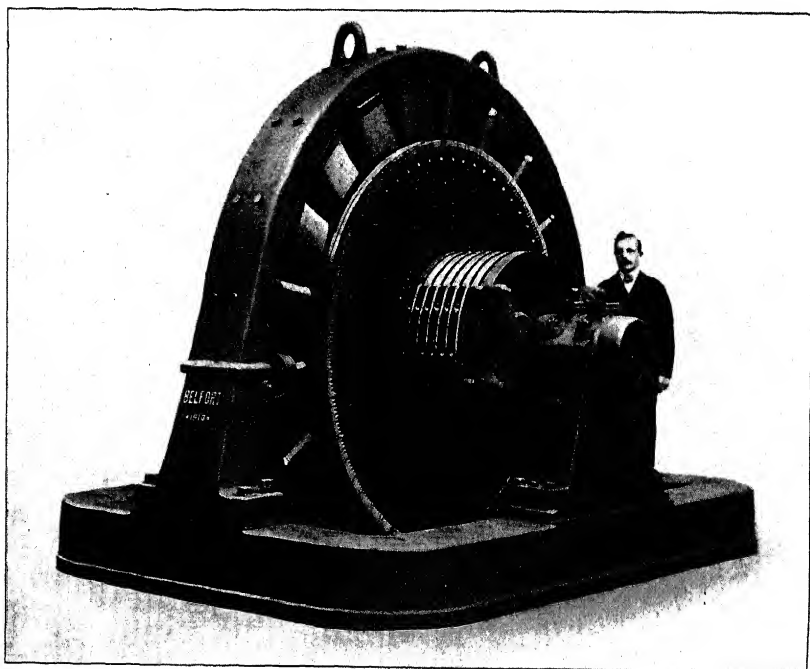


Fig. 515. 1000 KW-Umformer der Société Alsacienne, Belfort.

**1000 KW-Umformer der Société Alsacienne, Belfort.** (Nr. 13 der Tabelle.) 50 Perioden, 300 Umdrehungen, 460 Volt Gleichspannung.

Fig. 515 zeigt die Photographie dieses langsamlaufenden Umformers.

Sein Wirkungsgrad bei Vollast ist 94%. Die maximale Temperaturerhöhung 35° C. Der Umformer ist compoundiert und hat den wattlosen Strom für die Erregung eines asynchronen Generators zu liefern.

Die Werte  $M$ ,  $s_a$  und  $AS$  sind mit  $\sqrt{\nu} = 0,697$  berechnet, was der Annahme  $J_{wl} = 0,5 J_w$  entspricht bei Vernachlässigung der Verluste (siehe Tabelle S. 714).

**1100/1500 KW-Umformer der A. E.-G. Berlin.** (Nr. 14 der Tabelle.) 50 Perioden, 375 Umdrehungen, 550/750 Volt Gleichspannung.

Dieser, für die Berliner Elektrizitätswerke ausgeführte Umformer, ist für eine regulierbare Gleichspannung zwischen 550 und 750 Volt ausgelegt. Die Regelung erfolgt nach dem A. E.-G.-Patente 112064 mittels einer synchronen Zusatzmaschine. Die Spannung der Zusatzmaschine addiert sich zu, bzw. subtrahiert sich von der sekundären Transformatorspannung, und entspricht somit der halben Spannungsregulierung. Die Erregung der Zusatzmaschine muß daher umkehrbar sein, was durch Verwendung eines in Fig. 516 schematisch dargestellten Regulators (Reg für ZM) möglich ist.

Die Zusatzmaschine arbeitet hiernach als Generator bzw. als Motor, und dementsprechend muß der Umformer teilweise, nämlich entsprechend der Leistung der Zusatzmaschine, als Motor bzw. Generator arbeiten.

Dadurch ist das Ankerfeld in der Kommutierungszone nicht nur abhängig von der Strombelastung, sondern auch von der jeweiligen Gleichspannung, d. h. von der Leistung der Zusatzmaschine. Der Faktor  $k$  (S. 746) ändert sich also mit der Spannungsregulierung, und die Erregung der Wendepole muß nicht nur von dem Kommutatorstrom, sondern auch von der Leistung der Zusatzmaschine abhängig gemacht werden. Dazu ist eine besondere Hilfs-erregermaschine  $HE$  vorgesehen, die eine auf den Wendepolen angebrachte Gegenwicklung  $GW$  speist. Während die Hauptstromwicklung  $HW_1$  direkt vom Kommutatorstrom gespeist wird, ist der Strom der Gegenwicklung von der Leistung der Zusatzmaschine abhängig. Die Hilfs-erregermaschine wird nämlich mit einem dem Hauptstrom proportionalen Strom erregt (Wicklung  $HW_2$ ), der Strom der Hilfswicklung ändert sich aber auch mit der Spannung der Zusatzmaschine, indem die Feldwicklung der Zusatzmaschine und die Hilfswicklung der Wendepole durch gekuppelte Regulatoren voneinander abhängig sind.

Die Erregung für die Hauptpole des Umformers und für die Zusatzmaschine wird Sammelschienen mit einer konstanten Spannung von 440 Volt entnommen. Die maximale Spannung der Gegenwicklung auf den Wendepolen ist 110 Volt.

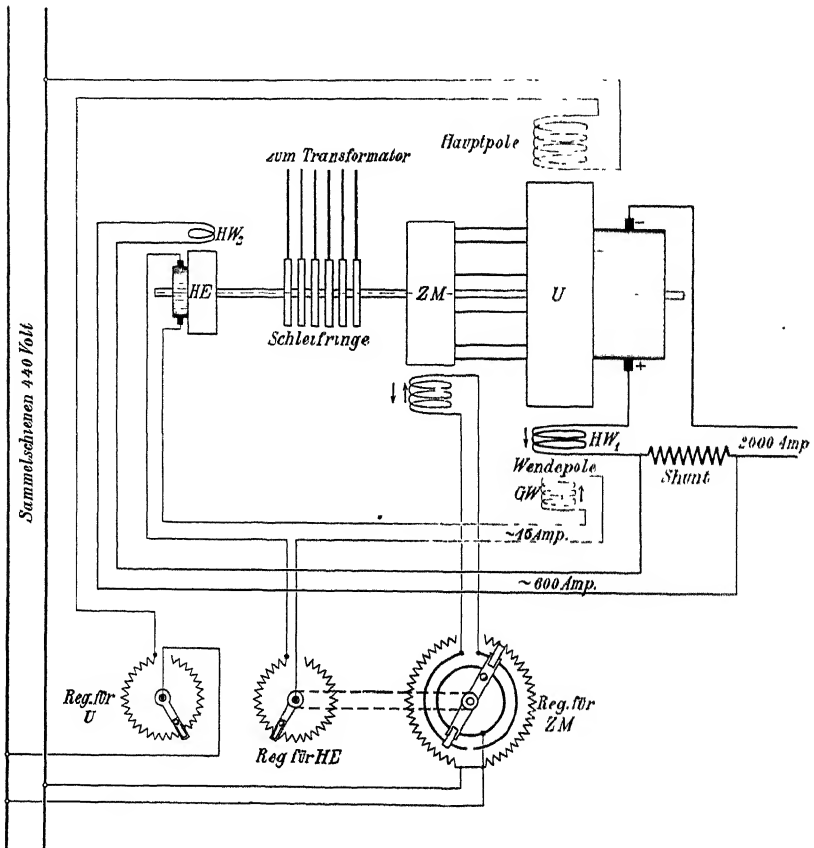


Fig. 516. Schaltungsschema eines 1100/1500 KW-Umformers der A. E. G., Berlin.

Die Zusatzmaschine hat folgende Daten:

$$D = 1100 \text{ mm}$$

$$l = 380 \text{ "}$$

$$l_1 = 420 \text{ "}$$

$$Z = 96$$

Nutendimensionen  $13 \times 24$  (Steg 1 mm, Schlitz 3 mm),

$$s_n = 2 \text{ (beide parallel),}$$

Leiterdimensionen  $5 \times 17$

Gabel  $6 \times 28$  (je 1 Gabel für 2 // Stäbe)

$\delta = 3$  mm,

Polbogen = 150 mm,

Polschuhlänge = 420 „

Polkern =  $110 \times 420$  (Stahlguß),

Jochquerschnitt 600 qcm (Gußeisen),

Windungen pro Pol 704 ( $q_n = 3,78$  qmm).

214. Tabelle über Hauptabmessungen und berechnete

Laufende Nr.	Figur oder Tafel	Firma	Leistung in KW	Gleichspannung	Gleichstrom	Periodenzahl	Drehzahl	Polpaarzahl	Phasenzahl	Ankerdurchmesser	Eisenlänge ohne Luftschlitze
				$P_g$	$J_g$	$c$	$n$	$p$	$m$	$D$ in mm	$l$ in mm
1		Westinghouse Co	500	600	835	25	750	2	6	650	264
2		Westinghouse Co.	1000	250	4000	25	300	5	6	1300	285
3	509	Westinghouse Co., Pittsburg	3000	600	5000	25	187½	8	6	3300	305
4	XVI 510	Brown, Boveri & Co.	1000	650	1540	42	420	6	6	1650	266
5	511, 512	E.-A.-G. Kolben & Co.	31,5 ÷ 46,5	290—440	108	50	1500	2	3	325	170
6	513	Elektrotechn. Industrie Slikkerveer, Holland	75	110 ÷ 115	680	50	1000	3	6	500	130
7		British Westinghouse Co.	100	440	228	50	1000	3	3	535	165
8		Garbe, Lahmeyer & Co	180	230	784	50	1000	3	3	490	258
9	527	Ateliers de Constructions électriques, Charleroi	300	600	500	50	1000	3	6	620	300
10	XV	Elektrotechn. Industrie Slikkerveer, Holland	300	820	366	50	1000	3	6	620	340
11	514	Sachsenwerk	300	440 ÷ 500	740 ÷ 600	50	750	4	6	850	215
12		Westinghouse Co.	1000	550	1820	50	500	6	6	1550	217
13	515	Société Alsacienne, Belfort	1000	460	2170	50	300	10	6	2160	—
14	516	A. E.-G., Berlin	1100 ÷ 1500	550 ÷ 750	2000	50	375	8	6	1600	450

1) Der Einfachheit halber sind für die Berechnung der Größen  $M$ ,  $AS$ ,  $s_a$  und  $P_{Amax}$  die folgenden Annahmen gemacht:

a) Das Feld sei sinusförmig verteilt, so daß  $P_{Amax} = \frac{\pi p P_g}{K}$ .

b) Außerdem werden die Verluste für die Berechnung von  $\nu$  vernachlässigt, so daß  $\nu = 1 + u_i^2 + v_i^2 = 1,62$  (Gl 455a, S. 713)

Größen<sup>1)</sup> ausgeführter Einankerumformer.

Eisenlänge mit Luftschieben	Polteilung	Umfangs- geschwindigkeit	Nutenzahl	Dimen- sionen der Nuten	Wick- lungs- art	Anzahl Leiter pro Nut	Leiter- dimen- sionen	Kommutator			Kommutator- bürsten		
								Durchmesser	Lamellenzahl	Umfangsge- schwindigkeit	Bürsten pro Stift	Bürstenbreite	Bürstenlänge
$l_1$ in mm	$\tau$ in mm	$v$ m/sek	$Z$	in mm		$s_n$		$D_k$ in mm	$K$	$v_k$ m/sek	Bürsten $b_1$	in mm	in mm
280	510	25,5	96	$9,5 \times 35$	Parallel- wicklung	6	$1,8 \times 12,5$	500	288	19,6	8	17,5	40
310	408	20,4	150	$12 \times 35$	Parallel- wicklung	4	$4 \times 12$	800	300	12,6	10	25,5	45
345	646	32,3	384	$15,3 \times 31$	Parallel- wicklung	4	$5,6 \times 9,5$	2030	768	20,0	13	19,0	44
316	430	36,2	288	$6 \times 33$	Parallel- wicklung	4	$\frac{2(1,7 \times 5)}{5 \times 6,6}$	1250	576	27,4	7	20,0	30
190	255	25,5	46	$10 \times 32$	Reihen- wicklung	8	$\frac{1,2 \times 12}{1,9 \times 12,7}$	250	183	19,6	3	12,0	30
150	261	26,1	72	$9,5 \times 42$	Parallel- wicklung	6	$1,5 \times 15$	350	216	18,3	5	—	—
180	280	28,0	65	$10 \times 40$	Reihen- wicklung	6	$2 \times 14$	420	194	22,0	2	19,0	45
270	256	25,6	117	$6,5 \times 28$	Parallel- wicklung	4	$2 \times 12$	—	—	—	8	18,0	20
340	325	32,5	72	$12 \times 37$	Parallel- wicklung	10	$\frac{1,2 \times 13}{1,8 \times 13,6}$	500	360	26,2	4	12,5	40
390	325	32,5	90	$10,5 \times 37$	Parallel- wicklung	10	$0,9 \times 13$	540	450	28,2	3	18,0	50
235	334	33,4	136	$8,5 \times 32$	Reihenpar- allelwick- lung ( $n=2$ )	4	$2,4 \times 11$	500	270	19,6	9	12,5	30
235	405	40,5	180	$13,2 \times 25$	Parallel- wicklung	6	$2,75 \times 7,25$	850	540	22,2	7	15,0	45
230	340	34,0	240	—	Parallel- wicklung	8	$1,8 \times 12$	1400	960	22,0	10	—	—
500	314	31,4	336	$8 \times 27$	Parallel- wicklung	4	$1,8 \times 9$	1200	672	23,6	10	16,0	32

c) Bei den Umformern ohne Spannungsregulierung durch wattlosen Strom wurde  $\cos \varphi = 1$  bei Vollast angenommen, bei den übrigen Umformern wurde der wattlose Strom auf 30, bzw. 50% des Wattstromes angenommen. Dadurch wurde es möglich, die in der Tabelle angegebenen Werte von  $\sqrt{v}$  ohne weiteres der Tabelle S. 713 u. 714 zu entnehmen.

Die genaue Berechnung von  $v(\sqrt{v})$ , unter Berücksichtigung sämtlicher Einflüsse, ist in Kap. XXXVI an dem Berechnungsbeispiel gezeigt.



Tabelle über Hauptabmessungen und berechnete

Laufende Nr	Schleif- ringe		Schleifring- bursten		Luftspalt	Polschuhlänge	Polbogen	Kern- quer- schnitt	Nebenschluß- wicklung		Hauptschluß- wicklung		
	Durchmesser	Breite	Bursten pro Ring	Abmessungen der Bursten					Windungen pro Pol	Leiter- querschnitt	Windungen pro Pol	Leiter- querschnitt	
	$D_k'$ in mm	$b_k'$ in mm											in qmm
1	—	—	—	—	5	270	340	$270 \times 270$	—	—	—	—	
2	—	—	—	—	5	300	270	$300 \times 240$	—	—	—	—	
3	—	—	—	—	16	345	455	$345 \times 330$	480	15,1	2	$4 \times 725$	
4	470	45	6	$7 \times 40$	6	290	300	$290 \times 270$	1079	4,15	—	—	
5	260	35	K K III	$25 \times 25$	4	190	180	$190 \times 115$	650	4,5	—	—	
6	350	40		3	$30 \times 30$	5	140	175	$140 \times 120$	750	3,14	—	—
7	300	30		2	$9,5 \times 24$	6,4	165	195	$165 \times 140$	1800	1,65	6	$5 \times 32$
8	—	—	Kupfer	—	5	260	—	$260 \times 105$	1000	3,8	—	—	
9	380	35	—	—	6	340	233	$330 \times 150$	2100	1,53	4,5	250 qmm	
10	385	35	2	$30 \times 30$	6	370	—	$370 \times 150$	2800	1,53	3,5	$6,4 \times 25$	
11	380	30	—	—	10	235	207	—	2100	1,9	—	—	
12	—	—	—	—	8	230	285	$230 \times 220$	860	5,6	2	$10 \times 50$	
13	1000	—	—	—	5	230	—	$230 \times 180$	450	9,0	—	—	
14	700	50	—	—	10	490	188	$155 \phi$	250	23,0	—	—	

## Größen ausgeführter Einankerumformer. (Fortsetzung.)

Wendungen pro Pol	Wendepol- wicklung	Leiter- querschnitt	$\sqrt{v}$	Maschinenkonstante $M10^{-4}$	Stromstärke pro Bürstenspindel	Spez Ankerbelastung AS	Strömdichte im Ankerkupfer $s_a$	Max Spannung zwischen zwei Lamellen $P_{kmax}$	Teilung am Komm- tator $\beta + \delta_i$	Bemerkungen
—	—	—	0,515	33,5	418	305	4,8	13	5,45	$\cos \varphi = 1$ bei Vollast
—	—	—	0,515	29,5	800	303	4,3	13,1	8,4	$\cos \varphi = 1$ bei Vollast
—	—	—	0,587	38	625	272	3,46	19,6	8,3	Der Umformer hat 30% wattlosen Strom zu liefern
3	16 × 35	—	0,515	65,5	257	176	3,9	21,2	6,8	Luftspalt unter den Wendepolen 12 mm. $b_w = 25$ $l_w = 200$ } Wendepolkern 45 × 170 mm
—	—	—	0,75	82	54	146	2,8	15	4,3	Blechqualität 1,85 Watt/kg Fremderregung 75 Volt Drehstromspannung 175 bis 266 Volt
5,5	6,4 × 30	—	0,515	90	227	160	2,6	5,0	5,1	$b_w = 25$ $l_w = 155$ } Die Wendepolwicklung be- steht aus zwei parallelen Zweigen
6	10 × 16	—	0,75	65	76	196	3,03	21,4	6,8	$b_w = 32$ $l_w = 137$ .
—	—	—	0,75	47	261	296	4,1	—	—	
4,5	250 qmm	—	0,515	81	167	159	2,76	15,7	4,36	$b_w = 40$ $l_w = 220$ } Der Luftspalt unter den Wendepolen ist 7,5 mm Wendepolkern 64 qcm.
5,5	6,4 × 25	—	0,515	89	122	145	2,68	17,1	3,77	$b_w = 38$ $l_w = 240$ .
—	—	—	0,587	56	185	221	4,1	23,2	5,8	Der wattlose Strom wurde zu $\pm 30\%$ des Wattstromes angenommen
—	—	—	0,587	46,5	304	198	4,47	19,2	4,94	Der Umformer hat 30% wattlosen Strom zu liefern.
—	—	—	0,697	44	217	214	3,5	15	4,6	Der wattlose Strom wurde zu 50% des Wattstromes angenommen
1,5 100	810 5,7	—	—	—	250	—	—	28	5,6	Der Umformer ist mit einer synchronen Zusatzmaschine versehen. Daten s. S. 856. Wendepolkern 40 × 350.

## Achtunddreißigstes Kapitel.

# Die Konstruktion der Umformer.

### 215. Die Konstruktion der Umformer.

Die Umformer unterscheiden sich in ihrer konstruktiven Anordnung nur wenig von den Gleichstrommaschinen. Wir werden deswegen im folgenden nur kurz auf die wichtigsten Unterschiede



Fig 517. Feldsystem eines 3000 KW-Westinghouse-Umformers.

hinweisen, und verweisen übrigens auf Bd. II der Gleichstrommaschine<sup>1)</sup>, wo die Konstruktion der Gleichstrommaschine erschöpfend behandelt ist.

Das Feldsystem (Fig. 517) unterscheidet sich von der bei Gleichstrommaschinen üblichen Konstruktion nur durch die starke Dämpferwicklung.

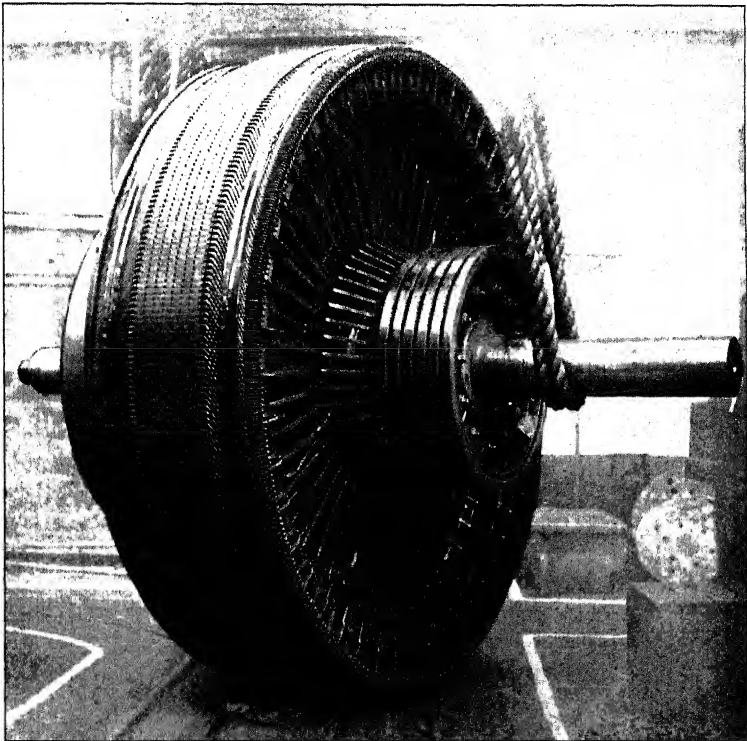


Fig. 518. Anker eines 3000 KW-Westinghouse-Umformers.

Der Anker (Fig. 518) unterscheidet sich im wesentlichen nur dadurch, daß die Ankerwicklung außer mit dem Kollektor noch mit Schleifringen verbunden ist. Da der Kommutator und die Schleifringe den der vollen Leistung entsprechenden Gleich-, bzw. Wechselstrom zu führen haben, während in der Ankerwicklung nur die Differenz beider Ströme fließt, so erhalten Kommutator und Schleifringe im Verhältnis zum Anker große Dimensionen.

<sup>1)</sup> E. Arnold, Die Gleichstrommaschine, Bd. II. Verlag Julius Springer, Berlin 1907.

In Fig. 519 ist ein Teil der Ankerwicklung in größerem Maßstab dargestellt, um die Verbindungen zu den Schleifringen und die außerdem noch vorgesehenen Äquipotentialverbindungen deutlicher zu zeigen.

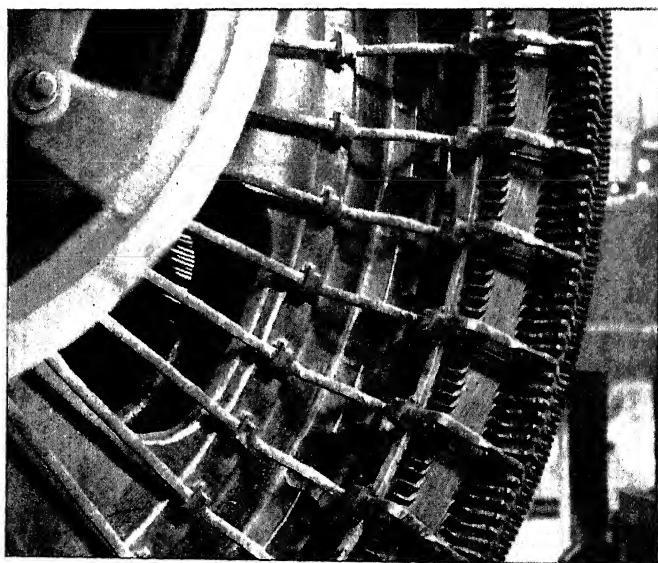


Fig. 519.

Die Fig. 517 bis 519 gehören zu dem S. 847 behandelten 3000 KW-Westinghouse-Umformer. Es gibt  $pm = 8 \cdot 6 = 48$  Verbindungen zu den Schleifringen, die, am Ankerumfang gemessen, um

$$\frac{\frac{s_n}{2} Z}{pm} = \frac{2 \cdot 384}{8 \cdot 6} = 16 \text{ Stäbe}$$

auseinanderliegen. Zwischen je zwei Schleifringverbindungen liegen jeweils 7 Äquipotentialanschlüsse, also total  $8pm = 8 \cdot 8 \cdot 6 = 384$  Äquipotentialanschlüsse, d. h. für jede Nut ein Anschluß, wie aus der Fig. 519 auch deutlich zu ersehen (es liegen ja 2 Stäbe nebeneinander in einer Nut.)

Fig. 520 zeigt den rotierenden Teil eines Westinghouse-Einankerumformers mit Zusatzmaschine und Anwurfmotor mit Kurzschlußanker.

Fig. 521 zeigt das Gesamtbild desselben Umformers für 770 KW, 230/310 Volt Gleichspannung, 25 Perioden, 375 Umdrehungen ( $p=4$ ).

Bemerkenswert ist die Konstruktion des Feldsystems der Zusatzmaschine. Eine andere Konstruktion des Feldsystems, wobei das Gehäuse einer gewöhnlichen Gleichstrommaschine verwendet wurde,

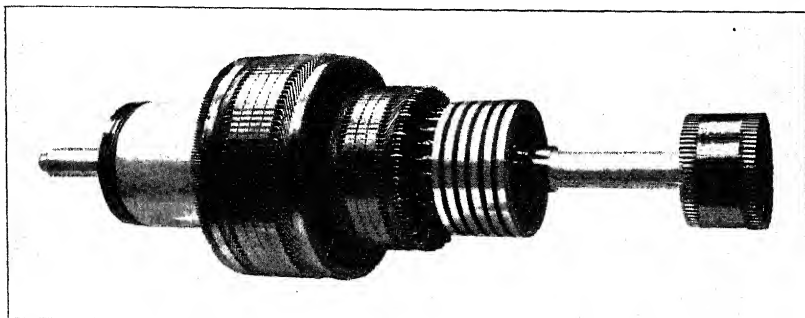


Fig. 520.

zeigt Fig. 522, die einen 1100 KW-Einankerumformer der A. E.-G. Berlin mit Spannungsregulierung zwischen 220 und 260 Volt darstellt.

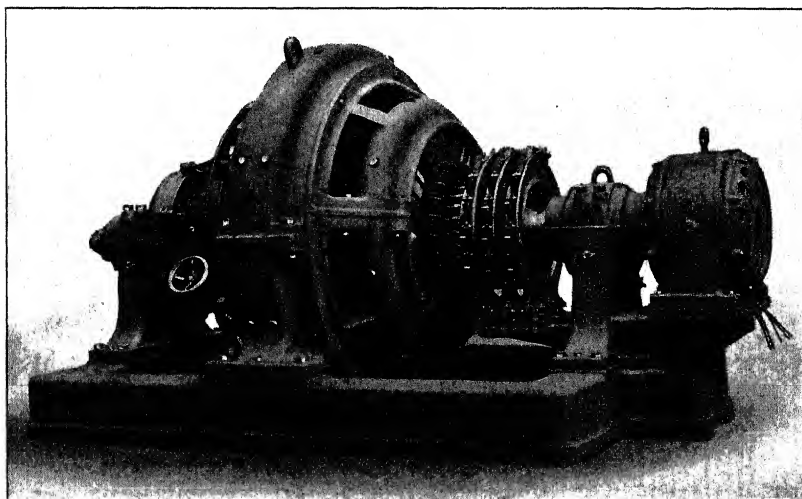


Fig. 521. 770 KW-Westinghouse-Umformer mit Zusatzmaschine und Anwurfmotor.

Sind die Umformer mit Wendepolen versehen, so entsteht — beim Anlassen von der Wechselstromseite — ein starkes Feuern an den Gleichstrombürsten (siehe S. 758). Es empfiehlt sich des-

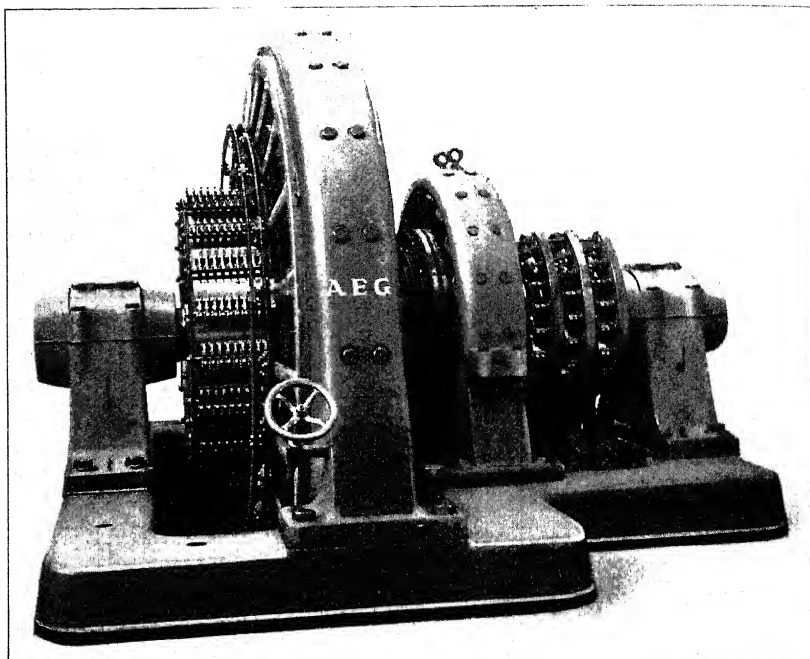


Fig. 522. 1100 KW-Umformer mit Zusatzmaschine der A. E.-G., Berlin.

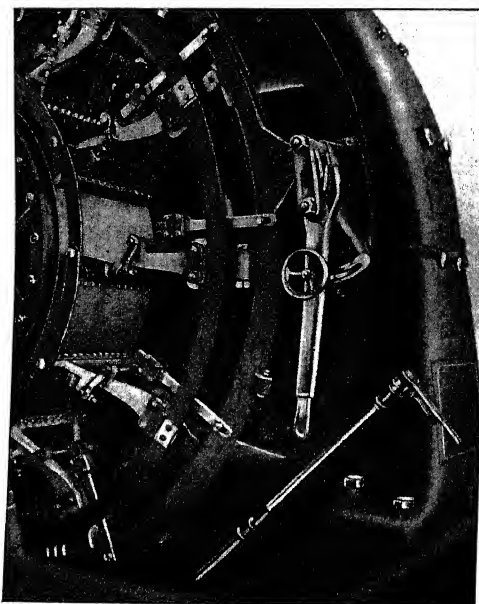


Fig. 523. Bürstenabhebevorrichtung der General Electric Co.

wegen, besonders bei größeren Wendepolumformern (etwa über 150 KW) die Bürsten während der Anlaßperiode vom Kommutator abzuheben. Fig. 523 zeigt eine solche Bürstenabhebevorrichtung der General Electric Co.

Eine Reihe von Schleifringkonstruktionen ist in den Fig. 524 bis 527 dargestellt. Auch die Fig. 511 und 514 und Tafel XV und XVI lassen die Konstruktion erkennen.

Bei den meisten Konstruktionen werden die Ringe auf eine Buchse, die entweder aus Gußeisen oder aus Gußstahl gemacht ist, und die an der einen Seite einen Flansch trägt, isoliert aufgebracht. Gegeneinander werden die Ringe durch Scheiben aus Stabilit, Fiber oder einem anderen geeigneten Isolationsmaterial isoliert. Das Ganze wird durch einen Preßring zusammengehalten, der mit der Buchse verschraubt oder durch einen durchgeführten isolierten Bolzen angezogen wird.

Bei der in Fig. 525 dargestellten Konstruktion sind die Preßflächen der Ringe konisch, und der äußere Konus ist mit dünner Wandstärke ausgeführt, so daß er etwas federn kann, wodurch eine sehr feste Verbindung erreicht wird. Eine etwas abweichende Ausführung zeigt der Umformer des Sachsenwerkes (Fig. 514).

Ferner ist bei der Anordnung Fig. 525 ein besonderes Ringstück aufgesetzt, das ausgewechselt werden kann. Noch einfacher ist das Auswechseln bei der in Fig. 511 dargestellten Konstruktion, wo die Laufflächen durch isolierte Bolzen mit einem auf der Welle sitzenden Teil verbunden sind.

Eine sehr einfache und kompakte Konstruktion der Schleifringe eines Sechsstrophenumformers zeigt Fig. 526. Sämtliche Ringe

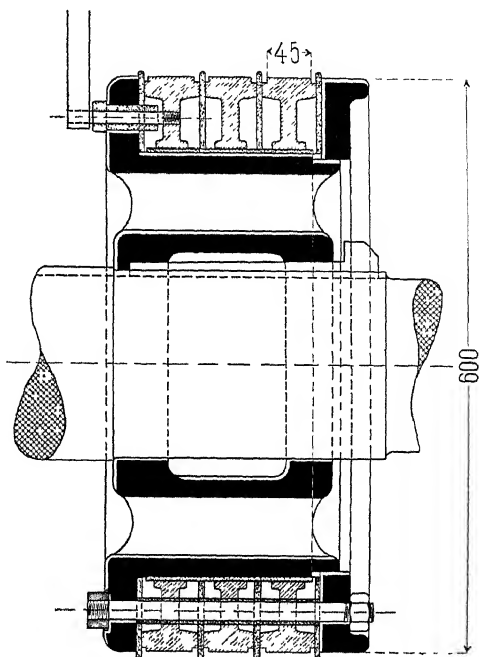


Fig. 524. Schleifringe eines 170 KW-Umformers der Société Alsacienne de Constr. méc., Belfort.



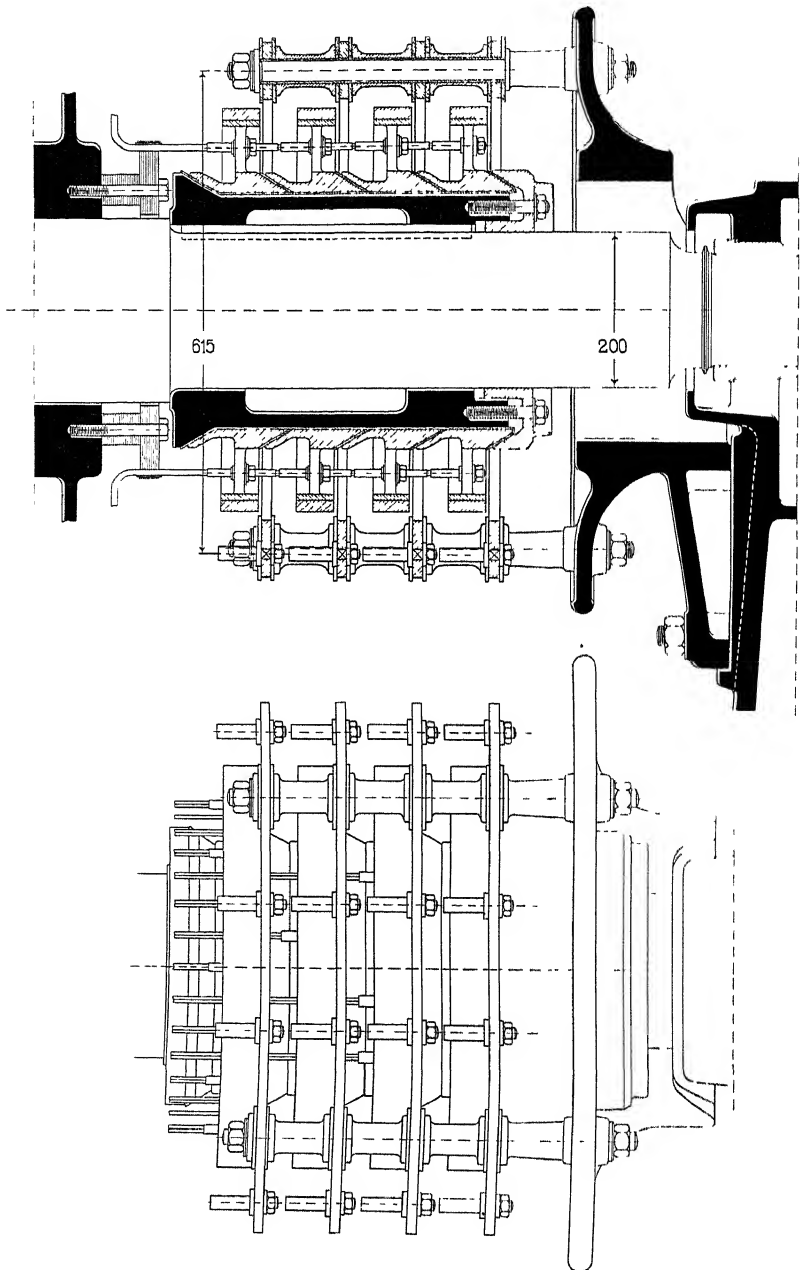


Fig. 525. Schleifringe eines 300 KW-Zweiphasen-Gleichstromumformers der E.-G. Alioth, Münchenstein bei Basel.

sind durch durchgehende, isolierte Bolzen auf einer gußeisernen Nabe befestigt.

Für die Stromführung werden meistens in die Ringe Kupferbolzen eingeschraubt, es können jedoch auch (Tafel XVI) Kupferbänder dazu verwendet werden.

Bei der Konstruktion (Fig. 527) der Ateliers de Constructions électriques, Charleroi, sind 18 Bolzen vorhanden, von denen jeweils drei mit einem Schleifring verschraubt sind, während die übrigen isoliert durchgeführt sind. Diese Bolzen sind dann verschieden lang. Die drei längsten gehören dem am meisten nach rechts gelegenen Schleifring (Fig. 527, oben) an, die drei kürzesten dem am meisten nach links sich befindenden (Fig. 527, unten).

Die Bürstenträger für die Schleifringbürsten unterscheiden sich von den bei Gleichstrommaschinen gebräuchlichen dadurch, daß sie nicht verstellbar sein müssen. Sie werden daher entweder fest an das Lager oder an das Gehäuse angeschraubt, wie in Fig. 525 und Tafel XV, oder es werden besondere Bügel auf den Fundamentrahmen aufgesetzt, wie in Fig. 514 (siehe auch Fig. 521).

Eine Konstruktion des Bürstenträgers, die es ermöglicht, sehr viele Bürsten auf die Ringe aufzusetzen, ist die der Fig. 525. Hier sind an einem an das Lager angeschraubten Ringstück vier lange Stifte befestigt.

Diese sind isoliert und es sind entsprechend den vier Schleifringen des Zweiphasen-Umformers vier Kupferringe auf ihnen angebracht, an denen die Bürstenstifte ringsherum befestigt sind.

In Fig. 526 sind die halbkreisförmigen Bürstenträger, drei auf der einen und drei auf der anderen Seite, an einem ringförmigen gußeisernen Ständer isoliert befestigt. Die drei sichtbaren Bürstenträger besitzen Bürstenstifte für die Schleifringe 1, 2, 3.

Oszillatoren und Drehzahlbegrenzer. Bei den großen Kommutatorgeschwindigkeiten, die sich bei Umformern oft ergeben, ist besondere Sorgfalt auf die Instandhaltung dieses wichtigsten

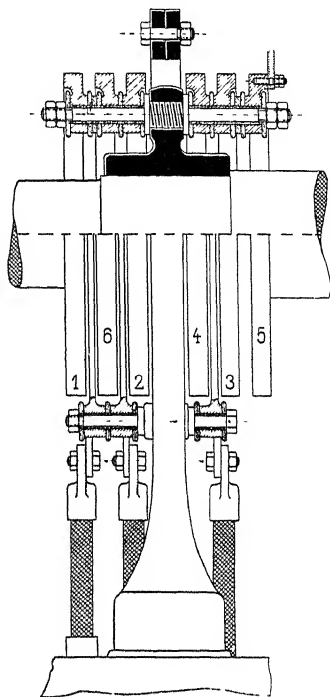


Fig. 526.

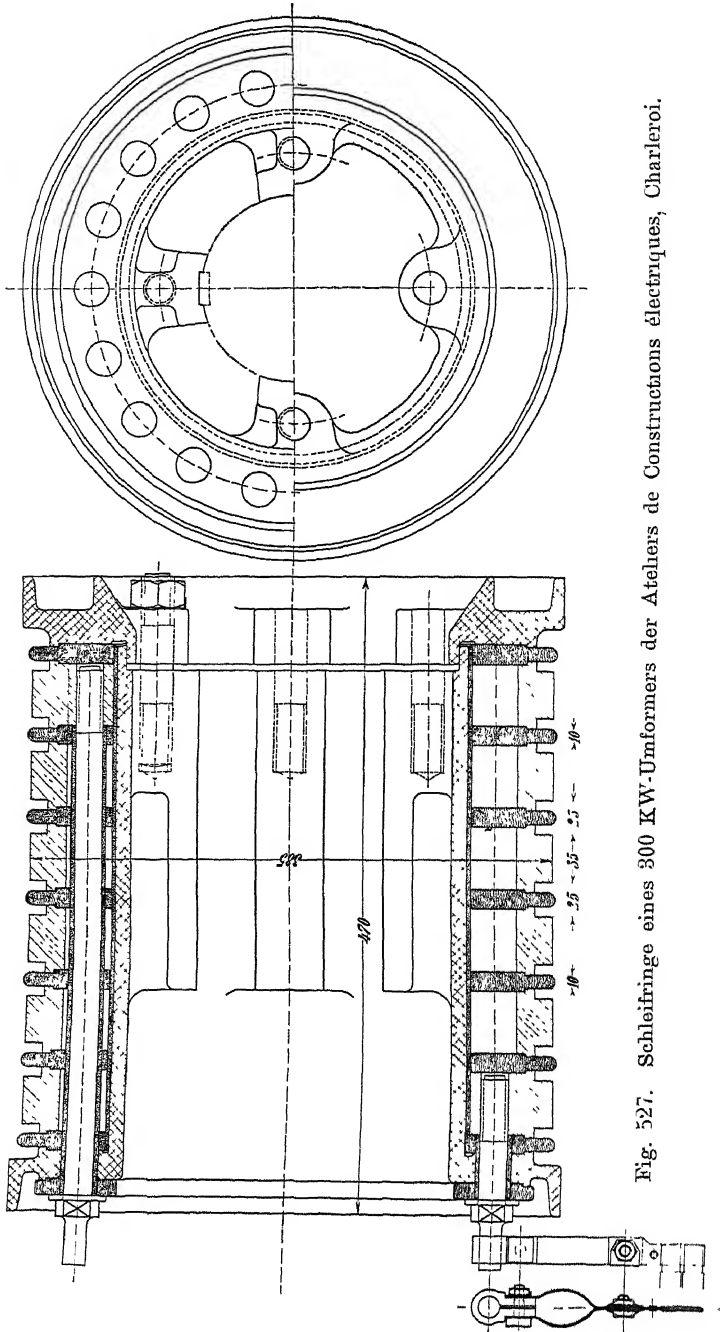


Fig. 527. Schleifringe eines 300 KW-Transformers der Ateliers de Constructions électriques, Charleroi.

Teiles der Maschine zu verwenden. Um eine gleichzeitige Abnutzung auf der ganzen Länge zu erreichen, werden die Bürsten der aufeinanderfolgenden Stifte gegeneinander versetzt. Ferner wird bei Generatoren und Motoren durch Impulse der Kraftmaschine

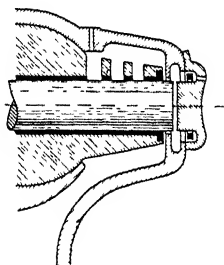


Fig. 528. Elektromagnet am Wellenende, um seitliches Oszillieren der Welle hervorzurufen.

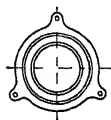


Fig. 529 Kugel auf schiefer Lauf-  
fläche, um seitliches Oszillieren der  
Welle hervorzurufen.

oder des Riemens oft eine oszillierende Bewegung des Ankers in axialer Richtung hervorgerufen. Man kann dieselbe bei Umformern auch erreichen, indem man am Wellenende einen Elektromagneten



Fig. 530.

anordnet, der durch einen Kontaktapparat abwechselnd aus- und eingeschaltet wird (Fig. 528). Bei unterbrochenem Magnetstrom wird der Anker durch die Umformerpole zurückgezogen. Einfacher sind jedoch die mechanischen Vorrichtungen. Fig. 529

zeigt eine solche Anordnung, wo am Ende des Lagers eine Platte mit einer schrägen Fläche befestigt ist. In einer Kreistrille läuft eine Kugel. Die Welle nimmt diese Kugel mit, und bei jedem Umlauf der Kugel hat das Wellenende, da die Gegenfläche schrag ist, eine axiale Bewegung auszuführen.

Außerdem werden Umformer oft noch mit einem Drehzahlbegrenzer versehen. Ein einfacher Zentrifugalregulator schließt bei der höchstzulässigen Drehzahl einen Schalter, der einen Stromkreis schließt, in dem die Ausschaltspule des Gleichstromschalters gelegen ist.

Fig. 530 zeigt die Kombination eines Oszillators mit einem Drehzahlbegrenzer, nach einer Ausführung der Westinghouse-Gesellschaft

---

# Erklärung der in den Formeln verwendeten Buchstaben.

(Die beigedruckten Zahlen geben die Seiten an, auf denen die betreffenden Bezeichnungen eingeführt sind)

## A.

- $A$  -- Amplitude der MMK der Grundwelle des synchronen Drehfeldes 22  
 $A_a$  -- Abkühlungsfläche des Ankers 513.  
 $A_m$  -- Abkühlungsfläche sämtlicher Erregerspulen 518  
 $AS$  == Stromvolumen pro cm Umfang der Armatur 18. 528 533. 747. 809  
 $AS_{st}$  -- Stromvolumen pro cm Umfang eines Umformerankers als Gleichstrommaschine 746  
 $AW_N$  Amperewindungen pro Wendepolpaar (bzw Wendepol) zur Erzeugung des Wendefeldes 750.  
 $AW_a$  -- Amperewindungen für den Ankern Kern 75. 85  
 $AW_r$  -- Längsmagnetisierende Amperewindungen 31. 725.  
 $AW_{r0}$  -- Längsmagnetisierende Amperewindungen bei Leerlauf 733.  
 $AW_j$  -- Amperewindungen für das Joch 75. 86.  
 $AW_k$  == Amperewindungen pro Kreis bei Belastung 103.  
 $AW_{k0}$  Amperewindungen pro Kreis bei Leerlauf 73. 86.  
 $AW_l$  -- Amperewindungen für den Luftraum 75 76  
 $AW_m$  Amperewindungen für den Magnetkern 38 75. 86.  
 $AW_q$  -- Quermagnetisierende Amperewindungen 32.  
 $AW_q'$  Amplitude der Grundwelle der wirksamen quermagnetisierenden Amperewindungen 33.  
 $AW_t$  == Amplitude der MMK der Grundwelle des Ankerstromes für alle Pole 102.  
 $AW_t$  Totale Feldamperewindungen bei Belastung 31. 104. 111. 733  
 $AW_t'$   $AW_t + AW_r$  733.  
 $AW_{t0}$  Totale Feldamperewindungen bei Leerlauf 287. 733.  
 $AW_{t0}'$   $AW_{t0} + AW_{r0}$  733.  
 $AW_w$  Erforderliche Amperewindungszahl eines Wendepolpaares (bzw. Wendepoles) 750.  
 $AW_z$  Amperewindungen für die Zähne 75. 80. 85.  
 $AW_{z,r}$  -- Amperewindungen für die Rotorzähne 106.  
 $AW_{z,s}$  Amperewindungen für die Statorzähne 106.  
 $a$  -- Zahl der Ankerstromzweige pro Phase 501. 705.  
 $a$  Halbe Anzahl der Ankerstromzweige einer Gleichstromwicklung 705.  
 $a_u$  -- Spezifische Kühlfläche der Armatur 513. 821.  
 $a_k$  Spezifische Kühlfläche des Kommutators 821.  
 $a_m$  -- Spezifische Kühlfläche der Magnetspulen 518. 821.

- $aw_a$  = Amperewindungen pro cm für den Ankerkern 86.  
 $aw_j$  = Amperewindungen pro cm für das Joch 86.  
 $aw_m$  = Amperewindungen pro cm für die Magnete 86  
 $aw_z$  = Amperewindungen pro cm für die Zahne 81.

**B.**

- $B_a$  = Induktion im Ankerkern 85 542 814  
 $B_l$  = Induktion im Luftspalt 76. 532. 809.  
 $B_j$  = Induktion im Joch 86. 546.  
 $B_m$  = Induktion in den Magneten 86. 546.  
 $B_p$  = Amplitude der Grundwelle des Leerlaufes 321.  
 $B_{wl}$  = Induktion im Luftspalt unter den Wendepolen 749.  
 $B_z$  = Induktion in den Zähnen 81. 814.  
 $B_{z_i}$  = Ideelle Zahninduktion 82 108.  
 $B_{z_{max}}$  = Maximale Zahninduktion 541.  
 $B_{z_w}$  = Wirkliche Zahninduktion 82.  
 $b$  = Polbogen 13  
 $b_D$  = Auf den Ankerumfang reduzierte Burstenbreite 747  
 $b_i$  = Ideeller Polbogen 76. 79. 534. 811.  
 $b_{in}$  = Innerer Polbogen 79  
 $b_j$  = Auf einfache Parallelwicklung reduzierte Burstenbreite 748.  
 $b_w$  = Wendepolbreite 749.  
 $b_{w_i}$  = Ideelle Wendepolbreite 750.  
 $b_1$  = Burstenbreite 724.

**C.**

- $C_a$  = Koeffizient der Wärmeabgabe des Ankers 513  
 $C_m$  = Koeffizient der Wärmeabgabe der Magnete 518.  
 $c$  = Periodenzahl 2. 18.  
 $c_e$  = Eigenschwingungszahl einer Maschine 352  
 $c_w$  = Periodenzahl der Wirbelströme in den Polschuhflächen 488.

**D.**

- $D$  = Ankerdurchmesser 18 513. 533 810.  
 $D$  =  $D_1 + D_2$  = Dämpfungskonstante 325  
 $D_k$  = Kollektordurchmesser 750.  
 $d$  = Zapfendurchmesser 820  
 $d_w$  = Dicke der Erregerspule 548.

**E.**

- $E$  = Die vom Magnetfelde induzierte EMK 2. 55. 178. 724.  
 $E_g$  = Die bei Belastung vom Hauptfelde im Gleichstromanker induzierte EMK 701 733.  
 $E_{g0}$  = Die bei Leerlauf vom Hauptfelde im Gleichstromanker induzierte EMK 732.  
 $E_i$  = Die zwischen zwei benachbarten Anschlußpunkten in einem Umformer-anker induzierte EMK 702  
 $E_p$  = Pro Phase der Ankerwicklung induzierte EMK 87 110. 528.  
 $E_s$  =  $Jx$  = EMK der Selbstinduktion 5 19.  
 $E_s'$  = EMK die durch den Kraftfluß, der sich durch den Nutensteg schließt, induziert wird 19.  
 $E_{s1}$  =  $Jx_{s1}$  = Die vom Streufluß  $\Phi_{s1}$  induzierte EMK 6. 8. 56.

- $E_{\lambda 2}$  — EMK, die durch den langsmagnetisierenden Kraftfluß  $\Phi_{\lambda 2}$  induziert wird 6. 32. 56.  
 $E_{\lambda 3}$  — EMK, die durch den quermagnetisierenden Kraftfluß induziert wird 6. 33 56  
 $E_n$  — Die zwischen zwei diametralen Punkten in einem zweipoligen Umformeranker induzierte EMK 702.  
 $e_0$  — Die vom Hauptfeld in einer kurzgeschlossenen Spule eines Umformers induzierte EMK 747.  
 $e_q$  — Die vom Ankerquefeld in einer kurzgeschlossenen Spule eines Umformers induzierte EMK 746  
 $e_r$  — Reaktanzspannung einer kurzgeschlossenen Spule eines Umformers 746.  
 $e_s$  —  $e_1 + e_2$  = Momentanwert der resultierenden EMK zweier parallel geschalteter Maschinen 248.  
 $e_{\lambda s}$  — Mittlere Reaktanzspannung einer Spule 747  
 $e_s$  — Effektive Reaktanzspannung (Funktenspannung) 748.

## F.

- $F_b$  — Kontaktfläche aller Bürsten am Kommutator 815. 820  
 $F_b'$  — Bürstenfläche pro Schleifring 816. 820  
 $f$  —  $\frac{N^{com}}{\Phi_b}$  340.  
 $f_B$  — Formfaktor 2.  
 $f_e$  — Fullfaktor der Erregerspulen 548.  
 $f_p$  — Polschuhfaktor 29.  
 $f_u$  — Formfaktor für die Stromverteilung unter den Bürsten 819.  
 $f_w$  — Wicklungsfaktor 2.  
 $f_{w1}$  — Wicklungsfaktor der Grundharmonischen 2. 21.

## G.

- $g$  — Spezifischer Auflagedruck der Bürsten am Kommutator 820.  
 $g'$  — Spezifischer Auflagedruck der Bürsten an den Schleifringen 820  
 $g$  —  $\frac{Dp\Omega_m}{\Phi_b}$  337.  
 $g_u$  — Konduktanz, die den Eisen- und Reibungsverlusten entspricht 179

## H.

- $H_n$  — Feldstärke im Zahn 82.  
 $h$  — Eisenhöhe der Armatur 542. 814.  
 $h_w$  — Höhe des Wicklungsraumes der Erregerspulen 548.

## J.

- $J$  — Stromstärke pro Phase 5. 55. 178. 536.  
 $J$  — Trägheitsmoment 296. 340. 372.  
 $J_a$  —  $J$  = Strom, der in jedem Ankerdrahte fließt 537.  
 $J_a$  — Gleichstrom eines Umformers 701.  
 $J_k$  — Kurzschlußstrom 116.  
 $J_{lin}$  — Wattstrom der Linie 706.  
 $J_{linl}$  — Wattloser Strom der Linie 724.  
 $J_{linl0}$  — Wattloser Linienstrom des leerlaufenden Umformers 731.  
 $J_n$  —  $s_n J$  — Stromvolumen pro Nut 537.



$J_w$	= Wattstrom 57. 218. 705
$J_{ni}$	= Wattloser Strom 57 217. 709. 723 725.
$J_{ni0}$	= Wattloser Strom bei Leerlauf 732 733
$i_e$	= Erregerstrom 5. 103. 502. 550
$i_{eb}$	= Erregerstrom bei Belastung 121.
$i_{e0}$	= Erregerstrom bei Leerlauf 121
$i_n$	= Nebenschlußstromstärke 819.
$i_r$	= $i_q - i$ = Resultierender Strom in einer Ankerspule eines Umformers 709.

**K.**

$K$	= Zahl der Kollektorlamellen 746
$k$	= EMK-Faktor 2. 545. 702 746
$k_0$	= Faktor für die langsmagnetisierenden Amperewindungen 31.
$k_p$	= $\frac{W_s}{KVA}$ 312. 355 762 803.
$k_q$	= Faktor für die quermagnetisierenden Amperewindungen 32.
$k_q'$	= Faktor zur Berechnung von $AW_q'$ 33.
$k_s$	= EMK-Faktor des Ankerfeldes 5.
$k_\tau$	= $\frac{E_w}{E_g}$ = EMK-Faktor eines Umformers 702
$k_u$	= $\frac{W_{amax}}{W_a}$ = Verhältnis des maximalen Drehmomentes zum normalen 188. 309.
$k_z$	= $\frac{AW_1 + AW_2 + AW_a}{AW_1}$ 79. 93.
$k_1$	= Faktor, der die Erhöhung der Luftinduktion durch die Nuten berücksichtigt 33. 79 108.
$k_2$	= Faktor, der die Isolation zwischen den Blechen berücksichtigt 81. 540.
$k_3$	= $\frac{\text{Luftquerschnitt}}{\text{Eisenquerschnitt}}$ zur Berechnung der $AW_2$ 82
$k_4$	= $f \left( \frac{z_2}{z_3} \right)$ = Faktor für den Hysteresisverlust in den Zähnen 483.
$k_5$	= $f \left( \frac{z_2}{z_3} \right)$ = Faktor für den Wirbelstromverlust in den Zähnen 487.

**L.**

$L_a$	= Kraftlinienlänge im Ankernern 75.
$L_j$	= Kraftlinienlänge im Joch 75
$L_k$	= Nutzbare Länge des Kollektors 741
$L_m$	= $2l_m$ = Kraftlinienlänge in den Magnetkernen 75
$L_z$	= $2l_z$ = Mittlere Kraftlinienlänge in den Zähnen 75.
$l$	= Effektive Eisenlänge des Ankers 80. 536
$l_a$	= Halbe Länge einer Ankerwindung 501. 813.
$l_e$	= Mittlere Länge einer Erregerwindung 502.
$l_i$	= Ideelle Ankerlänge 9. 77. 534 746. 810
$l_1$	= Eisenlänge des Ankers mit Luftschlitzen 80. 536 749.
$l_s$	= Länge des Spulenkopfes 14. 749.
$l_w$	= Wendepollänge 749
$l_z$	= Zapfenlänge 820.

**M.**

$M$	= Maschinenkonstante 810.
$m$	= Phasenzahl (Zahl der Schleifringe eines Umformers) 2. (702).

## N.

- $N$  = Anzahl der Ankerdrähte bei Umformern 701 746  
 $N$  = Netzkonstante 339  
 $n$  = Tourenzahl pro Minute 19 532.  
 $n$  = Ordnung des Oberstromes 25  
 $n_s$  = Anzahl der Luftschlitze 80.

## P.

- $P$  = Normale Klemmenspannung bei Belastung 55. 178  
 $P_o$  = Die Umformerklemmenspannung bei Belastung 733  
 $P_{o0}$  = Die Umformerklemmenspannung bei Leerlauf 732.  
 $P_{kmax}$  = Maximale Spannung zwischen den Kollektorlamellen 815  
 $P_{kmitt}$  = Mittlere Spannung pro Lamelle eines Umformers 805  
 $P_l$  = Linienspannung am Umformer 704  
 $P_w$  = Spannung zwischen diametralen Punkten eines zweipoligen Umformer-  
 ankers 704  
 $P_0$  Normale Klemmenspannung bei Leerlauf 60.  
 $P_1$  =  $\frac{P_{1'}}{\sqrt{3}}$  = Klemmenspannung pro Phase eines Umformers 738  
 $P_1'$  = Auf sekundär reduzierte primäre Spannung des in Stern geschalteten  
 Transformators 763.  
 $P_2$  = Phasenspannung an der Sekundarseite des Umformertransformators  
 698.  
 $p$  = Polpaarzahl 9  
 $p$  = Spezifischer Lagerdruck 503

## Q.

- $Q$  Zahl der Löcher pro Pol 2.  
 $Q_a$  Eisenquerschnitt des Armaturkernes 75.  
 $Q_l$  Jochquerschnitt 75.  
 $Q_m$  Eisenquerschnitt des Magnetkernes 75.  
 $q$  Lochzahl pro Pol und Phase 2. 9.  
 $q_a$  Querschnitt eines Ankerleiters 501. 538. 812.  
 $q_e$  Drahtquerschnitt der Erregerwicklung 502. 548. 550.  
 $q_e$  = Nuten pro Pol der Erregerwicklung einer Vollpolmaschine 103.  
 $q_h$  Drahtquerschnitt der Hauptschlußwicklung 818.  
 $q_n$  Drahtquerschnitt der Nebenschlußwicklung 818.

## R.

- $R$  Pendelwiderstand 343.  
 $R_a$  Ohmscher Widerstand der Ankerwicklung eines Umformers 713. 813.  
 $R_h$  Widerstand der Hauptschlußwicklung 819.  
 $R_m$  Lagerreibungsarbeit 503.  
 $R_n$  Widerstand der Nebenschlußwicklung 819.  
 $R_w$  Widerstand der Wendepolwicklung 819.  
 $r$  Pendelwiderstand 356. 382.  
 $r$  Stabhöhe in der Nut 11.  
 $r_a$  Effektiver Widerstand der Ankerwicklung 5. 54. 104. 502. 539. 607.  
 617. 633.  
 $r_e$  Widerstand der Feldwicklung 502. 549.  
 $r_g$  Ohmscher Widerstand der Ankerwicklung 53. 501. 539.  
 $r_i$   $r_i + r_a$  178.

- $r_1$  = Schlitzweite der Nut 11.  
 $r_3$  = Nutenweite 11  
 $r_1 \dots r_8$  = Nutendimensionen 11

## S.

- $S$  = Breite der Spulenseite einer verteilten Wicklung 3. 702  
 $S$  = Synchronisierendes Moment 311.  
 $S_a$  = Streuinduktionskoeffizient der Ankerwicklung 461  
 $S_k$  = Zahl der von einer Bürste kurzgeschlossenen Spulen 748  
 $s_a$  = Stromdichte im Ankerkupfer 538 812  
 $s_c$  = Stromdichte im Erregerkupfer 550 551  
 $s_e$  = Drahtzahl pro Nut der Erregerwicklung einer Vollpolmaschine 103.  
 $s_h$  = Stromdichte in der Hauptschlußerregung 753.  
 $s_n$  = Zahl der in Serie geschalteten Drahte pro Nut 9. 537  
 $s_u$  = Stromdichte unter den Bürsten bei Umformern 816. 819.  
 $s_{u\text{eff}}$  = Effektive Stromdichte unter den Bürsten bei Umformern 819.

## T.

- $T$  = Kurzschlußzeit 744.  
 $T$  = Anlaufzeit des Schwungrades oder der Maschine 355 371. 762 817.  
 $T_a$  = Mittlere Temperaturerhöhung der Armatur 501. 513. 821.  
 $T_k$  = Temperaturerhöhung des Kommutators 821.  
 $T_m$  = Mittlere Temperaturerhöhung der Magnetspulen 502. 518. 821.  
 $T_n$  = Kurzschlußzeit des Stromvolumens einer Nut 747  
 $T_z$  = Lagertemperatur 820.  
 $t_1$  = Zahnteilung am Ankerumfang 13. 81. 540 747. 813

## U.

- $U_s$  = Querschnittsumfang eines Spulenkopfes 14. 17.  
 $u_r$  = Übersetzungsverhältnis zwischen  $E_m$  und  $E_g$  bei Umformern 702. 704.  
 $u_i$  = Übersetzungsverhältnis zwischen  $E_i$  und  $E_g$  bei Umformern 702. 703.  
     704 781.  
 $u_i$  =  $\frac{2J_m}{J_g}$  = Übersetzungsverhältnis zwischen Wechselwatt- und Gleichstrom eines Umformers 705  
 $u_{ii}$  =  $\frac{J_{mw}}{J_g}$  = Übersetzungsverhältnis 706.  
 $u_n$  = Anzahl Spulenseiten pro Nut 812.

## V.

- $V$  =  $V_1 + V_a$  = Totaler Verlust im Synchronmotor 179.  
 $V_a$  =  $E^2 g_a$  = Eisen- und Reibungsverluste im Motor 179.  
 $V_e$  = Erregerverlust 184.  
 $V_1$  =  $J^2 r_1$  = Verlust durch Stromwärme in der Leitung und der Ankerwicklung bei Synchronmotoren 178.  
 $v$  = Umfangsgeschwindigkeit 19. 531. 746.  
 $v_i$  =  $\frac{2J_m}{J_g}$  709  
 $v_k$  = Kollektorumfangsgeschwindigkeit 805. 820.  
 $v_k'$  = Schleifringumfangsgeschwindigkeit 820.  
 $v_z$  = Zapfengeschwindigkeit 820

## W.

- $W$  = Die an der Motorwelle verfügbare mechanische Leistung 179 180.  
 $W_a$  =  $W_1 - V_1$  = Die dem Motor zugeführte elektromagnetische Leistung 178. 218 305 307. 319. 437 444  
 $W_{a \max}$  = Maximale elektromagnetische Leistung 308.  
 $W'_{a \max} \sim \frac{P^2}{4r_a}$  = Maximales Drehmoment 192. 225  
 $W_\delta$  = Synchronisierende Leistung 315. 316. 450  
 $W_D$   $D \Omega_m$  380  
 $W_e$  = Erregerverlust 502. 550.  
 $W_{ei}$  = Eisenverluste 499 614  
 $W_g$  = Die an der Gleichstromseite abzugebende Leistung eines Umformers 762.  
 $W_H$  = Verlust in der Hauptschlußwicklung eines Umformers 819.  
 $W_h$  = Eisenverlust durch Hysteresis 480 500 506 820  
 $W_{ha}$  = Hysteresisverlust im Ankerkern 480  
 $W_{hz}$  = Hysteresisverlust in den Zähnen 482.  
 $W_k$  = Kupferverluste 507. 614.  
 $W_{ka}$  = Stromwärmeverlust im Anker 502 506. 539. 713 813. 819  
 $W_{kz}$  = Stromwärmeverlust in dem in den Nuten eingebetteten Ankerkupfer 819.  
 $W_M$  =  $\partial_v \Omega_m$  380  
 $W_n$  = Verlust in der Nebenschlußerregewicklung 819.  
 $W_{nt}$  = Totaler Verlust durch Nebenschlußerregung 819.  
 $W_R$  = Luft- und Lagerreibungsverlust 504 820  
 $W_s$  = Luftreibung 507.  
 $W_r$  = Reibungsverlust am Kommutator 820.  
 $W'_r$  = Reibungsverluste an den Kollektoringen eines Umformers 820.  
 $W_s$  = Synchronisierende Kraft 188 286 310. 311 315. 317 319. 450.  
 $W_u$  = Übergangsverluste am Kommutator 819.  
 $W'_u$  = Übergangsverluste am Kollektoring eines Umformers 819.  
 $W_v$  = Summe aller Verluste einer Maschine 506. 612.  
 $W_w$  = Wirbelstromverluste im Eisen 484. 500 506. 820.  
 $W_{wa}$  = Wirbelstromverluste im Ankereisen 486.  
 $W_{wz}$  = Wirbelstromverluste in den Zähnen 486.  
 $W_\Omega$   $W, + W_R$  = Reibungsverluste 499 507. 613.  
 $W_0$  = Leerlaufverlust 499. 618.  
 $W_1$  = Die einem Motor zugeführte elektromagnetische Leistung 178. 180.  
 $w$  = Windungen in Serie pro Phase 2. 9. 501. 536  
 $w_e$  = Windungszahl der Erregung in Serie 104. 502. 550. 552.  
 $w_g$  = Windungszahl in Serie zwischen den Bürsten entgegengesetzter Polarität am Umformer 701.  
 $w_h$  = Windungszahl für Hauptschlußerregung bei Umformern 818.  
 $w_n$  = Windungszahl für Nebenschlußerregung bei Umformern 818.  
 $w_n$  = Windungszahl in Serie pro Phase des Einankerumformers 701.

## X.

- $X$  = Funktion von  $\frac{t_1 - z_1}{\delta}$  79.  
 $x_a$  = Effektive (synchrone) Reaktanz des Ankers 5. 55. 215.  
 $x_e$  = Pendelkapazität 356. 382.  
 $x_v$  = Resultierende Pendelreaktanz 343. 356  
 $x_s$  = Pendelreaktanz 356. 382.  
 $x_{s1}$  = Reaktanz des Stroufflusses 8. 18. 102. 607. 725.

- $x'_{11}$  = Reaktanz des Streuflusses einer Phase der auf Sternschaltung reduzierten Umformerwicklung 724 725  
 $x_{s2}$  =  $\frac{E_{s2}}{J_{wl}}$  215.  
 $x'_{s2}$  =  $x_{s2} \frac{\operatorname{tg} \gamma_1}{\operatorname{tg} \gamma_2}$  322  
 $x_{s3}$  =  $\frac{E_{s3}}{J_w}$  215.  
 $x_1$  =  $x_l + x_a$  = Resultierende Reaktanz bei einem Synchronmotor 178.  
 $x_2$  =  $x_{s1} + x_{s2}$  = Reaktanz des Wattstromes 215  
 $x_3$  =  $x_{s1} + x_{s3}$  = Reaktanz des wattlosen Stromes 215, 763.

## Y.

- $y$  = Weite einer Windung 3  
 $y_n$  = Nutenschritt 812  
 $y_1$  = Wicklungsschritt auf der hinteren Seite des Ankers 827  
 $y_2$  = Wicklungsschritt auf der Kommutatorseite 827.

## Z.

- $Z$  = Nutenzahl 540. 813  
 $z$  = Axiale Länge eines Blechpakets 80.  
 $z$  = Zahnbreite 81.  
 $z_a$  = Innere Impedanz 116. 216.  
 $z_h$  = Kurzschlußimpedanz des Ankers 119.  
 $z_k$  =  $\sqrt{r_a^2 + x^2}$  323.  
 $z_l$  = Leitungsimpedanz 178.  
 $z_1$  =  $\sqrt{r_1^2 + x_1^2}$  178.  
 $z_1$  = Zahnstarke am Kopf 81.  
 $z_2$  = Zahnstarke am Fuß 81 541. 813

- $\alpha$  = Lochabstand in elektrischen Graden 2.  
 $\alpha$  = Konstante zur Berechnung des Ankerlängsfeldes 322.  
 $\alpha_i$  =  $\frac{b_i}{\tau}$  29. 532.  
 $\beta$  = Lamellenbreite 748 805.  
 $\beta$  = Konstante zur Berechnung des Ankerquerfeldes 322.  
 $\beta_D$  = Lamellenbreite reduziert auf den Ankerumfang bei Umformern 747.  
 $\Delta$  = Blechstarke 484. 486.  
 $\Delta J_{wl}$  ( $\Delta J_w$ ) = Änderung des wattlosen Stromes eines Umformers von Leerlauf bis Belastung 731. 733.  
 $\Delta P$  = Spannungsverlust unter den Bürsten bei Umformern 718. 819.  
 $\Delta P_w$  = Änderung der Einphasenspannung eines Umformers von Leerlauf bis Belastung 731.  
 $\Delta e_0$  = Kurzschlußspannung bei nichtverstellten Bürsten 748  
 $\Delta e_v$  = Kurzschlußspannung bei verstellten Bürsten 748  
 $\delta$  = Luftzwischenraum zwischen den Polen und dem Ankereisen 33. 75. 77. 543. 817.  
 $\delta$  = Ungleichförmigkeitsgrad 276 295.  
 $\delta'$  = Stegstarke einer geschlossenen Nut 19.  
 $\delta_i$  = Stärke der Isolation am Kommutator 805.  
 $\delta_w$  = Luftspalt unter den Wendepolen 750.  
 $\varepsilon$  = Prozentualer Spannungsabfall 60 106. 553.

- $\epsilon$  = Unempfindlichkeitsgrad einer Maschine 276  
 $\epsilon$  = Halbe Schrittverkürzung 747  
 $\epsilon_1$  = Prozentuale Änderung der Klemmenspannung bei einer entsprechenden Änderung der Drehzahl 67 ff  
 $\zeta, \zeta_r$  = Resonanzmodul 358. 388. 765.  
 $\eta$  = Wirkungsgrad 184 506 609. 616. 618 620 796 798. 820.  
 $\nu_1$  = Elektrisches Güteverhältnis 184  
 $\phi$  = Phasenverschiebung zwischen induzierter EMK und Klemmenspannung 63. 178 218  
 $\phi_m$  = Mittlerer Phasenverschiebungswinkel  $\phi$  309.  
 $\phi_{vr}$  = Räumliche Winkelabweichung  $r$ ter Ordnung 301 353.  
 $\phi_r$  =  $p \phi_r$ , = Winkelabweichung in Phasengraden gemessen 301. 344. 353  
 $\phi_r$  = Räumliche Winkelabweichung eines Generators 303.  
 $\theta$  = Drehmoment 178  
 $\theta_b$  = Mittleres Drehmoment einer Kurbelmaschine 293.  
 $\theta_v$  = Amplitude der  $v$ ten Harmonischen der Drehmomentkurve 341.  
 $\theta_r$  = Resultierendes Drehmoment einer Kurbelmaschine 293  
 $\lambda_k$  = Äquivalente Leitfähigkeit zwischen den Zahnköpfen 9. 13 15 19. 102. 544 749.  
 $\lambda_n$  = Äquivalente Leitfähigkeit des Nutenraums 9. 11. 15. 102. 544. 749.  
 $\lambda_{Lz}$  = Leitfähigkeit des vom Strome einer Spule hervorgerufenen totalen Eigenfeldes 748.  
 $\lambda_{Ns}$  = Leitfähigkeit des vom Strome einer Nut hervorgerufenen Streufeldes 747.  
 $\lambda_u$  = Leitfähigkeit des Ankerquerfeldes in der neutralen Zone 746.  
 $\lambda_{q0}$  = Leitfähigkeit des Ankerquerfeldes in der neutralen Zone bei nicht-verstellten Bürsten 748.  
 $\lambda_{qv}$  = Leitfähigkeit des Ankerquerfeldes in der neutralen Zone bei verstellten Bürsten 748  
 $\lambda_s$  = Äquivalente Leitfähigkeit um die Sternverbindungen 9. 14 17. 102. 544. 749  
 $\lambda_{st}$  = Äquivalente magnetische Leitfähigkeit des Streuflusses pro cm Ankerlänge 9.  
 $\mu$  = Permeabilität 73.  
 $\nu, \nu'$  = Verhältnis der Stromwärmeverluste 712. 775.  
 $\nu$  = Ordnungszahl eines Oberfeldes 21.  
 $\nu = \frac{t_1 - z_1}{\delta}$  78.  
 $\nu$  = Zahl der Impulse pro Umdrehung beim Pendeln (Ordnungszahl der Schwingung) 300.  
 $\varrho$  = Reibungskoeffizient 820.  
 $\varrho_1 \varrho_2$  = Konstanten zur Berechnung der Dämpfung 322.  
 $\sigma$  = Streukoeffizient 75. 87. 90. 92. 93. 546.  
 $\sigma_b$  = Streukoeffizient bei Belastung 95 98.  
 $\sigma_h$  = Hysteresiskonstante 480. 482. 500. 820.  
 $\sigma_m$  = Wirbelstromkonstante 484. 500. 820.  
 $\tau$  = Polteilung 13.  
 $\tau_k$  = Kollektorteilung bei Umformern 806.  
 $\Phi$  = Maximaler Kraftfluß einer Windung, deren Weite gleich der Polteilung 2 813.  
 $\Phi_a$  = Der in den Anker eintretende Kraftfluß 72.  
 $\Phi_j$  = Kraftfluß im Joch 86  
 $\Phi_m$  = Kraftfluß in den Feldmagneten 75. 86.

- $\Phi_q$  = Ankerquerfluß pro Pol 33  
 $\Phi_s$  = Streufluß 5 75 101.  
 $\Phi_{\lambda}$  = Ankerfluß einer Vollpolmaschine, der mit den Polen verkettet ist 101  
 $\Phi_{s1}$  = Streufluß, der um die Nuten und durch die Luft verläuft 6. 8. 57.  
 $\Phi_{s2}$  = Langmagnetisierender Kraftfluß 6. 29. 57.  
 $\Phi_{s3}$  = Quermagnetisierender Kraftfluß 6 30 57  
 $q$  = Phasenverspatungswinkel zwischen Klemmenspannung und Strom 55. 178.  
 $\psi$  = Phasenverspatungswinkel zwischen induzierter EMK und Strom 27 28. 55. 63. 178. 708  
 $\psi_r$  = Phasenverschiebungswinkel der  $r$ ten Oberwelle der Drehmomentkurve 341.  
 $\psi_k$  = Phasenverschiebungswinkel zwischen  $E$  und  $J$  bei Kurzschluß 117.  
 $\psi'$  =  $\arctg \frac{r_a}{x}$  323.  
 $\psi_1$  =  $\arctg \frac{r_1}{x_1}$  178  
 $\Omega$  = Raumlische Winkelgeschwindigkeit 295.  
 $\Omega_{ei}$  =  $2 \pi c_{ei}$  = Der Eigenschwingungszahl  $c_{ei}$  entsprechende Winkelgeschwindigkeit 352.  
 $\Omega_k$  = Kritische Schwingungszahl 393. 400  
 $\Omega_m$  = Mittlere raumlische Winkelgeschwindigkeit 277.  
 $\Omega_r$  = Amplitude der  $r$ ten Harmonischen der räumlichen Winkelgeschwindigkeitskurve 300  
 $\omega$  = Elektrische Winkelgeschwindigkeit 178  
 $\omega$  = Momentanwert der elektrischen Pendelgeschwindigkeit einer Maschine 386.  
 $\omega_k$  = Momentangeschwindigkeit, elektrische, des Netzvektors 380.  
 $\omega_m$  = Mittlere elektrische Winkelgeschwindigkeit beim Pendeln 339.  
 $\omega_r$  = Amplitude der  $r$ ten Harmonischen der elektrischen Pendelgeschwindigkeit 343 355

## Namen- und Sachregister.

- Abkühlfläche der Armatur 513. 821  
 — — — spezifische 513. 821.  
 — der Magnetspulen 518. 821.  
 Absolutes Maximum des Drehmoments  
 eines Synchronmotors 191  
 Adams, C A 783.  
 Änderung der Eigenschwingungszahl  
 einer parallelgeschalteten Maschine  
 366.  
 — der Klemmenspannung einer Syn-  
 chronmaschine mit der Belastung  
 und der Drehzahl 55.  
 — der synchronisierenden Kraft wäh-  
 rend des Pendelns 432.  
 Äquivalente magnetische Leitfähigkeit  
 des Streuflusses 9  
 — — — zwischen den Nutenwänden 11.  
 — Schaltung des Synchronmotors 177  
 Äußere Charakteristik 112.  
   a) Genaue graphische Berechnung  
     113.  
   b) Angenäherte graphische Berech-  
     nung 114.  
   c) Analytische Berechnung 116.  
 — — experimentelle Aufnahme 603.  
 — — eines Umformers 737.  
 — — experimentelle Aufnahme 793.  
 Aichele, Apparat von 639.  
 Alexanderson, Compoundierung von  
 154.  
 Alioth, E.-G. Münchenstein, Basel 868.  
 Allgemeine Elektrizitätsgesellschaft,  
 Berlin 135. 256. 520. 526. 531. 645.  
 656. 657. 677. 736. 753. 768. 855.  
 Allgemeiner Resonanzfall beim Parallel-  
 arbeiten 392.  
 Allmänna Svenska E.-A. Vesterås 168.  
 645. 672.  
 Aluminiumzellen zum Gleichrichten  
 des Erregerstromes 162.  
 Amortisseur 49.  
 Amperewindungen einer Maschine mit  
 Vollpolen 106.  
 — eines Umformers bei Leerlauf und  
 Belastung 733.  
 Amperewindungen für den Ankernern  
 75. 85  
 — für die Feldmagnete 75. 86  
 — für das Joch 75. 86  
 — für den Luftspalt 75. 76. 107  
 — für den magnetischen Kreis 73  
 — für die Zähne 75. 80. 81. 85. 108.  
 Amperewindungszahl der Dampfer-  
 wicklung einer Einphasenmaschine  
 51.  
 Amplitude der Grundwelle der MMK-  
 Kurve einer Einphasen-Mehrloch-  
 wicklung 21  
 — — — der MMK-Kurve einer Mehr-  
 phasen-Mehrlochwicklung 22.  
 Analogie zwischen der Gleichung der  
 mechanischen Pendelbewegung und  
 der des elektrischen Stromkreises  
 341. 351.  
 Analytische Theorie der Ankerrück-  
 wirkung der Einphasenmaschine 35.  
 Anker des Umformers, Dimensionierung  
 811.  
 — — — Konstruktion 863.  
 Ankerbolzen, Verluste durch nicht iso-  
 lierte 499.  
 Ankerdraht, Querschnitt, Tabelle 538.  
 812  
 Ankerrückwirkung, freie Schwingungen  
 im Parallelbetrieb infolge der 441.  
 Ankerinduktion  $B_a$  542. 814.  
 Ankernern, Querschnitt 85.  
 Ankercupfer, Erwärmung 514.  
 Ankernuten, Berechnung der 540. 818.  
 Ankerreaktanz, Berechnung der 9. 18.  
 544.  
 Ankerrückwirkung, Allgemeines 4.  
 — der Einphasenmaschine 35.  
 — der Mehrphasenmaschine mit aus-  
 geprägten Polen 5.  
 — der Mehrphasenmaschine mit Voll-  
 polen 101  
 — eines Umformers 718.  
 Ankerstreufluß 8  
 Ankerströme eines Umformers 705.



- Ankerstrom bei Kurzschluß 463  
 Ankerstrom pro Zweig im Umformeranker 811  
 Ankerstromzweig 705  
 Ankerstrom, Stromwärmeverlust durch 501. 702  
 Anker, Temperaturerhöhung 623. 821  
 Ankerwicklung, Wahl der 536. 812  
 — Widerstand der 539. 813.  
 Ankerzweigzahl 537. 705  
 Anlassen von Synchronmotoren 270.  
 a) durch äußere Kraft 271.  
 b) als Asynchronmotor 272.  
 c) als Kommutatormotor 272  
 — von Umformern 755.  
 — — — von der Wechselstromseite aus 755.  
 — — — von der Gleichstromseite aus 758.  
 — — — mittels eines Hilfsmotors (Anwurfmotors) 160  
 Anlaufzeit  $T$  eines Synchronmotors 354. 371. 372  
 — eines Umformers 762. 817.  
 Anwurfmotor 760.  
 Arbeitsdiagramm des Synchronmotors 181.  
 Arbeitsgleichungen des Synchronmotors mit konstanter Reaktanz 177.  
 Arbeitskurven eines Synchronmotors mit konstanter Reaktanz 186.  
 — — — mit variabler Reaktanz 219.  
 — — — experimentell aufgenommen 636.  
 Arbeitsweise einer Synchronmaschine mit variabler Reaktanz 214.  
 Armatur s. Anker.  
 Arnold, E., Kompoundierung von 172.  
 Asynchrone Leistung der Dämpferwicklung 359.  
 Asynchronmaschinen, Einfluß auf die Pendelerscheinungen 385.  
 Ateliers de Constr. Electriques de Charleroi 677. 858. 869.  
 Ausgleichstrom zweier parallel arbeitender Synchronmaschinen 245.  
 — zweier pendelnder Maschinen 433.  
 Ausgleichstransformator nach E. Kolben 452.  
 Auslaufmethode 611.  
 Außenpolmaschine 527.  
 Automatische Parallelschaltung 261.  
 — Spannungsregulierung 128.  
 — Synchronisierung 265.  
 Ayton 625.  
 Barnes 432. 441.  
 Baum 162.  
 Bedell 243.  
 Bedingungen für gutes Parallelarbeiten 369.  
 Behrend 625.  
 Beispiel eines Parallelbetriebes 103.  
 Belastungsänderung parallelgeschalteter Maschinen 279.  
 Belastungscharakteristik, graphische Berechnung 120.  
 — experimentelle Aufnahme 602.  
 — für rein induktive Belastung zur Bestimmung von  $x_1$  605  
 — eines Umformers 740.  
 Belastungsverteilung parallelgeschalteter Maschinen 275.  
 Berechnung der Dämpferwicklung einer Emphasenmaschine 50.  
 — einer Emphasenmaschine 574  
 — eines Dreiphasengenerators, Langsamläufer 554.  
 — eines Dreiphasenturbogenerators 571.  
 — einer Synchronmaschine, Zusammenstellung 587.  
 — Voraus-, einer Synchronmaschine 527.  
 — — eines Umformers 803.  
 Berechnungsformular 588. 843.  
 Besag 265.  
 Blanc, F. 83.  
 Blathy 138.  
 Bloch 235.  
 Blondel 20. 56. 150. 195. 206. 272. 605.  
 Boucherot, P. 67. 70. 150. 152. 160. 432. 440. 441.  
 Boucherot, Kompoundierung von 160.  
 Bragstad, O. S. 211. 685.  
 Braun 637.  
 British Westinghouse Co. 657. 675. 676. 851. 858.  
 Brown, Boveri & Co. 138. 140. 524. 528. 530. 655. 662. 665. 670. 671. 674. 848. 858.  
 — — — Schnellregulator von 140.  
 Bürsten, Berechnung der — für Umformer 815.  
 Bürstenträger, Konstruktion 868.  
 Burnham, J. L. 783.  
 Capito und Klein 485.  
 Charakteristische Kurven, Berechnung 112.  
 — — experimentelle Aufnahme 600. 792.  
 — — eines Umformers 737.  
 — — eines Umformers, experimentelle Aufnahme 792.  
 Cooper 659.  
 Cooper-Hewitt 162. 685.

Cornu 641.  
Corsepius 154.  
Crompton, Kompoundierung von 174.  
Czerja K. 525.

Dampferleistung 325 358

Dampferwicklung pro Pol, Drehmoment der 320. 323 324.

— — — abhängig von der Anordnung der Dampferstabe und den Maschinenkonstanten 325.

— Drehmoment der Käfigwicklung als 334

— — — abhängig von der Anordnung der Dampferstabe und den Maschinenkonstanten 335.

— einer Einphasenmaschine, Berechnung der 51

— eines Umformers 752 765.

— Einfluß auf die Pendelerscheinungen 359

— Einfluß auf die freien Schwingungen infolge der Geschwindigkeitsregulatoren 418

Dämpfung der Spannungsregulatoren 137.

— des inversen Drehfeldes einer Einphasenmaschine 46

— parallel arbeitender Synchronmaschinen 290

Dämpfungskonstanten 332 333 337.

Dampfturbinen, Umdrehungszahlen 530. 531.

Dampfturbinenregulierung, Schwingungen durch die 373.

Danielson 162. 168

David 638.

Debye 423.

Deri 789.

Dottmar 503.

D. E. W.-Aachen, Garbe, Lahmeyer & Co 661. 852.

Dezimegadyennimeter 311 339.

Diagramm, vollständiges einer Synchronmaschine 205.

Dicke der Erregerspulen 548.

Dick-Regulator 138.

Differentialvoltmeter 262

Direkt wirkender Regulator 136.

Dolivo-Dobrowolsky 162. 694.

Doppelstromgenerator 766. 774.

Doppelstrommotor 766.

Doppelte Dreieckschaltung 699.

Drähte pro Nut  $s_n$  537.

Drehende Ummagnetisierung 479.

Drehfeldumformer 786.

— von E. Arnold und J. L. la Cour 158.

— von Hutin und Leblanc 789.

— von Rougé-Faget 790.

Drehfeldumformer zur Kompoundierung 159.

Drehmoment eines Synchronmotors, abhängig von der Lage der Feld- und Ankerpole 176

— einer Dampferwicklung pro Pol 329.

— einer Käfigwicklung als Dampferwicklung 335

— eines mit Glühlampen belasteten Generators 340.

— maximales einer Synchronmaschine bei variabler Reaktanz 223. 224

— — — bei konstanter Reaktanz 188.

— in synchronen Watt  $W_s$  178

— der Synchronmaschine bei konstanter Reaktanz 180. 307.

— — — bei variabler Reaktanz 218 305

Drehmomentkurve eines Synchronmotors bei konstanter Reaktanz 187. 308

— — — bei variabler Reaktanz 306

— einer Kraftmaschine, Zerlegung der 293.

Drehmomentlinie eines Synchronmotors 182

Drehtransformator 734.

Drehzahlbegrenzer 762. 869.

Dreiphasenanker 23.

Dreyfus, L. 445. 446

Drosselspule, induktionsfreie 448

— zur Dämpfung der Oberströme 241.

— zur Vermeidung von Pendelungen 447.

— vorgeschaltete Reaktanz beim Umformer 729 756.

Dunkelschaltung, zum Synchronisieren 249

Durchmesser des Ankers 533. 534. 810.

Durchmesserschaltung 699.

Dyk, J. W. van 643.

Dynamometer zur Messung der Winkelabweichung 643

E.-A.-G. vorm. Kolben & Co. 452 453. 454. 455 651. 652. 667. 848 849. 858.

Effektive Reaktanz 232

Effektiver Widerstand der Ankerwicklung 52. 54 539 607.

— — — experimentelle Bestimmung 605.

— — — abhängig von der Periodenzahl 232.

Effektivwert der EMK 2.

Eigenschwingungszahl einer zu einem unendlich starken Netz parallel geschalteten Maschine 352.

— Änderung der — 663.

Eigenschwingungszahlen, praktische Werte 362  
 Einankerumformer 683f  
 Einphasen-Einankerumformer 723 768  
 — -Einlochwicklung 20.  
 — -Mehrlochwicklung 21.  
 Einphasenmaschine, Parallelschalten 246.  
 Einphasenmotor, Anlassen 272  
 Einphasenumformer 723. 768.  
 Einregulierung der Periodenzahl, vor dem Parallelschalten 246  
 Einstellung einer Compoundierung 153  
 Eisenhöhe des Ankers, Berechnung der 542. 814  
 Eisenlänge, Berechnung der 536 810.  
 Eisen- und Reibungsverluste des Synchronmotors 183  
 Eisenverluste, gesamte 499.  
 — Trennung der 620.  
 Electric Construction Co 655  
 Elektrische Beanspruchung einer Synchronmaschine 532. 533.  
 — Dämpfung, Einfluß auf die Regulatorschwingungen 418  
 — Winkelabweichung 301  
 Elektrisches Güteverhältnis eines Synchronmotors 184.  
 Elektr.-Ges Alloth, Münchenstem-Basel 653 664 665. 678 679.  
 Elektromagnetische Leistung (Drehmoment) 178.  
 Elektromechanische Regulatoren 130.  
 a) indirekt wirkende 131.  
 b) direkt wirkende 136  
 c) Schnellregler 139.  
 Elektrotechnische Industrie, Slikkerveer, Holland 850. 852 858.  
 Emde, F. 361. 375  
 EMKe in der Erregerwicklung einer Einphasenmaschine 42.  
 EMK-Faktor 545 702  
 — doppelter Periodenzahl im Polrad einer Einphasenmaschine 36.  
 Entmagnetisierende Amperewindungen 31.  
 Entmagnetisierender Kraftfluß 29  
 Erregermaschine, compoundierend 162  
 Erregerspule, Dimensionen der 548  
 Erregerstrom, maximaler 549.  
 — Verlust durch 502. 819.  
 Erregerstrom e. Mehrphasenmaschine bei Kurzschluß 466.  
 — einer Einphasenmaschine bei Kurzschluß 469.  
 Erregerverluste 550 819.  
 Erregerwicklung, Anordnung bei langsamlaufenden Maschinen 648.

Erregerwicklung, Anordnung bei schnelllaufenden Maschinen mit ausgeprägten Polen 652.  
 — — bei schnelllaufenden Maschinen mit Vollpolen 654  
 — bei ausgeprägten Polen, Berechnung der 549.  
 — bei Vollpolen, Berechnung der 551.  
 — Berechnung der — eines Umformers 818.  
 — Querschnitt 550 818.  
 — Spannung in der — bei Kurzschluß 473  
 — Widerstand der 549. 818  
 Erregung der Synchronmaschinen, Arten der 125.  
 — eines Synchronmotors, Einfluß auf die Arbeitsweise 189.  
 Erwärmung des Ankereisens 513. 821.  
 — des Ankerkupfers 514  
 — des Kollektors 821  
 — der Magnetspulen 517 821  
 — einer Maschine durch den Ausgleichstrom beim Pendeln 373.  
 Euler, L. 424  
 Experimentelle Bestimmung der Streureaktanz und des effektiven Widerstandes 605  
 — Untersuchung einer Synchronmaschine 600  
 — — eines Synchronmotors (Beispiel) 634  
 — — eines Generators (Beispiel) 627  
 — — eines Umformers 792.  
 Falsches Parallelschalten, auftreten der Strom 472.  
 Federregulatoren 278. 411. 417. 418 420.  
 Feldamperewindungen einer Maschine mit ausgeprägten Polen bei Leerlauf 72  
 — — mit ausgeprägten Polen bei Belastung 94.  
 a) Generator 95.  
 b) Motor 96.  
 — einer Vollpolmaschine bei Leerlauf 106. 110.  
 — — — bei Belastung 110.  
 — eines Umformers bei Leerlauf und Belastung 733.  
 Felderregung eines Umformers 723.  
 Feldkurve 76  
 Feldkurven eines Umformers, experimentelle Aufnahme der 800.  
 Feldmagnete, Anordnung bei langsamlaufenden Maschinen 644.  
 — — bei schnelllaufenden Maschinen mit ausgeprägten Polen 651.

- Feldmagnete, Anordnung bei schnelllaufenden Maschinen mit Vollpolen 654.
- Feldmann, O., Prof. 790
- Feldspulen, Temperaturerhöhung der 623
- Feldstreuung bei Leerlauf 87.
- bei Belastung 95
- Feldsystem des Umformers, Konstruktion 862
- Feldwicklungen eines Umformers 817.
- Ferguson, O. J. 715
- Fleischmann 373 374
- Foppl, A. 408. 424
- Form der EMK-Kurve 1
- der EMK-Kurve, Einfluß auf die Arbeitsweise eines Synchronmotors 232.
- der Feldkurve 1
- der Polschuhe 542.
- Formfaktor der Feldkurve 2. 701
- Foucaultströme 483
- Franke 640
- Freilaufender Umformer z. Kompoundierung 155.
- — mit Sicherung gegen Außertrittfallen 157.
- Freipendelungen s. Freischwingungen
- Freischwingungen parallel geschalteter Synchronmaschinen bei plötzlichen Stößen 378.
- — — Synchronmaschinen 407.
- infolge der Geschwindigkeitsregulatoren 413
- infolge Änderung der synchr. Kraft während des Pendelns 432.
- infolge der Ankerhysteresis 441.
- an einem unendlich starken Netz infolge der Änderung der synchr. Kraft 443.
- durch den Einfluß des Ohmschen Widerstandes 445.
- von Gasdynamos durch erzwungene Gasschwingungen 423.
- Fremderregung der Synchronmaschinen 125.
- Fullfaktor  $\alpha$ , 532.
- der Erregerspulen 548
- Funkenspannung  $e_s$  747. 748.
- Ganzsche E.-A.-G., Budapest 138. 154. 652. 677
- Garbe, Lahmeyer & Co. 852.
- Gasdynamos, freie Schwingungen infolge Gasschwingungen 423.
- Gegen-EMK eines Synchronmotors 177.
- Gegenkompoundierung eines Umformers 733.
- Gegenseitige Induktion des Streuflusses zweier Phasen 18
- General Electric Co. 154 162. 168 641. 866
- Generatoren, zwei parallel arbeitende, Pendeln 400
- und Umformer, Pendeln 397
- Geschlossene Nuten, Erhöhung der Steuereaktanz durch 19
- Geschwindigkeitsregulatoren, Freischwingungen infolge der 407 413
- Gesellschaft für elektr. Industrie, Karlsruhe 651.
- Gleichrichter 685.
- des Erregerstromes für eine Kompoundierung, durch Umformer 155
- zur Umformung des Erregerstromes bei Kompoundierungen 162.
- Gleichstrommaschine, konstanterregte, zur Messung der Winkelgeschwindigkeit 641
- Gleichstromzusatzmaschine 728
- Glühlichtbelastung, Einfluß auf die Pendelerscheinungen 385
- Goerges, J. 358 642
- Goldschmidt 514 623
- Goepel 640
- Gramme 118
- Graphische Berechnung, genaue, der äußeren Charakteristik 113
- — angenäherte, der äußeren Charakteristik 114
- Größe der Oberströme im synchr. Betrieb 232.
- Großmann 142.
- Grundgleichung eines Synchronmotors 179.
- Grundwelle der MMK-Kurve einer Einphasen-Mehrlochwicklung 21
- — — einer Mehrphasen-Mehrlochwicklung 22.
- Gneldner 297.
- Guteverhältnis einer Kraftübertragung 194
- eines Synchronmotors 184.
- Gunnich 479. 485.
- Hallo, H. S. 683. 686. 744. 748. 781.
- Hauptabmessungen, Berechnung der 533
- eines Umformers, Berechnung der 807.
- Hauptfeld 94.
- Hauptkraftfluß, Berechnung 544.
- Hauptschlußtransformator 150.
- Hauptschlußwicklung eines Umformers 819.
- Hauptschlußwindungen eines Umformers 732. 733

- Hellschaltung zur Synchronisierung 250  
 Henderson 61  
 Heyland 154 173  
 — Compoundierung von 173  
 Hobart 81 486 626  
 Höhe des Wicklungsraumes der Erregerspulen 548.  
 Hoock, Th 514.  
 Horn 641.  
 Humburg 519  
 Hutin 49 150. 290 789.  
 Hutin-Leblanc, Compoundierung von 160  
 Hysteresis des Ankers, Freischwingungen infolge 441  
 Hysteresiskonstante 500  
 Hysteresisverlust 478 499 506  
 — im Ankern 480  
 — in den Zähnen 482.  
 Hysteresisverluste, Kurve zur Berechnung der 479  
  
 Ideelle Ankerlänge 77 80. 534 543.  
 Ideeller Polbogen 76. 79 534. 543.  
 Ideelle Strombelastung eines Umformerankers 809  
 Ideelle Zahninduktion 82  
 Impedanz der Ankerwicklung 178  
 — eines Synchronmotors, Einfluß auf die Arbeitsweise 189.  
 Indirekt wirkende Regulatoren 131.  
 Induktion im Anker 85  
 — — — Wahl der 542 814.  
 — in den Feldmagneten 86.  
 — im Joch 86.  
 — der Stege geschlossener Nuten, Einfluß auf den Spannungsabfall 19.  
 — in den Zähnen 81. 82.  
 — — — Wahl der 541. 552. 814.  
 Induktionsfreie Drosselspule 448.  
 Induktionsregulator 734  
 Induzierte EMK im Anker bei Leerlauf 2.  
 — — vom Ankerfeld 5.  
 Inherente Regulierungsmethode 128.  
 Innere Ankerströme, Verluste durch 498.  
 — Impedanz eines Generators 118.  
 Innerer Spannungsabfall 739.  
 — Umformerstrom. — Aufnahme der Kurve desselben 802  
 Innenpolmaschinen 527.  
 Interferenzerscheinungen der aufgezungenen und der freien Schwingungen beim Parallelbetrieb 378. 422.  
 Inverses Drehfeld 22. 40. 43.  
 — — der Einphasenmaschine 35.  
 Inverses Langsfeld der Einphasenmaschine 40 45  
 — Quersfeld der Einphasenmaschine 40 45.  
 Isolation der Ankerdrähte, Tabelle der 814  
  
 Jablotschkoff 118  
 Jochinduktion 546  
  
 Kaffigwicklung als Dampferwicklung 49 333  
 Kapp, G 250.  
 Kaskadenumformer 692 753  
 Keilholtz 638  
 Kernhöhe, Wahl der 481.  
 Klemmenspannung, Änderung mit Belastung 60 63.  
 — — mit der Drehzahl 66  
 Kolben, E 154  
 — Drosselspule zur Parallelschaltung 447. 452. 455. 456.  
 Kommutation eines Umformers ohne Wendepole 744.  
 — — mit Wendepolen 748.  
 Kommutator eines Umformers 815  
 Kommutatorumfangsgeschwindigkeit 805.  
 Kommutator zum Gleichrichten des Erregerstromes 154  
 Kompoundierende Erregermaschine 162.  
 Kompoundierter Phasenregler 213.  
 Kompoundtransformator 150.  
 Kompoundierungen, Einteilung 149  
 — von Alexanderson 154  
 — von E Arnold und J. L. la Cour 157.  
 — von Boucherot 160.  
 — von Hutin-Leblanc 160.  
 — von Rice (Danielson) 164.  
 — von E Arnold 171.  
 — von M. Walker 172  
 — von A. Heyland 173.  
 — von C A Parsons 173.  
 — von Crompton 174.  
 — von Seidner 174.  
 — eines Umformers 730.  
 Kompoundierte Generatoren, Parallelschalten 260.  
 Konstruktion der Umformer 862.  
 Kontaktvoltmeter 131 262.  
 Kräfte an den Wicklungsköpfen einer Synchronmaschine bei Kurzschluß 474.  
 Kraftfluß, Haupt-, pro Pol, der in den Anker eintritt, Berechnung des 2. 72 544.  
 — durch die Nuten 490.

- Kraftfluß im Umformeranker 809  
 Kraftlinienweg, mittlerer 75  
 Kraftrohrenbild, Aufzeichnung 76  
 Kraftübertragung mit zwei Synchron-  
 maschinen 194  
 — mit komponentiertem Phasenregler,  
 Schaltungsschema 213.  
 Kritische Schwingungszahlen beim  
 Parallelbetrieb 393  
 Kritischer Ungleichförmigkeitsgrad  
 365.  
 Kühlfläche, spezifische, des Ankereisens  
 513. 821  
 — — der Magnetspulen 518 821.  
 Kühlung der Synchronmaschine 519  
 Künstliche Belastung einer Synchron-  
 maschine zur Bestimmung der Tem-  
 peraturerhöhung 623.  
 — Kühlung der Synchronmaschine  
 521  
 — — der Lager 505.  
 Kupfergewicht des Ankers 539.  
 — der Erregerwicklung 550  
 Kupfertemperatur, maximale 516.  
 — mittlere 517.  
 Kurbelstellungen, Einfluß auf das Par-  
 allelarbeiten 398.  
 Kurvenform der induzierten EMK 1  
 Kurzschlußankerstrom, plötzlicher 465  
 — stationärer 119.  
 Kurzschlußcharakteristik, Berechnung  
 der 119  
 — experimentelle Aufnahme 601.  
 — zur Bestimmung von  $r_a$  und  $x_{s1}$  605.  
 Kurzschlußdiagramm 119.  
 Kurzschlußeffekt, Messung durch Aus-  
 lauf 613. 615.  
 — — durch geeichten Motor 610.  
 Kurzschlußerregerstrom einer Mehr-  
 phasenmaschine 466  
 — einer Einphasenmaschine 469.  
 Kurzschlußerscheinungen einer Syn-  
 chronmaschine 457  
 Kurzschlußspannung ( $\Delta e_0$ ,  $\Delta e_v$ ) 747.  
 748.  
 Kurzschluß, mechanische Beanspru-  
 chung bei 474  
  
 La Cour, J. L. 685. 748.  
 Langmagnetisierende Amperewindun-  
 gen beim Umformer 725.  
 — — pro Pol, maximale 28.  
 — —  $\Delta W_e$  31  
 Langmagnetisierender Kraftfluß 6.  
 27. 29. 57.  
 Langmagnetisierendes Drehfeld 27.  
 Lagerreibung, Verluste durch 503.  
 Lagerströme einer Synchronmaschine  
 509.  
  
 Lamellierte Pole 489.  
 Lamme, B. G. 753  
 Lange Regulatorschwingung 421.  
 Lasche 504. 789  
 Latour, M. 47.  
 Leblanc 49. 150 290  
 Leerlaufcharakteristik des Umformers  
 737. 792  
 — der Maschine mit körperlichen  
 Polen, Berechnung 76. 87.  
 — — — mit Vollpolen 106 110.  
 — experimentelle Aufnahme 600 792.  
 — zur Bestimmung von  $r_a$  und  $x_{s1}$   
 665  
 Leerlauffeffekt, Messung durch Aus-  
 lauf 613. 614  
 — — mit geeichtem Motor 610  
 Leerlaufmethode zur Bestimmung des  
 Wirkungsgrades 617.  
 Leerlauf- und Kurzschlußverluste, Mes-  
 sung der 609.  
 a) mit geeichtem Motor 610  
 b) nach der Auslaufmethode 611  
 — und Kurzschlußeffekt, Messung des,  
 zur Bestimmung des Wirkungs-  
 grades 607.  
 — und Kurzschlußversuch zur Be-  
 stimmung der Temperaturerhöhung  
 626  
 Leerlaufverluste einer Synchronma-  
 schine 499  
 Leistung einer Synchronmaschine,  
 maximale, bei konstanter Reaktanz  
 186.  
 — der Oberströme im synchronen Be-  
 trieb 232  
 — einer Synchronmaschine bei plötz-  
 lichem Kurzschluß 469.  
 Leistungsdiagramm einer pendelnden  
 Maschine an einem unendlich star-  
 ken Netz 358.  
 — einer pendelnden Maschine, die  
 nicht parallel geschaltet ist 347.  
 Leistungsgleichung eines Umformers  
 809.  
 Leistungsvariationen beim Pendeln 346.  
 Leitfähigkeit, magnetische, äquivalente,  
 einer Nut pro Zentimeter Anker-  
 länge 11. 15.  
 — — der Zahnköpfe 13 15.  
 — — der Spulenköpfe 14. 17.  
 Lineare Ankerbelastung  $\Delta S$  18. 528.  
 533 809  
 — Ummagnetisierung 479.  
 Liska 643  
 Lawschitz, M. 318. 509  
 Lochwicklungen, Wicklungsfaktoren  
 der 3.  
 Luftführung in der Maschine 522

Luftinduktion, Wahl der 582  
 Luftmenge, zur künstlichen Kühlung 525  
 Luftreibung, Verluste durch 506  
 Luftschlitz, Zahl der 536  
 Luftspalt, Bestimmung 542. 817.  
 — magnetische Leitfähigkeit 78 107.

Magnetamperewindungen 72 94  
 Magnetinduktion 546  
 Magnetische Beanspruchung eines Ankers 531.

Magnetischer Kreis 72

Magnetische Leitfähigkeit

a) zwischen den Nutenwänden 11 15.

b) zwischen den Zahnköpfen 13 15

c) um die Spulenköpfe 14. 17

— — eines Nutenankers 77.

Magnetisierung, lineare und drehende 479.

Magnetisierungskurven 74.

— einer Maschine 76. 87. 108.

Magnetrad s Feldsystem.

Magnetspulen, Erwärmung der 517

Magnetstreufuß 75

Magnetsystem einer Maschine mit ausgeprägten Polen 545.

Maschinenfabrik Orlikon 135. 480. 528. 645. 646 649. 666. 668. 678.

Maschinenkonstante 535. 810

Maximaler Ankerstrom bei plötzlichem Kurzschluß 463 472

Maximales Drehmoment eines Synchronmotors 191

Maximale Kupfertemperatur 516.

— Leistung eines Synchronmotors 185

— — eines Synchrongenerators 186

— — eines Umformers 778

— MMK des Grundfeldes einer Einphasenwicklung 21

— — — einer Mehrphasenwicklung 22

— — des synchronen Drehfeldes einer Einphasenmaschine 35

Maximaler Strom eines Synchronmotors 202.

Maximale synchronisierende Kraft eines Synchronmotors 188.

— Temperatur der Magnetspulen 519.

Maximaler Wirkungsgrad einer Synchronmaschine 508.

Mechanische Beanspruchung der Wicklung bei plötzlichem Kurzschluß 475.

— Verluste 503. 507.

Mechanisch gekuppelter Umformer zur Compoundierung 156.

Minimaler Strom eines Synchronmotors 202

Mittelwert der Reaktanz 215

Mittlerer Kraftlinienweg 75

Mittlere Langsreaktanz 219.

Mix 639

MMK einer verteilten Erregerwicklung 103

— einer Einphasen-Mehrlöcherwicklung, Amplitude 21.

— einer Mehrphasenwicklung, Amplitude 22.

— des Ankerstromes 20.

— des magnetischen Kreises 73.

Motorgenerator 686

Nachrechnung eines Dreiphasenturbogenerators 574.

Natalis 188. 148

Nebenschlußtransformator zur Compoundierung 150

Nebenschlußwicklung eines Umformers 818

Netzkonstante 339

Netzsch 148.

Netzvektor 289.

Newbury, F D 753

Nicholson 61.

Nicht parallelgeschalteter Generator, Pendelung 338

Nutenanker, Winkelstromverluste im 490

Nutendimensionen 540. 552.

Nutenfeldkurve 493.

Nutenkraftfluß 9 11 15

Nutenlangsfeld 451

Nuten pro Pol und Phase 537.

Nutenquerfeld 491.

Nutenteilung am Ankerumfang 540. 818

Nutenwände, magnetische Leitfähigkeit 11. 15.

Nutenweite 541.

Nutenzahl 540. 813.

Oberfelder bei Einphasenmaschinen 21.

— bei Mehrphasenmaschinen 23. 25.

— der Erregung einer Maschine mit Vollpolen 103

Oberflächenwirkung der Ankerleiter 53.

Oberschwingungen durch die Anker-rückwirkung 2 36—40. 43. 44.

Oberströme, Einfluß auf den stabilen Gang 234.

— Einfluß auf das Ankerfeld 25

— im synchronen Betrieb 232.

— im Umformeranker 716

— Leistung der 232.

— Vermeidung der 241.

Oberwellen der Spannung im Anker und im Feldsystem der Einphasenmaschine 36  
 Olschlagel 116  
 Olschlagersche Ellipsen 117.  
 Ohmscher Widerstand der Ankerwicklung 539  
 — — Freischwingungen infolge des 445.  
 — — der Erregerwicklung 549  
 Oszillator 846. 869  
 Ott 514  
 Ottenstein, S 490 491.

**Parallelarbeiten an einem unendlich starken Netz, Bedingungen für ein gutes 369.**  
 — eines Netzes, Bedingungen für ein gutes 395  
 — der Synchronmaschinen 274  
 — von Umformern 760  
**Parallelbetrieb, ein praktischer 403**  
**Parallelschalten von Einphasenmaschinen 246**  
 — von Mehrphasenmaschinen 251.  
 — von Maschinen mit automatischer Spannungsregulierung 258  
 — von komputierten Maschinen 260.  
 — automatisches 261.  
 — Schwierigkeit des — bei schweren Schwungradern 442  
 — falsches, auftretender Strom 472.  
 Parshall 81. 486.  
 Parsons, C A. 178 654  
 — Kompoundierung von 173  
 Penchahuteur 789  
**Pendelerscheinungen, Allgemeines 287**  
**Pendeln eines nicht parallelschalteten Generators 338**  
 — einer Synchronmaschine an einem unendlich starken Netz 350.  
 — eines ganzen Netzes beliebig vieler Maschinen 384  
 — mehrerer gleicher Maschinen 397.  
 — von Generatoren und Umformern 396. 762.  
 — zweier beliebiger Generatoren 379. 400  
 — zweier gleicher Generatoren 402.  
**Pendeldiagramm einer Synchronmaschine an einem unendlich starken Netz 356**  
**Pendelgeschwindigkeit 342. 351.**  
 — Diagramm 344. 347. 356.  
**Pendelkonstanten, Beispiele für 312. 313. 315. 332 333. 337. 338. 371. 372.**  
**Pendelreaktanz 343.**  
**Pendelwiderstand 348.**

**Periodenumformer 694**  
**Periodenzahl 18**  
 — einer Synchronmaschine 529  
 — Einregulierung der — beim Parallelschalten 256.  
 — der freien Schwingungen beim Pendeln 352. 393.  
 — — — beim Pendeln, Beispiele 375  
 — der Regulatorschwingungen 420.  
 Permutator von Rougé-Faget 790  
**Phasenlampen 247**  
 — Schaltungen der 250. 255 256  
**Phasenregler, Synchronmotor als 194 206.**  
 — selbsttätige 210  
**Phasenverschiebungswinkel, innerer 28 57. 178**  
**Phasenzahlumformer 767.**  
 Pichelmayer 47 48 498.  
 Polbogen, ideeller 79. 534.  
 Pole, lamellierte 489. 644  
 — ungleichmäßige, Wirkung der 498  
 Polpaarzahl 531.  
 Polradkonstruktionen 644. 652 654.  
 Polschuhe, lamellierte 489. 644  
 Polschuhfaktor 28  
 Polschuhform 543.  
 Polteilung am Kommutator eines Umformers 805.  
**Potentialdiagramm parallel arbeitender Maschinen 282**  
**Potentialkurve des Kollektors 702 703.**  
 — Aufnahme der 800  
 Potentialregler 734.  
 Potiersches Dreieck 606.  
 Prozentualer Spannungsabfall 4 60. 63.  
 Prozentuale Spannungserhöhung 4 60. 62  
 Pulsationen der Gleichspannung eines Umformers 718.  
 Punga 626

**Quecksilber-Gleichrichter 162.**  
**Querfuß des Ankers pro Pol 33. 57.**  
**Quermagnetisierende Amperewindungen pro Pol, maximale 28.**  
 — —  $AW_q$  32  
**Quermagnetisierender Kraftfluß 6. 27. 30**  
**Querschnitt der Ankerdrähte 80.**  
 — — — Berechnung 538  
 — der Erregerwicklung, Berechnung bei Maschinen mit ausgeprägten Polen 550.  
 — — — bei Vollpolmaschinen 551.

**Radinger, J 637**  
**Raumliche Winkelabweichung 301 344.**



- Ransome 637.  
 Râteau 639  
 Reaktionsmaschine 228  
 Reaktanz des Wattstromes 215.  
 — des wattlosen Stromes 216.  
 — effektive, abhängig von der Periodenzahl 233  
 — experimentelle Bestimmung 605  
 — synchrone 216  
 — zur Dämpfung der Oberströme 237.  
 — zur Vermeidung der Pendelerscheinungen 447  
 — -erhöhung, durch die Stege geschlossener Nuten 19.  
 — -spannung des Streuflusses 19. 544 607.  
 — des Langkraftflusses 33.  
 — des Querkraftflusses 33.  
 Regulatorschwingungen 408  
 Reguliertransformator 729.  
 Regulierung der Erregung 127.  
 — der Periodenzahl beim Parallelschalten 257  
 Regulierungskurve, Berechnung der 121.  
 — experimentelle Aufnahme 604.  
 Reibungsgesetze 503.  
 Reibungsverluste 499.  
 — des Synchronmotors 183.  
 Resonanz, allgemeine, beim Pendeln 392.  
 Resonanzerscheinungen beim Pendeln 352. 354. 389. 390. 391 392  
 Resonanzmodul 358. 388. 765.  
 Resonanzkurve einer pendelnden Maschine 362.  
 Resonanz beim Pendeln, Vermeidung der 363.  
 Resultierender Strom in den Spulen eines Einankerumformers 710. 711.  
 Rezelmann 17. 47.  
 Rice, Compoundierung von 162.  
 — — Beispiel 168.  
 Riemenschwingungen beim Parallelbetrieb 373  
 Rollpendelmethode, zur Bestimmung des Tragheitsmoments 372.  
 Rose 479 485.  
 Rosenberg, E. 303. 361. 363. 364. 374. 375. 377.  
 Roth, E. 160.  
 Rotornuten einer Maschine mit Vollpolen, Berechnung der 551.  
 Rougé, R. 790.  
 Rückwirkung des Ankerfeldes auf das Polrad 8.  
 Rudenberg, R. 488.  
 Sachsenwerk, Licht und Kraft, A.-G. 852 853 867  
 Sarfert, W. 366. 372 385. 392  
 Sartori 640  
 Sauggasmotor, Freischwingungen im Parallelbetrieb 427 430.  
 Schafer 162  
 Schaffer und Budenberg 639.  
 Schaltung zur Aufnahme der charakteristischen Kurven einer Synchronmaschine 601  
 Scheinbare Leistung einer Maschine 528.  
 Scheinbarer Strom pro Ankerzweig eines Umformers 809.  
 Scheinbare Strombelastung eines Umformerankers 809  
 Schienenspannung einer Zentrale 283.  
 Schirmwirkung bei Nutenankern 491.  
 Schleifringe 867.  
 Schnellregulatoren 139.  
 Schouten 31  
 Schuckert & Co 136 235.  
 Schumann, W. O. 320 423.  
 Schwaiger, A. 130. 134 136. 137. 138. 142  
 Schwaigerregulator 148.  
 Schwabungen beim Parallelbetrieb 379. 423.  
 Seidner, M. 142  
 — Compoundierung von 174.  
 Selbsterregung 126. 149 150—153  
 Selbsterregte Synchronmotoren 127  
 Selbstinduktionskoeffizient der Ankerwicklung, Wirkung der Veränderlichkeit 37.  
 Selbstinduktions-EMK des Ankers 5  
 Selbsttätige Regulierung 129.  
 Selbsttätiger Phasenregler 210  
 Siemens-Schuckert-Regulator 148.  
 Siemens-Schuckertwerke, G. m. b. H., Berlin 136. 138 168. 252. 254. 523. 525. 530 648. 653. 675. 685. 697 736.  
 Siemens & Halske 135. 136.  
 Skinneffekt des Ankers 53.  
 Slikkerveer 850. 852.  
 Smith, S. P. 526.  
 Société Alsacienne de Constr. Méc., Belfort 521. 650. 655. 657. 658. 673 854. 858. 867.  
 Société de l'Industrie Electrique, Gené 249.  
 Sommerfeld 423.  
 Spaltpolumformer 692 780.  
 Spannungsabfall 4. 60  
 — im Umformeranker 722  
 — graphische Bestimmung 62.  
 — rechnerische Bestimmung 64.

- Spannungsabfall, experimentelle Bestimmung 603 604  
 — der Maschine mit Vollpolen 106.  
 Spannungsänderung 604  
 — bei veränderlicher Phasenverschiebung 65.  
 — mit der Drehzahl 66  
 Spannungsdiagramm einer Synchronmaschine 55—60 179. 215. 216  
 — des Compoundtransformators 151.  
 Spannungserhöhung 4. 60  
 — graphische Bestimmung 60  
 — rechnerische Bestimmung 63  
 — experimentelle Bestimmung 604  
 — der Maschine mit Vollpolen 105  
 — normale Werte 553  
 Spannungsgleichung der Synchronmaschine bei konstanter Reaktanz 179.  
 — bei variabler Reaktanz 216.  
 Spannungsregler, Umformer als 777.  
 Spannungsregulierung eines Umformers 728.  
 Spannungsschwankungen im Umformer 718  
 Spannungsverhältnisse eines Einankerumformers 698.  
 Sparshaltung zur Bestimmung der Temperaturerhöhung 623.  
 Spezifische Stromdichte des Ankers 18.  
 — Kühlfläche des Ankers 513.  
 — — der Magnetspulen 518  
 Spulenkopfstreufluß 9. 14. 17.  
 Stabilität des Wendefeldes 751.  
 Stabilitätsgrenze einer Synchronmaschine 185. 201.  
 — der  $V$ -Kurven 201  
 Stationäre freie Schwingungen s. Freischwingungen.  
 Steinmetz, Ch P. 162. 471. 478. 784.  
 Stummgabel, schreibende, zur Messung der Winkelabweichung 637.  
 Streufeld der Magnete 75. 94.  
 Streufluß des Ankers 6. 8.  
 Streukoeffizient 75. 87. 93. 546.  
 — angenäherte Berechnung 93.  
 Streukoeffizient bei Belastung 95.  
 — Erfahrungswerte 94.  
 Streureaktanz eines Umformers 724. 725.  
 — Berechnung der 8. 9. 18.  
 — experimentelle Bestimmung 605.  
 Streutransformatoren 732.  
 Striebeck 504.  
 Stroboskopische Methode zur Bestimmung der Winkelabweichung 640  
 Stromdiagramm der Synchronmaschine konstanter Reaktanz  
 a) bei konstanter Erregung und Spannung 181.  
 b) bei konstantem Drehmoment und konstanter Spannung 195.  
 Stromdichte im Ankerkupfer 538. 812  
 — der Erregerwicklung 550.  
 — — — bei Vollpolmaschinen 551  
 Stromstärke pro Burstenspindel eines Umformers 804 805  
 — pro Phase 528 536.  
 Stromverteilung parallel geschalteter Maschinen 281  
 Stromvolumen pro Nut 537.  
 Stromwarmeverlust der Synchronmaschinen konstanter Reaktanz 183  
 Stromwarmeverlust durch den Ankerstrom 501. 506.  
 — durch den Erregerstrom 502. 506  
 Stromwarmeverluste eines Doppelstromgenerators 775  
 — im Umformeranker 712.  
 Sumec 31. 99  
 Swinburne, Drosselspule von 447.  
 Synchronre Reaktanz 118. 216. 281  
 Synchrones Drehfeld 22.  
 — — der Einphasenmaschine 35.  
 Synchronisierende Kraft bei konstanter Reaktanz 187. 188.  
 — — bei konstanter Reaktanz, maximale 188.  
 — Kräfte parallel geschalteter Maschinen 284.  
 — Kraft einer Maschine variabler Reaktanz an einem unendlich starken Netz und konstanter Erregung 309. 310.  
 — — zweier parallel geschalteter Maschinen mit konstanter Erregung 315.  
 — — bei Maschinen mit elektromagnetischen Regulatoren 316.  
 — — bei komprimierten Generatoren 318.  
 — — zweier parallel arbeitender Maschinen mit induktionsfreier Drosselspule 451.  
 — — Änderung während des Pendelns 437. 444.  
 — Leistung zweier parallel arbeitender Maschinen 315.  
 — — zweier parallel arbeitender Maschinen mit induktionsfreien Drosselspulen 451.  
 Synchronisierendes Moment 311.  
 Synchronisierschaltungen 253. 254.  
 Synchronisierung, automatische 261.  
 Synchronleistung 359.  
 Synchronmaschine ohne Felderregung 228.

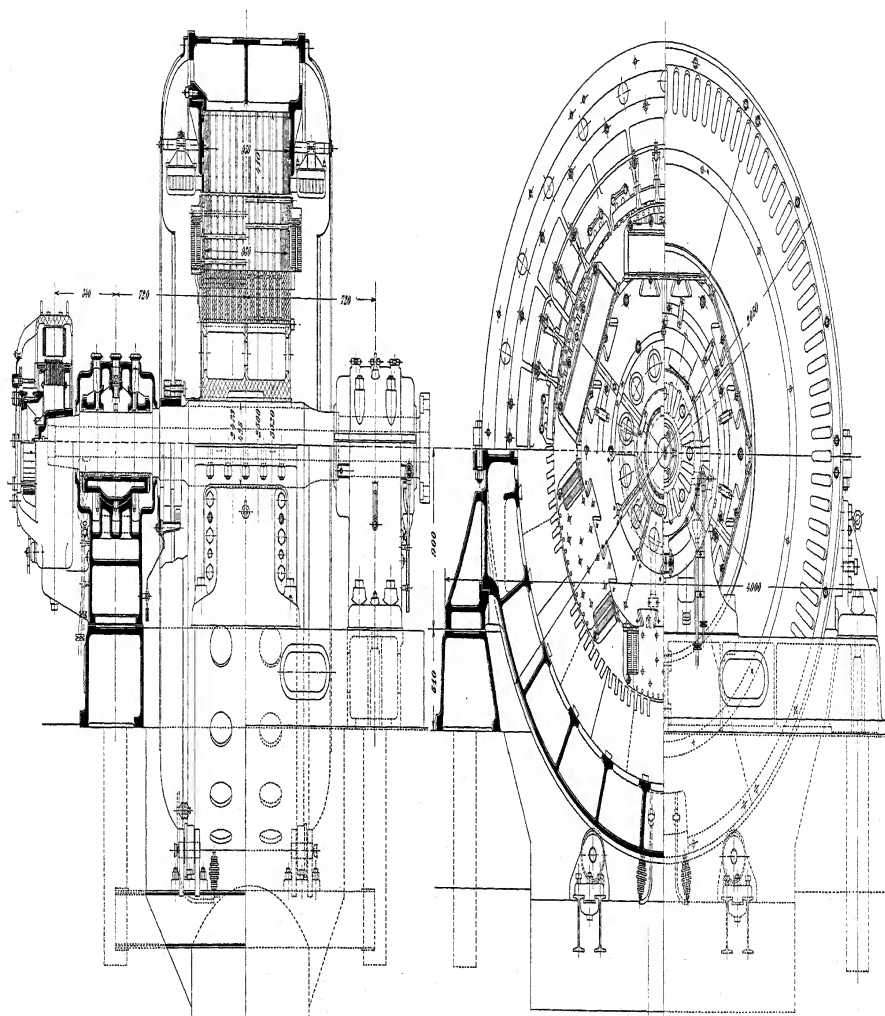
Synchronmelder 265  
 Synchronmotor, Wirkungsweise 175.  
 — Grundgleichung 179  
 — Arbeitsdiagramm 181  
 —  $V$ -Kurven 200. 227.  
 — als Phasenregler 206.  
 — Anlassen  
   a) durch äußere Kraft 271  
   b) als Asynchronmotor 271  
   c) als Kommutatormotor 272.  
 Synchronoskop (Weston) 267  
 Szilas 643.  
  
 Tabelle der Hauptabmessungen ausgeführter Maschinen 596. 598.  
 Tachogramme 553—555.  
 Tachograph 641  
 Temperatur des Lagerzapfens 504 505.  
 Temperaturerhöhung, Bestimmung aus Leerlauf- und Kurzschlußversuch 626  
 — der Magnetspulen 518. 519.  
 — des Statoreisens 513  
 — eines Umformers 819.  
 — Untersuchung der 622  
 Thomson, J. J. 483.  
 Thornton, W M 481.  
 Thury 136.  
 Tirrill 138.  
 Tirrillregulator 142.  
 Torsionsschwingungen im Parallelbetrieb 373.  
 Tourenänderung 276.  
 Tourenzahl einer Synchronmaschine 529 530.  
 Tower 503.  
 Tragheitsleistung 346. 358 380  
 Tragheitsmoment, Bestimmung 372  
 Trennfugen. Einfluß auf die Lagerströme 509.  
 Trennung der Eisenverluste 484 620  
  
 Übererregung (Umformer) 727. 730.  
 Überlastungsfähigkeit einer Synchronmaschine 188. 308 309  
 Übersetzungsverhältnis der EMK eines Umformers 702.  
 — der Spannungen eines Umformers 704.  
 — der Ströme eines Umformers  $u_1$ ,  $u_2$  705. 706.  
 Ubertrittscharakteristik 106.  
 Umdrehungszahl d. Synchronmaschine 540.  
 Umfangsgeschwindigkeit 19. 531.  
 Umformer 683f.

Umformer, ausführliche Berechnung eines 300 KW-Umformers 823.  
 — Beispiele ausgeführter Maschinen 846  
 — Berechnungsformular 843  
 — Pendelerscheinungen 396 762  
 — Verwendungsarten 767  
 — zum Gleichrichten des Erregerstromes 155.  
   a) Freilaufender 156  
   b) Mechanisch gekuppelter 156  
   c) Freilaufender mit Sicherung gegen Außertrittfallen 157.  
   d) Drehfeldumformer 157  
 Umgekehrter Umformer 768  
 Unempfindlichkeitsgrad des Regulators 276.  
 Ungleichförmigkeit des Tangentialdruckdiagramms der Kraftmaschine 292  
 Ungleichförmigkeitsgrad 276  
 — berechneter 354  
 — tatsächlicher 354  
 — Einfluß auf die Belastungsverteilung 275  
 — experimentelle Bestimmung 641.  
 — des Schwungrades 295.  
 — zulässiger für die verschiedenen Kraftmaschinen 363.  
 Untererregung (Umformer) 727 730  
  
 Variable Reaktanz 214.  
 — — Arbeitskurven einer Synchronmaschine mit 214  
 — —  $V$ -Kurven einer Synchronmaschine mit 225. 227  
 Ventilationsflügel zur Kühlung 521.  
 Veränderlichkeit der Selbstinduktionskoeffizienten einer Synchronmaschine 37.  
 Verluste der Erregerwicklung 550  
 — durch Hysteresis 479.  
 — durch Wirbelströme 483  
 — durch innere Ankerströme 498  
 — durch nichtisolierte Ankerbolzen 499.  
 — durch die Gleichstromerregung einer Synchronmaschine 184  
 — durch Stromwärme im Anker 501  
 — eines Umformers 819  
 Verlustlinie eines Synchronmotors 183.  
 Vermehrte Streuung bei Belastung 94. 98. 606  
 Verteilte Erregerwicklung, MMK einer 103.  
 — Wicklungen, Wicklungsfaktoren 3  
 Verteilung des Kraftflusses im Anker-eisen 480.

V-Kurven einer Synchronmaschine 198  
 203 204 227  
 — eines Umformers 741  
 — experimentelle Aufnahme der 792  
 Vogelsang 261  
 Voigt & Haeffner, A.-G. 138 261 265.  
 Vollpolmaschinen 100.  
 Vollständiges Diagramm eines Syn-  
 chronmotors bei konstanter Reak-  
 tanz 205.  
 Vorausberechnung der Synchronma-  
 schine 527  
 — von Umformern 803.  
 Vorschriften des V.D.E. über die Er-  
 warmung der Synchronmaschine  
 519  
 Wärmeabgabe einer Synchronmasch  
 512 513  
 Wagner, K. W. 443  
 Walker, M. 172. 658  
 — Kompoundierung von 172.  
 Wattloser Strom bei veränderlicher  
 Reaktanz 218.  
 — — eines Umformers 723 723  
 — — Änderung desselben von Leer-  
 lauf bis Belastung 731.  
 Wattstrom bei veränderlicher Reak-  
 tanz 217  
 —  $J_w$  eines Umformers 705.  
 Wechselfeld, Zerlegung in zwei Dreh-  
 felder 35  
 Wechselmagnetisierung, Verlust bei  
 479  
 Weidig, P. 642  
 Weißhaar 364  
 Wellenspannung im Erregerkreis einer  
 Einphasenmaschine 43.  
 Wellenstrom im Erregerkreis einer  
 Einphasenmaschine 44.  
 Wendepole 748 819.  
 Wengner 40  
 Westinghouse Electric and Mfg. Co.  
 652. 654 659. 755. 770. 771. 774  
 846. 847. 851 854. 858. 862—865.  
 872.  
 Weston, Synchronoskop 267.  
 Wicklungsfaktor  $f_w$  2 702.  
 — Tabelle 3  
 — bei Einphasenwicklungen 2  
 — bei Mehrphasenwicklungen 3  
 — bei gleichmäßig verteilten Wick-  
 lungen 3  
 — der MMK einer Lochwicklung 21.  
 Wicklungsraum der Erregerwicklung  
 (vorläufige Berechnung) 547.  
 Wicklungsschritt im Umformeranker  
 812

Widerstand der Ankerwicklung eines  
 Umformers ( $R_a$ ) 713  
 — effektiver der Ankerwicklung 52.  
 539.  
 — Ohmscher der Ankerwicklung 539  
 — der Erregerwicklung 549.  
 Windungszahl des Ankers pro Phase  
 536  
 — der Erregerwicklung bei ausge-  
 pragten Polen 550  
 — — bei Vollpolen 552.  
 Winkelabweichung des Schwungrades  
 297  
 — — — Berechnung der 300  
 — elektrische 301  
 — räumliche 301. 353  
 — Diagramm 344 347. 356  
 — experimentelle Bestimmung 637.  
 a) gegen vollkommenen Synchron-  
 ismus 637  
 b) zwischen zwei parallel geschal-  
 teten Maschinen 642.  
 Wirbelströme im Ankereisen und in  
 den massiven Eisenteilen 52  
 — bei Kurzschluß 472  
 — im Ankereisen 483  
 Wirbelstromkonstante 500  
 Wirbelstromverluste, Allgemeines 500.  
 506.  
 — in den Polen der Feldmagnete 487.  
 — im Ankereisen 486.  
 — in den Ankerzähnen 486.  
 — im Ankerkupfer 489  
 — zusätzliche 485  
 Wirkliche Zahninduktion 82.  
 Wirkungsgrad der Synchronmaschine  
 184. 506.  
 — einer Kraftübertragung 194  
 — eines Umformers 819  
 — maximaler 508  
 — experimentelle Bestimmung 607.  
 795.  
 a) aus Leerlauf- und Kurzschluß-  
 effekt 607.  
 b) nach der Zurückarbeitungsme-  
 thode 613  
 c) durch Messung des Leerlauf-  
 und Stromwärmeverlustes nach  
 der Leerlaufmethode 617.  
 Wirkungsgradkurven für Umformer  
 807.  
 Wirkungsgradlinie eines Synchron-  
 motors bei konstanter Spannung  
 und Reaktanz 184  
 Woodbridge, J. L. 755 781.

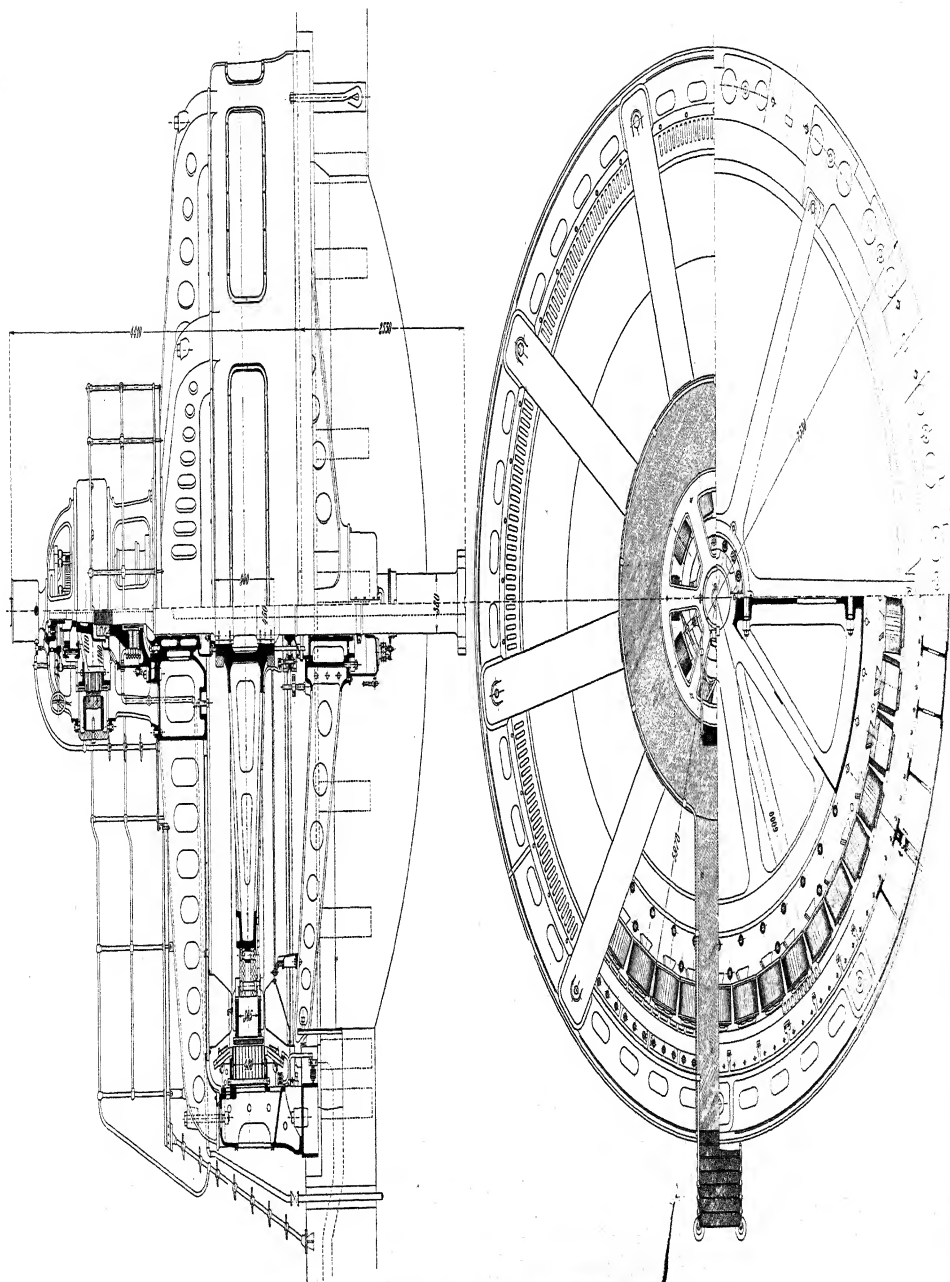
- Zahndicke** 541  
**Zahninduktion**, ideale 82.  
 — wirkliche 82.  
 — Berechnung der 81ff  
 — maximale, Wahl der 541  
 — bei Turborotoren, Wahl der 552  
 — im Umformeranker 814  
**Zahnkopfkraftfluß** 9. 13 15.  
**Zahnsättigung** 541 552. 814  
**Zahnteilung** am Umfang 540. 814.  
**Zerlegung** des Wechselfeldes in zwei  
 Drehfelder 22 35  
 — des inversen Drehfeldes der E.-M  
 in zwei Wechselfelder 40.
- Zerlegung** der Drehmomentkurve einer  
 Kraftmaschine in ihre Harmoni-  
 schen 293  
**Zipernowsky** 789.  
**Zurückarbeitungsmethode** zur Bestim-  
 mung des Wirkungsgrades 618  
 796.  
 — in einer Maschine 625  
**Zusammenarbeiten** von Synchronma-  
 schinen 244.  
**Zusätzliche Verluste** im Ankerkörper  
 485  
**Zusatzmaschine**, synchrone 736
-



Brown, Boveri & Co., Baden, Schweiz.

2500 kVA-Drehstromgenerator. 18000 Volt, 156 Ampere, 300 Umdr. i. d. Min., 15 Perioden.

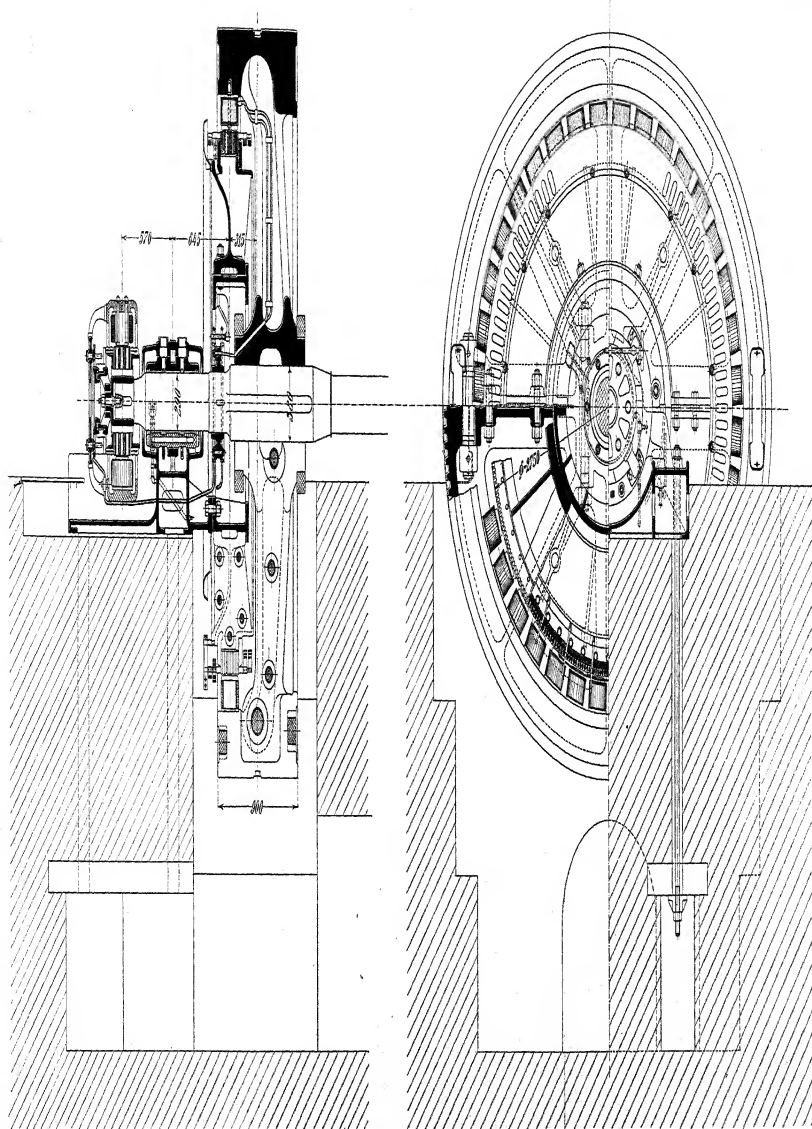
(Beschreibung siehe Seite 600 und Tabelle Seite 396 Nr. 1.)



Brown, Boveri & Co., Baden, Schweiz.

3700 KVA-Drehphasengenerator für eine Wasserkraftmaschine mit variabler Welle.  
 3400 Volt verketete Spannung, 965 Ampere, 133,5 Umdr. i. d. Min., 45 Perioden.

(Beschreibung siehe Seite 663 und Tabelle Seite 467 Nr. 3.)



Brown, Boveri & Co., Baden, Schweiz.

420 kVA-Dreiphasenmotor. 800 Volt verketzte Spannung, 1200 Ampere, 167 Umdr. i. d. Min., 50 Perioden.

(Beschreibung siehe Seite 666 und Tabelle Seite 596 Nr. 11.)



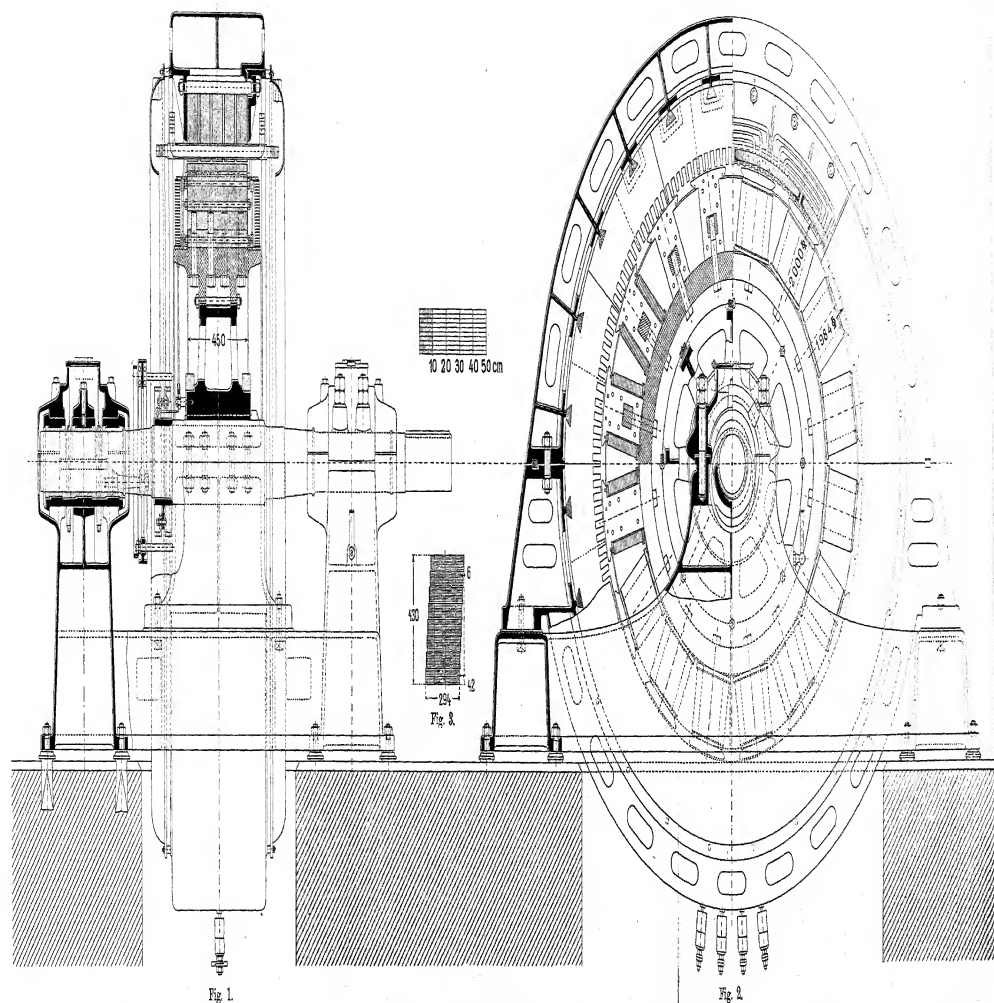


Fig. 1.

Fig. 2.

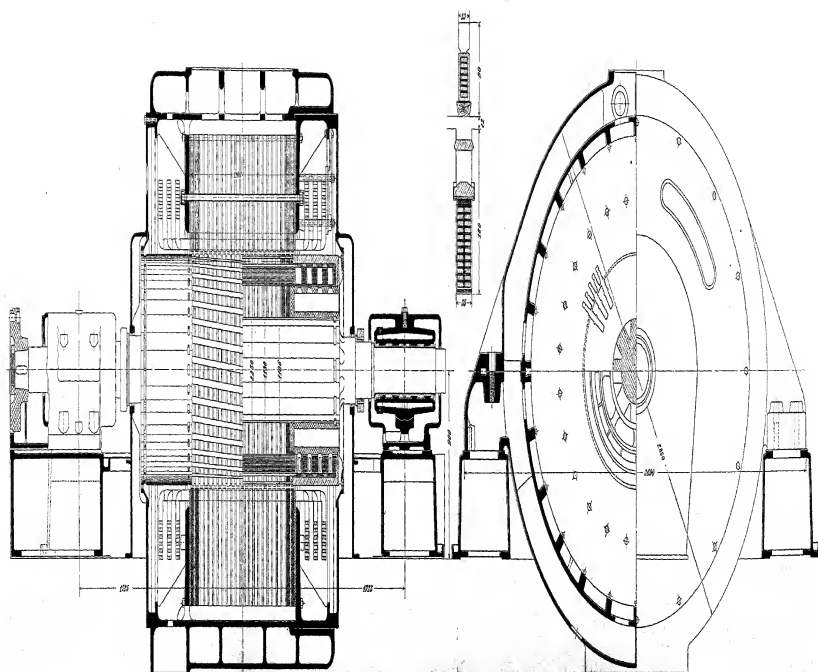
Maschinenfabrik Oerlikon.

330 kVA-Dreiphasengenerator. 13500 Volt verketzte Spannung, 305 Amp. pro Phase, 375 Umdrehungen i. d. Min., 50 Perioden.

Fig. 1 und 2. Gesamtanordnung. Fig. 3. Polschuhform.

(Beschreibung siehe Seite 666 und Tabelle Seite 566 Nr. 15.)

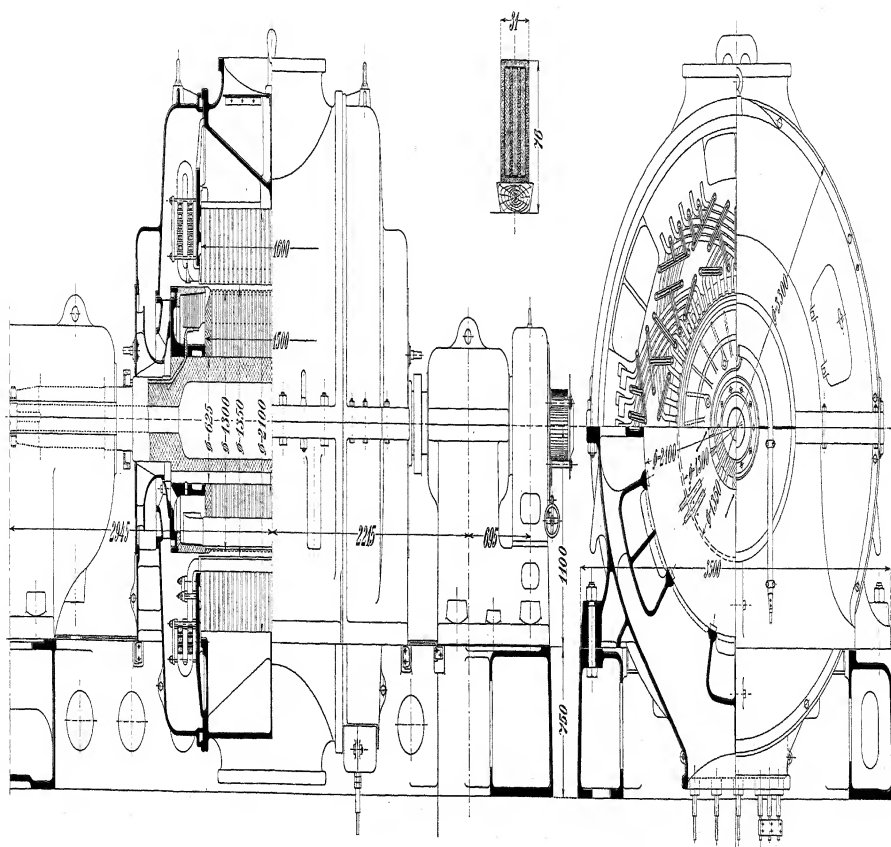




Société Alsacienne de Constructions Mécaniques, Belfort.

200 KVA Distribution Transformer, 0.69 KV primary, Secondary Voltage: 120 Volt, 3 Phase, 3 Wires.

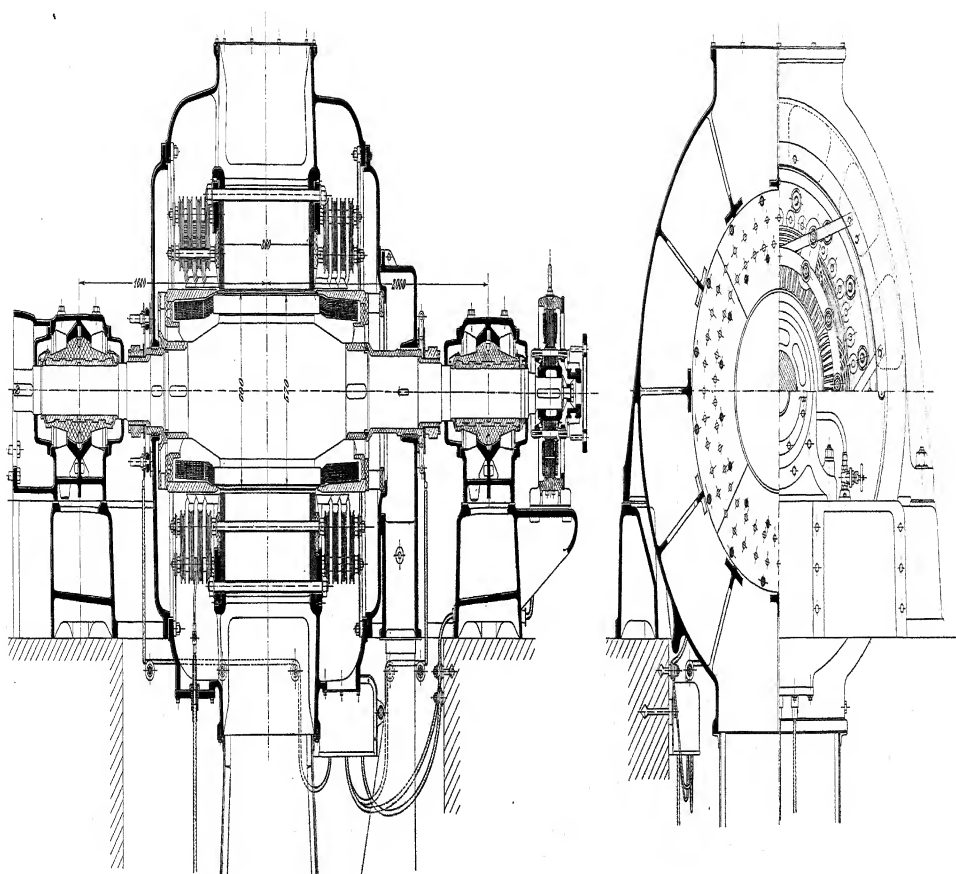
Produktion von 200 000 bis 300 000 Stück



Brown, Boveri & Co., Baden, Schweiz.

7000 KVA-Dreiphasen-Generator. 5750 Volt veränderte Spannung, 700 Amp., 1200 Umdr. i. d. Min., 40 Perioden.

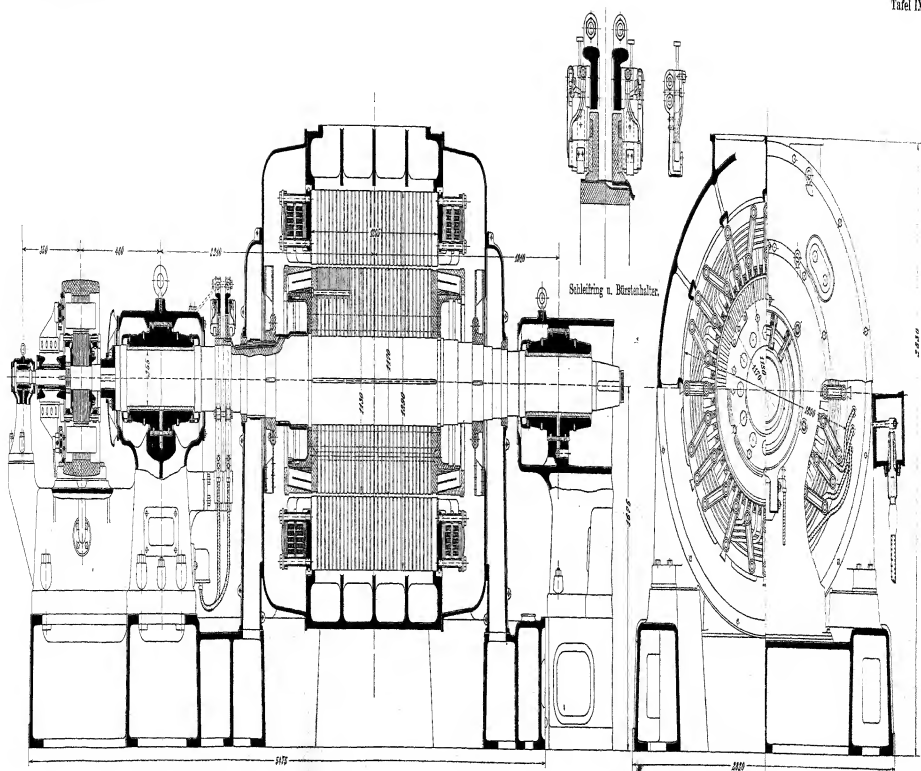
(Beschreibung siehe Seite 674 und Tabelle Seite 568 Nr. 6.)



Siemens-Schuckert-Werke, G. m. b. H., Berlin.

1000 kVA-Drehphasenturbogenerator. 5000 Volt verästelte Spannung, 116 Ampere, 3000 Umdr. i. d. Min., 50 Perioden.

(Beschreibung siehe Seite 675 und Tabelle Seite 568 Nr. 16.)



British Westinghouse Co.

400 KVA-Dreiphasen-Generator. 5000 Volt verkehrte Spannung, 400 Ampere, 1500 Umdr. i. d. Min., 50 Perioden.

(Beschreibung siehe Seite 675 und Tabelle Seite 596 Nr. 27.)

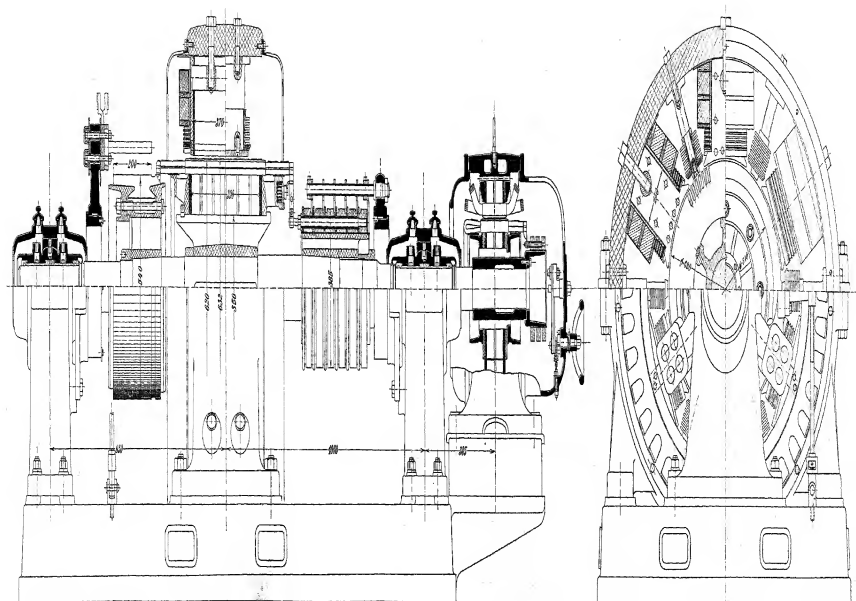








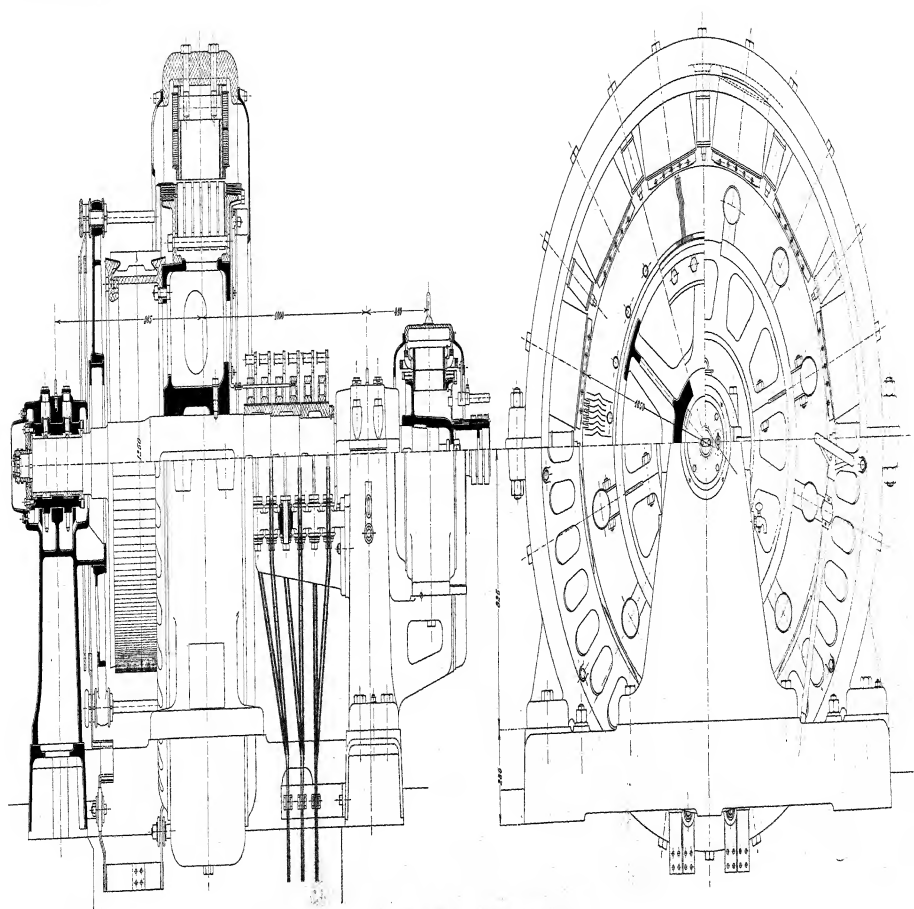




Elektrotechnische Industrie, Sittwerden, Holland.

90 KW-Generator: 50 Perioden, 220 Volt, 1000 Umdr. i. d. Min.

(Beschreibung siehe Seite 283 und Tabelle Seite 520 Nr. 18.)

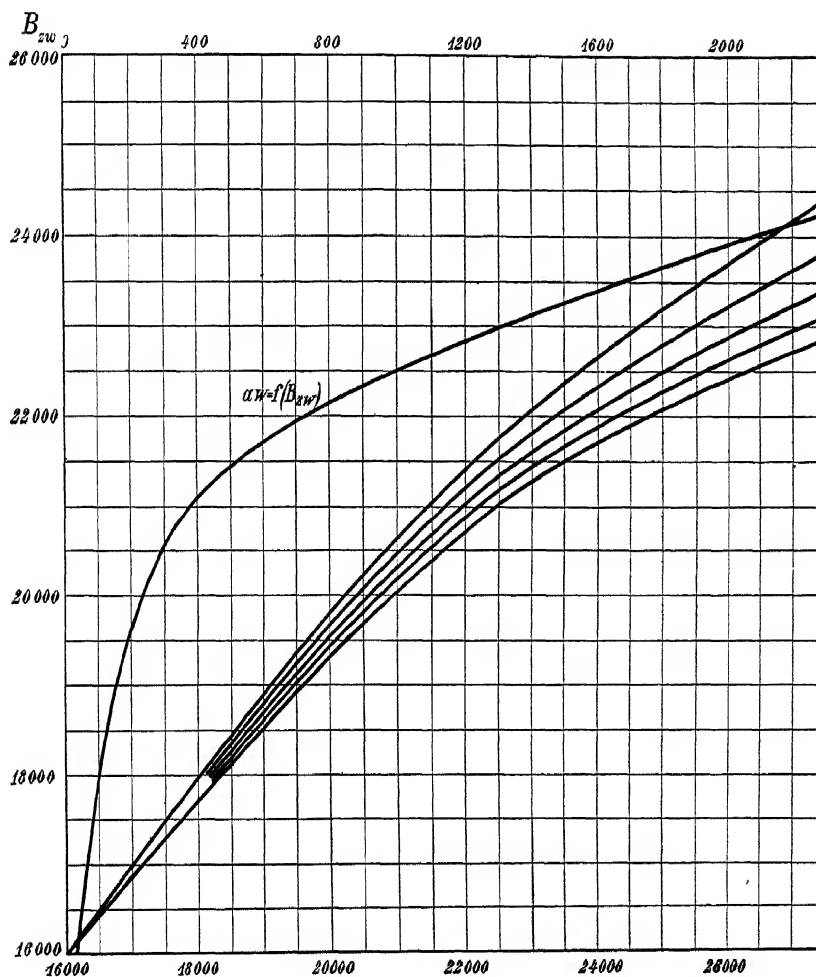


Brown, Boveri & Co., Baden, Schweiz.

1000 KW-Maschine. 48 Perioden, 600 Volt, 600 Umdr. i. d. Min.

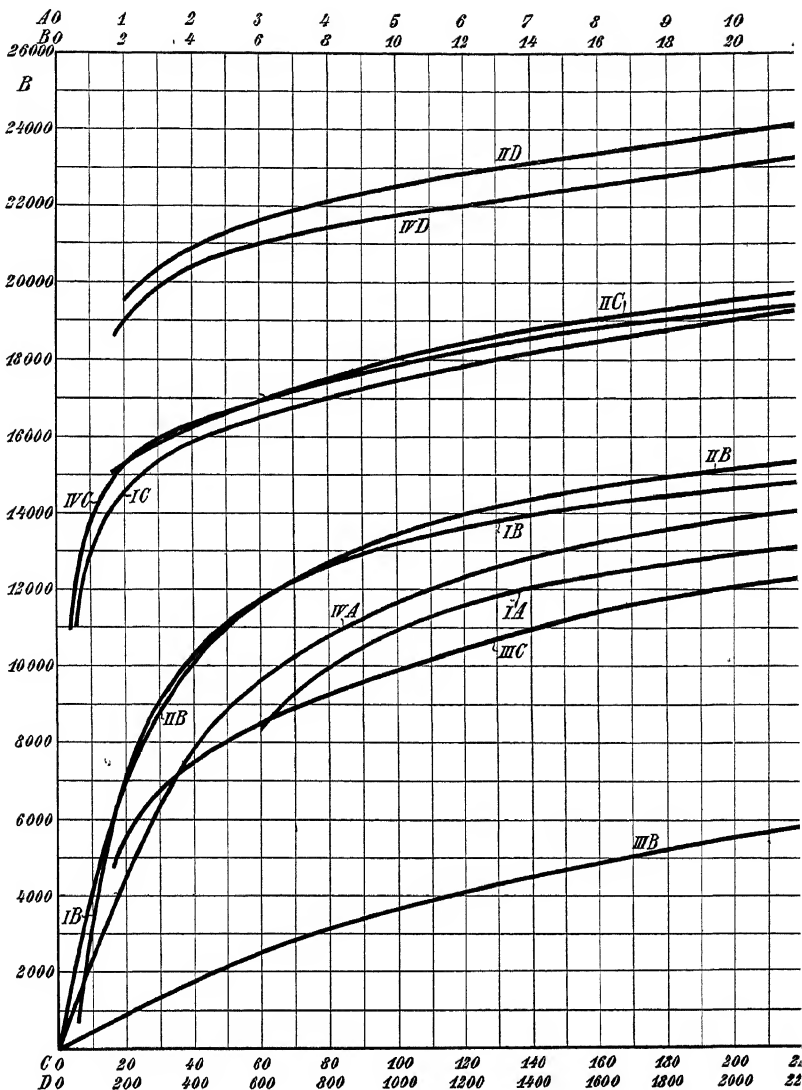
(Beschreibung siehe Seite 343 und Tabelle Seite 353 Nr. 1.)





Magnetisierungskurven zur Berechnung der  
 (Rotoren von Turbogeneratoren)  
 (Siehe Seite 81 bis 83)





Magnetisierungsk

Kurve I: Dynamoblech. Kurv

Kurve III: Gußeisen. Kurv

Die lateinischen Buchstaben beziehen sich auf einen der vier Abszissen





Verlag von Julius Springer in Berlin.

# Die Wechselstromtechnik.

Herausgegeben von Dr.-Ing E. Arnold,

Professor und Direktor des Elektrotechnischen Instituts der Großherzoglichen Technischen Hochschule Friedr.-Wilhelms zu Karlsruhe  
**In fünf Bänden.**

**Erster Band: Theorie der Wechselströme.**

Von J. L. la Cour und O. S. Bragstad.

Zweite, vollständig umgearbeitete Auflage

Mit 591 Textfiguren. — In Leinwand gebunden Preis M. 24,—.

Kapitelübersicht

Einleitung  
Einfache Wechselströme und ihre Darstellung  
Die physikalischen Vorgänge in Wechselstromkreisen  
Analytische und graphische Methoden  
Reihenschaltung von Stromkreisen  
Parallelschaltung von Stromkreisen  
Stromkreise allgemeineren Charakters  
Magnetisch verkettete Stromkreise  
Stromkreise mit Kapazität  
Leerlauf- und Kurzschlußdiagramm  
Arbeitsdiagramm  
Wechselströme von zusammengesetzter Kurvenform  
Graphische Darstellung von Wechselströmen zusammengesetzter Kurvenform  
Mehrphasenströme  
Spannungen und Ströme eines Mehrphasensystems

Leerlauf-, Kurzschluß- und Arbeitsdiagramm eines Mehrphasenstromes  
Mehrphasenströme von zusammengesetzter Kurvenform  
Messung von elektrischen Strömen  
Magnetische Eigenschaften des Eisens  
Grundbegriffe der Elektrostatik.  
Elektrische Eigenschaften der Dielektrika  
Elektrische Eigenschaften der Elektrolyten  
Elektrische Eigenschaft v. Gasen u. Dämpfen  
Die Konstanten elektrischer Leiter  
Ein- und Ausschalten elektrischer Ströme  
Ein- und Ausschalten von Stromkreisen, in denen Widerstand, Selbstinduktion und Kapazität gleichmäßig verteilt sind  
Fortpflanzung elektrischer Strom- und Spannungswellen in Stromkreisen, in denen Widerstand, Selbstinduktion und Kapazität gleichmäßig verteilt sind  
Namen- und Sachregister

**Zweiter Band: Die Transformatoren.**

Von E. Arnold und J. L. la Cour.

Zweite, vollständig umgearbeitete Auflage.

Mit 443 Textfiguren und 6 Tafeln. — In Leinwand gebunden Preis M. 16,—.

Kapitelübersicht.

Einleitung  
Der Magnetisierungsstrom eines Einphasentransformators  
Die Gleichungen und Konstanten eines Einphasentransformators  
Die Diagramme eines Einphasentransformators  
Die Verluste und der Wirkungsgrad eines Transformators  
Einfluß der Form der Spannungskurve auf den Spannungsabfall und die Eisenverluste im Transformator  
Mehrphasentransformatoren  
Erscheinungen, die beim Einschalten u. beim Kurzschluß e. Transformators auftreten

Bau und Anordnung der Eisenkörper  
Anordnung Isolation und Befestigung der Wicklung.  
Die Erwärmung und Abkühlung eines Transformators  
Beispiele ausgeführter Transformatoren  
Berechnung eines Transformators  
Beispiele für die Vorausberechnung eines Transformators und Zusammenstellung der Formeln  
Die experimentelle Untersuchung eines Transformators.  
Die Schaltung der Transformatoren  
Transformatoren für besondere Zwecke  
Namen- und Sachregister

**Dritter Band: Die Wicklungen der Wechselstrommaschinen.**

Von E. Arnold.

Mit 463 Textfiguren und 5 Tafeln. — In Leinwand gebunden Preis M. 13,—.

Kapitelübersicht

Erstes Kapitel Einleitung  
Zweites Kapitel. Gewöhnliche Wechselstromwicklungen.  
Drittes Kapitel. Gewöhnliche Wechselstromwicklungen für besondere Fälle.  
Viertes Kapitel. Die unveränderten Gleichstromwicklungen.  
Fünftes Kapitel Die aufgeschnittenen Gleichstromwicklungen  
Sechstes Kapitel. Die abgeänderten Gleichstromwicklungen.  
Siebentes Kapitel. Besondere Wicklungen für asynchrone Maschinen  
Achstes Kapitel. Die Feldkurve einer synchronen Maschine.

Neuntes Kapitel. Die in der Wicklung einer Synchronmaschine induzierte EMK  
Zehntes Kapitel. Die Feldkurve einer asynchronen Maschine  
Elftes Kapitel. Die in der Statorwicklung einer Asynchronmaschine induzierte EMK  
Zwölftes Kapitel. Experimentelle Bestimmung des Wirkungsfaktors und Vergleich mit dem berechneten  
Dreizehntes Kapitel. Anordnung und Isolierung einer Wicklung  
Vierzehntes Kapitel. Praktische Ausführung der Wicklungen  
Fünfzehntes Kapitel. Befestigung der Wicklungsköpfe bei den Synchrongeneratoren

Zu beziehen durch jede Buchhandlung

# Die Wechselstromtechnik.

Herausgegeben von Dr.-Ing. E. Arnold,

Professor und Direktor des Elektrotechnischen Instituts der Großherzoglich-Technischen Hochschule Kassel zu Kassel

In fünf Bänden.

## Vierter Band: Die synchronen Wechselstrommaschinen.

Generatoren, Motoren und Umformer.

Ihre Theorie, Konstruktion, Berechnung und Arbeitsweise

Von E. Arnold und J. L. la Cour.

Zweite, vollständig umgearbeitete Auflage

Mit 530 Textfiguren und 18 Tafeln. — In Leinwand gebunden Preis M. 22,—.

## Fünfter Band: Die asynchronen Wechselstrommaschinen.

Erster Teil: Die Induktionsmaschinen.

Ihre Theorie, Berechnung, Konstruktion und Arbeitsweise.

Von E. Arnold und J. L. la Cour, unter Mitarbeit von A. Fraenkel.

Mit 307 in den Text gedruckten Figuren und 10 Tafeln. — In Leinwand geb. Preis M. 18,—.

Kapitelübersicht.

Einleitung  
Arbeitsweise des Rotors und Drehmoment  
Die Gleichungen und Konstanten einer  
mehrphasigen Asynchronmaschine  
Graphische Theorie des Mehrphasen-Induk-  
tionsmotors  
Analytische Theorie  
Das Arbeitsdiagramm des mehrphasigen  
Induktionsmotors und seine Bestimmung  
aus Leerlauf- und Kurzschlußversuch  
Theorie und Arbeitsdiagramm des einpha-  
sigen Induktionsmotors I  
Einfluß der Oberfelder und Oberströme  
auf die Wirkungsweise eines Induktions-  
motors  
Die Verluste und der Wirkungsgrad eines  
Induktionsmotors  
Die Erwärmung eines Induktionsmotors  
Anlassen und Tourenregelung der mehr-  
phasigen Induktionsmotoren

Anlassen und Tourenregelung der einpha-  
sigen Induktionsmotoren.  
Die experimentelle Untersuchung eines In-  
duktionsmotors  
Vorausberechnung eines Induktionsmotors  
Beispiele für die Vorausberechnung  
Die Konstruktion einer Induktionsmaschine  
Das Anwendungsgebiet der Induktions-  
motoren  
Der Induktionsgenerator  
Kaskadenschaltung von zwei Induktions-  
maschinen  
Kaskadenschaltung einer Induktionsma-  
schine und einer synchronen Wechsel-  
strommaschine  
Kaskadenschaltung einer Induktionsma-  
schine mit einer Gleichstrommaschine  
(Kaskadenumformer).  
Einige weitere Anwendungen der Induk-  
tionsmaschine  
Namen- und Sachregister.

## Zweiter Teil: Die Wechselstromkommutatormaschinen.

Ihre Theorie, Berechnung, Konstruktion und Arbeitsweise

Von E. Arnold, J. L. la Cour und A. Fraenkel.

Mit 400 in den Text gedruckten Figuren, VIII Tafeln und dem Bildnis E. Arnolds

In Leinwand gebunden Preis M. 20,—.

Kapitelübersicht.

1. Allgemeine Eigenschaften der Mehr-  
phasen-Kommutatormaschinen  
2. Der mehrphasige Hauptschlußmotor  
3. Der mehrphasige Nebenschlußmotor  
4. Anlassen und Tourenregulierung der  
mehrphasigen Hauptschlußmotoren  
5. Anlassen und Tourenregulierung der  
mehrphasigen Nebenschlußmotoren  
6. Mehrphasen-Kommutatormaschinen mit  
Wendepolen.  
7. Vorausberechnung mehrphasiger Kom-  
mutatormotoren.  
8. Kompensierte Induktionsmaschinen  
9. Untersuchung ausgeführter Motoren  
10. Kaskadenschaltung einer Induktions-  
maschine und einer Mehrphasen-Kom-  
mutatormaschine.  
11. Die Einphasen-Wechselstrom-Kommu-  
tatormotoren.  
12. Allgemeine Eigenschaften der Wechsel-  
strom-Kommutatormaschinen.  
13. Der direkt gespeiste Einphasen-Haupt-  
schlußmotor.

14. Der indirekt gespeiste Hauptschlußmotor  
mit Statorerregung (Repulsionsmotor).  
15. Der indirekt gespeiste Hauptschluß-  
motor mit Rotorerregung. (Kompensi-  
erter Repulsionsmotor.)  
16. Doppelt gespeiste Hauptschlußmotoren  
17. Anlassen und Tourenregulierung der  
Einphasen-Hauptschlußmotoren.  
18. Übersicht über die Motoren mit unab-  
hängiger Erregung.  
19. Der indirekt gespeiste Nebenschluß-  
motor  
20. Doppelt gespeiste Nebenschlußmotoren.  
21. Vorausberechnung der Einphasen-Kom-  
mutatormotoren.  
22. Nachrechnung und Untersuchung aus-  
geführter Einphasen-Motoren.  
23. Beispiele ausgeführter Konstruktionen  
Namen- und Sachregister.  
Erklärung der in den Formeln verwen-  
deten Buchstaben.  
Verzeichnis der Tafeln.

Zu beziehen durch jede Buchhandlung.

Verlag von Julius Springer in Berlin.

---

# Die Gleichstrommaschine.

Ihre Theorie, Untersuchung,  
Konstruktion, Berechnung und Arbeitsweise.

Von

**Dr.-Ing. E. Arnold,**

Professor und Direktor des Elektrotechnischen Instituts  
an der Großherzoglichen Technischen Hochschule Fridericiana zu Karlsruhe

---

Erster Band.

**Theorie und Untersuchung.**

Zweite, vollständig umgearbeitete Auflage

Mit 593 Textfiguren

In Leinwand gebunden Preis M. 20,—.

---

Zweiter Band

**Konstruktion, Berechnung und Arbeitsweise.**

Zweite, vollständig umgearbeitete Auflage.

Mit 502 Textfiguren und 13 Tafeln

In Leinwand gebunden Preis M. 20,—.

---

## Arbeiten

aus dem Elektrotechnischen Institut

der Großherzoglichen Technischen Hochschule  
Fridericiana zu Karlsruhe 1908—1909.

Herausgegeben von

**Professor Dr.-Ing. E. Arnold.**

Direktor des Instituts.

I. Band. 1908—1909. Mit 260 Textfiguren.

Preis M. 10,—.

II. Band. 1910—1911. Mit 284 Textfiguren.

Preis M. 10,—.

---

Zu beziehen durch jede Buchhandlung.

**Elektrische Starkstromanlagen.** Maschinen, Apparate, Schaltungen, Betrieb Kurzgefaßtes Hilfsbuch für Ingenieure und Techniker sowie zum Gebrauch an technischen Lehranstalten Von Dipl.-Ing. **Emil Kosack**, Oberlehrer an den Königl. Vereinigten Maschinenbauschulen zu Magdeburg Mit 259 Textfiguren In Leinwand gebunden Preis M. 7,—

---

**Die elektrische Kraftübertragung.** Von Dipl.-Ing. **Herbert Kyser**.  
Erster Band **Die Motoren, Umformer und Transformatoren.** Ihre Arbeitsweise, Schaltung, Anwendung und Ausführung Mit 277 Textfiguren und 5 Tafeln In Leinwand gebunden Preis M. 11,—  
Der zweite Band, enthaltend die **Leitungsanlagen** in mechanischer und elektrischer Hinsicht, die **Apparate und Instrumente** und die **Stromerzeugung** mit den **Schaltanlagen**, wird im Winter 1912/13 erscheinen

---

**Kurzes Lehrbuch der Elektrotechnik.** Von Dr. **A. Thomalen**, Elektrotechniker Fünfte, verbesserte Auflage Mit 408 Textfiguren In Leinwand gebunden Preis M. 12,—

---

**Die wissenschaftlichen Grundlagen der Elektrotechnik.** Von Dr. **Gustav Benischke**. Zweite, erweiterte Auflage von „Magnetismus und Elektrizität mit Rücksicht auf die Bedürfnisse der Praxis“ Mit 489 Textabbildungen Preis M. 12,—; in Leinwand gebunden M. 13,20

---

**Hilfsbuch für die Elektrotechnik.** Unter Mitwirkung namhafter Fachgenossen bearbeitet und herausgegeben von Professor Dr. **Karl Strecker**, Geh. Oberpostrat Achte, umgearbeitete und vermehrte Auflage. Mit 800 Figuren In Leinwand gebunden Preis M. 18,—

---

**Die normalen Eigenschaften elektrischer Maschinen.** Ein Datenbuch für Maschinen- und Elektromeister und Studierende der Elektrotechnik Von Dr.-Ing. **Rudolf Goldschmidt**, Privatdozent an der Technischen Hochschule in Darmstadt Mit 34 Textfiguren In Leinwand geb. Preis M. 3,—

---

**Aufgaben und Lösungen aus der Gleich- und Wechselstromtechnik.** Ein Übungsbuch für den Unterricht an technischen Hoch- und Fachschulen sowie zum Selbststudium Von **H. Vieweger**, Professor am Technikum Mittweida Dritte, verbesserte Auflage Mit 174 Textfiguren und 2 Tafeln In Leinwand gebunden Preis M. 7,—

---

**Elektromotoren für Gleichstrom.** Von Dr. **G. Roeßler**, Professor an der Königl. Technischen Hochschule zu Danzig. Zweite, verbesserte Auflage Mit 49 Textfiguren In Leinwand gebunden Preis M. 4,—

---

**Wechselstromtechnik.** Von Dr. **G. Roeßler**, Professor an der Königl. Technischen Hochschule zu Danzig Zweite Auflage von „Elektromotoren für Wechselstrom und Drehstrom“ I Teil. Mit 185 Textfiguren. In Leinwand gebunden Preis M. 9,—.

---

**Der Drehstrommotor.** Ein Handbuch für Studium und Praxis Von **Julius Heubach**, Chefingenieur Mit 163 in den Text gedruckten Figuren  
In Leinwand gebunden Preis M 10,—

---

**Die Bahnmotoren für Gleichstrom.** Ihre Wirkungsweise, Bauart und Behandlung Ein Handbuch für Bahntechniker Von **H. Müller**, Oberingenieur der Westinghouse-Elektrizitäts-Aktiengesellschaft, und **W. Mattersdorff**, Abteilungsvorstand der Allgemeinen Elektrizitäts-Gesellschaft Mit 231 Textfiguren und 11 lithogr Tafeln, sowie einer Übersicht der ausgeführten Typen  
In Leinwand gebunden Preis M 15,—

---

**Dynamomaschinen für Gleich- und Wechselstrom.** Von **Gisbert Kapp**. Vierte, vermehrte und verbesserte Auflage Mit 255 in den Text gedruckten Figuren  
In Leinwand gebunden Preis M 12,—

---

**Die Einphasenmotoren nach den deutschen Patentschriften.** Mit Sachverzeichnissen der Deutschen Reichs-Patente über Einphasen- und Mehrphasen-Kommutator-Motoren Von Dr.-Ing **Erich Dyrh**. Mit 112 Textfiguren  
Preis M 6,—

---

**Das Pendeln bei Gleichstrommotoren mit Wendepolen.** Von Dr **Karl Humburg**, Diplomingenieur Mit 50 Textfiguren  
Preis M 2,80

---

**Über den Kraftlinienverlauf im Luftraum und in den Zähnen von Dynamoankern.** Von Dr techn **Karl Hoerner**. Mit 4 Textfiguren, 4 Zahlentafeln und 3 Kurventafeln  
Preis M 1,20

---

**Das Kreisdiagramm der Induktionsmotoren.** Von Dr.-Ing **Karl Krug**.  
Preis M 2,80

---

**Untersuchung eines Zugmagneten für Gleichstrom.** Von Dr.-Ing **Karl Euler**, Dozent an der Königl Technischen Hochschule zu Breslau. Mit 74 Textfiguren  
Preis M 3,—

---

**Formspulen-Wicklung für Gleich- und Wechselstrommaschinen.** Von **Rudolf Krause**, Ingenieur Mit 46 in den Text gedruckten Figuren  
Preis M 1,20

---

**Die Isolierung elektrischer Maschinen.** Von **H. W. Turner**, Associate A I E E. und **H. M. Hobart**, M I E E, Mem A I E E Deutsche Bearbeitung von **A. von Königslaw** und **R. Krause**, Ingenieure Mit 166 Textfiguren  
In Leinwand gebunden Preis M 8,—

---

**Elektrische und magnetische Messungen und Meßinstrumente.** Von **H. S. Hallo** und **H. W. Land**. Eine freie Bearbeitung und Ergänzung des holländischen Werkes „Magnetische en Elektrische Metingen“ von **G. J. van Swaay**, Professor an der Technischen Hochschule zu Delft Mit 343 Textfiguren.  
In Leinwand gebunden Preis M 15,—

---

**Isolationsmessungen und Fehlerbestimmungen an elektrischen Starkstromleitungen.** Von **F. Charles Raphael**. Autorisierte deutsche Bearbeitung von Dr. **Richard Apt**. Zweite, verbesserte Auflage. Mit 122 Textfiguren. In Leinwand gebunden Preis M 6,—

---

**Messungen an elektrischen Maschinen.** Apparate, Instrumente, Methoden, Schaltungen. Von **Rudolf Krause**, Ingenieur. Zweite, verbesserte und vermehrte Auflage. Mit 178 Textfiguren. In Leinwand geb. Preis M 5,—

---

**Handbuch der elektrischen Beleuchtung.** Von **Josef Herzog**, diplomierter Elektroingenieur in Budapest, und **Clarence Feldmann**, o. Professor an der Technischen Hochschule in Delft. Dritte, vollständig umgearbeitete Auflage. Mit 707 Textfiguren. In Leinwand gebunden Preis M 20,—

---

**Der elektrische Lichtbogen bei Gleichstrom und Wechselstrom und seine Anwendungen.** Von **Berthold Monasch**, Diplom-Ingenieur. Mit 141 Textfiguren. In Leinwand gebunden Preis M 9,—

---

**Grundzüge der Beleuchtungstechnik.** Von Dr.-Ing. **L. Bloch**, Ingenieur der Berliner Elektrizitätswerke. Mit 41 Textfiguren. Preis M 4,—; in Leinwand gebunden M 5,—

---

**Beanspruchung und Durchhang von Freileitungen.** Unterlagen für Projektierung und Montage. Von **Robert Weil**, Diplom-Ingenieur. Mit 42 Textfiguren und 3 lithographierten Tafeln. Preis M 4,—

---

**Berechnung und Ausführung der Hochspannungs-Fernleitungen.** Von **Carl Fred. Holmboe**, Elektroingenieur. Mit 61 Textfiguren. Preis M 3,—

---

**Die Fernleitung von Wechselströmen.** Von Dr. **G. Roessler**, Professor an der Königl. Technischen Hochschule in Danzig. Mit 60 Textfiguren. In Leinwand gebunden Preis M 7,—

---

**Elektrotechnische Meßkunde.** Von Dr.-Ing. **P. B. Arthur Linker**. Zweite, völlig umgearbeitete und verbesserte Auflage. Mit 380 in den Text gedruckten Figuren. In Leinwand gebunden Preis M 12,—

---

**Anlasser und Regler für elektrische Motoren und Generatoren.** Theorie, Konstruktion, Schaltung. Von Ing. **Rud. Krause** (Mittweida). Zweite, verbesserte und vermehrte Auflage. Mit 133 Textfiguren. In Leinwand gebunden Preis M. 5,—

---

**Konstruktionen und Schaltungen aus dem Gebiete der elektrischen Bahnen.** Gesammelt und bearbeitet von **O. S. Bragstad**, o. Professor an der Großherzogl. Techn. Hochschule Fridericiana in Karlsruhe. 31 Tafeln mit erläuterndem Text. In einer Mappe Preis M 6,—

---

**Transformatoren für Wechselstrom und Drehstrom.** Eine Darstellung ihrer Theorie, Konstruktion und Anwendung Von **Gisbert Kapp**. Dritte, vermehrte und verbesserte Auflage Mit 185 Textfiguren

In Leinwand gebunden Preis M 8,—

**Der Edisonakkumulator.** Seine technischen und wirtschaftlichen Vorteile gegenüber der Bleizelle Von **Meno Kammerhoff**, Berlín-Pankow Mit 92 Abbildungen und 20 Tabellen

Preis M 4,—; in Leinwand gebunden M 5,—

**Die elektrolytischen Metallniederschläge.** Lehrbuch der Galvanotechnik, mit Berücksichtigung der Behandlung der Metalle vor und nach dem Elektroplattieren Von Dr **W. Pfanhauser jr.** Fünfte, umgearbeitete Auflage Mit 173 in den Text gedruckten Abbildungen

In Leinwand gebunden Preis M 15,—

**Die Beleuchtung von Eisenbahn-Personenwagen mit besonderer Berücksichtigung der elektrischen Beleuchtung.** Von Dr **Max Büttner**. Zweite, vollständig umgearbeitete Auflage Mit 108 Textfiguren

In Leinwand gebunden Preis M 7,—

**Das elektrische Kabel.** Von Dr phil **C. Baur**, Ingenieur Eine Darstellung der Grundlagen für Fabrikation, Verlegung und Betrieb Zweite, umgearbeitete Auflage Mit 91 in den Text gedruckten Figuren

In Leinwand gebunden Preis M. 12,—

**Die Berechnung elektrischer Freileitungen** nach wirtschaftlichen Gesichtspunkten Von Dr-Ing **W. Majerezik-Berlin** Mit 10 in den Text gedruckten Figuren

Preis M. 2,—

**Theorie und Berechnung elektrischer Freileitungen.** Von Dr-Ing **H. Galluser**, Ingenieur bei Brown, Boveri & Co. Baden (Schweiz), und Dipl-Ing **M. Hausmann**, Ingenieur bei der Allgemeinen Elektrizitäts-Gesellschaft, Berlin Mit 145 Textfiguren In Leinwand gebunden Preis M 5,—

**Tabelle der prozentualen Spannungsverluste bei Gleich-, Ein- und Dreiphasenwechsel für die Querschnitte 1,5 bis 150 qmm.** Von **F. Jesinghaus**.

Preis M —,50

**Die Berechnung elektrischer Leitungsnetze** in Theorie und Praxis Bearbeitet von **Jos. Herzog**, Vorstand der Abteilung für elektrische Beleuchtung, Ganz & Co., Budapest, und **Cl. Feldmann**, Privatdozent an der Großherzoglichen Technischen Hochschule zu Darmstadt

Erster Teil: Strom- und Spannungsverteilung in Netzen. Dritte Auflage. In Vorbereitung.

Zweiter Teil: Die Dimensionierung der Leitungen. Zweite, umgearbeitete und vermehrte Auflage. Mit 216 Textfiguren

In Leinwand gebunden Preis M 12,—.



**Trigonometrie für Maschinenbauer und Elektrotechniker.** Ein Lehr- und Aufgabenbuch für den Unterricht und zum Selbststudium Von Dr **Adolf Heß**, Professor am kantonalen Technikum in Winterthur Mit 112 Textfiguren  
In Leinwand gebunden Preis M 2,80

---

**Hilfsbuch für den Maschinenbau.** Für Maschinentechiker sowie für den Unterricht an technischen Lehranstalten Von Professor **Fr. Freytag**, Lehrer an den Technischen Staatslehranstalten zu Chemnitz Vierte, vermehrte und verbesserte Auflage Mit 1108 Textfiguren, 10 Tafeln und einer Beilage für Österreich  
In Leinwand gebunden Preis M 10,—, in Leder gebunden M 12,—

---

**Radiotelegraphisches Praktikum.** Von Dr.-Ing **H. Rein.** Zweite, vermehrte Auflage Mit 170 Textfiguren und 5 Kurventafeln  
In Leinwand gebunden Preis M 8,—

---

**Experimentelle Untersuchungen aus dem Grenzgebiet zwischen drahtloser Telegraphie und Luftelektrizität.** Erster Teil: Die Empfangsstörung Von Dr **M. Dieckmann**, Privatdozent für reine und angewandte Physik an der Kgl. Technischen Hochschule München (Luftfahrt und Wissenschaft) In freier Folge herausgegeben von **Joseph Sticker**, Heft 2 )  
Mit 56 Abbildungen Steif broschürt Preis M 3,—

---

**Technische Schwingungslehre.** Einführung in die Untersuchung der für den Ingenieur wichtigsten periodischen Vorgänge aus der Mechanik starrer, elastischer flüssiger und gasförmiger Körper sowie aus der Elektrizitätslehre. Von Dr **Wilhelm Hort**, Dipl.-Ing Mit 87 Textfiguren  
Preis M 5,60; in Leinwand gebunden M 6,40.

---

**Die Untersuchungen elektrischer Systeme auf Grundlage der Superpositionsprinzipien.** Von Dr **Herbert Hausrath**, Privatdozent an der Großherzoglichen Technischen Hochschule Friedericiana zu Karlsruhe Mit 14 Textfiguren.  
Preis M 3,—

---

Seit April 1912 erscheint:

## Archiv für Elektrotechnik

Herausgegeben von

Dr.-Ing **W. Rogowski**,

ständigem Mitarbeiter der Physikalisch-Technischen Reichsanstalt in Charlottenburg

Das **Archiv für Elektrotechnik** erscheint in Heften, von denen 12 einen Band im Umfang von etwa 36 Bogen bilden. Der Preis des Bandes beträgt M 24,—, für Abonnenten der „Elektrotechnischen Zeitschrift“ sowie Mitglieder des Verbandes Deutscher Elektrotechniker und des Elektrotechnischen Vereins M. 20,—

Probehefte jederzeit unberechnet vom Verlag

---

Zu beziehen durch jede Buchhandlung











## Date Due

Apr 16 '51			
FEB 3 1954			
AUG 7 '82			
Denco 293-5			

(6)

621.3133 A75a2 v.4  
Arnold  
Wechselstromtechnik

621.3133 A75a2 v.4

Arnold  
Wechselstromtechnik

**Carnegie Institute of Technology**  
**Library**  
**Pittsburgh, Pa.**

Deacidified using the Bookkeeper process.  
Neutralizing Agent: Magnesium Oxide  
Treatment Date:

DEMCO





UNIVERSAL  
LIBRARY



138 400

UNIVERSAL  
LIBRARY